Katalog grodzisk Warmii i Mazur

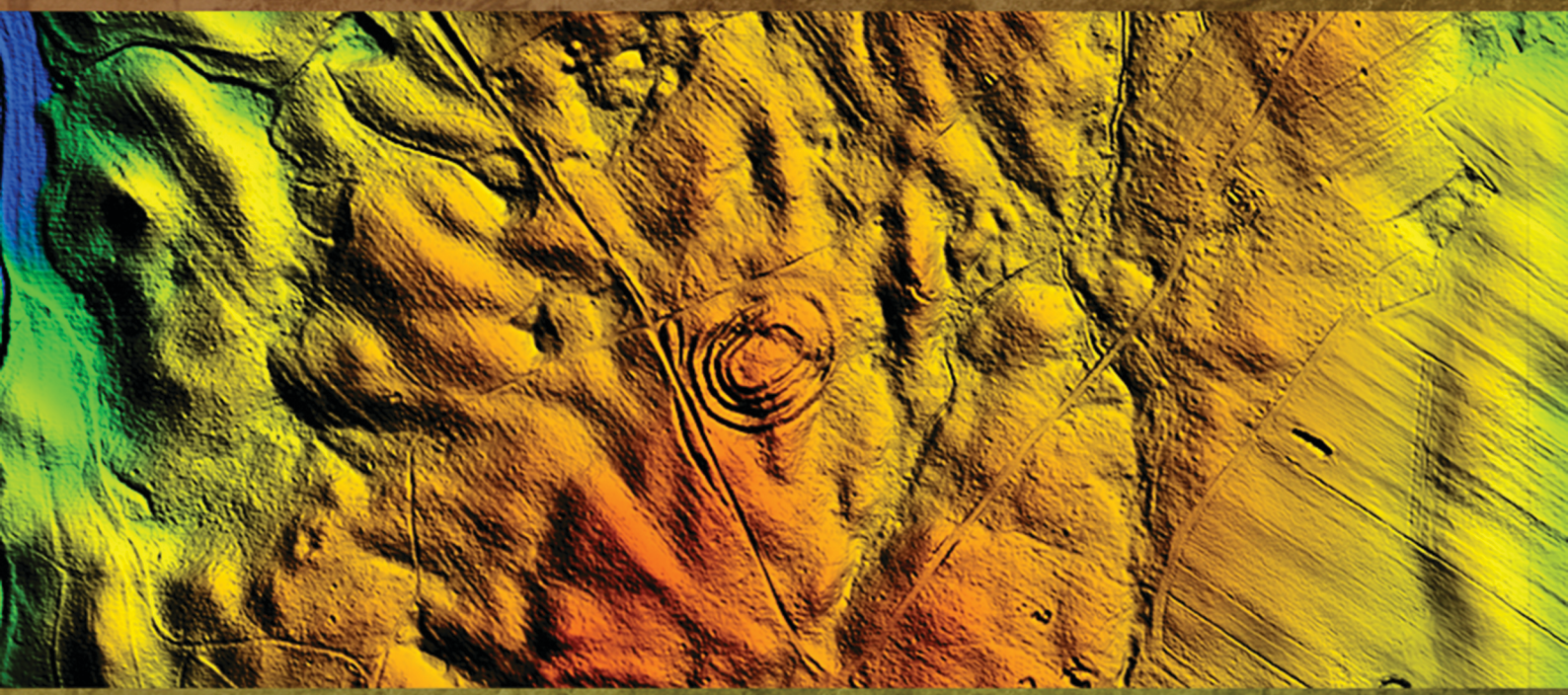

pod redakcją
Zbigniewa Kobylińskiego

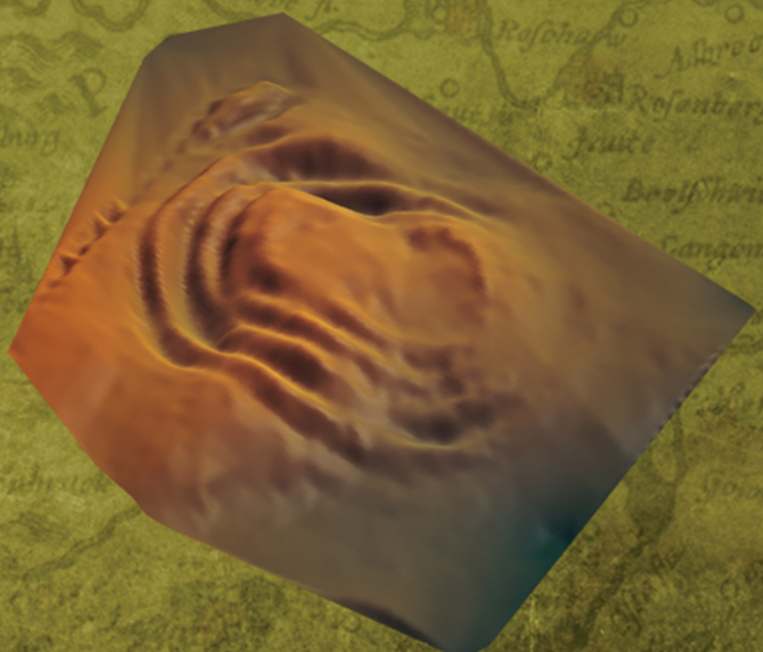

Tom 2

Instytut Archeologii
Uniwersytetu Kardynała Stefana Wyszyńskiego w Warszawie
Fundacja Res Publica Multiethnica

Katalog grodzisk Warmii i Mazur

pod redakcją Zbigniewa Kobylińskiego

Tom 2

Autorzy

Anna Gręzak, Urszula Kobylińska, Maria Lityńska-Zając, Magdalena Moskal-del Hoyo, Jerzy Nitychoruk, Joanna Piątkowska-Małecka, Kamil Rabiega, Magdalena Rutyna, Daniel Skoczylas, Rafał Solecki, Łukasz Maurycy Stanaszek, Tomasz Stępnik, Dariusz Wach, Joanna Wawrzeniuk, Fabian Welc, Jacek Wysocki i Magdalena Żurek

Warszawa 2017

Publikacja wydana z funduszy projektu badawczego

Narodowego Programu Rozwoju Humanistyki

Katalog grodzisk Warmii i Mazur. Część 1. Pomezania, Pogezania i Warmia

NARODOWY PROGRAM
ROZWOJU HUMANISTYKI

Publikacja recenzowana do druku przez dr. Wojciecha Brzezińskiego
i prof. dr. hab. Przemysława Urbańczyka

Redakcja: Zbigniew Kobyliński

Projekt książki i skład: Bartłomiej Gruszka

Korekty: Urszula Kobylińska i Zbigniew Kobyliński

Projekt okładki: Weronika Kobylińska-Bunsch

Copyright © 2017 by Instytut Archeologii Uniwersytetu Kardynała Stefana Wyszyńskiego
w Warszawie and Fundacja Res Publica Multiethnica

ISBN 978-83-946496-3-0

ISBN 978-83-948352-0-0

Wydawnictwo:

Fundacja Res Publica Multiethnica

Ul. Cypryjska 44

02-761 Warszawa

http://res-publica-multiethnica.pl

SPIS TREŚCI

GMINA MIŁAKOWO

Pawełki, st. 5 5

Raciszewo, st. 9 27

GMINA MORĄG

Strużyna, st. 21 63

Strużyna, st. 24 91

Tątławki, st. 2 109

GMINA ZALEWO

Duba, st. 1 139

Janiki Wielkie, st. 2 149

Mozgowo, st. 1 175

Urowo, st. 1 205

Wieprz, st. 1 – wyspa Bukowiec 219

Wieprz, st. 20 241

GMINA OSTRÓDA

Durąg, st. 1 261

Grabin, st. 1 297

Lipowiec, st. 1 335

Lipowiec, st. 2 (Lichtajny) 363

Morliny, st. 1 381

Zajączki, st. 1 395

GMINA ŁUKTA

Plichta, st. 1 469

WYKAZ CYTOWANEJ LITERATURY 477

Pawełki, st. 5

Gmina Miłakowo

Powiat ostródzki

AZP 18-57/21

Współrzędne geograficzne:

N 54° 4’ 28’’

E 20° 4’ 4’’

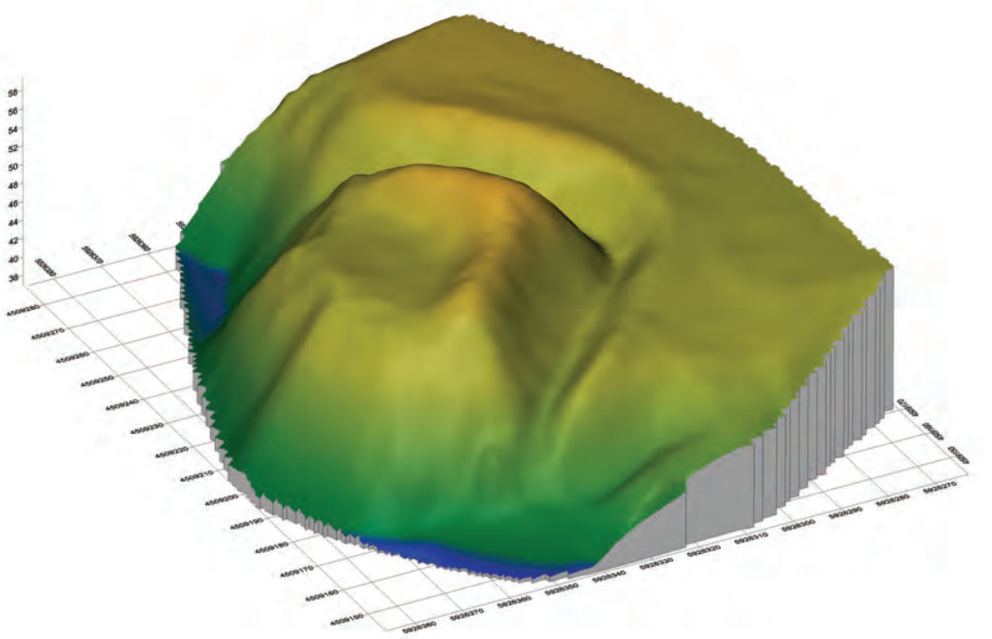

Ryc. 1. Grodzisko w Pawełkach, st. 5 na mapie w skali 1:25 000 (na podstawie materiałów CODGiK, oprac. R. Solecki)

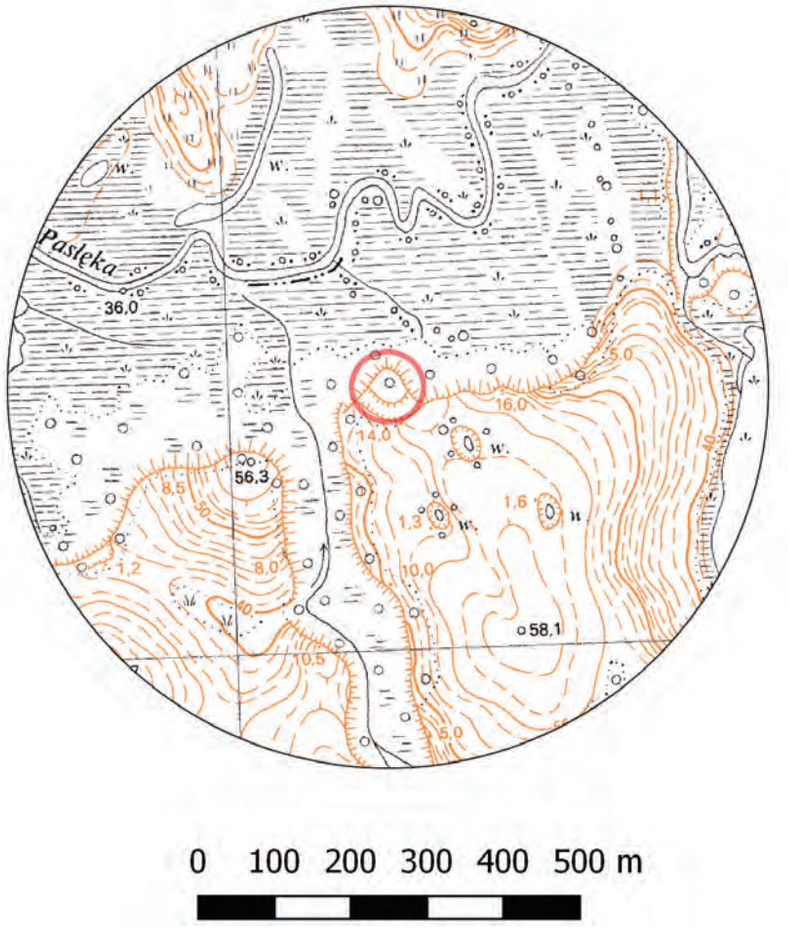

Ryc. 2. Grodzisko w Pawełkach, st. 5 na mapie w skali 1:10 000 (na podstawie materiałów CODGiK, oprac. R. Solecki)

POŁOŻENIE GRODZISKA I JEGO FORMA

RAFAŁ SOLECKI

Grodzisko w Pawełkach, st. 5 w przeszłości leżało na gruntach folwarku Rotajny (*Maulfritzen / Roteinen*) i znane było pod nazwą *Schloß Berg*. Obecnie jest znane jako „Góra Zamkowa”[1].

[1] Notatka Mieczysława Haftki z 1968 r.; archiwum Wojewódzkiego Urzędu Ochrony Zabytków w Olsztynie.

Grodzisko znajduje się na wysokim cyplu, na południowym brzegu rzeki Pasłęki (ryc. 1–2). Cypel ten jest zakończeniem długiego na około 1100 m i szerokiego na około 450 m grzbietu wysoczyzny, od wschodu i zachodu ograniczonego głębokimi jarami. Zachodnim jarem płynie bezimienny strumień będący dopływem Pasłęki. W jarze wschodnim znajduje się niewielkie jezioro zasilane strumieniem, który dalej także wpada do Pasłęki. Najwyższy punkt tego grzbietu ma około 58,1 m n.p.m. i wyraźnie wypiętrza się ponad poziom Pasłęki, której poziom wody na tym odcinku ma około 36–37 m n.p.m.

Ryc. 3. Pawełki, st. 5. Widok panoramiczny grodziska (fot. J. Wysocki, oprac. R. Solecki)

Ryc. 4. Pawełki, st. 5. Widok panoramiczny grodziska (fot. J. Wysocki, oprac. R. Solecki)

Ryc. 5. Pawełki, st. 5. Widok na wał grodziska (fot. J. Wysocki, oprac. R. Solecki)

Ryc. 6. Pawełki, st. 5. Widok na fosę grodziska (fot. J. Wysocki)

Ryc. 7. Pawełki, st. 5. Widok na wał i majdan grodziska (fot. R. Solecki)

Majdan grodziska jest dobrze zachowany. Od strony południowo-wschodniej i południowo-zachodniej jego krawędź wyznaczają równe, liniowe wały spotykające się pod niemal prostym kątem w części południowej (ryc. 3–4, 8). Od strony północnej krawędź majdanu wyznacza skarpa opadająca ku dolinie Pasłęki, mająca kształt łuku wypiętego ku północy, którego końce oparte są na wschodnim i zachodnim krańcu wału. Tak wyznaczona powierzchnia majdanu ma około 940 m^2 i długość po osi północ–południe około 27 m, a po osi wschód–zachód około 47 m. Średni poziom majdanu to około 54,2 m n.p.m.

Wyraźnie najwyższy punkt wału majdanu znajduje się w narożniku południowym i osiąga poziom 59,4 m n.p.m. Wokół tego punktu znajduje się niewielkie *plateau* o powierzchni około 75 m^2. Z tego miejsca wał rozciąga się w kierunku północno-zachodnim na długości około 35 m oraz w kierunku północno-wschodnim na długości około 29 m. Na krańcach wał osiąga poziom około 56,5 m n.p.m. Wysokość wału ponad poziom majdanu waha się więc od około 2,3 m, do około 5,2 m (ryc. 5).

Fosa ma kształt litery L z ramionami wychodzącymi w kierunku doliny Pasłęki. Średni poziom dna fosy wynosi około 50,1 m n.p.m. i jest wyraźnie powyżej poziomu lustra wody w Pasłęce. Jest więc to fosa sucha i taką zapewne formę miała pierwotnie. Różnica poziomów pomiędzy obecnym dnem fosy, a poziomem majdanu wynosi około 4,1 m. Różnica poziomów pomiędzy obecnym dnem fosy, a szczytem wału majdanu waha się pomiędzy 6,4 m, a 9,3 m (ryc. 6–7).

Grodzisko jest otoczone wałem zewnętrznym, usypanym wzdłuż linii fosy. Obecnie wał ten jest silnie zerodowany, lecz jego układ jest wyraźny w części wschodniej (w postaci liniowego nasypu) i zachodniej (w postaci wąskiego cypla). Najwyższy punkt tego wału osiąga poziom około 56,8 m n.p.m.

W części wschodniej grodziska widoczne jest niewielkie obniżenie wałów i wypłycenie fosy. Być może jest to miejsce, gdzie funkcjonowała brama (ryc. 7–8).

ŚRODOWISKO FIZYCZNO-GEOGRAFICZNE

JERZY NITYCHORUK I FABIAN WELC

Według *Szczegółowej mapy geologicznej Polski*[2] grodzisko w Pawełkach, st. 5 leży na piaskach, żwirach i glinach zwałowych ozów, a otoczone jest piaskami i żwirami wodnolodowcowymi ze stadiału górnego zlodowacenia Wisły. W dolinie Pasłęki występują holoceńskie piaski rzeczne. Odcięty fragment wysoczyzny wodnolodowcowej, na której znajduje się grodzisko, budują piaski, żwiry i gliny zwałowe ozów, a w ich otoczeniu występują piaski i żwiry wodnolodowcowe. Ten obszar zajmują gleby bielicowe. Stanowisko od północy ogranicza dolina Pasłęki, a od zachodu głębokie rozcięcie erozyjne. Dno obu form wyścielają mało urodzajne piaski rzeczne, nie wykorzystywane rolniczo (ryc. 10).

Na grodzisku wykonano pięć odwiertów (ryc. 11–12) ilustrujących budowę geologiczną poszczególnych elementów obiektu, takich jak: zewnętrzna strefa przylegającej wysoczyzny (P–1), fosę (P–2), wał wewnętrzny (P–3) i majdan (P–4, P–5 i P–6).

W efekcie wiercenia P–1 zostało udokumentowane, że na zewnątrz obiektu występuje pod cienką warstwą gliny piasek drobnoziarnisty, który można uznać za wodnolodowcowy. Wypełnienie fosy (P–2) można szacować na 1,5 m, a składa się na nie mułek brązowy, typowy osad stokowy, namuł gliniasty czarny z węglami drzewnymi i organiką oraz glina spływowa. Analiza zmienności osadów wypełniających fosę pokazuje, że przebieg procesów zapełzywania miał charakter

[2] Rabek i Narwojsz 2014, 2015.

epizodyczny. Analiza profilu osadów w wale obiektu (P–3) pokazuje, że piaski drobnoziarniste stwierdzone na głębokości 1,1 m w wierceniu P–1, występują również w wale. Obszar majdanu ma interesującą budowę geologiczną. W wierceniu P–4 występują piaski gruboziarniste, których nie ma w innych wierceniach, natomiast w wierceniach P–5 i P–6 piaski drobnoziarniste ze śladami działań człowieka, czyli tzw. warstwą kulturową, odpowiednio do głębokości 1,5 m i 1,2 m. Ta znaczna miąższość nawarstwień antropogenicznych prawdopodobnie wynika z przystosowania majdanu dla potrzeb człowieka poprzez odpowiednie ukształtowanie pierwotnego terenu, który mógł mieć inny kształt niż obecnie.

BADANIA ARCHEOLOGICZNE

RAFAŁ SOLECKI

Przebieg badań terenowych

Stanowisko było już znane w połowie XIX wieku. Opisane zostało w publikacji z 1866 roku pod nazwą *Sportenen* (*Roteinen*?) jako *Schloßberg*. Grodzisko to miało znajdować się w połowie drogi pomiędzy Ornetą a Miłakowem oraz opływane było od wschodu i północy przez Pasłękę[3]. Na planie z 1913 roku grodzisko w Pawełkach, st. 5 opisane jest jako *Schloßberg*. W najbliższej okolicy Sportyn, nad brzegami Pasłęki brak jest innych punktów nazwanych w ten sposób, tak więc opis ten dotyczy grodziska w Pawełkach. W 1940 opisuje je także Hans Crome, jako *Schloßberg* leżący około 600 m na północny wschód od folwarku *Maulfritzen*, na południowym brzegu Pasłęki[4].

Na stanowisku nie były prowadzone systematyczne badania wykopaliskowe. W 1974 roku, do Działu Archeologii w Muzeum Mazurskim w Olsztynie, wpłynęło zgłoszenie o nielegalnych wykopach na obszarze grodziska. Delegacja pracowników Muzeum i Wojewódzkiego Konserwatora Zabytków Archeologicznych stwierdziła istnienie siedmiu „sondaży" o wymiarach 0,5–1 m i głębokości do 1 m (ryc. 13). W trzech z czterech sondaży na obszarze majdanu, na głębokości około 0,3 m zarejestrowano bruk kamienny z niedużych kamieni polnych, a pod nim warstwę kulturową miąższości około 0,2 m. Poniżej znajdował się piaszczysty calec. W sondażu na koronie wału grodziska do głębokości 0,4–0,5 m znajdowała się próchnicza ziemia, a poniżej piasek. W sondażu w fosie próchnica występowała do głębokości 0,8 m, podobnie było w sondażu na wale zewnętrznym. Podczas tego rekonesansu nie natrafiono na żaden materiał zabytkowy[5]. Na stanowisku były prowadzone jeszcze

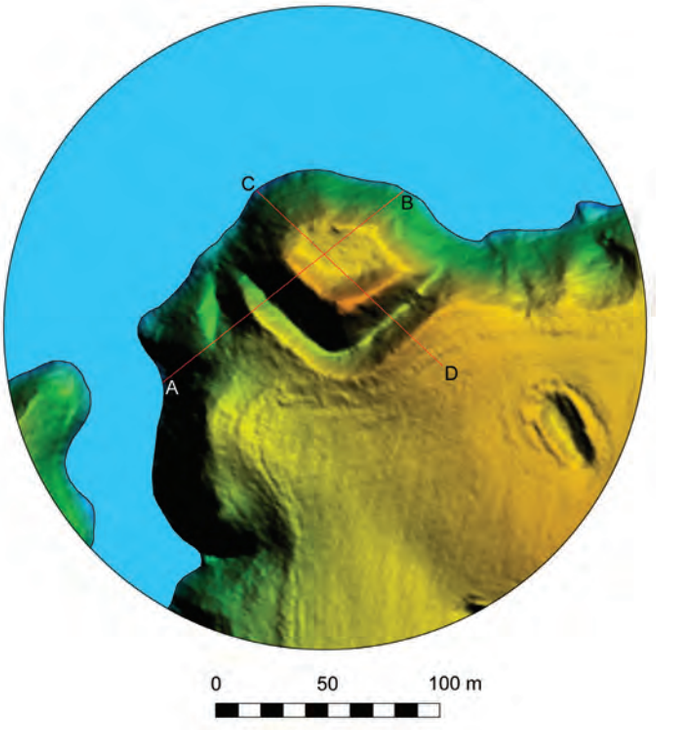

Ryc. 8. Grodzisko w Pawełkach, st. 5 na zobrazowaniu ALS (na podstawie materiałów CODGiK, oprac. R. Solecki)

Ryc. 9. Przekroje grodziska w Pawełkach, st. 5 po dwóch liniach uzyskane z danych ALS (na podstawie materiałów CODGiK, oprac. R. Solecki)

prace powierzchniowo-weryfikacyjne w 1998 roku[6] oraz dokumentacyjno-inwentaryzacyjne w 2002 roku[7].

Przystępując do badań w ramach realizacji projektu *Katalog grodzisk Warmii i Mazur* w 2014 r. zdecydowano

[3] von Winckler 1866: 691.

[4] Crome 1940: 84.

[5] Notatka Izabeli Sikorskiej z 1974 r.; archiwum Wojewódzkiego Urzędu Ochrony Zabytków w Olsztynie.

[6] Kowalczyk 1998: 192–194.

[7] Hoffmann i Mackiewicz 2004: 20.

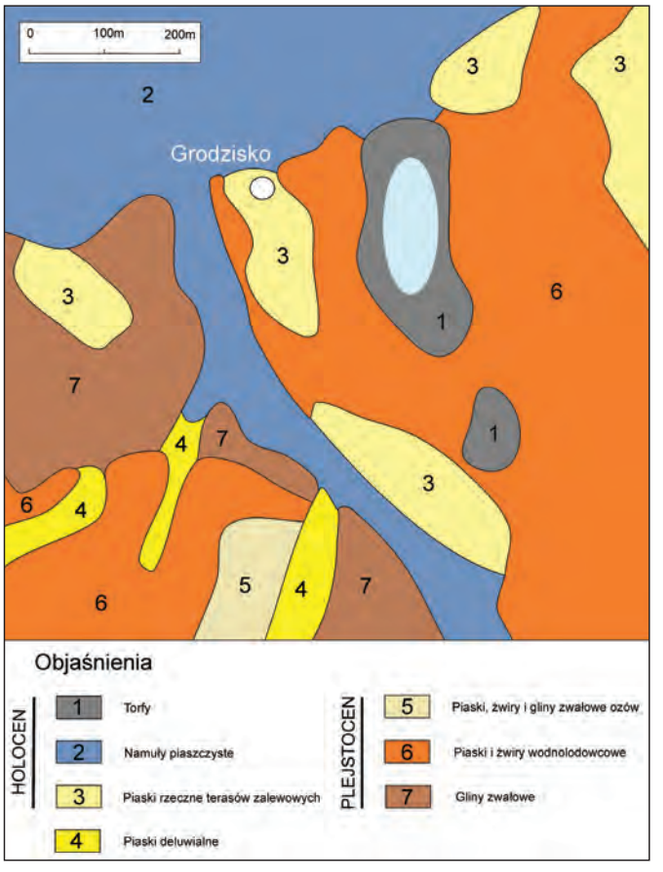

Ryc. 10. Mapa geologiczna okolic grodziska w Pawełkach, st. 5 (oprac. J. Nitychoruk i F. Welc)

się na zastosowanie wykopów liniowych o szerokości 2 metrów (ryc. 13). Większą szerokość – 3 m – miał wykop 1 w części zachodniej, obejmującej wał grodziska. Mniejszą szerokość – 1 m – miał wykop 5, gdzie było to podyktowane silnie rozwiniętym systemem korzeniowym pobliskich drzew.

Wykopy 1, 2, 3 i 5 przecinały grodzisko po osi wschód–zachód. Ze względu na licznie występujące drzewa nie można było ich wytyczyć na jednej osi. Patrząc od zachodu wykop 2 przecinał częściowo zewnętrzny wał i przechodził przez oś fosy, wykop 1 przecinał oś wału wału i wchodził na majdan (ryc. 14), wykop 3 przecinał majdan, a wykop 5 przecinał majdan i wchodził na skarpę majdanu od strony wschodniej. Wykop 4 wytyczono na wale majdanu, w jego najwyższym punkcie. Powierzchnia poszczególnych wykopów to: W1 – 35 m^2, W2 – 13 m^2, W3 – 10 m^2, W4 – 8 m^2, W5 – 8 m^2. Łączna przebadana powierzchnia to 74 m^2.

Stratygrafia stanowiska

W trakcie obecnych badań archeologicznych wydzielono łącznie 66 jednostek stratygraficznych, które podzielono na 5 głównych faz związanych z użytkowaniem tego obszaru (tab. 1 i ryc. 15).

Warstwy naturalne

W trakcie badań, jako warstwy naturalne zidentyfikowano jednostki 28, 29 (W1), 58 (W2), 38 (W3) i 62 (W5). W wykopach na szczycie majdanu W1, W3 i W5

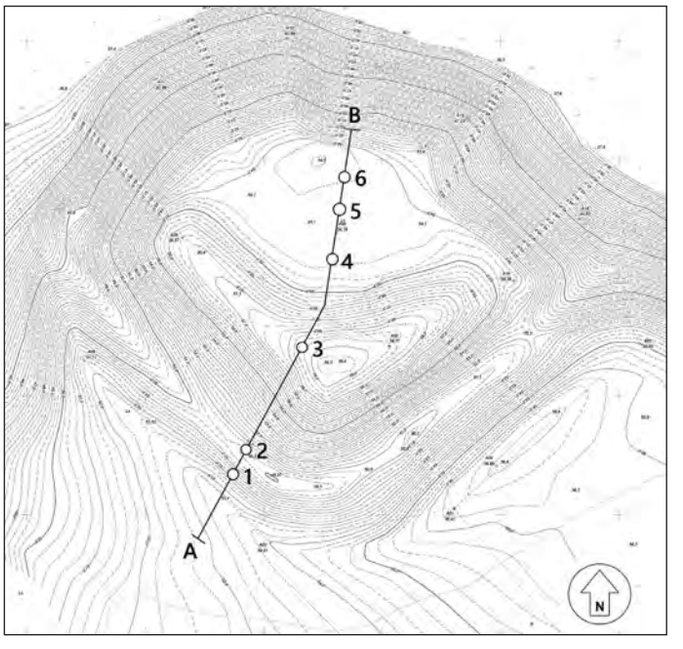

Ryc. 11. Plan warstwicowy grodziska w Pawełkach, st. 5 (wyk. J. Błaszczyk) z zaznaczonymi miejscami odwiertów geologicznych i linią profilu (oprac. J. Nitychoruk i F. Welc)

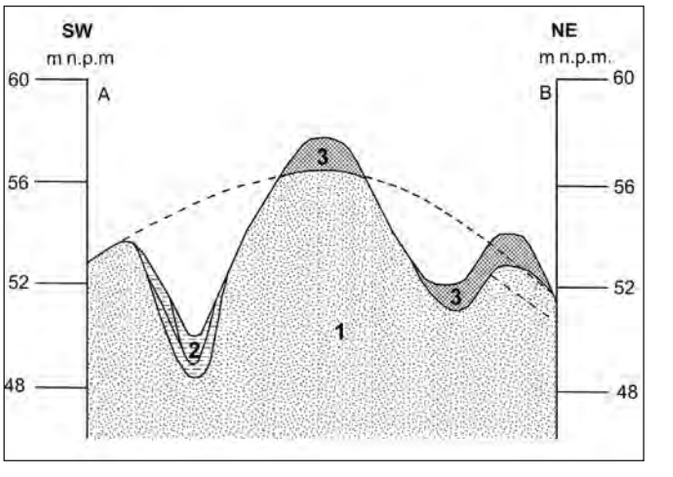

Ryc. 12. Profil geologiczny grodziska w Pawełkach, st. 5: 1 – piaski różnoziarniste; 2 – wieloetapowe wypełnisko fosy; 3 – warstwa antropogeniczna (niwelacyjno-konstrukcyjna) (oprac. J. Nitychoruk i F. Welc)

są to mocno zwarte drobnoziarniste i średnioziarniste piaski z łączącą je frakcją ilastą. Poniżej nich zaczynają pojawiać się horyzontalne laminacje glin poprzedzielane drobnoziarnistym i ilastym piaskiem. Taki układ zaobserwowano w W3 na szczycie majdanu, gdzie młodsze, naturalne piaski zostały usunięte lub wyerodowały oraz w W2, gdzie w warstwie tych glin wyprofilowano koryto fosy.

Faza I

Faza ta związana jest z najstarszym osadnictwem na tym obszarze, poprzedzającym jeszcze budowę wałów. Horyzont ten wyznacza drobnoziarnisty piasek z drobnym żwirem, grudkami polepy i spalenizny 13 (W1), piasek z drobnym żwirem, grudkami polepy i spalenizny 36 (W3) i zwarty, drobno- i średnioziarnisty piasek z pojedynczymi grudkami spalenizny 63 (W5). Warstwy te tworzą wyraźny sedyment miąższości od około 5–10 cm do nawet 25 cm występujący na całej powierzchni majdanu. Miąższość jest mniejsza w jego centrum, gdzie znajduje się także najwyższy punkt osiągający około 53,97 m n.p.m. Ku krawędziom majdanu strop tych warstw opada, do około 53,24 m n.p.m. w części wschodniej i około 53,67 m n.p.m. w części zachodniej. Przy krawędziach rośnie zarazem ich miąższość, zwłaszcza w części wschodniej.

Faza II

Kolejna faza związana jest z budową grodu. Forma tego założenia obronnego jest prosta i bazująca na lokalnych surowcach. Oba wały – majdanu i zewnętrzny – mają konstrukcję ziemną. W przypadku wału majdanu jego rdzeń tworzy twarda glina z soczewkami sypkiego piasku 27 (W1) oraz glina przemieszana z piaskiem tworząca cętkowato-smużystą mozaikę 26 (W1). Strop tych warstw przykrywa ilasty piasek z bardzo dużą domieszką próchna 20 (W1), stanowiącego pozostałość po gałęziach graba pospolitego, wymieszanych z gliną, które miały za zadanie zabezpieczyć rdzeń wału przed ewentualnym rozmywaniem się. Dopiero ponad nimi znajduje się zewnętrzny płaszcz wału usypany z drobnoziarnistego, ilastego piasku z niewielkimi grudkami gliny 22 (W1) i drobnoziarnistego, pylastego piasku z nieliczną frakcją piasku gruboziarnistego 9 (W1) = 32 (W4) oraz wzmocniony na powierzchni ziemistym piaskiem 16 (W1) = 31 (W4) z liczną domieszką kamieni średnicy około 10 cm. Dopiero strop warstwy 16 (W1) = 31 (W4) oddaje przybliżony, pierwotny kształt wału grodziska. W wykopie 1, przecinającym do połowy wał od strony majdanu, wysokość wału względem ówczesnego poziomu majdanu wynosi około 3 m, a kąt nachylenia stoku wału wynosi około 20° (ryc. 17–18).

Z konstrukcją wału majdanu związane są także trzy struktury:

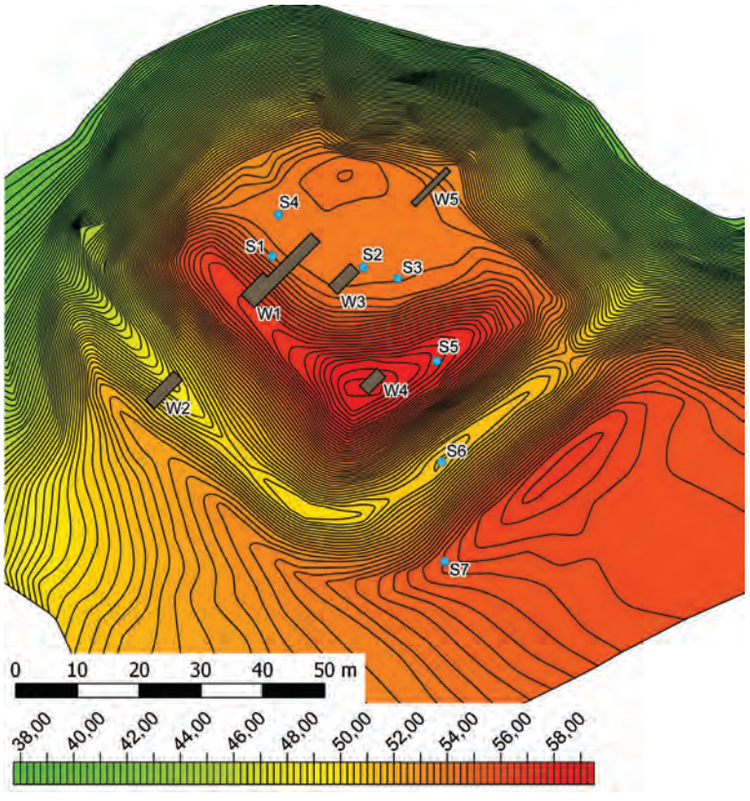

Ryc. 13. Plan warstwicowy grodziska w Pawełkach, st. 5 z zaznaczonymi wykopami badawczymi z sezonu 2014 (W i cyfra) i sondażami z 1974 roku (S i cyfra) (na podstawie pomiarów J. Błaszczyka, oprac. R. Solecki)

1. Kamienie 25 (W1) o średnicy około 30–40 cm, zadokumentowane na powierzchni majdanu, przy samej podstawie nasypu wału, w obrębie pasa piaszczystej ziemi 51 (W1) z pojedynczymi kamieniami o średnicy około 5–10 cm (ryc. 16). Zapewne pierwotnie zespół ten wyznaczał granicę sypania warstw niwelacyjnych tworzących wał, bowiem żadna z warstw nasypu nie przekracza tej linii.

2. Bruk kamienny 6 (W1) z dopasowanych do siebie kamieni o średnicy około 10–15 cm, zadokumentowany na szczycie wału i stoku od strony majdanu (ryc. 16). Miał on być może za zadanie zabezpieczyć jego powierzchnię przed rozmywaniem. Kamienie bruku wystąpiły także w obrębie warstwy 16 (W1), zalegającej poniżej, co świadczy o tym, że glina będąca głównym budulcem wału, po nasiąknięciu stawała się plastyczna i uniemożliwiałaby jego bezpieczne i sprawne użytkowanie. W trakcie badań zarejestrowano około 360 kamieni związanych z tym brukiem, które występowały na obszarze około 20 m^2.

3. W wykopie 1, na szczycie wału zadokumentowano owalny w planie, U-kształtny w przekroju dół posłupowy 5 (W1) o średnicy 30–35 cm i głębokości około 20 m. Jego wypełniskiem jest spiaszczona ziemia z domieszką próchna 4 (W1) (ryc. 16). We-

Ryc. 14. Pawełki, st. 5. Położenie wykopu 1 obejmującego wewnętrzny stok wału i majdan grodziska (fot. R. Solecki)

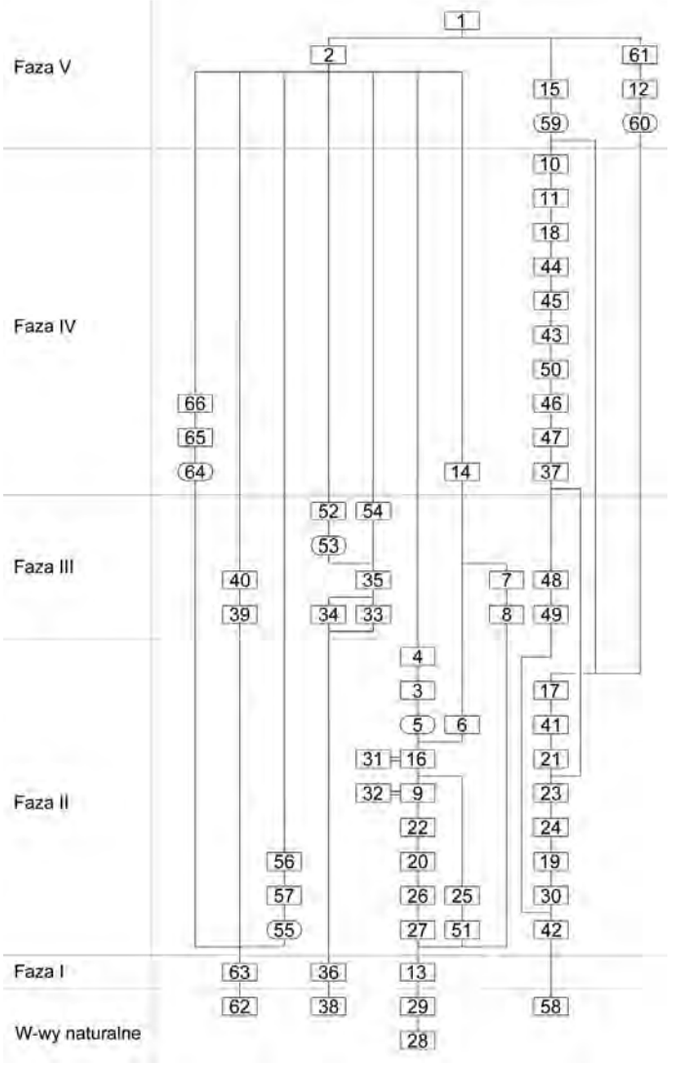

Ryc. 15. Diagram relacji dla jednostek stratygraficznych wydzielonych podczas badań grodziska w Pawełkach, st. 5 (oprac. R. Solecki)

wnątrz dołu zarejestrowano owalny kształt średnicy 20–25 cm z drobnoziarnistego, próchniczego piasku 3 (W1), który jest zapewne reliktem po słupie. Obiekt ten manifestował się już na poziomie warstwy 2 (W1), lecz był ewidentnie wkopany w szczyt wału. Pierwotnie dół mógł być głębszy, za czym przemawia warstwa erozyjna 14 (W1) u podstawy wału, świadcząca o rozmyciu i spłynięciu jego części. Dół posłupowy 55 (W5), o takim samym kształcie i wymiarach, zarejestrowano także w wykopie 5, przy samej krawędzi wschodniej majdanu, tuż przy skarpie doliny Pasłęki. Jego wypełniskiem był drobnoziarnisty piasek z domieszką organiczną 56 (W5), a wewnątrz znajdował się drobnoziarnisty piasek z dużymi ilościami próchna 57 (W5), będący reliktem po słupie (ryc. 22). Nie można więc wykluczyć, że słupy te związane były z palisadą, którą otoczono majdan.

Wał zewnętrzny był budowany równocześnie z fosą lub tuż po niej. Świadczy o tym relacja stratygraficzna stwierdzona w wykopie 2 (ryc. 19). Prawdopodobnie po usypaniu wału majdanu z wykorzystaniem materiału pobieranego z przyszłej fosy, bezpośrednio ponad stropem calca wyprofilowano jej krawędź. Jej najniższy poziom osiąga około 47,7 m n.p.m. Do wyłożenia dna fosy wykorzystano glinę 42 (W2) z pojedynczymi kamieniami o średnicy do 6 cm. Częściowo ponad stropem tej warstwy znajdują się niwelacje z naprzemianległych laminacji łupiącej się gliny i ziemistego piasku 30 (W2) i z drobnoziarnistego piasku z frakcją ilastą 19 (W2), które tworzą podstawę przyszłego wału zewnętrznego. Właściwymi niwelacjami budującymi rdzeń wału zewnętrznego są kolejno: glina z soczewkami zbitego piasku 24 (W2), drobnoziarnisty, luźny piasek 23 (W2), próchnicza glina ze żwirem 21 (W2) oraz zbita, krusząca się glina poprzerastana korzeniami 41 (W2). Prawdopodobnie zewnętrzny płaszcz wału zewnętrznego tworzyła próchniczna glina 17 (W2) z pojedynczymi kamieniami o średnicy około 10 cm. Ma ona formę zbliżoną do warstwy 16 (W1) ze znajdującymi się ponad nią kamieniami 6 (W1).

W ten sposób wyprofilowane wały i fosa miały dużo wyraźniejsze różnice wysokości niż obecnie i wynosiły one pomiędzy koroną wału zewnętrznego a dnem fosy 4,7 m, a pomiędzy najwyższym punktem wału majdanu a dnem fosy 11,7 m.

Faza III

Z okresem funkcjonowania grodziska należy łączyć kamienne bruki występujące na obszarze majdanu. W trakcie badań uchwycono fragmenty czterech tego typu struktur. Te odsłonięte nieco szerzej miały w planie kształt owalnej pryzmy, nieco wypukłej w centrum, o średnicy do 3,5 m i wysokości do około 0,4 m. Zbudowane były z kamieni granitowych, rzadziej piaskowcowych lub kredowych o średnicy od 5 do 30 cm. Wokół części bruków możliwe było wydzielenie warstw o nieco odmiennych cechach od

Pawełki, st. 5
gm. Miłakowo
1 m

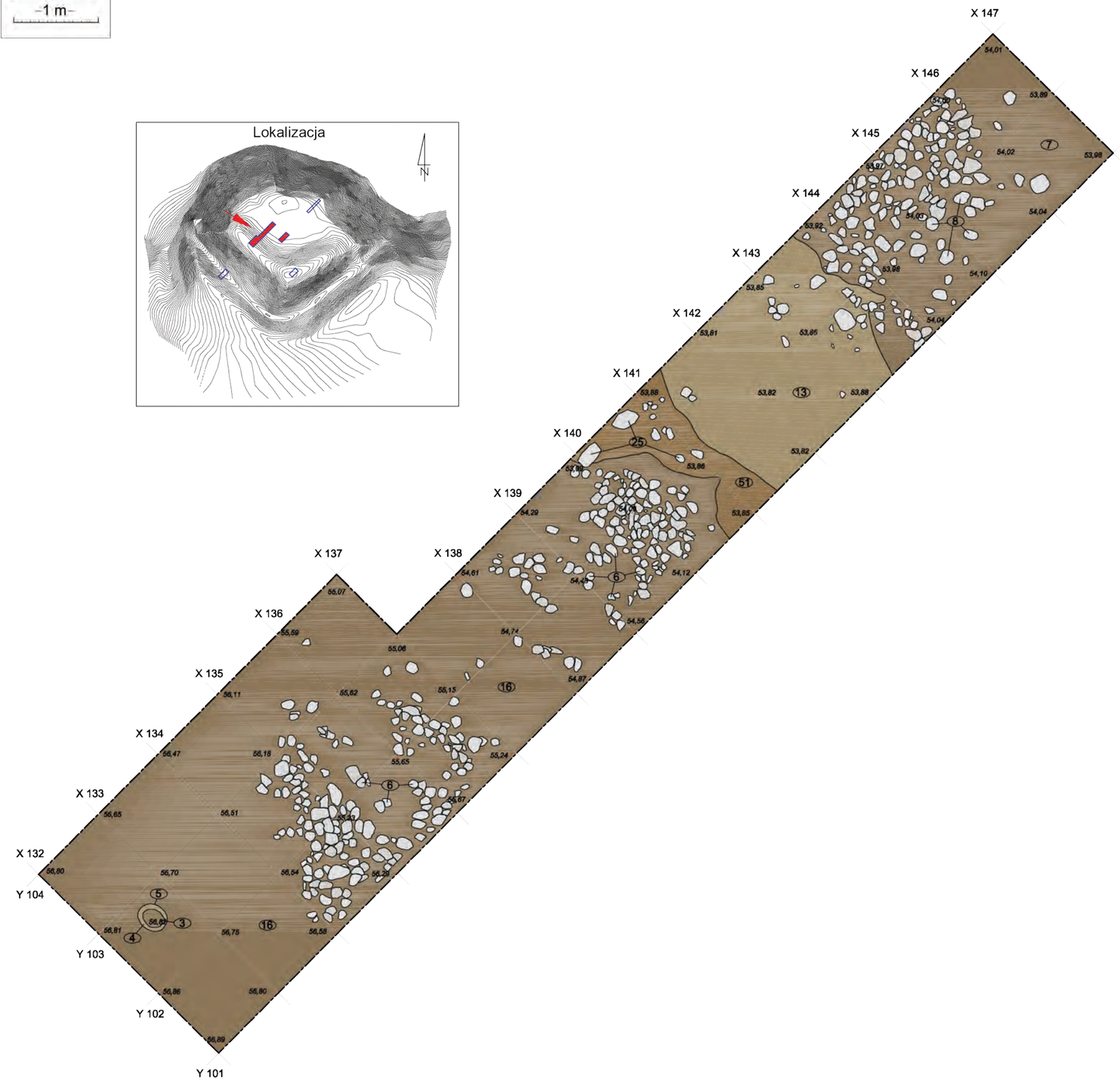

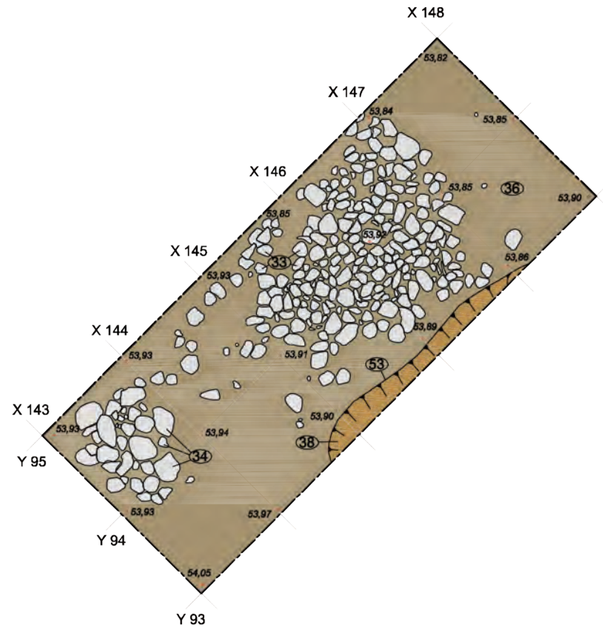

Ryc. 16. Pawełki, st. 5. Plan wykopu 1 i 3 na poziomie obiektów wiązanych z Fazą II i III (oprac. R. Solecki)

Pawełki, st. 5
gm. Miłakowo
–1 m–

Faza III
Faza II
Faza III
Faza II
Faza I
Warstwy naturalne

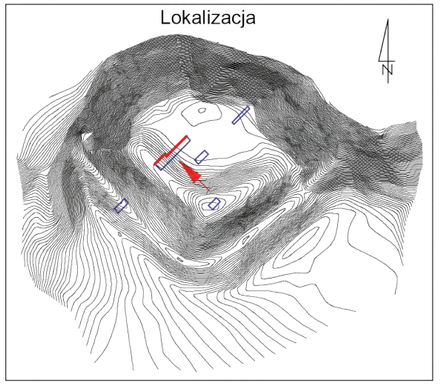

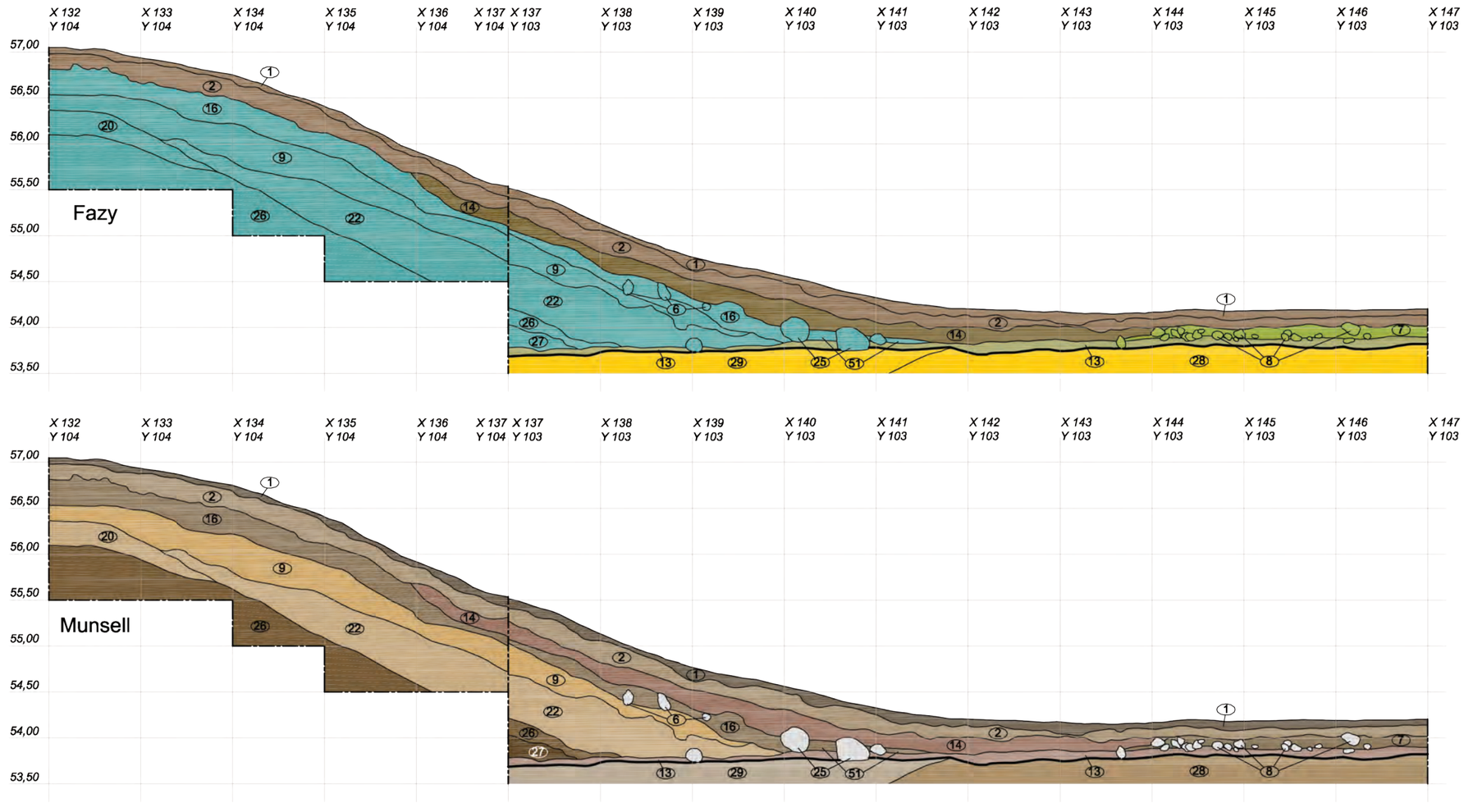

Ryc. 17. Pawełki, st. 5. Przekrój przez nawarstwienia grodziska widoczne w północnej ścianie wykopu 1 (oprac. R. Solecki)

Pawełki, st. 5
gm. Miłakowo
–1 m–

Faza III
Faza II
Faza III
Faza II
Faza I
Warstwy naturalne

Lokalizacja

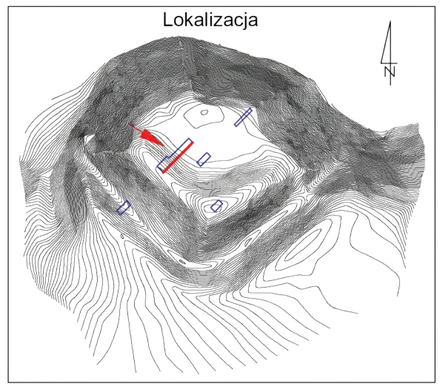

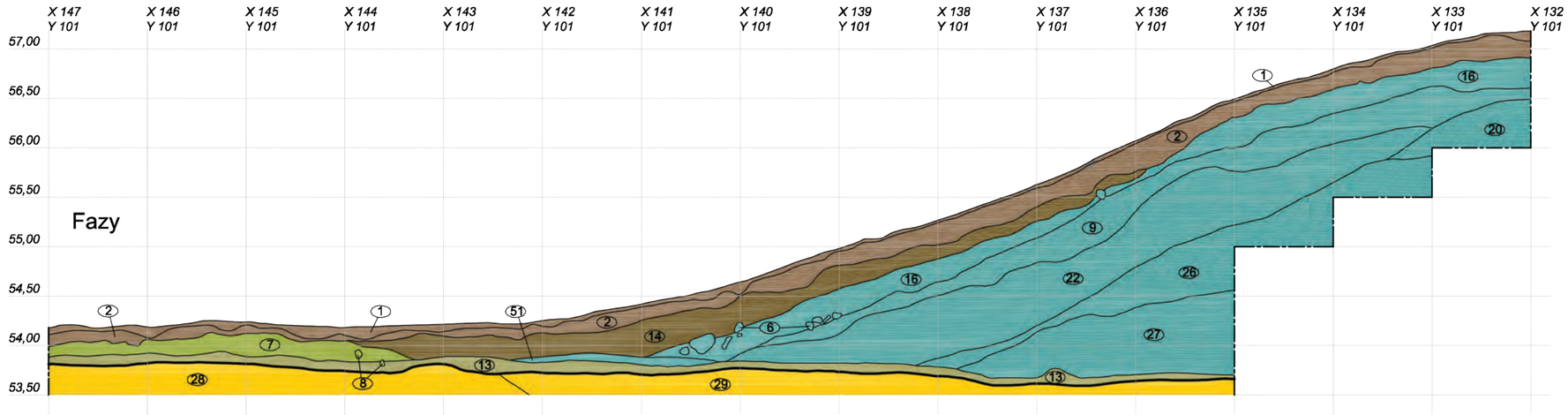

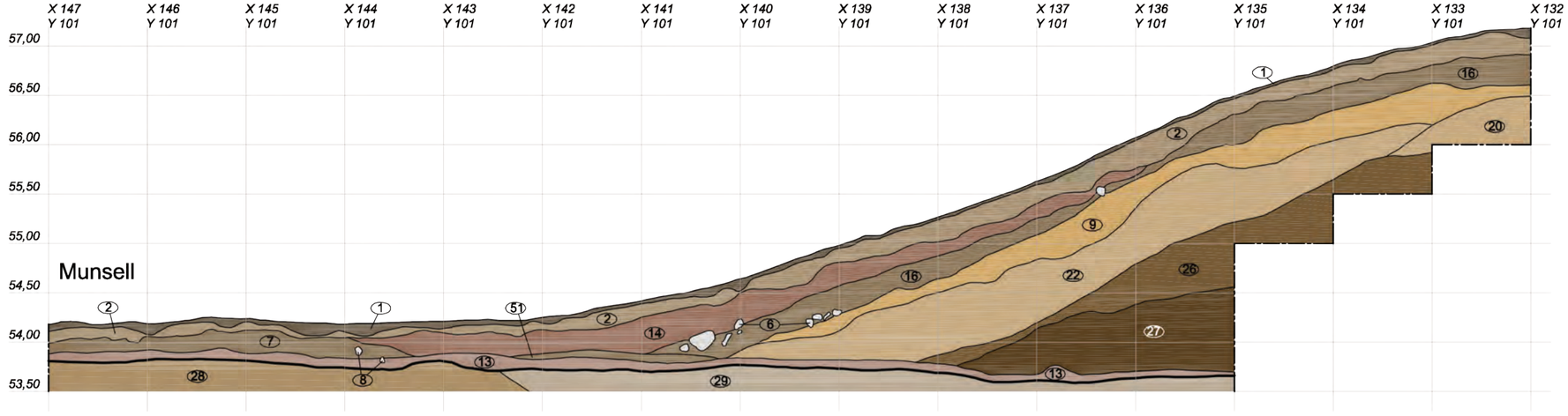

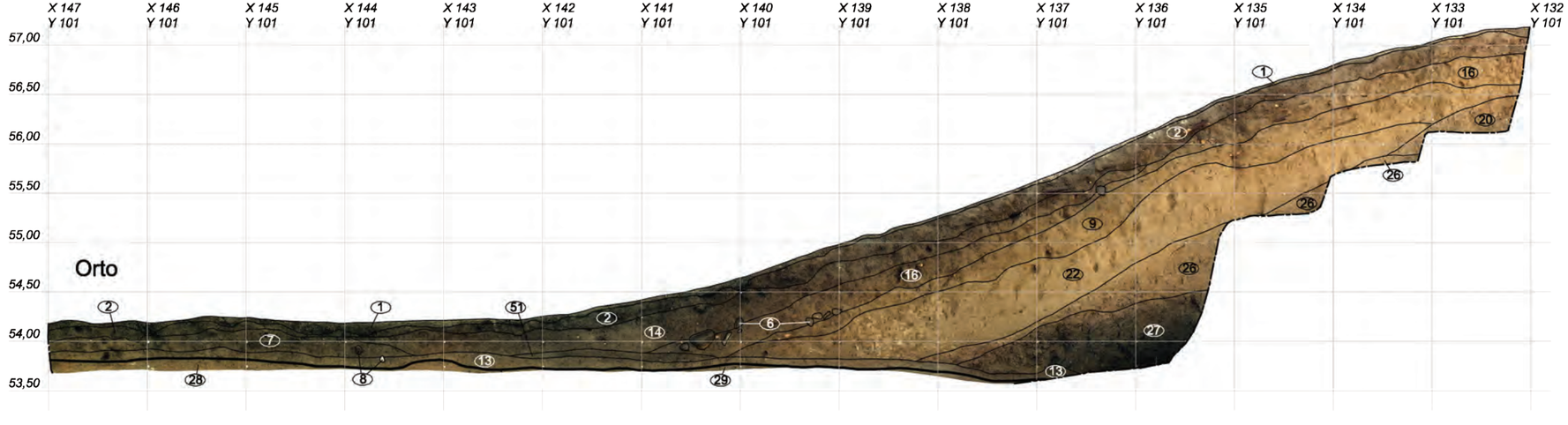

Ryc. 18. Pawełki, st. 5. Przekrój przez nawarstwienia grodziska widoczne w południowej ścianie wykopu 1 (oprac. R. Solecki)

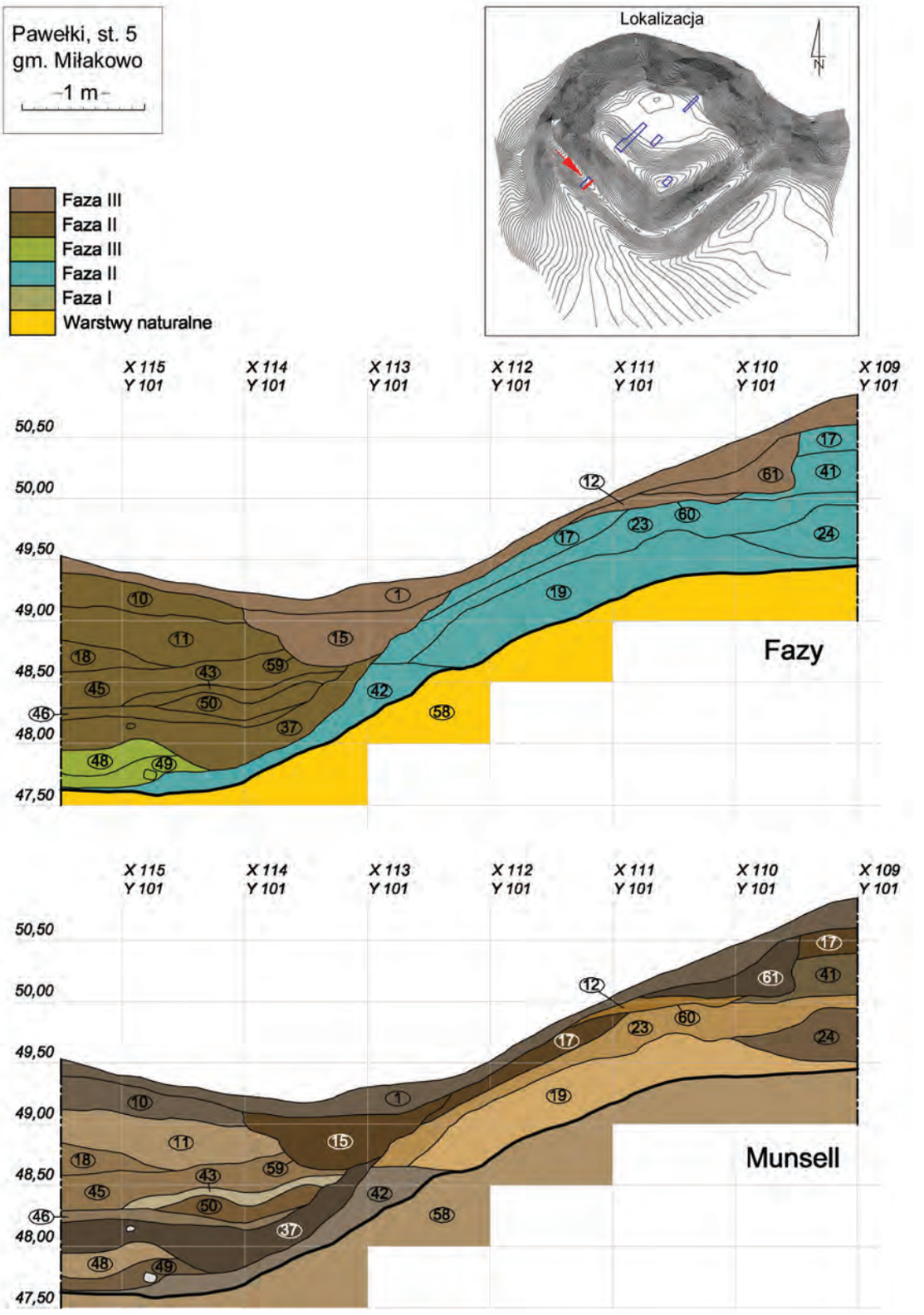

Ryc. 19. Pawełki, st. 5. Przekrój przez nawarstwienia grodziska widoczne w południowej ścianie wykopu 2 (oprac. R. Solecki)

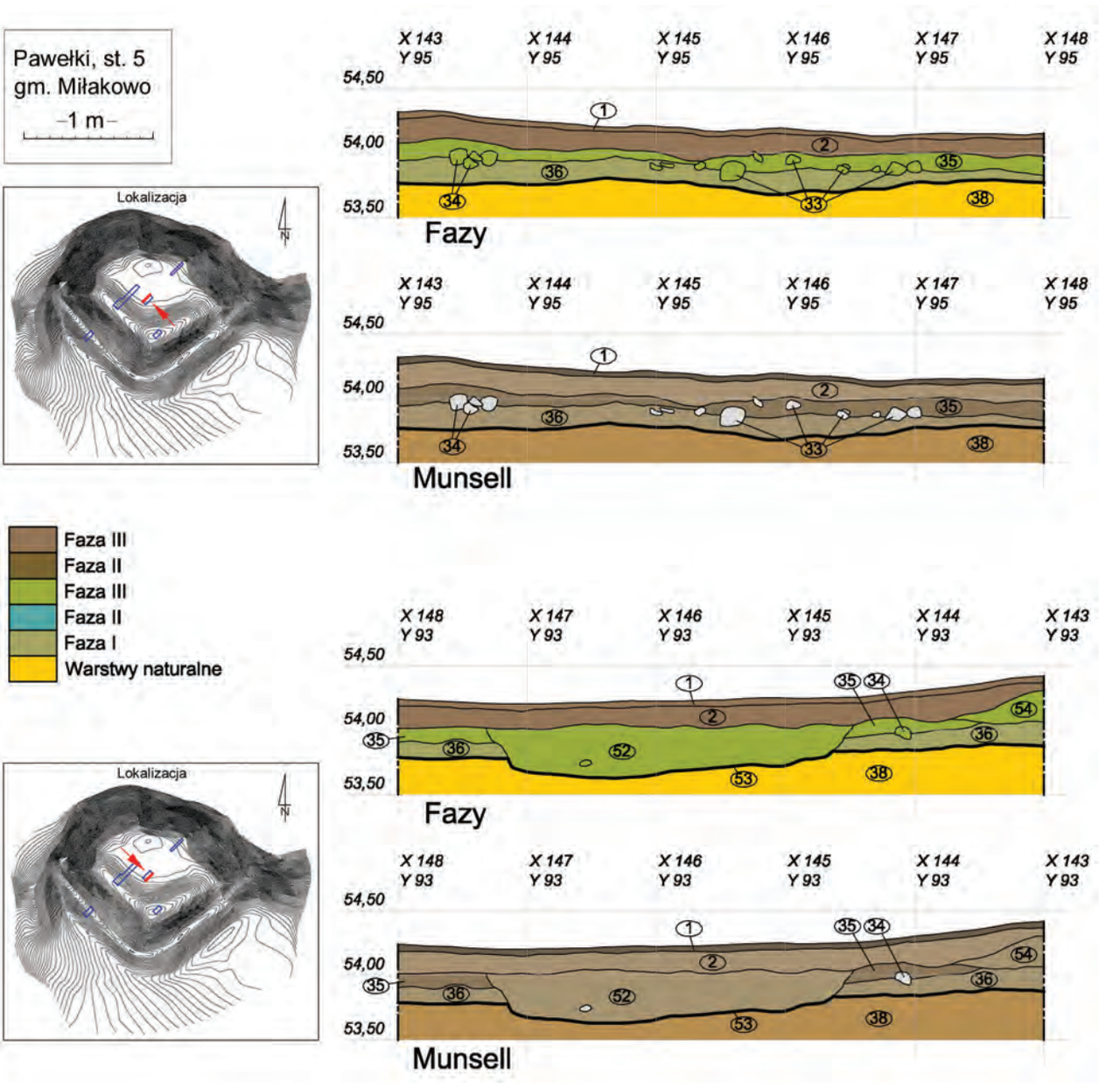

Ryc. 20. Pawełki, st. 5. Przekrój przez nawarstwienia grodziska widoczne w północnej i południowej ścianie wykopu 3 (oprac. R. Solecki)

warstw sąsiadujących, co może świadczyć, że mogły być one obiektem jakichś intencjonalnych działań.

A. Bruk 8 (W1); zadokumentowano około 210 kamieni na powierzchni 7 m^2; wokół bruku drobnoziarnisty piasek z silną frakcją pylastą 7 (W1) (ryc. 16),

B. Bruk 33 (W3); zadokumentowano około 320 kamieni na powierzchni 5,5 m^2; wokół bruku drobnoziarnisty piasek z frakcją pylastą i niewielką domieszką gruboziarnistego piasku 35 (W3) (ryc. 16),

C. Bruk 34 (W3); zadokumentowano około 55 kamieni na powierzchni 1,8 m^2; wokół bruku drobnoziarnisty piasek z frakcją pylastą i niewielką domieszką gruboziarnistego piasku 35 (W3) (ryc. 16),

D. Bruk 39 (W5); zadokumentowano około 140 kamieni na powierzchni 3 m^2; wokół bruku drobnoziarnisty piasek z pojedynczymi smugami gruboziarnistego piasku 40 (W5) (ryc. 22).

Zbliżony rozmiar bruków i fakt znajdywania w ich obrębie pojedynczych fragmentów ceramiki i kości

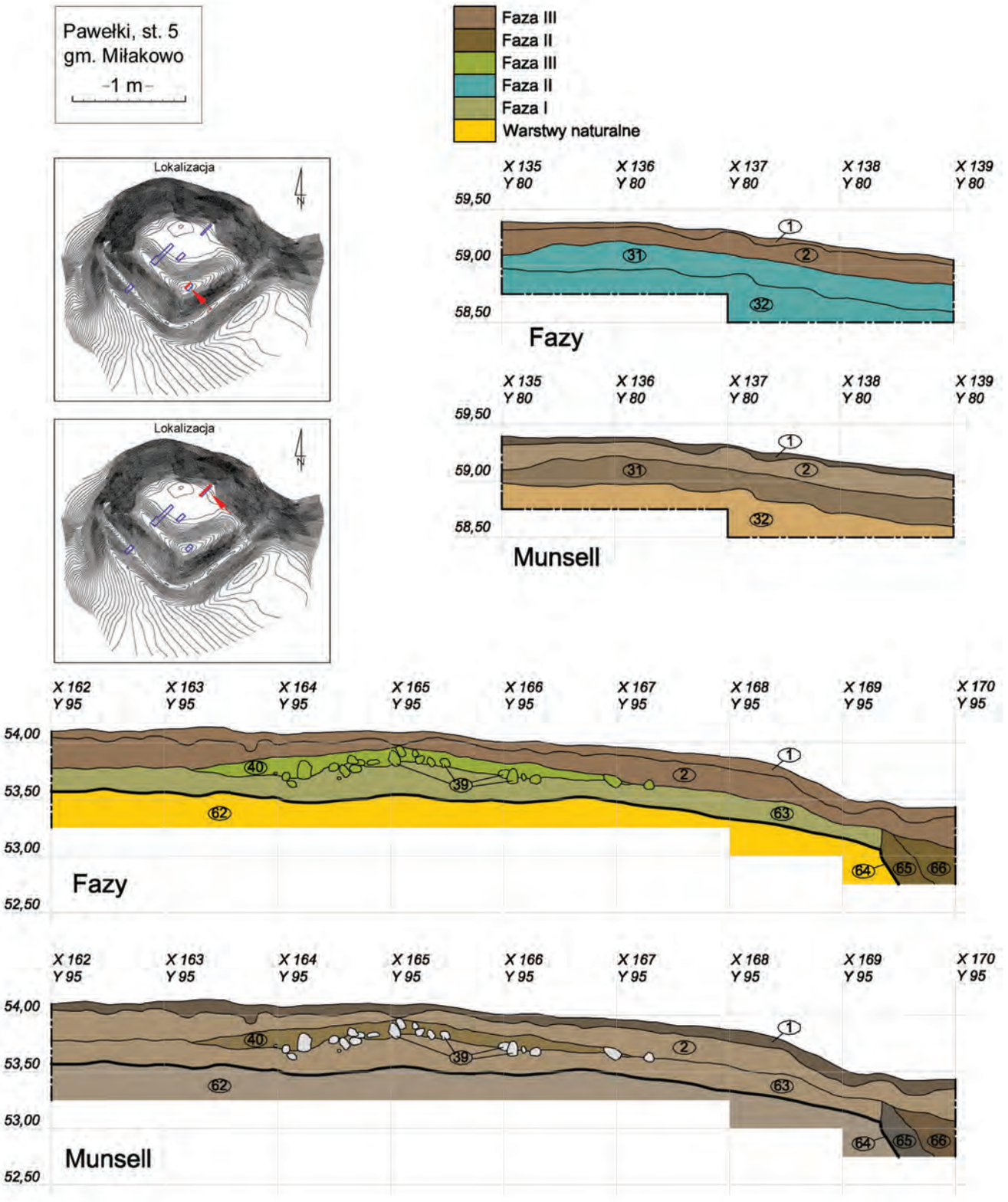

Ryc. 21. Pawełki, st. 5. Przekrój przez nawarstwienia grodziska widoczne w północnych ścianach wykopów 4 i 5 (oprac. R. Solecki)

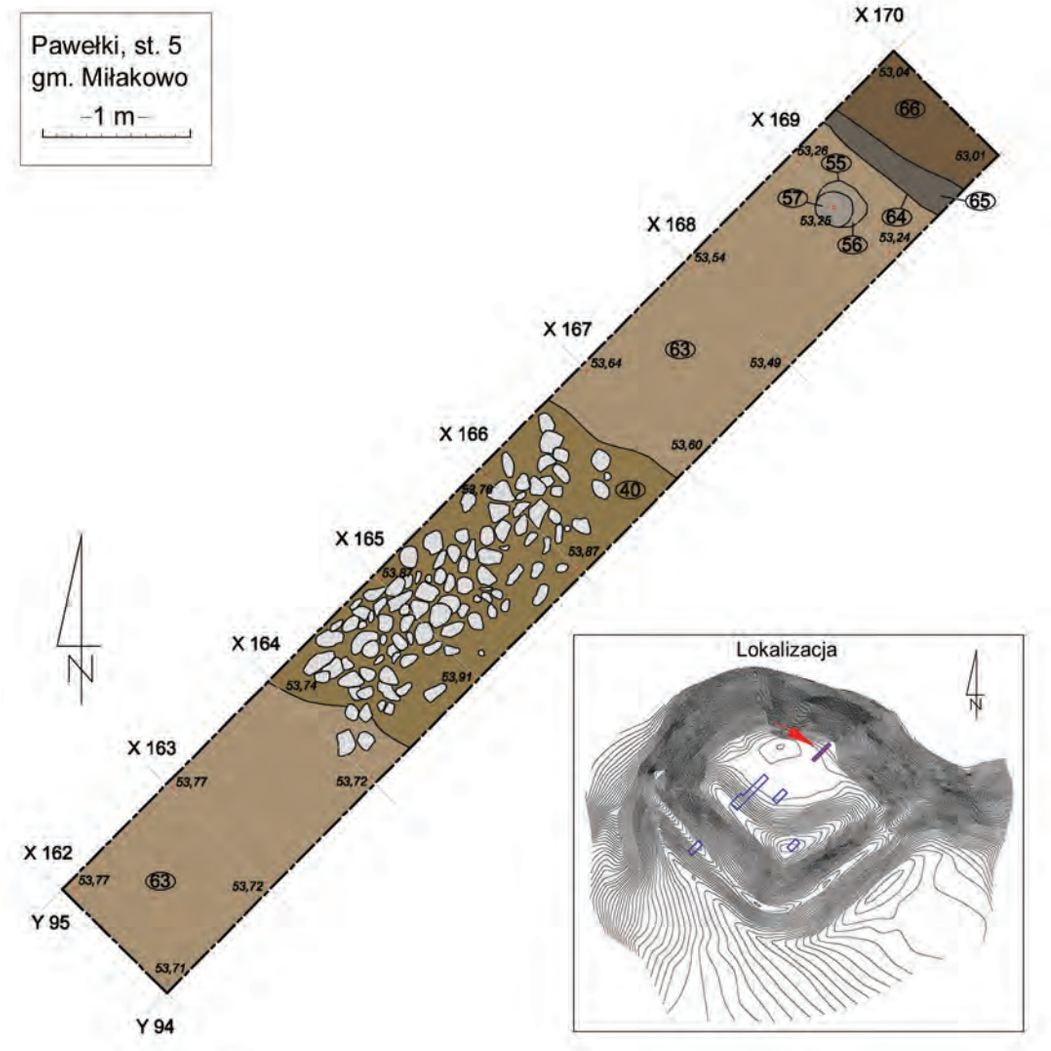

Ryc. 22. Pawełki, st. 5. Plan wykopu 5 na poziomie obiektów związanych z Fazą II i III (oprac. R. Solecki)

zwierzęcych, może sugerować że są to relikty tymczasowych domostw. Nie natrafiono jednak w obrębie żadnego z tych obiektów na pozostałości paleniska, ani na ewidentnie przepalone kamienie. O tym, że paleniska istniały, może jednak świadczyć występowanie drobnych węgielków w warstwach związanych z tym horyzontem osadniczym.

Jedyny obiekt, który można łączyć z brukami, to regularny, nieckowaty wkop 53 (W3), szerokości około 2,8 m i głębokości około 0,4 m znajdujący się bezpośrednio na południe od bruku 33 (W3) i pokrywający się z nim szerokością (ryc. 20). Wkop wcięty został ze stropu warstwy 35 (W3); miał ściany opadające pod kątem około 55° i lekko wklęsłe dno. Wypełniskiem jego była lekko przemieszana, piaszczysta ziemia z pojedynczymi kamykami 52 (W3). Urobek z wykopania obiektu 53 (W3) w postaci drobno- i średnioziarnistego, ziemistego piasku 54 (W3) znajduje się na zachód od niego i tworzy niewielką hałdę u podstawy wału majdanu. Wewnątrz obiektu nie natrafiono na materiał zabytkowy, który mógłby sugerować jego funkcję.

Z okresem funkcjonowania grodziska wiążą się także nawarstwienia w obrębie fosy. Najstarsze z nich musiały powstać tuż po zakończeniu budowy, gdyż znajdują się bezpośrednio ponad wylepieniem dna fosy 42 (W2). Są to: zwarta glina ze żwirem 49 (W2) oraz zwarta glina, żwir i pojedyncze kamienie 48 (W2).

Faza IV

Fazę tę należy łączyć z powolnym niszczeniem grodziska wskutek czynników erozyjnych w okresie po jego

Tabela 1. Pawełki, st. 5. Badania w roku 2014. Katalog warstw i obiektów oraz ich zależności stratygraficznych (oprac. R. Solecki)

Numer jednostki	Numer obiektu	Numer wykopu	Położenie w obrębie stanowiska	Współrzędne siatki pomiarowej stanowiska	Opis jednostki stratygraficznej	Barwa (Munsell)	Pozycja stratygraficzna	
							Znajduje się pod	Znajduje się nad
1	-	1, 2, 3, 4, 5	Całe stanowisko	Całe stanowisko	Próchnicza ziemia poprzerastana korzeniami; miąższość do 15 cm; darń; w jej obrębie pojedyncze fragmenty ceramiki i kości zwierzęce oraz dwa przedmioty żelazne	10YR 4/2	-	2, 15, 61
2	-	1, 3, 4, 5	Wały i majdan grodziska	X=132–147; Y=101–104	Drobnoziarnisty, ziemisty piasek; miąższość do 20 cm; współczesny humus leśny; w jego obrębie pojedyncze fragmenty ceramiki i kości zwierzęce	10YR 6/3	1	4, 14, 40, 54, 56, 66
3	5	1	Korona wału grodziska	X=132,20–132,80; Y=102,40–103	Drobnoziarnisty, próchniczy piasek tworzący owalny kształt o średn. 20–23 cm; prawdopodobnie relikt słupa w dołku posłupowym 5	2,5Y 5/3	4	5
4	5	1	Korona wału grodziska	X=132,20–132,80; Y=102,40–103	Spiaszczona ziemia z domieszką próchna; wypełnisko dołu posłupowego 5	2,5Y 6/3	2	3
5	5	1	Korona wału grodziska	X=132,20–132,80; Y=102,40–103	Dołek posłupowy; owalny w planie, U-kształtny w przekroju; średn. 30–35 cm, gł. ok. 20 cm		3	16
6	-	1	Korona wału grodziska i jego stok od strony majdanu	X=132–140,40; Y=101–104	Kamienie o średn. 10–15 cm; bruk kamienny pokrywający koronę wału grodziska i jego stok od strony majdanu; pomiędzy kamieniami gruda polepy i pojedyncze kości zwierzęce		2, 14	16
7	-	1	Majdan grodziska	X=143,20–147; Y=101–103	Drobnoziarnisty piasek z silną frakcją pylastą; miąższość do 30 cm; występuje w obrębie bruku 8; w jego obrębie pojedyncze fragmenty ceramiki i kość zwierzęca	10YR 5/3	14	8
8	-	1	Majdan grodziska	X=143,20–147; Y=101–103	Ok. 210 kamieni o średn. 5–10 cm; bruk kamienny na majdanie grodziska		7	13
9=32	-	1, 4	Korona wału grodziska i jego stok od strony majdanu	X=132–139; Y=78–104	Drobnoziarnisty, pylasty piasek z nieliczną frakcją piasku gruboziarnistego, w części stropowej ziemiste przemycia; miąższość do 40 cm; nasyp wału grodziska	10YR 7/6 80%; 10YR 5/3 20%	16	22
10	-	2	Fosa	X=113,20–115,50; Y=101–103	Gliniasta ziemia z nielicznym żwirem; miąższość do 30 cm; spływ erozyjny w obrębie fosy	10YR 4/2	59	11
11	-	2	Fosa	X=113,10–115,50; Y=101–103	Piaszczysto-gliniasta ziemia z domieszką organiczną; miąższość do 40 cm; spływ erozyjny w obrębie fosy	10YR 6/4	10	18
12	60	2	Stok wału zewnętrznego od strony fosy	X–109–112; Y=101–103	Gliniasta ziemia z nielicznymi kamykami o średn. do 3 cm; wypełnisko obiektu 60	10YR 5/8	61	60
13	-	1	Majdan grodziska oraz obszar pod wałem grodziska	X=132–147; Y=101–104	Drobnoziarnisty piasek z drobnym żwirem, grudkami polepy i spalenizny; miąższość do 20 cm; poziom użytkowy poprzedzający budowę wałów grodziska	2,5YR 6/3	8, 27, 51	29
14	-	1	Stok wału grodziska od strony majdanu i częściowo obszar majdanu u podstawy wału	X=136,50–142,70; Y=101–103	Ziemisty piasek z drobnym żwirem i kamykami oraz śladami spalenizny; miąższość do 30 cm; prawdopodbnie spływ erozyjny poziomu użytkowego z wału grodziska; w jego obrębie pojedyncze fragmenty ceramiki, kości zwierzęce oraz krzemień i fragment przedmiotu żelaznego	2,5YR 5/4	2	6, 7
15	59	2	Fosa	X=112,80–114,50; Y=101–103	Zwarta, twarda glina z kamykami o średn. do 4 cm; wypełnisko obiektu 59	10YR 3/4	1	59
16=31	-	1, 4	Korona wału grodziska i jego stok od strony majdanu	X=132–139; Y=78–102,30	Ziemisty piasek z liczną domieszką kamieni o średn. ok. 10 cm; miąższość do 30 cm; zewnętrzny płaszcz wału grodziska	10YR 5/3	5, 6	9, 25
17	-	2	Stok wału zewnętrznego od strony fosy i fosa	X=109–111,30; Y=101–103	Próchniczna glina z pojedynczymi kamieniami o średn. ok. 10 cm; miąższość do 20 cm; zewnętrzny płaszcz wału zewnętrznego	10YR 3/4	59, 60	41
18	-	2	Fosa	X=109–115,50; Y=101–103	Zwarta glina; miąższość do 45 cm; spływ erozyjny w obrębie fosy	10YR 5/4	11	44
19	-	2	Stok wału zewnętrznego od strony fosy i fosa	X=109–111; Y=101–103	Drobnoziarnisty piasek z frakcją ilastą; miąższość do 40 cm; podstawa wału zewnętrznego	10YR 7/6	24	30
20	-	1	Korona wału grodziska	X=132–136,20; Y=101–104	Ilasty piasek z bardzo dużą domieszką próchna z białym nalotem; miąższość do 40 cm; zabezpieczenie trzonu wału grodziska	10YR 7/4 70%; 10YR 4/3 30%	22	26
21	-	2	Stok wału zewnętrznego od strony fosy	X=109–110,80; Y=101–103	Próchnicza glina ze żwirem o średn. 2 cm; miąższość do 25 cm; nasyp wału zewnętrznego	10YR 4/3	41	23

Tabela 1. Ciąg dalszy

Numer jednostki	Numer obiektu	Numer wykopu	Położenie w obrębie stanowiska	Współrzędne siatki pomiarowej stanowiska	Opis jednostki stratygraficznej	Barwa (Munsell)	Pozycja stratygraficzna	
							Znajduje się pod	Znajduje się nad
22	-	1	Wał grodziska	X=132,80–139,20; Y=101–104	Drobnoziarnisty, ilasty piasek z niewielkimi grudkami gliny; miąższość do 70 cm; nasyp wału grodziska	10YR 7/4	9	20
23	-	2	Stok wału zewnętrznego od strony fosy i fosa	X=109–110; Y=101–103	Drobnoziarnisty, luźny piasek; miąższość do 25 cm; nasyp wału zewnętrznego	10YR 6/6	21, 37	24
24	-	2	Stok wału zewnętrznego od strony fosy	X=109–109,80; Y=101,60–103	Glina z soczewkami zbitego piasku; miąższość do 40 cm; nasyp wału zewnętrznego	10YR 4/3	23	19
25	-	1	Podstawa wału grodziska po stronie majdanu	X=139–140,10; Y=101–103	Duże kamienie o średn. 20–35 cm ułożone na majdanie, wzdłuż podstawy wału grodziska; prawdopodobnie wyznaczenie zasięgu sypania wału		16	51
26	-	1	Wał grodziska	X=132–139; Y=101–104	Glina przemieszana z piaskiem tworząca cętkowato-smużystą mozaikę; miąższość do 120 cm; trzon wału grodziska	10YR 4/4 60%; 10YR 7/4 40%	20	27
27	-	1	Wał grodziska	X=132–139; Y=101–104	Twarda glina z soczewkami sypkiego piasku; miąższość do 150 cm; trzon wału grodziska	10YR 3/4	26	13
28	-	1	Majdan grodziska oraz obszar pod wałem grodziska		Zwarty ilasty piasek z domieszką drobnoziarnistego piasku; calec	10YR 6/4	29	-
29	-	1	Majdan grodziska oraz obszar pod wałem grodziska		Drobnoziarnisty piasek z delikatnymi smugami żelazistych wytrąceń; calec	10YR 7/2	13	28
30	-	2	Stok wału zewnętrznego od strony fosy i fosa	X=109–109,30; Y=101,70–103	Naprzemianległe laminacje łupiącej się gliny i ziemistego piasku; miąższość do 40 cm; podstawa wału zewnętrznego	10YR 5/6	19	42
33	-	3	Majdan grodziska	X=143–144,40; Y=93,80–95	Ok. 320 kamieni granitowych (80%) i piaskowcowych (20%) o średn. 5–30 cm; bruk kamienny na majdanie grodziska; pomiędzy kamieniami fragment ceramiki		35	36
34	-	3	Majdan grodziska	X=144,40–147,40; Y=93–95	Ok. 55 kamieni granitowych o śred. 5–20 cm; bruk kamienny na majdanie grodziska		35	36
35	-	3	Majdan grodziska	X=143–148; Y=93–95	Drobnoziarnisty piasek z frakcją pylastą i niewielką domieszką gruboziarnistego piasku; miąższość do 25 cm; występuje w obrębie bruku 33 i 34	10YR 5/3	53, 54	33, 34
36	-	3	Majdan grodziska	X=143–148; Y=93–95	Szary drobny piasek z drobnym żwirem, grudkami polepy i spalenizny; miąższość do 25 cm; poziom użytkowy poprzedzający budowę wałów grodziska	2,5Y 6/3	33, 34	38
37	-	2	Fosa	X=112,50–115,50; Y=101–103	Gliniasta ziemia z bardzo dużą domieszką organiczną oraz z pojedynczymi kamieniami o średn. do 10 cm; miąższość do 40 cm; zamulisko fosy	10YR 3/2	47	23, 48
38	-	3	Majdan grodziska	X=143–148; Y=93–95	Glina z horyzontalnymi smugami piasku; calec	10YR 6/6	36	-
39	-	5	Majdan grodziska	X=164–167; Y=94–95	Ok. 140 kamieni o średn. 5–25 cm; bruk kamienny na majdanie grodziska; w jego obrębie niewielki, płaski kamień z otworkami		40	63
40	-	5	Majdan grodziska	X=163,10–167,20; Y=94–95	Drobnoziarnisty piasek z pojedynczymi smugami gruboziarnistego piasku; miąższość do 25 cm; występuje w obrębie bruku 39; w jego obrębie pojedyncze fragmenty ceramiki	2,5Y 5/4	2	39
41	-	2	Stok wału zewnętrznego od strony fosy	X=109–115,50; Y=101–103	Zbita, krusząca się glina poprzerastana korzeniami; miąższość do 35 cm; nasyp wału zewnętrznego	2,5Y 4/3	17	21
42	-	2	Stok wału zewnętrznego od strony fosy i fosa	X=109–115,50; Y=101–103	Glina z pojedynczymi kamieniami o średn. do 6 cm; miąższość do 35 cm; wylepienie dna fosy	10YR 5/2	30, 49	58
43	-	2	Fosa	X=113,10–115,10; Y=101–103	Drobny, luźny piasek ze żwirem o średn. do 3 cm, w dolnych partiach przemieszany z gliną; miąższość do 10 cm; spływ erozyjny w obrębie fosy	2,5Y 7/3	45	50
44	-	2	Fosa	X=113,50–115,50; Y=101,30–103	Drobnoziarnisty piasek przemieszany z gliną; miąższość do 20 cm; spływ erozyjny w obrębie fosy	2,5YR 7/3	18	45
45	-	2	Fosa	X=113,10–115,50; Y=101–103	Glina z domieszką jasnego piasku; miąższość do 30 cm; spływ erozyjny w obrębie fosy	10YR 5/4	44	43

Tabela 1. Ciąg dalszy

Numer jednostki	Numer obiektu	Numer wykopu	Położenie w obrębie stanowiska	Współrzędne siatki pomiarowej stanowiska	Opis jednostki stratygraficznej	Barwa (Munsell)	Pozycja stratygraficzna	
							Znajduje się pod	Znajduje się nad
46	-	2	Fosa	X=113,50–115,50; Y=101–103	Ciemnobrązowa, zwarta, łupiąca się glina lekko poprzerastana korzeniami; miąższość do 10 cm; spływ erozyjny w obrębie fosy	10YR 5/3	50	47
47	-	2	Fosa	X=113,20–115,50; Y=101,20–103	Glina z substratem organicznym i pojedynczymi kamieniami; miąższość do 30 cm; spływ erozyjny ze stoku wału na warstwę wypełniska fosy	2,5Y 5/4	46	37
48	-	2	Fosa	X=114,30–115,50; Y=101–102,40	Zwarta glina, żwir i pojedyncze kamienie; miąższość do 25 cm; wypełnisko fosy	10YR 6/4	37	49
49	-	2	Fosa	X=114,20–115,50; Y=101–103	Zwarta glina ze żwirem; miąższość do 25 cm; wypełnisko fosy	10YR 4/3	48	42
50	-	2	Fosa	X=113,30–114,90; Y=101–102,20	Łupiąca się glina poprzerastana korzeniami; miąższość do 20 cm; spływ erozyjny w obrębie fosy	10YR 4/4	43	46
51	-	1	Podstawa wału grodziska po stronie majdanu	X=141–142; Y=101–103	Piaszczysta ziemia z pojedynczymi kamieniami o średn. do 4 cm; miąższość do 10 cm; prawdopodobnie wyznaczenie zasięgu sypania wału	10YR 5/4	25	13
52	53	3	Majdan grodziska	X=144–147; Y=93	Lekko przemieszana, piaszczysta ziemia z pojedynczymi kamykami; wypełnisko obiektu 53	2,5Y 6/3	2	53
53	53	3	Majdan grodziska	X=144–147; Y=93	Regularny, nieckowaty wkop; szer. ok. 280 cm, gł. ok. 40 cm; ściany opadające pod kątem ok. 55°; lekko wklęsłe dno		52	35
54	-	3	Majdan grodziska	X=143; Y=93	Drobno- i średnioziarnisty, ziemisty piasek; miąższość do 30 cm; prawdopodobnie urobek z wykopania obiektu 53	2,5Y 6/3	2	35
55	55	5	Krawędź majdanu grodziska od strony rzeki	X=168–169; Y=94	Dołek posłupowy; owalny w planie, U-kształtny w przekroju; średn. 30–35 cm, gł. 25 cm		57	63
56	55	5	Krawędź majdanu grodziska od strony rzeki	X=168–169; Y=94	Drobnoziarnisty piasek z domieszką organiczną; wypełnisko dołu posłupowego 55	10YR 6/2	2	57
57	55	5	Krawędź majdanu grodziska od strony rzeki	X=168–169; Y=94	Drobnoziarnisty piasek z dużymi ilościami próchna; prawdopodobnie relikt słupa w dole posłupowym 55	10YR 6/1	56	55
58	-	2	Obszar pod wałem zewnętrznym od strony fosy i fosa	X=109–115,50; Y=101–103	Glina z dużą domieszką drobno- i średnioziarnistego piasku tworzącego niewielkie laminacje; calec	10YR 6/4	42	-
59	59	2	Fosa	X=112,80–114,50; Y=101–103	Niewielki, nieckowaty w profilu rów; szer. ok. 170 cm, gł. ok. 40 cm		15	10, 17
60	60	2	Stok wału zewnętrznego od strony fosy	X=109–113; Y=101–103	Niewielka półka szer. ok. 130 cm wycięta w stoku wału zewnętrznego od strony fosy; stanowisko ogniowe z okresu II wojny światowej		12	17
61	60	2	Stok wału zewnętrznego od strony fosy	X=109–113; Y=101–103	Gliniasta ziemia; wypełnisko obiektu 60	10YR 3/2	1	12
62	-	5	Majdan grodziska	X=162–170; Y=94–95	Zwarty, drobnoziarnisty i ilasty piasek ze smugami gruboziarnistego piasku; calec	10YR 6/2	63	-
63	-	5	Majdan grodziska	X=162–166,30; Y=94–95	Zwarty, drobno- i średnioziarnisty piasek z pojedynczymi grudkami spalenizny; miąższość do 25 cm; poziom użytkowy poprzedzający budowę wałów grodziska	10YR 6/3	39, 55, 64	62
64	64	5	Krawędź majdanu grodziska od strony rzeki	X=168,80–169,20; Y=94,30–94,80	Prawdopodobnie krawędź po obsunięciu się ziemi		65	63
65	64	5	Krawędź majdanu grodziska od strony rzeki	X=168,80–169,20; Y=94,30–94,80	Lekko przemieszana ziemia i piasek; wypełnisko obiektu 64	10YR 4/1	66	64
66	64	5	Krawędź majdanu grodziska od strony rzeki	X=168,80–169,20; Y=94,30–94,80	Piaszczysta ziemia; wypełnisko obiektu 64	10YR 4/3	2	65

opuszczeniu, a także z epizodycznym użytkowaniem grodziska już w okresie nowożytnym. Na majdanie grodziska uchwycono wyraźny poziom związany z erozją jego wałów. Tworzy go ziemisty piasek z drobnym żwirem i kamieniami oraz śladami spalenizny 14 (W1) o miąższości do 30 cm, koncentrujący się u podnóża wału. Podobnie jest w fosie tyle, że tam miąższość warstw erozyjnych jest zdecydowanie większa. Konglomerat ten tworzą kolejno: gliniasta ziemia 37 (W2) z bardzo dużą domieszką organiczną i białym nalotem grzybiczym oraz z pojedynczymi kamieniami średnicy do 10 cm, glina z substratem organicznym i pojedynczymi kamieniami 47 (W2), zwarta, łupiąca się glina lekko poprzerastana korzeniami 46 (W2), łupiąca się glina poprzerastana korzeniami 50 (W2), drobny, luźny piasek ze żwirem 43 (W2), glina z domieszką jasnego piasku 45 (W2), drobnoziarnisty piasek przemieszany z gliną 44 (W2), zwarta glina 18 (W2) i piaszczysto-gliniasta ziemia z domieszką organiczną 11 (W2). Różne proporcje substratów mineralnych i organicznych w kolejnych laminacjach spływów są zapewne podyktowane odmiennymi warunkami panującymi na stanowisku. Inne warstwy erodowały i odkładały się, gdy grodzisko było jeszcze niezarośnięte i odsłonięte w okresie bezpośrednio po jego opuszczeniu, a inne gdy porosło roślinnością. Jedną z najmłodszych warstw, które wytworzyły się w fosie w ten sposób jest gliniasta ziemia z nielicznym żwirem 10 (W2). Jej strop wyznacza pierwszą połowę XX w. Zapewne także w tym okresie doszło do obsunięcia się części stoku grodziska w jego wschodniej części. Śladem po tym zdarzeniu jest krawędź 64 (W5) widoczna tuż obok dołu posłupowego 55 (W5) (ryc. 21). Być może to właśnie palisada osłabiła spoistość ziemi w tym miejscu i doprowadziła do jej odspojenia się. W obrębie oberwanych warstw znajduje się lekko przemieszana ziemia i piasek 65 (W5) i piaszczysta ziemia 66 (W5).

Faza V

Na XX w. można datować obiekty zadokumentowane w wykopie 2, związane prawdopodobnie z walkami podczas II wojny światowej. Pierwszy z nich to niewielki, nieckowaty w profilu rów 59 (W2) o szerokości około 1,7 m i głębokości około 0,4 m, znajdujący się na dnie fosy i mający układ równoległy do jej osi. Wcięto go ze stropu warstwy 10 (W2). Jego wypełniskiem jest zwarta, twarda glina 15 (W2) z kamykami średnicy do 4 cm, w której znaleziono łuski i pociski do karabinu. Drugim obiektem jest niewielka półka 60 (W2) o szerokości około 1,3 m wycięta w stoku wału zewnętrznego od strony fosy. Na jej dnie znajduje się gliniasta ziemia z nielicznymi żwirem 12 (W2), a wypełniskiem jest gliniasta ziemia 61 (W2). Obecność tych obiektów świadczy, że w trakcie II wojny światowej znajdowało się tu jakieś tymczasowe stanowisko ogniowe.

Obecny poziom użytkowy na obszarze grodziska tworzy drobnoziarnisty, ziemisty piasek 2 (W1, W3, W4, W5) będący warstwą humusu leśnego oraz próchnicza ziemia poprzerastana korzeniami 1 (W1, W2, W3, W4, W5) będąca poziomem darni.

ZNALEZISKA
Ceramika

Główną grupę zabytków tworzy ceramika, której znaleziono 34 fragmenty (tab. 2). W większości są one bardzo silnie rozdrobnione (tab. 3), żaden nie pozwala na odtworzenie pełnej formy naczynia, a tylko pojedyncze posiadają cechy diagnostyczne umożliwiające określenie chronologii.

Materiał ceramiczny podzielono na trzy grupy technologiczno-surowcowe:

GTS 1. Ceramika wykonana ze źle wyrobionej masy ceramicznej z dużą ilością drobnej, średniej i grubej domieszki schudzającej – ostrokrawędziowego piasku i drobin startego granitu. Grubość ścianki wynosi około 7 mm i rozwarstwia się. Wypał jest utleniający. Kolor ścian zewnętrznych jest ciemnopomarańczowy i brązowy, ściany wewnętrzne są szare. Przełam jest dwukolorowy – ściana zewnętrzna jaśniejsza, przełom i ściana wewnętrzna ciemne. Powierzchnia zewnętrzna jest chropowacona, powierzchnia wewnętrzna szorstka. Na ściankach wyraźnie widoczna domieszka oraz ślady lepienia ręcznego. Jedyne dwa fragmenty wylewów znaleziono w różnych jednostkach stratygraficznych i pomimo, że nieznacznie różnią się grubością ścianek, mają tą samą formę – krawędź wyoblona, lekko wywinięta na zewnątrz. Tego rodzaju materiał ceramiczny można wiązać z grupą I ceramiki wg typologii Łucji Okulicz i datować na fazę D okresu halsztackiego. Naczynia o podobnym wylewie znane są z niedalekich stanowisk w Starym Dzierzgoniu, pow. sztumski i Kretowinach, gm. Morąg, pow. ostródzki, a dalej w Łęczach, gm. Tolkmicko, pow. elbląski[8] (tabl. 1:1–3).

GTS 2. Ceramika wykonana z dość dobrze wyrobionej masy ceramicznej z dużą ilością drobnej domieszki schudzającej – piasku, drobin startego granitu i miki. Grubość ścianki wynosi 4–7 mm. Wypał jest utleniający. Kolor ścian jest pomarańczowy, brązowy i szary. Przełam jest albo jednokolorowy, takiej samej barwy jak ścianki, albo trójkolorowy ze ściankami jasnymi, a przełomem ciemnoszarym. Powierzchnia zewnętrza i wewnętrzna jest lekko szorstka ze śladami zagładzania i obtaczania. Sporadycznie na ściankach widoczna jest domieszka i ślady ręcznego lepienia. Znalezione fragmenty den są lekko wklęsłe. Oba wylewy są lekko odgięte na zewnątrz. Jedna krawędź wylewu jest ścięta na płasko, druga na zewnątrz. Przy obu fragmentach zanotowano wrąb na pokrywkę. Zanotowano trzy przypadki ornamentowania brzu-

[8] Ł. Okulicz 1970: 24–31, 256–258; J. Okulicz 1973: 261–264.

Tabela 2. Zestawienie ilościowe fragmentów ceramiki z grodziska w Pawełkach, st. 5 (oprac. R. Solecki)

Faza		Jednostka stratygraficzna	Liczba fragmentów łącznie	Liczba różnych naczyń	Wylewy		Szyjki	Brzuśce				Dna		Chronologia			Grupy technologiczno-surowcowe			
					Liczba fragmentów	SEN (procent obwodu)		Liczba fr. ogółem	Rodzaj powierzchni			Liczba fragmentów	SEN (procent obwodu)	Wczesna epoka żelaza	Wczesne średniowiecze	Późne średniowiecze	1. Ceramika z wczesnej epoki żelaza	2. Ceramika tradycyjna	3. Ceramika ceglasta	Nieokreślone
									Chropowacone	Szorstkie	Nieokreślone	Ornamentowane	Części przydenne							
III		7	6	3			1	4		2	2	1	1	1	25			6		2
III		33	1	1				1		1		1						1		
III		40	2	2				1	1					1	30			1		
IV		14	5	3				5		5		1						5		
V		1	10	5	4	15		6	1	6		1					3	7		2
V		2	10	7	2	15		6		4	2	1		2	25			7	1	
Razem			**34**	**21**	**6**	**30**	**1**	**23**	**2**	**18**	**4**	**5**	**1**	**4**	**80**	**1**	**4**	**27**	**1**	**2**

ńca za pomocą bardzo płytkich, szerokich na około 2–3 mm dookolnych rowków z wyraźną krawędzią. Raz wystąpiły rowki w tych samych rozmiarach, lecz bez wyraźnej krawędzi, wyoblone. Zadokumentowano także niewielki, dookolny grzbiet, szerokości około 7 mm i wysokości około 2 mm, wyprofilowany z masy ceramicznej, a nie doklejany, który umiejscowiony był zapewne nieco poniżej wylewu naczynia. Poszczególne elementy odnalezionego zbioru mają swoje analogie w odległych o około 70 km Węgrach, gm. Sztum, pow. sztumski. Materiał ten można datować na wczesne średniowiecze, zapewne XI–XIII wiek[9] (tabl. 1:4–12).

GTS 3. Ceramika wykonana z dobrze wyrobionej masy ceramicznej z bardzo małą ilością drobnej domieszki schudzającej – drobin startego granitu. Grubość ścianki wynosi do 7 mm. Wypał jest utleniający. Kolor ścian jest pomarańczowy. Przełam jest dwukolorowy – ściana zewnętrzna jaśniejsza, przełom i ściana wewnętrzna ciemniejsze. Powierzchnie zewnętrzna i wewnętrzna są gładkie. Na ściankach widoczne są ślady toczenia na kole. Tego typu materiał ceramiczny zaczyna powszechnie występować od około drugiej połowy XV w., a powszechny jest w wieku XVI[10] (tabl. 1:13).

W zbiorze fragmentów ceramiki z grodziska w Pawełkach, st. 2 dominuje ceramika wczesnośredniowieczna, której znaleziono 27 fragmentów. Do pojedynczych należą znaleziska ceramiki pradziejowej (cztery fragmenty) i nowożytnej (jeden fragment).

Większość materiału ceramicznego znaleziona została w obrębie jednostek stratygraficznych z faz IV i V, które narosły już po opuszczeniu grodziska, w wyniku procesów erozyjnych lub epizodycznych nowożytnych zdarzeń. W warstwach Fazy IV znaleziono pięć fragmentów ceramiki wczesnośredniowiecznej, a w warstwach Fazy V trzy fragmenty ceramiki pradziejowej, 14 fragmentów ceramiki wczesnośredniowiecznej i jeden fragment ceramiki nowożytnej. Faza III, którą uznano za właściwy okres funkcjonowania grodziska, dostarczyła jednego fragmentu ceramiki pradziejowej i ośmiu fragmentów ceramiki wczesnośredniowiecznej. Redeponowanie materiału i procesy erozyjne potwierdza zestawienie wielkości odnalezionych fragmentów ceramiki, gdzie aż 29 z nich nie ma więcej niż 4 cm długości.

Zabytki wydzielone

Do grupy zabytków wydzielonych należy pięć znalezisk, z czego w zasadzie tylko jeden może być wiązany z użytkowaniem grodziska w okresie, gdy zostało ono zbudowane. Jest to kamienna płytka z czerwonego piaskowca (tabl. 2:4) o wymiarach 8 x 13 cm i grubości około 2,5 cm, która wchodziła w skład bruku w wykopie 5, przy wschodniej krawędzi majdanu. Jedna

[9] Haftka i Wadyl 2015: 82–129.

[10] Starski 2009: 204–209.

Tabela 3. Fragmentacja i stopień erozji fragmentów ceramiki z grodziska w Pawełkach, st. 5 (oprac. R. Solecki)

Faza	Jedn. strat.	Kategorie wielkościowe [cm]								Stopień erozji				SUMA
		1	2	3	4	5	6	7	8	0	I	II	III	
III	7	1	1	2	1				1		6			**6**
III	33		1								1			**1**
III	40			1		1					2			**2**
IV	14	3	2								3	2		**5**
V	1	4	4	1		1					9	1		**10**
V	2	1	4	4		1				2	6		2	**10**
SUMA		**9**	**12**	**8**	**1**	**3**			**1**	**2**	**27**	**3**	**2**	**34**

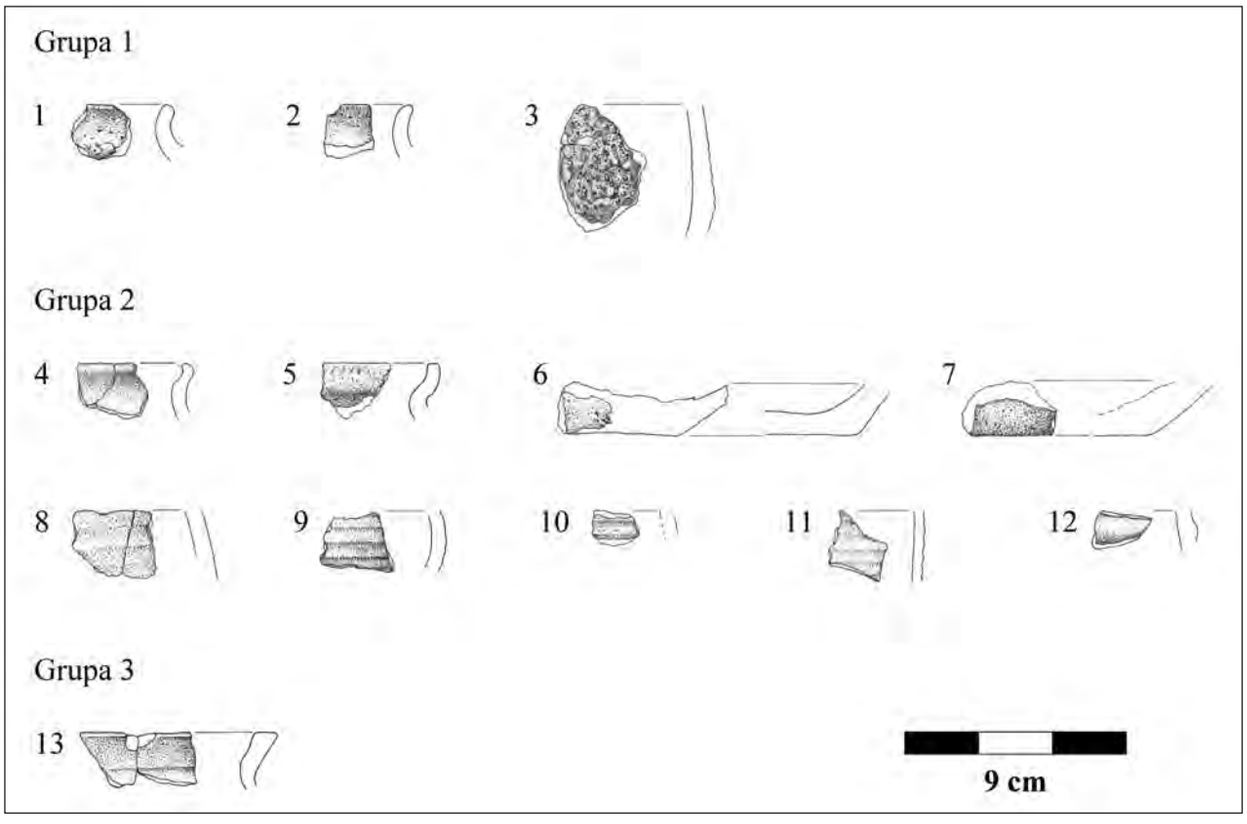

Tablica 1. Ceramika z badań grodziska w Pawełkach, st. 5 (rys. R. Solecki)

powierzchnia płytki jest lekko wytarta i wklęsła. Na tej stronie znajdują się także dwa koliste wgłębienia odległe od siebie o około 3 cm, licząc od ich środków. Oba wgłębienia mają po około 1,5 cm średnicy i około 0,7 cm głębokości. W przekroju są U-kształtne. Ślady te są wynikiem intencjonalnego działania, zapewne związanego z jakąś dziedziną niezidentyfikowanej wytwórczości.

Pozostałe zabytki wydzielone to naturalny odłupek krzemienia (tabl. 2:3) ze stoku wału grodziska w wykopie 1 oraz metale, które należy wiązać z działaniami wojennymi i myślistwem. Pierwszy z nich to żeliwny odłamek pocisku artyleryjskiego, moździerzowego lub granatu (tabl. 2:1) znaleziony na stoku grodziska w wykopie 1. Żeliwo, jako surowiec do produkcji tego typu pocisków stosowane było powszechnie od XV do początków XX w. W niedużej odległości od odłamka, w warstwie humusu w wykopie 3, znaleziono spód łuski myśliwskiej o bocznym zapłonie (tabl. 2:2), z sygnaturą w otoku „Marke Krone" i liczbą „16" w środku. W fosie, w warstwie podhumusowej w wykopie 2, znaleziono trzy łuski prawdopodobnie od nabojów typu Mauser, powszechnie stosowane podczas II wojny światowej.

KOŚCI ZWIERZĘCE

ANNA GRĘZAK

W czasie badań grodziska w Pawełkach, st. 5 znaleziono 86 fragmentów kości zwierzęcych, z czego 71 sztuk udało się zidentyfikować pod względem gatunkowym.

Tablica 2. Zabytki wydzielone z badań grodziska w Pawełkach, st. 5 (fot. R. Solecki)

W warstwach Fazy II znaleziono łącznie pięć kości – dwie bydła, dwie świni i jedną nieokreśloną. W warstwach Fazy III znaleziono jedną kość bydlęcą. W warstwach Fazy IV znaleziono łącznie 69 kości – dziewięć bydła, pięć owcy, 16 świni, 28 dzika (co najmniej trzy osobniki), dwie jelenia i dziewięć nieokreślonych. W warstwach Fazy V znaleziono łącznie 11 kości – dwie bydła, trzy świni, jedną nornicy rudej, jedną ptasią i cztery nieokreślone. Większa część fragmentów kości i zębów pochodziła od ssaków hodowlanych – 40 kości – nieco mniejsza od ssaków dzikich – 31 kości. Na 10 kościach, należących do bydła, świni i dzika, zaobserwowano ślady rąbania lub nacięć nożem, co wskazuje na wykorzystanie tych zwierząt w celach konsumpcyjnych.

SZCZĄTKI ROŚLINNE

MARIA LITYŃSKA-ZAJĄC I MAGDALENA MOSKAL-DEL HOYO

Szczątki roślinne ze stanowiska 5 w Pawełkach, gm. Miłakowo znaleziono w dwóch próbach archeobotanicznych, datowanych na okres wczesnego średniowiecza (tab. 4). Jedna próba nie zawierała materiału roślinnego. Oznaczone zostały 44 zwęglone diaspory i węgle drzewne[11]. Natrafiono także na sklerocja grzyba czarniaka właściwego *Cenococcum geophilinum* oraz pojedyncze nieoznaczone materiały.

W próbach wczesnośredniowiecznych znaleziono jedynie dwa fragmenty węgli drzewnych oraz pięć owoców należących do graba zwyczajnego *Carpinus betulus*. Resztki tego drzewa wystąpiły w dwóch próbach, w jednej reprezentowane przez spalone drewno, a w drugiej przez owoce. Ponadto w próbie nr 15/2014 natrafiono na węgle drzewne dębu *Quercus* sp. i lipy *Tilia* sp.

CHRONOLOGIA STANOWISKA

RAFAŁ SOLECKI

Datowania grodziska dostarcza analiza materiału ceramicznego, która pozwala wydzielić trzy główne horyzonty chronologiczne. Pierwszy to okres wczesnej epoki żelaza, z którym nie można wiązać jednoznacznie żadnej jednostki stratygraficznej, a jedynie cztery niewielkie fragmenty ceramiki. Drugi to okres wczesnego średniowiecza, reprezentowany przez łącznie 27 fragmentów ceramiki. Z okresem tym należy łączyć Fazę II i III, kiedy to powstało grodzisko z jego wałami i fosą, i kiedy było ono użytkowane. Trzeci to okres nowożytny, na który datowany jest jeden fragment ceramiki znaleziony w warstwie pochodzącej z Fazy IV.

Na podstawie stratygraficznych relacji względnych możliwe jest stwierdzenie, że osadnictwo musiało rozwinąć się na tym obszarze jeszcze przed budową wałów grodziska. Nie można jednak wykluczyć, że ślady spalenizny i grudki polepy znajdywane w warstwach Fazy I, nie są pozostałością wypału roślinności, którego celem było przygotowanie tego obszaru właśnie do budowy grodziska.

Trudno także określić, kiedy kończy się Faza III. Można jedynie zakładać, że wiąże się to z podbojem tych ziem przez zakon krzyżacki w pierwszej połowie XIII w. W materiale ceramicznym występują bowiem fragmenty ceramiki tradycyjnej, którą można datować jeszcze na XIII w., brak jest natomiast ceramiki „siwej", która zaczyna pojawiać się w połowie XIII w. i wiąże się ją z osadnictwem niemieckim[12].

By doprecyzować chronologię przeprowadzono datowanie radiowęglowe i termoluminescencyjne. Do analizy radiowęglowej wytypowano fragment węgla

[11] Opis metody: Lityńska-Zając i Moskal-del Hoyo 2016.

[12] Jasiński 1981: 14–15 (590–591).

Tabela 4. Spalone szczątki roślinne ze stanowiska wczesnego średniowiecza w Pawełkach, st. 5: o – owoc, d – drewno, ko – kora, sc – sklerocja (oprac. M. Lityńska-Zając i M. Moskal-del Hoyo)

Nazwa taksonu	Chronologia	Faza II (wczesne średniowiecze)		Suma
	Nr jednostki stratygraficznej	20	31	
	Typ szczątka	Szczątki spalone		
Carpinus betulus	d	2		**2**
Carpinus betulus	o		5	**5**
Quercus sp.	d		15	**15**
Tilia sp.	d		15	**15**
nieoznaczony	?	2		**2**
nieoznaczony	d	1		**1**
nieoznaczony	ko		4	**4**
Suma		**5**	**39**	**44**
Cenococcum geophilinum	sc	2	50	**52**

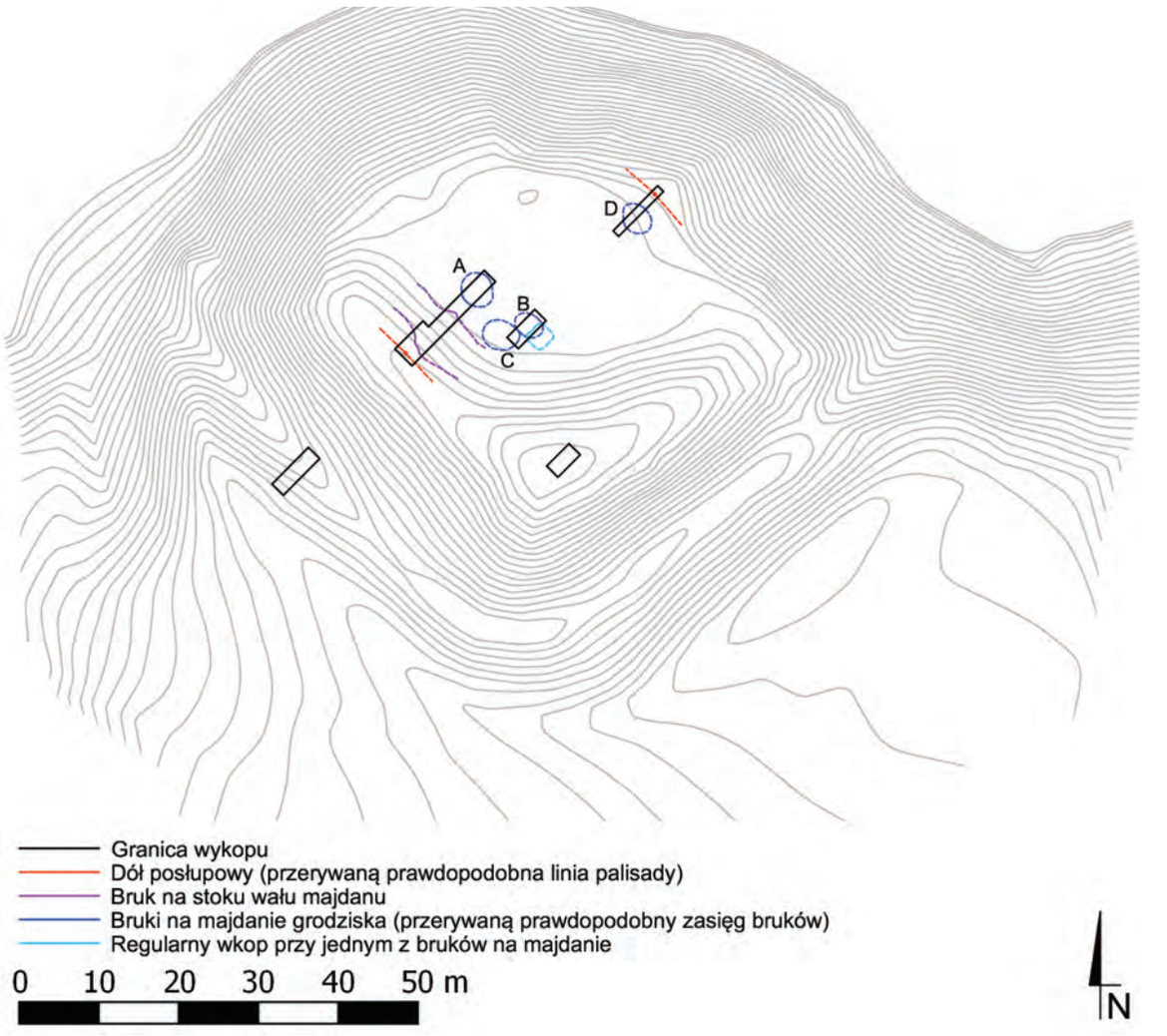

Ryc. 23. Pawełki, st. 5. Plan warstwicowy grodziska (wyk. J. Błaszczyk) z rekonstrukcją przebiegu linii fortyfikacji i położenia obiektów mieszkalnych (?) (oprac. R. Solecki)

drzewnego z warstwy 37 (W2), która jest jednym z najniższych wypełnisk fosy. Datowanie po kalibracji dało przedział lat 1458–1635, a przy ponownym datowaniu 1484–1648 z prawdopodobieństwem 95,4%[13]. Oznacza to, że (jeśli próbka nie została wtórnie zanieczyszczona) fosa musiała zostać częściowo oczyszczona i była użytkowa jeszcze około XV–XVII wieku. Należy więc powiązać to z Fazą IV. Do analizy termoluminescencyjnej wytypowano fragment polepy z warstwy 16 (W1), która jest zewnętrznym płaszczem wału grodziska. Analiza dała przedział lat 1091–1201[14], który można uznać za wyznaczający okres budowy grodu na zapewne XII w.

DZIEJE GRODZISKA W PAWEŁKACH, ST. 5

Odosobnione położenie stanowiska, wysokie wały z palisadą oraz fosa, przy niedużym obszarze samego majdanu sugeruje, że grodzisko miało spełniać funkcję refugium (ryc. 23). Brak jest śladów długotrwałej habitacji w postaci wyraźnego poziomu użytkowego oraz zespołu ceramiki i/lub narzędzi. Znalezienie jedynie kilkudziesięciu fragmentów ceramiki i stosunkowo dużej liczby kości zwierzęcych wskazuje, że społeczność, która chroniła się w tym miejscu pozostawała tu niezbyt długo. W tym czasie nie zdążyła wytworzyć się warstwa śmieci innych niż pokonsumpcyjne. Niemal równe proporcje kości ssaków hodowlanych i dzikich sugerują, że w miarę możliwości starano się wyżywić zwierzętami upolowanymi, a dopiero potem własną trzodą.

[13] Kobyliński 2016: 108.

[14] Kobyliński 2016: 107.

Raciszewo, st. 9

Gmina Miłakowo

Powiat ostródzki

AZP 19-58/24

Współrzędne geograficzne:

N 53° 58’ 59,69’’

E 20° 8’ 55,81’’

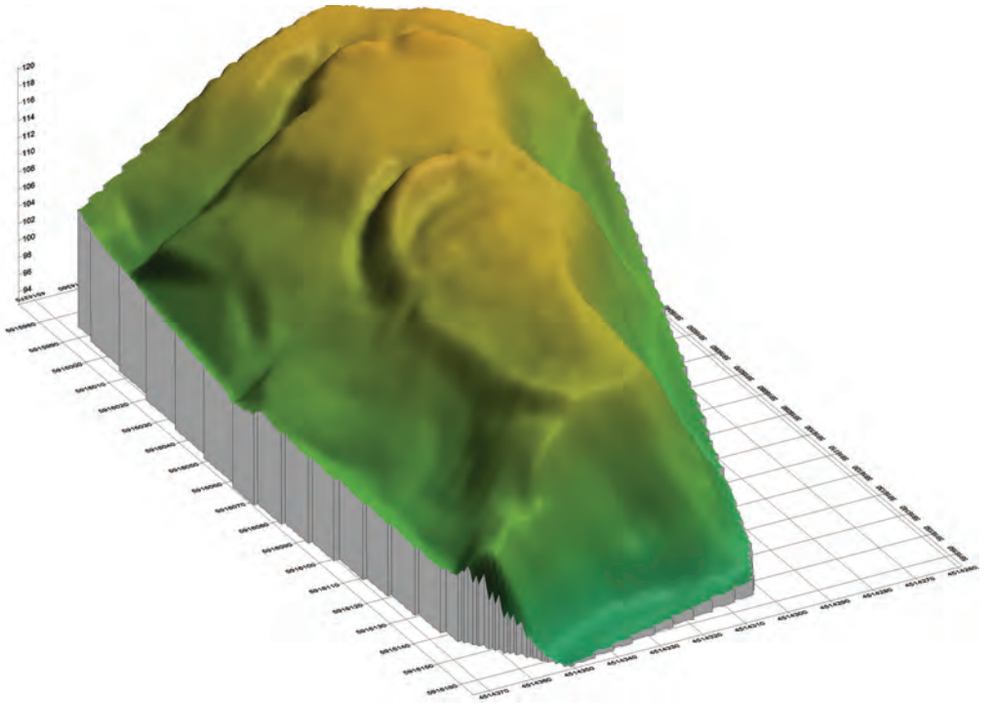

Raciszewo, st. 9

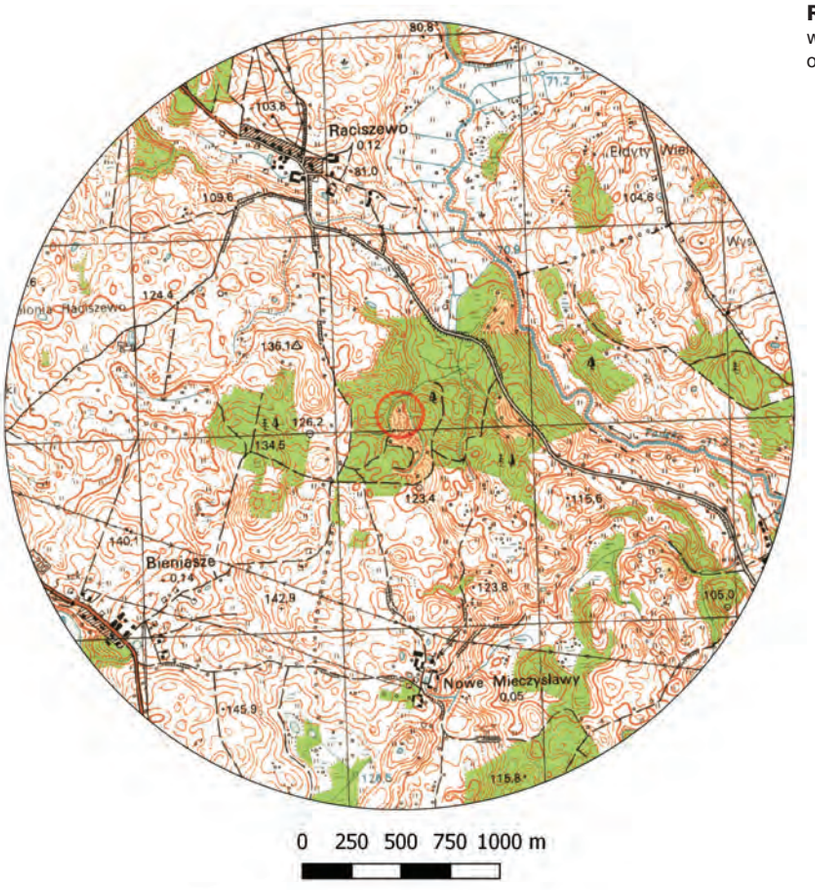

Ryc. 1. Grodzisko w Raciszewie, st. 9 na mapie w skali 1:25 000 (na podstawie materiałów CODGiK, oprac. R. Solecki)

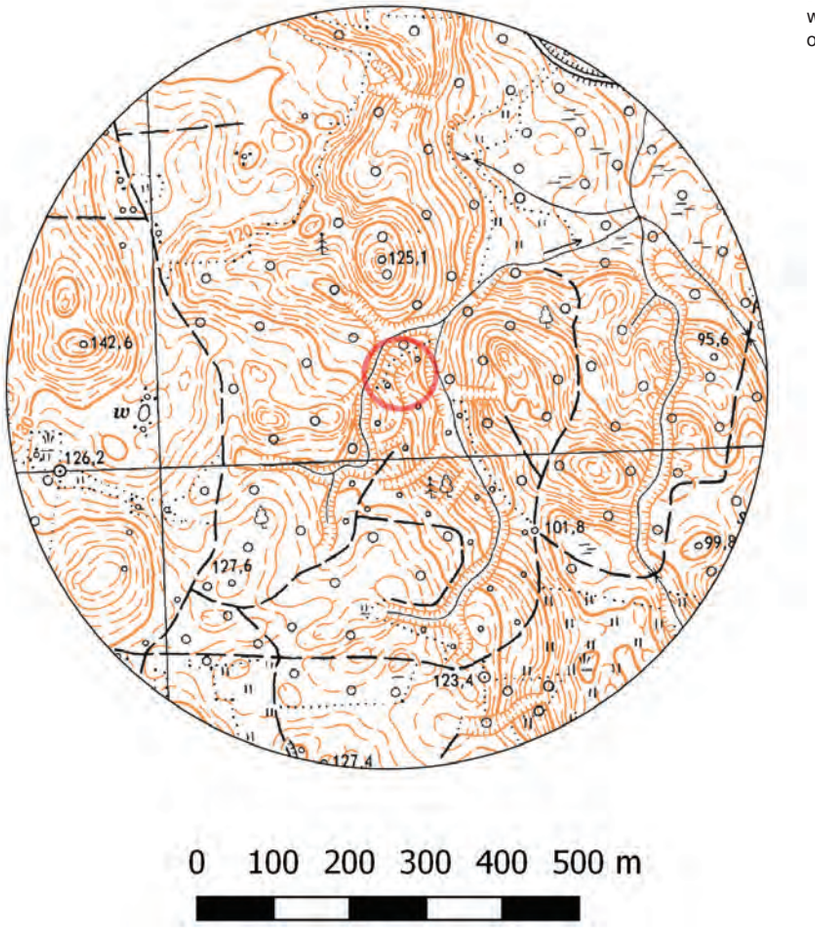

Ryc. 2. Grodzisko w Raciszewie, st. 9 na mapie w skali 1:10 000 (na podstawie materiałów CODGiK, oprac. R. Solecki)

POŁOŻENIE GRODZISKA I JEGO FORMA

KAMIL RABIEGA

Grodzisko znajduje się na wysokim wzniesieniu, położonym około 750 m na wschód od rzeki Pasłęki (ryc. 1–2). Rzeźba terenu, na którym wzniesiono gród, charakteryzuje się naturalnymi walorami obronnymi, które zapewniają głębokie jary otaczające cypel od strony zachodniej, północnej i wschodniej (ryc. 3–4). Na dnie jarów występują dziś wysychające strumienie. Ponadto, południową część stanowiska ogranicza naturalne rozcięcie erozyjne, które wykorzystano jako dodatkowy element obronny i przekształcono w fosę zewnętrzną, zamykającą dostęp do obiektu od strony płaskowyżu (ryc. 5).

Założenie składa się z dwóch części – grodu (o długości 95 m i szerokości 30–50 m) otoczonego wałem oraz fosą w północnej części stanowiska (ryc. 6), a także z podgrodzia o wymiarach 40 x 50 m w części południowej (ryc. 7). Podłużny obszar grodziska od strony wschodniej i południowej zabezpieczony był wałem wewnętrznym, który w części południowej osiągał wysokość do 2,5 m i szerokość około 9 m (ryc. 8). Za wałem znajdowała się fosa o szerokości około 5 m i głębokości 1,5 m (ryc. 9). Majdan, o wymiarach 72 x 20 m, zajmował obszar około 15 arów. Podgrodzie zajmowało obszar około 11 arów (ryc. 10). Od strony południowej ograniczone było wałem zewnętrznym o wysokości 1,5 m i szerokości 6 m (ryc. 11), a także fosą, która została uformowana w miejscu rozcięcia erozyjnego i pogłębiona od strony zachodniej. Jej głębokość wynosiła 1,5 m, a szerokość dochodziła nawet do 6 m. Zarówno w wale zewnętrznym, jak i wale wewnętrznym widoczne są obniżenia, które mogą stanowić ślady przejazdów bramnych po osi N–S (ryc. 12–13).

ŚRODOWISKO FIZYCZNO-GEOGRAFICZNE

JERZY NITYCHORUK I FABIAN WELC

Wysokość pagórka, na którym zajmuje się grodzisko osiąga ponad 126 m n. p. m., natomiast położony 400 m na zachód inny pagórek ma 142,6 m n.p.m. Poziom pobliskiej Pasłęki wynosi 70,9 m n.p.m., co daje znaczne deniwelacje terenu, wynoszące ponad 70 m na niewielkiej przestrzeni około 1 km.

Sytuacja morfologiczna przy lokalizacji grodu odgrywała zasadniczą rolę, ponieważ położony jest on między rozcięciami terenu o głębokości 40 m, odwadnianymi na NE, w stronę doliny Pasłęka. Ukształtowany wskutek erozji wydłużony pagórek ma przebieg N–S, ale tylko zachodnia część pagórka, nieco wyniesiona, została wykorzystana do lokali-

Ryc. 3. Raciszewo, st. 9. Północno-zachodnia skarpa wzniesienia otoczonego głębokimi jarami. Widok od strony zachodniej (fot. J. Wysocki)

Ryc. 4. Raciszewo, st. 9. Jar na północ od grodziska. Widok od strony zachodniej (fot. J. Wysocki)

Ryc. 5. Raciszewo, st. 9. Rozcięcie erozyjne przekształcone w fosę zewnętrzną zabezpieczającą dostęp do grodziska. Widok od strony wschodniej (fot. J. Wysocki, oprac. K. Rabiega)

Ryc. 6. Raciszewo, st. 9. Północna część grodziska (gród). Widok od strony północno-zachodniej (fot. J. Wysocki, oprac. K. Rabiega)

Ryc. 7. Raciszewo, st. 9. Południowa część grodziska (podgrodzie). Widok od strony zachodniej (fot. J. Wysocki, oprac. K. Rabiega)

Ryc. 8. Raciszewo, st. 9. Wał wewnętrzny i majdan grodziska. Widok od strony północnej (fot. J. Wysocki, oprac. K. Rabiega)

Ryc. 9. Raciszewo, st. 9. Wał wewnętrzny oraz fosa na granicy grodu i podgrodzia. Widok od strony południowo-zachodniej (fot. J. Wysocki, oprac. K. Rabiega)

zacji grodu. Dla celów obronnych zostały wykonane potrójne obwałowanie oraz fosa, położone na S od obiektu, wykorzystano również naturalne rozcięcie erozyjne, które prawdopodobnie zostało przegłębione na zachód.

Grodzisko w Raciszewie, st. 9 należy do grupy obiektów, których właściwości obronne zapewniało w zasadniczy sposób wykorzystanie naturalnej rzeźby terenu. Głębokie rozcięcia erozyjne perfekcyjnie spełniały własności obronne, a nakład pracy niezbędnej w celu zabezpieczenia południowej części, połączonej z wysoczyzną, był znikomy.

Według *Szczegółowej mapy geologicznej Polski w skali 1:50 000 ark. Boguchwały*[1] grodzisko w Raciszewie, st. 9 zajmuje pagórek zbudowany z piasków i żwirów wodnolodowcowych leżących na mułkach i iłach zastoiskowych ze stadiału górnego zlodowacenia Wisły (ryc. 14). Szczegółowe badania geologiczne te ustalenia korygują. Generalnie okolice grodziska zajmują gliny zwałowe budujące wysoczyznę lodowcową, która urozmaicona jest pagórkami morenowymi z wymienionego stadiału.

W grodzisku wykonano dziewięć wierceń do głębokości 3,0 m, które posłużyły do wykonania przekroju geologicznego A–B zorientowanego N–S (ryc. 15–16). Na podstawie analizy morfologicznej i rozpoznania geologicznego udało się rozpoznać system obronny obiektu, który występuje w jego południowej części i składa się z dwóch wałów i dwóch fos.

Pierwszy wał, wewnętrzny, jest w części nadbudowanej złożony z gliny piaszczystej barwy brązowo-

Ryc. 10. Raciszewo, st. 9. Obszar podgrodzia i widoczny w oddali wał wewnętrzny. Widok od strony południowej (fot. J. Wysocki, oprac. K. Rabiega)

Ryc. 11. Raciszewo, st. 9. Wał zewnętrzny grodziska. Widok z zewnątrz stanowiska od strony południowej (fot. J. Wysocki, oprac. K. Rabiega)

-szarej ze zwęglonymi korzeniami roślin oraz strukturami pokorzeniowymi, o wysokości nasypu około 1,3 m (wiercenie RAC – 4). Drugi wał, zewnętrzny jest nadbudowany do wysokości 1,8 m i składa się z piasku gliniastego barwy brązowej (wiercenie RAC – 6). Rozdzielające oba wały obniżenie (wiercenie RAC – 5) jest zbudowane z gliny ilastej, barwy ciemnoceglastej z licznymi wytrąceniami Fe i drobnym żwirem i nie jest przekształcone antropogeniczne. Kolejne obniżenie, na zewnątrz od drugiego wału, posiada wypełnienie w postaci piasku drobnoziarnistego, gliniastego, barwy szarej (wiercenie RAC – 7). Piasek ów stanowi wypełnienie fosy do 0,8 m, a poniżej występujący piasek drobnoziarnisty z mułkiem jest calcem i wraz z innymi profilami wierceń o podobnym wykształceniu dostarcza dowodów na to, że opisywana forma jest kemem, z przykryciem osadami glacjalnymi.

W obrębie majdanu, jedynie cienka (0,3 m miąższości) warstwa nosi ślady obecności człowieka.

[1] Trzmiel 2007.

BADANIA ARCHEOLOGICZNE

KAMIL RABIEGA I JOANNA WAWRZENIUK

Przebieg badań terenowych

Grodzisko w Raciszewie było znane już w XIX w., jednak lokalizowano je wówczas w miejscowości *Banners* (Bieniasze). Opisywane było jako góra zamkowa lub założenie obronne położone na północny wschód od majątku Bieniasze. W latach 1826–1828 stanowisko było wizytowane przez Johanna Michaela Guisego i opisane jako szaniec na wschód od drogi *Menzels* (Mieczysławy) – *Wuchsnig* (Wuksniki), czy też jako obwałowanie w odległości 1 mili na południowy wschód od Miłakowa[2]. W 1908 grodzisko pojawia się katalogu Emila Hollacka[3]. W 1937 i 1938 zostaje odnotowane

[2] AWUOZ w Elblągu: teczka Raciszewo.

[3] Hollack 1908: 11.

w publikacjach Hansa Crome[4]. Po wojnie grodzisko nie zostało zlokalizowane. Dopiero w 2014 r. Zbigniew Kobyliński i Jacek Wysocki dokonali jego identyfikacji w czasie analizy zobrazowań ALS.

Badania wykopaliskowe grodziska w ramach projektu badawczego *Katalog grodzisk Warmii i Mazur* przeprowadzono w 2014 r. Na terenie grodziska założono pięć wykopów, zarówno na majdanie i wale grodu, jak i w obszarze umocnień podgrodzia (ryc. 17).

Wykop 1 o wymiarach 2 x 4 m wytyczono w południowej części stanowiska, w obniżeniu przy południowym stoku zewnętrznego wału grodziska. Wykop zlokalizowano po osi w przybliżeniu N–S, prostopadle do osi wału. Zadokumentowane nawarstwienia kulturowe na wykopie sięgały blisko 1 m.

Wykop 2 o wymiarach 2 x 5 m założono na zewnętrznym wale grodziska, po osi w przybliżeniu N–S, przecinając stok i szczyt wału prostopadle do jego osi. Południowo-wschodni narożnik wykopu stykał się z północno-zachodnim narożnikiem wykopu 1. Głębokość nawarstwień kulturowych sięgała 2 m.

Wykop 3 o wymiarach 1,5 x 8 m założono na wewnętrznym wale grodziska, oddzielającym gród od części podgrodzia. Usytuowany został prostopadle do osi wału, w przybliżeniu N–S. Głębokość nawarstwień wynosiła 0,5–1,6 m.

Wykop 4 został założony w centralnej części majdanu grodziska, na obszarze lekko podniesionego terenu. Początkowo miał wymiary 1 x 7 m, jednak ze względu na odsłonięte struktury został poszerzony w części północnej o 1 m w kierunku wschodnim i zachodnim na odcinku 3 m. Nawarstwienia kulturowe zostały zarejestrowane do głębokości 0,75 m.

Wykop 5 o wymiarach 1 x 6 m założono na majdanie przy północnej krawędzi grodziska. Zlokalizowany został po osi NE–SW. Głębokość wykopu wyniosła 0,2–0,4 m.

Stratygrafia stanowiska

W trakcie badań archeologicznych przeprowadzonych w 2014 roku wydzielono łącznie 66 jednostek stratygraficznych, które podzielono na cztery fazy związane z użytkowaniem i opuszczeniem grodu (tab. 1 i ryc. 18–30).

[4] Crome 1937: 109, 1938: 202.

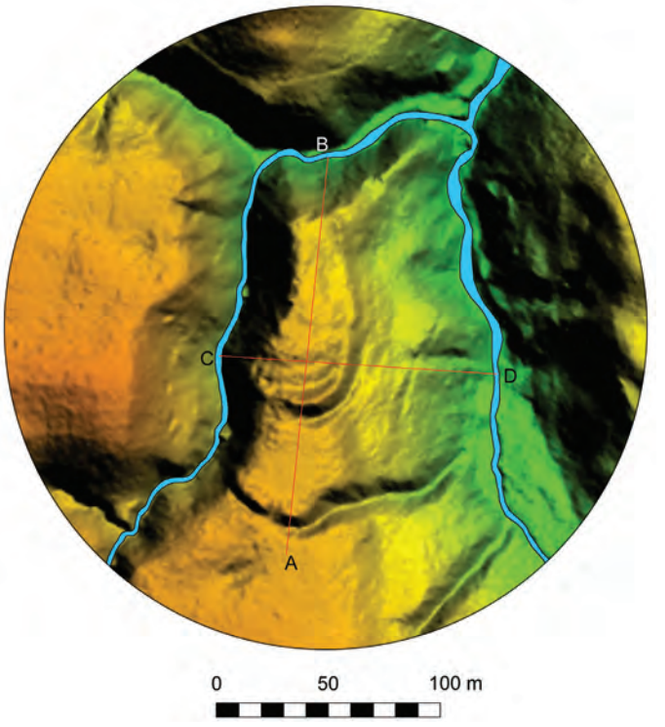

Ryc. 12. Grodzisko w Raciszewie, st. 9 na zobrazowaniu ALS (na podstawie materiałów CODGiK, oprac. R. Solecki)

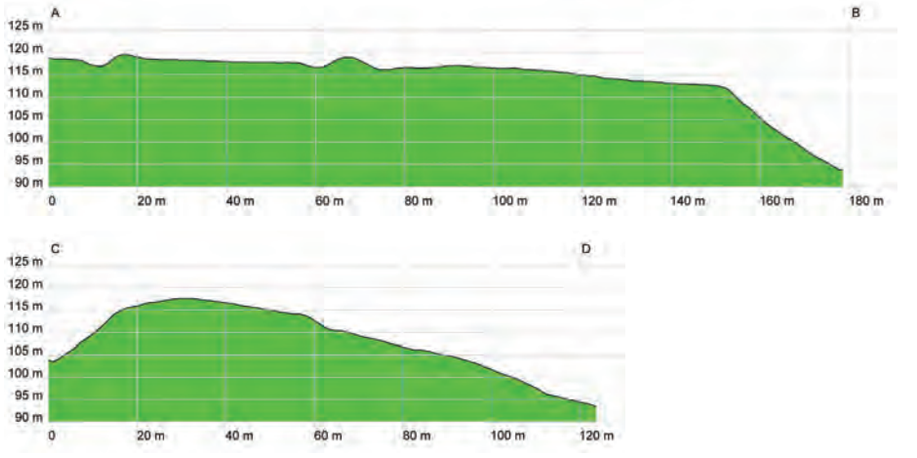

Ryc. 13. Przekroje grodziska w Raciszewie, st. 9 uzyskany z danych ALS (na podstawie materiałów CODGiK, oprac. R. Solecki)

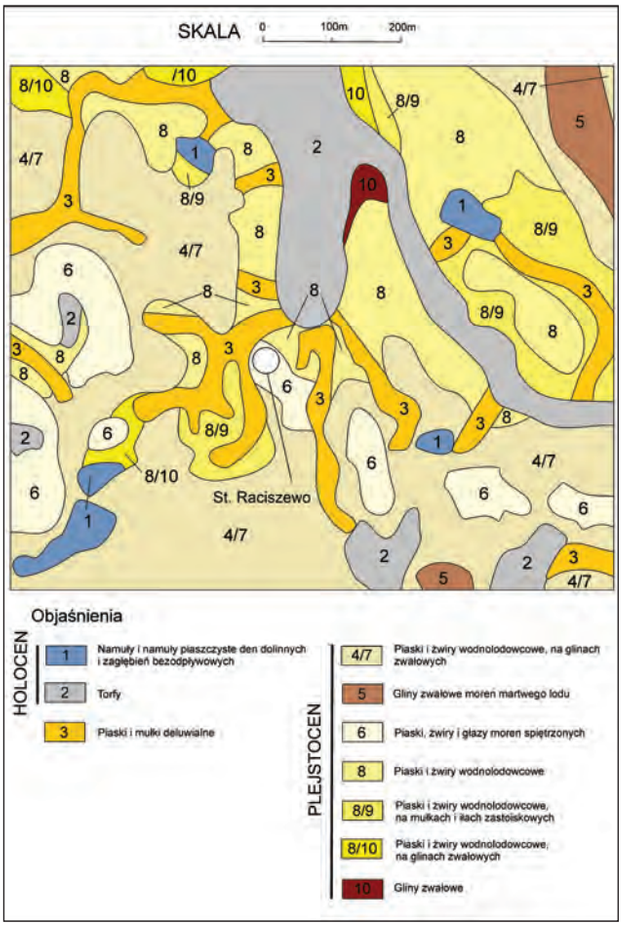

Ryc. 14. Mapa geologiczna okolic grodziska w Raciszewie, st. 9 (oprac. J. Nitychoruk i F. Welc)

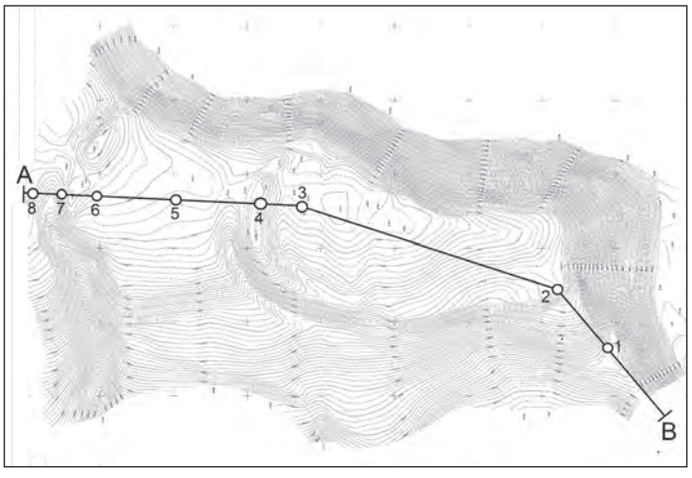

Ryc. 15. Plan warstwicowy grodziska w Raciszewie, st. 9 (wyk. J. Błaszczyk) z zaznaczonymi miejscami wierceń geologicznych (oprac. J. Nitychoruk i F. Welc)

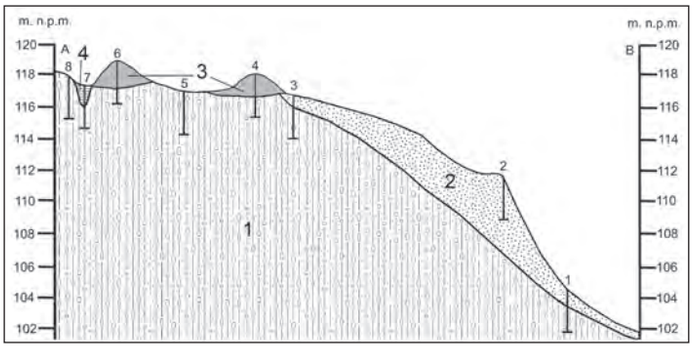

Ryc. 16. Raciszewo, st. 9. Przekrój geologiczny: 1 – glina zwałowa, 2 – piaski i mułki, 3 – nasypy piaszczysto-gliniaste wałów, 4 – mułki i piaski z organiką, wypełnisko fosy (oprac. J. Nitychoruk i F. Welc)

Warstwy naturalne

Podczas prac zadokumentowano następujące warstwy naturalne: 8=10=20=29 (W1, W2), 24=30 i 36 (W3), 56=57=60=62=63 (W4) oraz 54 i 55 (W5). W wykopie 1 (w obniżeniu przy wale zewnętrznym) oraz w wykopie 2 (na zewnętrznym wale grodziska) warstwy kulturowe zalegały na jasnożółto-białym zbitym piasku z wytrąceniami i soczewkami pomarańczowej gliny. Wewnętrzny wał grodziska (wykop 3) usypany został na ciemnobrunatno-rdzawej zbitej glinie z szarymi wtrętami wapiennymi w postaci małych i średnich kamyczków oraz zglinionym zbitym jasnożółtym piasku, a w części S wykopu zadokumentowano jako calec także zbity jasnopomarańczowy piasek. W wykopie 4 (na majdanie grodziska) warstwy kulturowe spoczywały na białym lub jasnożółtym ile, beżowo-rdzawej glinie układającej się pasmami wraz z żółtym piaskiem, a także soczewkach pomarańczowej i rdzawobrunatnej gliny. Natomiast w wykopie 5 (na północnej krawędzi grodziska) występował beżowo-żółty piasek o dość zbitej strukturze z wtrętami rdzawej gliny oraz sypki jasnożółty piasek.

Faza I – wczesna epoka żelaza

Faza I wiąże się z budową i użytkowaniem grodu we wczesnej epoce żelaza. Fazę tę zaobserwowano we wszystkich odsłoniętych wykopach. Należą do niej jednostki zadokumentowane w obniżeniu przy wale zewnętrznym (W1): zalegająca na powierzchni całego wykopu warstwa niejednorodnej, piaszczysto-gliniastej ziemi 2, w której odkryto sześć fragmentów ceramiki; a także warstwa gliny z wtrętami zglinionego piasku 5 (widoczna także w południowo-wschodniej części wykopu 2), w której zadokumentowano dwa fragmenty ceramiki.

Zewnętrzny wał grodziska (W2) został usypany z następujących warstw: rdzawo-brunatnego piasku 37 z wtrętami jasnego żółtawego piasku przy spągu; gliniastej warstwy z wtrętami żółtego piasku z drobinami węgli drzewnych 28=35, w której natrafiono na dwadzieścia fragmentów ceramiki; soczewki jasnożółtego zglinionego piasku 33; rdzawobrunatnego zglinionego piasku 34; jasno beżowo-żółtej gliniasto-piaszczystej warstwy 27; pomarańczowej gliny z pla-

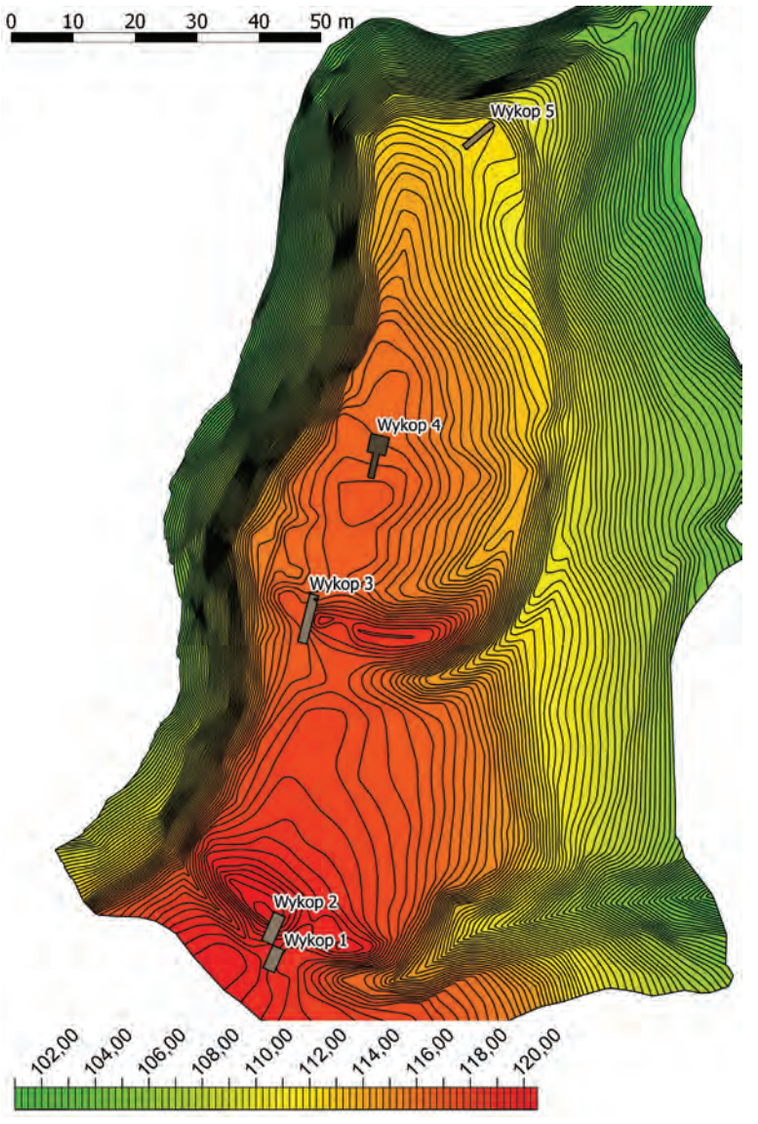

Ryc. 17. Plan sytuacyjno-wysokościowy grodziska w Raciszewie, st. 9 z rozmieszczeniem wykopów i wierceń z sezonu 2014 (na podstawie pomiarów J. Błaszczyka, oprac. R. Solecki)

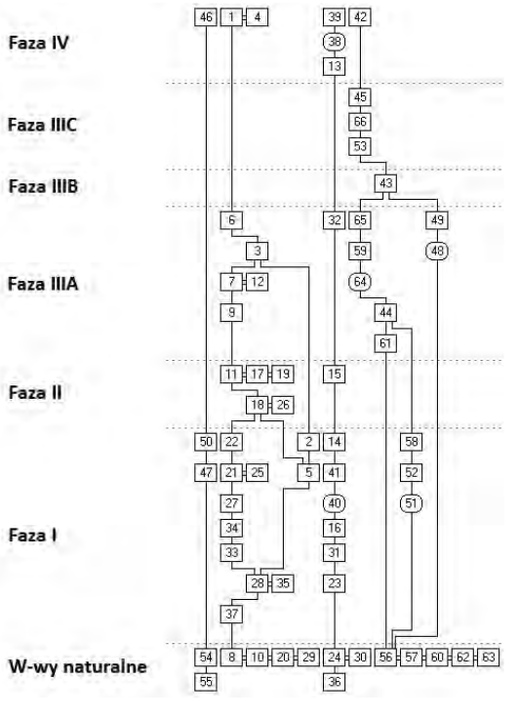

Ryc. 18. Raciszewo, st. 9. Diagram relacji stratygraficznych (oprac. K. Rabiega)

mistym jasnożółto-szarym piaskiem 21=25; a także z układającej się pasmami szaro-czarnej piaszczystej warstwy 22 (ryc. 27).

W zagłębieniu przy wewnętrznym wale grodziska (W3) na warstwach naturalnych spoczywała popielato-szara piaszczysta warstwa z węglami drzewnymi i wtrętami rdzawej glinki 23, z której zebrano pięć fragmentów ceramiki; a także ciemnobrunatno-szary zgliniony piasek z czarnymi i rdzawymi wtrętami 31, gdzie znajdowały się węgle drzewne. Wewnętrzny wał grodziska został usypany także na jasnobeżowym zbitym, zglinionym piasku z rdzawymi wtrętami, drobnymi węglami drzewnymi 16 (warstwa przygotowań pod budowę grodu), w którym znaleziono szesnaście fragmentów ceramiki. W warstwę tę wkopany został obiekt o nieregularnym kształcie 40 z wypełniskiem brunatno-pomarańczowej zbitej gliny 41, w którym nie znaleziono materiału zabytkowego (ryc. 28). Nasyp wału składał się z rdzawo-brunatnej zbitej gliny z biało-szarymi wtrętami 14, w której występowały drobne kamienie (ryc. 29–30).

Fazę wczesnej epoki żelaza zadokumentowano także na majdanie grodziska (W4). Nad warstwą naturalną odkryto obiekt 51, o wymiarach w przybliżeniu 64 x 80 cm, stanowiący prawdopodobnie pozostałość po jamie gospodarczej (ryc. 28–29). W jego wypełnisku częściowo zalegała warstwa ciemnoszarego lekko zglinionego piasku z węglami drzewnymi 52 o miąższości 35 cm, w której natrafiono na fragmenty ceramiki z wczesnej epoki żelaza (ryc. 29). Nad wypełniskiem znajdowała się warstwa jasnoszaro-żółtego ilastego piasku z wtrętami węgla drzewnego 58, która stanowiła poziom użytkowy (ryc. 26).

Do tej fazy należą także jednostki odsłonięte na północno-wschodniej krawędzi powierzchni grodziska (W5): jasnożółto-beżowy piasek, z przemyciami humusu 47 oraz widoczna jedynie w planie warstwa siwego piasku z wtrętami węgli drzewnych 50.

Faza II – opuszczenie grodziska z wczesnej epoki żelaza

O fazie opuszczenia grodziska świadczą warstwy osuwiskowe zewnętrznego wału (W2): brunatno-ceglasta glina i pasma szaro-żółtego piasku z rdzawymi gliniastymi wtrętami 18=26, w której zalegały

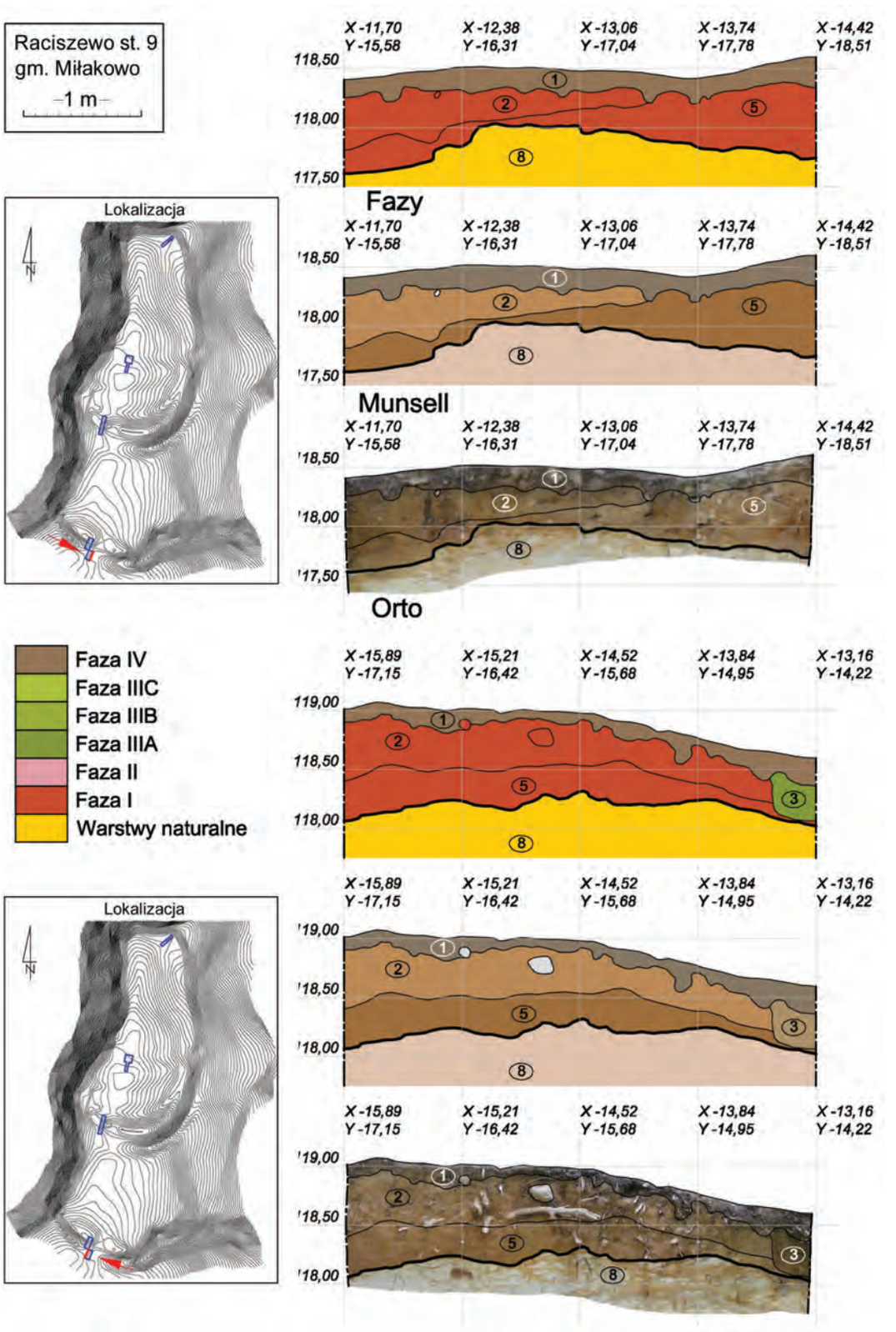

Ryc. 19. Raciszewo, st. 9. Stratygrafia widoczna w ścianie wschodniej i zachodniej wykopu 1 (oprac. K. Rabiega i R. Solecki)

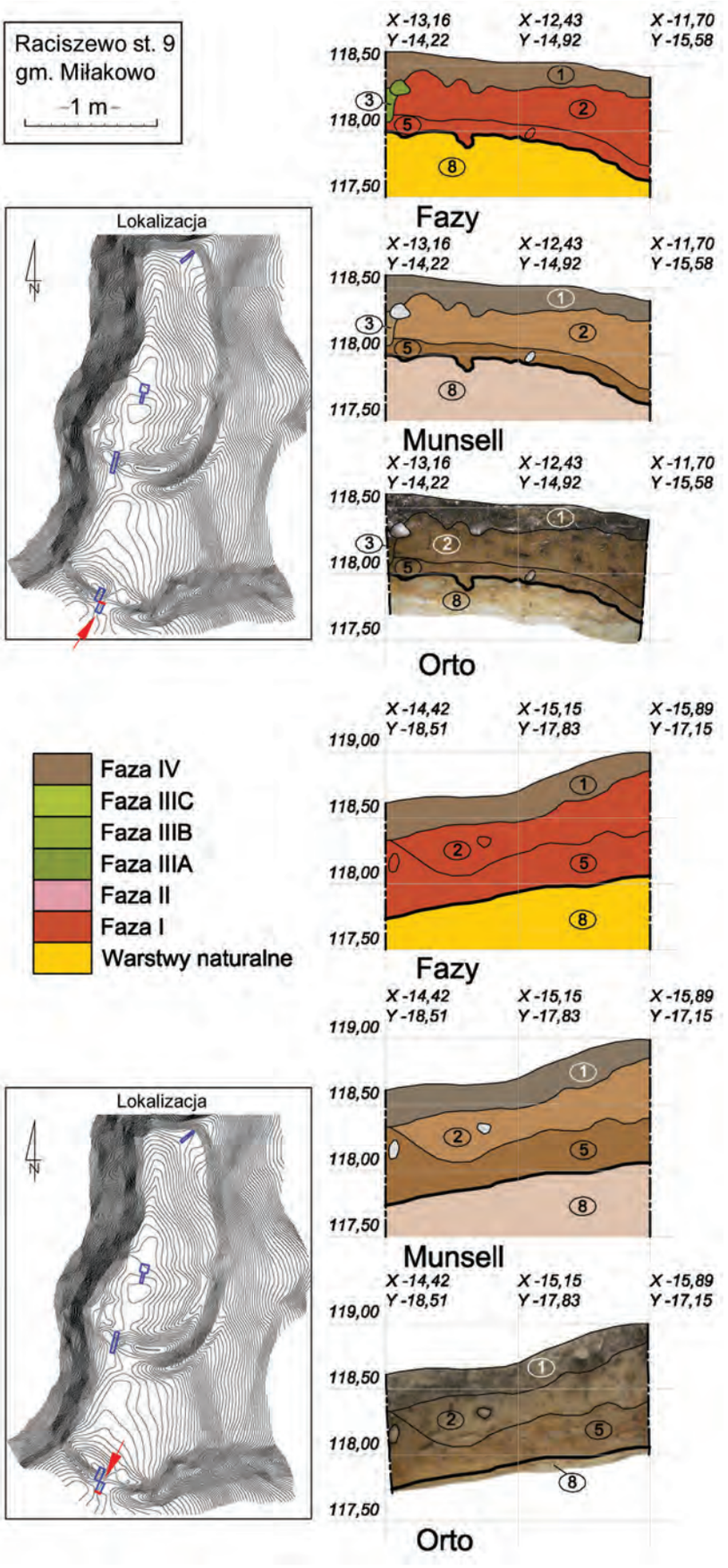

Ryc. 20. Raciszewo, st. 9. Stratygrafia widoczna w ścianie północnej wykopu 1 (oprac. K. Rabiega i R. Solecki)

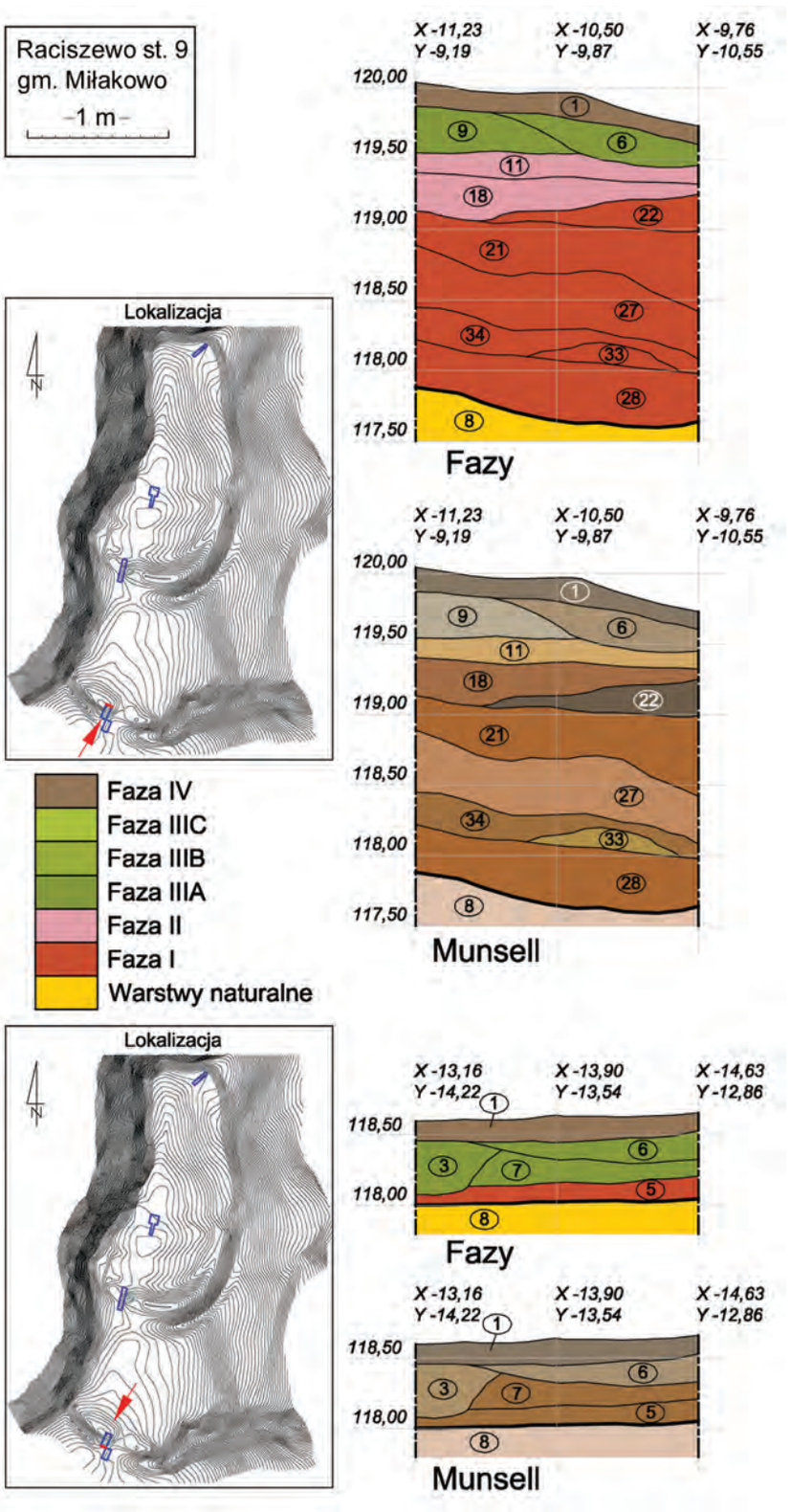

Ryc. 21. Raciszewo, st. 9. Stratygrafia widoczna w ścianie północnej i południowej wykopu 2 (oprac. K. Rabiega i R. Solecki)

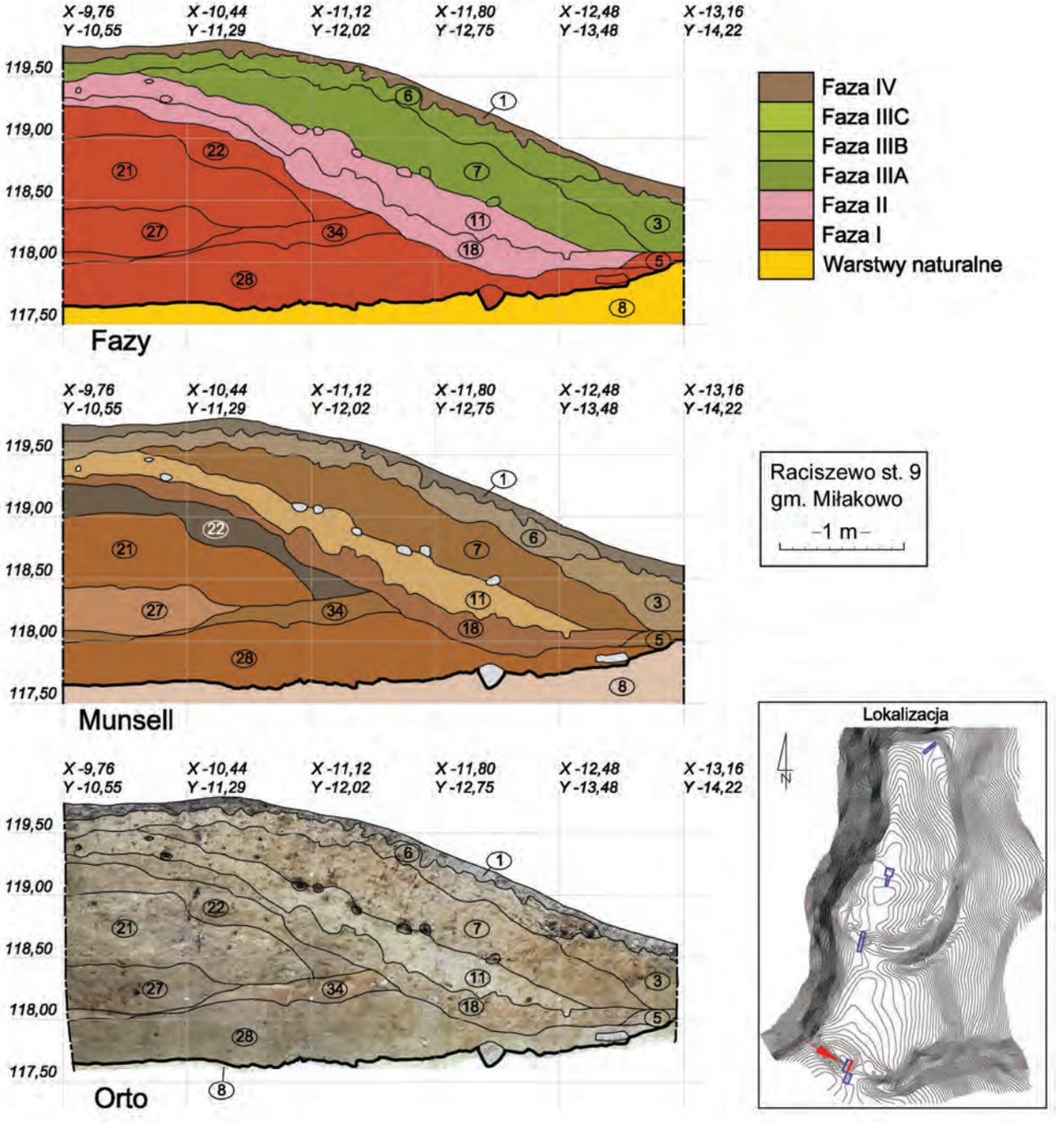

Ryc. 22. Raciszewo, st. 9. Stratygrafia widoczna w ścianie wschodniej wykopu 2 (oprac. K. Rabiega i R. Solecki)

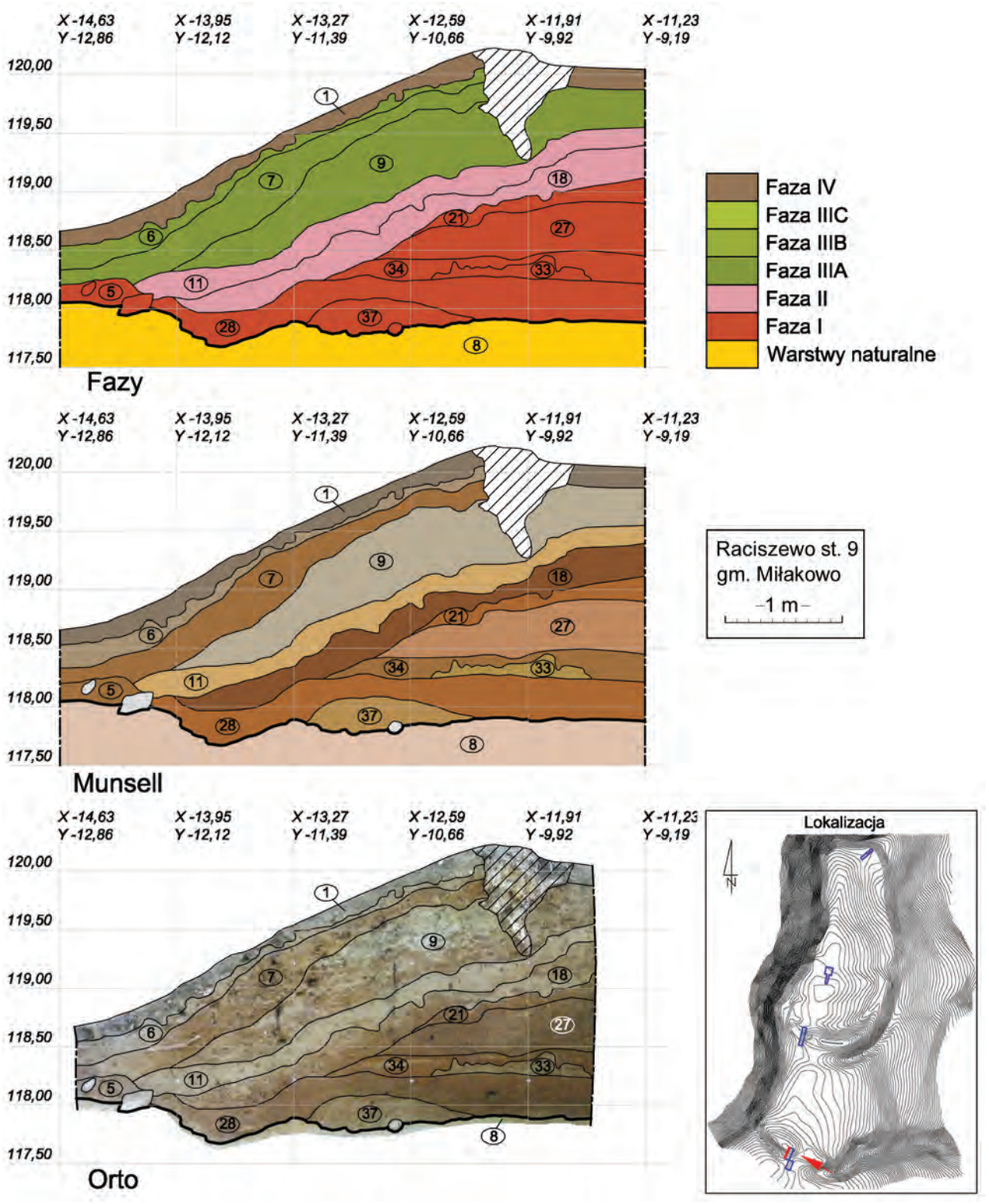

Ryc. 23. Raciszewo, st. 9. Stratygrafia widoczna w ścianie zachodniej wykopu 2 (oprac. K. Rabiega i R. Solecki)

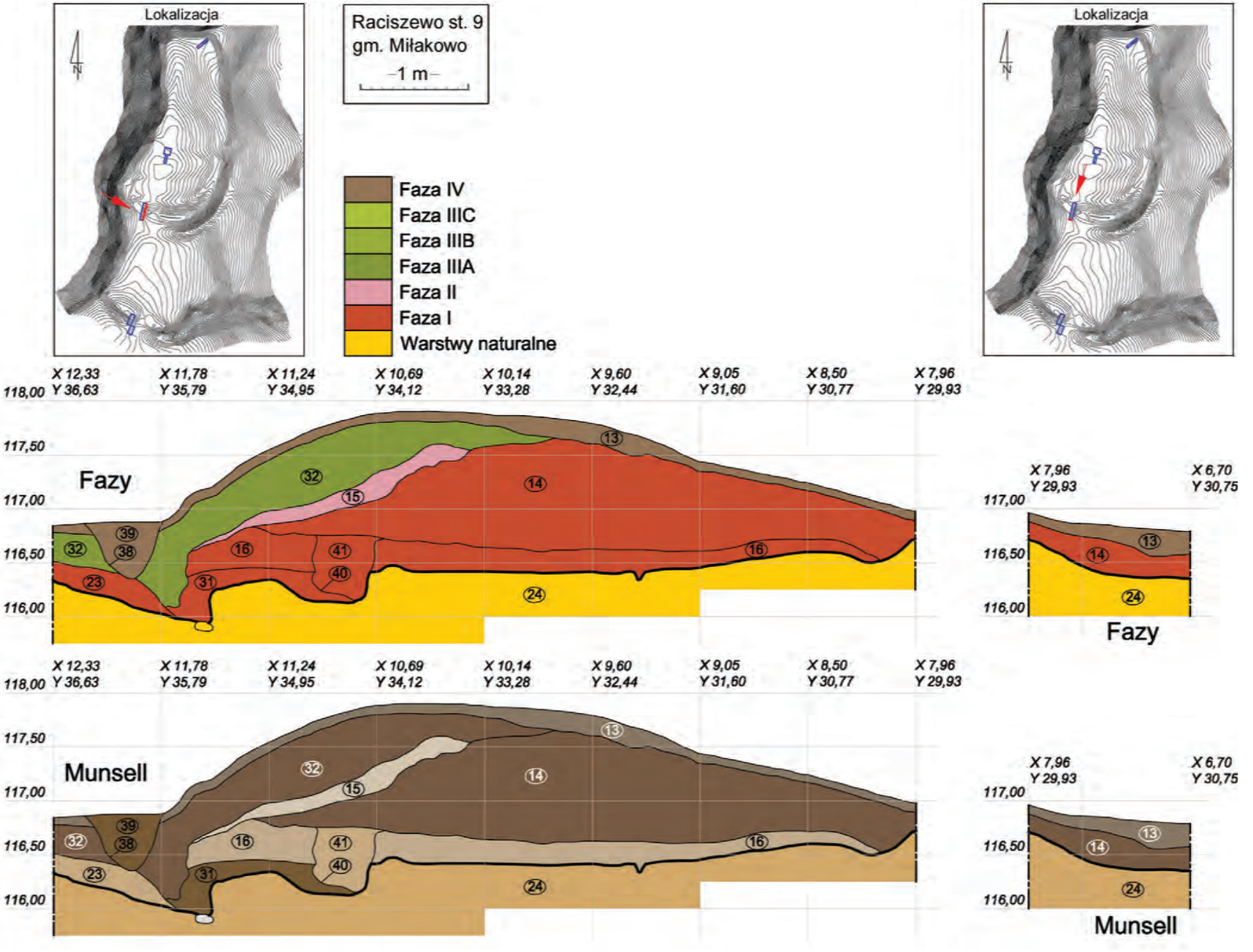

Ryc. 24. Raciszewo, st. 9. Stratygrafia widoczna w ścianie wschodniej i południowej wykopu 3 (oprac. K. Rabiega i R. Solecki)

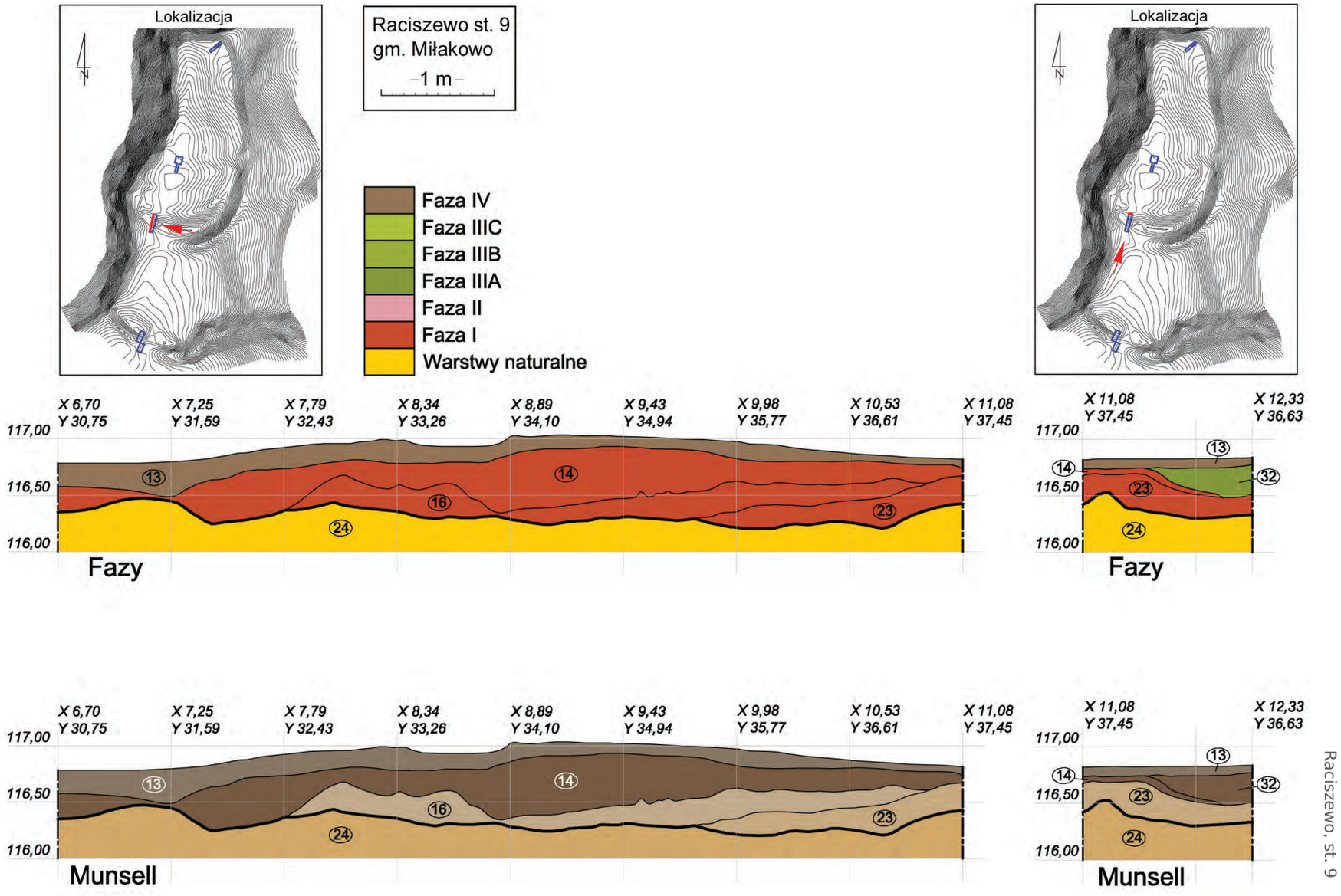

Ryc. 25. Raciszewo, st. 9. Stratygrafia widoczna w ścianie północnej i zachodniej wykopu 3 (oprac. K. Rabiega i R. Solecki)

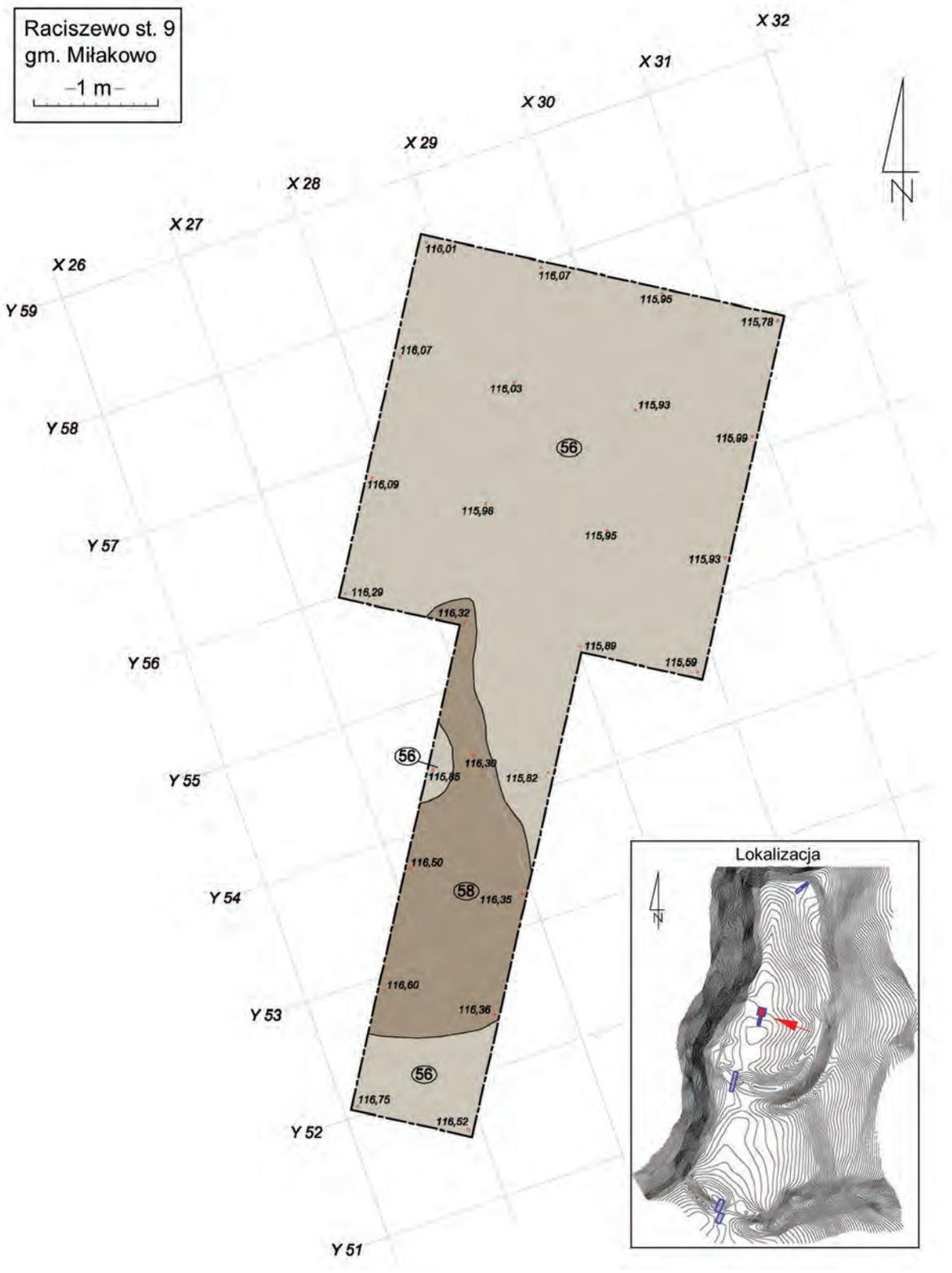

Ryc. 26. Raciszewo, st. 9. Plan nawarstwień i obiektów z Fazy I w wykopie 4 (oprac. K. Rabiega i R. Solecki)

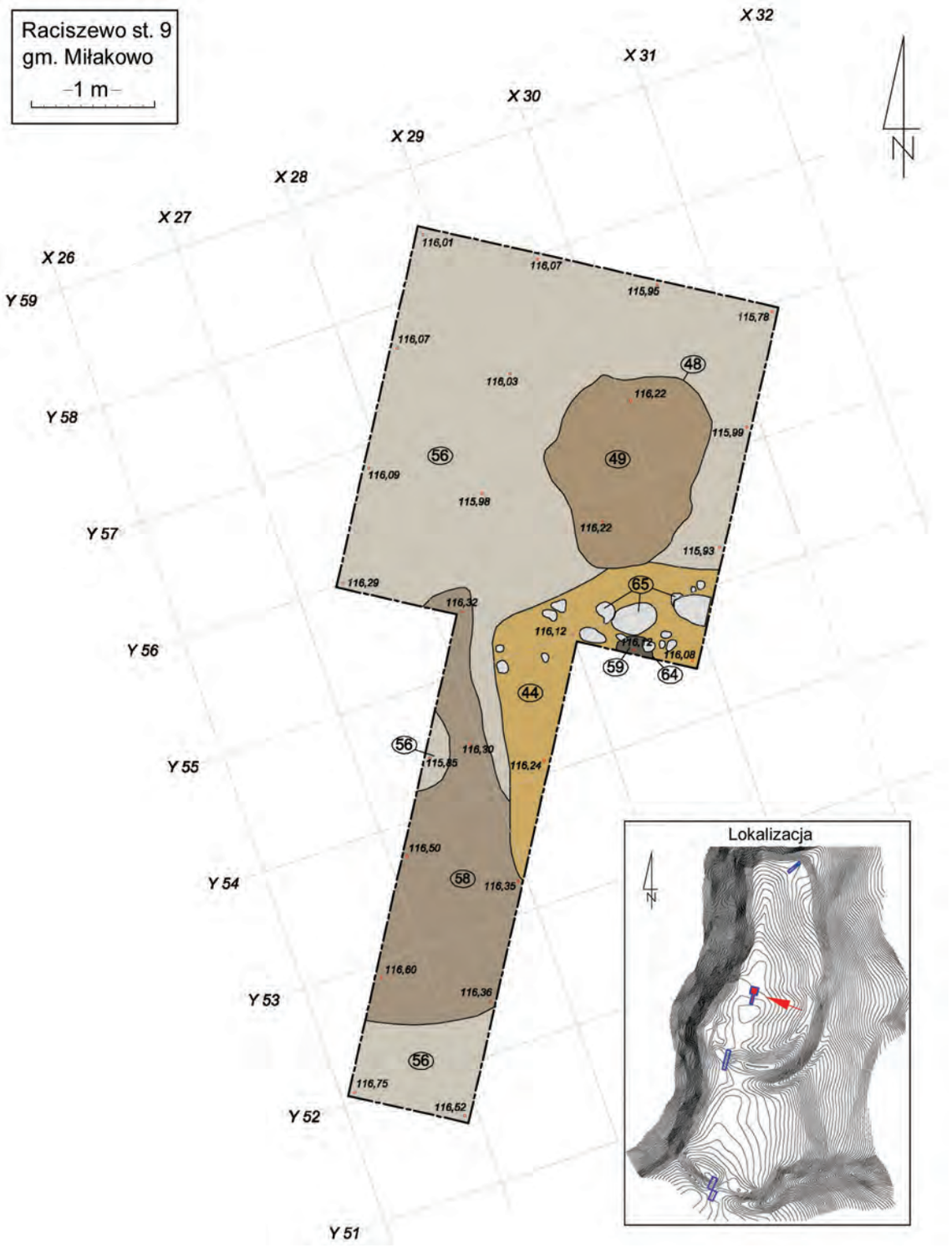

Ryc. 27. Raciszewo, st. 9. Plan nawarstwień i obiektów z Fazy IIIA w wykopie 4 (oprac. K. Rabiega i R. Solecki)

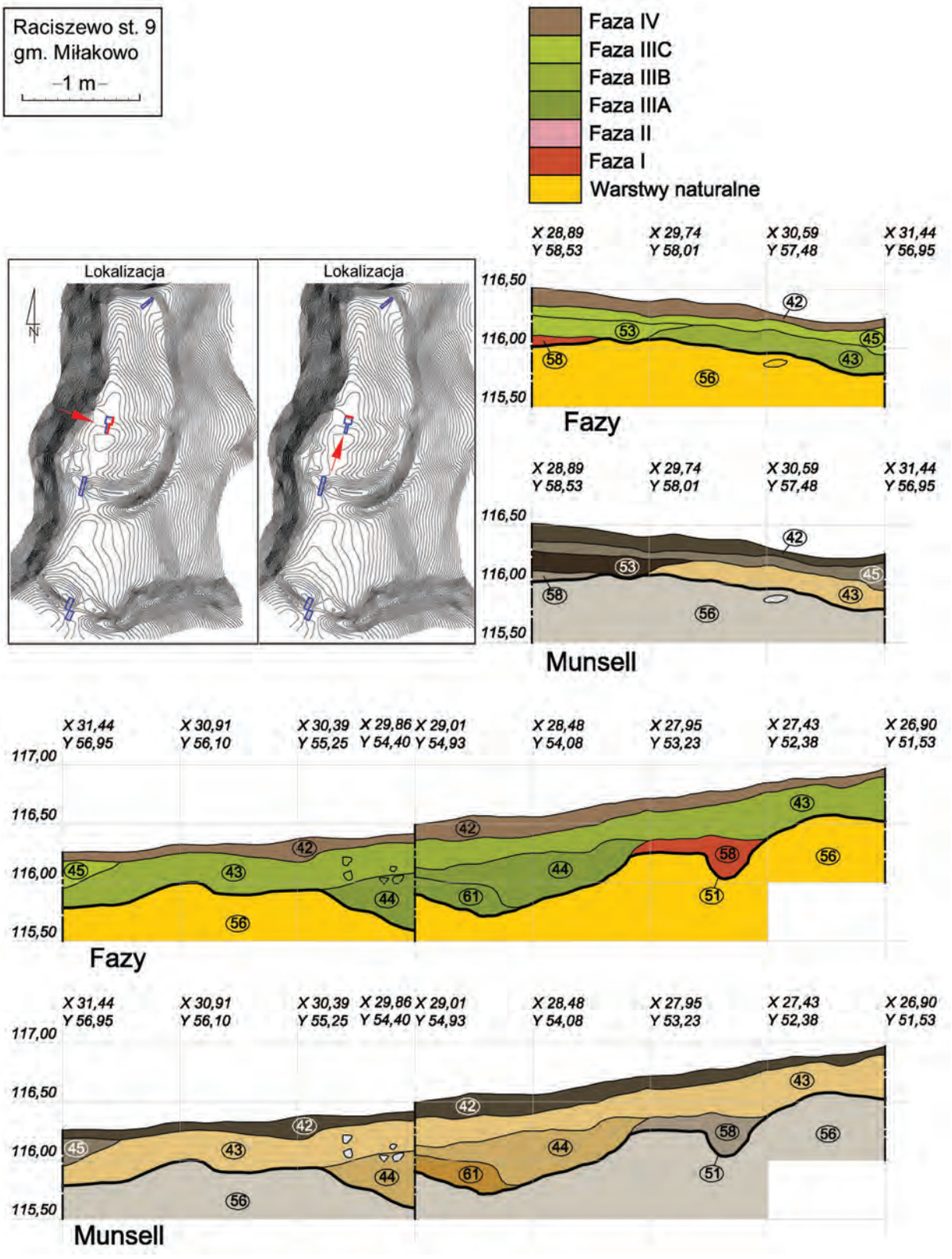

Ryc. 28. Raciszewo, st. 9. Przekroje przez stratygrafię nawarstwień w wykopie 4 (oprac. K. Rabiega i R. Solecki)

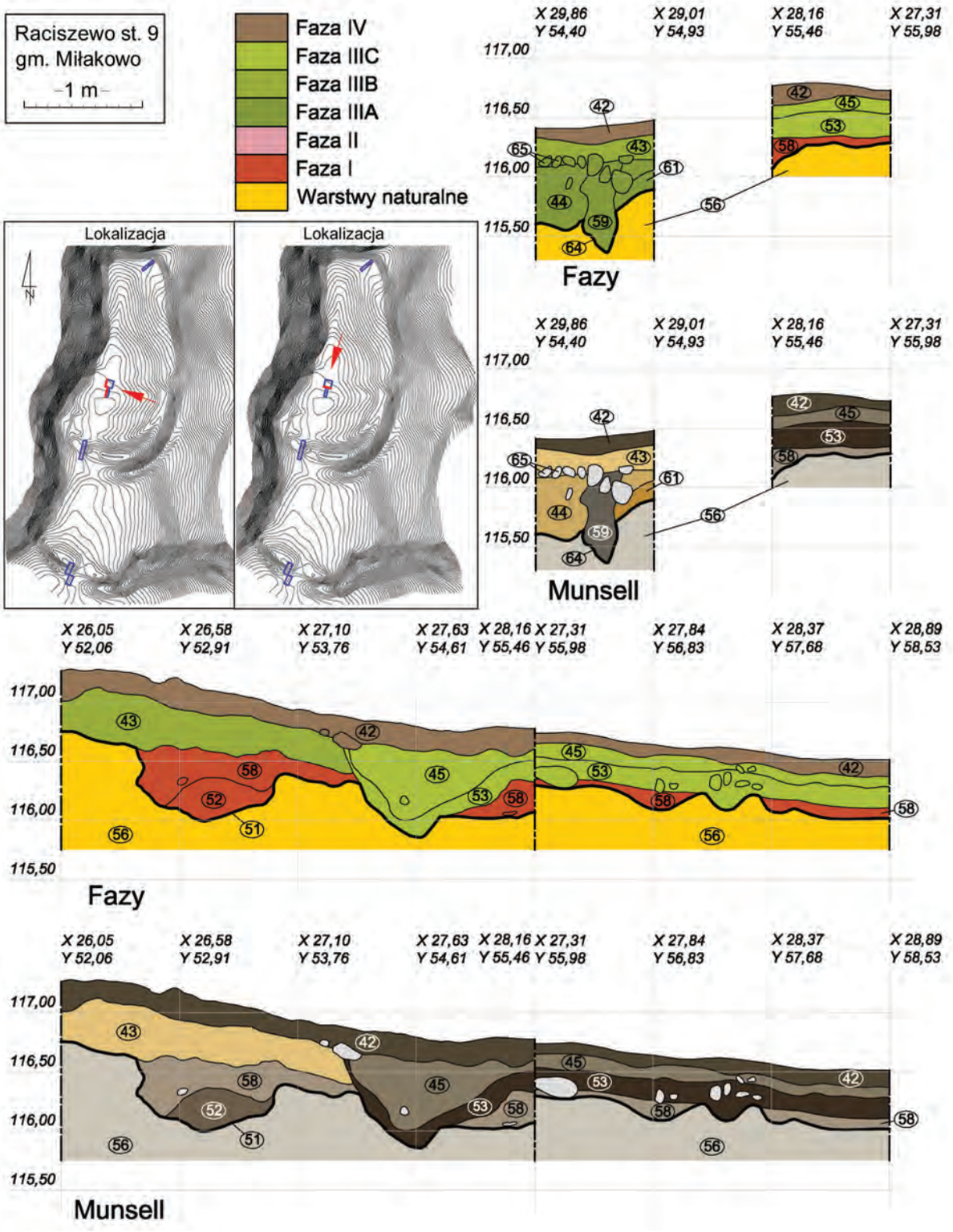

Ryc. 29. Raciszewo, st. 9. Przekroje przez stratygrafię nawarstwień w wykopie 4 (oprac. K. Rabiega i R. Solecki)

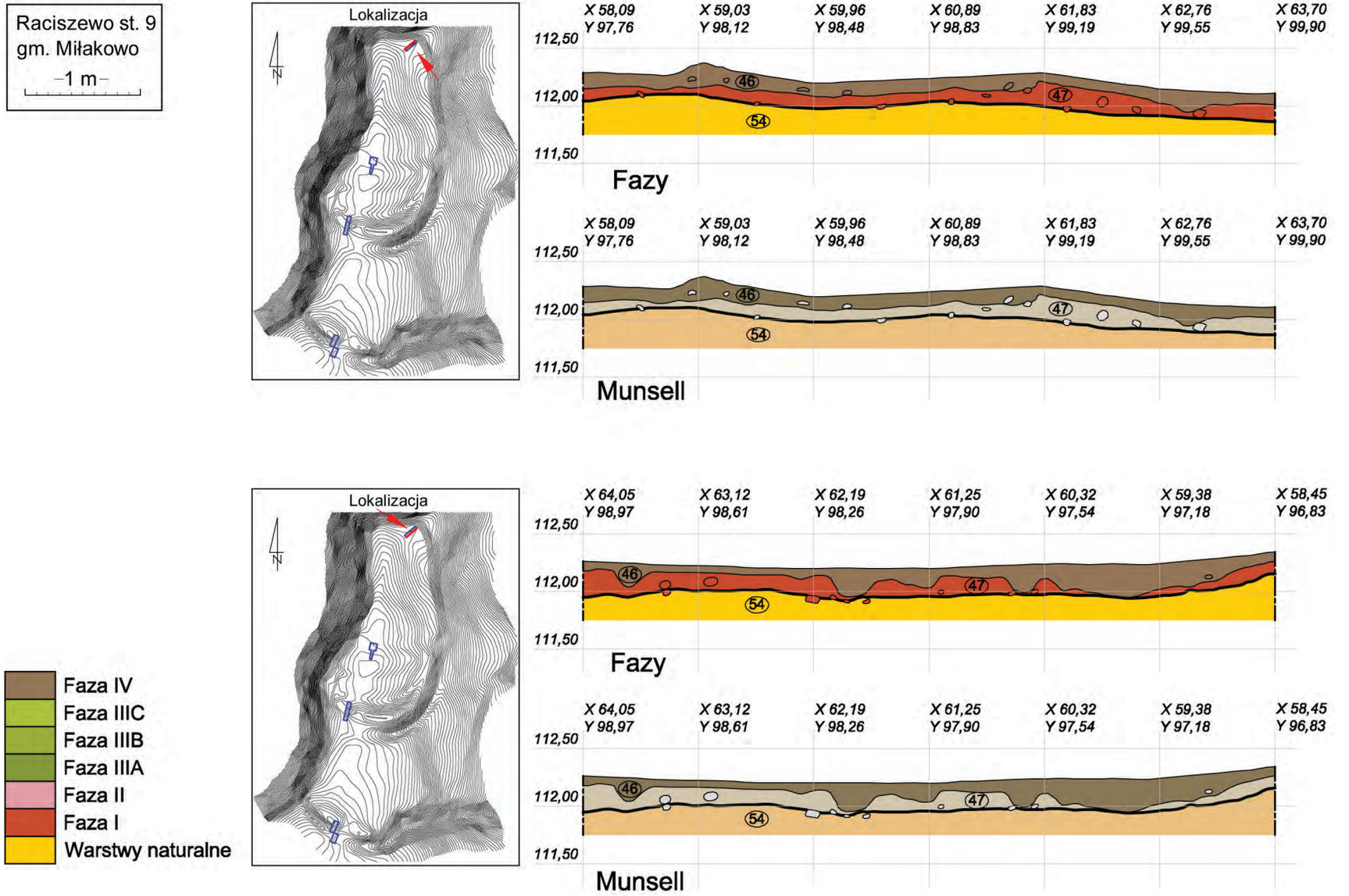

Ryc. 30. Raciszewo, st. 9. Przekroje przez stratygrafię nawarstwień w wykopie 5 (oprac. K. Rabiega i R. Solecki)

Tabela 1. Opis poszczególnych jednostek stratygraficznych grodziska w Raciszewie (oprac. K. Rabiega)

Numer jednostki stratygraficznej	Numer obiektu	Numer wykopu	Położenie w obrębie stanowiska	Współrzędne siatki pomiarowej stanowiska	Opis jednostki stratygraficznej	Barwa (Munsell)	Pozycja stratygraficzna	
							Znajduje się pod	Znajduje się nad
1=4	-	1, 2	Fosa południowa i wał zawnętrzny	X=–15,89– –9,76; Y=–18,51– –9,19	Jednorodna warstwa próchniczna o spójnej strukturze sedymentu; w jej obrębie liczne kamienie; humus leśny; miąższość do 20 cm	10YR 5/2	-	2, 3, 5, 6, 9
2	-	1	Fosa południowa	X=–15,89– –11,70; Y=–18– –14,40	Niejednorodna, piaszczysto-gliniasta ziemia; wypełnisko fosy; miąższość do 45 cm	7,5YR 6/6	1, 3	5
3	-	1, 2	Południowe podnóże wału zewnętrznego	X=–13,60– –12,48; Y=–14,30– –13,48	Warstwa zbitej gliny; wypełnisko fosy; miąższość do 30 cm	10YR 6/4	1, 6	2, 5, 7
5	-	1, 2	Fosa południowa i podnóże wału zewnętrznego	X=–15,89– –11,70; Y=–18,51– –12,50	Warstwa gliny z wtrętami zglinionego piasku; poziom użytkowy; miąższość do 60 cm	7,5YR 5/6	1, 2, 3, 7, 11, 18	8, 28
6	-	2	Południowy stok wału zewnętrznego	X=–14,63– –9,76; Y=–13,80– –9,60	Warstwa zbitej jasnej gliny; nasyp wału; miąższość do 20 cm	10YR 6/3	1	3, 7, 9, 11
7=12	-	2	Południowy stok wału zewnętrznego	X=–14,63– –10,15; Y=–13,70– –10,50	Warstwa zwartej gliny i zbitego piasku; nasyp wału; miąższość do 40 cm	7,5YR 5/6	3, 6	5, 9, 11, 18
8=10=20=29	-	1, 2	Fosa południowa i wał zawnętrzny	X=–15,89– –9,76; Y=–18,51– –9,19	Zbity jasny piasek z wytrąceniami pomarańczowej gliny; calec	5Y 8/3	5, 28, 37	-
9	-	2	Południowy stok wału zewnętrznego	X=–13,95– –10,50; Y=–12,12– –9,19	Niejednorodna warstwa sypkiego piasku z frakcjami gliniastymi; nasyp wału; miąższość do 60 cm	2,5Y 7/2	1, 6, 7	11
11=17=19	-	2	Wał zewnętrzny	X=–14,15– –9,76; Y=–13,48– –9,19	Zbity bielicowy piasek z drobnymi węgielkami drzewnymi; warstwa erozyjna; miąższość do 25 cm	10YR 6/6	6, 7, 9	5, 18, 28
13	-	3	Wał wewnętrzny	X=6,70–12,33; Y= 29,93–37,45	Próchniczna warstwa piaszczysnej ziemi; humus leśny; miąższość do 25 cm	10YR 5/2	38	14, 32
14	-	3	Wał wewnętrzny	X=6,70–11,50; Y=29,93–37,45	Zbita glina; w jej obrębie drobne kamienie; nasyp wału; miąższość do 90 cm	7,5YR 4/3	13, 15, 32	16, 23, 24, 40, 41
15	-	3	Północny stok wału wewnętrznego	X=10,20–11,50; Y=33,40–35,50	Zbity zgliniony bielicowy piasek; warstwa erozyjna; miąższość do 18 cm	10YR 8/2	32	14, 16
16	-	3	Podstawa wału wewnętrznego	X=7,79–11,40; Y=30,30–37,10	Zbity zgliniony piasek z rdzawymi wtrętami i drobnymi węgielkami drzewnym; podstawa wału wewnętrznego; miąższość do 35 cm	10YR 7/3	14, 15, 32, 40	23, 24, 31
18=26	-	2	Południowy stok wału zewnętrznego	X=–13,95– –9,76; Y=–13,60– –9,19	Piaszczysta warstwa z rdzawymi gliniastymi wtrętami; warstwa osuwiskowa ze szczytu wału; miąższość do 25 cm	5YR 4/6	7, 11	5, 21, 22, 27, 28, 34
21=25	-	2	Wał zewnętrzny	X=–12,50– –9,76; Y=–12,02– –9,19	Piaszczysto-gliniasta warstwa układająca się pasmami; górna warstwa nasypu wału z wczesnej epoki żelaza; miąższość do 55 cm	5YR 5/8	18, 22	27, 34
22	-	2	Wał zewnętrzny	X= –11,30– –9,76; Y= –12,20– –9,50	Warstwa piaszczysta; nasyp wału; miąższość do 25 cm	10YR 4/2	18	21, 34
23	-	3	Zagłębienie przy wale wewnętrznym	X=9,70–12,33; Y=35,60–37,45	Piaszczysta warstwa z węgielkami drzewnymi i wtrętami rdzawej gliny; poziom użytkowyl miąższość do 30 cm	10YR 7/4	14, 16, 31, 32, 38	24
24=30	-	3	Wał wewnętrzny	X=6,70–12,33; Y= 29,93–37,45	Zbita, piaszczysto-gliniasta warstwa; calec	5YR 4/4	14, 16, 23, 31, 40	36
27	-	2	Wał zewnętrzny	X=–12,70– –9,76; Y=–11,40– –9,19	Gliniasto-piaszczysta ziemia; nasyp wału; miąższość do 40 cm	5YR 6/6	18, 21	34
28=35	-	2	Wał zewnętrzny	X=–14,10– –9,76; Y=–14– –9,19	Gliniasta warstwa z wtrętami żółtego piasku; występowały drobne węgle drzewne; nasyp wału; miąższość do 50 cm	5YR 5/8	5, 11, 18, 33, 34	8, 37
31	-	3	Podstawa wału wewnętrznego	X=10,69–11,78; Y=34,12–35,79	Zgliniony piasek z występującymi węgielkami drzewnymi; warstwa pod nasypem wału; miąższość do 25 cm	10YR 4/4	16, 32, 40	23, 24
32	-	3	Północny stok wału wewnętrznego	X=9,85–12,33; Y=32,70–37	Gliniasta ziemia; najmłodszy nasyp wału; miąższość do 65 cm	7,5YR 4/3	13, 38,	14, 15, 16, 23, 31
33	-	2	Wał zewnętrzny	X=–12,40– –9,80; Y=–10,50– –9,19	Soczewki gliniasto-piaszczyste w nasypie wału; miąższość do 13 cm	2,5Y 6/6	34	28

Tabela 1. Ciąg dalszy

Numer jednostki stratygraficznej	Numer obiektu	Numer wykopu	Położenie w obrębie stanowiska	Współrzędne siatki pomiarowej stanowiska	Opis jednostki stratygraficznej	Barwa (Munsell)	Pozycja stratygraficzna	
							Znajduje się pod	Znajduje się nad
34	-	2	Wał zewnętrzny	X=–13,15– –9,76; Y=–12,40– –9,19	Zwarta gliniasta ziemia; nasyp wału; miąższość do 13 cm	7,5YR 5/6	18, 21, 22, 27	28, 33
36	-	3	Wał wewnętrzny; S część wykopu	X=8–8,75; Y=29–31,20	Zbity piasek; calec	10YR 7/4	24	-
37	-	2	Wał zewnętrzny	X=–13,20– –12,30; Y=–11,30– –10,30	Piaszczysto-gliniasta ziemia; nasyp wału; miąższość do 30 cm	10YR 6/6	28	8
38	38	3	Zagłębienie przy wale wewnętrznym	X=11,78–12–20; Y=35,79–36,50	Obiekt o przekroju owalnym w planie, lejowaty w profilu; widoczny w E profilu wykopu; współczesny wkop; głębokość 53 cm		39	13, 23, 32
39	38	3	Zagłębienie przy wale wewnętrznym	X=11,78–12–20; Y=35,79–36,50	Gliniasto-piaszczyste wypełnisko współczesnego wkopu 38; miąższość do 53 cm	10YR 4/4	-	38
40	40	3	Podstawa wału wewnętrznego	X=10,69–11,05; Y=34,12–34,60	Obiekt widoczny w E profilu, kształt nieregularany przekrój podłużny zbliżony do prostokąta; dół posłupowy z poziomu użytkowego pod nasypem wału; szerokość ok. 54 cm; głębokość 60 cm		14, 41	16, 24, 31
41	40	3	Podstawa wału wewnętrznego	X=10,69–11,05; Y=34,12–34,60	Zbita glina; wypełnisko obiektu (dołu posłupowego) 41; miąższość do 60 cm	10YR 7/4	14	40
42	-	4	Majdan grodziska	X=26,05–31,44; Y=52,06–58,53	Piaszczysta ziemia; humus leśny; miąższość do 20 cm	2,5Y 3/2	-	43, 45, 53
43	-	4	Majdan grodziska	X=26,05–31,44; Y=51,53–58,01	Zgliniony piasek, warstwa erozyjna po opuszczeniu grodziska we wczesnym średniowieczu; miąższość do 40 cm	2,5Y 8/6	42, 45, 53, 66	44, 48, 49, 56, 58, 59, 64, 65
44	-	4	Majdan grodziska	X=27,31–30,10; Y=53,23–58,53	Gliniasta ziemia; warstwa użytkowa; miąższość do 45 cm	2,5Y 7/6	43, 64, 65	56, 58, 61
45	-	4	Majdan grodziska	X=27,31–31,44; Y=55,46–58,53	Piasek z wtrętami węgla drzewnego; pozostałość drewnianej konstrukcj; miąższość do 60 cm	2,5Y 5/2	42	43, 48, 49, 53, 66
46	-	5	Północna krawędź grodziska	X=58,09–64,05; Y=96,83–99,90	Niejednorodna piaszczysta ziemia; humus leśny; miąższość do 27 cm	2,5Y 5/3	-	47, 50
47	-	5	Północna krawędź grodziska	X=58,09–64,05; Y=96,83–99,90	Luźna piaszczysta ziemia; niejednorodna; warstwa użytkowa; miąższość do 15 cm	2,5Y 8/2	46, 50	54, 55
48	48	4	Majdan grodziska	X=30–31,20; Y=55–56,50	Obiekt z wypełniskiem 49; w N części wykopu; owalny kształt; wym. 120 x 160 cm; jama gospodarcza; gł. 30 cm		43, 45, 49	56
49	48	4	Majdan grodziska	X=30–31,20; Y=55–56,50	Piaszczysta ziemia z duża ilością węgli drzewnych, polepą i ceramiką; wypełnisko obiektu 48; miąższość do 25 cm	10YR 6/3	43, 45	48
50	-	5	Północna krawędź grodziska	X=62–63,35; Y=98,55–99,50	Pokład sypkiego piasku z wtrętami węgli drzewnych; relikty rozłożonego drewna; miąższość do 8 cm	10YR 6/2	46	47
51	51	4	Majdan grodziska	X=26,30–27,70; Y=–52,38–53,50	Obiekt w planie owalny, wym. 64 x 80 cm; jama gospodarcza; gł. do 50 cm		52, 58	56
52	51	4	Majdan grodziska	X=26,50–27; Y=52,80–53,50	Lekko zgliniony piasek z węglami drzewnymi, wypełnisko obiektu 51; miąższość do 35 cm	10YR 4/2	58	51
53	-	4	Majdan grodziska	X=27,31–30; Y=54–58,53	Piaszczysto-gliniasta ziemia; warstwa użytkowa, znajdujący się przy bruku kamiennym 66; miąższość do 30 cm	10YR 2,5/2	42, 45, 66	43, 56, 58
54	-	5	Północna krawędź grodziska	X=58,09–61; Y=96,83–98,65	Piasek o dość zbitej strukturze z wtrętami rdzawej gliny; warstwa naturalna	10YR 7/4	47	55
55	-	5	Północna krawędź grodziska	X=60,60–64,05; Y=–97,90–99,90	Sypki piasek; warstwa naturalna	10YR 8/6	47, 54	-
56=57=60=62=63	-	4	Majdan grodziska	X=26,05–31,44; Y=52,06–58,53	Sypka ilasta ziemia z soczewkami i pasmami gliny; warstwa naturalna	2,5Y 8/1	43, 44, 48, 51, 53, 58, 61, 64	-
58	-	4	Majdan grodziska	X=26,40–28,16; Y=52,38–55,98	Piaszczysto-ilasta ziemia z wtrętami węgla drzewnego; warstwa użytkowa funkcjonowania majdanu we wczesnej epoce żelaza; miąższość do 40 cm	10YR 6/2	43, 44, 53	51, 52, 56
59	64	4	Majdan grodziska	X=29,33–29,53; Y=54,55–54,75	Tłustawy piasek z węgielkami drzewnymi; wypełnisko dołu posłupowego 64; relikt pala; widoczny w ścianie S; miąższość do 65	2,5Y 4/1	43, 65	64

Tabela 1. Ciąg dalszy

Numer jednostki stratygraficznej	Numer obiektu	Numer wykopu	Położenie w obrębie stanowiska	Współrzędne siatki pomiarowej stanowiska	Opis jednostki stratygraficznej	Barwa (Munsell)	Pozycja stratygraficzna	
							Znajduje się pod	Znajduje się nad
61	-	4	Majdan grodziska	X=28,48–29,10; Y=54,15–54,93	Sypki piasek z rdzawymi wtrętami; warstwa użytkowa; miąższość do 20 cm	10YR 6/8	44, 64, 65	56
64	64	4	Majdan grodziska	X=29,33–29,53; Y=54,55–54,75	Podłużny obiekt o nieregularnym kształcie profilu; dół posłupowy; widoczny w ścianie S; szer. ok. 20 cm; gł. 65 cm		43, 59, 65	44, 56, 61
65	-	4	Majdan grodziska	X=29,01–29,86; Y=54,40–55	Skupisko kamieni; związane z dołem posłupowym 64; kamienie o dł. od 15 do 30 cm		43	44, 59, 61, 64
66		4	Majdan grodziska	X= 27,84–30,20; Y=56,85–58,45	Bruk kamienny o regularnej strukturze; kamienie śr. 10–25 cm		45	43, 53

dwa fragmenty ceramiki; a także bielicowa szaro-żółta warstwa zbitego piasku z wtrętami czarnymi i brunatnymi, w której występowały węgle drzewne 11=17=19 (ryc. 22). Na wewnętrznym wale grodziska (W3) zadokumentowano erozyjną warstwę bielicowego jasnoszarego zbitego zglionionego piasku 15, w której odkryto jeden fragment ceramiki.

Faza III – średniowiecze

Wał zewnętrzny grodu (W2) został podsypany prawdopodobnie w okresie wczesnego średniowiecza, jednak nie potwierdza tego materiał zabytkowy. Ślady osadnictwa średniowiecznego w postaci materiału zabytkowego odkryto jedynie na majdanie grodziska (W4).

Faza IIIA – wczesne średniowiecze

W warstwach nasypu wału zewnętrznego znajdowały się wtórnie zdeponowane fragmenty ceramiki datowane na wczesną epokę żelaza. Nasyp składał się z warstwy jasnobeżowo-szarego sypkiego piasku z gliniastymi frakcjami 9; zwartej pomarańczowo-żółtej i ciemnoceglastej gliny ze zbitym piaskiem 7=12, w której odnaleziono jeden fragment ceramiki datowanej na wczesną epokę żelaza. Poniżej humusu, w obniżeniu przy wale znajdowała się warstwa gliny 3 (także widoczna w W1) oraz warstwa zbitej jasnej gliny z ciemnoszarymi i pomarańczowymi wtrętami 6, w której odkryto trzynaście fragmentów ceramiki datowanej na wczesną epokę żelaza. Wewnętrzny wał grodziska został podsypany w okresie wczesnego średniowiecza warstwą brunatno-rdzawej gliniastej ziemi 32.

Na tę podfazę składają się także warstwy zalegające bezpośrednio nad warstwą naturalną na majdanie grodziska. Powstały prawdopodobnie poprzez erozję ukształtowanego wcześniej terenu i tworzyły warstwę użytkową. Jest to warstwa ciemnożółtego sypkiego piasku z rdzawymi wtrętami 61, a także jasnożółta glina 44. W warstwy te wkopany został słup, którego relikt odkryto w postaci dołu posłupowego 64 z wypełniskiem ciemnoszarego lekko tłustawego piasku z węgielkami drzewnymi 59 (ryc. 29). W wypełnisku tym natrafiono na jeden fragment ceramiki datowany na wczesną epokę żelaza. Z dołem posłupowym związane było skupisko kamieni 65, a które prawdopodobnie stanowiło rodzaj zabezpieczenia słupa. Ponadto, do tego okresu przypisać należy również duży owalny obiekt 48 (o wymiarach 120 x 160 cm) znajdujący się w północnej części wykopu, który stanowił pozostałość po jamie gospodarczej (ryc. 27). Jego wypełniskiem była warstwa ciemnoszarego piasku 49 z dużą ilością węgli drzewnych, polepą oraz fragmentami ceramiki.

Faza IIIB – opuszczenie grodziska we wczesnym średniowieczu

Śladem opuszczenia grodziska we wczesnym średniowieczu jest warstwa erozyjna powstała na majdanie. Warstwa składała się z jasnożółtego zglinionego piasku 43, w której natrafiono na ponad osiemdziesiąt fragmentów ceramiki, z czego dwadzieścia cztery datowane są na średniowiecze.

Faza IIIC – ślady osadnictwa w średniowieczu

W okresie średniowiecza na majdanie grodziska przeprowadzono pewne prace ziemne, których ślady odsłonięto w obrębie wykopu 4. Uformowano zagłębienie, przecinając warstwę 43 i 58, a w miejscu wkopu powstał poziom użytkowy złożony z ciemnobrunatanego gliniastego piasku 53. Na warstwie tej zalegał bruk kamienny 66 (kamienie do średnicy 10–25 cm) o dość regularnym owalnym kształcie (ryc. 29). Powyżej zadokumentowano szaro-żółty piasek z wtrętami węgla drzewnego 45, który stanowił ślad po spalonej konstrukcji drewnianej.

Faza IV – opuszczenie grodziska i poziom współczesny

Poziom świadczący o opuszczeniu grodziska i zaprzestaniu jego użytkowania stanowił humus leśny z czarną zbitą ziemią 1=4 zarejestrowany na zewnętrznym wale grodziska i w obniżeniu przy jego południowym

stoku (W1, W2). Na wewnętrznym wale (W3) na warstwach kulturowych zalega ciemnoszaro-brunatna warstwa próchniczna 13. W zagłębieniu przywałowym w profilu E zaobserwowano obiekt o workowatym kształcie 38, z wypełniskiem ciemnoszaro-brunatnego zglinionego piasku z wtrętami brunatnej gliny 39. Na majdanie grodziska (W4) w warstwie humusu leśnego 42 odkryto dwa wtórnie zdeponowane fragmenty ceramiki datowane na wczesną epokę żelaza. Na północno-wschodniej krawędzi powierzchni grodziska (W5) humus leśny składał się z szaro-brunatnego piasku z wtrętami żółtego piasku 46.

ZNALEZISKA

URSZULA KOBYLIŃSKA

Ceramika

Na stanowisku 9 w Raciszewie odkryto 384 fragmenty ceramiki zabytkowej, w tym 286 fragmentów z wczesnej epoki żelaza i 98 fragmentów z epoki wczesnego średniowiecza (tab. 2).

Nawarstwienia powstałe w fazach II i IIIC nie zawierają dużej liczby materiału ceramicznego. Są to głównie niecharakterystyczne małe fragmenty, głównie brzuśców ceramiki gładkiej i o powierzchni chropowaconej. Liczny materiał zabytkowy pochodzi z nawarstwień Fazy I (117 fragmenty ceramiki), Fazy IIIA (97 fragmentów) i Fazy IIIB (81 fragmentów). Nawarstwienia faz I, II i IV zawierają materiał zabytkowy z wczesnej epoki żelaza. Natomiast w nawarstwieniach z faz IIIA, IIIB i IIIC, wśród licznych fragmentów z wczesnej epoki żelaza, głównie brzuśców o powierzchni gładkiej i chropowaconej, wystąpiły też fragmenty ceramiki z wczesnego średniowiecza.

Ogólna charakterystyka zespołu ceramicznego

Zachowane fragmenty ceramiki są silnie rozdrobnione i zawierają się w przedziałach wielkościowych od 2 do 10 cm (tab. 3). Najliczniejsze dwie grupy wielkościowe: fragmenty o wielkości 3 i 4 cm, zawierają taką samą liczbę – po 113 ułamków ceramiki w każdej grupie – co stanowi łącznie prawie 3/4 całego analizowanego materiału ceramicznego z tego stanowiska.

Materiał ceramiczny z Raciszewa, st. 9 charakteryzuje także duży stopień zniszczenia powierzchni oraz krawędzi ułamków. Kategorią erozji III, która grupuje mocno zerodowaną ceramikę, charakteryzują się 82 fragmenty, a do kategorii II, która grupuje

Tabela 2. Zestawienie ilościowe fragmentów ceramiki z grodziska w Raciszewie, st. 9 (oprac. U. Kobylińska)

Jednostka stratygraficzna	Wylewy			Szyjki	Brzuśce								Części przydenne	Dna						Fragmenty przepalone	Fragmenty o wypłukanej powierzchni	Chronologia		Liczba fragmentów łącznie
					Rodzaj powierzchni																			
	Liczba fragmentów	SEN (procent obwodu)	Ornamentowane		Chropowacone	Gładkie	Wyświecane	Szorstkie	Nieokreślone	Przepalone	Ornamentowane	Liczba fr. ogółem		Liczba fragmentów	SEN (procent obwodu)	Lekko wklęsłe	Płaskie	Wałek dookolny	Podsypka			Wczesna epoka żelaza	Wczesne średniowiecze	
2	1	4	1		4	1						5										6		**6**
5	1	5			1							1										2		**2**
14					1	1						2										2		**2**
16	1	4			3	5	7		1			16										17		**17**
23	2	7			1	3	1					5										7		**7**
28=35	1	6				15						15	1								11	17		**17**
47	2	12			4	18				2		24										26		**26**
51, 52	2	12	1	2	13	6			5			24									1	28		**28**
58	1	4			6	5						11									1	12		**12**
15						1																1		**1**
18=26					1							1	1									2		**2**
6	1	?			8	2						10	1								2	12		**12**
7						1			1			2										2		**2**
44	4	10			16	10		2		3	1	31									2	30	2	**35**
48, 49	4	26		1	8	3		21	3		12	35	1	1	20	1		1	1		3	10	36	**46**
59							1		1			2										2		**2**
43	10	20		1	13	23		25		7	9	68	1	1	13	1		1	1	1	4	54	27	**81**
45	2	5		1	6	2		19	1		6	28	8	3	24		1		1		9	9	33	**42**
53					1	1						2									1	2		**2**
42	1	3	1		1				1			2									1	3		**3**
46	4	19			9	22				4		35										39		**39**
Suma	**37**	**137**	**3**	**5**	**96**	**121**	**9**	**75**	**13**	**16**	**28**	**326**	**13**	**5**	**57**	**2**	**1**	**2**	**3**	**1**	**35**	**286**	**98**	**384**

Tabela 3. Fragmentacja i erozja fragmentów ceramiki z grodziska w Raciszewie, st. 9 (oprac. U. Kobylińska)

Jedn. strat.	Kategorie wielkościowe [cm]										Stopień erozji				Suma
	1	2	3	4	5	6	7	8	9	10	0	I	II	III	
2		1	2	2	1								1	5	**6**
4					1									1	**1**
5			1	1									2		**2**
6		4	4	3		1							10	2	**12**
7				1	1									2	**2**
14				1	1							1		1	**2**
15				1								1			**1**
16	1	6	5	3		1		1				8	4	5	**17**
23		2	5									1	2	4	**7**
26							2						2		**2**
35	1	5	3	4	1	2		1					6	11	**17**
42			1	1	1								3		**3**
43		2	23	26	14	6	5	3				28	35	17	**80**
44		1	9	13	6	3	2	1				13	16	6	**35**
45		3	15	15	6	2		1			4	27	2	9	**42**
46		2	8	8	10	3	5	1		2		1	34	4	**39**
47		6	7	3	4	4	2					10	14	2	**26**
48, 49		1	20	13	8	3			1		1	13	27	5	**46**
51, 52			9	8	4	3	2	2				7	16	5	**28**
53				2									2		**2**
58			1	6	2	2	1					4	7	1	**12**
59				2										2	**2**
Suma	**2**	**33**	**113**	**113**	**60**	**30**	**19**	**10**	**1**	**2**	**5**	**114**	**183**	**82**	**384**

ułamki o wyraźnie zatartych brzegach, zaliczono 168 fragmentów, co w sumie stanowi ¾ wszystkich znalezionych fragmentów ceramiki. Znalezione fragmenty naczyń wykazują ślady silnego wypłukania powierzchni, zdarcia czy też odłupania warstwy powierzchniowej lub wręcz silnego przepalenia na całej zachowanej powierzchni lub tylko częściowego z jednej strony fragmentu.

Wśród ułamków ceramiki zarejestrowano 41 górnych części naczyń z zachowanym wylewem, choć w siedmiu przypadkach fragmentaryczność zachowania czy też odłamanie samego brzegu wylewu uniemożliwiło określenie średnicy naczynia. Odkryto jedynie pięć fragmentów den oraz 13 części przydennych i aż 329 brzuśców naczyń, z których jedynie pochodzące z epoki wczesnego średniowiecza – w liczbie 26 – były pokryte ornamentem w postaci poziomych żłobień dookolnych.

Ceramika z wczesnej epoki żelaza

Technologia wytwarzania naczyń

Analizowane górne części naczyń z wczesnej epoki żelaza reprezentują różne rodzaje naczyń, przeważnie o ściankach zewnętrznych jasnej barwy: czerwonawo-brązowej, żółtawo-czerwonej czy czerwonawo-żółtej (5YR 5/4, 5/6, 6/6, 6/8), często od wewnątrz wygładzonych lub wypolerowanych, szczególnie w przypadku mis. Naczynia z tego okresu wykonywane były ręcznie za pomocą łączenia wałków i zacierania miejsc ich połączeń. Zachowane małe fragmenty górnych części naczyń, mające przeważnie wokół wylewów powierzchnie wygładzane, mogły pochodzić z naczyń o chropowaconych brzuścach, na co wskazują nikłe resztki domieszki na skrajach tych ułamków, jak również ze względu na współwystępujące z nimi licznie części brzuśców chropowaconych, które mogły pochodzić z tychże garnków (np. tabl. 1:4). Niektóre egzemplarze naczyń pokryte zostały warstwą tłustej glinki czerwonawo-czarnej (2,5YR 2,5/1) lub czarnej (7,5YR 2,5/1), uszczelniającej wnętrze (np. tabl. 1:8–9). Warstwa powierzchniowej tłustej glinki jest zwykle bardzo cienka, ale szczelnie pokrywa masę ceramiczną z domieszką tworzącą trzon ścianki naczynia, co szczególnie dobrze jest widoczne na ułamku naczynia o częściowo odłupanej, a częściowo startej powierzchni wypolerowanej, ze śladami wyświecenia (tabl. 3:7). Na większości analizowanych naczyń zaobserwować można ślady procesów formowania: między innymi ślady łączeń wałków na odłamanych częściach (tabl. 1:8 – tu doklejanie wałka nastąpiło od zewnątrz i ścianka jest znacząco pogrubiona, uwydatniając brzusiec), zlepień gliny na ściankach od wewnątrz, co nie zakłóciło kształtu ścianki (tabl. 2:10), formowania wylewu przez ugniatanie palcami, co spowodowało wystąpienie wgłębień po formowaniu palcami po zewnętrznej stronie (tabl. 1:7), a także odciski źdźbeł traw i innych domieszek organicznych (tabl. 1:9–10), czy otwory po ziarnach domieszki (tabl. 1:2; 3:8). Naczynia są słabo

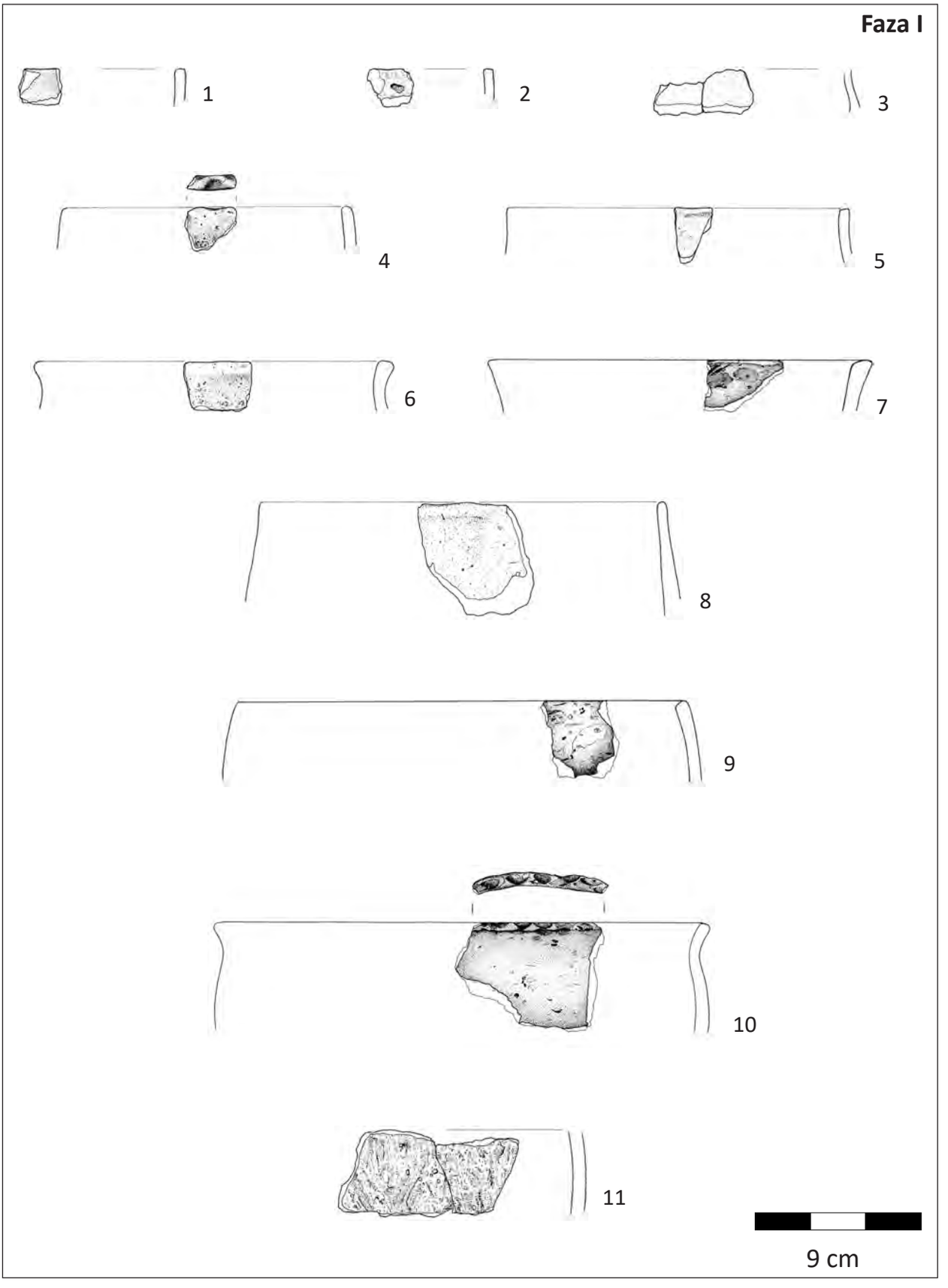

Tablica 1. Raciszewo, st. 9. Znaleziska z nawarstwień Fazy I (rys. A. Chojnacka-Banaszkiewicz i D. Wach)

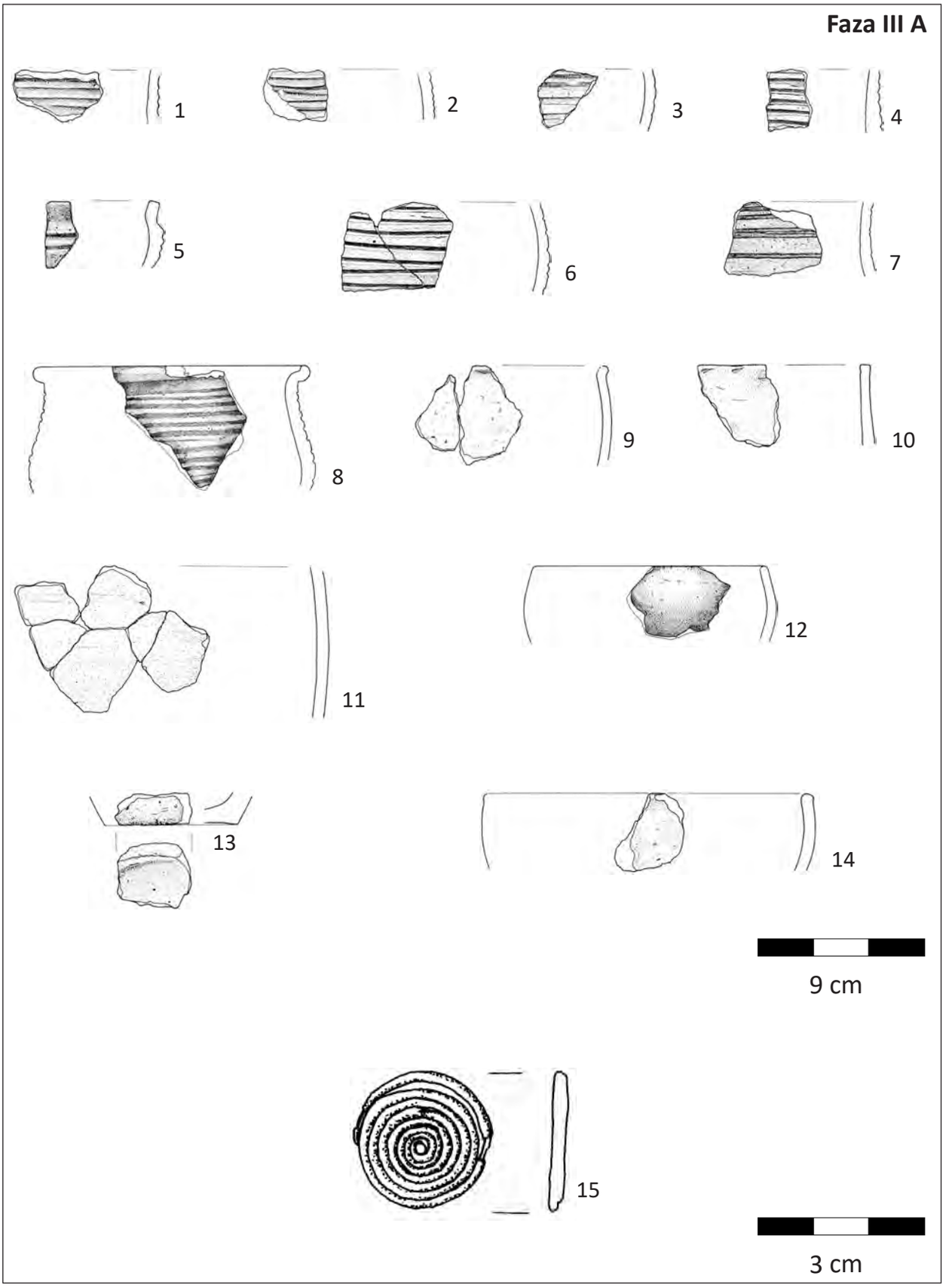

Tablica 2. Raciszewo, st. 9. Znaleziska z nawarstwień Fazy IIIA (rys. A. Chojnacka-Banaszkiewicz, P. Potocka i D. Wach)

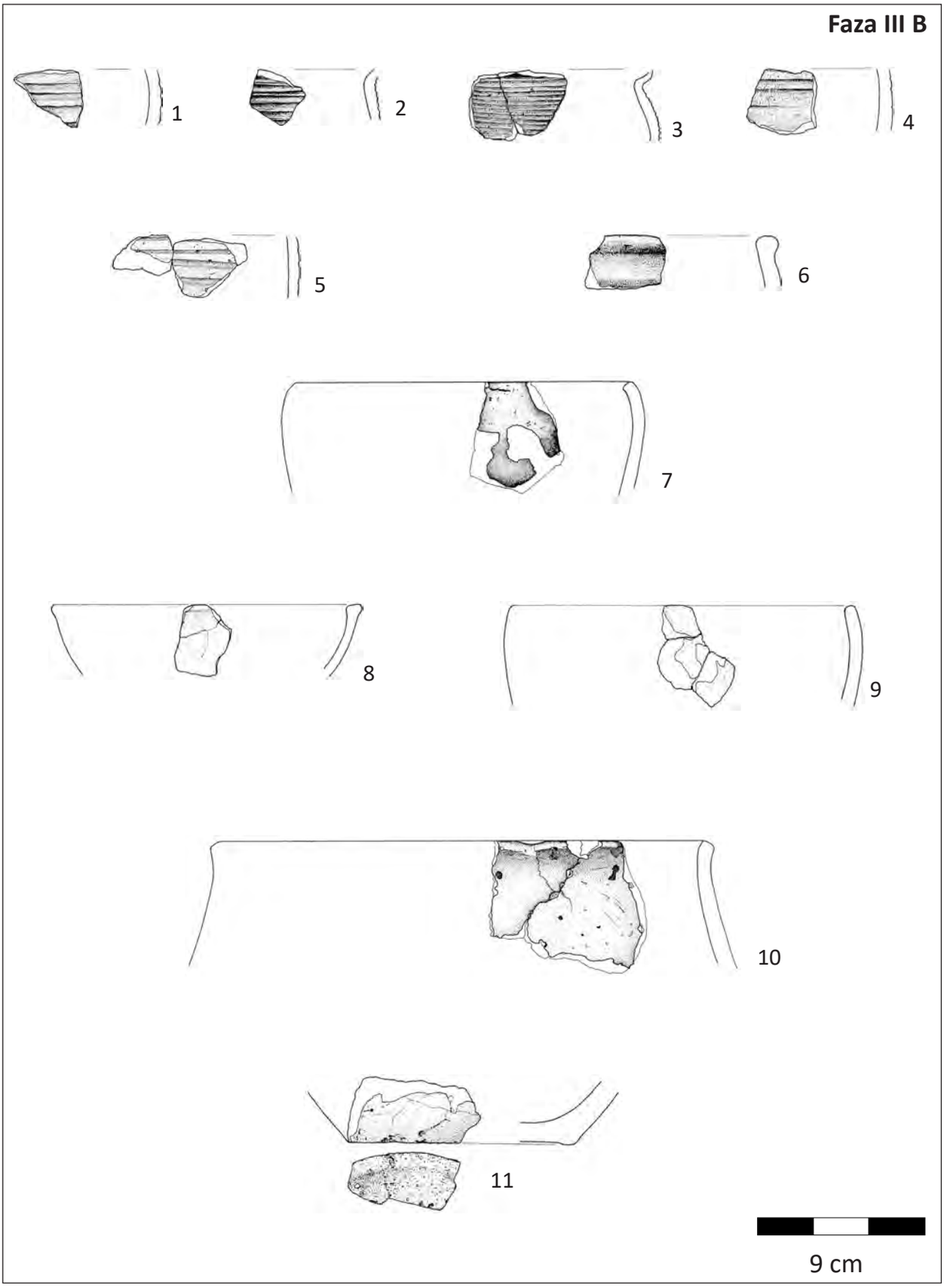

Tablica 3. Raciszewo, st. 9. Znaleziska z nawarstwień Fazy IIIB (rys. A. Chojnacka-Banaszkiewicz i D. Wach)

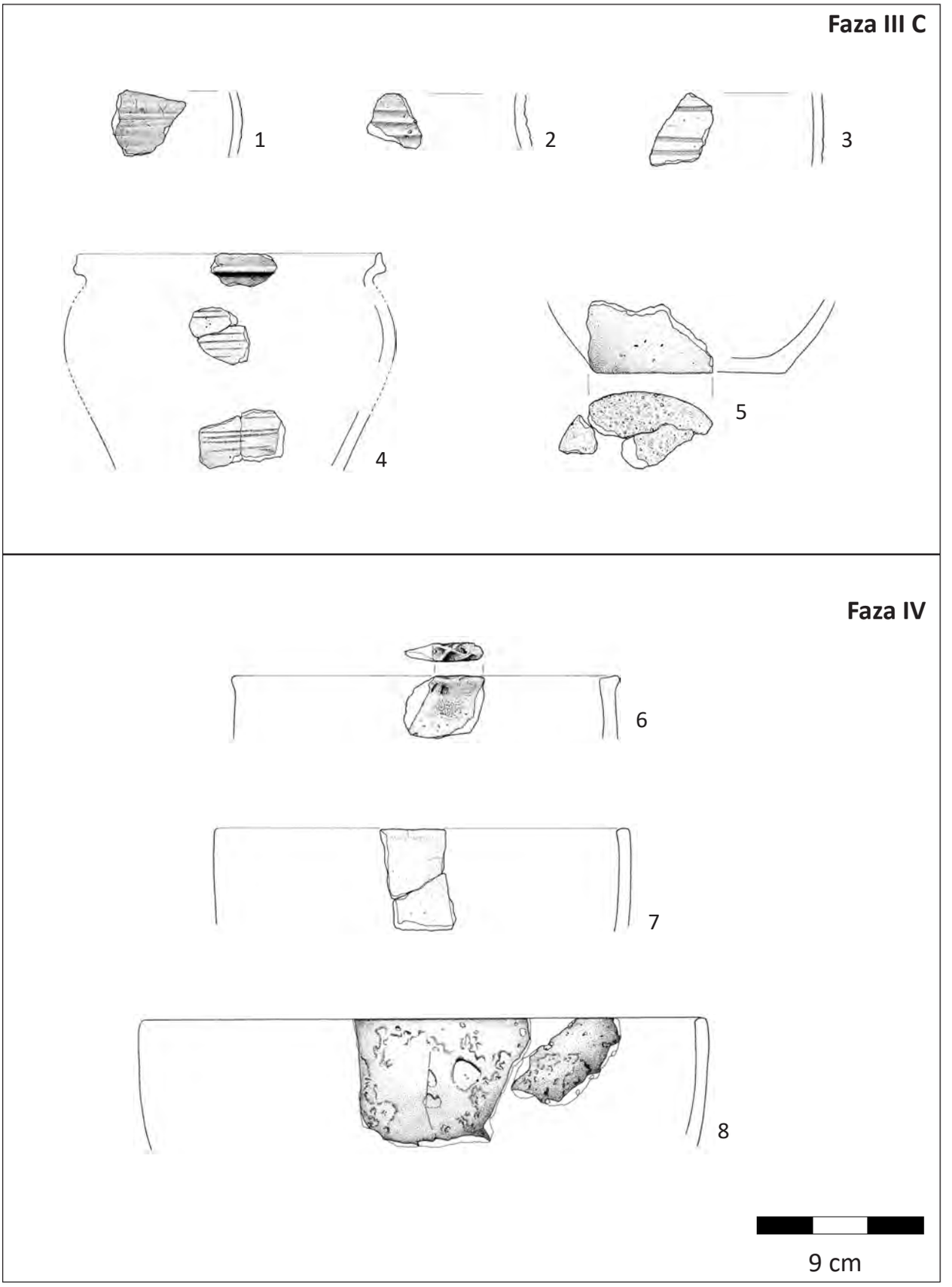

Tablica 4. Raciszewo, st. 9. Znaleziska z nawarstwień Fazy IIIC i IV (rys. A. Chojnacka-Banaszkiewicz i D. Wach)

opracowane i wypalone, na co wskazuje rozwarstwiająca się glina z licznymi szparami w przełamie, duża ilość domieszki i krucha, rozsypująca się masa ceramiczna, czy łamliwość i w rezultacie rozdrobnienie materiału. Makroskopowa analiza przełamów wskazuje na słabe wyrobienie masy ceramicznej i użycie gliny z domieszką o zróżnicowanej granulacji, zarówno drobnego piasku, jak i różowych ziaren kanciastych o wielkości od 0,05 cm do 0,5 cm, czy też miki. Przełamy są dwu- lub trójbarwne o wyrazistych kolorach.

Formy naczyń

Ze względu na znaczne rozdrobnienie materiału i fragmentaryczność zachowania możemy jedynie – na podstawie niewielkich fragmentów górnych z wylewem – domniemywać wystąpienia w Raciszewie, st. 9 takich form, jak duże naczynia zasobowe, duże i średnie garnki do gotowania, miski, czarki, czerpaki, formy wazowate, amfory, dzbany czy kubki.

Głównie wystąpiły w tym zespole duże i średniej wielkości naczynia o zachylonych, ściętych, prostych brzegach (tabl. 1:1–2, 4, 9; 3:7, 9; 4:8). Zachowane większe fragmenty dużych form reprezentowane są przez naczynia zachylone, lekko baniaste o powierzchniach głównie gładkich i zagładzanych oraz lekko chropowaconych. Chropowacenie ścianek wykonywano poprzez niewielkie nawarstwienie glinki z drobnymi ziarnami, co tworzy drobne zmarszczki ukośne lub drobne i niskie zgrubienia glinki na powierzchni (tabl. 1:4, 11; 4:6).

Zarówno formy o zachylonym brzegu, jak i naczynia esowate mają górą wygładzane ścianki i ornamentowane wylewy wyraźnymi wgłębieniami (tabl. 1:4, 10; 4:6). Mogły one pełnić rolę naczyń zasobowych lub służyć do gotowania, w zależności od wystąpienia innych cech drugorzędnych, takich jak rodzaj wnętrza, wielkość czy grubość ścianek. Ślady czarnej spalenizny i zacieki na powierzchni mogą wskazywać na zastosowanie naczynia do gotowania.

Naczynie z ozdobnym brzegiem z jednostki stratygraficznej 42 (tabl. 4:6) ma bardzo starannie opracowaną, równą, silnie wypolerowaną część górną, z szerokim wylewem, ornamentowanym głębokim zaplataniem. Ścianki mają bardzo jasną kremową z obu stron barwę, a powierzchnia od wewnątrz jest bardzo starannie wygładzona. Strona zewnętrzna uległa częściowemu starciu. Jest to średniej wielkości (średnica wylewu ok. 20 cm) masywny garnek, być może zasobowy. Garnkowate naczynie o gładkiej powierzchni i esowatym profilu z wylewem ornamentowanym zaszczypywaniem (tabl. 1:10), jest barwy jasnobrązowej (7,5YR 6/4), a od wewnątrz szarej. Jest to duże, masywne naczynie o dużej średnicy wylewu, które mogło mieć różne zastosowanie. Wielkość może świadczyć o wykorzystaniu go do przechowywania produktów. Zaobserwowano na jego powierzchni ślady mocnej spalenizny pod wylewem. Forma ta ma swe analogie np. w osadzie II, w miejscowości Żubronajcie, st. 3, gm. Krasnopol, pow. sejneński na Suwalszczyźnie[5].

Mniejsze formy, o powierzchniach wypolerowanych i wyświeconych najczęściej obustronnie wskazują na lepiej wykonane różnorodne naczynia stołowe (tabl. 1:3, 5, 8; 2:9–10). Małe średnice wylewu, cienkościenność i silne wypolerowanie ze szczególnym uwzględnieniem wnętrza wskazuje, że są to formy takie, jak małe i duże miski, czarki, kubeczki czy czerpaki (tabl. 2:9–10, 12, 14; 3:7). Małe miseczki i głębokie misy mają równe, mocno wypolerowane ścianki barwy brązowej lub czarnej.

Niewielki fragment z wychylonym, szerokim i wyświeconym brzegiem (tabl. 1:7) z odciskami palców, jest jedynym egzemplarzem wypolerowanego, dużego naczynia z długą szyjką o formie wylewu podobnej do amfor, znanych z wielu stanowisk z wczesnej epoki żelaza.

Trzy zniszczone części dużego naczynia z wylewem lekko wychylonym o długiej szyjce mogą pochodzić z naczynia wazowatego (tabl. 3:10). Było to szerokootworowe masywne naczynie o powierzchni równej, wyświeconej z obu stron, z widoczną cienką warstewką tłustej glinki barwy jasnobrązowej (5YR 6/8).

Słabiej opracowane naczynia, o kostropatej powierzchni i o wygładzonych jedynie szerokich wylewach i masywnych ściankach, to być może garnki pokryte chropowaceniem jedynie w dolnych partiach. Garnki tego typu mogły służyć różnorodnym celom, także do gotowania lub przechowywania pożywienia (tabl. 1:6). Podobne duże naczynie, o średnicy wylewu wynoszącej ok. 20 cm, o pogrubionym brzegu (tabl. 3:6), ma powierzchnię wygładzoną i mocno wypolerowaną od wewnątrz. Masywność i dobre opracowanie powierzchni wpływało niewątpliwie na szczelność ścianek, co wskazuje, że mogło być wykorzystywane do przechowywania pożywienia.

Fragment naczynia o prostych ściankach i z płaskim wylewem, o średnicy wylewu wynoszącej ok. 16 cm (tabl. 2:10), z wygładzonymi obiema stronami ścianki, barwy jasnopomarańczowej, ma analogie w materiale z osady w Paprotkach Kolonii, st. 41, gm. Miłki, pow. giżycki[6].

Fragmenty ceramiki odkryte na stanowisku 9 w Raciszewie reprezentują różnorodne formy naczyń charakterystyczne dla wczesnej epoki żelaza. Wydaje się, że zestaw form naczyń, zarówno garnków zachylonych jak i esowatych, z dłuższą szyjką czy mis z poszerzonym brzegiem, znajduje odpowiedniki w materiałach z wczesnej epoki żelaza z II fazy kultury kurhanów zachodniobałtyjskich z Pojezierza Iławskiego[7].

[5] Szymański 1998: tabl. 10.

[6] Karczewski 1998: tabl. 4:3.

[7] Hoffmann 1999a: tabl. 61:12; 74:4; 138:3–5; 139: 17, 19.

Ceramika wczesnośredniowieczna

Na stanowisku 9 w Raciszewie znaleziono 98 fragmentów ceramiki obtaczanej, wczesnośredniowiecznej, najprawdopodobniej na złożu wtórnym w czterech jednostkach stratygraficznych: 44, 49 z Fazy IIIA, z 43 z Fazy IIIB; 45 z Fazy IIIC. W analizowanym materiale zidentyfikowano 5 fragmentów naczyń z wylewem, dwie górne części małego naczynia z uszkodzonym brzegiem, 9 części przydennych, 5 fragmentów den pochodzących z trzech den oraz 77 brzuśców, z których 26 jest ornamentowanych poziomymi żłobieniami.

W obiekcie 48 z Fazy IIIA znaleziono większy górny fragment naczynia z zachowanym odchylonym, zaokrąglonym wylewem z mocnym wgłębieniem na pokrywę (tabl. 2:8). Niewielkich rozmiarów średnica wylewu oraz esowate ukształtowanie ścianki, wydzielenie szyjki i niskie umieszczenie baniastego brzuśca wskazuje, iż może jest to fragment naczynia stołowego, służącego do podawania pożywienia. Proporcje takie kryją sporą pojemność mimo małej średnicy wylewu, która z kolei zapewniała dłuższe utrzymywanie ciepłoty pokarmu. Cała powierzchnia jest pokryta głębokimi, regularnymi żłobieniami poziomymi, szerokości ok. 0,2 cm każde. Jest to naczynie dobrze opracowane, o ściankach równej grubości, obtaczane do załomu brzuśca, barwy żółtawo-czerwonej (5YR 5/8) z szarym okopceniem od wewnątrz.

Dwie górne części naczynia z mocno uszkodzonym wylewem są ozdobione wąskimi, regularnymi żłobieniami poziomymi na całej zachowanej części. Pochodzą z cienkościennego, niedużego, baniastego naczynia (tabl. 3:3). Sądząc po wielkości i proporcjach jest to mniejsza wersja analogicznego naczynia opisanego wyżej.

W nawarstwieniach zarówno Fazy IIIA, jak i IIIB, znaleziono dużą liczbę brzuśców ornamentowanych żłobieniami (tabl. 2:1–8; 3:1–5). Jest to ornament regularnych, głębokich, równych żłobień. Częściej jest to ryty ornament wykonany ostrym rylcem, a powierzchnie naczynia były zagładzane po wykonaniu ornamentu. Generalnie można zaobserwować zasadę rycia węższych żłobień górą pod wylewem i szerszych dołem. W nawarstwieniach Fazy IIIC zachowane fragmenty charakteryzują się płytkimi żłobieniami w dużych odstępach wykonane płaskim rylcem lub przegłębienia przedzielone wałeczkami (tabl. 4:1–4).

Spośród zachowanych dolnych części naczyń, dwie mają dna lekko wklęsłe z regularnym, niskim wałkiem dookolnym o szerokości 0,3–0,5 cm i podsypką z drobnych ziaren na całej zachowanej powierzchni (tabl. 2:13; 3:11); jedna dolna część naczynia ma dno płaskie z zatartym wałkiem i podsypką grubych ziaren (tabl. 4:5).

Niewielka liczba fragmentów ozdobionych ma jednolity charakter. Są to żłobki poziome, regularne, starannie wykonane, przeważnie głębokie, wykonane rylcem wąskim lub szerokim (0,2–0,3 cm); rzadziej występują żłobki nierównej szerokości, niekiedy nieciągłe, zanikające, o przebiegu nieregularnym lub drobne, cienkie rysy (tabl. 2:7, 11; 3:4; 4:1, 3–4). Ubogi zestaw form i fragmentaryczność zachowania ceramiki wczesnośredniowiecznej nie sprzyja precyzyjności w datowaniu. Analizowane fragmenty naczyń mają szorstkie powierzchnie barwy brązowej, zagładzane, z równymi, niskimi brzegami żłobków. W przełamie – przeważnie jednobarwnym – widoczna jest domieszka drobnych, białych ziaren oraz miki. Biorąc pod uwagę jakość wykonania den oraz wyżej opisanego dzbana są to naczynia wykonane warsztatowo, i jak się wydaje można je datować na koniec XIII w.

Zabytki wydzielone

W warstwie 6, wiązanej z ceramiką z wczesnej epoki żelaza, powstałej w Fazie IIIA, odsłonięto fragment przedmiotu wykonanego z okrągłego drutu z brązu, o średnicy 0,1 cm, ułożonego spiralnie w postaci okrągłej tarczki o średnicy całkowitej 2,3 cm, składającej się z ośmiu zwojów (ryc. 31 i tabl. 2:15). Brak zakończenia spirali uniemożliwia pewne określenie funkcji przedmiotu. Tarczki spiralne bywają częścią różnych przedmiotów. Mogły to być naramienniki lub zawieszki[8]. Wielkość i delikatny charakter spiralnej tarczki z Raciszewa, st. 9 skłania do przekonania, że jest to część szpili. Szpile ze spiralnymi główkami znane są z wielu stanowisk osadniczych wczesnej epoki żelaza, np. z Burkatu, gm. Działdowo, pow. działdowski, Kierwin, gm. Kiwity, pow. lidzbarski, Wielowsi, gm. Zalewo, pow. iławski, z międzyrzecza Wisły, Drwęcy i Osy[9]. Często także pochodzą ze znalezisk skarbów. Szpile z tarczką spiralną, genetycznie wiązane z kulturą „łużycką", należą do typu najbardziej rozpowszechnio-

[8] Chudziakowa 1974, tabl. 20:7; 34:3.

[9] Ł. Okulicz 1970: tabl. 23:2, 10; J. Okulicz 1973: ryc. 128, 130; Chudziakowa 1974: tabl. 15:1, 12; 31:1; 34:1, 5.

Ryc. 31. Raciszewo, st. 9. Główka szpili z wczesnej epoki żelaza (fot. J. Wawrzeniuk, oprac. K. Rabiega)

nych ozdób zarówno na obszarze wiązanym z kulturą pomorską, jak i na obszarze Mazur, grupy zarówno zachodniomazurskiej, jak i grupy sambijskiej. Trudno jednak ustalić ich dokładną proweniencję. Znane są z obszaru Wielkopolski, Pomorza, Śląska i Kujaw[10]. Występują w materiałach zabytkowych stanowisk od schyłkowych okresów epoki brązu. Chronologię tarczek spiralnych z drutu o przekroju okrągłym można wiązać z okresem halsztackim D, choć formy te na trudnym do przebycia, odizolowanym, zalesionym obszarze Mazur mogą być także wiązane z okresem wczesnolateńskim[11].

SZCZĄTKI ROŚLINNE

MARIA LITYŃSKA-ZAJĄC I MAGDALENA MOSKAL-DEL HOYO

Analizie paleobotanicznej poddano 22 próby ziemi z grodziska w Raciszewie, st. 9, z czego pięć z pobranych prób nie zawierało materiału roślinnego. Pozyskano po dwie próby z jedenastu wytypowanych jednostek stratygraficznych należących do nawarstwień z wczesnej epoki żelaza i średniowiecza[12].

Z Fazy I (wczesna epoka żelaza) próby gleby pobrano z sześciu jednostek, które zalegały na majdanie oraz na wałach grodziska. Jednostki, które znajdowały się na obszarze majdanu (W4) to lekko zgliniony piasek 52, będący wypełniskiem jamy gospodarczej, a także ilasto-piaszczysta warstwa użytkowa z wtrętami węgli drzewnych 58. Kolejne próby pochodziły z warstwy zglinionego piasku z rdzawymi wtrętami 31, która zalegała w zagłębieniu przy wewnętrznym wale grodziska (W3). Ponadto próby sedymentu pobrano z warstw nasypu wału zewnętrznego (W2): zglinionego piasku z drobinami węgli 28=35, gliniasto-piaszczystej warstwy 27 oraz piaszczystej warstwy 22.

Z Fazy II (opuszczenie grodziska z wczesnej epoki żelaza) próby pobrano z bielicowej warstwy zbitego piasku z wtrętami węgli drzewnych 11=17=19, znajdującej się na wale zewnętrznym (W2).

Z Fazy III (średniowiecze) pobrano i poddano analizie próby gleby z warstw zalegających na majdanie. Fazę IIIA reprezentowała warstwa tłustawego piasku z węglami drzewnymi 59, stanowiąca wypełnisko dołka posłupowego. Z Fazy IIIB była to erozyjna warstwa zglinionego piasku 43. Natomiast nawarstwienia Fazy IIIC stanowiły jednostki: gliniasto-piaszczysta warstwa użytkowa 53 oraz piaszczysta warstwa z wtrętami węgla 45, będąca pozostałością konstrukcji drewnianej.

Wyniki badań paleobotanicznych (tab. 4) ujawniły, że wśród oznaczonych roślin, największy udział we wczesnej epoce żelaza stanowiły zboża (45%), na co wskazują szczątki w postaci ziarniaków. Z drzew największy procent stanowiły szczątki drewna dębu (12,5%) i leszczyny pospolitej (8,8%). Mniejszy procent stanowiły ziarniaki pszenicy zwyczajnej (5,8%), nasiona komosy białej (4,2%), drewno i łyko lipy (3%), drewno olszy (2,4%), jabłoniowych (2,4%), topoli/wierzby (2,2%), grabu pospolitego (2,2%), brzozy (1,5%) i pozostałych liściastych (3%). Znikomą rolę odgrywało proso zwyczajne (0,9%), jesion wyniosły (0,9%), rdest (łącznie 1,7%), szczaw (łącznie 0,9%), fiołek (0,4%), klon (0,4%), wiąz (0,4%), babka lancetowata (0,2%), goździkowate (0,2%), trawy (0,2%), sosna zwyczajna (0,2%), jeżyna (0,2%), wierzba (0,2%) oraz brzozowate (0,2%).

W okresie wczesnego średniowiecza różnorodność występujących roślin w warstwach użytkowych jest dużo mniejsza. Warto zauważyć, że z tego okresu pozyskano także mniejszą ilość poszczególnych taksonów niż z nawarstwień wczesnej epoki żelaza. We wczesnym średniowieczu, podobnie jak we wcześniejszych fazach dużą rolę na grodzisku odgrywało drewno dębu (18,9%). Dość sporą część wśród roślin oznaczonych stanowiły także nasiona komosy białej (16,6%) i zboża (łącznie 17,2%). W mniejszym procencie występowało drewno brzozy (12,4%) i leszczyny pospolitej (10,6%), a także olszy (4,7%), grabu pospolitego (3%), jesionu wyniosłego (3%), topoli/wierzby (3%) i pozostałych drzew liściastych (4%). Najmniejszą część wśród oznaczonych roślin stanowiło drewno klonu (1,2%), owoce rdestu i rdestówki powojowatej (łącznie 2,4%), a w śladowych ilościach także drewno borówki brusznicy (0,6%), topoli (0,6%), lipy (0,6%), brzozowatych (0,6%) i jabłoniowych (0,6%).

CHRONOLOGIA STANOWISKA

KAMIL RABIEGA I JOANNA WAWRZENIUK

Na podstawie analizy materiału ceramicznego wydzielono dwie główne horyzonty chronologiczne. Pierwszy należy wiązać z I i II fazą funkcjonowania grodziska i stanowi okres wczesnej epoki żelaza. Z tego okresu pochodzi większość pozyskanego materiału ceramicznego, jak również główka szpili z brązu. Powstał wówczas zewnętrzny i wewnętrzny wał, ukształtowano i użytkowano fosę oraz majdan, który ograniczony był zagłębieniem przywałowym.

Osadnictwo z wczesnej epoki żelaza zostało potwierdzone datowaniem metodą termoluminescencyjną ceramiki zalegającej w warstwie poziomu użytkowego na obszarze majdanu (warstwa 58). Przebadana próba została wydatowana na przedział 130 r. p.n.e. – 150 r. n.e.[13]

Drugim horyzontem jest okres wczesnego średniowiecza, związany z użytkowaniem grodu w Fazie

[10] Kostrzewski 1955: 152, 1958: 189, 1966.

[11] Ł. Okulicz 1970: 52; J. Okulicz 1973: 286.

[12] Opis metody: Lityńska-Zając i Moskal-del Hoyo 2016.

[13] Kobyliński 2016: 107.

Tabela 4. Lista roślin oznaczonych na podstawie spalonych szczątków z grodziska w Raciszewie, st. 9 (oprac. M. Lityńska-Zając i M. Moskal-del Hoyo)

Nazwa taksonu	Typ szczątka	Liczba okazów (wczesna epoka żelaza)	Liczba okazów (wczesne średniowiecze)
Panicum miliaceum	ziarniak	4	-
Triticum aestivum	ziarniak	26	-
Cerealia indet.	ziarniak	204	2
Cerealia indet.	zarodek	-	26
Cerealia indet. vel *Poaceae* indet.	źdźbła	-	1
Chenopodium album	nasiono	19	28
Fallopia convolvulus	owoc	-	1
Plantago lanceolata	nasiono	1	-
Polygonum aviculare	owoc	1	-
Polygonum lapathifolium	owoc	3	-
Polygonum mite	owoc	1	2
Polygonum persicaria	owoc	-	1
Rumex crispus	owoc	2	-
Polygonum sp.	owoc	1	-
Rumex sp.	owoc	2	-
Viola sp.	owoc	2	-
Caryophyllaceae indet.	nasiono	1	-
Poaceae indet.	ziarniak	1	-
Carpinus betulus	drewno	9	5
Carpinus betulus	owoc	1	-
Corylus avellana	drewno	40	18
Fraxinus excelsior	drewno	4	5
Pinus sylvestris	drewno	1	-
Vaccinium vitis-idaea	drewno	-	1
Acer sp.	drewno	2	2
Alnus sp.	drewno	11	8
Betula sp.	drewno	7	21
Populus	drewno	-	1
Populus sp. vel *Salix* sp.	drewno	10	5
Quercus sp.	drewno	57	32
Rubus sp.	nasiono	1	-
Salix sp.	drewno	1	-
Tilia sp.	drewno	12	1
Tilia sp.	łyko	2	-
Ulmus sp.	drewno	2	-
Betulaceae	drewno	1	1
Maloideae indet.	drewno	11	1
liściaste	drewno	14	7
nieoznaczony	nieokreślony	183	-
nieoznaczony	drewno	11	3
Suma		648	172
Cenococcum geophilinum	sklerocja	308	19

III, kiedy wykorzystano dotychczasowe umocnienia obronne, ewentualnie nadsypując wał zewnętrzny, a także użytkowano majdan.

DZIEJE GRODZISKA W RACISZEWIE, ST. 9

Badania archeologiczne w Raciszewie pozwoliły odsłonić nawarstwienia osadnicze nierozpoznanego dotąd grodziska, które dzięki swojej wyjątkowej formie wyróżnia się na tle innych obiektów o podobnej chronologii z terenu Prus Wschodnich. Prace dostarczyły informacji zarówno o jego chronologii jak i funkcji.

Całe założenie zostało wzniesione już we wczesnej epoce żelaza (w okresie lateńskim?). Ulokowane zostało na wzniesieniu charakteryzującym się naturalnymi walorami obronnymi. Przy niewielkim nakładzie pracy zbudowano gród osłonięty wałem oraz fosą od strony wschodniej i południowej, a także podgrodzie, które również zostało ograniczone od strony południowej potężnym wałem. Dodatkowe zabezpieczenie w postaci fosy powstało przez wykorzystanie naturalnego rozcięcia erozyjnego. Gród w pierwszej fazie był intensywnie użytkowany, o czym świadczą obiekty, nawarstwienia i materiał ceramiczny odkryty we wszystkich wytyczonych wykopach. Nasyp wału zewnętrznego w tej fazie użytkowanie sięga 1,6 m, a pierwotna wysokość wału wewnętrznego wynosiła 1,25 m.

Teren grodziska zaczęto ponownie użytkować we wczesnym średniowieczu, kiedy nadsypano wały i zorganizowano na nowo obszar majdanu. Wysokość wału zewnętrznego sięgała wówczas 2,2 m, natomiast wału wewnętrznego 1,6 m. Materiał zabytkowy z tej fazy użytkowania odnaleziono jedynie w części centralnej, na majdanie grodziska, co może świadczyć o refugialnym charakterze założenia w tym okresie. Późniejsze średniowieczne ślady osadnicze pojawiają się jedynie na majdanie, gdzie wzniesiono pewnego rodzaju konstrukcję drewnianą, przy której podczas badań odsłonięto warstwy spalenizny i bruk kamienny. Wówczas obiekt także musiał pełnić rolę jedynie refugialną.

Gród został opuszczony w średniowieczu, prawdopodobnie w XIII w. Wkrótce później miejscowość Raciszewo pojawia się po raz pierwszy w źródłach pisanych. W dokumencie z 1323 roku pod pierwotną nazwą *Rychental* miejscowość wymieniona jest jako wieś czynszowa licząca 30 włók[14].

[14] Leyding 1973: 92–93.

Strużyna, st. 21

Gmina Morąg

Powiat ostródzki

AZP 19-56/54

Współrzędne geograficzne:

N 54° 0’ 11”

E 19° 58’ 16’’

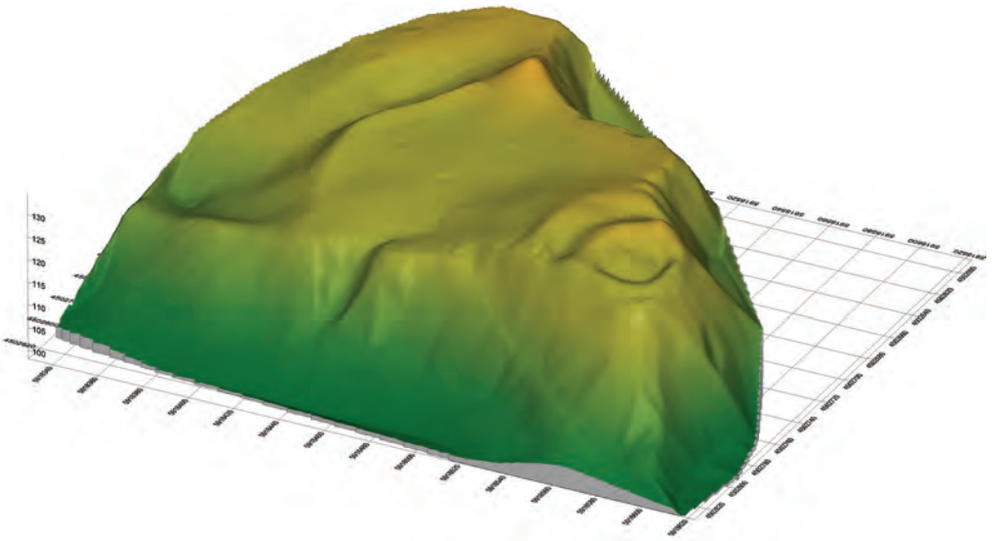

Ryc. 1. Grodzisko w Strużynie, st. 21 na mapie w skali 1:25 000 (na podstawie materiałów CODGiK, oprac. R. Solecki)

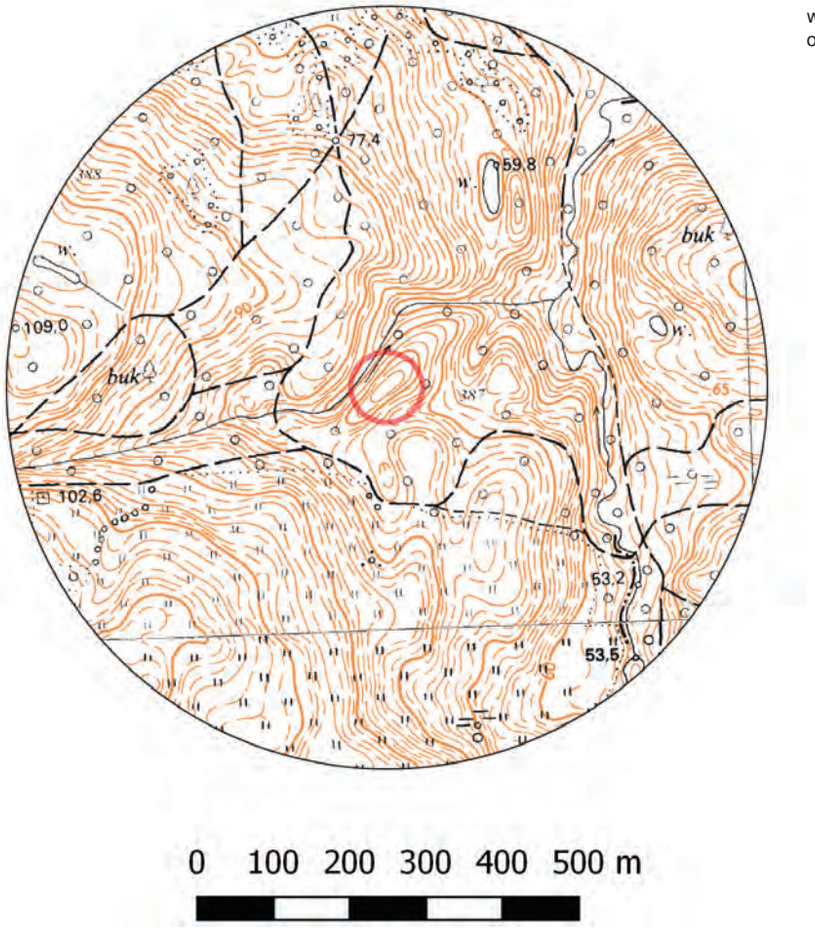

Ryc. 2. Grodzisko w Strużynie, st. 21 na mapie w skali 1:10 000 (na podstawie materiałów CODGiK, oprac. R. Solecki)

POŁOŻENIE GRODZISKA I JEGO FORMA

MAGDALENA RUTYNA

Grodzisko w Strużynie, st. 21 usytuowane zostało na wysokim cyplu, posiadającym naturalne walory obronne (od wschodu dostępu broniło częściowo osuszone Jezioro Długie, a od północy dolina Srebrnej Strugi) (ryc. 1–2). Od północno-wschodniej strony dostęp do cypla odcina niewielki wał zewnętrzny o długości około 15. Owalny majdan, o wymiarach około 15 x 20 m, otacza wał o wysokości od 1 m do 2,5 m. Od zachodniej i południowo-zachodniej strony znajduje się sucha fosa oraz wał zewnętrzny (o wysokości do 2 m). Około 100 m na południowy zachód i południe od grodziska teren podgrodzia odcina kamienno-ziemny wał, w którego północnym skraju znajduje się kopiec (ryc. 3–4).

ŚRODOWISKO FIZYCZNO-GEOGRAFICZNE

JERZY NITYCHORUK I FABIAN WELC

Grodzisko znajduje się na wysuniętym cyplu wysoczyzny, ograniczony od E rozległym obniżeniem, prawdopodobnie pochodzenia limnicznego, które wykorzystuje rzeka Miłakówka. Od NNW cypel graniczy z głębokim rozcięciem erozyjnym, które powstało w wyniku przepływu rzeki Miłakówki. Na S i W od obiektu rozciąga się wysoczyzna.

Deniwelacje terenu wokół obiektu są znaczne. Obniżenie pojeziorne położone jest na wysokości 95–97 m n.p.m., a najwyższy punkt na wałach obiektu, to 132,4 m n.p.m., co daje około 37 m różnicy wysokości na małym obszarze. W obrębie obiektu wysokości zmieniają się od 132,4 do 126,5 m n.p.m., co skutkuje 6 m deniwelacjami. Powierzchnia majdanu wznosi się na około 127–128 m n.p.m., oddzielający od S pierwszy wał na 132 m n.p.m. Drugi wał ma mniejsze wysokości względne, bo dochodzące do około 1,5 m. Mały fragment zewnętrznego wału położony od SE chroni dostęp do grodziska w miejscu gdzie pagórkowi towarzyszy mały grzbiecik, ułatwiający podejście pod obiekt.

Powierzchnia wysoczyzny wokół obiektu jest urozmaicona i ciekawie ukształtowana. Na S od obiektu widoczny jest długi grzbiet, który ma przebieg NW–SE i dalej WSW–ENE, co dobrze nawiązuje do dwóch

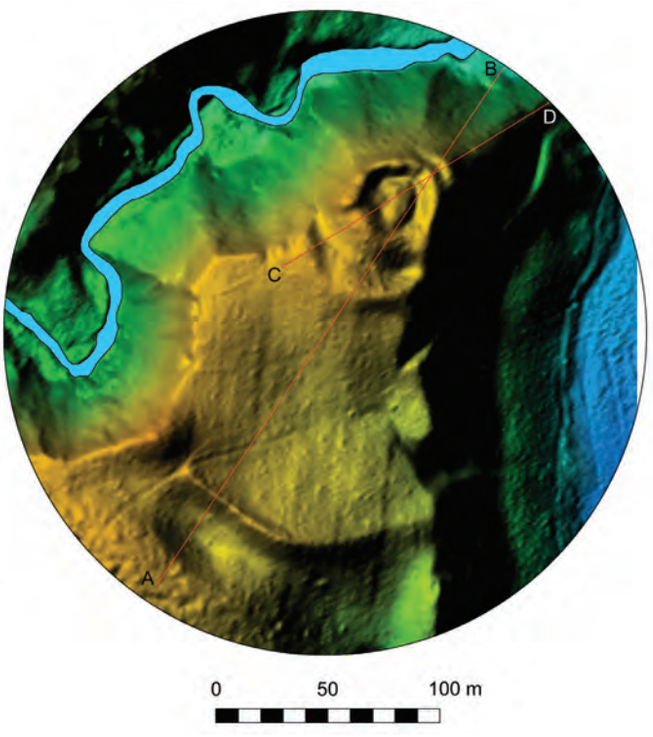

Ryc. 3. Grodzisko w Strużynie, st. 21 na zobrazowaniu ALS (na podstawie materiałów CODGiK, oprac. R. Solecki)

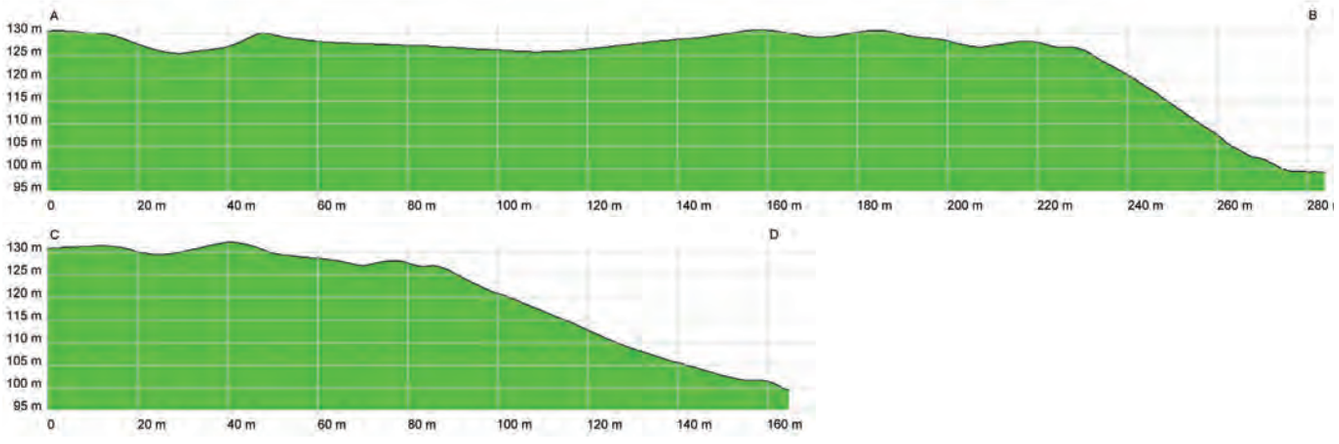

Ryc. 4. Przekroje grodziska w Strużynie, st. 21 uzyskane z danych ALS (na podstawie materiałów CODGiK, oprac. R. Solecki)

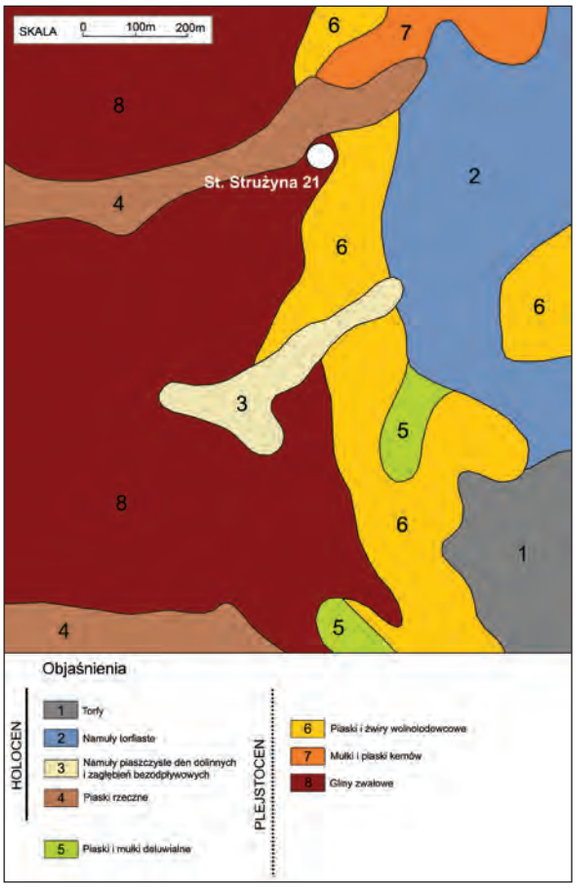

Ryc. 5. Mapa geologiczna obejmująca obszar wokół grodziska w Strużynie, st. 21 (oprac. J. Nitychoruk i F. Welc)

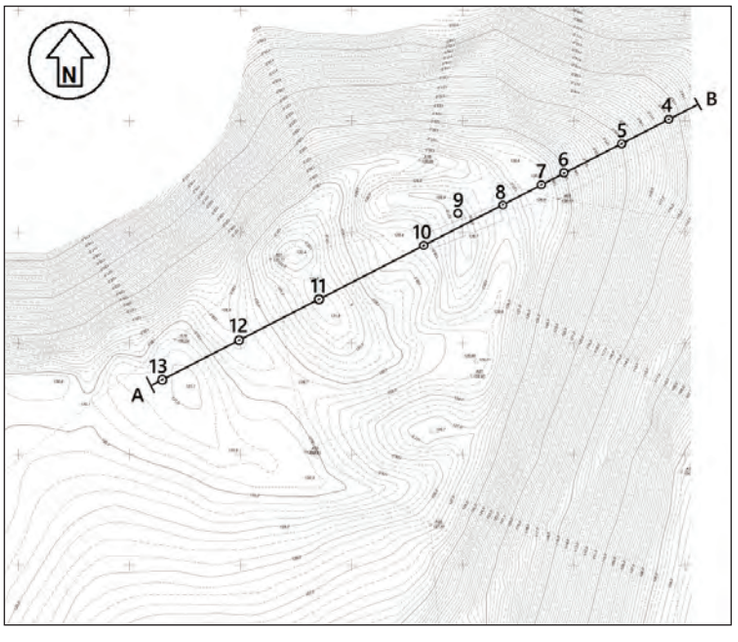

Ryc. 6. Plan warstwicowy grodziska w Strużynie, st. 21 (wyk. J. Błaszczyk) z zaznaczonymi miejscami wierceń geologicznych (oprac. J. Nitychoruk i F. Welc)

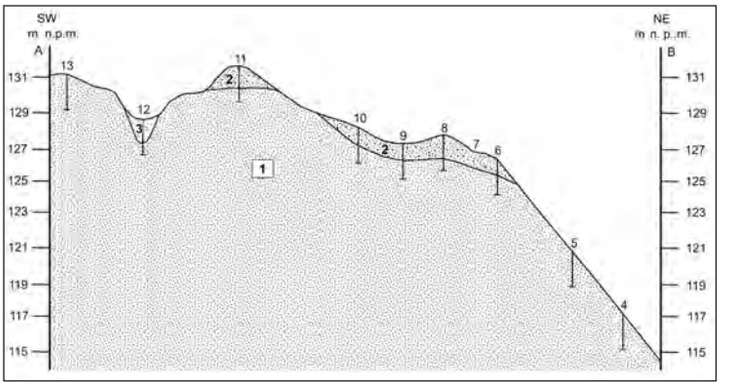

Ryc. 7. Przekrój geologiczny grodziska w Strużynie, st. 21: 1 – piasek oraz piasek z mułkiem, 2 – piasek różnoziarnisty z węglami drzewnymi, 3 – piasek pylasty z węglami drzewnymi i organiką (oprac. J. Nitychoruk i F. Welc)

sztucznych wałów towarzyszących bezpośrednio obiektowi. To powtórzenie kształtu mogłoby sugerować czynnik ludzki w powstaniu tej formy, tym bardziej, że grzbiet jest wzmocniony głazikami, a od W zakończony wzniesieniem mogącym uchodzić za wzgórze strażnicze. Grzbietowi towarzyszy występujące na S obniżenie, które może uchodzić za „fosę". Jednak powyższa interpretacja nie musi być prawdziwa.

Analizując morfologię okolic obiektu Strużyna widzimy, że sytuacja, która doprowadziła do jej powstania pochodzi z okresu wytapiania lądolodu Wisły stadiału górnego. Dowodem tego są głębokie rozcięcia erozyjne, które radykalnie tną wzgórza wysoczyznowe, niezgodnie z obecnym naturalnym spływem wód. Taka sytuacja mogła powstać tylko przy obecności brył martwego lodu, które wymuszały możliwości przepływu, co powodowało rozcinanie wysoczyzny w miejscach wówczas predystynowanych do naturalnego spływu.

Opisana powyżej tendencja przyczyniła się do powstania wzniesień i obniżeń, które z punktu widzenia współczesnych procesów mogą uchodzić za nienaturalne, czyli wywołane działaniami człowieka, ale takimi nie są. Opisywany grzbiet z owalnym pagórkiem jak i towarzyszące im obniżenie ma bardzo dużą zgodność morfologiczną z sąsiadującymi formami terenu, czyli wynika z przyczyn naturalnych. Szerokość fosy jest nazbyt duża, żeby mogła być wykonana przez człowieka. Przy kopaniu takiej formy powstała by taka ilość osadu, która nie odpowiada rozmiarom sąsiadującego z obniżeniem „wału".

Na zobrazowaniach ALS widoczne są formy rzeźby, które odpowiadają starym przepływom, również wymuszonym – pod lodowym. Takie formy występują na przedłużeniu obniżenia na E.

Na *Szczegółowej mapie geomorfologicznej Polski w skali 1:50 000 arkusz Dobry*[1] wysoczyznę polodowcową, na której zlokalizowany jest opisywany obiekt,

[1] Petelski i Gondek 2004.

budują gliny zwałowe oraz „przyklejone" do zboczy doliny Miłakówki listwy piasków i żwirów wodnolodowcowych. Szczegółowa sytuacja geologiczna różni się nieco od tej, którą prezentuje mapa (ryc. 5).

Na terenie grodziska wykonano 20 sondowań geologicznych z czego do sporządzenia przekroju wykorzystano wiercenia od S – 4 do S – 13 (ryc. 6–7). Przekrój A–B ma przebieg SW–NE. Na podstawie wykonanych wierceń udokumentowano system obronny obiektu, który składa się z dwóch wałów i fosy w części NE i dwóch wałów i fosy w części SW. W części NE obiektu wał zewnętrzny ma 0,7 m wysokości, a wał wewnętrzny około 2,0 m. Rozdzielająca je fosa jest wypełniona osadami do 1,1 m. Cechą charakterystyczną osadów budujących wały i wypełniających fosę jest bardzo duża zawartość węgli drzewnych pochodzących z pożaru konstrukcji drewnianej towarzyszącej wałom. Fragmenty takiej konstrukcji udało się stwierdzić we wkopie archeologicznym przecinającym wał wewnętrzny.

System obronny od strony SW jest złożony z wału wewnętrznego 1,5 m wysokości, fosy o 1,3 m wypełnieniu i wału zewnętrznego 1,1 m wysokości. Brak jest w tym miejscu spalenizny, występują za to węgle drzewne.

Oba wały usypane są z piasku drobnoziarnistego miejscami z pyłem, podobne też jest wypełnisko fos.

Majdan obiektu jest miejscami wybrukowany, co dokumentuje wykop archeologiczny, gdzie bruk występuje na głębokości 0,3–0,6 m. Pod brukiem warstwa kulturowa sięga do 0,9 m, a pod warstwa kulturową powszechnie występuje piasek średnioziarnisty, miejscami z mułkiem lub pojedynczym żwirem.

Na zewnątrz obiektu wykonano wiercenia od S – 14 do S – 20, które wykazały brak śladów aktywności ludzkiej i jego wpływu na kształt form rzeźby. Wał pokryty warstwą kamieni jest formą szczelinową, która towarzyszyła akumulacji kemowej.

BADANIA ARCHEOLOGICZNE

MAGDALENA RUTYNA

Przebieg badań terenowych

Wieś Strużyna po raz pierwszy odnotowana została w źródłach pisanych w 1352 r.[2] Do II wojny światowej założenie obronne w Strużynie, st. 21 nosiło nazwę *Johannisberg*. Grodzisko odkryto ponownie w lipcu 1990 roku i w tymże roku przeprowadzono na jego terenie badania sondażowe[3]. Założono wówczas cztery wykopy (po linii W-E): wykop 1 – w centralnej części majdanu, gdzie pod humusem uchwycono fragmenty konstrukcji składającej się z dwóch warstw kamieni oraz fragment zwęglonej belki (prawdopodobnie relikt spalonej konstrukcji drewnianej); wykop 2 – w zachodniej partii majdanu; wykop 3 – we wschodniej partii majdanu; wykop 4 – położony na SWW od wykopu 2, w miejscu, gdzie spodziewano się suchej fosy (uzyskany profil nie potwierdził przypuszczeń badaczy). Podczas prac odkryto nieliczne fragmenty ceramiki datowanej na XI–XII w.

Ze względu na brak publikacji wyników badań, kolejne badania podjęto w ramach realizacji programu *Katalog grodzisk Warmii i Mazur* w 2014 r. W trakcie prac wykopaliskowych otworzono trzy wykopy (oznaczone cyframi 1–3) o łącznej powierzchni 66 m² (ryc. 8). Wykop 1 (14 m długości i 3 m szerokości na pierwszych 11 m, na pozostałych – 4 m szerokości) założono w wschodniej części grodziska. W obrębie tego wykopu przebadano wewnętrzną część i szczyt wału wewnętrznego grodziska, zagłębienie przywałowe i część majdanu. Zamiarem badawczym było rozpoznanie nawarstwień i śladów ewentualnych konstrukcji wału wraz z częścią wewnętrznego obszaru do wału przylegającego.

Wykop 2 (7 m długości i 2 m szerokości) założono 44 m na zachód od wykopu 1. Celem badawczym było stwierdzenie bądź wykluczenie istnienia suchej fosy.

Wykop 3 (7 m długości i 1 m szerokości) założono na zachód od wykopu 2, na tzw. podgrodziu.

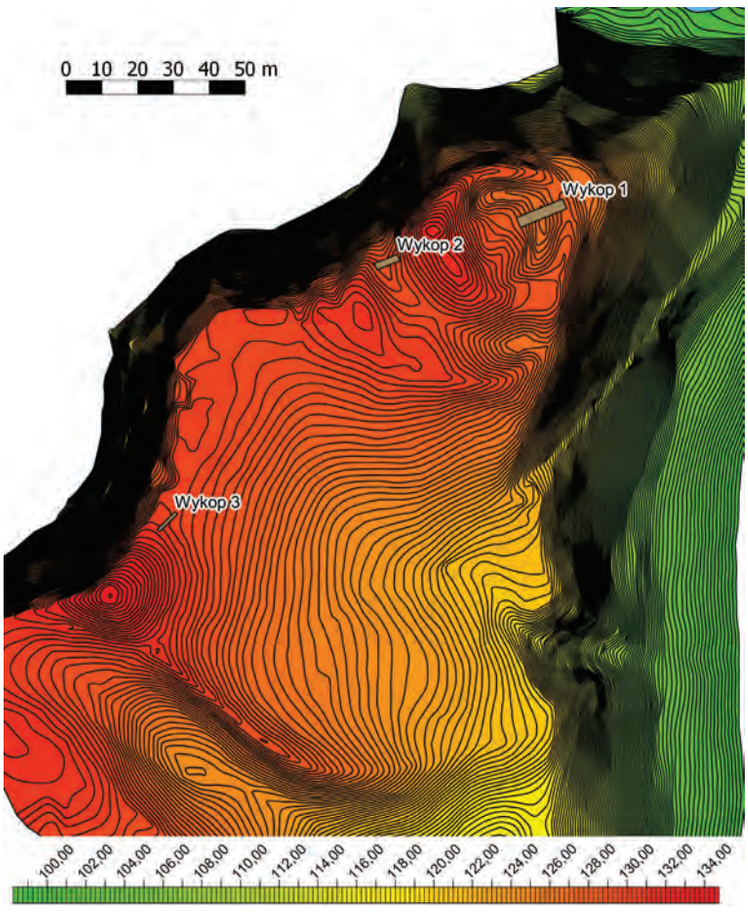

Ryc. 8. Plan warstwicowy grodziska w Strużynie, st. 21 z zaznaczonymi wykopami badawczymi z roku 2015 (na podstawie pomiarów J. Błaszczyka, oprac. R. Solecki)

[2] Hoffmann i Mackiewicz 2004: 21.

[3] Archiwum Muzeum w Olsztynie. Teczka: Strużyna.

Stratygrafia stanowiska

W trakcie badań archeologicznych przeprowadzonych w 2014 roku wydzielono łącznie 195 jednostek stratygraficznych, które podzielono na sześć głównych faz związanych z użytkowaniem tego obiektu (tab. 1 i ryc. 9).

Warstwy naturalne

Zidentyfikowano następujące warstwy naturalne: 49 (W1), 209 (W2) oraz 85 (W3). W wykopie 1 (wał, zagłębienie przywałowe, majdan) i 2 (fosa) warstwy kulturowe zalegały na drobnoziarnistym piasku z dużą ilością drobnych wytrąceń żelazistych. W wykopie 3 spoczywały na drobnoziarnistym piasku.

Faza I – wczesna epoka żelaza

Faza I związana jest z budową i użytkowaniem grodu we wczesnej epoce żelaza. Nawarstwienia i obiekty z tej fazy zidentyfikowano na majdanie grodziska (W1), w zagłębieniu przywałowym (W1) i w fosie (W2).

Podfaza IA

Na majdanie grodziska (W1) powstał wówczas starszy poziom użytkowy. Na stropie sypkiego, jednorodnego piasku 12 znajdowało się duże skupisko luźno rozrzuconych kamieni 19 (około 260 kamieni o średnicy do 30 cm) (ryc. 10).

Z okresem tym należy wiązać budowę i funkcjonowanie zagłębienia przywałowego 13 oraz dużej jamy 63 (W1) (ryc. 11). Na dnie zagłębienia powstał poziom użytkowy reprezentowany przez sypki, niejednorodny piasek z węgielkami drzewnymi 52. Obiekt 63, o wymiarach około 2,5 m x 1,7 m i głębokości do 0,7 m, w planie miał kształt nieregularny (zbliżony nieco do podłużnego owalu). W wypełnisku zarejestrowano sypki, jednorodny piasek 62. Na nieregularnym dnie spoczywało około 90 kamieni o średnicy do 20 cm (numer jednostki stratygraficznej 82). W odległości około 0,4 m na wschód od jamy odkryto ślad po dole posłupowym 84 z ziemistym wypełniskiem 83. W planie obiekt ten był okrągły, w przekroju V-kształtny, jego średnica wynosiła około 35 cm, a głębokość do 20 cm.

W fazie tej powstała również fosa zewnętrzna 215 (W2). Jej szerokość (u góry) wynosi około 7 m, a najniższy punkt znajduje się na poziomie 126,6 m n.p.m. Różnica wysokości pomiędzy dnem fosy, a szczytem wału po osi profilu N wynosi około 5,8 m. Fosa miała U-kształtny przekrój. W zachodniej części wykopu, na stropie sypkiego, niejednorodnego piasku z węgielkami drzewnymi 197, odkryto pozostałości prawdopodobnie drewnianej kładki (?) 200. Na dnie fosy, w jej centralnej części, w warstwie zglinionego piasku z drobnymi węgielkami 199 spoczywała, otoczona kilkoma kamieniami 204, czaszka bydła 202 (ryc. 17). Z horyzontem tym należy również wiązać warstwy użytkowe reprezentowane przez sypki, jednorodny piasek 198 oraz sypki, jednorodny piasek 191 (ryc. 12).

Podfaza IB

Drugi poziom użytkowy na majdanie grodziska (W1) wyznacza skupisko kamieni 2. W sypkim, jednorodnym piasku 4 zalegało około 260 luźno rozrzuconych kamieni o średnicy do 30 cm.

Faza II – opuszczenie grodziska z wczesnej epoki żelaza

Faza II to okres pomiędzy wczesną epoką żelaza a wczesnym średniowieczem. Horyzont ten reprezentują warstwy powstałe w wyniku erozji wału zaobserwowane w wypełnisku fosy (W2). W kolejności stratygraficznej są to kolejno: sypki, jednorodny piasek 195, sypki, jednorodny piasek 193, sypki, jednorodny piasek 192 oraz sypki, niejednorodny piasek z węgielkami drzewnymi 105 (ryc. 12).

Faza III – wczesne średniowiecze

Podfaza IIIA

Podfaza IIIA związana jest z budową grodu wczesnośredniowiecznego. Usypano wówczas wał (W1) i umocniono stok fosy zewnętrznej (W2) (ryc. 11 i 13).

Zachowana wysokość wału (W1) dochodzi do 1 m. Najwyższy jego punkt osiąga poziom 127,60 m n.p.m. Nasyp wału tworzyły następujące warstwy: sypki, jednorodny piasek 15, twardy gliniasty piasek z węgielkami drzewnymi 45, twardy, jednorodny piasek 51A, twardy, niejednorodny piasek z węgielkami drzewnymi 51B, twardy, niejednorodny piasek z węgielkami drzewnymi 86, twarda, jednorodna glina 59 oraz sypki, jednorodny piasek 46. Na stropie warstwy 59 odkryto skupisko luźnych kamieni 22 (około 50 kamieni, o średnicy do 30 cm), tworzących pas o szerokości około 40 cm i przebiegu północ–południe.

Zapewne w tym okresie powstał i funkcjonował odkryty na majdanie (W1) grodziska, w południowo-zachodnim narożniku wykopu, obiekt 18 (o wymiarach około 2 x 3 m i głębokości do 0,7 m). W planie miał kształt zbliżony do połowy owalu, a dno niemal płaskie. Zidentyfikowano w nim w kolejności stratygraficznej następujące wypełniska: zgliniony piasek 41 na powierzchni całego obiektu, będący prawdopodobnie poziomem użytkowym; przeprażony piasek 39, w północno-zachodniej części obiektu, który można interpretować jako relikt paleniska 40; sypki, niejednorodny piasek 3 (ryc. 11).

Ponadto przy krawędzi obiektu zaobserwowano ślady po dołach posłupowych (tab. 2).

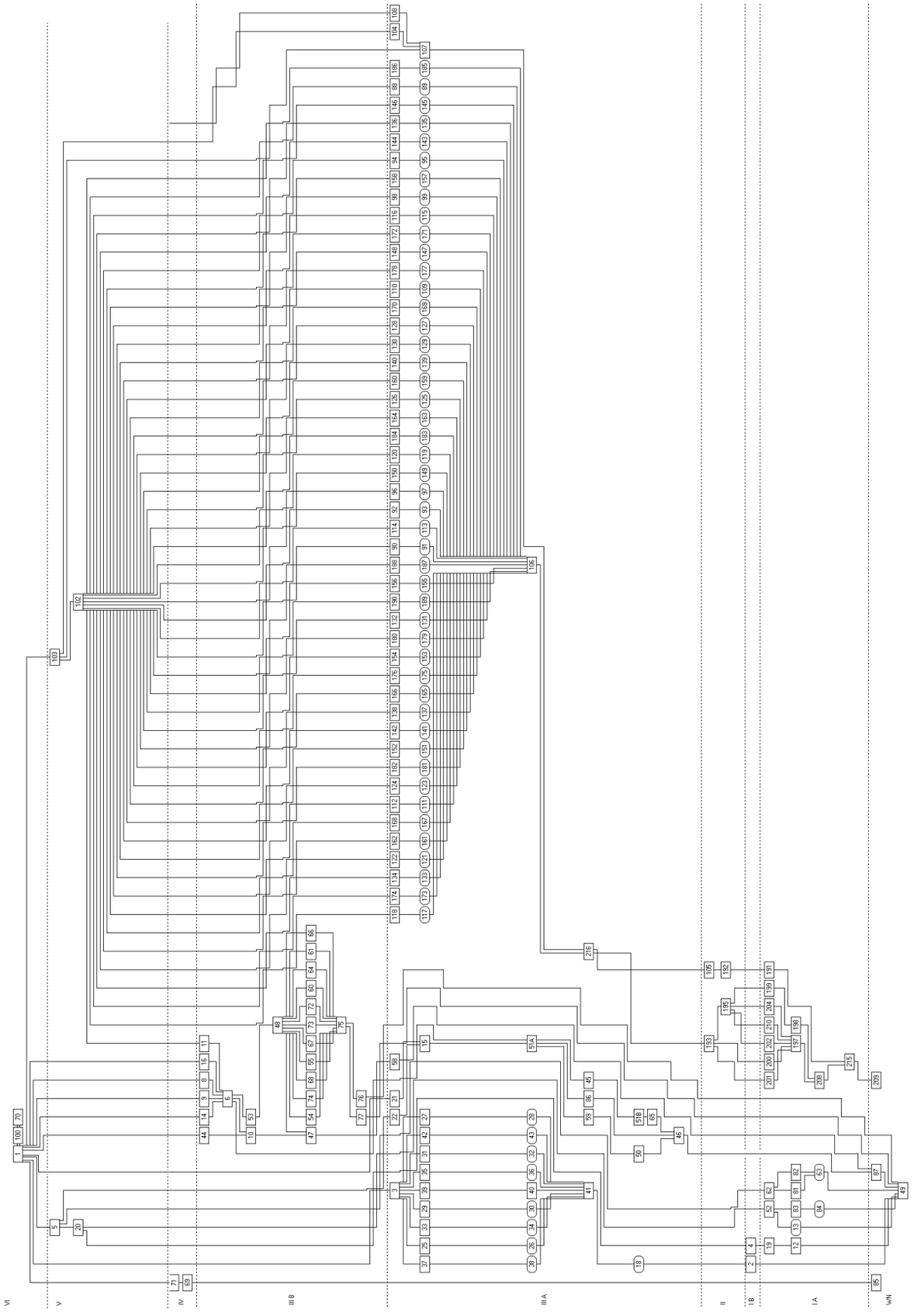

Ryc. 9. Strużyna, st. 21. Diagram relacji stratygraficznych (oprac. M. Rutyna)

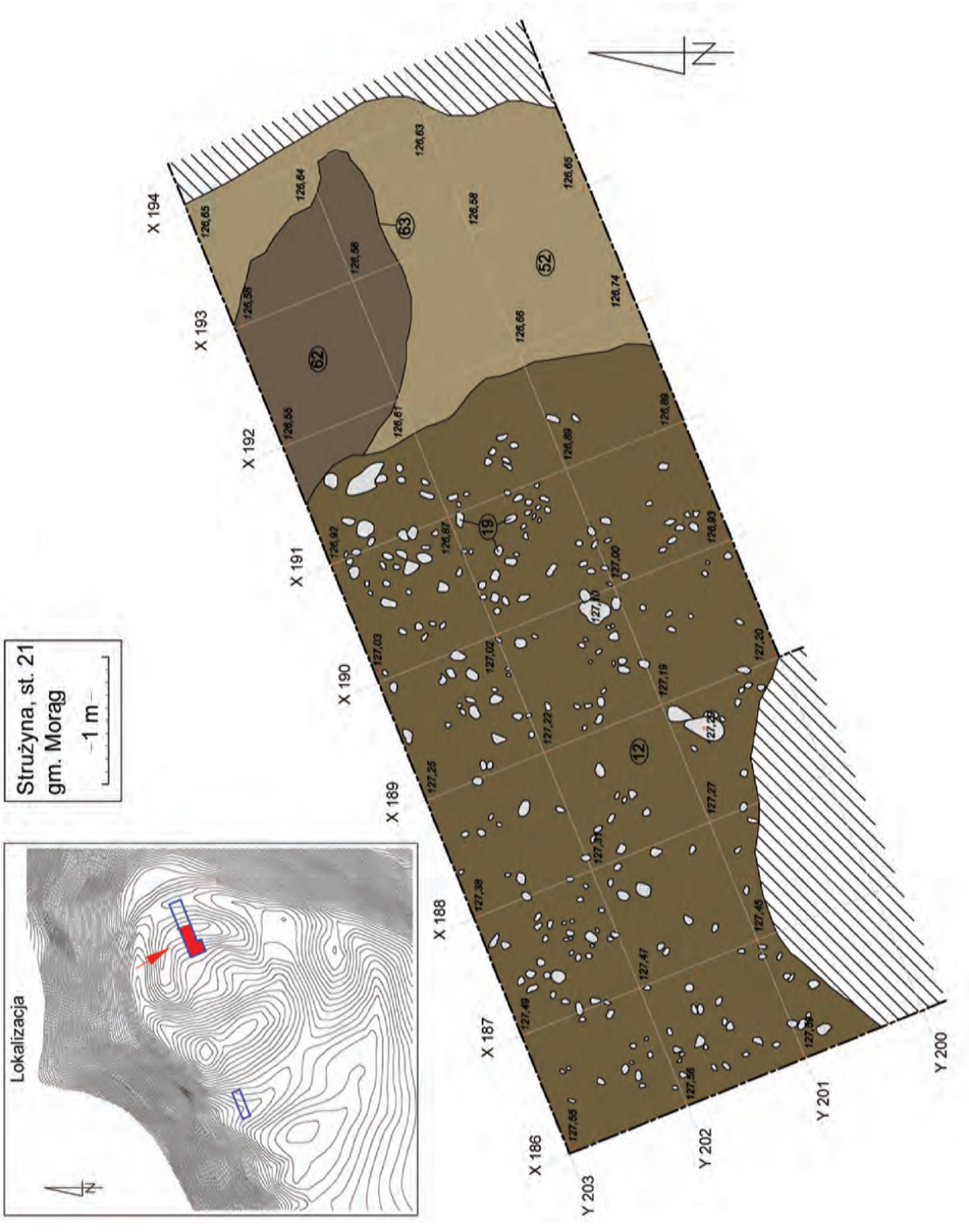

Ryc. 10. Strużyna, st. 21. Plan stropu skupiska kamieni 19 oraz jamy 63 (oprac. M. Rutyna i R. Solecki)

Strużyna, st. 21
gm. Morąg
–1 m–

Faza VI
Faza V
Faza IV
Faza III C
Faza III B
Faza III A
Faza II
Faza I C
Faza I B
Faza I A
Warstwy naturalne

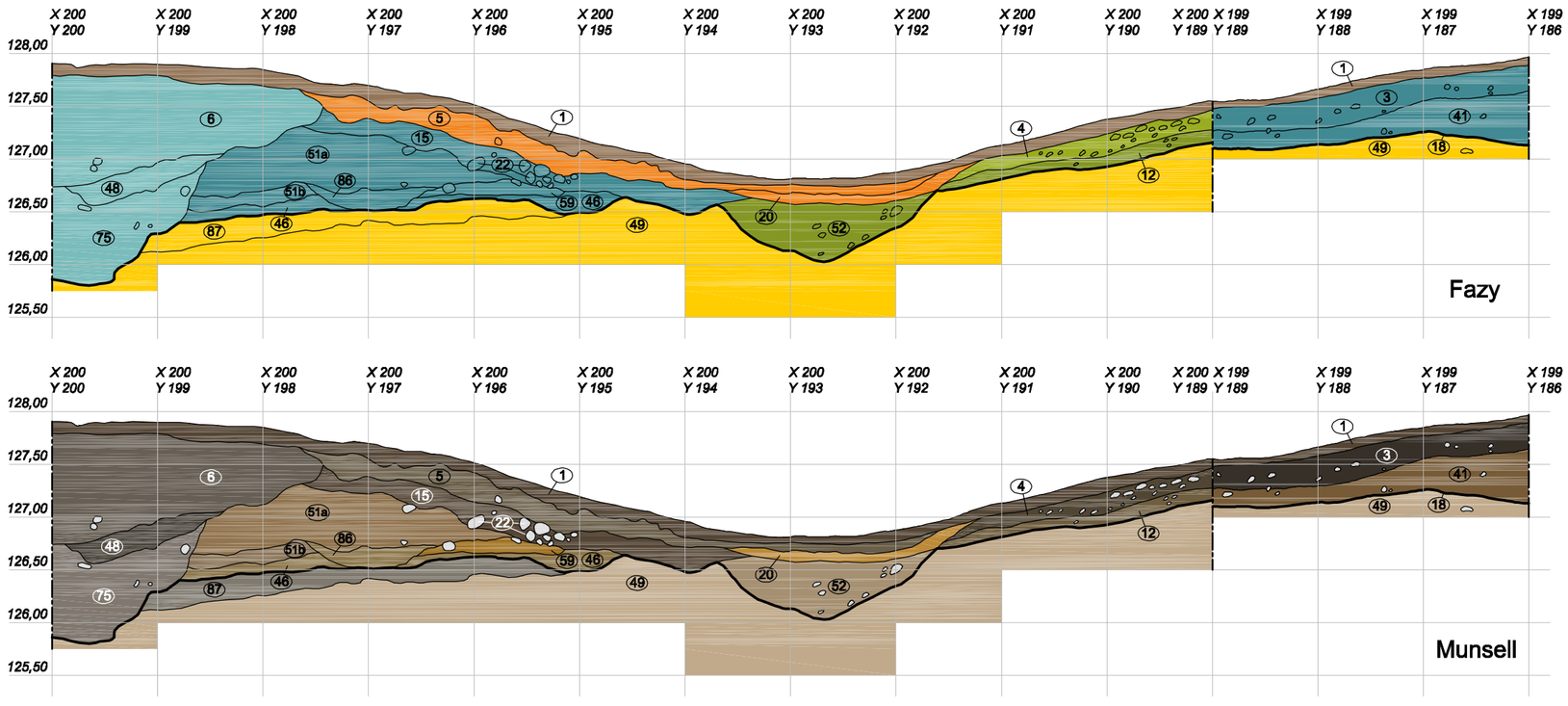

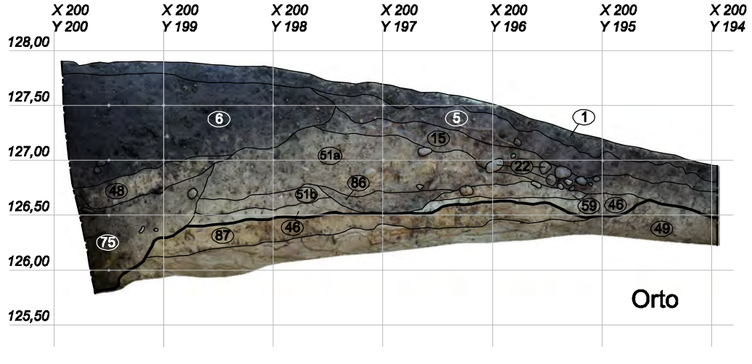

Ryc. 11. Strużyna, st. 21. Przekrój przez nawarstwienia wału i majdanu w Wykopie 1 (oprac. M. Rutyna i R. Solecki)

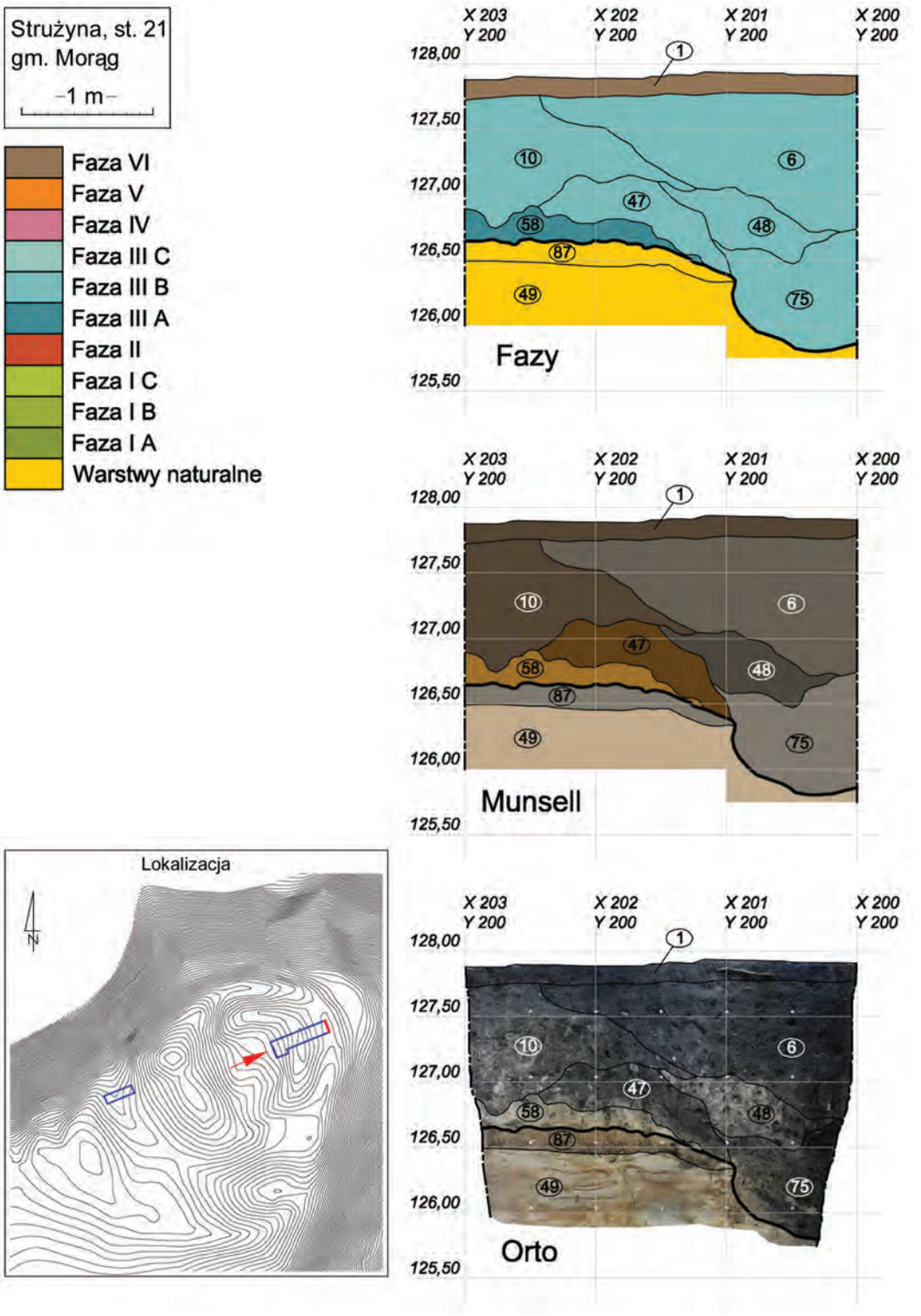

Ryc. 12. Strużyna, st. 21. Przekrój przez nawarstwienia wału w wykopie 1 (oprac. M. Rutyna i R. Solecki)

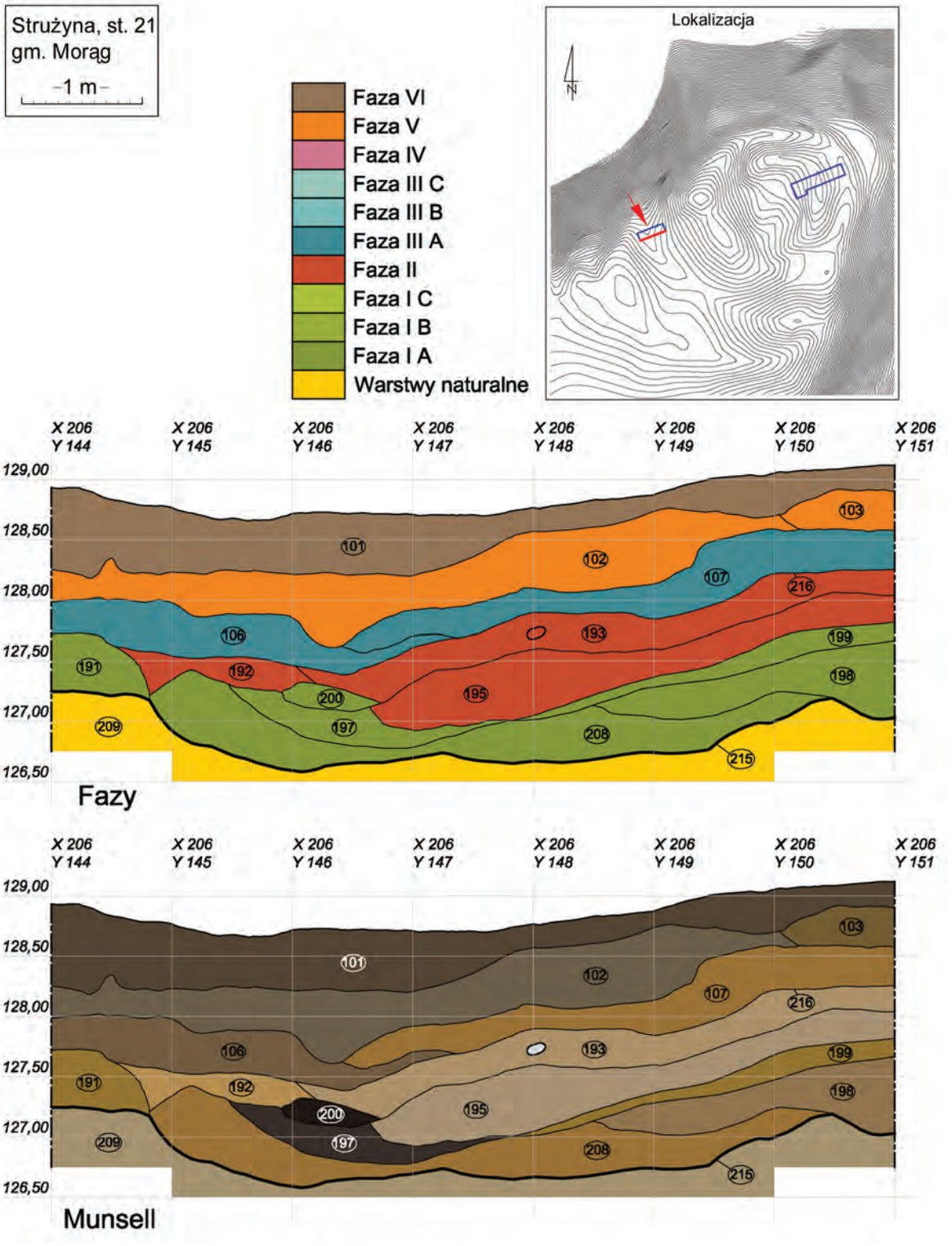

Ryc. 13. Strużyna, st. 21. Przekrój przez nawarstwienia fosy w wykopie 2 (oprac. M. Rutyna i R. Solecki)

Tabela 1. Katalog warstw z opisem poszczególnych jednostek stratygraficznych grodziska w Strużynie, st. 21 (oprac. M. Rutyna)

Numer jednostki	Numer obiektu	Numer wykopu	Położenie w obrębie stanowiska	Współrzędne siatki pomiarowej stanowiska	Opis jednostki stratygraficznej	Barwa (Munsell)	Pozycja stratygraficzna	
							Znajduje się pod	Znajduje się nad
1=70=100	-	1	Całe stanowisko		Sypki, ziemisty piasek; miąższość do 15 cm; humus	10YR 3/2	-	2, 3, 4, 5, 6
2=7	-	1	Majdan	X=200–203; Y=186–191,50	Skupisko około 260 kamieni (o śr. do 30 cm) na majdanie grodziska; poziom użytkowy	-	1	3, 4
3	18	1	Majdan	X=199–201; Y=186–189	Sypki, jednorodny piasek; miąższość do 30 cm; wypełnisko obiektu 18	10YR 2/1	1	41
4	-	1	Majdan	X=200–203; Y=186–191,50	Sypki, jednorodny piasek; miąższość do 20 cm; warstwa użytkowa	2,5Y 3/2	1	12
5	-	1	Stok wału	X=200–203; Y=193–198	Sypki, drobnoziarnisty, jednorodny piasek; miąższość do 15 cm; warstwa powstała w wyniku naturalnego narastania gleby	2,5Y 4/2	1	15=23=24
6	-	1	Wał	X=200–203; Y=198–200	Sypki, niejednorodny piasek z drobnymi węgielkami drzewnymi; miąższość do 100 cm; warstwa powstała w wyniku zniszczenia prawdopodobnie drewnianego budynku	10YR 4/1	1, 5	48, 51A
8	-	1	Wał	X=200–200,80; Y=199,50–199,70	Fragmenty dwóch spalonych belek (o wym. 20 x 70 cm i 6 x 12 cm) w SE narożniku wykopu; prawdopodobnie są pozostałościami jednej ze ścian spalonego drewnianego budynku, który znajdował się na szczycie wału	-	1	6
9	-	1	Wał	X=200–201; Y=199–200	Drobne fragmenty spalonych belek w SE narożniku wykopu (o wym. 10 x 25 cm, 10 x 16 cm, 6 x 10 cm, 10 x 10 cm); prawdopodobnie są pozostałościami jednej ze ścian spalonego drewnianego budynku, który znajdował się na szczycie wału	-	1	6
10	-	1	Wał	X=201,3–203; Y=186–187,8	Sypki, niejednorodny piasek z węgielkami drzewnymi; miąższość do 85 cm; warstwa powstała w wyniku zniszczenia prawdopodobnie drewnianego budynku	10YR 3/2; 10YR 5/4; 2,5Y 7/3	1, 6	47, 58
11		1	Wał	X=198,50–200; Y=200–201	Drobne fragmenty spalonych belek w SE narożniku wykopu (o wym. 12 x 30 cm, 10 x 16 cm, 4 x 8 cm, 10 x 20 cm, 12 x 16 cm, 10 x 14 cm); prawdopodobnie są pozostałościami jednej ze ścian spalonego drewnianego budynku, który znajdował się na szczycie wału	-	1	6
12	-	1	Majdan	X=200–203; Y=186–191,50	Sypki, jednorodny piasek; miąższość do 20 cm; warstwa użytkowa na majdanie grodziska	2,5Y 4/3	4	49
13	13	1	Zagłębienie przywałowe	X=200–203; Y=191–194,9	Zagłębienie przywałowe w wykopie 1; powstało w Fazie IA	-	52	49
14	-	1	Wał	X=200–201; Y=198,9–200	Drobne fragmenty spalonych belek (o wym. 20 x 35 cm, 4 x 10 cm, 4 x 6 cm, 5 x 20 cm) w SE narożniku wykopu; prawdopodobnie są pozostałościami jednej ze ścian spalonego drewnianego budynku, który znajdował się na szczycie wału	-	1	6
15	-	1	Stok wału	X=200–203; Y=193,30–197,8	Sypki, jednorodny piasek; miąższość do 40 cm; nasyp wału	10YR 3/2; 10YR 5/4; 2,5Y 7/3	5	51a, 59
16	-	1	Wał	X=200,25–200,40; Y=198,80–199,80	Spalona belka, o wym. 16 x 85 cm, w SE narożniku wykopu; leżąca równolegle do dłuższej krawędzi wykopu; prawdopodobnie pochodzi z jednej ze ścian spalonego drewnianego budynku, który znajdował się na szczycie wału	-	1	6
18	18	1	Majdan	X=199–201; Y=186–189	Obiekt na majdanie grodziska (o wym. ok. 2 x 3 m i gł. do 0,7 m); w planie miał kształt zbliżony do połowy owalu, a dno niemal płaskie	-	41	49
19	-	1	Majdan	X=200–203; Y=186–191,50	Duże skupisko luźno rozrzuconych kamieni (ok. 260 kamieni o śr. do 30 cm)	-	4	12
20		1	Zagłębienie przywałowe	X=200–203; Y=192–194,95	Sypki, jednorodny piasek; Miąższość do 15 cm; warstwa powstała w wyniku naturalnego narastania gleby	10YR 6/8	5	52
21	-	1	Stok wału	X=200–203; Y=194,8–197,9	10 luźno rozrzuconych kamieni (o śr. do 10 cm) na stoku wału	-	5	15
22	-	1	Stok wału	X=200–203; Y=195,20–195,60	Skupisko luźnych kamieni (ok. 50 kamieni, o śr. do 30 cm), tworzących pas o szerokości ok. 40 cm i przebiegu północ-południe	-	5	15
25	26	1	Majdan	X=200,2–200,28; Y=188,12–188,20	Ziemisty piasek; wypełnisko dołu posłupowego 26	10YR 4/3	3	26

Tabela 1. Ciąg dalszy

Numer jednostki	Numer obiektu	Numer wykopu	Położenie w obrębie stanowiska	Współrzędne siatki pomiarowej stanowiska	Opis jednostki stratygraficznej	Barwa (Munsell)	Pozycja stratygraficzna	
							Znajduje się pod	Znajduje się nad
26	26	1	Majdan	X=200,2–200,28; Y=188,12–188,20	Dół posłupowy; w planie okrągły, w przekroju V-kształtny, o śr. do 8 cm i gł. do 10 cm	-	25	41
27	28	1	Majdan	X=200,5–200,58; Y=188,12–188,20	Ziemisty piasek; wypełnisko dołu posłupowego 28	10YR 4/3	3	28
28	28	1	Majdan	X=200,5–200,58; Y=188,12–188,20	Dół posłupowy; w planie okrągły, w przekroju V-kształtny, o śr. do 8 cm i gł. do 10 cm	10YR 5/4	27	41
29	30	1	Majdan	X=200,2–200,28; Y=187,46–187,54	Ziemisty piasek; wypełnisko dołu posłupowego 30	10YR 5/4	3	30
30	30	1	Majdan	X=200,2–200,28; Y=187,46–187,54	Dół posłupowy; w planie okrągły, w przekroju V-kształtny, o śr. do 8 cm i gł. do 10 cm	-	29	41
31	32	1	Majdan	X=200,56–200,64; Y=187,58–187,66	Ziemisty piasek; wypełnisko dołu posłupowego 32	10YR 5/4	3	32
32	32	1	Majdan	X=200,56–200,64; Y=187,58–187,66	Dół posłupowy; w planie okrągły, w przekroju V-kształtny, o śr. do 8 cm i gł. do 10 cm	-	31	41
33	34	1	Majdan	X=200,92–201; Y=187,12–187,20	Ziemisty piasek; wypełnisko dołu posłupowego 34	10YR 6/2	3	34
34	34	1	Majdan	X=200,92–201; Y=187,12–187,20	Dół posłupowy; w planie okrągły, w przekroju V-kształtny, o śr. do 8 cm i gł. do 10 cm	-	33	41
35	36	1	Majdan	X=200,76–200,84; Y=187,04–187,12	Ziemisty piasek; wypełnisko dołu posłupowego 36	10YR 3/1	3	36
36	36	1	Majdan	X=200,76–200,84; Y=187,04–187,12	Dół posłupowy; w planie okrągły, w przekroju V-kształtny, o śr. do 8 cm i gł. do 10 cm	10YR 6/2	35	41
37	38	1	Majdan	X=200,70–200,78; Y=186,50–186,58	Ziemisty piasek; wypełnisko dołu posłupowego 38	10YR 3/1	3	38
38	38	1	Majdan	X=200,70–200,78; Y=186,50–186,58	Dół posłupowy; w planie okrągły, w przekroju V-kształtny, o śr. do 8 cm i gł. do 10 cm	10YR 3/1	37	41
39	40	1	Majdan	X=199–199,5; Y=186–186,25	Przeprażony piasek z węgielkami drzewnymi; wypełnisko obiektu 40	10YR 3/4; 10YR 2/1	3	40
40	40	1	Majdan	X=199–199,5; Y=186–186,25	Obiekt o wym. 20 x 30 cm i gł. ok. 20 cm, prawdopodobnie relikt paleniska; w planie kształt nieregularny, dno lekko U-kształtne	10YR 3/4; 10YR 2/1	39	41
41	18	1	Majdan	X=199–201,50; Y=186–189	Zgliniony piasek; wypełnisko obiektu 18	10YR 4/4	3, 28, 30, 32, 34, 36, 38, 40, 43	18
42	43	1	Majdan	X=200,20–200,28; Y=186,05–198,13	Ziemisty piasek; wypełnisko dołu posłupowego 43	10YR 6/2	3	43
43	43	1	Majdan	X=200,20–200,28; Y=186,05–198,13	Dół posłupowy; w planie okrągły, w przekroju V-kształtny, o śr. do 8 cm i gł. do 10 cm	10YR 6/2	42	41
44		1	Wał	X=201,40–201,60; Y=198,50–198,80	Fragment spalonej belki, o wym. 12 x 32 cm; prawdopodobnie pochodzi z jednej ze ścian spalonego drewnianego budynku, który znajdował się na szczycie wału	-	1	10
45	-	1	Wał	X=196–203; Y=201,4–202,50	Sypki, niejednorodny gliniasty piasek; miąższość do 10 cm; nasyp wału	2,5Y 3/3; 2,5Y 5/3	51a	46, 51b
46	-	1	Wał	X=200–203; Y=193–196,4	Sypki, jednorodny piasek; miąższość do 30 cm	2,5Y 5/4	86, 45, 51b	87
47		1	Wał	X=200,4–202,4; Y=199,2–200	Sypki, niejednorodny piasek z węgielkami drzewnymi; miąższość do 25 cm; warstwa powstała w wyniku zniszczenia prawdopodobnie drewnianego budynku	2,5Y 6/3; 2,5Y 6/3; 10YR 3/6	10, 48	58
48		1	Wał	X=200–201,4; Y=199,2–200	Sypki, niejednorodny piasek z węgielkami drzewnymi; miąższość do 45 cm; warstwa powstała w wyniku zniszczenia prawdopodobnie drewnianego budynku	2,5Y 3/1	6	75
49	-	1	Wał, majdan	X=200–203; Y=186–200	Sypki, jednorodny piasek; calec	10YR 7/3	87, 12, 13, 41	-
50	-	1	Wał	X=199,50–199,80; Y=196–197,20	10 luźno rozrzuconych kamieni (o śr. do 10 cm)	-	59	46
51a	-	1	Wał	X=200–203; Y=195,4–198,60	Sypki, jednorodny piasek; miąższość do 60 cm; nasyp wału	10YR 5/4	6, 15=23=24	51b, 86, 59
51b	-	1	Wał	X=200–203; Y=197,50–198,50	Sypki, jednorodny piasek; miąższość do 20 cm; nasyp wału	10YR 5/3	51a, 45	46
52	13	1	Zagłębienie przywałowe	X=200–203; Y=191–194,9	Sypki, niejednorodny piasek z węgielkami drzewnymi; miąższość do 55 cm; poziom użytkowy	10YR 6/3	20	13

Tabela 1. Ciąg dalszy

Numer jednostki	Numer obiektu	Numer wykopu	Położenie w obrębie stanowiska	Współrzędne siatki pomiarowej stanowiska	Opis jednostki stratygraficznej	Barwa (Munsell)	Pozycja stratygraficzna	
							Znajduje się pod	Znajduje się nad
53		1	Wał	X=199,80–200; Y=199,62–199,88	Fragment belki, o wym. 6 x 26 cm, w SE narożniku wykopu; prawdopodobnie pochodzi z jednej ze ścian spalonego drewnianego budynku, który znajdował się na szczycie wału	-	6	48
54		1	Wał	X=200,34–201,30; Y=199,16–199,24	Fragment belki, o wym. 4 x 8 cm; prawdopodobnie pochodzi z jednej ze ścian spalonego drewnianego budynku, który znajdował się na szczycie wału	-	48	75
55		1	Wał	X=199,40–199,50; Y=199,52–199,60	Fragment belki, o wym. 8 x 10 cm; prawdopodobnie pochodzi z jednej ze ścian spalonego drewnianego budynku, który znajdował się na szczycie wału	-	48	75
58		1	Wał	X=200,70–203; Y=199–200	Sypki, jednorodny piasek; miąższość do 30 cm; nasyp wału	10YR 5/8	10, 47	87
59		1	Wał	X=200–203; Y=194,80–196,80	Twarda, jednorodna glina; miąższość do 15 cm; nasyp wału	10YR 5/8	51a	46
60		1	Wał	X=200,15–200,21; Y= 199,44–199,60	Fragment spalonej belki, o wym. 6 x 16 cm, w SE narożniku wykopu; prawdopodobnie pochodzi z jednej ze ścian spalonego drewnianego budynku, który znajdował się na szczycie wału	-	48	75
61		1	Wał	X=200,40–200,70; Y=198,75–198,95	Fragment belki, o wym. 16 x 30 cm; prawdopodobnie pochodzi z jednej ze ścian spalonego drewnianego budynku, który znajdował się na szczycie wału	-	48	75
62	63	1	Zagłębienie przywałowe	X=201,30–203; Y=191,50–194	Sypki, jednorodny piasek z drobnymi fragmentami węgielków drzewnych; miąższość do 70 cm; wypełnisko obiektu w zagłębieniu przywałowym	10YR 6/4	20	63
63	63	1	Zagłębienie przywałowe	X=201,30–203; Y=191,50–194	Obiekt, o wym. ok. 1,7 x 2,5 m i gł. do 0,7 m, w planie miał kształt nieregularny (zbliżony nieco do podłużnego owalu)	-	62	49
64		1	Wał	X=200,20–200,30; Y=199,10–199,26	Fragment spalonej belki, o wym. 10 x 16 cm; prawdopodobnie pochodzi z jednej ze ścian spalonego drewnianego budynku, który znajdował się na szczycie wału	-	48	75
65		1	Wał	X=201–202; Y=196,60–198,30	Sypki, niejednorodny piasek z drobnymi fragmentami węgielków; miąższość do 15 cm; nasyp wału	2,5Y 4/2	51b	46
66		1	Wał	X=200,50–200,70; Y=199,40–199,60	Dwa fragmenty belek, o wym. 5 x 8 cm i 6 x 8 cm; prawdopodobnie pochodzą z jednej ze ścian spalonego drewnianego budynku, który znajdował się na szczycie wału	-	48	75
67		1	Wał	X=200,30–200,40; Y=199,40–199,80	Fragment spalonej belki, o wym. 10 x 40 cm; prawdopodobnie pochodzi z jednej ze ścian spalonego drewnianego budynku, który znajdował się na szczycie wału	-	48	75
68		1	Wał	X=200,70–200,80; Y=199,10–199,18	Fragment spalonej belki, o wym. 8 x 14 cm; prawdopodobnie pochodzi z jednej ze ścian spalonego drewnianego budynku, który znajdował się na szczycie wału	-	48	75
69		3	Podgrodzie		Sypki, jednorodny piasek; miąższość do 40 cm; warstwa użytkowa	2,5Y 5/3	70	85
71		3	Podgrodzie		Ok. 30 kamieni luźno rozrzuconych (o śr. do 10 cm)	-	70	69=78
72		1	Wał	X=200,35–200,50; Y=199–199,30	Fragment spalonej belki, o wym. 15 x 30 cm; prawdopodobnie pochodzi z jednej ze ścian spalonego drewnianego budynku, który znajdował się na szczycie wału	-	48	75
73		1	Wał	X=200,76–200,91; Y=199,32–199,40	Fragment spalonej belki, o wym. 8 x 15 cm; prawdopodobnie pochodzi z jednej ze ścian spalonego drewnianego budynku, który znajdował się na szczycie wału	-	48	75
74		1	Wał	X=200,54–200,60; Y=199,40–199,50	Fragment spalonej belki, o wym. 6 x 10 cm; prawdopodobnie pochodzi z jednej ze ścian spalonego drewnianego budynku, który znajdował się na szczycie wału	-	48	75
75		1	Wał	X=200–201,50; Y=108,70–200	Sypki, jednorodny piasek; miąższość do 80 cm; warstwa powstała w wyniku zniszczenia prawdopodobnie drewnianego budynku	10YR 5/1	48	49
76		1	Wał	X=200,44–200,78; Y=199,20–199,40	Fragment spalonej belki, o wym. 10 x 34 cm; prawdopodobnie pochodzi z jednej ze ścian spalonego drewnianego budynku, który znajdował się na szczycie wału	-	75	49
77		1	Wał	X=200,72–201; Y=199,40–199,66	Fragment spalonej belki, o wym. 10 x 30 cm; prawdopodobnie pochodzi z jednej ze ścian spalonego drewnianego budynku, który znajdował się na szczycie wału	-	75	49
81	63	1	Zagłębienie przywałowe	X=201,30–203; Y=191,50–194	Plastyczna, jednorodna glina na ścianach obiektu 63; częściowo wyrzucona na majdan i do zagłębienia przywałowego	10YR 4/4	62	63

Tabela 1. Ciąg dalszy

Numer jednostki	Numer obiektu	Numer wykopu	Położenie w obrębie stanowiska	Współrzędne siatki pomiarowej stanowiska	Opis jednostki stratygraficznej	Barwa (Munsell)	Pozycja stratygraficzna	
							Znajduje się pod	Znajduje się nad
82	63	1	Zagłębienie przywałowe	X=201,30–203; Y=191,50–194	Ok. 90 kamieni o śr. do 20 cm; na dnie obiektu 63	-	62	63
83	84	1	Zagłębienie przywałowe	X=202,10–202,45; Y=193,40–193,75	Sypki, jednorodny piasek; miąższość do 20 cm; wypełnisko dołu posłupowego w zagłębieniu przywałowym	10YR 4/3	52	84
84	84	1	Zagłębienie przywałowe	X=202,10–202,45; Y=193,40–193,75	Dół posłupowy (ok. 35 cm śr., gł. do 20 cm); w zagłębieniu przywałowym; w planie kształt owalny, przekrój V-kształtny	-	83	49
85		3	Podgrodzie		Drobnoziarnisty, jednorodny piasek; calec	2,5Y 6/3	69=78	-
86		1	Wał	X=200–201; Y=196,70–197,70	Sypki, niejednorodny piasek z fragmentami węgielków drzewnych; miąższość do 10 cm; nasyp wału	2,5Y 5/4	51a	46, 87
87		1	Wał	X=200–203; Y=195–200	Twarda, jednorodna glina; calec	2,5Y 5/1	46, 86	49
88	89	2	Fosa	X=205; Y=146	Sypki, jednorodny piasek; Miąższość do 15 cm; wypełnisko obiektu 89	10YR 3/4; 2,5Y 5/1	102	89
89	89	2	Fosa	X=205; Y=146	Dół posłupowy w W części wykopu; w planie okrągły, w przekroju V-kształtny, o śr. do 10 cm i gł. do 15 cm	-	88	106
90	91	2	Fosa	X=205,10; Y=146,10	Sypki, jednorodny piasek; wypełnisko obiektu 91	10YR 3/4; 2,5Y 5/1	102	91
91	91	2	Fosa	X=205,10; Y=146,10	Dół posłupowy; w planie okrągły, w przekroju V-kształtny, o śr. do 10 cm i gł. do 15 cm	-	90	106
92	93	2	Fosa	X=205,20; Y=146,25	Sypki, jednorodny piasek; wypełnisko obiektu 93	10YR 3/4; 2,5Y 5/1	102	93
93	93	2	Fosa	X=205,20; Y=146,25	Dół posłupowy; w planie okrągły, w przekroju V-kształtny, o śr. do 10 cm i gł. do 15 cm	-	92	106
94	95	2	Fosa	X=204,90; Y=146,50	Sypki, jednorodny piasek; wypełnisko obiektu 95	10YR 3/4; 2,5Y 5/1	102	95
95	95	2	Fosa	X=204,90; Y=146,50	Dół posłupowy; w planie okrągły, w przekroju V-kształtny, o śr. do 10 cm i gł. do 15 cm	-	94	106
96	97	2	Fosa	X=205,90; Y=145,20	Sypki, jednorodny piasek; wypełnisko obiektu 97	10YR 3/4; 2,5Y 5/1	102	97
97	97	2	Fosa	X=205,90; Y=145,20	Dół posłupowy; w planie okrągły, w przekroju V-kształtny, o śr. do 10 cm i gł. do 15 cm	-	96	106
98	99	2	Fosa	X=205,90; Y=144,10	Sypki, jednorodny piasek; wypełnisko obiektu 99	10YR 3/4; 2,5Y 5/1	102	99
99	99	2	Fosa	X=205,90; Y=144,10	Dół posłupowy; w planie okrągły, w przekroju V-kształtny, o śr. do 10 cm i gł. do 15 cm	-	98	106
102	-	2	Fosa	X=204–206; Y=144–150	Sypki, niejednorodny piasek z wtrętami węgielków drzewnych; miąższość do 60 cm; warstwa powstała w wyniku naturalnego narastania gleby	2,5Y 4/2	100	107
103	-	2	Fosa	X=204–206; Y=150–151	Sypki, jednorodny piasek; miąższość do 35 cm; warstwa powstała w wyniku naturalnego narastania gleby	2,5Y 4/4	100	102, 107
104	216	2	Fosa	X=204–206; Y=150–151	Mocno zniszczone, spalone, niewielkie fragmenty luźno rozrzuconych pozostałości prawdopodobnie drewnianych belek (o wym. 15 x 30 cm i 12 x 25 cm)	2,5Y 2,5/1	103	107
105	-	2	Fosa	X=204,20–205,30; Y=145–146,5	Sypki, niejednorodny piasek z węgielkami drzewnymi; miąższość do 10 cm; warstwa powstała w wyniku naturalnego narastania gleby	10YR 5/3	216	192
106	216	2	Fosa	X=204–206; Y=144–147,5	Sypki, jednorodny piasek; miąższość do 45 cm; warstwa użytkowa	10YR 4/3	102	216
107	216	2	Fosa	X=204–206; Y=146,40–151	Sypki, drobnoziarnisty, jednorodny piasek; miąższość do 50 cm; warstwa użytkowa	10YR 5/6	102	216
108	216	2	Fosa	X=204–206; Y=150–151	Spalona belka drewniana, o wym. 20 x 30 cm, 10 x 40 cm, 15 x 45 cm	2,5Y 2,5/1	103	107
109	109	2	Fosa	X=204,10; Y=145,84	Dół posłupowy; w planie okrągły, w przekroju V-kształtny, o śr. do 16 cm i gł. do 15 cm	-	110	106
110	109	2	Fosa	X=204,10; Y=145,84	Sypki, jednorodny piasek; wypełnisko obiektu 109	10YR 3/3; 2,5Y 5/1	102	109
111	111	2	Fosa	X=204,30; Y=145,84	Dół posłupowy; w planie okrągły, w przekroju V-kształtny, o śr. do 10 cm i gł. do 15 cm	-	112	106
112	111	2	Fosa	X=204,30; Y=145,84	Sypki, jednorodny piasek; wypełnisko obiektu 111	10YR 3/2; 2,5Y 5/1	102	111

Tabela 1. Ciąg dalszy

Numer jednostki	Numer obiektu	Numer wykopu	Położenie w obrębie stanowiska	Współrzędne siatki pomiarowej stanowiska	Opis jednostki stratygraficznej	Barwa (Munsell)	Pozycja stratygraficzna	
							Znajduje się pod	Znajduje się nad
113	113	2	Fosa	X=204,40; Y=145,84	Dół posłupowy; w planie okrągły, w przekroju V-kształtny, o śr. do 20 cm i gł. do 15 cm	-	114	106
114	113	2	Fosa	X=204,40; Y=145,84	Sypki, jednorodny piasek; wypełnisko obiektu 113	10YR 3/3; 2,5Y 5/1	102	113
115	115	2	Fosa	X=204,50; Y=145,84	Dół posłupowy; w planie okrągły, w przekroju V-kształtny, o śr. do 24 cm i gł. do 15 cm	-	116	106
116	115	2	Fosa	X=204,50; Y=145,84	Sypki, jednorodny piasek; wypełnisko obiektu 115	10YR 3/3; 2,5Y 5/1	102	115
117	117	2	Fosa	X=205; Y=145,84	Dół posłupowy; w planie okrągły, w przekroju V-kształtny, o śr. do 20 cm i gł. do 10 cm	-	118	106
118	117	2	Fosa	X=205; Y=145,84	Sypki, jednorodny piasek; wypełnisko obiektu 117	10YR 3/3; 2,5Y 5/1	102	117
119	119	2	Fosa	X=205,5; Y=145,84	Dół posłupowy; w planie okrągły, w przekroju V-kształtny, o śr. do 20 cm i gł. do 15 cm	-	120	106
120	119	2	Fosa	X=205,5; Y=145,84	Sypki, jednorodny piasek; wypełnisko obiektu 119	10YR 3/3; 2,5Y 5/1	102	119
121	121	2	Fosa	X=205,80; Y=145,84	Dół posłupowy; w planie okrągły, w przekroju V-kształtny, o śr. do 20 cm i gł. do 15 cm	-	122	106
122	121	2	Fosa	X=205,80; Y=145,84	Sypki, jednorodny piasek; wypełnisko obiektu 121	10YR 3/3; 2,5Y 5/1	102	121
123	123	2	Fosa	X=204,50; Y=145,70	Dół posłupowy; w planie okrągły, w przekroju V-kształtny, o śr. do 18 cm i gł. do 15 cm	-	124	106
124	123	2	Fosa	X=204,50; Y=145,70	Sypki, jednorodny piasek; wypełnisko obiektu 123	10YR 3/4; 2,5Y 5/1	102	123
125	125	2	Fosa	X=205,40; Y=145,70	Dół posłupowy; w planie okrągły, w przekroju V-kształtny, o śr. do 18 cm i gł. do 15 cm	-	126	106
126	125	2	Fosa	X=205,40; Y=145,70	Sypki, jednorodny piasek; wypełnisko obiektu 125	10YR 3/3; 2,5Y 5/1	102	125
127	127	2	Fosa	X=205,60; Y=145,70	Dół posłupowy; w planie okrągły, w przekroju V-kształtny, o śr. do 20 cm i gł. do 17 cm	-	128	106
128	127	2	Fosa	X=205,70; Y=145,70	Sypki, jednorodny piasek; wypełnisko obiektu 127	10YR 3/4; 2,5Y 5/1	102	127
129	129	2	Fosa	X=205,70; Y=145,70	Dół posłupowy; w planie okrągły, w przekroju V-kształtny, o śr. do 10 cm i gł. do 10 cm	-	130	106
130	129	2	Fosa	X=205,70; Y=145,70	Sypki, jednorodny piasek; wypełnisko obiektu 129	10YR 3/3; 2,5Y 5/1	102	129
131	131	2	Fosa	X=205,80; Y=145,70	Dół posłupowy; w planie okrągły, w przekroju V-kształtny, o śr. do 10 cm i gł. do 10 cm	-	132	106
132	131	2	Fosa	X=205,80; Y=145,70	Sypki, jednorodny piasek; wypełnisko obiektu 131	10YR 3/3; 2,5Y 5/1	102	131
133	133	2	Fosa	X=204,30; Y=145,50	Dół posłupowy; w planie okrągły, w przekroju V-kształtny, o śr. do 22 cm i gł. do 16 cm	-	134	106
134	133	2	Fosa	X=204,30; Y=145,50	Sypki, jednorodny piasek; wypełnisko obiektu 133	10YR 3/4; 2,5Y 5/1	102	133
135	135	2	Fosa	X=204,90; Y=145,50	Dół posłupowy; w planie okrągły, w przekroju V-kształtny, o śr. do 16 cm i gł. do 14 cm	-	136	106
136	135	2	Fosa	X=204,90; Y=145,50	Sypki, jednorodny piasek; wypełnisko obiektu 135	10YR 3/4; 2,5Y 5/1	102	135
137	137	2	Fosa	X=205,50; Y=145,50	Dół posłupowy; w planie okrągły, w przekroju V-kształtny, o śr. do 22 cm i gł. do 17 cm	-	138	106
138	137	2	Fosa	X=205,50; Y=145,50	Sypki, jednorodny piasek; wypełnisko obiektu 137	10YR 3/4; 2,5Y 5/1	102	137
139	139	2	Fosa	X=204,20; Y=145,00	Dół posłupowy; w planie okrągły, w przekroju V-kształtny, o śr. do 24 cm i gł. do 16 cm	-	140	106
140	139	2	Fosa	X=204,20; Y=145,00	Sypki, jednorodny piasek; wypełnisko obiektu 139	10YR 3/4; 2,5Y 5/1	102	139
141	141	2	Fosa	X=204,50; Y=145,00	Dół posłupowy; w planie okrągły, w przekroju V-kształtny, o śr. do 24 cm i gł. do 16 cm	-	142	106
142	141	2	Fosa	X=204,50; Y=145,00	Sypki, jednorodny piasek; wypełnisko obiektu 141	10YR 3/4; 2,5Y 5/1	102	141

Tabela 1. Ciąg dalszy

Numer jednostki	Numer obiektu	Numer wykopu	Położenie w obrębie stanowiska	Współrzędne siatki pomiarowej stanowiska	Opis jednostki stratygraficznej	Barwa (Munsell)	Pozycja stratygraficzna	
							Znajduje się pod	Znajduje się nad
143	143	2	Fosa	X=205,00; Y=145,00	Dół posłupowy; w planie okrągły, w przekroju V-kształtny, o śr. do 10 cm i gł. do 12 cm	-	144	106
144	143	2	Fosa	X=205,00; Y=145,00	Sypki, jednorodny piasek; wypełnisko obiektu 143	10YR 3/3; 2,5Y 5/1	102	143
145	145	2	Fosa	X=205,20; Y=145,00	Dół posłupowy; w planie okrągły, w przekroju V-kształtny, o śr. do 10 cm i gł. do 13 cm	-	146	106
146	145	2	Fosa	X=205,20; Y=145,00	Sypki, jednorodny piasek; wypełnisko obiektu 145	10YR 3/3; 2,5Y 5/1	102	145
147	147	2	Fosa	X=205,40; Y=145,00	Dół posłupowy; w planie okrągły, w przekroju V-kształtny, o śr. do 12 cm i gł. do 15 cm	-	148	106
148	147	2	Fosa	X=205,40; Y=145,00	Sypki, jednorodny piasek; wypełnisko obiektu 147	10YR 3/4; 2,5Y 5/1	102	147
149	149	2	Fosa	X=205,50; Y=145,00	Dół posłupowy; w planie okrągły, w przekroju V-kształtny, o śr. do 20 cm i gł. do 15 cm	-	150	106
150	149	2	Fosa	X=205,50; Y=145,00	Sypki, jednorodny piasek; wypełnisko obiektu 149	10YR 3/4; 2,5Y 5/1	102	149
151	151	2	Fosa	X=204,15; Y=145,10	Dół posłupowy; w planie okrągły, w przekroju V-kształtny, o śr. do 14 cm i gł. do 13 cm	-	152	106
152	151	2	Fosa	X=204,15; Y=145,10	Sypki, jednorodny piasek; wypełnisko obiektu 151	10YR 3/4; 2,5Y 5/1	102	151
153	153	2	Fosa	X=204,30; Y=145,10	Dół posłupowy; w planie okrągły, w przekroju V-kształtny, o śr. do 18 cm i gł. do 15 cm	-	154	106
154	153	2	Fosa	X=204,30; Y=145,10	Sypki, jednorodny piasek; wypełnisko obiektu 159	10YR 3/4; 2,5Y 5/1	102	153
155	155	2	Fosa	X=204,50; Y=145,10	Dół posłupowy; w planie okrągły, w przekroju V-kształtny, o śr. do 16 cm i gł. do 14 cm	-	156	106
156	155	2	Fosa	X=204,50; Y=145,10	Sypki, jednorodny piasek; wypełnisko obiektu 155	10YR 3/4; 2,5Y 5/1	102	155
157	157	2	Fosa	X=204,80; Y=145,10	Dół posłupowy; w planie okrągły, w przekroju V-kształtny, o śr. do 22 cm i gł. do 15 cm	-	158	106
158	157	2	Fosa	X=204,80; Y=145,10	Sypki, jednorodny piasek; wypełnisko obiektu 157	10YR 3/4; 2,5Y 5/1	102	157
159	159	2	Fosa	X=204,90; Y=145,10	Dół posłupowy; w planie okrągły, w przekroju V-kształtny, o śr. do 14 cm i gł. do 12 cm	-	160	106
160	159	2	Fosa	X=204,90; Y=145,10	Sypki, jednorodny piasek; wypełnisko obiektu 159	10YR 3/4; 2,5Y 5/1	102	159
161	161	2	Fosa	X=205,10; Y=145,10	Dół posłupowy; w planie okrągły, w przekroju V-kształtny, o śr. do 12 cm i gł. do 15 cm	-	162	106
162	161	2	Fosa	X=205,10; Y=145,10	Sypki, jednorodny piasek; wypełnisko obiektu 161	10YR 3/3; 2,5Y 5/1	102	161
163	163	2	Fosa	X=205,70; Y=145,10	Dół posłupowy; w planie okrągły, w przekroju V-kształtny, o śr. do 12 cm i gł. do 15 cm	-	164	106
164	163	2	Fosa	X=205,70; Y=145,10	Sypki, jednorodny piasek; wypełnisko obiektu 163	10YR 3/4; 2,5Y 5/1	102	163
165	165	2	Fosa	X=204,20; Y=144,80	Dół posłupowy; w planie okrągły, w przekroju V-kształtny, o śr. do 14 cm i gł. do 15 cm	-	166	106
166	165	2	Fosa	X=204,20; Y=144,80	Sypki, jednorodny piasek; wypełnisko obiektu 165	10YR 3/4; 2,5Y 5/1	102	165
167	167	2	Fosa	X=204,40; Y=144,80	Dół posłupowy; w planie okrągły, w przekroju V-kształtny, o śr. do 10 cm i gł. do 13 cm	-	168	106
168	167	2	Fosa	X=204,40; Y=144,80	Sypki, jednorodny piasek; wypełnisko obiektu 167	10YR 3/4; 2,5Y 5/1	102	167
169	169	2	Fosa	X=204,80; Y=144,80	Dół posłupowy; w planie okrągły, w przekroju V-kształtny, o śr. do 20 cm i gł. do 16 cm	-	170	106
170	169	2	Fosa	X=204,80; Y=144,80	Sypki, jednorodny piasek; wypełnisko obiektu 169	10YR 3/3; 2,5Y 5/1	102	169
171	171	2	Fosa	X=205,00; Y=144,80	Dół posłupowy; w planie okrągły, w przekroju V-kształtny, o śr. do 12 cm i gł. do 13 cm	-	172	106
172	171	2	Fosa	X=205,00; Y=144,80	Sypki, jednorodny piasek; wypełnisko obiektu 171	10YR 3/4; 2,5Y 5/1	102	171

Tabela 1. Ciąg dalszy

Numer jednostki	Numer obiektu	Numer wykopu	Położenie w obrębie stanowiska	Współrzędne siatki pomiarowej stanowiska	Opis jednostki stratygraficznej	Barwa (Munsell)	Pozycja stratygraficzna	
							Znajduje się pod	Znajduje się nad
173	173	2	Fosa	X=205,20; Y=144,80	Dół posłupowy; w planie okrągły, w przekroju V-kształtny, o śr. do 24 cm i gł. do 16 cm	-	174	106
174	173	2	Fosa	X=205,20; Y=144,80	Sypki, jednorodny piasek; wypełnisko obiektu 173	10YR 3/4; 2,5Y 5/1	102	173
175	175	2	Fosa	X=205,50; Y=144,80	Dół posłupowy; w planie okrągły, w przekroju V-kształtny, o śr. do 18 cm i gł. do 14 cm	-	176	106
176	175	2	Fosa	X=205,50; Y=144,80	Sypki, jednorodny piasek; wypełnisko obiektu 175	10YR 3/4; 2,5Y 5/1	102	175
177	177	2	Fosa	X=205,80; Y=144,80	Dół posłupowy; w planie okrągły, w przekroju V-kształtny, o śr. do 14 cm i gł. do 15 cm	-	178	106
178	177	2	Fosa	X=205,80; Y=144,80	Sypki, jednorodny piasek; wypełnisko obiektu 177	10YR 3/4; 2,5Y 5/1	102	177
179	179	2	Fosa	X=204,30; Y=144,50	Dół posłupowy; w planie okrągły, w przekroju V-kształtny, o śr. do 12 cm i gł. do 15 cm	-	180	106
180	179	2	Fosa	X=204,30; Y=144,50	Sypki, jednorodny piasek; wypełnisko obiektu 179	10YR 3/4; 2,5Y 5/1	102	179
181	181	2	Fosa	X=204,50; Y=144,50	Dół posłupowy; w planie okrągły, w przekroju V-kształtny, o śr. do 14 cm i gł. do 16 cm	-	182	106
182	181	2	Fosa	X=204,50; Y=144,50	Sypki, jednorodny piasek; wypełnisko obiektu 181	10YR 3/3; 2,5Y 5/1	102	181
183	183	2	Fosa	X=204,70; Y=144,50	Dół posłupowy; w planie okrągły, w przekroju V-kształtny, o śr. do 14 cm i gł. do 15 cm	-	184	106
184	183	2	Fosa	X=204,70; Y=144,50	Sypki, jednorodny piasek; wypełnisko obiektu 183	10YR 3/3; 2,5Y 5/1	102	183
185	185	2	Fosa	X=205,10; Y=144,50	Dół posłupowy; w planie okrągły, w przekroju V-kształtny, o śr. do 16 cm i gł. do 14 cm	-	186	106
186	185	2	Fosa	X=205,10; Y=144,50	Sypki, jednorodny piasek; wypełnisko obiektu 185	10YR 3/4; 2,5Y 5/1	102	185
187	187	2	Fosa	X=205,50; Y=144,50	Dół posłupowy; w planie okrągły, w przekroju V-kształtny, o śr. do 16 cm i gł. do 15 cm	-	188	106
188	187	2	Fosa	X=205,50; Y=144,50	Sypki, jednorodny piasek; wypełnisko obiektu 187	10YR 3/4; 2,5Y 5/1	102	187
189	189	2	Fosa	X=205,80; Y=144,50	Dół posłupowy; w planie okrągły, w przekroju V-kształtny, o śr. do 15 cm i gł. do 15 cm	-	190	106
190	189	2	Fosa	X=205,80; Y=144,50	Sypki, jednorodny piasek; wypełnisko obiektu 189	10YR 3/4; 2,5Y 5/1	102	189
191	215	2	Fosa	X=205–206; Y=144–144,50	Sypki, jednorodny piasek; miąższość do 40 cm; poziom użytkowy	2,5Y 5/6	216	215
192		2	Fosa	X=204–206; Y=144–146	Sypki, jednorodny piasek; miąższość do 35 cm; warstwa powstała w wyniku naturalnego narastania gleby	10YR 6/6	216	200, 191
193		2	Fosa	X=204–206; Y=146,50–151	Sypki, jednorodny piasek; miąższość do 35 cm; warstwa powstała w wyniku naturalnego narastania gleby	10YR 6/4	216	195
195		2	Fosa	X=204–206; Y=146,80–151	Sypki, drobnoziarnisty, jednorodny piasek; miąższość do 50 cm; warstwa powstała w wyniku naturalnego narastania gleby	10YR 6/3	193	199
197	215	2	Fosa	X=204–206; Y=145,50–147,80	Sypki, niejednorodny piasek z węgielkami drzewnymi; miąższość do 30 cm; Faza IA	7,5YR 2,5/1	200	208
198	215	2	Fosa	X=204–206; Y=148,40–151	Sypki, jednorodny piasek; miąższość do 60 cm; poziom użytkowy	10YR 5/4	199	208
199	215	2	Fosa	X=204–206; Y=148,44–151	Lekko gliniasty piasek z węgielkami drzewnymi; miąższość do 20 cm; Faza IA	2,5Y 5/6	195	198
200	215	2	Fosa	X=204–206; Y=145,44–146,80	Spalona konstrukcja drewniana; relikt prawdopodobnie drewnianej kładki(?)	-	193	197
201	215	2	Fosa	X= 205,60–206; Y=146,40–146,60	Fragment spalonej belki, o wym. 20 x 40 cm; element drewnianej konstrukcji 200	-	193	197
202	215	2	Fosa	X=204,50–205; Y=147–148	Czaszka bydła otoczona kamieniami 204; na dnie fosy	-	195	197
204	215	2	Fosa	X=204,50–205; Y=147–148	Skupisko 15 kamieni, o śr. do 20 cm	-	195	197
208	215	2	Fosa	X=205,50–206; Y=144,80–150	Sypki, niejednorodny piasek; miąższość do 40 cm; poziom użytkowy	10YR 5/6	197, 198	215

Tabela 1. Ciąg dalszy

Numer jednostki	Numer obiektu	Numer wykopu	Położenie w obrębie stanowiska	Współrzędne siatki pomiarowej stanowiska	Opis jednostki stratygraficznej	Barwa (Munsell)	Pozycja stratygraficzna	
							Znajduje się pod	Znajduje się nad
209		2	Fosa	X=204–206; Y=144–151	Sypki, jednorodny piasek; calec	2,5Y 6/3	215	-
210	215	2	Fosa	X=204,10–204,44; Y=147,56–147,90	Spalona drewniana belka, o wym. 10 x 30 cm	-	195	197
215	215	2	Fosa	X=204–206; Y=144–151	Fosa; jej szer. (u góry) wynosi ok. 7 m, a najniższy punkt znajduje się na poziomie 126,6 m n.p.m.; różnica wysokości pomiędzy dnem fosy, a szczytem wału po osi ściany N wynosi ok. 5,8 m; fosa miała U-kształtny przekrój	-	208, 191	209
216	216	2	Fosa	X=204–206; Y=144–151	Fosa; jej szerokość (u góry) wynosi ok. 7 m, a najniższy punkt znajduje się na poziomie 127,40 m n.p.m.; różnica wysokości pomiędzy dnem fosy, a szczytem wału po osi ściany N wynosi ok. 5 m; fosa miała U-kształtny przekrój	-	107, 106	195, 192

Tabela 2. Strużyna, st. 21. Zestawienie dołów posłupowych na majdanie grodziska z Fazy IIIA (oprac. M. Rutyna)

Numer obiektu	Numer wypełniska	Kształt w planie	Kształt w przekroju	Średnica	Głębokość
26	25	okrągły	V-kształtny	8 cm	10 cm
28	27	okrągły	V-kształtny	8 cm	10 cm
30	29	okrągły	V-kształtny	8 cm	10 cm
32	31	okrągły	V-kształtny	8 cm	10 cm
34	33	okrągły	V-kształtny	8 cm	10 cm
36	35	okrągły	V-kształtny	8 cm	10 cm
38	37	okrągły	V-kształtny	8 cm	10 cm
43	42	okrągły	V-kształtny	8 cm	10 cm

Tabela 3. Strużyna, st. 21. Zestawienie dołów posłupowych w fosie grodziska z Fazy IIIA (oprac. M. Rutyna)

Numer obiektu	Numer wypełniska	Kształt w planie	Kształt w przekroju	Średnica	Głębokość
89	88	okrągły	V-kształtny	10 cm	15 cm
91	90	okrągły	V-kształtny	10 cm	15 cm
93	92	okrągły	V-kształtny	10 cm	15 cm
95	94	okrągły	V-kształtny	10 cm	15 cm
97	96	okrągły	V-kształtny	10 cm	15 cm
99	98	okrągły	V-kształtny	10 cm	15 cm
109	110	okrągły	V-kształtny	16 cm	15 cm
111	112	okrągły	V-kształtny	10 cm	15 cm
113	114	okrągły	V-kształtny	20 cm	15 cm
115	116	okrągły	V-kształtny	24 cm	15 cm
117	118	okrągły	V-kształtny	20 cm	10 cm
119	120	okrągły	V-kształtny	20 cm	15 cm
121	122	okrągły	V-kształtny	20 cm	15 cm
123	124	okrągły	V-kształtny	18 cm	15 cm
125	126	okrągły	V-kształtny	18 cm	15 cm
127	128	okrągły	V-kształtny	20 cm	17 cm
129	130	okrągły	V-kształtny	10 cm	10 cm
131	132	okrągły	V-kształtny	10 cm	10 cm
133	134	okrągły	V-kształtny	22 cm	16 cm
135	136	okrągły	V-kształtny	16 cm	14 cm
137	138	okrągły	V-kształtny	22 cm	17 cm
139	140	okrągły	V-kształtny	24 cm	16 cm
141	142	okrągły	V-kształtny	24 cm	16 cm
143	144	okrągły	V-kształtny	10 cm	12 cm
145	146	okrągły	V-kształtny	10 cm	13 cm
147	148	okrągły	V-kształtny	12 cm	15 cm
149	150	okrągły	V-kształtny	20 cm	15 cm

Tabela 3. Ciąg dalszy

Numer obiektu	Numer wypełniska	Kształt w planie	Kształt w przekroju	Średnica	Głębokość
151	152	okrągły	V-kształtny	14 cm	13 cm
153	154	okrągły	V-kształtny	18 cm	15 cm
155	156	okrągły	V-kształtny	16 cm	14 cm
157	158	okrągły	V-kształtny	22 cm	15 cm
159	160	okrągły	V-kształtny	14 cm	12 cm
161	162	okrągły	V-kształtny	12 cm	15 cm
163	164	okrągły	V-kształtny	16 cm	16 cm
165	166	okrągły	V-kształtny	14 cm	15 cm
167	168	okrągły	V-kształtny	10 cm	13 cm
169	170	okrągły	V-kształtny	20 cm	16 cm
171	172	okrągły	V-kształtny	12 cm	13 cm
173	174	okrągły	V-kształtny	24 cm	16 cm
175	176	okrągły	V-kształtny	18 cm	14 cm
177	178	okrągły	V-kształtny	14 cm	15 cm
179	180	okrągły	V-kształtny	12 cm	15 cm
181	182	okrągły	V-kształtny	14 cm	16 cm
183	184	okrągły	V-kształtny	14 cm	15 cm
185	186	okrągły	V-kształtny	16 cm	14 cm
187	188	okrągły	V-kształtny	16 cm	15 cm
189	190	okrągły	V-kształtny	15 cm	15 cm

Z tym horyzontem należy wiązać częściowe oczyszczenie fosy (W2) (ryc. 12). Szerokość (u góry) fosy 216 wynosi około 7 m, a najniższy punkt znajduje się na poziomie 127,40 m n.p.m. Różnica wysokości pomiędzy dnem fosy, a szczytem wału po osi ściany N wynosi około 5 m. Fosa miała U-kształtny przekrój. W sypkim, jednorodnym piasku 107, we wschodniej części wykopu, odkryto mocno zniszczone, spalone, niewielkie fragmenty luźno rozrzuconych pozostałości drewnianych belek 104 i 108. Natomiast na zachodnim stoku zidentyfikowano 47 dołów posłupowych, być może wzmacniających zbocze lub pełniących funkcje obronne (tab. 3). Obiekty te zaobserwowano na poziomie stropu niejednorodnego piasku z węgielkami drzewnymi 106.

Podfaza IIIB

Podfazę IIIB wyznaczają zidentyfikowane w nasypie wału nawarstwienia, które przybrały kształt leju zwężającego się do poziomu calca. Konglomerat ten tworzą: ziemisty piasek z dużą zawartością węgielków drzewnych 6, pylasty piasek z dużą zawartością węgielków drzewnych 48, sypki, niejednorodny piasek z węgielkami drzewnymi 47, ziemisty piasek z dużą zawartością węgielków drzewnych 75 oraz ziemisty piasek z dużą zawartością węgielków drzewnych 10. Odkryte w tych warstwach kolejne poziomy spalonych bierwion: 8, 9, 11, 14, 16, 44, 53, 54, 55, 60, 61, 64, 66, 67, 68, 72, 73, 74, 76 i 77 są prawdopodobnie pozostałościami jednej ze ścian spalonego drewnianego budynku, który znajdował się na szczycie wału.

Faza IV

Niejasna jest chronologia warstwy użytkowej, o miąższości do 40 cm, odkrytej w wykopie 3 na terenie podgrodzia. W sypkim, jednorodnym piasku 69 spoczywało około 30 kamieni 71 (o średnicy do 10 cm). Prawdopodobnie teren ten był użytkowany zarówno we wczesnej epoce żelaza, jak i we wczesnym średniowieczu.

Faza V – opuszczenie grodziska

Po opuszczeniu grodziska, zapewne już w XIII w., jego wały uległy daleko idącej erozji i spłynęły w kierunku majdanu oraz fosy. W wykopie 1 zaobserwowano następujące warstwy: sypki, drobnoziarnisty, jednorodny piasek 20 oraz sypki, jednorodny piasek 5. W wykopie 2 z horyzontem tym możemy wiązać: sypki, jednorodny, ziemisty piasek 102 i sypki, jednorodny, ziemisty piasek 103.

Faza VI – współczesny poziom użytkowy

Obecny poziom użytkowy tworzy drobnoziarnisty, ziemisty piasek 1 (W1), 100 (W2) i 70 (W3).

ZNALEZISKA

Ceramika

W trakcie badań wykopaliskowych przeprowadzonych w 2014 r. na terenie grodziska w Strużynie, st. 21

pozyskano łącznie 1240 fragmentów ceramiki historycznej. Wczesną epoką żelaza reprezentuje łącznie 1194 fragmentów ceramiki. Z okresem wczesnego średniowiecza należy wiązać 43 fragmenty. Tylko dwa fragmenty brzuśców pochodzą z późnego średniowiecza (tab. 4).

Największy zbiór ceramiki znaleziono na majdanie grodziska (699 fragmentów, 58,5% zbioru) w obrębie bruków kamiennych. Nieco mniej ceramiki pozyskano z terenu podgrodzia (153 fragmentów, 12,8% zbioru). Znaczne nagromadzenie ceramiki zanotowano także w jamie w zagłębieniu przywałowym (77 fragmentów, 6,4% zbioru).

Ceramika z wczesnej epoki żelaza

Typologia naczyń

Niniejsza typologia opracowana została na podstawie analizy fragmentów większych górnych części. Zastosowano następujące kryteria: kształt krawędzi wylewu, średnica wylewu oraz funkcja, którą naczynie prawdopodobnie pełniło. Na tej podstawie wydzielono trzy typy morfologiczne.

Pozyskany materiał jest rozdrobniony (tab. 5). Górne partie naczyń zachowały się fragmentarycznie. Tylko 32% (28 z 87) pozyskanych w trakcie badań fragmentów wylewów pozwala na przynajmniej częściowe zrekonstruowanie formy naczynia. W opracowaniu nie uwzględniono silnie zniszczonych fragmentów brzegowych o wielkości poniżej 5% zachowanego wylewu.

Typ I – garnki

Cechą charakterystyczną garnków podtypów IA i IB jest obecność ornamentu na krawędzi wylewu. Wyróżniono dwa rodzaje ornamentu: podwójny rząd dołków palcowych oraz pojedynczy rząd wgłębień palcowych.

Podtyp I

Podtyp IA – naczynia z ornamentowaną krawędzią wylewu, o powierzchni chropowaconej

IAa – odmiana reprezentowana przez jedno naczynie, o ściętej do wewnątrz krawędzi i brzegach zachylonych do wewnątrz, zdobione pojedynczym rzędem dołków palcowych (tabl. 4:7);

IAb – odmiana reprezentowana przez jedno duże naczynie, garnek workowaty, o brzegach nieznacznie zachylonych do wewnątrz, ze słabo uwypuklonym brzuścem, zdobione ornamentem podwójnego rzędu dołków palcowych (tabl. 2:7).

Podtyp IB – naczynia z ornamentowaną krawędzią wylewu, o powierzchni gładkiej

IBa – odmiana z pogrubionym owalnym brzegiem i delikatnie esowatym brzuścem, zdobione ornamentem zaplatania (tabl. 4:5);

IBb – odmiana reprezentowana przez jedno naczynie, z pogrubionym, owalnym, wydzielonym brzegiem, z krawędzią zdobioną pojedynczym rzędem dołków palcowych (tabl. 2:5);

IBc – odmiana reprezentowana przez jedno naczynie, o prostej krawędzi wylewu, zdobione pojedynczym rzędem dołków palcowych (tabl. 1:10).

Podtyp IC – odmiana reprezentowana przez naczynia z delikatnie pogrubionym, owalnym brzegiem, wychylonym lekko na zewnątrz, o powierzchni gładkiej lub lekko chropowaconej (tabl. 3:1).

Podtyp ID – odmiana reprezentowana przez garnek z pogrubionym brzegiem i ściętą wewnętrzną krawędzią, o powierzchni gładkiej (tabl. 1:2).

Podtyp IE – odmiana reprezentowana przez grubościenne naczynie, o wylewie prostym, o powierzchni gładkiej (tabl. 2:3).

Podtyp IF

IFa – odmiana reprezentowana przez duży, grubościenny garnek o krawędzi lekko wychylonej na zewnątrz, o powierzchni chropowaconej (tabl. 2:11);

IFb – odmiana reprezentowana przez naczynie o krawędzi lekko wychylonej na zewnątrz, o powierzchni gładkiej (tabl. 2:1).

Podtyp IG – odmiana reprezentowana przez naczynie o krawędzi delikatnie ścienionej i lekko zachylonej do wewnątrz, o powierzchni gładkiej (tabl. 2:2).

Podtyp IH – odmiana reprezentowana przez naczynia o lekko esowatej krawędzi oraz wywiniętej na zewnątrz krawędzi, o powierzchni gładkiej (tabl. 1:1; 4:3, 9).

Podtyp IJ – odmiana reprezentowana przez naczynie o lekko esowatym profilu z lekko pogrubionym z pogrubionym, owalnym, wydzielonym brzegiem i śladami zagniatania pod wylewem, o powierzchni chropowaconej (tabl. 4:2);

Podtyp IK – odmiana reprezentowana przez naczynie z pogrubionym, owalnym brzegiem, ścienionym do wewnątrz, o powierzchni gładkiej (tabl. 2:10);

Podtyp IL – odmiana reprezentowana przez duży czerpak z uchem, o powierzchni gładkiej (tabl. 2:9).

Podtyp II

IIa – odmiana reprezentowana przez duży garnek, o krawędzi esowatej, z gładką powierzchnią (tabl. 2:8);

IIb – odmiana reprezentowana przez naczynia o średnicy do 20 cm, o esowatej krawędzi z gładką powierzchnią (tabl. 1:3, 9).

Typ II – misy

Do tej grupy należą naczynia o średnicy wylewu większej od wysokości naczynia. Są to głównie formy przysadziste, o zróżnicowanych brzegach wylewu i profilach. Wyróżniono trzy podtypy mis.

Podtyp IIA

IIAa – odmiana reprezentowana przez jedno duże, rozłożyste naczynie, o średnicy 36 cm, o niemal pro-

Tabela 4. Zestawienie ilościowe fragmentów ceramiki z grodziska w Strużynie, st. 21 (oprac.M. Rutyna)

Jednostka stratygraficzna	Liczba fragmentów łącznie	Liczba różnych naczyń	Wylewy			Szyjki	Brzuśce								Ucha	Części przydenne	Dna							Fragmenty przepalone	Fragmenty o wypłukanej powierzchni	Chronologia			Uwagi	Typologia		
								Rodzaj powierzchni											Rodzaj													
			Liczba fragmentów	SEN (procent obwodu)	Ornamentowane		Liczba fr. ogółem	Chropowacone	Gładkie	Wyświecane	Szorstkie	Nieokreślone	Przepalone	Ornamentowane			Liczba fragmentów	SEN (procent obwodu)	Wklęsłe	Lekko wklęsłe	Płaskie	Wałek dookolny	Podsypka			Wczesna epoka żelaza	Wczese średniowiecze	Późne średniowiecze		Typ I	Typ II	Typ III
Faza IA																																
12	143	13	13	71			129	45	48		2	34	14	1	1									14	20	143				D, Ib, Ha, Ib, Bc	Bb, Ab, Ac, C	
52	27	2	2	6			25	7	8			9													9	27						
62	77	2	2	5			74	31	28			15	3	1			1	4			1			3	15	77						
199	1						1		1																	1						
Faza IB																																
4	390	22	37	96	1	2	354	146	149		5	54	38	3	1		7	12			7		1	38	16	390				G, F, L, K, Bb, E, Ia, Ab		A
Faza II																																
105	1						1					1													1	1						
Faza IIIA																																
3	166	11	11	41	2		155	91	38		7	19	5	3		1								5	14	152	14			C	Aa, Ba	
15	43	2	2	4			41	16	10		2	13	2											2	12	43						
46	7	1	1				6	2	1			3													4	7						
45	10						9	3	2			4					1	8			1				4	10						
51a	15	1	1	5			14	4	7			3													3	15					Ba	
65	4						4				1	3													3	4						
59	1						1				1															1						
51b	1						1				1																1					
106	2						2	1	1																	2						
Faza IIIB																																
6	23	2	1				21	8	1		3	9		1			1	5			1				9	18	5					
10	1						1	1																	1	1						
75	5						5		3			2													2	5						
Faza IV																																
69	101	7	7	22		1	91	24	36		1	30	3	4			2	6			2			3	30	98	3			Hb, J, Ba		
Faza IV																																
5	40	2	2				37	7	8			14			1										14	40						
20	10	1	1				9	3	2			4													4	10						
102	3						3					3													3	2	1					
Faza VI																																
1=70=100	169	18	18	34	1		148	34	58		7	48	3	8		2								3	55	147	20	2		Aa		

Tabela 5. Fragmentacja i erozja fragmentów ceramiki z grodziska w Strużynie, st. 21 (oprac. M. Rutyna)

Jedn. strat.	Wykop	Kategorie wielkościowe [cm]														Stopień erozji				Suma
		1	2	3	4	5	6	7	8	9	10	11	12	13	14	0	I	II	III	
Faza IA																				
12	1	12	33	46	16	11	18	6	1								8	91	44	**143**
52	1	1	11	9	3	1	1		1									17	10	**27**
62	1	6	22	24	16	4	4				1						3	57	17	**77**
199	2							1									1			**1**
Faza IB																				
4	1	18	42	74	76	58	40	33	25	12	5	7			1		31	312	47	**390**
Faza II																				
105	2					1												1		**1**
Faza IIIA																				
3	1	8	32	43	29	15	16	11	8	2		2					68	93	5	**166**
15	1	3	10	14	6	5	4				1						3	32	8	**43**
46	1	2	2	1	1				1								1	6		**7**
45	1		5	4				1										6	4	**10**
51a	1		5	3	5	2												10	5	**15**
65	1	2	1	1														4		**4**
59	1				1													1		**1**
51b	1				1													1		**1**
106	2		1	1														2		**2**
Faza IIIB																				
6	1	1	7	8	2	3	1		1								3	20		**23**
10	1						1											1		**1**
75	1	3	1		1												1	3	1	**5**
Faza IV																				
69	3		7	28	16	15	15	11	4	3	2						21	70	10	**101**
Faza V																				
5	1	2	13	14	8	2	1										11	28	1	**40**
20	1	2	1	3	3	1												7	3	**10**
102	2		1	2														3		**3**
Faza VI																				
1=70=100		11	25	15	17	25	8	5									38	111	20	**169**

stej krawędzi wylewu oraz gładkiej powierzchni (tabl. 3:3), podobne do typu VI (mis) grupy III- odmiany 2 wg M.J. Hoffmanna[4].

IIAb – odmiana reprezentowana przez jedno duże rozłożyste naczynie, o średnicy 32 cm, o lekko zaokrąglonej krawędzi oraz zagładzanej powierzchni;

IIAc – odmiana reprezentowana przez jedno naczynie, dużą, rozłożystą misę o średnicy 20 cm, z prostą krawędzią wylewu, lekko wydzielonym brzegiem oraz gładką powierzchnią (tabl. 1:5);

Podtyp IIB

IIBa – odmiana reprezentowana przez jedno naczynie, misę o średnicy 24 cm, o krawędzi zaokrąglonej, lekko ścienionej od wewnątrz oraz zagładzanej powierzchni (tabl. 3:2, 4);

IIBb – odmiana reprezentowana przez jedno naczynie, misę o średnicy 24 cm, o krawędzi zaokrąglonej, lekko ścienionej od wewnątrz, z delikatnie wydzielonym brzegiem oraz zagładzanej powierzchni (tabl. 1:4). Nieco zbliżony okaz pochodzi z Pleśna, st. 1, gm. Bisztynek, pow. bartoszycki[5].

IIBc – misa ze ściętą od wewnątrz krawędzią i lekko wydzielonym brzegiem, o powierzchni gładkiej;

Podtyp IIC – misa o z prostą krawędzią wylewu, powierzchnia gładka (tabl. 1:11).

Typ III – naczynia cienkościenne

Do tego typu należy cienkościenny kubek o średnicy 8 cm, o krawędzi lekko wychylonej na zewnątrz, ze śladem po uchu, o powierzchni gładkiej (tabl. 2:6).

Naczynia sitowate

Na terenie grodziska w Strużynie, st. 21 znaleziono jeden fragment naczynia sitowatego, gęsto perforowanego. Otworki wykonano jednostronnie od zewnątrz (tabl. 1:8).

[4] Hoffmann 2000: 94.

[5] Hoffmann 1999a: tabl. 67:15.

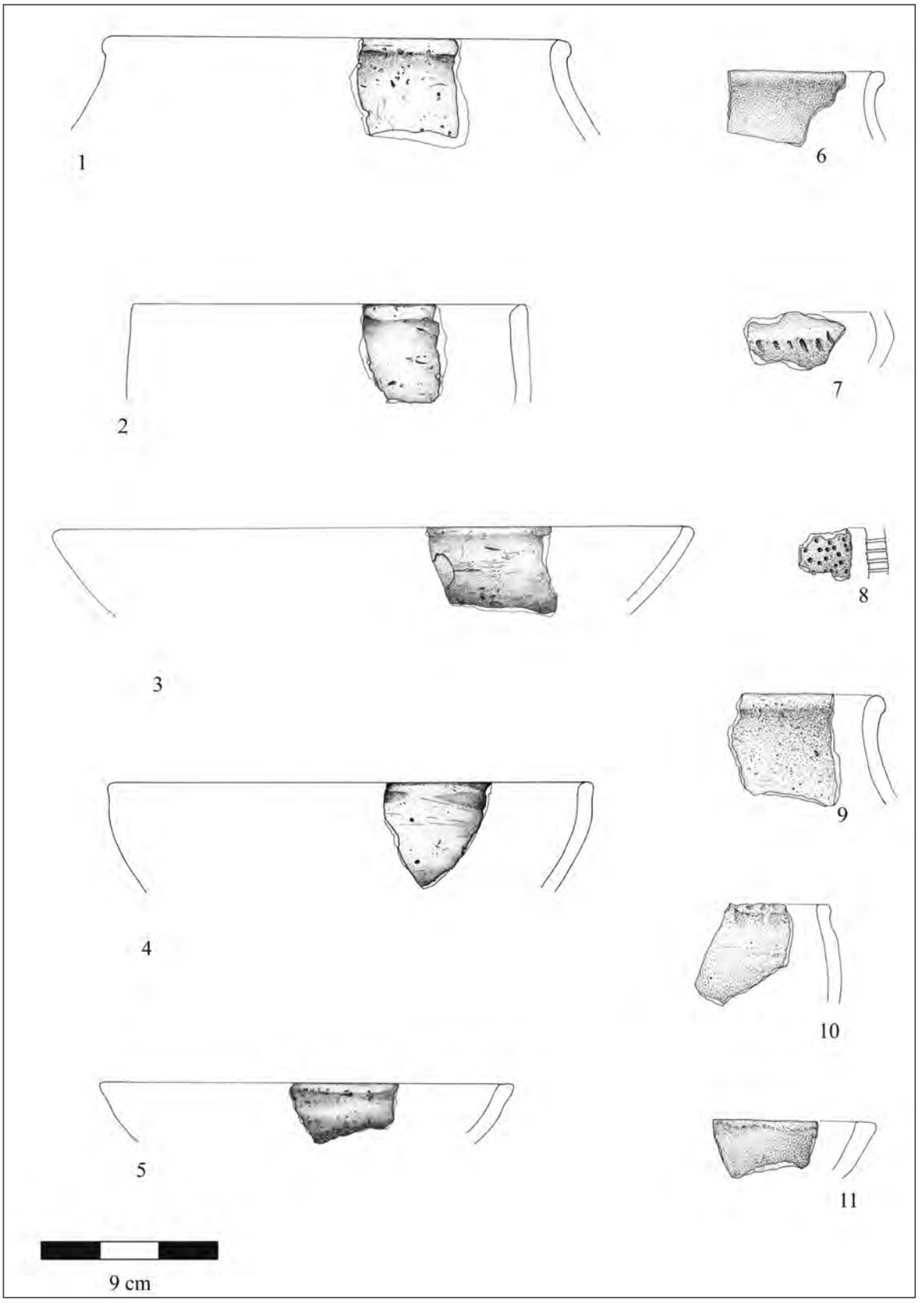

Tablica 1. Strużyna, st. 21. Ceramika z nawarstwień Fazy IA (rys. A. Chojnacka-Banaszkiewicz i B. Karch)

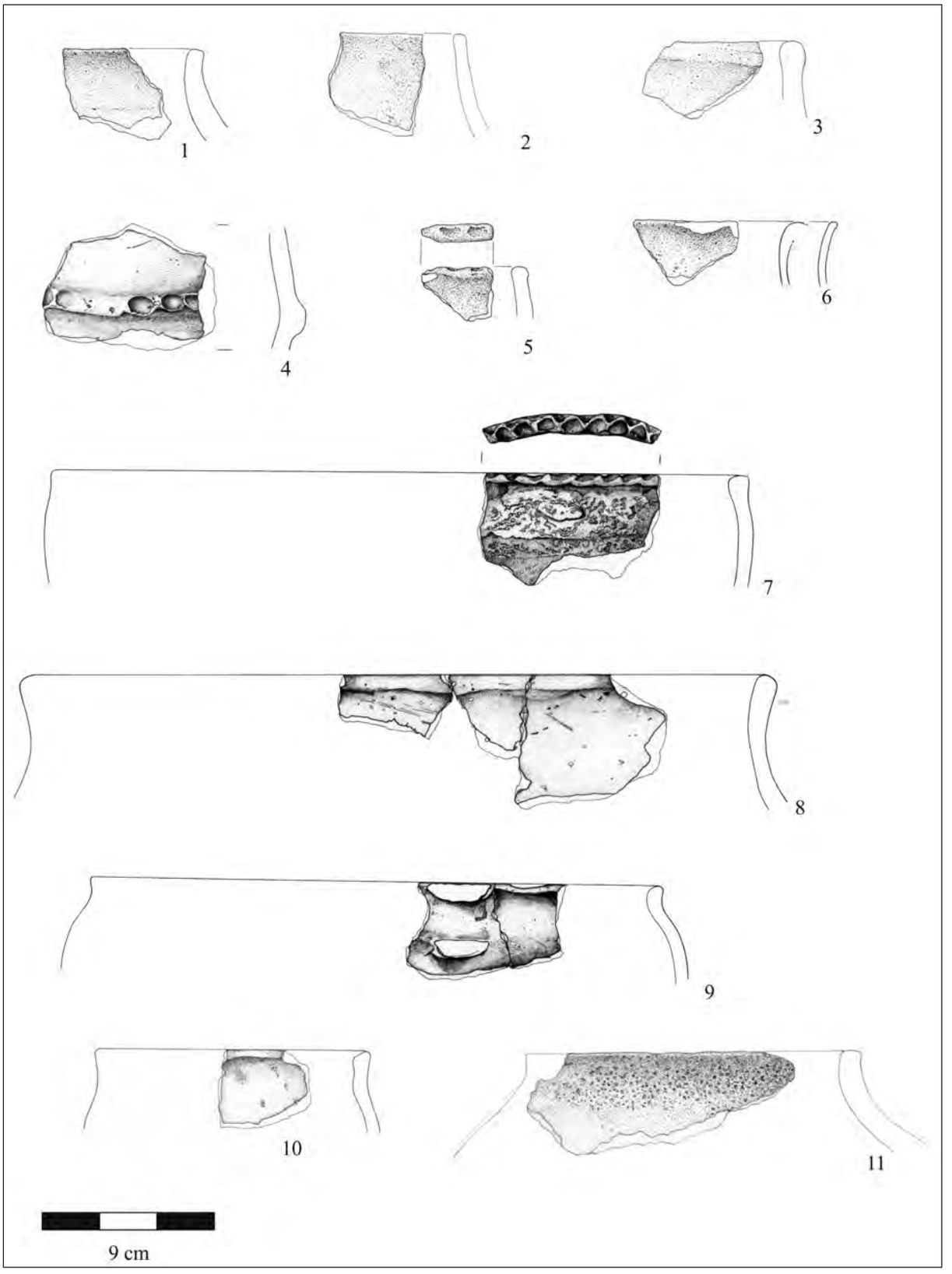

Tablica 2. Strużyna, st. 21. Ceramika z nawarstwień Fazy IB (rys. A. Chojnacka-Banaszkiewicz i B. Karch)

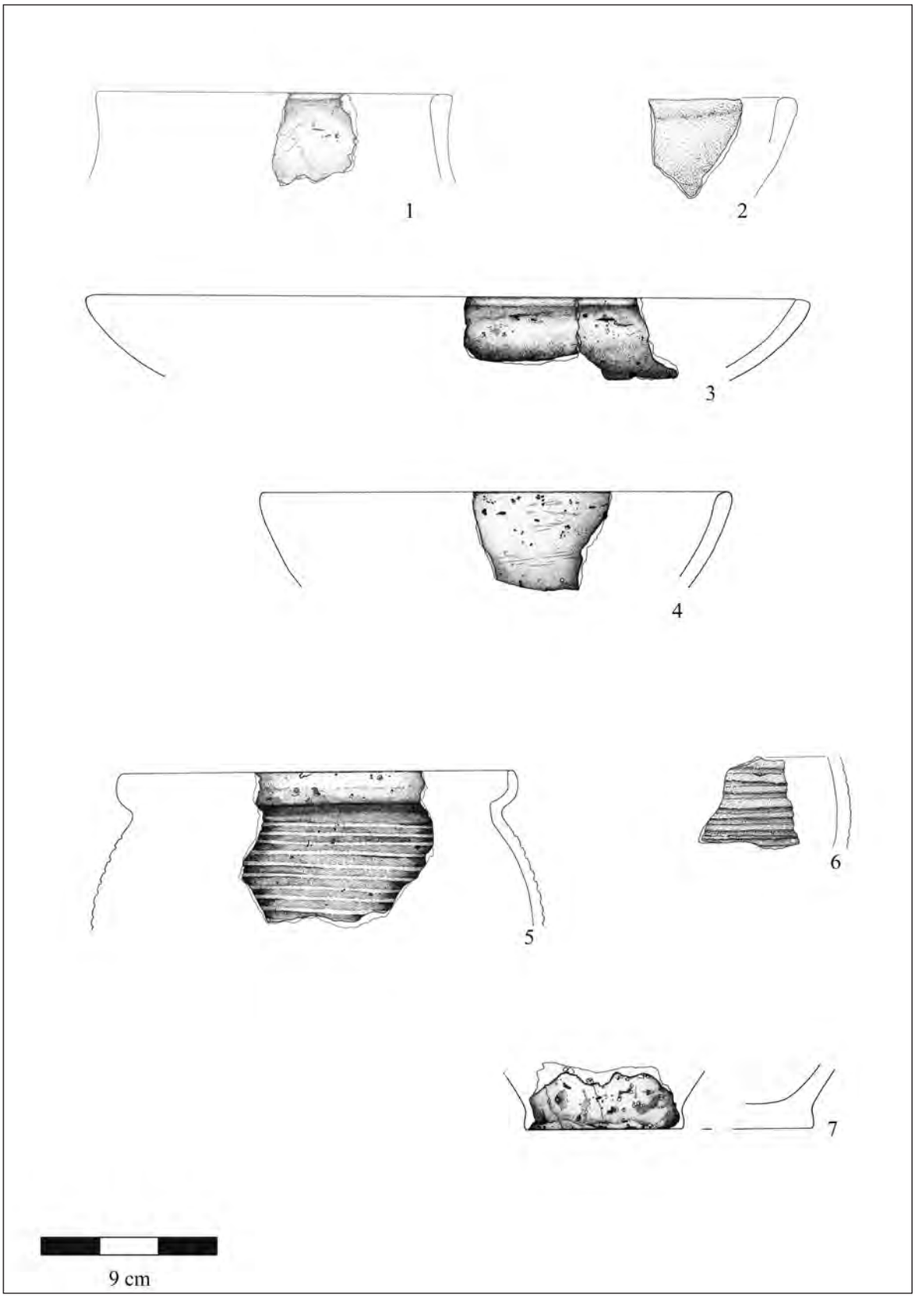

Tablica 3. Strużyna, st. 21. Ceramika z nawarstwień Fazy IIIA (rys. A. Chojnacka-Banaszkiewicz i B. Karch)

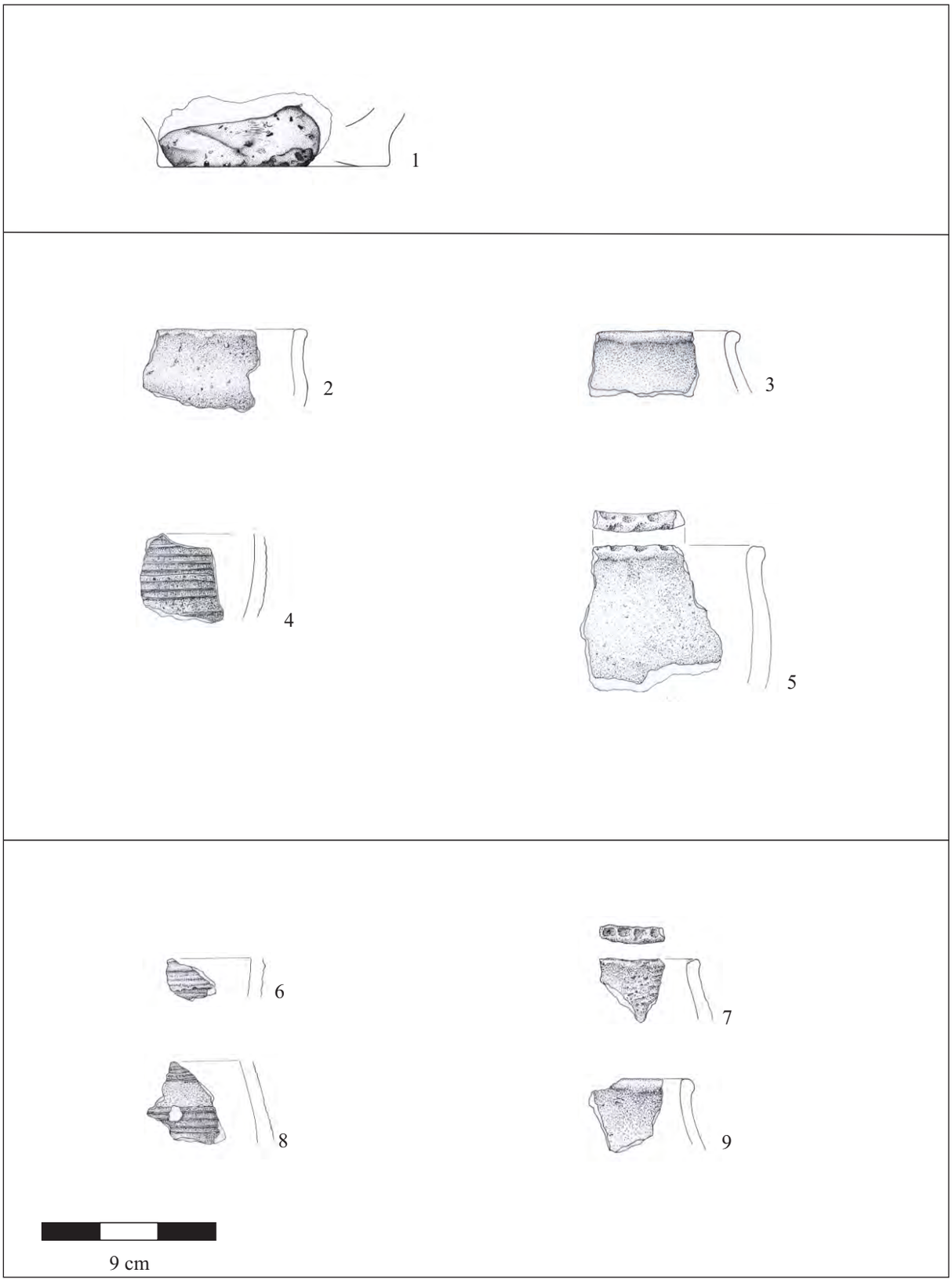

Tablica 4. Strużyna, st. 21. Ceramika z nawarstwień Fazy IIIB (1), IV (2–5) i VI (6–9) (rys. A. Chojnacka-Banaszkiewicz i B. Karch)

Ucha

W analizowanym zespole ceramiki zidentyfikowano trzy mocno zniszczone, zachowane fragmentarycznie ucha. Niemożliwe jest przyporządkowanie ich odpowiednim typom naczyń.

Dna

Dna, w analizowanym zespole ceramiki stanowią nieliczną, zachowaną jedynie fragmentarycznie i znacznie zniszczoną grupę, reprezentowaną przez 12 fragmentów. Wszystkie dna były płaskie, dwuwarstwowe (tabl. 3:7; 4:1).

Motywy ornamentacyjne

W omawianym zbiorze zaobserwowano dwa typy ornamentów, są to:

1. ornamenty wykonane techniką odciskania. Ornamenty te występują w dwóch odmianach:
   - odciski palców (np. tabl. 2:7; 5:4; 6:2). Ornament palcowy wystąpił wyłącznie na krawędziach wylewów mis. Wyróżniono dwa rodzaje: podwójny rząd dołków palcowych oraz pojedynczy rząd wgłębień palcowych;
   - załuskiwań paznokciowych (tabl. 1:7). Ornament paznokciowy pojawia się w układzie poziomym w miejscu największej wydętości brzuśca.
2. ornamenty plastyczne – listwy. Znaleziono tylko jeden fragment brzuśca dużego garnka z mocno odstająca listwą zdobioną odciskami palców (tabl. 2:4).

Grupy technologiczno-surowcowe

W zabytkowym materiale ceramicznym z wczesnej epoki żelaza z grodziska w Strużynie, st. 21 wydzielono dwie grupy technologiczno-surowcowe:

GTS 1 – naczynia o gładkich powierzchniach i o różnej grubości ścianek

Masa ceramiczna, z której wykonano naczynia zawierała znaczną ilość domieszki schudzającej – głównie szamotu oraz tłucznia. Ceramikę wypalano w atmosferze utleniającej. Ścianki mają barwę jasnopomarańczową, pomarańczową, brązową i szarą. Przełam zwykle jest dwubarwny, rzadziej trójbarwny. Grubość ścianki wynosi 3–10 mm. Na niektórych fragmentach widoczne są ślady zagniatania i zagładzania. Na części fragmentów występują po wewnętrznej stronie ślady okopcenia. Grupę tę reprezentowało 402 fragmentów (33,6% zbioru).

GTS 2 – naczynia o powierzchni chropowaconej, zwykle grubościenne

Naczynia wykonano ze słabo wyrobionej i o znacznym stopniu schudzenia masy ceramicznej. Jako schudzającej domieszki używano głównie szamotu oraz tłucznia. Ceramikę wypalano w atmosferze utleniającej. Ścianki mają barwę jasnopomarańczową, pomarańczową, brązową i szarą. Przełam zwykle dwubarwny, rzadziej trójbarwny. Naczynia pokrywano najczęściej ok. 2 mm warstwą chropowacenia. W większości przypadków powierzchnię obrzucano roztworem gliny. W rezultacie otrzymywano różnej grubości warstwę chropowacenia. Grubość ścianek garnków o powierzchni chropowaconej wynosi zwykle 7–14 mm. Na niektórych fragmentach widoczne są ślady zagniatania. Grupę tę reprezentowało 423 fragmentów (35,4% zbioru).

Ceramika wczesnośredniowieczna

Wczesnośredniowieczny materiał ceramiczny składał się przede wszystkim z fragmentów brzuśców z ornamentem dookolnych rowków (40,9% zbioru) (tabl. 3:6; 4:4, 6, 8). Niemożliwie było opracowanie typologii dla tego okresu, gdyż znaleziono tylko jeden reprezentatywny fragment wylewu. Był to baniasty garnek, o krótkiej szyjce, zdobiony ornamentem w postaci rowków dookolnych (tabl. 3:5).

Wydzielono jedną grupę technologiczno-surowcową.

GTS 1 – naczynia wypalone w atmosferze utleniającej. Masa ceramiczna zawiera średnią ilość drobno- i średnioziarnistej domieszki. Ścianki mają barwę jasnopomarańczową, pomarańczową, brązową i szarą. Przełam jest dwubarwny lub trójbarwny.

Ceramika późnośredniowieczna

Na terenie podgrodzia, w wykopie 3, znaleziono dwa niewielkie fragmenty mocno zniszczonych, niereprezentatywnych brzuśców datowanych na późne średniowiecze. Ścianki mają barwę szarą i ciemnoszarą, a przełam jest jednobarwny.

Zabytki wydzielone

Podczas badań wykopaliskowych znaleziono tylko jeden zabytek wydzielony: połowę owalnego paciorka (ryc. 14) wykonanego z granatowego, nieprzezroczystego szkła, o powierzchni gładkiej. Otwór był zapewne szeroki. Paciorek pochodzi z warstwy 15, datowanej na wczesne średniowiecze.

Ryc. 14. Strużyna, st. 21. Połowa owalnego paciorka znalezionego w nasypie wału w wykopie 1 (fot. R. Solecki)

KOŚCI ZWIERZĘCE

ANNA GRĘZAK

Z grodziska w Strużynie, st. 21 pochodzą dwa fragmenty miednicy bydła (jednostka stratygraficzna 6, wykop 1) i czaszka bydła (jednostka stratygraficzna 202, wykop 2). Oba fragmenty miednicy są częściami talerza jednej kości biodrowej i noszą ślady rąbania. Mają ciemnobrązową barwę, która mogła powstać wskutek opalenia kości przed jej zdeponowaniem w ziemi lub długiego zalegania w wilgotnym podłożu o dużej zawartości substancji organicznych.

Natomiast czaszka bydła nie ma czytelnych śladów antropogenicznych. Jej stan zachowania jest bardzo zły. Dotarła do analizy zdekompletowana i w licznych fragmentach (37 większych kawałków). Prawdopodobnie popękała jeszcze podczas zalegania w ziemi, a pokruszyła się w trakcie eksploracji. Zebrane elementy to głównie fragmenty mózgoczaszki (kości czołowe, skroniowe, kość ciemieniowa i potyliczna) oraz część partii twarzowej (kości nosowe, kości szczękowe z zębami przedtrzonowymi i trzonowymi). Nie znaleziono natomiast kości międzyszczękowych i przednich części kości podniebienia. Wspomniane braki mogą być konsekwencją uszkodzeń podczas wyjmowania czaszki z pokładu, w którym zalegała. Uszkodzeniu uległa także tylna część czaszki. Nie zachowały się kłykcie potyliczne i struktury z okolicy otworu wielkiego, dlatego też nie było możliwości zaobserwowania ewentualnych śladów powstałych przy odjęciu głowy od reszty tuszy zwierzęcia.

Czaszka należała do zwierzęcia w wieku powyżej 24–28 miesięcy. Proporcje możdżeni sugerują, że była to samica. Wymiary czaszki i możdżeni oraz kształt linii międzyrożnej wskazują, że był to osobnik w typie brachycerycznym, czyli najliczniej reprezentowanej formie morfologicznej bydła w okresie wczesnego średniowiecza na terenie ziem polskich[6].

SZCZĄTKI ROŚLINNE

MARIA LITYŃSKA-ZAJĄC I MAGDALENA MOSKAL-DEL HOYO

Badania archebotaniczne materiałów roślinnych wydobytych ze stanowiska 21 w Strużynie doprowadziły do oznaczenia niewielkiej liczby spalonych resztek zbóż, roślin zielnych dzikich oraz drzew i krzewów[7]. W nawarstwieniach z wczesnej epoki żelaza, skąd przebadano dwie próby, zachowały się tylko węgle drzewne i jeden owoc (tab. 6). Były to resztki graba zwyczajnego *Carpinus betulus*, buka zwyczajnego *Fagus sylvatica* i jesionu wyniosłego *Fraxinus excelsior*. Część materiału oznaczono do poziomu rodzaju. Wyróżniono wśród nich klon *Acer* sp., olszę *Alnus* sp. i dominujący dąb *Quercus* sp. Kilka okazów opisano jako topola lub wierzba *Populus* sp. vel *Salix* sp.

W trzynastu próbach z okresu wczesnego średniowiecza wystąpił pojedynczy ziarniak żyta zwyczajnego *Secale cereale* i znacznie liczniejsze okazy gorzej zachowane zaliczone ogólnie do zbóż *Cerealia* indet. Rośliny zielne dzikie reprezentowane były przez nasiona komosy, w tym białej *Chenopodium album*. Najwięcej okazów należało do drzew i krzewów, wśród których dominowały resztki dębu *Quercus* sp. Ponadto oznaczono dwa gatunki, graba zwyczajnego *Carpinus betulus* i buka zwyczajnego *Fagus sylvatica*, oraz trzy rodzaje drzew klon *Acer* sp., brzoza *Betula* sp. i dąb *Quercus* sp. Jeden okaz opisano jako *Populus* sp. vel *Salix* sp. Nieliczne fragmenty zaliczono do drzew lub krzewów liściastych. Pojedyncze kawałki spalonego drewna i bardzo liczne ułamki kory pozostały nieoznaczone.

W pięciu próbach datowanych na okres późnego średniowiecza zachowały się węgle drzewne, z dominującym dębem *Quercus* sp. Oznaczono ponadto resztki buka zwyczajnego *Fagus sylvatica* i brzozy *Betula* sp. Pojedyncze nasiona należały do bzu czarnego *Sambucus* sp. i graba zwyczajnego *Carpinus betulus*. Sporo fragmentów kory i drewna pozostało nieoznaczonych.

W omawianych materiałach, we wszystkich jednostkach chronologiczno-kulturowych, obecne były niezbyt liczne owoce i nasiona niespalone. Stanowią one zapewne zanieczyszczenie dzisiejsze. Oprócz nich oznaczono, masowo występujące, jak na omawiany materiał sklerocja grzyba czarniaka właściwego *Cenococcum geophilinum*. Pięć prób nie zawierało żadnego materiału roślinnego.

CHRONOLOGIA STANOWISKA

MAGDALENA RUTYNA

Na podstawie analizy materiału ceramicznego wydzielono dwa główne horyzonty chronologiczne. Pierwszy to okres wczesnej epoki żelaza (Faza I), reprezentowany łącznie przez 1194 fragmentów ceramiki. Wyprofilowano wówczas dno fosy oraz użytkowano majdan. Drugi horyzont związany jest z budową umocnień we wczesnym średniowieczu (Faza III). W trakcie badań w sezonie 2014 pozyskano 44 fragmentów ceramiki.

Przeprowadzono również datowanie termoluminescencyjne oraz radiowęglowe. Do badań termoluminescencyjnych wybrano fragment wylewu naczynia z wypełniska 62 jamy 63. Uzyskane datowanie dało

[6] Lasota-Moskalewska 1984.

[7] Opis metody: Lityńska-Zając i Moskal-del Hoyo 2016.

Tabela 6. Spalone i niespalone szczątki roślinne ze stanowiska z wczesnej epoki żelaza oraz okresów wczesnego i późnego średniowiecza lub okresu nowożytnego w Strużynie, st. 21. Objaśnienia: typ szczątka: z – ziarniak, o – owoc, n – nasiono, d – drewno, ko – kora, sc – sklerocja, ? – nieokreślony (oprac. M. Lityńska-Zając i M. Moskal-del Hoyo)

Nazwa taksonu	Chronologia	Wczesna epoka żelaza	Wczesne średniowiecze	Późne średniowiecze	Suma
	Typ szczątka	Szczątki spalone			
Secale cereale	z		1		1
Cerealia indet.	z		12		12
Chenopodium album	n		1		1
Chenopodium sp.	n		1		1
Carpinus betulus	d	5	2		7
Carpinus betulus	o	1		1	2
Fagus sylvatica	d	1	7	2	10
Fraxinus excelsior	d	1			1
Acer sp.	d	3	2	1	6
Alnus sp.	d	1			1
Betula sp.	d		1	1	2
Populus sp.	d		2		2
Populus sp. vel *Salix* sp.	d	4	1		5
Quercus sp.	d	24	348	92	464
Sambucus sp.	n			1	1
liściaste	d	1	2		3
nieoznaczony	d	2	5	80	87
nieoznaczony	ko		25	41, 900 cm	66, 900 cm
Suma		43	410	127, 900 cm	672, 900 cm
Cenococcum geophilinum	sc	139	180	41	360
		Szczątki niespalone			
Urtica dioica	o	1			1
Veronica chamaedrys	n		1		1
Trifolium sp.	n			4	4
Betula pendula	łu			8	8
Betula pendula	o	1		1	2
Carpinus betulus	o			1	1
Sambucus nigra	n		1		1
Tilia cordata	o		1		1
Betula sp.	o			2	2
nieoznaczony	?	1	3		4
Suma		**3**	**6**	**2**	**25**

przedział prawdopodobieństwa: 310–30 r. p.n.e.[8] Otrzymany wynik należy wiązać z I fazą funkcjonowania grodziska.

Do analizy radiowęglowej wybrano fragment węgla drzewnego ze spalonej belki 76 (W1). Datowanie po kalibracji dało przedział lat 862–991 z prawdopodobieństwem 89,7%[9]. Należy więc powiązać je z trzecim wydzielonym okresem chronologicznym (Fazą III).

DZIEJE GRODZISKA W STRUŻYNIE, ST. 21

Grodzisko w Strużynie usytuowano na wysokim cyplu, który posiadał naturalne walory obronne. Najstarsza faza użytkowania stanowiska datowana jest na wczesną epokę żelaza i należy wiązać ją z kulturą kurhanów zachodniobałtyjskich[10]. Na majdanie grodziska (W1) powstały wówczas dwa poziomy użytkowe ze skupiskami kamieni. Być może usypano wówczas także wał grodziska, który mógł zostać zniwelowany we wczesnym średniowieczu. W zachodniej części stanowiska wyprofilowano koryto fosy (W2) oraz zbudowano prawdopodobnie kładkę. Świadczą o tym pozostałości odkrytych na dnie fosy spalonych fragmentów drewna. Na podstawie dużej ilości pozyskanej ceramiki stwierdzić należy, że stanowisko to funkcjonowało przez dłuższy czas.

Teren grodziska zaczęto ponownie użytkować we wczesnym średniowieczu. Horyzont ten należy wiązać z budową umocnień – wału i fosy. W południowo-zachodnim narożniku wykopu 1 odkryto

[8] Kobyliński 2016: 107.

[9] Kobyliński 2016: 107.

[10] Zob. J. Okulicz 1973.

kolejne poziomy spalonych fragmentów bierwion. Zadokumentowane nawarstwienia kulturowe przybrały kształt leju zwężającego się do poziomu calca. Można zatem przypuszczać, że są to pozostałości jednej ze ścian spalonego drewnianego budynku, który znajdował się na szczycie wału.

Na majdanie (W1) grodziska w okresie tym funkcjonował obiekt (prawdopodobnie mieszkalny). We wczesnym średniowieczu fosa zewnętrzna została częściowo oczyszczona. Niewielka ilość ceramiki wczesnośredniowiecznej prawdopodobnie świadczy o tym, że w tym okresie stanowisko to pełniło funkcję refugialną.

Niejednoznaczna jest chronologia podgrodzia. Pozyskana ceramika wskazuje na to, że teren ten był użytkowany zarówno we wczesnej epoce żelaza, jak i we wczesnym średniowieczu.

Strużyna, st. 24

Gmina Morąg

Powiat ostródzki

AZP 19-56/55

Współrzędne geograficzne:

N 54° 0’ 42’’

E 19° 58’ 10’’

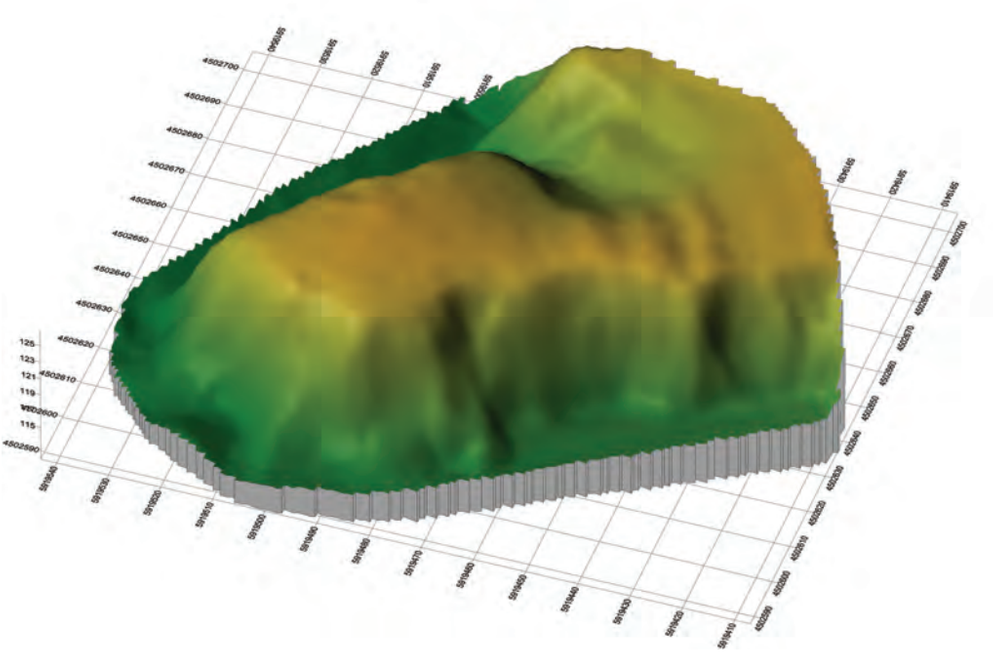

Ryc. 1. Grodzisko w Strużynie, st. 24 na mapie w skali 1:25 000 (na podstawie materiałów CODGiK, oprac. R. Solecki)

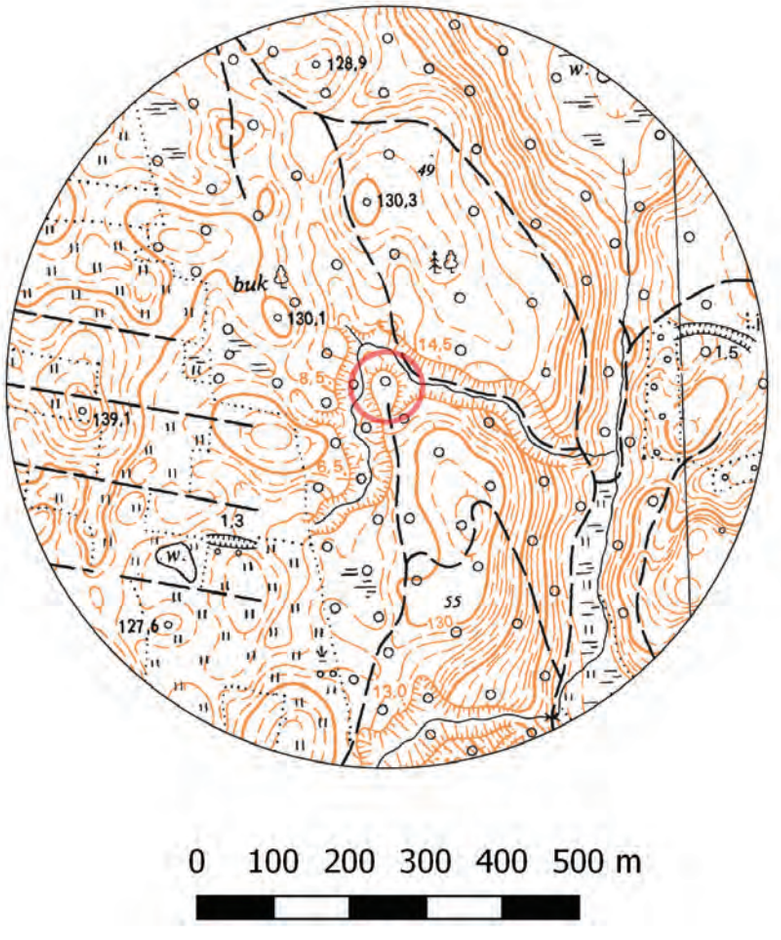

Ryc. 2. Grodzisko w Strużynie, st. 24 na mapie w skali 1:10 000 (na podstawie materiałów CODGiK, oprac. R. Solecki)

POŁOŻENIE GRODZISKA I JEGO FORMA

RAFAŁ SOLECKI

Grodzisko w Strużynie, st. 24 w terenie jest bardzo słabo widoczne (ryc. 1–2). Zajmuje ono wysoki cypel, położony po południowej stronie niewielkiego, bezimiennego potoku. Jego rozmiary wynoszą ok. 50 x 100 m, a najwyższy zanotowany punkt osiąga poziom około 126,7 m n.p.m. Cypel wznosi się od 13 do 15 m ponad poziom wody w strumieniu. Możliwe jest zaobserwowanie trzech linii wałów i tyluż samo fos, ułożonych na azymucie około 60°. Znajdują się one w południowej części grodziska, gdzie odcinają dostęp do cypla od strony wysoczyzny (ryc. 3–6). Ich długość waha się od około 30 m (bliżej majdanu) do około 55 m (dalej od majdanu). Oznaczono je – licząc od strony majdanu – jako Wał I, II i III oraz Fosę I, II i III. Wzdłuż Wału I od strony majdanu widoczne jest zagłębienie przywałowe. Na południe od Fosy III zarejestrowano warstwę antropogeniczną, lecz w trakcie badań nie udało się jednoznacznie potwierdzić, czy jest ona reliktem jeszcze jednego wału; takiej ewentualności nie można jednak wykluczyć. Maksymalne wysokości kolejnych wałów i fos na poziomie współczesnego humusu wzdłuż linii ściany wschodniej wykopu W1 mają następujące wartości:

- Zagłębienie przywałowe – 125,66 m n.p.m.
- Wał I – 126,06 m n.p.m.
- Fosa I – 125,80 m n.p.m.
- Wał II – 126,09 m n.p.m.
- Fosa II – 125,68 m n.p.m.
- Wał III – 126,07 m n.p.m.
- Fosa III – 125,57 m n.p.m.

ŚRODOWISKO FIZYCZNO-GEOGRAFICZNE

JERZY NITYCHORUK I FABIAN WELC

W odległości około 2 km na ENE od miejscowości Strużyna, w lesie, znajduje się głębokie rozcięcie erozyjne dowiązujące do obniżenia łączącego jeziora Okonie i Długie, naprzeciwko jeziora Zielonego. Obniżenie to ma początkowo przebieg z S na N, a następnie skręca gwałtownie w kierunku ESE. Przy zakręcie, od południa, zachował się fragment wysoczyzny, który jest otoczony stromymi stokami erozyjnymi i tylko od SE posiada połączenie z wysoczyzną, ale nie całkowite, gdyż małe rozcięcie erozyjne o kierunku SW–NE, czyni ten ostaniec słabo dostępnym. Powierzchnia ostańca erozyjnego wznosi się na około 127 m n.p.m., a dno rozcięcia znajduje się od 10 do 15 m niżej. Poziom wody w pobliskich jeziorach wznosi się na 100,9 m n.p.m. w jeziorze Zielonym i na 94,0 m n.p.m. w jeziorze Okonie, co sprawia, że procesy erozji rozwijają się tu intensywnie. Wysoczyzna polodowcowa, na

Ryc. 3. Strużyna, st. 24. Widok na wały i fosy grodziska (fot. J. Wysocki)

Ryc. 4. Strużyna, st. 24. Widok na wały i fosy grodziska (fot. R. Solecki)

której usytuowane jest grodzisko, zbudowana jest z gliny zwałowej z wykształconymi na niej glebami płowymi. Na krawędziach wysoczyzny występują piaski, jednak w tych strefach gleby nie są rozwinięte, gdyż dochodzi tu do ruchów masowych. Wysoczyznę przecinają obniżenia, które częściowo wypełniają jeziora a częściowo są zabagnione z mało urodzajnymi glebami bagiennymi.

Na *Szczegółowej mapie geologicznej Polski w skali 1:50 000 arkusz Dobry*[1] opisywany obiekt leży na glinach zwałowych stadiału górnego zlodowacenia Wisły (ryc. 7). Takiej sytuacji nie potwierdzają przeprowadzone dla obiektu szczegółowe badania geologiczne. Przez ostaniec erozyjny wysoczyzny przeprowadzono przekrój geologiczny o kierunku NW–SE, sporządzony na podstawie dziewięciu wierceń. Odwierty geologiczne wykazały, że cypel tworzą piaski drobno- i średnioziarniste, rzadziej gruboziarniste z silnymi żelazistymi wytrąceniami. Ich grube pokłady przedzielane są soczewkami gliny, a miejscami mułkami. Jest to typowy osad spokojnej sedymentacji fluwioglacjalnej – kemowej (ryc. 8–9).

[1] Petelski i Gondek 2004.

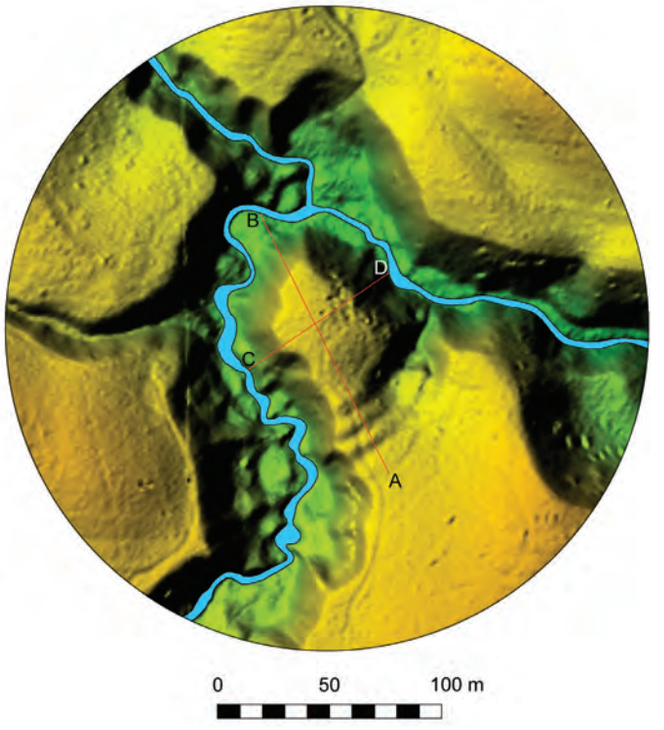

Ryc. 5. Grodzisko w Strużynie, st. 24 na zobrazowaniu ALS (na podstawie materiałów CODGiK, oprac. R. Solecki)

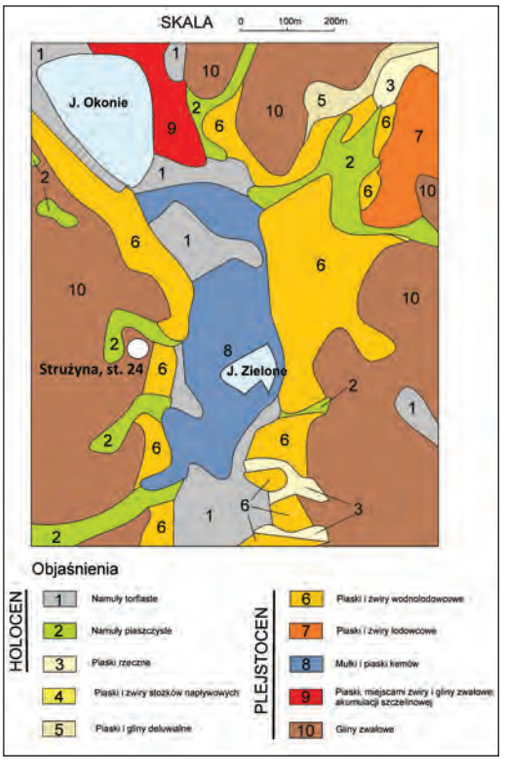

Ryc. 7. Mapa geologiczna okolic grodziska w Strużynie, st. 24 (oprac. J. Nitychoruk i F. Welc)

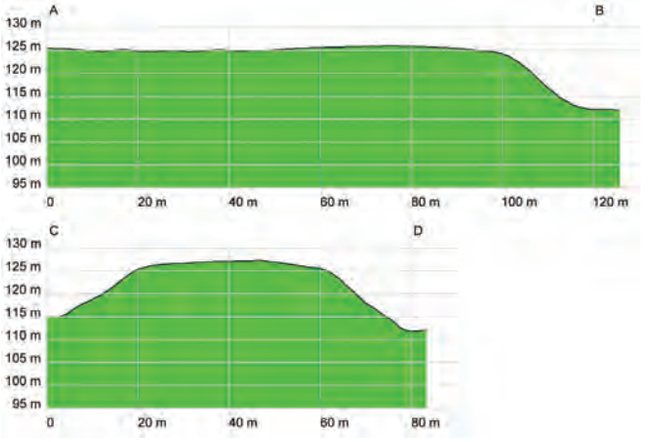

Ryc. 6. Przekroje grodziska w Strużynie, st. 24 po dwóch liniach uzyskane z danych ALS (na podstawie materiałów CODGiK, oprac. R. Solecki)

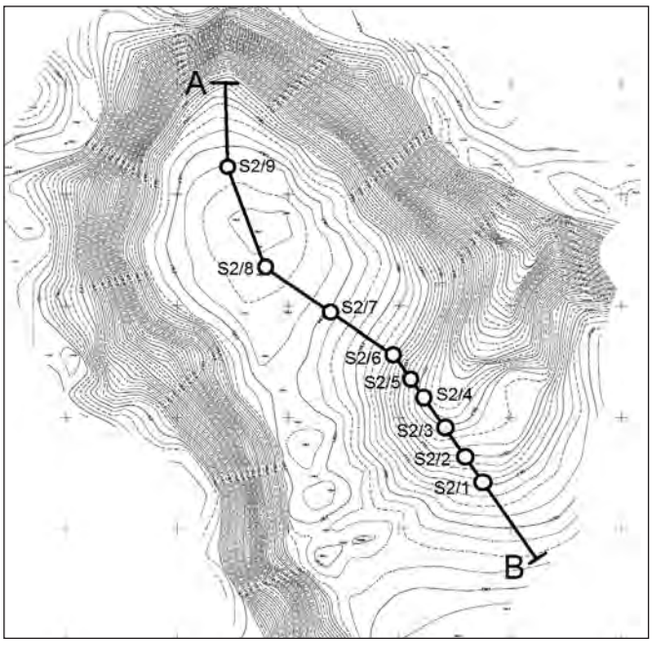

Ryc. 8. Plan grodziska w Strużynie, st. 24 (wyk. J. Błaszczyk) z zaznaczonymi wierceniami geologicznymi (oprac. J. Nitychoruk i F. Welc)

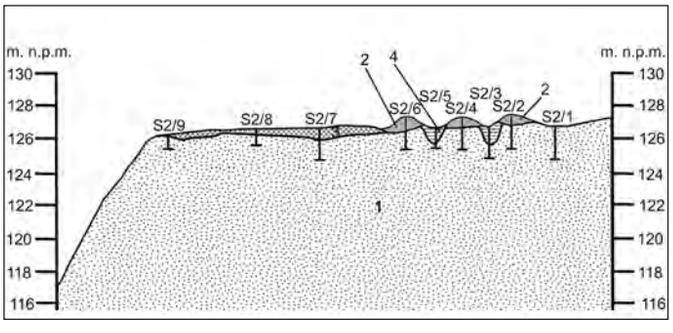

Ryc. 9. Przekrój geologiczny przez grodzisko w Strużynie, st. 24 (oprac. J. Nitychoruk i F. Welc)

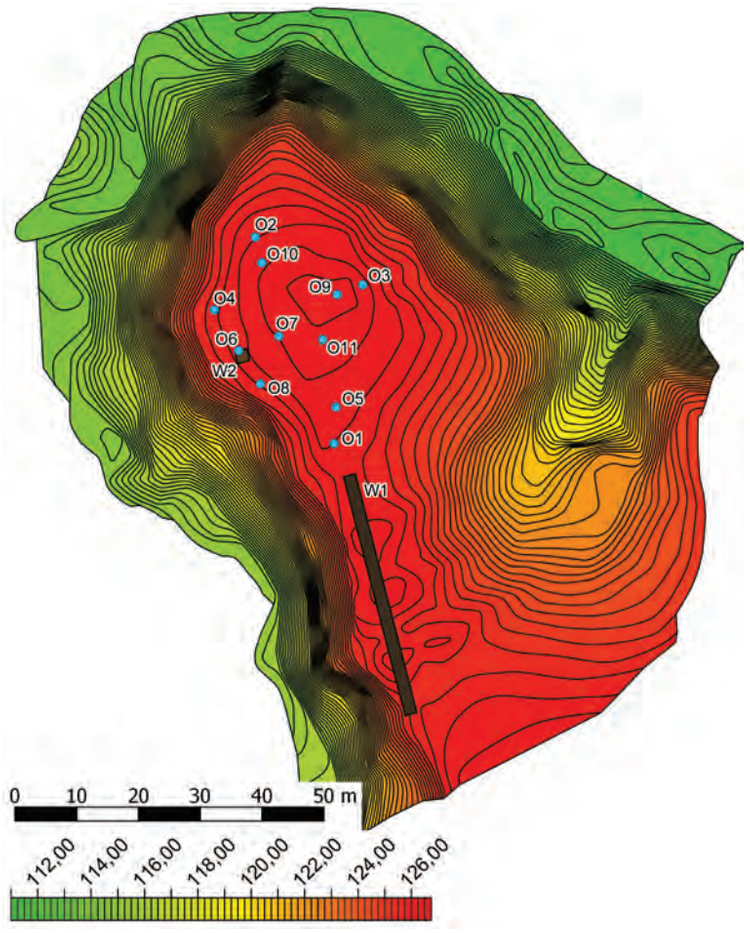

Ryc. 10 Plan warstwicowy grodziska w Strużynie, st. 24 z zaznaczonymi wykopami badawczymi i odwiertami archeologicznymi (na podstawie pomiarów J. Błaszczyka, oprac. R. Solecki)

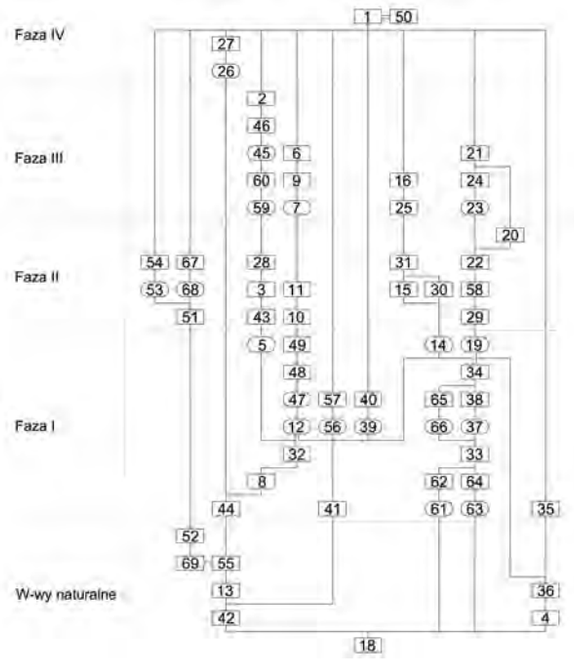

Ryc. 11. Diagram relacji stratygraficznych (oprac. R. Solecki)

BADANIA ARCHEOLOGICZNE

RAFAŁ SOLECKI

Przebieg badań terenowych

Stanowisko zostało odkryte w 2014 roku przez członków lokalnego koła historycznego w Morągu.

Przystępując do badań w roku 2015 zdecydowano się na zastosowanie jednego długiego wykopu (W1) o wymiarach 2 x 40 m, usytuowanego na osi zbliżonej do północ–południe, który przecinał widoczne relikty fos i wałów. Na obszarze majdanu zdecydowano się wykonać serię odwiertów świdrem geologicznym, w celu ustalenia, czy znajdują się tam warstwy kulturowe. Wykonano łącznie 11 odwiertów, a w siedmiu z nich zarejestrowano warstwę kulturową, bogatą w materiał ceramiczny. W pobliżu jednego z odwiertów otworzono wykop (W2) o wymiarach 2 x 2 m, w celu ustalenia charakteru warstwy kulturowej. Łączna powierzchnia przebadana wykopaliskowo to 84 m^2 (ryc. 10).

Stratygrafia stanowiska

W trakcie obecnych badań archeologicznych wydzielono łącznie 69 jednostek stratygraficznych, które podzielono na trzy główne fazy związane z użytkowaniem tego obszaru (tab. 1 i ryc. 11).

Warstwy naturalne

W trakcie badań, jako warstwy naturalne zadokumentowano jednostki 4, 13, 18, 42, 55 (W1) i 69 (W2). W większości są to piaski drobno- i średnioziarniste, rzadziej gruboziarniste, ze sporadycznie występującymi, niezbyt dużymi soczewkami gliny. Jedyny duży pokład gliny to warstwa 42 (W1) widoczna na wysokości Wału I i II, lekko opadająca w kierunku północnym, sukcesywnie zwiększając swoją miąższość. Wymienione warstwy są silnie żelaziste. Na ich powierzchni widoczne są rude wytrącenia w postaci żył lub plam, uchwytne zwłaszcza na styku z przecinającymi je obiektami.

Poziom humusu pierwotnego wyznacza średnioziarnisty, lekko ziemisty piasek 36 (W1) zidentyfikowany na południe od Fosy III oraz drobnoziarnisty piasek z silną frakcją ilastą 52 (W2) na terenie majdanu. Nie zanotowano śladów humusu pierwotnego na odcinku, gdzie znajdują się wały i fosy, co oznacza że zostały one zdjęte w trakcie prac związanych z tworzeniem umocnień.

Faza I

Faza I związana jest z budową umocnień – wałów (z prawdopodobnymi konstrukcjami drewnianymi) i fos (ryc. 12–14).

Wał I ma u podstawy około 7,6 m szerokości, a zachowana wysokość dochodzi do 0,5 m. Najwyższy jego punkt osiąga poziom 126,12 m n.p.m. Na nasyp wału składają się, w kolejności stratygraficznej, lekko przemieszany, drobnoziarnisty piasek 44, średnioziarnisty, lekko ziemisty piasek z pojedynczymi węglami drzewnymi 8 oraz drobno- i średnioziarnisty piasek z plamami piaszczystej ziemi i drobinami węgli drzewnych 32. Warstwy te zalegają na sobie tworząc kolejne płaszcze wału. Przy południowej krawędzi wału, na styku z Fosą I natrafiono na owalny w planie, U-kształtny w przekroju dół posłupowy 47 o średnicy 0,65–1,05 m i głębokości do 1,2 m. W jego wnętrzu znajdowało się 21 kamieni o średnicy 0,15–0,4 m, które zapewne służyły pierwotnie do ustabilizowania umieszczonego w dole słupa. W środku pomiędzy nimi, na całej głębokości dołu, była widoczna pionowa przestrzeń o średnicy około 0,25–0,3 m, która była negatywem po rozłożonym słupie. Wypełniskiem dołu 47 (W1) był drobno- i średnioziarnisty piasek z frakcją ilastą 49.

Wał II ma u podstawy około 4,6 m szerokości, a zachowana wysokość dochodzi do 0,3 m. Najwyższy jego punkt osiąga poziom 126,09 m n.p.m. Nasyp tworzy przemieszana glina i piasek 41. Przy północnej krawędzi wału, na styku z Fosą I natrafiono na dwa, owalne w planie, U-kształtne w przekroju doły posłupowe. Średnica pierwszego z nich wynosi ok. 0,4 m, a głębokość dochodzi do 0,45 m. Wypełniskiem jest drobno- i średnioziarnisty piasek 40. Średnica drugiego z nich wynosi ok. 0,8 m, a głębokość dochodzi do 0,45 m. Wypełniskiem jest drobno- i średnioziarnisty piasek 57. Odległość pomiędzy środkami obu dołów posłupowych wynosi około 1,8 m, a azymut odcinka łączącego środki obu dołów wynosi około 75°.

Wał III ma u podstawy ok. 3,9 m szerokości, a zachowana wysokość dochodzi do 0,4 m. Najwyższy jego punkt osiąga poziom 125,86 m n.p.m. Na samym dnie, poniżej najstarszego nasypu widoczne są dwa równoległe rowki ułożone na azymucie około 55°, w odległości ok. 2,2 m od siebie, wzdłuż styku wału z Fosą II i III. Pierwszy z nich (61) ma szerokość ok. 0,7 m i głębokość do ok. 0,2 m. Jego wypełniskiem jest gruboziarnisty piasek z domieszką gliny 62. Drugi rowek (63) ma szerokość ok. 0,45 m i głębokość do ok. 0,3 m. Jego wypełniskiem jest średnio- i gruboziarnisty piasek 64. Ponad oboma rowkami zalegają warstwy tworzące nasyp wału: lekko przemieszany piasek frakcji od drobno- po gruboziarnistą 33 i ziemisty piasek 34. Na stropie warstwy 33 zarejestrowano dwa doły posłupowe. Pierwszy z nich (37) miał średnicę ok. 0,4 m, U-kształtny przekrój i głębokość do 0,5 m. Jego wypełniskiem jest średnioziarnisty piasek z żelazistymi wtrąceniami 38. Drugi, z nich (66) jest kolisty w planie, o średnicy ok. 0,4 m, i U-kształtny w przekroju, głębokości do 0,2 m. Wypełniskiem jest drobno- i średnioziarnisty piasek z żelazistymi wtrąceniami 65. Oba doły znajdują się w pasie wyznaczonym przez znajdujące się stratygraficznie niżej rowki 61 i 63. Odległość pomiędzy środkami obu dołów posłupowych wynosi ok. 1,5 m, a azymut odcinka łączącego środki obu dołów wynosi około 50°, a więc niemal tyle samo co azymut rowków. Nie można więc wykluczyć, że są to elementy jednej konstrukcji.

Na południe od Fosy III zadokumentowano warstwę drobno- i średnioziarnistego piasku 35, który należy wiązać z okresem, gdy powstawały umocnienia. Najpewniej jest ona urobkiem powstałym podczas kopania Fosy III, który posłużył do wyprofilowania jej południowego stoku, nie można jednak wykluczyć, że jest to silnie zerodowany nasyp ewentualnego kolejnego wału, zupełnie nieczytelnego na powierzchni gruntu. Najwyższy punkt tej warstwy osiąga poziom 125,83 m n.p.m.

Przestrzeń pomiędzy wałami tworzy fosy. Fosa I (12), ma szerokość ok. 7 m, a najniższy punkt znajduje się na poziomie 125,3 m n.p.m. Różnica wysokości pomiędzy dnem fosy, a szczytem Wału I po osi ściany wschodniej wykopu wynosi ok. 0,6 m. Różnica wysokości pomiędzy dnem fosy, a szczytem Wału II po tej samej osi wynosi ok. 0,65 m. Fosa II (14) ma szerokość ok. 7 m, a najniższy punkt znajduje się na poziomie 124,59 m n.p.m. Różnica wysokości pomiędzy dnem fosy, a szczytem Wału II po osi ściany wschodniej wykopu wynosi ok. 1,35 m. Różnica wysokości pomiędzy dnem fosy, a szczytem Wału III po tej samej osi wynosi ok. 1,3 m. Fosa III (19) ma szerokość ok. 7,2 m, a najniższy punkt znajduje się na poziomie 124,53 m n.p.m. Różnica wysokości pomiędzy dnem fosy, a szczytem Wału III po osi ściany wschodniej wykopu wynosi ok. 1,3 m. Różnica wysokości pomiędzy dnem fosy, a powierzchnią gruntu na południe od grodziska, gdzie ewentualnie mógł znajdować się kolejny wał, wynosi ok. 1,3 m.

W okresie tym zapewne także wyprofilowano zagłębienie przywałowe 5. Jego zarejestrowana szerokość ma ok. 5,7 m, a najniższy punkt znajduje się na poziomie 125,12 m n.p.m. Różnica wysokości pomiędzy dnem zagłębienia, a szczytem Wału I po osi ściany wschodniej wynosi około 0,8 m (ryc. 15).

Strużyna, st. 24
gm. Morąg
–1 m–

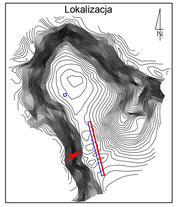

Faza III
Faza IIB
Faza IIA
Faza I
Warstwy naturalne

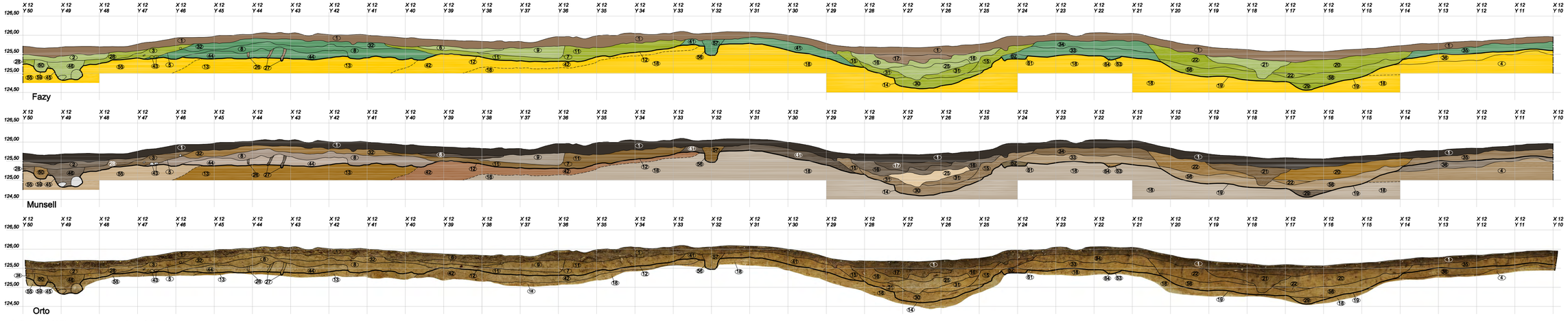

Ryc. 12. Strużyna, st. 24. Wschodnia ściana wykopu (oprac. R. Solecki)

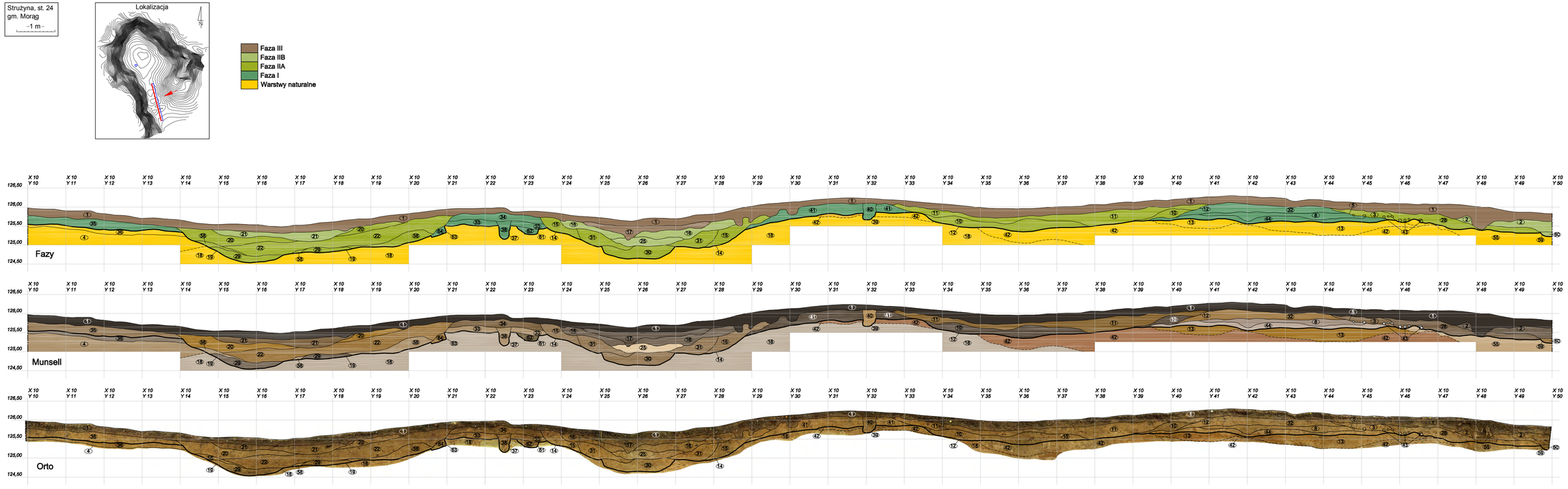

Ryc. 13. Strużyna, st. 24. Zachodnia ściana wykopu (oprac. R. Solecki)

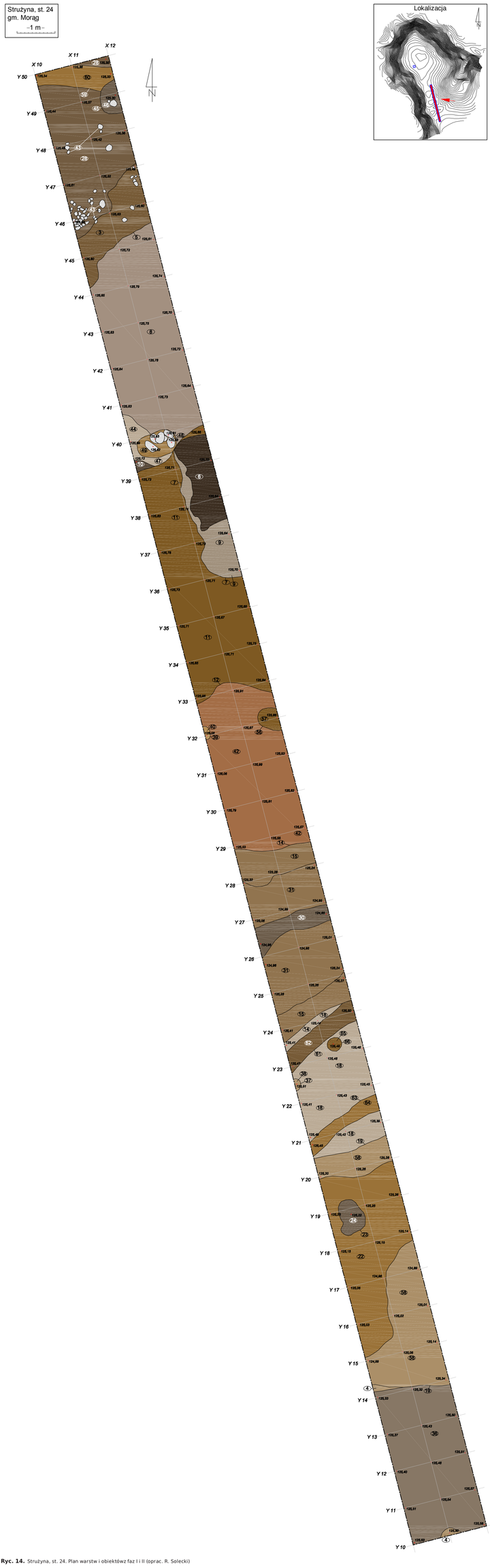

Ryc. 14. Strużyna, st. 24. Plan warstw i obiektówz faz I i II (oprac. R. Solecki)

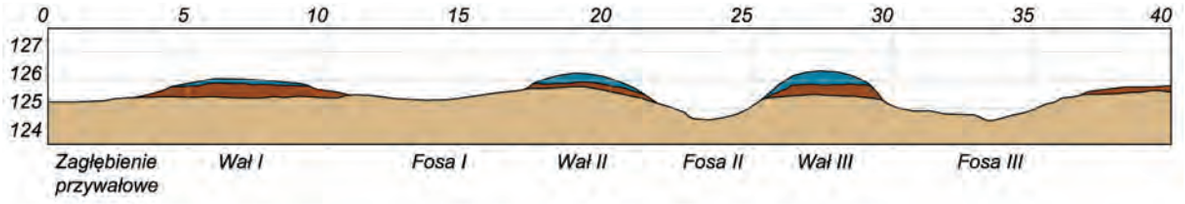

Ryc. 15. Przekrój przez wały i fosy grodziska w Strużynie, st. 24. Kolorem beżowym zaznaczono warstwy naturalne, kolorem brązowym zachowane nasypy wałów, a kolorem niebieskim przypuszczalne, pierwotne wysokości wałów oszacowane na podstawie kubatury urobku z kopania fos (oprac. R. Solecki)

Faza IIA i IIB

Kolejna faza to okres funkcjonowania grodziska. Jednostki stratygraficzne związane z tą fazą manifestują się głównie w wypełniskach fos i zagłębienia przywałowego. Poziom użytkowy i pojedyncze obiekty zanotowano także na obszarze majdanu. W obrębie tej fazy możliwe jest wydzielenie dwóch podokresów, które należą do tego samego horyzontu chronologicznego.

W Fosie I starszy okres (A) jest reprezentowany przez średnioziarnisty, ziemisty piasek 10 oraz średnioziarnisty piasek z frakcją ilastą 11. Charakter tych warstw jest trudny do ustalenia – mogą być to zarówno relikty poziomu użytkowego, jak i warstwy erozyjne. Okres młodszy (B) to znacznych rozmiarów, fragmentarycznie odsłonięty, obiekt 7, być może relikt zagłębionego w ziemię domostwa. Ma on w planie kształt zbliżony do czworoboku o zaokrąglonych narożnikach i długości ścian 3,9 m a szerokości co najmniej 0,85 m (reszta poza granicą wykopu). W przekroju dno obiektu jest płaskie, ale nachylone pod kątem około 4° w kierunku S. Zachowana głębokość dochodzi do 0,3 m. Wypełniskiem jest średnio- i drobnoziarnisty, lekko ziemisty piasek 6 i średnioziarnisty piasek z frakcją ilastą i pojedynczymi ziarnami żwiru 9.

W Fosie II starszy okres (A) jest reprezentowany przez średnio- i drobnoziarnisty piasek z dużą ilością drobnych węgli drzewnych 30, który jest zapewne poziomem użytkowym. Przykrywają go warstwy drobnoziarnistego piasku 15 i drobnoziarnistego piasku z żelazistymi wytrąceniami 31, będące zapewne erozyjnymi spływami z wałów. Okres młodszy (B) to drobnoziarnisty piasek z pojedynczymi drobinami węgli drzewnych 25, przykryty lekko ziemistym piaskiem z pojedynczymi drobinami węgli drzewnych 16, gdzie warstwa 25 jest poziomem użytkowym, a 16 – warstwą erozyjną.

W Fosie III poziom użytkowy starszego okresu (A) wyznacza średnio- i drobnoziarnisty piasek z dużą domieszką węgli drzewnych 29. Przykrywają go warstwy erozyjne z drobno- i średnioziarnistego piasku, układającego się w horyzontalne laminacje poprzecinane żelazistymi wytrąceniami 58 oraz drobno- i średnioziarnisty piasek 20 i 22. Proces erozyjny Wału III i hipotetycznego wału zewnętrznego był na tyle znaczny, że zmywany z nich materiał wypełnił fosę pokładem o miąższości nawet do 0,6 m. Do okresu młodszego (B) należy zaliczyć owalny w planie, U-kształtny w przekroju dół posłupowy 23, o średnicy ok. 0,3–0,35 m i głębokości do 0,4 m. Wypełniskiem jest średnio- i drobnoziarnisty, lekko ziemisty piasek z pojedynczymi drobinami węgli drzewnych 24. Wokół dołu posłupowego i na S od niego występuje średnio- i drobnoziarnisty piasek z pojedynczymi drobinami węgli drzewnych 21, który jest zapewne poziomem użytkowym dla tego okresu.

W zagłębieniu przywałowym starszy okres (A) wyznacza bruk kamienny 43, tworzący zwartą pryzmę o średnicy ok. 1,5 m, wokół której występują pojedyncze kamienie. Średnice kamieni wynoszą 5–20 cm. Bruk przykrywają warstwy erozyjne z drobno- i średnioziarnistego piasku z frakcją ilastą i pojedynczymi węglami drzewnymi 3 oraz drobno- i średnioziarnistego piasku z frakcją ilastą 28. Okres młodszy (B) reprezentują dwa obiekty. Pierwszy z nich (59) ma formę rowka ułożonego na azymucie około 100°, o szerokości ok. 0,6 m i głębokości do ok. 0,3 m. Jego wypełniskiem jest piasek o frakcji od drobno- po gruboziarnistą 60. Drugi obiekt (45), to dół posłupowy o średnicy ok. 0,8 m i głębokości do 0,5 m, w planie owalny, w przekroju o kształcie odwróconego trapezu. Na jego dnie zdeponowano dwa kamienie o średnicy 0,2 i 0,3 m. Wypełniskiem jest lekko ziemisty piasek 46. Oba obiekty przykrywa warstwa erozyjna z drobno- i średnioziarnistego piasku z lekką frakcją ilastą 2.

Na obszarze majdanu poziom użytkowy z okresu funkcjonowania grodziska wyznacza średnio- i gruboziarnisty piasek 51 (W2) oraz średnio- i gruboziarnisty, lekko ziemisty piasek zidentyfikowany w odwiertach 2–7 i 9–10. W wykopie W2 stwierdzono, że ze stropu tej warstwy wyprowadzone zostały dwa wkopy (ryc. 16). Pierwszy z nich (53) jest owalny w planie, U-kształtny w przekroju, jego średnica wynosi ok. 0,55–0,6 m, a głębokość ok. 0,3 m. Wypełniskiem jest drobno- i średnioziarnisty, lekko ziemisty piasek z pojedynczymi drobinami węgli drzewnych 54. Drugi obiekt (68), został uchwycony jedynie w niewielkim fragmencie. Jego wypełniskiem jest drobno- i średnioziarnisty, lekko ziemisty piasek 67.

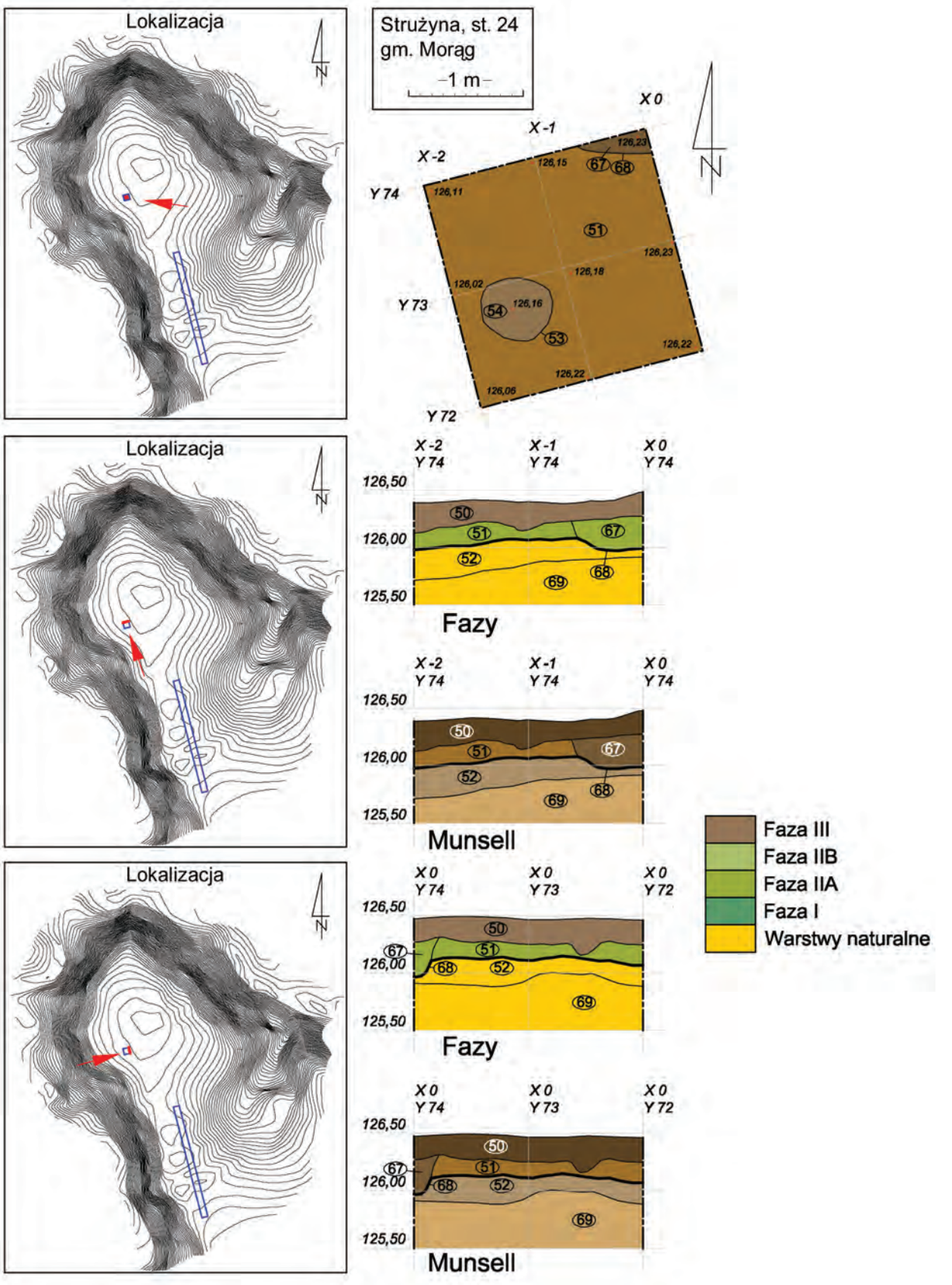

Ryc. 16. Strużyna, st. 24. Ściany wykopu 2 oraz plan obiektów z Fazy II (oprac. R. Solecki)

Tabela 1. Strużyna, st. 24. Badania w roku 2015. Katalog warstw i obiektów oraz ich zależności stratygraficznych (oprac. R. Solecki)

Numer jednostki	Numer obiektu	Numer wykopu	Położenie w obrębie stanowiska	Współrzędne siatki pomiarowej stanowiska	Opis jednostki stratygraficznej	Barwa (Munsell)	Pozycja stratygraficzna	
							Znajduje się pod	Znajduje się nad
1	-	1	Całe stanowisko	X=10–12; Y=10–50	Ciemna, luźna, brązowo-brunatna ziemia silnie poprzerastana korzeniami; miąższość do 30 cm; humus leśny	10YR 2/1	-	2
2	5	1	Zagłębienie przywałowe	X=10–12; Y=47,40–50	Drobno- i średnioziarnisty piasek z lekką frakcją ilastą; miąższość do 30 cm; warstwa erozyjna w obrębie zagłębienia przywałowego	10YR 4/2	1	28, 46, 60
3	5	1	Zagłębienie przywałowe	X=10–12; Y=44,20–47,70	Drobno- i średnioziarnisty piasek z lekką frakcją ilastą i z niewielkimi, pojedynczymi węglami drzewnymi; miąższość do 25 cm; wypełnisko zagłębienia przywałowego	10YR 4/4	28	5, 43
4	-	1	Obszar na S od fosy III	X=10–12; Y=10–14,90	Drobno- i średnioziarnisty piasek ze smugami gruboziarnistego, rudego piasku; calec	10YR 6/4	19, 36	-
5	5	1	Zagłębienie przywałowe	X=10–12; Y=44,20–50	Uchwycony fragmentarczynie obiekt, w profilu nieckowaty; szerokość ok. 570 cm, głębokość do 80 cm; zagłębienie przywałowe		3, 43	32
6	7	1	Fosa I	X=11,10–12; Y=37,20–39,70	Średnio- i drobnoziarnisty, lekko ziemisty piasek z cętkami popielatego drobnoziarnistego piasku; wypełnisko obiektu 7	10YR 2/2 90%; 10YR 6/2 10%	1	9
7	7	1	Fosa I	X=11–12; Y=35,80–39,70	Rozpoznany fragmentarycznie wkop, zbliżony do prostokąta w planie, dno płaskie; dł. ok. 390 cm, szer. co najmniej 85 cm, gł. do 30 cm; prawdopodobnie obiekt mieszkalny		9	11
8	-	1	Wał I	X=10–12; Y=39,20–46,80	Średnioziarnisty, lekko ziemisty piasek z pojedynczymi węglami drzewnymi; miąższość do 40 cm; nasyp Wału I	7,5YR 6/2	5, 12, 32	13, 42, 44, 55
9	7	1	Fosa I	X=11–12; Y=35,80–39,50	Średnioziarnisty piasek z frakcją ilastą z pojedynczymi żwirkami i żelazistymi wytrąceniami; wypełnisko obiektu 7	10YR 6/2	6	7
10	12	1	Fosa I	X=10–11,60; Y=33,40–42,60	Średnioziarnisty piasek, ziemisty, poprzerastany korzeniami; miąższość do 40 cm; wypełnisko Fosy I	10YR 3/2	11	12
11	12	1	Fosa I	X=10–12; Y=32,60–41	Średnioziarnisty piasek z frakcją ilastą; miąższość do 40 cm; wypełnisko Fosy I	10YR 4/6	7	10
12	12	1	Fosa I	X=10–12; Y=32,60–41	Nieckowaty w przekroju rów; szer. ok. 700 cm, gł. do 65 cm; Fosa I		10, 11	32, 41
13	-	1	Zagłębienie przywałowe, Wał I	X=10–12; Y=39,50–46,50	Jasny, średnio- i gruboziarnisty piasek z silnymi żelazistymi wytrąceniami; calec	10YR 5/8	44	42
14	14	1	Fosa II	X=10–12; Y=23,40–29,50	Nieckowaty w przekroju rów; szer. ok. 700 cm, gł. do 130 cm; Fosa II		30	18, 34, 41
15	14	1	Fosa II	X=10–12; Y=23,40–29,50	Jasny, drobnoziarnisty piasek; miąższość do 40 cm; wypełnisko Fosy II	10YR 5/4	31	14
16	14	1	Fosa II	X=10–12; Y=23,90–28,60	Lekko ziemisty piasek z pojedynczymi drobinami węgli drzewnych; miąższość do 35 cm; wypełnisko Fosy II; jeden fragment ceramiki	10YR 4/2	17	25
17	-	1	Fosa II	X=10–12; Y=24,50–27,90	Lekko piaszczysta ziemia z dużą domieszką węgli drzewnych; miąższość do 40 cm; sedyment w obrębie Fosy II	10YR 3/2	1	16
18	-	1	Fosa I, Wał II, Fosa II, Wał III, Fosa III	X=10–12; Y=14,50–37,90	Jasny, sypki, drobnoziarnysty piasek z silnymi żelazistymi wytrąceniami; calec	10YR 7/2	4, 19	-
19	19	1	Fosa III	X=10–12; Y=13,60–21,20	Nieckowaty w przekroju rów; szer. ok. 720 cm, gł. do 130 cm; Fosa III		20, 22, 29, 58	4, 34, 36
20	19	1	Fosa III	X=10–12; Y=13,60–19,80	Drobno- i średnioziarnisty piasek; miąższość do 40 cm; wypełnisko Fosy III	10YR 5/8	21	22,58
21	19	1	Fosa III	X=10–12; Y=14,80–19,20	Średnio- i drobnoziarnisty piasek z pojedynczymi drobinami węgli drzewnych; miąższość do 50 cm; wypełnisko Fosy III	10YR 4/4	1	20
22	19	1	Fosa III	X=10–12; Y=15,10–21,20	Drobno- i średnioziarnisty piasek; miąższość do 40 cm; wypełnisko Fosy III	10YR 5/6	20, 21	19, 29
23	23	1	Fosa III	X=10,20–11; Y=18,30–19,30	Dół posłupowy, owalny w planie, U-kształtny w przekroju; śr. 30–35 cm, gł. do 40 cm		24	22
24	23	1	Fosa III	X=10,20–11; Y=18,30–19,30	Średnio- i drobnoziarnisty piasek, lekko ziemisty, z pojedynczymi drobinami węgli drzewnych; wypełnisko dołu posłupowego 23	10YR 4/2	21	23

Tabela 1. Ciąg dalszy

Numer jednostki	Numer obiektu	Numer wykopu	Położenie w obrębie stanowiska	Współrzędne siatki pomiarowej stanowiska	Opis jednostki stratygraficznej	Barwa (Munsell)	Pozycja stratygraficzna	
							Znajduje się pod	Znajduje się nad
25	14	1	Fosa II	X=10–12; Y=25,20–27,40	Jasny, drobnoziarnisty piasek z pojedynczymi drobinami węgli drzewnych; miąższość do 25 cm; wypełnisko Fosy II	10YR 8/4	16	31
26	26	1	Wał I	X=10–12; Y=42–46	15 niewielkich dołków, kolistych w planie, U-kształtnych w przekroju; śr. 5–10 cm, gł. do 30 cm		27	8
27	26	1	Wał I	X=10–12; Y=42–46	Średnio- i drobnoziarnisty, ziemisty piasek; wypełnisko dołków 26	10YR 3/2	324	26
28	5	1	Zagłębienie przywałowe	X=10–12; Y=45,50–50	Drobno- i średnioziarnisty piasek z frakcją ilastą; miąższość do 30 cm; wypełnisko zagłębienia przywałowego	10YR 4/3	2, 45, 59	5, 3
29	19	1	Fosa III	X=10–12; Y=14,70–18,60	Średnio- i drobnoziarnisty piasek z dużą domieszką węgli drzewnych; miąższość do 20 cm; wypełnisko Fosy III	10YR 4/2	22, 58	19
30	14	1	Fosa II	X=10–12; Y=24,80–27,30	Średnio- i drobnoziarnisty piasek z dużą ilością drobnych węgli drzewnych; miąższość do 35 cm; wypełnisko Fosy II	10YR 4/2	25, 31	14
31	14	1	Fosa II	X=10–12; Y=24,40–28,20	Drobnoziarnisty piasek z żelazistymi wytrąceniami; miąższość do 45 cm; wypełnisko Fosy II	10YR 5/4	25	15, 30
32	-	1	Wał I	X=10–12; Y=40,10–45,90	Drobno- i średnioziarnisty piasek z plamami piaszczystej ziemi i drobinami węgli drzewnych; miąższość do 30 cm; nasyp Wału I	10YR 5/6 70%; 10YR 3/6 30%	1, 5, 12	8, 44
33	-	1	Wał III	X=10–12; Y=20,20–24,20	Jasny piasek, lekko przemieszany, frakcji od drobno- po gruboziarnistą; miąższość do 30 cm; nasyp Wału III	10YR 6/4 80%; 10YR 7/2 20%	34, 37	18, 62, 64
34	-	1	Wał III	X=10–12; Y=20,40–23,70	Ziemisty piasek; miąższość do 30 cm; nasyp Wału III	10YR 4/4	1, 19	33
35	-	1	Obszar na S od Fosy III	X=10–12; Y=10–14,10	Drobno- i średnioziarnisty piasek; miąższość do 25 cm; nasyp na S od Fosy III	10YR 5/4	1	36
36	-	1	Obszar na S od Fosy III	X=10–12; Y=10–14,20	Średnioziarnisty, lekko ziemisty piasek; miąższość do 15 cm; humus pierwotny	10YR 5/2	35	4
37	37	1	Wał III	X=10–10,30; Y=22,20–22,70	Dół posłupowy, zbadany fragmentarycznie, U-kształtny w przekroju; śr. ok. 40 cm, gł. do 50 cm		38	33
38	37	1	Wał III	X=10–10,30; Y=22,20–22,70	Średnioziarnisty piasek z nitkami żelazistych wytrąceń; wypełnisko dołu posłupowego 37	10YR 6/4	34	37
39	39	1	Wał II	X=10–10,30; Y=31,90–32,30	Dół posłupowy, kolisty w planie, U-kształtny w przekroju; śr. 40 cm, gł. ok. 45 cm		40	41
40	39	1		X=10–10,30; Y=31,90–32,30	Drobno- i średnioziarnisty piasek; wypełnisko dołu posłupowego 39	10YR 6/6	1	39
41	-	1	Wał II	X=10–12; Y=28,20–33,30	Przemieszana glina i piasek; miąższość do 30 cm; nasyp Wału II	10YR 3/2 60%; 10YR 5/4 40%	1, 12, 14, 39, 56	42
42	12	1	Zagłębienie przywałowe, Wał I, Fosa I, Wał II	X=10–12; Y=30,70–47,50	Glina; calec	5YR 5/6	12, 13, 41	18
43	5	1	Zagłębienie przywałowe	X=10–12; Y=44,70–47,80	Bruk kamienny; śr. bruku 150 cm, śr. kamieni 5–20 cm		3, 28	5
44	-	1	Wał I	X=10–12; Y=39,40–45,80	Lekko przemieszany, drobnoziarnisty piasek; miąższość do 35 cm; nasyp Wału I	10YR 7/2	5, 8, 26	13, 55
45	45	1	Zagłębienie przywałowe	X=11,40–12; Y=48,30–49,40	Dół posłupowy, owalny w planie, w przekroju trapezowaty; śr. ok. 60 cm, gł. do 50 cm		46	28, 60
46	45	1	Zagłębienie przywałowe	X=11,40–12; Y=48,30–49,40	Szary, lekko ziemisty piasek z pojedynczymi dużymi kamieniami śr. do 30 cm; wypełnisko obiektu 45	10YR 4/2	2	45
47	47	1	Wał I	X=10,10–11,30; Y=39,40–40,10	Wkop, owalny w planie, U-kształtny w przekroju; śr. 65–105 cm, gł. ok. 120 cm; prawdopodobnie dół posłupowy		48	12
48	47	1	Wał I	X=10,10–11,30; Y=39,40–40,10	Kamienie śr. 15–40 cm; wypełnisko dołu posłupowego 47		49	47
49	47	1	Wał I	X=10,10–11,30; Y=39,40–40,10	Drobno- i średnioziarnisty piasek z frakcją ilastą; wypełnisko obiektu 47	10YR 5/6	10	48
50	-	2	Całe stanowisko		Ziemia z duża domieszką piasku; miąższość do 25 cm; humus leśny	10YR 3/4	-	51, 54, 67
51	-	2	Majdan	X=–2–0; Y=72–74	Średnio- i gruboziarnisty piasek; miąższość do 20 cm; poziom użytkowy	10YR 5/8	50, 53, 68	52

Tabela 1. Ciąg dalszy

Numer jednostki	Numer obiektu	Numer wykopu	Położenie w obrębie stanowiska	Współrzędne siatki pomiarowej stanowiska	Opis jednostki stratygraficznej	Barwa (Munsell)	Pozycja stratygraficzna	
							Znajduje się pod	Znajduje się nad
52	-	2	Majdan	X=–2–0; Y=72–74	Drobnoziarnisty piasek z silną frakcją ilastą; miąższość do 25 cm; humus pierwotny	10YR 6/4	51	69
53	53	2	Majdan	X=–1,80––1,10; Y=72,40–73,10	Niewielki wkop, owalny w planie, U-kształtny w przekroju; śr. 50–60 cm, gł. do 30 cm; funkcja nieokreślona		54	51
54	53	2	Majdan	X=–1,80––1,10; Y=72,40–73,10	Drobno- i średnioziarnisty piasek, lekko ziemisty z pojedynczymi drobinami węgli drzewnych; wypełnisko obiektu 53	10YR 5/4	50	53
55	-	1	Zagłębienie przywałowe	X=10–12; Y=45,30–50	Zbity, drobno- i średnioziarnisty piasek; calec	10YR 7/4	44	13, 42
56	56	1	Wał II	X=11,70–12; Y=31,60–32,30	Dół posłupowy, kolisty w planie, U-kształtny w przekroju; śr. 80 cm, gł. do 45 cm		57	41
57	56	1	Wał II	X=11,70–12; Y=31,60–32,30	Drobno- i średnioziarnisty piasek; wypełnisko dołu posłupowego 56	10YR 4/6	1	56
58	19	1	Fosa III	X=10–12; Y=13,80–20,70	Jasny, drobno- i średnioziarnisty piasek układający się w horyzontalne laminacje poprzecinane żelazistymi wytrąceniami; miąższość do 30 cm; wypełnisko Fosy III	10YR 6/4	22	29
59	59	1	Zagłębienie przywałowe	X=10–12; Y=49,10–50	Rowek ułożony na osi zbliżonej do E–W; szer. ok. 60 cm, gł. do 30 cm; funkcja nieokreślona		60	28
60	59	1	Zagłębienie przywałowe	X=10–12; Y=49,10–50	Drobno-, średnio- i gruboziarnisty piasek; wypełnisko obiektu 59	10YR 5/6	2, 45	59
61	61	1	Wał III	X=10–12; Y=22,80–24,50	Wąski rowek ułożony na osi zbliżonej do EW; szer. ok. 70 cm, gł. do 20 cm; wyznaczenie zasięgu Wału III		62	18
62	61	1	Wał III	X=10–12; Y=22,80–24,50	Gruboziarnisty piasek z domieszką gliny; wypełnisko obiektu 61	10YR 4/4	33	61
63	63	1	Wał III	X=10–12; Y=20,50–21,80	Wąski rowek ułożony na osi zbliżonej do EW; szer. ok. 45 cm, gł. do 30 cm; wyznaczenie zasięgu Wału III		64	18
64	63	1	Wał III	X=10–12; Y=20,50–21,80	Średnio- i gruboziarnisty piasek; wypełnisko obiektu 63	10YR 5/6	19, 33	63
65	66	1	Wał III	X=11–11,50; Y=23,10–23,50	Drobno- i średnioziarnisty piasek z żelazistymi wytrąceniami; wypełnisko dołu posłupowego 66	10YR 4/6	1	66
66	66	1	Wał III	X=11–11,50; Y=23,10–23,50	Dół posłupowy, kolisty w planie, U-kształtny w przekroju; śr. ok. 40 cm, gł. ok. 20 cm		65	18
67	68	2	Majdan	X=–0,70–0; Y=73,80–74	Drobno- i średnioziarnisty piasek, lekko ziemisty; wypełnisko obiektu 68	10YR 4/4	50	68
68	68	2	Majdan	X=–0,70–0; Y=73,80–74	Zbadany fragmentarycznie wkop; szer. ok. 55 cm; gł. do 30 cm; funkcja nieokreślona		67	51
69	-	2	Majdan	X=–2–0; Y=72–74	Drobnoziarnisty piasek z silną frakcją ilastą, zwarty; calec	10YR 7/6	52	-

Faza III

Ostatnia faza to warstwy o współczesnej lub nieokreślonej chronologii. Niejednoznaczna jest chronologia lekko piaszczystej ziemi z dużą domieszką węgli drzewnych 17, zalegającej ponad warstwą 16 w Fosie II. Z jednej strony może to być najmłodsze wypełnisko tej fosy, z drugiej – nie można wykluczyć, że warstwa ta jest współczesnym sedymentem. Nie udało się także określić chronologii i charakteru piętnastu niewielkich dołków 26, kolistych w planie i U–kształtnych w przekroju, średnicy 5–10 cm i głębokości do 30 cm, których wypełniskiem jest średnio- i drobnoziarnisty, ziemisty piasek 27. Dołki te odsłonięto w pasie Wału I i mogą być związane z jakąś formą jego umocnienia lub użytkowania. Z drugiej strony obiekty te mogą być śladami po rozłożonych korzeniach lub po norach zwierzęcych. Najmłodsza jednostka stratygrafii stanowiska to luźna ziemia poprzerastana korzeniami 1 (W1) = 50 (W2) będąca humusem leśnym, pokrywającym większość obszaru stanowiska.

ZNALEZISKA

Na materiał zabytkowy pozyskany w trakcie badań archeologicznych grodziska w Strużynie, st. 24 składają się wyłącznie 322 fragmenty ceramiki (tab. 2). Znaczne rozdrobnienie materiału (aż 70% elementów zbioru ma mniej niż 5 cm szerokości) nie pozwala na rekonstrukcję żadnej pełnej formy naczynia (tab. 3). Materiał ten reprezentuje zasadniczo jedną grupę technologiczno-surowcową, w obrębie której wydzielono dwie odmiany:

GTS 1A. Ceramika wykonana ze słabo wyrobionej masy ceramicznej z dość dużą ilością drobnej domieszki schudzającej – piasku, drobin startego granitu

i miki. Grubość ścianki wynosi ok. 3–10 mm (średnio ok. 6–8 mm), a grubość dna w jednym odnalezionym fragmencie dochodzi do 15 mm. Wypał jest utleniający, zapewne w dość niskiej temperaturze, gdyż ceramika szybko nasiąka wodą i staje się miękka. Kolor ścian jest pomarańczowy, brązowy i szary. Przełam zazwyczaj jest dwubarwny. Powierzchnia zewnętrza i wewnętrzna jest lekko szorstka, ze śladami zagładzania. Na jednym fragmencie brzuśca zaobserwowano zdobienie w formie odcisku paznokcia (tabl. 1:14). Także na jednym fragmencie brzuśca zarejestrowano odcisk plecionej maty, układający się w pasie poprzecznym (tabl. 1:15). Na części fragmentów zanotowano ślady osmalenia występujące po stronie zewnętrznej i wewnętrznej. Liczebność zbioru tego rodzaju ceramiki wynosi 126 fragmentów, co stanowi 44,2% wszystkich odnalezionych fragmentów pozwalających na określenie ich grupy technologiczno-surowcowej. W zbiorze tym zidentyfikowano w sumie 20 fragmentów wylewów, z czego 15 pozwala na choćby minimalne zrekonstruowanie formy naczynia. Na tej podstawie wydzielono sześć typów morfologicznych. Typ I to misy o kształcie wycinka kuli. Znalezione egzemplarze miały promień 12–14 cm. Krawędź wylewu występuje w dwóch odmianach: z krawędzią wyobloną i lekko wywiniętą na zewnątrz (tabl. 1:1–2) lub ściętą na płasko i lekko wywiniętą na zewnątrz (tabl. 1:3)[2]. Typ II to naczynie dwustożkowe o cylindrycznej szyjce i krawędzi wylewu lekko wychylonej na zewnątrz (tabl. 1:10)[3]. Typ III to naczynia o wylewie prostym, lekko wychylonym na zewnątrz. Krawędź wylewu w dwóch przypadkach była wyoblona, a w jednym ścięta na płasko (tabl. 1:4–5). Typ IV to naczynia o wylewie prostym, lekko pochylonym do wnętrza, z krawędzią lekko pogrubioną i wyobloną (tabl. 1:6). Typ V to naczynia o wylewie lekko pochylonym do

[2] Typ ten odpowiada typowi VI w klasyfikacji Ł. Okulicz 1970: 24–30, 232, 234, 237.

[3] Typ ten odpowiada typowi III w klasyfikacji Ł. Okulicz 1970: 24–28, 237.

Tabela 2. Zestawienie ilościowe fragmentów ceramiki z grodziska w Strużynie, st. 24 (oprac. R. Solecki)

Faza	Jednostka stratygraficzna	Liczba fragmentów łącznie	Liczba różnych naczyń	Wylewy			Szyjki	Brzuśce						Ucha	Dna		Fragmenty o wypłukanej powierzchni	Uwagi	Grupy technologiczno-surowcowe		
									Rodzaj powierzchni												
				Liczba fragmentów	SEN (procent obwodu)	Ornamentowane		Liczba fr. ogółem	Chropowacone	Szorstkie	Nieokreślone	Przepalone	Ornamentowane		Liczba fragmentów	SEN (procent obwodu)			GTS 1A	GTS 1B	Nieokreślone
I	8	1	1	1	5					1		1							1		
IIA	3	64	6	7	21			55	36	19		7	2		2	15			25	39	
IIA	10	16	2					16	10	4	2								4	10	2
IIA	11	43	3	5	15			37	21	16		1		1					20	23	
IIA	15	3	2					3	2	1									1	2	
IIA	20	1	1					1		1										1	
IIA	22	1	1					1	1									okopcenie		1	
IIA	28	70	4	6	21	2		48	27	21	15	6	1		1	5			25	30	15
IIA	29	3	1					3	3											3	
IIA	31	7	2	1	5			6	3	3									4	3	
IIA	51	16	4	2	10	1		14	8	6		2					1		7	9	
IIA	54	1	1					1	1											1	
IIB	2	42	4	6	15		1	36	16	8	12	5							12	18	12
IIB	6	11	3	1	2			10	8	2			1						4	7	
IIB	9	13	2					5	2	3	8								3	2	8
IIB	16	1	1					1	1			1								1	
IIB	46	1	1					1		1		1							1		
III	1	18	4	1	5			16	2	14					1	5			16	2	
Sondaż 3	3	1						3	3											3	
Sondaż 6	5	2						5	3	2							1		2	3	
Sondaż 7	1	1						1		1									1		
Sondaż 11	1	1						1	1											1	
Suma	**322**	**48**	**30**	**99**	**3**	**1**	**264**	**148**	**103**	**37**	**24**	**4**	**1**	**4**	**25**	**2**		**126**	**159**	**37**

Tabela 3. Fragmentacja i stopień erozji ceramiki z grodziska w Strużynie, st. 24 (oprac. R. Solecki)

Faza	Jedn. strat.	Wykop	Kategorie wielkościowe [cm]											Stopień erozji				Suma
			1	2	3	4	5	6	7	8	9	10	11	0	I	II	III	
I	8	1			1										1			**1**
IIA	3	1		1	5	29	13	5	8	1	2				41	23		**64**
IIA	10	1	1	4	3	2	5		1						8	8		**16**
IIA	11	1		5	21	7	6	2	2						13	30		**43**
IIA	15	1			1	1	1								1	2		**3**
IIA	20	1			1										1			**1**
IIA	22	1				1									1			**1**
IIA	28	1		27	17	11	5	5	1	3		1			33	35	2	**70**
IIA	29	1		1			1	1							2	1		**3**
IIA	31	1		1	2	1	3								3	4		**7**
IIA	51	2		1	2	5	3	2	2		1				3	13		**16**
IIA	54	2			1											1		**1**
IIB	2	1		25	10	2	4	1							19	22	1	**42**
IIB	6	1	1	4	3	2	1								1	10		**11**
IIB	9	1	6	4		2			1							13		**13**
IIB	16	1					1								1			**1**
IIB	46	2				1									1			**1**
III	1	1 i 2		3	3	4	5		2				1		12	6		**18**
Sondaż 3					1		1			1						3		**3**
Sondaż 6				2	1	1			1						3	2		**5**
Sondaz 7				1												1		**1**
Sondaż 11									1						1			**1**
Suma			**8**	**79**	**72**	**69**	**49**	**16**	**19**	**5**	**3**	**1**	**1**	**0**	**145**	**174**	**3**	**322**

wnętrza z krawędzią lekko pogrubioną, wyobloną i wywiniętą na zewnątrz (tabl. 1:7–9). Typ VI to talerze o niemal płaskiej powierzchni z nieregularnie wyobloną krawędzią (tabl. 1:11–12)[4].

W omawianej grupie zarejestrowano tylko jeden fragment wyodrębnionego dna (tabl. 1:13), jeden fragment brzuśca ze śladami mocowania ucha (tabl. 1:16) oraz jeden fragment tzw. naczynia sitowatego z silnym wygięciem brzuśca (tabl. 1:17).

GTS 1B. Ceramika wykonana ze słabo wyrobionej masy ceramicznej z dość dużą ilością drobnej domieszki schudzającej – piasku, drobin startego granitu i miki. Grubość ścianki wynosi ok. 7–12 mm (średnio ok. 8–9 mm). Wypał jest utleniający, zapewne w dość niskiej temperaturze, gdyż ceramika szybko nasiąka wodą i staje się miękka. Kolor ścian jest pomarańczowy, brązowy i szary. Przełam zazwyczaj dwukolorowy, czasami trójbarwny – ze środkiem ciemniejszym od ścian. Powierzchnia zewnętrza jest chropowacona, a wewnętrzna lekko szorstka. Na niektórych fragmentach widoczne są ślady lepienia i zagładzania. Na powierzchni brzuśca nie zanotowano żadnych form zdobień, jest on obrzucony gliną z dużą ilością domieszki schudzającej. Na jednym fragmencie brzuśca zarejestrowano być może niewielki fragment doklejonej, ułożonej po łuku listwy (tabl. 2:9). Zbliżony motyw wystąpił na fragmencie ceramiki z Wysoczyzny Elbląskiej[5]. Częściej zdobienie występuje na krawędzi wylewu, gdzie zaobserwowano niewielkie regularne (co ok. 1 cm) wgłębienia wykonane za pomocą paznokcia lub opuszka palca (tabl. 2:2, 4, 8). Do tego rodzaju ceramiki zaliczono 159 fragmentów, co stanowi 55,8% wszystkich odnalezionych fragmentów pozwalających na określenie ich grupy technologiczno-surowcowej. W zbiorze tym zidentyfikowano jedynie dziewięć fragmentów wylewów. Na ich podstawie wydzielono dwa typy morfologiczne. Typ I to naczynia o wylewie prostym, lekko pochylonym do wnętrza. Występują one w odmianie z krawędzią wyobloną (tabl. 2:1), z pogrubioną i ściętą na płasko (tabl. 2:2) i z krawędzią pogrubioną i lekko wywiniętą na zewnątrz (tabl. 2:3–4). W naczyniach tego typu najczęściej występuje ornament odcisków palca na krawędzi wylewu. Typ II to naczynia o wylewie prostym, lekko wychylonym na zewnątrz. Występują one w odmianie z krawędzią wyobloną (tabl. 2:5–6) i z krawędzią lekko pogrubioną i lekko wywiniętą na zewnątrz (tabl. 2:7–8).

Analiza całego zespołu materiału ceramicznego pozwala go wiązać z kulturą kurhanów zachodniobałtyjskich, a w szczególności z Grupą I wg typologii Łucji Okulicz[6]. Bliskie analogie morfologiczne pochodzą z pobliskich stanowisk w Kretowinach, gm. Morąg,

[4] Naczynia o wylewach analogicznych do typów III–VI występują w obrębie Grupy I wg Ł. Okulicz 1970: 24–31.

[5] J. Okulicz 1973: 277, ryc. 123c.

[6] Ł. Okulicz 1970: 24–31.

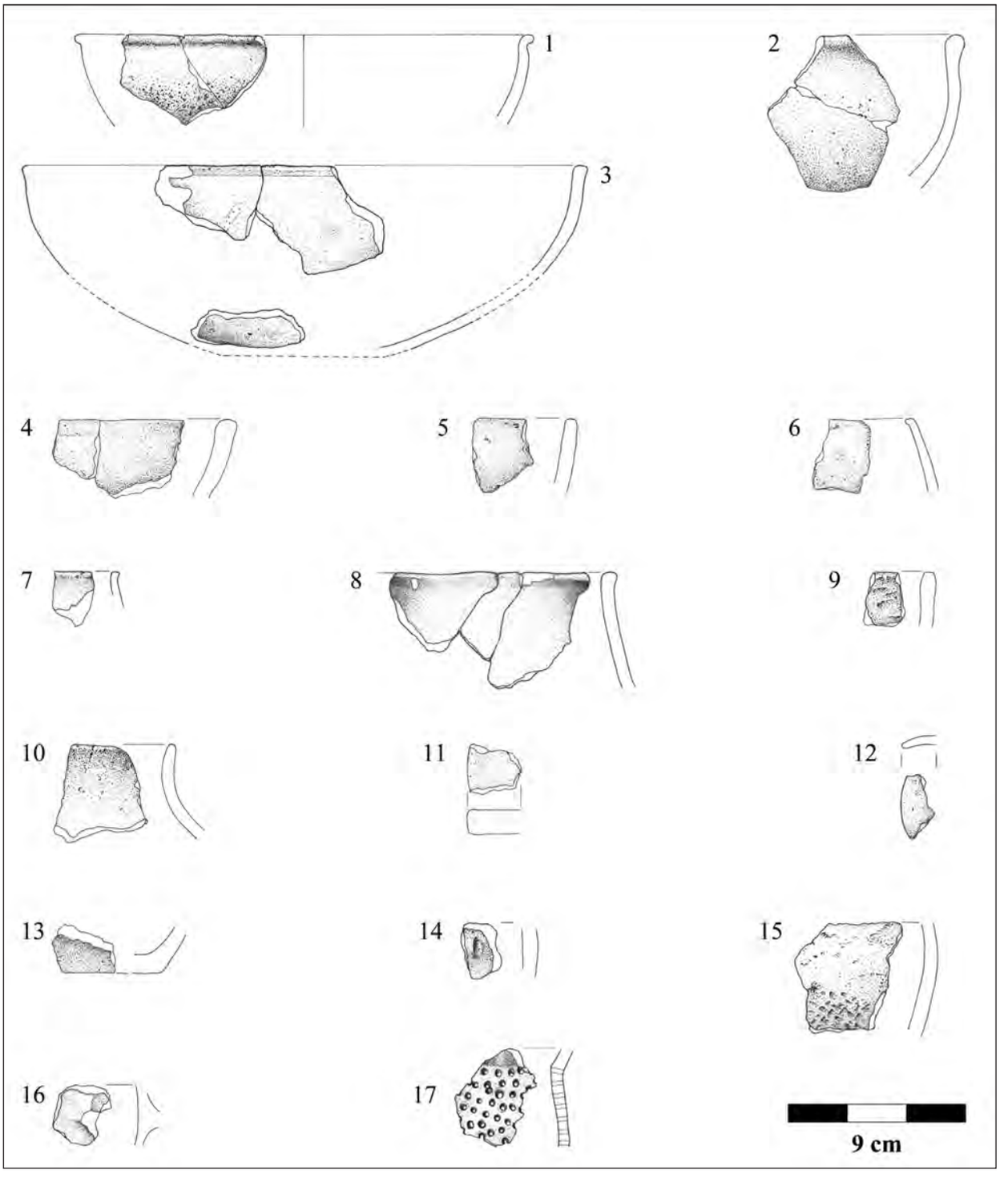

Tablica 1. Wybór fragmentów ceramiki z grodziska w Strużynie, st. 24 (rys. B. Karch)

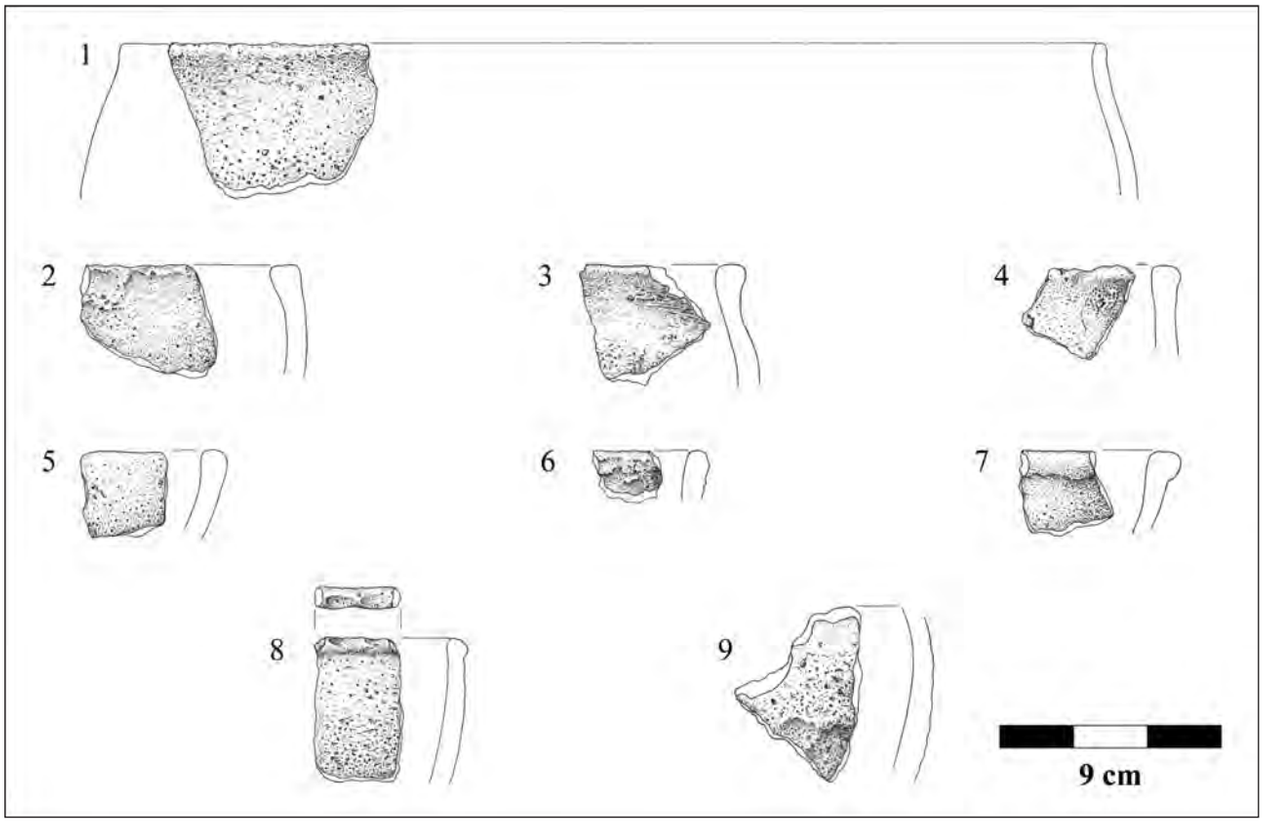

Tablica 2. Wybór fragmentów ceramiki z grodziska w Strużynie, st. 24 (rys. B. Karch)

pow. ostródzki i Starzykowie Małym, gm. Iława, pow. iławski[7].

Największe nagromadzenie ceramiki zanotowano w zagłębieniu przywałowym, w obrębie bruku 43 i w warstwach znajdujących się na nim (177 fragmentów, 54,9% całego zbioru). Nieco mniejszy zespół znaleziono w Fosie I (83 fragmenty, 25,8% całego zbioru), a pojedyncze fragmenty także w Fosach II (11 fragmentów, 3,4% całego zbioru) i III (5 fragmentów, 1,5% całego zbioru). Pomimo niewielkiego zakresu badań majdanu, odnaleziono tam stosunkowo liczny zespół ceramiki (33 fragmenty, 10,2% całego zbioru), co może potwierdzać, że grodzisko było zamieszkiwane.

SZCZĄTKI ROŚLINNE

MARIA LITYŃSKA-ZAJĄC I MAGDALENA MOSKAL-DEL HOYO

Materiały roślinne z grodziska w Strużynie, st. 24 pochodzą z 12 prób ziemi pobranych w trakcie eksploracji obiektów i warstw kulturowych datowanych na wczesną epokę żelaza[8]. Wśród szczątków roślin zielnych znaleziono pojedynczy ziarniak prosa zwyczajnego *Panicum miliaceum*, owoc rdestu plamistego *Polygonum persicaria* i nasiono przetacznika ożankowego *Veronica chamaedrys* (tab. 4). W wyniku analizy antrakologicznej oznaczono trzy gatunki (grab zwyczajny *Carpinus betulus*, leszczyna pospolita *Corylus avellana* i buk zwyczajny *Fagus sylvatica*) i sześć rodzajów (klon *Acer* sp., olsza *Alnus* sp., brzoza *Betula* sp., dąb *Quercus* sp., lipa *Tilia* sp. i wiąz *Ulmus* sp.) drzew i krzewów. Kilkanaście okazów należało do topoli lub wierzby (*Populus* sp. vel *Salix* sp.). Kilka fragmentów oznaczono tylko do poziomu rodziny (Betulaceae indet. i Maloideae indet.). Pewien procent szczątków spalonego drewna pozostał nieoznaczony. Nie oznaczono także jednego kawałka łodygi rośliny zielnej oraz okazów bardzo mocno przepalonych, występujących w postaci drobnych amorficznych „grudek". Oprócz spalonego drewna w badanym materiale zachowały się zwęglone owoce graba zwyczajnego i lipy. Oznaczono ponadto sklerocja grzyba czarniaka właściwego *Cenococcum geophilinum*.

[7] Antoniewicz 1964: 130–138.

[8] Opis metody badań: Lityńska-Zając i Moskal-del Hoyo 2016.

Na omawianym stanowisku obecny był, prawdopodobnie dzisiejszy, tylko jeden niespalony owoc graba zwyczajnego. Jedenaście ze szlamowanych prób nie zawierało żadnych pozostałości roślinnych.

CHRONOLOGIA STANOWISKA

RAFAŁ SOLECKI

Chronologię stanowiska można ustalić na podstawie analizy materiału ceramicznego, która wykazała że związany jest on z kulturą kurhanów zachodniobałtyjskich i reprezentuje Grupę I wg typologii Łucji Okulicz. Grupa ta ma wiele cech morfologicznych i zdobniczych wspólnych ze starszą kulturą łużycką i jej lokalną grupą mazursko-warmińską. Stąd też datowana była szeroko na okres halsztacki[9]. Informacją pozwalającą uściślić chronologię jest fakt, że w całym zbiorze 322 fragmentów zidentyfikowano jedynie cztery fragmenty wyodrębnionego dna. Może to oznaczać, że większość naczyń miała dna kuliste, które ze względu na silne rozdrobnienie materiału ceramicznego, mogą być uznane za brzuśce. Ta kulistość partii dennych jest charakterystyczna dla kultury kurhanów zachodniobałtyjskich[10]. Z kolei duża liczba fragmentów o powierzchni chropowaconej (144 fragmenty, 44,7%) i brak ornamentów kresek w układzie geometrycznym wykluczają młodsze fazy tej kultury. Toteż należy przyjąć, że grodzisko w Strużynie, st. 24 użytkowane było w okresie przejściowym pomiędzy kulturą łużycką (grupą warmińsko-mazurską) i kulturą kurhanów zachodniobałtyjskich oraz w początkach tej drugiej. Odpowiada to Fazie I i II wg typologii Ł. Okulicz, a w chronologii bezwzględnej okresowi od około początku VI w. p.n.e. do około połowy IV w. p.n.e. [11]. Na ten okres datowane są m.in. osiedla obronne w Maradkach, gm. Sorkwity, pow. mrągowski[12] i Łęczach, gm. Tolkmicko, pow. elbląski[13]. Powyższe datowanie potwierdzone jest wynikami datowania termoluminescencyjnego fragmentu ceramiki, które dało rezultat 820–340 r. p.n.e.[14] Natomiast datowanie

[9] Ł. Okulicz 1970: 30–31.

[10] J. Okulicz 1973: 271–272.

[11] Ł. Okulicz 1979: 181–186.

[12] Gąssowska i Okulicz 1975: 319–326.

[13] Antoniewicz 1964: 138–142.

[14] Kobyliński 2016: 107.

Tabela 4. Spalone i niespalone szczątki roślinne z grodziska w Strużynie, st. 24: z – ziarniak, o – owoc, n – nasiono, d – drewno, ło – łodyga, sc – sklerocja, ? – nieokreślony (oprac. M. Lityńska-Zając i M. Moskal-del Hoyo)

Nazwa taksonu	Chronologia	Wczesna epoka żelaza								Suma
	numer jednostki stratygraficznej	6	8	11	29	30	23	25	46	
	typ szczątka	szczątki spalone								
Panicum miliaceum	z			1						**1**
Polygonum persicaria	o								1	**1**
Veronica chamaedrys	n				1					**1**
Carpinus betulus	d	1			42	3	9	23	17	**95**
Carpinus betulus	o							6		**6**
Corylus avellana	d			3	5	21		9		**38**
Fagus sylvatica	d		2							**2**
Acer sp.	d		4							**4**
Alnus sp.	d			1						**1**
Betula sp.	d			5				3	1	**9**
Quercus sp.	d		5	39		15		5	14	**78**
Tilia sp.	d		1							**1**
Tilia sp.	o				10					**10**
Ulmus sp.	d								1	**1**
Populus sp. vel Salix sp.	d		13					5	3	**21**
Betulaceae indet.	d			1		1				**2**
Maloideae indet.	d							1		**1**
liściaste	d		3	2	1		1	1	4	**12**
nieoznaczony	?			3	1					**4**
nieoznaczony	d				1				3	**4**
nieoznaczony	ło				1					**1**
Suma		**1**	**28**	**66**	**101**	**40**	**10**	**99**	**44**	**293**
Cenococcum geophilinum	sc		50	10	20	28		20	20	**148**
szczątki niespalone										
Carpinus betulus	o		1							**1**

radiowęglowe próbki substancji organicznej przyniosło rezultat wskazujący na czasy średniowiecza, wskazując na jakąś formę aktywności ludzkiej na tym terenie w okresie znacznie późniejszym, niż wzniesienie i funkcjonowanie grodu z wczesnej epoki żelaza[15].

DZIEJE GRODZISKA W STRUŻYNIE, ST. 24

Badania archeologiczne potwierdziły, że stanowisko to jest grodziskiem o trzech liniach wałów i fos. Wały I i II wzniesione były w konstrukcji ziemnej. Ich szczyty zaopatrzone były zapewne w palisadę, za którą to przemawia występowanie dołów posłupowych – na Wale I jednego, ale za to o dużych rozmiarach, gdzie słup był dodatkowo stabilizowany za pomocą kamieni, na Wale II dwa doły średniej wielkości, w odległości około 1,8 m od siebie. Wał III mógł mieć konstrukcję drewniano-ziemną. Poniżej nasypów tego wału zarejestrowano dwa równoległe rowkowate pasy powielające bieg wału i sąsiedniej Fosy II. Mogą być one reliktem rozłożonych, ułożonych na płasko kłód. Współgrają z nimi dwa doły posłupowe oddalone od siebie o około 1,5 m, znajdujące się w pasie wyznaczonym przez te rowki, przy północnej krawędzi wału.

Sedymenty zarejestrowane w fosach wskazują na co najmniej dwa okresy użytkowania (Faza IIA i IIB). Nie jest jednak możliwe stwierdzenie, jaki czas dzieli oba te okresy. Największą grubość warstw erozyjnych zanotowano w Fosie III, gdzie dochodzi ona do 0,55 m. Takie rozmycie wału wymagałoby co najmniej kilkunastu lat w przypadku wału już skonsolidowanego. Jednakże w przypadku świeżego nasypu o źle wyprofilowanych stokach, mogłaby to być kwestia nawet jednego sezonu.

Grodzisko najpewniej było zasiedlone na stałe. Potwierdza to znaczna ilość materiału ceramicznego, który znaleziono zarówno na linii umocnień, jak i w wykopie i odwiertach na obszarze majdanu. W obrębie umocnień jednak materiał ten można rozdzielić pomiędzy dwa wydzielające się okresy (Faza IIA i IIB), podczas gdy na obszarze majdanu zarejestrowano tylko jeden horyzont osadniczy. Należy więc rozpatrzyć hipotezę, czy grodzisko nie zostało wzniesione początkowo (w Fazie I wg Ł. Okulicz), jako refugium, a dopiero wtórnie (w Fazie II wg Ł. Okulicz) je zasiedlono. Przemawia za tym obecność obiektu z Fazy IIB na granicy Wału I i Fosy I, który można wstępnie interpretować jako relikt domostwa. W takim przypadku Wał I i Fosa I nie spełniałyby już swoich funkcji obronnych. Właściwą ochronę miałyby pełnić Wał II, Fosa II, Wał III i Fosa III. Taka reorganizacja systemu obronnego może korespondować z sugestią Łucji Okulicz, że w Fazie II funkcjonowania kultury kurhanów zachodniobałtyjskich zwiększa się liczba osiedli obronnych przy ogólnej ekspansji tej kultury[16].

[15] Kobyliński 2016: 108.

[16] Ł. Okulicz 1979: 186.

Tątławki, st. 2

Gmina Morąg
Powiat ostródzki
AZP 22-57/21
Współrzędne geograficzne:
N 53° 52’ 53,1’’
E 20° 4’ 19,1’’

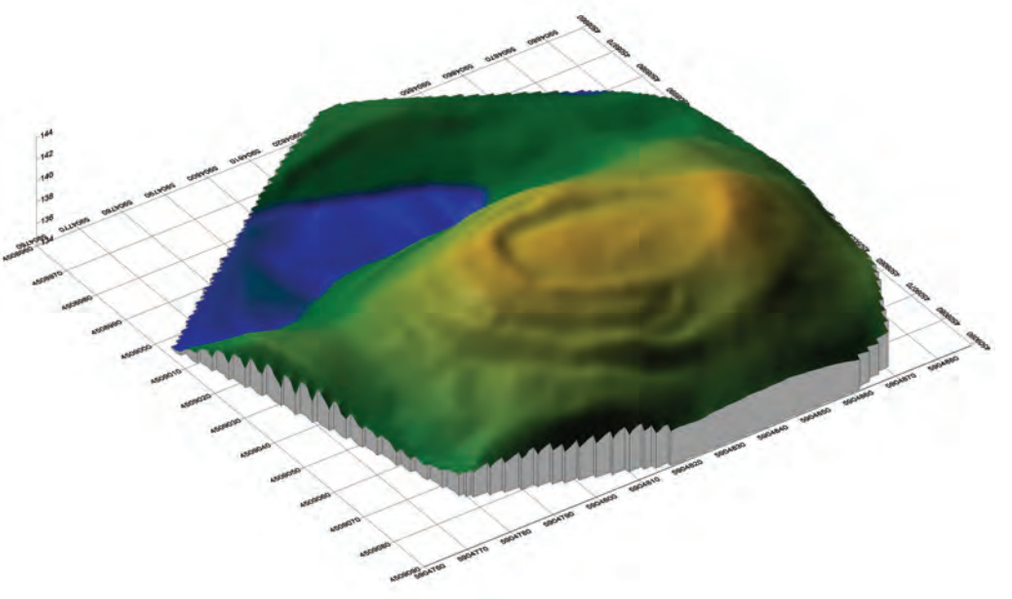

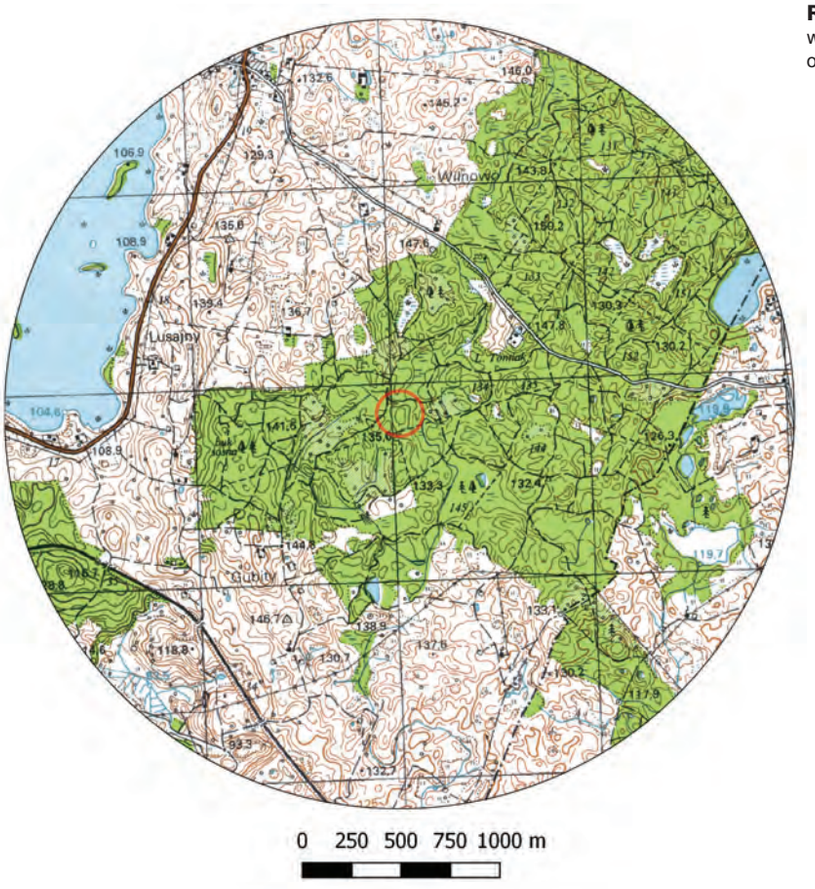

Ryc. 1. Grodzisko w Tątławkach, st. 2 na mapie w skali 1:25 000 (na podstawie materiałów CODGiK, oprac. R. Solecki)

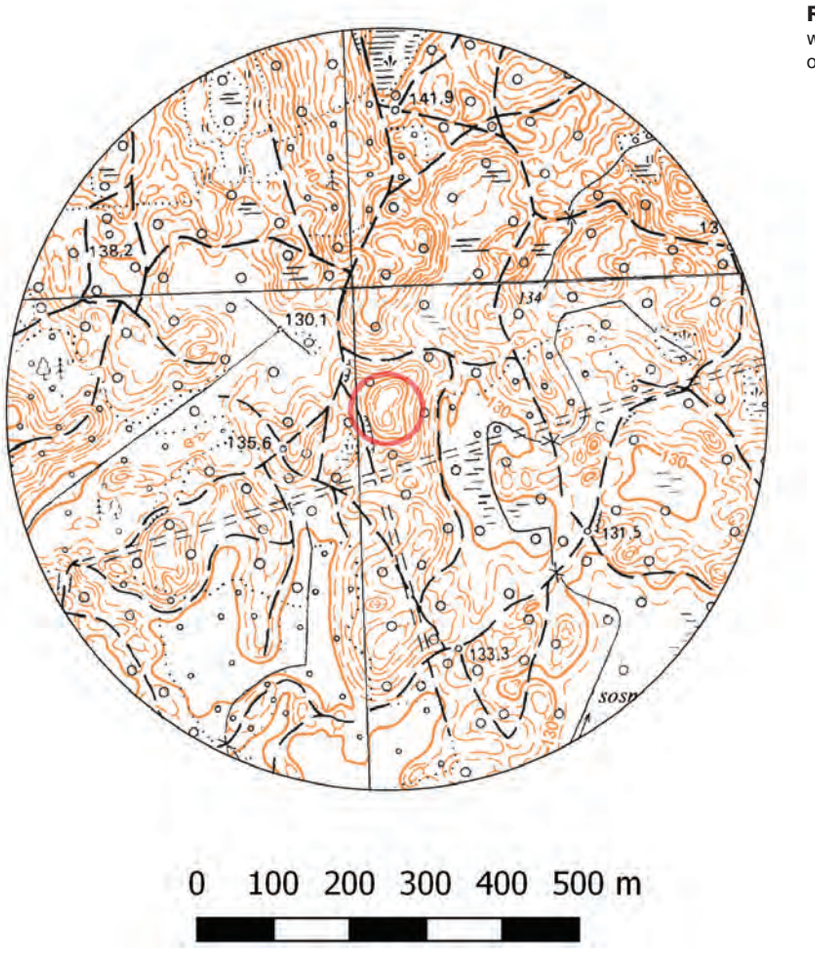

Ryc. 2. Grodzisko w Tątławkach, st. 2 na mapie w skali 1:10 000 (na podstawie materiałów CODGiK, oprac. R. Solecki)

POŁOŻENIE GRODZISKA I JEGO FORMA

RAFAŁ SOLECKI I JACEK WYSOCKI

Grodzisko w Tątławkach, st. 2 znajduje się na obszarze leśnym w obrębie leśnictwa Tomlak (*Tomlacker Wald*) w pobliżu wsi Gubity (*Gubitten*) i Wilnowo (*Willnau*) (ryc. 1–2). Zajmuje ono średniej wielkości, lekko wydłużone wyniesienie o wymiarach ok. 100 x 140 m. Cechy świadczące o jego zabytkowym charakterze są słabo czytelne. Możliwe jest zaobserwowanie do czterech linii wałów i tyluż samo fos (cztery w części południowej i południowo-zachodniej; od wschodu i północy widoczne są trzy linie), otaczających owalny w planie majdan o wymiarach około 25 x 40 m i usytuowanych na stoku grodziska (ryc. 3–6). Obwód Wału majdanu wynosi około 127 m, a obwód Wału II wynosi około 208 metrów. Skrajne wysokości majdanu oraz kolejnych wałów i fos na obecnej powierzchni stanowiska mierzone wzdłuż ściany wschodniej wykopu archeologicznego mają następujące wartości:

- Majdan – 143,9 m n.p.m.
- Zagłębienie przywałowe – 143,4 m n.p.m.
- Wał majdanu – 143,9 m n.p.m.
- Fosa I – 143,5 m n.p.m.
- Wał I – 143,3 m n.p.m.
- Fosa II – 142,1 m n.p.m.
- Wał II – 141,9 m n.p.m.
- Fosa III – 140,2 m n.p.m.
- Wał III – 140,0 m n.p.m.
- Fosa IV – 138,4 m n.p.m.

Ryc. 3. Widok grodziska w Tątławkach, st. 2 od zachodu (fot. J. Wysocki)

Ryc. 4. Widok stoku grodziska w Tątławkach, st. 2 od południa (fot. J. Wysocki)

Ryc. 5. Widok na zagłębienie przywałowe i wał majdanu grodziska w Tątławkach, st. 2 (fot. J. Wysocki)

Ryc. 6. Widok na zagłębienie przywałowe i wał majdanu grodziska w Tątławkach, st. 2 (fot. J. Wysocki)

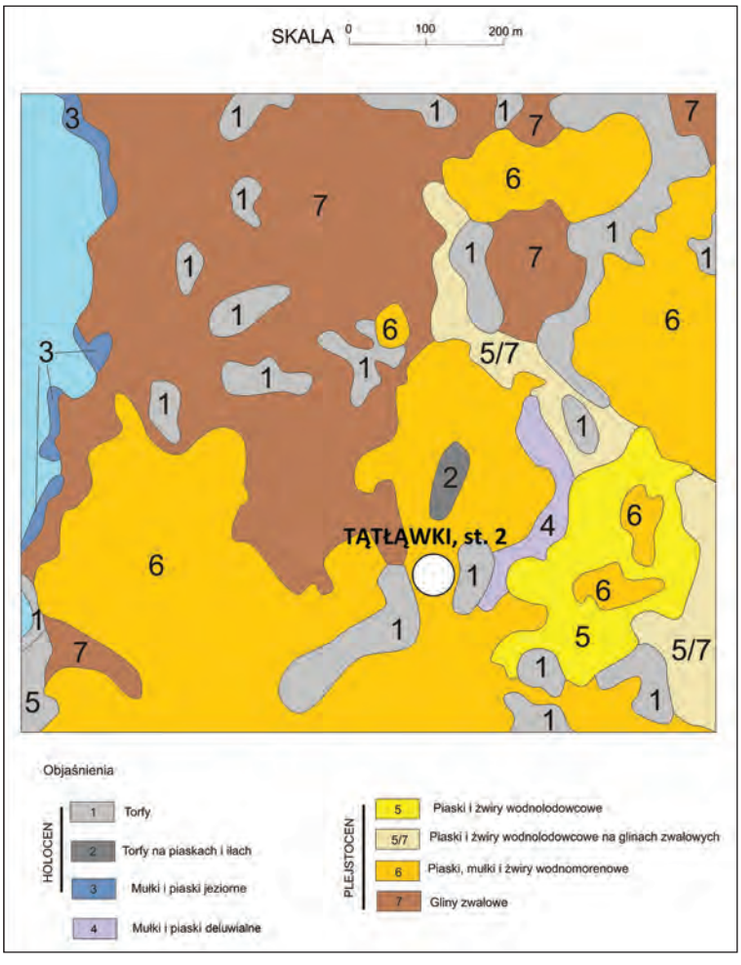

Ryc. 7. Mapa geologiczna okolic grodziska w Tątławkach, st. 2 (oprac. J. Nitychoruk i F. Welc)

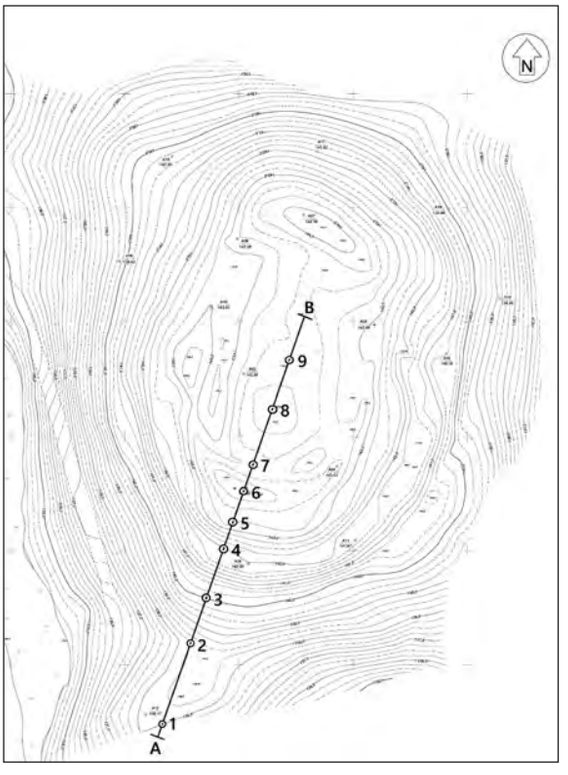

Ryc. 8. Plan grodziska w Tątławkach, st. 2 (wyk. J. Błaszczyk) z lokalizacją odwiertów geologicznych (oprac. J. Nitychoruk i F. Welc)

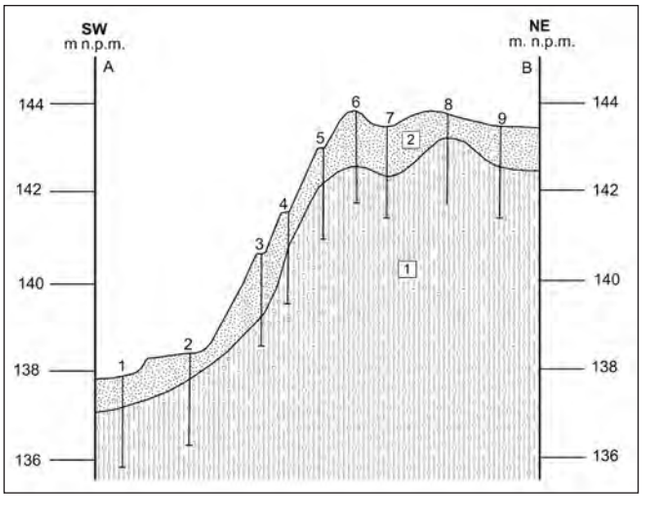

Ryc. 9. Profil geologiczny grodziska w Tątławkach, st. 2 po osi A–B. 1 – glina zwałowa, 2 – warstwy antropogeniczne (oprac. J. Nitychoruk i F. Welc)

ŚRODOWISKO FIZYCZNO-GEOGRAFICZNE

JERZY NITYCHORUK I FABIAN WELC

Trzon wyniesienia, na którym znajduje się grodzisko, tworzą zwarte, twarde lekko piaszczyste gliny z lokalnymi soczewkami sypkiego piasku. W północnej części wyniesienia zaznacza się w morfologii tylko jeden wał, natomiast w części południowej aż cztery niewielkie formy wałów, słabo czytelne w terenie, podobne do tarasów. Ta asymetria jest ciekawa i dosyć niejasna, gdyż zarówno w części N jak i S nachylenie zboczy pagórka jest podobne, czyli można wnioskować o innym niż obronne charakterze wałów. Po wschodniej i południowo-zachodniej stronie wyniesienia znajdują się mokradła, które w przeszłości mogły być wypełnione wodą. Średni poziom terenu w obrębie mokradła wynosi około 130 m n.p.m.

Według *Szczegółowej mapy geologicznej Polski w skali 1:50 000 arkusz Łukta*[1], okolice grodziska w Tątławkach, st. 2 są urozmaicone pagórkami i obniżeniami stanowiąc typowy obszar poglacjalny.

[1] Jurys i Woźniak 2009.

Ryc. 10. Plan grodziska w Tątławkach, st. 2 wykonany przez Carla Engla w 1930 r. (archiwum Prussia-Museum)

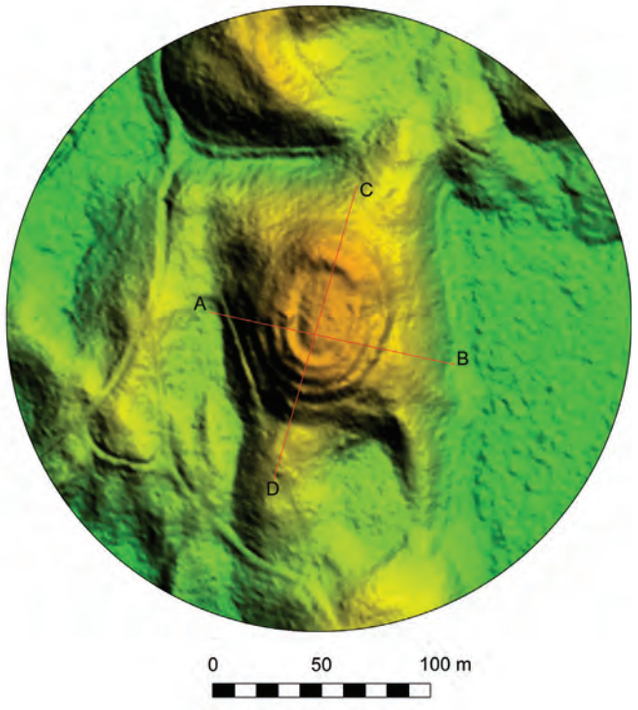

Ryc. 11. Grodzisko w Tątławkach, st. 2 na zobrazowaniu ALS (na podstawie materiałów CODGiK, oprac. R. Solecki)

Okolice stanowiska zbudowane są z osadów morenowych i glin zwałowych oraz porośnięte lasem, co wskazuje na słabą jakość gleb, głównie płowych. Niewielkie obniżenia w tej urozmaiconej, poglacjalnej rzeźbie, wypełnione osadami organicznymi są miejscem gdzie wykształciły się gleby bagienne (ryc. 7)

W grodzisku wykonano 11 wierceń o głębokości do 2 m. Na podstawie dziewięciu wierceń sporządzono przekrój A–B o przebiegu zbliżonym do kierunku północ–południe. Przekrój przeprowadzono przez południową część stanowiska, gdyż ma ona bardziej urozmaiconą morfologię (ryc. 8–9).

W wyniku przeprowadzonych wierceń można stwierdzić, że w strefie przypowierzchniowej wewnętrznego wału okalającego obiekt (W–6) występuje do głębokości 1 m piasek lekko zaglinion y, brązowy, następnie od 1 do 1,3 m piasek lekko pylasty barwy brązowo-żółtej, a od 1,3 do 1,7 m glina piaszczysta barwy brązowej, którą podściela do głębokości 2 m piasek z mułkiem, żółto-brązowy. W obrębie tarasów nawiercono w wierceniach W–3 i W–4 do głębokości 0,5 m piasek gliniasty z grudkami innych osadów i drobnymi śladami węgli drzewnych. Od głębokości 1,5 i 1,7 m występuje tu glina zwałowa. Między 0,5 a 1,5 m głębokości w obu wierceniach stwierdzono piaski lub żwiry oraz leżące poniżej piaski gliniaste. Trudno jest stwierdzić, czy osady te noszą ślady przemieszczeń, wydaje się, że

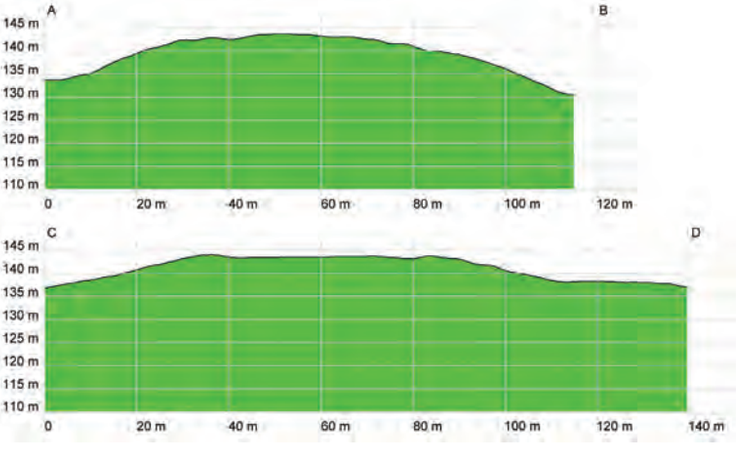

Ryc. 12. Przekroje grodziska w Tątławkach, st. 2 po dwóch liniach uzyskane z danych ALS (na podstawie materiałów CODGiK, oprac. R. Solecki)

charakter form tarasowych, w których występują, wyklucza głęboką penetrację. W obrębie majdanu sytuacja geologiczna jest podobna. W wierceniu W–9 stwierdzono do głębokości 0,9 m piaski i mułki, brązowo-szare, a niżej (do głębokości 1,3 m) glinę piaszczystą i piaski gliniaste do głębokości 2 m. W wierceniu W–8 piasek z mułkiem występuje do głębokości 1 m. Brak jest w tych osadach śladów działań człowieka.

BADANIA ARCHEOLOGICZNE

RAFAŁ SOLECKI I JACEK WYSOCKI

Przebieg badań terenowych

Grodzisko w Tątławkach znane było badaczom niemieckim pod nazwą miejscową Wilnowo (*Willnau*)[2]. Miało ono wówczas nosić miejscową nazwę „Góry Zamkowej". W archiwum dawnego Prussia Museum w Królewcu[3] znajduje się notatka na temat tego grodziska sporządzona w 1911 lub 1912 r. oraz zaskakująco dokładny szkic terenowy sporządzony w r. 1930 przez Carla Engla (ryc. 10).

Po wojnie miejsce położenia tego grodziska nie było jednak zlokalizowane, mimo intensywnych poszukiwań terenowych. Dopiero w roku 2014 Zbigniew Kobyliński i Jacek Wysocki zidentyfikowali grodzisko ponownie na zobrazowaniu ALS (ryc. 11–12).

Przystępując do badań terenowych w roku 2014 zdecydowano się na wykonanie długiego przekroju przez linie fortyfikacji po osi północ–południe na długości 52 m. Początek wykopu, o szerokości 1–2 m, znajdował się mniej więcej na środku majdanu, a koniec poza ostatnią widoczną w terenie fosą na południe od majdanu. Ogółem przebadano 85 m^2 powierzchni grodziska (ryc. 13).

[2] Crome 1940: 141.

[3] SMB-PK sygn. PM-A 558/1.

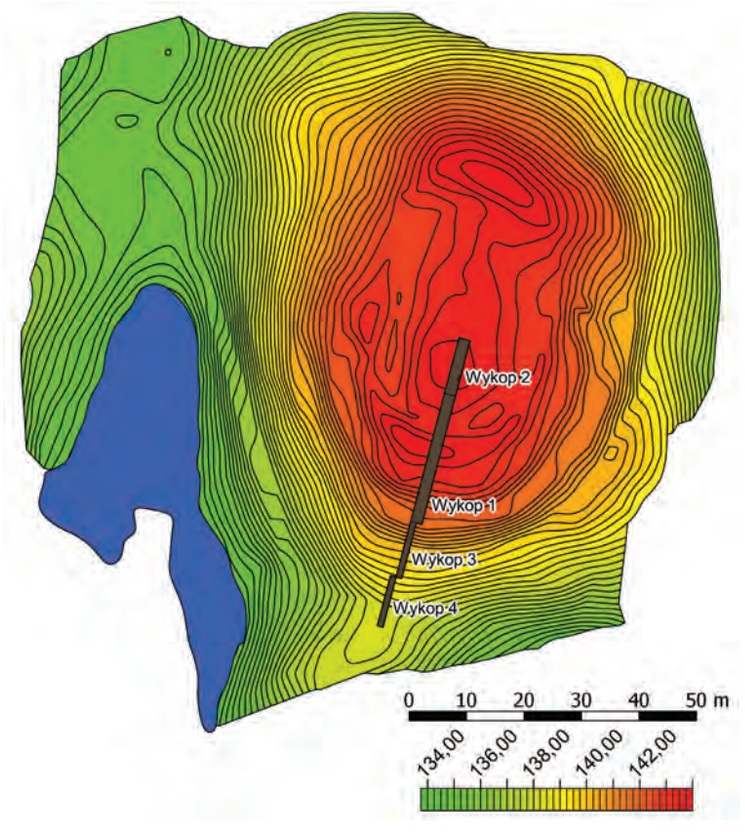

Ryc. 13. Plan warstwicowy grodziska w Tątławkach, st. 2 z zaznaczonymi wykopami badawczymi z sezonu 2014 (na podstawie pomiarów J. Błaszczyka, oprac. R. Solecki)

Stratygrafia stanowiska

W trakcie badań archeologicznych wydzielono łącznie 72 jednostki stratygraficzne, które podzielono na cztery główne fazy związane z użytkowaniem tego obszaru (tab. 1 i ryc. 14).

Warstwy naturalne

Naturalne podłoże działalności antropogenicznej stanowiła lekko piaszczysta glina 63 z lokalnymi soczewkami sypkiego piasku. Na jej powierzchni widoczne są rude, żelaziste wytrącenia w postaci żył lub plam. Poziom humusu pierwotnego zaobserwowano w zasadzie tylko poniżej nasypów wałów. Na majdanie i pod Wałem majdanu jest to piaszczysta ziemia 41, poniżej Wału II jest to piaszczysta ziemia z pojedynczymi drobinami węgielków 64, a na odcinku między Wałem II a Fosą IV jest to piaszczysta ziemia 69. Strop tych warstw jest silnie naruszony przez młodsze niwelacje. Podczas ich eksploracji natrafiano na pojedyncze węgielki drzewne lub też pojedyncze fragmenty ceramiki będące intruzjami, które dostały się w obręb tych warstw podczas prac ziemnych związanych z budową wałów.

Faza I

Faza I związana jest z budową umocnień – wałów i fos. Wał majdanu ma u podstawy ok. 4,2 m szerokości, a jego zachowana wysokość dochodzi do 0,5 m. Najwyższy punkt tego wału osiąga poziom 143,72 m n.p.m. Wał wyznaczony był dwiema równoległymi liniami kamieni o średnicy do 0,4 m, ułożonymi bezpośrednio na humusie pierwotnym. Przestrzeń pomiędzy nimi wypełniono piaskiem z drobnymi węgielkami 40. Na kulminacji wystąpił zespół jedenastu dołów posłupowych (tab. 2; ryc. 15).

Doły posłupowe 27, 29, 31, 33 i 35 tworzą jedną linię powielającą oś wału w części bliżej majdanu. Odległości pomiędzy środkami kolejnych słupów wynoszą około 0,4–0,6 m. Doły posłupowe 15, 17, 19, 21, 23 i 25 znajdują się około 1–1,5 m na południe od wspomnianej linii i tworzą skupisko na obszarze o średnicy około 1,2 m.

Wał I ma u podstawy ok. 3,8 m szerokości, a zachowana wysokość dochodzi do 0,4 m. Najwyższy jego punkt osiąga poziom 143,11 m n.p.m. Nasyp tworzy ilasty piasek z pojedynczymi kamieniami i pojedynczymi węgielkami 50. Wał II ma u podstawy ok. 2,7 m szerokości, a zachowana wysokość docho-

dzi do 0,4 m. Najwyższy jego punkt osiąga poziom 141,87 m n.p.m. Nasyp tworzy gliniasty piasek 8. Wydaje się, że równocześnie z sypaniem tego wału wyprofilowano także jego stok od strony Fosy III oraz przestrzeń między Fosą III i Fosą IV, łącznie z Wałem III. Warstwą niwelacyjną kształtującą powierzchnię tego obszaru jest zbity, ilasty piasek 56. W takim przypadku nie jest możliwe jednoznaczne stwierdzenie, jaką szerokość miał Wał IV, a jedynie można określić, że jego najwyższy punkt osiąga poziom 140,07 m n.p.m.

Przestrzeń pomiędzy wałami tworzy fosy. Fosa I (53) ma szerokość ok. 2,7 m, a jej najniższy punkt znajduje się na poziomie 142,74 m n.p.m. Różnica wysokości pomiędzy dnem fosy, a szczytem Wału majdanu po osi ściany zachodniej wykopu wynosi ok. 0,9 m. Różnica wysokości pomiędzy dnem fosy, a szczytem Wału I po tej samej osi wynosi ok. 0,4 m. Fosa II (71) ma szerokość ok. 2,2 m, a najniższy jej punkt znajduje się na poziomie 141,34 m n.p.m. Różnica wysokości pomiędzy dnem fosy, a szczytem Wału I po osi ściany zachodniej wykopu wynosi ok. 1,8 m. Różnica wysokości pomiędzy dnem fosy, a szczytem Wału II po tej samej osi wynosi ok. 0,55 m. Fosa III (57), ma szerokość ok. 1,6 m, a najniższy jej punkt znajduje się na poziomie 139,65 m n.p.m. Różnica wysokości pomiędzy dnem fosy, a szczytem Wału II po osi ściany zachodniej wykopu wynosi ok. 2,15 m. Różnica wysokości pomiędzy dnem fosy, a szczytem Wału III po tej samej osi wynosi ok. 0,4 m. Fosa IV (58) ma szerokość ok. 3 m, a jej najniższy punkt znajduje się na poziomie 137,9 m n.p.m. Różnica wysokości pomiędzy dnem fosy, a szczytem Wału III po osi ściany zachodniej wykopu wynosi ok. 2,2 m.

W tym samym okresie zapewne także wyprofilowano zagłębienie przywałowe. Jego szerokość ma ok. 3,4 m, a najniższy jego punkt znajduje się na poziomie 142,79 m n.p.m. Różnica wysokości pomiędzy dnem zagłębienia, a szczytem Wału majdanu po osi ściany zachodniej wykopu wynosi ok. 0,9 m.

Faza IIA i IIB

Kolejna faza dziejów stanowiska to okres funkcjonowania grodziska. Jednostki stratygraficzne związane z tą fazą manifestują się głównie w warstwach będących wypełniskami fos i zagłębienia przywałowego. Jeden obiekt zanotowano także na obszarze majdanu. W obrębie tej fazy możliwe jest wydzielenie młodszego podokresu, który należy do tego samego horyzontu chronologicznego. Widoczny jest on na stoku grodziska w postaci warstw erozyjnych, które powstały w trakcie jego użytkowania.

Faza IIA w obrębie fos reprezentowana jest przez następujące jednostki, będące poziomami użytkowymi w obrębie tych obiektów (ryc. 16–21): w Fosie I przez piaszczystą ziemię 46; w Fosie II przez lekko piaszczystą glinę z domieszką węgli drzewnych 72 i piaszczysto-gliniastą ziemię 70; w Fosie III przez piaszczystą, mocno zbitą ziemię 61; w Fosie IV przez lekko ziemisty piasek 62.

Na obszarze pomiędzy Fosą III i Fosą IV, tuż poniżej kulminacji Wału III natrafiono na dół posłupowy 51. Jest on owalny w planie, nieckowaty w profilu, średnica dochodzi do 50 cm, a głębokość do 20 cm. Nie można wykluczyć, że jest to relikt palisady.

W zagłębieniu przywałowym z okresem tym związany jest bruk 67 z kamieni o średnicy 5–15 cm, który jest przykryty przez dwie frakcje piaszczystej ziemi (66 i 68) z dużą domieszką kamieni średnicy 5–15 cm.

Na obszarze majdanu, w odległości około 4 m od zagłębienia przywałowego natrafiono na niezbyt liczne skupisko kamieni (4), o średnicy do 30 cm, zajmujące obszar o średnicy ok. 2,3 m. Wewnątrz tego skupiska znajdował się owalny w planie, nieckowaty w przekroju wkop 44. Wypełniskiem tego obiektu jest piaszczysta ziemia 45 z drobinami węgielków.

Faza IIB, czytelna na stokach grodziska, reprezentowana jest przez następujące jednostki będące warstwami erozyjnymi: w obrębie Fosy II jest to lekko ziemisty piasek 55; w obrębie Fosy III jest to zgliniony piasek 54; w obrębie Fosy IV jest to lekko zgliniony piasek 49. Ponad warstwą 55 w obrębie Fosy II zalega lekko gliniasta ziemia 65, która jest poziomem użytkowym, zapewne kontynuacją poziomu użytkowego w postaci warstwy 70 z Fazy IIA.

Faza III

Faza ta, to poziom powstały w wyniku erozji struktur ziemnych grodziska, w okresie po jego opuszczeniu. Warstwa ta (3) złożona jest z ilastego piasku z pojedynczymi drobinami węgielków i pojedynczymi kamieniami.

Faza IV

Ostatnia faza to warstwy o współczesnej chronologii. Układ horyzontalny mają lekko piaszczysta ziemia 2 oraz zalegająca ponad nią ziemia poprzerastana korzeniami 1, będąca współczesnym humusem leśnym.

Na stropie warstwy 2 lub pod nią wydzielono serię pięciu obiektów będących zapewne reliktami po korzeniach uschniętych już drzew. Są to odpowiednio obiekty: 5 (z wypełniskiem 6), 13 (z wypełniskiem 14), 37 (z wypełniskiem 38), 42 (z wypełniskiem 43) i 60 (z wypełniskiem 59).

Tabela 1. Tątławki, st. 2. Badania w roku 2014. Katalog warstw i obiektów oraz ich zależności stratygraficznych (oprac. R. Solecki)

Numer jednostki	Numer obiektu	Położenie w obrębie stanowiska	Współrzędne siatki pomiarowej stanowiska	Opis jednostki stratygraficznej	Barwa (Munsell)	Pozycja stratygraficzna	
						Znajduje się pod	Znajduje się nad
1	-	Całe stanowisko	X=29–32; Y=–30–82	Ziemia poprzerastana korzeniami; miąższość do 10 cm; współczesny humus leśny	10YR 3/2	-	2
2	-	Całe stanowisko	X=29–32; Y=–30–82	Lekko piaszczysta ziemia; miąższość do 20 cm; współczesny humus leśny	10YR 5/2	1	3
3	-	Obszar od majdanu do Fosy II	X=30–32; Y=–30–62,80	Ilasty piasek z pojedynczymi drobinami wegielkow i pojedynczymi kamieniami; miąższość do 30 cm; warstwa erozyjna narosła po opuszczeniu stanowiska	10YR 6/6	2	63
4	-	Obszar majdanu	X=30–32; Y=–40–42,80	Niezbyt liczne skupisko kamieni		3	45
5	5	Obszar majdanu	X=31,50–32; Y=–44,10–45	Zerodowany korzeń	10YR 5/2	6	2
6	5	Obszar majdanu	X=31,50–32; Y=–44,10–45	Zerodowany korzeń	10YR 5/2	1	5
8	-	Wał II	X=30–32; Y=–61,60–64,50	Gliniasty piasek; miąższość do 40 cm; nasyp Wału II	10YR 5/6	56, 71	63, 64
13	13	Obszar majdanu	X=30–30,50; Y=–30,30–32,40	Obiekt, nieregularnie owalny w planie; śr. do 210 cm, gł. do 40 cm; prawdopodobnie ślad po korzeniu		14	3
14	13	Obszar majdanu	X=30–30,50; Y=–30,30–32,40	Piaszczysta ziemia z grudkami gliny; wypełnisko obiektu 13	10YR 4/2	2	13
15	15	Wał majdanu	X=31,20–31,80; Y=–51,30–51,80	Dół posłupowy; kolisty w planie, U-kształtny w przekroju; śr. do 25 cm, gł. 20 cm		16	40
16	15	Wał majdanu	X=31,20–31,80; Y=–51,30–51,80	Ziemisty piasek; wypełnisko obiektu 15	10YR 7/4	3	15
17	17	Wał majdanu	X=30,80–31,20; Y=–51,80–52,10	Dół posłupowy; owalny w planie, U-kształtny w przekroju; śr. do 20 cm, gł. 20 cm		18	40
18	17	Wał majdanu	X=30,80–31,20; Y=–51,80–52,10	Ziemisty piasek; wypełnisko obiektu 17	10YR 7/3	3	17
19	19	Wał majdanu	X=31,20–31,80; Y=–51,30–51,80	Dół posłupowy; kolisty w planie, U-kształtny w przekroju; śr. do 15 cm, gł. 15 cm		20	40
20	19	Wał majdanu	X=31,20–31,80; Y=–51,30–51,80	Piaszczysta ziemia; wypełnisko obiektu 19	10YR 6/3	3	19
21	21	Wał majdanu	X=31,20–31,80; Y=–51,30–51,80	Dół posłupowy; owalny w planie, nieckowaty w przekroju; śr. do 20 cm, gł. 10 cm		22	40
22	21	Wał majdanu	X=31,20–31,80; Y=–51,30–51,80	Piaszczysta ziemia; wypełnisko obiektu 21	10YR 7/4	3	21
23	23	Wał majdanu	X=31–31,40; Y=–49,80–50,30	Dół posłupowy; owalny w planie, U-kształtny w przekroju; śr. do 25 cm, gł. 20 cm		24	40
24	23	Wał majdanu	X=31–31,40; Y=–49,80–50,30	Piasek; wypełnisko obiektu 23	10YR 7/4	3	23
25	25	Wał majdanu	X=30,40–30,90; Y=–50,50–50,90	Dół posłupowy; owalny w planie, U-kształtny w przekroju; śr. do 20 cm, gł. 15 cm		26	40
26	25	Wał majdanu	X=30,40–30,90; Y=–50,50–50,90	Piasek; wypełnisko obiektu 25	10YR 6/3	3	25
27	27	Wał majdanu	X=30–30,50; Y=–48,10–49,30	Dół posłupowy; owalny w planie, U-kształtny w przekroju; śr. do 30 cm, gł. 20 cm		28	40
28	27	Wał majdanu	X=30–30,50; Y=–48,10–49,30	Ziemisty piasek; wypełnisko obiektu 27	10YR 6/3	3	27
29	29	Wał majdanu	X=30,80–31,20; Y=–49–49,40	Dół posłupowy; owalny w w planie, nieckowaty w przekroju; śr. do 20 cm, gł. 15 cm		30	40
30	29	Wał majdanu	X=30,80–31,20; Y=–49–49,40	Ziemisty piasek; wypełnisko obiektu 29	10YR 6/3	3	29
31	31	Wał majdanu	X=30,30–30,60; Y=–49–49,40	Dół posłupowy; owalny w w planie, U-kształtny w przekroju; śr. do 15 cm, gł. 15 cm		32	40
32	31	Wał majdanu	X=30,30–30,60; Y=–49–49,40	Ziemisty piasek; wypełnisko obiektu 31	10YR 6/3	3	31
33	33	Wał majdanu	X=31,50–32; Y=–48,70–49,20	Dół posłupowy; owalny w w planie, prostokątny w przekroju; śr. do 35 cm, gł. 15 cm		34	40
34	33	Wał majdanu	X=31,50–32; Y=–48,70–49,20	Ziemisty piasek; wypełnisko obiektu 33	10YR 6/3	3	33
35	35	Wał majdanu	X=31,20–31,70; Y=–49–49,40	Dół posłupowy; owalny w w planie, nieckowaty w przekroju; śr. do 30 cm, gł. 20 cm		36	40
36	35	Wał majdanu	X=31,20–31,70; Y=–49–49,40	Ziemisty piasek; wypełnisko obiektu 35	10YR 6/3	3	35
37	37	Obszar majdanu	X=30–30,50; Y=–38,70–39,50	Nieregularnie owalna jama, śr. do 70 cm, gł. do 20 cm; prawdopodobnie ślad po korzeniu		38	3
38	37	Obszar majdanu	X=30–30,50; Y=–38,70–39,50	Ziemisty piasek poprzerastany korzeniami; wypełnisko obiektu 37	10YR 6/1	2	37
40	-	Wał majdanu	X=30–32; Y=–47,30–52	Piasek z drobnymi węgielkami; miąższość do 50 cm; nasyp Wału majdanu	10YR 7/8	3, 33, 53, 68	41

Tabela 1. Ciąg dalszy

Numer jednostki	Numer obiektu	Położenie w obrębie stanowiska	Współrzędne siatki pomiarowej stanowiska	Opis jednostki stratygraficznej	Barwa (Munsell)	Pozycja stratygraficzna	
						Znajduje się pod	Znajduje się nad
41	-	Obszar majdanu i wał majdanu	X=30–32; Y=–39,10–52,10	Piaszczysta ziemia; miąższość do 20 cm; humus pierwotny	10YR 5/4	3, 40	63
42	42	Obszar majdanu	X=31,50–32; Y=–35,40–37,30	Zerodowany korzeń		43	2
43	42	Obszar majdanu	X=31,50–32; Y=–35,40–37,30	Zerodowany korzeń	10YR 4/1	1	42
44	44	Obszar majdanu	X=10–12; Y=39,40–45,80	Wkop, owalny w planie, nieckowaty w przekroju; śr. 60–110 cm, gł. do 20 cm; wkop o nieokreślonej funkcji	10YR 7/2	4	45
45	44	Obszar majdanu	X=11,40–12; Y=48,30–49,40	Piaszczysta ziemia z drobinami węgielków; wypełnisko obiektu 45	2,5Y 4/4	44	63
46	53	Fosa I	X=30–32; Y=–51,60–54,40	Piaszczysta ziemia; wypełnisko Fosy I	10YR 5/6	3	53
49	-	Obszar pomiędzy Fosą III a Fosą IV	X=29–30; Y=–76–79,60	Lekko zgliniony piasek; miąższość do 15 cm; warstwa erozyjna	10YR 6/6	2	56, 62
50	-	Wał I	X=30–32; Y=–53,20–57,20	Ilasty piasek z pojedynczymi kamieniami i pojedynczymi węgielkami; miąższość do 40 cm; nasyp Wału I	10YR 7/8	53, 55	63
51	51	Obszar pomiędzy Fosą III a Fosą IV	X=30–30,50; Y=–71,50–72,20	Dół posłupowy; owalny w planie, nieckowaty w przekroju; śr. do 50 cm, gł. 20 cm		52	56
52	51	Obszar pomiędzy Fosą III a Fosą IV	X=30–30,50; Y=–71,50–72,20	Piaszczysta ziemia; wypełnisko obiektu 51	10YR 6/1	2	51
53	53	Fosa I	X=30–32; Y=–51,60–54,40	Nieckowaty rów; szer. do 270 cm, gł. do 50 cm; Fosa I		46	40, 50
54	-	Obszar pomiędzy Wałem II, a Fosą III	X=30–31; Y=–65,90–68,90	Zgliniony piasek; miąższość do 25 cm; warstwa erozyjna	10YR 6/6	2	56, 61
55	-	Obszar między Wałem I i Fosą II	X=30–32; Y=–57,50–62,70	Lekko ziemisty piasek; miąższość do 30 cm; warstwa erozyjna	10YR 7/6	3, 65	50,7
56	-	Obszar pomiędzy Wałem II, a podnóżem grodziska	X=29–31; Y=–63,90–82	Zbity, ilasty piasek; miąższość do 25 cm; niwelacja formująca skłon stoku grodziska	10YR 7/4	2, 49, 54, 57, 58	69
57	57	Fosa III	X=30–31; Y=–67,50–69,30	Nieckowaty, nieregularny rów; szer. do 160 cm, gł. do 30 cm; Fosa III		61	56
58	58	Fosa IV	X=29–30; Y=–77,60–80,70	Nieckowaty rów; szer. do 300 cm, gł. do 35 cm; Fosa IV		62	56
59	60	Obszar majdanu	X=30,50–31; Y=–35,20–35,60	Ziemisty piasek; wypełnisko obiektu 60	10YR 5/2	2	60
60	60	Obszar majdanu	X=30,50–31; Y=–35,20–35,60	Nieregularnie owalna jama, śr. do 50 cm, gł. do 30 cm; prawdopodobnie ślad po korzeniu		59	3
61	57	Fosa III	X=30–31; Y=–67,50–69,30	Piaszczysta, mocno zbita ziemia; wypełnisko Fosy III	10YR 6/3	54	57
62	58	Fosa IV	X=29–30; Y=–77,60–80,70	Lekko ziemisty piasek; wypełnisko Fosy IV	10YR 4/4	2, 49	58
63	-	Całe stanowisko	X=29–32; Y=–30–82	Lekko piaszczysta glina z lokalnymi soczewkami sypkiego piasku i z licznymi żelazistymi wytrąceniami; calec	10YR 7/2	3	-
64	-	Wał II	X=30–32; Y=–61,10–64,80	Piaszczysta ziemia z pojedynczymi drobinami węgielków; miąższość do 15 cm; humus pierwotny	10YR 6/4	8	63
65	-	Fosa II	X=30–32; Y=–61,20–62,20	Lekko gliniasta ziemia; miąższość do 15 cm; warstwa użytkowa w obrębie Fosy II	10YR 4/4	3	8, 55, 70
66	-	Zagłębienie przywałowe	X=30–32; Y=–44,50–48,10	Piaszczysta ziemia z dużą domieszką kamieni średnicy 5–15 cm; miąższość do 30 cm; wypełnisko zagłębienia przywałowego	10YR 4/4	3	68
67	-	Zagłębienie przywałowe	X=30–32; Y=–45,30–48	Bruk kamienny z kamieni średnicy 5–15 cm w obrębie zagłębienia przywałowego		68	40
68	-	Zagłębienie przywałowe	X=30–32; Y=–44,20–47,90	Piaszczysta ziemia z dużą domieszką kamieni średnicy 5–15 cm; miąższość do 30 cm; wypełnisko zagłębienia przywałowego	10YR 5/1	66	67
69	-	Obszar pomiędzy Wałem II, a podnóżem grodziska	X=29–31; Y=–64,60–74,80	Piaszczysta ziemia; miąższość do 15 cm; humus pierwotny	10YR 5/4	56	64
70	71	Fosa II	X=30–32; Y=–59,80–61,80	Piaszczysto-gliniasta ziemia; wypełnisko Fosy II	10YR 7/1	55, 65	72
71	71	Fosa II	X=30–32; Y=–59–62,20	Nieckowaty rów; szer. do 220 cm, gł. do 40 cm; Fosa II		70, 72	8, 63
72	71	Fosa II	X=30–32; Y=–59–61,80	Lekko piaszczysta glina z domieszka wegli drzewnych; wypełnisko Fosy II	10YR 7/4	70	71

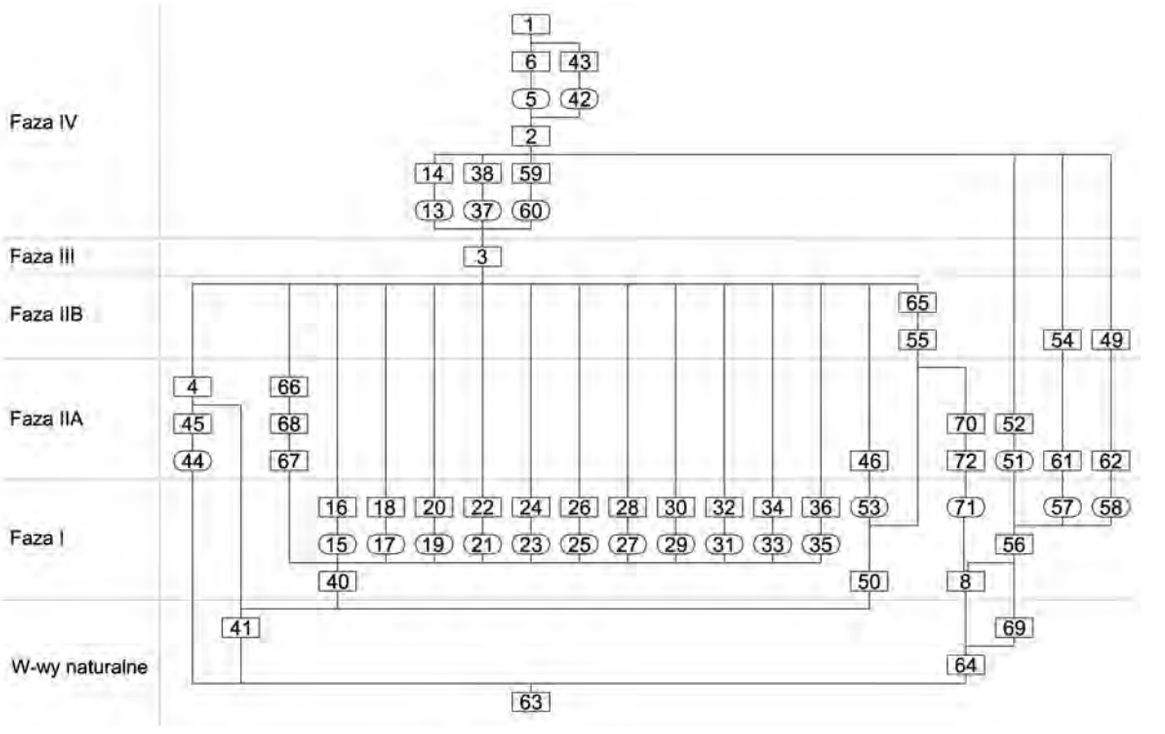

Ryc. 14. Tątławki, st. 2. Diagram relacji stratygraficznych (oprac. R. Solecki)

Tabela 2. Tątławki, st. 2. Zestawienie dołów posłupowych z rejonu Wału majdanu (oprac. R. Solecki)

Nr cięcia dołu posłupowego	Nr wypełniska dołu posłupowego	kształt w planie	Kształt w przekroju	Średnica	Głębokość
15	16	kolisty	U-kształtny	25 cm	20 cm
17	18	owalny	U-kształtny	20 cm	20 cm
19	20	kolisty	U-kształtny	15 cm	15 cm
21	22	owalny	nieckowaty	20 cm	10 cm
23	24	owalny	U-kształtny	25 cm	20 cm
25	26	owalny	U-kształtny	20 cm	15 cm
27	28	owalny	U-kształtny	30 cm	20 cm
29	30	owalny	nieckowaty	20 cm	15 cm
31	32	owalny	U-kształtny	15 cm	15 cm
33	34	owalny	prostokątny	35 cm	15 cm
35	36	owalny	nieckowaty	30 cm	20 cm

ZNALEZISKA

URSZULA KOBYLIŃSKA

Ceramika

Ogólna charakterystyka zbioru

Zespół ceramiki zabytkowej z badań grodziska w Tątławkach, st. 2 obejmuje 2407 fragmentów, w tym 234 fragmenty z zachowanym wylewem, pochodzące z 203 naczyń, w siedmiu przypadkach o ornamentowanych zaplataniem i mocnymi wgłębieniami na brzegach, a w jednym przypadku plastycznymi guzami na wylewie misy. Wśród zachowanych 2020 fragmentów brzuśców, z których 44 są ornamentowane, 601 ma powierzchnię pokrytą chropowaceniem, 981 – powierzchnię wygładzoną, a jedynie 35 ułamków charakteryzuje się starannym wyświeceniem powierzchni zewnętrznych. Powierzchnię szorstką, słabo opracowaną, nierówną, z zaznaczającymi się ziarnami ma 128 fragmentów brzuśców, a 279 fragmentów ma powierzchnię spłukaną lub zdartą, niemożliwą do bliższego określenia (tab. 3). W zespole tym znaleziono również 15 fragmentów uch oraz 70 części przydennych i 14 den, głównie bez zachowanych ścianek bocznych. Spośród czterech większych fragmentów z zachowanym dnem wraz z bocznymi ściankami dwa – o średnicy 7 i 9 cm – pochodzą z naczyń małych o wygładzonej powierzchni, a pozostałe – lek-

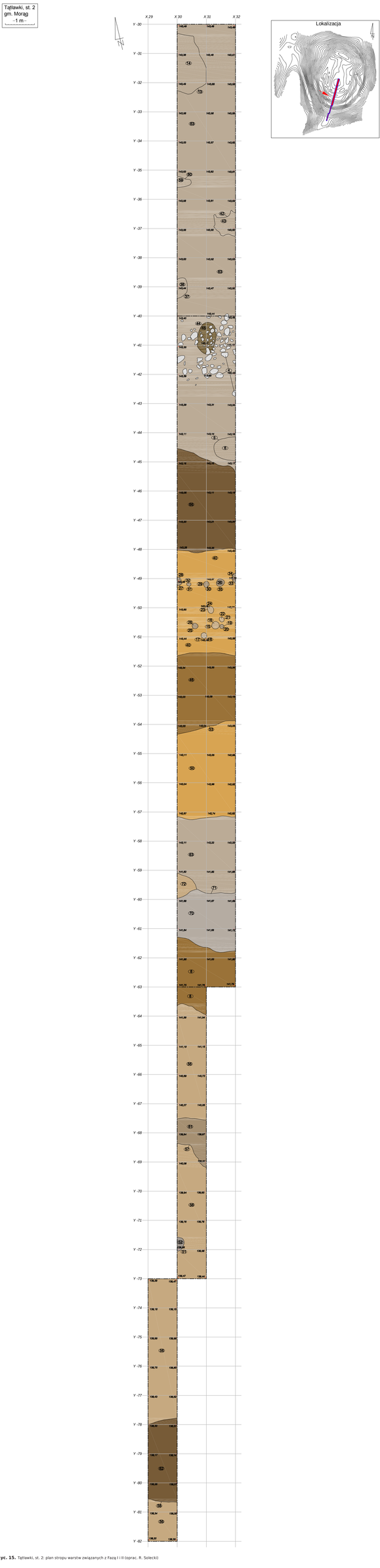

Ryc. 15. Tątławki, st. 2: plan stropu warstw związanych z Fazą I i II (oprac. R. Solecki)

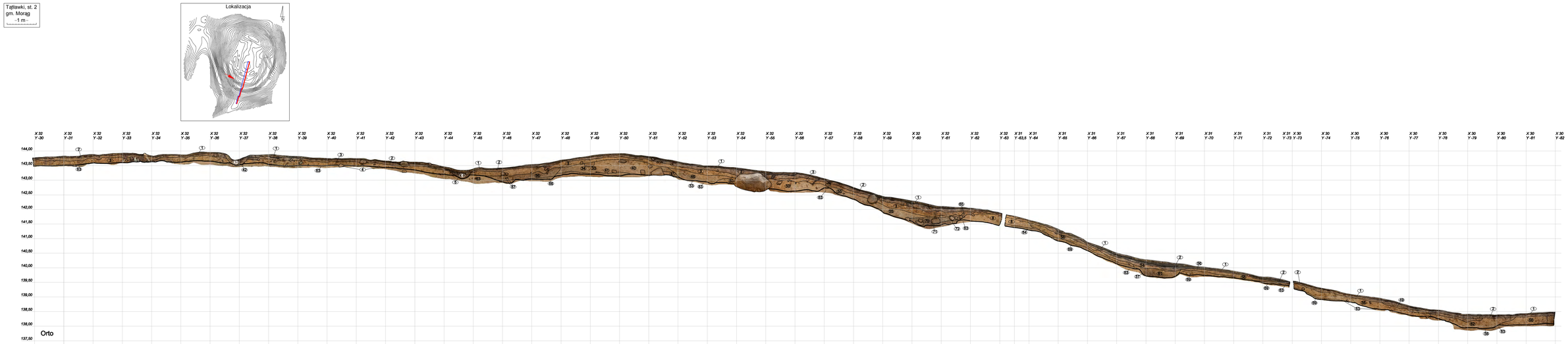

Ryc. 16. Tątławki, st. 2: wschodnia ściana wykopu w formie ortofotografii (oprac. R. Solecki)

Tątławki, st. 2
gm. Morąg
- 1 m -

Lokalizacja

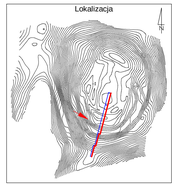

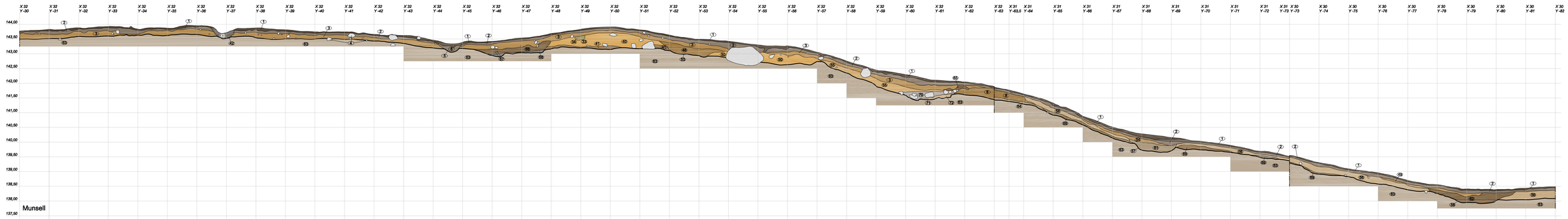

Ryc. 17. Tątławki, st. 2: wschodnia ściana wykopu (oprac. R. Solecki)

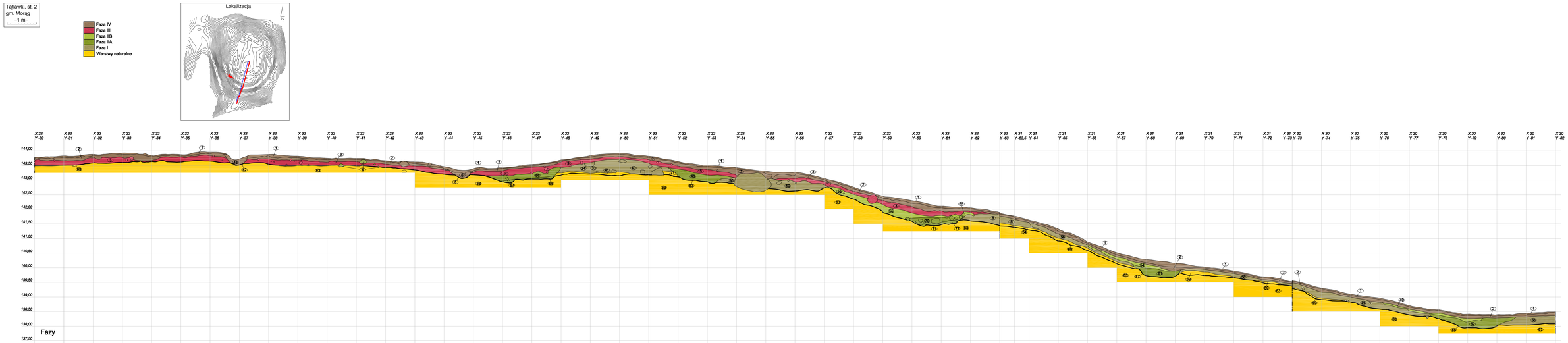

Ryc. 18. Tątławki, st. 2: wschodnia ściana wykopu z podziałem na fazy (oprac. R. Solecki)

Tątławki, st. 2
gm. Morąg
1 m

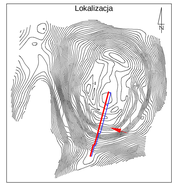

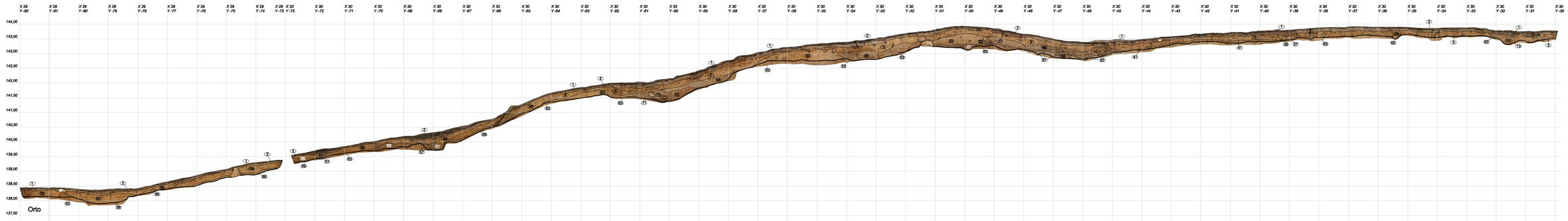

Ryc. 19. Tątławki, st. 2: zachodnia ściana wykopu w formie ortofotografii (oprac. R. Solecki)

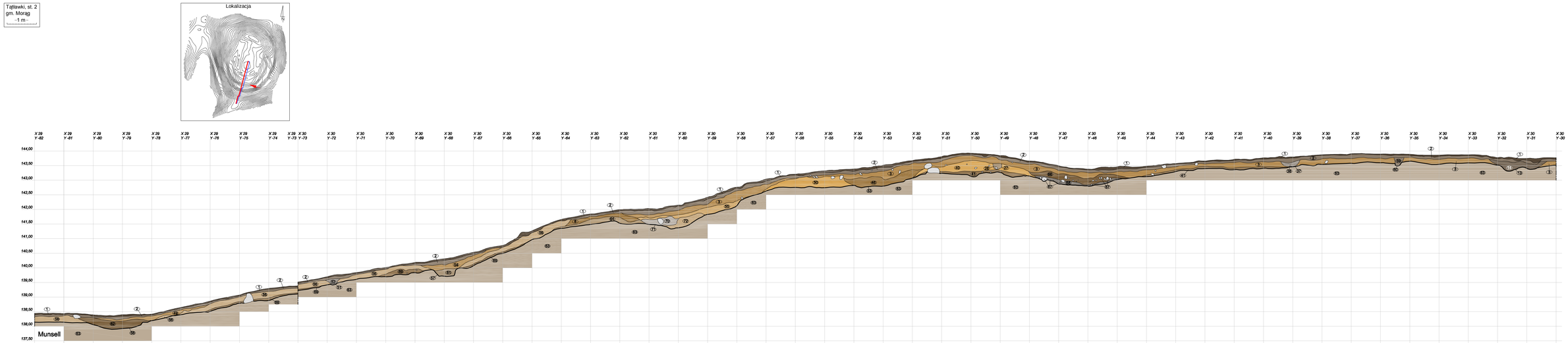

Ryc. 20. Tątławki, st. 2: zachodnia ściana wykopu (oprac. R. Solecki)

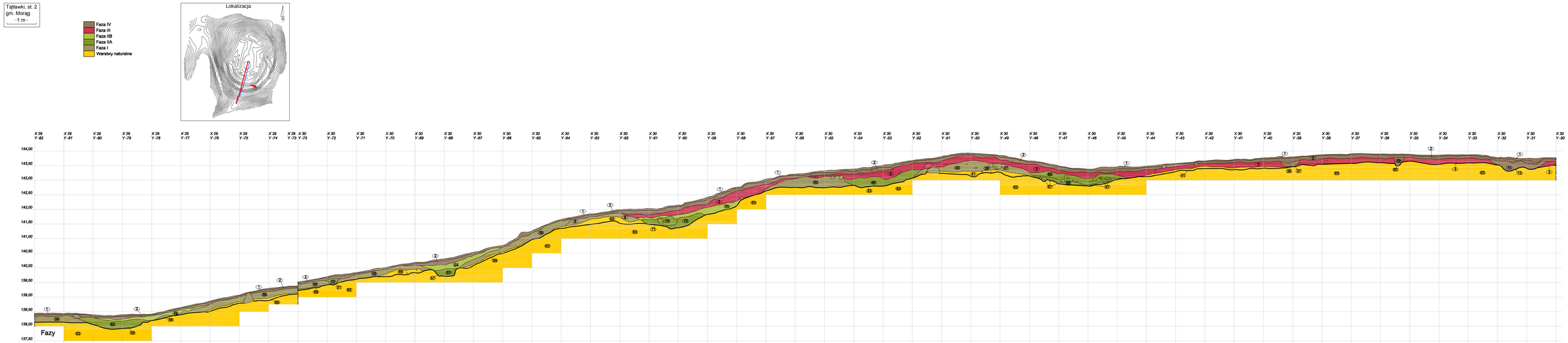

Ryc. 21. Tątławki, st. 2: zachodnia ściana wykopu z podziałem na fazy (oprac. R. Solecki)

ko wklęsłe dna o średnicy 8–9 cm – ze względu na ślady zmarszczeń gliny na ściankach naczyń uznać należy za pochodzące z naczyń o powierzchni pokrytej chropowaceniem. Większość zaobserwowanych środkowych fragmentów den ma płaski kształt, co wskazuje na formę den niewydzielonych, płaskich. Rozdrobnienie fragmentów i brak zachowanych miejsc przejścia w brzusiec, nie pozwala stwierdzić jednoznacznie, czy mamy tu do czynienia z naczyniami kulistodennymi, typowymi dla kultury kurhanów zachodniobałtyjskich.

Najliczniej ceramiczny materiał zabytkowy wystąpił w warstwie 3 z Fazy III – 1471 fragmentów ceramiki, w warstwie 46 z Fazy IIA – 279 fragmentów i w warstwie 50 z Fazy I – 91 fragmentów. Generalnie fragmenty ceramiki wykazują istotne cechy zniszczenia (tab. 4)[4]. Żaden z fragmentów nie mógł zostać zakwalifikowany do kategorii erozji 0, gdyż każdy ułamek ceramiki miał w jakimś stopniu lub części zatarte brzegi lub spłukaną powierzchnię. Jednostki stratygraficzne z najbogatszym materiałem zabytkowym charakteryzuje się mało zniszczonymi fragmentami i większość ceramiki zawiera się głównie w I kategorii zniszczenia. Na podstawie stopnia erozji ceramiki można wnioskować, że jednostki stratygraficzne 3, 50, 64, 65, 66, 68 i 70 – ze zdecydowaną przewagą ceramiki mniej zniszczonej – nie mają charakteru niwelacyjnego i nie podlegały podepozycyjnym przekształceniom.

Materiał ceramiczny jest mocno rozdrobniony we wszystkich wydzielonych jednostkach stratygraficznych; ponad połowę (55%) znalezionych fragmentów stanowią ułamki o wielkości 3 i 4 cm. Jeśli dodamy do tej liczbę fragmentów mniejszych – jedno- i dwucentymetrowych – to okazuje się, że małe fragmenty stanowią 66% liczebności zbioru, z czego wynikają istotne trudności w opisie i precyzyjnym określeniu typologii form i kształtów naczyń, z których te fragmenty pochodziły. Najwięcej małych fragmentów ceramiki w stosunku do wszystkich odkrytych zalegało w humusie oraz w warstwie 54 z Fazy IIB, co wskazuje na intensywność procesów podepozycyjnych. Natomiast stosunkowo najliczniejsze duże i największe fragmenty ceramiki znaleziono w jednostkach stratygraficznych powstałych w Fazie IIA użytkowania grodziska.

Naczynia o powierzchni gładkiej

Wśród fragmentów ceramiki z grodziska w Tątławkach, st. 2 przeważają fragmenty z wylewem pochodzące z naczyń o powierzchni wygładzonej i wypolerowanej. Łącznie z fragmentami brzuśców o powierzchni gładkiej i wyświeconej ten rodzaj ceramiki – tzw. stołowej – stanowi dominującą grupę naczyń w tym zespole.

Choć rozdrobnienie materiału ceramicznego jest znaczne, z zachowanych kształtów brzegów można wnioskować, że w zestawie naczyń znajdują się różnego rodzaju misy, miseczki, czarki, czerpaki, dzbanki i dzbanuszki, baniaste naczynia esowate i naczynia z długą szyjką, często mocno przysadziste, pękate i cienkościenne. Głównie są to formy esowate o baniastym brzuścu i uwydatnionym, owalnym i poszerzonym brzegu (np. tabl. 1:2; 2:25–26; 4:3; 5:17; 7:16; 10:24); przede wszystkim duże formy esowate z wydzielającą się szyjką i ściętym brzegiem (tabl. 1:14; 3:6; 6:3, 5; 8:18; 9:5, 9); z długą szyjką i pogrubionym owalnym brzegiem (tabl. 6:13; 9:6), czy też małe, cienkościenne formy z długą szyjką i ściętym, niewydzielonym brzegiem, być może dzbanuszki (tabl. 6:10, 16; 8:6; 9:2; 10:8). Wystąpiły też naczynia z pionowo uformowaną częścią górną z wylewem słabo wydzielonym lub niewydzielonym i dłuższą prostą szyjką (tabl. 2:2; 3:3–4; 5:5, 15–16, 30; 7:5; 9:3–4, 10; 10:29). Spotykamy też zachylone małe formy garnków czy czarek z nieuwydatnionym, owalnym, szerokim brzegiem (tabl. 1:3; 3:10, 12; 5:6; 6:8, 18; 7:2, 12; 8:13; 9:15; 10:21, 23). Znaleziono też formy, małe, cienkościenne, esowate, z lekko poszerzonym brzegiem, należące do naczyń typu kubeczka lub małego garnuszka z lekko wydzielonymi brzegami wylewów (tabl. 1:13; 3:20; 5:18–23; 10:28, 30–31). Szerokootworowe formy rozłożystych mis mają mocno wydzielające się, zaokrąglone brzegi, ścięte od wewnątrz lub obłe i wychylone na zewnątrz (tabl. 1:9–12, 15; 2:9, 18–19; 3:13, 15, 17, 19; 5:28; 6:2, 4, 6, 12; 7:4, 7, 17; 8:4, 15; 10:20) lub małe, półkuliste miseczki i czarki z wąskim brzegiem (tabl. 1:3; 3:2, 10; 6:9; 10:6).

Średnice naczyń wynoszą od 6 cm do 30 cm w zależności od funkcji. Najliczniej występują naczynia o średnicy od 16 cm do 20 cm. Głównie są to średniej wielkości naczynia stołowe, takie jak czerpaki, dzbanki i dzbanuszki, kubki, amfory oraz szerokootworowe misy i wazy.

Naczynia o powierzchni gładkiej najczęściej były polerowane z obu stron i miały też z obu stron podobną barwę jasnoszaro-brązową, beżową lub rudo-żółtą (5YR 5/6, 6/4, 6/6). W niektórych przypadkach wnętrza naczyń o powierzchni gładkiej miały barwę nieco ciemniejszą (5YR 5/2). Masa ceramiczna zawierała niewielką ilość domieszki ziaren drobnej granulacji, białe ziarna piasku i drobne różowe i czerwone ziarna granitu oraz mikę. Powierzchniowa warstwa wygładzająca szczelnie okrywała ścianki naczynia i ziarna nie były widoczne, o ile nie została spłukana lub zdarta wskutek procesów podepozycyjnych.

Spora grupa naczyń z poszerzonym, płaskim wylewem i wystającym okapem ma swe analogie wśród naczyń kultury kurhanów zachodniobałtyjskich, np. w zestawie naczyń z miejscowości Tarławki, gm. Węgorzewo, pow. węgorzewski[5]. Tego rodzaju wylewy z szerokim, płaskim brzegiem oraz pogrubionym owalnym spotykane były też na stanowisku w Kretowinach, gm. Morąg, pow. ostródzki czy w Jeziorku,

[4] Buko 1990a.

[5] Ł. Okulicz 1979: 185, tabl. 48:1.

Tabela 3. Zestawienie ilościowe fragmentów ceramiki z grodziska w Tątławkach, st. 2 (oprac. U. Kobylińska)

Jednostka stratygraficzna	Liczba fragmentów łącznie	Liczba różnych naczyń	Wylewy			Szyjki	Brzuśce								Ucha	Części przydenne	Dna				Fragmenty przepalone	Fragmenty o wypłukanej powierzchni
								Rodzaj powierzchni														
			Liczba fragmentów	SEN (procent obwodu)	Ornamentowane		Liczba fr. ogółem	Chropowacone	Gładkie	Wyświecane	Szorstkie	Nieokreślone	Przepalone	Ornamentowane			Liczba fragmentów	SEN (procent obwodu)	Lekko wklęsłe	Płaskie		
Faza 0																						
41	5						4	2	2							1						
64	14	2	5	11	1	1	7		7							1						
Faza I																						
50	91	10	10	41		4	71	15	33	3	2	18		1	1	5						
Faza IIA																						
45	74	5	8	36		1	61	5	55	1				1		4						
46	279	19	24	89		1	235	109	75	4	20	27	4	9	1	14	4	27	3	1	4	5
66	75	9	9	45		1	62	7	54	1						2	1		1			
67	2						1		1							1						
68	36	5	5	17		1	28	11	8	3		6				2						
70	45	2	2	12	1		43		27	1	3	8	4	2								
72	69	6	10	41		4	51	5	28		1	11	6		2	2						
Faza IIB																						
54	5	1	1	1			4	1	2		1											
55	21	2	2	2			19	1	18													
65	20	1	1	3			16		13			3			1	2						
Faza III																						
3	1471	127	143	475	6	7	1244	403	584	20	93	162	14	28	10	33	8	15	3	1	0	1
Faza IV																						
1	77	3	3	10		1	73	11	29	2	3	24	4	2		1						
2	122	11	11	37		6	100	31	44		5	20		2		2	1					
6	1						1		1													
Suma	**2407**	**203**	**234**	**820**	**8**	**27**	**2020**	**601**	**981**	**35**	**128**	**279**	**32**	**45**	**15**	**70**	**14**	**42**	**7**	**2**	**4**	**6**

Tabela 4. Fragmentacja i erozja fragmentów ceramiki z grodziska w Tątławkach, st. 2 (oprac. U. Kobylińska)

Faza	Jedn. strat.	Kategorie wielkościowe [cm]														Stopień erozji			Suma
		1	2	3	4	5	6	7	8	9	10	11	12	13	14	I	II	III	
0	41			1	2	1	1									4	1		**5**
0	64		3	7	2	2										13		1	**14**
I	50	2	11	18	23	14	9	7	5		1		1			40	29	22	**91**
IIA	45		17	15	13	18	7	3	1							68	1	5	**74**
IIA	46		24	59	65	55	26	23	13	6	5		2		1	82	134	63	**279**
IIA	66		4	18	19	19	9	3	3							69	6		**75**
IIA	67			1							1					2			**2**
IIA	68		9	7	12	5	2					1				24	6	6	**36**
IIA	70		1	6	5	13	11	3	3	2			1			25	8	12	**45**
IIA	72		13	15	19	11	6	3	1		1					45	7	17	**69**
IIB	54		2	1	1	1										2	3		**5**
IIB	55			3	6	6	2	3	1							5	10	6	**21**
IIB	65		7	4	4	3	1	1								20			**20**
III	3	10	205	485	393	222	87	44	15	5	2	1	1		1	777	477	217	**1471**
IV	1		15	27	29	4	2									31	17	29	**77**
IV	2	4	24	48	24	13	4	3	2							48	42	32	**122**
IV	6				1											1			**1**
Suma		**16**	**335**	**715**	**618**	**387**	**167**	**93**	**44**	**13**	**10**	**2**	**5**		**2**	**1256**	**741**	**410**	**2407**

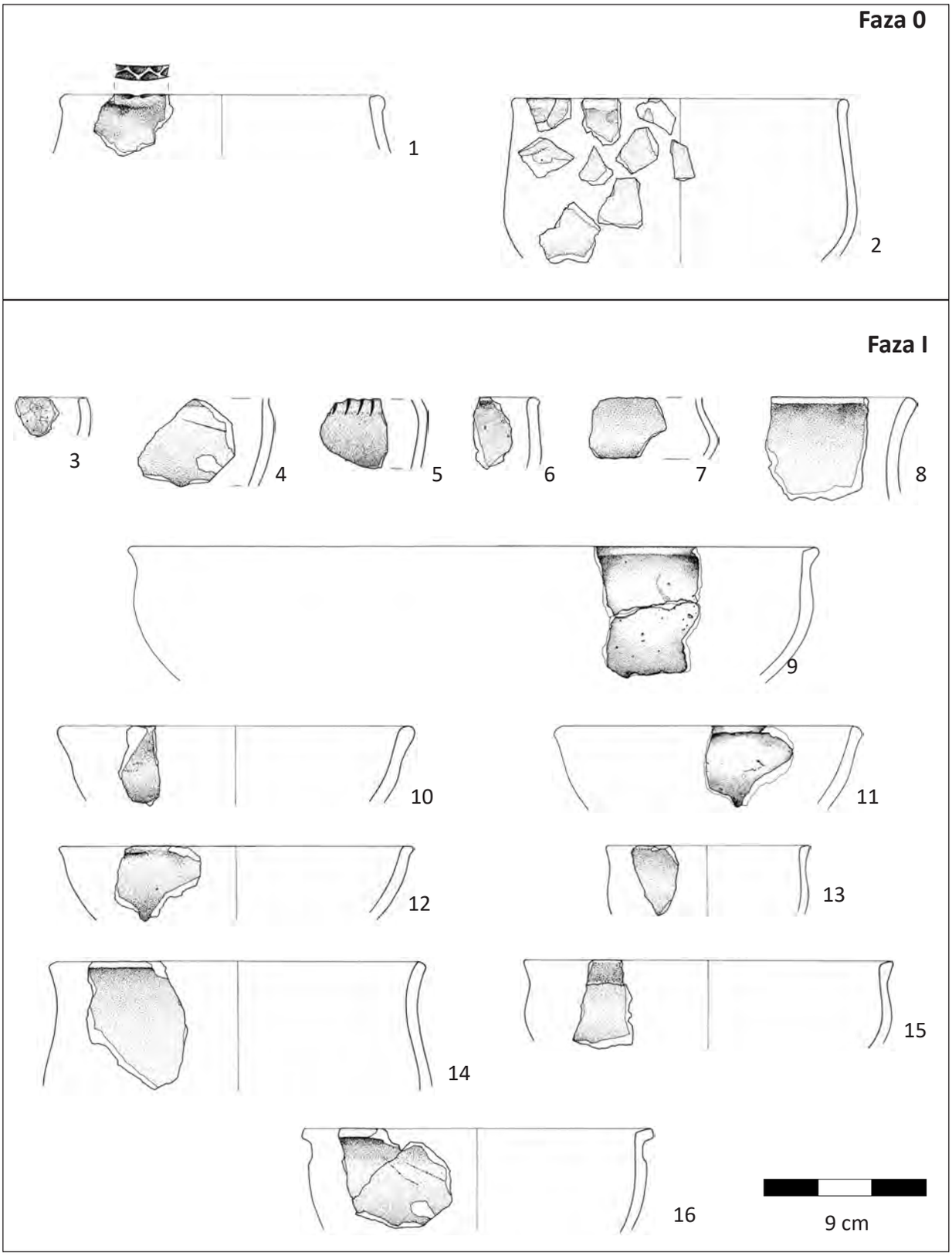

Tablica 1. Ceramika z warstw naturalnych i z nawarstwień Fazy I grodziska w Tątławkach, st. 2 (rys. A. Kucharska-Wach)

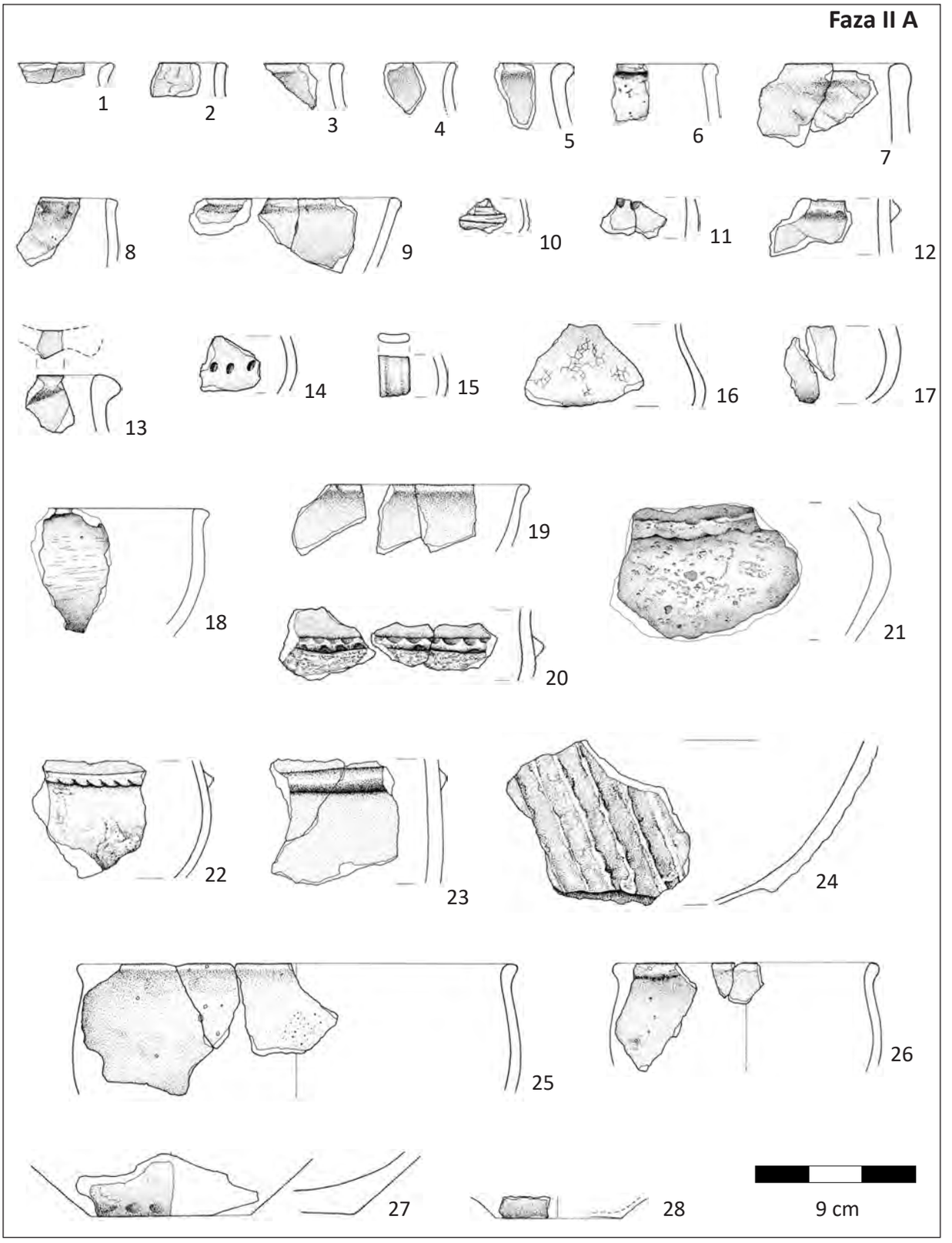

Tablica 2. Ceramika z nawarstwień Fazy IIA grodziska w Tątławkach, st. 2 (rys. A. Kucharska-Wach)

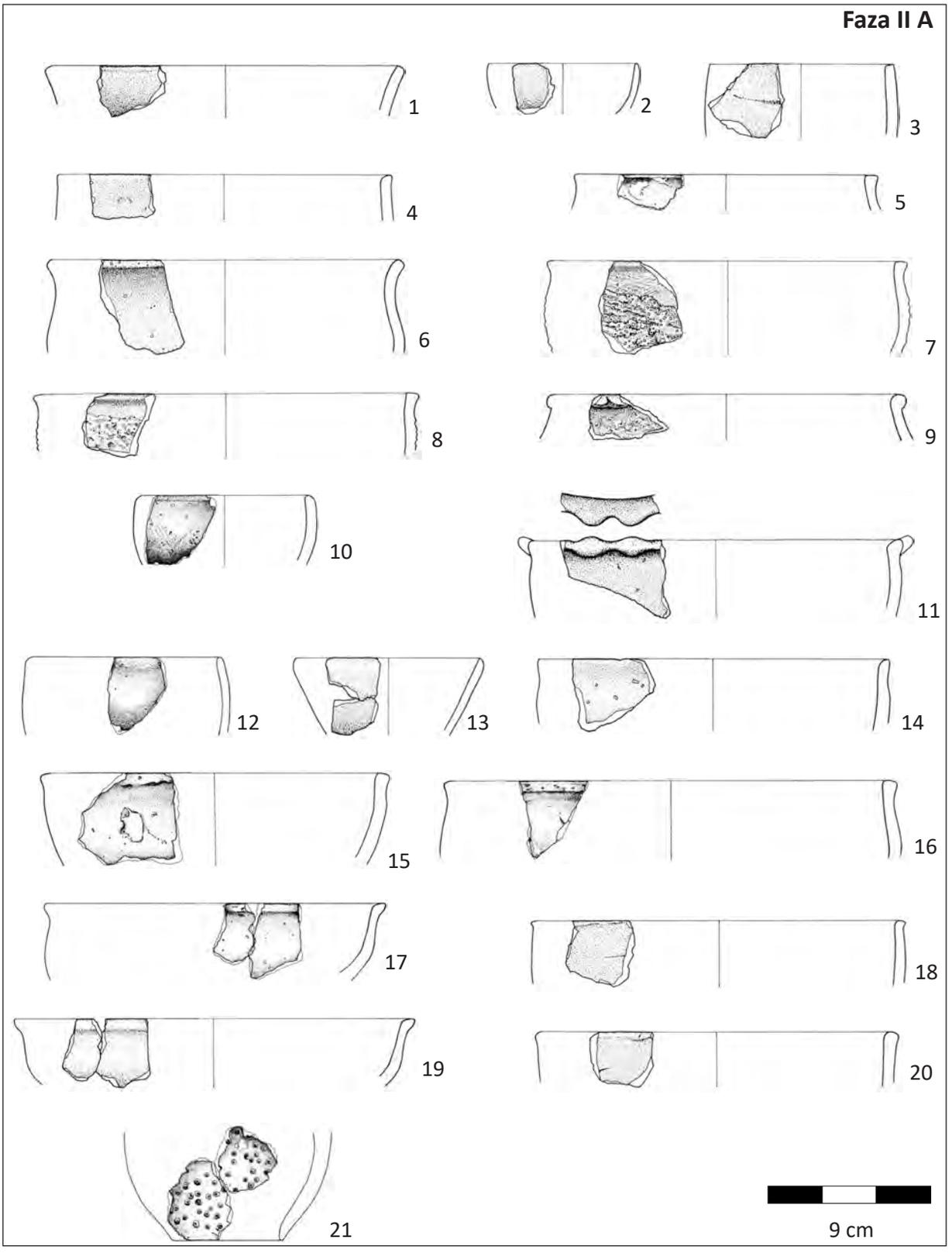

Tablica 3. Ceramika z nawarstwień Fazy IIA grodziska w Tątławkach, st. 2 (rys. A. Kucharska-Wach)

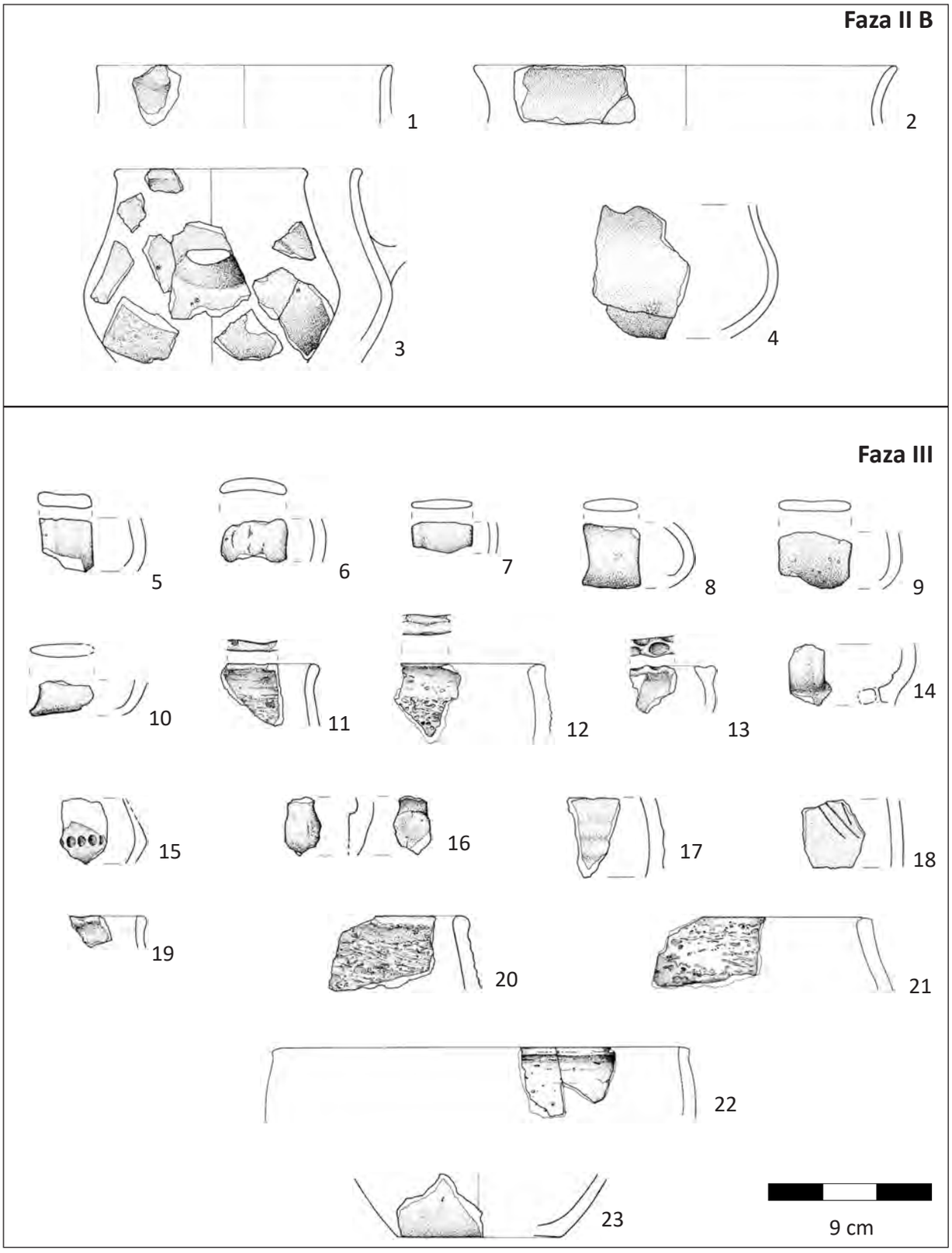

Tablica 4. Ceramika z nawarstwień Fazy IIB i III grodziska w Tątławkach, st. 2 (rys. A. Kucharska-Wach)

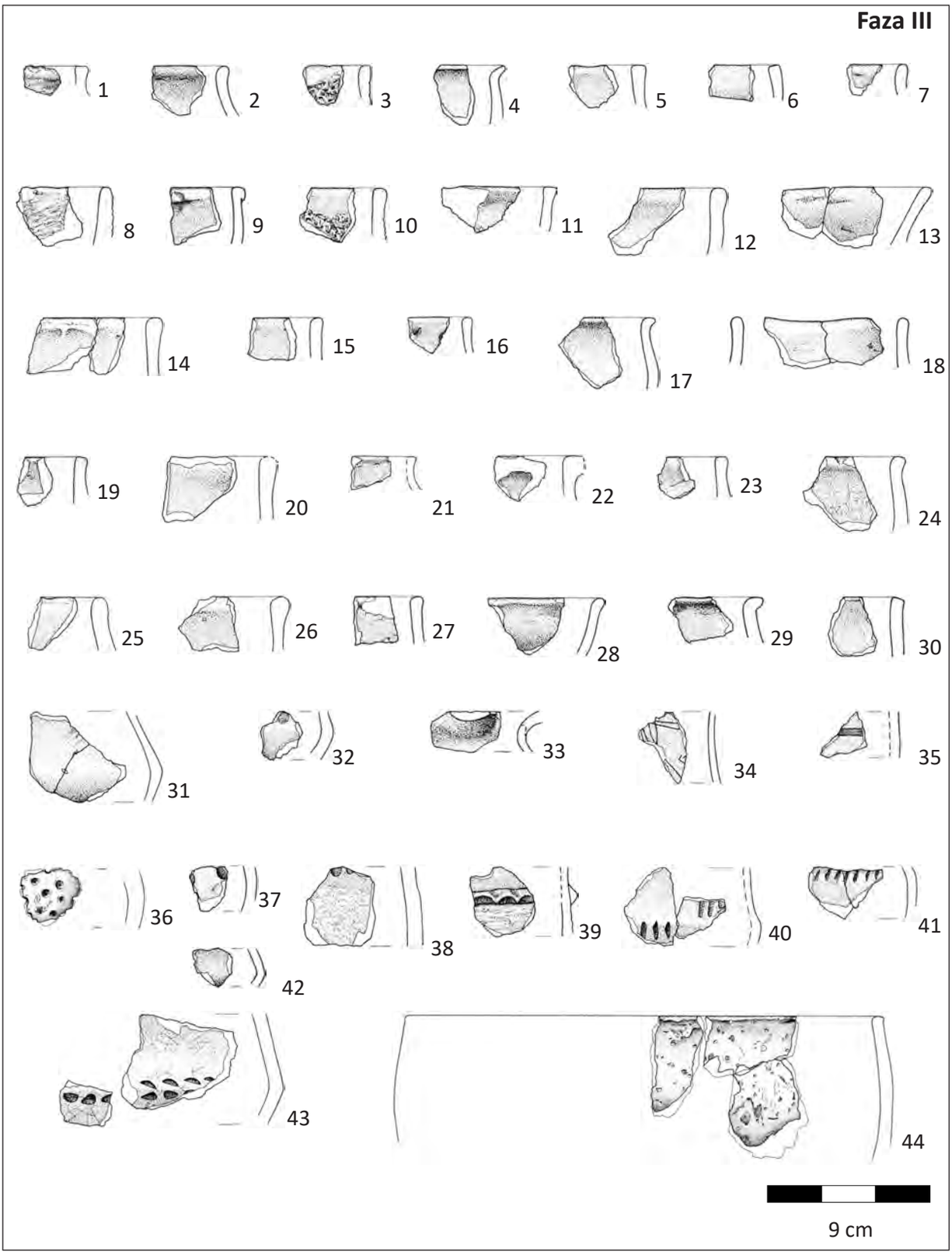

Tablica 5. Ceramika z nawarstwień Fazy III grodziska w Tątławkach, st. 2 (rys. A. Kucharska-Wach)

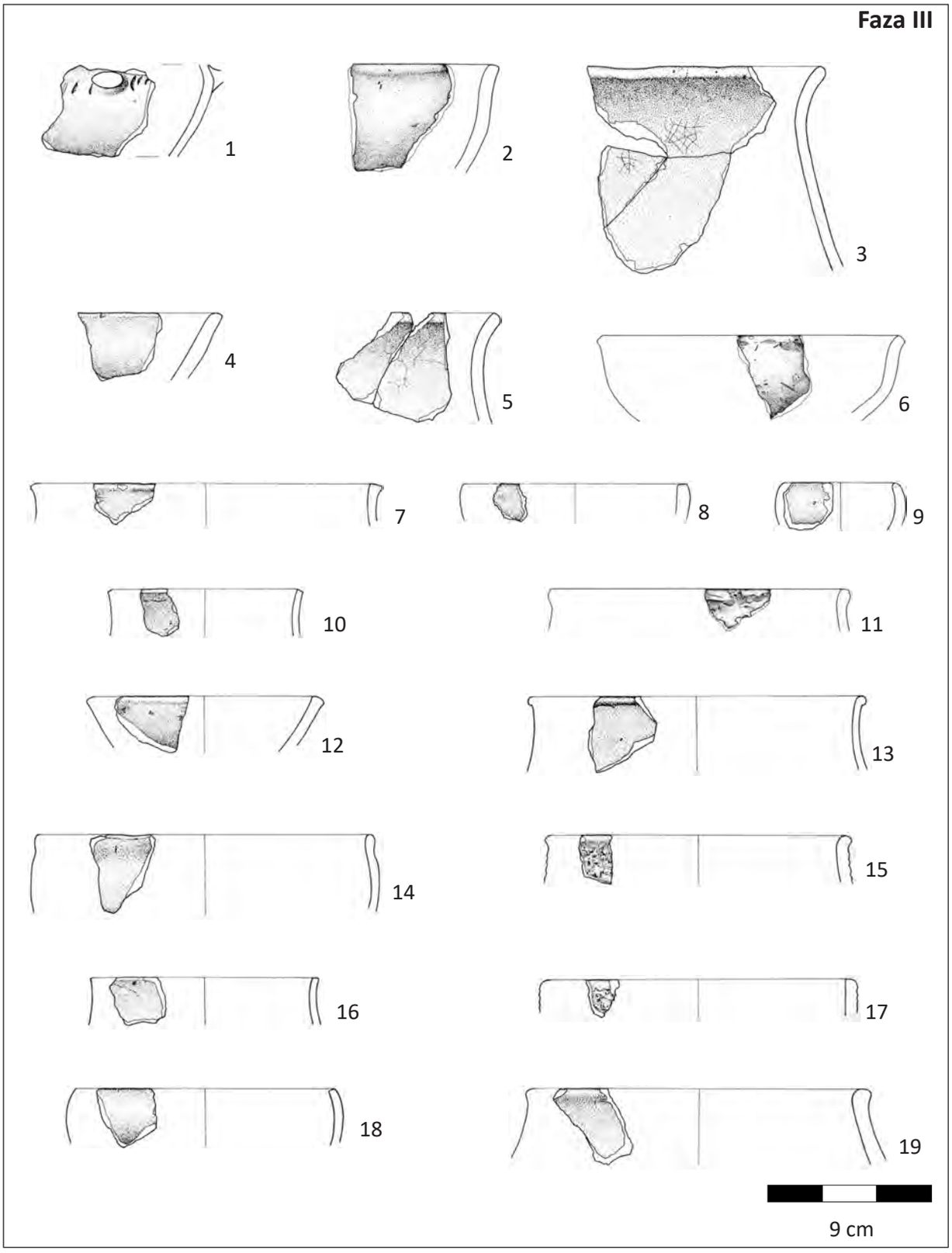

Tablica 6. Ceramika z nawarstwień Fazy III grodziska w Tątławkach, st. 2 (rys. A. Kucharska-Wach)

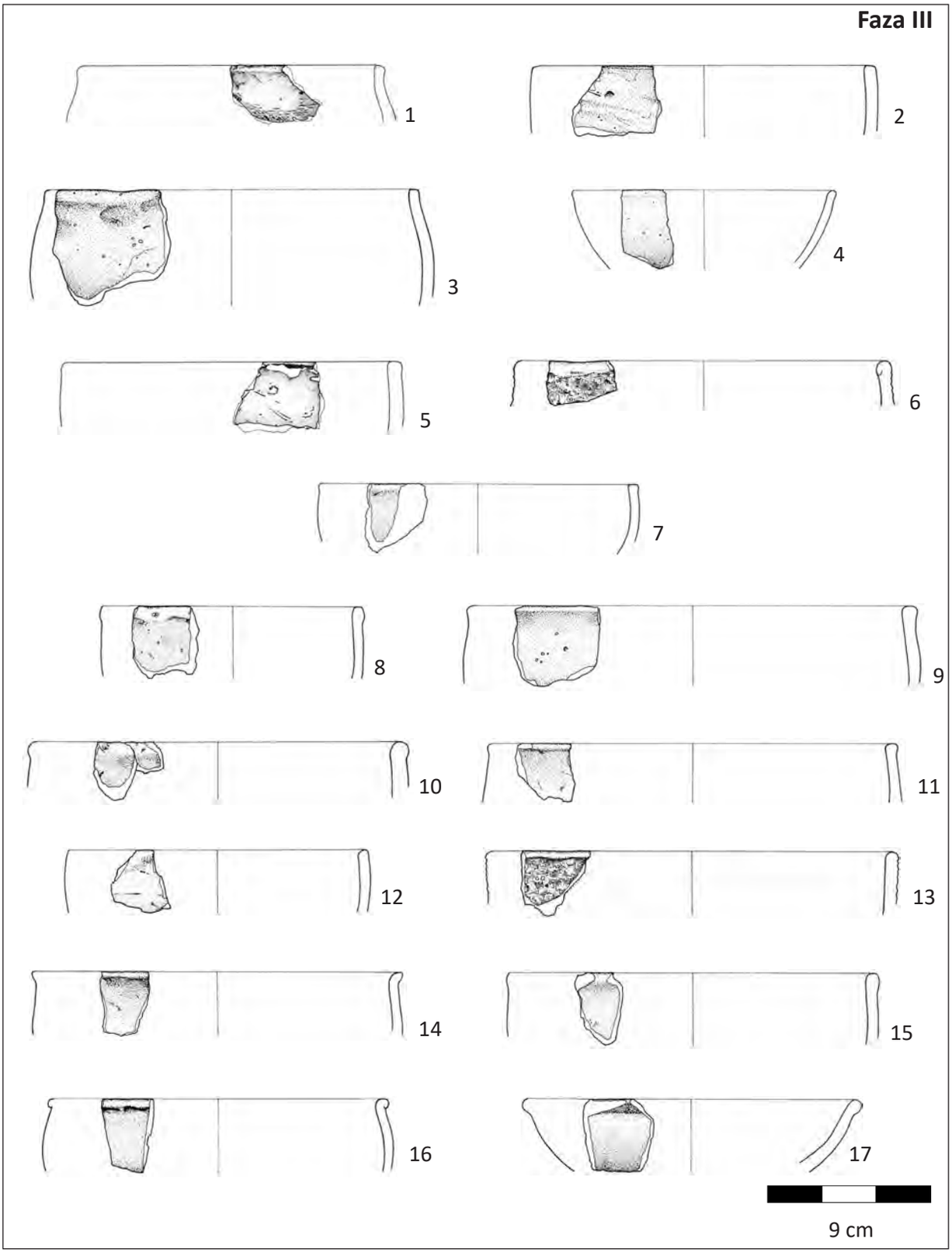

Tablica 7. Ceramika z nawarstwień Fazy III grodziska w Tątławkach, st. 2 (rys. A. Kucharska-Wach)

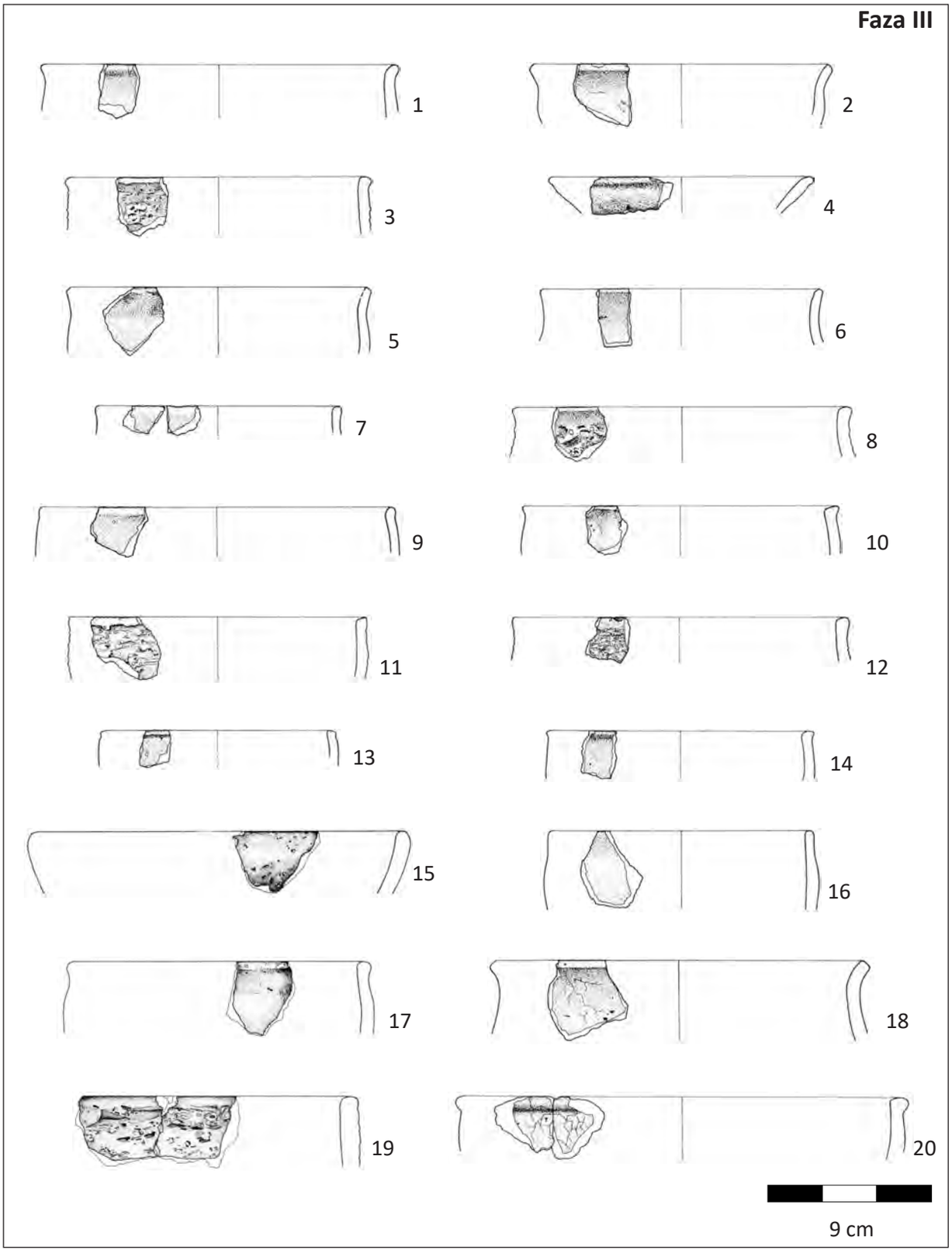

Tablica 8. Ceramika z nawarstwień Fazy III grodziska w Tątławkach, st. 2 (rys. A. Kucharska-Wach)

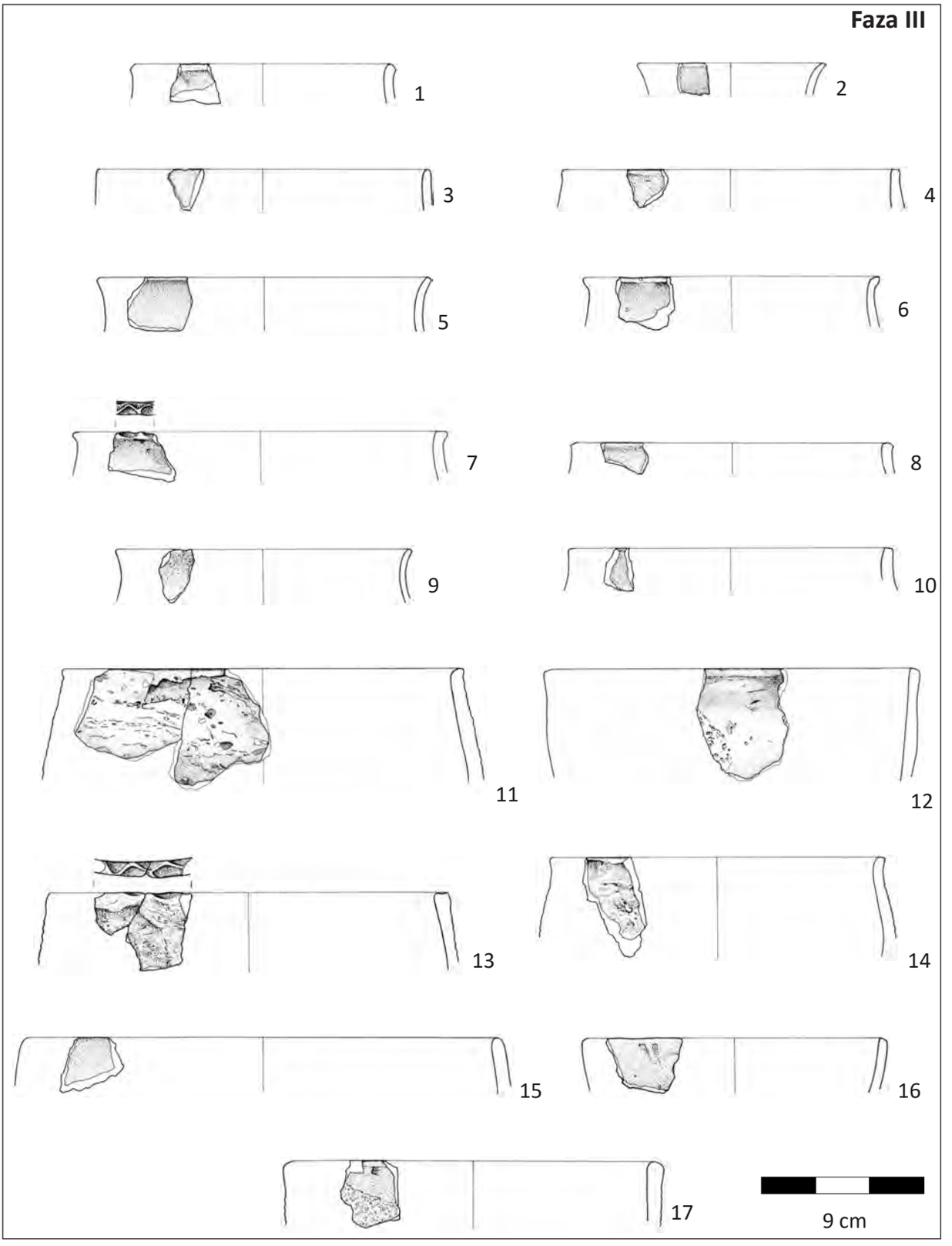

Tablica 9. Ceramika z nawarstwień Fazy III grodziska w Tątławkach, st. 2 (rys. A. Kucharska-Wach)

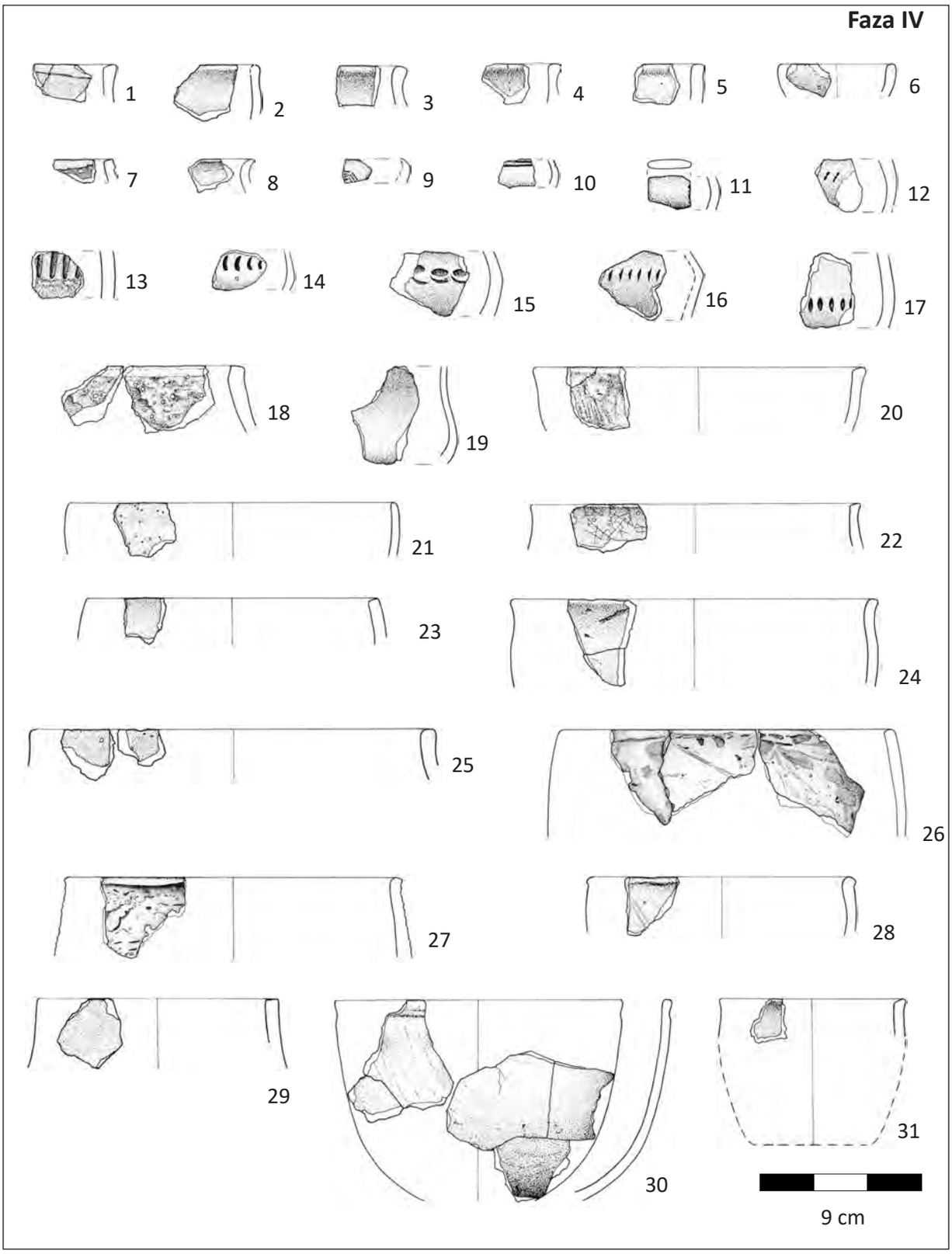

Tablica 10. Ceramika z nawarstwień Fazy IV grodziska w Tątławkach, st. 2 (rys. A. Kucharska-Wach)

gm. Ryn, pow. giżycki[6]. Podobną formę prezentuje także materiał ceramiczny znaleziony na stanowiskach kultury łużyckiej w innych regionach kraju, np. w Siniarzewie, gm. Zakrzewo, pow. aleksandrowski na Kujawach[7].

Naczynia o powierzchni chropowaconej

Naczynia masywne, przeważnie grubościenne o powierzchni chropowaconej, częściej z wyraźnymi i mocnymi zgrubieniami gliny, przeważają w zestawie naczyń powleczonych rozrzedzoną glinką. Warstwa chropowacąca nakładana była poniżej szyjki lub od załomu brzuśca (tabl. 2:7–8; 3:7–8; 4:12; 5:3, 10). Najczęściej chropowacenie pokrywało całą powierzchnię naczynia od brzegu wylewu (tabl. 1:6; 3:9; 4:20–21; 6:15; 7:6, 13; 8:3, 8, 11–12, 19; 9:13; 10:18). Średnice tych naczyń zawierają się między 16 a 30 cm, a głównie są to średniej wielkości naczynia o średnicy ok. 18–20 cm. Naczynia o powierzchni chropowaconej mają formę lekko baniastych garnków o wydzielających się, najczęściej pogrubionych brzegach (tabl. 3:7–8; 4:20; 5:24) lub są esowate o lekko wychylonych brzegach (tabl. 9:14). Występują także formy z zachylonym lub prostym obłym brzegiem (tabl. 4:12, 20–21; 6:17; 7:13; 8:19). Garnki o chropowaconej powierzchni mają barwę jasną rudo-żółtą w kilku odcieniach (5YR 5/8, 6/4), rzadko ze śladami okopcenia. Od wewnątrz ich ścianki są równe, gładkie, a najczęściej silnie wygładzone, barwy czarnej, szarej, szaro-brązowej, lub kremowej i rudej. Obmazywanie powierzchni rozrzedzoną gliną z ziarnami przebiegało różnokierunkowo, niekiedy pozostawiając smugi ukośnie (tabl. 2:24; 3:7) lub poziome (3:8; 4:20; 7:13; 8:3, 11). Grubość warstwy glinki chropowacącej jest zróżnicowana: cienka z drobnymi zmarszczeniami gliny, ale niekiedy zaobserwować można warstwę grubą na kilka mm. Tworzyła ona wysokie bruzdy na powierzchni grubościennych dużych naczyń. masa ceramiczna garnków chropowaconych zawierała zawsze domieszkę ziaren o zróżnicowanej granulacji ze sporą liczbą ziaren barwy różowej i czerwonej oraz miki. W wyniku wypału w niezbyt wysokiej temperaturze przełamy są dwu- lub trójbarwne.

Naczynia o powierzchni chropowaconej z grodziska w Tątławkach, st. 2 mają dość liczne analogie na stanowiskach w zachodniej części zasięgu kultury kurhanów zachodniobałtyjskich z wczesnej epoki zelaza. Dla przykładu można wymienić takie stanowiska, jak: Stary Dzierzgoń, st. 1, pow. sztumski[8], Kitki, st. 1 – „Żal", gm. Dzierzgowo, pow. mławski, Gródki, st. 7, gm. Płośnica, pow. działdowski[9] czy Gronowo Górne, st. 3, gm. Elbląg, pow. elbląski[10].

Ucha

Zachowane w szczątkowej formie jedynie środkowe partie uch nie dają podstaw do odtworzenia ich kształtu i sposobu przymocowania do naczyń. Są to formy szerokie (2,6–3,5 cm), z lekkim przegłębieniem (tabl. 2:15; 4:5, 9) lub płaskie (grubości ok. 0,5 cm), bez wgłębień i profilowań (tabl. 4:6–8, 10; 10:11), o powierzchni równej, gładkiej, matowej, barwy jasnobrązowej lub jasnoceglasto-rudej. Jedynie jedno ucho owalnego kształtu, szerokości ok. 2 cm, ma zachowany wyraźnie wystający czop średnicy ok. 1 cm (tabl. 4:14), służący do zamocowania w ściance naczynia. Inny fragment ucha ma zachowaną końcówkę, świadczącą o przyklejaniu do powierzchni ścianki naczynia (tabl. 4:16). Większość znalezionych uch pochodzi z nawarstwień Fazy III. Proporcje uch wykazują dużą szerokość w stosunku do niewielkiej grubości. Wydaje się, że takie kształty uch przypisać można np. czerpakom lub wazom. Podobne ucha spotykamy np. w kurhanie kultury kurhanów zachodniobałtyjskich nr 219 w miejscowości Gródki, st. 7, gm. Płośnica, pow. działdowski[11].

Naczynia sitowate

W warstwie 46 z Fazy IIA znaleziono dwa fragmenty naczynia sitowatego. Fragment z wylewem i brzusiec, łączące się ze sobą, pochodzą z naczynia o średnicy 6 cm, o wąskim owalnym brzegu. ma ono kształt podobny do tzw. lejków z otworkami (tabl. 3:21). Jest to grubościenne naczynie o baniastym, gładkim, jasnobrązowym brzuścu, z nieregularnie przebiegającymi nakłuciami nie zawsze przewierconymi na wylot. Od wewnętrznej strony także widoczne są nierówności i zmarszczenia gliny. Inny fragment mocno wysklepionego brzuśca naczynia sitowatego znaleziono w warstwie 3 z Fazy III (tabl. 5:36). Grubości ścianki tego naczynia wynosiła 0,7–0,9 cm. Kanaliki są proste, równe, wąskie, o średnicy 0,2 cm. Gładka zewnętrzna powierzchnia naczynia ma barwę jasnoceglastą (5YR 5/8). Ścianka od wewnątrz jest nierówna, a wokół otworków występują regularne, mocno wystające zmarszczenia gliny w postaci wałeczków. Analiza zawartości kwasów tłuszczowych w tym fragmencie wykazała jego kontakt zarówno z pokarmami mlecznymi, jak i z roślinnymi[12]. Naczynia sitowate występują na stanowiskach w różnych okresach chronologicznych i nie są zabytkami datującymi.

[6] Ł. Okulicz 1970: tabl. 26:29, 33; 27:22; J. Okulicz 1973: ryc. 114:b.

[7] Ignaczak 2002: ryc. 50:6.

[8] Gazda *et al.* 2013: ryc. 28:g, h.

[9] Ł. Okulicz 1979: tabl. 2:9–10, 14; 2:9–10, 27.

[10] Stasiełowicz 2009: tabl. 1:b-d.

[11] Ł. Okulicz 1970: tabl. 2:33.

[12] Kałużna-Czaplińska *et al.* 2016.

Naczynia sitowate, często spotykane na stanowiskach osadniczych, są rozmaicie interpretowane. Licznie występujące fragmenty podobnych naczyń z otworkami w Chłapowie, gm. Dominowo, pow. średzki[13] skłoniły autorów badań do podjęcia eksperymentu w celu ustalenia funkcji i przydatności w gospodarstwie tego typu naczyń[14], powszechnie uważanych za cedzidła używane przy wyrobie sera. Na podstawie znalezionych na stanowisku w Starosiedlu, gm. Gubin, woj. lubuskie różnorodnych fragmentów pochodzących z naczyń z otworami, wydaje się, że naczynia sitowate mogły przybierać różne kształty i wielkości w zależności od potrzeb użytkownika w danym momencie[15]. Różne rodzaje zrekonstruowanych naczyń sitowatych prezentuje A. Sosnowska z miejscowości Mołtajny, st. 1, gm. Barciany, pow. kętrzyński[16]. Bogaty zestaw różnego rodzaju naczyń sitowatych zebrały M. Mogielnicka-Urban i J. Urban przedstawiając zarówno różnice w nazewnictwie naczyń z otworami, jak i występujące różnorodne formy naczyń sitowatych[17].

Ornamenty

Częstym motywem ornamentacyjnym naczyń o gładkich powierzchniach z Tątławek, st. 2 są głębokie, wąskie nacięcia w układzie pionowym lub poziomym (tabl. 1:5; 5:41–43; 6:1; 10:14, 16–17). Charakterystyczny jest także ornament w postaci wyraźnych owalnych i łezkowatych wgłębień palcowych, ułożonych w pasmach pionowych, poziomych, a także rozrzuconych luźno na wygładzonych powierzchniach, często na poziomie największej wydętości brzuśca (tabl. 2:11, 14; 4:15; 5:32, 37–38, 43; 10:15). Występują też motywy rytych żłobień poziomych i ukośnych na naczyniach czarnych, wyświeconych lub wypolerowanych (tabl. 2:10; 4:18; 5:34–35; 10:9–10), czy dużych podłużnych odcisków (tabl. 5:40; 10:13) lub drobnych, kwadratowych odcisków ułożonych w ukośnych pasmach (tabl. 10:12).Tego rodzaju ornamenty nacinane czy odciskane widoczne są na naczyniach o powierzchni gładkiej, wyświeconej brązowej i jasnej beżowej. Umiejscowione są one na szyjce, brzuścu i niekiedy w miejscu załomu brzuśca naczynia. Delikatne, wąskie żłobki ryte równolegle w stosunku do siebie ozdabiają naczynia o powierzchni czarnej wypolerowanej i wyświeconej. Na powierzchniach gładkich brzuśców mocno pękatych naczyń obserwujemy wzór rytych wąskich żłobień przebiegających i przecinających się w różnych kierunkach . Podobne żłobienia są widoczne na powierzchniach naczyń z osiedla obronnego w Jeziorku, gm. Ryn, pow. giżycki[18]. Analogiczną ornamentykę znajdujemy na ceramice ze stanowiska w Romejkach, gm. Ełk, pow. ełcki[19], a także np. w Marcinowej Woli Kolonii, st. 12, czy Paprotkach Kolonii st. 11, 12 i 15, gm. Miłki, pow. giżycki [20]. Niektóre głębokie nacięcia są analogiczne do okazu z Kretowin, gm. Morąg, pow. ostródzki[21]. Ponadto, jeden większy okaz szerokootworowej misy oraz mały fragment innego egzemplarza o powierzchni wypolerowanej, mają wysokie, plastyczne guzy umiejscowione na brzegu (tabl. 2:13; 3:11). Na brzuścach naczyń chropowaconych znajdujemy naklejane listwy plastyczne, w przekroju trójkątne, obłe gładkie lub szerokie, owalne, ozdabiane wgłębieniami palcowymi (tabl. 2:12, 20–23). Elementem ozdobnym tego typu naczyń chropowaconych są także wylewy z tzw. zaszczypywaniem na brzegu wylewu. Powstałe w ten sposób wgłębienia przybierają różne kształty owalne lub trójkątne (tabl. 1:1; 4:11–13; 9:7, 13).

Formy naczyń z Tątławek, st. 2 oraz zestaw ornamentyki wskazują na korzenie w formach naczyń kultury łużyckiej, zwłaszcza jeśli chodzi o naczynia chropowacone z listwami plastycznymi, a też inne formy garnków o powierzchni gładkiej, jak np. dzbanuszki i misy. Podobny zestaw form naczyń, nie tylko chropowaconych z wydzielającym się wylewem, ale także naczyń wygładzanych z długą szyjką: dzbanków i dzbanuszków oraz naczyń wazowatych, czy małych, cienkościennych naczyń z mocno wysklepioną, silnie baniastą dolną częścią, spotykamy na stanowiskach w Kitkach, st. 1 – „Żal", Gródkach, st. 7 – „Brzezinka", czy w Stare Łączyno, gm. Dzierzgowo, pow. mławski[22]. Natomiast formy mis wydają się podobne do pochodzących ze stanowiska w Kitkach, st. 2 – „Zielona Góra"[23]. Analogiczną do pochodzącej z Tątławek, st. 2 misę z guzami znaleziono na stanowisku w Siniarzewie, st. 1, gdzie datowana jest na IV fazę kultury łużyckiej[24].

Zabytki wydzielone

Na stanowisku 2 w Tątławkach poza ceramiką znaleziono narzędzia krzemienne, dwa niewielkie fragmenty skorodowanych bliżej nieokreślonych przedmiotów z żelaza, być może gwoździ z warstwy 50 (z nasypu jednego z wałów) oraz dużą osełkę i okrągły rozcieracz kamienny z warstwy 3, a także przedmiot z gliny, prawdopodobnie ciężarek/przęślik. Ten gliniany przedmiot jest prawdopodobnie nie do końca dopracowanym przęślikiem (tabl. 11:1). Wykonywanie otworu jest w jego przypadku doprowadzone

[13] Wrzesiński 1994: tabl. 7.

[14] Wrzesiński 1994: 195–198.

[15] Kobylińska 2014a: 286–288, tabl. 8.113:7–15.

[16] Sosnowska 1992: ryc. 8.

[17] Mogielnicka-Urban i Urban 2013.

[18] Ł. Okulicz 1970: tabl. 28:17, 21; J. Okulicz 1973: ryc. 113j.

[19] Ł. Okulicz 1970: tabl. 20:5, 7–8, 10–11.

[20] Karczewski 2001: tabl. 26, 28.

[21] Ł. Okulicz 1970: tabl. 26:34.

[22] Ł. Okulicz 1970: tabl. 1–3.

[23] Ł. Okulicz 1970, tabl. 7:5–9, 11.

[24] Ignaczak 2002: ryc. 42:8.

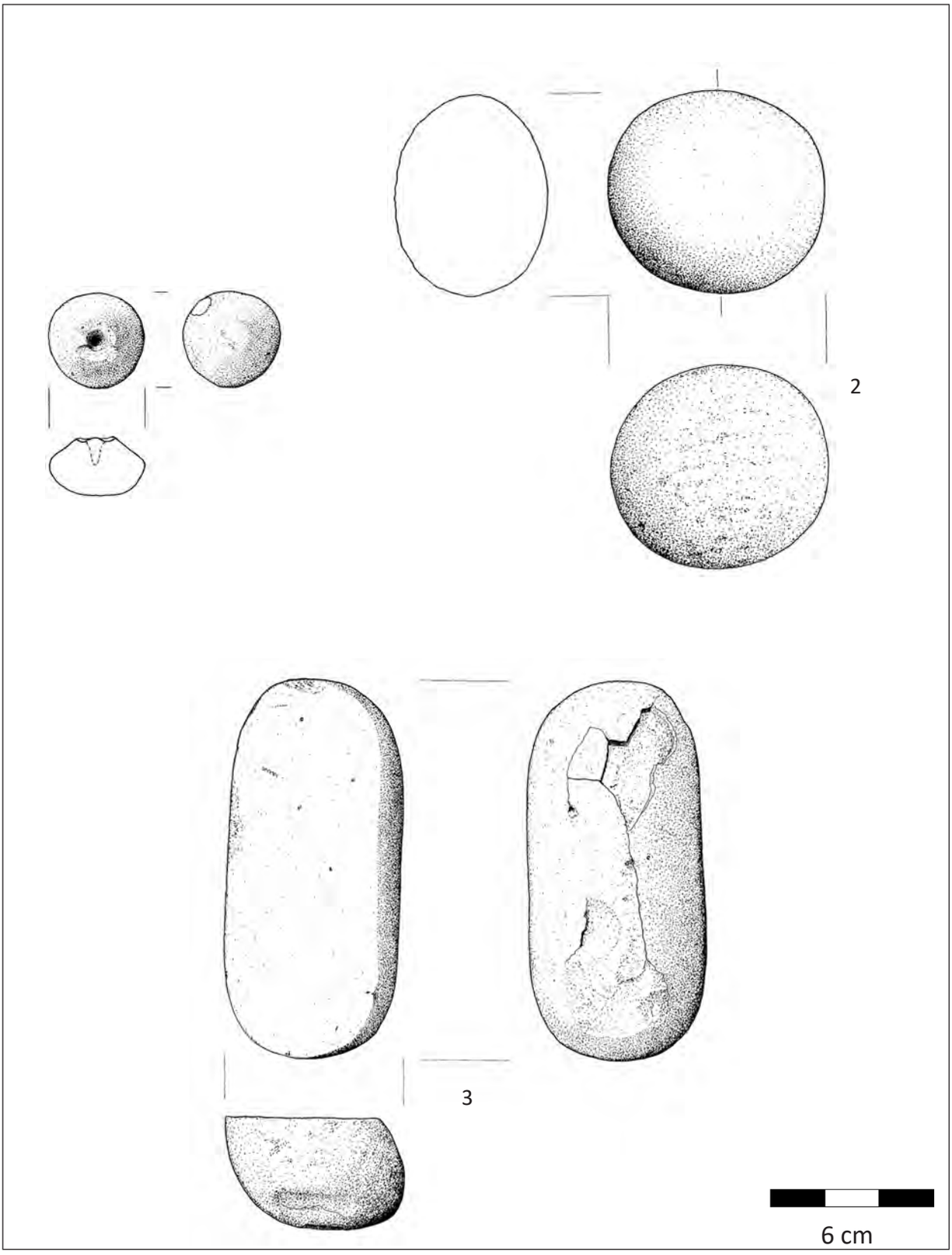

Tablica 11. Zabytki wydzielone z grodziska w Tątławkach, st. 2 (rys. D. Wach)

Ryc. 22. Kamień żarnowy z grodziska w Tątławkach, st. 2 (fot. J. Wysocki, oprac. W. Kobylińska-Bunsch)

Ryc. 23. Fragment kamienia żarnowego z grodziska w Tątławkach, st. 2 (fot. Z. Kobyliński)

Ryc. 24. Fragment kamienia żarnowego z grodziska w Tątławkach, st. 2 (fot. Z. Kobyliński)

jedynie do połowy wysokości przedmiotu, przy czym wystąpiły istotne uszkodzenia i ubytki powierzchni. Domniemany przęślik ma dość regularny, okrągły kształt, podobny do tego rodzaju typowych przęślików z wczesnej epoki żelaza[25], lekko dwustożkowaty o obłych brzegach. Od strony bez otworu powierzchnia jest wypłaszczona. Przedmiot ma barwę czerwonawo-brązową (5YR 5/3) i miejscami nierówną, ale dość gładką powierzchnię. Wymiary przedmiotu wynoszą: średnica obwodu – 3,4 cm, wysokość – 2,2 cm, a średnica wewnętrznego niedopracowanego otworka – 0,6 cm. Waga przedmiotu wynosi 21,52 g. Niedopracowanie przedmiotu nastąpiło zapewne w wyniku niewłaściwego umieszczenia zbyt krótkiej kości lub patyka, który po wypaleniu miał stworzyć otwór wewnętrzny, bądź wskutek błędnego umieszczenia przedmiotu, dla wykonania przelotu wewnątrz przęślika. Próby nawiercenia nie powiodły się, a źle wykonany przedmiot porzucono.

Kamienny rozcieracz (tabl. 11:2) jest bardzo lekko spłaszczony z dwóch stron, co w przekroju nadaje mu jajowaty kształt. Generalnie ma prawie idealnie okrągły kształt o średnicy ok. 8 cm. Część pracująca jest mocno wygładzona, lecz matowa, a druga lekko szorstkawa. Analogiczne przykłady rozcieraczy można spotkać na wielu stanowiskach z różnych epok, także z wczesnej epoki żelaza z różnych regionów, np. z Wielkopolski[26], czy Pomorza[27].

Osełka (tabl. 11:3) wykonana jest z bryły piaskowca przeciętej na pół, o równych brzegach. Powierzchnia płaska jest równa, bardzo starannie wygładzona, wypolerowana wskutek użytkowania. Długość całkowita tego przedmiotu wynosi 13,5 cm, szerokość ok. 5,5 cm, zaś grubość 3,5 cm.

W wypełnisku fos grodziska znaleziono trzy kamienie żarnowe (ryc. 22–24), jeden zachowany w całości o wym. ok. 60 x 70 cm części użytkowej i maksymalnej grubości ok. 35 cm, i dwa uszkodzone.

SZCZĄTKI ROŚLINNE

MARIA LITYŃSKA-ZAJĄC I MAGDALENA MOSKAL-DEL HOYO

Ze stanowiska 2 w Tątławkach pobrano 14 prób do badań archeobotanicznych. W analizowanych materiałach zachowało się 458 spalonych szczątków, takich jak owoce, nasiona i węgle drzewne oraz 14 cm^3 rozkruszonych ziarniaków zbóż *Cerealia* indet. Oznaczono ponadto liczne (196 okazów) sklerocja grzyba czarniaka właściwego *Cenococcum geophilinum* (tab. 5). W jednej próbie wystąpiły pojedyncze szczątki niespalone stanowiące zapewne zanieczyszczenie dzisiejsze[28]. Cztery szlamowane próby nie zawierały żadnego materiału roślinnego.

Wśród zbóż oznaczonych wystąpił jeden ziarniak jęczmienia zwyczajnego *Hordeum vulgare*. Z roślin zielnych dzikich odnotowano nasiona komosy białej *Chenopodium album* i bliżej nieoznaczonego przedstawiciela rodziny bobowatych Fabaceae indet. oraz ziarniak wiechlinowatych (syn. traw) Poaceae indet. Na podstawie szczątków drzew i krzewów wyróżniono 15 taksonów, w tym pięć oznaczonych do poziomu gatunku (grab zwyczajny *Carpinus betulus*, leszczyna pospolita *Corylus avellana*, buk zwyczajny *Fagus sylvatica*, jesion wyniosły *Fraxinus excelsior* i sosna zwyczajna *Pinus sylvestris*), osiem oznaczonych do poziomu rodzaju (olsza *Alnus* sp., brzoza *Betula* sp., topola *Populus* sp., dąb *Quercus* sp., wierzba *Salix* sp. i lipa *Tilia* sp. oraz oznaczona na podstawie nasiona jabłoń *malus* sp.) oraz dwa oznaczone do poziomu do rodziny (brzozowatych Betulaceae indet. i jabłkowatych maloideae indet.). Kilkadziesiąt okazów spalonego drewna oznaczono jako topola lub wierzba *Populus* sp. vel *Salix* sp. Wśród węgli drzewnych dominowały resztki dębu, przy wysokim udziale resztek sosny zwyczajnej. W badanym materiale zachowały się także okazy reprezentujące bliżej nieokreślone drzewa lub krzewy z grupy liściastych. Nieoznaczone pozostały fragmenty drewna, kory i spalone, mocno zniszczone okazy o nieokreślonym typie.

CHRONOLOGIA STANOWISKA

URSZULA KOBYLIŃSKA, RAFAŁ SOLECKI I JACEK WYSOCKI

Datowanie stanowiska możliwe jest na podstawie analizy materiału ceramicznego, która w świetle analogii z innych stanowisk pozwala ustalić chronologię na około IV–III wiek p.n.e. Ustalenie chronologii absolutnej stanowiska możliwe jest także na podstawie datowania radiowęglowego. Datowaniu poddano fragment węgla drzewnego z warstwy 46, będącej poziomem użytkowym wydzielonym w obrębie Fosy I, z której to warstwy pozyskano także liczny zbiór fragmentów ceramiki. Datowanie po kalibracji dało przedział lat 399–209 p.n.e. z prawdopodobieństwem 95,4%[29].

Wykonano także analizę termoluminescencyjną dla fragmentu ceramiki znalezionej w warstwie 66, wypełniającej przestrzenie pomiędzy kamieniami bruku 67 w obrębie zagłębienia przywałowego. Analiza ta dała przedział lat 300–20 p.n.e.[30]. W kontekście analizy form i zdobnictwa fragmentów ceramiki z tego obiektu bardziej prawdopodobny wydaje się starszy horyzont tego przedziału, a więc około III wieku p.n.e. Podobne formy naczyń znane są z grodziska

[25] J. Okulicz 1973: ryc. 117:j; 144:h.

[26] Kostrzewska 1953: ryc. 1–2.

[27] Piotrowska 2013: tabl. 92.

[28] Opis metody badań: Lityńska-Zając i Moskal-del Hoyo 2016.

[29] Kobyliński 2016: 107.

[30] Kobyliński 2016: 107.

Tabela 5. Spalone i niespalone szczątki roślinne ze stanowiska z wczesnej epoki żelaza w Tątławkach, st. 2, gm. Morąg. Objaśnienia: typ szczątka: z – ziarniak, o – owoc, n – nasiono, d – drewno, ko – kora, sc – sklerocja, ? – nieokreślony (oprac. M. Lityńska-Zając i M. Moskal-del Hoyo)

Nazwa taksonu	Numer jednostki stratygraficznej	Humus pierwotny	Faza I			Faza IIA					Faza V	Suma
		41	46	40	40	45	61	70	72	72	14	
	typ szczątka	szczątki spalone										
Hordeum vulgare	z										1	**1**
Cerealia indet.	z	5			35, 14 cm^3	26		1				**67, 14 cm^3**
Chenopodium album	n				1							**1**
Fabaceae indet.	n										1	**1**
Poaceae indet.	z					1						**1**
Carpinus betulus	d		2						5	6		**13**
Corylus avellana	d		1						1	2	2	**6**
Fagus sylvatica	d										32	**32**
Fraxinus excelsior	d							3		3		**6**
Pinus sylvestris	d	1		1	12	20	6	3	3	5		**51**
Acer sp.	d					1		1	3	5		**10**
Alnus sp.	d							1				**1**
Betula sp.	d		5			1		7	2	3	1	**19**
Malus sp.	n	1										**1**
Populus sp.	d				1							**1**
Populus sp. vel *Salix* sp.	d	6			17	6		3			2	**34**
Quercus sp.	d		30		6	6		20	14	34	1	**111**
Salix sp.	d		2									**2**
Tilia sp.	d					1						**1**
Betulaceae indet.	d									1		**1**
Maloideae indet.	d				1			1		1		**3**
liściaste	d	1				3		1	2		2	**9**
nieoznaczony	?		4	2	7	48		5				**66**
nieoznaczony	d	2		2	4	6	2	2				**16**
nieoznaczony	ko		2									**2**
Suma		**16**	**46**	**5**	**84, 14 cm^3**	**119**	**8**	**48**	**30**	**60**	**42**	**458, 14 cm^3**
Cenococcum geophilinum	sc		14		35		12	4			131	**196**
szczątki niespalone												
Carpinus betulus	o										1	**1**
Rubus sp.	n										2	**2**
nieoznaczony	o										1	**1**
Suma											**4**	**4**

w Łęczach i z pobliskich Kretowin i datowane są na około V–III wiek p.n.e.[31], można więc je łączyć z Fazą II rozwoju kultury kurhanów zachodniobałtyjskich wg Łucji Okulicz[32].

DZIEJE GRODZISKA W TĄTŁAWKACH, ST. 2

RAFAŁ SOLECKI I JACEK WYSOCKI

System umocnień okalających wyniesienie, na którym znajduje się grodzisko, powstał z całą pewnością przez usypanie wałów z materiału wybranego z fos. W obrębie wału okalającego majdan odkryto resztki konstrukcji kamiennej wzmacniającej jego podstawę. Część kamieni o zróżnicowanych wielkościach, odkrytych w obrębie zagłębienia przywałowego oraz na majdanie, może pochodzić także ze zniszczonego jądra wału otaczającego majdan. Na wale okalającym majdan zidentyfikowano jedenaście dołów posłupowych, sugerujących istnienie tam drewnianej konstrukcji obronnej. Na obecnym etapie badań nie sposób jednak odpowiedzieć jednoznacznie, jaka była jej forma. może to być liniowa palisada ze śladami młodszych napraw, mogą to być dwie linie palisad oddalone od siebie o około 1,5 m i funkcjonujące jedna po drugiej, mogą to być dwie równoległe linie palisad z ziemnym lub ziemno-kamiennym wypełniskiem, ale także może to być ślad po liniowej palisadzie i po młodszej konstrukcji drewnianej o nieokreślonej funkcji. Na pozostałych wałach brak jest śladów konstrukcji drewnianych, ale trzeba zaznaczyć, że wały

[31] Antoniewicz 1964: 130–133, 139–142; J. Okulicz 1973: ryc. 124;

[32] Ł. Okulicz 1970: 102–103.

te są niemal całkowicie zerodowane i ślady po dołach posłupowych mogły się nie zachować.

Na obszarze majdanu ślady osadnictwa zachowały się jedynie w obrębie obiektów zagłębionych – dołu 44, prawdopodobnie o funkcjach zasobowych, który znajdował się w obrębie bruku 4 oraz w zagłębieniu przywałowym, gdzie także natrafiono na bruk kamienny 67. Nie zachował się poziom użytkowy, który uległ częściowo erozji, a częściowo został przemieszany przez porastającą majdan roślinność. Stąd dość liczne fragmenty ceramiki znajdywane były już w obrębie humusu na obszarze majdanu. Natrafiono tu także, wśród kamieni zalegających w humusie, na niewielki fragment kamiennego żarna nieckowatego.

Znamienne jest, że materiał ceramiczny znaleziono nie tylko na obszarze majdanu i zagłębienia przywałowego, ale także bardzo licznie w obrębie Fosy I i II. Natomiast na południe od Wału II ceramika występuje już tylko sporadycznie. Może to oznaczać, że grodzisko było użytkowane przez dłuższy czas i prawdopodobnie w okresie habitacji powiększono jego rozmiar poprzez zasiedlenie starszych wałów i fos (Wał majdanu i Wał I oraz Fosa I i Fosa II) i wybudowanie nowych (Wał II i Wał III oraz Fosa III i Fosa IV). Możliwe jest także, że po zakończeniu użytkowania grodu, jego górna część została w znacznym stopniu zniszczona, w wyniku czego część kamieni z konstrukcji wału znalazła się na majdanie i na stoku zewnętrznym, a materiał ceramiczny z majdanu został także przemieszczony na stoki grodziska i w efekcie znalazł się w fosach. Wskazywać na to mogą także znalezione na stokach grodziska fragmenty żaren, a nawet jedno zachowane w całości, odkryte w Fosie II. Stwierdzenia te na obecnym etapie badań muszą jednak pozostać hipotezami, gdyż daleko posunięta erozja badanego stoku grodziska spowodowała zerwanie bezpośrednich relacji stratygraficznych pomiędzy jednostkami tworzącym poziomy użytkowe w obrębie kolejnych wałów i fos.

Poza pierścieniem wału otaczającym majdan, który został zbudowany w sposób „klasyczny" przez założenie pierścienia fortyfikacji na krawędzi *plateau* i umocnienie go konstrukcjami kamiennymi i drewnianymi oraz nasypanie ziemi z zagłębienia przywałowego i być może częściowo także dostarczonej z zewnątrz, pozostałe wały zostały wykonane przez podcięcie stoku wzgórza, na którym znajdował się gród i wybranie ziemi z części stoku. Wyjątkiem jest najniższa fosa, która jest wykopanym rowem zewnętrznym, okalającym cały system umocnień. Opisana wyżej technika budowy wałów na stoku wzniesienia powoduje, że tworząc przedpiersie wału tworzony jest jednocześnie okop, mogący dać ochronę obrońcom, oczywiście przy odpowiedniej stromiźnie kształtowanego zbocza. System tak ukształtowanych wałów otaczał wzgórze z grodem kilkoma pierścieniami umocnień, jak się wydaje na podstawie obrazów ALS, dookolnych. Nie można jednakże wykluczyć, że system ten nie tworzył kilku pierścieni lecz spiralę, która prowadziła na szczyt drogą w zagłębieniu, biegnącą pod osłoną wału ziemnego. W ten sposób przed dotarciem do celu, konieczne było kilkakrotne obejście grodu. Niestety w trakcie dotychczasowych badań nie odkryto bramy do grodu ani śladów drogi do obiektu. Zakładając, że gród miał charakter zwykłej osady obronnej, dostęp do niego powinien być niezbyt skomplikowany. Być może drogi i bramy należałoby szukać w takim przypadku od strony północnej, gdzie stok wyniesienia jest stosunkowo najłagodniejszy i łączy się z pozostałą częścią wysoczyzny przez dolinę strumienia. Jednakże warto zwrócić uwagę na fakt, że obiekt ten znajduje się w terenie nieprzyjaznym dla osadnictwa (wyniesienia i obniżenia, nawet współcześnie wypełnione mokradłami i trzęsawiskami, trudnymi do przebycia), co sugeruje charakter uroczyska, a zatem być może ta ufortyfikowana góra nie pełniła typowych funkcji osadniczych lecz była obiektem związanym z obrzędami religijnymi, a wówczas skomplikowana droga dotarcia na szczyt miałaby uzasadnienie jako droga procesyjna. Sakralny charakter obiektu mogłoby uzasadniać także jego zniszczenie po okresie użytkowania (między innymi rozwleczenie do fos przedmiotów ruchomych – ceramiki i żaren), gdyż trudno uzasadnić obserwowane zniszczenia górnego wału i przemieszczenia materiału ruchomego jedynie erozją powierzchniową i nowożytnymi pracami ziemnymi związanymi z uprawami leśnymi.

Duba, st. 1

Gmina Zalewo
Powiat iławski
AZP 24-54/10
Współrzędne geograficzne:
N 53° 45’ 11’’
E 19° 41’ 48’’

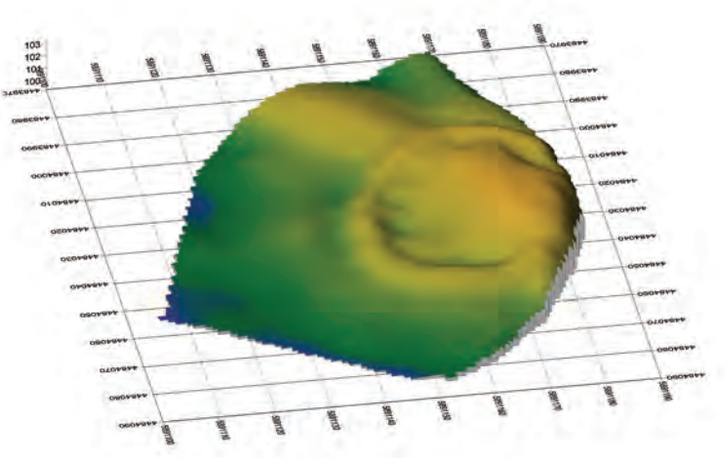

Duba, st. 1

Ryc. 1. Grodzisko w Dubie, st. 1 na mapie w skali 1:25 000 (na podstawie materiałów CODGiK, oprac. R. Solecki)

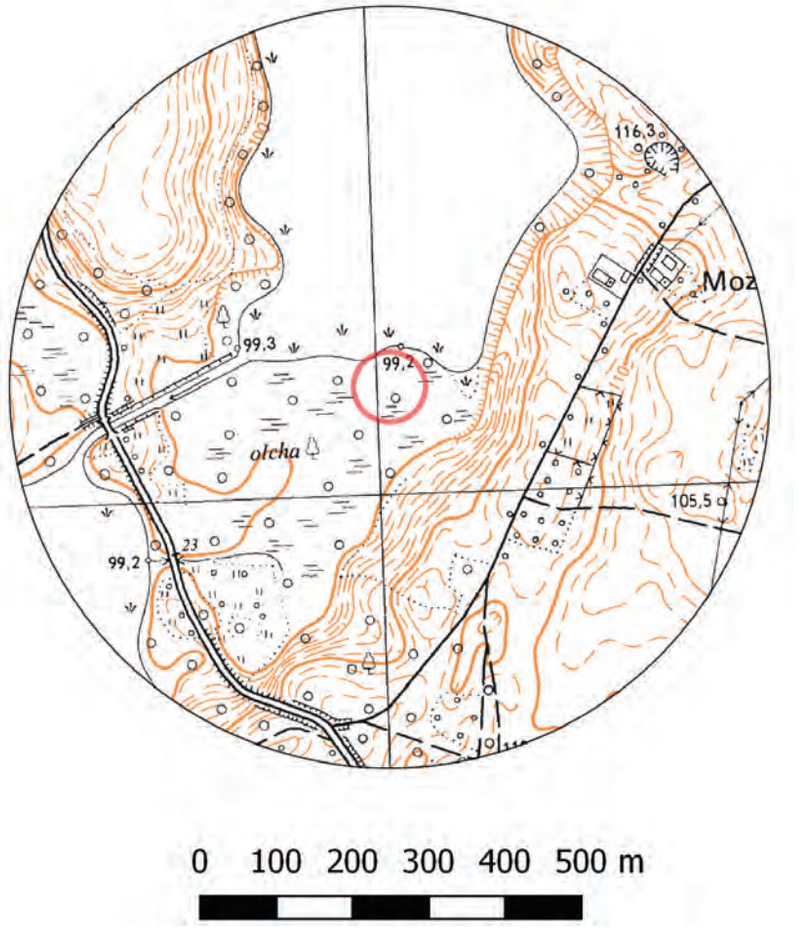

Ryc. 2. Grodzisko w Dubie, st. 1 na mapie w skali 1:10 000 (na podstawie materiałów CODGiK, oprac. R. Solecki)

POŁOŻENIE GRODZISKA I JEGO FORMA

MAGDALENA RUTYNA I JACEK WYSOCKI

Grodzisko w Dubie, st. 1 znajduje się na lekko wyniesionym terenie w obrębie obniżenia między zatoką Kraga jeziora Jeziorak, a jeziorem Dauby, bezpośrednio przy południowym brzegu jeziora Dauby (ryc. 1–2). Otaczający grodzisko teren jest obecnie podmokły, częściowo zabagniony. W przeszłości stanowił z pewnością trzęsawisko niemożliwe do przejścia, z korytem cieku wodnego łączącego jeziora, przebiegającym przy wschodnim stoku wysoczyzny. W północnej części zabagnionego obniżenia od strony jeziora Dauby, znajduje się lekkie wyniesienie terenu, ok. 3 m nad poziom trzęsawiska, które wykorzystano do zbudowania obiektu obronnego. Na wierzchowinie wyniesienia planowano zapewne zlokalizowanie obiektu mieszkalnego, być może wieży. Teren na południe od niego był prawdopodobnie zaplanowany jako majdan grodu. Fortyfikację w postaci wału ziemnego usypano od strony wschodniej, południowej i zachodniej, tworząc jednocześnie suchą fosę zewnętrzną, oraz wewnętrzne zagłębienie przywałowe. Prawdopodobnie wał usypano także od strony północnej, wzdłuż brzegu jeziora, jednakże na przestrzeni wieków procesy erozji bocznej akwenu doprowadziły do jego zniszczenia na skutek osunięcia podmywanego brzegu.

Maksymalna wysokość grodziska występuje na majdanie obiektu i wynosi 103,6 m n.p.m., natomiast poziom jeziora Dauby, to około 99,0 m n.p.m. Minimalne wysokości na majdanie to 100,4 m n.p.m., a wysokość wałów zawiera się między 102,55 m n.p.m. i 101,4 m n.p.m. (ryc. 3–10).

Ryc. 3. Duba, st. 1. Widok grodziska od strony południowej (fot. J. Wysocki)

Ryc. 4. Duba, st. 1. Widok podwyższenia w północnej części grodziska (fot. J. Wysocki)

ŚRODOWISKO FIZYCZNO-GEOGRAFICZNE

JERZY NITYCHORUK I FABIAN WELC

Grodzisko znajduje się w rynnie lodowcowej jeziora Dauby łączącej się tu z rynną Jezioraka przez zatokę Kraga, na osadach morenowych. Osady morenowe oddzielają akwen jeziora Dauby od akwenu Jezioraka, tworząc wypłycenie i trzęsawisko wypełnione aktualnie nawarstwieniami bagienno-torfowymi, silnie nawodnionymi. Przy południowym krańcu jeziora Dauby występują osady morenowe w postaci wału przecinającego rynnę, zakończonego lekkim wyniesieniem terenu o kształcie owalnym. Między tym wyniesieniem, a znajdującym się na północny wschód od niego stokiem wysoczyzny ograniczającym rynnę, w przeszłości znajdował się przesmyk, przez który przepływał ciek łączący Dauby z Jeziorakiem. Obecnie nie jest on drożny. Na opisanym

Ryc. 5. Duba, st. 1. Widok na wał i zagłębienie przywałowe (fot. J. Wysocki)

Ryc. 6. Duba, st. 1. Widok na wał i zagłębienie przywałowe (fot. J. Wysocki)

Ryc. 7. Duba, st. 1. Widok na wał grodziska (fot. J. Wysocki)

wyżej lekkim wyniesieniu wśród bagien otaczających je od strony wschodniej, południowej i częściowo zachodniej, oraz bezpośrednio przy akwenie jeziora Dauby, został zbudowany gród, mający połączenie z lądem naturalną groblą biegnącą od grodu w kierunku zachodnim do północno-zachodniej krawędzi rynny lodowcowej.

Z *Szczegółowej mapy geologicznej Polski 1:50 000 arkusz Dobrzyki*[1] wynika, że obiekt Duba leży na obszarze zbudowanym z mułków i piasków jeziornych holocenu, a wokół niego rozciąga się wysoczyzna polodowcowa zbudowana z glin zwałowych stadiału górnego zlodowacenia Wisły (ryc. 11). Ten obraz budowy geologicznej nie jest dokładny, co potwierdzają wiercenia przeprowadzone na tym obszarze.

W celu opracowania geologicznego wykonano dziewięć wierceń, na podstawie których sporządzono dwa przekroje geologiczne A–B i C–D. Analiza treści przekrojów pozwala wyróżnić trzy rodzaje osadów. Wydzielenie 1 to glina zwałowa ilasto-piaszczysta, zwarta, barwy brązowej. Wydzielenie 2 stanowi piasek pylasty, szary i glina brązowa zawierająca węgle drzewne, co pozwala uznać te osady za warstwę noszącą dowody ingerencji ludzkiej. Osady oznaczone numerem 2 występują w najwyższym obszarze obiektu i na wałach. Piaski drobnoziarniste, miejscami gliniaste, wypełniające fosę na zewnątrz od wałów, oznaczono jako wydzielenie 3. Osadami, na których pobudowano obiekt są gliny zwałowe (ryc. 12–13).

Na terenie grodziska wytworzyły się gleby pseudobielicowe, tworzące się w warunkach leśnych, olsowo-grądowych na podłożu ilastym. W bezpośrednim otoczeniu w warunkach bagiennych tworzą się gleby organiczne, murszowe silnie nawodnione.

[1] Rabek i Narwojsz 2008.

Ryc. 8. Duba, st. 1. Panoramiczny widok z najwyższego punktu grodziska (fot. J. Wysocki, oprac. M. Rutyna)

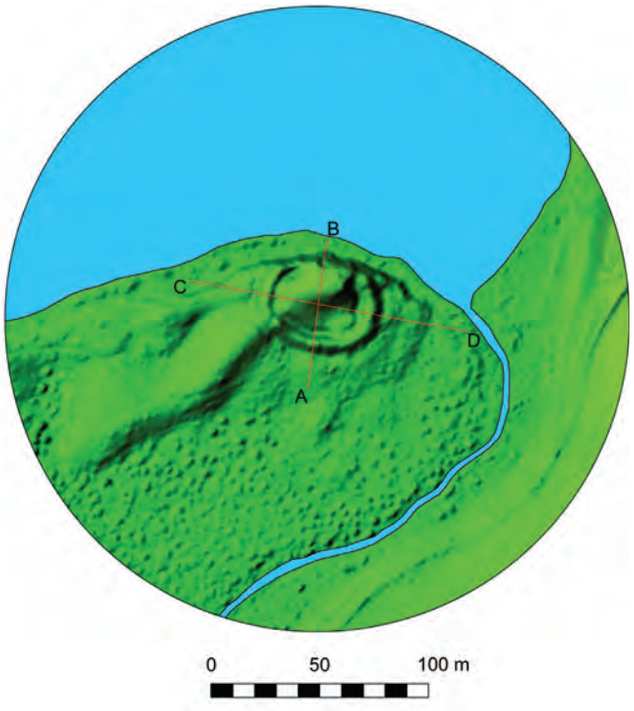

Ryc. 9. Grodzisko w Dubie, st. 1 na zobrazowaniu ALS (na podstawie materiałów CODGiK, oprac. R. Solecki)

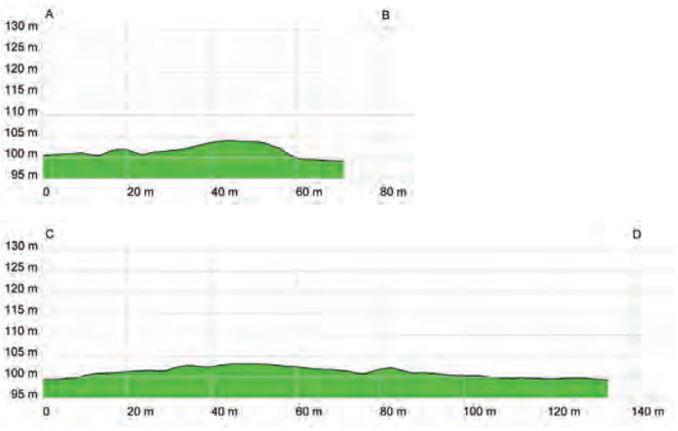

Ryc. 10. Przekroje grodziska w Dubie, st. 1 uzyskane z danych ALS (na podstawie materiałów CODGiK, oprac. R. Solecki)

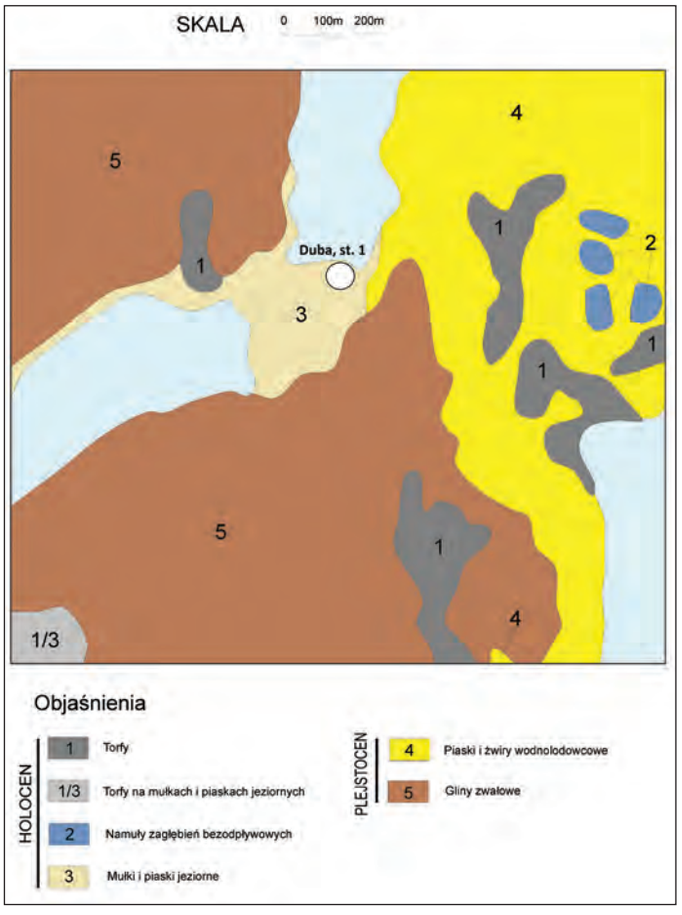

Ryc. 11. Mapa geologiczna okolic grodziska w Dubie, st. 1 (oprac. J. Nitychoruk i F. Welc)

BADANIA ARCHEOLOGICZNE

MAGDALENA RUTYNA I JACEK WYSOCKI

Przebieg badań terenowych

Grodzisko w Dubie, st. 1, znane było już w okresie przedwojennym pod nazwą *Kraggenkrug*[2]. W 1930 roku Carl Engel wykonał jego szkicowy plan (ryc. 14)[3]. Pierwsze badania wykopaliskowe przeprowadzono w 2012 roku w ramach projektu *Katalog grodzisk Warmii i Mazur*[4].

W trakcie prac wykopaliskowych otworzono siedem wykopów o łącznej powierzchni 123 m² (ryc. 15). Wykopy badawcze założono w następujący sposób:

- po linii N–S – przechodząc od fosy zewnętrznej przez wał, zagłębienie przywałowe i wchodząc na stożek wewnętrzny (wykop 1 o wymiarach 2 x 28 m);
- na kulminacji stożka oraz na jego stokach (wykop 2 o wymiarach 2 x 6 m, wykop 4 o wymiarach

[2] Crome 1937: 108.

[3] Prussia-Archiv PM-A 1861/1.

[4] Kobyliński *et al.* 2013: 320–324.

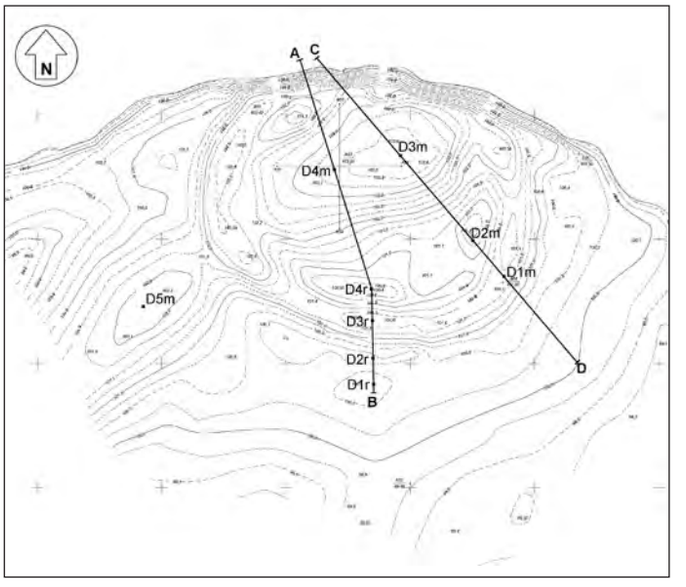

Ryc. 12. Plan warstwicowy grodziska w Dubie, st. 1 (wyk. J. Błaszczyk) z zaznaczeniem położenia wierceń geologicznych (oprac. J. Nitychoruk i F. Welc)

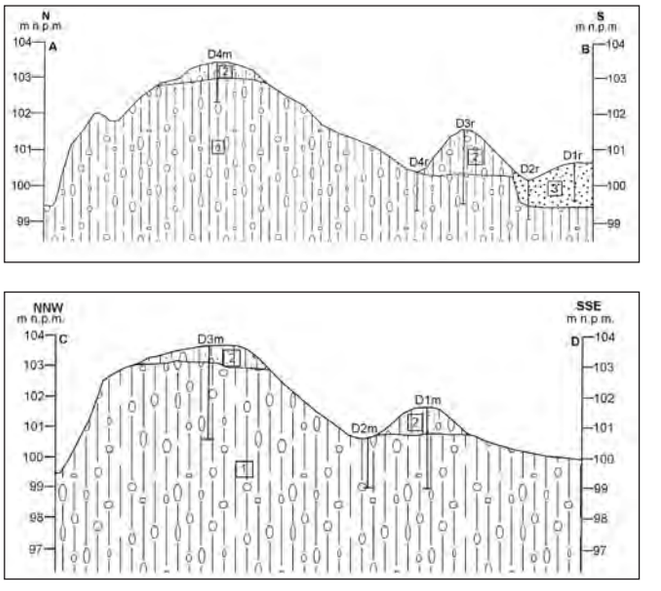

Ryc. 13. Przekrój geologiczny przez grodzisko w Dubie, st. 1: 1 – glina zwałowa, 2 – glina redeponowana, 3 – piasek drobnoziarnisty, wypełnisko fosy (oprac. J. Nitychoruk i F. Welc)

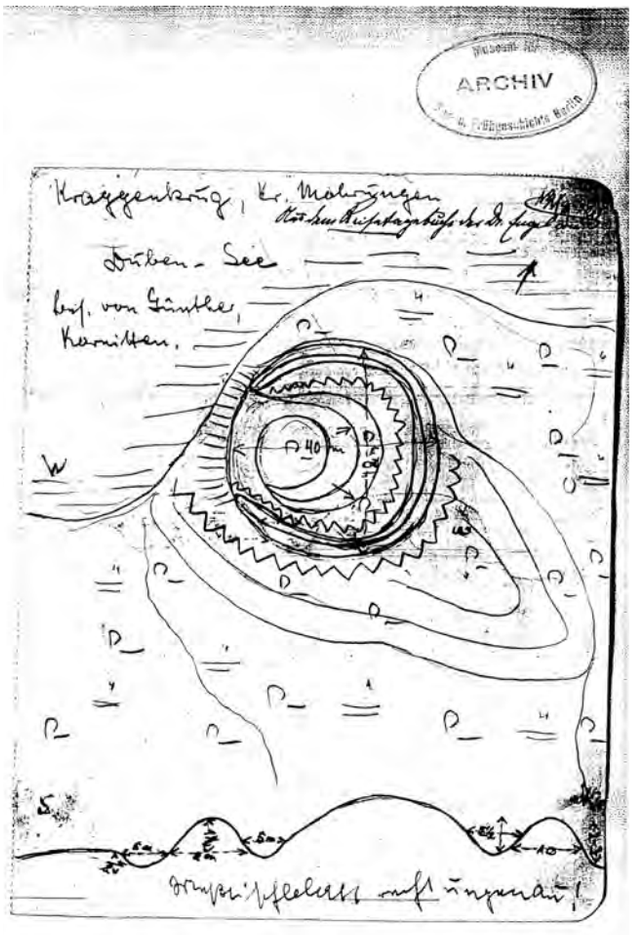

Ryc. 14. Duba, st. 1. Szkic grodziska wykonany przez Carla Engla w 1930 r. (Prussia-Museum Archiv)

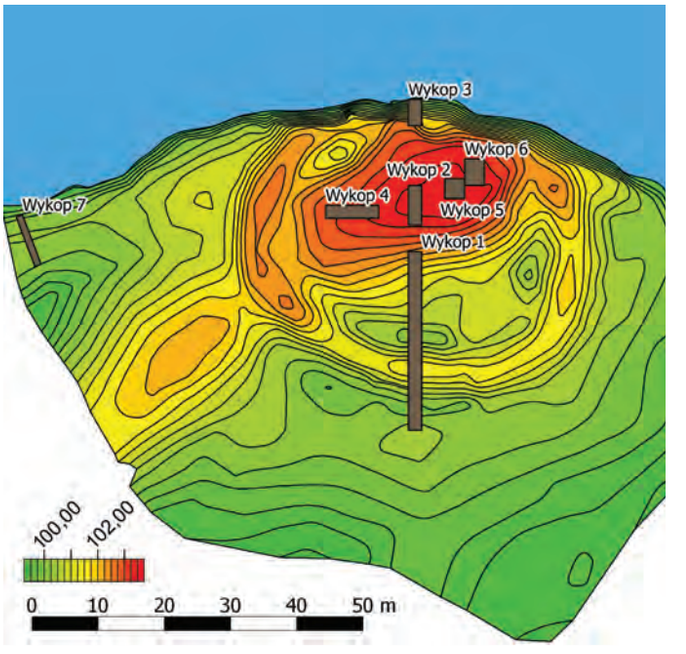

Ryc. 15. Plan warstwicowy grodziska w Dubie, st. 1 z zaznaczonymi wykopami badawczymi z roku 2012 (na podstawie pomiarów J. Błaszczyka, oprac. R. Solecki)

Tabela 1. Duba, st. 1. Badania w roku 2012. Katalog warstw i obiektów oraz ich zależności stratygraficznych (oprac. M. Rutyna)

Numer jednostki	Numer obiektu	Numer wykopu	Położenie w obrębie stanowiska	Opis jednostki stratygraficznej	Barwa (Munsell)	Pozycja stratygraficzna	
						Znajduje się pod	Znajduje się nad
1		1, 2, 3, 4, 5, 6	Stożek, fosa, grobla	Lekko zgliniony, ziemisty piasek. Miąższość do 15 cm. Humus	10YR 4/2	-	3, 16, 22, 26, 34
3		1, 2, 4	Stożek, fosa	Ił z domieszką piasku. Miąższość do 15 cm. Faza IV; naturalne narastanie gleby	10YR 5/2	1	4, 27, 45, 15
4		1	Stożek	Ilasty piasek. Miąższość do 1 m. Nasyp wału	10YR 4/6	3	31
9	9	1	Fosa	Szerokość (u góry) fosy zewnętrznej 9 wynosi około 4 m, a najniższy punkt znajduje się na poziomie 100 m n.p.m. Różnica wysokości pomiędzy dnem fosy, a szczytem wału po osi profilu E wynosi około 1,6 m. Dno fosy było płaskie	-	3	32
10		1	Stożek	Ziemisty, lekko ilasty piasek. Miąższość do 5 cm. Warstwa powstała w wyniku naturalnego narastania gleby	10YR 4/2	1	3
11	11	1	Fosa	Szerokość (u góry) fosy wewnętrznej 11 wynosi około 2,5 m, a najniższy punkt znajduje się na poziomie 100 m n.p.m. Różnica wysokości pomiędzy dnem fosy, a szczytem wału po osi profilu E wynosi około 1,6 m	-	42	32
15		4	Zachodni stok stożka wewnętrznego	Ilasty piasek. Calec	10YR 6/6	3	-
16		3	Na północnej krawędzi grodziska w miejscu podmycia wysoczyzny przez wody jeziora	Lekko zgliniony z domieszką piasku ił. Faza IV; naturalne narastanie gleby	10YR 5/4	1	17
17		3	Na północnej krawędzi grodziska w miejscu podmycia wysoczyzny przez wody jeziora	Jednorodny piasek. Calec	10YR 6/8	16	18
18		3	Na północnej krawędzi grodziska w miejscu podmycia wysoczyzny przez wody jeziora	Jednorodny piasek. Calec	10YR 8/2	17	-
19=25		5	Kulminacja stożka wewnętrznego	Gliniasty ił. Calec	10YR 5/6	36	-
20	20	5	Kulminacja stożka wewnętrznego	Dół posłupowy, o średnicy około 55 i głębokości 35 cm, w planie miał kształt okrągły	-	21	36
21	20	5	Kulminacja stożka wewnętrznego	Skupisko 20 kamieni, o średnicy do 20 cm, w obiekcie 20	-	22	20
22	20	5	Kulminacja stożka wewnętrznego	Ilasty piasek. Wypełnisko obiektu 20	10YR 5/3	1	21
26		6	Kulminacja stożka	Niejednorodny, lekko gliniasty piasek. Faza IV; naturalne narastanie gleby	10YR 6/4	1	36
27		1	Stok stożka	Jednorodny ił. Miąższość do 40 cm. Warstwa powstała w wyniku erozji stoku stożka	10YR 4/6	3	4
30		1	Stożek, fosa	Jednorodny piasek. Calec	10YR 3/4	31	32
31		1	Stożek, fosa	Jednorodny piasek. Calec	10YR 4/4	4	30
32		1	Stożek, fosa	Jednorodny piasek. Calec	10YR 7/2	30	-
34		7	Nasyp domniemanej grobli	Lekko zgliniony z domieszką piasku ił. Faza IV; naturalne narastanie gleby	10YR 6/3	1	35
35		7	Nasyp domniemanej grobli	Gliniasty ił. Calec	10YR 7/4	34	-
36		5	Kulminacja stożka wewnętrznego	Lekko zgliniony z domieszką piasku ił. Miąższość do 20 cm. Faza IV; naturalne narastanie gleby	10YR 5/3	20	19
42	11	1	Fosa	Jednorodny ił. Miąższość do 10 cm. Poziom użytkowy	10YR 4/1	3	11
45		2	Południowy stok stożka wewnętrznego	Ilasty piasek. Calec	10YR 7/2	3	-

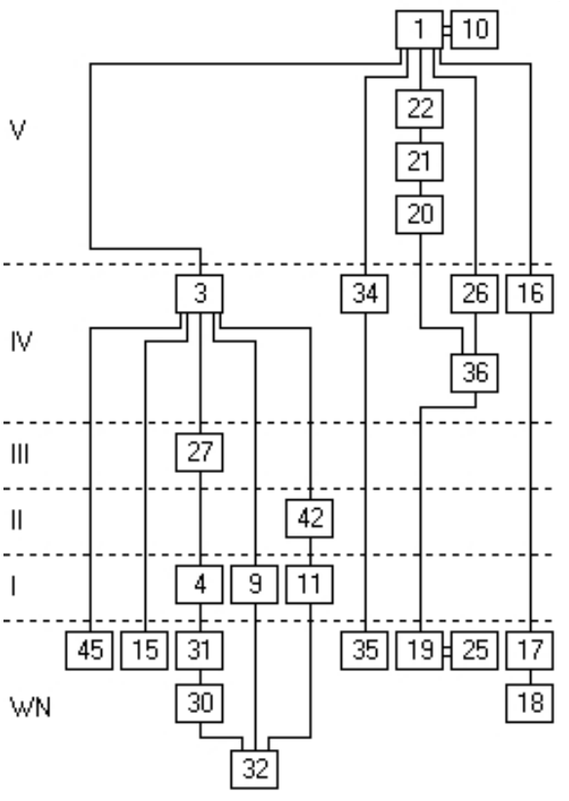

Ryc. 16. Duba, st. 1. Diagram relacji stratygraficznych (oprac. M. Rutyna)

2 x 8 m, wykop 5 o wymiarach 3 x 3 m oraz wykop 6 o wymiarach 3 x 4 m);
- na północnej krawędzi grodziska od strony jeziora, osiągając jego brzeg (wykop 3 o wym. 2 x 5 m);
- na północny-zachód od grodziska, na wale grobli (wykop 7 o wymiarach 1 x 8 m)

Stratygrafia stanowiska

W trakcie badań archeologicznych przeprowadzonych w 2012 roku wydzielono 25 jednostek stratygraficznych na terenie grodziska, które podzielono na pięć faz (tabela 1 i ryc. 16).

Warstwy naturalne

Na terenie grodziska zadokumentowano następujące warstwy naturalne: 30 (W1), 45 (W2), 18 i 17 (W3), 15 (W4), 19 i 25 (W5, W6) oraz 35 (W7). W wykopie 1 (wał, zagłębienie przywałowe i częściowo na majdanie) oraz wykopie 3 warstwy kulturowe zalegały na piasku. Natomiast w wykopie 2 i 4 spoczywały na ilastym piasku. Z kolei w wykopach 5, 6 i 7 warstwę naturalną tworzył gliniasty ił.

Faza I – budowa umocnień

Nawarstwienia Fazy I zaobserwowano tylko w wykopie 1. Związane są one z budową i użytkowaniem grodu. Wał usypano używając ilastego piasku 4, który prawdopodobnie wydobyto z terenów znajdujących się bezpośrednio na zewnątrz i wewnątrz tworzonego pasa fortyfikacji. Szerokość wału przy podstawie wynosiła 5,5 m. W tym czasie wyprofilowano również dno fosy 9 i zagłębienia przywałowego 11. Szerokość (u góry) fosy zewnętrznej 9 wynosi około 4 m, a najniższy punkt znajduje się na poziomie 100 m n.p.m. Różnica wysokości pomiędzy dnem fosy, a szczytem wału po osi wschodniej ściany wykopu wynosi około 1,6 m. Dno fosy było płaskie. Szerokość dna zagłębienia przywałowego 11 wynosi około 2,5 m, a najniższy jej punkt znajduje się na poziomie 100 m n.p.m. Różnica wysokości pomiędzy dnem fosy, a szczytem wału po osi ściany wschodniej wykopu około 1,6 m (ryc. 17–18).

Faza II – poziom użytkowy

W fazie tej na dnie zagłębienia przywałowego 11 (W1) powstał poziom użytkowy, reprezentowany przez jednorodny ił 42.

Faza III

Dokładna chronologia tej fazy jest niejasna. Zapewne jeszcze przed Fazą IV, w wyniku erozji wału, spłynęła w kierunku fosy zagłębienia przywałowego 11 warstwa jednorodnego iłu 27.

Ryc. 17. Duba, st. 1. Przekrój przez wał w południowej części grodziska (fot. B. Klęczar, oprac. M. Rutyna)

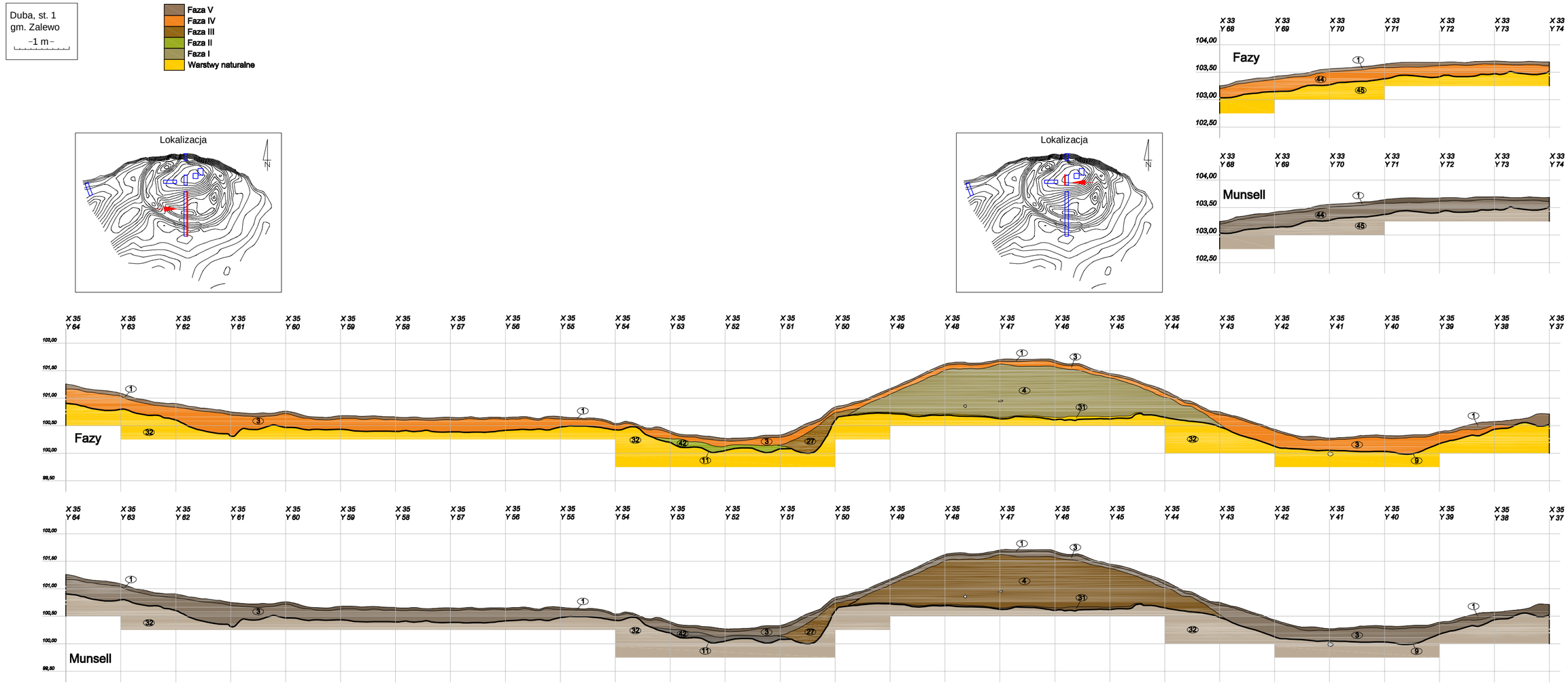

Ryc. 18. Duba, st. 1. Przekrój przez wał, fosę i zagłębienie przywałowe (oprac. J. Wysocki, M. Rutyna i R. Solecki)

Faza IV – naturalne narastanie gleby

Po opuszczeniu grodziska wały spłynęły w kierunku majdanu i fosy. W wykopie 1 fazę tą reprezentuje warstwa iłu z domieszką piasku 3. W wykopach 2–7 z fazą tą należy wiązać lekko, zgliniony z domieszką piasku ił 44 (W2), 16 (W3), 38 (W4), 36 i 37 (W5 i W6) oraz 34 (W7).

Faza V – poziom współczesny lub o nieokreślonej chronologii

Obecny poziom użytkowy tworzy lekko zgliniony, ziemisty piasek 1. Nie udało się określić chronologii dołu posłupowego 20 odkrytego w wykopie 5. Zadokumentowany obiekt, o średnicy około 55 i głębokości 35 cm, w planie miał kształt okrągły, a jego dno było płaskie. W jego wypełnisku wystąpiły liczne kamienie i fragmenty cegieł nowożytnych.

ZNALEZISKA

URSZULA KOBYLIŃSKA

W trakcie badań grodziska w Dubie, st. 1 znaleziono jedynie trzy fragmenty ceramiki: jeden z wczesnej epoki żelaza i dwa z czasów nowożytnych.

Z wczesnej epoki żelaza pochodzi fragment pochodzący z dolnej partii brzuśca, wielkości ok. 4,5 cm, wykonany z gliny pylastej, z masy ceramicznej o dwubarwnym przełamie, z domieszką gruboziarnistą kanciastych ziaren barwy różowej. Matowa i równa powierzchnia tego najprawdopodobniej grubościennego (ok. 0,9–1 cm) naczynia zasobowego ma barwę jasnobrązowo-rudą (2,5YR 5/4) od zewnątrz, z zaznaczającymi się ziarnami, i czarną (2,5YR 2,5/1) od wewnętrznej strony, bardziej gładką i równą niż zewnętrzna.

Z czasów nowożytnych pochodzi fragment naczynia toczonego, być może dzbana, wielkości ok. 3,5 cm z zachowanym wylewem, barwy ceglastej. Masywny wylew, szeroki, ukośnie ścięty, ma szorstką powierzchnię. Naczynie zostało wykonane z masy ceramicznej z małą ilością domieszki piasku. Fragmentaryczność zachowania nie upoważnia do określenia formy. Drugi nowożytny fragment, wielkości ok. 3,5 cm, pochodzi z naczynia wykonanego z ceglastej masy ceramicznej z niewielką ilością domieszki drobnego piasku o powierzchni zewnętrznej pokrytej zieloną polewą i od wewnątrz brązową. Fragment jest mocno zniszczony, z odłupaną powierzchnią i śladem po oderwanym uchu.

W warstwie humusu w fosie znaleziono bliżej nieokreślony przedmiot z żelaza, długości 36 cm, szerokości 1 cm, w przekroju prostokątny, grubości ok. 0,4 cm. Jeden koniec jest zaokrąglony i zaopatrzony jest w okrągły otwór po nicie; drugi koniec jest zaostrzony. Chronologia tego przedmiotu jest niemożliwa do ustalenia, jednak jego znalezisko w humusie sugeruje związek z czasami nowożytnymi.

W czasie badań znaleziono także okucie wzmacniające spodnią część buta. Podkówka, w przekroju płasko-wypukła, ma wąskie ramiona szerokości 0,9 cm, a ich rozpiętość wynosi 8 cm. Na ramionach, jednolitej szerokości, widoczne są trzy otwory po gwoździach mocujących, średnicy 0,5 cm i jeden ucięty gwóźdź tkwiący wewnątrz otworu. Końcówki ramion, mające zwykle w tego rodzaju przedmiotach postać zagiętych haczyków, nie zachowały się. Przymocowywane podkówki do podeszwy zabezpieczały przed ścieraniem obcasów, a przez to szybkim zniszczeniem. Pierwsze znane takie małe podkówki zaopatrzony w wysokie boki oraz zaczepy, pojawiają się w XIII wieku[5]. Wąska podkówka znaleziona w Dubie, st. 1 pochodzi jednak raczej z młodszych czasów. Zabezpieczała skórzane obcasy butów być może wojskowych.

Znalezione w czasie badań grodziska wiór krzemienny i być może gładzik kamienny, z pewnością nie wiążą się z pozostałościami fortyfikacji i odzwierciedlają sporadyczną obecność człowieka na tym miejscu w epoce mezolitu.

CHRONOLOGIA STANOWISKA

MAGDALENA RUTYNA I JACEK WYSOCKI

Na podstawie znalezisko fragmentu ceramiki z wczesnej epoki żelaza można przypuszczać, że stanowisko to powstało we wczesnej epoce żelaza. Sporadyczna działalność człowieka na tym miejscu miała miejsce w epoce mezolitu oraz w czasach nowożytnych.

DZIEJE GRODZISKA W DUBIE, ST. 1

Pod budowę grodu w Dubie, st. 1 wykorzystano miejsce o naturalnej obronności, usytuowane na wyniesieniu otoczonym niedostępnymi bagnami i trzęsawiskami oraz sąsiadującym z jeziorem, z dostępem tylko z jednej strony naturalną groblą terenową. Na wierzchowinie wyniesienia planowano zapewne zlokalizowanie jakiegoś obiektu mieszkalnego. Teren na południe od niego był prawdopodobnie zaplanowany jako majdan grodu. Fortyfikację w postaci wału ziemnego usypano od strony wschodniej, południowej i zachodniej, tworząc jednocześnie fosę zewnętrzną, oraz wewnętrzne zagłębienie przywałowe. Prawdopodobnie wał istniał także od strony jeziora, jednakże procesy erozji bocznej akwenu doprowadziły do jego zniszczenia na skutek osunięcia podmywanego brzegu. Wał pierścieniowy usypano, bez wcześniejszego przygotowania terenu, o czym świadczy zachowana cienka warstwa humusu pierwotnego pod nasypem wału, z materiału piaszczysto-ilastego wydobytego z terenów znajdujących

[5] Gierlach 1972: 48–49.

się bezpośrednio na zewnątrz i wewnątrz tworzonego pasa fortyfikacji, co spowodowało względne podwyższenie wału i powstanie suchej fosy. Obiekt sprawia wrażenie niedokończonego, ze względu na brak śladów konstrukcji przedpiersia na koronie wału pierścieniowego oraz ze względu na brak śladów jakichkolwiek konstrukcji wewnątrz pierścienia umocnień. Nie odkryto żadnych śladów zabudowy na majdanie, ani śladów zabezpieczenia zagłębienia przywałowego. Nie zarejestrowano również śladów konstrukcji domniemanego obiektu na terenie wyniesienia wewnątrz pierścienia wału (stożka wewnętrznego).

Forma obiektu (przypominająca średniowieczne fortyfikacje typu *motte*) mogłaby sugerować jego chronologię średniowieczną, jednak brak całkowicie znalezisk z tego okresu, pomimo przebadania wykopaliskowego znacznej powierzchni grodziska w różnych jego partiach. W tej sytuacji jedyną przesłanką do datowania grodziska może być znalezisko pojedynczego fragmentu ceramiki z wczesnej epoki żelaza. Być może gród, wzniesiony we wczesnej epoce żelaza, był sporadycznie użytkowany również w okresie średniowiecza, jednak brak jest śladów podwyższania, czy naprawy wału, który jest jednofazowy. Jakiegoś rodzaju sporadyczną działalność człowieka w okresie nowożytności poświadczają znaleziska ceramiki z polewą, wystąpienie fragmentów cegieł w wypełnisku dołu posłupowego na stożku grodziska oraz znalezisko żelaznego wzmocnienia obcasa.

Janiki Wielkie, st. 2

Gmina Zalewo

Powiat iławski

AZP 23-54/2

Współrzędne geograficzne:

N 53° 49’ 41,39’’

E 19° 43’ 41,44’’

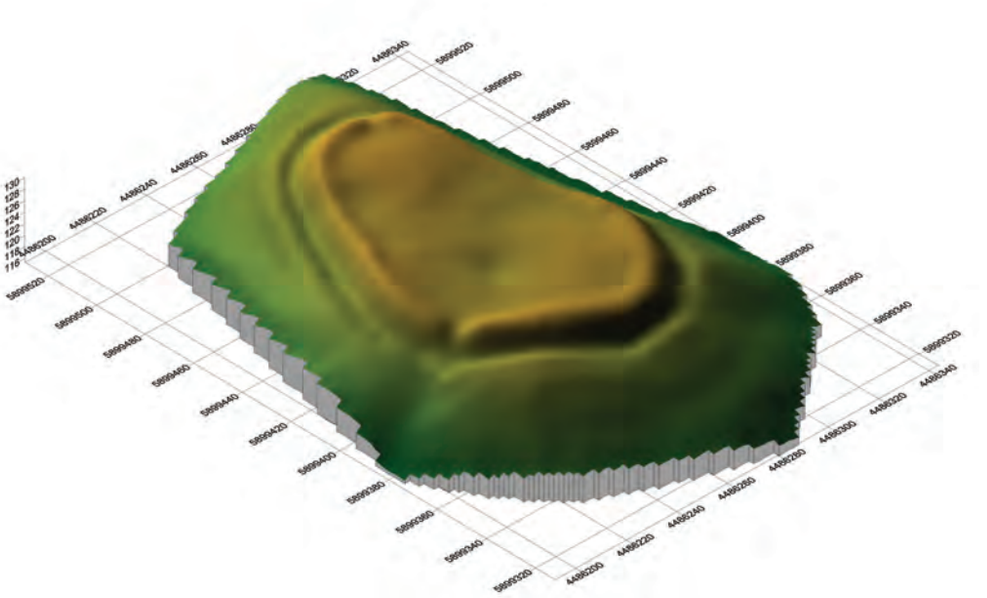

Ryc. 1. Grodzisko w Janikach Wielkich, st. 2 na mapie w skali 1:25 000 (na podstawie materiałów CODGiK, oprac. R. Solecki)

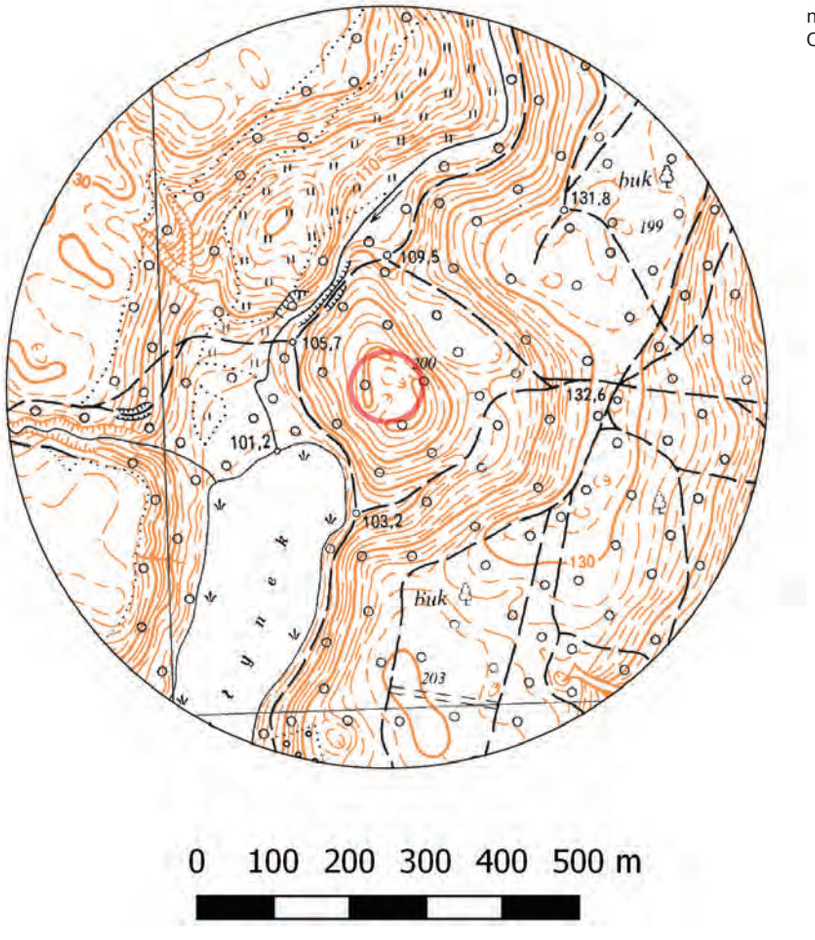

Ryc. 2. Grodzisko w Janikach Wielkich, st. 2 na mapie w skali 1:10 000 (na podstawie materiałów CODGiK, oprac. R. Solecki)

POŁOŻENIE GRODZISKA I JEGO FORMA

KAMIL RABIEGA, MAGDALENA RUTYNA I DARIUSZ WACH

Grodzisko znajduje się przy północnym brzegu jeziora Młynek (ryc. 1–2). Wzniesione zostało na wzgórzu, oddzielonym od sąsiednich wzniesień dolinami, które prawdopodobnie stanowiły pierwotnie zatoki jeziora. Grodzisko, o wymiarach około 91 x 140 m, wyniesione jest ponad poziom jeziora o ponad 25 m. Od strony południowo-zachodniej stok wzgórza opada stromo w kierunku jeziora. Obwałowanie grodziska wznosi się nieco ponad 130 m n.p.m. Majdan, o powierzchni około 60 arów, otoczony jest wałem wewnętrznym dochodzącym do wysokości 1,5 metra (ryc. 3). Grodzisko otacza także sucha fosa, którą wykopano na stokach wzgórza, 6 metrów poniżej korony wału wewnętrznego. Jej szerokość wynosi około 3–4 m, a głębokość około 1,5–2 m. Dodatkowo fosa została otoczona wałem zewnętrznym o wysokości do 2 m (ryc. 4). W północnej i w południowo-zachodniej części grodziska znajdowały się przejścia bramne przez wały (ryc. 5–6).

ŚRODOWISKO FIZYCZNO-GEOGRAFICZNE

JERZY NITYCHORUK I FABIAN WELC

Na *Szczegółowej mapie geologicznej Polski w skali 1:50 000, arkusz Dobrzyki*[1] okolice obiektu są zbudowane z gliny zwałowej, a sam obiekt leży na jednym z pagórków kemowych, których w tej okolicy jest kilka (ryc. 9). Formy te pochodzą ze stadiału górnego zlodowacenia Wisły.

Pagórek, na którym znajduje się grodzisko, ma 40 metrów wysokości, w stosunku do poziomu przylegającego od południa jeziora Młynek, od zachodu otacza go rynna subglacjalna, a od północnego-wschodu i południowego wschodu rozcięcia erozyjne. Naturalne, świetne walory obronne podkreślone są przez dobrze zachowane obwałowanie. Pagórek kemowy przykrywa warstwa gliny zwałowej nawiercona w zachodniej jego części. We wschodniej części pagórka nawiercono piasek drobnoziarnisty – kemowy (ryc. 10–11).

Miąższość nasypów formujących wał zewnętrzny obecnie wynosi 1,5 m (wiercenie JW – 1), głębokość fosy wynosiła przy jej powstaniu 1,5 m (wiercenie JW – 2) i 1,3 m (wiercenie JW – 7), wysokość nasypów wału wewnętrznego osiągała 2 m (wiercenie JW – 3) i 1,6 m (wiercenie JW – 6).

[1] Rabek i Narwojsz 2008.

Ryc. 3. Janiki Wielkie, st. 2. Widok na wał od strony majdanu (fot. Z. Kobyliński)

Ryc. 4. Janiki Wielkie, st. 2. Wał zewnętrzny i fosa (fot. J. Wysocki)

Ryc. 5. Janiki Wielkie, st. 2. Przejście bramne w północnej części grodziska. Widok na stanowisko od strony północnej (fot. J. Wysocki)

Ryc. 6. Janiki Wielkie, st. 2. Przejście bramne w południowo-zachodniej części grodziska. Widok z majdanu od strony północno-wschodniej (fot. J. Wysocki)

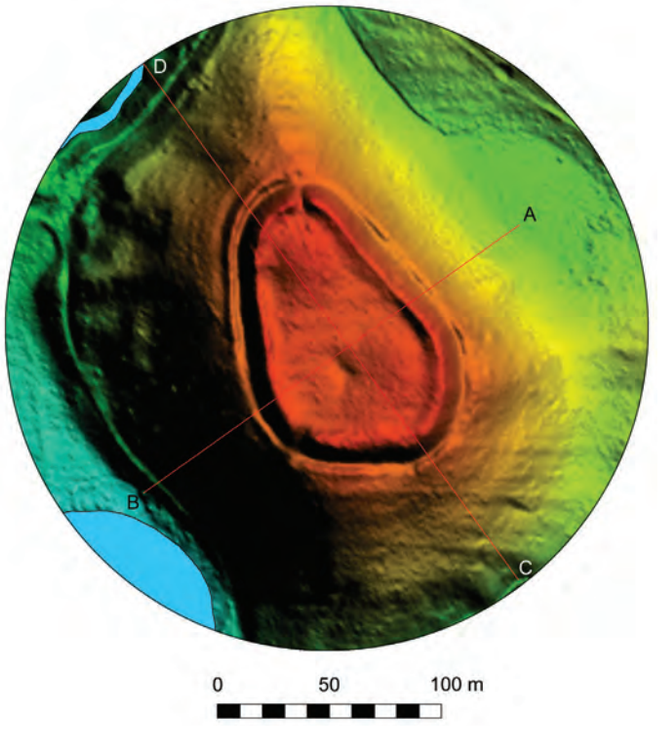

Ryc. 7. Grodzisko w Janikach Wielkich, st. 2 na zobrazowaniu ALS (na podstawie materiałów CODGiK, oprac. R. Solecki).

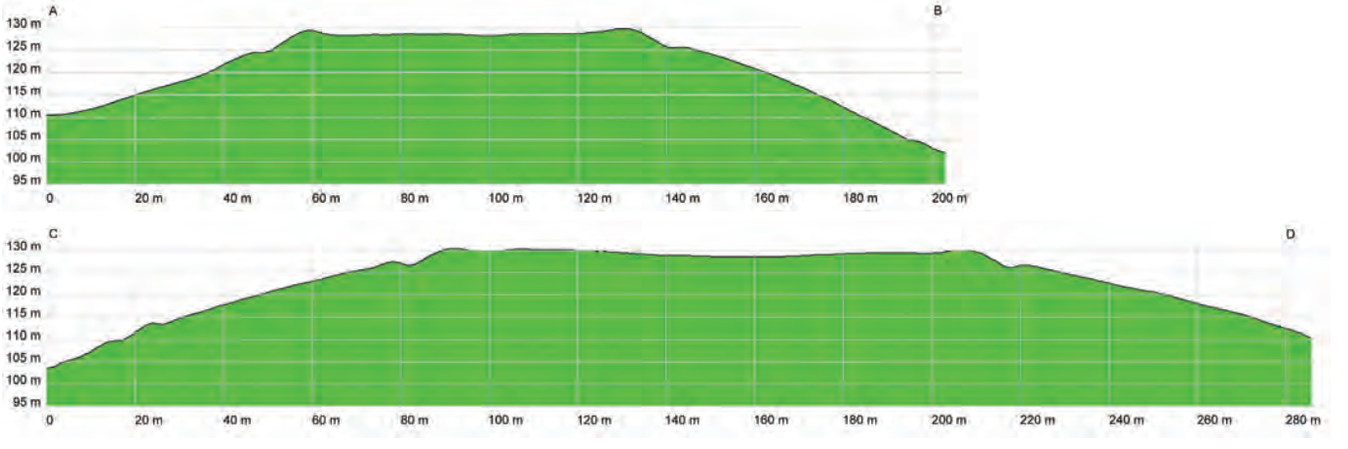

Ryc. 8. Przekrój grodziska w Janikach Wielkich, st. 2 uzyskany z danych ALS (na podstawie materiałów CODGiK, oprac. R. Solecki)

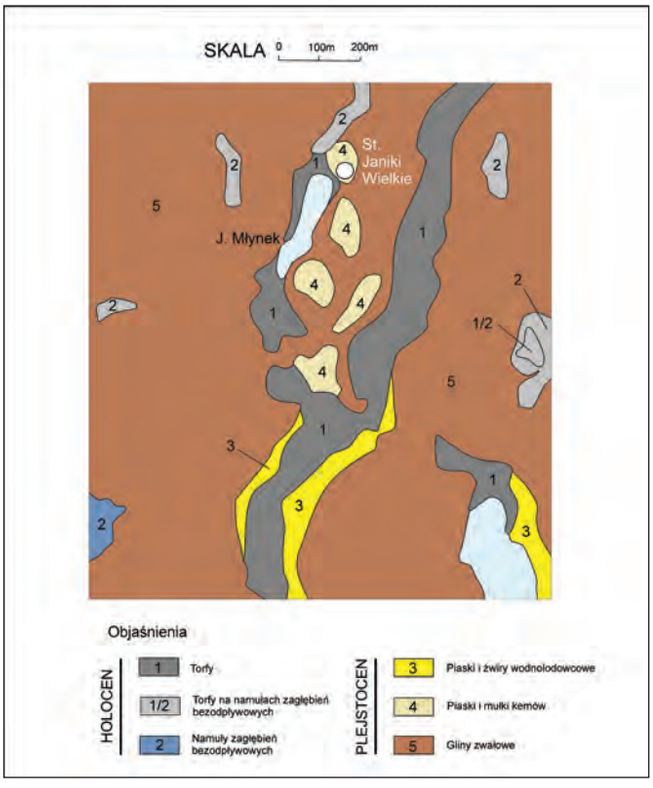

Ryc. 9. Mapa geologiczna okolic grodziska w Janikach Wielkich, st. 2 (oprac. J. Nitychoruk i F. Welc)

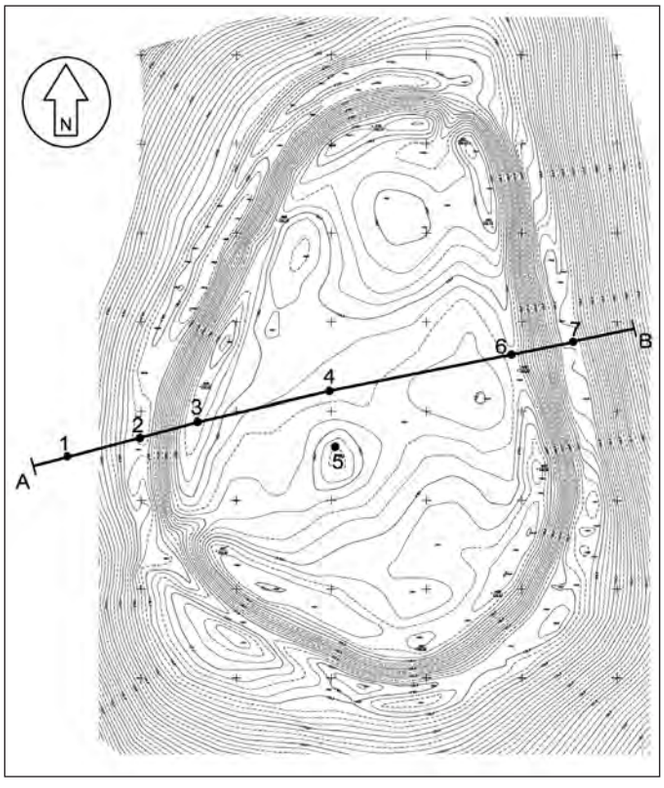

Ryc. 10. Plan warstwicowy grodziska w Janikach Wielkich, st. 2 (wyk. J. Błaszczyk) z zaznaczonymi miejscami wierceń geologicznych (oprac. J. Nitychoruk i F. Welc)

BADANIA ARCHEOLOGICZNE

KAMIL RABIEGA, MAGDALENA RUTYNA I DARIUSZ WACH

Przebieg badań terenowych

Grodzisko w Janikach Wielkich, st. 2 zostało wymienione przez starostę morąskiego w sprawozdaniu do nadprezydenta z 19 września 1825 roku[2]. Pisał on, iż w lesie Jaśkowskim, około 1000 kroków na wschód od młyna w Janikach Wielkich, na szczycie wysokiego wzgórza znajduje się grodzisko otoczone wałami. Według opisu, na terenie grodziska miały znajdować się pozostałości murowanej budowli, jednak późniejsze sprawozdania tego nie potwierdzają[3]. W latach 1826–1828 stanowisko było wizytowane przez Johanna Michaela Guisego, który sporządził jego szkic[4]. W latach 1930. Hans Crome zakwalifikował grodzisko jako pruskie i lokalizował je w miejscowości *Jaskendorf* (Jaśkowo)[5].

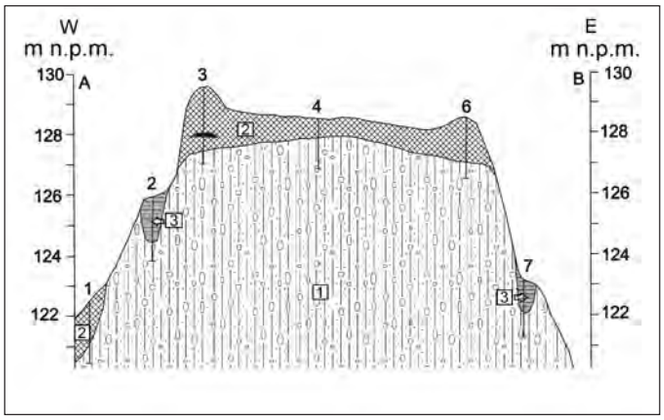

Ryc. 11. Janiki Wielkie, st. 2. Przekrój geologiczny: 1 – glina zwałowa, 2 – warstwa archeologiczna, 3 – osady mułkowo-organiczne, wypełnisko fosy (oprac. J. Nitychoruk i F. Welc)

W 1963 r. grodzisko było wizytowane podczas badań AZP przez Romualda Odoja[6], a w 1968 r. zostało wpisane do rejestru zabytków archeologicznych.

Badania archeologiczne na grodzisku przeprowadzone zostały w ramach realizacji projektu *Katalog*

[2] AWUOZ w Elblągu: teczka Janiki Wielkie.

[3] SMPK MVF: PM-A 1641/1, k. 171–172; Szczepański 2013: 241.

[4] Guise-Zettel: PM IXh 00051b. W katalogu stanowisko przypisane do miejscowości *Kraggenkrug*.

[5] Crome 1937: 108, 1938: 318.

[6] ADA MWiM w Olsztynie: teczka Janiki Wielkie.

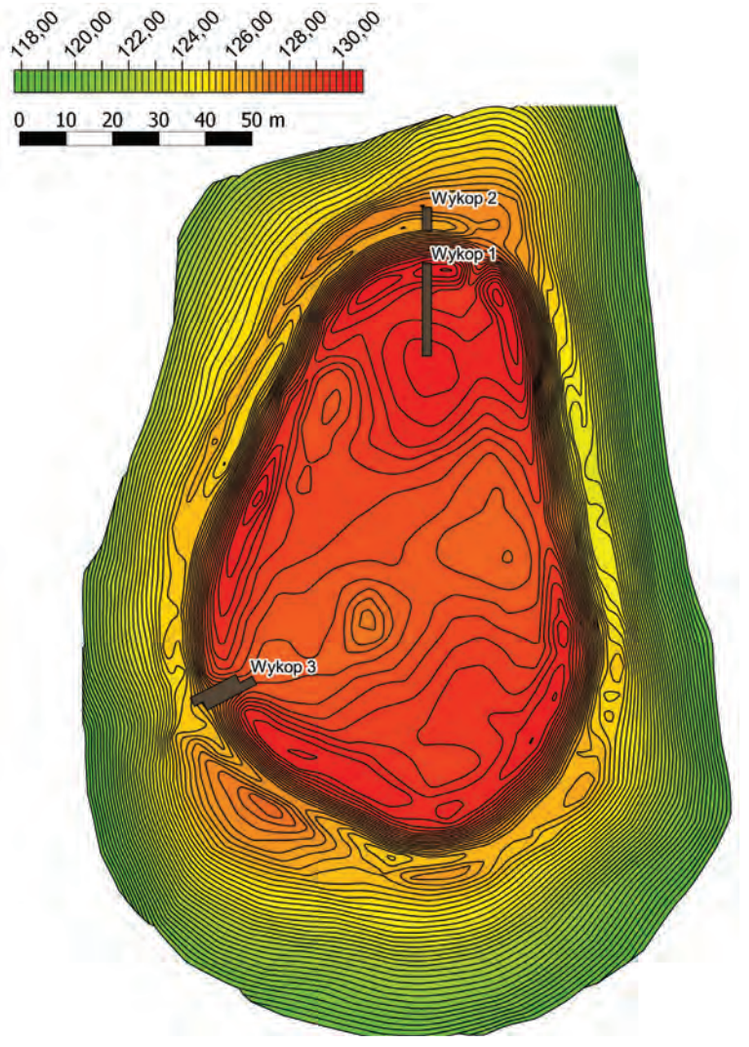

Ryc. 12. Plan sytuacyjno-wysokościowy grodziska w Janikach Wielkich, st. 2 z rozmieszczeniem wykopów z sezonów 2013 i 2016 (na podstawie pomiarów J. Błaszczyka, oprac. R. Solecki)

grodzisk Warmii i Mazur w roku 2013 (północna część grodziska) i 2016 (część południowa). W trakcie prac wykopaliskowych otworzono trzy wykopy o łącznej powierzchni 96 m² (ryc. 12).

Wykop 1 usytuowano w północnej części grodziska. Miał on 20 m długości i 2 m szerokości. Dłuższą osią zorientowany był po linii północ–południe. Przecinał wewnętrzną część i szczyt wału grodziska. Zamiarem badawczym było rozpoznanie nawarstwień i śladów ewentualnych konstrukcji wału wraz z częścią wewnętrznego obszaru bezpośrednio do wału przylegającego. W obrębie wykopu 1 rozpoznano strukturę nawarstwień wału dochodzącą do 1,9 m, z kolei w obrębie majdanu do 70 cm.

Wykop 2 (o wymiarach 5 m długości i 2 m szerokości, dłuższą osią zorientowany w kierunku północ–południe) założono na przedłużeniu wykopu 1, 6 m na północ od jego krawędzi. Obejmował obszar fosy oraz południowy stok wału zewnętrznego. Miąższość warstw archeologicznych w fosie dochodziła do 1,3 m.

W południowo-zachodnim przejściu bramnym grodziska wytyczono wykop 3, którego powierzchnia wynosiła 46 m². Miał on 14 m długości i 4 m szerokości, jednak ze względu na rosnące w narożnikach wykopu drzewa, z badań wyłączono 6 m² w północnej części i 4 m² w części południowej. Rozpoznana struktura nawarstwień kulturowych dochodziła do 1,7 m głębokości.

Stratygrafia stanowiska

W trakcie badań archeologicznych przeprowadzonych w 2013 i 2016 roku wydzielono łącznie 143 jednostki stratygraficzne, które podzielono na siedem głównych faz związanych z użytkowaniem tego obiektu (tab. 1 i ryc. 13).

Warstwy naturalne

Warstwy kulturowe stanowiska zalegały we wszystkich wykopach na twardej naturalnej glinie 19=93.

Faza I – wczesna epoka żelaza

Faza I związana jest z budową i użytkowaniem grodu we wczesnej epoce żelaza. Powstał wówczas wał grodziska (W1) oraz fosa (W2). Wał (W1) usypano z warstw twardej, jednorodnej gliny 53, 55, 56 i 57 oraz drobnoziarnistego, ilastego piasku 38a (ryc. 15–16).

Na stropie warstwy 38a odkryto owalny w planie dół posłupowy 37, o przekroju U-kształtnym, z wypełniskiem piaszczystej, sypkiej, jednorodnej ziemi 36.

Z tą fazą można wiązać wyprofilowanie koryta fosy 16 (W2) oraz relikt jej najstarszego poziomu użytkowego, który reprezentowany jest przez twardą, jednorodną glinę 66 oraz soczewkę gliny 67 (ryc. 14). Szerokość fosy u góry wynosi około 2 m, a najniższy jej punkt znajduje się na poziomie 125,10 m n.p.m. Różnica wysokości pomiędzy dnem fosy, a szczytem wału po osi profilu W wynosi około 5 m. Fosa miała V-kształtny przekrój.

W wykopie 3 natrafiono na jamy, które mogą także można wiązać z osadnictwem we wczesnej epoce żelaza. Jest to owalny obiekt 136 z wypełniskiem jasnoszarego ilastego sedymentu z drobnymi węglami 135, a także obiekt 137 z wypełniskiem szarej ilastej ziemi z węgielkami 134.

Faza II – opuszczenie grodziska z wczesnej epoki żelaza

W tej fazie, w wyniku naturalnego narastania gleby w wykopie 2, w fosie powstała warstwa niejednorodnego, ilastego piasku 25=31, niejednorodna glina 34 i piaszczysto-gliniasta soczewka 47.

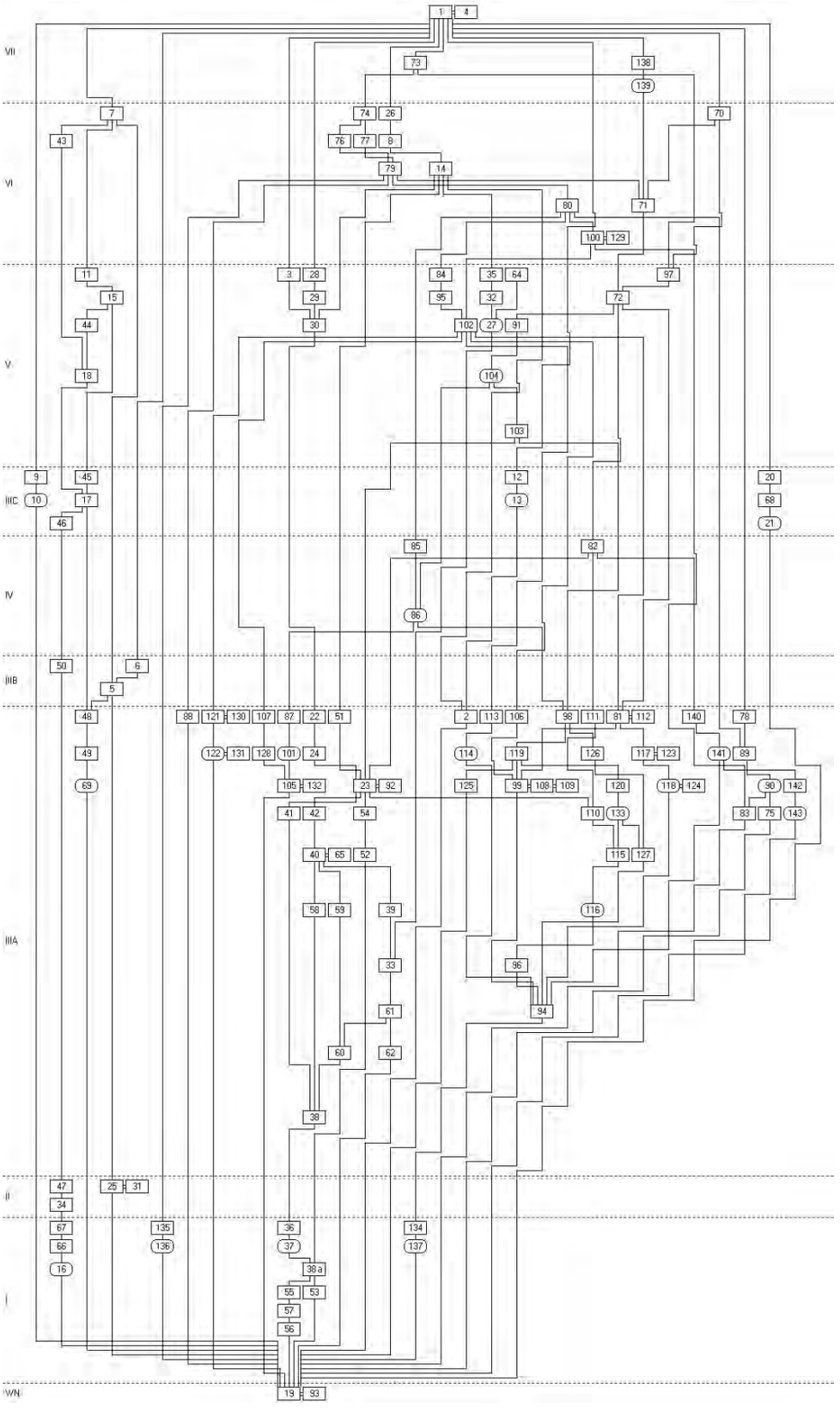

Ryc. 13. Janiki Wielkie, st. 2. Diagram relacji stratygraficznych (oprac. K. Rabiega)

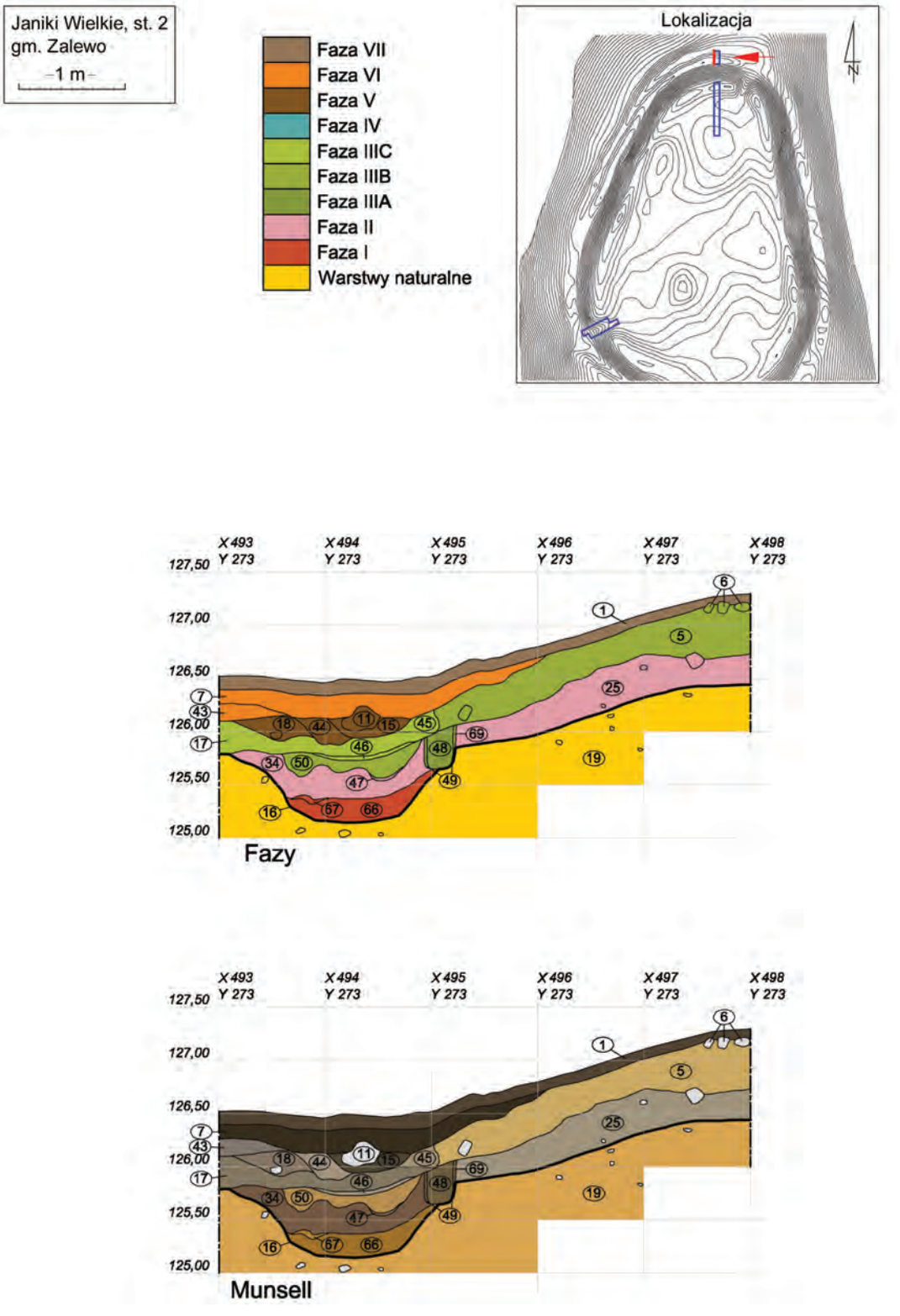

Ryc. 14. Janiki Wielkie, st. 2. Ściana zachodnia wykopu 2 (oprac. D. Wach, M. Rutyna, K. Rabiega i R. Solecki)

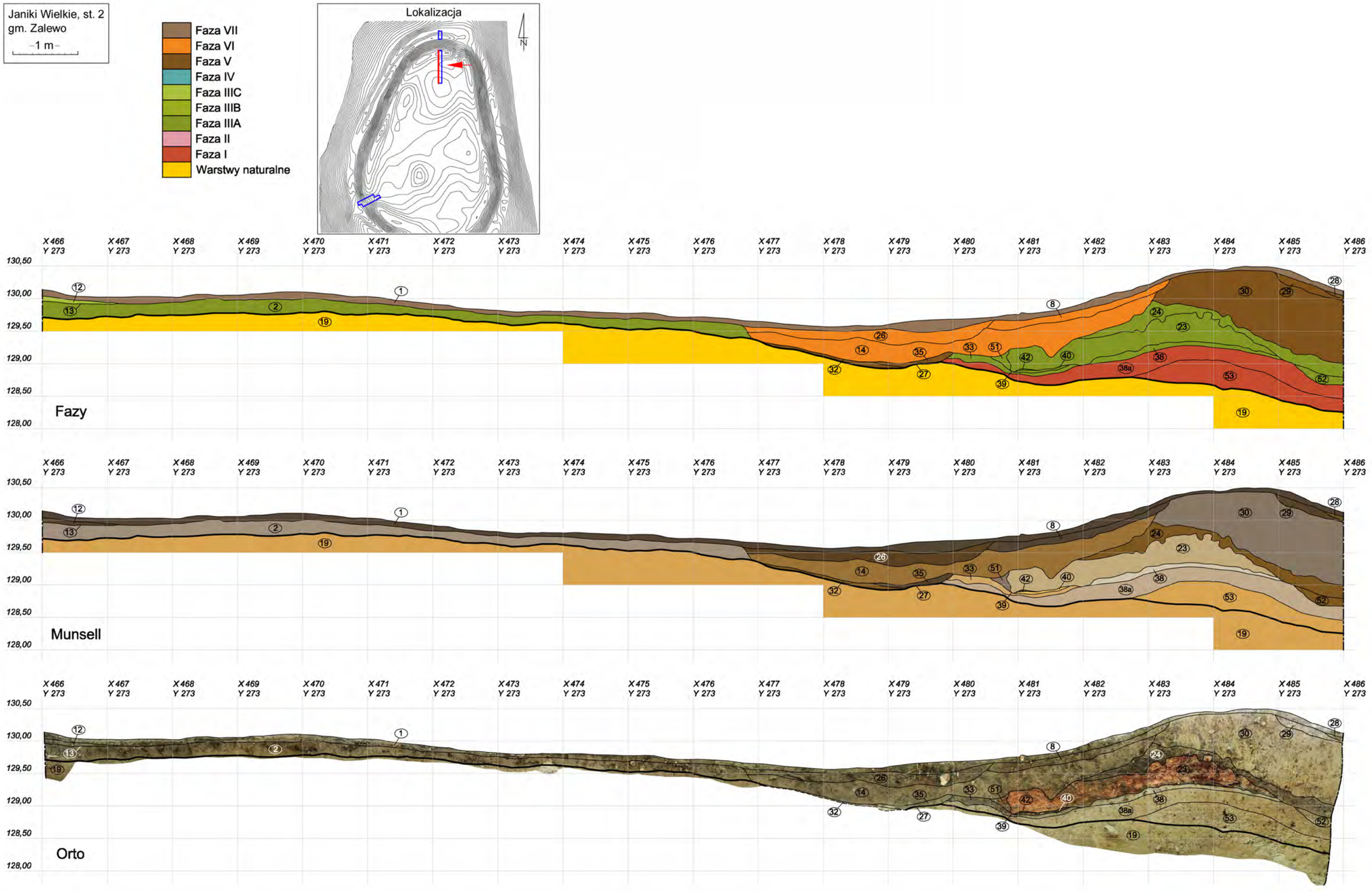

Ryc. 15. Janiki Wielkie, st. 2. Ściana zachodnia wykopu 1 (oprac. D. Wach, M. Rutyna, K. Rabiega i R. Solecki)

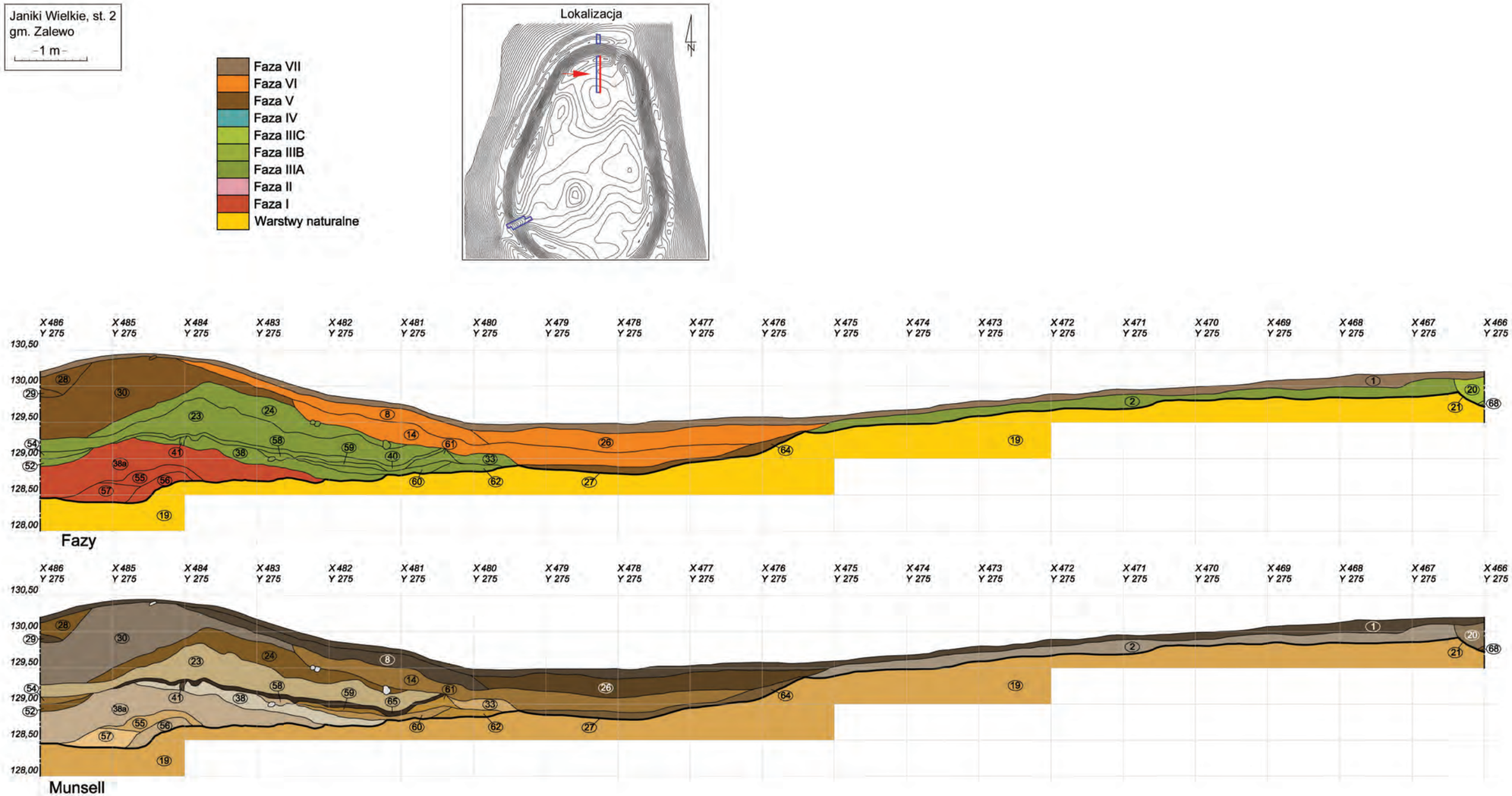

Ryc. 16. Janiki Wielkie, st. 2. Ściana wschodnia wykopu 1 (oprac. D. Wach, M. Rutyna, K. Rabiega i R. Solecki)

Faza III – starsze fazy wczesnego średniowiecza (?)

Faza IIIA

We wczesnym średniowieczu, po zniwelowaniu warstw powstałych w wyniku naturalnego narastania gleby po opuszczeniu grodziska, na stropie warstwy 38a z Fazy I nadsypano wał oraz wzniesiono drewnianą ścianę na jego szczycie. Zewnętrzny płaszcz wału (W1) usypano z następujących warstw: twardego, jednorodnego piasku 33, drobnoziarnistego, ilastego piasku 38, twardej, jednorodnej gliny 52, twardej, jednorodnej gliny 54, gliniastego piasku 58, gliniastego piasku 59, jednorodnej gliny 61, jednorodnej gliny 62 oraz gliniastego piasku 60.

W wyniku spalenia ściana przewróciła się. W północnej części grodziska (W 1) zarejestrowano spalone bierwiona 41 i 42, wypełniające płytkie, rynnowate w przekroju zagłębienie 39, piasek z dużą ilością węgli drzewnych 40=65 oraz grubą warstwę polepy 23=92 (ryc. 17) i piasku z fragmentami polepy 24. Powyżej powstała piaszczysto-gliniasta soczewka 51. Na warstwie 24 znaleziono fragment spalonej belki 22, o przekroju ok. 10 cm i zorientowanej po osi W–E. Na majdanie grodziska (W1) powstał wówczas poziom użytkowy, reprezentowany przez twardy, jednorodny piasek 2.

Zapewne z tym horyzontem należy wiązać częściowe oczyszczenie fosy (W2) oraz umocnienie jej północnego stoku. W ścianie W zadokumentowano ślad dołu posłupowego 69. Obiekt ten w planie miał kształt połowy owalu (druga połowa wchodziła w ścianę wykopu), a jego dno było płaskie. Wewnątrz zarejestrowano twardą, niejednorodną glinę 48 oraz glinę 49.

Z tej samej fazy pochodzą także jednostki stratygraficzne, które wiążą się z budową i funkcjonowaniem bramy w południowo-zachodniej części grodu (W3) (ryc. 18–21). W przestrzeni korytarza bramy, na naturalnej pomarańczowej glinie 19=93, nadsypano warstwę drobnoziarnistego jasnego piasku 94 oraz jasną, ilastą ziemię 96, które tworzyły pionową ściankę (wraz z rumoszem polepowym 23=92), stanowiącą granicę wału (lub jego destruktów) i przestrzeni korytarza bramnego. Na warstwie tej natrafiono na ślady spalenizny (belki): warstwa ilastego jednorodnego jasnoszarego popiołu 127 oraz skupisko drobnych węgli o regularnym, kwadratowym kształcie, z jasnymi piaszczystymi wtrętami 126. Ścianka warstw 94 i 96 została zabezpieczona od strony SW konstrukcją, która chroniła przed osuwaniem się. W ten sposób po zachodniej stronie wzdłuż warstwy 94 i 96 oraz ściany 23=92 powstał rowek 116, o długości blisko czterech metrów, wypełniony brązowo-szarą ziemią 115. Od strony N i S granica rowka kończyła się dołami posłupowymi:

- granica N rowka 116 – mały, U-kształtny dół posłupowy 143 z czarnym piaszczystym wypełniskiem 142 oraz duży dół posłupowy 141, widoczny w ścianie N, z wypełniskiem czarnej tłustej organicznej ziemi z dużą ilością fragmentów węgli 140. Obiekt charakteryzował się U-kształtnym przekrojem podłużnym, poszerzającym się znacznie w partiach wyższych;
- granica S rowka 116 – obiekt 133 widoczny w planie, a także ścianie wschodniej, z wypełniskiem szarobrązowej ziemi z polepami 120. Składał się z okrągłego dołu posłupowego o U-kształtnym przekroju, a także z przystającej, prostokątnej formy, ograniczonej z dwóch stron zagłębieniami, które sugerują pewnego rodzaju zabezpieczenie.

Ryc. 17. Janiki Wielkie, st. 2. Przepalona warstwa gliny w ścianie zachodniej wykopu 1 (fot. D. Wach)

Na szczycie wału, powyżej drobnoziarnistego jasnego piasku 94 oraz jasnej, ilastej ziemi 96, wzniesiono ścianę o konstrukcji drewniano-glinianej. W wyniku spalenia ściana przewróciła się, pozostawiając ślady w postaci pasa spalonych belek 110 i 111, a powyżej grubej warstwy różowo-pomarańczowej polepy 23=92. Zaobserwowano również, widoczne w ścianie zachodniej, pozostałości po przewróconej ścianie w postaci niejednorodnej, ilasto-piaszczystej warstwy 81=112 z dużą ilością drobnych grudek pomarańczowej polepy, a także warstwy pomarańczowo-czerwonej ziemi 99=108=109. Nad nią w planie rysował się nieduży wypukły płat nieregularnego kształtu – depozyt jasnej, ilastej ziemi 106, z kilkoma kamieniami w stropie warstwy.

Z konstrukcją bramną wiązały się także odsłonięte doły posłupowe. W najwyższej partii wału zadokumentowano U-kształtny w przekroju podłużnym i okrągły w przekoju poprzecznym obiekt 118=124 z wypełniskiem ciemnobrązowej ziemi oraz dużej ilości polep i kamieni na dnie 117=123. Owalny dół posłupowy 114 został wkopany w starszy obiekt z wczesnej epoki żelaza. Wypełniony był ciemnobrązową piaszczystą ziemią 113, a na dnie znajdował się kamień o średnicy ok. 40 cm. Pomiędzy dołami

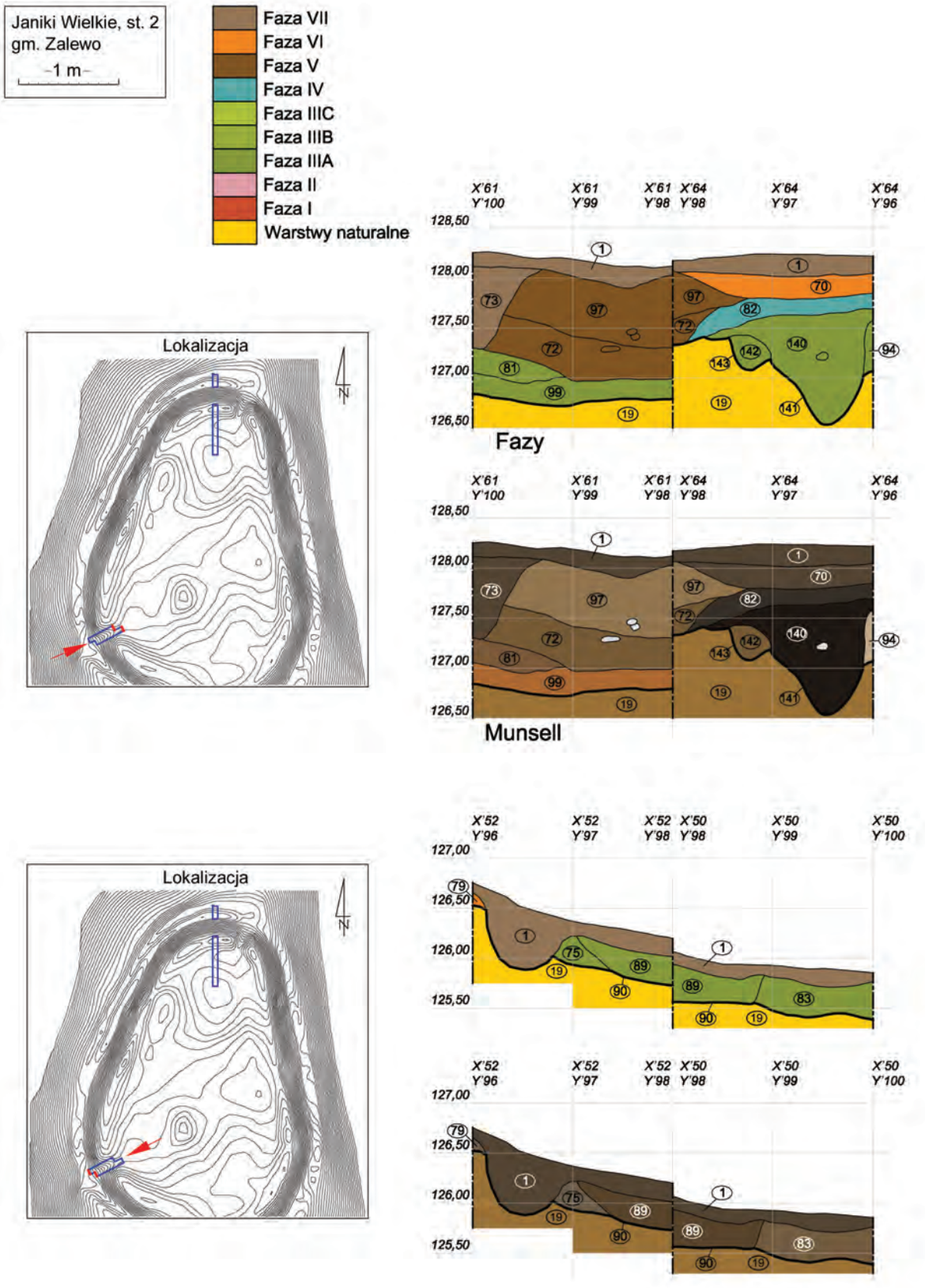

Ryc. 18. Janiki Wielkie, st. 2. Ściana wschodnia i zachodnia wykopu 3 (oprac. K. Rabiega i R. Solecki)

Janiki Wielkie, st. 2
gm. Zalewo
–1 m–

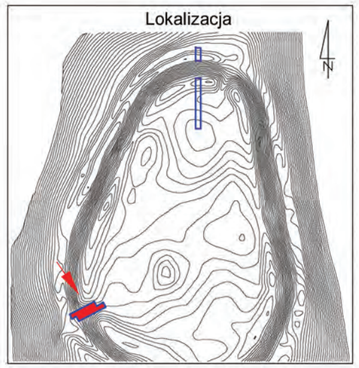

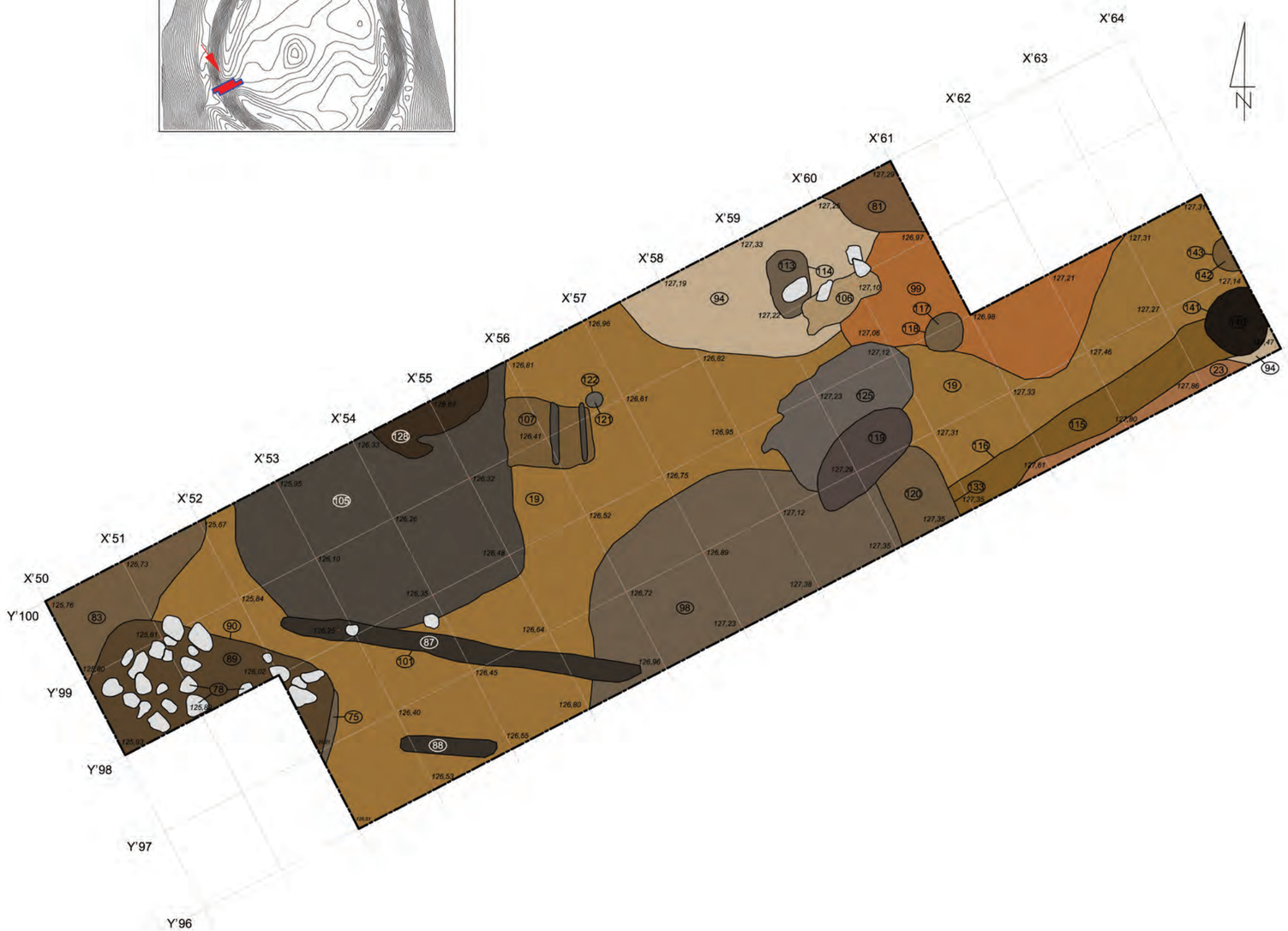

Ryc. 19. Janiki Wielkie, st. 2. Plan obiektów i nawarstwień z Fazy IIIA w wykopie 3 (oprac. K. Rabiega i R. Solecki)

Janiki Wielkie, st. 2
gm. Zalewo
1 m

Faza VII
Faza VI
Faza V
Faza IV
Faza IIIC
Faza IIIB
Faza IIIA
Faza II
Faza I
Warstwy naturalne

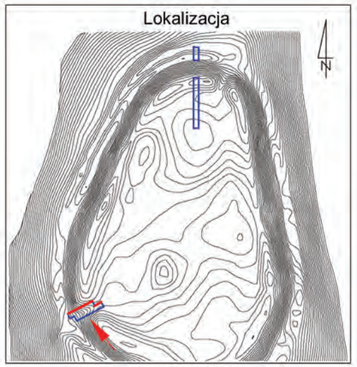

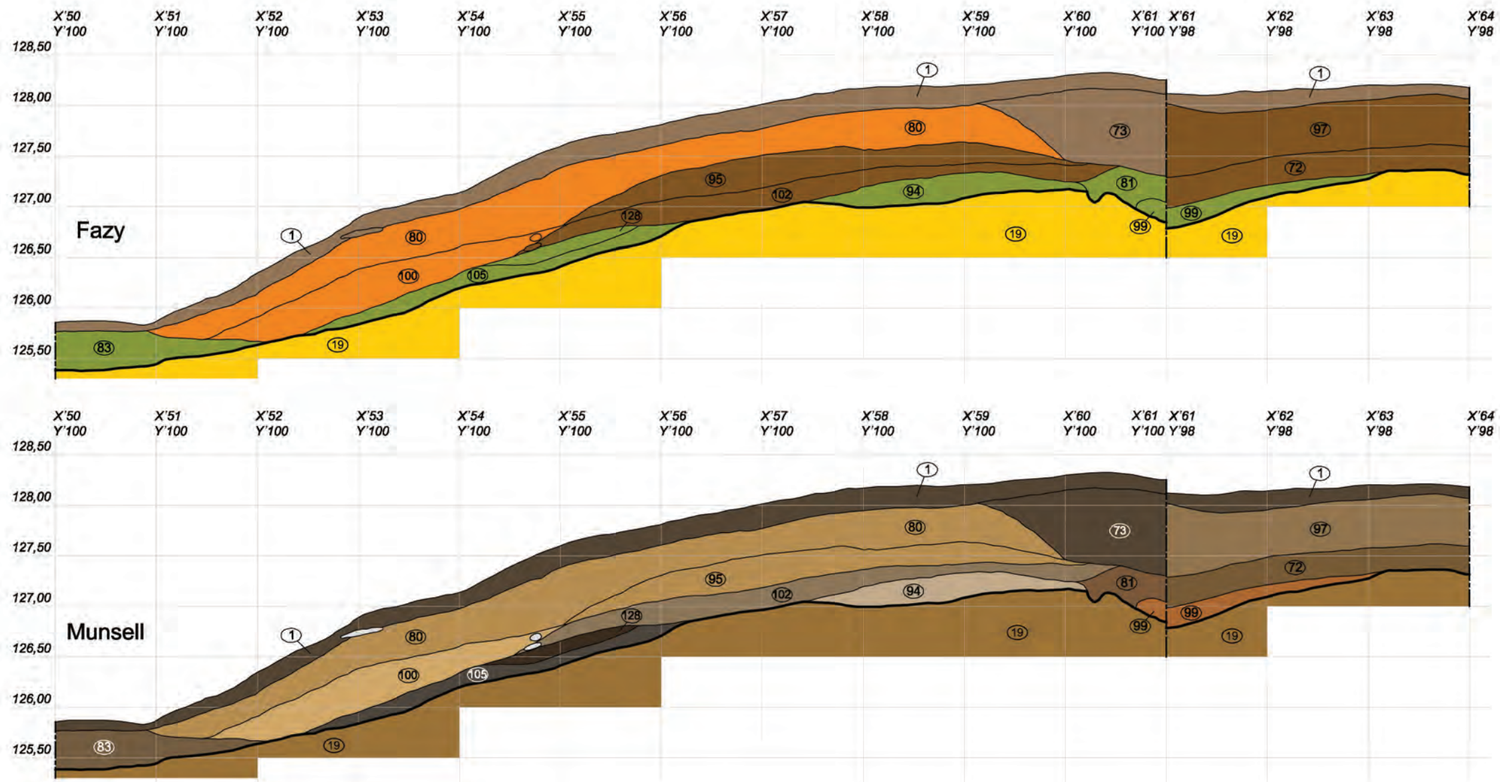

Ryc. 20. Janiki Wielkie, st. 2. Ściana północna wykopu 3 (oprac. K. Rabiega i R. Solecki)

Faza VII
Faza VI
Faza V
Faza IV
Faza IIIC
Faza IIIB
Faza IIIA
Faza II
Faza I
Warstwy naturalne

Janiki Wielkie, st. 2
gm. Zalewo
–1 m–

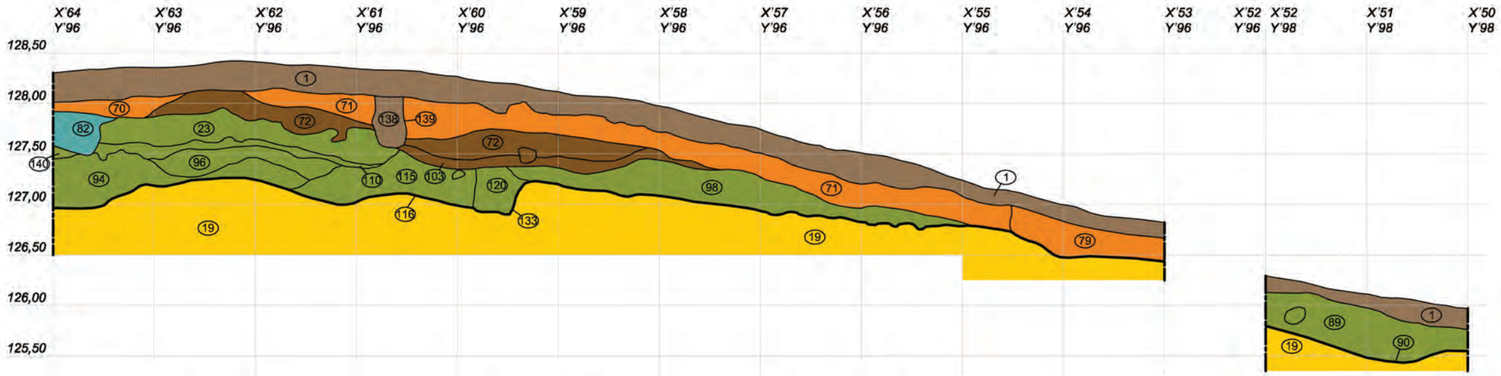

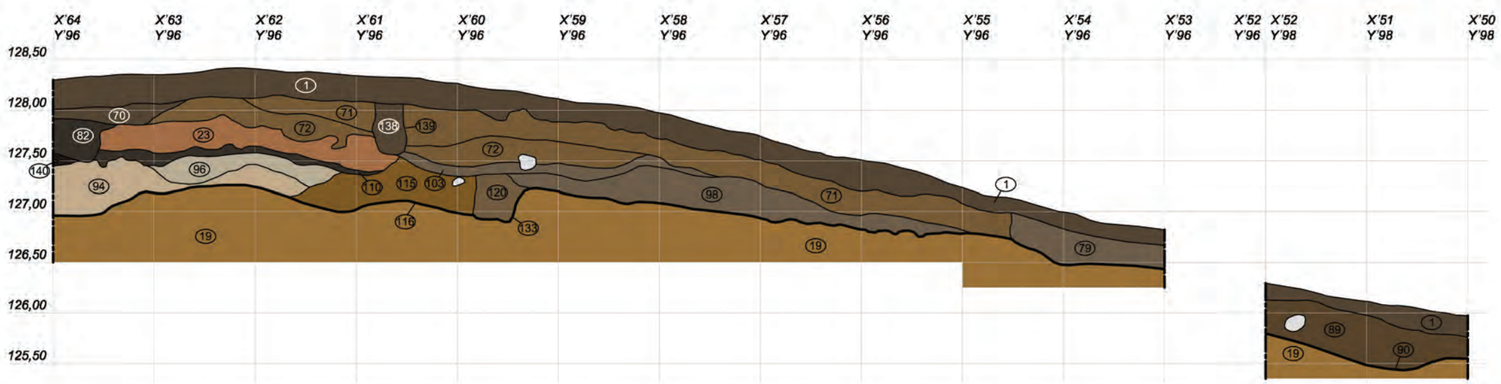

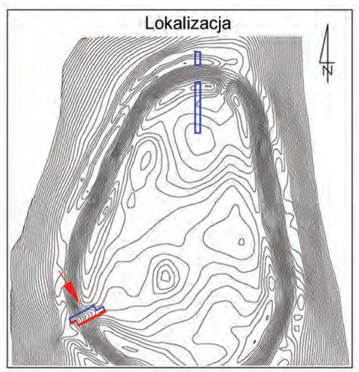

Ryc. 21. Janiki Wielkie, st. 2. Ściana południowa wykopu 3 (oprac. K. Rabiega i R. Solecki)

Tabela 1. Katalog warstw z opisem poszczególnych jednostek stratygraficznych grodziska w Janikach Wielkich, st. 2 (oprac. M. Rutyna, K. Rabiega i D. Wach)

Numer jednostki stratygraficznej	Numer obiektu	Numer wykopu	Położenie w obrębie stanowiska	Współrzędne siatkek pomiarowych stanowiska	Opis jednostki stratygraficznej	Barwa (Munsell)	Pozycja stratygraficzna	
							Znajduje się pod	Znajduje się nad
1=4	-	1, 2, 3	Cały obszar grodziska	Wykop 1 i 2: X=466–498; Y=273–275. Wykop 3: X'=50–64; Y'=96–100	Warstwa podściółkowa; piaszczysta, sypka, niejednorodna; humus, miąższość do 20 cm	10YR 3/2	-	3, 5, 6, 7, 8, 9, 12, 20, 26, 28, 30, 70, 71, 72, 73, 74, 78, 79, 80, 83, 89, 90, 97, 138, 139
2	-	1	Majdan w N części grodziska	X=466–476,90; Y=273–275	Piaszczysta, twarda, jednorodna ziemia; warstwa niwelacyjna, miąższość do 20 cm	10YR 6/2	8, 13, 14	19
3	-	1	Szczyt wału wewnętrznego	X=485–486; Y=273–275	Kilka kamieni o średnicy od 10 do 20 cm; na szczycie wału	-	1	30
5	-	2	Szczyt i wewnętrzny stoku wału zewnętrznego	X=495–498; Y=273–275	Jasna, zbita, twarda, ilasto-piaszczysta ziemia; strop warstwy pochylony ku S; miąższość do 50 cm	2,5Y 7/6	1, 6, 7	25, 48, 49
6	-	2	Szczyt i wewnętrzny stoku wału zewnętrznego	X=495–498; Y=273–275	Skupisko kamieni o średnicy od 10 do 20 cm; kamienie nie tworzyły zwartego bruku	-	1	5
7	-	2	Południowy stok wału zewnętrznego	X=493–496,10; Y=273–275	Zbita, jednorodna ziemia ponad zagłębieniem fosy; miąższość do 30 cm	2,5Y 2/2	1	5, 11, 15, 18, 43, 44, 45
8	-	1	Zagłębienie przywałowe w N części grodziska	X=480–484; Y=273–275	Ilasta, jednorodna warstwa; powierzchnia stropu łagodnie zagłębiona; pojedyncze kamienie w stropie; miąższość do 20 cm	2,5Y 6/4	26, 1	2, 14
9	10	1	Majdan w N części grodziska	X=471,50–472,80; Y=273,65–274,90	Gliniasta ziemia; wypełnisko obiektu 10; w stropie pojedyncze kamienie; widoczne granice; strop poziomy; miąższość do 20 cm	10YR 5/2	1	10
10	10	1	Majdan w N części grodziska	X=471,50–472,80; Y=273,65–274,90	Obiekt z wypełniskiem 9; widoczny z poziomu warstwy 2; w planie kształt nieregularny (wydłużony na SW); składa się z trzech zaokrąglonych części połączonych ze sobą, główna część niemal okrągła	-	9	19
11	16	2	Fosa w N części grodziska	X=494,20–494,40; Y=273–275	Rząd trzech dużych (i kilku małych) kamieni leżących w fosie 16; wypełnisko fosy; kamienie leżały w regularnych odstępach	-	7	15
12	13	1	Majdan w N części grodziska	X=466–467,20; Y=273–274	Wypełnisko obiektu 13; ilasto-piaszczysta, niejednorodna ziemia z drobnymi węglami drzewnymi (głównie w części E) oraz wtrętami polepy; granice lekko zatarte; miąższość do 35 cm	2,5Y 3/3	1	13
13	13	1	Majdan w N części grodziska	X=466–467,20; Y=273–274	Obiekt o długości 1,23 m i szerokości 1,2 m; kształt zbliżony prawdopodobnie do owalu (obiekt częściowo odsłonięty); płytka jama o łagodnych ścianach i nieregularnym płaskim dnie; miąższość do 35 cm	-	12	2
14	-	1	Szczyt i wewnętrzny stok wału zewnętrznego	X=475,20–483,80; Y=273–275	Warstwa piaszczysto-gliniastej ziemi z drobnymi fragmentami polepy oraz węglami drzewnymi; miąższość do 30 cm	10YR 5/5	8	32, 33, 35, 24, 30, 51
15	16	2	Fosa w N części grodziska	X=494–494,95; Y=273–275	Gliniasta, niejednorodna ziemia; wypełnisko fosy 16; pas ok. 50–70 cm wzdłuż linii fosy; z jej stropu widocznych było kilka dużych kamieni w równomiernych odstępach; miąższość do 20 cm	2,5Y 3/2	7, 11	17, 44, 45
16	16	2	Fosa w N części grodziska	X=493–495; Y=273–275	Fosa zewnętrzna grodziska	-	34, 66	19
17	16	2	Fosa w N części grodziska	X=493–495,08; Y=273–275	Wypełnisko fosy 16; gliniasta, tłusta, niejednorodna ziemia z licznymi węgielkami; w jej stropie przy ścianie W (od N) tkwił duży kamień; miąższość do 25 cm	2,5Y 5/2	15, 18, 43, 44, 45	34, 46, 48, 50
18	16	2	Fosa w N części grodziska	X=493,20–493,90; Y=273–275	Wypełnisko fosy 16; od strony wewnętrznego stoku fosy; gliniasta przemieszana, niejednorodna ziemia; miąższość do 20 cm	7,5YR 5/2	7, 43, 44	17

Tabela 1. Ciąg dalszy

Numer jednostki stratygraficznej	Numer obiektu	Numer wykopu	Położenie w obrębie stanowiska	Współrzędne siatkek pomiarowych stanowiska	Opis jednostki stratygraficznej	Barwa (Munsell)	Pozycja stratygraficzna	
							Znajduje się pod	Znajduje się nad
19=93	-	1, 2, 3	Cały obszar stanowiska	Wykop 1 i 2: X=466–498; Y=273–275. Wykop 3: X'=50–64; Y'=96–100	Jednorodna, twarda glina; calec	10YR 7/8	2, 10, 14, 16, 27, 38a, 53, 56, 72, 75, 79, 82, 83, 86, 87, 88, 90, 94, 98, 99, 100, 101, 102, 105, 114, 116, 118, 119, 122, 125, 127, 133, 136, 137, 141, 143	-
20	21	1	Majdan w N części grodziska	X=466–466,50; Y=274,20–275	Wypełnisko obiektu 21; przy S profilu; w planie kształt zbliżony do półkola; piaszczysto-ilasta, niejednorodna ziemia z drobnymi węgielkami; miąższość do 30 cm	10YR 5/3	1	68
21	21	1	Majdan w N części grodziska	X=466–466,50; Y=274,20–275	Obiekt z wypełniskiem 21; przy S profilu (narożnik SE)	-	68	19
22	-	1	Szczyt wału wewnętrznego	X=483–483,20; Y=273,80–274,65	Fragment spalonej belki; kierunek W–E; przekrój ok. 10 cm; dobrze zachowana, ale bardzo krucha	10YR 2/1	30	24
23=92	-	1, 3	Szczyt wału wewnętrznego	Wykop 1: X=480,4–486; Y=273–275. Wykop 3: X'=60,60–63,60; Y'=96–96,30	Jednorodna warstwa pyłu i grudek polepy; warstwa przepalonej ściany; destrukt konstrukcji wału; miąższość do 40 cm	5YR 5/6	24, 51, 70, 72, 82, 103, 139	38, 40, 41, 42, 52, 54, 110, 115
24	-	1	Południowy stok wału wewnętrznego	X=480,90–486; Y=273–275	Warstwa ziemno-polepowego, przepalonego rumoszu; tuż na S od szczytu wału; przepalone kamienie; strop warstwy opada ku S; miąższość do 40 cm	10YR 4/6	14, 22, 30	23
25=31	-	2	Szczyt wału zewnętrznego	X=495,20–498; Y=273–275	Warstwa zbitej, twardej, niejednorodnej piaszczysto-ilastej ziemi z białymi wtrętami; miąższość do 40 cm	2,5Y 6/2	5	19, 33
26	-	1	Zagłębienie przywałowe	X=475–478,60; Y=273–275	Piaszczysto-ilasta, niejednorodna ziemia z drobnymi fragmentami polepy i węgielków drzewnych; na stropie przy SW krawędzi wypełniska leżały kamienie; miąższość do 30 cm	10YR 3/4	1	8, 63
27	27	1	Zagłębienie przywałowe	X=475–480; Y=273,68–275	Zagłębienie u podnóża nasypu wału; widoczne przy E profilu; w planie kształt owalny	-	32, 35, 64	19, 33
28	-	1	Stok wału wewnętrznego	X=485,30–486; Y=273–275	Pas ilastej ziemi na stoku wału; miąższość do 30 cm	10YR 4/6	1	29
29	-	1	Stok wału wewnętrznego	X=484,90–486; Y=273–275	Wąski pas spalenizny i przepalonych polep; wyznaczający granicę między nasypem ilasto-piaszczystym wału, a warstwą zniszczeniową (rumosz przepalonych polep 24); miąższość do 10 cm	10YR 3/3	28	30
30	-	1	Szczyt wału wewnętrznego	X=482,50–486; Y=273–275	Jałowa, ilasto-piaszczysta warstwa nasypu wału (szczytowa partia); miąższość do 95 cm	10YR 5/2	1, 3, 14, 29	22, 23, 24
32	-	1	Zagłębienie przywałowe	X=477–478,90; Y=273–274	Zbita, piaszczysta ziemia z drobinami węgla drzewnego; miąższość do 5 cm	10YR 4/6	14, 35	27, 19
33	-	1	Podnóże wału i częściowo zagłębienie przywałowe	X=479,80–482; Y=273–275	Jasna, twarda warstwa jednorodnego piasku; miąższość do 20 cm	10YR 7/6	39, 14, 51	61, 62, 38a
34	16	2	Fosa w N części grodziska	X=493,12–495; Y=273–274	Tłusta, niejednorodna glina w obszarze zagłębienia fosy; miąższość do 35 cm	7,5YR 4/3	17, 47, 50	16, 66, 67
35	-	1	Zagłębienie przywałowe	X=478,80–480; Y=273–274,20	Ślady paleniska lub rozrzuconych przepalonych bierwion. Cienka warstwa (2–3 cm) z drobnymi fragmentami węgli drzewnych	10YR 3/3	14	19, 32
36	37	1	Wał wewnętrzny	X=483,75–483,80; Y=273,05–273,10	Wypełnisko obiektu 37; w planie kształt zbliżony do owalu; piaszczysta, sypka, jednorodna ziemia; miąższość do 10 cm	10YR 3/2	38	37

Tabela 1. Ciąg dalszy

Numer jednostki stratygraficznej	Numer obiektu	Numer wykopu	Położenie w obrębie stanowiska	Współrzędne siatkek pomiarowych stanowiska	Opis jednostki stratygraficznej	Barwa (Munsell)	Pozycja stratygraficzna	
							Znajduje się pod	Znajduje się nad
37	37	1	Wał wewnętrzny	X=483,75–483,80; Y=273,05 -273,10	Dołek posłupowy przy W profilu; przekrój U-kształtny	-	36	38a
38	-	1	Południowy stok wału wewnętrznego	X=481–485,20; Y=273–275	Drobnoziarnista, piaszczysto-ilasta ziemia; warstwa w obrębie nasypu wału, na S stoku wału; miąższość do 20 cm	2,5Y 8/2	23, 41, 58, 60	36, 38a
38a		1	Nasyp wału wewnętrznego	X=479,80–486; Y=273–275	Drobnoziarnista, piaszczysto-ilasta ziemia; warstwa w obrębie nasypu wału; miąższość do 50 cm	10YR 7/3	37, 38, 52	19, 53, 55, 57
39	-	1	Podnóże wału wewnętrznego	X=480,60–482; Y=273–275	Płytkie rynnowate zagłębienie (wypełnisko 40=65) w dolnych partiach wału wczesnośredniowiecznego; biegło równolegle do linii wału; szer. 1,1 m, gł. do 0,25 m	-	40, 65, 51	33
40=65	39	1	Podnóże wału wewnętrznego	X=480,50–482,30; Y=273–275	Piaszczysta, sypka warstwa spalenizny z drobnymi fragmentami węgli drzewnych; miąższość do 8 cm	2,5Y 8/8	23, 42, 51	39, 58, 59, 60, 61
41	-	1	Szczyt wału wewnętrznego	X=483,30–484,50; Y=273,86–274,30	Bierwiona ewentualnego ramienia spalonej konstrukcji	10 YR 3/2	23	38
42	-	1	Stok wału wewnętrznego	X=480,80–481,40; Y=273–273,20	Obszar spalenizny z widocznymi fragmentami spalonego bierwiona	10 YR 3/2	23	40
43	-	2	Fosa w N części grodziska	X=493–493,60; Y=273–275	Twarda, niejednorodna glina; w SW części wykopu; miąższość do 20 cm	7,5YR 5/1	7	17, 18
44	16	2	Fosa w N części grodziska	X=493,70–494,30; Y=273–273,50	Twarda, niejednorodna glina z drobnymi wtrętami węgielków; jedno z wypełnisk fosy 16; miąższość do 20 cm	10YR 6/2	7, 15	17, 18
45	16	2	Fosa w N części grodziska	X=494,70–495,10; 273–273,80	Twarda, niejednorodna soczewka gliny; jedno z wypełnisk fosy 16; miąższość do 20 cm	10YR 6/3	7, 15	17
46	16	2	Fosa w N części grodziska	X=493,90–494,80; 273–273,40	Piaszczysto-gliniasta soczewka; jedno z wypełnisk fosy 16; miąższość do 5 cm	10YR 6/2	17	50
47	16	2	Fosa w N części grodziska	X=494,40–494,70; Y=273–273,33	Piaszczysto-gliniasta soczewka; jedno z wypełnisk fosy 16; miąższość do 5 cm	10YR 5/3	50	34
48	69	2	Fosa w N części grodziska	X=494,92–495,20; Y=273–273,23	Twarda, niejednorodna glina; warstwa widoczna w W profilu wykopu; wypełnisko obiektu 69; miąższość do 38 cm	2,5Y 4/3	5, 17	49, 69
49	69	2	Fosa w N części grodziska	X=495,20–495,22; Y=273–273,27	Twarda, niejednorodna glina; warstwa widoczna w W profilu wykopu; wypełnisko obiektu 69; miąższość do 4 cm	2,5Y 4/3	5, 48	69
50	16	2	Fosa w N części grodziska	X=493,60–494,90; Y=273–275	Twarda, jednoroda glina; jedno z wypełnisk fosy 16; miąższość do 25 cm	10YR 6/6	17, 46	34, 47
51	-	1	Podnóże wału wewnętrznego	X=480,60–480,94; Y=273–273,75	Piaszczysto-gliniasta soczewka; widoczna w W ściane wykopu; miąższość do 14 cm	7,5YR 5/2	14	23, 33, 40
52	-	1	Wał wewnętrzny	X=485,10–486; Y=273–275	Warstwa w nasypie wału; twarda, jednorodna glina; miąższość do 12 cm	10YR 4/6	23, 54	38a
53	-	1	Podnóże wału wewnętrznego	X=482,40–486; Y=273–273,90	Warstwa u podnóża wału; twarda, jednorodna glina; miąższość do 40 cm	10YR 7/8	38a	19
54	-	1	Wał wewnętrzny	X=485,30–486; Y=273,10–275	Warstwa w nasypie wału; twarda, jednorodna glina; miąższość do 20 cm	10YR 5/6	23	52
55	-	1	Wał wewnętrzny	X=483,75–485,20; Y=274,22–275	Twarda, jednorodna soczewka gliny; w nasypie wału; miąższość do 20 cm	10YR 7/6	38a	56, 57
56	-	1	Wał wewnętrzny	X=483,94–484,88; Y=274,34–275	Twarda, jednorodna soczewka gliny; nasyp wału; miąższość do 20 cm	10YR 7/4	55, 57	19
57	-	1	Wał wewnętrzny	X=484,64–485,68; Y=274,16–275	Twarda, jednorodna soczewka gliny; nasyp wału; miąższość do 36 cm	10YR 8/6	38a, 55	56, 19
58	-	1	Wał wewnętrzny	X=482,40–483; Y=274,10–275	Piaszczysto-gliniasta warstwa; widoczna w E ścianie wykopu; nasyp wału; miąższość do 10 cm	10YR 7/4	40	38
59	-	1	Wał wewnętrzny	X=481,20–482,40; Y=274,05–275	Piaszczysto-gliniasta warstwa; widoczna w E ścianie wykopu; nasyp wału; miąższość do 8 cm	10YR 5/8	40	60
60	-	1	Wał wewnętrzny	X=480,20–482,40; Y=273,75–275	Piaszczysto-gliniasta warstwa; widoczna w E ścianie wykopu; nasyp wału; miąższość do 10 cm	10YR 6/6	40, 59, 61	19, 38
61	-	1	Podnóże wału wewnętrznego	X=480,10–480,85; Y=273,62–275	Twarda, jednorodna soczewka gliny; widoczna w E ścianie wykopu; miąższość do 14 cm	10YR 6/8	33, 40	60, 62

Tabela 1. Ciąg dalszy

Numer jednostki stratygraficznej	Numer obiektu	Numer wykopu	Położenie w obrębie stanowiska	Współrzędne siatkek pomiarowych stanowiska	Opis jednostki stratygraficznej	Barwa (Munsell)	Pozycja stratygraficzna	
							Znajduje się pod	Znajduje się nad
62	-	1	Podnóże wału wewnętrznego	X=479,35–480,60; Y=273,59–275	Twarda, jednorodna soczewka gliny; widoczna w E ścianie wykopu; miąższość do 14 cm	10YR 6/8	33, 61	19
64	27	1	Zagłębienie przywałowe	X=475,44–479,34; Y=274–275	Dolne wypełnisko obiektu 27; twarda, jednorodna glina; miąższość do 15 cm	10YR 4/4	14	27
66	16	2	Fosa w N części grodziska	X=493,64–495,10; Y=273–275	Twarda, jednorodna glina; dolne wypełnisko fosy 16; miąższość do 22 cm	10YR 5/8	34, 67	16
67	16	2	Fosa w N części grodziska	X=493,70–494; Y=273–273,24	Twarda, jednorodna glina; soczewka ziemi widoczna w W ścianie wykopu; miąższość do 6 cm	10YR 6/8	34	66
68	21	1	Majdan w N części grodziska	X=466–466,10; Y=274,40–275	Dolne wypełnisko obiektu 21; twarda, niejednorodna glina; widoczna w SW narożniku wykopu; miąższość do 8 cm	10YR 4/6	20	21
69	69	2	Fosa w N części grodziska	X=494,92–495,24; Y=273–273,27	Dołek posłupowy (z wypełniskiem 48); widoczny w W ścianie wykopu; przekrój U-kształtny	-	48, 49	19
70	-	3	SW przejście bramne grodziska	X'=62,60–64; Y'=96–97,96	Piaszczysta ziemia z drobinami polepy; warstwa erozyjna; miąższość do 24 cm	10YR 3/2	1	71, 72, 82, 23, 97
71	-	3	SW przejście bramne grodziska	X'=54,20–62,18; Y'=96–98,20	Jednorodna ilasto-gliniasta ziemia; zsuw z zakończenia wału schodzący ku środkowi korytarza bramnego; miąższość do 30 cm	10YR 4/4	1, 70, 74, 76, 79, 139	19, 72, 98, 103
72	-	3	SW przejście bramne grodziska	X'=58,16–64; Y'=93,30–99,89	Piaszczysto-ilasta ziemia z drobinami węgli drzewnych i polep; nasyp wału; miąższość do 25 cm	10YR 3/2	1, 70, 71, 73, 97, 139	19, 81, 82, 91, 23, 99, 103, 104
73	-	3	SW przejście bramne grodziska	X'=59,20–61; Y'=99,30–100	Piaszczysto-ilasta ziemia; ślad po norze zwierzęcej lub drzewie; miąższość do 78 cm	10YR 3/2	1	72, 74, 80, 81, 95, 97, 102
74	-	3	SW przejście bramne grodziska	X'=52,50–60,75; Y'=96,90–99,25	Depozyt przemieszanej, piaszczystej i piaszczysto-ilastej, miękkiej ziemi; o podłużnym kształcie; w dolnej partii występowały dość licznie drobiny polepy i węgli drzewnych; warstwa erozyjna; miąższość do 25 cm	10YR 4/2	1, 73	71, 73, 76, 77, 79, 80, 97
75	-	3	SW przejście bramne grodziska	X'=52–53,20; Y'=96,20–97,35	Jednorodna, piaszczysto-ilasta ziemia; warstwa użytkowa; miąższość do 22 cm	10YR 4/2	79, 90	19
76	-	3	SW przejście bramne grodziska	X'=58–61; Y'=97,30–98,65	Skupisko kamieni; o średniej wielkości 10–25 cm; rumosz erozyjny konstrukcji bramnej	-	74	71, 79
77	-	3	SW przejście bramne grodziska	X'=53,80–54,80; Y'=97,80–98,70	Skupisko kamieni w środkowej partii zbocza opadającego w stronę fosy; o średniej wielkości 10–15 cm; między kamieniami znajdował się żelazny grot włóczni	-	74	79
78	90	3	SW przejście bramne grodziska	X'=50,20–52,80; Y'=97,50–99,20	Skupisko kamieni w obiekcie 90; kamienie o wielkości 15–30 cm; rumowisko ściany obiektu	-	1	89, 90
79	-	3	SW przejście bramne grodziska	X'=52–60,50; Y'=96–99	Piaszczysta i piaszczysto-ilasta ziemia; widoczna w planie jako nieregularny pas; w jej miąższości znajdowały się kamienie pasa 76 i 77; opadała w stronę fosy; warstwa erozyjna; miąższość do 30 cm	10YR 4/2	1, 74, 76, 77	19, 71, 75, 80, 85, 86, 87, 88, 89, 90, 101, 135, 136
80	-	3	SW przejście bramne grodziska	X'=51–60; Y'=98–100	Ilasta, jednorodna ziemia; warstwa erozyjna (zsuw z wału); miąższość do 40 cm	10YR 6/6	1, 73, 74, 79	83, 84, 85, 86, 89, 90, 95, 100, 102
81=112	-	3	SW przejście bramne grodziska	X'=60,20–61; Y'=98,10–100	Niejednorodna, gliniasto-piaszczysta ziemia z dużą ilością drobnych grudek polepy oraz drobin węgli; pozostałość po przewróconej ścianie; miąższość do 40 cm	7,5YR 4/4	72, 73, 102	94, 99, 117, 118
82	-	3	SW przejście bramne grodziska	X'=63–64; Y'=96–97,80	Przepalona, ciemnej (miejscami czarna) ziemia; pozostałość spalonych konstrukcji bramy i (lub) wału; miąższość do 30 cm	10YR 2/1	70, 72, 97	19, 23, 110, 111, 140, 141

Tabela 1. Ciąg dalszy

Numer jednostki stratygraficznej	Numer obiektu	Numer wykopu	Położenie w obrębie stanowiska	Współrzędne siatkek pomiarowych stanowiska	Opis jednostki stratygraficznej	Barwa (Munsell)	Pozycja stratygraficzna	
							Znajduje się pod	Znajduje się nad
83	-	3	SW przejście bramne grodziska	X'=50–52; Y'=98,90–100	Jednorodna, piaszczysto-ilasta ziemia; warstwa użytkowa; miąższość do 38 cm	10YR 4/3	1, 80, 90, 100	19
84	-	3	SW przejście bramne grodziska	X'=55–58,60; Y'=99,15–99,60	Pozostałości spalonej belki drewnianej z ewentualnej zachodniej ściany bramy; forma pasa z zachowanymi reliktami węgli drzewnych; miąższość do 8 cm	10YR 2/1	80	95
85	86	3	SW przejście bramne grodziska	X'=53,10–60; Y'=96,90–98,10	Jednorodna, miękka, mulista ziemia; wypełnisko rowka 86; spływ po stoku; miąższość do 15 cm	10YR 4/1	79, 80	86
86	86	3	SW przejście bramne grodziska	X'=53,10–60; Y'=96,90–98,10	Obiekt w formie rowka; kształt i przebieg nieregularny; w przekroju rynnowaty i V-kształtny; biegnący po stoku przez środek obszaru bramy w dół, w kierunku fosy; głębokość ok. 20 cm	-	79, 80, 85, 104	19, 87, 98, 101
87	101	3	SW przejście bramne grodziska	X'=52,20–55,40; Y'=96,20–98,70	Ślad rozłożonego i częściowo spalonego elementu drewnianego z dolnej części przestrzeni bramy; orientacja SW-NE; długość ok. 4 m; szerokość; ok. 25 cm; równoległy do krótszego śladu 88; miąższość do 8 cm	10YR 2/1	79, 86	19, 101
88	-	3	SW przejście bramne grodziska	X'=53,20–54,20; Y'=96,10–96,70	Ślad ewentualnego, rozłożonego i częściowo spalonego elementu drewnianego (z konstrukcji bramy lub wału) z przestrzeni dolnej części bramy; orientacja SW-NE; długość ok. 1 m; szerokość ok. 20 m; równoległy do podobnego, dłuższego śladu 87; miąższość do 5 cm	10YR 2/1	79	19
89	90	3	SW przejście bramne grodziska	X'=50–52,60; Y'=97–99,20	Jednorodna, dość miękka ziemia; element wypełniska obiektu 90 (leżąca nad i między kamieniami 78) z obszaru przejścia bramy w przestrzeń fosy; miąższość do 35 cm	10YR 3/3	1, 78, 79, 80	90
90	90	3	SW przejście bramne grodziska	X'=50–52,60; Y'=97–99,20	Obiekt z obszaru przejścia stoku bramy w obszar fosy; wypełniony jednorodną ziemią 89 i kamieniami 78; kształt w planie prawdopodobnie kwadratowy lub prostokątny (częściowo poza wykopem); granice wyznaczały linie układu kamieni; głębokość 35 cm	-	1, 78, 79, 80, 89	19, 75, 83
91	104	3	SW przejście bramne grodziska	X'=58,70–60,20; Y'=96,50–97,60	Jednorodna ziemia; warstwa spalenizny; strop przecięty był od zachodu przez rowek 86; miąższość do 10 cm	10YR 2/1	72	104
94	-	3	SW przejście bramne grodziska	X'=57,40–64; Y'=96–100	Drobnoziarnista piaszczysta ziemia; tworząca pionową ściankę pod rumoszem polepy 23, element konstrukcji bramy; miąższość do 50 cm	10YR 7/3	81, 96, 99, 102, 106, 110, 114, 116, 118, 127, 141	19, 134, 137
95	-	3	SW przejście bramne grodziska	X'=55–60; Y'=98–100	Ilasto-piaszczysta ziemia tworząca; nasyp wału; miąższość do 30 cm	10YR 6/6	73, 80, 84	102
96	-	3	SW przejście bramne grodziska	X'=61–63,30; Y'=96–96,30	Ilasta ziemia tworząca pionową ściankę (razem z nasypem 94 i rumoszem polepowym 23), stanowiącą granicę wału (lub jego destruktów) i przestrzeni korytarza bramnego; miąższość do 25 cm	2,5Y 7/2	110, 116	94
97	-	3	SW przejście bramne grodziska	X'=60,50–64; Y'=97,20–99,70	Ilasta, dość jednorodna ziemia; nasyp wału; miąższość do 70 cm	2,5Y 7/6	1, 70, 73, 74	72, 82
98	-	3	SW przejście bramne grodziska	X'=55–59,30; Y'=96–97,90	Piaszczysta i piaszczysto-ilasta ziemia; poziom użytkowy funkcjonowania bramy; miąższość do 30 cm	10YR 4/2	71, 86, 103	19, 119, 120, 125, 126, 127, 133
99=108=109	-	3	SW przejście bramne grodziska	X'=59–63,20; Y'=97,20–100	Warstwa ilastej, przepalonej ziemi i polepy w postaci grudek i drobin; pozostałość po przewróconej ścianie; miąższość do 20 cm	5YR 5/8	72, 81, 106, 119	19, 94

Tabela 1. Ciąg dalszy

Numer jednostki stratygraficznej	Numer obiektu	Numer wykopu	Położenie w obrębie stanowiska	Współrzędne siatkek pomiarowych stanowiska	Opis jednostki stratygraficznej	Barwa (Munsell)	Pozycja stratygraficzna	
							Znajduje się pod	Znajduje się nad
100=129	-	3	SW przejście bramne grodziska	X'=51,50–55; Y'=97,70–100	Przemieszana, piaszczysto-ilasta ziemia z wtrętami węgli i popiołu; warstwa erozyjna (zsuwisko z wału); miąższość do 35 cm	10YR 7/6	80	19, 83, 102, 105, 128
101	101	3	SW przejście bramne grodziska	X'=52,20–55,40; Y'=96,20–98,70	Rynnowate zagłębienie biegnące ukośnie przez dolną część korytarza bramnego; negtyw elementu konstrukcyjnego; głębokość 8 cm	-	79, 86, 87	19, 105
102	-	3	SW przejście bramne grodziska	X'=54,50–60,50; Y'=97,89–100	Niejednorodna, przemieszana, ilasta i piaszczysto-ilasta ziemia; nasyp wału; miąższość do 25 cm	10YR 5/3	73, 80, 95, 100	19, 81, 94, 105, 106, 107, 128
103	-	3	SW przejście bramne grodziska	X'=57,50–60,60; Y'=96–97,50	Niejednorodna, piaszczysta i piaszczysto-ilasta ziemia z małą ilością drobin polepy i węgli drzewnych; nasyp wału; miąższość do 15 cm	10YR 4/2	71, 72, 104, 139	23, 98, 115, 120, 133
104	104	3	SW przejście bramne grodziska	X'=58,70–60,20; Y'=96,50–97,60	Obiekt o kształcie nieregularnym, zbliżonym do prostokąta; negatyw ewentualnej skrzyni (wypełnisko 91); głębokość ok. 10 cm	-	72, 91	103
105=132	-	3	SW przejście bramne grodziska	X'=52,50–56,30; Y'=97,60–100	Ciemna, piaszczysto-ilasta ziemia; z wtrętami węgli oraz małej ilości polepy; poziom użytkowy; miąższość do 15 cm	10YR 3/1	100, 101, 102, 128	19
106	-	3	SW przejście bramne grodziska	X'=59,20–60,25; Y'=98,60–99,20	Depozyt ilastej ziemi; o nieregularnym kształcie; z kilkoma kamieniami w stropie; miąższość do 5 cm	10YR 6/4	102	94, 99
107	-	3	SW przejście bramne grodziska	X'=55,50–56,80; Y'=98,50–99,50	Depozyt warstwy spalenizny; o kształcie w przybliżeniu prostokątnym, relikt konstrukcji przybramnej; miąższość do 10 cm	10YR 4/4	102	128
110	-	3	SW przejście bramne grodziska	X'=60,70–63,95; Y'=96–96,20	Warstwa spalenizny i spalonej ziemi pod rumoszem polepy 23; w niej znajdowały się spalone belki ściany; miąższość do 10 cm	10YR 3/1	82, 23, 111	94, 96, 115, 116
111	-	3	SW przejście bramne grodziska	X'=63,60–63,95; Y'=96–96,25	Spalone belki ze ściany konstrukcji bramnej; znajdujące się przy warstwie 110; miąższość do 10 cm	10YR 3/1	82	110
113	114	3	SW przejście bramne grodziska	X'=59–59,50; Y'=99–99,70	Piaszczysta ziemia; wypełnisko dołka posłupowego; miąższość do 35 cm	10YR 4/2	102	114
114	114	3	SW przejście bramne grodziska	X'=59–59,50; Y'=99–99,70	Owalny obiekt; wymiary 70 x 50 cm; na dnie kamień o średnicy 40 cm; dołek posłupowy; głębokość 35 cm	-	113	19, 94, 134, 137
115	116	3	SW przejście bramne grodziska	X'=59,50–64; Y'=96–97	Piaszczysta ziemia; wypełnisko rowka 166, znajdującego się wzdłuż ściany 23; miąższość do 60 cm	10YR 4/6	23, 103, 110, 133	116
116	116	3	SW przejście bramne grodziska	X'=59,50–64; Y'=96–97	Rynnowany obiekt, podłużny; o regularnej szerokości ok. 40 cm; przy zachodniej stronie ściany 23; granica wjazdu bramnego; głębokość 60 cm	-	103, 110, 115, 133	19, 94, 96
117=123	118	3	SW przejście bramne grodziska	X'=60,40–60,80; Y'=97,65–98	Piaszczysta ziemia z dużą ilością polep i kamieni na dnie; wypełnisko dołka posłupowego; miąższość do 17 cm	7,5YR 4/4	81	118
118=124	118	3	SW przejście bramne grodziska	X'=60,40–60,80; Y'=97,65–98	Okrągły obiekt; wymiary 40 x 35 cm; dół posłupowy; U-kształtny; głębokość 17 cm	-	81, 117	19, 94
119	-	3	SW przejście bramne grodziska	X'=58,40–60,10; Y'=96,50–97,50	Depozyt piaszczystej ziamia z węgielkami; o owalnym kształcie; miąższość do 8 cm	2,5YR 2,5/1	98, 103	19, 99, 120, 125
120	133	3	SW przejście bramne grodziska	X'=59,10–59,85; Y'=96=96,80	Piaszczysta ziemia z drobinami polepy; wypełnisko obiektu 133 (dołek posłupowy); miąższość do 55 cm	10YR 4/3	98, 103, 119	133
121=130	122	3	SW przejście bramne grodziska	X'=56,28–56,44; Y'=98,97–99,14	Piaszczysta ziemia; wypełnisko dołka posłupowego 122; miąższość do 15 cm	10YR 4/1	102	122

Tabela 1. Ciąg dalszy

Numer jednostki stratygraficznej	Numer obiektu	Numer wykopu	Położenie w obrębie stanowiska	Współrzędne siatkek pomiarowych stanowiska	Opis jednostki stratygraficznej	Barwa (Munsell)	Pozycja stratygraficzna	
							Znajduje się pod	Znajduje się nad
122=131	122	3	SW przejście bramne grodziska	X'=56,28–56,44; Y'=98,97–99,14	Okrągły obiekt; dół posłupowy; wymiary 30 x 20 cm; U-kształtny; głębokość 15 cm	-	102, 121	19
125	-	3	SW przejście bramne grodziska	X'=58–60,40; Y'=97–98,60	Depozyt piaszczystej przepalonej ziemii; w środkowej partii przejazdu bramnego; składająca się z dosyć regularnych pasów, które mogą stanowić pozostałość rozłożonego drewna (brama?); miąższość do 8 cm	7,5YR 4/1	98, 119	19
126	-	3	SW przejście bramne grodziska	X'=60,20–60,68; Y'=96,36–96,77	Warstwa spalenizny z węglami; o regularnym, kwadratowym kształcie, niejednorodne jasne, piaszczyste wtręty (popiół?); pozostałość konstrukcji bramy; miąższość do 10 cm	7,5YR 5/1	98	127
127	-	3	SW przejście bramne grodziska	X'=59–61,10; Y'=96,10–97,10	Jendorodna, ilasta ziemia; podłużny kształt szerokości ok. 40 cm; pozostałość konstrukcji bramy; miąższość do 15 cm	2,5YR 5/1	98, 126, 133	19, 94
128	-	3	SW przejście bramne grodziska	X'=53,80–55,80; Y'=99,50–100	Warstwa spalenizny; z dużą ilością węgli oraz polepy; pozostałość konstrukcji przybramnej; miąższość do 15 cm	10YR 3/3	100, 102, 107	105
133	133	3	SW przejście bramne grodziska	X'=59,10–59,85; Y'=96=96,80	Obiekt z wypełniskiem 120; dołek posłupowy, od strony wschodniej o rozszerzonych granicach w formie prostokątu; głębokość 55 cm	-	98, 103, 120	19, 115, 116, 127
134	137	3	SW przejście bramne grodziska	X'=58,20–59,50; Y'=98,15–99,40	Ilasta ziemia z drobnymi węglami; wypełnisko jamy 137; miąższość do 25 cm	7,5YR 6/2	94, 114	137
135	136	3	SW przejście bramne grodziska	X'=55,40–54,20; Y'=96,64–97,40	Ilasta warstwa z drobnymi węglami; wypełnisko jamy 136; miąższość do 40 cm	7,5YR 6/2	79	136
136	136	3	SW przejście bramne grodziska	X'=55,40–54,20; Y'=96,64–97,40	Owalny obiekt z wypełniskiem 135; średnica ok. 80 cm; jama zasobowa; głębokość 40 cm	-	79, 135	19
137	137	3	SW przejście bramne grodziska	X'=58,20–59,50; Y'=98,15–99,40	Owalny obiekt z wypełniskiem 134; znajdujący się w przejściu bramy przy dole posłupowym 114; wymiary 95 x 80 cm; jama gospodarcza; głębokość 25 cm	-	94, 114, 134	19
138	139	3	SW przejście bramne grodziska	X'=60,40–60,76; Y'=96–96,20	Zbita ilasta ziemia; wypełnisko obiektu 139; widoczna w E profilu; miąższość do 45 cm	7,5YR 4/2	1	139
139	139	3	SW przejście bramne grodziska	X'=60,40–60,76; Y'=96–96,20	Obiekt z wypełniskiem 138; widoczny w E profilu; prawdopodobnie ślad po norze zwierzęcej; głębokość 45 cm	-	1, 138	71, 72, 23, 103
140	141	3	SW przejście bramne grodziska	X'=63,50–64; Y'=96–97,70	Wypełnisko obiektu 141; widoczne w N profilu; tłusta organiczna ziemia z dużą ilością fragmentów węgli; miąższość do 120 cm	10YR 2/1	82	141
141	141	3	SW przejście bramne grodziska	X'=63,50–64; Y'=96–97,70	Obiekt z wypełniskiem 140; duży dół posłupowy o średnicy ok. 50 cm na dnie, rozszerzający się do ok. 150 cm w stropie; głębokość ok. 120 cm	-	82, 140	19, 94, 142, 143
142	143	3	SW przejście bramne grodziska	X'=63,80–64; Y'=97–97,44	Wypełnisko dołu posłupowego 143; piaszczysta warstwa; miąższość do 35 cm	7,5YR 3/3	141	143
143	143	3	SW przejście bramne grodziska	X'=63,80–64; Y'=97–97,44	Obiekt widoczny w N profilu, mały dół posłupowy o przekroju okrągłym; U-kształtny; głębokość 35 cm	-	141, 142	19

posłupowymi natrafiono na szarą warstwę 125, charakteryzującą się dosyć regularną strukturą pasów i prostokątnym kształtem, co może wskazywać na pozostałość drewnianej bramy przy przejściu bramnym. Nad tą jednostką znajdowała się owalna warstwa czarnej ziemi z węgielkami 119, która przykrywała też częściowo obiekt 133. Poniżej na stoku zadokumentowano dół posłupowy 122=131 wypełniony piaszczystą brunatną ziemią 121=130.

Poziom użytkowy Fazy III w odniesieniu do funkcjonowania bramy stanowiła szara piaszczysta i piaszczysto-ilasta ziemia 98 oraz ciemna warstwa piaszczysto-ilastej ziemi 105=132. Nad nią odkryto warstwę spalenizny, czarno-brązową ziemię z dużą ilością węgli oraz polepy 128, która jest pozostałością konstrukcji przybramnej. Nad tą warstwą rysowały się ślady spalenizn 107 o prostokątnym kształcie granic. Obok, w dolnej części przestrzeni bramy SW grodziska odkryto ślad rozłożonego i częściowo spalonego elementu drewnianego 87 (rynnowate zagłębienie 101) o orientacji SW–NE, długości ok. 4 m i szerokości ok. 25 cm. Równolegle do niego zarysował się krótszy ślad ewentualnego, rozłożonego i częściowo spalonego elementu drewnianego 88 (z konstrukcji bramy lub wału) o długości ok. 1 m i szerokości ok. 20 cm.

W najniższej części stoku korytarza bramnego (W3) zalegała warstwa jednorodnej, piaszczysto-ilastej ziemi 83 oraz szaro-brązowej 75. W ich obrębie leżał obiekt 90 z wypełniskiem 89 i kamieniami 78. Obiekt ten miał prawdopodobnie kwadratowy lub prostokątny w planie kształt (częściowo poza wykopem), a jego granice wyznaczały linie układu kamieni.

Faza IIIB

W procesie naturalnego narastania gleby dno fosy z Fazy IIIA zostało przykryte twardym, ilastym piaskiem 5 oraz twardą, jednorodną gliną 50. Na warstwie 5 zalegały luźne kamienie 6, które prawdopodobnie stanowią pozostałość pewnego rodzaju umocnienia wału zewnętrznego.

Faza IIIC

Po jakimś czasie oczyszczono fosę (W2). Powstał wówczas kolejny poziom użytkowy, reprezentowany przez gliniasty piasek 46; niejednorodny, z drobnymi fragmentami węgli drzewnych gliniasty piasek 17 oraz niejednorodną glinę 45.

Prawdopodobnie w tym okresie powstały trzy jamy na majdanie grodziska (W1). Nieregularny obiekt 13, o wymiarach 1 x 1,2 m i około 35 cm głębokości, odkryto w południowo-zachodnim narożniku wykopu. W wypełnisku jamy zalegał niejednorodny, ilasty piasek z fragmentami węgielków drzewnych 12. Półkolista jama 21, o wymiarach 50 x 80 cm i 30 cm głębokości, znajdowała się w południowo-wschodnim narożniku. Jej wypełnisko tworzyła niejednorodna glina 68 oraz ilasty piasek z węgielkami drzewnymi 20. Obiekt 10, o wymiarach 0,8 x 1,25 m i głębokości 0,2 m, w planie miał kształt nieregularny (składał się z trzech zaokrąglonych połączonych ze sobą części). Jego wypełniskiem była jednorodna glina 9.

Faza IV – opuszczenie grodziska

Do tego horyzontu należą jednostki powstałe w wyniku erozji wału wczesnośredniowiecznego grodziska. Na SW wale grodziska (W3) zadokumentowano warstwę przepalonej, ciemnej ziemi 82, która mogła powstać w wyniku erozji konstrukcji bramy i (lub) wału. Warstwa ta zalegała przy przewróconej ścianie 23=92. Ponadto powstała wówczas warstwa spływu w formie rowka nieregularnego kształtu i przebiegu 86. Rowek był w przekroju rynnowaty, V-kształtny i biegł przez środek obszaru bramy, w dół w kierunku fosy gdzie zanikał. Wypełnisko rowka składało się z jednorodnej, miękkiej mulistej ziemi 85.

Faza V – użytkowanie grodu w XI–XIII wieku

Faza ta związana jest z użytkowaniem grodziska w XI–XIII w. Nadsypano wał (W1), a po jego wewnętrznej stronie (od strony majdanu) wykopano zagłębienie przywałowe 27 (W1). Na wale zidentyfikowano warstwę jednorodnego ilastego piasku 30, na którym zalegało skupisko kamieni 3. Powyżej występowała warstwa niejednorodnego piasku z węgielkami drzewnymi i polepą 29 oraz pas ilastej ziemi 28. Poziom użytkowy w zagłębieniu przywałowym tworzył piasek z drobnymi fragmentami węgli drzewnych 35 (w części zachodniej) oraz twarda glina 64 (w części wschodniej), a także zbita, piaszczysta ziemia z drobinami węgla drzewnego 32.

W fosie (W2) powstał poziom użytkowy reprezentowany przez niejednorodny, gliniasty piasek 18, niejednorodną glinę z węgielkami drzewnymi 44 oraz warstwę niejednorodnego, gliniastego piasku 15, w której stropie zalegały luźne kamienie 11.

Wówczas nadsypano wał także od strony bramy SW grodziska (W3). Nad warstwami użytkowymi z wczesnego średniowiecza usypano warstwę niejednorodnej piaszczysto-ilastej ziemi z drobinami polepy i węgli drzewnych 103. W warstwę tę zagłębiony był nieregularnie prostokątny obiekt 104 z wypełniskiem czarnej, przepalonej ziemi 91. Być może był to odcisk po drewnianej skrzyni. Ponadto nad rumoszem polepowym znajdowała się piaszczysto-ilasta warstwa z drobinami węgli drzewnych i pomarańczowych grudek polepy 72. Kolejnymi warstwami nasypu

wału z fazy V były następujące warstwy (widoczne w zachodnim profilu): niejednorodna przemieszana, szara i szaro-brązowa ziemia ilasta i piaszczysto-ilasta 102; jasna, ilasto-piaszczysta ziemia 95; a także dość jednorodna, ilasta jasna ziemia 97. Ponadto, na warstwie 95 zadokumentowano ślady spalonej belki 84.

Faza VI – opuszczenie grodziska

Po opuszczeniu grodziska, zapewne w XIV w., jego wały uległy daleko idącej erozji i spłynęły w kierunku majdanu oraz fosy. W wykopie 1 w zagłębieniu przywałowym zaobserwowano niejednorodny, ilasty piasek z węgielkami drzewnymi i polepą 26. Na stoku wału i w zagłębieniu przywałowym była to warstwa jednorodnego, ilastego piasku 8 oraz leżący niżej gliniasty piasek z węgielkami drzewnymi 14. W fosie (W2) horyzont ten reprezentuje twarda, niejednorodna glina 43 oraz jednorodny piasek 7.

W wykopie 3 (SW wał grodziska) zadokumentowano następujące warstwy erozyjne pochodzące z Fazy VI: opadająca w kierunku majdanu warstwa szaro-brązowa z fragmentami węgli i polepą 70; znajdująca się na południowym stoku wału warstwa jasnej, jednorodnej ziemi ilasto-gliniastej 71; bardzo jasna, jednorodnie przemieszana ziemia piaszczysto-ilasta 100=129 oraz jednorodna, ilasta jasna ziemia 80.

Ponadto w na stoku korytarza bramnego w wyniku erozji i warunków atmosferycznych powstały warstwy spływu. Na stropie warstwy 80 zadokumentowano piaszczystą i piaszczysto-ilastą ziemię 79, widoczną w planie jako nieregularny pas między jasnymi, ilastymi warstwami 71 i 80. W jej miąższości znajdowały się skupiska kamieni: skupisko 76, rysujące się na północnej krawędzi zbocza wału; a także skupisko 77, widoczne w środkowej partii zbocza opadającego w stronę fosy, w którym odkryto grot włóczni (ryc. 22). Jednostki te pokrywał depozyt ciemnej, przemieszanej, piaszczystej, a w dolnej partii piaszczysto-ilastej, miękkiej ziemi ciemnoszaro-brązowej 74.

Faza VII – współczesność

Obecną powierzchnię grodziska tworzy drobnoziarnisty, ziemisty piasek 1=4 (W1, W2, W3). W wykopie 3 w ścianie E zaobserwowano obiekt 139 w wypełniskiem zbitej ilastej ziemi 138, który stanowi ślad po norze zwierzęcej. W północnej części W3 widoczna była warstwa ciemnoszaro-brązowej piaszczysto-ilastej ziemi 73, która prawdopodobnie jest pozostałością dużej nory zwierzęcej lub rosnącego drzewa.

Ryc. 22. Janiki Wielkie, st. 2. Skupisko kamieni 77 i grot włóczni *in situ*. Widok od strony wschodniej (fot. D. Wach)

ZNALEZISKA

URSZULA KOBYLIŃSKA

Ceramika

W trakcie badań wykopaliskowych w 2013 i 2016 roku w nawarstwieniach kulturowych grodziska znaleziono 131 fragmentów ceramiki, w tym sześć fragmentów z wylewem (stanowiących odpowiednik 31% SEN) z wczesnego okresu żelaza oraz cztery fragmenty średniowieczne z wylewem (stanowiące odpowiednik 24% SEN); 108 fragmentów brzuśców, z których 15 było ozdabianych; 11 części przydennych i jedno dno lekko wklęsłe (stanowiące odpowiednik 10% SEN). Pod względem chronologicznym 96 fragmentów ceramiki pochodziło z wczesnej epoki żelaza, a 35 z wczesnego średniowiecza (tab. 2–3).

Ceramika z wczesnej epoki żelaza (tabl. 1:1–3, 5–8)

Ceramikę z wczesnej epoki żelaza reprezentują w materiale zabytkowym z grodziska w Janikach Wielkich, st. 2 niewielkie części naczyń, silnie rozdrobnione, których wielkości zawierają się głównie między 2 cm a 4 cm, najczęściej spłukane, zniszczone i niekiedy nawet silnie przepalone. Utrudnia to ich opis i klasyfikację. Cechy dobrze zachowanych fragmentów, głównie brzuśców (tabl. 1:1) i wylewów (tabl. 1:2–3, 8) wskazują, że pochodzą z naczyń o powierzchni równej, gładkiej matowej lub silnie wyrównanej i najczęściej wygładzonej lub wypolerowanej od wewnątrz. Niedużej wielkości ułamki wypolerowane i wyświecone pochodzą prawdopodobnie z tzw. naczyń stołowych (tabl. 1:1–3, 5, 8–9), barwy czerwonawo-brązowej

Tabela 2. Zestawienie ilościowe fragmentów ceramiki z grodziska w Janikach Wielkich, st. 2 (oprac. U. Kobylińska)

Faza	Jednostka stratygraficzna	Liczba fragmentów łącznie	Wylewy			Brzuśce							Części przydenne	Dna				Fragmenty przepalone	Fragmenty o wypłukanej powierzchni	Chronologia	
						Rodzaj powierzchni										Rodzaj					
			Liczba fragmentów	SEN (procent obwodu)	Ornamentowane	Chropowacone	Gładkie	Wyświecane	Szorstkie	Nieokreślone	Ornamentowane	Liczba fr. ogółem		Liczba fragmentów	SEN (procent obwodu)	Wklęsłe	Lekko wklęsłe			Wczesna epoka żelaza	Średniowiecze
I	56	2				1				1		2						1	2	2	
I	134	24	1	5		1			21			22	1						11	24	
I	135	17				1	6		8	2		17								17	
II	25	1						1				1								1	
IIIA	2	2											1	1	?	1			1		2
IIIA	24	2				1	1					2							1	2	
IIIA	38	20	1	3		3	9		4	2		18	2					1	2	20	
IIIA	81	1								1		1						1		1	
IIIA	98	1							1			1						1	1	1	
IIIA	99	1											1						1	1	
IIIA	110	1								1		1						1	1	1	
IIIA	120	1					1					1								1	
IIIB	5	8	1	3			4	1				5	2						2	8	
IIIC	17	1					1					1							1	1	
IIIC	9	3								1		1	2					2	3	1	2
IIIC	20	1					1					1							1	1	
IV	82	2					1		1		1	2								1	1
V	32	1							1			1									1
V	72	1												1	10		1				1
V	91	2	1	10					1			1						2		2	
V	95	3							3			3						2	3	3	
V	102	1								1		1						1	1	1	
VI	8	7	2	9					3	1	2	4	1					1	4		7
VI	14	7							4	2	4	6							3	1	6
VI	26	3							3			3									3
VI	74	2					1		1			2								1	1
VI	79	1							1		1	1									1
VII	1	15	4	25	1		2		8		6	10	1						1	5	10
SUMA		**131**	**10**	**55**	**1**	**7**	**27**	**2**	**60**	**12**	**14**	**108**	**11**	**2**	**10**	**1**	**1**	**13**	**39**	**96**	**35**

(5YR 5/4). Masa ceramiczna tych naczyń zawiera domieszkę o różnej granulacji, także duże ziarna o średnicy 2 mm, i w przeważnie dużej ilości, mimo cienkościenności ścianek naczyń. Ułamki wszystkich rodzajów naczyń w swej masie ceramicznej zawsze zawierają mikę. Zachowane górne fragmenty pochodzą z niedużych naczyń o średnicy wylewu wynoszącej 14–17 cm. Są to naczynia esowate, zaopatrzone w szyjkę, a ich brzuśce są słabo uwypuklone. Fragmenty większych, grubościennych naczyń (grubości do 1 cm w partiach przydennych i ok. 0,8 cm w partii brzuśców), o średnicy wylewu wynoszącej ok. 22 cm, także mają powierzchnie wygładzane, niekiedy tłustą gliną, której resztki widoczne są miejscami na zachowanych powierzchniach. Występują także części naczyń o wnętrzu wyłożonym czarną, tłustą glinką. Nakładana cienką warstwą poziomymi pasmami, przykrywała masę ceramiczną z ziarnami domieszki. Były to naczynia o mocno wypolerowanej powierzchni wewnętrznej dla zachowania lepszej szczelności. Wielkość zachowanych fragmentów oraz ich silna erozja i przepalenie, uniemożliwiają określenie ich formy. Można jedynie domniemywać, że mogą to być fragmenty takich form jak czerpak, misy, naczynia zasobowe, wazy lub amfory. Odkryta znikoma liczba fragmentów brzuśców lub części przydennych (tabl. 1:6) ceramiki o powierzchni pokrytej drobnymi zmarszczkami glinki chropowacącej wskazuje na rzadkie użytkowanie przez mieszkańców tego rodzaju grubościennych, dużych naczyń, które mogły służyć jako naczynia zasobowe lub do gotowania. Masywne, grubościenne naczynie (tabl. 1:7) z 91 jednostki stratygraficznej, jest silnie przepalone, a oryginalna powierzchnia ścianek nie zachowała się. Możemy domniemywać, ze względu na śladowe zachowanie niewielkich skrawków powierzchni, iż było to naczynie o powierzchni pierwotnie wygładzanej, z lekko zachylonym, owalnym wylewem o średnicy ok. 17–18 cm,

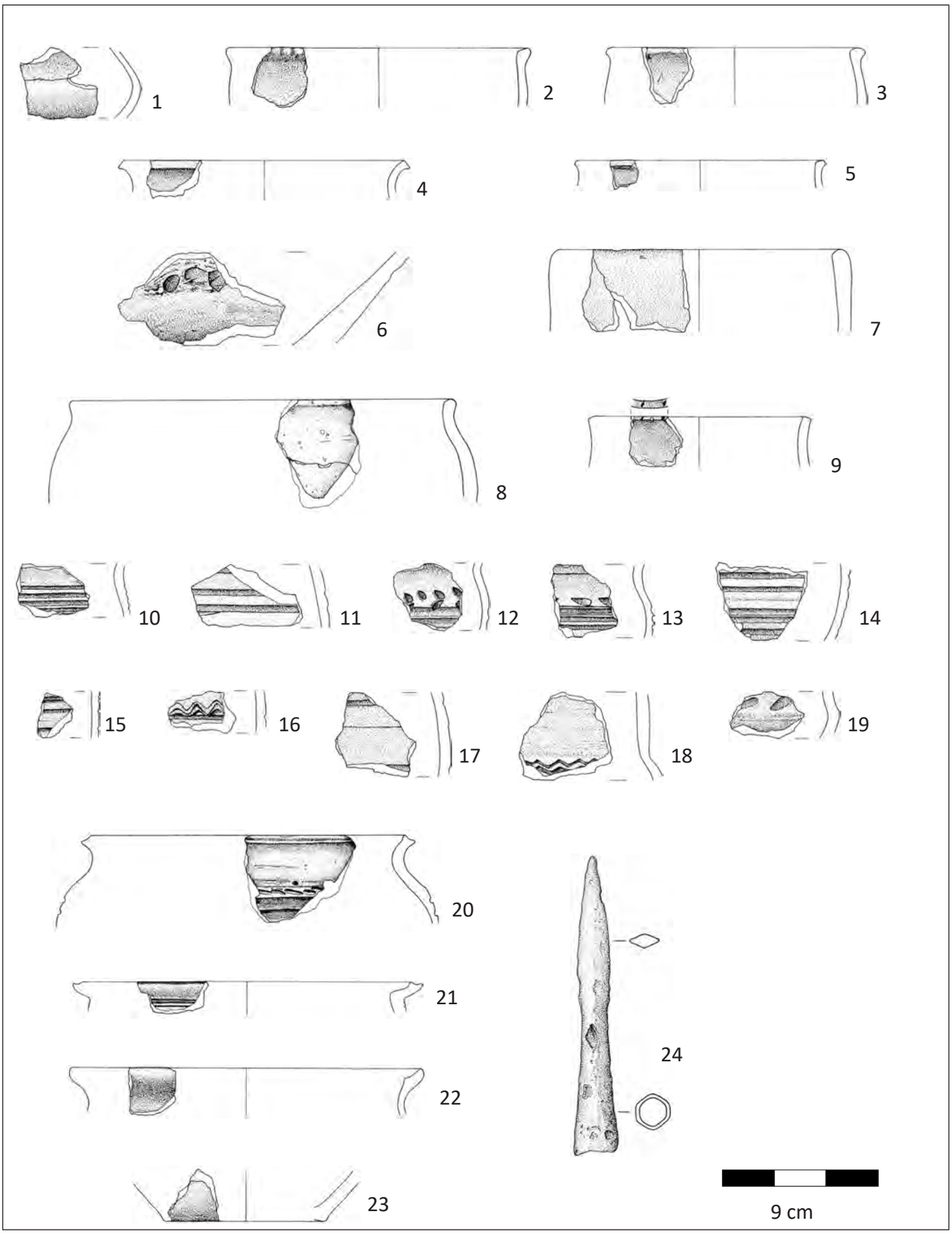

Tablica 1. Janiki Wielkie, st. 2. Ceramika i grot włóczni z grodziska (rys. A. Kucharska-Wach i B. Karch)

Tabela 3. Fragmentacja i erozja fragmentów ceramiki z grodziska w Janikach Wielkich, st. 2 (oprac. U. Kobylińska)

Faza	Jedn. strat.	Wykop	Kategorie wielkościowe [cm]										Stopień erozji			Suma
			1	2	3	4	5	6	7	8	9	10	I	II	III	
I	56	3			2										2	**2**
I	134	3	1	4	7	4	3	4				1	5	8	11	**24**
I	135	3		2	6	4	4		1				15		2	**17**
II	25	2			1								1			**1**
IIIA	2	1				2								2		**2**
IIIA	24	1					1		1				1	1		**2**
IIIA	38	1		8	7	2	2		1				17	1	2	**20**
IIIA	81	3				1									1	**1**
IIIA	98	3			1										1	**1**
IIIA	99	3			1										1	**1**
IIIA	110	3			1										1	**1**
IIIA	120	3				1							1			**1**
IIIB	5	2			1	4	2				1		5	3		**8**
IIIC	9	1		1				1		1					3	**3**
IIIC	17	2				1							1			**1**
IIIC	20	1			1										1	**1**
IV	82	3			1		1						1	1		**2**
V	32	1			1									1		**1**
V	72	3				1							1			**1**
V	91	3					1		1						2	**2**
V	95	3		1	1	1								2	1	**3**
V	102	3				1									1	**1**
VI	8	1			1	5	1						1	6		**7**
VI	14	1			2	2		3					2	3	2	**7**
VI	26	1					1		1				2	1		**3**
VI	74	3		1	1								1	1		**2**
VI	79	3					1						1			**1**
VII	1	1, 2, 3			4	4	4	2	1				7	8		**15**
Suma			**1**	**17**	**39**	**33**	**21**	**10**	**6**	**1**	**1**	**1**	**62**	**38**	**31**	**131**

z zaznaczającą się krawędzią od wewnątrz, przytrzymującą pokrywę. Naczynie baniaste, średnicy ok. 22 cm, które można określić jako grubościenne, ma powierzchnię starannie wygładzoną, choć zniszczoną, barwy rudo-brązowej (7,5YR 5/4, 5/6), o mocno wypolerowanej ściance, także od wewnątrz (tabl. 1:8). Pozostałe małe fragmenty z zachowanym wylewem pochodzą z niewielkich naczyń, o średnicy od ok. 12 do 17 cm, o powierzchni wygładzanej. Ścianki naczyń, choć wygładzane tłustą glinką, są nierówne i mają niewielkie nierówności także pod wylewem wynikające ze sposobu przyklejania pasma gliny pod brzegiem (tabl. 1:2). Brzegi wylewu są bardzo lekko wychylone, przeważnie pogrubione z okapem. Fragmenty znalezione w użytkowych jednostkach stratygraficznej grodziska są wykonane z masy ceramicznej barwy rudej zarówno na powierzchni jak i w przełomie ścianki. Niewielka część naczynia (tabl. 1:5) z jednostki stratygraficznej 38 ma barwę czarno-brązową. Jest to cienkościenne naczynko małych rozmiarów. Sugerować jedynie można, że tego rodzaju fragmenty mogą pochodzić małych form takich jak czerpaki, czarki.

Ogólnie można określić ceramikę z wczesnej epoki żelaza jako związaną z kulturą kurhanów zachodniobałtyjskich z jej fazy II i III.

Ceramika ze starszych faz wczesnego średniowiecza (tabl. 1:9)

Do tej grupy możemy zaliczyć jedynie esowate w kształcie naczynie, którego wygładzony wylew został ozdobiony nacinaniem. Nacięcia na wylewie są wąskie wykonane cienkim narzędziem. Naczynie to, o średnicy wylewu wynoszącej 12 cm, charakteryzuje się powierzchnią lekko kostropatą, ze względu na wyczuwalne ziarna domieszki z obu stron ścianki, pomimo pokrycia masy ceramicznej ścianki cienką warstwą tłustej glinki. Barwa naczynia jest ciemnobrązowa, a od wewnątrz czarna. Masa ceramiczna zawiera dużą ilość domieszki gruboziarnistej (0,2–0,3 cm średnicy ziaren) oraz mikę. Tego typu naczynia z charakterystycznym nacinanym brzegiem występują niekiedy w materiałach najstarszych faz wczesnego średniowiecza i związane są ze strefą leśną osadnictwa. Podobne naczynia są sporadycznie znajdywane na innych stanowiskach osadniczych obszaru Warmii i Mazur, np. na terenie grodziska w Podągach[7], czy grodziska w Ornowie-Lesiaku,

[7] Por. opracowanie wyników badań tego grodziska w niniejszej publikacji.

gm. Ostróda[8]. Datowanie tego rodzaju ceramiki jest trudne, można jedynie określić, że pochodzi ona z okresu VII–IX w.

Ceramika wczesnośredniowieczna z XI–XIII w. (tabl. 1:10–23)

W nawarstwieniach grodziska odkryto 36 fragmentów ceramiki wczesnośredniowiecznej, na które składają się głównie brzuśce, niekiedy ornamentowane, jeden fragment lekko wklęsłego dna oraz cztery fragmenty górnych części z wylewem. Fragmenty są dobrze zachowane, nie wykazują śladów przepalenia i mocnego zniszczenia. Nie zachowały się jednak ani całe naczynia, ani ich większe części. Rozdrobnienie materiału jest wyraźne. Fragmenty naczyń wczesnośredniowiecznych zachowały się głównie w przedziale wielkościowym między 4 cm a 7 cm. Materiał ceramiczny z tego okresu jest lepiej zachowany niż fragmenty ceramiki z wczesnej epoki żelaza. Zebrana niewielka liczba fragmentów ceramiki nie daje jednak pełnej możliwości opisu form.

Zestaw ceramiki wczesnośredniowiecznej jest reprezentowany jedynie przez cztery górne części z wylewem o średnicy 18 cm lub 20 cm i fragmenty brzuśców o barwach w różnych odcieniach pomiędzy kolorem jasnoceglastym a ciemnobrunatnym, choć przeważnie barwy ceglastej, ciemnobrązowej i brunatnej (2,5YR 5/4; 2,5YR 6/4; 5YR 4/6). Są to naczynia o powierzchni zagładzanej po wykonaniu ornamentu w postaci ukośnych, łezkowatych wgłębień, linii falistej lub szerokich (0,4 cm) i niezbyt głębokich żłobień, wykonanych płaskim rylcem, a także wąskich – wykonanych ostrym rylcem (tabl. 1: 10–20). Znaleziono m.in. dwa niewielkie brzuśce i część przydenną o powierzchni szorstkiej, nie wykazujące śladów obtaczania, charakterystyczne dla okresu wczesnego średniowiecza. Na obszarze majdanu grodziska, w nawarstwieniach użytkowych odkryto także górne części naczyń i brzuśce ze śladami obtaczania, o powierzchni zewnętrznej lekko szorstkiej. Przestrzeń pod wylewem i partie ornamentowane były zagładzane i wyrównywane. Brzegi żłobień i przestrzenie pomiędzy nimi były wypłaszczone, gładkie i równe. Naczynia wykonane były z masy ceramicznej z zawartością głównie drobnej domieszki białych ziaren i miki. Ziarna średnie i grube (0,1–0,3 cm) występują sporadycznie i są wyraźnie widoczne jedynie w przełamach ścianek. Powierzchnie najczęściej są barwy jasnoczerwonawo-brązowej (2,5YR 6/4). Są to fragmenty pochodzące z naczyń z cylindryczną szyjką oraz silnie wychylone z profilowanym wylewem (tabl. 1:18, 20–22). Zachowany większy fragment naczynia (tabl. 1:20), o średnicy 18 cm, ma profilowany od zewnątrz wylew, wgłębienie na pokrywę, łagodnie esowato wygiętą szyjkę i cienkościenny, baniasty brzusiec ozdobiony ukośnymi wgłębieniami i głębokimi żłobkami. Jest to dobrze wykonany, obtaczany na całej zachowanej powierzchni, średniej wielkości, baniasty garnek. Ornamentyka większości zachowanych fragmentów charakteryzuje się typowym połączeniem niskiej linii falistej o łagodnie profilowanych wierzchołkach i poziomych liniach rytych. Wystąpiły także łezkowate wgłębienia w układzie poziomym wraz ze żłobieniami poziomymi. Ceramika tu omawiana jest charakterystyczna na tym obszarze dla XII w.

Zachowana niewielka część naczynia (tabl. 1:21) z jednostki stratygraficznej 8 ma silnie wychylony wylew, mocne wgłębienie na pokrywę i profilowaną krawędź zewnętrzną wylewu. Naczynie to, o średnicy wylewu ok. 20 cm, jest silnie obtaczane, barwy jasnoczerwonawo-brązowej (2,5YR 6/4), z silnym okopceniem na dużej części. Na zachowanej powierzchni widoczny jest ornament głębokich żłobień, wykonanych płaskim rylcem. Powierzchnia jest zagładzana, a przestrzenie pomiędzy żłobieniami są równe i płaskie. Z tej samej jednostki stratygraficznej podobnej wielkości naczynie (tabl. 1:22) jest także silnie obtaczane, o powierzchni zagładzanej. Ma obły brzeg i silne wgłębienie na pokrywę. Barwa czerwonawo-brązowo (2,5YR 5/4) powierzchni naczynia jest pokryta czarną spalenizną na wylewie i zewnętrznej powierzchni. Ze względu na fragmentaryczne zachowanie samych górnych partii nie możemy wnioskować o stopniu baniastości czy wymiarach formy. Fragmenty tak ukształtowanych wylewów, silnie obtaczane na całej powierzchni, barwy brązowo-ceglastej, ornamentowane żłobieniami są charakterystyczne dla XIII w.

Jedyna zachowana, w jednostce 72, część przydenna z dnem lekko wklęsłym (tabl. 1:23), zacieranym, średnicy 9 cm, bez wałka dookolnego, pochodziła z niewielkiego naczynia, o słabo widocznych śladach obtaczania, powierzchni szorstkiej, barwy czerwonawo-brązowej (5YR 5/4), a wewnątrz czerwonawo-czarnej (2,5YR 2,5/1). Masa ceramiczna o dwubarwnym przełomie ścianki zawiera średnią ilość domieszki schudzającej, ziaren różnej granulacji włącznie z dużymi ziarnami wielkości 0,1 do 0,3 cm.

Analogiczne do naczynia o profilowanym wylewie (tabl. 1:20) z grodziska w Janikach Wielkich, st. 2 są okazy podobnych form z grodziska w Mozgowie, gm. Zalewo z fazy VIA i z grodziska w Zajączkach, gm. Ostróda, badanych w ramach projektu *Katalog grodzisk Warmii i Mazur*[9], a także z Napola, st. 6, gm. Kowalewo Pomorskie, pow. golubsko-dobrzyński, gdzie określane są jako typ 1b z grupy GTIII–IV[10], czy ze Świecia nad Osą, st. 1, pow. grudziądzki, gdzie datowane są na X/XI wiek[11]. Podobne jest także naczynie z Gronowa, st. 1, gm. Lubicz, pow. toruński, z II fazy osadniczej

[8] Wadyl 2013b: ryc. 18:f.

[9] Por. odpowiednie rozdziały w niniejszej publikacji.

[10] Bojarski 2012b: ryc. 77.

[11] Chudziakowa (red.) 1994: ryc. 179:a.

grodu, datowanej na 4. ćwierć XI–XI/XII w.[12] Wszystkie analogiczne przykłady silnie baniastych naczyń są podobnej wielkości i są podobnie ozdabiane.

Naczynie z silnie wychylonym profilowanym od góry wylewem (tabl. 1:21) ma analogie w ceramice na grodzisku w Kałdusie, st. 3, gm. Chełmno, czy w naczyniu o nieco innych proporcjach, ale z analogicznie uformowanej części górnej z grodziska w Lembargu, st. 6, gm. Jabłonowo Pomorskie; z Napola, st. 1, gm. Kowalewo Pomorskie[13]. Poziomy chronologiczne na tych grodziskach zawierające naczynia o podobnie profilowanych brzegach datowane są na połowę XII w. Ceramika z Napola natomiast jest datowana na koniec XII i początek XIII w. Podobne naczynie wystąpiło także w fazie IIH grodziska w Zajączkach, gm. Ostróda[14]. Natomiast silnie obtoczona forma z owalnym brzegiem zewnętrznym i silnym wgłębieniem na pokrywę (tabl. 1:22) ma analogię w materiale z grodziska w Osieczek, st. 1, gm. Książki, pow. wąbrzeski[15], które to stanowisko jest datowane na połowę XII w. Podobna forma wystąpiła także w materiale z grodziska w Bogdanach, gm. Frombork, pow. braniewski[16], a także w grodzisku w Zajączkach.

Podsumowanie

Niewielkie skupiska ceramiki odkryte w nawarstwieniach grodziska w Janikach Wielkich, st. 2 wskazują na niezbyt intensywne użytkowanie tego obiektu w różnych okresach chronologicznych. Jak można wnioskować z liczebności pozyskanego materiału zabytkowego, gród był zamieszkany głównie we wczesnej epoce żelaza. Fragmenty ceramiki z tego okresu są jednak mocno rozdrobnione, zniszczone i spłukane. Niekiedy też wykazują ślady silnego przepalenia (jednostka 20, 24, 81, 91, 93, 95, 99, 110). Większe skupiska nieprzepalonych fragmentów ceramiki z wczesnej epoki żelaza zostały odkryte w jednostkach stratygraficznych 5, 38, 134, 135. Wydaje się, iż fragmenty ceramiki z wczesnej epoki żelaza głównie zalegały na złożu wtórnym, w różnych jednostkach stratygraficznych, na różnych poziomach, podlegających przemieszczeniom i niwelacjom w trakcie osadnictwa z okresów późniejszych.

Ceramiki z okresu wczesnego średniowiecza z tego grodziska jest niewiele, jednak są one lepiej zachowane i w większych fragmentach. Skupione są głównie na majdanie grodziska i w kilku jednostkach stratygraficznych, np. 8, 26, czy w obiekcie 27 i świadczą o stosunkowo intensywniejszym, choć krótkotrwałym użytkowaniu obszaru grodziska w tym okresie. W obrębie tej fazy wyróżnić można na podstawie ceramiki mało intensywne użytkowanie w starszych fazach wczesnego średniowiecza, a następnie okres, który na podstawie analogii z innych stanowisk datować można zapewne od XI do XIII w.

Zabytki wydzielone

Żelazny grot włóczni o lekko stępionym końcu lancetowatego liścia (tabl. 1:24) został znaleziony w jednostce stratygraficznej 77. Jego zachowana długość wynosi 17 cm, długość liścia grotu wynosi 9 cm, a tulejka, okrągła w przekroju, ma średnicę 2,8 cm. W najszerszym miejscu szerokość liścia grotu wynosi 1,6 cm. Przekrój tulejki grotu, w kształcie okrągły z zaznaczającymi się kantami, łagodnie przechodzi w liść ostrza o soczewkowatym przekroju z lekkim przewężeniem pośrodku i z jednostronnie zaznaczoną osią. Datowanie grotów włóczni nastręcza wiele trudności ze względu na ich małą zmienność typologiczną.

SZCZĄTKI ROŚLINNE

MARIA LITYŃSKA-ZAJĄC, MAGDALENA MOSKAL-DEL HOYO I TOMASZ STĘPNIK

W dziewięciu próbach ziemi, spośród 10 pobranych ze stanowiska 2 w Janikach Wielkich, gm. Zalewo zachowały się spalone resztki drzew i krzewów (tab. 4). Wszystkie próbki pochodzą z obszaru przejścia bramnego w południowo-zachodniej części grodziska (W3).

Z Fazy I (wczesna epoka żelaza) pobrano jedną próbę z wypełniska jamy 136, które stanowiła ilasta ziemia z drobnymi fragmentami węgla 135.

Zdecydowaną większość prób pobrano z nawarstwień i wypełnisk obiektów związanych z funkcjonowaniem przejścia bramnego w wczesnym średniowieczu (Faza IIIA). Pochodziły one z warstwy piaszczystej ziemi z dużą ilością węgli 119, która znajdowała się w obrębie przejścia bramnego, między dołkami posłupowymi stanowiącymi jego granicę; wypełniska piaszczystej ziemi 120 z obiektu 133, który stanowił południową granicę konstrukcji bramnej; a także z wypełniska 115, zalegającego wewnątrz rowka znajdującego się wzdłuż spalonej ściany 23=92. Z tej fazy pochodzą również próby pobrane z piaszczystego wypełniska 89, zalegającego w prostokątnym obiekcie 90 w najniższej części stoku korytarza bramnego; warstwy spalenizny 107, która stanowi pozostałość po drewnianej belce; a także z piaszczystej warstwy użytkowej 105=132 z obszaru korytarza bramnego.

Z Fazy IV (opuszczenie grodziska) pobrano próbę ziemi z przepalonej erozyjnej warstwy 82, znajdującej się przy przewróconej ścianie 23=92; a także z wypełniska 85 zalegającego w koleinie spływowej. Pobrano także próbę piaszczysto-ilastej ziemi z warstwy 73, która najprawdopodobniej stanowi pozostałość po dużej norze zwierzęcej lub rosnącym niegdyś drzewie (Faza VII).

[12] Chudziak 1991: ryc. 40:c.

[13] Chudziakowa (red.) 1994: ryc. 83:b; 90:k; 119:b.

[14] Por. wyników badań grodziska w Zajączkach, w niniejszej publikacji.

[15] Chudziakowa (red.) 1994: ryc. 127:c.

[16] Gazda *et al.* 2013: ryc. 52:b.

Tabela 4. Spalone szczątki drewna ze stanowiska w Janikach Wielkich, st. 2: WPU – współczesny poziom użytkowy (oprac. M. Lityńska-Zając i M. Moskal-del Hoyo)

Chronologia	Wczesne średniowiecze								WPU	Suma
Nr jednostki stratygraficznej	82	85	89	105	107	115	119	120	73	
Nazwa taksonu	szczątki spalone									
Carpinus betulus	3	1	3	7		2	1	3	2	**22**
Fagus sylvatica	32	37	26	47	4	45	38	54	14	**297**
Fraxinus excelsior			2	3				1		**6**
Pinus sylvestris									2	**2**
Acer sp.		3		3				3		**9**
Betula sp.	3		2	3						**8**
Populus sp. vel *Salix* sp.			2	2				2		**6**
Quercus sp.	1	20	34					2	51	**108**
Salix sp.		1		2			1			**4**
Sambucus sp.		2							1	**3**
liściaste	1	6	1	2		3		1		**14**
Suma	**40**	**70**	**70**	**69**	**4**	**50**	**40**	**66**	**70**	**479**

Tabela 5. Wyniki analizy dendrologicznej prób węgli drzewnych z grodziska w Janikach Wielkich, st. 2 (oprac. T. Stępnik)

Nr inwentarza prób	Nr jednostki stratygraficznej	Wykop	Nazwa taksonu	Liczba fragmentów	Uwagi	Chronologia
1	22	1	*Betula* sp.	3	z pnia	wczesne średniowiecze
2	42	1	*Fagus* sp.	37	z pnia	wczesne średniowiecze

Wśród węgli drzewnych oznaczono dziewięć taksonów, w tym cztery do poziomu gatunku (grab zwyczajny *Carpinus betulus*, buk zwyczajny *Fagus sylvatica*, jesion wyniosły *Fraxinus excelsior* i sosna zwyczajna *Pinus sylvestris*, przy czym resztki ostatnio wymienionego gatunku zachowały się tylko we współczesnym poziomie użytkowym) i pięć do poziomu rodzaju (klon *Acer* sp., brzoza *Betula* sp., dąb *Quercus* sp., wierzba *Salix* sp. i bez *Sambucus* sp.). Kilka okazów określono jako topola lub wierzba *Populus* sp. *vel Salix* sp. Kilkanaście okazów drewna zaliczono do bliżej nieoznaczonych drzew lub krzewów liściastych[17]. Dominowały wśród nich pozostałości buka zwyczajnego, przy wysokim udziale dębu.

Ponadto w trakcie badań archeologicznych pobrano ponad dwadzieścia prób węgli drzewnych, w większości spalonych bierwion i dranic, które pochodziły z pozostałości konstrukcji zbudowanych na wałach i w obrębie przejścia bramnego. Dwie próby, które pochodziły z pogorzelisk konstrukcji wzniesionych na wale (W1) zostały poddane analizie dendrologicznej. Pobrane próby węgli drzewnych pochodzą z Fazy IIIA. Próbę nr 1 pozyskano ze spalonej belki 22; natomiast próba nr 2 została pobrana ze spalonego bierwiona 42.

Wyniki badań wskazują, że konstrukcje te zostały zbudowane z drewna bukowego i brzozowego, a przebadane elementy pochodzą z dużych elementów konstrukcyjnych wykonanych z pnia (tab. 5)[18].

CHRONOLOGIA STANOWISKA

URSZULA KOBYLIŃSKA

Na podstawie analizy materiału ceramicznego wydzielić można trzy główne horyzonty chronologiczne użytkowania stanowiska w Janikach Wielkich, st. 2: wczesną epokę żelaza (okres halsztacki i lateński), starsze fazy wczesnego średniowiecza i rozwinięte fazy wczesnego średniowiecza (XI-XIII w.).

Uzyskane dla próbek substancji organicznej z tego stanowiska daty radiowęglowe[19] niestety nie w pełni korespondują z datowaniem opartym na analogiach ceramicznych z innych stanowisk. Fragment węgla drzewnego z umocnień wału (spalone bierwiona 42), reprezentujący moment zniszczenia grodziska pod koniec Fazy IIIA uzyskał datowanie 1245 ± 25 BP, co w datach kalibrowanych z prawdopodobieństwem 95,4% wskazuje przedział lat 682–870. Z tak wczesną fazą wczesnego średniowiecza można powiązać tylko jedno naczynie ceramiczne, co pozostaje w sprzeczności z intensywnością działalności fortyfikacyjnej poświadczonej dla tej fazy. Z kolei wynik datowania radiowęglowego drugiej próbki, która powinna pochodzić z tej samej fazy użytkowania grodu: fragmentu konstrukcji bramnej w południowej części grodziska (spalone bierwiona 111) wskazuje na okres 1090 ± 30 BP, co po kalibracji z prawdopodobieństwem 95,4% daje przedział lat 892–1014. Gdybyśmy przyjęli, że obie

[17] Opis metody: Lityńska-Zając i Moskal-del Hoyo 2016.

[18] Stępnik 2016: 240.

[19] Kobyliński 2016: 107.

daty dotyczą rzeczywiście tej samej fazy, to musiałaby ona być datowana na drugą połowę IX w. jeśli natomiast przyjmiemy, że odzwierciedlają one dwa okresy osadnictwa w obrębie wczesnego średniowiecza, to drugi z nich powinien być na podstawie wyników datowania radiowęglowego datowany nie później niż na początek XI w., to jest wcześniej niż wskazują analogie ceramiczne z innych stanowisk. W tej sytuacji wydaje się, że należy przyjąć, iż obie daty dotyczą starszych faz wczesnego średniowiecza, pomimo tego, że brak jest większego zespołu ceramiki z tego okresu.

DZIEJE GRODZISKA W JANIKACH WIELKICH, ST. 2

KAMIL RABIEGA I MAGDALENA RUTYNA

Grodzisko w Janikach Wielkich wzniesiono na wysokim wzgórzu charakteryzującym się naturalnymi walorami obronnymi. Już we wczesnej epoce żelaza zbudowano wał (W1) oraz wyprofilowano dno fosy (W2). Stanowisko było także użytkowane na obszarze południowo-zachodniej części grodziska (W3), na co wskazują jamy, w których odkryto fragmenty ceramiki kultury kurhanów zachodniobałtyjskich, a także przepalone kości.

Do kontekstu osadniczego grodziska we wczesnej epoce żelaza nawiązuje kurhan, który znajduje się około 1,3 km na południowy wschód od miejscowości Janiki Wielkie. Obiekt został zbadany w 1897 roku przez A. Bezzenbergera[20], a także w 1988 roku przez Mirosława Hoffmanna[21]. Podczas badań odkryto w nim pięć popielnic kulistodennych, trzy pokrywy misowate, a także czerpak z płaskim dnem. Ponadto, w urnach znajdowały się żelazne i brązowe szpile[22]. Obiekt ten, związany z kulturą kurhanów zachodniobałtyjskich, mogli wznieść ci sami osadnicy, którzy we wczesnej epoce żelaza zbudowali umocnienia obronne na pobliskim wzgórzu.

Teren grodziska po przerwie osadniczej zaczęto ponownie użytkować w starszych fazach wczesnego średniowiecza. Na szczycie wału wewnętrznego wzniesiono ścianę o konstrukcji drewniano-glinianej, a także zbudowano bramę przejazdową w południowo-zachodniej części warowni. W drugiej połowie IX w. (?) gród ten został zniszczony. Nawarstwienia noszą ślady intensywnego pożaru, który obejmował zarówno strefę wału w północnej części grodziska, jak i południowo-zachodnie przejście bramne.

Kolejne osadnictwo pojawia się nie wcześniej niż pod koniec XI w. Wtedy to nadsypano wał wewnętrzny, a także wyprofilowano zagłębienie przywałowe. Na warstwach użytkowych wniesiono także pewne konstrukcje, których ślady odsłonięto na obszarze przejścia bramnego. Ostatecznie grodzisko zostało opuszczone zapewne w pierwszej połowie XIII w. Wówczas jego wały uległy daleko idącej erozji, spływając w kierunku majdanu oraz fosy.

Janiki Wielkie, których pierwotna nazwa brzmiała *Hannuswalt*, wzmiankowane są w źródłach pisanych po raz pierwszy w 1308 r. jako wieś szlachecka licząca 70 włók[23]. Ta data może być traktowana zapewne jako *terminus ante quem* dla ostatecznego opuszczenia grodu w Janikach Wielkich, st. 2.

W pobliżu osady Piekło, oddalonej około 4,2 km na południe od grodziska, miał stać kamienny posąg nazywany „bożkiem" lub „babą", który na początku XX w. został rozbity i wykorzystany do budowy pobliskiego mostu kolejowego[24].

Co więcej, około 500 m na północ od grodziska znajdują się dwa wały podłużne. Jeden z nich został odkryty w 1963 r. przez Romualda Odoja, a drugi w 2009 r. przez Seweryna Szczepańskiego[25].

[20] Bezzenberger 1900: 88–90.
[21] Hoffmann 1992: 22.
[22] Hoffmann 1999a: 57.
[23] Leyding 1973: 88–89.
[24] Leyding 1973: 68.
[25] Szczepański 2013: 241.

Mozgowo, st. 1

Gmina Zalewo

Powiat iławski

AZP 24-54/11

Współrzędne geograficzne:

N 53° 45’ 15,70’’

E 19° 42’ 1,50’’

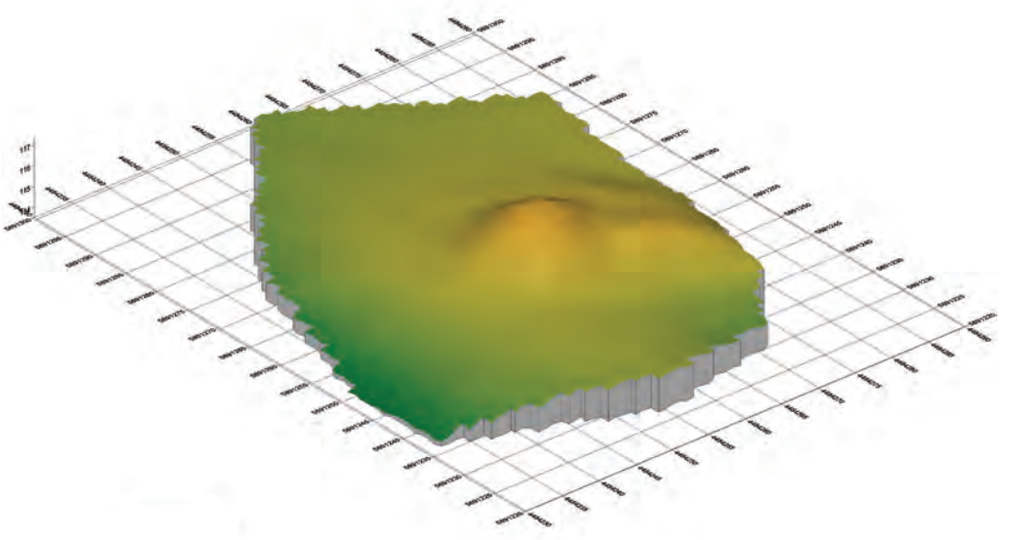

Ryc. 1. Grodzisko w Mozgowie, st. 1 na mapie w skali 1:25 000 (na podstawie materiałów CODGiK, oprac. R. Solecki)

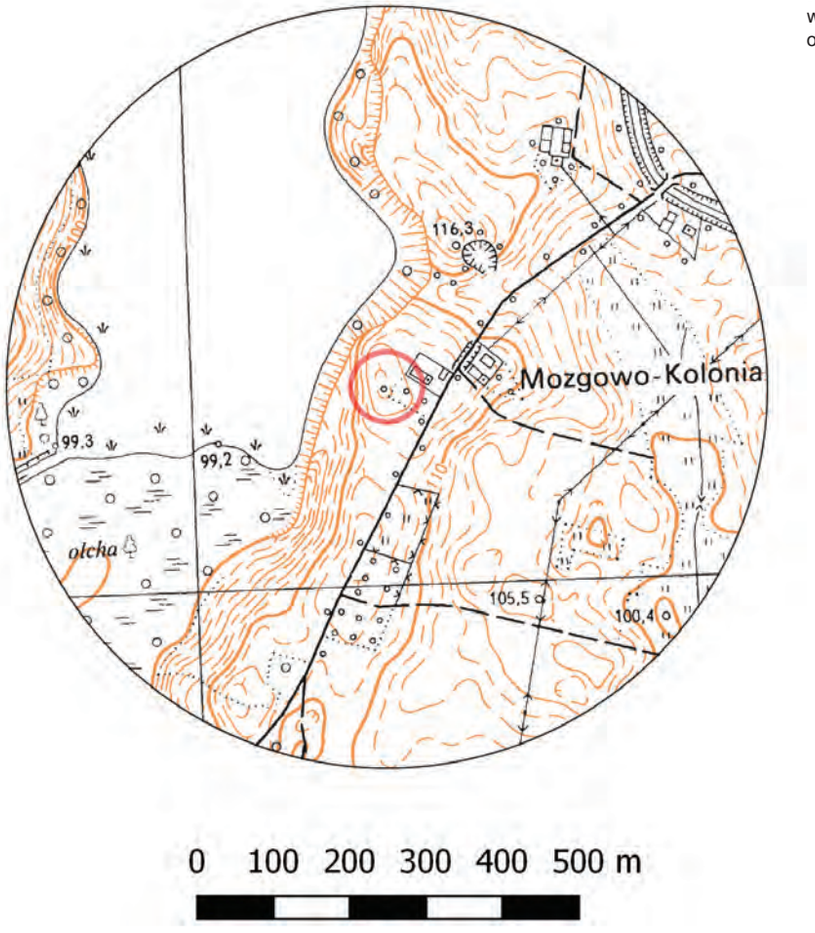

Ryc. 2. Grodzisko w Mozgowie, st. 1 na mapie w skali 1:10 000 (na podstawie materiałów CODGiK, oprac. R. Solecki)

POŁOŻENIE GRODZISKA I JEGO FORMA

MAGDALENA RUTYNA I JACEK WYSOCKI

Grodzisko w Mozgowie, st. 1 położone jest na wysoczyźnie, na krawędzi doliny jeziora Dauby, na terenie silnie eksponowanym (ryc. 1–2). Lokalizacja obiektu zapewnia zarówno daleki widok na tereny otaczającego go pojezierza, jak i bardzo dobrą obserwację jeziora Dauby i przesmyku przy Kradze – zatoce Jezioraka, jak i kontrolę przejścia wodnego, między tymi akwenami, które prawdopodobnie było drożne w średniowieczu, a być może także wcześniej.

Grodzisko ma formę niewielkiego kopca (ryc. 3–6). Jego średnica przy podstawie wynosi ok. 15 metrów, a wysokość od podstawy do 2 metrów. Kopiec ma łagodne stoki. Szczyt kopca osiąga wysokość 117,57 m n.p.m., a podstawa ok. 115,5–116,0 m n.p.m.

Ryc. 3. Mozgowo, st. 1. Widok grodziska od strony południowo-zachodniej (fot. J. Wysocki)

Ryc. 4. Mozgowo, st. 1. Widok grodziska od strony północno-zachodniej (fot. J. Wysocki)

ŚRODOWISKO FIZYCZNO-GEOGRAFICZNE

JERZY NITYCHORUK I FABIAN WELC

Grodzisko w Mozgowie, st. 1 usytuowane jest na krawędzi wysoczyzny morenowej przy wschodnim stoku rynny lodowcowej wypełnionej akwenem jeziora Dauby. Wysoczyzna zbudowana jest z tłustych glin zwałowych barwy brunatnej. Wokół stożka pod cienką warstwą humusu występuje właśnie taka glina. Sam kopiec zbudowany jest z wymieszanych osadów piaszczystych i piasków zaglinionych, co świadczy o jego antropogenicznym charakterze.

Na Szczegółowej mapie geologicznej Polski 1:50 000 ark. Dobrzyki[1] grodzisko leży na obszarze zbudowanym z piasków i żwirów wodnolodowcowych stadiału górnego zlodowacenia Wisły. Na południe od niego rozciąga się wysoczyzna polodowcowa zbudowana z glin zwałowych tego samego wieku (ryc. 7).

Z wysoczyzną polodowcową można wiązać gleby płowe, średniej żyzności III i IV klasy, na piaskach wodnolodowcowych rozwinęły się gleby bielicowe słabszej żyzności V i VI klasy. Wokół stożka na podłożu zbudowanym z glin zwałowych wytworzyły się gleby brunatne, żyzne, ale trudne do uprawy, szczególnie w okresie starożytności i wczesnego średniowiecza, gdyż w późnym średniowieczu poziom agrotechniki pozwalał już na uprawę cięższych gleb.

Na stanowisku wykonano pięć wierceń, a do przekroju geologicznego wykorzystano także dwa wiercenia archiwalne z opracowania geofizycznego, zleconego przez właściciela posesji. Dzięki wierceniom archiwalnym przekrój geologiczny objął osady do kilkunastu metrów głębokości (ryc. 8–9).

Na przekroju geologicznym udokumentowano trzy warstwy glin zwałowych (warstwy 1, 3 i 5), z czego warstwa 5 buduje stok między obiektem, a jeziorem Dauby oraz rozdzielające je warstwy piasków pylastych (2) i piasków drobnoziarnistych i średnioziarnistych lekko zaglinionych, stanowiących bezpośrednie podłoże obiektu (warstwa 4). Osady budujące grodzisko w Mozgowie, st. 1 to: piasek drobnoziarnisty, nieco zailony z bruczkiem do 5 cm średnicy, ciemnoszary; piasek ilasty z fragmentami cegieł i zaprawy, a w spągu, na kontakcie calca i warstwy kulturowej – gleba piaszczysta, ze żwirkiem i bruczkiem, ze śladami po korzeniach, szaro-brązowa (warstwa 6). Z przekroju geologicznego A–B i wiercenia M1r wynika, że wysokość nasypu stanowiącego obiekt wynosi około 1,7 m.

[1] Rabek i Narwojsz 2008.

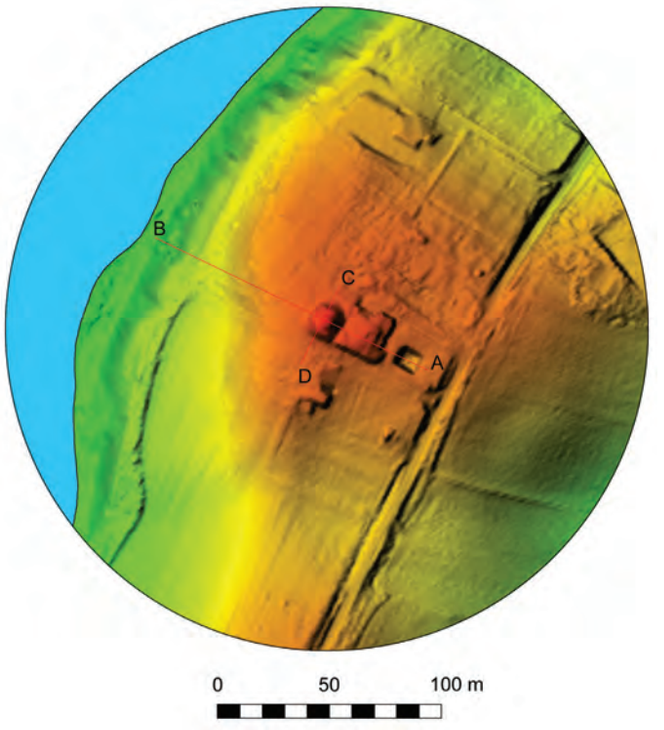

Ryc. 5. Grodzisko w Mozgowie, st. 1 na zobrazowaniu ALS (na podstawie materiałów CODGiK, oprac. R. Solecki)

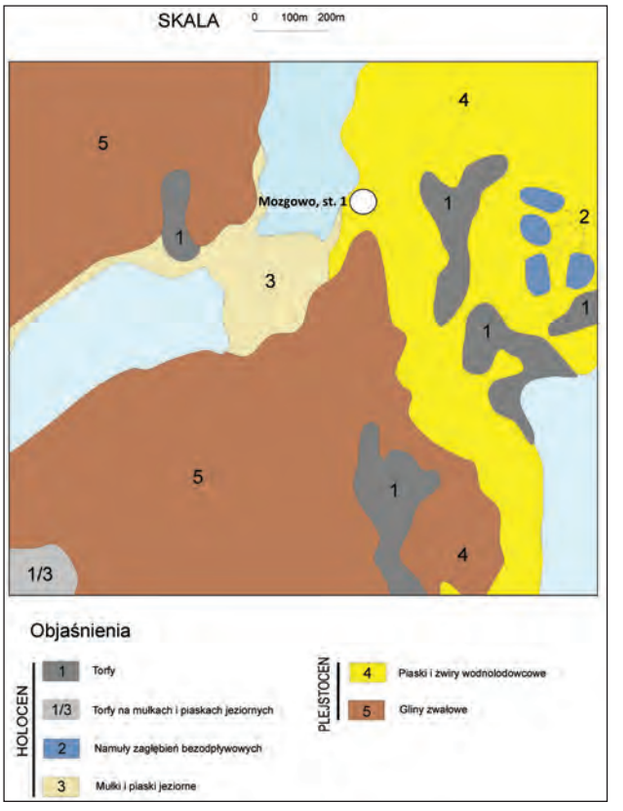

Ryc. 7. Mapa geologiczna okolic grodziska w Mozgowie, st. 1 (oprac. J. Nitychoruk i F. Welc)

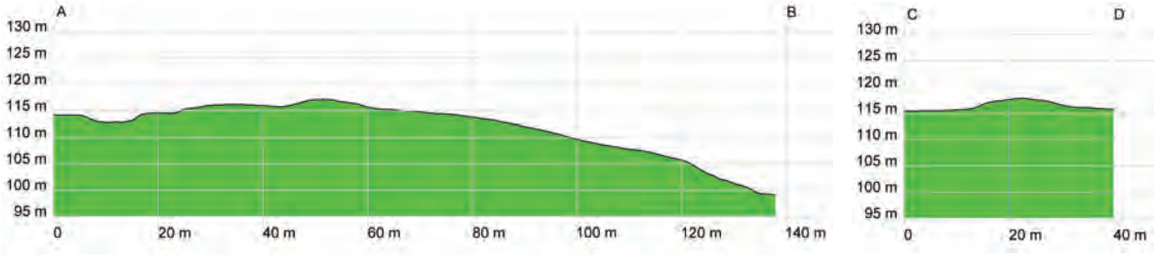

Ryc. 6. Przekroje grodziska w Mozgowie, st. 1 uzyskane z danych ALS (na podstawie materiałów CODGiK, oprac. R. Solecki)

BADANIA ARCHEOLOGICZNE

MAGDALENA RUTYNA I JACEK WYSOCKI

Przebieg badań terenowych

Obiekt po odkryciu w trakcie badań AZP w 1987 roku został wpisany do rejestru zabytków jako kopiec, z sugestią charakteru sepulkralnego (kurhan).

Badania wykopaliskowe przeprowadzono w roku 2012 w ramach realizacji projektu *Katalog grodzisk Warmii i Mazur*[2]. Założono dwa wykopy o łącznej powierzchni 34,5 m². Wykop 1, po osi W–E o wymiarach 2,5 x 10 m z rozszerzeniem przy narożniku SE, o łącznej powierzchni 26,5 m², został założony w południowo-zachodniej części stożka. Wykop 2, również po osi W–E i wymiarach 1 x 8 m, założony we wschodniej części stożka, miał jedynie charakter weryfikacyjny (ryc. 10).

Stratygrafia stanowiska

W trakcie badań archeologicznych w roku 2012 wydzielono łącznie 42 jednostki stratygraficzne, które podzielono na dziewięć głównych faz związanych z użytkowaniem tego obszaru (tab. 1 i ryc. 11).

Faza I – warstwy naturalne

Nawarstwienia kulturowe spoczywały na twardej, tłustej glinie 8=27.

[2] Wysocki i Klęczar 2013: 340.

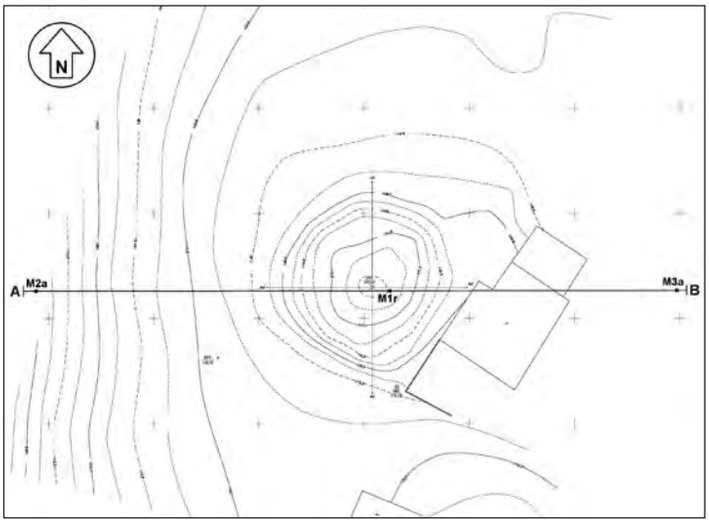

Ryc. 8. Mozgowo, st. 1. Plan warstwicowy grodziska (wyk. J. Błaszczyk) z naniesionymi miejscami wierceń geologicznych i linią przekroju (oprac. J. Nitychoruk i F. Welc)

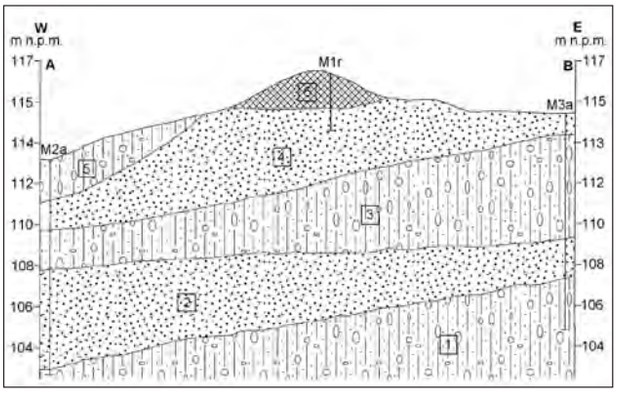

Ryc. 9. Mozgowo, st. 1. Przekrój geologiczny: 1 – glina zwałowa, 2 – piasek pylasty, 3 – glina zwałowa, 4 – piasek różnoziarnisty, 5 – glina spływowa, 6 – warstwa kulturowa (oprac. J. Nitychoruk i F. Welc)

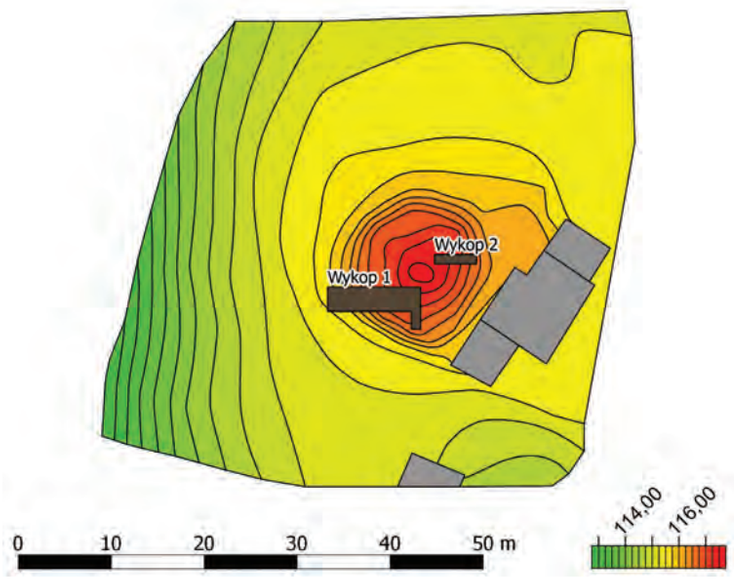

Ryc. 10. Plan warstwicowy grodziska w Mozgowie, st. 1 z zaznaczonymi wykopami badawczymi z roku 2012 (na podstawie pomiarów J. Błaszczyka, oprac. R. Solecki)

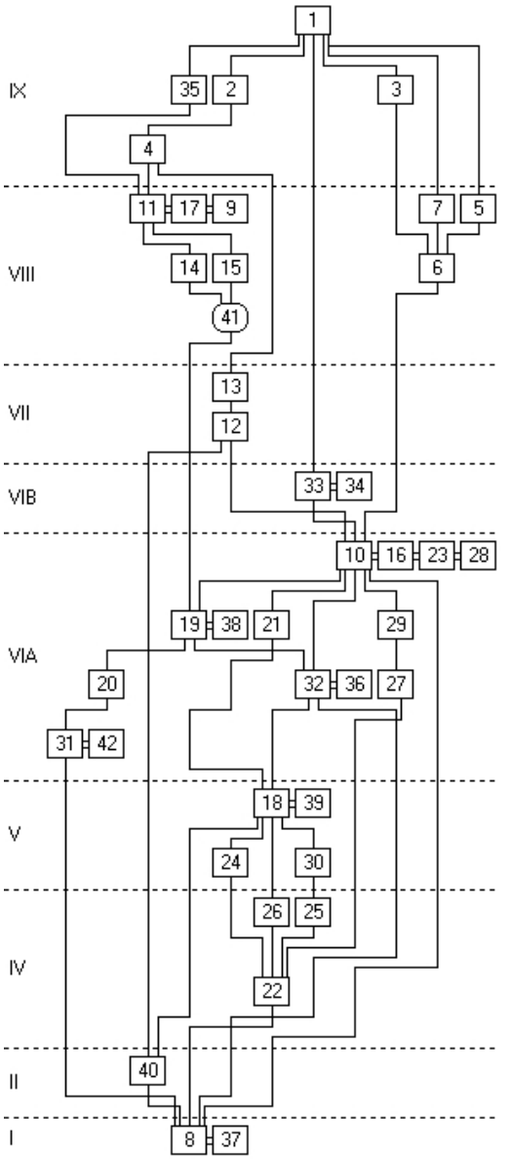

Ryc. 11. Mozgowo, st. 1. Diagram relacji stratygraficznych (oprac. M. Rutyna)

Tabela 1. Mozgowo, st. 1. Badania w roku 2012. Katalog warstw i obiektów oraz ich zależności stratygraficznych (oprac. M. Rutyna)

Numer jednostki	Numer obiektu	Numer wykopu	Położenie w obrębie stanowiska	Opis jednostki stratygraficznej	Barwa (Munsell)	Pozycja stratygraficzna	
						Znajduje się pod	Znajduje się nad
1	-	1	Południowo-zachodnia część stożka	Sypki, niejednorodny piasek; miąższość do 15 cm; humus	10YR 3/2	-	2, 3, 4, 5, 6, 7, 9, 33, 34, 35
2	-	1	Południowo-zachodnia część stożka	Skupisko luźno rozrzuconych około 20 kamieni (o śr. do 10 cm)	-	1	4
3	-	1	Południowo-zachodnia część stożka	Skupisko luźno rozrzuconych około 20 kamieni (o śr. do 10 cm)	-	1	6
4	-	1	Południowo-zachodnia część stożka	Niejednorodna glina z fragmentami cegieł; miąższość do 15 cm; współczesny poziom użytkowy	7YR 4/1	1, 2	12, 13, 14, 15
5	-	1	Południowo-zachodnia część stożka	Gruz z z fragmentami cegieł i kamieniami; miąższość do 45 cm; warstwa powstała w wyniku rozbiórki wieży	10YR 4/3	1	6
6	-	1	Południowo-zachodnia część stożka	Gruz z z fragmentami cegieł i kamieniami; miąższość do 25 cm; warstwa powstała w wyniku rozbiórki wieży	10YR 5/2	5, 7	10=16=23=28
7	-	1	Południowo-zachodnia część stożka	Gruz z z fragmentami cegieł i kamieniami; miąższość do 15 cm; warstwa powstała w wyniku rozbiórki wieży	10YR 6/2	1	6, 8
8=37	-	1, 2	Południowo-zachodnia część stożka	Ilasta glina; calec	2,5Y 6/3	7, 22, 23, 31	–
9=11=17	-	2	Wschodnia część stożka	Piasek z grudkami zaprawy wapiennej i gruzem ceglanym; miąższość do 60 cm; warstwa powstała w wyniku rozbiórki wieży	2,5Y 4/4	1, 33, 34, 35	28
10=16=23=28	-	1, 2	Południowo-zachodnia część stożka	Niejednorodny piasek z gruzem i zaprawą wapienną; miąższość do 50 cm; Faza VIA – budowa wieży	10YR 6/6	6	21, 32
12	-	1	Południowo-zachodnia część stożka	Sypki, jednorodny piasek; miąższość do 50 cm; warstwa powstała w wyniku naturalnego narastania gleby	2,5Y 5/2	4, 13	23, 40
13	-	1	Południowo-zachodnia część stożka	Sypki, niejednorodny piasek z drobnymi fragmentami polepy; miąższość do 10 cm; warstwa powstała w wyniku naturalnego narastania gleby	2,5Y 5/1	4	12
14	-	1	Południowo-zachodnia część stożka	Kilka kamieni o śr. do 10 cm; Faza VIII	-	4	11=17
15	-	1	Południowo-zachodnia część stożka	Warstwa potłuczonych cegieł; Faza VIII	7YR 6/6	4	11=17
18=39	-	1	Południowo-zachodnia część stożka	Niejednorodny piasek z węgielkami drzewnymi i popiołem; miąższość do 30 cm; warstwa powstała w wyniku naturalnego narastania gleby	10YR 6/2	21, 32	22, 26, 30
19=38	-	1, 2	Południowo-zachodnia część stożka	Fundament kamienny, składający się z około 90 kamieni o śr. od ok. 10 cm do ok. 80 cm	-	41	20
20	-	1	Południowo-zachodnia część stożka	Zgliniony piasek z zawartością węgielków drzewnych, popiołu i wapna; miąższość do 50 cm; warstwa budowlana	7,5YR 5/4	19	31
21	-	1	Południowo-zachodnia część stożka	Niejednorodny piasek z węgielkami drzewnymi; miąższość do 10 cm; Faza VIA – budowa wieży	10YR 6/8	10	18
22	-	1	Południowo-zachodnia część stożka	Sypki, niejednorodny piasek z węgielkami drzewnymi; miąższość do 30 cm; poziom użytkowy	2,5YR 5/2	18, 25, 26, 27	8
24	-	1	Południowo-zachodnia część stożka	Skupisko kości	-	18	22
25	-	1	Południowo-zachodnia część stożka	Sypki, niejednorodny piasek z węgielkami drzewnymi; miąższość do 20 cm; poziom użytkowy	7,5YR 4/2	30	22
26	-	1	Południowo-zachodnia część stożka	Skupisko około 50 dużych kamieni 26 (o śr. od 5 cm do 1 m) układało się równolegle do lica fundamentu z Fazy VI, w odl. ok. 1,5 m od niego w kierunku W; kamienna konstrukcja zniszczona została przez dolną część wkopu fundamentowego fundamentu kamiennego rozebranego muru ceglanego z Fazy VI	-	18	22
27	27	1	Południowo-zachodnia część stożka	Dół posłupowy, o wym. ok. 0,25 x 0,3 m i gł. ok. 0,4 m	-	29	22
29	27	1	Południowo-zachodnia część stożka	Niejednorodny, gliniasty piasek; wypełnisko dołu posłupowego 27	10YR 5/2	10	27
30	-	1	Południowo-zachodnia część stożka	Niejednorodny piasek z węgielkami drzewnymi i popiołem; miąższość do 10 cm; warstwa powstała w wyniku naturalnego narastania gleby	10YR 4/2	18	25
31=42	31	1, 2	Południowo-zachodnia część stożka	Wkop fundamentowy	-	20	8
32=36	-	1, 2	Południowo-zachodnia część stożka	Niejednorodna glina; miąższość do 30 cm; Faza VIA – budowa wieży	2,5YR 5/4; 10YR 6/3	10	18

Tabela 1. Ciąg dalszy

Numer jednostki	Numer obiektu	Numer wykopu	Położenie w obrębie stanowiska	Opis jednostki stratygraficznej	Barwa (Munsell)	Pozycja stratygraficzna	
						Znajduje się pod	Znajduje się nad
33=34	-	2	Wschodnia część stożka	Bruk kamienny – skupisko około 20 kamieni o śr. od ok. 10 cm do ok. 30 cm; poziom użytkowy	-	1	28
35	-	2	Wschodnia część stożka	Skupisko ok. 15 kamieni o śr. od ok. 10 cm do ok. 20 cm	-	1	9
40	-	1	Południowo-zachodnia część stożka	Sypki, jednorodny piasek; miąższość do 1,1 m; zniszczony nasyp kurhanu	10YR 5/2	12, 39	8
41	-	1	Południowo-zachodnia część stożka	Wkop w celu pozyskania materiału budowlanego	-	11	19

Faza II – kurhan

We wschodniej części wykopu 1 odkryto pozostałości zniszczonego kurhanu z wczesnej epoki żelaza. W warstwie tworzącej zniszczony nasyp kopca, w sypkim, jednorodnym piasku 40, odkryto kilka skupisk przepalonych kości ludzkich i fragmenty ceramiki pochodzące ze zniszczonych naczyń (urny?) z wczesnej epoki żelaza. Prawdopodobnie nasyp kurhanu użyto wtórnie jako podstawę do wzniesienia budowli murowanej (Faza VIA).

Faza III – naturalne narastanie gleby

Faza III reprezentuje okres pomiędzy wczesną epoką żelaza a wczesnym średniowieczem. W wyniku erozji stoku kurhanu oraz naturalnego narastania gleby powstały zapewne warstwy, które zniwelowano w Fazie IV.

Faza IV – budynek wczesnośredniowieczny (ryc. 12–14)

Fazę IV zaobserwowano tylko w wykopie 1. We wczesnym średniowieczu prawdopodobnie wzniesiono drewniany lub drewniano-kamienny budynek. W piaszczystych warstwach 22 i 25, poza spalenizną, odkryto fragmenty zwęglonych dranic. Budynek posadowiony był zapewne na kamiennych podwalinach 26, które zostały umieszczone na glinianej warstwie calcowej 8=37, na zewnątrz nasypu wcześniejszego kurhanu 40. Skupisko 26 składające się z 50 dużych kamieni (o średnicy od 50 cm do 1 m) układało się równolegle do lica fundamentu z Fazy VI, w odległości ok. 1,5 m od niego w kierunku zachodnim. Kamienna konstrukcja 26 zniszczona została przez dolną część wkopu fundamentowego fundamentu kamiennego rozebranego muru ceglanego z Fazy VI. Drewniany budynek prawdopodobnie spalił się. Świadczą o tym liczne węgle drzewne i duża zawartość spalenizny, odkryte z nawarstwieniach związanych z tą fazą. W warstwach tych odkryto fragmenty ceramiki charakterystyczne dla schyłku wczesnego średniowiecza (XII–XIII w.) oraz nieliczne przedmioty metalowe (m. in. nóż z kolcem do rękojeści).

Ryc. 12. Mozgowo, st. 1. Pozostałości kamiennej podwaliny budynku drewnianego z Fazy IV (fot. J. Wysocki)

Ryc. 13. Mozgowo, st. 1. Resztki spalonej konstrukcji budynku drewnianego z Fazy IV, zachowane pod fundamentem kamiennej wieży z Fazy VI (fot. J. Wysocki)

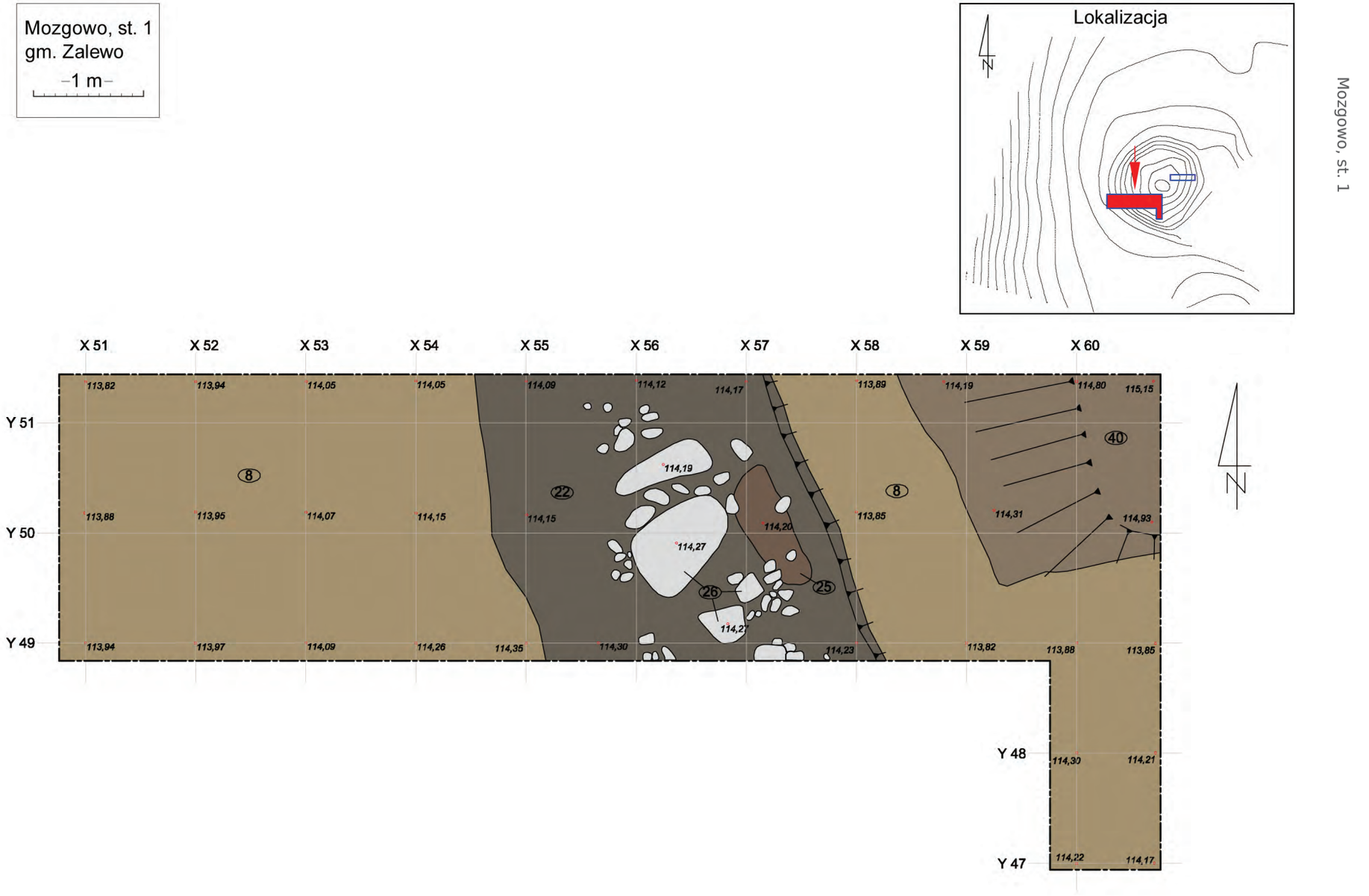

Ryc. 14. Mozgowo, st. 1. Plan obiektów i warstw z Faz II i IV (oprac. J. Wysocki, M. Rutyna i R. Solecki)

Faza V – naturalne narastanie gleby?

Horyzont ten wyznaczają warstwy powstałe być może w wyniku naturalnego narastania gleby. W wykopie 1 zadokumentowano niejednorodny piasek z węgielkami drzewnymi i popiołem 18=39 oraz niejednorodny piasek z węgielkami drzewnymi.

Faza VI – budowa i funkcjonowanie murowanej wieży (ryc. 15–21)

Podfaza VIA – budowa wieży

W późnym średniowieczu, prawdopodobnie w XIV w., wzniesiono murowaną, niepodpiwniczoną budowlę. Wkop fundamentowy 31=42 wkopano w istniejący już nasyp stożka (od strony wewnętrznej). Fundament kamienny 19=38, składający się z około 90 kamieni o średnicy od około 10 cm do około 80 cm, od zewnątrz obsypany został niejednorodnym piaskiem z gruzem i zaprawą wapienną 10=23=28, a od wewnątrz niejednorodną gliną 32=36. Na fundamencie kamiennym o szerokości około 1,1 m zbudowano mur ceglany, spajany zaprawą wapienną.

Na zewnątrz fundamentu kamiennego, na poziomie odsadzki (od strony zachodniej), odkryto poziom użytkowy i warstwę budowlaną 20 z okresu budowy fundamentu, z zawartością węgielków drzewnych, popiołu i wapna. Uchwycono tu wyraźnie zarys wkopu fundamentowego oraz strzałkę budowlaną, a ponadto ślady po konstrukcji rusztowania budowlanego w postaci co najmniej dwóch dołków posłupowych, (owalnego dołu posłupowego 27 o wymiarach około 0,25 x 0,3 m i głębokości około 0,4 m), oddalonych ok. 1,2 m od lica muru i około 1,5 m od siebie. Wypełnisko dołu tworzył niejednorodny, gliniasty piasek 29. Ponadto w wykopie 1 uchwycono fragmenty dwóch ścian fundamentowych budynku, tworzących narożnik (niestety częściowo zniszczony). Kontynuację fundamentu 31=42 ściany poprzecznej uchwycono w wykopie nr 2.

Podfaza VI B – użytkowanie wieży

Poziom użytkowy związany z funkcjonowaniem wieży zaobserwowano tylko w wykopie 2. Reprezentuje go warstwa bruku 33 z poziomu parteru wnętrza budynku. Bruk kamienny 33 stanowiła warstwa około 20 kamieni o średnicy od około 10 cm do około 30 cm ułożonych bardzo ciasno i w taki sposób, że tworzyły równą brukową posadzkę.

Faza VII – opuszczenie wieży

Po pewnym czasie funkcjonowania wieża została opuszczona. Zadokumentowano następujące warstwy

Ryc. 15. Mozgowo, st. 1. Korona kamiennego fundamentu konstrukcji z Fazy VI (fot. J. Wysocki)

Ryc. 16. Mozgowo, st. 1. Korona kamiennego fundamentu konstrukcji z Fazy VI (fot. J. Wysocki)

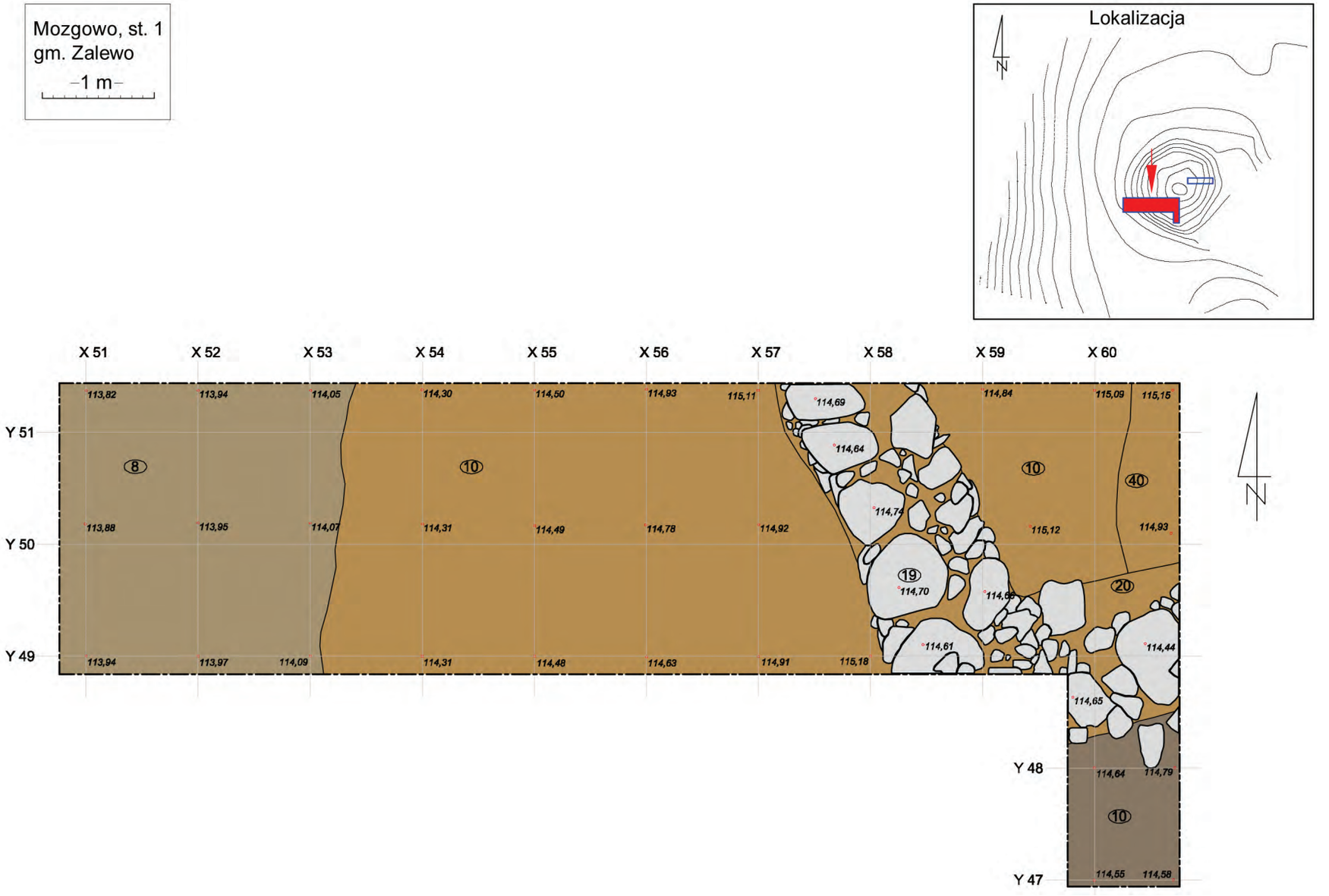

Ryc. 17. Mozgowo, st. 1. Plan obiektów i warstw z Fazy VI (oprac. J. Wysocki, M. Rutyna i R. Solecki)

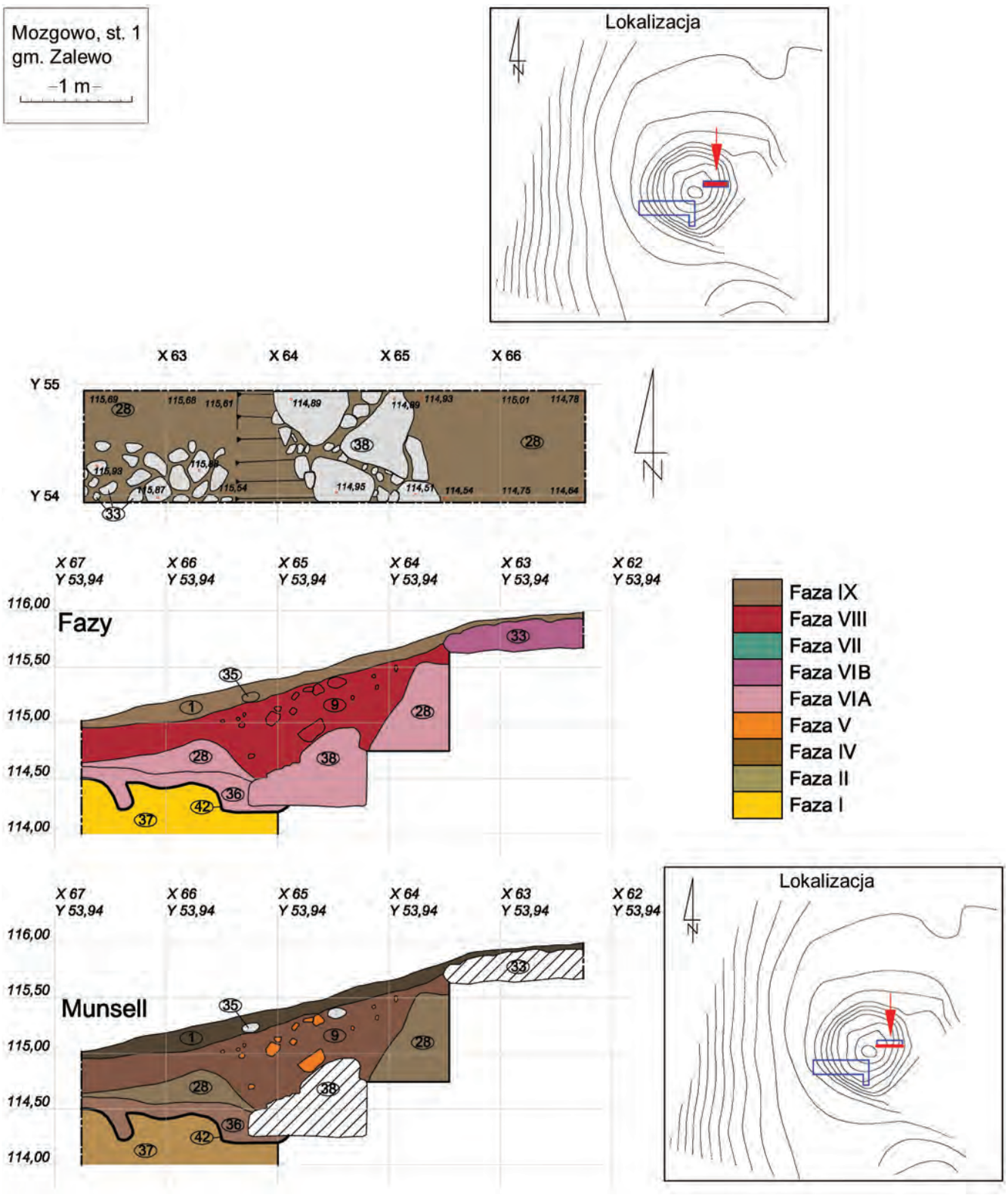

Ryc. 18. Mozgowo, st. 1. Plan obiektów i warstw z Fazy VI oraz stratygrafia nawarstwień widoczna w południowej ścianie wykopu 2 (oprac. J. Wysocki, M. Rutyna i R. Solecki)

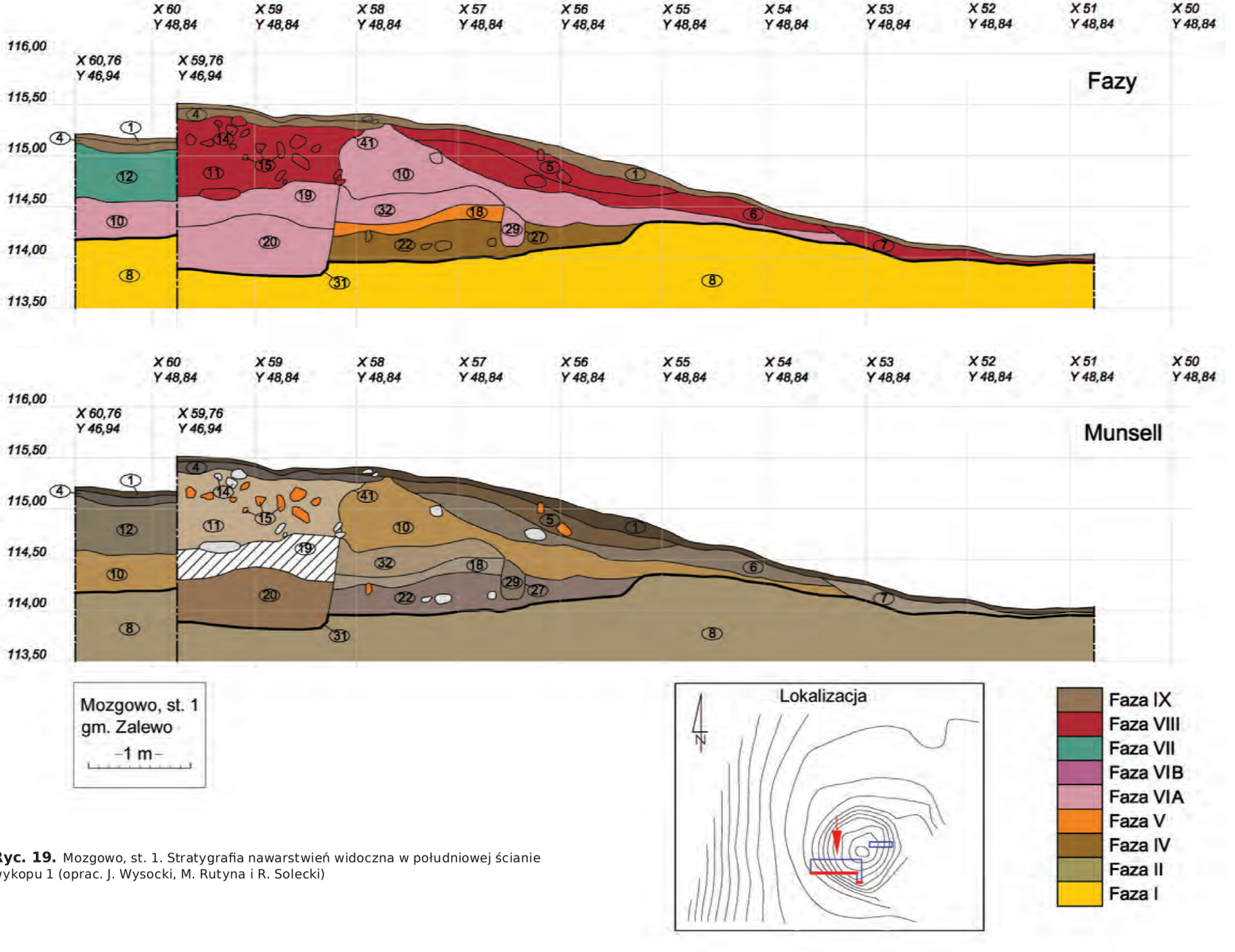

Ryc. 19. Mozgowo, st. 1. Stratygrafia nawarstwień widoczna w południowej ścianie wykopu 1 (oprac. J. Wysocki, M. Rutyna i R. Solecki)

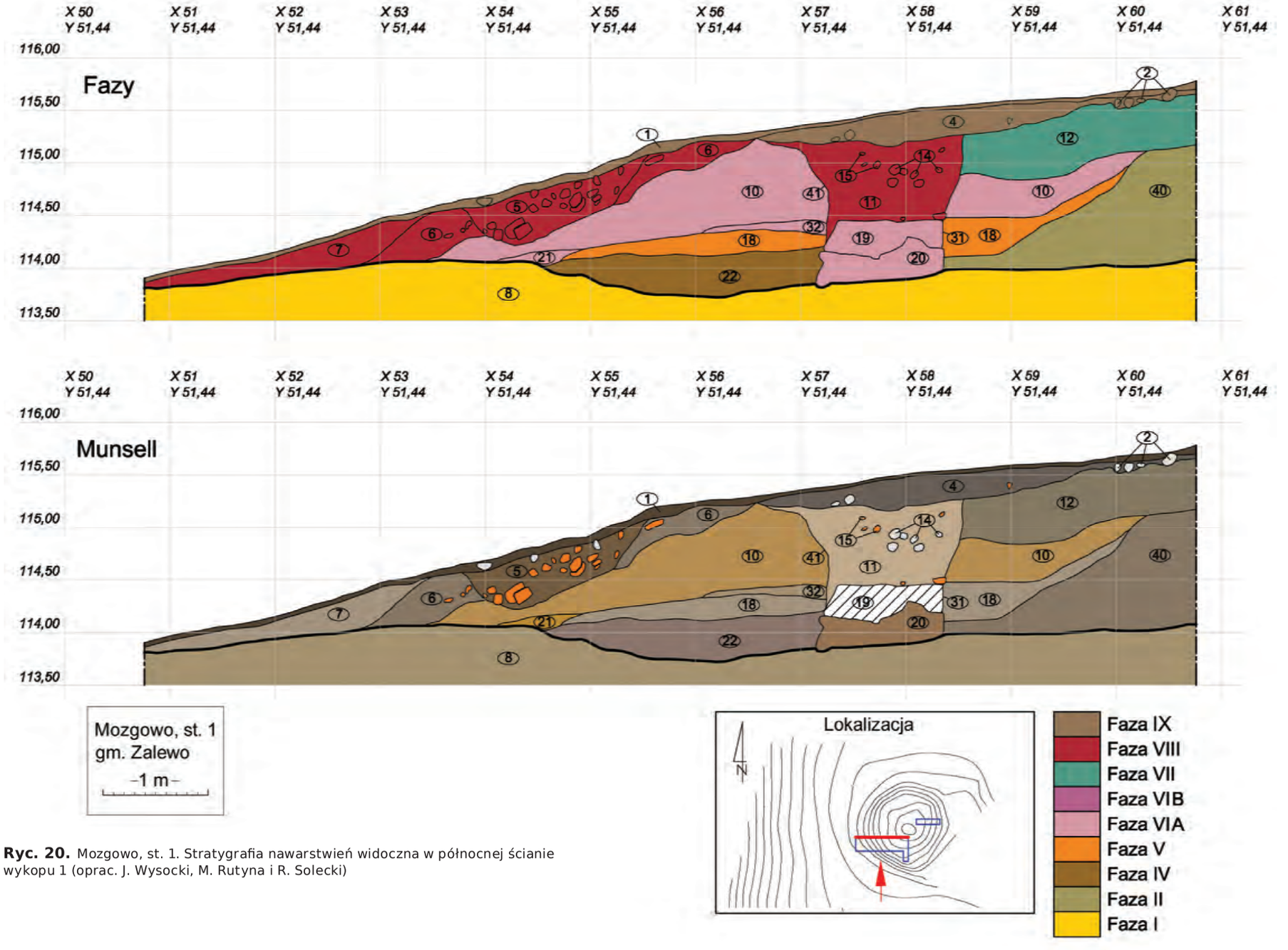

Ryc. 20. Mozgowo, st. 1. Stratygrafia nawarstwień widoczna w północnej ścianie wykopu 1 (oprac. J. Wysocki, M. Rutyna i R. Solecki)

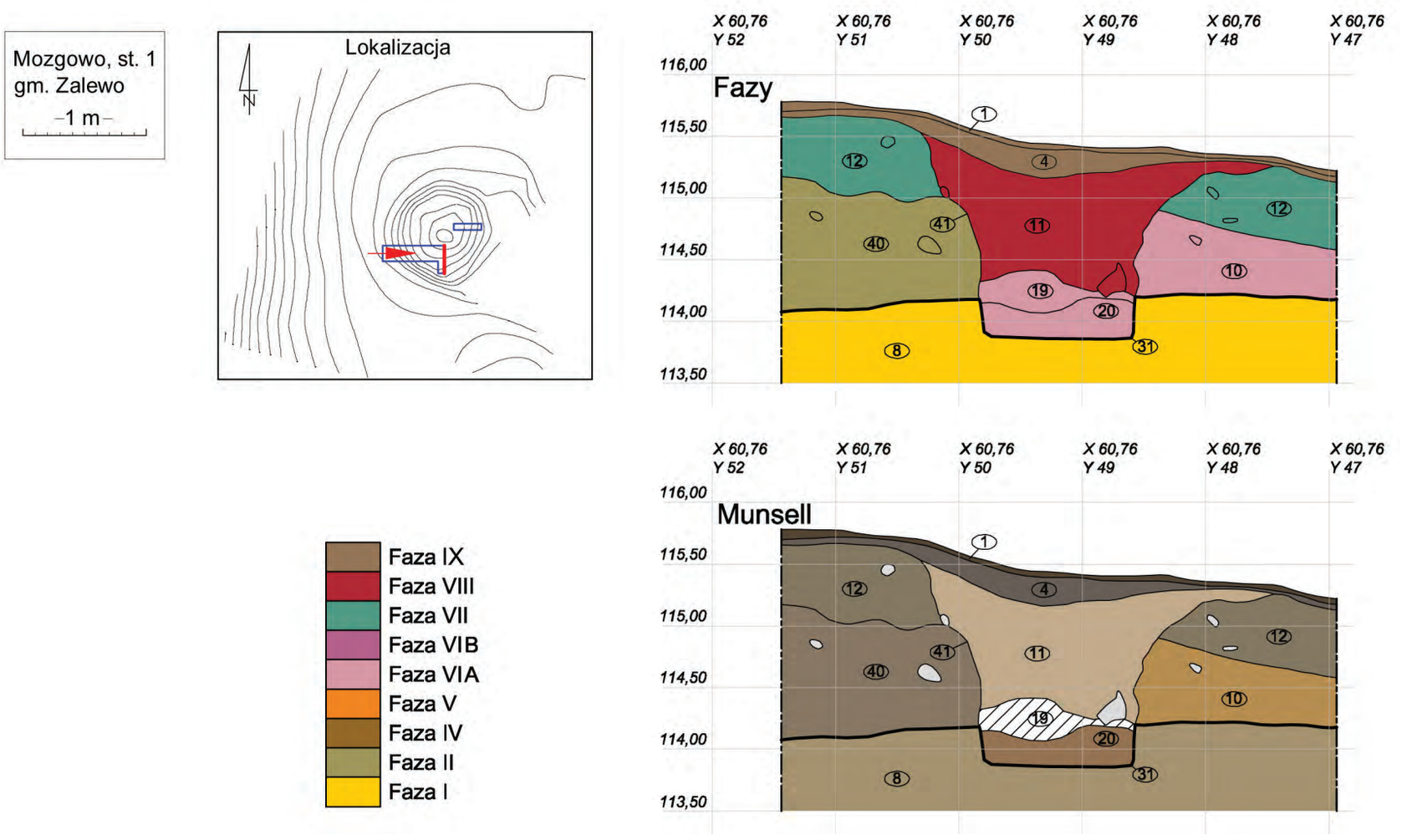

Ryc. 21. Mozgowo, st. 1. Stratygrafia nawarstwień widoczna we wschodniej ścianie wykopu 1 (oprac. J. Wysocki, M. Rutyna i R. Solecki)

powstałe w wyniku naturalnego narastania: sypki, jednorodny piasek 12 i sypki, niejednorodny piasek z drobnymi fragmentami polepy 13.

Faza VIII – rozbiórka wieży (ryc. 23)

Chronologia tej fazy jest niejednoznaczna. Zapewne w epoce nowożytnej mur z Fazy VI został całkowicie rozebrany. W trakcie badań zarejestrowano obecność wkopu 41 w celu pozyskania materiału budowlanego. Warstwy gruzowe 7=6, 5 oraz 9=11=17 przybrały kształt leja zwężającego się do poziomu korony fundamentu kamiennego.

Faza IX – współczesny poziom gruntu

Obecny poziom użytkowy tworzy drobnoziarnisty, zhumusowany piasek 1 oraz niejednorodna glina z fragmentami cegieł 4 i bryłkami zaprawy wapienno-piaskowej tworzącej spoiwo muru.

Ryc. 22. Mozgowo, st. 1. Warstwa budowlana widoczna przy fundamencie konstrukcji z Fazy VI (fot. J. Wysocki)

Ryc. 23. Mozgowo, st. 1. Pozostałości rozbiórki muru ponad jego kamiennym fundamentem (fot. J. Wysocki)

ZNALEZISKA

URSZULA KOBYLIŃSKA

Ceramika

Ogólna charakterystyka zbioru

Na przebadanym obszarze grodziska w Mozgowie, st. 1 w czasie badań w 2012 r. znaleziono 390 fragmentów ceramiki zabytkowej. Wśród nich zidentyfikowano 69 górnych części z wylewem, pochodzących z 64 naczyń i odpowiadających wielkościowo 421% SEN; 246 brzuśców, z których duża część jest ornamentowana; 26 części przydennych; 25 fragmentów z zachowanym dnem, odpowiadających wielkościowo 253% SEN (tab. 2). Większość wszystkich fragmentów, bo aż 286 (czyli 73,1% zbioru), pochodzi z okresu wczesnośredniowiecznego. Okres późnego średniowiecza reprezentuje materiał w liczbie 88 fragmentów. Niewątpliwie obszar ten użytkowany był także we wczesnej epoce żelaza, o czym świadczy znalezienie ośmiu mocno zniszczonych ułamków ceramiki.

Pozyskany materiał ceramiczny jest mocno rozdrobniony (tab. 3). Najliczniejsze są fragmenty wielkości do 4 cm, mocno zniszczone i częściowo przepalone. Fragmenty ceramiki są wyraźnie poddane wysokiej temperaturze i odkształcone lub na ich powierzchniach widoczne są spękania powstałe w wyniku wtórnego przepalenia. Spora część jest także mocno spłukana, a powierzchniowa warstwa ceramiki jest pozbawiona pierwotnej ścianki. Z tego powodu trudno niekiedy określić rodzaj powierzchni czy zidentyfikować ewentualną ornamentykę. Fragmenty o startych brzegach i zniszczonych powierzchniach stanowią zdecydowaną większość, bo aż 261 ułamków (czyli 66,9% całego zbioru).

Ceramika z wczesnej epoki żelaza

Ceramika z wczesnej epoki żelaza wystąpiła jedynie sporadycznie w jednostkach stratygraficznych 6, 7, 9=11=17, 12 i 25 odpowiadających fazom IV, VII i VIII, a więc na złożu wtórnym. Wystąpiła ona jako domieszka w zespołach ceramicznych z tych warstw, w postaci pojedynczych, małych fragmentów ceramiki, nie przekraczających wielkością 4 cm.

Tabela 2. Zestawienie ilościowe fragmentów ceramiki z grodziska w Mozgowie, st. 1 (oprac. U. Kobylińska)

Faza stratygrafii	Jednostka stratygraficzna	Liczba fragmentów łącznie	Liczba różnych naczyń	Wylewy		Szyjki	Brzuśce								Ucha	Pokrywki	Części przydenne	Dna								Nóżki	Ceramika siwa	Ceramika z polewą	Fragmenty przepalone	Fragmenty o wypłukanej powierzchni	Chronologia		
				Liczba fragmentów	SEN (procent obwodu)		Liczba fr. ogółem	Rodzaj powierzchni			Ornamentowane							Liczba fragmentów	SEN (procent obwodu)	Rodzaj			Cechy den								Wczesna epoka żelaza	Wczesne średniowiecze	Późne średniowiecze i nowożytność
								Gładkie	Szorstkie	Nieokreślone	Żłobki dookolne	Linia falista	Ornament plastyczny	Odciski						Wklęsłe	Lekko wklęsłe	Płaskie	Na podsypce	Wałek dookolny	Odcinanie								
IV	22	63	7	7	38	1	44		40	4	26			4			5	6	67		6		6	5				4	31		63	
IV	25	30	8	8	57		13		12	1	11	2	1	3		1	3	6	90	3	3		5	5				3	5	2	27	
V	18=39	29	7	7	24	1	19	4	13	2	12		1	2			2										4		3	3		20	8
VIA	10=16=23=28	154	27	31	176	5	102	8	93	1	69	3		17		2	7	9	84	2	2	3	7	4	1		12		7	31		136	17
VIA	20	1					1		1		1																1					1
VIA	21	9	1	2	7	1	2		2		1	1		2														1	2	1		6	2
VIA	31=42	2	1	1	16	1					2																			2		2	
VIA	32=36	31	3	3	17	1	22	15	7		14	1		2			1	2	12			2			1		16	1		2		8	21
VII	12	23	2	2	7	2	16	3	11	1	8			2			2									1	2	4		3	2	9	12
VII	13	7	1	1	16		4		4		3						2										1					2	5
VIII	5	1	1	1	6																												1
VIII	7	26	3	3	28	2	15	1	11	3	10	1			2		2	2		1		1			1		2	2	1	6	3	8	14
VIII	9=11=17	6	2	2	17		2		2		1						2													2	1	2	3
IX	1	8	1	1	12	1	6		5	1	1		1															1		1		3	4
SUMA		**390**	**64**	**69**	**421**	**15**	**246**	**31**	**201**	**13**	**159**	**8**	**3**	**32**	**2**	**3**	**26**	**25**	**253**	**6**	**11**	**6**	**18**	**14**	**3**	**1**	**38**	**9**	**20**	**87**	**8**	**286**	**88**

Tabela 3. Fragmentacja i erozja fragmentów ceramiki z grodziska w Mozgowie, st. 1 (oprac. U. Kobylińska)

FAZA	Jedn. strat.	Kategorie wielkościowe [cm]									Stopień erozji				Suma
		1	2	3	4	5	6	7	8	9	0	I	II	III	
IV	22		19	13	16	9	4	2				5	24	34	**63**
IV	25		4	8	10	3	3		1	1		8	19	3	**30**
V	18=39		7	11	9	1	1				1	10	14	4	**29**
VIA	20			1								1			**1**
VIA	21		2	4	3						2	5	1	1	**9**
VIA	10=16=23=28		26	47	40	25	9	4		3		43	87	24	**154**
VIA	31=42			1					1				1	1	**2**
VIA	32=36	4	6	11	5	2	1	1		1	2	22	6	1	**31**
VII	12		5	9	7	1		1			2	9	12		**23**
VII	13		2	3	1				1			3	3	1	**7**
VIII	5				1						1				**1**
VIII	7		8	4	10		3	1			5	4	9	8	**26**
VIII	9=11=17			1	3	2						2	2	2	**6**
IX	1		3	3	1	1						4	3	1	**8**
Suma		**4**	**82**	**116**	**106**	**44**	**21**	**9**	**3**	**5**	**13**	**116**	**181**	**80**	**390**

Wszystkie jednostki stratygraficzne zawierające pojedyncze fragmenty ceramiki z wczesnej epoki żelaza są związane z rozbiórkami istniejących konstrukcji, opuszczeniem terenu, czy spaleniem istniejących tu budowli, czyli są to warstwy o niwelacyjnym charakterze. Ponadto jednostki 6, 7 i 12 mają mocno zróżnicowaną zawartość zabytkową pod względem chronologicznym, włącznie z ceramiką nowożytną. Ogółem znaleziono osiem fragmentów naczyń z wczesnej epoki żelaza, o różnym stopniu zniszczenia i wielkości, bez możliwości dokładnego określenia formy i pomiaru średnicy. W zachowanym materiale ceramicznym z tej epoki wyróżnić możemy jeden mały, grubościenny fragment z wylewem o powierzchni czarnej, gładkiej oraz trzy fragmenty brzuśców o zewnętrznej powierzchni zdartej, bliżej nieokreślonej. W jednym przypadku jest to część naczynia grubościennego z wypolerowanym czarnym (5YR 2,5/1) wnętrzem. Trzy części przydenne należące do grubościennych naczyń, bez zachowanej ścianki dna, wykonane zostały z pylastej jasnobeżowej gliny. Powierzchnie dolne naczyń są dość gładkie, lecz matowe i nierówne, ze śladami formowania ręcznego i zacierania w postaci smug i rys ukośnych. Glina jest słabo wyrobiona, widoczne są szpary i złączenia w przełamie oraz odlepiania na wałkach. Jedyny zachowany fragment z dnem lekko wklęsłym o średnicy ok. 9 cm, ma powierzchnię boczną pokrytą drobnym chropowaceniem. Wszystkie fragmenty z wczesnej epoki żelaza mają uszkodzone powierzchnie, zatarte brzegi i reprezentują II i III kategorię zniszczenia według klasyfikacji A. Buko[3], bez możliwości rekonstrukcji i określenia formy.

Ceramika wczesnośredniowieczna

Schemat podziału ceramiki z tego okresu opracowany został na podstawie analizy górnych części naczyń, przede wszystkim form i kształtów wylewów. Przyczyną takiego podejścia było silne rozdrobnienie materiału, uniemożliwiające zastosowania bardziej szczegółowej analizy. Ceramika znaleziona w średniowiecznych nawarstwieniach grodziska miała plamistą barwę jasnobrązową, czerwonawo-brązową lub jasnożółto-ceglastą (5YR 5/4). W masie ceramicznej zaobserwować można domieszkę o zróżnicowanej granulacji, nierówno rozdrobnione ziarna, piasek oraz mikę. Przełamy naczyń są trójbarwne. Były to głównie średniej wielkości baniaste garnki i garnuszki oraz misy i małe czarki. Biorąc pod uwagę ukształtowanie górnych partii i wylewu można wydzielić kilka grup naczyń (ryc. 21):

1. naczynia ze ściętym płasko lub ukośnie na zewnątrz brzegiem, krótką łukowato wygiętą szyjką i baniastym, mocno uwydatnionym brzuścem (tabl. 1:17, 22, 27);

2. naczynia ze ściętym ukośnie do wewnątrz, nie wydzielającym się, zachylonym brzegiem, bez szyjki, z baniastym brzuścem (tabl. 1:14, 28; 3:2, 4);

[3] Buko 1990a.

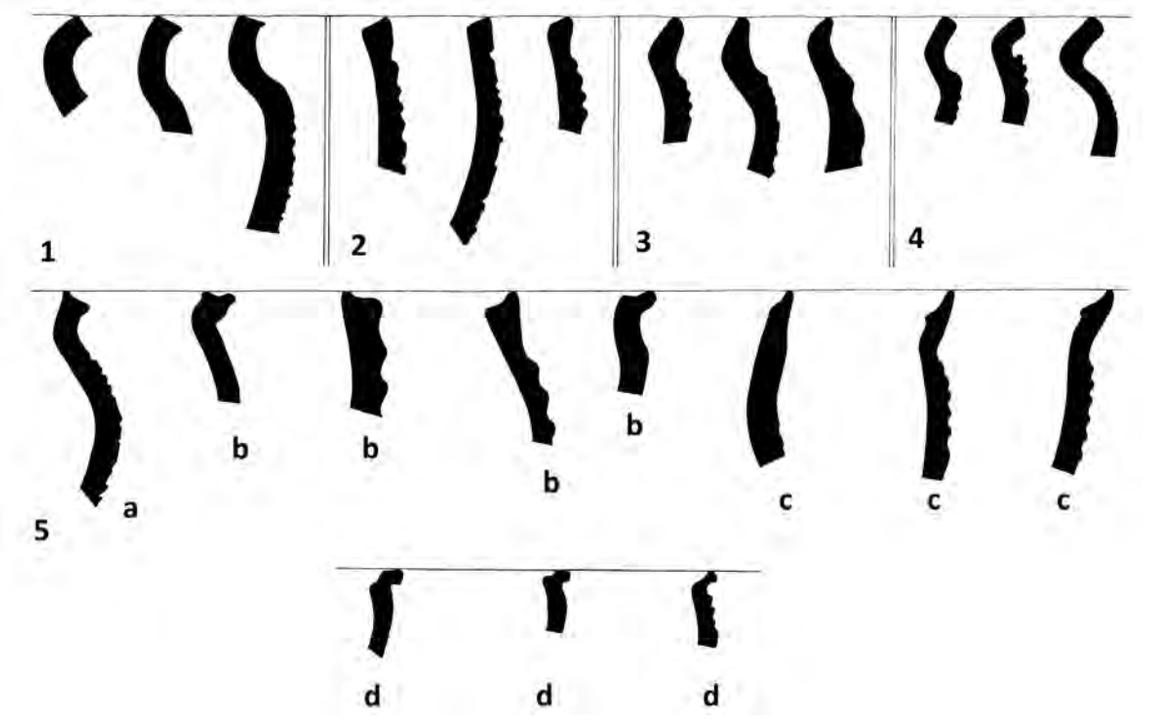

Ryc. 21. Mozgowo, st. 1. Formy naczyń średniowiecznych (oprac. U. Kobylińska, rys. D. Wach)

3. naczynia z szerokim, ściętym do wewnątrz wylewem, o zwężonym, owalnym brzegu i baniastym brzuścu (tabl. 1:25; 3:7–8, 11, 15);

4. naczynia z mocno wychylonym szerokim wylewem, o ściętym lub zaokrąglonym brzegu, wyraźną, krótką szyjką i mocno uwydatnionym brzuścu (tabl. 1:15, 20; 2:7; 3:6, 16);

5. naczynia z profilowanym wylewem:

a. naczynia z łagodnie łukowato wychylonym profilowanym brzegiem, esowate, z mocno uwydatnionym brzuścem (tabl.2:26; 4:1);

b. naczynia z profilowanym brzegiem od góry, bez wydzielonej szyjki, lekko zachylone lub z odgiętym brzegiem (tabl. 1:11–12, 24; 2:4; 3:9–10; 4:13);

c. naczynia o kielichowato rozchylonej części górnej, rozłożyste, o przegłębionej krawędzi do wewnątrz (tabl. 1:26; 3:3; 4:11);

d. miniaturowe, baniaste naczynka z wywiniętym na zewnątrz owalnym wylewem, lekko profilowanym i wgłębieniem na pokrywę (tabl. 1:9; 2:5–6).

Małe fragmenty z wylewem, ze względu na fragmentaryczność zachowania, zniszczenie powierzchni lub przepalenie nie zostały sklasyfikowane.

Dna garnków były grubościenne, przeważnie lekko wklęsłe i wklęsłe na podsypce i z widocznym wałkiem dookolnym (tabl. 1:29–31; 3:18), co świadczy o stosowaniu przez garncarzy nakładek na koło garncarskie. Środkowe wgłębione części den są gładsze, pozbawione grubszych ziaren podsypki. Części przydenne charakteryzują się rozchyleniem równych dobrze opracowanych ścianek. Garnki były masywne, stabilne, baniaste o grubych dnach.

Ceramika wczesnośredniowieczna z grodziska w Mozgowie charakteryzuje się formami niewielkich rozmiarów. Są to naczynia o średnicy wylewu wynoszącej głównie 14–16 cm; rzadko ich średnice mają 18–21 cm. Zastanawia wyjątkowo duża liczba fragmentów den małych naczyń, o średnicy ok. 3 cm (tabl. 1:21) i brzuśców pochodzących z naczynek miniaturowych z grupy 5d, o średnicy wylewu ok. 8–12 cm. Różnorodność form jest niewielka. Ukształtowanie brzegów sprowadza się najczęściej do prostych, ściętych brzegów naczyń masywnych, w przypadku naczyń grup 1–4, czy o profilowanych wylewach z wyraźną szyjką, lub o zachylonych, prostych częściach górnych i baniastych brzuścach, w przypadku naczyń grup 5. Naczynia są najczęściej ornamentowane głębokimi żłobkami dookolnymi rytymi na dużej przestrzeni ścianki, tworząc niekiedy wypukłe powierzchnie pomiędzy nimi (tabl. 1:1–8, 14, 20–28; 2:3–5, 7, 10, 14–26; 3:2–12, 14–16, 18; 4:2–4, 7, 10–11, 13). Urozmaiceniem ornamentyki są ukośne i głębokie łezkowate wgłębienia pomiędzy nimi, niekiedy w dwóch rzędach ze zmiennym kierunkiem żłobienia (tabl. 1:22, 27; 2:7, 16; 3:8, 11, 15) lub odciski w postaci małych kwadracików w rzędach lub w formie pasm ukośnych (tabl. 1:10, 15, 24) oraz wąskie, ukośne nacięcia wykonane cienkim narzędziem (tabl. 1:11–12, 25; 2:17; 3:10). Linia falista występuje rzadko, głównie w postaci pojedynczej, niskiej, płytko rytej linii lub jako pasmo linii wielokrotnych o niskich amplitudach (tabl. 1:13, 16–17, 22, 27; 4:2).

Obecność naczyń małych rozmiarów, najczęściej ozdabianych, może wskazywać na używanie tych form do podawania w nich pożywienia. Wydaje się, że jest to regionalna ceramika oparta na wytwórstwie lokalnych garncarzy, wytwarzana na potrzeby niewielkiej strażnicy rycerskiej w XIII w.

Nie udało się znaleźć dokładnych analogii do naczyń wczesnośredniowiecznych odkrytych w kulturowych nawarstwieniach grodziska w Mozgowie, st. 1. Baniaste naczynia z wychylonym, pogrubionym wylewem i zwężonym brzegiem są podobne do znalezisk z wczesnośredniowiecznego grodziska w Szynwałdzie, gm. Łasin, pow. grudziądzki[4]. Niektóre występujące formy w Mozgowie, głównie te o profilowanych brzegach, są podobne do naczyń z Bogdanów, gm. Frombork, pow. braniewski[5]. Naczynia z Mozgowa zaliczone do grupy 5b (np. tabl. 4:13) z jednostki 15 z Fazy VIII z zachyloną częścią z wylewem profilowanym oraz głębokimi bruzdami na ściance mają analogie w materiale z grodziska w Osieczku, st. 1, gm. Książki, pow. wąbrzeski[6]. Niektóre naczynia z profilowanym wylewem od góry i od wnętrza są podobne do naczyń ze stanowiska w Bachotku, st. 2, gm. Zbiczno, pow. brodnicki[7]. Zestaw form ceramiki z grodziska w Mozgowie ma także analogie w formach niektórych naczyń z zespołu osadniczego w Węgrach, st. 1, gm. Sztum, pow. sztumski[8]. Najwięcej analogii znaleźć można w materiale ceramicznym z położonego w niewielkiej odległości od Mozgowa cmentarzysku wczesnośredniowiecznym w Dobrzykach, st. 28, gm. Zalewo, pow. iławski, zarówno pod względem form, jak i ornamentyki[9]. Analogii do ornamentyki naczyń z Mozgowa można szukać także np. we wzornictwie naczyń z Napola, st. 1, gm. Kowalewo Pomorskie, pow. golubsko-dobrzyński[10], w ceramice z Elbląga – Żytna, czy z Janowa Pomorskiego, gm. Elbląg, pow. elbląski[11]. Naczynie z grupy 5 ma analogie w materiale z grodziska w Janikach Wielkich, st. 2, gm. Zalewo, pow. iławski[12].

[4] Bojarski 1997: ryc. 9:f.

[5] Gazda *et al.* 2013: ryc. 52.

[6] Chudziakowa (red.) 1994: ryc. 128:h.

[7] Poliński 1996: ryc. 58.

[8] Haftka i Wadyl 2015: tabl. 9:e, g; 10:b, e; 13:l.

[9] Kobylińska 2000: tabl. 4–12.

[10] Poliński 1996: ryc. 54:h, k–l; 55:a, g; 56;a, e, h, j; 57:c–d.

[11] Jagodziński 1997: tabl. 13:5, 7; 20:4, 10.

[12] Zob. opracowanie wyników badań grodziska w Janikach Wielkich, st. 2, w niniejszej publikacji, tabl. 1:20.

Ceramika późnośredniowieczna

Fragmenty ceramiki późnośredniowiecznej znaleziono w wielu jednostkach stratygrafii grodziska w Mozgowie, st. 1. Jest to ceramika silnie obtaczana zarówno barwy ceglastej, wypalana w atmosferze utleniającej, jak i barwy szarej, wypalanej w atmosferze redukcyjnej. Te ostatnie wyroby funkcjonują w literaturze pod nazwą ceramiki „siwej" lub ceramiki stalowoszarej.

W zespole fragmentów późnośredniowiecznych z Mozgowa dominuje ceramika barwy ceglastej (tabl. 4:5, 15). Typowej ceramiki „siwej" znaleziono jedynie 38 fragmentów i są to głównie brzuśce naczyń jasnoszarych, matowych, niewyświecanych. Brzuśce te pochodzą z ceramiki cienkościennej ozdobionej żłobkami / wałkami (tabl. 2:1–2, 8–9, 12–13; 4:8). Niewielki zespół ceramiki z polewą zieloną i brązową reprezentuje dziewięć małych ułamków, głównie brzuśców i nóżek grapenów oraz fragmentów talerzy (tabl. 4:6, 14).

Formy ceramiki późnośredniowiecznej z Mozgowa to naczynia o prostych górnych partiach, pogrubionych, wywiniętych wylewach, barwy ceglastej oraz o wychylonych mocno częściach z wylewem szerokim, zaokrąglonym, zwężanym lub profilowanym (tabl. 3:1, 5; 4:5, 15). Są to wylewy pochodzące od dzbanów i garnków. Znaleziono je w jednostkach stratygraficznych 2, 5, 6, 12 i 13, z faz VII, VIII i IX. Podobne formy naczyń znajdujemy w Ostródzie[13], a także na zamku w Reszlu, pow. kętrzyński[14]. Datowanie zespołu ceramiki późnośredniowiecznej z Mozgowa, st. 1 opiera się z jednej strony na fakcie wystąpienia w tym zespole pewnej liczby fragmentów ceramiki „siwej", z drugiej jednak strony musi uwzględniać fakt przewagi fragmentów ceramiki ceglastej oraz fragmentów pokrytych szkliwem. Ponieważ w dobrze rozpoznanej produkcji garncarskiej w ośrodku elbląskim zmiana polegająca na zastąpieniu ceramiki „siwej" ceramiką ceglastą datowana jest na przełom XV i XVI w. i mniej więcej w tym samym czasie pojawia się w tym ośrodku szkliwienie wewnętrznych powierzchni naczyń[15], trzeba przyjąć, że wieża w Mozgowie musiała funkcjonować w XV w. i to na pewno co najmniej do drugiej połowy lub schyłku tego stulecia.

Wśród fragmentów późnośredniowiecznych naczyń z Mozgowa zidentyfikowano jedynie dwa fragmenty części brzegowych, które mogą być interpretowane jako pokrywki naczyń. Mają one średnice ok. 12 cm i ok. 16 cm. Ich części brzegowe są profilowane łagodnym przegłębieniem o zaokrąglonych brzegach. Fragmenty mają czerwonawo-brązową (5YR 5/4) barwę powierzchni z szarymi plamami okopcenia; charakteryzują się równą, wygładzoną ścianką i masą ceramiczną zawierającą drobne ziarna domieszki. Analogii do tych form można szukać w materiałach z zamków i gródków z drugiej połowy XIV i wieku XV.[16]

[13] Michalski 1998a: ryc. 17:3; 19:13.

[14] Sikorska-Ulfik 1994: ryc. 4, 9.

[15] Fonferek, Marcinkowski i Sieńkowska 2012: 66–67.

[16] Kruppé 1981: karta 65:9; 66:14.

Kafle naczyniowe (tabl. 3:17)

W materiale zabytkowym z Mozgowa zidentyfikowano dwa większe fragmenty brzegowe kafla naczyniowego, pochodzące z jednostki stratygraficznej 25. Zachowana ścianka (prawdopodobnie kwadratowego) kafla miała długość 14 cm. Powierzchnia ma barwę jasnoceglastą, miejscami z drobnym okopceniem, gładką, równo pokrytą regularnymi żłobieniami od strony zewnętrznej.

Kafle garnkowe, obok okazów miskowych, zaczęto wytwarzać na ziemiach polskich ok. połowy XIV w.[17] Analogiczne znaleziska kafli garnkowych odkryto w nawarstwieniach rumowiskowych grodziska w Pniu, st. 1, gm. Dąbrowa Chełmińska, pow. bydgoski[18]. Kafle podobne znaleziono na obszarze miasta Tykocina, pow. białostocki[19] i Ostródy[20], a także w warsztatach malborskich[21] i elbląskich[22].

Zabytki wydzielone

Podstawa pod Biblię / mszał (ryc. 22)

W warstwie 7 znaleziono fragment wykonanego z kości zwierzęcej profilowanego przedmiotu, który z dużym prawdopodobieństwem uznać można za element ozdobnego średniowiecznego pulpitu pod Biblię lub krzesła tronowego[23]. Zachowany fragment

[17] Dąbrowska 1987: 78.

[18] Poliński 2013: ryc. 47.

[19] Stankiewicz 2005: 178–192.

[20] Michalski 1998a: ryc. 20:8.

[21] Pospieszna 1994: ryc. 7.

[22] Fonferek, Marcinkowski i Sieńkowska 2012: ryc. 63.

[23] Born 1984; podobne elementy można zauważyć np. w datowanym na ok. 1200 pulpicie z klasztoru w Isenhagen (Dolna Saksonia); za pomoc w identyfikacji dziękuję J. Gutowskiemu.

Ryc. 22. Mozgowo, st. 1. Fragment kościanego elementu, najprawdopodobniej pulpitu pod Biblię / mszał (fot. M. Rutyna)

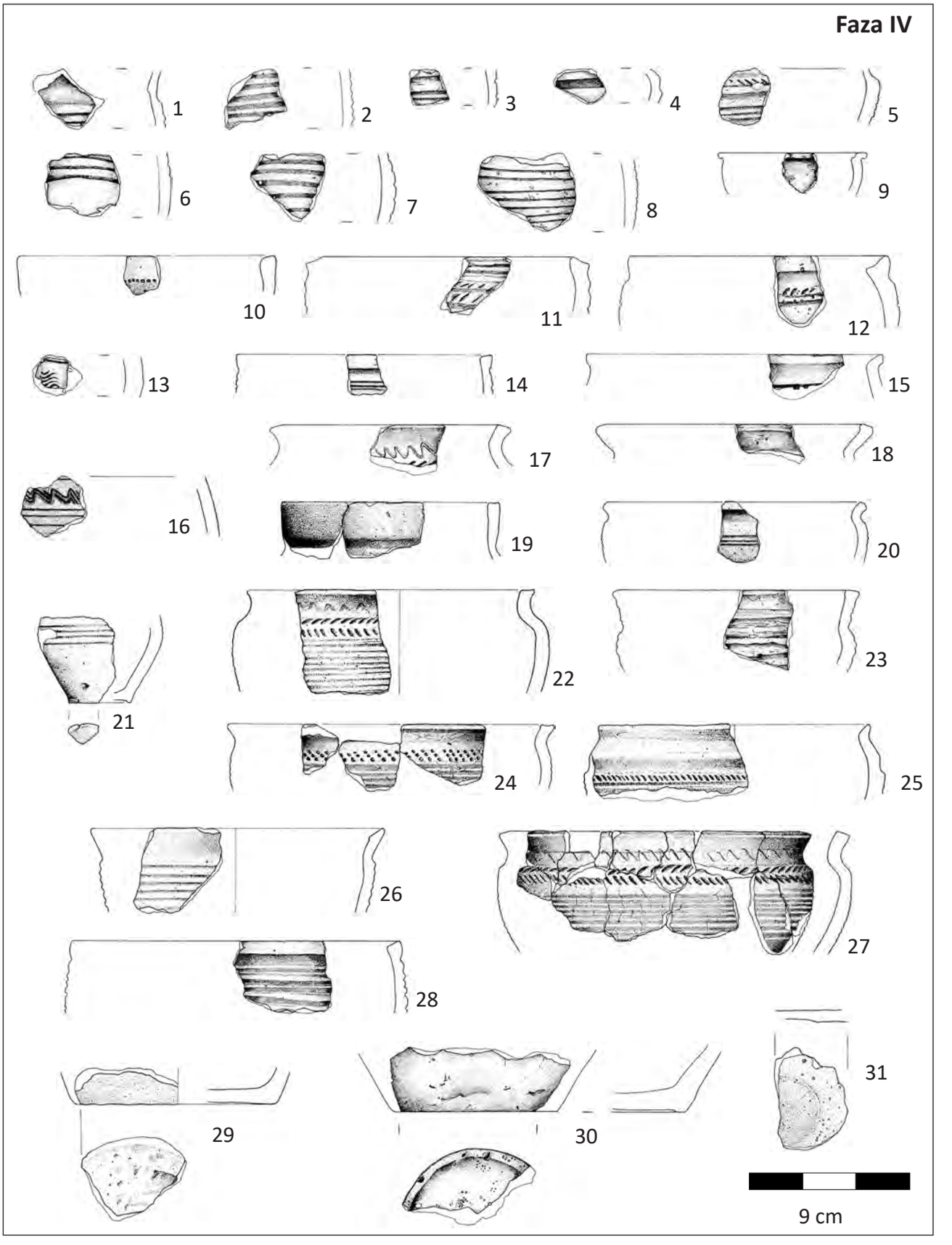

Tablica 1. Mozgowo, st. 1. Ceramika z nawarstwień Fazy IV (rys. A. Chojnacka-Banaszkiewicz i D. Wach)

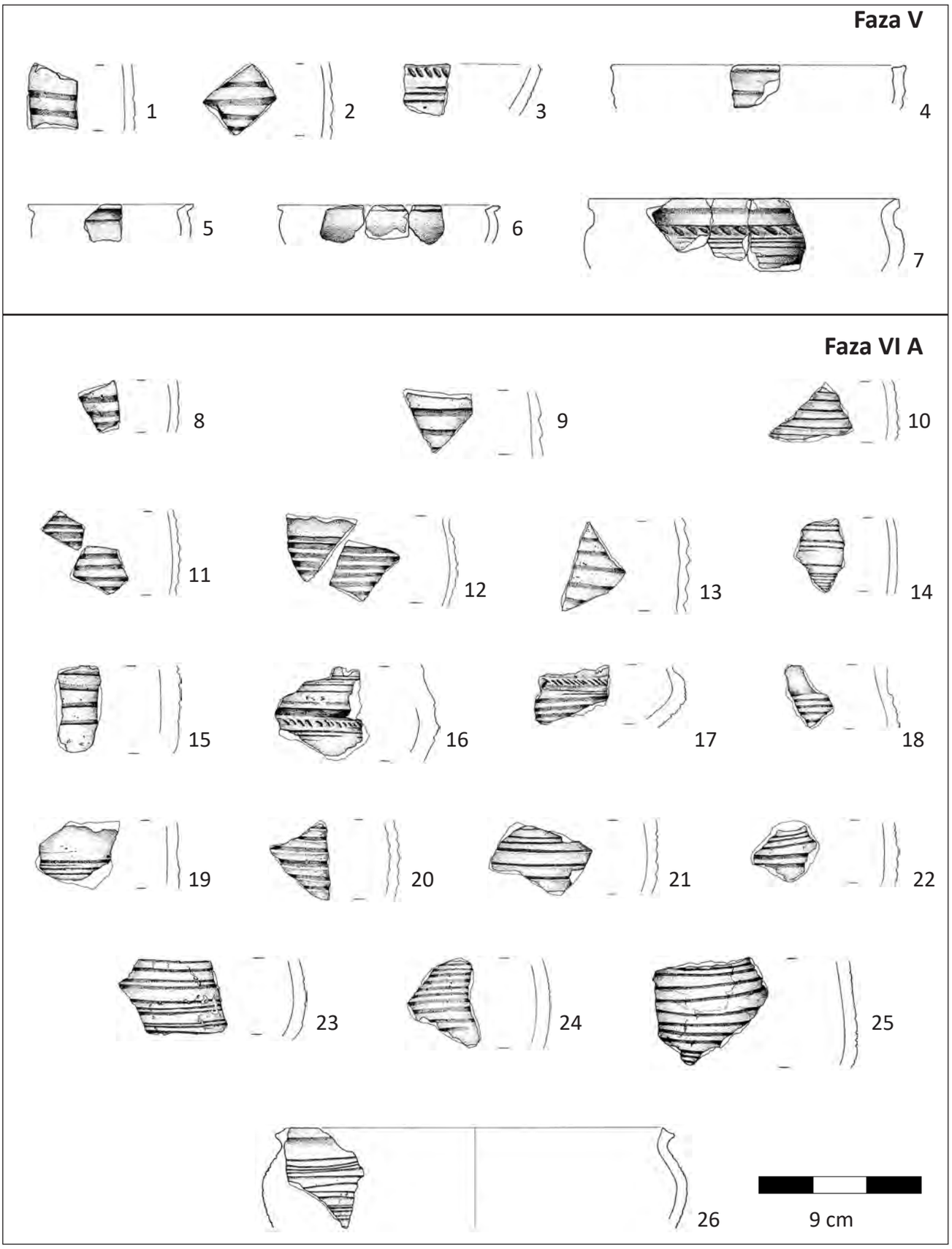

Tablica 2. Mozgowo, st. 1. Ceramika z nawarstwień Fazy V i VIA (rys. A. Chojnacka-Banaszkiewicz i D. Wach)

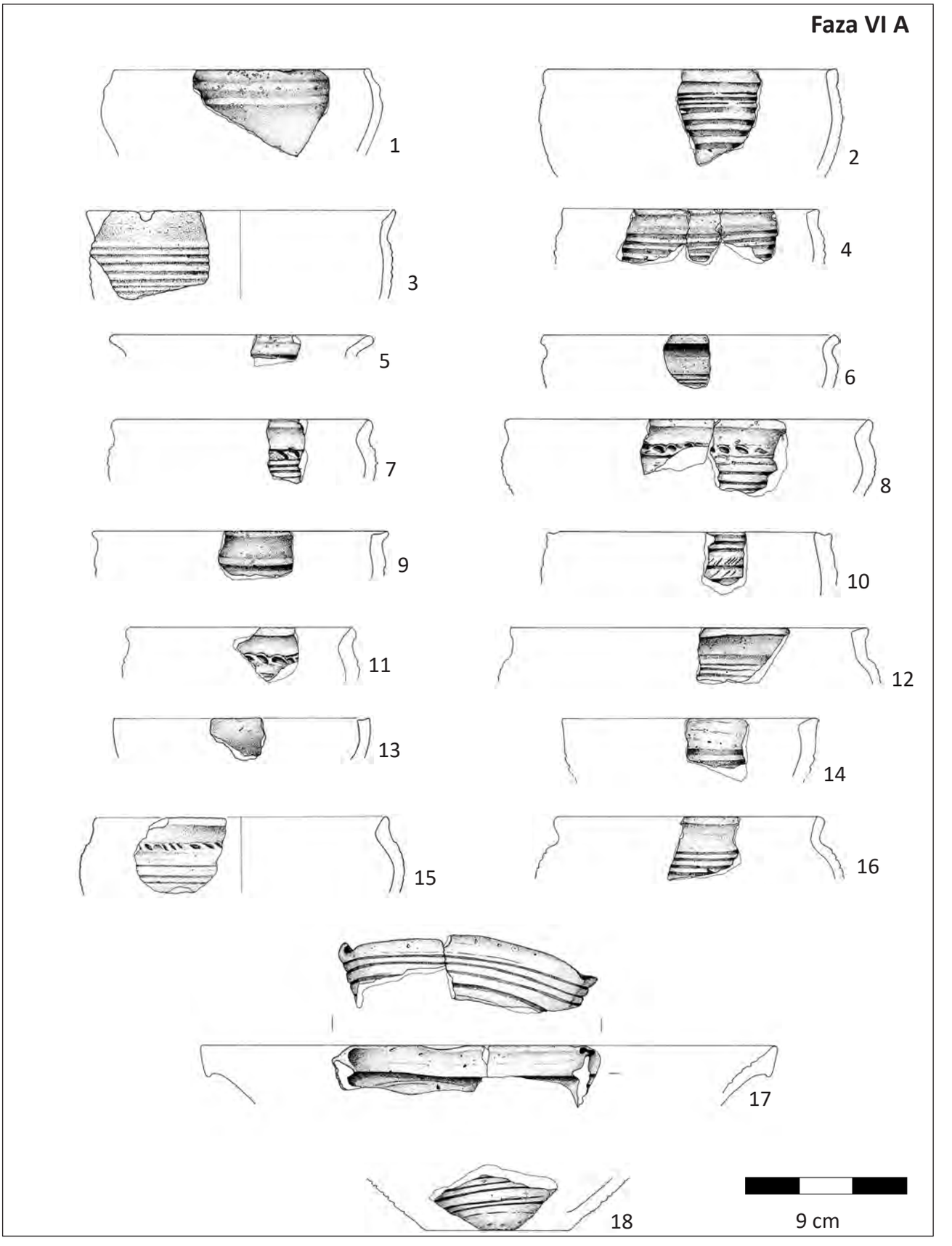

Tablica 3. Mozgowo, st. 1. Ceramika z nawarstwień Fazy VIA (rys. A. Chojnacka-Banaszkiewicz i D. Wach)

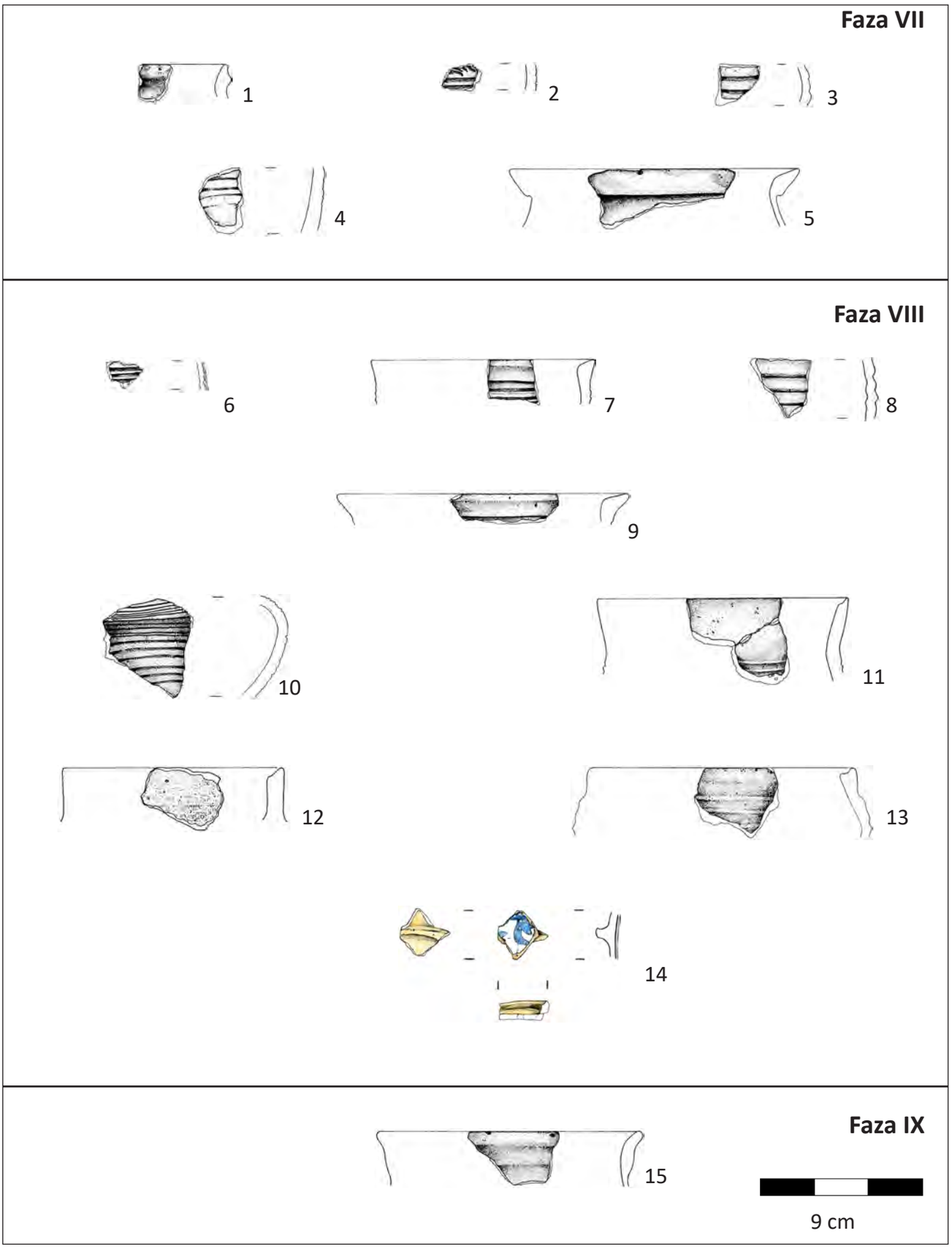

Tablica 4. Mozgowo, st. 1. Ceramika z nawarstwień Fazy VII, VIII i IX (rys. A. Chojnacka-Banaszkiewicz i D. Wach)

ma długość 5,3 cm. Jego wewnętrzna średnica wynosi 1,1 cm, a maksymalna średnica zewnętrzna – 1,7 cm.

Osełka (tabl. 5:1)

W nawarstwieniach związanych z Fazą IV znaleziono niewielki ułamek kamiennej osełki (tabl. 5:1) o zachowanych dwóch ściankach silnie wypolerowanych, równych z zaobloną krawędzią boczną. Pozostałe ścianki noszą ślady uszkodzenia. Zachowany przedmiot ma wymiary 1,7 x 2,3 x 3 cm.

Guz do zapinania odzieży (tabl. 5:2)

W jednostce stratygraficznej 22 z fazy IV znaleziono przedmiot wykonany z żelaza, mocno skorodowany, który z pewnym prawdopodobieństwem można określić jako guz z obejmą do zapinania. Obrączka średnicy ok. 2,5 cm, wykonana z wąskiego, prostokątnego drutu, jest gruba, w przekroju kwadratowa o wymiarach 0,4 x 0,6 cm, zgięta, o wąskich końcówkach zachodzących na siebie, a część ozdobna – średnicy ok. 1,5 cm – guzowata, jest bliżej nieokreślona ze względu na zniszczenie.

Nóż żelazny (tabl. 5:6)

Fragment noża żelaznego o powierzchni mocno skorodowanej znaleziono w jednostce stratygraficznej 7 z Fazy VIII. Zachowały się dwie części partii ostrza na długości 5,5 cm i szerokości ok. 1,5 cm.

Grot bełtu (tabl. 5:11)

W jednostce stratygraficznej 25 z Fazy IV odkryto fragment mocno skorodowanego przedmiotu żelaznego w postaci w przybliżeniu trójkątnej główki o średnicy ok. 1,5 x 1,8 cm z wąskim trzonkiem o przekroju kwadratowym, zachowanym na długości 0,5 cm, być może jest to mały grot bełtu do kuszy.

Gałka (tabl. 5:10)

W obrębie jednostki stratygraficznej 22 z Fazy IV znaleziono skorodowaną okrągłą gałkę o średnicy 3,8 cm, z regularnym otworem średnicy 1 cm. Przedmiot jest dość masywny, grubościenny (0,6 cm) o nieco nieregularnym owalu ze względu na zniszczenie.

Gwoździe (tabl. 5:3–5)

W Mozgowie, st. 1 znaleziono trzy żelazne gwoździe, dwa w jednostce stratygraficznej 4 z Fazy IX i jeden w warstwie 22 z Fazy IV. Gwoździe z jednostki stratygraficznej 4 z Fazy IX, być może nowożytne, są w niewielkim stopniu skorodowane, dobrze zachowane i identyczne w kształcie i wielkości (tabl. 5:3–4). Główki gwoździ są okrągłe, średnicy 1,5 cm, lekko wypukłe, osadzone centralnie na trzpieniu. Trzpień o przekroju kwadratowym, o boku 0,45 cm, ma długość wraz z główką 9,5 cm. Natomiast gwóźdź z jednostki stratygraficznej 22 z wczesnośredniowiecznej Fazy IV jest mocno skorodowany, o szerokim górnym końcu z płaską odcinaną główką (tabl. 5:5) o wymiarach 0,4 x 0,9 cm, osadzoną na szerokim trzpieniu, o prostokątnym przekroju, zachowanym na długości 2,3 cm. Dwa długie, smukłe przykłady gwoździ wydają się być analogiczne do egzemplarzy znalezionych w nawarstwieniach rumowiskowych w Pniu, st. 1, gm. Dąbrowa Chełmińska, pow. bydgoski[24]. Gwóźdź z jednostki stratygraficznej 22 należy do typu małych (długości 2,6 cm), szerokich (0,9 cm) z odciętą główką.

Okucia żelazne (tabl. 5:7–9)

W wypełnisku dołu posłupowego znaleziono skorodowany fragment bliżej nieokreślonego przedmiotu żelaznego. Jest to podłużny przedmiot zachowany na długości 8,5 cm i szerokości 1,5 cm, grubości ok. 0,2 cm. Być może jest to okucie, o cym mogą świadczyć równo rozmieszczone małe otwory po nitach, niektóre regularnie okrągłe, średnicy 0,2 i 0,3 cm (tabl. 5:7).

W jednostce stratygraficznej 10 z Fazy VIA znaleziono dwie duże części podłużnych żelaznych okuć (tabl. 5:8–9) z otworami, które łączą się ze sobą i pochodzą z jednego przedmiotu. Odcinki żelaznych okuć są zachowane we fragmentach o długości 9 cm i 21 cm i mają szerokość 1,5 cm, grubości ok. 0,3 cm. Na płaszczyźnie blaszek w regularnych odstępach co 9 cm znajdują się otwory średnicy 0,6 cm.

Blaszki (tabl. 5:12–16)

W jednostkach stratygraficznych 5, 7 i 22 z faz IV i VIII znaleziono fragmenty bliżej nieokreślonych przedmiotów metalowych w postaci pięciu cienkich blaszek, grubości ok. 0,1 cm. Jedna z blaszek (tabl. 5:13) wykonana z miedzi ma wymiary 1 x 1,5 cm. W jednostce stratygraficznej 5 odkryto fragment bliżej nieokreślonego przedmiotu z miedzi. Jest to nieregularna w kształcie, cienka blaszka (tabl. 5:12) o grubości ok. 0,1 cm, wymiarach 3,7 x 2,7 cm z zachowanym zgrubieniem – guzkiem z jednej strony i śladami po otworach w partii brzegowej. Trzy blaszki z jednostki stratygraficznej 22 o wymiarach ok. 1,5 cm x 2 cm, pochodzą najprawdopodobniej z jednego przedmiotu będącego okuciem, ponieważ na jednej części widoczny jest mały okrągły nit (tabl. 5:14–16).

[24] Poliński 2013: ryc. 56:b, d.

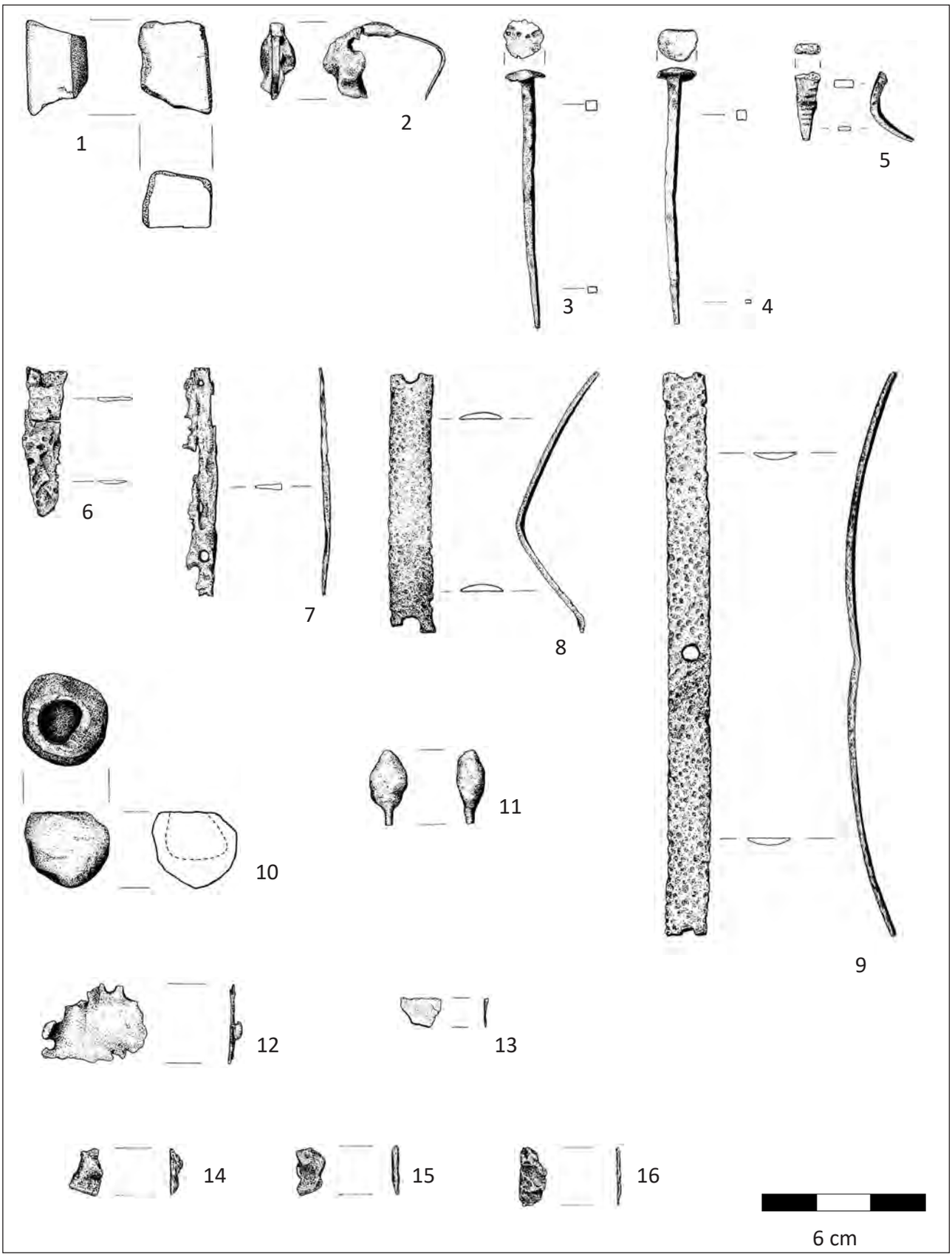

Tablica 5. Mozgowo, st. 1. Zabytki wydzielone (rys. D. Wach)

Materiały budowlane

W jednostce stratygraficznej 9=11=17 z Fazy VIII znaleziono fragment szkła (okiennego?) nieprzezroczystego, opalizującego. Fragment ma grubość 0,15 cm i długość 2,2 cm.

W warstwach powstałych w wyniku rozbiórki muru znaleziono liczne grudki zaprawy wapiennej.

KOŚCI ZWIERZĘCE

JOANNA PIĄTKOWSKA-MAŁECKA

W zbiorze szczątków kostnych z grodziska w Mozgowie, st. 1, wśród przeważającej liczby szczątków ludzkich, znaleziono również osiem fragmentów mocno przepalonych kości zwierzęcych, w nawarstwieniach reprezentujących fazy IV (warstwa 22 i 25), V (warstwa 18) i VII (warstwa 12). Udało się określić gatunkowo jedynie trzy z fragmentów kości zwierzęcych, a mianowicie fragment czaszki owcy/kozy z warstwy 18 oraz fragment kości stępu i trzonu kości udowej konia z warstwy 22.

KOŚCI LUDZKIE

ŁUKASZ MAURYCY STANASZEK

W opracowaniu ciałopalnego materiału kostnego z grodziska w Mozgowie, st. 1 (tab. 4) wykorzystano ogólnie przyjęte założenia metodyczne, jak również niektóre spostrzeżenia badawcze, wynikające z analiz poszczególnych cmentarzysk[25]. Podstawowym zadaniem niniejszej analizy było oszacowanie płci i wieku osobników, rekonstrukcja ich przyżyciowej wysokości ciała, a także zarejestrowanie zmian patologicznych (anomalii), pozostawiających widoczne ślady na kościach. W tym celu spośród ogółu materiału kostnego odseparowano diagnostyczne fragmenty szkieletu, ułatwiające wnioskowanie. Niestety słaby stan zachowania kości w znacznej mierze uniemożliwił te obserwacje. Ponadto odnotowano wszystkie informacje dodatkowe (tj. masa, stan zachowania, barwa i stopień przepalenia kości), które mogłyby być pomocne w zrekonstruowaniu panujących wówczas zwyczajów pogrzebowych. Oznaczając płeć osobników, szczególną uwagę zwrócono na opisowe i metryczne cechy różnicujące, połączone z tzw. ogólnym wrażeniem morfologicznym[26]. Przede wszystkim dotyczyło to cechonośnych kości czaszki i miednicy, w których dymorfizm płciowy przejawia się w największym stopniu. W niektórych przypadkach posiłkowano się pomiarami metrycznymi grubości lub/i średnicy poszczególnych kości szkieletu postkranialnego i czaszki, jak również analizą masy kości. Ogólnie jednak, określenia płci zmarłych zawsze obarczone są znacznie większym błędem, niż oznaczenia ich wieku. Wynika to z faktu, iż cechy męskie i żeńskie w budowie ciała mogą wyrażać się z różną intensywnością u obu płci, co ma związek z zaburzeniami równowagi hormonalnej[27]. Oznaczenia płciowe osobników posiadają zatem tylko mniejsze (określenia płci ze znakami zapytania) lub większe prawdopodobieństwo, nigdy jednak nie sięgające pewności.

Określeń przybliżonego wieku osobników w chwili śmierci dokonano w oparciu o kompleksową (wielocechową) analizę zmian zachodzących w ukształtowaniu poszczególnych cech morfologicznych kośćca i zębów. Przede wszystkim zwrócono więc uwagę na stopień obliteracji szwów czaszkowych, ogólny stan skostnienia szkieletu, zmiany chorobowe układu kostnego (tj. zwyrodnienia w obrębie kręgosłupa), stopień zwartości struktury gąbczastej i grubość ścian jam szpikowych w nasadach bliższych kości długich.

Odtwarzając przyżyciową wysokość ciała osobników uwzględniono stopień kurczenia się kości w procesie kremacji oraz zależność pomiędzy wielkością nasad niektórych kości długich (*femur*, *humerus*, *radius*) a ich długością. Przy określaniu przybliżonego wzrostu wykorzystano schematy przeliczeniowe, oparte na tablicach zaproponowanych przez Trotter i Gleser dla materiałów nie spalonych[28].

Ze względu na trudności natury mechanicznej (rozdrobnienie materiału), określenie zmian patologicznych (chorobowych) układu kostnego ograniczyło się do badań makroskopowych i dotyczyło głównie stwierdzenia obecności zmian zwyrodnieniowo-zniekształcających (w szczególności widocznych w obrębie kręgosłupa), możliwych do uchwycenia nawet po niszczącym procesie kremacji.

Ocena stopnia przepalenia materiałów kostnych z Mozgowa została uproszczona. W miejsce stosowanych zwykle 5-stopniowych skal liczbowych[29] wprowadzono określenia słowne, oddające ogólny charakter przepalenia kości, a przez to dające się łatwiej wydzielić: „słaby" (przepalenie lub nadpalenie częściowe; kości słabo popękane, niezbyt odkształcone

[25] Bass 1995; Buikstra i Ubelaker 1994: 95–106; Dzierżykray-Rogalski 1960, 1968; Gładykowska-Rzeczycka 1972, 1974; Piontek 1996: 188–198; Pyżuk 2004: 33–48; Stanaszek 2005: 235–239; Strzałko, Piontek i Malinowski 1973, 1974; Szydłowski 1974; Ubelaker 1978: 33–36.

[26] Por. Acsádi i Nemeskéri 1970; Dzierżykray-Rogalski 1968: 631; Piontek 1996: 127–141; Strzałko i Henneberg 1975.

[27] Por. A. Malinowski 1974: 11–12; Piontek 1996; Strzałko, Piontek i Malinowski 1973: 184.

[28] Por. Strzałko, Piontek i Malinowski 1972: 285; 1974: 37; Trotter i Gleser 1952.

[29] Por. A. Malinowski 1974: 10; Gładykowska-Rzeczycka 1972.

Tabela. 4. Mozgowo, st. 1. Zestawienie kości ludzkich (oprac. Ł.M. Stanaszek)

Nr jedn. strat.	Masa (g)	Barwa	Stopień przepalenia	Wiek	Płeć	Wybrane kości diagnostyczne	Uwagi
1	337,2	szaro-biała i kremowa	dość silny i silny	*maturus*	F?	fragmenty kości płaskich ze sklepienia czaszki (średniej grubości, szwy częściowo zobliterowane); 2 części skaliste kości skroniowych (niezbyt duże, smukłe); fragment kości czołowej z okolicy nasady nosa (gładyszka średnio zaznaczona, wydatna); fragmenty trzonów kości długich (ściany kanałów jam szpikowych średniej grubości, urzeźbienie słabe); fragment kości czołowej z okolicy górnej krawędzi oczodołu (ostra gracylna); fragmenty trzonów kości długich (ściany kanałów jam szpikowych cienkie, urzeźbienie słabe)	kości niezbyt diagnostyczne, niejednoznaczne morfologicznie z lekką przewagą cech płciowych żeńskich; paciorek kamienny (?)
5	2,9	kremowa	silny	dorosły	?	fragment trzonu kości długiej (ściana średniej grubości)	kość mało diagnostyczna
7	109,2	beżowo-kremowa	dość silny	*adultus-maturus*	?	fragmenty trzonów kości długich (ściany kanałów jam szpikowych dość grube, masywne, silne przyczepy mięśniowe); fragment trzonu żuchwy (zębodoły po uzębieniu stałym); fragment kości skroniowej z okolicy wyrostka sutkowatego (silnie urzeźbiony)	kości mało diagnostyczne, masywne; 4 fragmenty przedmiotu kamiennego
10=16=23=28	119,2	popielato-szara i kremowa	dość silny	*maturus*	M?	kości płaskie ze sklepienia czaszki (średniej grubości, szwy częściowo zobliterowane); trzony kości długich (ściany kanałów jam szpikowych średniej grubości, dość masywne), w tym kość udowa (kresa chropawa dość silna); kości płaskie ze sklepienia czaszki (dość cienkie, gracylne); fragmenty trzonów kości długich (ściany średniej grubości), w tym kość udowa (kresa chropawa słaba); 3 fragmenty trzonów kości długich (ściany kanałów jam szpikowych średniej grubości)	kości niezbyt diagnostyczne, masywne
12	171,4	beżowo-kremowa	dość silny	*adultus-maturus*	?	kości płaskie ze sklepienia czaszki (gracylne); trzony kości długich (ściany kanałów jam szpikowych dość grube, urzeźbienie silne), w tym kość udowa (kresa chropawa wyraźna), kość piszczelowa (zaokrąglona krawędź przednia); fragment paliczka (zosyfikowany); fragmenty trzonów kości długich (ściany kanałów jam szpikowych dość grube, masywne), w tym kość udowa (kresa chropawa wyraźna); fragment paliczka dalszego ręki (zosyfikowany, nieduży); fragmenty nasad kości długich (zwarta istota gąbczasta)	kości mało diagnostyczne, dość masywne
13	17,3	kremowo-biała	dość silny i silny	dorosły	?	fragmenty kości płaskich ze sklepienia czaszki (średniej grubości); trzony kości długich (ściany kanałów jam szpikowych średniej długości); fragment trzonu kości długiej (ściana dość cienka, średnica dość duża)	kości mało diagnostyczne
14	2,2	brązowa	słaby (?)	dorosły	?	fragment kości płaskiej ze sklepienia czaszki (dość masywny)	kość mało diagnostyczna, prawdopodobnie nieprzepalona

Tabela. 4. Ciąg dalszy)

Nr jedn. strat.	Masa (g)	Barwa	Stopień przepalenia	Wiek	Płeć	Wybrane kości diagnostyczne	Uwagi
15	2,5	beżowo-kremowa	dość silny	dorosły	?	2 fragmenty trzonów kości długich (ściany kanałów jam szpikowych średniej grubości)	kości mało diagnostyczne
18=39	86,6	kremowo-biała	silny	*adultus-maturus*	F?	kości płaskie ze sklepienia czaszki (średniej grubości, szwy częściowo zobliterowane); trzony kości długich (ściany kanałów jam szpikowych średniej grubości, dość masywne); kości płaskie ze sklepienia czaszki (ściany dość cienkie, gracylne); fragment górnej krawędzi prawego oczodołu wraz z częścią gładyszki (brzeg lekko zaokrąglony, łuk nadoczodołowy wydatny); trzony kości długich (ściany kanałów jam szpikowych średniej grubości); fragment wyrostka zębodołowego szczęki (zębodoły po uzębieniu stałym)	kości mało diagnostyczne; ślady zielonych przebarwień
19=38	8,2	beżowa	dość silny	dorosły	?	fragmenty trzonów kości długich (ściany kanałów jam szpikowych średniej grubości)	kości mało diagnostyczne
20	3,3	beżowo-kremowa	dość silny	dorosły	?	3 fragmenty trzonów kości długich (ściany kanałów jam szpikowych średniej grubości), w tym kość udowa (kresa chropawa dość silna)	kości mało diagnostyczne
21	104,4	beżowo-kremowa	dość silny i silny	*adultus-maturus*	?	kości płaskie ze sklepienia czaszki (dość cienkie, gracylne); fragment wyrostka zębodołowego szczęki (zębodoły po uzębieniu stałym); trzony kości długich (ściany kanałów jam szpikowych średniej grubości); 3 fragmenty trzonów kości długich (ściany kanałów jam szpikowych dość grube, duże średnice)	kości mało diagnostyczne
22	135,9	szaro-biała i kremowo-biała	dość silny i silny	*adultus-maturus*	?	kości płaskie ze sklepienia czaszki (średniej grubości); trzony kości długich (ściany średniej grubości); kości płaskie ze sklepienia czaszki (średniej grubości); trzony kości długich (ściany kanałów jam szpikowych dość grube, masywne); fragmenty nasad kości długich (zwarta istota gąbczasta); fragmenty ze sklepienia czaszki (dość cienkie, gracylne); głowa kości udowej (zwarta istota gąbczasta, średnica – 36mm); fragmenty trzonów kości długich (ściany kanałów jam szpikowych średniej grubości, urzeźbienie dość silne), w tym kość udowa (kresa chropawa wyraźna); fragment trzonu żebra (gracylny); wysokość ciała: 161–165 cm (M) lub 155–159 cm (F)	kości mało diagnostyczne, niejednoznaczne morfologicznie
25	18	beżowo-kremowa	średni	*adultus-maturus*	F?	kości płaskie ze sklepienia czaszki (cienkie, gracylne); część skalista kości skroniowej lewej (nieduża, gracylna); trzony kości długich (ściany kanałów jam szpikowych średniej grubości, urzeźbienie słabe)	ślady zielonych przebarwień na trzonie kości długiej
31=42	8,8	popielato-biała i kremowo-biała	dość silny i silny	dorosły (?)	?	6 fragmentów trzonów kości długich (ściany średniej grubości i dość grube)	kości mało diagnostyczne

i skurczone o popielato-czarnym zabarwieniu i silnie oczernionej okostnej), „średni" (spękanie i odkształcenia termiczne silniejsze; zabarwienie szaro-popielate) i „silny stopień przepalenia" (znaczne spękanie i odkształcenia; kruche i niewielkie fragmenty kości o zabarwieniu kremowo-białym; całkowity zanik składników organicznych). Ponadto opis barwy kości został uzupełniony o przebarwienia, będące pozostałością po zaleganiu zabytków metalowych w ich sąsiedztwie.

Kości wykazywały stosunkowo silny stopień przepalenia, co wskazuje, że ludność użytkująca kurhan w Mozgowie stosowała wobec swych bliskich pieczołowite (długie) zabiegi związane z paleniem zwłok, czego skutkiem jest ogólnie dość dobry stopień przepalenia kości.

CHRONOLOGIA STANOWISKA

URSZULA KOBYLIŃSKA, MAGDALENA RUTYNA I JACEK WYSOCKI

Na podstawie analizy materiału ceramicznego wydzielono trzy główne horyzonty chronologiczne grodziska w Mozgowie, st. 1. Pierwszy to okres wczesnej epoki żelaza. Należy łączyć go z Fazą II – z powstaniem kurhanu. Drugi to okres wczesnego średniowiecza, reprezentowany przez warstwy związane z Fazą IV, czyli budową i funkcjonowaniem budynku drewnianego w XIII w. Trzeci okres przypada na późne średniowiecze, reprezentowane przez nawarstwienia Fazy VI, związane z budową i funkcjonowaniem murowanej wieży. Datowanie tej fazy nie jest oczywiste, ponieważ zespół późnośredniowiecznej ceramiki z tego stanowiska zawiera zarówno elementy, które sugerowałyby budowę wieży w drugiej połowie XIV w. (ceramika „siwa", nóżka grapena), jak i elementy późniejsze, wskazujące na użytkowanie tej budowli w wieku XV, i to raczej w jego drugiej połowie (ceramika ceglasta).

DZIEJE GRODZISKA W MOZGOWIE, ST. 1

MAGDALENA RUTYNA I JACEK WYSOCKI

Najstarsze nawarstwienia kulturowe odkryte na stanowisku 1 w Mozgowie są pozostałością uszkodzonego nasypu kurhanu ze zniszczonym pochówkiem ciałopalnym z wczesnej epoki żelaza. Na obecnym etapie badań nie sposób rozstrzygnąć, czy nawarstwienia te są skutkiem zniszczenia istniejącego tu wcześniej kurhanu, czy też zostały one złożone na wtórnym złożu, to jest zniszczono jakiś kurhan znajdujący się w pobliżu, używając jego nasypu wraz ze znajdującymi się w nim artefaktami (kości, ceramika) do ustabilizowania konstrukcji budowli wznoszonej w tym miejscu na surowym korzeniu (drewniana) lub odbudowywanej (murowana). Bardziej prawdopodobna wydaje się pierwsza z tych interpretacji odkrytego zjawiska kulturowego. We wczesnym średniowieczu kurhan prawdopodobnie częściowo został zniszczony w trakcie wznoszenia drewnianego lub kamienno-drewnianego budynku. Obiekt ten prawdopodobnie pełnił funkcję strażniczą wobec przejścia wodnego przez przesmyk między jeziorami Dauby i Jeziorakiem, a być może także przejścia lądowego, przez zabagnioną dolinę rynny lodowcowej w tym rejonie. Po krótkim okresie użytkowania obiekt ten uległ zniszczeniu (spaleniu). W niedługim czasie został w tym samym miejscu, ale nie na tym samym planie odbudowany w formie murowanej (w późnym średniowieczu), a w końcu po zaprzestaniu użytkowania i opuszczeniu (być może w związku z wojną trzynastoletnią), został rozebrany do fundamentów. Obiekt murowany prawdopodobnie pełnił tą samą funkcję, co wcześniejszy, drewniany. Jeśli właściwa jest interpretacja przedmiotu kościanego (ryc. 22) jako elementu ozdobnego pulpitu pod Biblię, to świadczyłoby o religijności, a jednocześnie o wysokiej pozycji mieszkańców wieży w Mozgowie.

Interesujące, że na glinie w otoczeniu stożka nie wytworzyła się warstwa humusu, lub – co bardziej prawdopodobne – warstwa humusu została całkowicie zmyta ze stromego stoku doliny do jeziora, po odlesieniu terenu i uruchomieniu procesów stokowych na skutek działalności człowieka, rolniczej lub innej.

Urowo, st. 1

Gmina Zalewo
Powiat iławski
AZP 25–54/1
Współrzędne geograficzne:
N 53° 44’ 10’’
E 19° 43’ 12’’

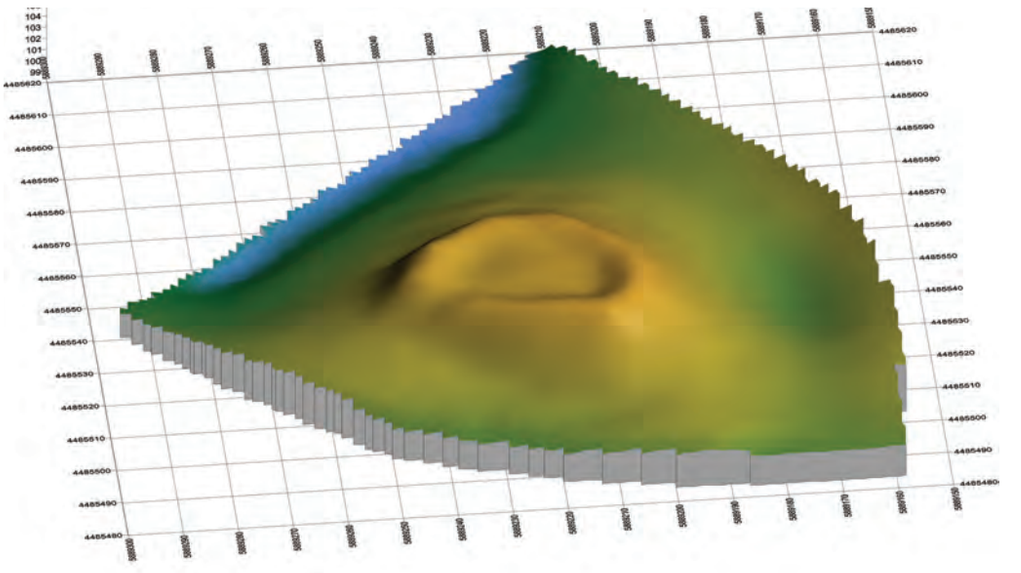

Ryc. 1. Grodzisko w Urowie, st. 1 na mapie w skali 1:25 000 (na podstawie materiałów CODGiK, oprac. R. Solecki)

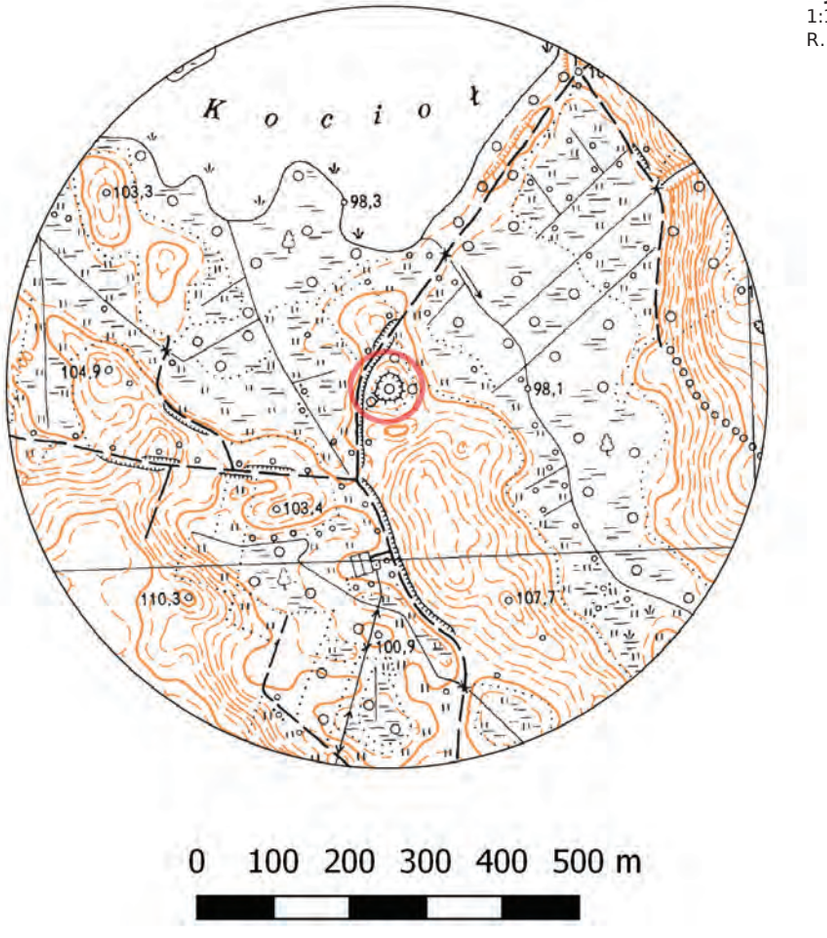

Ryc. 2. Grodzisko w Urowie, st. 1 na mapie w skali 1:10 000 (na podstawie materiałów CODGiK, oprac. R. Solecki)

POŁOŻENIE GRODZISKA I JEGO FORMA

MAGDALENA RUTYNA I DARIUSZ WACH

Grodzisko w Urowie położone jest w pobliżu południowego brzegu jeziora Kocioł (ryc. 1–2). Zajmuje ono północny fragment wydłużonego wzgórza o przebiegu NNW–SSE, które otacza równina pojezierna, leżąca na wysokości powyżej 98,0 m n.p.m. łącząca jezioro Kocioł z jeziorem Gil Wielki na południu. Majdan grodziska ma kształt owalny, o wymiarach około 20 x 30 m. Wysokość wałów od strony wewnętrznej wynosi 1–1,5 m, od strony zewnętrznej zaś 2,5–3 m. Najwyższy punkt na wałach osiąga 107,8 m n.p.m., a najniższy na majdanie 105,3 m n.p.m. (ryc. 3–8).

ŚRODOWISKO FIZYCZNO-GEOGRAFICZNE

JERZY NITYCHORUK I FABIAN WELC

Z *Szczegółowej mapy geologicznej Polski 1:50 000 ark. Dobrzyki*[1] wynika, że grodzisko w Urowie, st. 1 leży na pagórku, zbudowanym z piasków i żwirów wodnolodowcowych stadiału górnego zlodowacenia Wisły. Wokół niego rozciąga się równina torfowa, która dokumentuje podmokłości związane z wyższym poziomem jeziora w holocenie. Wysoczyzna polodowcowa zbudowana z glin zwałowych stadiału górnego zlodowacenia Wisły otacza ten obszar od wschodu, natomiast na zachodzie występuje równina wodnolodowcowa (ryc. 9). Przedstawiony obraz budowy geologicznej nie jest dokładny, co potwierdzają wiercenia przeprowadzone na tym obszarze.

W czasie prac geologicznych na terenie grodziska wykonano 10 wierceń, które posłużyły do sporządzenia przekroju geologicznego (ryc. 10–11).

Najstarszym osadem na przekroju geologicznym jest stwierdzony w wierceniu U4m, na głębokości 1,8 m, piasek drobnoziarnisty, warstwowany z przewarstwieniami orsztynu, żółto-brązowy, typowy osad kemowy (wydzielenie 1). Na piasku kemowym leży glina lodowcowa, bardzo zwarta, ilasta, z licznymi głazikami opoki i bardzo charakterystycznymi wytrąceniami węglanu wapnia w miejscach po rozłożonych korzeniach roślin, barwy brązowej (warstwa 2). Warstwa 3 to też glina bardzo zwarta, jednak wyraźnie różniąca się od gliny niżej leżącej, przede wszystkim brakiem wytrąceń węglanu wapnia w miejscu dawnych korzeni. W tej glinie występują liczne korzonki, jednak jeszcze nie obumarłe. Ponieważ granica między obydwoma glinami (warstwa 2/3) jest ostra jak nożem uciął, zdecydowano się na odróżnienie tych osadów. Korzonki roślin w starszej glinie prawdopodobnie uległy rozłożeniu tysiące lat wcześniej, skoro zdążył

[1] Rabek i Narwojsz 2008.

Ryc. 3. Urowo, st. 1. Widok grodziska od zachodu (fot. J. Wysocki)

Ryc. 4. Urowo, st. 1. Widok od zachodu na wał (fot. J. Wysocki)

Ryc. 5. Urowo, st. 1. Widok od wschodu na wał (fot. J. Wysocki)

Ryc. 6. Urowo, st. 1. Widok na majdan grodziska (fot. J. Wysocki)

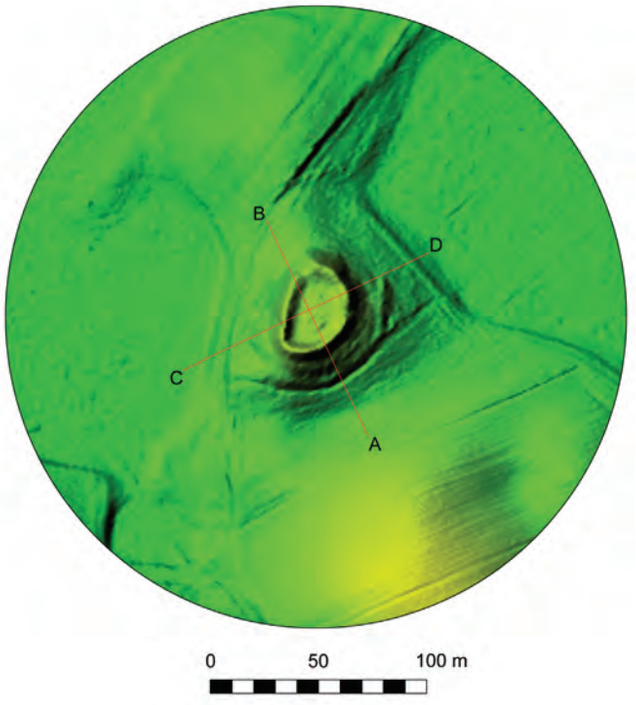

Ryc. 7. Grodzisko w Urowie, st. 1 na zobrazowaniu ALS (na podstawie materiałów CODGiK, oprac. R. Solecki)

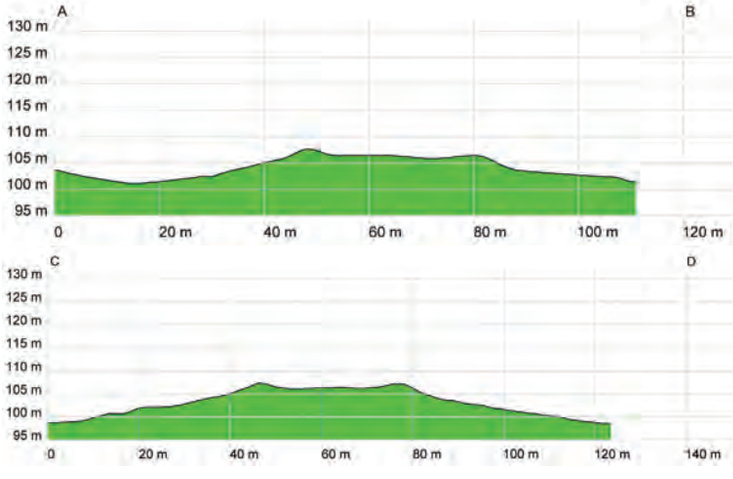

Ryc. 8. Przekroje grodziska w Urowie, st. 1 uzyskane z danych ALS (na podstawie materiałów CODGiK, oprac. R. Solecki)

wykrystalizować w pustkach po nich węglan wapnia, pochodzący z rozpuszczania skał węglanowych obecnych licznie w glinie. Glina młodsza zawiera tak samo liczne skały węglanowe, jednak nie są tu stwierdzone charakterystyczne wytrącenia węglanu wapnia w przestrzeniach po korzeniach. Glina starsza pochodzi z wytapiania lądolodu zlodowacenia Wisły, a glina młodsza została przemieszczona przez człowieka.

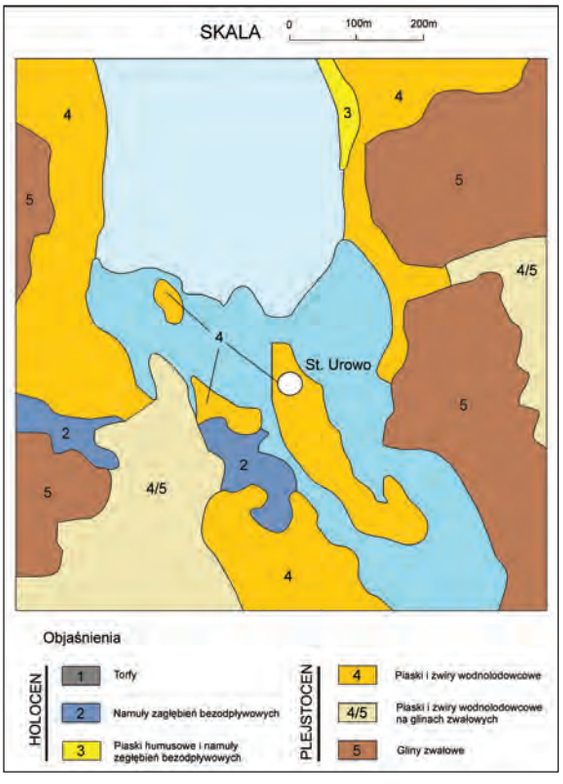

Ryc. 9. Mapa geologiczna obejmująca obszar wokół grodziska w Urowie, st. 1 (oprac. J. Nitychoruk i F. Welc)

Przytoczona logika faktów i procesów geologicznych, nie ma w tym stanowisku odzwierciedlenia w potrzebach budowlanych grodziska, dla powstania którego nie było potrzebne przemieszczanie aż tak dużej ilości bardzo zwartej gliny. Niejasne pozostaje to, dlaczego twardą glinę decydowano się usuwać do 1 m głębokości, a następnie formować z niej wały i wypełnić nią majdan.

Kolejne wydzielenie (4) składa się z osadów przemieszczonych – namułów gliniastych z głazikami, którymi są głównie małe fragmenty opoki, oraz piasku średnioziarnistego, zaglinionego. Osady te występują między wałami a drogą i trudno jest zdecydować, czy powstały w trakcie użytkowania i remontów drogi, czy są fragmentem fosy, której w innym miejscu, w wyniku prac wykopaliskowych i wierceń U6m i U7m, nie stwierdzono.

BADANIA ARCHEOLOGICZNE

MAGDALENA RUTYNA I DARIUSZ WACH

Przebieg badań terenowych

Grodzisko w Urowie znane było już w XVIII w. Obiekt o nazwie *Wüst Schloss* zaznaczony został na rękopiśmiennym planie starostwa miłomłyńskiego z 1720 r.

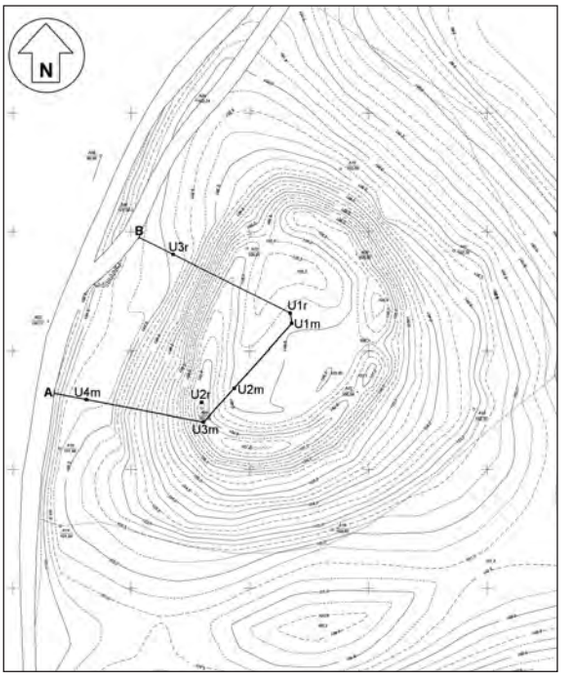

Ryc. 10. Plan warstwicowy grodziska w Urowie, st. 1 (wyk. J. Błaszczyk) z oznaczeniem miejsc wykonania wierceń geologicznych (oprac. J. Nitychoruk i F. Welc)

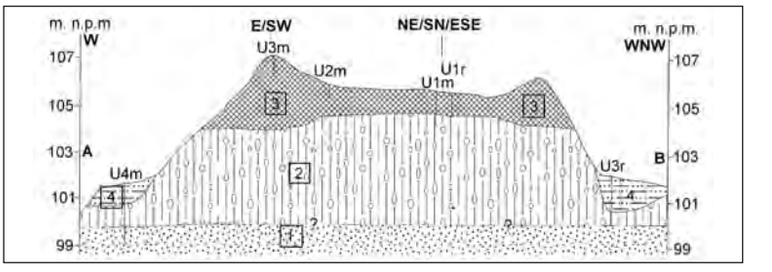

Ryc. 11. Przekrój geologiczny grodziska w Urowie, st. 1: 1 – piasek drobnoziarnisty z przewarstwieniami orsztynu, 2 – glina zwałowa, 3 – glina zwałowa – redeponowana (warstwa antropogeniczna), 4 – namuły gliniaste (oprac. J. Nitychoruk i F. Welc)

Na planie Schroettera opisano go jako *Schanze*. W latach 1826–1828 Johann Michael Guise zaznaczył grodzisko na jednym ze swoich rysunków. Carl Engel, podczas wizyty 19 września 1930 r., narysował oraz krótko je opisał[2]. Hans Crome uważał grodzisko w Urowie za „staropruskie"[3], natomiast Łucja Okulicz uznała, że należy je datować na wczesną epokę żelaza[4]. W 1987 r. Mirosław J. Hoffmann przeprowadził badania weryfikacyjne[5].

Badania wykopaliskowe w 2012 r. grodziska w Urowie prowadzone były w ramach projektu *Katalog grodzisk Warmii i Mazur*. Na terenie grodziska otworzono trzy wykopy (oznaczone cyframi 1–3), o łącznej powierzchni 64 m² (ryc. 12). Wykop 1 miał 15 m długości i 2 m szerokości i dłuższą osią zorientowany był mniej więcej po linii NW–SE. Założony został w południowo-wschodniej części grodziska w taki sposób, by przecinał cały wał aż do miejsca na zewnątrz grodziska, gdzie kończyła się strefa, w której spodziewano się znaleźć ewentualną fosę oraz (od wewnątrz) przywałową strefę majdanu. Wykop 2, o wymiarach 5 m długości i 2 m szerokości (dłuższa oś po linii NE–SW), otworzono 5 m na północ od wykopu 1. Wykop 3 wytyczono na majdanie grodziska 2 m na zachód od wykopu 1. Obejmował on swym zasięgiem 6 m długości i 4 m szerokości (dłuższe boki biegły wzdłuż osi NE–SW).

Wokół grodziska przeprowadzono badania geofizyczne[6]. Na łące znajdującej się na północ od grodziska, nad jeziorem, rozpoznano anomalie geomagnetyczne (43 m na północ i 100 m na zachód od północno-zachodniego narożnika wykopu 2 na grodzisku), postanowiono otworzyć mały wykop sondażowy (3 x 3 m), stwierdzając obecność obiektów osadniczych z wczesnej epoki żelaza.

Stratygrafia stanowiska

W trakcie badań archeologicznych przeprowadzonych w 2012 roku wydzielono 67 jednostek stratygraficznych na terenie grodziska oraz 20 jednostek stratygraficznych na terenie osady. Podzielono je na trzy główne fazy (tab. 1 i ryc. 13).

Warstwy naturalne

Na terenie grodziska zidentyfikowano następujące warstwy naturalne: 8 (W1), 14 (W2) i 16 (W3). W wykopie 1 (wał, zagłębienie przywałowe i częściowo na majdanie) warstwy kulturowe zalegały na twardej, niejednorodnej glinie. Natomiast w wykopach 2 i 3 oraz na terenie osady spoczywały na jednorodnej glinie.

Faza I – wczesna epoka żelaza

Faza IA

Faza IA związana jest z najstarszym użytkowaniem stanowiska we wczesnej epoce żelaza (ryc. 15–16). Reprezentują ją w wykopie 1 relikty dwóch dołów posłupowych 76 i 77. Obiekt 76, o wymiarach 10 x 20 cm i głębokości ok. 30 cm, w planie miał kształt zbliżony do połowy owalu, w przekroju był U-kształtny. W jego wypełnisku zarejestrowano twardą, jednorodną glinę 71, jednorodną gilnę 72, sypki piasek 68, twardą,

[2] Kobyliński *et al.* 2013: 314; Szczepański 2013: 244.

[3] Crome 1937: 108.

[4] Ł. Okulicz 1970: 196–197.

[5] Archiwum Muzeum w Olsztynie. Teczka: Urowo.

[6] Szerzej na ten temat zob. Herbich 2013: 352.

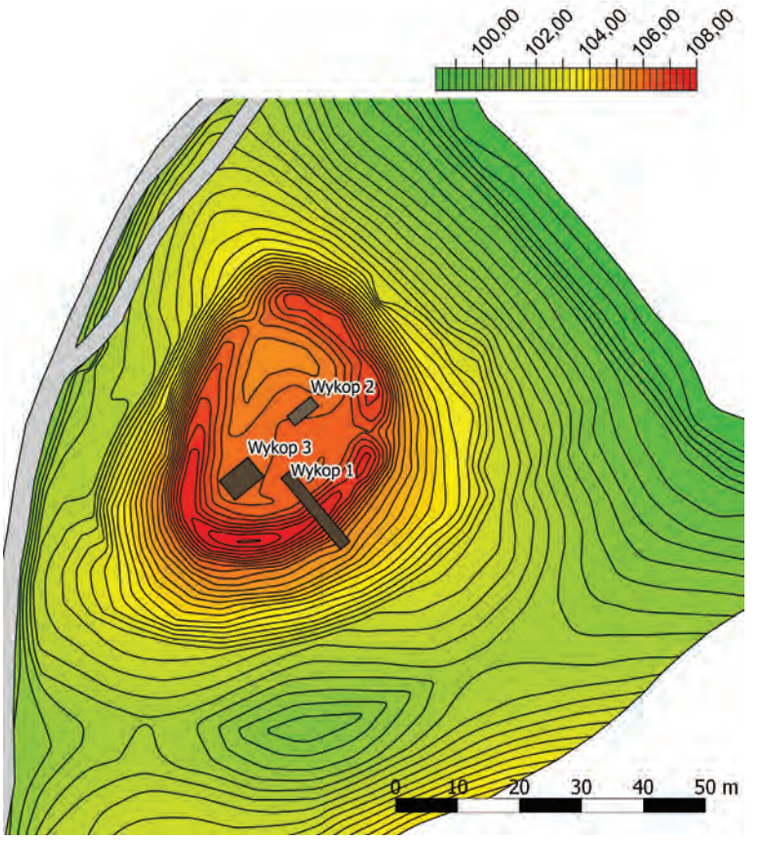

Ryc. 12. Plan warstwicowy grodziska w Urowie, st. 1 z zaznaczonymi wykopami badawczymi z roku 2012 (na podstawie pomiarów J. Błaszczyka, oprac. R. Solecki)

jednorodną glinę 70 oraz jednorodną glinę 66. Drugi dół posłupowy, 77, miał wymiary 20 x 60 cm i głębokość 50 cm; w planie miał kształt połowy owalu. Jego wypełnisko tworzyła twarda, niejednorodna glina 36, gliniasty piasek 35, niejednorodna, twarda glina 32, sypki piasek 34, niejednorodna glina 33, gliniasty piasek 47 oraz twardy, gliniasty piasek 75.

Faza IB

Z horyzontem tym należy wiązać jednostki stratygraficzne powstałe prawdopodobnie w wyniku naturalnego narastania gleby: twardą, niejednorodną glinę 17 oraz twardą, z drobnymi fragmentami węgli drzewnych glinę 31.

Faza IC

Faza ta związana jest z budową wału oraz użytkowaniem majdanu grodziska. Powstał wówczas wał grodziska (ryc. 14–17). Nasyp wału tworzą w kolejności stratygraficznej następujące warstwy:

- w ścianie wschodniej wykopu 1: twarda, niejednorodna glina z wtrętami bardzo drobnych węgielków 67; twarda, niejednorodna glina z wtrę-

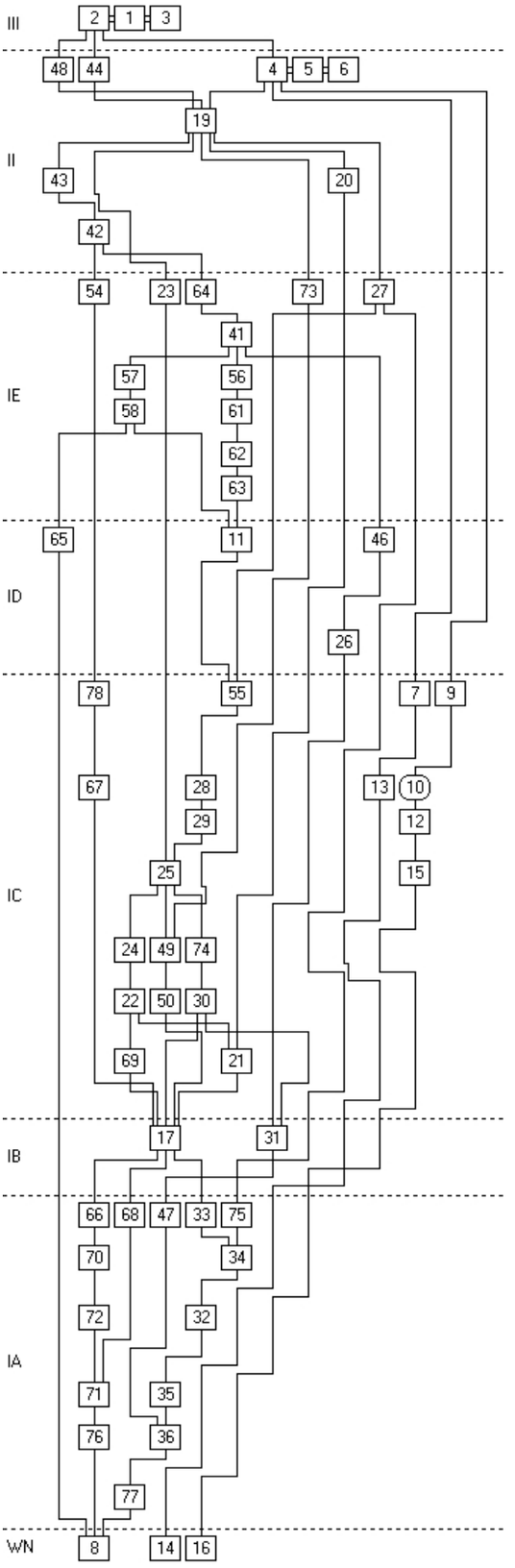

Ryc. 13. Urowo, st. 1. Diagram relacji stratygraficznych (oprac. M. Rutyna)

Tabela 1. Urowo, st. 1. Badania w roku 2012. Katalog warstw i obiektów oraz ich zależności stratygraficznych (oprac. M. Rutyna i D. Wach)

Numer jednostki	Numer obiektu	Numer wykopu	Położenie w obrębie stanowiska	Współrzędne siatki pomiarowej stanowiska	Opis jednostki stratygraficznej	Barwa (Munsell)	Pozycja stratygraficzna	
							Znajduje się pod	Znajduje się nad
1=2=3		1, 2, 3	Majdan, wał	X=90–110; Y=143–165	Ziemisty, niejednorodny piasek; miąższość do 35 cm; humus	10YR 3/2; 4/1; 5/4; 7/3		4, 5,6, 19, 44, 48
4=5=6		1, 2, 3	Majdan, wał	X=90–110; Y=143–155,9	Twarda, jednorodna glina; miąższość do 30 cm; warstwa powstała w wyniku naturalnego narastania gleby	10YR 4/2; 5/4; 5/6	1=2=3	7, 12, 17, 19
7		2	Majdan	X=105–110; Y=143–143,6	Bardzo sypki, niejednorodny piasek; miąższość do 70 cm; poziom użytkowy	10YR 6/4; 10YR 5/3	4	13
8		1	Wał	X=98–100; Y=150–165	Twarda, niejednorodna glina; calec	10YR 5/4	17	
9	10	3	Majdan	X=93,80–94,02; Y=147,40–147,64	Twardy, jednorodny piasek; wypełnisko obiektu 10	10YR 4/2	5	10
10	10	3	Majdan	X=93,80–94,02; Y=147,40–147,64	Obiekt, o wym. 20 x 25 cm i gł. ok. 20 cm, w planie miał kształt owalny, w przekroju był U-kształtny; dół posłupowy		9	12
11		1	Wał	X=98,50–100; Y=158,1–159,7	Twarda, niejednorodna glina; miąższość do 20 cm; warstwa powstała w wyniku naturalnego narastania gleby	10YR 4/2	62, 63, 58, 25	60, 17, 55
12		3	Majdan	X=90,87–96; Y=144–148	Niejednorodna, piaszczysta glina; miąższość do 30 cm; poziom użytkowy	10YR 5/6	5	15
13		2	Majdan	X=106,70–109,06; Y=143–143,5	Twardy, niejednorodny piasek; miąższość do 40 cm; poziom użytkowy	10YR 7/2	7	14
14		2	Majdan	X=105–110; Y=143–145	Twarda, jednorodna glina; calec	10YR 7/3; 10YR 5/4	13	
15		3	Majdan	X=90–91,70; Y=144–144,95	Niejednorodna glina; miąższość do 10 cm; poziom użytkowy	10YR 6/2	12	16
16		3	Majdan	X=90–96; Y=144–148	Twarda, jednorodna glina; calec	10YR 6/8	12	
17		1	Wał	X=98–100; Y=151,40–158,95	Twarda, niejednorodna glina; miąższość do 35 cm; warstwa powstała w wyniku naturalnego narastania gleby	10YR 4/4	6, 19, 20, 21	8
19		1	Wał	X=98–100; Y=154,5–165	Twarda, jednorodna glina; miąższość do 35 cm; warstwa powstała w wyniku erozji wału grodziska	10YR 3/2	2, 6	23, 20, 17
20		1	Wał	X=98–98,70; Y=155,2–156,20	Twarda, ciemna, niejednorodna glina z wtrętami węgli; miąższość do 10 cm; warstwa powstała w wyniku erozji wału grodziska	10YR 3/3	19	17, 21, 22
21		1	Wał	X=98–99,60; Y=155,60–157,20	Twarda, niejednorodna, glina z wtrętami węgli; miąższość do 20 cm; nasyp wału	10YR 3/6	20, 22	17
22		1	Wał	X=98–98,50; Y=155,80–157,20	Twarda, niejednorodna, glina z wtrętami węgli; miąższość do 20 cm; nasyp wału	10YR 4/4	23 24	21
23		1	Wał	X=98–98,90; Y=156,30–157,49	Twarda, niejednorodna glina; miąższość do 20 cm; nasyp wału	10YR 4/6	19	22, 24, 25
24		1	Wał	X=98–99,10; Y=156,60–158,6	Twarda, niejednorodna glina; miąższość do 20 cm; nasyp wału	10YR 5/4	25	22, 21
25		1	Wał	X=98–99,40; Y=156,75–159	Twarda, niejednorodna glina z wtrętami węgli; miąższość do 40 cm; nasyp wału	10YR 4/4	23	24
26		1	Wał	X=98–98,30; Y=158,50–159,80	Twarda, niejednorodna glina z wtrętami węgli; miąższość do 15 cm; warstwa powstała w wyniku erozji wału grodziska	10YR 5/4 (30%); 10YR 2/1 (70%)	46	31
27		1	Wał	X=98–99,20; Y=157–158,25	Twarda, zbita, niejednorodna glina; miąższość do 30 cm; nasyp wału	10YR 5/4	19	55
28		1	Wał	X=98–98,30; Y=157–158,20	Twarda, niejednorodna glina z węgielkami drzewnymi; miąższość do 5 cm; nasyp wału	10YR 4/4 (70%); 10YR 2/1 (30%)	55	29, 25
29		1	Wał	X=98–99,10; Y=157,80–158,55	Twarda, niejednorodna glina; miąższość do 10 cm; nasyp wału	10YR 4/4	55	25
30		1	Wał	X=98–98,85; Y=157–158,65	Jednorodna, twarda glina; miąższość do 30 cm; nasyp wału	10YR 5/4	74	17, 31
31		1	Wał	X=98–99,05; Y=157,90–159	Twarda, niejednorodna glina z wtrętami węgli; miąższość do 20 cm; warstwa powstała w wyniku naturalnego narastania gleby	10YR 5/4	30	47
32	77	1	Wał	X=98–98,20; Y=157,50–158,20	Niejednorodna, twarda glina; miąższość do 10 cm; wypełnisko obiektu 77	10YR 5/4	75	35
33	77	1	Wał	X=98–98,15; Y=157,75–158,05	Niejednorodna glina; miąższość do 25 cm; wypełnisko obiektu 77	5YR 4/4	17	34
34	77	1	Wał	X=98–98,20; Y=157,50–158,20	Sypki, niejednorodny piasek; miąższość do 20 cm; wypełnisko obiektu 77	10YR 7/3	33	32

Tabela 1. Ciąg dalszy

Numer jednostki	Numer obiektu	Numer wykopu	Położenie w obrębie stanowiska	Współrzędne siatki pomiarowej stanowiska	Opis jednostki stratygraficznej	Barwa (Munsell)	Pozycja stratygraficzna	
							Znajduje się pod	Znajduje się nad
35	77	1	Wał	X=98–98,10; Y=157,80–158,07	Gliniasty piasek; miąższość do 10 cm; wypełnisko obiektu 77	10YR 6/3	32	36
36	77	1	Wał	X=98–98,20; Y=157,96–158,40	Twarda, niejednorodna glina; miąższość do 15 cm; wypełnisko obiektu 77	7,5YR 4/4 (80%); 2,5Y 5/2 (20%)	47	77
41		1	Wał	X=98–100; Y=157,90–160,8	Niejednorodna glina z wtrętami węgli; miąższość do 40 cm; nasyp wału	5YR 4/4	42	46
42		1	Wał	X=98–100; Y=157,80–165	Twarda, niejednorodna glina z wtrętami węgli; miąższość do 1 m; warstwa powstała w wyniku erozji wału grodziska	5YR 4/6	43	54
43		1	Wał	X=98–98,75; Y=162,20–162,75	Jednorodna glina; miąższość do 10 cm; warstwa powstała w wyniku erozji wału grodziska	10YR 5/3	19	42
44		1	Wał	X=98–100; Y=160,85–165	Twardy, niejednorodny gliniasty piasek; miąższość do 35 cm; warstwa powstała w wyniku naturalnego narastania gleby	10YR 3/2	2	19
46		1	Wał	X=98–98,65; Y=158,50–159,40	Niejednorodny, gliniasty piasek; miąższość do 15 cm; warstwa powstała w wyniku erozji wału grodziska	10YR 5/4 (60%); 10YR 7/3 (40%)	41	26
47	77	1	Wał	X=98–98,20; Y=158,2–158,70	Gliniasty piasek; miąższość do 10 cm; wypełnisko obiektu 77	10YR 6/4	31	36
48		1	Wał	X=98,90–100; Y=156,23–158,4	Twarda, jednorodna glina; miąższość do 20 cm; warstwa powstała w wyniku naturalnego narastania gleby	10YR 4/4	2	19
49		1	Wał	X=98,30–100; Y=156,97–158,20	Twarda, niejednorodna glina z wtrętami węgli; miąższość do 70 cm; nasyp wału	7,5YR 4/4	73, 25, 55	50
50		1	Wał	X=99,25–100; Y=156,96–158	Twarda, niejednorodna glina z wtrętami bardzo drobnych węgielków; miąższość do 20 cm; nasyp wału	10YR 4/4	49	17
54		1	Wał	X=99,70–100; Y=155,03–156,4	Niejednorodna piaszczysta glina; miąższość do 10 cm; nasyp wału	10YR 4/4 (90%); 10YR 7/3 (10%)	78	41, 25
55		1	Wał	X=98–100; Y=157,2–158,55	Twarda, jednorodna glina; miąższość do 20 cm; nasyp wału	10YR 4/4	27	28, 29
56		1	Wał	X=98,95–100; Y=157,40–159,30	Niejednorodna piaszczysta glina; miąższość do 25 cm; nasyp wału	10YR 4/4; 10YR 7/3	41	61, 62
57		1	Wał	X=99,85–100; Y=159,72–160,30	Twarda, niejednorodna glina z wtrętami węgli; miąższość do 10 cm; nasyp wału	10YR 3/4 (70%); 10YR 2/1 (30%)	41	58
58		1	Wał	X=99,05–100; Y=159–161,27	Twarda, niejednorodna glina z wtrętami węgli; miąższość do 90 cm; nasyp wału	10YR 3/4	41, 57	65, 11, 18
61		1	Wał	X=99,75–100; Y=158,40–158,84	Twardy piasek z dużą ilością drobnych węgielków; miąższość do 15 cm; nasyp wału	10YR 6/2	56	62
62		1	Wał	X=99,15–100; Y=158,35–159,17	Twarda, niejednorodna glina z wtrętami węgli; miąższość do 20 cm; nasyp wału	10YR 3/4	61, 56	63, 11
63		1	Wał	X=99,90–100; Y=158,60–158,90	Piaszczysta, niejednorodna glina; miąższość do 5 cm; nasyp wału	10YR 5/4	62	11
64		1	Wał	X=99,85–100; Y=158,42–158,76	Twarda, niejednorodna piaszczysta glina; miąższość do 10 cm; nasyp wału	10YR 4/4 (90%); 10YR 7/3 (10%)	42	41
65		1	Wał	X=99,80–100; Y=159,70–160,50	Twarda, niejednorodna glina z wtrętami węgli; miąższość do 10 cm; warstwa powstała w wyniku erozji wału grodziska	10YR 4/2	58	8
66	76	1	Wał	X=99,90–100; Y=156,83–156,96	Jednorodna glina; miąższość do 15 cm; wypełnisko obiektu 76	7,5YR 4/4	17	70
67		1	Wał	X=99,65–100; Y=156,10–156,76	Twarda, niejednorodna glina z wtrętami bardzo drobnych węgielków; miąższość do 15 cm; nasyp wału	10YR 4/4	22	17
68	76	1	Wał	X=99,90–100; Y=156,78–156,82	Sypki, jednorodny piasek miąższość do 25 cm; wypełnisko obiektu 76	10YR 5/3	17	71
69		1	Wał	X=99,85–100; Y=156,88–156,92	Twarda, jednorodna glina; miąższość do 5 cm; nasyp wału	7,5YR 4/4	22	17
70	76	1	Wał	X=99,80–100; Y=156,83–157	Jednorodna glina; miąższość do 25 cm; wypełnisko obiektu 76	10YR 4/3	66	72
71	76	1	Wał	X=99,85–100; Y=156,86–156,92	Jednorodna glina; miąższość do 25 cm; wypełnisko obiektu 76	7,5YR 4/6	68, 72	76

Tabela 1. Ciąg dalszy

Numer jednostki	Numer obiektu	Numer wykopu	Położenie w obrębie stanowiska	Współrzędne siatki pomiarowej stanowiska	Opis jednostki stratygraficznej	Barwa (Munsell)	Pozycja stratygraficzna	
							Znajduje się pod	Znajduje się nad
72	76	1	Wał	X=99,85–100; Y=156,9–158,06	Jednorodna glina; miąższość do 25 cm; wypełnisko obiektu 76	10YR 5/4	17	71
73		1	Wał	X=99,25–100; Y=157,32–158,10	Twarda, jednorodna glina; miąższość do 25 cm; nasyp wału	10YR 4/4	19	49
74		1	Wał	X=98–99,17; Y=157,55–158,50	Twarda, niejednorodna glina; miąższość do 15 cm; nasyp wału	10YR 4/4; 10YR 4/2	25	30
75	77	1	Wał	X=98–98,2; Y=158,15–158,90	Twardy, gliniasty piasek; miąższość do 15 cm; wypełnisko obiektu 77	10YR 7/3	27	34, 32
76		1	Wał	X=99,88–100; Y=156,85–157,05	Obiekt o wym. 10 x 20 cm i gł. ok. 30 cm, w planie miał kształt zbliżony do połowy owalu, w przekroju był U-kształtny; dół posłupowy		71	8
77		1	Wał	X=98–98,20; Y=157,10–158,65	Obiekt, o wym. 20 x 60 cm i gł. 50 cm, w planie miał kształt połowy owalu		36, 35	8
78		1	Wał	X=99,05–100; Y=158,20–157,38	Twarda, jednorodna glina; miąższość do 60 cm; nasyp wału	10YR 5/3	54	67

tami bardzo drobnych węgielków 50; twarda, jednorodna glina 69; trawda, jednorodna glina 78; twarda, niejednorodna glina z wtrętami węgli 49 oraz twarda, jednorodna glina 55;
- w ścianie zachodniej wykopu 1: twarda, jednorodna glina 30; twarda, niejdnorodna glina z wtrętami węgli 21; twarda, niejdnorodna glina z wtrętami węgli 22; twarda, niejednorodna glina 24; twarda, niejednorodna glina 74; twarda, niejdnorodna glina z wtrętami węgli 25; twarda, niejednorodna glina 29; twarda, niejdnorodna glina z wtrętami węgli 28 oraz twarda, jednorodna glina 55.

Z tą fazą należy wiązać najstarsze nawarstwienia kulturowe występujące na obszarze majdanu. W wykopie 2 (ryc. 18) zidentyfikowano następujące warstwy użytkowe: twardy piasek 13 i bardzo sypki, niejednorodny piasek 7. Natomiast w wykopie 3 (ryc. 19) zaobserwowano niejednorodną, piaszczystą glinę 12 oraz rysujący się na jej stropie dół posłupowy 10. Zadokumentowany obiekt, o wymiarach 20 x 25 cm i głębokości około 20 cm, w planie miał kształt owalny, w przekroju był U-kształtny. Jego wypełnisko tworzył twardy, jednorodny piasek 9.

Faza ID

Do tego horyzontu należą jednostki powstałe w wyniku erozji wału grodziska z fazy IC. Konglomerat ten tworzą kolejno: niejednorodny gliniasty piasek 46, twarda, niejednorodna glina z wtrętami węgli 26, twarda, niejednorodna glina 11 oraz twarda, niejednorodna glina z wtrętami węgli 65.

Faza IE

Po zapewne częściowym zniwelowaniu stropu obsunięcia z fazy IIIB nadsypano wał (od strony południowej). Zidentyfikowano następujące warstwy powstałe w tej fazie:
- w ścianie zachodniej wykopu 1: niejednorodną, twardą glinę 27, niejednorodną glinę 23 oraz niejednorodną glinę z wtrętami węgli 41;
- w ścianie wschodniej wykopu 1: niejednorodną glinę z wtrętami węgli 58, niejednorodną piaszczystą glinę 63; oraz niejednorodną glinę z wtrętami węgli 62, twardy piasek z duża ilością drobnych węgielków 61, twardą, jednorodną glinę 73, niejednorodną, piaszczystą glinę 56, niejednorodną, piaszczystą glinę 54, twardą, niejednorodną piaszczystą glinę 64 oraz niejednorodną glinę z wtrętami węgli 41.

Ryc. 14. Urowo, st. 1. Przekrój przez wał w wykopie 1; widok od strony zachodniej (fot. D. Wach)

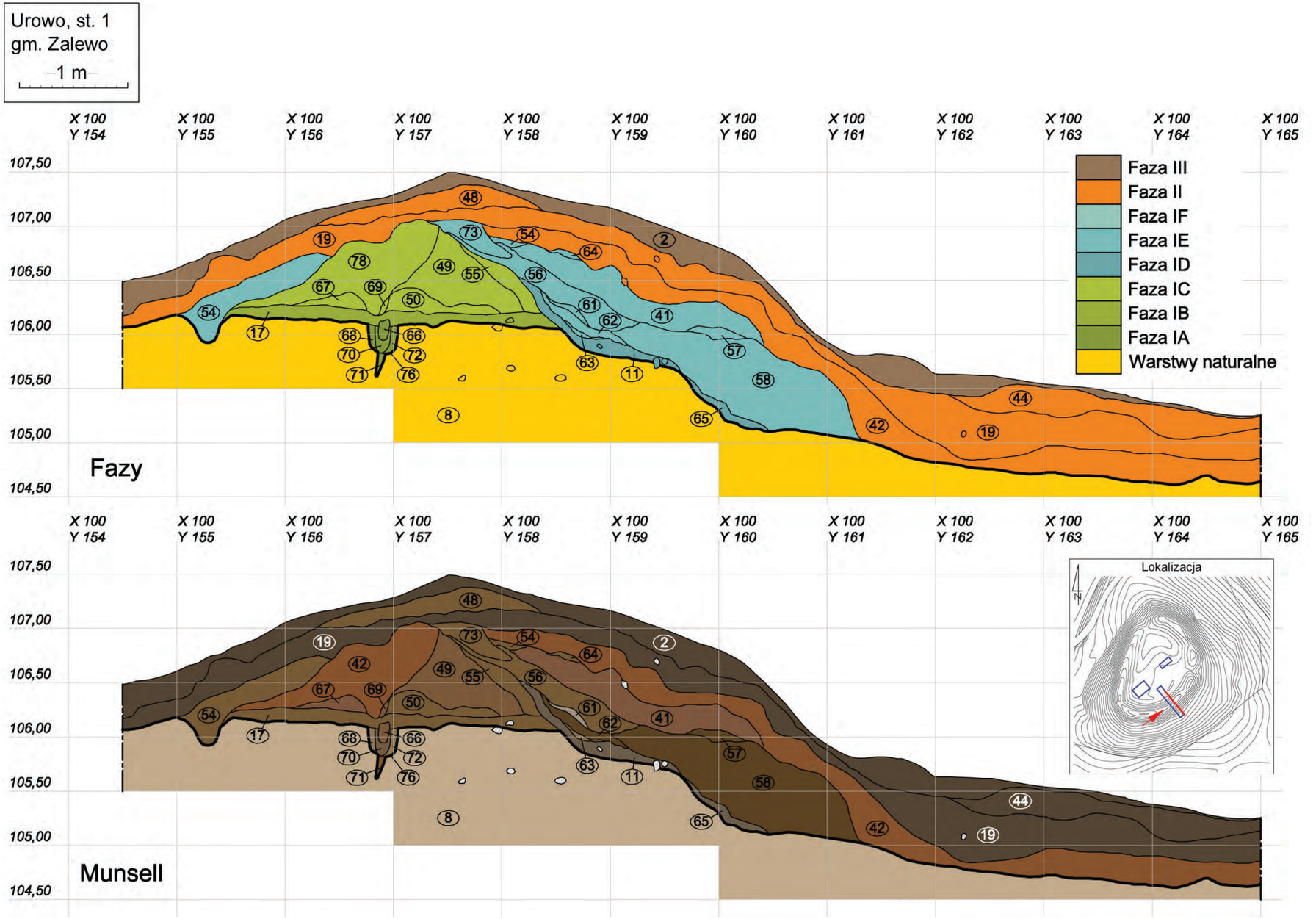

Ryc. 15. Urowo, st. 1. Przekrój przez wał w wykopie 1 (ściana wschodnia) (oprac. M. Rutyna, R. Solecki i D. Wach)

Urowo, st. 1
gm. Zalewo
1 m

Faza III
Faza II
Faza IF
Faza IE
Faza ID
Faza IC
Faza IB
Faza IA
Warstwy naturalne

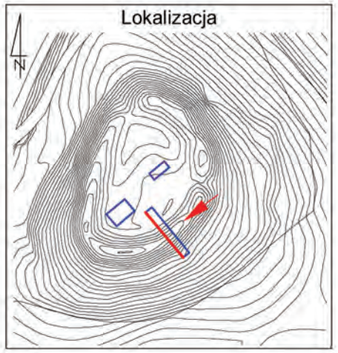

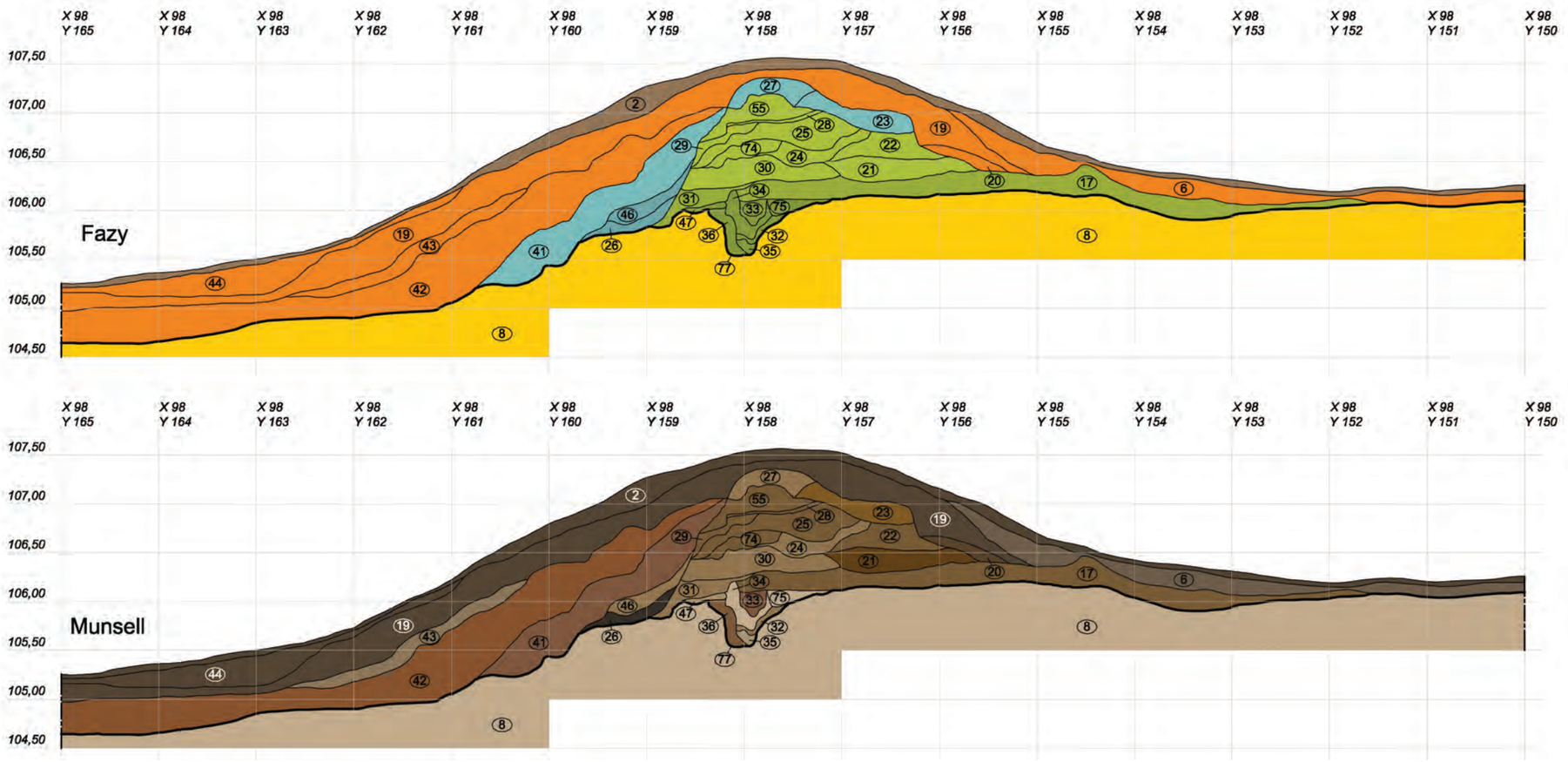

Ryc. 16. Urowo, st. 1. Przekrój przez główny wał w wykopie 1 (ściana zachodnia) (oprac. M. Rutyna, R. Solecki i D. Wach)

Faza IF

Fazę IF zidentyfikowano tylko w wykopie sondażowym na terenie osady. Z powodu znacznej odległości od grodziska niemożliwe było utożsamienie tej podfazy z podfazami zaobserwowanymi na wale i majdanie grodziska. W trakcie badań osady zidentyfikowano pozostałości owalnego zagłębienia wypełnionego warstwami przepalonej ziemi ze śladami węgla oraz grudkami przepalonej polepy. Ślady intensywnego działania ognia sugerują obecność w tym miejscu paleniska bądź pieca. W bezpośrednim sąsiedztwie wspomnianej jamy (częściowo w jej zachodniej ścianie), w południowej części wykopu znajdowały się dwa skupiska kamieni. Były to kamienie głównie małe (o średnicy od kilku do około 10 cm) z kilkoma większymi o średnicy dochodzącej do 0,3–0,4 m.

Ryc. 17. Urowo, st. 1. Przekrój przez wał w wykopie 1; widok od strony północno-wschodniej (fot. D. Wach)

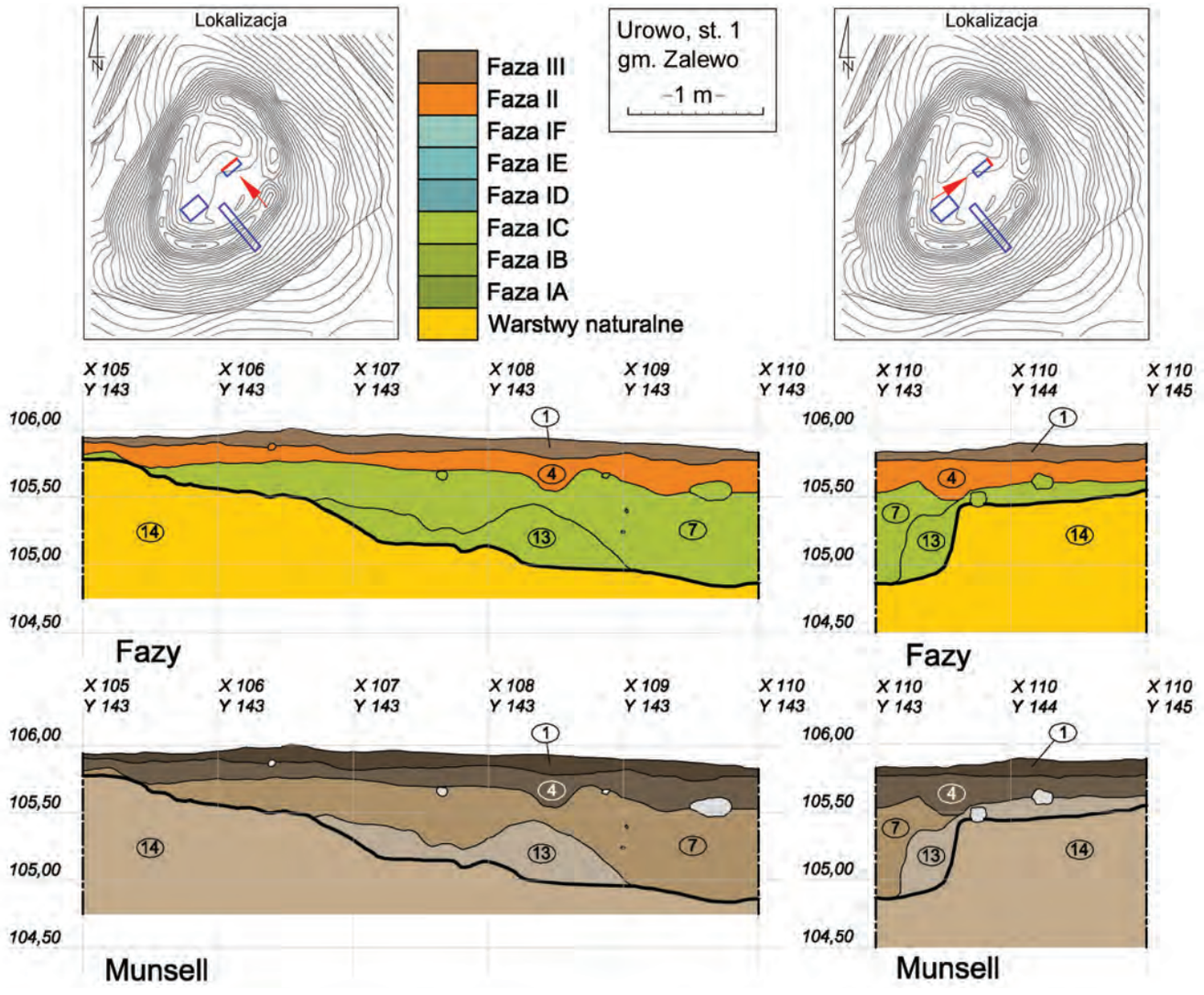

Ryc. 18. Urowo, st. 1. Ściana północna i wschodnia wykopu 2 (oprac. M. Rutyna, R. Solecki i D. Wach)

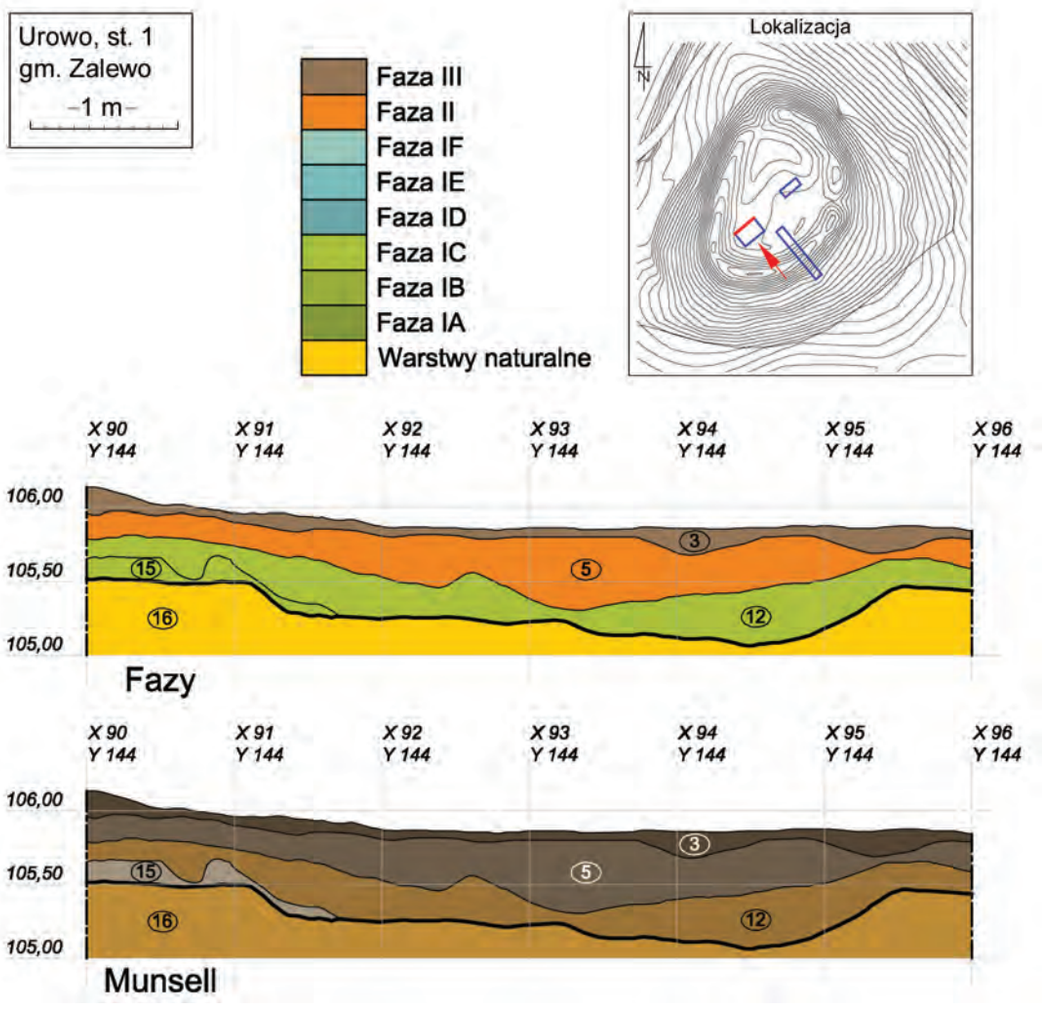

Ryc. 19. Urowo, st. 1. Ściana północna wykopu 3 (oprac. M. Rutyna, R. Solecki i D. Wach)

Faza II – opuszczenie grodziska

Po opuszczeniu grodziska jego wały uległy daleko idącej erozji i spłynęły w kierunku majdanu oraz fosy. W wykopie 1 z Fazą II możemy wiązać następujące warstwy: niejednorodną glinę z wtrętami węgli 42, twardą gilnę 19, twardą, jednorodną glinę 48, twardą, jednorodną glinę 4=5=6 oraz niejednorodny, twardy gliniasty piasek 44. W wykopie 2 i 3 faza ta jest reprezentowana przez twardą, jednorodną glinę 4=5=6.

Faza III – współczesny poziom użytkowy

W wykopach na terenie grodziska współczesny poziom użytkowy reprezentowany jest przez ziemisty, niejednorodny piasek 1=2=3. Natomiast w wykopie sondażowym na terenie osady zarejestrowano ziemisty, jednorodny piasek.

ZNALEZISKA

Ceramika z wczesnej epoki żelaza

Badania wykopaliskowe na terenie grodziska w Urowie, st. 1 dostarczyły łącznie 27 fragmentów ceramiki zabytkowej. Na wczesną epokę żelaza można datować 25 fragmentów. Pozyskany materiał był silnie rozdrobniony (tylko jeden fragment ceramiki miał około 5 cm szerokości). Brak części przykrawędnych naczyń uniemożliwił opracowanie typologii. Wydzielono tylko jedną grupę technologiczno-surowcową:

GT-S 1. Ceramika należąca do tej grupy wykonana została masy ceramicznej z dużą ilością średnio- i gruboziarnistej domieszki schudzającej – piasku oraz miki. Wypał jest utleniający. Grubość ścianki wynosi około 3–8 mm (średnio około 6–8 mm). Kolor ścian jest pomarańczowy, brązowy i szary, a przełam zazwyczaj dwukolorowy. Powierzchnia zewnętrza 17 fragmentów była wypłukana.

Tabela 2. Zestawienie ilościowe fragmentów ceramiki z grodziska w Urowie, st. 1 (oprac. M. Rutyna)

Jednostka stratygraficzna	Liczba fragmentów łącznie	Brzuśce				Fragmenty przepalone	Fragmenty o wypłukanej powierzchni	Chronologia		
		Liczba fr. ogółem	Rodzaj powierzchni					Wczesna epoka żelaza	Wczesne średniowiecze	Nowożytność
			Gładkie	Nieokreślone	Ornamentowane					
Faza IC										
7	1	1		1			1	1		
12	2	2		2			2	2		
Faza II										
4=5=6	7	7	4	3	1		3	6	1	
Faza III										
1=2=3	17	17	4	13		4	11	16		1
Suma	**27**	**27**	**8**	**19**	**1**	**4**	**17**	**25**	**1**	**1**

Tabela 3. Fragmentacja i erozja fragmentów ceramiki z grodziska w Urowie, st. 1 (oprac. M. Rutyna)

Jedn. strat.	Kategorie wielkościowe [cm]					Stopień erozji			Suma
	1	2	3	4	5	I	II	III	
1=2=3	1	6	4	5	1	2	12	3	**17**
4=5=6	3	4				2	3	1	**7**
7		1					1		**1**
12	1	1					1	1	**2**
Suma	**5**	**12**	**4**	**5**	**1**	**4**	**17**	**5**	**27**

Ceramika wczesnośredniowieczna

W warstwie 5 odkryto jeden niewielki fragment prawdopodobnie brzuśca z ornamentem żłobkowym. Wypalony został w atmosferze utleniającej, a masa garncarska zawiera stosunkowo niewielką ilość średnioziarnistej domieszki.

Ceramika nowożytna

W warstwie 1 znaleziono jeden niewielki fragment prawdopodobnie brzuśca naczynia nowożytnego.

CHRONOLOGIA STANOWISKA

Na podstawie analizy materiału ceramicznego można ustalić chronologię stanowiska. Ogromna większość znalezionych fragmentów ceramiki reprezentuje kulturę kurhanów zachodniobałtyjskich. W warstwach interpretowanych jako Faza I, czyli budowa i funkcjonowanie grodziska, odkryto tylko trzy fragmenty ceramiki z wczesnej epoki żelaza. Natomiast z warstw powstałych po opuszczeniu grodziska (Faza II[7]) pozyskano sześć fragmentów datowanych na tę epokę, a z poziomu współczesnego (Faza III[8]) aż 17.

DZIEJE GRODZISKA W UROWIE, ST. 1

Zapewne we wczesnej epoce żelaza wzniesiono wał grodziska. Z okresem tym należy wiązać funkcjonowanie majdanu oraz osady przygrodowej. Na podstawie znikomej ilości ceramiki i innych zabytków można przypuszczać, że grodzisko użytkowano w mało intensywny sposób. Jeden fragment ceramiki wczesnośredniowiecznej sugeruje sporadyczną obecność człowieka na tym miejscu również w tym okresie, jednak jednofazowa konstrukcja wału wyklucza możliwość użytkowania grodu wówczas w celach obronnych.

[7] W warstwie 5 (Faza II) odkryto jeden fragment ceramiki z ornamentem żłobkowym, który należy datować na wczesne średniowiecze.

[8] W warstwie 1 (Faza III) znaleziono jeden fragment ceramiki datowanej na czasy nowożytne.

Wieprz, st. 1 – wyspa Bukowiec

Gmina Zalewo

Powiat iławski

AZP 25-53/1

Współrzędne geograficzne:

N 53° 44’ 8’’

E 19° 36’ 40’’

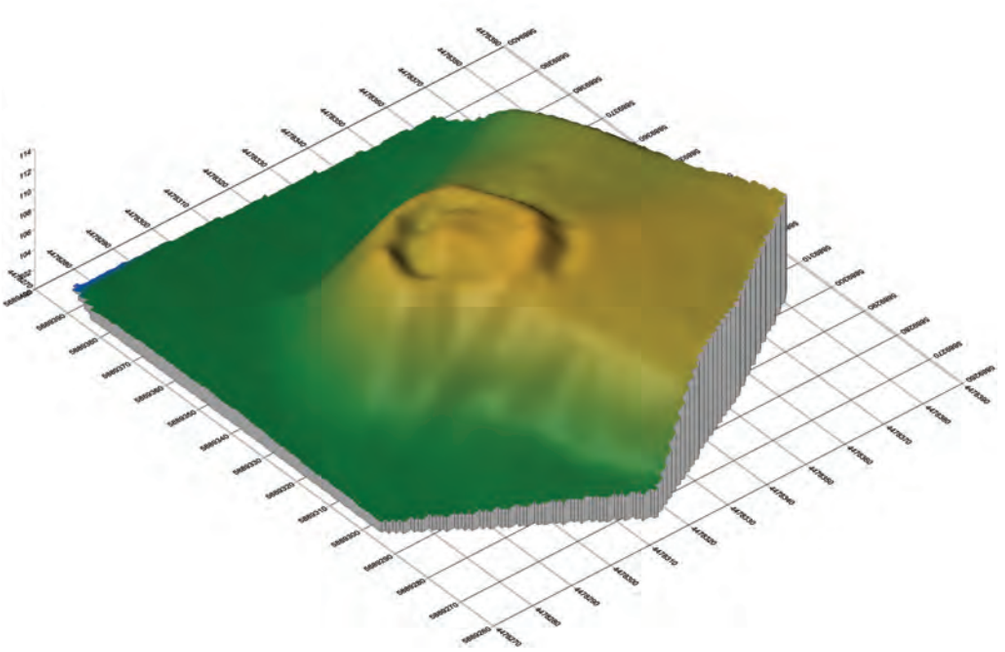

Ryc. 1. Grodzisko w Wieprzu, st. 1 – wyspa Bukowiec na mapie w skali 1:25 000 (na podstawie materiałów CODGiK, oprac. R. Solecki)

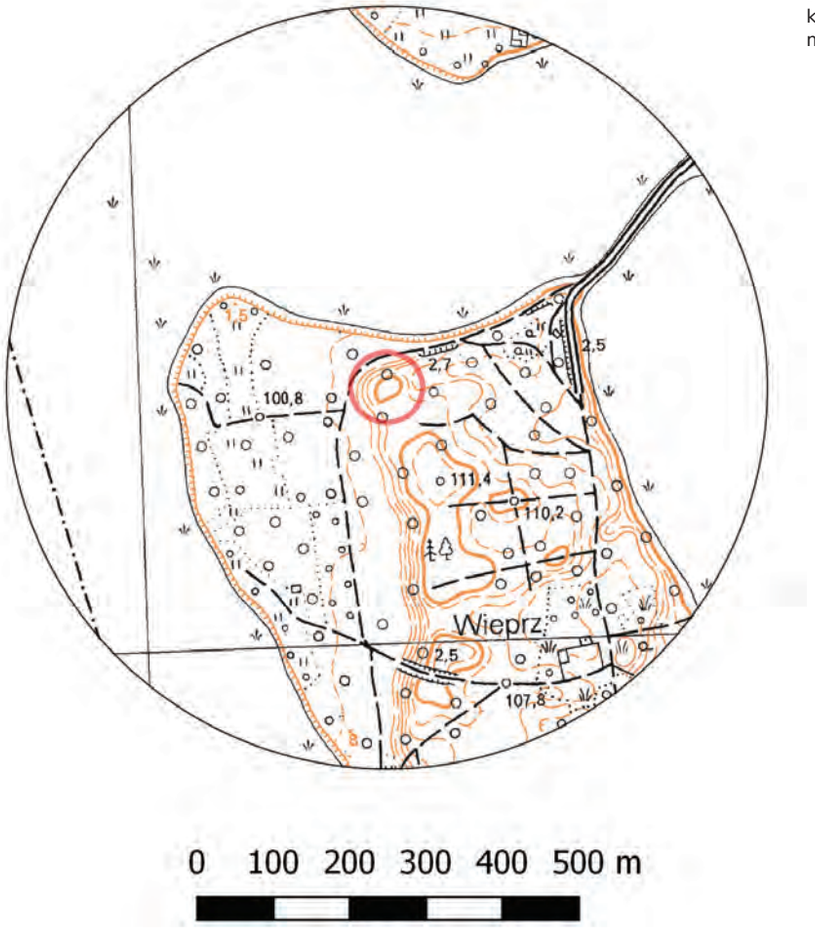

Ryc. 2. Grodzisko w Wieprzu, st. 1 – wyspa Bukowiec na mapie w skali 1:10 000 (na podstawie materiałów CODGiK, oprac. R. Solecki)

POŁOŻENIE GRODZISKA I JEGO FORMA

MAGDALENA RUTYNA I DARIUSZ WACH

Grodzisko na wyspie Bukowiec na jeziorze Jeziorak wzniesiono w północnej części naturalnej wysoczyzny (ryc. 1–5). Grodzisko ma kształt koła o wymiarach około 40 x 40 m. W północnej i zachodniej części założenia wał stromo opada w stronę jeziora Jeziorak. Majdan od strony północnej, wschodniej i zachodniej otacza wewnętrzna fosa i wał (ryc. 6–7). Poziom wody w Jezioraku położony jest na wysokości około 99,0 m n.p.m., a najwyższy punkt obiektu znajdujący się na południowym wale osiąga 112,32 m n.p.m. Zbocza obiektu od strony północnej i zachodniej mają wysokość około 10 m i duże nachylenie, natomiast od strony południowej i wschodniej obiekt otacza sucha fosa, szeroka na 3–4 m (ryc. 8–9).

Ryc. 3. Grodzisko w Wieprzu, st. 1 – wyspa Bukowiec. Widok od wschodu (fot. J. Wysocki)

Ryc. 4. Grodzisko w Wieprzu, st. 1 – wyspa Bukowiec. Widok od południa (fot. J. Wysocki, oprac. M. Rutyna)

ŚRODOWISKO FIZYCZNO-GEOGRAFICZNE

JERZY NITYCHORUK I FABIAN WELC

Na *Szczegółowej mapie geologicznej Polski 1:50 000 ark. Dobrzyki*[1] wyspa Bukowiec jest zbudowana z piasków i żwirów wodnolodowcowych stadiału górnego zlodowacenia Wisły. Na obrzeżach wyspy występują mułki i piaski jeziorne, które tworzyły się w holocenie. Gleby na wyspie są słabo urodzajne, są to głównie gleby bielicowe V i VI klasy (ryc. 10).

Ryc. 5. Grodzisko w Wieprzu, st. 1 – wyspa Bukowiec. Panorama wnętrza grodziska (fot. J. Wysocki, oprac. M. Rutyna)

W ramach badań geologicznych wykonano 12 wierceń, które posłużyły do sporządzenia przekrojów A–B i C–D (ryc. 11–12).

Najstarszym osadem (wydzielenie 1), udokumentowanym na przekroju C–D, jest glina zwałowa barwy brązowej, nawiercona w otworze W3m zlokalizowanym w najniższej części majdanu. Jej strop występuje na wysokości 104,8 m n.p.m. Na glinie leżą piaski drobnoziarnisty, średnioziarnisty i gruboziarnisty, żółto-brązowy, miejscami warstwowane horyzontalnie, a miejscami lekko skośnie, z dużą ilością minerałów ciemnych (wydzielenie 2). Osady te są powszechne

Ryc. 6. Grodzisko w Wieprzu, st. 1 – wyspa Bukowiec. Fosa wewnętrzna w północno-zachodniej części grodziska (fot. J. Wysocki)

[1] Rabek i Narwojsz 2008.

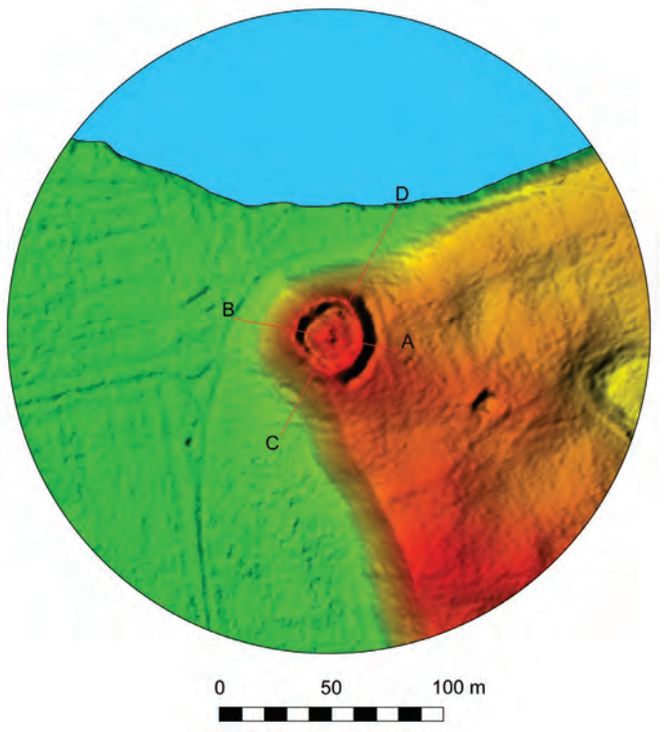

Ryc. 7. Grodzisko w Wieprzu, st. 1 – wyspa Bukowiec na zobrazowaniu ALS (na podstawie materiałów CODGiK, oprac. R. Solecki).

na opracowywanym stanowisku i widoczne na obu przekrojach geologicznych. Ich wykształcenie frakcjonalne i warstwowania, pozwalają badaną formę morfologiczną uznać za kem.

Jezioro Jeziorak jest klasycznym przykładem jeziora rynnowego. W profilu rynien subglacjalnych charakterystyczne są obniżenia, obecnie zajęte przez wody jezior, i wyniesienia – takie jak wyspa Bukowiec, gdzie odbywała się sedymentacja piasków kemowych, między bryłami wytapiających się lodów.

Wydzielenie 3 obejmuje osady przekształcone przez człowieka, budujące zarówno wały, jak obszar majdanu. Jest to głównie piasek drobnoziarnisty i średnioziarnisty, z domieszką węgli drzewnych i organiki. Osady tego typu występują w wałach, w północnej części obiektu, ich miąższość osiąga około 1,5 m (wiercenie W4m, na przekroju C–D).

Wypełnieniem suchych fos i zagłębień w obrębie majdanu – fos wewnętrznych (?), jest piasek drobnoziarnisty i średnioziarnisty miejscami z pojedynczym żwirem i organiką, ciemnobrązowy (warstwa 4). Fosa zewnętrzna (wiercenie W2r, na przekroju A–B) i fosa wewnętrzna (wiercenia W3m i W5r, na przekroju C–D) osiągają odpowiednio 1,0 i 1,5 m głębokości. Prawdopodobnie oba rodzaje fos były źródłem materiału przy budowie obwałowania obiektu.

Profil wiercenia W3m (przekrój C–D) i wiercenia W1m (przekrój A–B), dokumentują w stropie 1,0 m

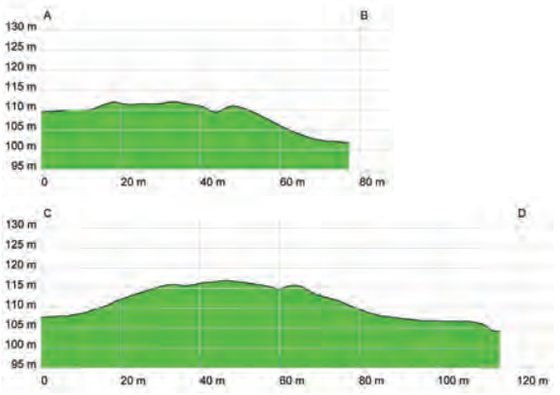

Ryc. 8. Przekroje grodziska w Wieprzu, st. 1 – wyspa Bukowiec uzyskane z danych ALS (na podstawie materiałów CODGiK, oprac. R. Solecki)

miąższości warstwy humusu (wydzielenie 5). O ile w wierceniu W3m humus pochodzi z liści i jest wynikiem zapełzywania fosy wewnętrznej, to w wierceniu W1m jest to mrowisko na hałdzie kompostowej.

BADANIA ARCHEOLOGICZNE

MAGDALENA RUTYNA I DARIUSZ WACH

Przebieg badań terenowych

Grodzisko w Wieprzu znane jest pod nazwą *Schloss* z rękopiśmiennego planu starostwa miłomłyńskiego z roku 1720[2]. W 1930 roku Carl Engel wykonał rysunek przedstawiający obiekt o wymiarach 30 x 35 m z zaznaczonym podkowiastym wałem[3]. W 1940 roku, niejaki Albrecht z Królewca, nauczyciel w miejscowej szkole, miał prowadzić na terenie grodziska amatorskie wykopaliska. W trakcie badań podobno znalazł ślady obwarowań z dębowych pali. Po II wojnie światowej kilkakrotnie dokonywano inspekcji terenowych, m.in. w 1968 r. (M. Haftka), w 1986 oraz w 2002 r. (M.J. Hoffmann)[4].

W 1997 r. badania wykopaliskowe na terenie grodziska przeprowadził Instytut Archeologii Uniwersytetu Mikołaja Kopernika w Toruniu. Wykonano wówczas wiercenia geomorfologiczne oraz otworzono na majdanie jeden wykop sondażowy o wymiarach 2 x 2 m[5]. Autorzy badań doszli do następujących wniosków: „W chwili obecnej wydaje się być najwłaściwszym stwierdzenie – sprzeczne niestety z dotychczasową wiedzą na temat tego obiektu – że

[2] Szczepański 2013: 245.

[3] Prussia-Archiv PM-A 601/1.

[4] Archiwum WUOZ w Olsztynie, Delegatura w Elblągu, teczka: Wieprz; por. Kobyliński *et al.* 2013: 309.

[5] Archiwum WUOZ w Olsztynie, Delegatura w Elblągu, teczka: Wieprz; por. Kobyliński *et al.* 2013: 309–310.

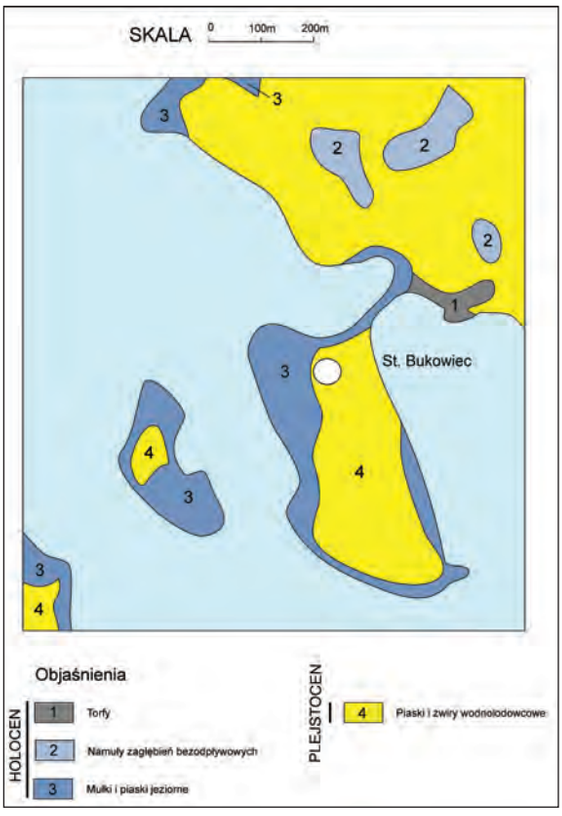

Ryc. 9. Mapa geologiczna okolic grodziska w Wieprzu, st. 1 – wyspa Bukowiec (oprac. J. Nitychoruk i F. Welc)

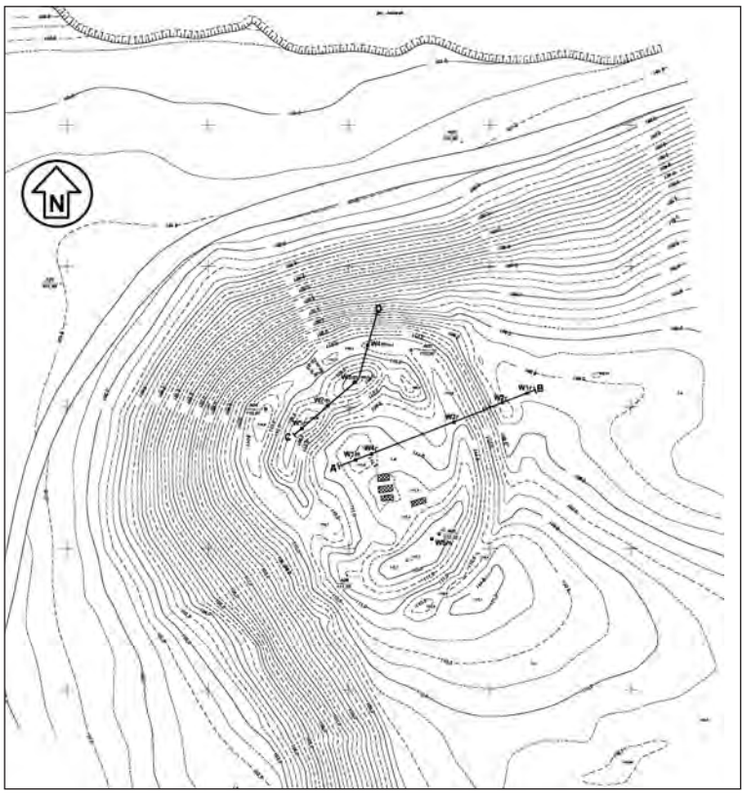

Ryc. 10. Plan warstwicowy grodziska w Wieprzu, st. 1 – wyspa Bukowiec (wyk. J. Błaszczyk) z zaznaczonymi miejscami wierceń geologicznych (oprac. J. Nitychoruk i F. Welc)

badane stanowisko uznać należy za pozostałość umocnień obronnych typu okop-szaniec, związanych już z okresem nowożytnym (okres wojen napoleońskich?). Świadczyć o tym może zarówno niewielka skala samego założenia, usytuowanie majdanu w stosunku do słabo zaznaczonych wałów i fosy (sprzeczne z zasadami stosowanymi przy fortyfikacjach wczesnośredniowiecznych – wypiętrzenie majdanu ponad koronę wału/nasypu) oraz występowanie rynnowatego zagłębienia wewnątrz obiektu, którego metrykę ze względu na niewielki stopień zaawansowania procesów stratyfikacyjnych można do czasów nowożytnych (pozostałość rowów strzelniczych), jak i topografia stanowiska, zajmującego pagórek o niewielkiej ekspozycji, dalej brak wyraźnego naturalnego odcięcia od południowej części wyspy, a więc od strony narażonej na ewentualny atak”[6].

W celu weryfikacji tych kontrowersyjnych stwierdzeń, w 2012 r., przeprowadzono w ramach realizacji projektu *Katalog grodzisk Warmii i Mazur* badania wykopaliskowe grodziska na wyspie Bukowiec w Wieprzu. Otworzono cztery wykopy (oznaczone cyframi 1–4) o łącznej powierzchni 120 m² (ryc. 12). Wykop

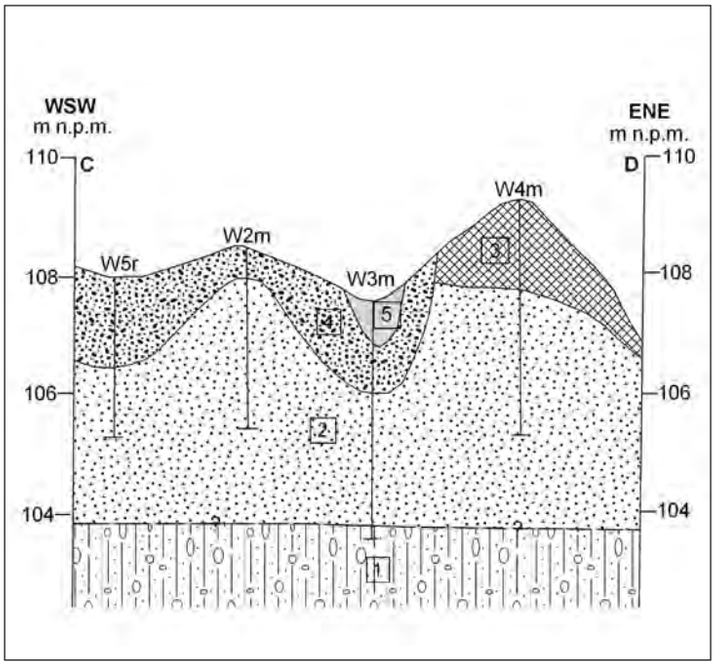

Ryc. 11. Wieprz, st. 1 – wyspa Bukowiec. Przekrój geologiczny: 1 – glina zwałowa, 2 – piasek różnoziarnisty, 3 – osady antropogeniczne (warstwa kulturowa), 4 – piasek z organiką (wypełnisko fos), 5 – humus (oprac. J. Nitychoruk i F. Welc)

[6] Chudziak i Bojarski 1997b.

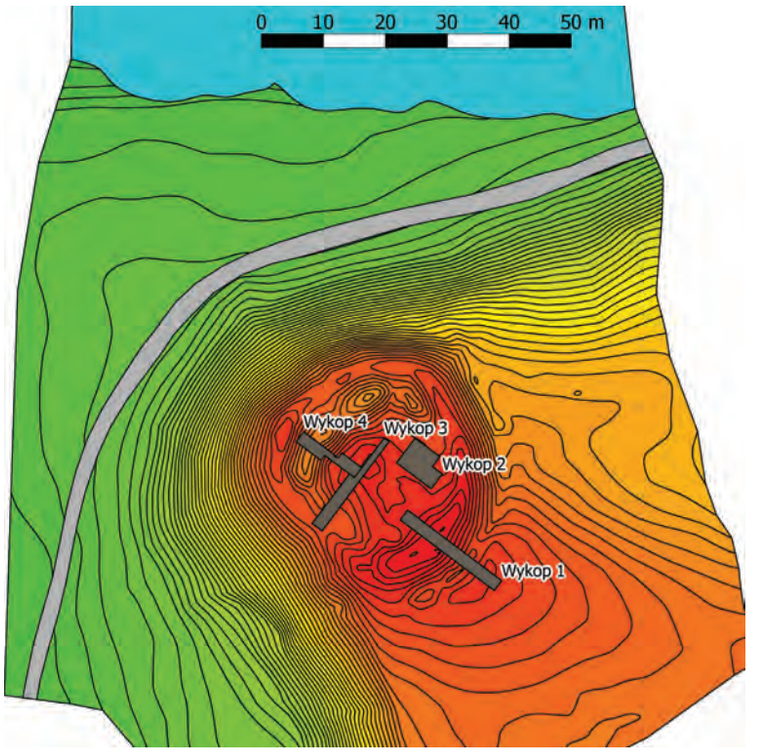

Ryc. 12. Plan sytuacyjno-wysokościowy grodziska w Wieprzu, st. 1 – wyspa Bukowiec z rozmieszczeniem wykopów z sezonów 2013 i 2016 (na podstawie pomiarów J. Błaszczyka, oprac. R. Solecki)

1 usytuowano w południowo-wschodniej części grodziska w taki sposób, że przecinał całą konstrukcję wału. Wykop miał 19 m długości i 2 m szerokości. Jego krawędź południowo-wschodnia znajdowała się na polanie leżącej na zewnątrz grodziska, a północno-zachodnia – na jego majdanie. Wykop 2 wytyczono na majdanie grodziska. Obejmował on swym zasięgiem 7 m długości i 5 m szerokości. Wykop 3 założono na zachód od wykopu 2. Południowo-zachodnia część wykopu przecinała fosę wewnętrzną, a północno-wschodnia część wchodziła na majdan grodziska. W pierwszym etapie prac otworzono wykop o wymiarach 9 m długości i 2 m szerokości. W drugim etapie powiększono wykop w kierunku północno-wschodnim o 9 m długości i 1 m szerokości. Wykop 4 usytuowano w północno-zachodniej części grodziska. Północno-zachodnia część wykopu przecinała fosę wewnętrzną, a część południowo-wschodnia wchodziła na majdan grodziska. W pierwszym etapie prac otworzono wykop o wymiarach 5 m długości i 2 m szerokości. W drugim etapie powiększono wykop w kierunku południowo-wschodnim o 5 m długości i 2 m szerokości, tym samym połączono go z wykopem 3[7].

[7] Kobyliński *et al.* 2013: 310–313.

Stratygrafia stanowiska

W trakcie badań archeologicznych przeprowadzonych w 2012 roku wydzielono łącznie 114 jednostek stratygraficznych, które podzielono na cztery główne fazy związane z użytkowaniem tego stanowiska (tab. 1 i ryc. 13–23).

Warstwy naturalne

Zidentyfikowano następujące warstwy naturalne: 35 (W1), 43 (W2), 101 (W3) i 136 (W4). W wykopie 1 (wał, zagłębienie przywałowe i majdan) i 3 (fosa i majdan) warstwy kulturowe zalegały na drobnoziarnistym piasku z dużą ilością drobnych wytrąceń żelazistych. Natomiast w wykopach 2 (majdan) oraz 4 (fosa) spoczywały na drobnoziarnistym, jednorodnym piasku.

Faza I – otwarte osadnictwo w epoce neolitu / brązu

Faza I związana jest z użytkowaniem stanowiska w późnej epoce neolitu lub w początkach epoki brązu. W wykopie 1 zadokumentowano dwie warstwy użytkowe: drobnoziarnisty piasek 18 oraz niejednorodny, sypki piasek 72. W wykopie 2 horyzont ten reprezentuje niejednorodny, sypki piasek 25. Natomiast w wykopie 3 z tą fazą należy wiązać niejednorodny piasek 55 oraz drobnoziarnisty, jednorodny piasek 112.

Faza II – wczesna epoka żelaza (?)

Prawdopodobnie we wczesnej epoce żelaza starsze nawarstwienia kulturowe z epoki neolitu / brązu oraz warstwy powstałe w wyniku naturalnego procesu narastania gleby wykorzystano do budowy wałów grodziska.

Podfaza IIA – wyprofilowanie dna fosy wewnętrznej

W fazie tej ukształtowano dno fosy wewnętrznej w zachodniej części grodu (W3). Fosa 100 w wykopie 3 ma szerokość około 4,20 m, a jej najniższy punkt znajduje się na poziomie 108,50 m n.p.m. Różnica wysokości pomiędzy dnem fosy, a majdanem po osi profilu W wynosi około 2 m. Fosa miała U-kształtny przekrój. Na jej dnie odkryto ślad po słupie. Obiekt 108a, o wymiarach 10 x 20 cm i głębokości ok. 50 cm, w planie miał kształt połowy owalu, w przekroju natomiast był U-kształtny. Jego wypełnisko tworzył sypki, drobno- i średnioziarnisty piasek 108.

Podfaza IIB – naturalne narastanie gleby

Fazę IIB zaobserwowano tylko w fosie wewnętrznej 100 w wykopie 3. W wyniku procesu naturalnego

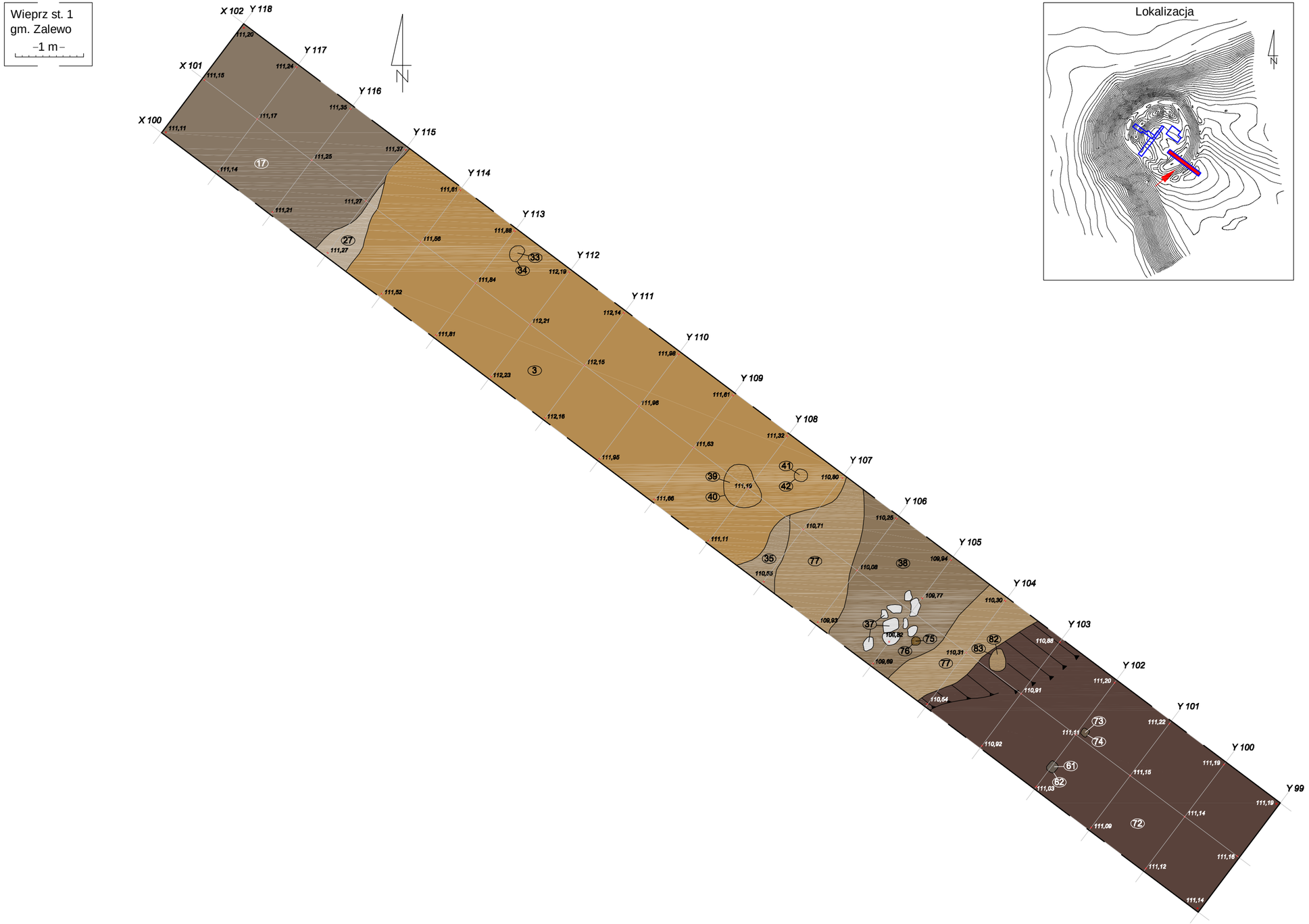

Ryc. 13. Wieprz, st. 1 – wyspa Bukowiec. Plan obiektów i nawarstwień w wykopie 1 (oprac. M. Rutyna, D. Wach i R. Solecki)

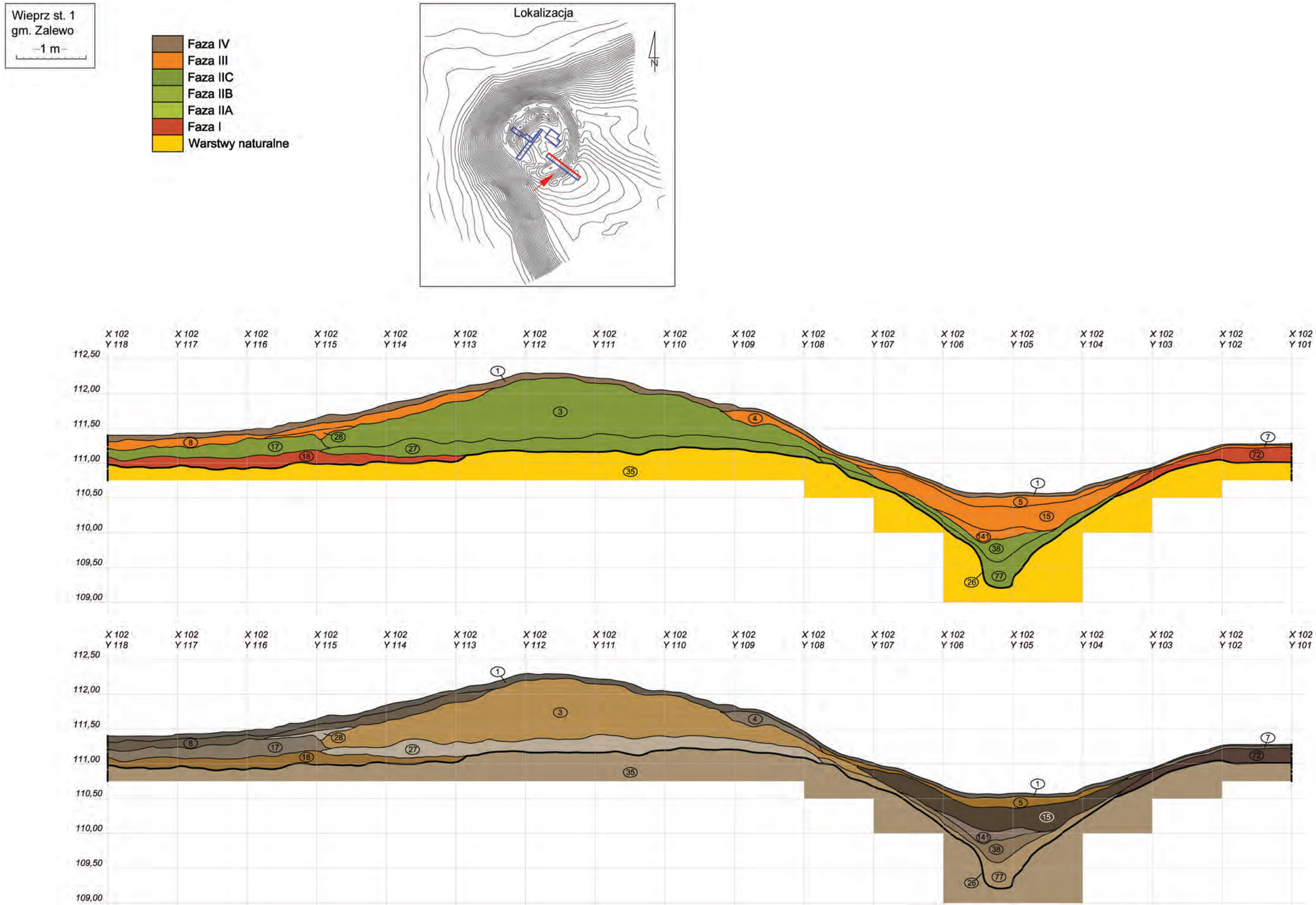

Ryc. 14. Wieprz, st. 1 – wyspa Bukowiec. Stratygrafia stanowiska widoczna we wschodniej ścianie wykopu 1 (oprac. M. Rutyna, D. Wach i R. Solecki)

Wieprz st. 1
gm. Zalewo
–1 m–

Faza IV
Faza III
Faza IIC
Faza IIB
Faza IIA
Faza I
Warstwy naturalne

Lokalizacja

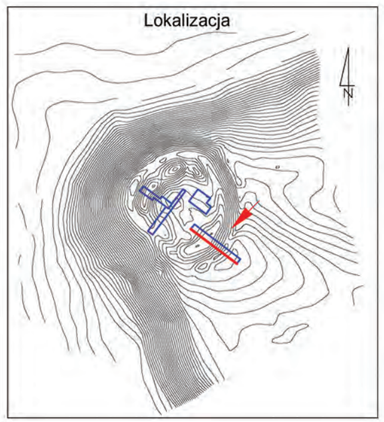

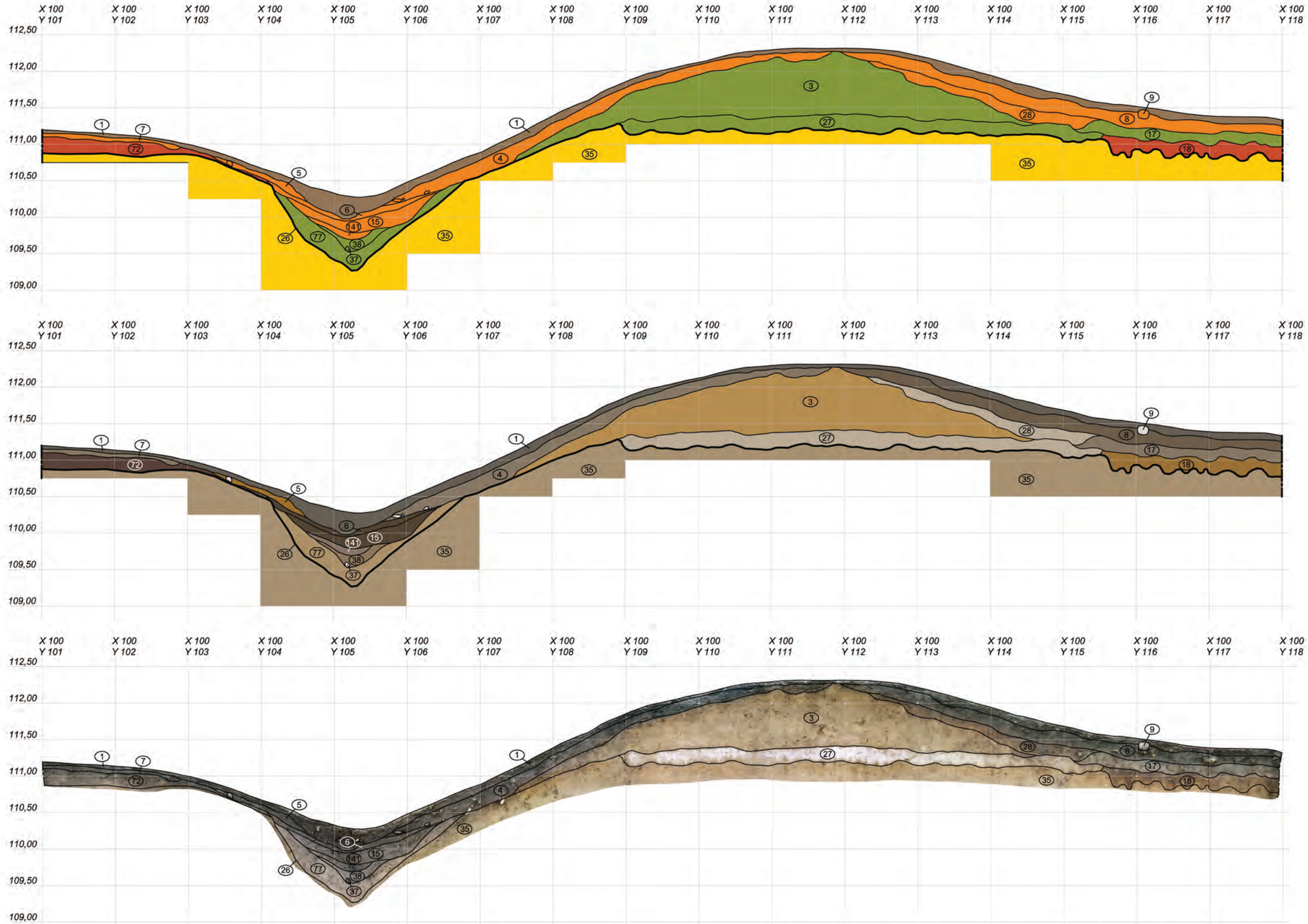

Ryc. 15. Wieprz, st. 1 – wyspa Bukowiec. Stratygrafia stanowiska widoczna w zachodniej ścianie wykopu 1 (oprac. M. Rutyna, D. Wach i R. Solecki)

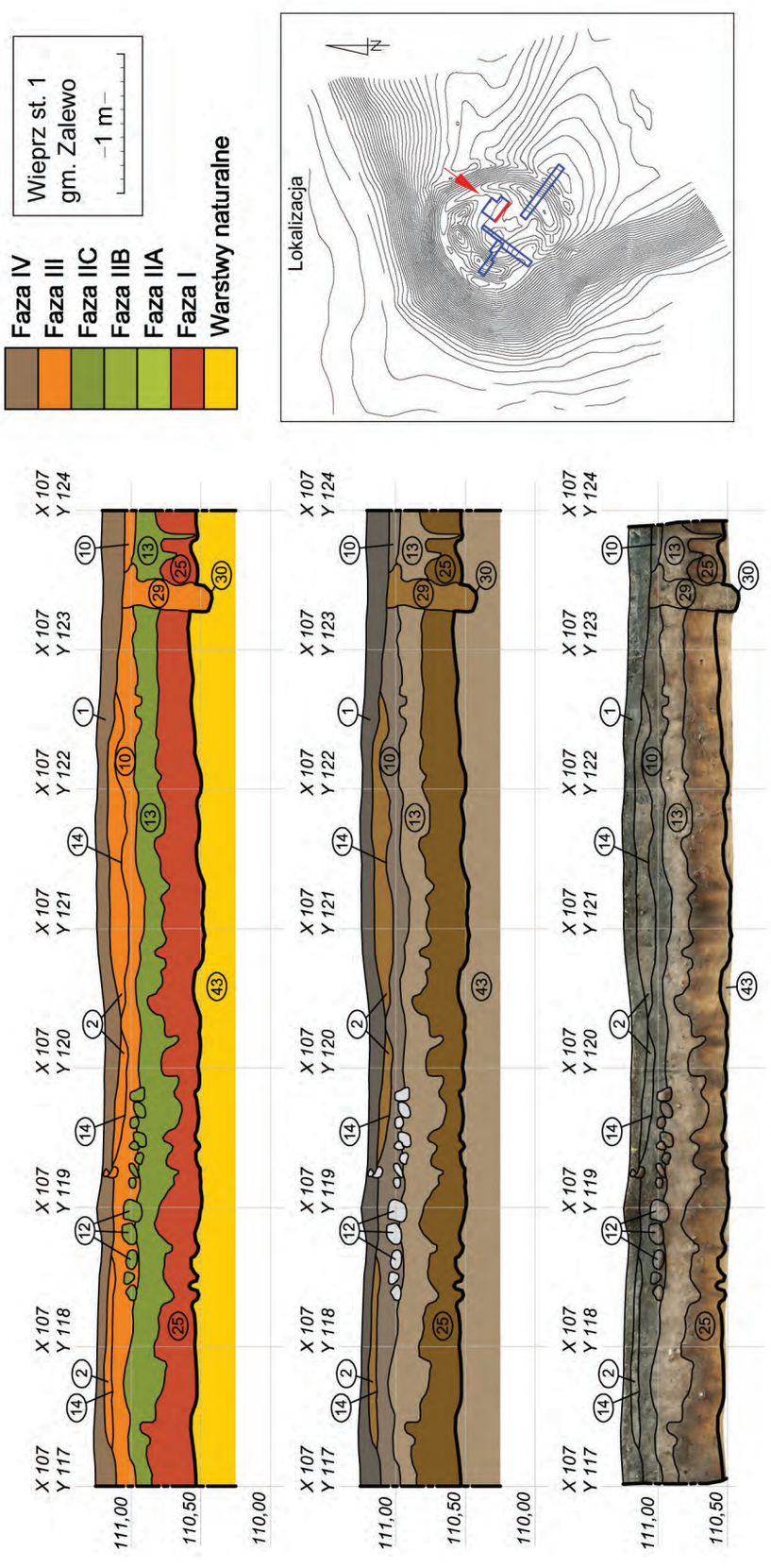

Ryc. 16. Wieprz, st. 1 – wyspa Bukowiec. Stratygrafia stanowiska widoczna w zachodniej ścianie wykopu 2 (oprac. M. Rutyna, D. Wach i R. Solecki)

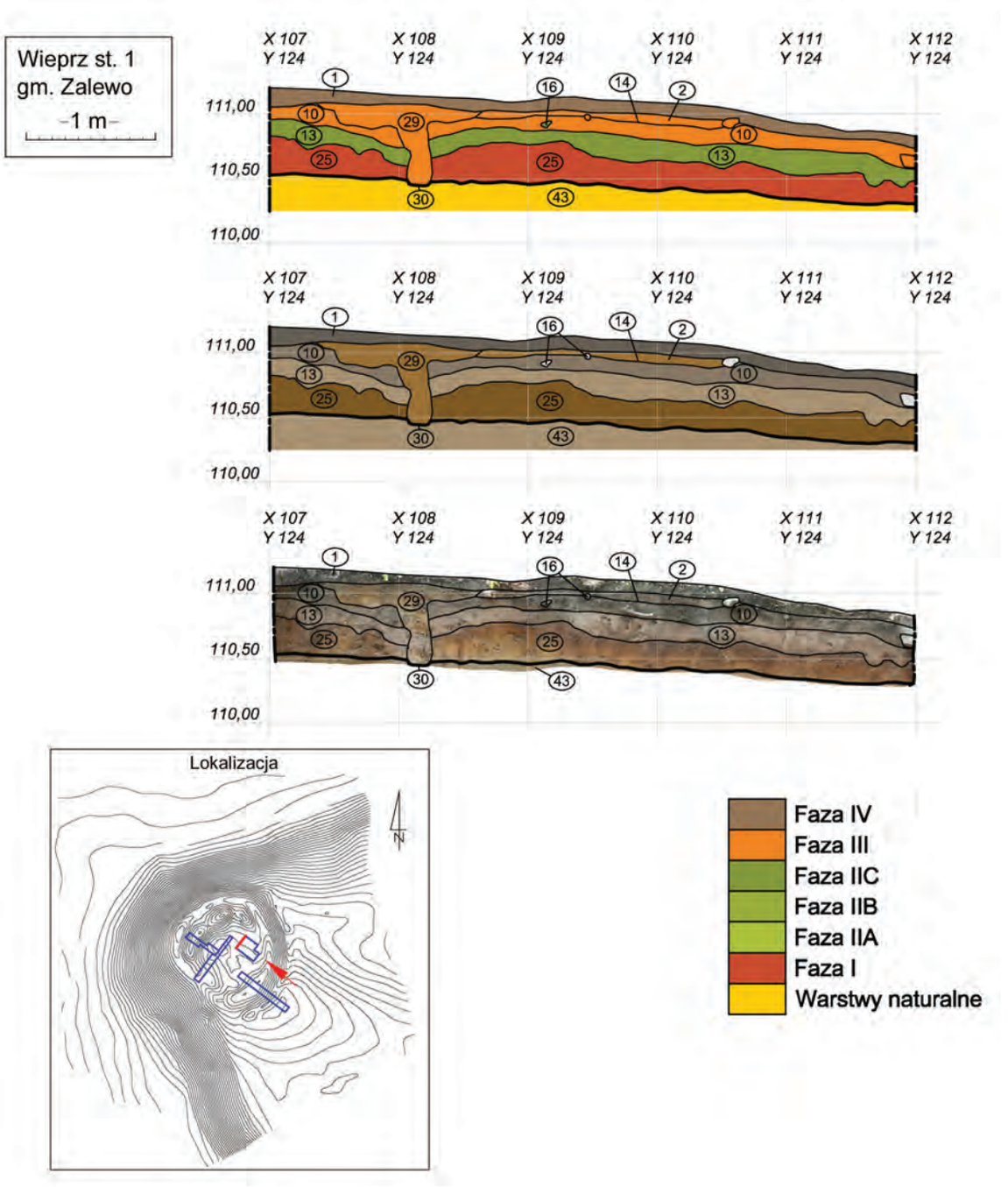

Ryc. 17. Wieprz, st. 1 – wyspa Bukowiec. Stratygrafia stanowiska widoczna w północnej ścianie wykopu 2 (oprac. M. Rutyna, D. Wach i R. Solecki)

Wieprz st. 1
gm. Zalewo
1 m

Faza IV
Faza III
Faza IIC
Faza IIB
Faza IIA
Faza I
Warstwy naturalne

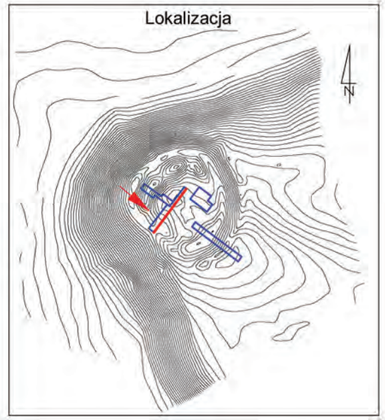

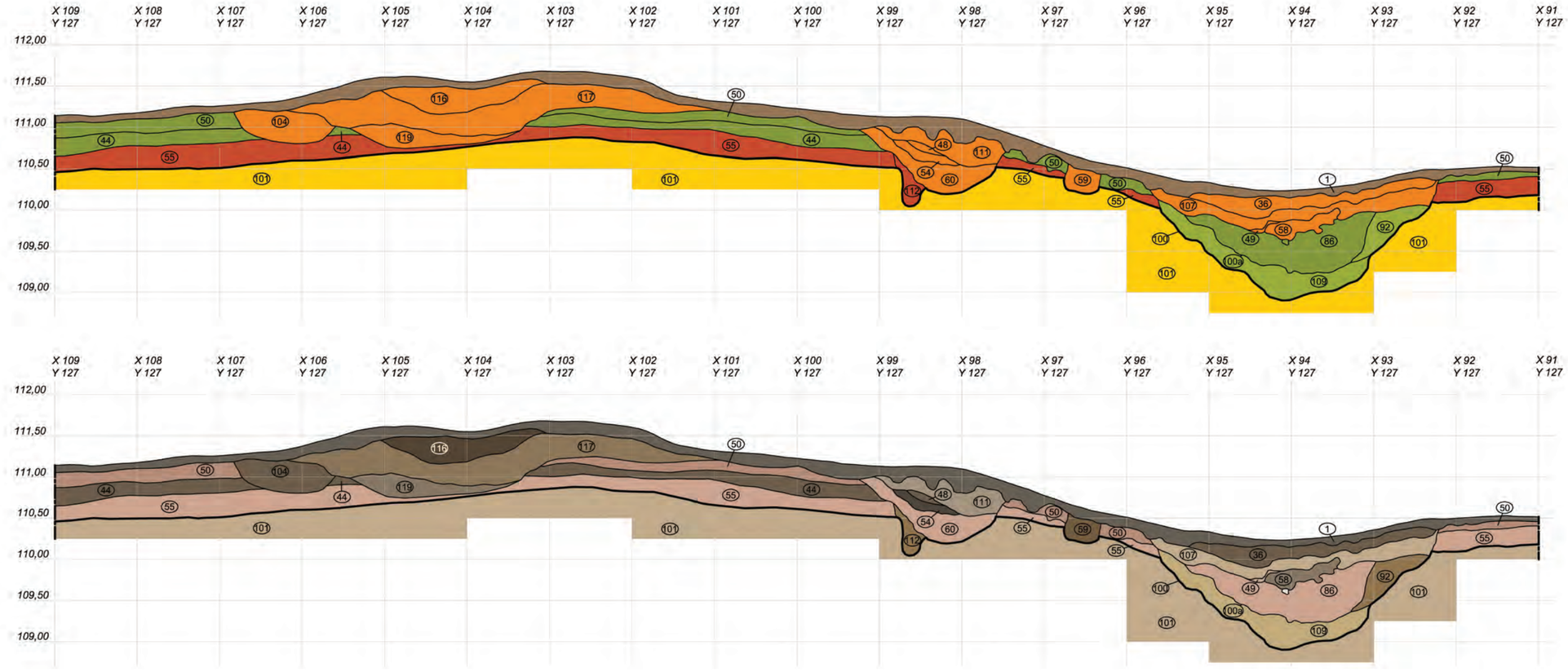

Ryc. 18. Wieprz, st. 1 – wyspa Bukowiec. Stratygrafia stanowiska widoczna w południowej ścianie wykopu 3 (oprac. M. Rutyna, D. Wach i R. Solecki)

Wieprz st. 1
gm. Zalewo
1 m

Faza IV
Faza III
Faza IIC
Faza IIB
Faza IIA
Faza I
Warstwy naturalne

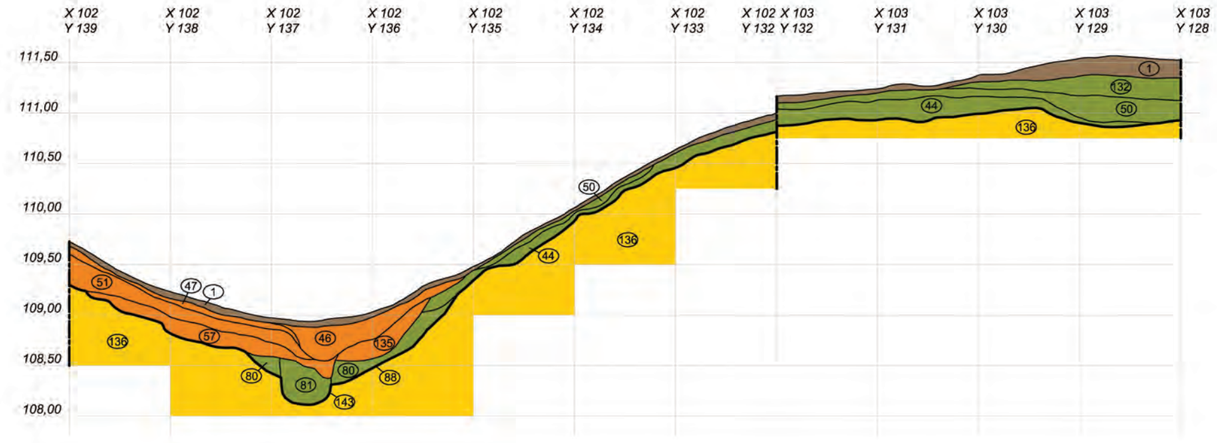

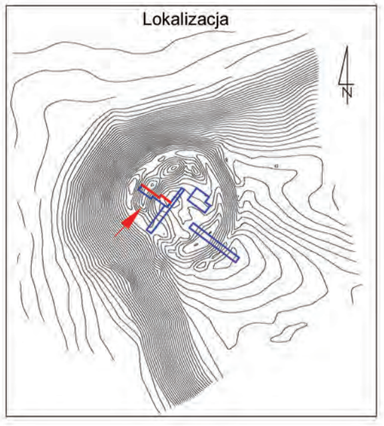

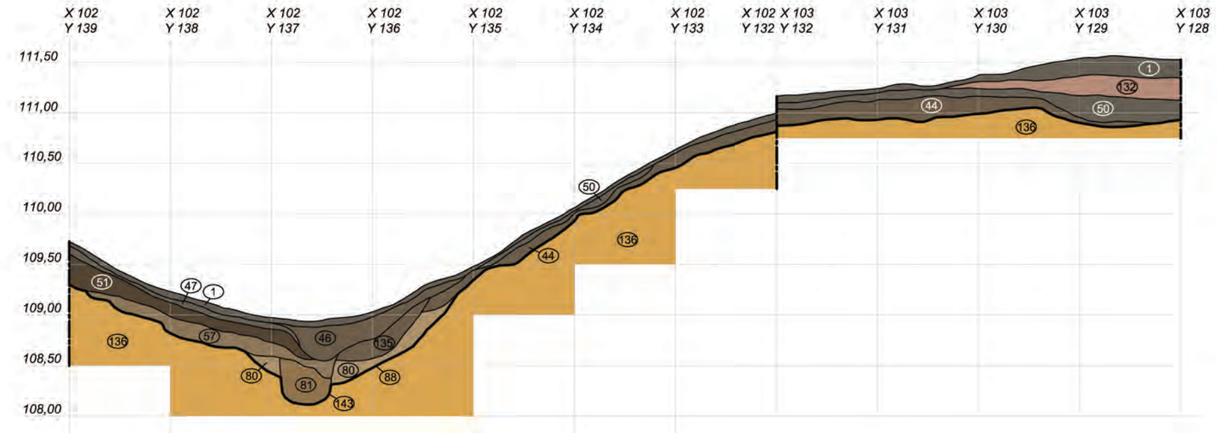

Ryc. 19. Wieprz, st. 1 – wyspa Bukowiec. Stratygrafia stanowiska widoczna we wschodniej ścianie wykopu 4 (oprac. M. Rutyna, D. Wach i R. Solecki)

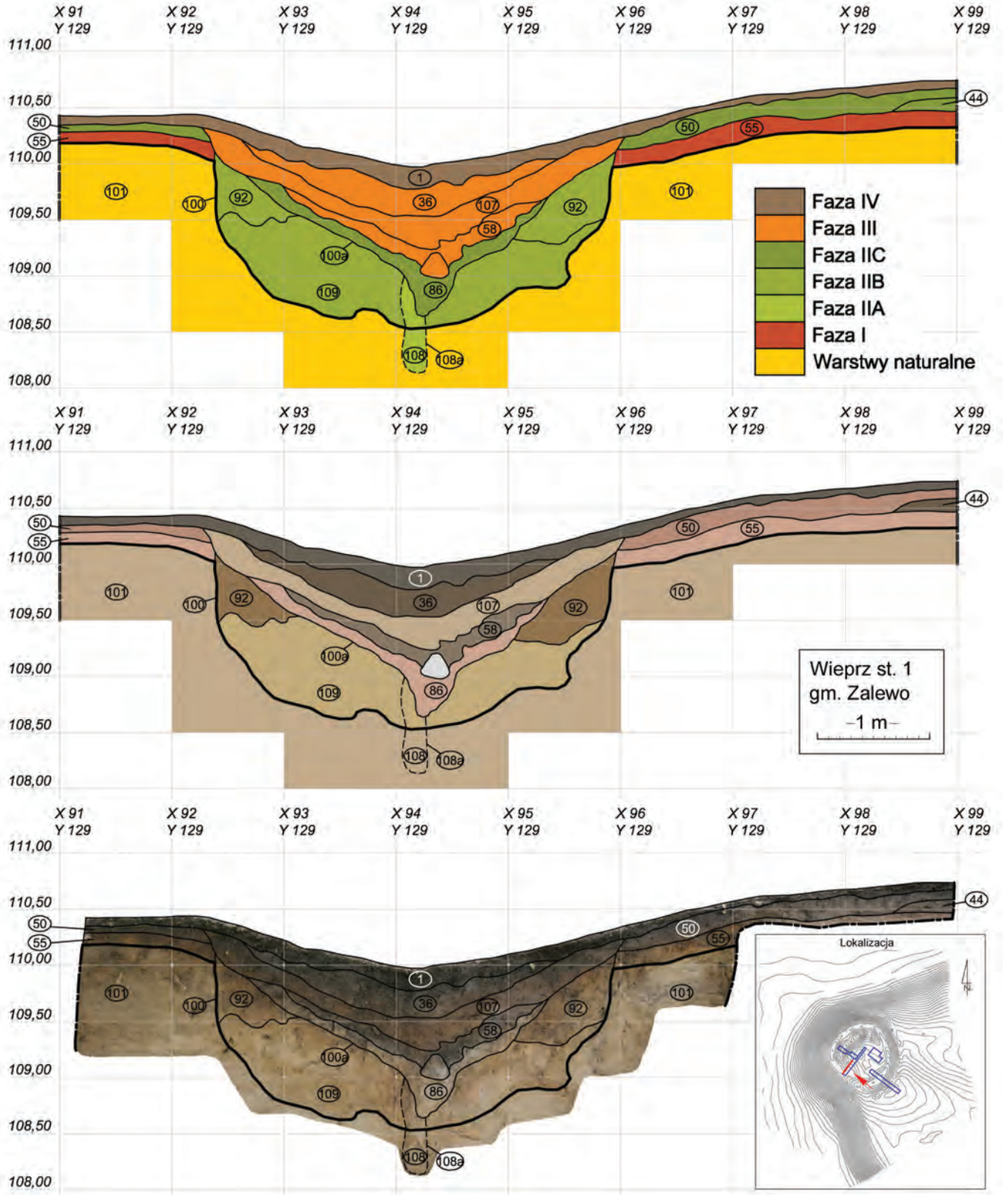

Ryc. 20. Wieprz, st. 1 – wyspa Bukowiec. Stratygrafia stanowiska widoczna w północnej ścianie wykopu 3 (oprac. M. Rutyna, D. Wach i R. Solecki)

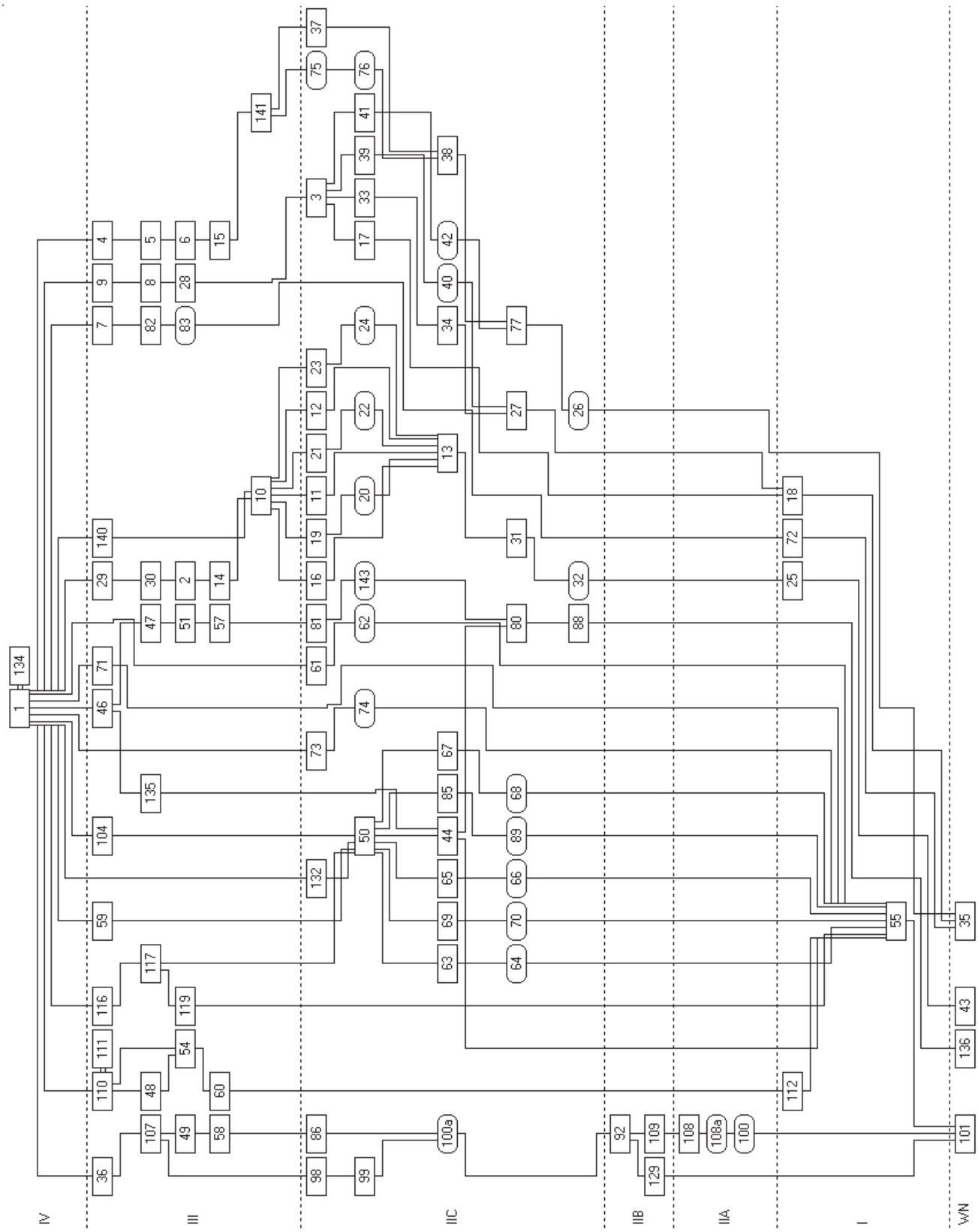

Ryc. 21. Wieprz, st. 1 – wyspa Bukowiec. Diagram relacji stratygraficznych (oprac. M. Rutyna i D. Wach)

narastania gleby dno fosy zostało przykryte sypkim, niejednorodnym piaskiem 109 oraz sypkim, drobnoziarnistym piaskiem 92.

Podfaza IIC – budowa wału, wyprofilowanie dna fos oraz poziom użytkowy

Faza IIC związana jest z budową i użytkowaniem grodu. Powstał wówczas wał grodziska (W1). We wnętrzu wału nie znaleziono żadnych śladów konstrukcji kamiennej bądź spalonych konstrukcji drewnianych. Być może o istnieniu jakiegoś rodzaju konstrukcji drewnianej (np. płotów drewnianych lub plecionkowych, które się nie zachowały) świadczy odkryty u podstawy wału jasny piasek 27[8] (o pionowych, wyraźnych granicach na obu końcach) oraz dwa doły posłupowe – nr 40 i 42 (na zewnętrznym skraju podnóża wału) w odległości ok. 30 cm od siebie. Nasyp wału tworzy drobnoziarnisty, sypki, jednorodny piasek 3 (ryc. 14–15 i 22).

Po zewnętrznej stronie wału wyprofilowano dno fosy 26 (W1). Jej szerokość (u góry) wynosi około 5 m, a najniższy punkt znajduje się na poziomie 109,25 m n.p.m. Różnica wysokości pomiędzy dnem fosy, a szczytem wału po osi zachodniej ściany wykopu 1 wynosi około 2,90 m. Fosa miała V-kształtny przekrój. Płytki (około 25–35 cm głębokości), płaskodenny rowek (około 20–30 cm szerokości) odkryty na jej dnie oraz dół posłupowy 76 może wskazywać, że w tym miejscu znajdował się płot bądź palisada. Poziom użytkowy w fosie wyznaczają następujące warstwy: niejednorodny, sypki piasek 77, skupisko około 10 kamieni (o średnicy od 5 do około 20 cm) 37 oraz niejednorodny, sypki piasek 38. Na zewnątrz fosy, około 1,5 m od jej krawędzi, znaleziono dwa prostokątne doły posłupowe – 62 i 74, oddalone od siebie o ok. 80 cm. Obecność tych dwóch obiektów być może wskazuje na istnienie konstrukcji obronnej, np. w postaci pali z plecionką między nimi.

Z horyzontem tym należy wiązać także warstwę użytkową odkrytą w obrębie wykopu 1, na majdanie grodziska, reprezentowaną przez niejednorodny piasek 17.

Na majdanie grodziska (W2) powstał wówczas poziom użytkowy. Na stropie sypkiego, jednorodnego piasku 13 zadokumentowano bruk kamienny 12, w południowo-zachodniej części wykopu, oraz dwa skupiska kamieni, 11 i 16, w północno-zachodniej. Bruk kamienny 12 stanowiło duże skupisko ściśle ułożonych kamieni (około 380 kamieni, o średnicy do 20 cm). Skupiska 11 (około 80 kamieni, o średnicy do 20 cm) i 16 (około 20 kamieni, o średnicy do 25 cm) były nieregularnego kształtu, a ich kamienie luźniej rozrzucone. Wszystkie trzy skupiska tworzyły w przybliżeniu powierzchnię płaską (ryc. 23). W północno-zachodniej części wykopu odkryto również dwa doły posłupowe 20 i 22 oraz jamę 24. Jama 24, o wymiarach około 70 x 80 cm i głębokości około 20 cm, w planie miała kształt nieregularnego owalu. Jej wypełniskiem był sypki, jednorodny piasek 23.

W fazie tej częściowo oczyszczono fosę (W3) z Podfazy IIA. Fosa 100a (W3) ma szerokość około 2,5 m, a jej najniższy punkt znajduje się na poziomie 108,60 m n.p.m. Różnica wysokości pomiędzy dnem fosy, a majdanem po osi profilu W wynosi około

Ryc. 22. Wieprz, st. 1 – wyspa Bukowiec. Przekrój przez wał w południowej części grodziska (fot. Z. Kobyliński)

Ryc. 23. Wieprz, st. 1 – wyspa Bukowiec. Bruki kamienne na majdanie (fot. Z. Kobyliński)

[8] Na stropie warstwy 27 rysował się obiekt 34 (wypełnisko 33), który w trakcie eksploracji zinterpretowano jako pozostałości po korzeniach uschniętych drzew.

Tabela 1. Katalog warstw z opisem poszczególnych jednostek stratygraficznych grodziska w Wieprzu, st. 1 – wyspa Bukowiec (oprac. M. Rutyna i D. Wach)

Numer jednostki	Numer obiektu	Numer wykopu	Położenie w obrębie stanowiska	Współrzędne siatki pomiarowej stanowiska	Opis jednostki stratygraficznej	Barwa (Munsell)	Pozycja stratygraficzna	
							Znajduje się pod	Znajduje się nad
1=134		1, 2, 3, 4	Majdan, wały, fosy	X=91–124; Y=99–139	Sypki, ziemisty, drobno- i średnioziarnisty piasek; miąższość do 20 cm; humus	10YR 4/1		2, 3, 4, 5, 6, 7, 8, 9, 10, 50, 72
2	14	2	Majdan	X=107–110,75; Y=117,25–124	Nieciągły spąg piaszczystego wypełniska ob. 14 (prawdopodobnie nory zwierzęcej)	10YR 5/6	1	14
3		1	Wał	X=100–102; Y=106,9–115	Drobnoziarnisty, sypki, jednorodny piasek; miąższość do 90 cm; nasyp wału	10YR 6/6	4, 8, 15, 28	17, 27, 77
4		1	Stok wału	X=100–102; Y=105,4–111,85	Jednorodny, sypki piasek; miąższość do 20 cm; warstwa powstała w wyniku naturalnego narastania gleby	10YR 5/2; 10YR 2/1	1, 5	3, 6
5		1	Fosa	X=100,50–102; Y=103,2–107,85	Niejednorodny, sypki piasek; miąższość do 15 cm; warstwa powstała w wyniku naturalnego narastania gleby	10YR 5/8; 10YR 4/2; 10YR 5/2	1	15
6		1	Fosa	X=100–101,85; Y=103,40–106,6	Niejednorodny, sypki piasek; miąższość do 10 cm; warstwa powstała w wyniku naturalnego narastania gleby	10YR 3/2	5	15
7		1	Fosa	X=100–102; Y=101–103,30	Bardzo sypki, drobnoziarnisty piasek; miąższość do 10 cm; warstwa powstała w wyniku naturalnego narastania gleby	10YR 5/2	1	72
8		1	Stok wału, majdan	X=100–102; Y=111,95–118	Jednorodny, sypki piasek; miąższość do 20 cm; warstwa powstała w wyniku naturalnego narastania gleby	10YR 4/2	1, 9	3, 17, 28
9		1	Majdan	X=100–102; Y=112,60–117,94	Skupisko luźno rozrzuconych około 40 kamieni (o śr. do 20 cm)		1	8
10		2	Majdan	X=107–112; Y=117–124;	Sypki, jednorodny piasek; miąższość do 15 cm; warstwa powstała w wyniku naturalnego narastania gleby	10YR 5/2	1, 14, 30	13, 16
11		2	Majdan	X=108,54–109,97; Y=120,95–122,88;	Podłużne w planie skupisko kamieni (ok. 80 kamieni, o śr. do 20 cm); wymiary: 1,2 x 1,6 m		10	13
12		2	Majdan	X=107–109,90; Y=118–120,65;	Bruk kamienny, w południowo-zachodniej części wykopu stanowiło duże skupisko ściśle ułożonych kamieni (około 380 kamieni, o średnicy do 20 cm).		10	13
13		2	Majdan	X=107–112; Y=117–124;	Sypki, jednorodny piasek; miąższość do 10 cm; poziom użytkowy	10YR 6/3; 10YR 7/3	10	25
14	14	2	Majdan	X=107–110,75; Y=117,25–124	Spąg płytkiego, nieciągłego obiektu (wypełnisko 2) lub lokalnej warstwy wypełniającej zagłębienia stropu warstw niższych. Miąższość od kilku do 20 cm		2	10
15		1	Fosa	X= 100–102; Y= 103–107,4	Niejednorodny, sypki piasek; miąższość do 40 cm; warstwa powstała w wyniku naturalnego narastania gleby	10 YR 3/2	5, 6	141
16		2	Majdan	X=109–110; Y=123–124	Skupisko kamieni przy ścianie NW wykopu; ok. 20 kamieni, o śr. do 25 cm		10	13
17		1	Majdan	X=100–102; Y=114,75–118	Niejednorodny piasek; miąższość do 20 cm; poziom użytkowy	10YR 5/2; 10YR 6/3	3, 8, 28	18, 27
18		1	Majdan	X=100–102; Y=112,8–118	Drobnoziarnisty piasek; miąższość do 30 cm; poziom użytkowy	10YR 5/6	17, 27	35
19	20	2	Majdan	X=109,70–110,10; Y=123,25–123,53	Lekko ziemisty, niejednorodny piasek; wypełnisko dołu posłupowego 20	2,5Y 4/2	10	20
20	20	2	Majdan	X=109,70–110,10; Y=123,25–123,53	Dół posłupowy, o wym. ok. 30 x 50 cm i gł. 30 cm, w planie był owalny, a w przekroju-kształtny; wypełnisko 19		19	13
21	22	2	Majdan	X=108,55–109; Y=122,9–123,25;	Lekko ziemisty, niejednorodny piasek; wypełnisko dołu posłupowego 22	2,5YR 3/2	10	22
22	22	2	Majdan	X=108,55–109; Y=122,9–123,25;	Dół posłupowy (wypełnisko 21), o wym. ok. 30 x 45 cm i gł. do 25 cm; kształt nieregularny, zbliżony do owalu, w przekroju U-kształtny		21	13
23	24	2	Majdan	X=110,1–110,80; Y=122,8–122,92	Sypki, jednorodny piasek; wypełnisko obiektu 24	10YR 3/2	10	24
24	24	2	Majdan	X=110,1–110,80; Y=122,8–122,92	Obiekt (jama?), o wym. ok. 70 x 80 cm i gł. ok. 20 cm, w planie miała kształt nieregularnego owalu; wypełnisko 23		23	13
25		2	Majdan	X=107–112; Y=117–124	Niejednorodny, sypki piasek; miąższość do 30 cm; poziom użytkowy	10YR 4/6; 10YR 4/3; 10YR 3/4	13	43
26	26	1	Fosa	X=100–102; Y= 100,3–107,6	Fosa zewnętrzna; jej szer. (u góry) wynosi ok. 5 m, a najniższy punkt znajduje się na poziomie 109,25 m n.p.m; różnica wysokości pomiędzy dnem fosy, a szczytem wału po osi ściany W wynosi około 2,90 m. Fosa miała w przybliżeniu V-kształtny przekrój z łagodnie rozchylającymi się górnymi częściami		77	35

Tabela 1. Ciąg dalszy

Numer jednostki	Numer obiektu	Numer wykopu	Położenie w obrębie stanowiska	Współrzędne siatki pomiarowej stanowiska	Opis jednostki stratygraficznej	Barwa (Munsell)	Pozycja stratygraficzna	
							Znajduje się pod	Znajduje się nad
27		1	Wał	X=100–102; Y=107,71–115,6	Sypki piasek; miąższość do 20 cm; pionowe, wyraźne granice świadczą o istnieniu jakiegoś rodzaju konstrukcji drewnianej (np. płotów drewnianych lub plecionkowych, które się nie zachowały)	10YR 7/2	3, 17, 26	18, 35
28		1	Stok wału	X=100–102; Y=112,3–115,8	Jednorodny, sypki piasek; miąższość do 20 cm; warstwa powstała w wyniku naturalnego narastania gleby	10YR 7/2	8	3, 17
29	30	2	Majdan	X=107–109,01; Y=121,65–124	Sypki, niejednorodny piasek; wypełnisko obiektu 30	10YR 5/2	1	30
30	30	2	Majdan	X=107–109,01; Y=120,65–124	Nieregularny obiekt z lokalnymi pionowymi zagłębieniami (pozostałościami po korzeniach drzew ?)		29	2
31	32	2	Majdan	X=108,4–108,85; Y=120,2–120,84;	Lekko ziemisty piasek. Wypełnisko obiektu 32.	10YR 5/2	13	32
32	32	2	Majdan	X=108,4–108,85; Y=120,2–120,84;	Obiekt (wypełnisko 31); owalny, 44 x 54 cm średnicy, głęb. do 0,2 m, rozszerzający się ku dołowi (pozostałość po korzeniach drzewa?)		31	25
33	34	1	Wał	X=101,60–101,80; Y=112,70–112,94	Wypełnisko obiektu 34; piaszczysta, sypka, niejednorodna ziemia	10YR 5/2; 10YR 6/2	3	34
34	34	1	Wał	X=101,60–101,80; Y=112,70–112,94	Owalny mały obiekt; średnica 16 x 24 cm, głęb. do 0,2 m; być może pozostałość korzenia drzewa		33	27
35		1	Wał, fosy, majdan	X=100–102; Y=101–118	Drobnoziarnisty piasek z wtrąceniami żelazistymi; Calec	10YR 6/3 2,5Y 5/2	27	-
36		3	Fosa	X=92,2–92,45; Y=127–129	Sypki, drobno- i średnioziarnisty piasek; miąższość do 25 cm; warstwa powstała w wyniku naturalnego narastania gleby	10YR 4/2	1	107
37	26	1	Fosa	X=100,09–101,2; Y=104,76–105,38	Skupisko ok. 10 kamieni (o śr. od 5 do około 20 cm) w zagłębieniu środkowego poziomu fosy 26		141	38
38	26	1	Fosa	X=100–102; Y=104,25–106,7	Niejednorodny, sypki piasek; miąższość do 20 cm; poziom użytkowy w obrębie fosy 26	10YR 5/3	37, 141	77
39	40	1	Stok wału	X=100,65–101,3; Y=107,75–108,4	Lekko ziemisty piasek; wypełnisko obiektu 40	10YR 4/2; 10YR 5/3	3	40
40	40	1	Stok wału	X=100,65–101,3; Y=107,75–108,4	Dół posłupowy, o wym. 50 x 65 cm i gł. ok. 30 cm, w planie miał owalny zarys, a w przekroju był U-kształtny; wypełnisko 39		39	27
41	42	1	Stok wału	X=101,61–101,85; Y=107,48–107,69	Sypki, lekko ziemisty piasek; wypełnisko obiektu 42	10YR 4/2	3	42
42	42	1	Stok wału	X=101,61–101,85; Y=107,48–107,69	Dół posłupowy, w planie miał kształt okrągły, a w przekroju był nieckowaty; śr. ok. 20–25 cm, gł. ok. 50 cm; wypełnisko 41		41	77
43		2	Majdan	X=107–112; Y=117–124	Drobnoziarnisty, jednorodny piasek; calec	10YR 4/3	25	-
44		3, 4	Majdan, stok fosy	X=98,45–109; Y=127–135,5	Bardzo sypki, niejednorodny piasek; miąższość do 20 cm; poziom użytkowy	10YR 4/2	50	55, 80
46	88	4	Fosa	X=100–102; Y=135,07–136,82	Stropowe wypełnisko fosy 88; sypki, lekko ziemisty piasek; miąższość do 35 cm	10YR 4/2	1	44, 47, 51, 135
47		4	Stok fosy	X=100–102; Y=136,7–139	Warstwa z zewnętrznego stoku fosy 88; sypki, jednorodny piasek; miąższość do 10 cm; warstwa powstała w wyniku naturalnego narastania gleby	10YR 4/1	1, 46	51
48		3	Majdan	X=98–99,1; Y=127–128,4	Sypki, drobno- i średnioziarnisty piasek; miąższość do 15 cm; warstwa powstała w wyniku naturalnego narastania gleby	10YR 4/2	111	54, 60
49		3	Fosa	Y=127–128,75; X=93,70–94,40	Sypki, drobno- i średnioziarnisty piasek; miąższość do 10 cm; warstwa powstała w wyniku naturalnego narastania gleby	2,5YR 7/4	107	58
50		3, 4	Majdan	X=91–92,3, 95,6–109; Y=127–132	Rozległa warstwa; sypki, niejednorodny piasek; miąższość do 30 cm; poziom użytkowy	2,5YR 6/4	1, 60, 100, 132	44, 55
51	88	4	Centrum i stok fosy	X=100–102; Y=136,4–139	Wypełnisko centrum i stoku fosy 88; sypki, niejednorodny piasek; miąższość do 30 cm; warstwa powstała w wyniku naturalnego narastania gleby	10YR 3/2	47, 46	57, 135
54		3	Majdan	X=98,30–98,64; Y=127–127,40;	Ślady spalonego drewna (belki?); pas piaszczystej, ciemnej ziemi dł. 0,5 m i szer. 0,12 m, o orientacji E–W	10YR 3/1; 10YR 4/1	111, 48	60
55		3	Majdan	X=91–109; Y= 127–129	Niejednorodny piasek; miąższość do 25 cm; poziom użytkowy	2,5YR 7/4	50	101
57	88	4	Centrum i stok fosy	X=100–102; Y=136,4–138,74	Sypki, drobnoziarnisty piasek; miąższość do 20 cm; prawdopodobnie warstwa osuwiskowa	10YR 5/3	51	81, 80

Tabela 1. Ciąg dalszy

Numer jednostki	Numer obiektu	Numer wykopu	Położenie w obrębie stanowiska	Współrzędne siatki pomiarowej stanowiska	Opis jednostki stratygraficznej	Barwa (Munsell)	Pozycja stratygraficzna	
							Znajduje się pod	Znajduje się nad
58		3	Fosa	X=93–95,30; Y=127–129	Sypki, drobno- i średnioziarnisty piasek; miąższość do 20 cm; warstwa powstała w wyniku naturalnego narastania gleby	10YR 5/2	107	86
59		3	Krawędź fosy	X=96,30–96,75; Y=127–127,75	Sypki, drobno i średnioziarnisty, niejednorodny piasek; miąższość do 30 cm; pas ziemi w rowkopodobnym zagłębieniu	2,5YR 7/4	1	50
60		3	Krawędź majdanu	Y=127–129,12; X=97,65–99,25	Wypełnisko zagłębienia (prawdopodobnie nory zwierzęcej lub jamy po korzeniu); sypki, drobno- i średnioziarnisty piasek; miąższość do 30 cm	2,5YR 7/4	48	112
61	62	1	Stok fosy	X=100,30–100,60; Y=101,90–102,10	Niejednorodny, lekko ziemisty piasek; wypełnisko dołu posłupowego 62	10YR 4/1	1	62
62	62	1	Stok fosy	X=100,30–100,60; Y=101,90–102,10	Dół posłupowy, o wym. ok. 15 x 20 cm i gł. do 48 cm; w planie prostokątny, w przekroju nieckowaty; wypełnisko 61		61	72
63	64	3	Stok fosy	X=95,30–95,7; Y=128,12–128,35	Lekko ziemisty piasek; wypełnisko dołu posłupowego 64	10YR 5/2	50	64
64	64	3	Stok fosy	X=95,30–95,7; Y=128,12–128,35	Dół posłupowy, o wym. 20 x 40 cm i gł. ok. 25 cm, nieregularnie owalny w planie, w przekroju U-kształtny		63	55
65	66	3	Krawędź fosy	X=96,22–96,51; Y=127,88–128,19	Lekko ziemisty, niejednorodny piasek; wypełnisko dołu posłupowego 66	10YR 5/2	50	66
66	66	3	Krawędź fosy	X=96,22–96,51; Y=127,88–128,19	Dół posłupowy, o wym. 28 x 30 cm i gł. ok. 20 cm, owalny w planie, w przekroju U-kształtny; wypełnisko 65		65	55
67	68	3	Krawędź fosy	X=96,10–96,25; Y=128,25–128,40	Lekko ziemisty, niejednorodny piasek; wypełnisko dołu posłupowego 68	10YR 5/2	50	68
68	68	3	Krawędź fosy	X=96,10–96,25; Y=128,25–128,40	Dół posłupowy, o wym. 15 x 17 cm i gł. ok. 5 cm, owalny w planie, w przekroju U-kształtny; wypełnisko 67		67	55
69	70	3	Krawędź fosy	X=96,20–96,40; Y=128,66–128,88	Ziemisty, niejednorodny piasek; wypełnisko dołu posłupowego 70	10YR 5/2	50	70
70	70	3	Krawędź fosy	X=96,20–96,40; Y=128,66–128,88	Dół posłupowy, o wym. 20 x 22 cm i gł. ok. 15 cm, owalny w planie, w przekroju cylindryczny; wypełnisko 69		69	55
71		3	Krawędź fosy	X=96,50–97,79; Y=128,51–129	Sypki, drobno- i średnioziarnisty piasek; leżał w nieregularnym łukowatym, rowkopodobnym zagłębieniu (korytarz nory zwierzęcej?); szer. do 16 cm, miąższość do 25 cm	10YR 5/2	1	50
72		1	Stok fosy	X=100–102; Y=99–104,2	Niejednorodny, sypki piasek; miąższość do 20 cm; poziom użytkowy	2,5YR 3/2	7	35
73	74	1	Stok fosy	X=101,01–101,22; Y=101,86–102,02	Lekko ziemisty, niejednorodny piasek; wypełnisko obiektu 74	10YR 4/2; 10YR 3/1	7	74
74	74	1	Stok fosy	X=101,01–101,22; Y=101,86–102,02	Dół posłupowy, o wym. ok. 20 x 30 cm i gł. 40 cm; w planie regularny, zbliżony do prostokąta, w przekroju nieckowaty; wypełnisko 73		73	72
75	76	1	Fosa	X=100,6–100,78; Y=104,64–104,76	Niejednorodny, lekko ziemisty piasek; wypełnisko dołu posłupowego 76	10YR 3/6	141	76
76	76	1	Fosa	X=100,6–100,78; Y=104,64–104,76	Dół posłupowy (spąg), o śr. ok. 20 cm i gł. kilku cm, w planie okrągły		75	38
77	26	1	Fosa	X=100–102; Y=103,04–107,8	Niejednorodny, sypki piasek; miąższość do 50 cm; poziom użytkowy	10YR 6/4	37, 38	26
80	88	4	Fosa	X=100–102; Y=135,2–137,9	Twardy, niejednorodny piasek; miąższość do 30 cm; poziom użytkowy	10YR 6/4; 10YR 7/6	81,57	88, 136
81	143	4	Fosa	X=101–102; Y=136,24–136,82	Wypełnisko obiektu 143; drobnoziarnisty, lekko ziemisty, niejednorodny piasek	10YR 5/4	57	143
82	83	1	Stok fosy	X=101–101,40; Y=103,45–103,7	Drobnoziarnisty, lekko ziemisty, niejednorodny piasek; wypełnisko ob. 83	10YR 6/4	7, 15	83
83	83	1	Stok fosy	X=101–101,40; Y=103,45–103,7	Nieregularnie owalny obiekt; śr.0,25 x 0,35 m, głęb. do 0,2 m; (pozostałość nory zwierzęcej?)		82	72
85	89	3	Krawędź fosy	X=92; Y=127–128	Lekko ziemisty, niejednorodny piasek; wypełnisko obiektu 89	10YR 5/2	55	89
86	100a	3	Fosa	X=92,6–95,35; Y=127–129;	Drobnoziarnisty, lekko pylasty, niejednorodny piasek; miąższość do 60 cm; poziom użytkowy	2,5YR 7/4	58	100a
88	88	4	Fosa	X=102–100; Y=134,75–138,75	Fosa wewnętrzna; szer. ok. 4 m; najniższy punkt znajduje się na poziomie 108,20 m n.p.m.; różnica wysokości pomiędzy dnem fosy, a majdanem po osi ściany E wynosi ok. 3 m; przekrój U-kształtny		80, 81	136

Tabela 1. Ciąg dalszy

Numer jednostki	Numer obiektu	Numer wykopu	Położenie w obrębie stanowiska	Współrzędne siatki pomiarowej stanowiska	Opis jednostki stratygraficznej	Barwa (Munsell)	Pozycja stratygraficzna	
							Znajduje się pod	Znajduje się nad
89	89	3	Krawędź fosy	X=92; Y=127–128	Dół posłupowy, o wym. 28 x 38 cm i gł. ok. 25 cm, owalny w planie, w przekroju U-kształtny; wypełnisko 85		85	92
92		3	Stoki fosy	X=92,35–96; Y=127–129	Sypki, drobnoziarnisty piasek; miąższość do 40 cm; warstwa powstała w wyniku naturalnego narastania gleby	10YR 5/4	86	109, 129
98	99	3	Fosa	X=95,60–95,65; Y=128,34–128,45	Lekko ziemisty piasek; wypełnisko dołu posłupowego 99	10YR 5/2	107	99
99	99	3	Fosa	X=95,60–95,65; Y=128,34–128,45	Dół posłupowy, o wym. 5 x 10 cm i gł. 5 cm, w planie prostokątny (o zaokrąglonych narożnikach), w przekroju U-kształtny; wypełnisko 98		98	100
100	100	3	Fosa	X= 127–129; Y=92–96	Fosa wewnętrzna; szer. ok. 4,20 m; rynnowaty przekrój;najniższy punkt znajduje się na poziomie 108,50 m n.p.m.; różnica wysokości pomiędzy dnem fosy, a majdanem po osi ściany W wynosi ok. 2 m; U-kształtny przekrój		92	101
100a	100a	3	Fosa	X=92,70–95,30; Y= 127–129	Fosa wewnętrzna; szer. ok. 2,5 m; jej najniższy punkt znajduje się na poziomie 108,60 m n.p.m.; różnica wysokości pomiędzy dnem fosy, a majdanem po osi profilu W wynosi około 1,9 m; V-kształtny przekrój		86	92, 109
101		3	Majdan, fosa	X=91–109; Y= 127–129	Drobnoziarnisty piasek z wytrąceniami żelazistymi; calec	2,5Y 4/2	55	
104		3	Majdan	X=105,7–106,82; Y=127–127,85	Zespół naprzemiennych, jaśniejszych i ciemniejszych, cienkich (miąższości od kilku do 10 cm) warstewek piaszczystych	10YR 4/2, 10YR 5/3	1, 117	50, 44, 55
107		3	Fosa	Y=127– 129 ; X=92,25–96,05	Sypki, drobno- i średnioziarnisty piasek; miąższość do 25 cm; warstwa powstała w wyniku naturalnego narastania gleby	10YR 7/3	36	58
108	108a	3	Fosa	X=94,05–94,25; Y=128,9–129	Sypki, drobno- i średnioziarnisty piasek; wypełnisko obiektu 108a	10YR 4/3	109	108a
108a		3	Fosa	X=94,05–94,25; Y=128,9–129	Ślad po słupie z dna fosy 100; wymiary: ok. 10 x 20 cm i gł. 50 cm; ściany pionowe dno niemal płaskie		108	100, 101
109		3	Fosa	X=92,3–95,85; Y=127–129;	Sypki, niejednorodny piasek; miąższość do 70 cm; warstwa powstała w wyniku naturalnego narastania gleby	2,5Y 7/4	92	100
110=111		3	Majdan	X=97,5–99,1; Y=127–128,5	Sypki, drobno- i średnioziarnisty piasek; miąższość do 35 cm; warstwa powstała w wyniku naturalnego narastania gleby	10YR 6/2	1	48, 54, 50
112		3	Majdan	X=98,38–98,80; Y=127– 127, 3	Drobnoziarnisty, jednorodny piasek; wypełnisko wyraźnego, wąskiego zagłębienia; miąższość do 50 cm	10YR 5/4	60	101,55
116		3	Majdan	X=103–105,12; Y=127– 128,8	Warstwa kopca mrowiska; warstwa sypkiego, drobno- i średnioziarnistego piasku; miąższość do 25 cm	10YR 3/2	1	117
117		3	Majdan	X=100,40–106,2; Y=127–128,9	Warstwa kopca mrowiska; warstwa sypkiego, drobno- i średnioziarnistego piasku; miąższość do 35 cm	10YR 5/2 (30%); 10YR 5/3 (70%)	118	50, 119
119		3	Majdan	X=103,35–105,40 Y=127–128,3	Warstwa kopca mrowiska; sypki, drobno- i średnioziarnisty piasek; miąższość do 25 cm	10YR 5/2	117	55
129		3	Stok fosy	Y=91–91,65; X=129	Sypki, jednorodny piasek; miąższość do 10 cm; warstwa powstała w wyniku naturalnego narastania gleby	2,5Y 5/4	92	101
132		3, 4	Krawędź majdanu	X=101–103; Y=128–130,3	Warstwa lokalna. Sypki, drobno- i średnioziarnisty piasek; miąższość do 20 cm	10YR 4/1	1	50, 44
135		4	Fosa	X=100–102; Y=135,45–136,34	Sypki, lekko pylasty piasek; miąższość do 25 cm	10YR 4/2	46	80
136		4	Fosa, majdan	X=100–103; Y=128–139;	Drobnoziarnisty, jednorodny piasek; calec	10YR 5/6	56, 80	-
140		2	Majdan	X=108,84–109,70; Y=121 –12,8;	Lokalny płat sypkiego, niejednorodnego piasku; miąższość do 10 cm; warstwa powstała w wyniku naturalnego narastania gleby w zagłębieniu stropu warstwy niższej	2,5Y 6/6	1	10
141		1	Fosa	X=100–102; Y=104,40–106,15	Drobnoziarnisty piasek z węgielkami drzewnymi; miąższość do 10 cm; warstwa powstała w wyniku naturalnego narastania gleby	5YR 5/2; 10YR 3/1	15	38
143	143	4	Fosa	Y=136,40–136,75; X=101,85–102	Dół posłupowy lub część rowka na dnie fosy 88; wym. 15 x 35 cm i gł. 40 cm; w planie kształt połowy owalu, w przekroju U-kształtny; wypełnisko 81		81	135, 80, 136

Tabela 2. Wieprz, st. 1 – wyspa Bukowiec. Wykaz dołów posłupowych z Podfazy IIC (oprac. D. Wach i M. Rutyna)

Numer obiektu	Numer wypełniska	Położenie w obrębie grodziska	Wymiary w planie	Głębokość	Kształt w planie	Kształt w przekroju
20	19	Majdan	30 x 50 cm	30 cm	owalny	V-kształtny
22	21	Majdan	20 x 30 cm	25 cm	nieregularnie owalny	V-kształtny
40	39	Na zewnętrznym skraju podnóża wału	90 x 100 cm	30 cm	owalny	U-kształtny
42	41	Na zewnętrznym skraju podnóża wału	śr. 20–25 cm	50 cm	okrągły	nieckowaty
62	61	Na zewnątrz fosy, ok. 1,5 m od jej krawędzi	15 x 20 cm	48 cm	prostokątny	nieckowaty
64	63	Na stoku fosy	20 x 30 cm	25 cm	owalny	U-kształtny
66	65	Na majdanie, tuż przy fosie	28 x 30 cm	20 cm	owalny	U-kształtny
68	67	Na majdanie, tuż przy fosie	15 x 17 cm	5 cm	owalny	U-kształtny
70	69	Na majdanie, tuż przy fosie	20 x 22 cm	15 cm	owalny	cylindryczny
74	73	Na zewnątrz fosy, ok. 1,5 m od jej krawędzi	20 x 30 cm	40 cm	prostokątny	nieckowaty
76	75	Na dnie fosy	śr. 20 cm	2 cm	okrągły	U-kształtny
89	85	Po zewnętrznej stronie fosy	28 x 38 cm	25 cm	owalny	U-kształtny
99	98	Na stoku fosy	5 x 10 cm	5 cm	prostokątny o zaokrąglonych narożnikach	U-kształtny
143	81	Na dnie fosy wewnętrznej	15 x 35 cm	40 cm	połowa owalu	U-kształtny

1,9 m. Fosa miała V-kształtny przekrój. Na jej dnie powstał poziom użytkowy reprezentowany przez drobnoziarnisty, lekko pylasty, niejednorodny piasek 86. Obecność dwóch dołów posłupowych na stoku fosy (od strony majdanu), trzech dołów na majdanie tuż przy fosie oraz jednego dołu posłupowego po zewnętrznej stronie fosy sugerują istnienie trzech konstrukcji obronnych, np. w postaci pali z plecionką między nimi.

Także w północnej części grodu wyprofilowano dno fosy (W4). Szerokość fosy wewnętrznej 88 w wykopie 4 wynosi około 4 m, a najniższy punkt znajduje się na poziomie 108,20 m n.p.m. Różnica wysokości pomiędzy dnem fosy, a majdanem po osi profilu E wynosi około 3 m. Przekrój fosy był U-kształtny. Obecność dołu posłupowego 143 na jej dnie sugeruje obecność w tym miejscu konstrukcji obronnej, np. w postaci płotu bądź palisady. Ponadto w wypełnisku fosy zadokumentowano warstwę użytkową twardy, niejednorodny piasek 80.

Na majdanie grodziska, w wykopie 3 i 4, powstały wówczas warstwy użytkowe reprezentowane przez sypki, niejednorodny piasek 50 i bardzo sypki, niejednorodny piasek 44.

Faza III – opuszczenie grodziska

Po opuszczeniu grodziska jego wały uległy daleko idącej erozji i spłynęły w kierunku majdanu oraz fos. W wykopie 1 zaobserwowano następujące warstwy: drobnoziarnisty piasek z węgielkami drzewnymi 141; niejednorodny, sypki piasek 15; niejednorodny, ziemisty piasek 6; bardzo sypki, drobnoziarnisty piasek 7; niejednorodny, sypki piasek 5; sypki, jednorodny piasek 4; sypki, drobnoziarnisty piasek 28; drobnoziarnisty, jednorodny piasek 8 oraz spoczywającym na nim skupisku 9, rozrzuconych luźno około 40 kamieni (o średnicy do 20 cm).

W wykopie 2 z horyzontem tym możemy wiązać: sypki, jednorodny piasek 10; obiekt 30, będący zapewne pozostałością po uschniętych korzeniach drzew (wypełnisko 29) oraz norę zwierzęcą 14 (wypełnisko 2).

Natomiast w wykopie 3 faza ta jest reprezentowana przez sypkie, drobno- i średnioziarniste warstwy piasku 71, 59, 54, 58, 107, 49, 36, 60, 48, 111, 119, 117, 116, 104 oraz 132.

Z tą fazą należy wiązać także odkryte w wykopie 4 warstwy: sypkiego, drobnoziarnistego piasku 57; sypkiego, lekko pylastego piasku 135; sypkiego, niejednorodnego piasku 51; bardzo sypkiego, jednorodnego piasku 47; sypkiego, lekko ziemistego piasku 46 oraz sypkiego, niejednorodnego piasku 132.

Faza IV – współczesny poziom użytkowy

Obecny poziom użytkowy w wykopach 1, 2, 3 i 4 tworzy ziemisty, drobno- i średnioziarnisty piasek 1.

ZNALEZISKA

URSZULA KOBYLIŃSKA

Ceramika

Badania wykopaliskowe nawarstwień kulturowych grodziska dostarczyły 59 fragmentów ceramiki; w tej liczbie znalazły się jedynie cztery górne części naczyń z zachowanym wylewem, stanowiące odpowiednik 26% SEN oraz dwie części przydenne i dwa dna (wklęsłe i lekko wklęsłe) stanowiące odpowiednik 50% SEN. Zespół zawiera 48 fragmentów brzuśców, z których 21 charakteryzuje się gładką, matową powierzchnią, 8 jest wypolerowanych, 15 szorstkich, zaś rodzaju powierzchni czterech fragmentów nie można było określić ze względu na ich zniszczenie. Materiał ceramiczny jest mocno rozdrobniony, zarówno wskutek działania procesów depozycyjnych zachodzących w czasie użytkowania tego miejsca, jak i wskutek znacznej łamliwości kruchej masy ceramicznej naczyń. Struktura wielkościowa zespołu obejmuje fragmenty głównie wielkości 2 i 3 cm, przy niewielkim udziale nieco większych fragmentów o wielkości 4 cm. W niewielkim stopniu natomiast fragmenty ceramiki znalezione podczas wykopalisk były zniszczone wskutek spłukania powierzchni czy jej starcie. Duża część znalezionych fragmentów naczyń ma odpryski powierzchniowej warstwy glinki. Pod względem zniszczenia materiał ten można zaklasyfikować głównie do II kategorii zniszczenia[9]; nieco mniej fragmentów należy do I kategorii, a bardzo niewiele do kategorii III (tab. 3–4). Można zatem sądzić, że jest to materiał ceramiczny zalegający na wtórnym złożu, stanowiący wynik przemieszczeń podepozycyjnych zachodzących w czasie rozmaitych przekształceń terenu.

Cechy technologiczne

Wszystkie znalezione na tym stanowisku fragmenty ceramiki wykazują jednorodne cechy. Są to ułamki cienkościennych naczyń o wyraźnie wychylonym na zewnątrz wylewie i charakterystycznym ornamencie w postaci odcisków cienkiego sznura, zgrupowanych w kilka poziomych linii występujących w górnej partii naczyń: od wylewu po uwypuklony brzusiec. Makroskopowa analiza materiału wskazuje, że masa garncarska poszczególnych fragmentów cechuje jednolity stopień przygotowania. Jest to ceramika jednolitej barwy jasnorudej, jasnobrązowej i jasnobrunatnej (5YR 5/4, 5/6, 4/4), przeważnie z obu stron. Z rzadka wnętrze wykazuje śladowe plamy szarego okopcenia lub jest pokryte tłustą czarną glinką. Do masy ceramicznej dodawana była zawsze duża ilość domieszki o zróżnicowanej granulacji, w tym dużych ziaren (nawet do 0,4 cm średnicy) o ostrych krawędziach, barwy białej, czyli kwarcytu i jasnoróżowego skalenia oraz srebrnej miki. Większość fragmentów, mimo swej cienkościenności, zawiera nieproporcjonalnie dużo grubych ziaren, widocznych w przełamach. Masa ceramiczna wykazuje w przełamach liczne szpary i niedokładne złączenia wałków oraz poszczególnych części naczynia, co można zaobserwować na przykładzie sklejania części dna lub przyklejanego plastycznego wałka do ścianki bocznej. Powierzchnia zewnętrzna tych naczyń jest w większości przypadków (21 fragmentów) gładka, równa, matowa, bez wystających ziaren na powierzchni; ale także nierówna (15 fragmentów), z wyraźnie zaznaczającymi się ziarnami domieszki pod powierzchnią zagładzającej warstwy tłustej glinki. Te ostatnie fragmenty pochodzą głównie z brzuśców i dolnych partii naczyń. Osiem fragmentów brzuśców charakteryzuje się powierzchnią, która – choć nie zawsze na całej zachowanej przestrzeni jest idealnie gładka – ma wyraźne zacieki tłustej glinki i wykazuje ślady wypolerowania, co przejawia się śliską, choć nierówną powierzchnią. W większości przypadków powierzchnie wykazują ślady pokrycia cienką warstwą tłustej glinki. Odpryski tej glinki widoczne na wylewach i szyjkach.

Formy naczyń

Nieliczne zachowane części górne naczyń dają ograniczone możliwości rekonstrukcji form ze względu na fragmentaryczność zachowania. Można jedynie sugerować, że były to naczynia średnie i małe, o średnicy wylewu wynoszącej od ok. 12 do 20 cm. Są to formy cienkościenne z wyraźnie odgiętą częścią górną z wylewem, lub z łagodnie wychyloną, zaopatrzone w przeważnie w łukowatą, krótką szyjkę (tabl. 1:3–4, 7). Wylewy są ścięte, o zaokrąglonych krawędziach (tabl. 1:1–4). Pasma odcisków sznura są mocno wgłębione, także na wylewie (tabl. 1:4), natomiast wąskie smugi są bardzo płytkie, miejscami zanikające (tabl. 1:9) i na powierzchniach nie zawsze przebiegają równolegle (tabl. 1:1, 5–6). Jedno naczynie wykazuje ślady przepalenia (tabl. 1:2). Znaleziono także fragment brzuśca z plastyczną listwą, także noszące ślady przepalenia (tabl.1:8). Dna naczyń były małe, średnicy ok. 7 cm, lekko wklęsłe, z wydzieloną stopką. Na powierzchniach zewnętrznych den zaznaczają się odciski po ziarnach i grube ziarna oraz drobne negatywy po odciskach organicznej podsypki z podkładki (tabl. 1:10–11).

Analogie

Na terenach północno-wschodniej Polski i sąsiadujących terenach Rosji tego rodzaju ceramika ornamentowana odciskami sznura znana jest między innymi z osady bagiennej w Serowie D, raj. Oziersk w obwodzie kaliningradzkim oraz z osady położonej na piaszczystej wyspie wydmowej w po-

[9] Według klasyfikacji zaproponowanej przez Buko 1990a.

Tabela 3. Zestawienie ilościowe fragmentów ceramiki z grodziska w Wieprzu, st. 1 – wyspa Bukowiec (oprac. U. Kobylińska)

Jednostka stratygraficzna	Liczba fragmentów łącznie	Liczba różnych naczyń	Wylewy			Szyjki	Brzuśce						Części przydenne	Dna					Fragmenty przepalone	Fragmenty o wypłukanej powierzchni	Ornament			Chronologia
			Liczba fragmentów	SEN (procent obwodu)	Ornamentowane		Liczba fr. ogółem	Gładkie	Wypolerowane	Szorstkie	Nieokreślone	Ornamentowane		Liczba fragmentów	SEN (procent obwodu)	Rodzaj					Żłobki dookolne	Ornament plastyczny	Odciski	Epoka neolitu/brązu
																Wklęsłe	Lekko wklęsłe	Płaskie						
3	1						1	1				1									1			1
6	1						1	1				1									1			1
12	1	1	1	10	1																		1	1
13	2						2	1		1														2
17	8	1	1	1			7	2	1	4		2							1	3	2			8
25	2						2		1	1		1									1			2
27	5					1	3	1		1	1	2	1							3	1		1	5
35	1						1	1				1								1	1			1
36	1						1	1				1								1	1			1
38	3						3	3				1									1			3
44	6	1	1	10	1	2	3	1		2		2										2	1	6
47	1						1	1																1
48	2						2	1			1	1								1				2
49	1												1							1				1
50	7	1	1	5			6	1	2	2	1	4								1	4			7
54	1						1		1			1									1			1
55	3						2		1	1				1	25		1							3
58	3						3	2		1														3
60	1						1		1															1
72	1						1	1																1
86	8						7	3	1	2	1			1	25	1				4				8
Suma	**59**	**4**	**4**	**26**	**2**	**3**	**48**	**21**	**8**	**15**	**4**	**18**	**2**	**2**	**50**	**1**	**1**	**0**	**1**	**15**	**14**	**2**	**3**	**59**

Tabela 4. Fragmentacja i erozja fragmentów ceramiki z grodziska w Wieprzu, st. 1 – wyspa Bukowiec (oprac. U. Kobylińska)

Jedn. strat.	Kategorie wielkościowe								Stopień erozji			Suma
	1	2	3	4	5	6	7	8	I	II	III	
3				1						1		**1**
6			1							1		**1**
12					1					1		**1**
13		1	1							2		**2**
17		2	3	3					2	5	1	**8**
25		1	1						1	1		**2**
27			3	1	1					3	2	**5**
35			1							1		**1**
36		1								1		**1**
38			3						1	2		**3**
44		1	2	1		1	1		5	1		**6**
47		1								1		**1**
48	1		1								2	**2**
49				1							1	**1**
50		2	1	3	1				5	1	1	**7**
54			1							1		**1**
55			2		1				3			**3**
58			2		1					3		**3**
60		1							1			**1**
72		1								1		**1**
86			5	1		1		1	3	3	2	**8**
Suma	**1**	**11**	**27**	**11**	**5**	**2**	**1**	**1**	**21**	**29**	**9**	**59**

bliżu wsi Sośnia, gm. Radziłów, pow. grajewski, st. 1[10]. Podobna ceramika z ornamentem odcisków cienkiego sznura wystąpiła w Szestnie, gm. Mrągowo, pow. mrągowski na „Ptasiej Wyspie", gdzie datowana jest na przełom III/II i II tys. p.n.e., do przełomu epok neolitu i brązu[11]. W osadzie w Paprotkach Kolonii, st. 41, gm. Miłki, pow. giżycki w Krainie Wielkich Jezior Mazurskich odkryto – wśród ceramiki o chronologii pradziejowej, bliżej przez autora opracowania nieokreślonej – fragment wylewu i szyjki naczynia analogicznego w formie do fragmentu z grodziska na Wyspie Bukowiec w Wieprzu[12]. Dokładną analogię dla szyjki naczynia zdobionej odciskami sznura znaleziono także w czasie realizacji projektu *Katalog grodzisk Warmii i Mazur* podczas badań grodzisk w Łodygowie, st. 1 i 2, gm. Kisielice, pow. iławski[13].

Przyjmując za cechę charakterystyczną i wyróżniającą ornament odcisku sznura na powierzchni naczyń, odkryte podczas badań grodziska na Wyspie Bukowiec fragmenty ceramiki należałoby łączyć z kręgiem kultury ceramiki sznurowej. Jednak ze względu na nowe odkrycia i ustalenia badaczy zespołów z epoki neolitu i wczesnej epoki brązu z terenu Polski północno-wschodniej[14], tego rodzaju materiał ceramiczny należy raczej łączyć z tzw. stylistyką północno-wschodnią kręgu kultury ceramiki sznurowej[15], czytelną również w źródłach z Kotliny Grudziądzkiej (np. Stare Marzy, gm. Dragacz, stanowisko 5; Ruda, gm. Grudziądz, stanowiska 3–6)[16] oraz z Ziemi Dobrzyńskiej (np. Skrzypkowo, gm. Obrowo, stanowisko 13[17]). Krąg ten wiązany jest ze schyłkowym odcinkiem rozwoju kręgu kultury ceramiki sznurowej lub z początkami epoki brązu[18]. Termin „stylistyka północno-wschodnia" w tym kontekście ma wskazywać na główny komponent genetyczny. Tego rodzaju źródła ceramiczne na obszarze doliny Dolnej Wisły oraz na terenach położonych na północny wschód od niej są trudne do jednoznacznej kwalifikacji kulturowej. Wynika to z interkulturowości wielu cech w tych kulturach, między innymi podobieństw w działalności gospodarczej i powszechności występowania zdobnictwa sznurowego w kulturach takich, jak rzucewska-przymorska, w młodszych fazach kultury amfor kulistych i oczywiście w kulturze ceramiki sznurowej oraz w niektórych zespołach z wczesnych okresów epoki brązu, czy ze względu na analogiczne cechy technologiczne naczyń nawiązujących do tradycji wytwórczości ceramicznej kultury amfor kulistych, kultury rzucewskiej, późnej kultury ceramiki sznurowej, ewentualnie kultur strefy leśnej – horyzontu Linin kultury niemeńskiej i kultury grzebykowej[19]. Podobny materiał ceramiczny o cechach synkretycznych odkryto niedawno na Pojezierzu Mazurskim, określając go mianem zespołów typu Ząbie–Szestno[20]. Jednoznacznie trudno więc sprecyzować przynależność kulturową tak nielicznego zespołu ceramicznego odkrytego na złożu wtórnym z Wyspy Bukowiec.

Oznacza to, że teren grodziska, stanowiący piaszczysty pagórek wznoszący się wysoko ponad taflą jeziora, musiał być wykorzystywany jako obozowisko ludności związanej z tzw. stylistyką północno-wschodnią kręgu kultury sznurowej najprawdopodobniej we wczesnej epoce brązu. Nawarstwienia związane z tym osadnictwem zostały zniszczone podczas późniejszej budowy grodu typu refugialnego.

Zabytki wydzielone

Jedynym zabytkiem pozaceramicznym znalezionym podczas badań grodziska jest skorodowany żelazny haczyk o długości ok. 5,3 cm, w przekroju kwadratowy ze zwężonym końcem i zagiętą pod kątem prostym drugą końcówką (tabl. 2:1). Na wschodnim brzegu wyspy Bukowiec, naprzeciw miejsca usytuowania grodu, w trakcie badań podwodnych[21] znaleziono żelazną podkowę (tabl. 2:2). Jest ona skorodowana, lecz dobrze zachowana, masywna, o szerokich (ok. 3 cm) ramionach, o nierównej długości, zwężających się na końcach. Maksymalna jej szerokość wynosi 11,5 cm, a wysokość ok. 11 cm. Podkowa ma regularne otwory po czterech gwoździach z każdej strony, usytuowane w rowku. Jeden gwóźdź mocujący zachował się w całości. Taki sposób mocowania podkowy chronił główkę gwoździa przed zbyt szybkim ścieraniem się i odpadnięciem podkowy. Analogiczne podkowy określa B. Gierlach jako typ delta[22]. W czasie badań podwodnych w pobliżu grodziska znaleziono także skorodowany i przełamany w dwóch miejscach żelazny sierp (tabl. 2:3), o lekko łukowatym kształcie, który ma całkowitą długość ok. 29 cm, zaś szerokość jego ostrza wynosi ok. 2 cm, a grubość od strony grzbietowej ok. 0,9 cm.

[10] J. Okulicz 1973: ryc. 50:b; Więckowska i Kempisty 1970: tabl. 14:1, 3, 5.

[11] Fedorczyk 1998: 140.

[12] Karczewski 1998: tabl. 3:6.

[13] Por. w niniejszej publikacji opracowanie wyników badań grodziska w Łodygowie, st. 2.

[14] Manasterski 2009; Kurzyk 2013.

[15] Bokiniec 2006: ryc. 1A.

[16] Bokiniec 2006: 189, ryc. 1.

[17] Kurzyk i Werra 2011.

[18] Bokiniec 2006.

[19] J. Żurek 1954; Kilian 1955; Wiślański 1966; Nosek 1967; Machnik 1979; Bokiniec 2006; Czebreszuk 1996; 2000; Szmyt 1996; 1999; Jóźwiak 2003; Manasterski 2009.

[20] Manasterski 2009.

[21] Pydyn 2013.

[22] Gierlach 1972: 47, tabl. 6; 71–72.

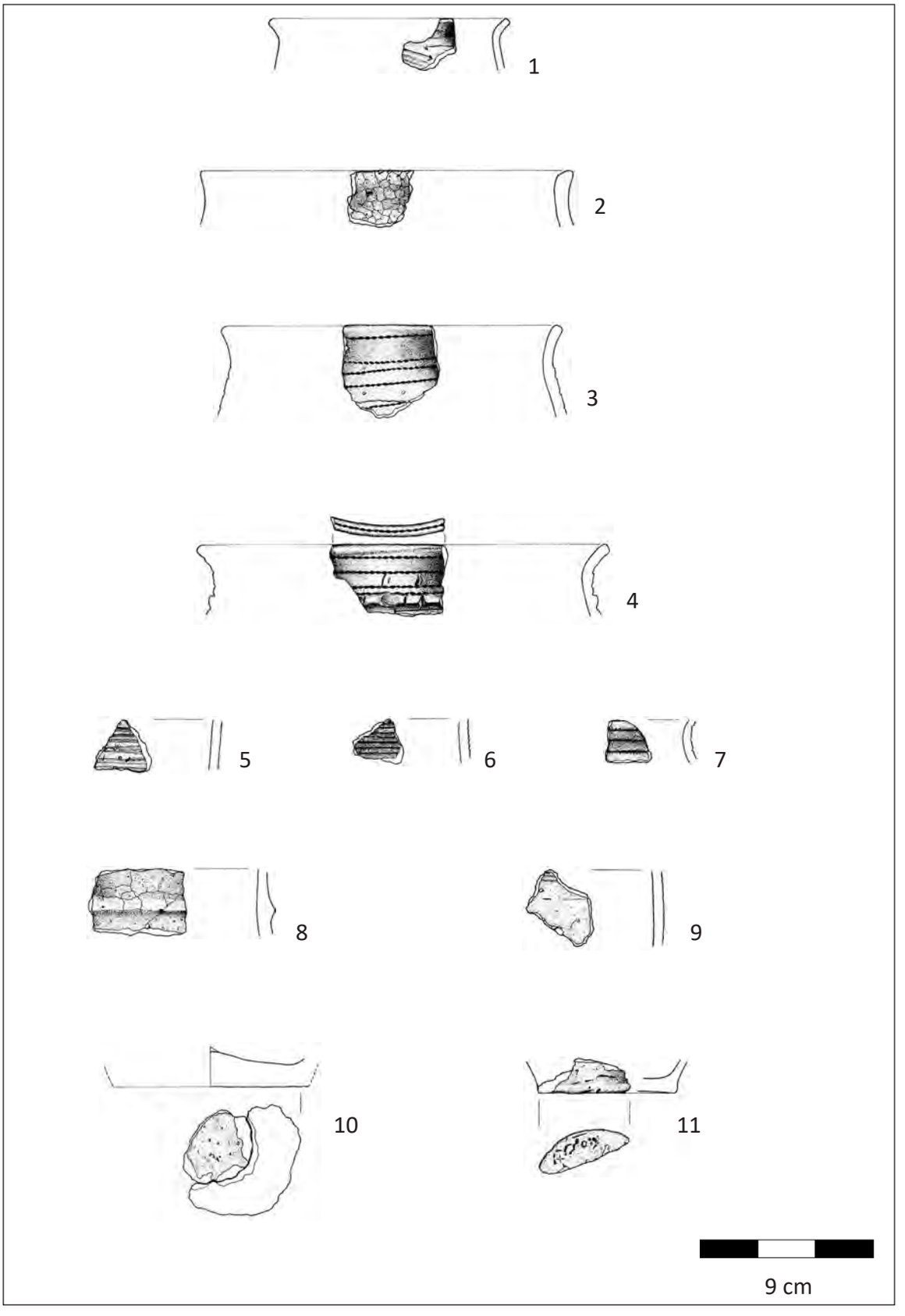

Tablica 1. Wieprz, st. 1 – wyspa Bukowiec. Ceramika (rys. D. Wach)

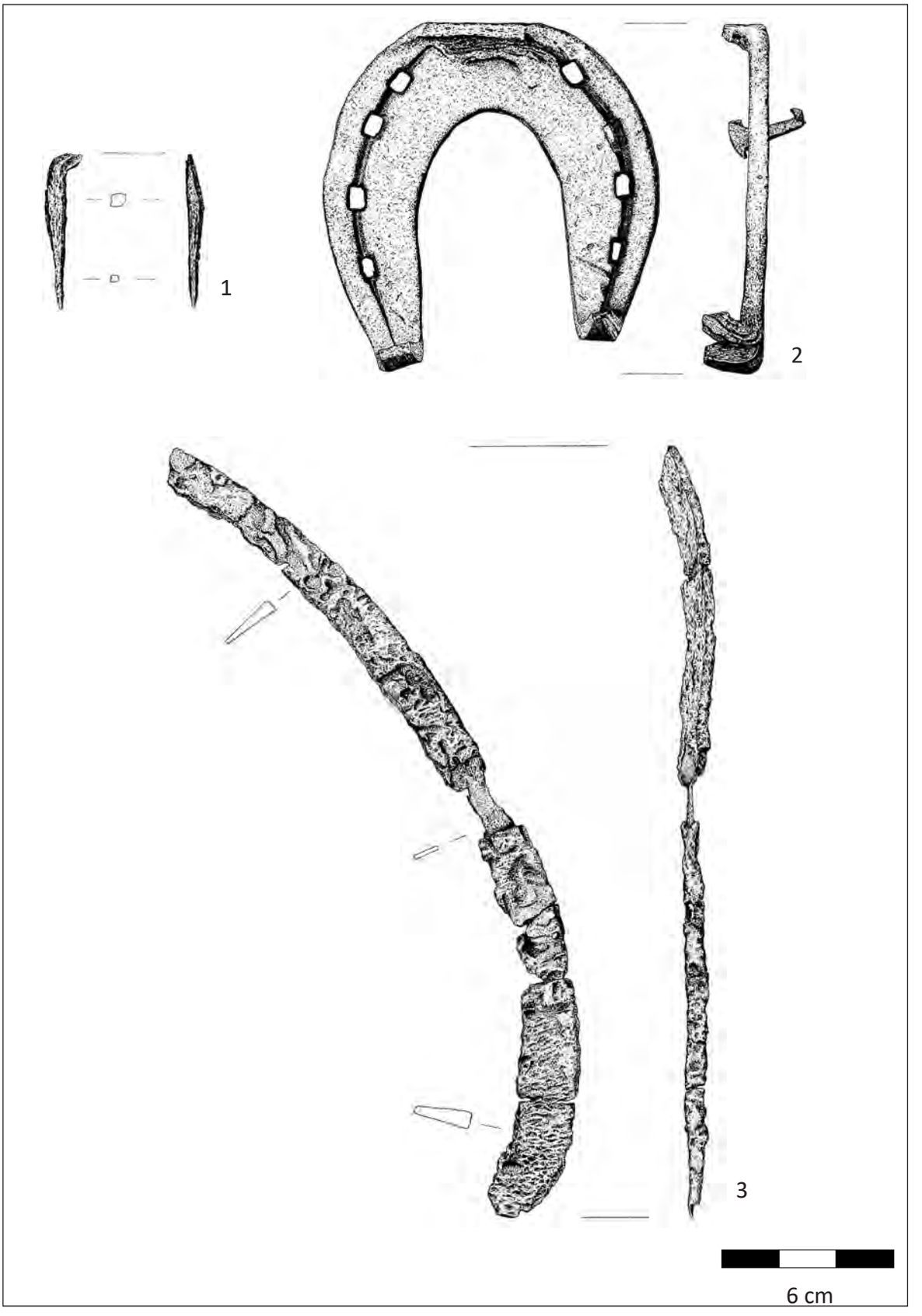

Tablica 2. Wieprz, st. 1 – wyspa Bukowiec. Zabytki wydzielone (rys. D. Wach)

CHRONOLOGIA STANOWISKA

W trakcie badań wykopaliskowych pozyskano wyłącznie ceramikę datowaną na neolit – wczesną epokę brązu. Materiał ceramiczny odkryty w nawarstwieniach kulturowych wiązanych z fazą II i III znalazł się w tych warstwach wtórnie – w trakcie budowy grodziska.

Przeprowadzono również datowanie radiowęglowe. Do analizy wybrano kawałek węgla drzewnego ze spągu warstwy 38 (Faza IIA), będącej jednym z poziomów użytkowych w fosie zewnętrznej (W1). Datowanie po kalibracji dało przedział lat 1669–1994 z prawdopodobieństwem 95,4%. Prawdopodobnie pobrana próbka została zanieczyszczona współczesnym materiałem organicznym[23].

[23] Kobyliński 2016.

DZIEJE GRODZISKA NA WYSPIE BUKOWIEC NA JEZIORZE JEZIORAK

MAGDALENA RUTYNA I DARIUSZ WACH

Grodzisko w Wieprzu, st. 1 (wyspa Bukowiec) ma zachowaną wyraźną formę terenową, z dogodnymi warunkami jeśli chodzi o jego obronność. Zaskakujący jest fakt, iż przy czytelnym układzie konstrukcyjnym liczba znalezisk archeologicznych (ceramiki i innych zabytków) jest znikoma. Na podstawie materiału ceramicznego pozyskanego w trakcie badań archeologicznych można przypuszczać, że w późnej epoce neolitu lub w początkach epoki brązu w miejscu tym funkcjonowała otwarta osada. Druga faza użytkowania tego stanowiska przypada być może na wczesną epokę żelaza. Wskazuje na to obecność konstrukcji obronnych charakterystycznych dla tej epoki. Jednak brak ceramiki z wczesnej epoki żelaza nie pozwala na dokładne ustalenie chronologii stanowiska. Nasuwa się wniosek, że grodzisko to albo tuż po zbudowaniu opuszczono, albo też użytkowano je w tak mało intensywny sposób, że ślady tego nie zachowały się w ewidencji zabytkowej. Z pewnością należy odrzucić tezy wysunięte przez autorów badań z 1997 roku – datujące stanowisko na czasy napoleońskie.

Wieprz, st. 20

Gmina Zalewo

Powiat iławski

AZP 24-53/25

Współrzędne geograficzne:

N 53° 45’ 26’’

E 19° 37’ 15’’

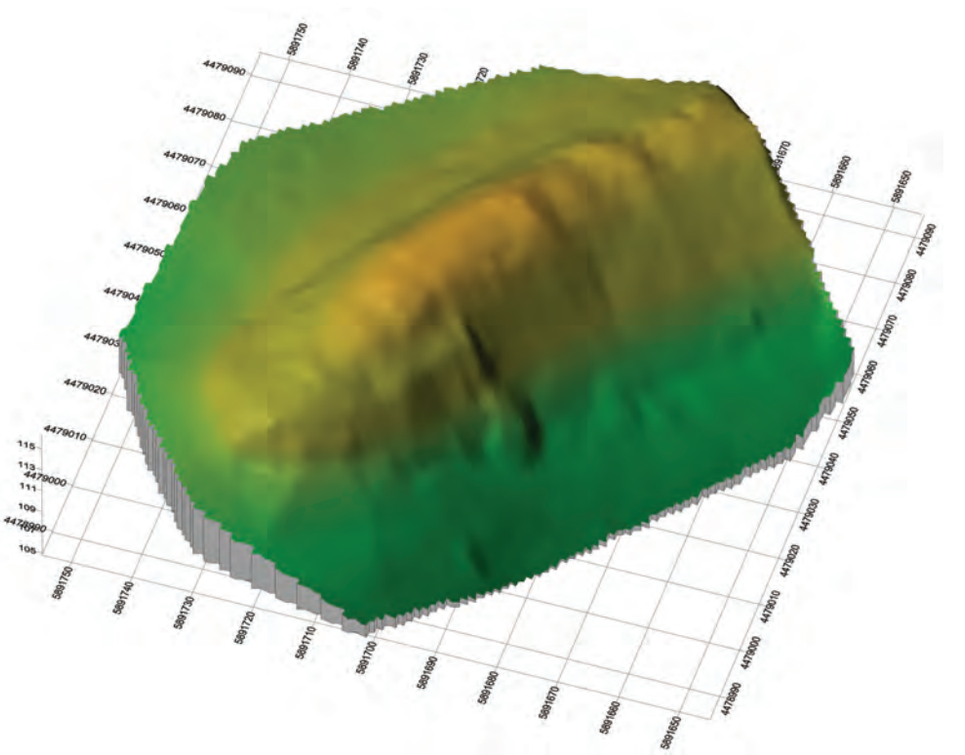

Ryc. 1. Grodzisko w Wieprzu, st. 20 na mapie w skali 1:25 000 (na podstawie materiałów CODGiK, oprac. R. Solecki)

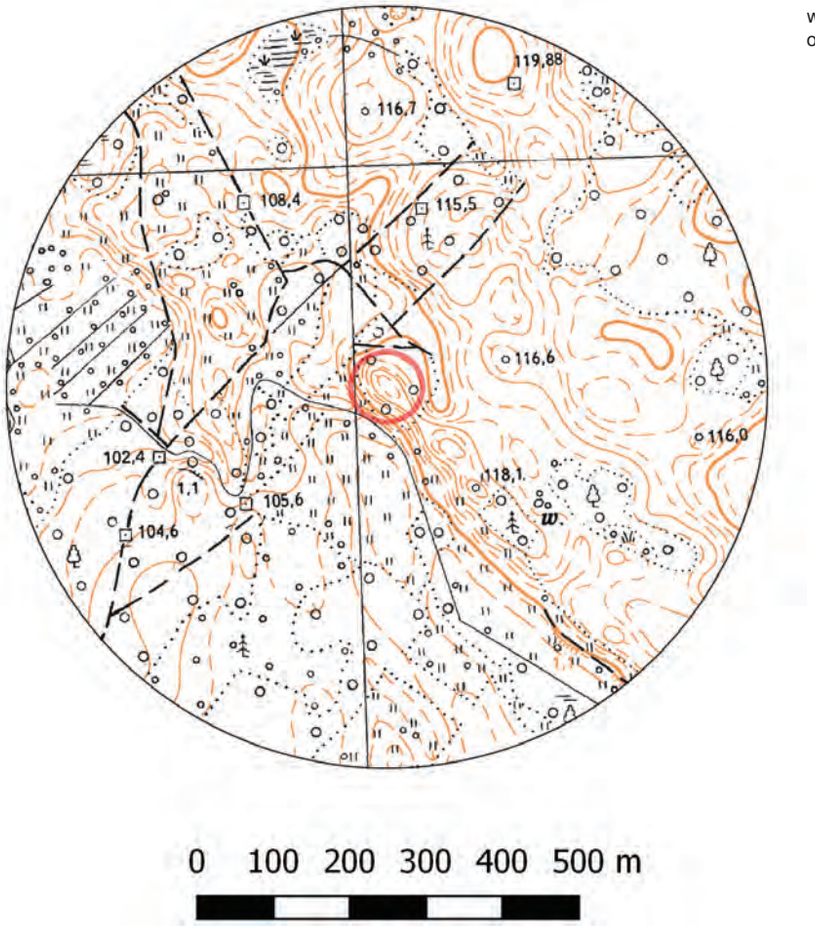

Ryc. 2. Grodzisko w Wieprzu, st. 20 na mapie w skali 1:10 000 (na podstawie materiałów CODGiK, oprac. R. Solecki)

POŁOŻENIE GRODZISKA I JEGO FORMA

RAFAŁ SOLECKI I JACEK WYSOCKI

Grodzisko w Wieprzu, st. 20 znajduje się w połowie odległości pomiędzy wsią Wieprz (*Weepers*) i nieistniejącą dziś wsią Pomielin (*Pomehlen*) (ryc. 1–2). Stanowisko, położone na wybitnym garbie terenowym – cyplu wysoczyzny, w terenie jest bardzo słabo widoczne (ryc. 3–4). Możliwe jest zaobserwowanie czterech linii wałów i trzech fos, ułożonych na azymucie około 35° (ryc. 5–6) Znajdują się one w południowo-wschodniej części grodziska, gdzie odcinają dostęp do cypla od strony wysoczyzny. Ich widoczna w terenie długość waha się od około 10 m (bliżej majdanu) do około 15 m (dalej od majdanu). Oznaczono je licząc od strony majdanu, jako Wał majdanu, Wał I, II i III oraz Fosa I, II i III. Wysokości kolejnych wałów i fos na poziomie stropu humusu wzdłuż linii północnej ściany wykopu mają następujące wartości:

- średni poziom majdanu – 116,25 m n.p.m.
- Wał majdanu – 116,44 m n.p.m.
- Fosa I – 115,55 m n.p.m.
- Wał I – 115,63 m n.p.m.
- Fosa II – 114,97 m n.p.m.
- Wał II – 115,23 m n.p.m.
- Fosa III – 114,64 m n.p.m.
- Wał III – 114,83 m n.p.m.

ŚRODOWISKO FIZYCZNO-GEOGRAFICZNE

JERZY NITYCHORUK I FABIAN WELC

Grodzisko w Wieprzu, st. 20 położone jest na wysoczyźnie polodowcowej, którą urozmaicają pagórki moreny czołowej[1]. Wysoczyźnie towarzyszą pola piasków wodnolodowcowych, które podobnie jak osady glacjalne powstały w stadiale górnym zlodowacenia Wisły. Liczne zagłębienia są wypełnione torfem, który tworzył się w holocenie (ryc. 7).

Dominującym typem gleb na opisywanym obszarze są gleby płowe na glinach zwałowych, jednak obniżenia na SW od stanowiska, wypełnione torfami, pokrywają gleby bagienne. Dalej na SW występują piaski ze słabo urodzajnymi glebami bielicowymi.

Grodzisko usytuowane jest na izolowanym, owalnym pagórku o stromych zboczach, zbudowanym z gliny zwałowej, mającym wąskie połączenie z wysoczyzną. Właśnie w miejscu owego kontaktu z wysoczyzną widoczne są w morfologii pagórka niewielkie obniżenia i wyniosłości, które poddano badaniom. W drugim obniżeniu od strony majdanu

Ryc. 3. Widok grodziska w Wieprzu, st. 20 od strony północno-zachodniej (fot. J. Wysocki, oprac. R. Solecki)

Ryc. 4. Widok majdanu grodziska w Wieprzu, st. 20 od strony południowo-wschodniej (fot. J. Wysocki)

(wiercenie W-2) stwierdzono do głębokości 1,4 m piasek gliniasty z węglami drzewnymi barwy szaro-brązowej, natomiast w pierwszym obniżeniu (wiercenie W-4) do głębokości 1 m piasek gliniasty szaro-brązowy, również z fragmentami węgli drzewnych. Między obniżeniami (wiercenie W-3) występuje od 0,3 m glina ilasto-piaszczysta barwy brązowej. Z tej sytuacji wynika, że obniżenia zostały wykonane intencjonalnie i miały charakter fos oddzielających pagórek od wysoczyzny. Wiercenie W-1, wykonane w centrum pagórka, dokumentuje do głębokości 0,9 m piasek gliniasty z węglami drzewnymi, barwy szaro-brązowej, będący najprawdopodobniej warstwą kulturową. Pod tymi osadami występuje do 2 m głębokości glina ilasto-piaszczysta, brązowa, która nie zawierała artefaktów i stanowiła calec. Jak się okazało po wykonaniu wkopów archeologicznych, wypełnisko fos było głębsze niż pokazały to wiercenia (ryc. 8–9).

[1] Rabek i Narwojsz 2008.

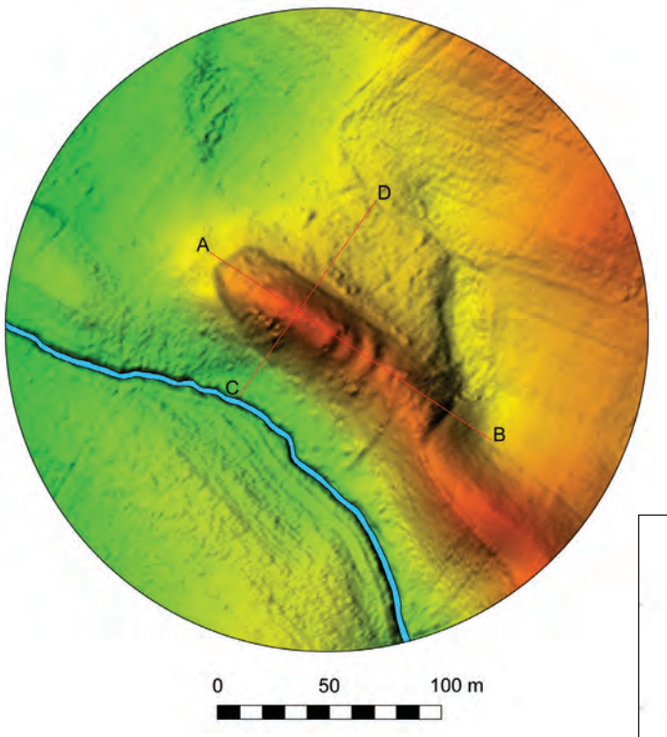

Ryc. 5. Grodzisko w Wieprzu, st. 20 na zobrazowaniu ALS (na podstawie materiałów CODGiK, oprac. R. Solecki)

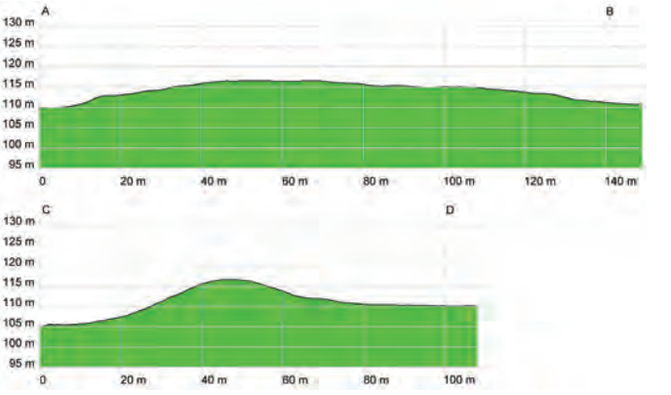

Ryc. 6. Przekroje grodziska w Wieprzu, st. 20 po dwóch liniach uzyskane z danych ALS (na podstawie materiałów CODGiK, oprac. R. Solecki)

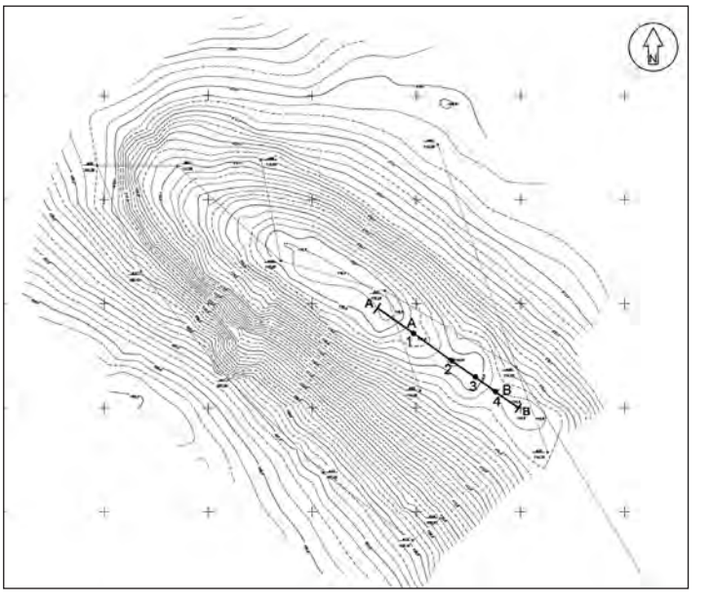

Ryc. 8. Plan grodziska w Wieprzu, st. 20 z lokalizacją odwiertów geologicznych (oprac. J. Nitychoruk i F. Welc)

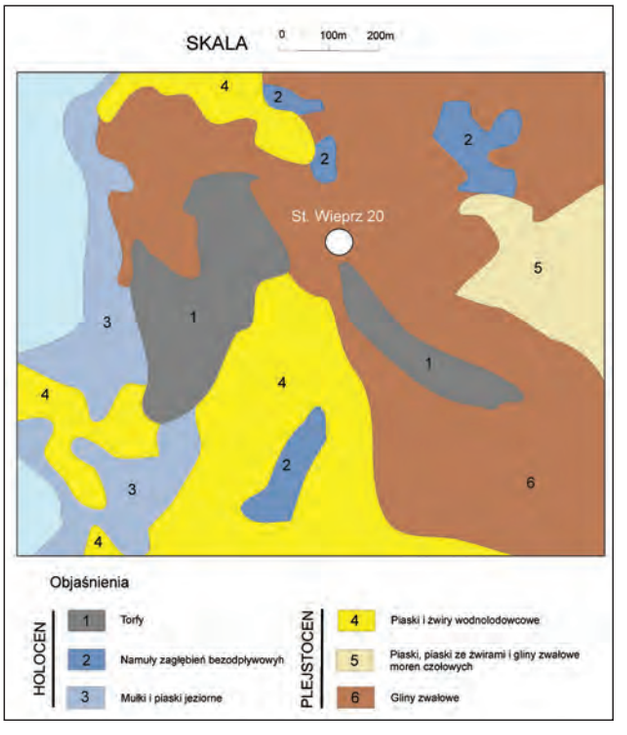

Ryc. 7. Mapa geologiczna obejmująca obszar wokół grodziska w Wieprzu, st. 20 (oprac. J. Nitychoruk i F. Welc)

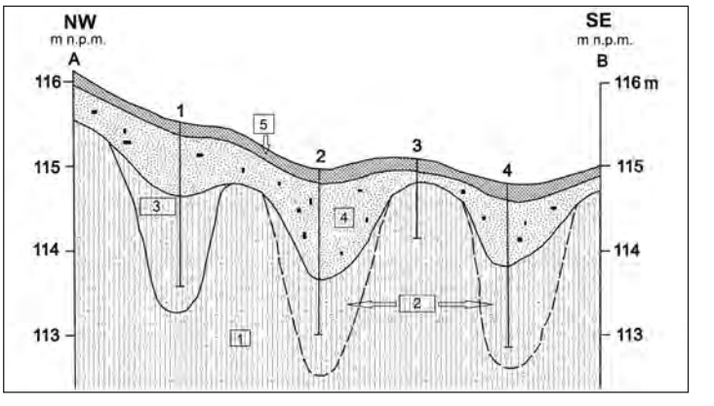

Ryc. 9. Profil geologiczny grodziska w Wieprzu, st. 20: 1 – glina zwałowa, 2–3 – gliniasto–piaszczyste wypełniska fos, 4 – warstwy archeologiczne, 5 – humus oraz gleba (oprac. J. Nitychoruk i F. Welc)

BADANIA ARCHEOLOGICZNE

RAFAŁ SOLECKI I JACEK WYSOCKI

Przebieg badań terenowych

Stanowisko zostało odkryte w trakcie badań powierzchniowych AZP w 1989 roku przez Marię Wielgus i Jacka Wysockiego i określone wówczas jako grodzisko wczesnośredniowieczne. Do tej pory nie było jednak badane wykopaliskowo.

Przystępując do badań w ramach projektu NPRH *Katalog grodzisk Warmii i Mazur* w roku 2013 zdecydowano się na zastosowanie jednego długiego wykopu o wymiarach 2 x 42 m, usytuowanego na osi prostopadłej do osi widocznych reliktów fos i wałów. Jego jeden koniec obejmował obszar majdanu, od około połowy jego długości, na długości około 7 m, a drugi koniec sięgał podnóża wypiętrzenia od strony południowo-wschodniej. Łączna przebadana powierzchnia wynosi 84 m^2 (ryc. 10–11).

Stratygrafia stanowiska

W trakcie badań archeologicznych wydzielono łącznie 82 jednostki stratygraficzne, które podzielono na cztery główne fazy związane z użytkowaniem tego obszaru (tab. 1 i ryc. 12).

Warstwy naturalne

Podłożem archeologicznej stratyfikacji stanowiska jest jednostka 26. Składają się na nią zwarte, twarde gliny zwałowe barwy od żółtej, przez pomarańczową, po brązową. Pomiędzy kolejnymi laminacjami tych glin występują soczewki sypkich piasków z rdzawymi, żelazistymi wytrąceniami oraz konglomeraty żwiru i kamieni. Pojedyncze kamienie występują także sporadycznie w obrębie pokładów gliny.

Faza I

Faza I związana jest z budową umocnień – wałów (z prawdopodobnymi konstrukcjami drewnianymi) i fos (ryc. 13–15).

Wał majdanu ma u podstawy ok. 3,9 m szerokości, a zachowana wysokość dochodzi do 0,35 m. Najwyższy punkt zachowanego nasypu osiąga poziom 116,26 m n.p.m. Zbudowano go ze zwartej, twardej, lekko ziemistej gliny (4) leżącej na calcu. Poniżej warstwy 4 natrafiono na dwa doły posłupowe:

- dół posłupowy 30, kwadratowy w planie, U-kształtny w przekroju, o długości boku do 90 cm i głębokości do 80 cm; jego wypełniskiem jest ziemista glina z dużą liczbą kamieni (31), wśród których natrafiono na kilka kamiennych rozcieraczy;
- dół posłupowy 32, kwadratowy w planie, U-kształtny w przekroju, o długości boku do 80 cm i głębokości do 50 cm; jego wypełniskiem jest ciemna, twarda glina (33).

Doły te ułożone są na osi równoległej do osi nasypu i wyznaczają najpewniej linię palisady okalającej majdan, która pierwotnie wzmocniona była opisanym wyżej nasypem. Na wschód od palisady, na zewnętrznym stoku wału zaobserwowano lekko piaszczystą i ziemistą glinę 55, która formowała skłon wału.

Wał I ma u podstawy ok. 5,1 m szerokości, a zachowana wysokość dochodzi do 0,4 m. Najwyższy uchwycony punkt osiąga poziom 115,46 m n.p.m. Na nasyp wału składają się, w kolejności stratygraficznej: lekko ziemista, zwarta glina (48) i zwarta glina (6), która w części stropowej kruszy się i pyli.

Wał II ma u podstawy ok. 4,3 m szerokości, a zachowana wysokość dochodzi do 0,4 m. Najwyższy jego punkt osiąga poziom 115,07 m n.p.m. Nasyp tego wału tworzy lekko ziemista glina (8). Przy zewnętrznej krawędzi wału, na styku z Fosą III zanotowano obecność dużego kamienia (średnicy 30 cm), który pierwotnie mógł stanowić umocnienie wału.

Wał III zachował się jedynie w formie podłużnej soczewki lekko ziemistej gliny (71) miąższości do 20 cm, której najwyższy punkt osiąga poziom ok. 114,68 m n.p.m. Podobnie, jak w przypadku Wału II, zanotowano obecność dużego kamienia (średnicy 60 cm) na styku z Fosą III.

Przestrzeń pomiędzy wałami tworzy fosy. Fosa I (38) ma szerokość ok. 3,9 m, a jej najniższy punkt znajduje się na poziomie 114,04 m n.p.m. Różnica wysokości pomiędzy dnem fosy, a szczytem Wału majdanu po osi ściany północnej wykopu wynosi ok. 2,1 m. Różnica wysokości pomiędzy dnem fosy, a szczytem Wału I po tej samej osi wynosi ok. 1,4 m. Fosa II (39) ma szerokość ok. 5,5 m, a jej najniższy punkt znajduje się na poziomie 112,9 m n.p.m. Różnica wysokości pomiędzy dnem fosy, a szczytem Wału I po osi ściany północnej wykopu wynosi ok. 2,5 m. Różnica wysokości pomiędzy dnem fosy, a szczytem Wału II po tej samej osi wynosi ok. 2,1 m. Fosa III (82) ma szerokość ok. 5,4 m, a jej najniższy punkt znajduje się na poziomie 113,01 m n.p.m. Różnica wysokości pomiędzy dnem fosy, a szczytem Wału II po osi północnej ściany wykopu wynosi ok. 2 m. Różnica wysokości pomiędzy dnem fosy, a powierzchnią gruntu poza stanowiskiem po tej samej osi wynosi około 1,5 m.

Wały grodziska są bardzo silnie zniszczone i nie można na podstawie zachowanych reliktów określić ich konstrukcji. Biorąc jednak pod uwagę znaczną głębokość odkrytych fos (i wypełniających je warstw erozyjnych), należy sądzić, że były to pierwotnie konstrukcje zdecydowanie wyższe niż ich zachowane pozostałości.

Faza IIA, IIB, IIC i IID

Kolejna faza dziejów stanowiska to okres funkcjonowania grodziska. Jednostki stratygraficzne zwią-

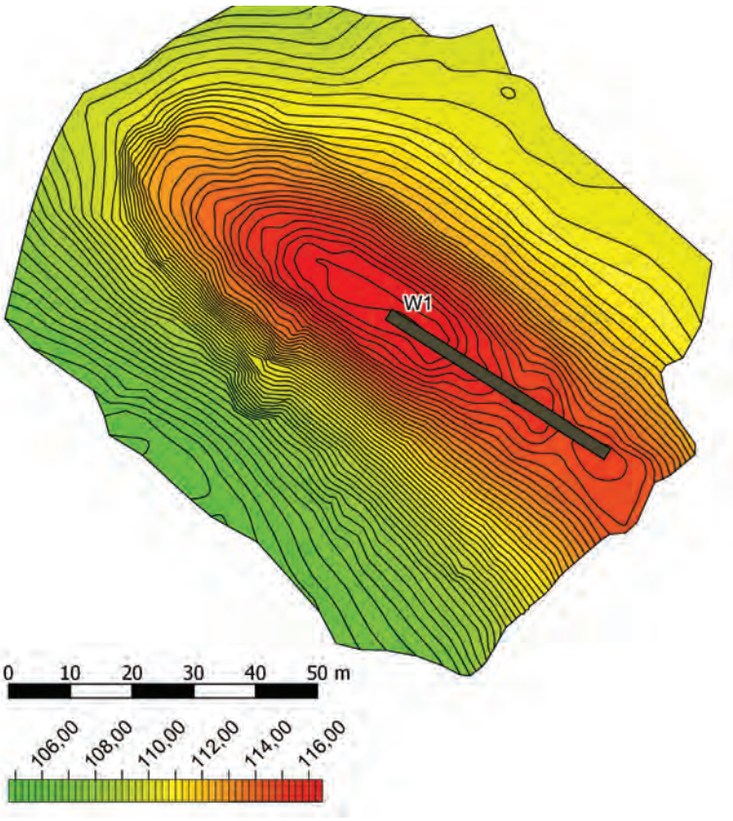

Ryc. 10. Plan warstwicowy grodziska w Wieprzu, st. 20 z zaznaczonym wykopem badawczym (na podstawie pomiarów J. Błaszczyka, oprac. R. Solecki)

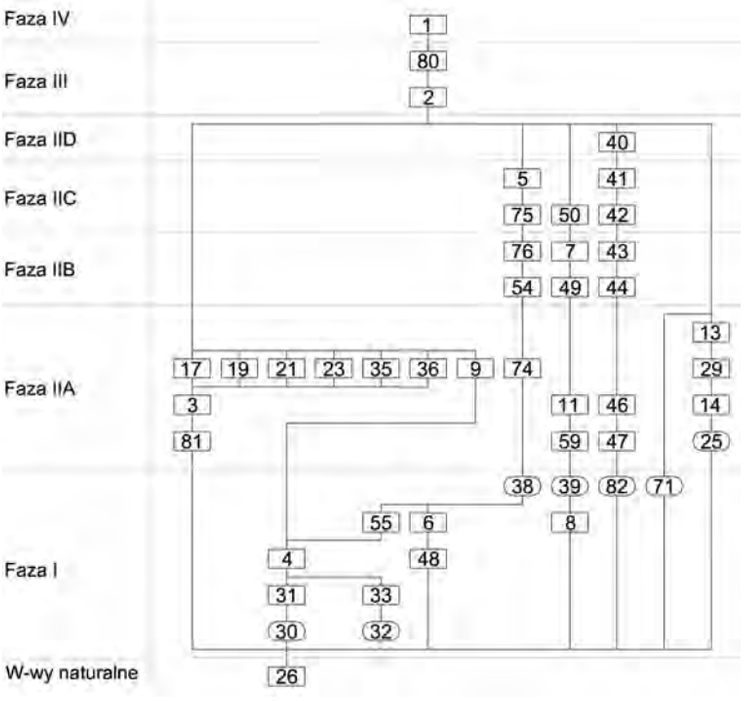

Ryc. 12. Wieprz, st. 20. Diagram relacji stratygraficznych (oprac. R. Solecki)

Ryc. 11. Wieprz, st. 20. Widok ogólny wykopu w czasie eksploracji (fot. Z. Kobyliński)

zane z tą fazą manifestują się głównie w warstwach będących wypełniskami fos i na obszarze majdanu (ryc. 14–15). W obrębie tej fazy możliwe jest wydzielenie co najmniej czterech okresów, które należą do tego samego horyzontu chronologicznego. Niestety ze względu na brak bezpośrednich relacji stratygraficznych pomiędzy nawarstwieniami z kolejnych fos, nie jest możliwe zbudowanie ich wspólnej chronologii. Z tego względu konieczne jest opisanie ich w obrębie jednej fazy, gdyż podział spowodowałby potencjalne nieścisłości w narracji.

W Fosie I (38) najstarszy okres (IIA) jest reprezentowany przez zwartą, twardą, lekko piaszczystą

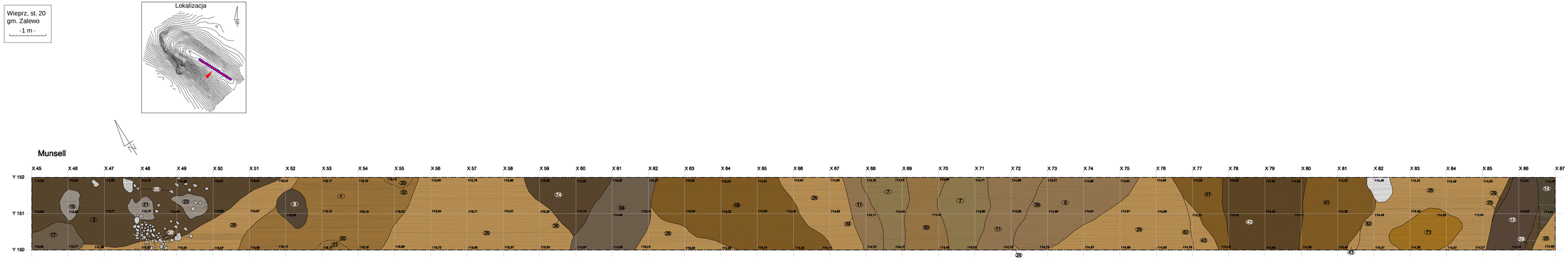

Ryc. 13. Wieprz, st. 20. Plan wykopu 1 na poziomie warstw związanych z Fazą I i II (oprac. R. Solecki i J. Wysocki)

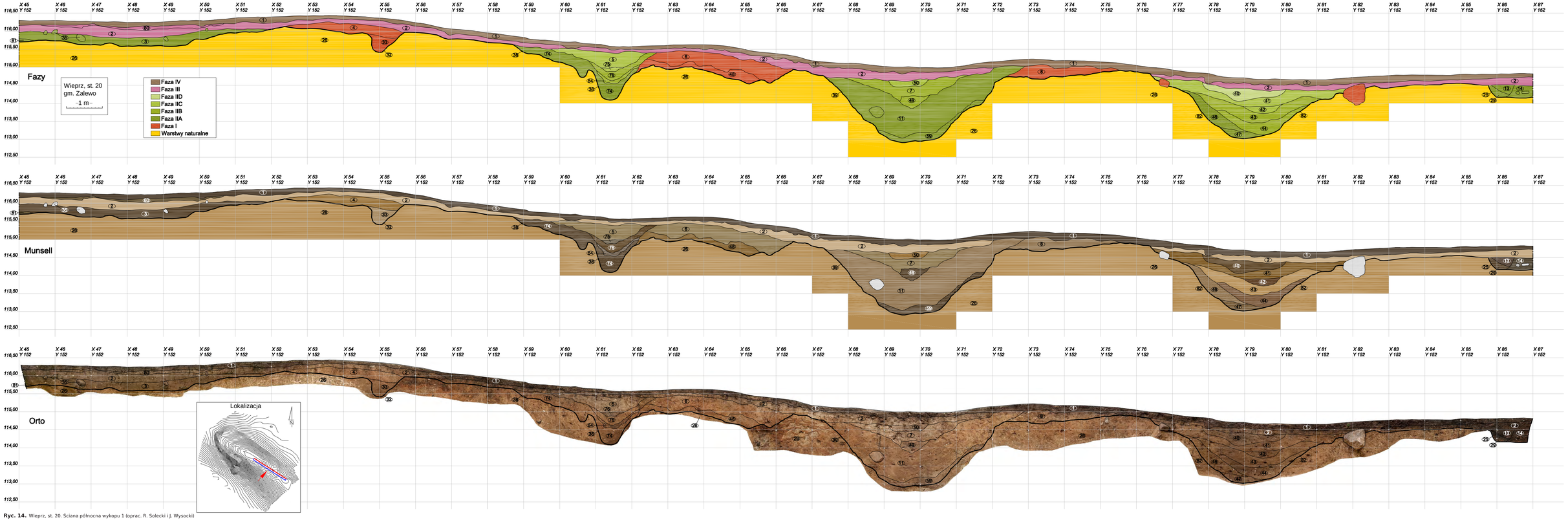

Ryc. 14. Wieprz, st. 20. Ściana północna wykopu 1 (oprac. R. Solecki i J. Wysocki)

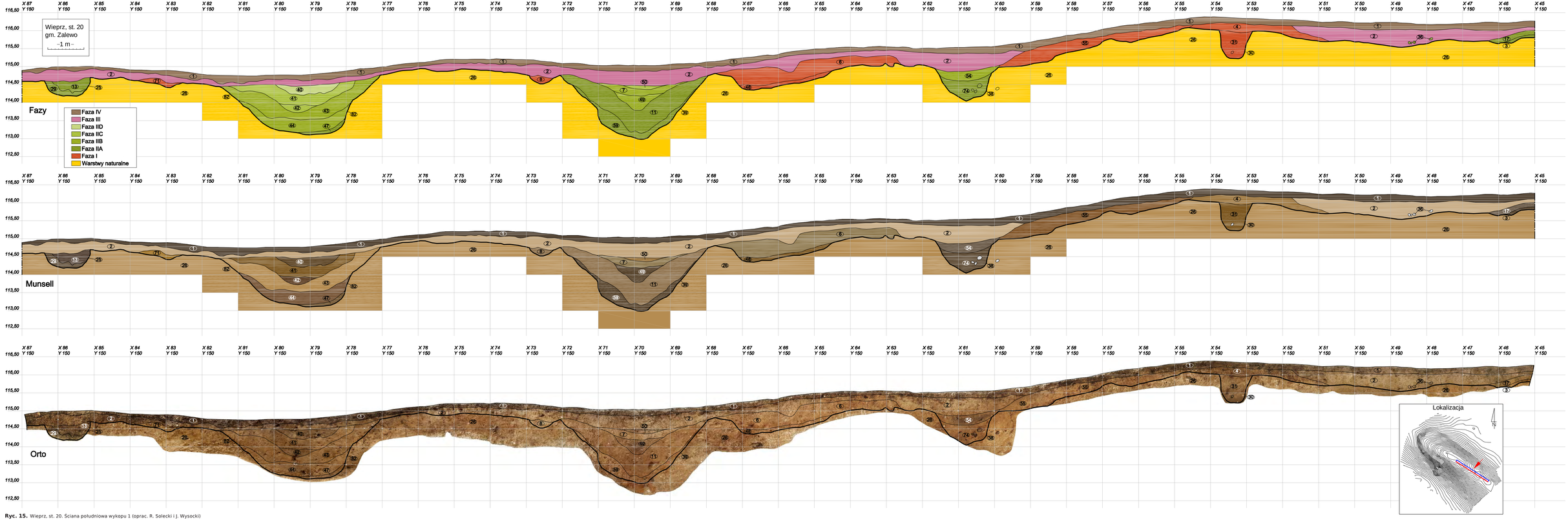

Ryc. 15. Wieprz, st. 20. Ściana południowa wykopu 1 (oprac. R. Solecki i J. Wysocki)

Tabela 1. Wieprz, st. 20. Badania w roku 2013. Katalog warstw i obiektów oraz ich zależności stratygraficznych (oprac. R. Solecki)

Numer jednostki	Numer obiektu	Położenie w obrębie stanowiska	Współrzędne siatki pomiarowej stanowiska	Opis jednostki stratygraficznej	Barwa (Munsell)	Pozycja stratygraficzna	
						Znajduje się pod	Znajduje się nad
1	-	Całe stanowisko	X=45–87; Y=150–152	Ciemnoszara, miejscami lekko brązowa, piaszczysta ziemia; miąższość do 20 cm; humus leśny	10YR 3/2	-	2, 80
2	-	Całe stanowisko	X=45–87; Y=150–152	Przemieszana ziemia i piasek; miąższość do 30 cm; warstwa erozyjna narosła po opuszczeniu stanowiska	10YR 7/4	1, 80	3
3	-	Obszar majdanu	X=45–52; Y=150–152	Poziom zbitej ziemi przemieszanej z piachem; miąższość do 30 cm; poziom użytkowy z okresu funkcjonowania grodziska	10YR 3/3	2	81
4	-	Wał majdanu	X=50,70–55,80; Y=150–152	Lekko ziemista glina; miąższość do 35 cm; relikt Wału majdanu	10YR 5/6	2	33, 53
5	-	Fosa I	X=62,30–66,50; Y=150–152	Pylasty piasek; miąższość do 55 cm; warstwa erozyjna w obrębie Fosy I, narosła po opuszczeniu grodziska	2,5Y 5/4	2	75
6	-	Wał I	X=62,30–66,50; Y=150–152	Glina, w części stropowej pylasta; miąższość do 55 cm; relikt Wału I	2,5Y 5/4	38	48
7	39	Fosa II	X=67,80–71,40; Y=150–152	Pylasty piasek; miąższość do 45 cm; wypełnisko Fosy II	2,5Y 5/4	50	49
8	-	Wał II	X=72,30–75,60; Y=150–152	Lekko ziemista glina; miąższość do 40 cm; relikt Wału II	10YR 5/4	39	26
9	-	Wał majdanu	X=51,60–52,70; Y=150,50–151,80	Soczewka ciemnej gliny; miąższość do 5 cm	10YR 3/2	2	4
11	39	Fosa II	X=67,30–72,10; Y=150–152	Piaszczysta glina; miąższość do 110 cm; wypełnisko Fosy II	10YR 5/4	49	59
13	25	U podstawy wyniesienia grodziska	X=85–86,60; Y=150–152	Ciemna ziemia; miąższość do 40 cm; wypełnisko rowu 25	7,5YR 3/2	2	29
14	25	U podstawy wyniesienia grodziska	X=86,20–87; Y=150,20–152	Gliniasta ziemia; miąższość do 50 cm; wypełnisko rowu 25	2,5Y 3/2	29	25
17	-	Obszar majdanu	X=45–46,40; Y=150–150,60	Piaszczysta ziemia; miąższość do 15 cm; warstwa powstała w trakcie funkcjonowania grodziska	10YR 4/2	2	3
19	-	Obszar majdanu	X=45,90–46,50; Y=151–151,90	Szara ziemia z drobinami węgielków drzewnych; miąższość do 5 cm; relikt paleniska	10YR 6/1	2	3
21	-	Obszar majdanu	X=47,40–48,40; Y=150,60–151,60	Szara ziemia z drobinami węgielków drzewnych; miąższość do 5 cm; relikt paleniska	10YR 6/1	2	3
23	-	Obszar majdanu	X=48,80–49,20; Y=150,10–151,60	Szara ziemia z drobinami węgielków drzewnych; miąższość do 5 cm; relikt paleniska	10YR 6/1	2	3
25	25	U podstawy wyniesienia grodziska	X=85–87; Y=150–152	Regularny, nieckowaty w profilu wąski rowek; szer. do 130 cm, gł. do 50 cm		29	14, 26
26	-	Całe stanowisko	X=45–87; Y=150–152	Glina z soczewkami sypkiego piasku i żwiru; calec	10YR 6/6	81	-
29	25	U podstawy wyniesienia grodziska	X=85–86,60; Y=150–152	Konglomerat spalenizny, węgli drzewnych, przepalonej polepy, ceramiki oraz gliny; miąższość do 40 cm; wypełnisko rowu 25	10YR 3/3	13	14, 25
30	30	Wał majdanu	X=52,80–53,80; Y=150–150,60	Dół posłupowy, kwadratowy w planie, U-kształtny w przekroju; bok do 90 cm, gł. do 80 cm		31	26
31	30	Wał majdanu	X=52,80–53,80; Y=150–150,60	Ziemista glina z dużą liczbą kamieni; wypełnisko dołu posłupowego 30	10YR 4/6	4	30
32	32	Wał majdanu	X=54,50–55,50; Y=151,50–152	Dół posłupowy, kwadratowy w planie, U-kształtny w przekroju; bok do 80 cm, gł. do 50 cm		33	26
33	32	Wał majdanu	X=54,50–55,50; Y=151,50–152	Ciemna, twarda gliny; wypełnisko dołu posłupowego 32	10YR 6/4	4	32
35	-	Obszar majdanu	X=46,50–49,90; Y=151–152	Skupisko kamieni		2	3
36	-	Obszar majdanu	X=47,20–49,50; Y=150–151	Skupisko kamieni		2	3
38	38	Fosa I	X=58,60–62,70; Y=150–152	Nieregularnie V-kształtny w przekroju rów; szer. do 390 cm, gł. do 130 cm; Fosa I		74	6, 26
39	39	Fosa II	X=67,30–72,10; Y=150–152	Regularny, nieckowaty w przekroju rów; szer. do 550 cm, gł. do 170 cm; Fosa II		59	8, 26
40	82	Fosa III	X=77,70–80,20; Y=150–152	Lekko gliniasta, lekko piaszczysta ziemia; miąższość do 35 cm; wypełnisko Fosy III	10YR 3/4	2	41
41	82	Fosa III	X=76,30–81,80; Y=150–152	Lekko piaszczysta glina; miąższość do 40 cm; wypełnisko Fosy III	10YR 4/6	40	42
42	82	Fosa III	X=78,80–80,20; Y=150–152	Lekko gliniasta ziemia; miąższość do 20 cm; wypełnisko Fosy III	7,5YR 3/4	41	43

Tabela 1. Ciąg dalszy

Numer jednostki	Numer obiektu	Położenie w obrębie stanowiska	Współrzędne siatki pomiarowej stanowiska	Opis jednostki stratygraficznej	Barwa (Munsell)	Pozycja stratygraficzna	
						Znajduje się pod	Znajduje się nad
43	82	Fosa III	X=77–81,60; Y=150–152	Twarda, ziemista glina; miąższość do 70 cm; wypełnisko Fosy III	10YR 6/6	42	44
44	82	Fosa III	X=77,80–81; Y=150–152	Lekko ziemista glina z domieszką żwiru; miąższość do 40 cm; wypełnisko Fosy III	7,5YR 4/4	43	46, 47
46	82	Fosa III	X=77,20–79,20; Y=150,60–152	Lekko piaszczysta glina; miąższość do 40 cm; wypełnisko Fosy III	10YR 5/4	44	47
47	82	Fosa III	X=78,30–79,60; Y=150–152	Lekko ziemista glina z drobinami węgli drzewnych; miąższość do 20 cm; wypełnisko Fosy III	10YR 4/4	44, 46	82
48	-	Wał I	X=62–67,80; Y=150–152	Lekko ziemista, zwarta glina; miąższość do 30 cm; nasyp Wału I	10YR 4/6	6	26
49	39	Fosa II	X=69,20–70,60; Y=150–152	Ziemisty piasek; miąższość do 35 cm; wypełnisko Fosy II	10YR 3/3	7	11
50	39	Fosa II	X=69,10–70,30; Y=150–152	Ziemisty piasek; miąższość do 20 cm; wypełnisko Fosy II	10YR 5/5	2	7
54	38	Fosa I	X=59,80–62,30; Y=150–152	Ziemia z domieszką ilastego piasku; miąższość do 30 cm; wypełnisko Fosy I	10YR 4/2	76	74
55	-	Wał majdanu	X=54,50–59,90; Y=150–151,60	Lekko piaszczysta, ziemista glina; miąższość do 50 cm; niwelacja formująca stok Wału majdanu	7,5Y 4/6	38	4
59	39	Fosa II	X=68,70–71,80; Y=150–152	Gliniasta ziemia; miąższość do 50 cm; wypełnisko Fosy II	10YR 3/3	11	39
71	-	Wał III	X=81,90–84,30; Y=150–151,30	Lekko ziemista glina; miąższość do 20 cm; relikt Wału III	10YR 5/8	2	26
74	38	Fosa I	X=58,50–62,20; Y=150–152	Zwarta, twarda, lekko piaszczysta glina; miąższość do 60 cm; wypełnisko Fosy I	10YR 3/3	54	38
75	38	Fosa I	X=61,10–61,90; Y=150–152	Ziemia z domieszką ilastego piasku; miąższość do 10 cm; wypełnisko Fosy I	2,5Y 4/2	5	76
76	38	Fosa I	X=60,70–62,70; Y=150–152	Lekko piaszczysta glina; miąższość do 25 cm; wypełnisko Fosy I	10YR 3/4	75	54
80	-	Obszar majdanu	X=45,40–50,60; Y=151–152	Brązowa, piaszczysta ziemia; miąższość do 10 cm; warstwa podściółkowa	2,5Y 4/3	1	2
81	-	Obszar majdanu	X=45–45,40; Y=151,50–152	Lekko piaszczysta ziemia; miąższość do 10 cm; soczewka o nieokreślonej funkcji	2,5Y 3/4	3	26
82	82	Fosa III	X=76,30–81,90; Y=151,50–152	Regularny, nieckowaty w przekroju rów; szer. do 540 cm, gł. do 140 cm; Fosa III		47	26

glinę (74). Brak wyraźnych domieszek organicznych sugeruje, że jest to warstwa erozyjna, która osadziła się zapewne niezbyt długo po wykopaniu fosy, na jej dnie nie zanotowano bowiem żadnych śladów humifikacji. Kolejny okres (IIB) wyznacza ziemia z domieszką ilastego piasku (54), będąca poziomem użytkowym w obrębie Fosy I oraz zalegająca ponad nią lekko piaszczysta glina (76), będąca warstwą erozyjną. Najmłodszy wydzielony okres (IIC) wyznacza ziemia z domieszką ilastego piasku (75), będąca poziomem użytkowym w obrębie Fosy I oraz zalegający ponad nią pylasty piasek (5), będący warstwą erozyjną.

W Fosie II (39) najstarszy okres (IIA) jest reprezentowany przez gliniastą ziemię (59) będącą poziomem użytkowym oraz zalegającą ponad nią piaszczystą glinę (11), będącą warstwą erozyjną. Kolejny okres (IIB) wyznacza ziemisty piasek (49), będący poziomem użytkowym w obrębie Fosy II oraz zalegający ponad nim pylasty piasek (7), będący warstwą erozyjną. Najmłodszy wydzielony okres (IIC) wyznacza ziemisty piasek (50) będący poziomem użytkowym w obrębie Fosy II.

W Fosie III (82) najstarszy okres (IIA) jest reprezentowany przez lekko ziemistą glinę z drobinami węgli drzewnych (47), stanowiącą poziom użytkowy oraz zalegającą ponad nią lekko piaszczystą glinę (46), będącą warstwą erozyjną. Kolejny okres (IIB) wyznacza lekko ziemista glina z domieszką żwiru (44), stanowiąca poziom użytkowy oraz zalegająca ponad nią twarda, ziemista glina (43), będąca warstwą erozyjną. Kolejny okres (IIC) wyznacza lekko gliniasta ziemia (42), stanowiąca poziom użytkowy oraz zalegająca ponad nią lekko piaszczysta glina (41), będąca warstwą erozyjną. Najmłodszy wydzielony okres (IID) wyznacza lekko gliniasta, lekko piaszczysta ziemia (40), będąca poziomem użytkowym w obrębie Fosy III.

Na obszarze majdanu poziom użytkowy z tej fazy wyznacza występująca ponad calcem lekko piaszczysta ziemia (81) oraz zalegająca ponad nią ziemia przemieszana z piachem (3). Na jej stropie zadokumentowano dwa niezbyt liczne bruki kamienne (35) i (36) oraz trzy skupiska szarej ziemi z drobinami węgielków drzewnych (19), (21) i (23), które są zapewne pozostałościami ognisk. Na tym samym poziomie stratygraficznym zanotowano także soczewki ciemnej gliny (9) i piaszczystej ziemi (17), które zapewne także narosły w trakcie funkcjonowania grodziska.

Najciekawszym obiektem z tej fazy jest niewielki rów (25) odkryty już poza linią wałów i fos, lecz powielający ich oś. Rów ten ma formę regularnej rynny o szerokości ok. 130 cm i głębokości do 50 cm. Wy-

pełniskiem rowu w kolejności stratygraficznej jest: gliniasta ziemia (14), konglomerat spalenizny – węgli z drewna sosnowego[2] i polepy – oraz gliny (29) i ciemna ziemia (13). Z wypełniska tego obiektu pozyskano liczny materiał zabytkowy w postaci fragmentów naczyń ceramicznych.

Faza III

Fazę III reprezentują jednostki stratygraficzne narosłe po opuszczeniu grodziska. Powstały one w wyniku erozji wałów – ich rozwiewania i rozmywania. Zawierają one także ślady epizodycznego przebywania ludzi w tym miejscu. Do fazy tej zaliczono przemieszaną ziemię i piasek (2), której pokład o miąższości do 30 cm przykrywa cały badany obszar, oraz warstwę piaszczystej ziemi (80) wydzieloną na obszarze majdanu ponad warstwą (2).

Faza IV

Najmłodsza faza dziejów stanowiska to współczesny horyzont chronologiczny i wyznacza go piaszczysta ziemia (1), będąca humusem leśnym pokrywającym cały obszar stanowiska.

ZNALEZISKA

URSZULA KOBYLIŃSKA

Ceramika

Ogólna charaterystyka zespołu ceramicznego

W czasie badań grodziska w Wieprzu, st. 20 w roku 2013 znaleziono 1001 fragmentów ceramiki, w tym 102 fragmenty z zachowanym wylewem, co stanowi 428% SEN, składające się na ok. 69 naczyń, z których 23 brzegi są ornamentowane owalnymi wgłębieniami. Wśród znalezisk wystąpiło 776 brzuśców, na co składa się 105 fragmentów chropowaconych, 445 gładkich i 11 wyświeconych, zaś 59 – szorstkich. Spośród dolnych części naczyń wydzielono 55 fragmentów przydennych i 28 z zachowanym dnem, co stanowi 228% SEN. W nielicznych przypadkach udało się określić rodzaj den. Najwięcej było den płaskich – osiem fragmentów, lekko wklęsłych – trzy fragmenty i dwa wklęsłe (tab. 2).

Materiał ceramiczny z tego stanowiska jest dość mocno zniszczony (tab. 3). Fragmenty ceramiki są wypłukane i mają zatarte brzegi. Nieokreślonych brzuśców, bez możliwości opisania rodzaju powierzchni jest 129 fragmentów, a wszystkich przepalonych ułamków było 30 brzuśców i 43 inne fragmenty. Ceramika jest mocno rozdrobniona, głównie są to ułamki o wielkości 3 i 4 cm, stanowiące ponad połowę liczebności całego zbioru. Łącznie z ułamkami o wielkości 1 i 2 cm, tych drobnych fragmentów jest aż 655, czyli ponad 65% zbioru. Większość więc materiału ceramicznego nie niesie ze sobą szerszych informacji o formie całych naczyń. Fragmentów średniej wielkości, pomiędzy 5 i 7 cm, jest 292 fragmenty, zaś dużych części naczyń, o wielkości powyżej 7 cm, jest w tym zbiorze jedynie 54. Zniszczonych fragmentów z zatartymi brzegami II i III kategorii zniszczenia[3] jest dwa razy więcej niż nie zniszczonych. Całych naczyń nie znaleziono, lecz w kilku jednostkach stratygraficznych (13, 14 i 29; wszystkich stanowiących wypełnisko rowu 25) zalegały większe skupiska fragmentów ceramiki, z których można częściowo wykleić większe partie garnków lub połączyć kilka części z wylewem czy fragmentów przydennych.

Sądząc po liczbie zebranych fragmentów ceramiki, nawarstwienia powstałe w Fazie I, III i IV dziejów grodziska zawierały nikłe tylko ślady działalności ludzkiej. Faza I, którą możemy scharakteryzować na podstawie 80 fragmentów ceramiki, reprezentowana jest przez stosunkowo sporą liczbę fragmentów startych i zniszczonych oraz ceramikę głównie o gładkiej powierzchni, cienkościenną. Nawarstwienia Fazy IIA zwierały większość wszystkich odkrytych fragmentów ceramiki; była to więc główna faza użytkowania tego stanowiska.

Formy naczyń (tabl. 1–6)

Wśród analizowanych fragmentów z wylewem wyróżnić można głównie naczynia z ozdobnym brzegiem, na które składają się talerze, garnki esowate, o zachylonym brzegu z powierzchnią wygładzaną i nieliczne garnki o chropowaconej powierzchni. Wystąpiły też naczynia o powierzchni gładkiej i wypolerowanej z długą szyjką, esowate z poszerzonym brzegiem oraz różnego rodzaju duże i małe misy, a także pojedyncze egzemplarze małych i miniaturowych naczyń.

Naczynia z ornamentowanym brzegiem wylewu i gładkimi powierzchniami ścianek

Talerze

Zidentyfikowane w omawianym zespole zabytkowym niewielkie fragmenty dwóch płaskich talerzy, o średnicach ok. 16 i 22 cm, mają ozdobne brzegi, formowane wgłębieniami palcowymi. Charakteryzują się one gładkimi, matowymi powierzchniami i jasnobrązowo-rudą barwą ścianek (2,5YR 5/4, 5/6). Jeden z talerzy ma gładki, nie wydzielający się, owalny brzeg, brzeg drugiego jest natomiast wyraźnie wyodrębniony (tabl. 1:26–27).

[2] Stępnik 2016: 243.

[3] Według klasyfikacji zaproponowanej przez Buko 1990a.

Tabela 2. Zestawienie ilościowe fragmentów ceramiki z grodziska w Wieprzu, st. 20 (oprac. U. Kobylińska)

Faza	Jednostka stratygraficzna	Liczba fragmentów łącznie	Liczba różnych naczyń	Wylewy			Szyjki	Brzuśce								Ucha	Części przydenne	Dna					Fragmenty przepalone	Fragmenty o wypłukanej powierzchni
									Rodzaj powierzchni											Rodzaj				
				Liczba fragmentów	SEN (procent obwodu)	Ornamentowane		Liczba fr. ogółem	Chropowacone	Gładkie	Wyświecane	Szorstkie	Nieokreślone	Przepalone	Ornamentowane			Liczba fragmentów	SEN (procent obwodu)	Wklęsłe	Lekko wklęsłe	Płaskie		
I	**4**	2						2	1				1	1			1						1	
I	**6**	60	3	3	23			45	14	10			21				12							
I	**8**	3						2	1	1							1							
I	**31**	17	1	2	5			13		12	1						1	1	12			1		2
IIA	**3**	203	16	19	74	10	3	166	16	60	1	46	43		6	2	10	3					3	29
IIA	**11**	2						1	1								1							
IIA	**13**	241	11	18	104	5	16	183	17	132	1		16	17	4		10	14	111	1		3	22	1
IIA	**14**	145	8	15	61	3	7	116	14	82		12	6	2	3		5	2	33		2		3	77
IIA	**19**	5						4		4							1							
IIA	**23**	3						3		2	1													
IIA	**29**	286	27	42	151	5	10	216	37	132	7		32	9	3		11	7	72	1	1	3	13	12
IIB	**7**	7						6		3			3				1							
IIC	**5**	2						1		1							1							
III	**2**	18	2	2	5	1	3	13	2	4			7	1									1	8
IV	**1**	7	1	1	5			4	2	2							1	1				1		
Suma		**1001**	**69**	**102**	**428**	**24**	**39**	**775**	**105**	**445**	**11**	**58**	**129**	**30**	**16**	**2**	**56**	**28**	**228**	**2**	**3**	**8**	**43**	**129**

Tabela 3. Fragmentacja i erozja fragmentów ceramiki z grodziska w Wieprzu, st. 20 (oprac. U. Kobylińska)

Faza	Jedn. strat.	Kategorie wielkościowe															Stopień erozji			Suma
		1	2	3	4	5	6	7	8	9	10	11	12	13	14	15	I	II	III	
I	4				2													1	1	**2**
I	6	2	10	15	15	5	9	3	1								3	30	27	**60**
I	8			3														2	1	**3**
I	31		3	3	8	2		1									14		3	**17**
IIA	3	3	13	88	50	21	15	7	1	2	2					1	18	126	59	**203**
IIA	11						1	1									2			**2**
IIA	13		23	54	71	35	24	14	7	4	2	5	1		1		64	135	42	**241**
IIA	14	5	14	50	24	26	12	9	2	2	1						25	111	9	**145**
IIA	19		2	1	1	1												1	4	**5**
IIA	23		1	2														3		**3**
IIA	29		17	74	75	49	34	16	8	7	3	1		1	1		223	21	42	**286**
IIB	7		2	2	2	1											3	1	3	**7**
IIC	5		1						1									2		**2**
III	2	1	8	4	2	1	2										1	5	12	**18**
IV	1			3	1	2	1										3	4		**7**
Suma		**11**	**94**	**299**	**251**	**143**	**98**	**51**	**20**	**15**	**8**	**6**	**1**	**1**	**2**	**1**	**356**	**442**	**203**	**1001**

Garnki z ozdobnym brzegiem

Najliczniej w omawianym zespole wystąpiły garnki o średnicy od 14 do 32 cm, z najczęstszą średnicą 18 cm, o esowatym profilu (tabl. 3:2–5; 6:14–15, 18) i matowej, gładkiej, lub lekko szorstkiej powierzchni, barwy jasnobrązowej lub szarobrązowej z okopceniem (7,5YR 5/3). Ozdabianie owalnymi wgnieceniami palcowymi poszerza lekko wychylony brzeg, niezależnie od formy. Liczne smugi i rysy, głównie w dolnych partiach na powierzchni zewnętrznej, świadczą o zacieraniu i wyrównywaniu gliny (tabl. 3:3, 5). Wnętrze garnków jest lekko wygładzane lub zacierane. Są to średniej wielkości, o masywnej budowie garnki do gotowania (tabl. 3:2–6; 4:1; 6:17) oraz garnki z różnie uformowanym wylewem ozdobnym o nieco mniejszej pojemności (tabl. 6:10–16, 19). Garnek podobny do baniastych form średniej wielkości znaleziono np. na terenie grodziska w Sząbruku, st. 1, gm. Gietrzwałd, pow. olsztyński[4]. Jedno z naczyń,

[4] Mirkowska 1998: tabl. 1:5.

które można określić jako szerokootworowe (średnica ok. 32 cm), jest dość płytkie z poszerzonym brzegiem i ma gładką powierzchnię (tabl. 3:1). Można je porównywać do podobnych garnków szerokootworowych typu II z Sząbruka[5]. Nieliczne garnki z ozdobnym brzegiem mają zachylony wylew, są baniaste i workowate w kształcie, masywne, grubościenne, o średnicy ok. 22 cm (tabl. 3:6; 4:1). Mają one gładkie, matowe powierzchnie barwy brązowej. Garnki z ozdobnym brzegiem wykonywane były z masy ceramicznej z dużą lub średnią ilością domieszki schudzającej o różnej granulacji wraz z miką. Naczynia tego rodzaju odkryto w jednostkach 3, 13, 14, 19, 34 z czasów użytkowania grodu i w jednostce 2 z okresu opuszczenia stanowiska (tabl. 3:1–6; 4:1; 6:10, 12–13, 15–16, 18).

Naczynia z poszerzonym brzegiem

Naczynia te, o średnicy wylewu wynoszącej od 15 cm do 26 cm, mają charakterystyczne, lekko wydzielające się, płasko ścięte, poszerzone brzegi z wystającą krawędzią zewnętrzną. Powierzchnie tych naczyń są gładkie, matowe, brązowe i czerwonawo-żółte (5YR 6/6) z obu stron, niekiedy z czarnymi plamami okopcenia. Masa ceramiczna zawierała domieszkę w sporej ilości, o zróżnicowanej granulacji, włącznie z grubymi i drobnymi ziarnami oraz miką. Są to naczynia średniej wielkości, czasem większe i dość masywne garnki, niektóre grubościenne, które zostały słabo opracowane i charakteryzują się słabo zwartą masą ceramiczną w przełamie. Część małych fragmentów tego typu naczyń wykazuje szczątkowo ślady mocniejszego wypolerowania także od strony wewnętrznej (tabl. 2:9). Mniejsze formy tego rodzaju naczyń to dzbanuszki, a fragmenty naczyń o większej średnicy z powierzchnią wyświeconą mogą sugerować funkcję głębokich mis do przygotowywania potraw. Masa ceramiczna naczyń wyświeconych zawierała średnią ilość domieszki drobnoziarnistej oraz miki. Naczynia te były starannie wykonane o równych grubościach ścianek ze zwartym, jednolitym czarnym przełomem. Naczynia z poszerzonym brzegiem wystąpiły w jednostkach 3 i 6 oraz w wypełnisku rowu 25 (tabl. 1:1, 7–9, 15, 21; 2:8–10, 13, 15; 6:9).

Naczynia z pogrubionym brzegiem

Część naczyń o zróżnicowanej wielkości średnic (od 15 cm do 30 cm), o powierzchni gładkiej, charakteryzuje się wyraźnie wydzielającym się, obłym, pogrubionym brzegiem. Są to naczynia o lekko esowatym profilu, z krótką szyjką, o wypolerowanej lub wyświeconej powierzchni barwy czarnej lub brązowej z obu stron (10YR 2/1 i 7,5YR 4/4). Masa ceramiczna, z której wykonano te naczynia jest zwarta, zawierała małą ilość drobnej domieszki schudzającej, mikę, ziarna różowe i białe, w jednolicie czarnym, brązowym lub szarym przełamie. Rozdrobnienie zbioru i brak zachowanych większych partii naczyń, nie pozwala w tym przypadku wnioskować o ich formie. Sugerować można tylko, że mogą to być czerpaki, dzbanki lub misy. Fragmenty górnych części naczyń z takimi brzegami znaleziono w wypełnisku rowu 25 oraz w jednostce 29 z Fazy IIA grodziska (tabl. 1:17, 22–23, 25; 2:1–3, 11).

Naczynia o powierzchni pokrytej chropowaceniem

Naczynia chropowacone są reprezentowane niezbyt licznie, przez 105 fragmentów brzuśców, kilka części przydennych i den lekko wklęsłych oraz trzy części górne naczyń z zachowanym wylewem. Górne części pochodziły z naczynia szerokootworowego, baniastego z pogrubionym brzegiem (tabl. 2:6) oraz z dwóch naczyń z brzegiem ornamentowanym wgłębieniami. Jedno z tych naczyń to garnek z zachyloną częścią górną (tabl. 6:11) z brzegiem zdobionym głębokimi wgnieceniami. Jego powierzchnia pokrytą była cienką warstewką glinki z drobnymi ziarnami, tworzącą wyraźne, lecz drobne zmarszczenia gliny. Była to lekko baniasta forma naczynia z niewydzielonym wylewem i czarnym, gładkim wnętrzem. Drugie z naczyń o ornamentowanym brzegu to duże naczynie o średnicy 28 cm, które miało wygładzaną powierzchnię pod ozdobnym wylewem i lekkie chropowacenie na brzuścu. Ze względu na dużą średnicę wylewu, a niezbyt masywne ścianki, oraz ceglaste, wygładzone wnętrze, można sugerować, że służyło ono jako naczynie zasobowe, a nie przenośne naczynie do gotowania (tabl. 6:17). Pozostałe fragmenty o powierzchni chropowaconej zachowały się w niewielkich rozmiarach i trudno określić dokładniej formy naczyń, z których pochodzą. Garnki zasobowe, schropowacone miały barwę jasnobrązową lub czerwonawo-brązową (2,5YR 5/4), oraz trójbarwne przełamy, z masą ceramiczną zawierającą dużą i średnią ilość ziaren domieszki zróżnicowanej granulacji i barwy oraz miki.

Misy

Zidentyfikowane w omawianym zbiorze fragmenty rozłożystych form naczyń pochodzą z siedmiu różnych mis. Jeden fragment pochodzi z jednostki stratygraficznej 29 z Fazy IIA grodziska. Jest to wyjątkowo cienkościenna miseczka o średnicy wylewu wynoszącej 14 cm, półkulistej formy, o powierzchni wyświeconej, barwy brązowej (tabl. 2:5). W skład masy ceramicznej wchodziła mała ilość domieszki schudzającej w postaci bardzo drobnego piasku oraz miki. Przełam był jednowarstwowy, a ścianki delikatne i dobrze opracowane. Pozostałe fragmenty mis to duże, masywne i mocno rozłożyste formy o wychylonych wylewach, z krawędziami obłymi lub płasko

[5] Mirkowska 1998: tabl. 1:4.

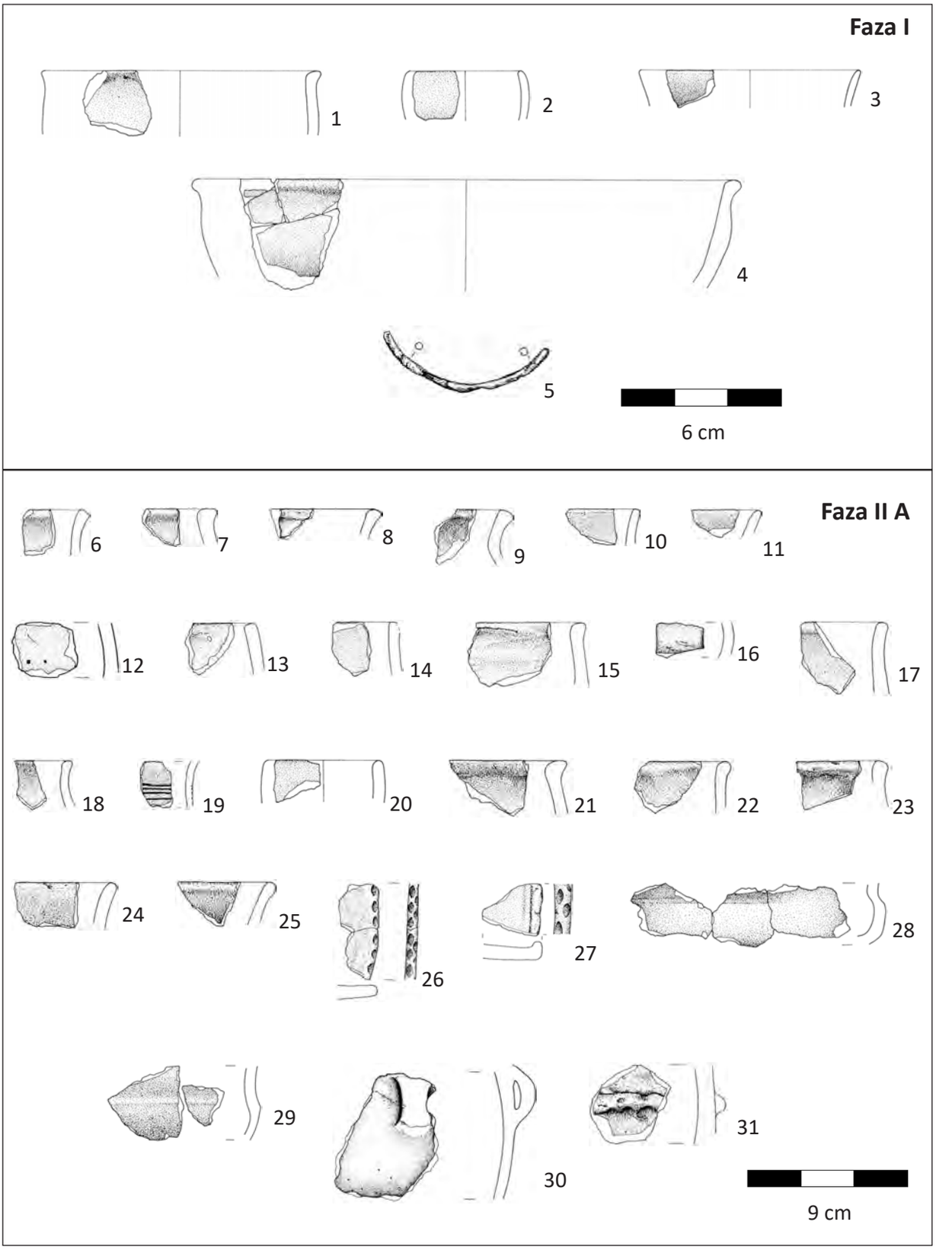

Tablica 1. Wieprz, st. 20. Zabytki z nawarstwień Fazy I (1–5) i IIA (6–31) (rys. A. Kucharska-Wach i P. Potocka)

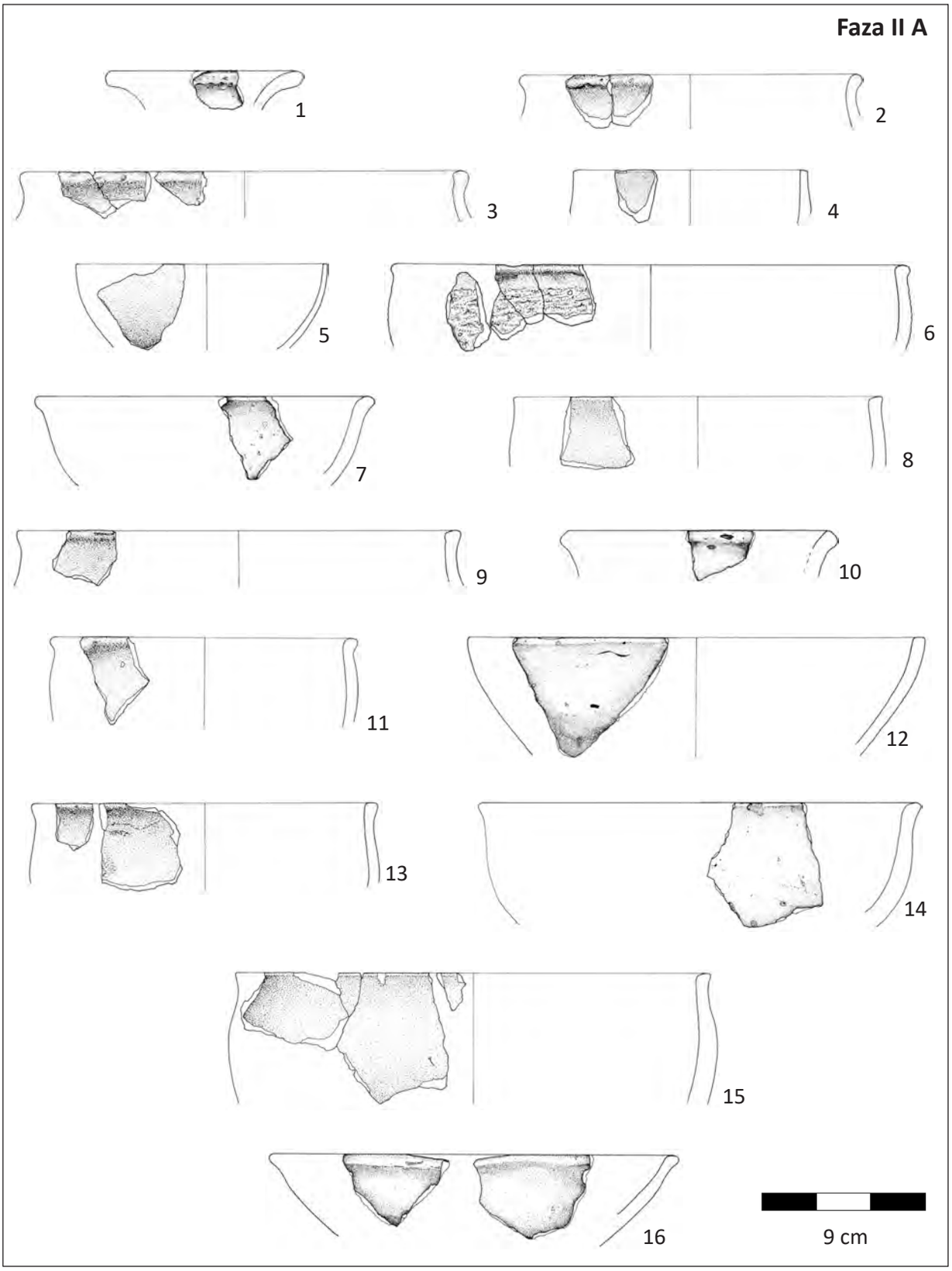

Tablica 2. Wieprz, st. 20. Fragmenty ceramiki z nawarstwień Fazy IIA (rys. A. Kucharska-Wach)

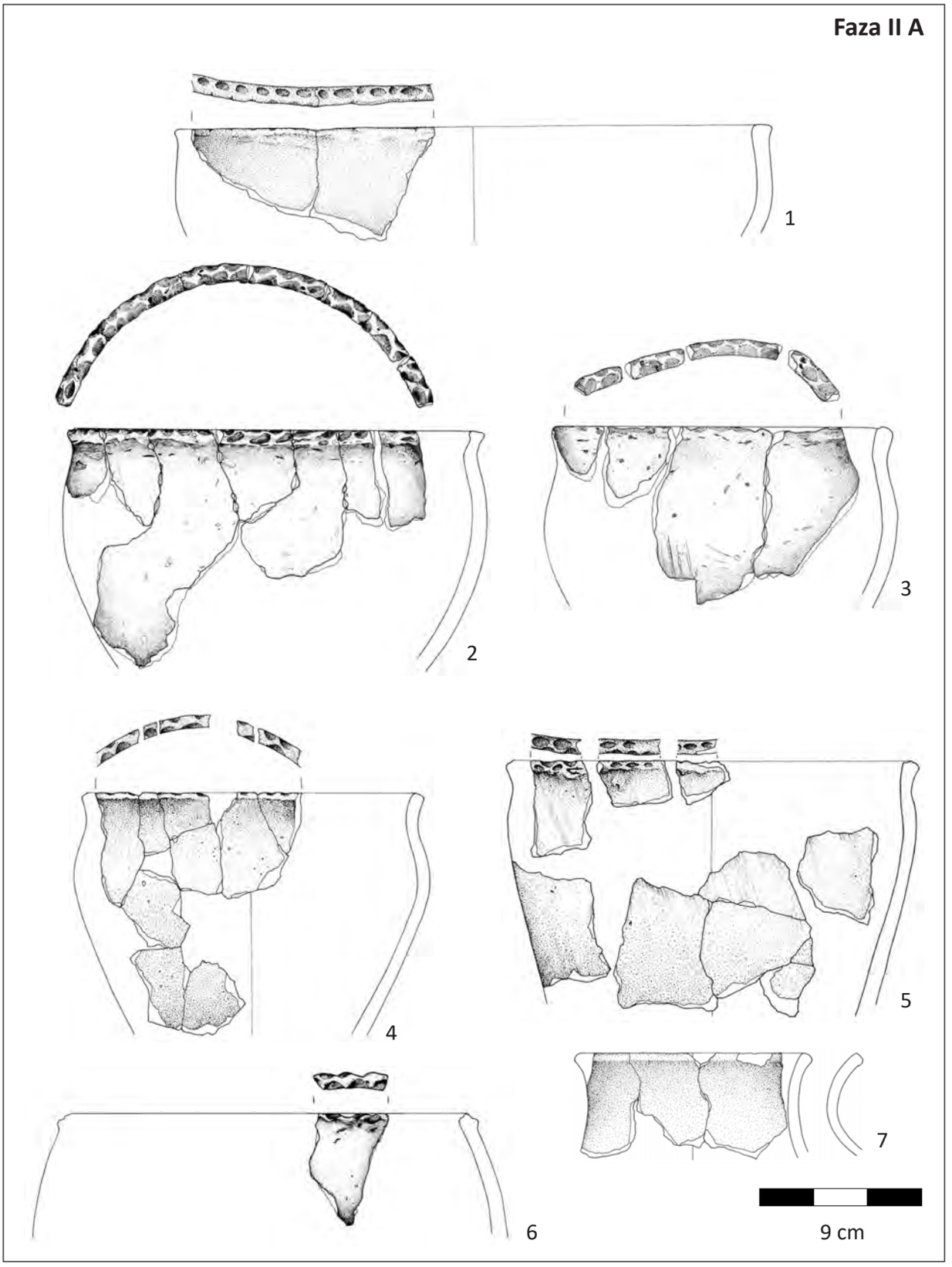

Tablica 3. Wieprz, st. 20. Fragmenty ceramiki z nawarstwień Fazy IIA (rys. A. Kucharska-Wach)

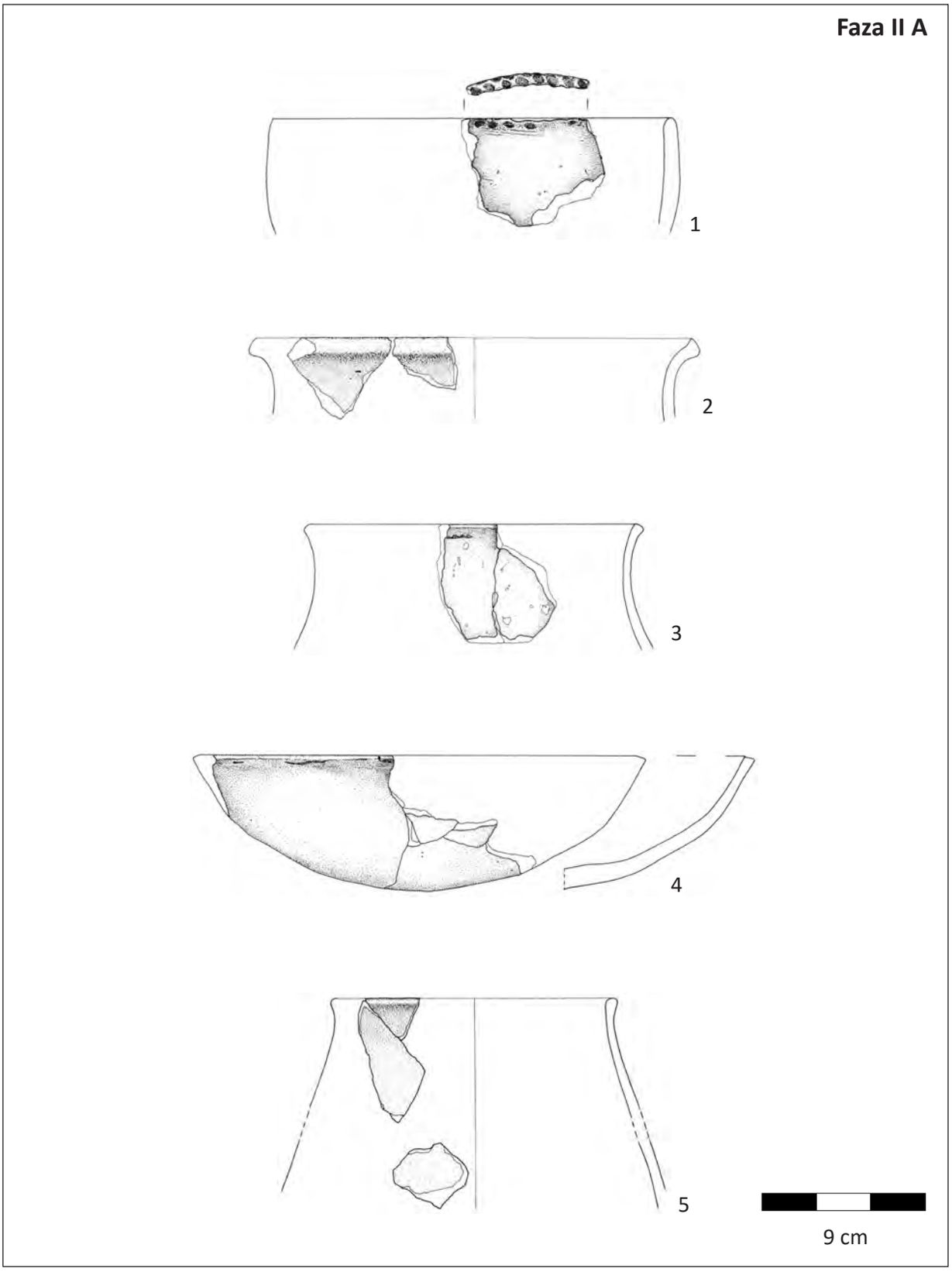

Tablica 4. Wieprz, st. 20. Fragmenty ceramiki z nawarstwień Fazy IIA (rys. A. Kucharska-Wach)

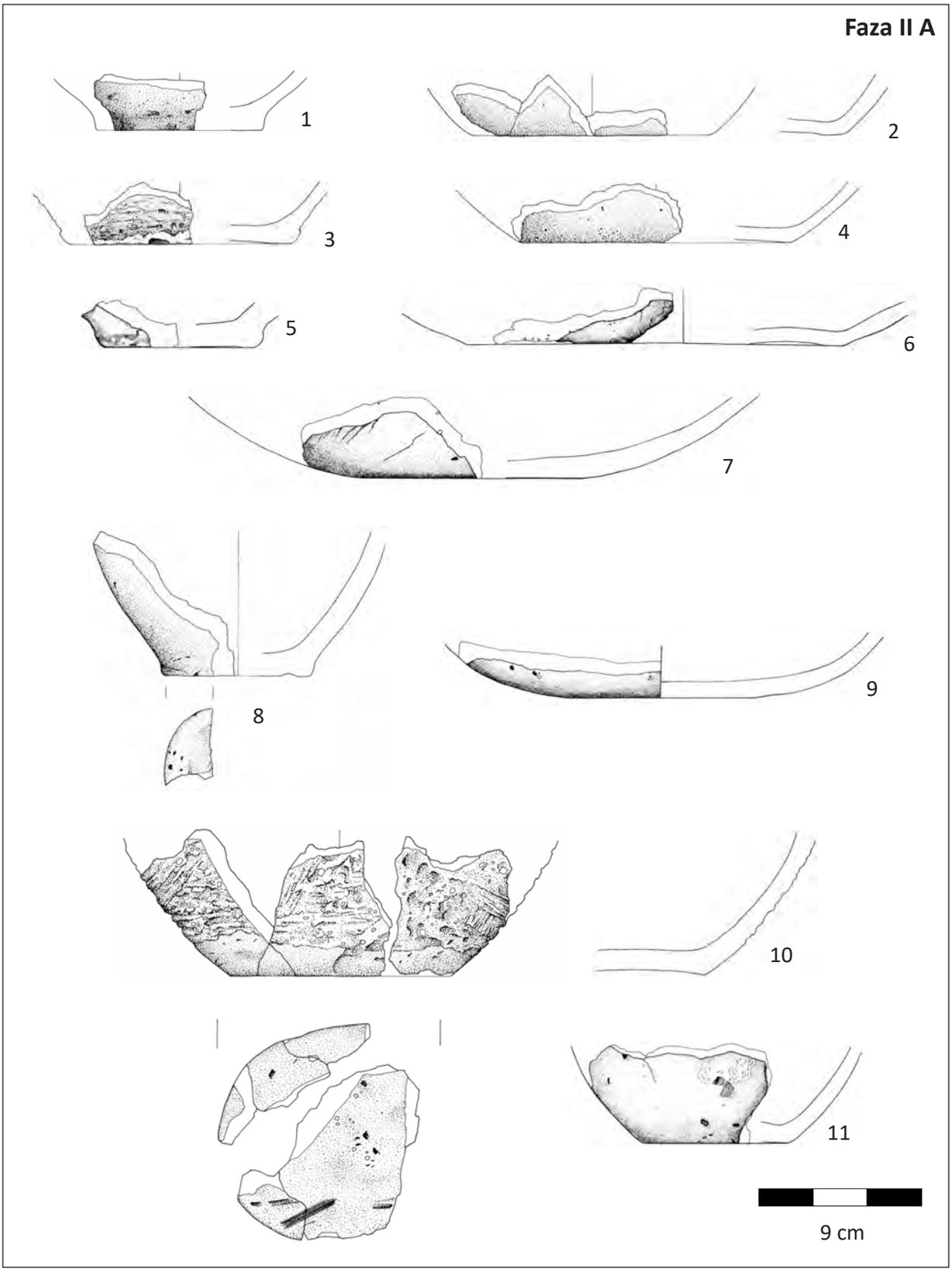

Tablica 5. Wieprz, st. 20. Fragmenty ceramiki z nawarstwień Fazy IIA (rys. A. Kucharska-Wach)

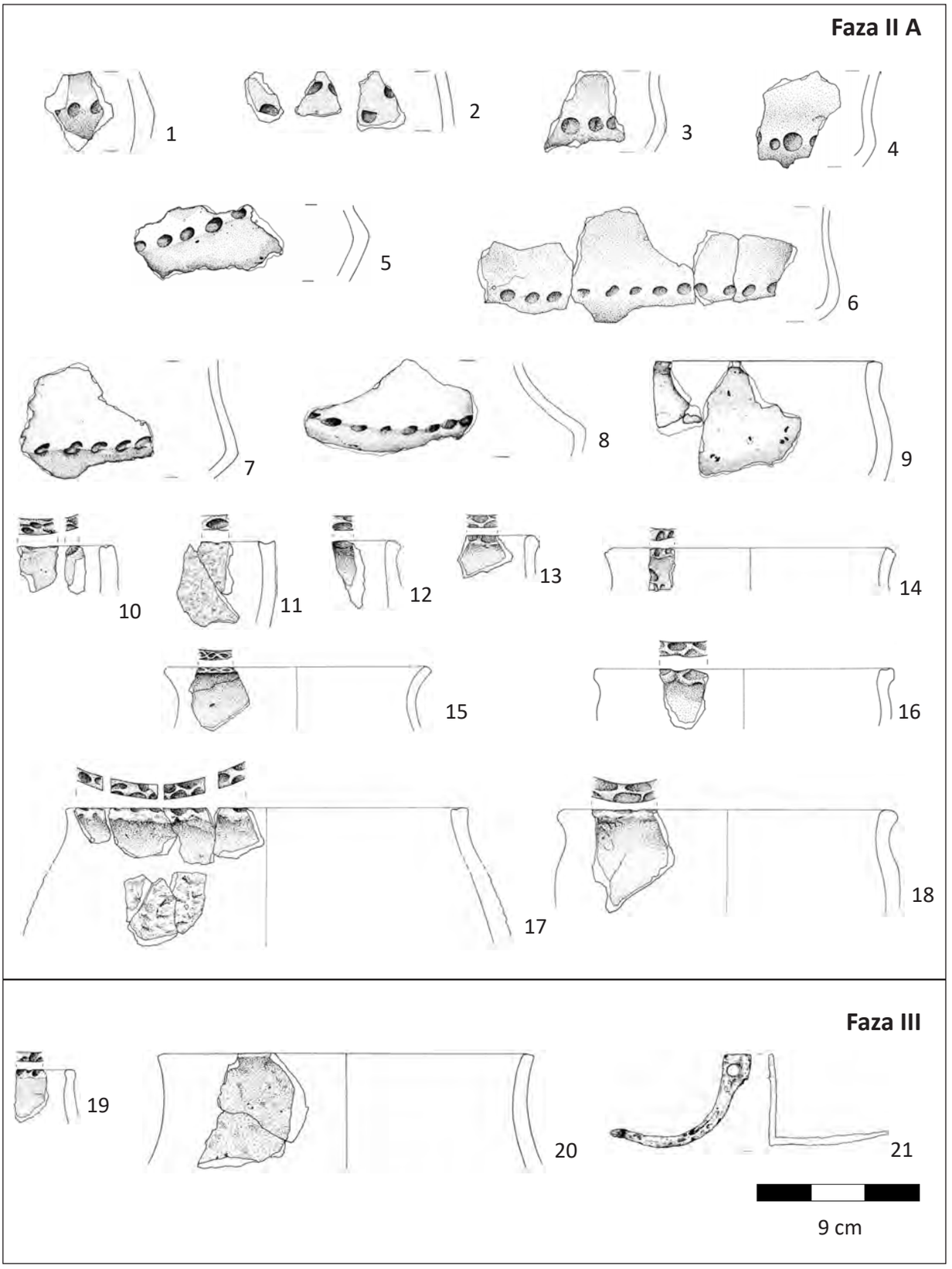

Tablica 6. Wieprz, st. 20. Fragmenty ceramiki z nawarstwień Fazy IIA (1–18) oraz zabytki z nawarstwień Fazy III (19–21) (rys. A. Kucharska-Wach i P. Potocka)

ściętymi. Przeważnie mają one lekko esowate kształty i poszerzone brzegi. Misy te mają średnicę wylewu wynoszącą od 18 do 30 cm i gładkie, wypolerowane powierzchnie, lepiej opracowane pod wylewem, a w partiach brzuśca i poniżej brzuśca – bardziej matowe. Barwa mis jest zróżnicowana, głównie czarna, ale także jasnobrązowo-ruda (2,5YR 5/4). Fragmenty mis zostały odkryte w jednostce stratygraficznej 31 z Fazy I grodziska oraz w jednostce 3 i w wypełnisku rowu 25 z Fazy IIA (tabl. 1:4; 2:5, 7, 12, 14, 16; 4:4).

Naczynia z długą szyjką

Do tej grupy należą naczynia dwóch rodzajów: z długą, łukowato wygiętą szyjką, z wylewem ukośnie ściętym i krawędzią zewnętrzną lekko zaokrągloną oraz z wylewem lekko wychylonym i płasko ściętej krawędzi. Są to naczynia o powierzchni wypolerowanej lub wyświeconej z obu stron lub gładkiej, matowej, barwy czerwonawo-brązowej, jasnobrązowej, lub ciemnobrązowo-czarnej, najczęściej pokrytej cienką warstwą czarnej glinki z obu stron (5YR 3/2, 2,5/1). W dwuwarstwowym przełamie widoczna jest mała ilość domieszki w postaci ziaren piasku i miki. Były to formy dość duże, o sporej pojemności, średnicy wylewu wynoszącej ok. 20 cm. Część zachowanych fragmentów tego rodzaju naczyń wykazuje ślady zniszczenia i spłukania, a ich pierwotna ścianka zachowana jest tylko miejscami. Tego rodzaju naczynia dobrze wykonane, o równych grubościach wygładzonych ścianek, można uważać za tzw. ceramikę stołową. Były to prawdopodobnie dzbany, amfory lub wazy (tabl. 1:17, 24; 2:1, 10; 3:7; 4:2–3, 5; 6:20). Fragmenty takich form naczyń znaleziono w jednostce 3 i w wypełnisku rowu 25 z Fazy IIA grodziska oraz w jednostce stratygraficznej 2 z Fazy III.

Inne formy naczyń

Pozostałe drobne fragmenty ceramiki z zachowaną częścią brzegową to pojedyncze egzemplarze różnych naczyń. Pochodzą z jednostek stratygraficznych faz I i II grodziska. Wszystkie mają wygładzone, wypolerowane lub nawet wyświecone ścianki. Fragmentaryczność zachowania nie daje pewności co do ich przeznaczenia czy funkcji. Naczynia z Fazy I grodziska (tabl. 1:2–3) mają gładką, wypolerowaną powierzchnię barwy brązowej (5YR 5/8; 2,5YR 6/4). Małe średnice ich wylewów i ukształtowanie ścianek wskazują, że były to: naczynko miniaturowe i dzbanuszek o czarnej powierzchni. Inne zachowane fragmenty mogą pochodzić z form takich, jak czarki lub miseczki (tabl. 1:10–14, 16, 18–20, 28–29). Wypolerowane powierzchnie od wewnątrz zachowanych fragmentów sugerować mogą zastosowanie tych form jako np. waz lub mis. Inne małe fragmenty o powierzchni wyświeconej czarnej i gładkiej brązowej i matowej są zbyt niewielkie aby sugerować formę naczynia, z którego pochodzą. Niewątpliwie jednak pochodziły także z zestawu naczyń określanych jako należących do tzw. zastawy stołowej.

Ornamentyka naczyń

Ozdabianie naczyń z grodziska w Wieprzu, st. 20 było niezwykle rzadkie i przejawiało się głównie palcowymi wgłębieniami na brzegach garnków i talerzy o gładkich i lekko chropowaconych powierzchniach. Ozdabiano też garnki listwami plastycznymi z charakterystycznymi nieregularnymi, owalnymi wgłębieniami palcowymi (tabl. 1:31). Najczęściej na wypolerowanych powierzchniach naczyń o ostrym załomie brzuśca napotykamy ornament dużych, owalnych wgłębień palcowych (tabl. 6:1–8). Wykonywane były one starannie w regularnych rzędach, najczęściej na załomie brzuśca lub nieco powyżej. Rzadko występował natomiast ornament w postaci drobnych nakłuć (tabl. 1:12), czy też drobnych poziomych żłobień (tabl. 1:19), wykonywany na wypolerowanych brzuścach barwy brązowej czy na cienkościennych naczynkach. Fragment zdobiony poziomymi żłobkami pochodzi z wyświeconej szyjki czarnego, małego naczynia, zapewne dzbanuszka. W sumie zidentyfikowano jedynie 29 fragmentów naczyń ozdobionych ornamentem (tabl. 1:12, 19, 26–27, 31; 3:1–6; 4:1; 6:1–19).

Dna naczyń

Mała liczba 28 fragmentów den nie uprawnia do szerszego uogólnienia, tym bardziej, że większość z nich jest zachowana w małych ułamkach i trudno określić ich formę. Są to pojedyncze egzemplarze lekko wklęsłych, płaskich i wklęsłych den naczyń gładkich i wypolerowanych, przeważnie naczyń rozłożystych i garnków lekko baniastych (tabl. 4:4; 5:1–11) oraz półkoliste spodnie części mis (tabl. 4:4; 5:9). Część den charakteryzuje się wydzieloną stopką (tabl. 5:1, 3, 5, 8). Jedno z den lekko wklęsłych, grubościenne, ma liczne negatywy odcisków substancji organicznych i pochodzi z naczynia o powierzchni pokrytej mocnym chropowaceniem na całej zachowanej ściance (tabl. 5:10).

Ucha

W omawianym zespole zidentyfikowano dwa niewielkie ucha o podobnej wielkości i rodzaju, pochodzące z nawarstwień Fazy IIA. Jeden fragment jest niewielkiego rozmiaru (tabl. 1:16) i nie możliwości bliższego określenia kształtu naczynia, z którego pochodziło. Drugie, małe ucho, pochodzące z jednostki 3, jest złączone z częścią ścianki naczynia (tabl. 1:30). To lekko wypukłe ucho, o szerokości ok. 1,6 cm i długości 2,7 cm, ma przy ściance niewielki prześwit, wyraźnie wystarczający jedynie na przeciągnięcie sznura. Należało ono do niewielkiego cienkościennego naczynia o powierzchni gładkiej brązowej z zewnątrz i czarnej wewnątrz.

Podsumowanie

Zestaw form naczyń odkryty na terenie grodziska w Wieprzu, st. 20 charakteryzuje się głównie różnorodnymi formami naczyń o powierzchni gładkiej, matowej, wypolerowanej i wyświeconej. Dominuje wśród nich barwa powierzchni brązowa, ruda, czy brązowo-szara (5YR 5/6, 5/8; 2,5 YR 6/6, 5/4; 7,5YR 5/3, 4/4); naczyń czarnych (10YR 2/1) i wyświeconych jest zdecydowanie mniej. Zastanawiająca jest w zestawie naczyń znikoma liczba garnków o powierzchni pokrytej drobnym chropowaceniem. W ogólnie nielicznym zestawie fragmentów z zachowaną częścią brzegową, dominują formy z ozdabianym wgłębieniami brzegiem. Interesujące jest, że znaleziono tu sporo różnych mis i głębokich naczyń misowatych lub waz. Naczynia nie noszą większych śladów okopceń i brak jest czarnej spalenizny na ich powierzchni. Spore zniszczenie, starcia i wypłukanie powierzchni, a także częściowe przepalenie odkrytych fragmentów utrudnia ocenę materiału ceramicznego. Generalnie zestaw ceramiki jest analogiczny do form znanych z innych stanowisk osadniczych i z grodzisk tego regionu: np. ze Starzykowa Małego, gm. Iława, pow. iławski, Kretowin, gm. Morąg, pow. iławski[6]; Starego Dzierzgonia, st. 1, pow. sztumski[7] czy Tątławek, st. 2, gm. Morąg, pow. iławski[8]. Ze względu na charakterystyczny zestaw ceramiki[9] i analogie z innych stanowisk osadniczych i cmentarzysk grodzisko w Wieprzu, st. 20 należy datować na wczesną epokę żelaza, a dokładniej na IV–II w. p.n.e. i wiązać z II/III i III fazą kultury kurhanów zachodniobałtyjskich.

Znaleziska wydzielone

Przedmioty wykonane z metalu

W nawarstwieniach Wału I znaleziono fragment mocno skorodowanego drutu żelaznego, o przekroju okrągłym, średnicy 0,2 cm, zachowanego na ok. 9 cm długości. Być może jest to część kolistej ozdoby o średnicy okręgu wynoszącej ok. 7 cm (tabl. 1:5).

Z kolei w warstwie erozyjnej powstałej po opuszczeniu grodu znaleziono fragment nieokreślonego przedmiotu wykonanego z żelaza. Kwadratowe zakończenie tego przedmiotu ma okrągły otwór o średnicy 0,6 cm. Przedmiot ten, być może okucie, w przekroju prostokątny, zachowany jest na długości ok. 15 cm (tabl. 6:21).

W warstwie powierzchniowej grodziska znaleziono natomiast część stalowej łyżki, bez zachowanego uchwytu, stanowiącą ślad bliżej nieokreślonej XIX-wiecznej działalności na tym obszarze.

Przedmioty z kamienia

W wypełnisku dołu posłupowego 30 znaleziono cztery rozcieracze kamienne:

- mały rozcieracz o powierzchniach tarcia kształtu zbliżonego do trójkąta o wymiarach 7,5 x 7,5 x 7,8 cm i grubości 4,2 cm; dwie boczne powierzchnie, które były ścianami pracującymi, są wypłaszczone i mocno wypolerowane, a pozostałe ściany są dość nieregularne;
- mały rozcieracz nieregularnego kształtu o wymiarach 5,5 x 7,5 x 7,8 cm i grubości ok. 3,5 cm; tylko jedna jego powierzchnia jest w średnim stopniu wygładzona; rozcieracz ten nie był zbyt długo użytkowany, ponieważ brak śladów starannego opracowania jego brzegów;
- duży rozcieracz o wymiarach 6 x 9 x 10,5 x 12,5 cm, w kształcie nieregularnego owalu, z jednej strony uszkodzony; posiada trzy szerokie ściany pracujące, ze śladami wygładzenia na powierzchni o średnicy ok. 5 cm i jedną ścianę wąską z gładką powierzchnią o średnicy ok. 2,5 cm;
- duży rozcieracz o wymiarach 5,2 x 10,5 x 12,5 cm; ma nieregularny kształt i jedną ścianę w średnim stopniu wygładzoną; pozostałe ściany są nierówne i słabo opracowane; prawdopodobnie był w niewielkim stopniu wykorzystywany.

W tym samym obiekcie znaleziono także kamień żarnowy (ryc. 16).

Ryc. 16. Wieprz, st. 20. Kamień żarnowy (fot. Z. Kobyliński)

[6] Ł. Okulicz 1970: tabl. 26.

[7] Gazda *et al.* 2013: ryc. 28:d, g, h.

[8] Por. opracowanie wyników badań tego stanowiska w niniejszej publikacji.

[9] Por. dobrze datowane zespoły ceramiki grobowej: Hoffmann 1999a: tabl. 65:10, 17, 20; 67:15; 73:3–6, 22; 94:4–6; 133:7, 10–13; 139: 12, 16–17; 144:14; 159: 11–14; 162:5; 2000: ryc. 35–40.

KOŚCI ZWIERZĘCE

JOANNA PIĄTKOWSKA-MAŁECKA

W trakcie badań pozyskano 55 fragmentów kości zwierzęcych, z czego 53 fragmenty pochodziły z obiektu 25, czyli rowu wypełnionego dużą ilością spalenizny i licznymi fragmentami ceramiki. Pozostałe dwa fragmenty odnaleziono na obszarze majdanu. Z całego zbioru pod względem gatunkowym i anatomicznym udało się określić jedynie 15 fragmentów. Było to spowodowane silnym rozdrobnieniem materiału (część fragmentów pochodziło zapewne z tych samych elementów anatomicznych), a w trzech przypadkach jego silnym przepaleniem. Zidentyfikowane fragmenty kości należały do owcy/kozy (siedem fragmentów), bydła (trzy fragmenty) oraz świni (jeden fragment).

CHRONOLOGIA STANOWISKA

URSZULA KOBYLIŃSKA, RAFAŁ SOLECKI I JACEK WYSOCKI

Ogólne datowanie grodziska w Wieprzu, st. 20 możliwe jest na podstawie analizy materiału ceramicznego, która na podstawie analogii pozwala ustalić chronologię na około IV–II wiek p.n.e. Potwierdza to także datowanie radiowęglowe. Wytypowano do niego fragment węgla drzewnego z warstwy (29), która jest jednym z wypełnisk rowu (25), położonego poza linią wałów i fos. Datowanie po kalibracji dało przedział lat 378–202 p.n.e. z prawdopodobieństwem 95,4%. Dla jednego z fragmentów ceramiki z obiektu 25 wykonano ponadto datowanie metodą termoluminescencyjną. Analiza ta dała przedział lat 140 p.n.e. – 120 n.e.[10]. Na podstawie odkrytego materiału ceramicznego, znajdującego się przede wszystkim w zewnętrznym rowie wypełnionym spalenizną oraz wyników datowania radiowęglowego i termoluminescencyjnego należy datować stanowisko na okres wczesnej epoki żelaza (IV–II w. p.n.e.) i wiązać przełomem fazy II i III oraz fazą III kultury kurhanów zachodniobałtyjskich[11].

[10] Kobyliński 2016: 107.

[11] Ł. Okulicz 1970: 102–104.

DZIEJE GRODZISKA W WIEPRZU, ST. 20

RAFAŁ SOLECKI I JACEK WYSOCKI

System fos i wałów odcinających cypel od wysoczyzny powstał z całą pewnością przez usypanie wałów z materiału wybranego z fos. Jedynie na wale okalającym majdan zidentyfikowano dwa doły posłupowe, sugerujące obecność jakiejś formy palisady. U zewnętrznej podstawy Wału II i wewnętrznej podstawy Wału III odkryto kilka dużych głazów układających się na krawędzi Fosy III, co może świadczyć o umocnieniu głazami podstawy tych wałów. Ponieważ w zasypie fosy odkryto tylko nieliczne kamienie, należy sądzić, że lico wału nie było zbudowane z kamieni.

Związek grodziska z ludnością reprezentowaną przez kulturę kurhanów zachodniobałtyjskich potwierdzają odkrycia w tym rejonie licznych śladów osadnictwa związanych z tą kulturą (ślady osad na południe od grodziska) a także znajdujących się w niewielkiej odległości (do 5 km) licznych kurhanów, nie badanych wprawdzie dotychczas, ale wiązanych przez badaczy tych terenów również z kulturą kurhanów zachodniobałtyjskich. Badania wielokulturowego kopca w pobliskim Pomielinie przyniosły m.in. odkrycie grobu popielnicowego kultury kurhanów zachodniobałtyjskich (IV–II wiek p.n.e.)[12].

Szeroki horyzont chronologiczny uzyskany w wyniku analiz laboratoryjnych pozwala na postawienie hipotezy, że stanowisko było użytkowane przez dłuższy czas. Nie oznacza to jednak, że typ osadnictwa był ciągły. Nie przemawia za tym niewielki obszar majdanu i występujące na nim pojedyncze, rzadkie bruki i warstwy kulturowe o małej miąższości z niewielką liczbą fragmentów ceramiki i kości zwierzęcych. Raczej była to forma cykliczna, a więc okoliczna społeczność wiązana z tą kulturą być może powracała tu kilkukrotnie, np. w przypadku zagrożenia. Taka interpretacja miałoby swoje potwierdzenie, nie tylko w materiale ceramicznych, ale także w kolejnych warstwach o charakterze użytkowym, które rozdzielają warstwy erozyjne, narastające w obrębie fos. Zagadką pozostaje rów wypełniony spalenizną i licznymi fragmentami ceramiki. Obiekt ten może świadczyć o funkcji grodu związanej z obrzędami religijnymi, chociaż możliwe jest także użycie ognia do obrony terenu grodu w trakcie napaści wrogich grup ludności.

[12] Hoffmann 1996: 82–83; Skóra 2010: 33.

Durąg, st. 1

Gmina Ostróda

Powiat ostródzki

AZP 27–51/1

Współrzędne geograficzne:

N 53° 37’ 14,05’’

E 20° 2’ 14,69’’

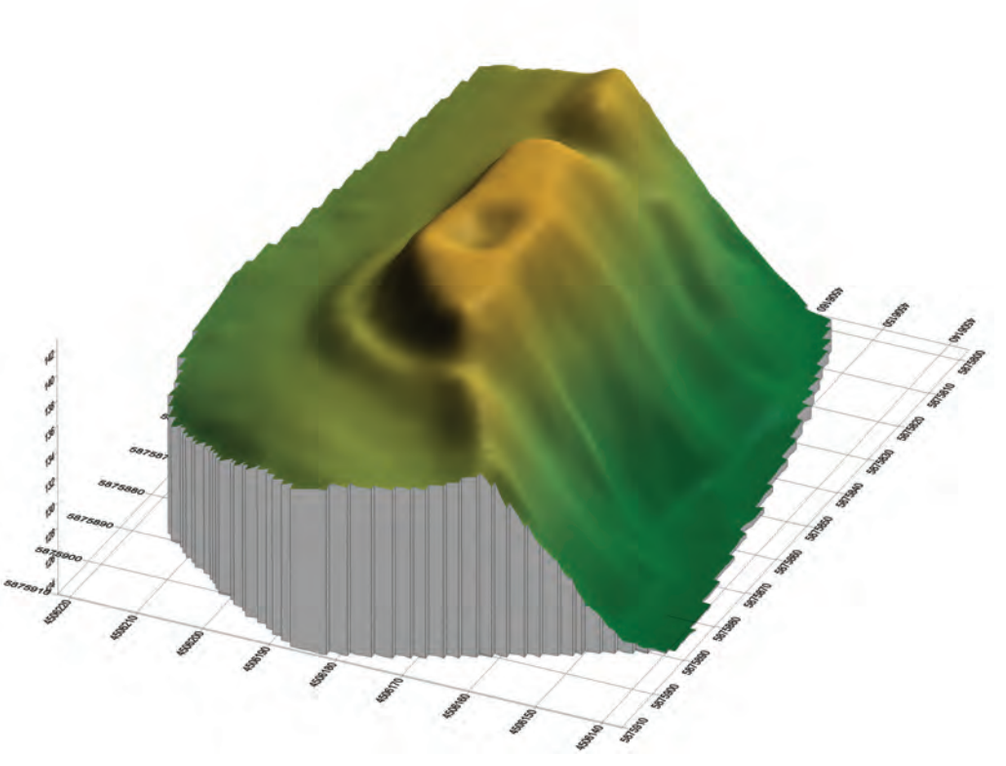

Ryc. 1. Grodzisko w Durągu, st. 1 na mapie w skali 1:25 000 (na podstawie materiałów CODGiK, oprac. R. Solecki)

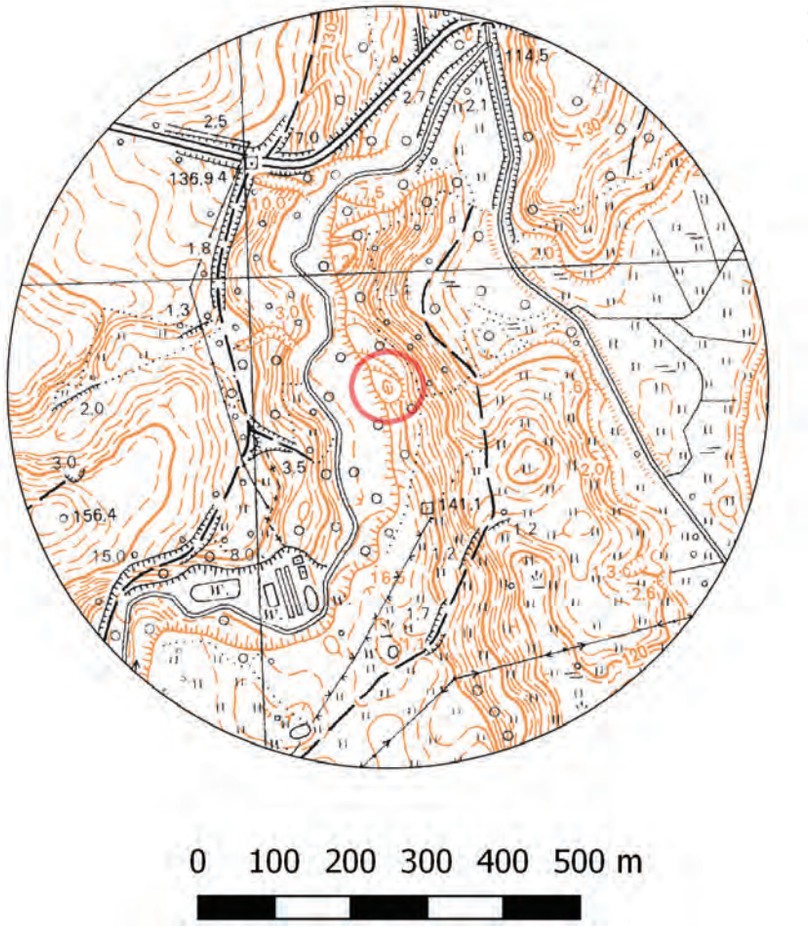

Ryc. 2. Grodzisko w Durągu, st. 1 na mapie w skali 1:10 000 (na podstawie materiałów CODGiK, oprac. R. Solecki)

POŁOŻENIE GRODZISKA I JEGO FORMA

DANIEL SKOCZYLAS, RAFAŁ SOLECKI I JACEK WYSOCKI

Grodzisko w Durągu, st. 1, nazywane „Górą Zamkową”[1], zajmuje silnie wyeksponowany cypel, który od zachodu i północy opływa rzeka Dylewka, a od wschodu rzeka Grabiczek (ryc. 1–2). Ujście Dylewki do Grabiczka jest oddalone od stanowiska o około 450 m w kierunku północno-wschodnim. Gród wzniesiono w miejscu, gdzie wysoczyzna przechodzi w wąski, długi cypel ułożony na osi północ–południe. Obecna różnica wysokości pomiędzy nasypem wału, a poziomem wody w Dylewce wynosi około 21 m. Pierwotny rozmiar całego założenia grodowego to długość około 60 m po osi północ–południe i szerokość około 33 m po osi wschód–zachód. Od strony południowej krawędź grodziska wyznacza niewielki parów długości około 20 m i głębokości około 4 m, liczonej od poziomu majdanu. Poziom dna parowu znajduje się na wysokości około 139,5 m n.p.m. Parów przechodzi w niewielką obecnie fosę, głębokości do 0,5 m i wał zewnętrzny szerokości około 3 m u podstawy, które otaczają nasyp majdanu od strony wschodniej i północnej. Szczyt wału ma średnią wysokość około 137,5 m n.p.m. Sam majdan jest mniejszy i ma romboidalny kształt o przekątnych długości około 45 i 15 m, z powierzchnią około 470 m^2. Powierzchnia majdanu utrzymuje względnie stały poziom około 142,5 m n.p.m. W centrum majdanu znajduje się nieregularnie owalne zagłębienie o wymiarach około 12 x 8 m i głębokości do 1 m (ryc. 3–5).

Ryc. 3. Grodzisko w Durągu, st. 1; widok od północnego wschodu (fot. J. Wysocki, oprac. R. Solecki)

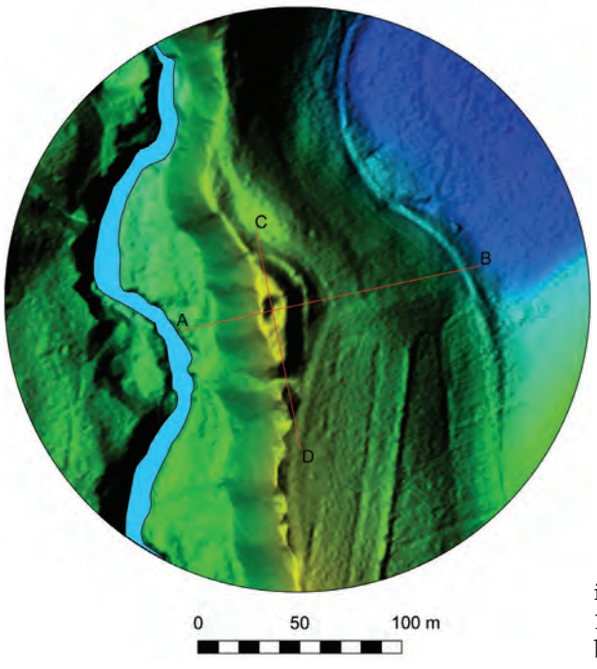

Ryc. 4. Grodzisko w Durągu, st. 1 na zobrazowaniu ALS (na podstawie materiałów CODGiK, oprac. R. Solecki)

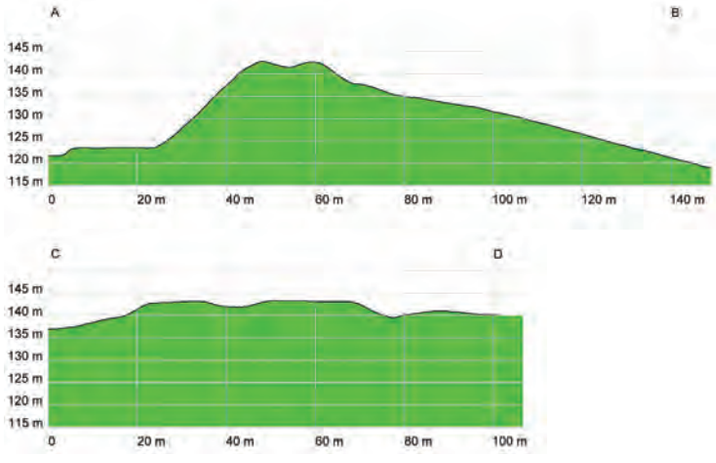

Ryc. 5. Przekrój grodziska w Durągu, st. 1 po osi wschód–zachód (A–B) i północ–południe (C–D) uzyskany z danych ALS (na podstawie materiałów CODGiK, oprac. R. Solecki)

ŚRODOWISKO FIZYCZNO-GEOGRAFICZNE

JERZY NITYCHORUK I FABIAN WELC

Stanowisko pod względem fizjograficznym położone jest we wschodniej części Garbu Lubawskiego, będącego częścią Pojezierza Chełmińsko-Dobrzyńskiego (ryc. 6). Grodzisko znajduje się na naturalnym ostańcu wysoczyzny morenowej, długim na około 250 m i wysokim na około 30 m, powstałym na skutek erodowania wysoczyzny przez rzeki Grabiczek i Dylewkę. Wysoczyzna polodowcowa, na której usytuowany jest

[1] Informacja z karty stanowiska z archiwum Muzeum Warmii i Mazur w Olsztynie.

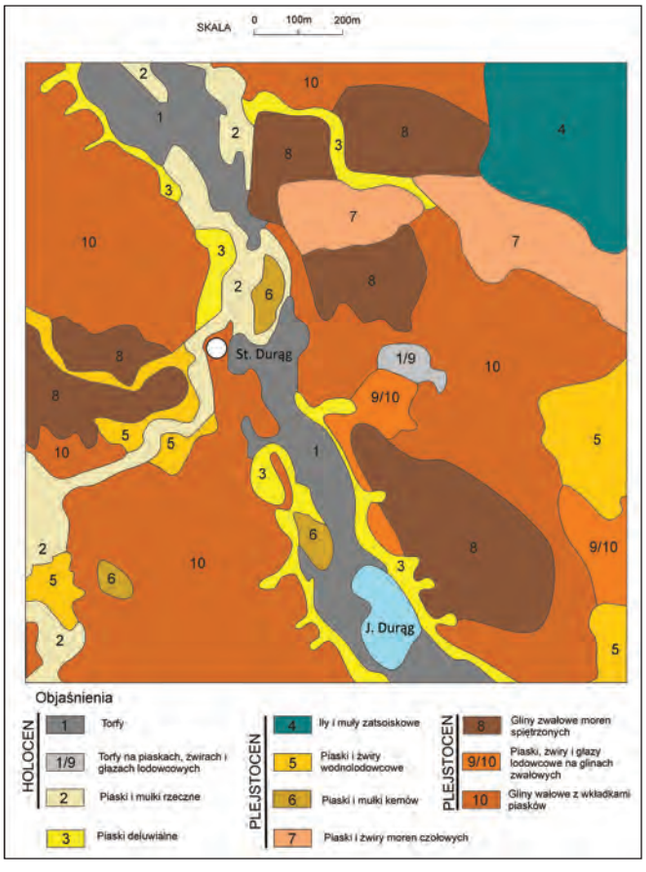

Ryc. 6. Mapa geologiczna okolic grodziska w Durągu, st. 1 (oprac. J. Nitychoruk i F. Welc)

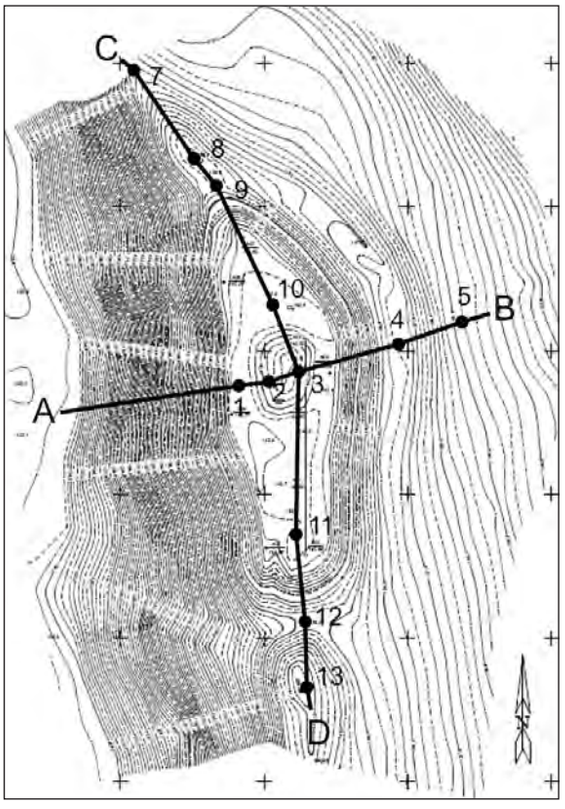

Ryc. 7. Plan warstwicowy grodziska w Durągu, st. 1 (wyk. J. Błaszczyk) z lokalizacją odwiertów geologicznych (oprac. J. Nitychoruk i F. Welc)

obiekt zbudowana jest z gliny zwałowej z wykształconymi na niej glebami płowymi. Wysoczyznę przecinają obniżenia, które nawiązują do doliny rzeki Dylewki. Sama dolina jest wypełniona osadami piaszczystymi i częściowo jest zabagniona z mało urodzajnymi glebami bagiennymi. W krawędziach wysoczyzny występują piaski, jednak w tych strefach gleby nie są rozwinięte, gdyż dochodzi tu do ruchów masowych.

W poprzek grodziska w Durągu sporządzono przekrój A–B o kierunku zachód–wschód, a wzdłuż stanowiska poprowadzono ciąg wierceń, który stał się podstawą do sporządzenia przekroju C–D, o kierunku północ–południe. Konstrukcję przekrojów oparto na 13 wierceniach (ryc. 7–8). Centrum wzniesienia, wraz z obniżeniem nosi wyraźne ślady działań człowieka do głębokości około 1 m. Poza centrum, poszukiwania takich śladów przyniosły negatywny efekt, poza wierceniem D–12 (w wąskim przesmyku tuż na południe od grodziska), gdzie można przypuszczać, że obniżenie to miało większą głębokość, być może do 1 m.

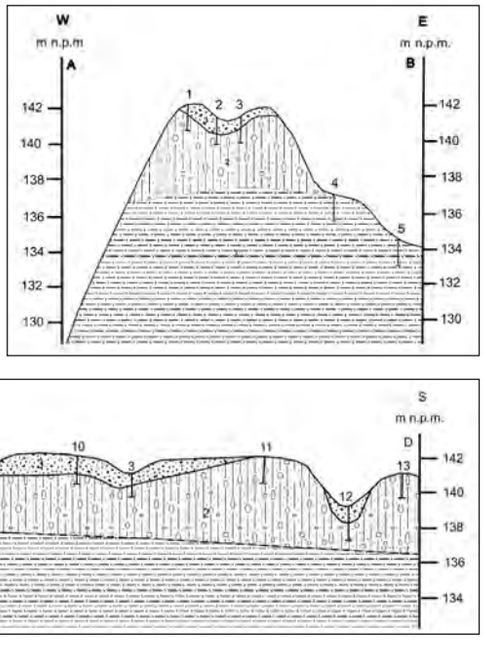

Ryc. 8. Przekroje geologiczne grodziska w Durągu, st. 1: 1 – mułek, 2 – glina piaszczysta, 3 – piasek gliniasty (warstwa kulturowa) (oprac. J. Nitychoruk i F. Welc)

BADANIA ARCHEOLOGICZNE

DANIEL SKOCZYLAS, RAFAŁ SOLECKI I JACEK WYSOCKI

Przebieg badań terenowych

Grodzisko w Durągu znane było już w XIX w. Porucznik Johann Michael Guise naszkicował je w czasie swojej akcji inwentaryzacji pruskich założeń obronnych w latach 1826–1828[2] (ryc. 9). Na pruskiej mapie wojskowej z około 1893 r.[3] na północny-wschód od wsi oznaczono wzgórze nazwą *Schloss Berg*. Informacja ta pojawia się także na późniejszej mapie z 1911 r., gdzie wzgórze opisane jest jako *Schloß Berg*[4]. Wzmiankę w tekście na temat grodziska umieszcza w swej pracy z 1898 r. Adolf Boetticher, który pisze: *von Döringen 1 km ö. liegt nach der Generalstabskarte ein „Schloßberg"*[5]. Autor nawiązuje więc zapewne do informacji zawartej na wspomnianej wyżej mapie z 1893 r., a nie opisuje lokalizację grodziska z natury. Podobne zdawkowe opisy znajdują się także w pracach Emila Hollacka z 1908 r.[6] i Hansa Cromego z 1937 r.[7], którzy opisują grodzisko, jako *Schloßberg*.

Stanowisko zostało wpisane do rejestru zabytków archeologicznych województwa olsztyńskiego w 1949 r., jako „grodzisko wyżynne, nieobwałowane, z wałem palisadowym na podnóżu zwane Zamek, położone na tarasie rzeczki Dylewki". Inspekcji konserwatorskich grodziska dokonywali m.in. Romuald Odoj, Mieczysław Haftka, Maria Wielgus i Wiesław Skrobot, w celu określenia stanu zachowania zabytku[8].

W trakcie badań przeprowadzonych w 2015 roku w ramach realizacji projektu *Katalog grodzisk Warmii i Mazur* otworzono trzy wykopy o łącznej powierzchni 60 m^2 (ryc. 10). Miały one szerokość 2 m i wytyczono je na wspólnej osi, tak by przecinały majdan grodziska po linii północ–południe. Wykopy 1 (pow. 12 m^2) i 3 (pow. 18 m^2) wytyczono w południowej części majdanu, a wykop 2 (pow. 30 m^2) przecinał zagłębienie w jego centralnej części. W toku badań okazało się, że zagłębienie jest reliktem piwniczki, a w wykopie 2 odkryto jej ścianę północną, południową i część wnętrza.

Stratygrafia stanowiska

W trakcie badań archeologicznych wydzielono łącznie 70 jednostek stratygraficznych, które podzielono na cztery główne fazy związane z użytkowaniem tego obszaru (tab. 1 i ryc. 11–16).

Ryc. 9. Szkic grodziska w Durągu. st. 1 wykonany przez por. J.M. Guisego w latach 1826–1828 (PM-IXh_00066a_Dohringen)

Warstwy naturalne

W trakcie badań, jako warstwy naturalne zidentyfikowano jednostki 9 (W1), 37 (W2) i 67 (W3). Warstwy te to piaszczyste gliny. Domieszka piasku jest nieduża, ale wyraźnie jest jej więcej w części południowej. Strop calca znajdował się na względnie stałym poziomie około 142,00 m n.p.m., wypiętrzając się tylko nieznacznie w obrębie wykopu 1, gdzie dochodził do 142,30 m n.p.m.

Faza IA i IB

Najstarszą wydzieloną fazę należy wiązać z budową grodu i różnego typu zabudowań w jego obrębie, które to czynności można datować na początek XIV w. (Faza IA) oraz z jego użytkowaniem w ciągu XIV i XV

[2] Hoffmann 2013: 25.

[3] Karte des Deutschen Reiches (Generalstabskarte) 1893, 1:100000, 166 Osterode.

[4] Topographische Abteilung der Königl. Preuß. Landesaufnahme. Aufgenommen 1911, Maßtab 1:25000, Hirschberg.

[5] Boetticher 1898: 55.

[6] Hollack 1908: 27.

[7] Crome 1937: 120.

[8] Informacje z teczki stanowiska w Archiwum WUOZ w Elblągu oraz z Archiwum WUOZ w Olsztynie.

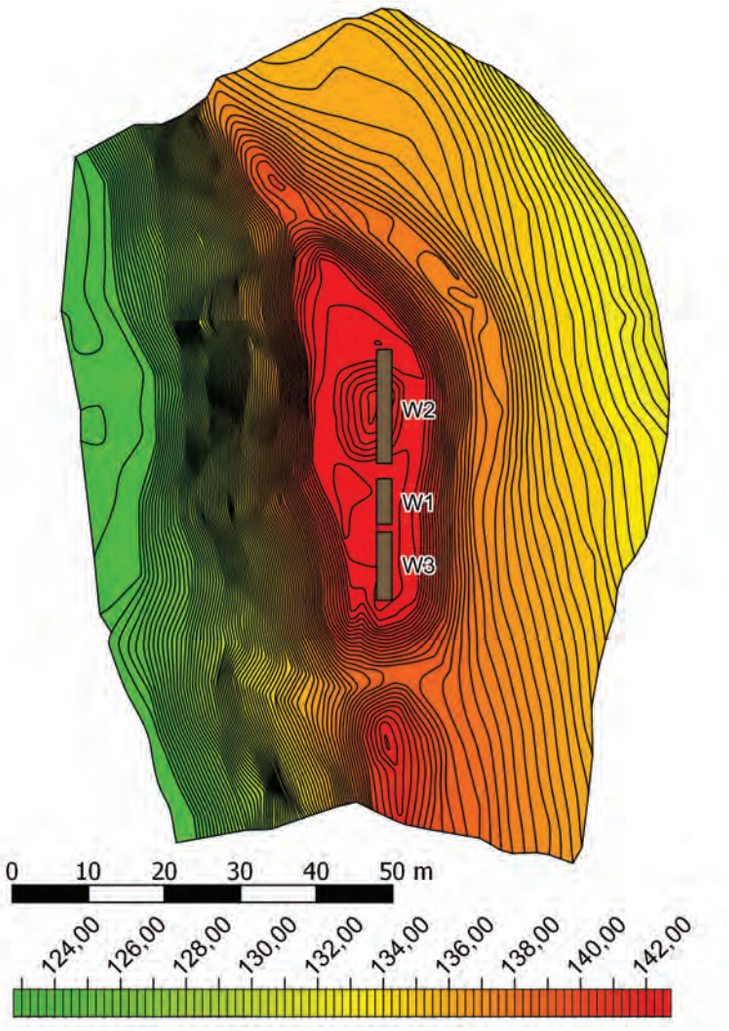

Ryc. 10. Plan warstwicowy grodziska w Durągu, st. 1 z zaznaczonymi wykopami badawczymi z sezonu 2015 (na podstawie pomiarów J. Błaszczyka, oprac. R. Solecki)

w. (Faza IB). Obie podfazy zdecydowano się opisać razem, gdyż nawarstwienia z tych okresów są silnie zniszczone i zanieczyszczone przez młodsze niwelacje.

W wykopie 1 Fazę IA reprezentuje piaszczysta ziemia z drobinami gruzu ceglanego, polepy i węgli drzewnych 5 (W1), która jest zapewne poziomem użytkowym z okresu budowy. W granicach wykopu znajdowała się także nieokreślona konstrukcja, o czym może świadczyć zachowana fragmentarycznie soczewka zbitej ziemi 8 (W1) wiązana z Fazą IB, naruszona przez młodszy wkop rozbiórkowy.

W wykopie 2 z Fazą IA należy łączyć szerokopłaszczyznowy wkop 68 (W2) związany z budową piwniczki. Rozpoznana długość tego wkopu ma 12 m, a głębokość dochodzi do 1,1 m. Dno jest nieregularne, a jego poziom waha się pomiędzy 140,65 m, a 141,25 m n.p.m. Urobek z kopania dołu – sypką, piaszczystą ziemię 14 (W2) – kumulowano bezpośrednio przy krawędzi wkopu, podnosząc poziom gruntu. Strop tej warstwy osiąga poziom około 142,45 m n.p.m. Wypełniskiem wkopu budowlanego jest piaszczysta ziemia 15 (W2).

Na relikty ściany piwnicy natrafiono jedynie w południowej części wkopu i tworzą je zbutwiałe i przepalone deski oraz kłody drewna 38 (W2), a także ziemia z grudami polepy i soczewkami popiołu 40 (W2). Ślady te sugerują, że ściany piwnicy wzniesiono w konstrukcji szkieletowej, której przestrzenie wypełniono za pomocą kamieni i drobnych gałęzi, które połączono gliną[9]. Do Fazy IB w obrębie piwniczki zakwalifikowano ziemię z dużą ilością węgli drzewnych 31 (W2), która pokrywa nieregularnie miąższym pokładem południowowschodnią część piwniczki. Na jej stropie natrafiono na dwa regularne pasy węgli drzewnych 46 i 47 (W2) szerokości około 0,35 m, ułożonych równolegle względem siebie w odległości około 1 m. Obok nich znajdował się podobnej szerokości konglomerat węgli drzewnych 48 (W2) ułożony jednak nie na płasko a pionowo. Warstwy te są najpewniej reliktami drewnianej podłogi, która spłonęła i zwaliła się na dno wkopu budowlanego.

W wykopie 3 natrafiono na dwa doły posłupowe wiązane z Fazą IA:

- dół posłupowy 60 (W3); owalny w planie, U-kształtny w profilu; rozpoznane wymiary to średnica 0,40–0,55 m i głębokość około 0,2 m; wypełniskiem jest zbita ziemia 61 (W2),
- dół posłupowy 65 (W3); owalny w planie, U-kształtny w profilu; rozpoznane wymiary to średnica 0,40–0,45 m i głębokość około 0,2 m; wypełniskiem jest ziemia 66 (W2).

W bezpośredniej bliskości dołów posłupowych zanotowano niezbyt liczne skupiska kamieni. Przy dole posłupowym 60 (W3) były to kamienie 63 (W3), a przy dole posłupowym 65 (W3) były to kamienie 64 (W3). Mogły one służyć do ustabilizowania słupów znajdujących się w omawianych dołach. W odległości około 1,2 m na zachód od dołu 60 (W3), przy samej krawędzi wykopu znajdowało się jeszcze jedno skupisko kamieni 62 (W3), co może sugerować, że tuż poza granicą znajduje się jeszcze jeden dół posłupowy. Doły te należy wiązać z funkcjonującym w tym miejscu budynkiem, który został całkowicie rozebrany, na co wskazuje młodszy wkop rozbiórkowy. Ściany tego budynku stabilizowały także ziemne niwelacje dosypane od strony zewnętrznej – zbita, piaszczysta ziemia 57 (W2) i zbity piasek 59 (W2). Strop tych warstw osiąga poziom około 142,5 m n.p.m., a więc zbliżony do stropu warstwy 14 (W2), która spełniała analo-

[9] Stępnik 2016: 235–236.

giczną funkcję i stropu warstwy 5 (W1), która była poziomem użytkowym z tego okresu.

Faza II

Kolejny wydzielony horyzont to okres zniszczenia grodziska, a także celowego zniwelowania jego powierzchni. Nastąpiło to najpewniej w drugiej połowie XV w.

Faza ta manifestuje się w wykopie 1 i 3 w postaci dołów rozbiórkowych. W wykopie 1 są to nieregularnie owalny w planie, nieckowaty w profilu wkop 7 (W1), którego rozpoznane wymiary to średnica 1,22–2,15 m i głębokość do 0,35 m, a wypełniskiem jest zbita ziemia z licznymi drobinami węgli drzewnych 6 (W1) oraz owalny w planie, nieckowaty w profilu wkop 4 (W1), którego wymiary to średnica 0,7 m i głębokość do 0,2 m, a wypełniskiem jest zbita ziemia z dużą ilością polepy 3 (W1). W wykopie 3 jest to szerokopłaszyznowy, płaskodenny wkop 70 (W3), którego rozpoznane wymiary to szerokość około 7 m i głębokość do 0,55 m, a wypełniskiem jest ziemia 50 (W3). O ile na obecnym etapie badań nie można powiedzieć, co znajdowało się pierwotnie w miejscu wkopów 4 i 7 (W1), to zapewne wkop 70 (W3) związany jest z rozbiórką budynku. Świadczy o tym kształt samego obiektu, który powielał zapewne kształt wkopu budowlanego, a w jego spągu, przy samych krawędziach bocznych natrafiono na doły posłupowe po usuniętych elementach ścian budynku.

Budynek, którego piwnicę odkryto w wykopie 2 całkowicie spłonął, co spowodowało że brak jest tu śladów rozbiórki. Zarejestrowano natomiast liczne warstwy związane z pożarem, a następnie zasypaniem zawalonej piwnicy. W kolejności stratygraficznej są to: spalone belki zawalonej ściany piwniczki 27 (W2), skupisko kamieni 45 (W2), piaszczysta ziemia z grudkami polepy i drobinami węgli drzewnych 51 (W2), piaszczysta ziemia z drobinami wapna 53 (W2), ziemia z drobinami wapna 54 (W2), zbita ziemia ze smugami drobin wapna 55 (W2), popioły i drobiny węgli drzewnych 52 (W2), wyprażona glina 49 (W2), ziemia z kawałkami zwęglonego drewna i polepy 24 (W2), zbita, piaszczysta ziemia z drobinami zaprawy wapiennej 23 (W2), gliniasta ziemia 20 (W2), luźno rozrzucone kamienie 39 (W2), skupisko kamieni 36 (W2), fragmenty dwóch drewnianych belek 35 (W2), ziemia z dużą ilością węgli drzewnych i popiołów 50 (W2), zbita ziemia z wtrętami węgli drzewnych i polepy 29 (W2), ziemia z drobinami wapna 25 (W2), kamienie z grudami polepy i węglami drzewnymi 21 (W2), piaszczysta ziemia 22 (W2), ziemia z drobinami węgli drzewnych i grudami gliny 43 (W2), lekko piaszczysta ziemia 26 (W2), gliniasta ziemia 41 (W2) i ziemia z drobinami wapna 30 (W2).

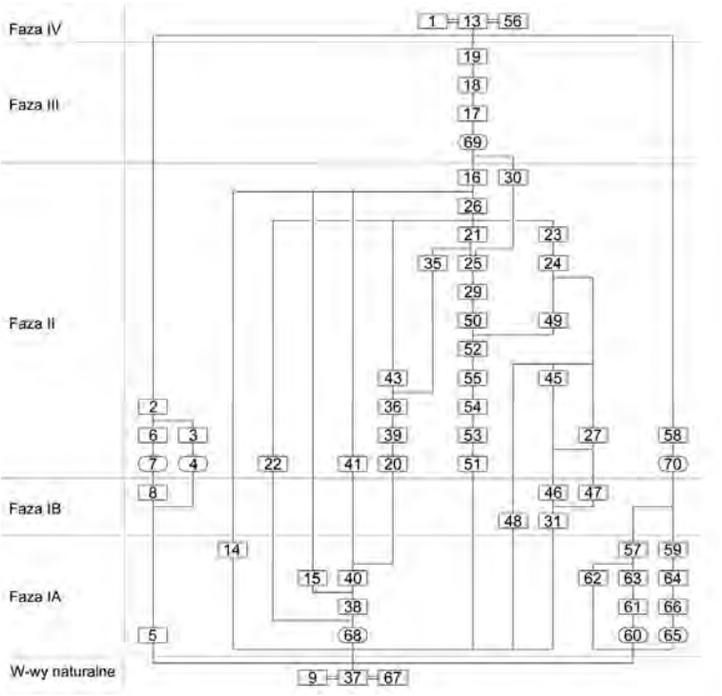

Ryc. 11. Durąg, st. 1. Diagram relacji stratygraficznych (oprac. R. Solecki)

Pozostałościami niwelowania terenu po zniszczeniu grodu są piaszczysta ziemia 2 (W1) oraz piaszczysta ziemia z pojedynczymi kamieniami oraz z drobinami węgli drzewnych i polepy 16 (W2).

Faza III

Do Fazy III zaliczono tylko jeden obiekt, znajdujący się częściowo w granicach wykopu 2, w obrębie północnej części piwniczki. Jest to dużych rozmiarów, lejowaty w profilu wkop 69 (W2), szerokości około 8,8 m i głębokości do 1,4 m, wyprowadzony ze stropu warstwy 16 (W2). Jego dno osiąga poziom około 139,50 m n.p.m., a więc poniżej poziomu dna piwniczki. Wypełniskiem w kolejności stratygraficznej są ziemia z drobinami węgli drzewnych 17 (W2), zbita, gliniasta ziemia 18 (W2) i zbita ziemia 19 (W2). Obiekt ten powstał po zniwelowaniu i opuszczeniu grodziska, lecz bliższe określenie chronologii nie jest możliwe.

Faza IV

Najmłodszą fazę reprezentuje luźna ziemia 1 (W2), 13 (W1) i 56 (W3) pokrywająca całą powierzchnię stanowiska i będąca współczesnym poziomem użytkowym stanowiska.

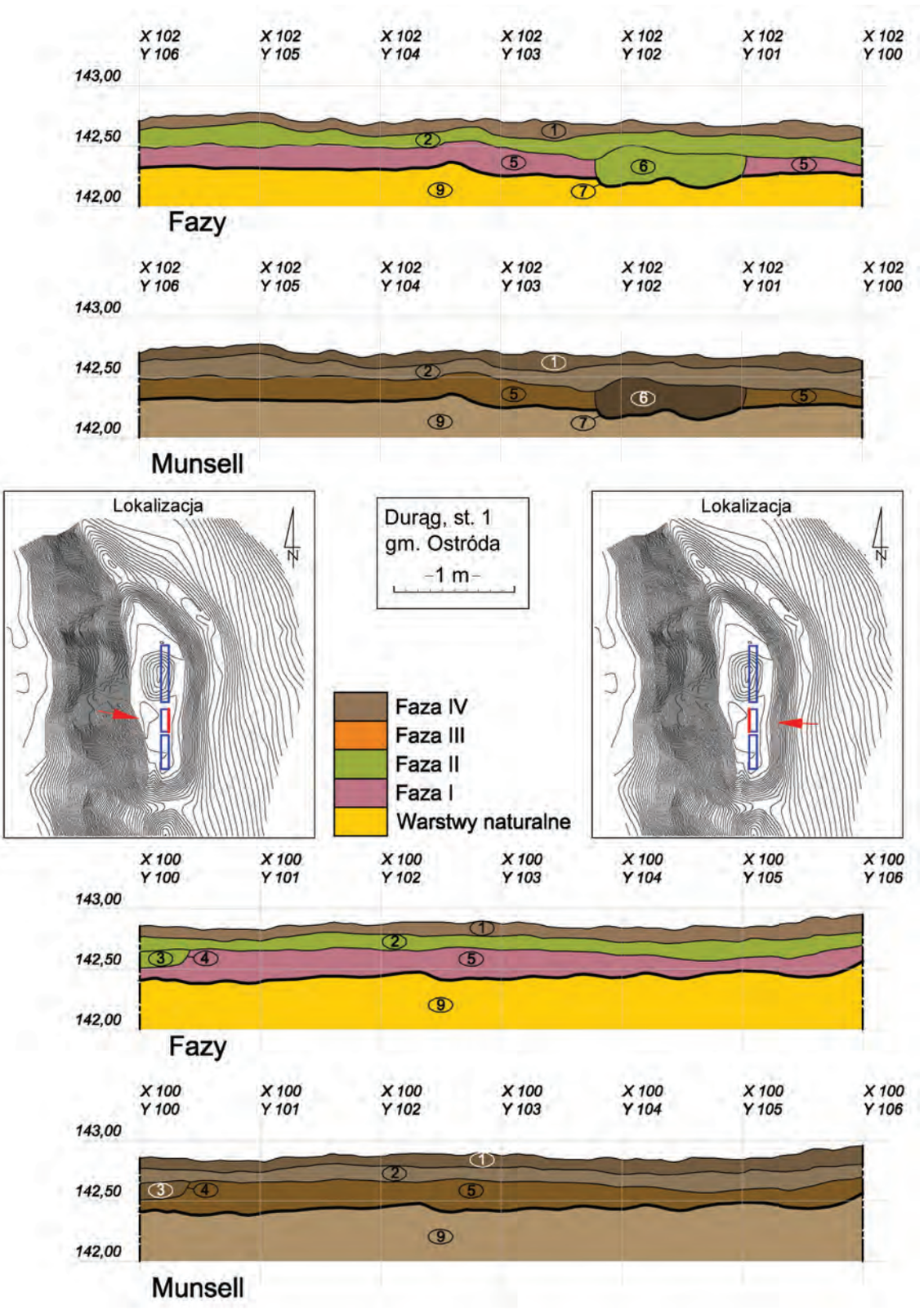

Ryc. 12. Durąg, st. 1. Stratygrafia stanowiska widoczna w ścianach wschodniej i zachodniej wykopu 1 (oprac. D. Skoczylas, R. Solecki i J. Wysocki)

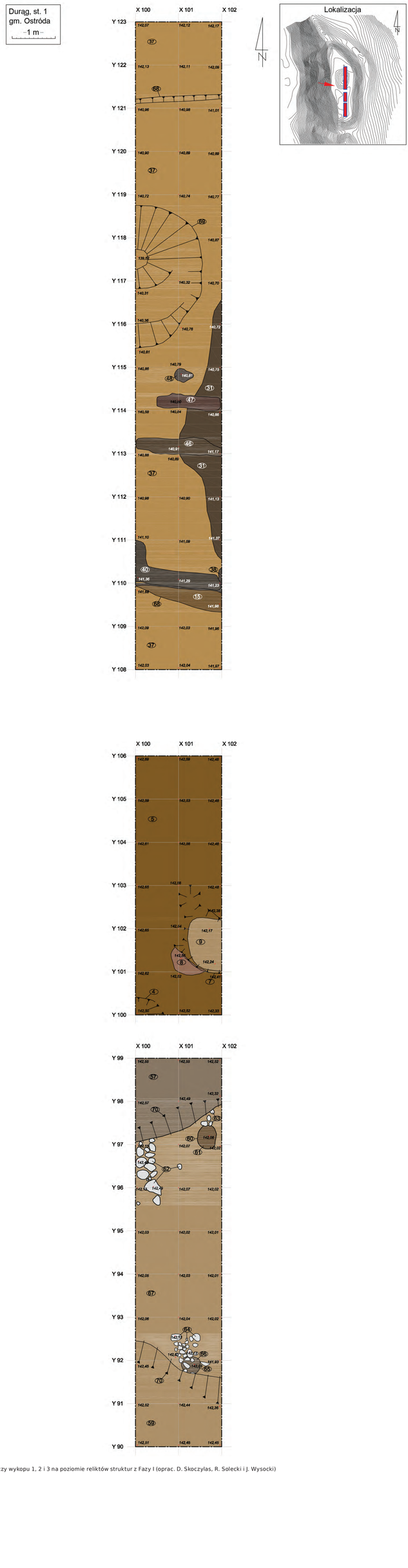

Ryc. 13. Durąg, st. 1. Plan zbiorczy wykopu 1, 2 i 3 na poziomie reliktów struktur z Fazy I (oprac. D. Skoczylas, R. Solecki i J. Wysocki)

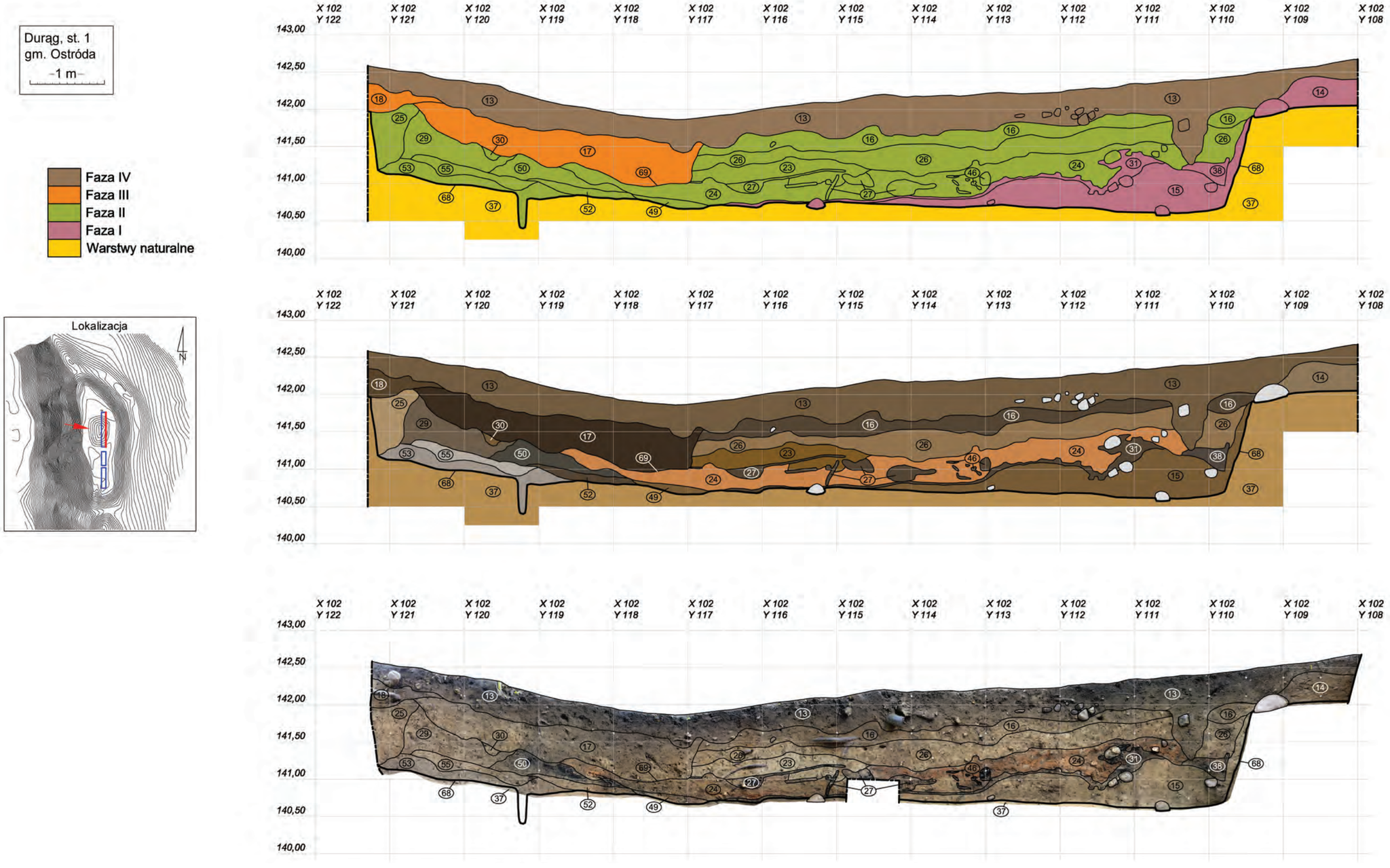

Ryc. 14. Durąg, st. 1. Stratygrafia stanowiska widoczna w ścianie wschodniej wykopu 2 (oprac. D. Skoczylas, R. Solecki i J. Wysocki)

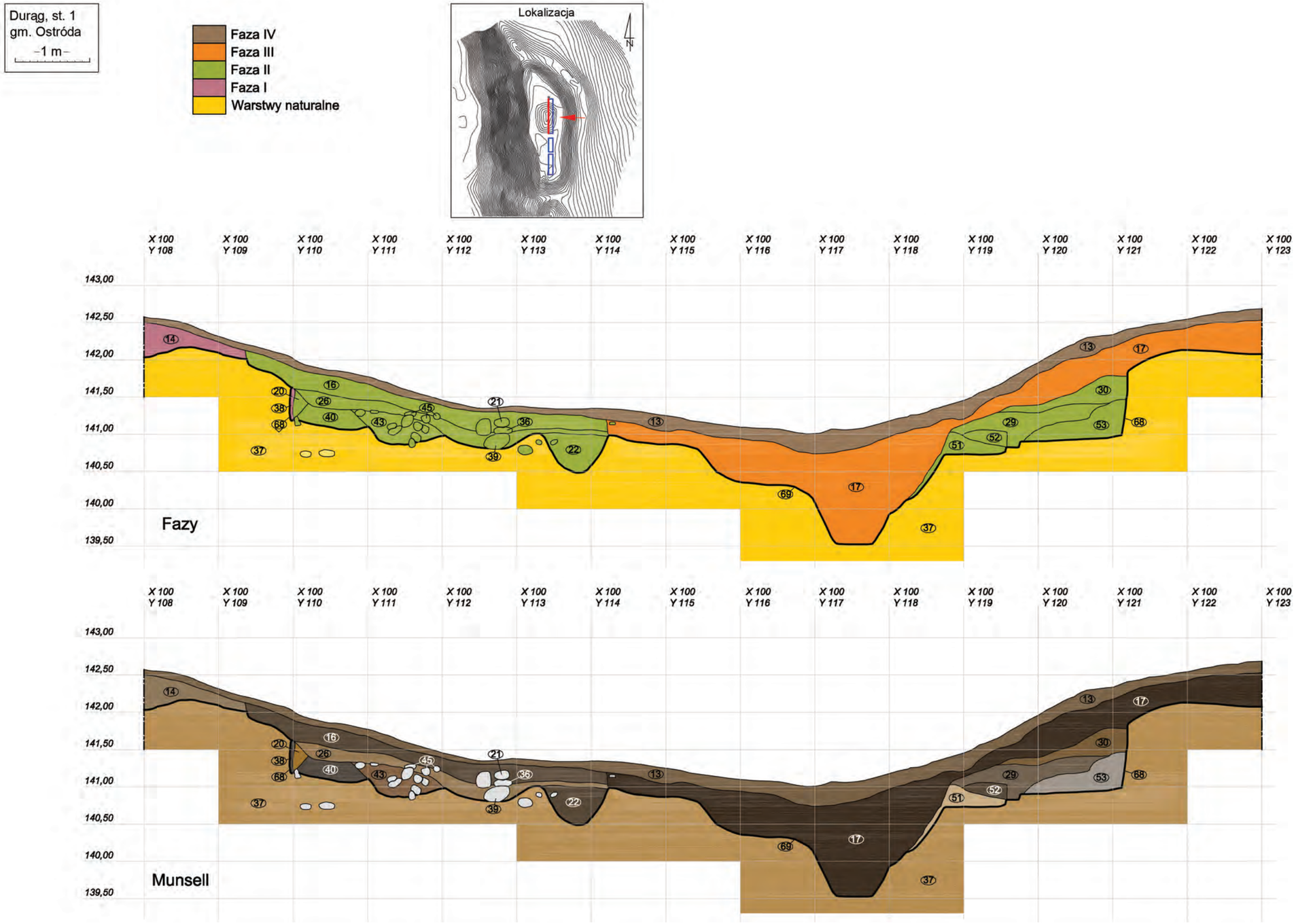

Ryc. 15. Durąg, st. 1. Stratygrafia stanowiska widoczna w ścianie zachodniej wykopu 2 (oprac. D. Skoczylas, R. Solecki i J. Wysocki)

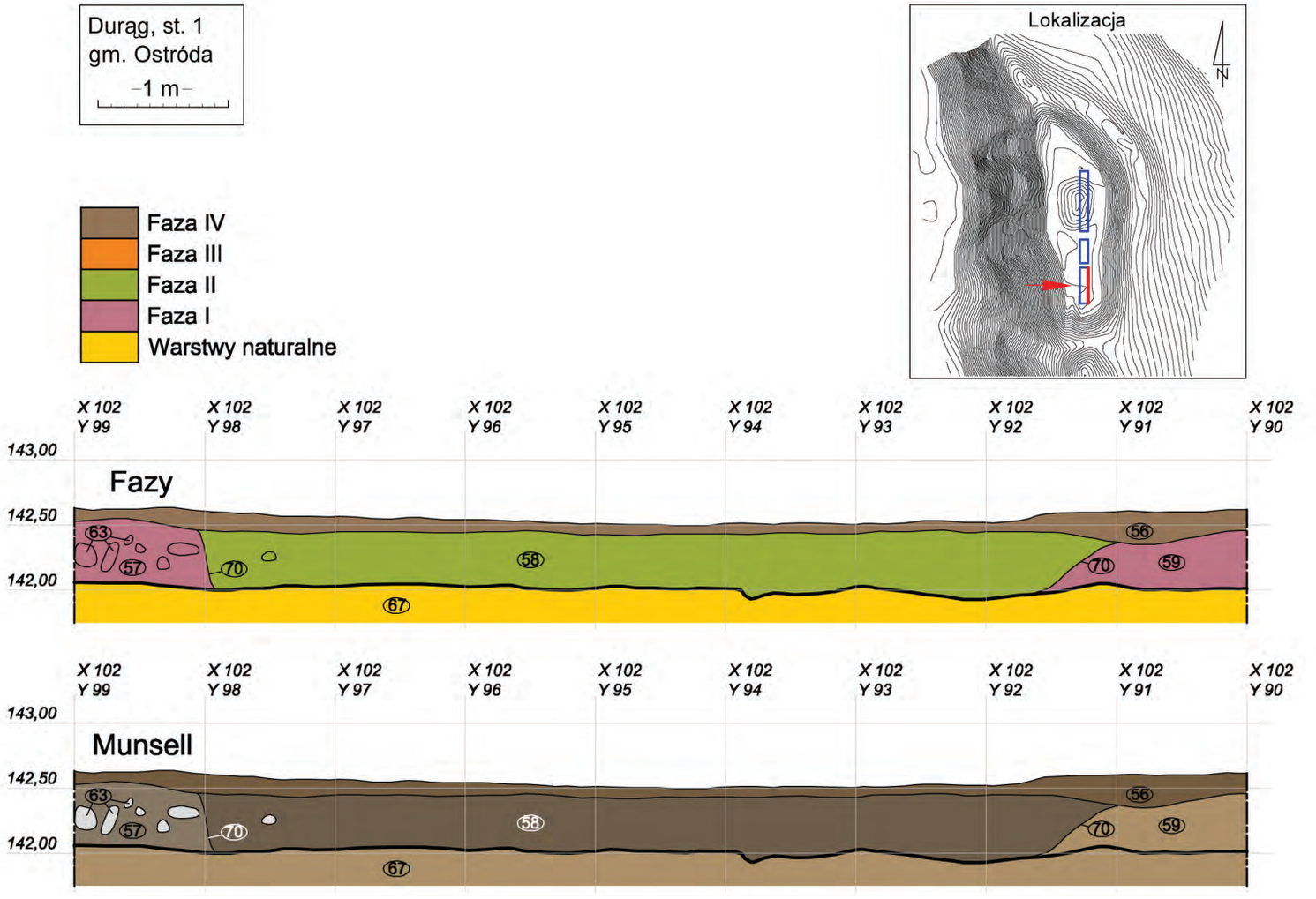

Ryc. 16. Durąg, st. 1. Stratygrafia stanowiska widoczna w ścianie wschodniej wykopu 3 (oprac. D. Skoczylas, R. Solecki i J. Wysocki)

Tabela 1. Durąg, st. 1. Katalog warstw i obiektów zbadanych w roku 2015 oraz ich zależności stratygraficznych (oprac. R. Solecki)

Numer jednostki	Numer obiektu	Numer wykopu	Położenie w obrębie stanowiska	Współrzędne siatki pomiarowej	Opis jednostki stratygraficznej	Barwa (Munsell)	Pozycja stratygraficzna		Faza
							Znajduje się pod	Znajduje się nad	
1=13=56	-	1, 2, 3	Centralna i południowa część majdanu	X=100–102; Y=90–123	Luźna ziemia; miąższość 15–55 cm; humus leśny	10YR 4/3	-	2, 14, 16, 17, 18, 19, 57, 58, 59	IV
2	-	1	Centralna część majdanu	X=100–102; Y=100–106	Piaszczysta ziemia; miąższość do 20 cm	10YR 5/3	1	5, 6	II
3	4	1	Centralna część majdanu	X=100–100,7; Y=100–100,5	Zbita ziemia z dużą ilością polepy; miąższość do 20 cm; wypełnisko obiektu 4	10YR 4/4	2	4	II
4	4	1	Centralna część majdanu	X=100–100,7; Y=100–100,5	Obiekt, owalny w planie, nieckowaty w przekroju; śr. ok. 70 cm, gł. do 20 cm		3	5	II
5	-	1	Centralna część majdanu	X=100–102; Y=100–106	Piaszczysta ziemia z drobinami gruzu ceglanego, polepy i węgli drzewnych; miąższość do 25 cm	10YR 4/6	2, 7	9	IA
6	7	1	Centralna część majdanu	X=100,9–102; Y=100,9–103,1	Zbita ziemia z licznymi drobinami węgli drzewnych; wypełnisko obiektu 7	10YR 3/3	2	7	II
7	7	1	Centralna część majdanu	X=100,9–102; Y=100,9–103,1	Obiekt, nieregularnie owalny w planie, w przekroju kształt niecki o stromych ściankach; śr. 120–215 cm, gł. do 35 cm		6	5	II
8	-	1	Centralna część majdanu	X=100,8–101,8; Y=100,8–101,7	Połkolista w planie, soczewkowata w profilu plama zbitej ziemi; śr. 35–85 cm, miąższość do 10 cm	2,5YR 5/4	7	5	IB
9=37=67	-	1, 2, 3	Centralna i południowa część majdanu	X=100–102; Y=90–123	Lekko piaszczysta glina poprzerastana korzeniami; warstwa naturalna	2,5YR 4/6, 10Y 6/4, 10Y 6/6	5, 60, 65, 68	-	Calec
14	-	2	Centralna część majdanu	X=100–102; Y=108–109,6	Sypka, piaszczysta ziemia; miąższość do 50 cm; urobek z kopania wkopu 68	10YR 5/3	13, 16	37	I A
15	68	2	Centralna część majdanu	X=100–102; Y=109,3–110	Piaszczysta ziemia; miąższość do 100 cm; wypełnisko wkopu budowlanego 68	10YR 4/4	38	68	IA
16	-	2	Centralna część majdanu	X=100–102; Y=109,3–116,6	Piaszczysta ziemia z pojedynczymi kamieniami oraz z drobinami węgli drzewnych i polepy; miąższość do 70 cm; niwelacja równająca obszar piwnicy po jej zawaleniu się	10YR 3/2	13, 14, 17, 69	15, 21, 26, 36	II
17	69	2	Centralna część majdanu	X=100–102; Y=114,1–123	Ziemia z drobinami węgli drzewnych; wypełnisko obiektu 69	10YR 2/2	13, 18	69	III
18	-		Centralna część majdanu	X=100,3–102; Y=121–122,4	Zbita, gliniasta ziemia; miąższość do 40 cm	10YR 3/3	19	17	III
19	-	2	Centralna część majdanu	X=100,3–102; Y=121,6–123	Zbita ziemia; miąższość do 40 cm	10YR 4/6	13	17, 18	III
20	-	2	Centralna część majdanu	X=100–100,9; Y=109,8–110,8	Gliniasta ziemia; miąższość do 40 cm; obsyp krawędzi piwniczki	10YR 5/8	26	38, 40	II
21	-	2	Centralna część majdanu	X=100–102; Y=110,8–114,8	Kamienie z grudami polepy i węglami drzewnymi; jeden z zasypów piwnicy z wkopu 68		15	25, 36	II
22	-	2	Centralna część majdanu	X=100–100,5; Y=113,3–114,3	Piaszczysta ziemia; miąższość do 55 cm; jeden z zasypów piwnicy z wkopu 68	10YR 3/2	26	37, 68	II
23	-	2	Centralna część majdanu	X=100,9–102; Y=114,5–117,3	Zbita, piaszczysta ziemia z drobinami zaprawy wapiennej; miąższość do 30 cm; jeden z zasypów piwnicy z wkopu 68	10YR 4/6	26	24, 27	II
24	-	2	Centralna część majdanu	X=100,9–102; Y=110,2–118,7	Ziemia z kawałkami zwęglonego drewna i polepy; miąższość do 45 cm; jeden z zasypów piwnicy z wkopu 68	10YR 3/4	23	27, 31, 46, 49, 50	II
25	-	2	Centralna część majdanu	X=100,2–102; Y=120,7–121,4	Ziemia z drobinami wapna; miąższość do 90 cm; jeden z zasypów piwnicy z wkopu 68	10YR 6/4	17	29	II
26	-	2	Centralna część majdanu	X=100–102; Y=110–117	Lekko piaszczysta ziemia; miąższość do 30 cm; jeden z zasypów piwnicy z wkopu 68	10YR 5/4	16, 69	20, 21, 22, 23, 24	II
27	-	2	Centralna część majdanu	X=100–102; Y=111,1–119,3	Spalone drewno; zawalone elementy spalonej konstrukcji piwniczki	2,5YR 2,5/1	24	31, 46	II
29	-	2	Centralna część majdanu	X=100–102; Y=118,8–121	Zbita ziemia z wtrętami węgli drzewnych i polepy; miąższość do 80 cm; jeden z zasypów piwnicy z wkopu 68	10YR 4/2	25, 30	50, 52, 53	II
30	-	2	Centralna część majdanu	X=100–102; Y=119,2–121,2	Ziemia z drobinami wapna; miąższość do 40 cm; jeden z zasypów piwnicy z wkopu 68	10YR 4/4	69	29	II
31	-	2	Centralna część majdanu	X=101–102; Y=110,5–116,7	Ziemia z dużą ilością węgli drzewnych; miąższość do 30 cm; spalona podłoga piwniczki	10YR 3/2	45, 46	68	IB

Tabela 1. Ciąg dalszy

Numer jednostki	Numer obiektu	Numer wykopu	Położenie w obrębie stanowiska	Współrzędne siatki pomiarowej	Opis jednostki stratygraficznej	Barwa (Munsell)	Pozycja stratygraficzna		Faza
							Znajduje się pod	Znajduje się nad	
35	-	2	Centralna część majdanu	X=100,5–101,5; Y=111,1–111,9	Fragmenty dwóch drewnianych belek w otoczeniu pryzm kamieni 21 i 36; fragment zniszczonej, drewnianej konstrukcji	7,5YR 3/6	21	36	II
36	-	2	Centralna część majdanu	X=100–102; Y=110,3–113,5	Luźna pryzma kamieni, w tym przepalonych; jeden z zasypów piwnicy z wkopu 68		21, 35	39	II
38	68	2	Centralna część majdanu	X=100–102; Y=109,7–110,4	Zbutwiałe i przepalone deski i kłody drewna; zniszczone elementy konstrukcyjne ściany S piwniczki z wkopu 68	7,5YR 3/1	15, 16, 20, 24	68	IA
39	-	2	Centralna część majdanu	X=100–101,8; Y=110–113,2	Luźno rozrzucone kamienie; jeden z zasypów piwnicy z wkopu 68		36	20	II
40	-	2	Centralna część majdanu	X=100–101,9; Y=109,8–111	Ziemia z grudami polepy i soczewkami popiołu; miąższość do 35 cm; jeden z zasypów piwnicy z wkopu 68	10YR 3/1	41	38, 68	IA
41	-	2	Centralna część majdanu	X=100,8–101,9; Y=109,8–110,2	Gliniasta ziemia; miąższość do 20 cm; jeden z zasypów piwnicy z wkopu 68	7,5YR 5/6	16	40	II
43	-	2	Centralna część majdanu	X=100–100,4; Y=110,7–112,1	Ziemia z drobinami węgli drzewnych i grudami gliny; miąższość do 40 cm; jeden z zasypów piwnicy z wkopu 68	7,5YR 4/4	26	36, 39, 40	II
45	-	2	Centralna część majdanu	X=100–101,8; Y=111,4–113,4	Skupisko kamieni; jeden z zasypów piwnicy z wkopu 68		24	46	II
46	-	2	Centralna część majdanu	X=100–102; Y=112,9–113,4	Pas węgli drzewnych, popiołów i grud polepy; wym. 40 x 200 cm, miąższość do 15 cm; fragment spalonej drewnianej podłogi piwniczki	10YR 3/2 80%; 10YR 5/8 20%	45	31	IB
47	-	2	Centralna część majdanu	X=100,5–102; Y=114–114,5	Pas węgli drzewnych, popiołów i grud polepy; wym. 35 x 150 cm, miąższość do 15 cm; fragment spalonej drewnianej podłogi piwniczki	2,5YR 3/2	27	31	IB
48	-	2	Centralna część majdanu	X=100,8–101,5; Y=114,6–115	Nieregularna plama węgli drzewnych, popiołów i grud polepy; śr. 30–45 cm, miąższość do 15 cm; fragment spalonej drewnianej podłogi piwniczki	7,5YR 3/1	24	68	IB
49	-	2	Centralna część majdanu	X=101,6–102; Y=116,6–117,8	Soczewka wyprażonej gliny; miąższość do 15 cm; jeden z zasypów piwnicy z wkopu 68	10YR 4/4	27	52	II
50	-	2	Centralna część majdanu	X=101,6–102; Y=118–119,8	Pas ziemi z dużą ilością węgli drzewnych i popiołów; wym. 25 x 180 cm, miąższość do 30 cm; jeden z zasypów piwnicy z wkopu 68	5Y 3/1	24, 29	52, 55	II
51	-	2	Centralna część majdanu	X=100–102; Y=118–119,6	Piaszczysta ziemia z grudkami polepy i drobinami węgli drzewnych; miąższość do 30 cm; jeden z zasypów piwnicy z wkopu 68	10YR 7/4	52	68	II
52	-	2	Centralna część majdanu	X=100–102; Y=117,7–119,6	Popioły i drobiny węgli drzewnych; miąższość do 20 cm; jeden z zasypów piwnicy z wkopu 68	10YR 3/2	29, 49, 50	51, 53, 55	II
53	-	2	Centralna część majdanu	X=100–102; Y=118–121,3	Piaszczysta ziemia z drobinami wapna; miąższosc do 50 cm; jeden z zasypów piwnicy z wkopu 68	7,5YR 6/1	29, 55	51, 68	II
54	-	2	Centralna część majdanu	X=100–101,9; Y=120,8–121,2	Ziemia z drobinami wapna; miąższość do 30 cm; jeden z zasypów piwnicy z wkopu 68	10YR 6/3	55	53	II
55	-	2	Centralna część majdanu	X=101,5–102; Y=118,8–120,8	Zbita ziemia ze smugami drobin wapna; miąższość do 20 cm; jeden z zasypów piwnicy z wkopu 68	10YR 7/1	52	53	II
57	-	3	Część S majdanu	X=100–102; Y=97–99	Zbita, piaszczysta ziemia, miąższość do 50 cm	10YR 5/2	58, 70	62, 63, 67	IA
58	70	3	Część S majdanu	X=100–102; Y=91–98,1	Ziemia; miąższość do 50 cm	10YR 4/2	56	57, 59, 62, 70	II
59	-	3	Część S majdanu	X=100–102; Y=90–92,5	Zbity piasek; miąższość do 50 cm	10YR 6/4	58, 70	64, 66, 67	IA
60	60	3	Część S majdanu	X=101,4–101,9; Y=96,8–97,5	Dół posłupowy, owalny w planie, U-kształtny w przekroju; śr. ok. 40–55 cm, głębokość ok. 20 cm		61	67	IA
61	60	3	Część S majdanu	X=101,4–101,9; Y=96,8–97,5	Zbita ziemia; wypełnisko dołu posłupowego 60	10YR 4/3	58, 63	60	IA
62	-	3	Część S majdanu	X=100–101,1; Y=95,5–97,3	Niewielki luźny bruk płasko ułożonych kamieni; śr. do 45 cm, śr. bruku 120–160 cm		57, 58	67	IA
63	-	3	Część S majdanu	X=101,3–102; Y=97,4–99	Niewielki luźny bruk płasko ułożonych kamieni; śr. do 35 cm, śr. bruku 70–160 cm		57	61, 67	IA
64	-	3	Część S majdanu	X=90,8–91,8; Y=91,4–92,7	Niewielki, luźny bruk płasko ułożonych kamieni; śr. do 25 cm, śr. bruku 70–130 cm		59	66, 67	IA

Tabela 1. Ciąg dalszy

Numer jednostki	Numer obiektu	Numer wykopu	Położenie w obrębie stanowiska	Współrzędne siatki pomiarowej	Opis jednostki stratygraficznej	Barwa (Munsell)	Pozycja stratygraficzna		Faza
							Znajduje się pod	Znajduje się nad	
65	65	3	Część S majdanu	X=91–91,6; Y=91,6–92,2	Dół posłupowy, owalny w planie, U-kształtny w przekroju; śr. ok. 40–45 cm, gł. ok. 20 cm		66	67	IA
66	65	3	Część S majdanu	X=91–91,6; Y=91,6–92,2	Ziemia; wypełnisko dołu posłupowego 65	10YR 4/2	64	65	IA
68	68	2	Centralna część majdanu	X=100–102; Y=109,3–121,4	Szerokopłaszczynowy wkop pod piwniczkę; dł. 12 m, szer. 2 m, gł. do 1,4 m		38	37	IA
69	69	2	Centralna część majdanu	X=100–102; Y=114,1–123	Znacznych rozmiarów wkop w kształcie leja; szerokość do 8,8 m, gł. do 1,4 m; funkcja nieokreślona – wkop rabunkowy?		17	16, 25, 26, 30	III
70	70	3	Część S majdanu	X=100–102; Y=91–98,1	Szerokopłaszczynowy wkop rozbiórkowy; dł. 7 m, szer. 2 m, gł. do 55 cm		58	57, 59	II

ZNALEZISKA

URSZULA KOBYLIŃSKA

Ceramika

Cechy technologiczne

W trakcie badań wykopaliskowych 2015 roku w nawarstwieniach kulturowych znaleziono 1689 fragmentów ceramiki, głównie „siwej", o powierzchni matowej, w tym 208 fragmentów z wylewem stanowiących 1428% SEN; 1116 fragmentów brzuśców, 99 części den stanowiących 850% SEN, głównie płaskich na podsypce, rzadziej ze śladami odcinania. Różnych części naczyń ozdabianych ornamentem odcisków, żłobień odkryto 471 ułamków (tab. 2).

Ceramika znaleziona na grodzisku jest jednolita w swych charakterze. Naczynia mają barwę od jasnoszarej, poprzez ciemnoszarą do czarnej (5YR 5/1, 5YR 3/1). Są głównie wypalone w atmosferze redukcyjnej z przełamami w przeważającej większości jednolicie jasnoszarymi, beżowymi, choć niewielka część ceramiki ma dwukolorowe jasnobrązowe i ceglaste barwy (5YR 5/2) lub jasne (5YR 7/1, 5YR 7/2) przebarwienia i plamy na powierzchni, co wskazuje na nierówny wypał i słabe zsiwienie powierzchni. Typowej ceglastej (2,5YR 5/6) ceramiki jest niewiele. Większość zachowanych fragmentów ceramiki tzw. „siwej" charakteryzuje powierzchnia szorstka, kostropata, a lekko wygładzone bywają tylko krawędzie wylewów lub same wylewy z zewnątrz. Znaleziono jedynie 19 ułamków gładkich i 25 o wyświeconej powierzchni brzuśców, oraz kilka fragmentów małych naczynek pochodzących z ceramiki o powierzchni wyświeconej, szarej i stalowoszarej (10R 6/1, 10R 5/1). Wśród odkrytych ułamków naczyń można wyróżnić głównie dzbanki, garnki i pokrywy naczyń.

Materiał ceramiczny jest rozdrobniony, głównie są to fragmenty o wielkości trzy (575 fr.), cztery (449 fr.), pięć (249 fr.) i dwa centymetry (157 fr.). Większych fragmentów, zawierających się w przedziale od sześciu do ośmiu cm jest zaledwie 217, natomiast dużych części naczyń dających więcej informacji jest jedynie 32 ułamki (tab. 3), co może wskazywać na zaleganie materiału zabytkowego w warstwach niwelacyjnych, podlegających przebudowie lub wtórnemu przemieszaniu[10]. Oprócz rozdrobnienia ceramika nie wykazuje wyraźnych śladów przepalenia czy silnego zniszczenia, a jedynie niewielkie wypłukanie powierzchni i brzegów fragmentów powstałych po zdeponowaniu w kulturowych jednostkach stratygraficznych po ich zużyciu. Znaczna większość analizowanych fragmentów ceramiki zawiera się w I kategorii erozji[11]

Fragmenty ceramiki odkryte w nawarstwieniach kulturowych grodziska poddano analizie makroskopowej, na podstawie której opisano ich masę ceramiczną, wielkości, stopień zniszczenia oraz wydzielono grupy o wspólnych cechach ukształtowania górnych części naczyń.

Fragmenty naczyń na omawianym stanowisku wykonane były techniką lepienia, a następnie całkowicie obtoczone. Świadczą o tym ślady po formowaniu i zagładzaniu powierzchni, a także negatywy i zgrubienia po zlepionych taśmach lub wałkach występujące na powierzchni zewnętrznej lub wewnętrznej stronie ścianek głównie części przydennych oraz na dnach, a także zasięg i intensywność śladów obtaczania oraz odciski palców lub ich brak na powierzchni, np. przy dnie. Naczynia z grodziska w Durągu, o charakterystycznej szorstkiej powierzchni przyjmującej różne odcienie szarości, były wykonane metodą ślizgowo-taśmową, a następnie całkowicie obtoczone i wypalone w atmosferze redukcyjnej. Wypał naczyń z grodziska w Durągu ze względu na zróżnicowaną barwę powierzchni, od jasnoszarej, poprzez szarą do siwo-czarnej na całej przestrzeni zachowanego naczynia, można określić jako dość dobry. Jednak część zebranego materiału zabytkowego wykazuje cechy słabego zsiwienia, co nie tylko przejawia się

[10] Kobylińska i Kobyliński 1993.

[11] Buko 1990a.

Tabela 2. Zestawienie ilościowe fragmentów ceramiki z grodziska w Durągu, st. 1 (oprac. U. Kobylińska)

Faza	Jednostka stratygraficzna	Liczba fragmentów łącznie	Liczba różnych naczyń	Wylewy		Szyjki	Brzuśce									Ucha	Pokrywki	Części przydenne	Dna									Ceramika „siwa”	Ceramika z polewą	Fragmenty przepalone	Fragmenty o wypłukanej powierzchni	Chronologia		
								Rodzaj powierzchni				Ornamentowane									Rodzaj			Cechy den										
				Liczba fragmentów	SEN (procent obwodu)		Liczba fr. ogółem	Gładkie	Wyświecane	Szorstkie	Nieokreślone	Żłobki dookolne	Linia falista	Ornament plastyczny	Odciski				Liczba fragmentów	SEN (procent obwodu)	Wklęsłe	Lekko wklęsłe	Płaskie	Na podsypce	Wałek dookolny	Odcinanie					Wczesna epoka żelaza	Wczesne średniowiecze	Późne średniowiecze
IA	5	264	18	19	145	8	184	1	1	178	4	13	1	8	12		5	24	26	227	1	4	7	10	3		219	8		5		5	259
IA	14	74	8	8	30	2	58	4	1	47	6	8		9	2			1	5	26	1		3	3			53	2		6	2		68
IA	15	9	2	2	8		6			6									1	10			1	1			5						9
IA	40	1																1											1				1
IA	57	3	1	1	5		1			1								1									3						3
IA	59	27	5	5	30	2	15		3	12		9		1	1		1	1	1				1				21			2		1	26
IA	61	8	1	1	?		6			6		1							1	?							6					1	7
IA	64	7				1	6		1	5		3															5			2			7
IB	31	183	8	17	161	12	120	2		118		51		49	14			31	3	100		1	2	2	1		178					2	181
IB	48	2					1			1								1									2						2
II	2	136	12	14	60		104	2	1	98	3	7		8	12		1	8	10	56		1	4	7			112	3		12	1		135
II	3	1																1														1	
II	16	17	3	3	41	3	10	1		5	4	2		2	1		1										11			4		1	16
II	21	14	1	1	5	2	5			5		3						1	2				1				8			3			14
II	22	3	1	1	6		1			1		1						1									2						3
II	23	2				1													1								2						2
II	24	1	1	1	3																												1
II	26	13	3	3	19		8		2	6		2		1		1	1		1	5			1	1		1	8					1	12
II	29	117	7	7	52	8	82		2	80		22		9	4		3	12	6	48		2	4	3			104					8	109
II	30	17	3	4	35		12	1		11		4		5	1			1									16					1	16
II	41	2					2			2																	2						2
II	45	3					3			3		3															3			1			3
II	55	3					2			2								1									3						3
II	58	477	75	82	593	38	282	6	4	264	7	55	2	21	41	1	16	47	27	260	2	5	11	16	3	3	391	1	3	7		16	436
III	17	32	5	5	45	1	19		1	18		5	1			1		5	1	10			1	1			22		1	2		2	30
III	19	22	4	4	23	1	14			14		8		1		1	1	2									11			4		7	15
IV	13	37	6	6	26	2	23	2		18	3	4		1	5	1		2	3	24			3	2		1	27	1		4		1	36
IV	56	214	20	24	141	16	152		9	4	2	24	2	13	19	2	3	8	11	84	1	2	7	4	1	3	172			7		9	205
Suma		**1689**	**184**	**208**	**1428**	**97**	**1116**	**19**	**25**	**905**	**29**	**225**	**6**	**128**	**112**	**7**	**32**	**149**	**99**	**850**	**5**	**15**	**46**	**50**	**8**	**8**	**1386**	**15**	**5**	**59**	**3**	**56**	**1601**

Tabela 3. Fragmentacja i erozja fragmentów ceramiki z grodziska w Durągu, st. 1 (oprac. U. Kobylińska)

Jedn.	Kategorie wielkościowe [cm]														Stopień erozji				Suma
strat.	1	2	3	4	5	6	7	8	9	10	11	12	13	14	0	I	II	III	
2	5	12	59	32	19	6	3								1	52	80	3	**136**
3				1													1		**1**
5	3	25	63	77	37	23	13	14	4	2		1	1	1	12	144	100	8	**264**
13		8	9	11	5	2	1	1								24	9	4	**37**
14	1	8	30	20	13	1	1								1	46	23	4	**74**
15	1	1	2	2	1	1	1									6	3		**9**
16		2		5	4	3	1			1	1				8	2	7		**17**
17			9	9	7	2	4				1				1	26	5		**32**
19		3	4	7	5	3									1	13	7	1	**22**
21			4	7	2			1								11	3		**14**
22					2			1								3			**3**
23					2											1	1		**2**
24					1											1			**1**
26			6	3	3		1								1	9	3		**13**
29		8	51	29	13	10	5	1							8	84	25		**117**
30			4	5	4	2	1	1							1	14	2		**17**
31		26	57	37	26	14	11	3	5	2			1	1	102	78	3		**183**
40							1									1			**1**
41			2													2			**2**
45		1		1	1										1	1	1		**3**
48			1			1									1	1			**2**
55			1	1	1										2	1			**3**
56		17	89	74	24	8	1			1					3	157	51	3	**214**
57					3											3			**3**
58		33	175	116	70	42	18	13	3	3	1	2	1		6	377	84	10	**477**
59		6	6	9	4	2										18	9		**27**
61		4	2	2												8			**8**
64		3	1	1	2											1	6		7
Suma	**10**	**157**	**575**	**449**	**249**	**120**	**62**	**35**	**12**	**9**	**3**	**3**	**3**	**2**	**149**	**1084**	**423**	**33**	**1689**

miejscowymi przebarwieniami, ale też zsiwieniem tylko jednej strony naczynia. Zaznacza się też obecność grupy fragmentów naczyń o powierzchni jasnobrązowo-szarej lub miejscami jasnych i ciemnych szarych powierzchni na jednym fragmencie ceramiki. Analizowane fragmenty z grodziska wykazują więc ślady wyraźnie nierównego wypału. Generalnie ceramika szara wykonana była z masy ceramicznej z drobną i bardzo drobną domieszką schudzającą. Zaobserwowano głównie białe ziarna piasku o drobnej granulacji i zaokrąglonych krawędziach, które dodawano do gliny w niewielkiej ilości. Przełamy są zwarte i jednolite, a na powierzchniach niezwykle rzadko widoczne są bardzo nikłe wtręty srebrnej miki. Zdecydowana większość ceramiki „siwej" nie wykazuje obecności miki w masie ceramicznej. Nie stwierdzono związku pomiędzy obecnością miki a konkretnym typem czy rodzajem naczynia „siwego". Nieliczne ułamki ceramiki „siwej" wyświeconej mają bardzo drobną domieszkę, słabo widoczną i nie zawierają w masie ceramicznej miki. Silnie obtaczana ceramika pochodząca z nielicznej grupy garnków barwy kremowej i żółtej ma słabo zwartą masę ceramiczną ze średnią ilością grubej domieszki białego piasku oraz zawiera mikę. Natomiast ceramika barwy brązowej, tzw. tradycyjna, której ułamki głównie brzuśców, ale też paru wylewów o średniej sile obtoczenia znaleziono w kilku jednostkach stratygraficznych (14, 15, 16, 17, 19, 22, 26 i 30) jako pojedyncze egzemplarze, mają w masie ceramicznej zawsze większe ilości domieszki o różnej granulacji i obtoczeniu, a także zawsze widoczna na powierzchni jest srebrna mika. Przełamy tych naczyń są dwu- i trójbarwne, glina jest miękka, a powierzchnie pokryte okopceniem. Zachowana część przydenna z dnem z naczynia ceglastego szkliwionego ma pylastą domieszkę w zwartym jednolitym przełamie. Gruboziarnista domieszka widoczna była jedynie na dnie jako podsypka.

Formy naczyń

Ze względu na brak całych naczyń w analizowanym zespole zabytkowym, trudno wypowiadać się na temat ich kształtów i proporcji, a podziału na grupy dokonano ze względu na ukształtowanie wylewów. Wynikiem klasyfikacji fragmentów ceramiki naczyniowej odkrytej podczas badań grodziska w Durągu, st. 1 jest zatem podział na grupy naczyń pod względem ukształtowania i wyprofilowania wylewu i wielkości średnicy wylewu naczynia.

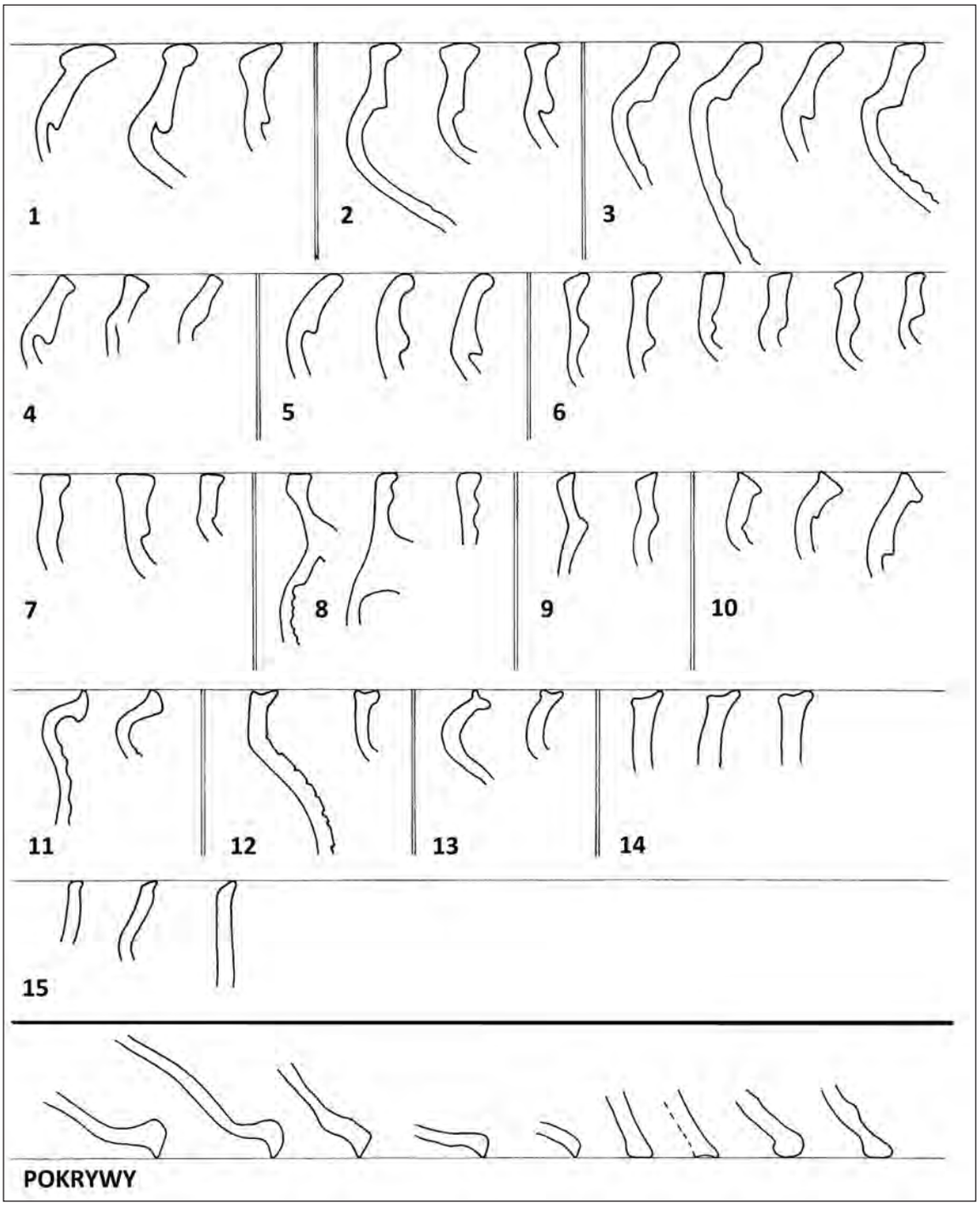

Ryc. 17. Durąg, st. 1. Grupy form wylewów naczyń późnośredniowiecznych (oprac. U. Kobylińska, rys. D. Wach)

Jak można sądzić, w analizowanym materiale wystąpiły głównie górne partie garnków i dzbanów, choć ze względu na brak w większości przypadków zachowanych połączeń między wylewami z szyjką a brzuścami, trudno stwierdzić to jednoznacznie. Mogą zatem przemawiać jedynie pośrednie przesłanki, jakimi są np. średnica wylewu czy masywność naczynia, grubość ścianek, stopień wygładzenia powierzchni, obecność wyświecenia, wystąpienie uch, czy takie cechy jak istnienie plam okopcenia, czy warstw spalenizny na ściankach.

Podziału dokonano głównie na podstawie pomiaru szerokości brzegu, średnicy wylewu oraz szczegółowej analizy ukształtowania i wyprofilowania krawędzi wylewu (ryc. 17).

1. Wychylona silnie na zewnątrz górna część naczynia, z bardzo szerokim (szerokości 1,2–1,7 cm), pogrubionym brzegiem, zaokrąglonym i ściętym do wewnątrz, z wyraźnie zaznaczającym się głębokim wrębem. Od zewnątrz wysokość profilowanego wylewu wynosi od 2 do 3 cm. Średnice wylewów tych naczyń wynoszą od ok. 18 do 26 cm, głównie są to duże, masywne naczynia, o powierzchni matowej, tzw. „siwe" (tabl. 1:20, 24, 26, 31; 3:6; 6:10, 12, 18; 7:5, 20, 37).

2. Wychylenie górnej części naczynia jest wyraźne, choć mniejsze niż w grupie 1; lekko ścięty, zaokrąglony brzeg (szerokości 1–1,4 cm) do wewnątrz, ma lekkie, ale wyraźne i rozległe przegłębienie na pokrywę, z wrębem, od zewnątrz wysokość profilowanego wylewu wynosi ok. 2 cm i jest wyraźnie mniejsze niż w grupie pierwszej. Średnice tych naczyń wynoszą od ok. 13 do 19 cm. Są to średniej wielkości garnki o matowej powierzchni, „siwe", brązowoszare i brązowe (tabl. 1:22, 25, 27; 3:8; 4:8; 5:3; 6:4, 8, 21–23; 7:36).

3. Wychylenie górnej części naczynia jest silne, brzeg jest wąski, owalny, wychylony na zewnątrz; od wewnątrz przegłębienie na pokrywę jest łagodne, wyraźne i szerokie. Wysokość profilowanego wylewu z zewnątrz wynosi do 2 cm. Średnice wylewów naczyń wynoszą od ok. 10 do 18 cm. Są to niewielkich rozmiarów cienkościenne garnki „siwe", matowe, ornamentowane żłobieniami i wałeczkami plastycznymi (tabl. 3:5, 7, 10; 5:4, 12; 6:6; 7:39).

4. Wychylenie górnej części naczynia jest wyraźne, brzeg wąski, płasko, ukośnie na zewnątrz ścięty. Profilowanie wylewu jest nieznaczne, charakteryzuje się głównie lekkim przegłębieniem na pokrywę od wewnątrz, a wysokość wylewu od zewnątrz wynosi od 1,4 do 2 cm. Średnice wylewów naczyń wynoszą od ok. 10 do 18 cm. Są to małe i średniej wielkości cienkościenne garnki szare i szarobrązowe, „siwe", o matowej powierzchni (tabl. 1:13, 15, 28–29; 4:25; 5:5; 7:28, 38; 9:14).

5. Wychylenie górnej części naczynia jest zróżnicowane, bez wgłębienia od wewnątrz, zawsze łukowate, brzeg jest wąski, owalny, zaokrąglony lub z okapem. Wysokość lekko profilowanego wylewu z zewnątrz wynosi od 1,5 do 2 cm. Średnice wylewów naczyń wynoszą od ok. 14 do 18 cm. Są to średnie i małych rozmiarów cienkościenne garnki „siwe", matowe, brązowoszare i brunatno-czarne (tabl. 1:11, 21; 3:4; 6:5, 11; 9:12; 10:17).

6. Naczynia o pionowym ukształtowaniu górnej części i wąskim, zaokrąglonym i łagodnie ściętym do wewnątrz brzegu. Wylewy są łagodnie profilowane przegłębieniami, wygładzane, barwy szarej, stalowoszarej, „siwej", czasem o wyświeconej powierzchni. Średnice wylewów zawierają się pomiędzy ok. 11 a 20 cm. Są to dzbanki i dzbany (tabl. 1:14; 3:2; 4:21; 6:19; 7:2, 6, 22, 34).

7. Naczynia o pionowym ukształtowaniu górnej części lub nieznacznie wychylone, z płaskim od góry brzegiem, o słabo lub lekko wyprofilowanej części zewnętrznej wylewu z lekkim okapem, o całkowitej wysokości od zewnątrz wynoszącej ok. 1,5 cm. Naczynia mają średnicę wylewów wynoszącą od ok. 13 do 19 cm. Są to naczynia o gładkiej powierzchni wylewu, barwy beżowej, jasno brązowej, brązowoszarej, szarej lub „siwej". Są to prawdopodobnie średniej wielkości dzbanki (tabl. 1:18; 4:17; 6:3; 7:3, 10; 9:13).

8. Naczynia o wyprostowanej górnej części, płaskich lub ukośnie ściętych wąskich brzegach bez wrębów. Spłaszczenie brzegu powoduje rozszerzenie brzegu, przez co wystaje krawędź zewnętrzna, tworząc niewielki okap. Średnice wylewów wynoszą od ok. 9 do 15 cm. Są to dzbanki o małych średnicach, z szerokimi uchami, ciemnoszarej barwy i szorstkiej, matowej lub wyświeconej powierzchni (tabl. 4:19; 7:26; 10:19, 24).

9. Naczynia charakteryzujące się ostrym załomem brzuśca, o poszerzonym, ukośnie ściętym do wewnątrz brzegu. Średnice wylewów wynoszą ok. 14 cm. Jeden z zachowanych fragmentów ma szarą wyświeconą powierzchnię, drugi – spłukaną i zniszczoną ceglasto-szarą (tabl. 1:23; 6:13).

10. Naczynia o lekko łukowato wychylonym wylewie, łagodnym przegłębieniem od wewnątrz na pokrywę lub bez wgłębienia, z profilowanym wylewem z zewnątrz i mocno wydzielającym się okapem. Średnice wylewów wynoszą od ok. 15 do 18 cm. Naczynia mają barwę jasnobrązową, brązową, brązowoszarą lub szarą, są wygładzane, ale niezbyt silnie obtaczane. Na powierzchniach obserwuje się okopcenie i spaleniznę, co może wskazywać, iż są to naczynia pełniące funkcję garnków do gotowania (tabl. 6:1, 7; 7:31, 33, 35; 9:10; 10:25).

11. Naczynia z silnym łukowatym wygięciem szyjki wraz z wylewem i owalnym brzegiem od zewnątrz oraz wyraźnym wgłębionym miejscem na pokrywę. Średnice wylewów wynoszą ok. 13–14 cm. Są to naczynia cienkościenne, ornamentowane żłobkami i plastycznymi lekko spłaszczonymi wałeczkami, o powierzchni szarej i ciemnoszarej, „siwej", matowej (tabl. 4:24; 5:10).

12. Naczynia z wąskim, profilowanym od góry brzegiem, wydzieloną prostą szyjką i baniastym brzuścem pokrytym ornamentowaniem w postaci regularnych rytych żłobków. Średnice wylewów wynoszą od ok. 14 do 17 cm. Są to małe garnki barwy ceglasto-brązowej z zaznaczającym się silnym okopceniem powierzchni (tabl. 5:8; 7:1, 14).

13. Naczynia o łukowato wygiętej szyjce i wychylonym wylewie z wrębem na pokrywę i wąskim, profilowanym od zewnątrz brzegiem, z baniastym brzuścem pokrytym ornamentowaniem w postaci rytych żłobków. Średnice wylewów wynoszą od

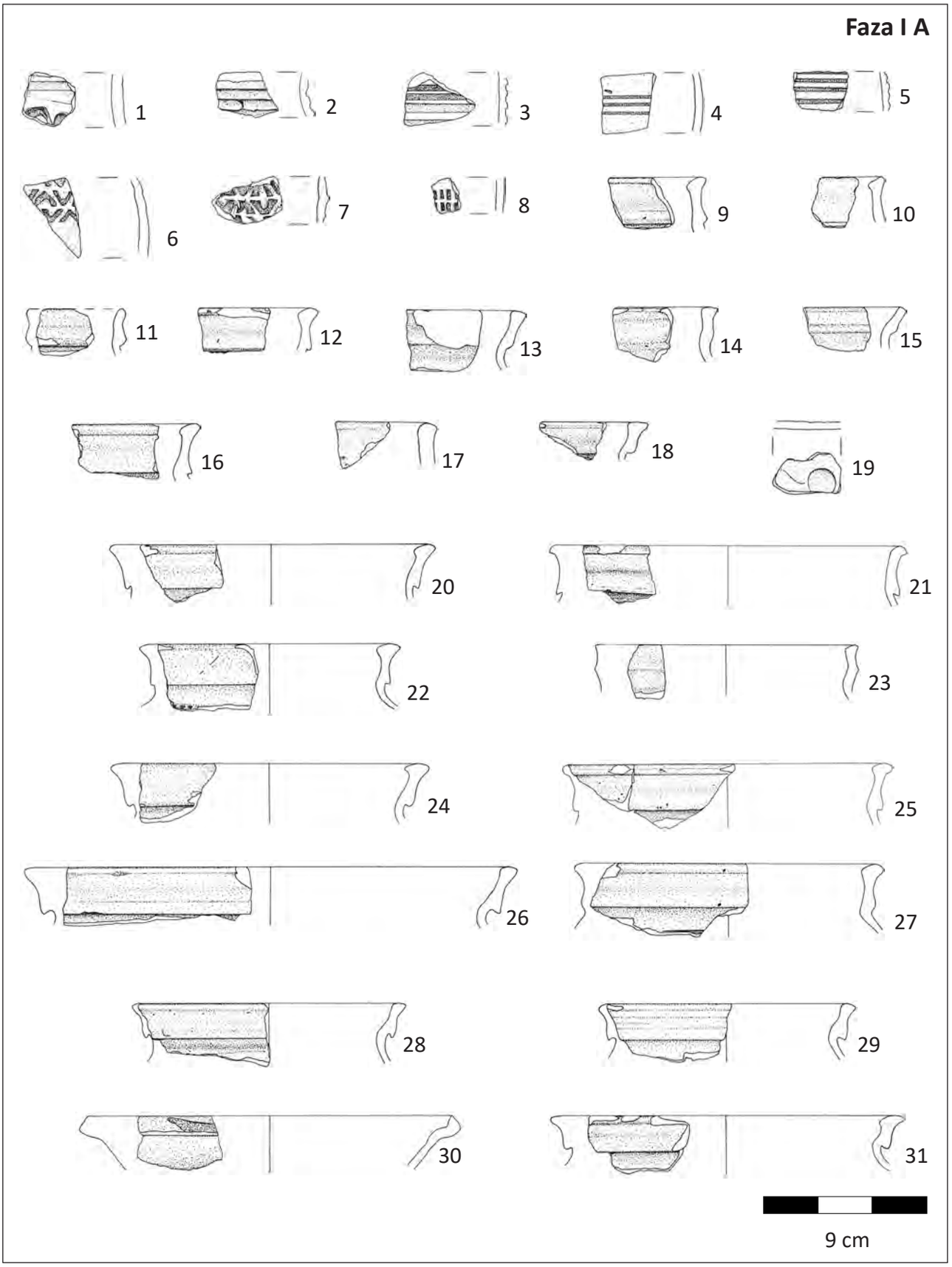

Tablica 1. Durąg, st. 1. Fragmenty naczyń z nawarstwień Fazy IA (rys. D. Święcka)

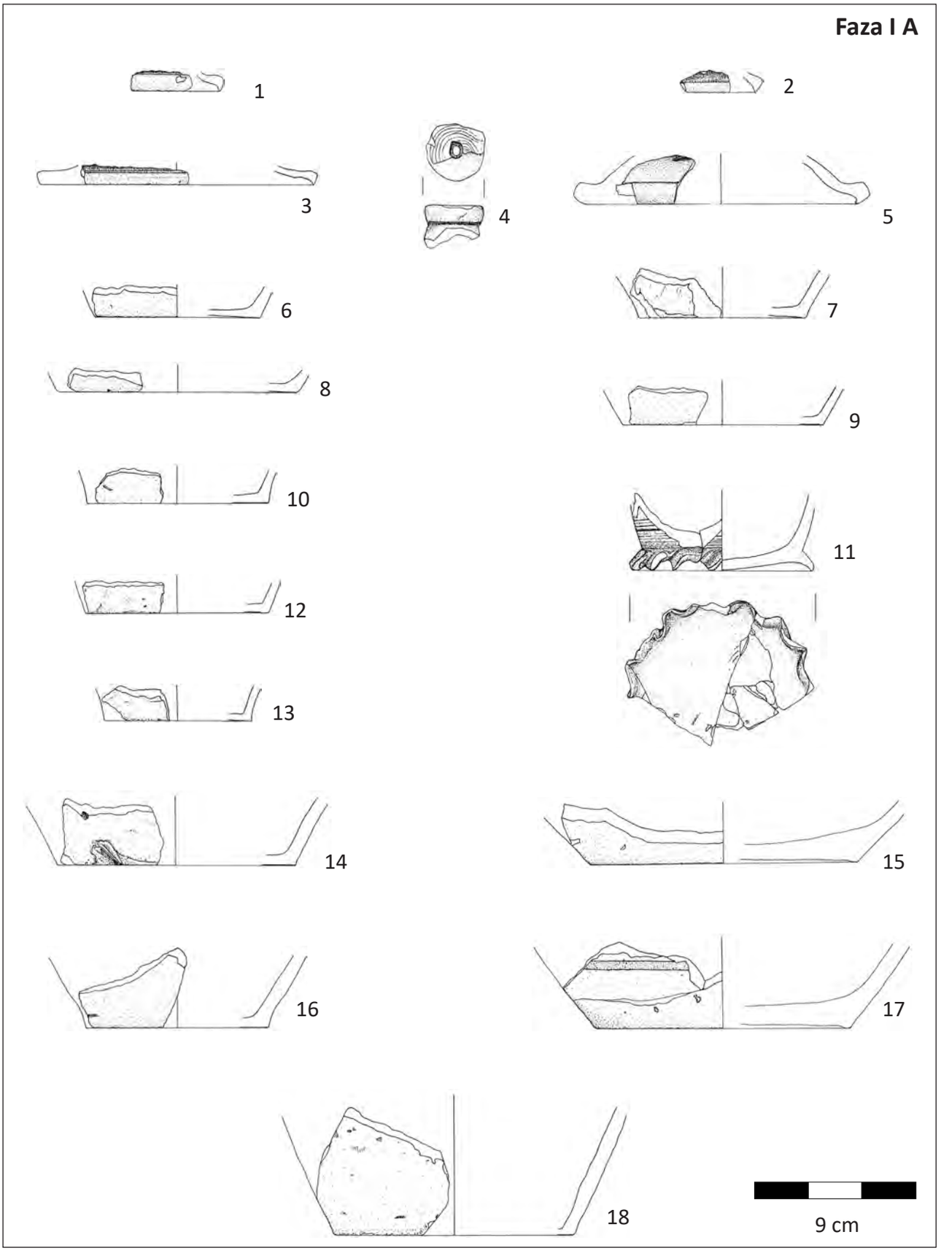

Tablica 2. Durąg, st. 1. Fragmenty naczyń z nawarstwień Fazy IA (rys. D. Święcka)

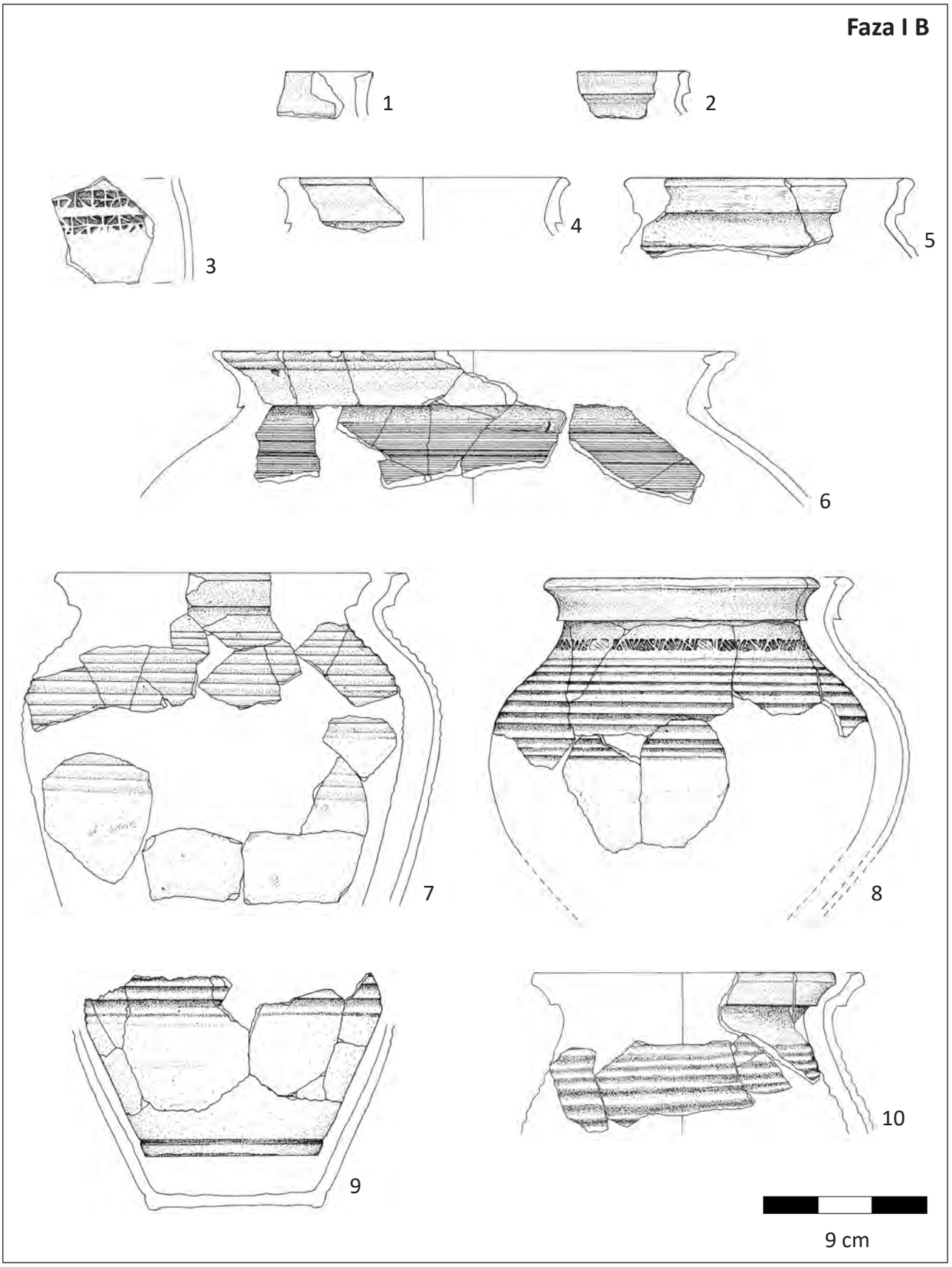

Tablica 3. Durąg, st. 1. Fragmenty naczyń z nawarstwień Fazy IB (rys. D. Święcka)

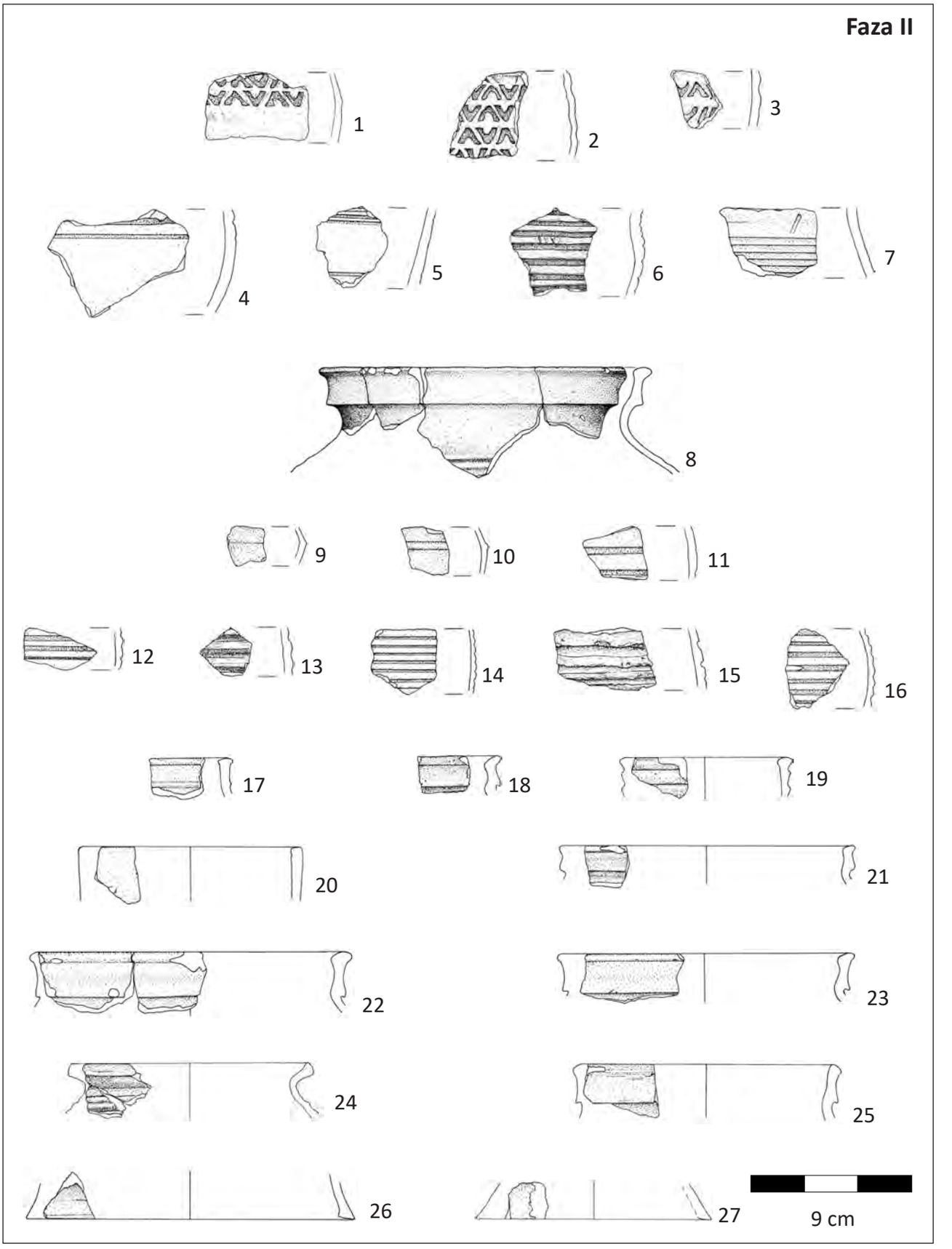

Tablica 4. Durąg, st. 1. Fragmenty naczyń z nawarstwień Fazy II (rys. D. Święcka)

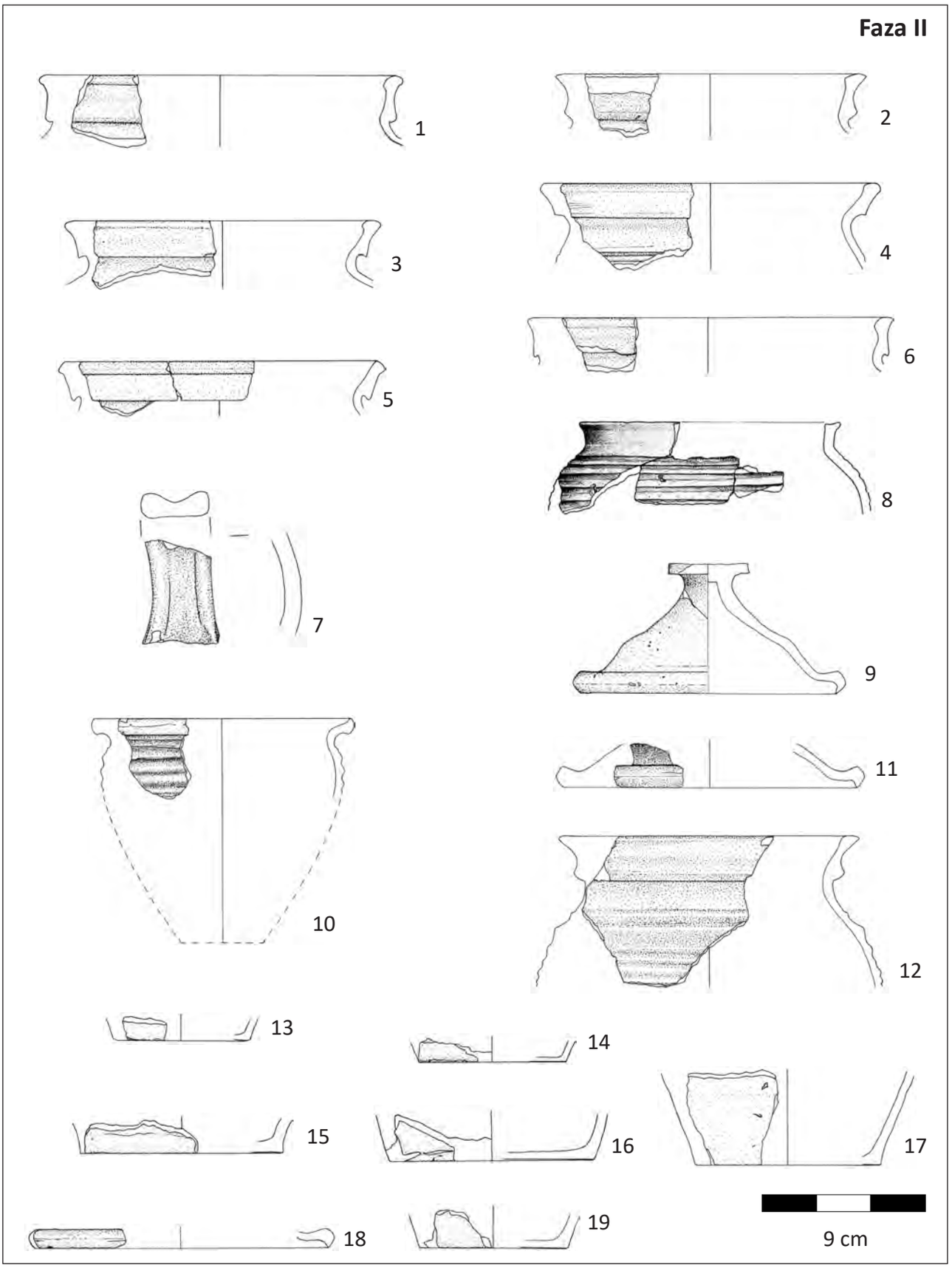

Tablica 5. Durąg, st. 1. Fragmenty naczyń z nawarstwień Fazy II (rys. D. Święcka)

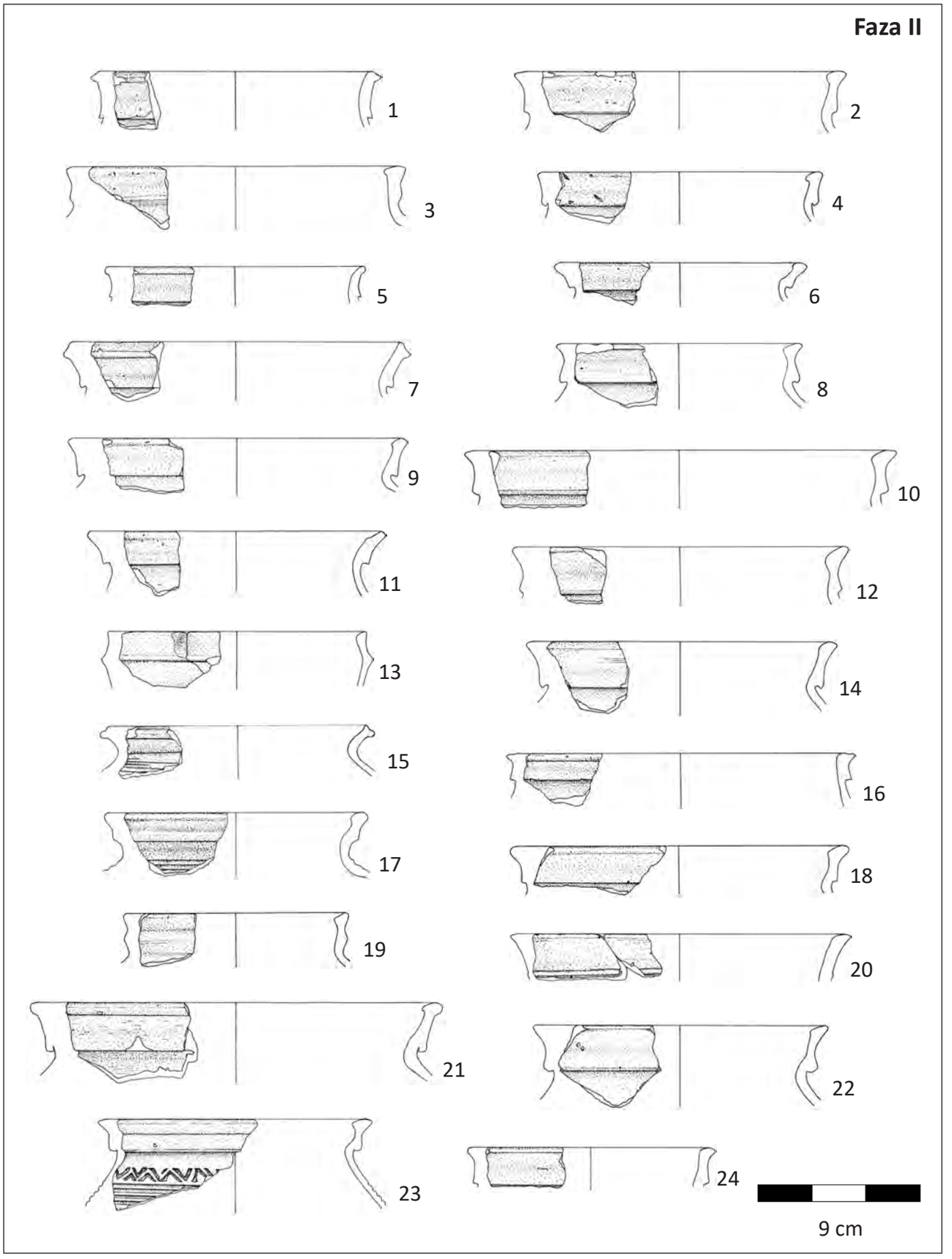

Tablica 6. Durąg, st. 1. Fragmenty naczyń z nawarstwień Fazy II (rys. D. Święcka)

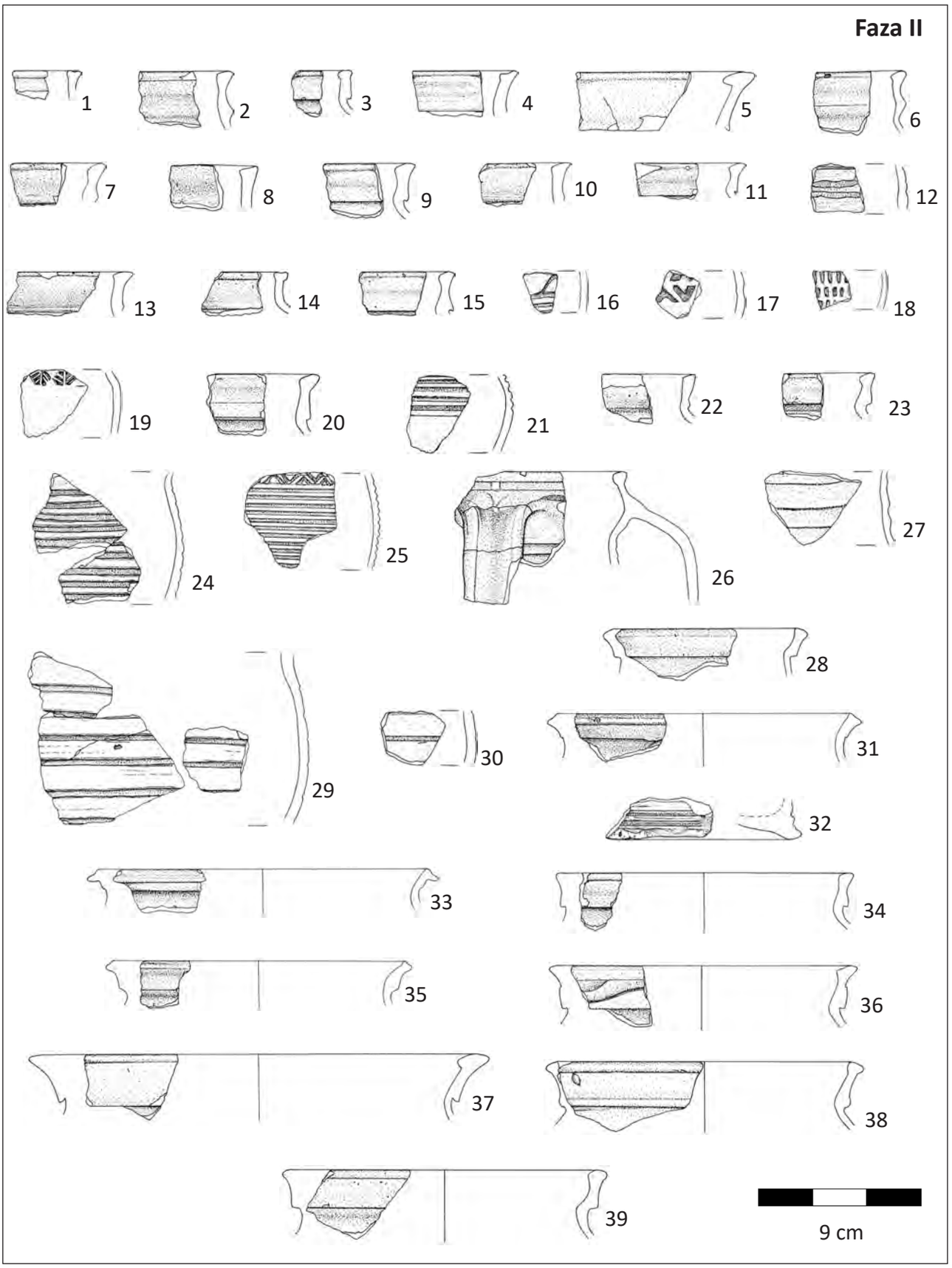

Tablica 7. Durąg, st. 1. Fragmenty naczyń z nawarstwień Fazy II (rys. D. Święcka)

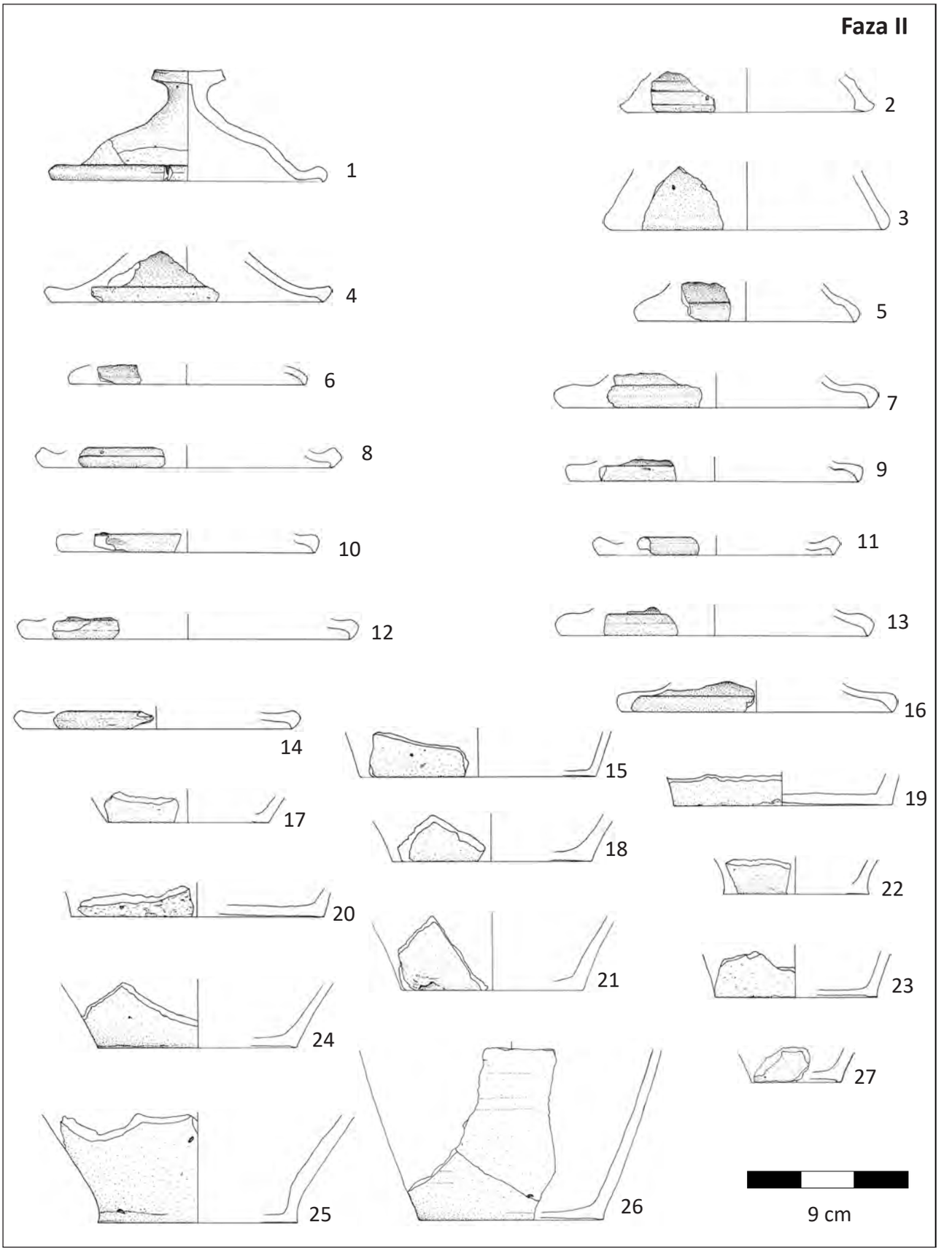

Tablica 8. Durąg, st. 1. Fragmenty naczyń z nawarstwień Fazy II (rys. D. Święcka)

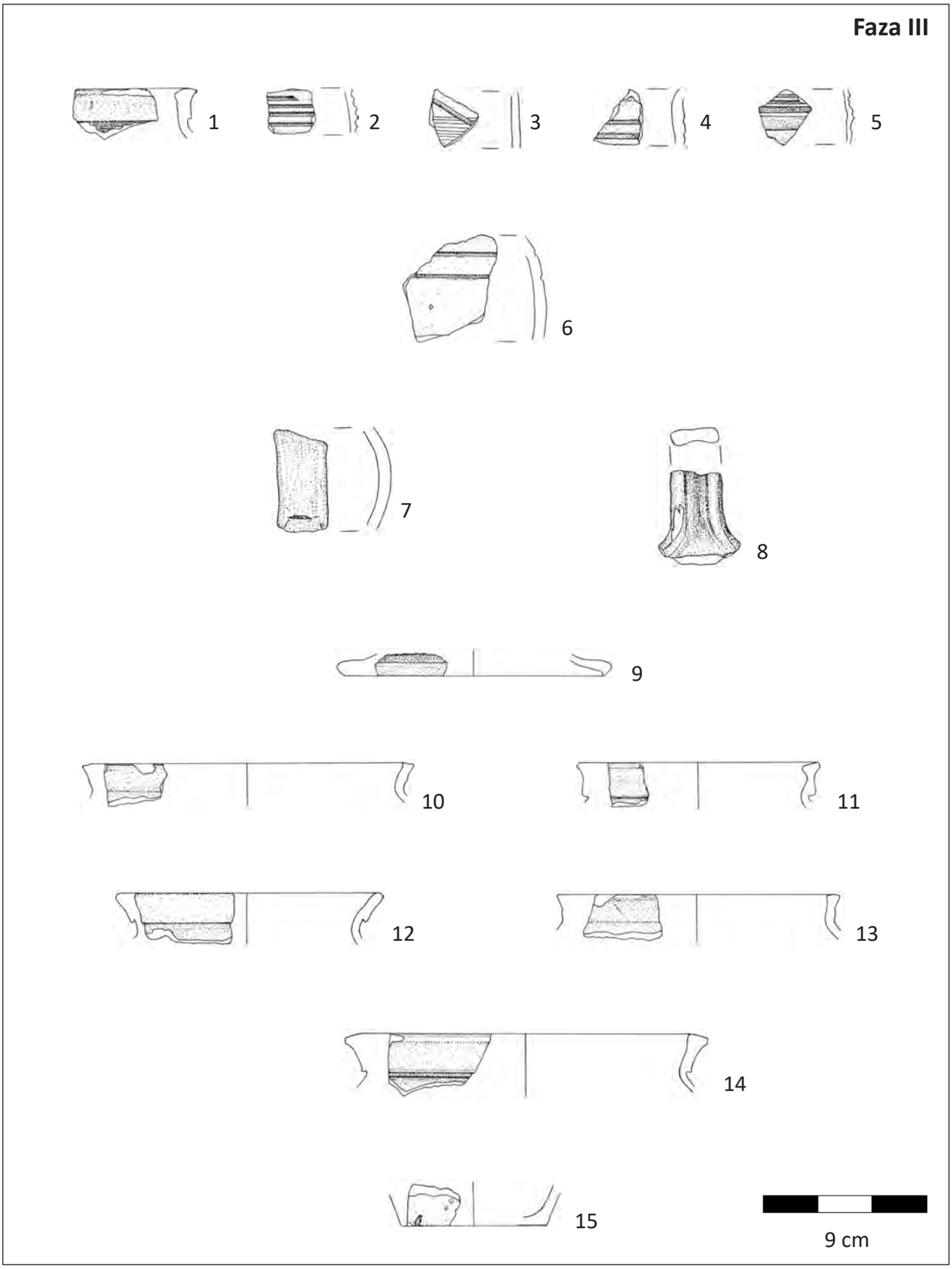

Tablica 9. Durąg, st. 1. Fragmenty naczyń z nawarstwień Fazy III (rys. D. Święcka)

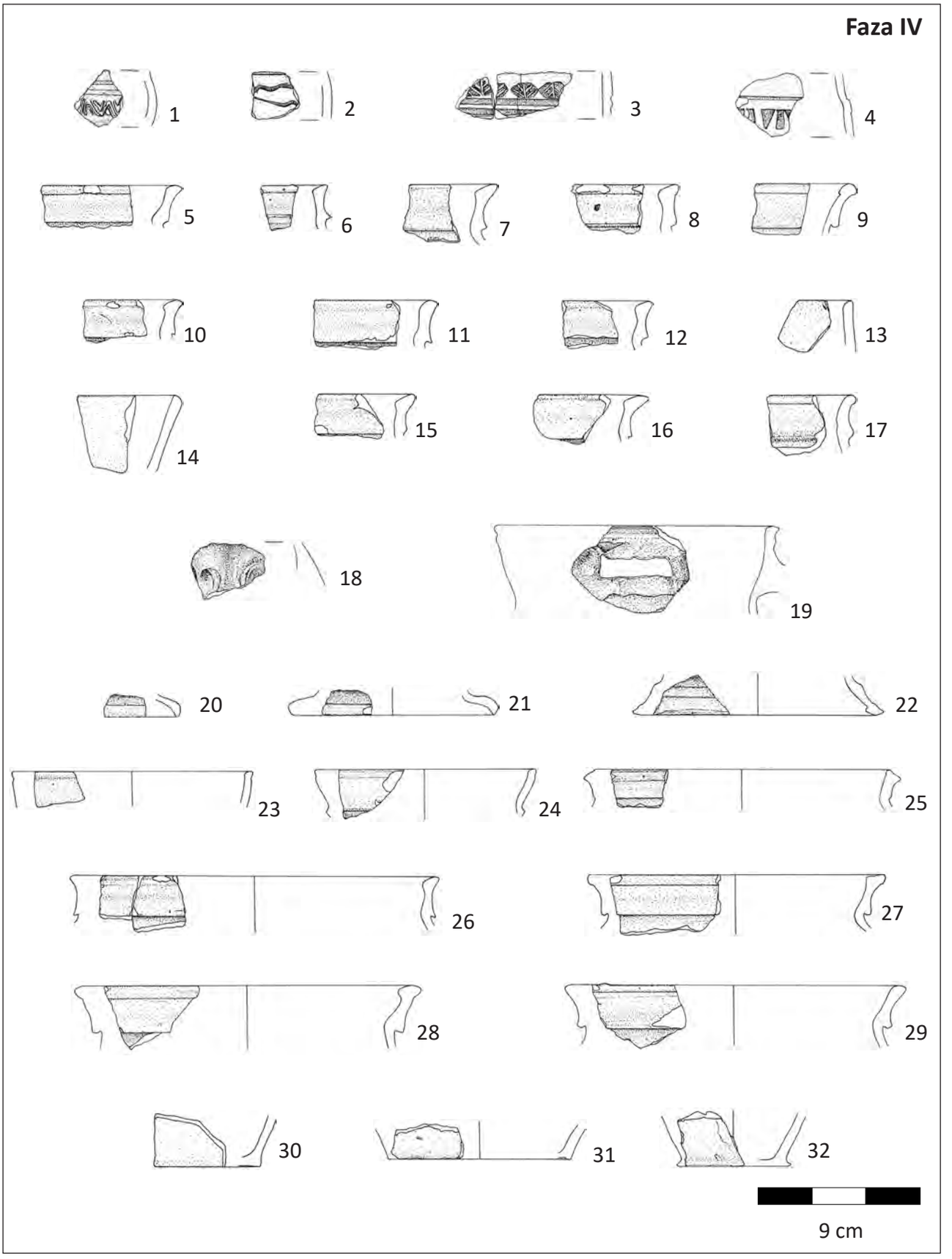

Tablica 10. Durąg, st. 1. Fragmenty naczyń z nawarstwień Fazy IV (rys. D. Święcka)

ok. 14 do 17 cm. Są to małe, cienkościenne garnki barwy ceglasto-brązowej, z zaznaczającym się silnym okopceniem powierzchni (tabl. 6:15).

14. Naczynia z profilowanym od góry brzegiem, wydzieloną prostą szyjką i baniastym brzuścem pokrytym ornamentowaniem w postaci rytych żłobków. Średnice wylewów wynoszą od ok. 13 do 18 cm. Są to naczynia grubościenne z prostą długą szyjką, barwy brązowej i kremowej, o cechach silnego obtoczenia i zagładzania powierzchni (tabl.1:10; 3:1; 7:4, 8).

15. Naczynia o lekko rozchylonej części górnej, płasko ściętym do wewnątrz brzegu, cienkościenne, małych rozmiarów. Są to naczynia o powierzchni jasnoszarej, wyświeconej, dobrze wykonane, o regularnych równych ściankach. Są to prawdopodobnie miseczki lub kubeczki (tabl. 10:23).

Naczynia z grup 1–6 mają odpowiedniki zarówno w ceramice „siwej" z Pomorza Zachodniego[12], jak i terenów geograficznie najbliższych Warmii i najlepiej rozpoznanych pod względem archeologicznym, to jest z Ziemi Chełmińskiej[13]. Do naczyń z szerokim pogrubionym brzegiem grup 1–2 podobna jest także forma ceramiki naczyniowej stalowoszarej z siedziby krzyżackich prokuratorów w Pniu w Ziemi Chełmińskiej, funkcjonującej w 1. ćwierci XV wieku[14]. Niewątpliwe analogie pochodzą także z nawarstwień osadniczych zamku w Ostródzie[15], czy też ze średniowiecznego przedmieścia w Iławie[16]. Podobne garnki z wychylonymi wylewami spotykamy w Reszlu, datowanym na drugą połowę XIV w.[17], a także w Starym Dzierzgoniu, st. 1[18], gdzie datowane są na XIV w. Naczynia z grupy 6–7 mają swe odpowiedniki w formach dzbanów wydzielonych przez M. Rębkowskiego[19] oraz w formach ceramiki ceglastej z Ziemi Chełmińskiej, opisanej przez D. Polińskiego[20], natomiast nieliczna grupa 8 ma analogie w grupie naczyń stalowoszarych (GT V) z Ziemi Chełmińskiej[21] oraz np. w formach dzbanów z grodziska w Truplu, st. 1[22]. Grupa 9 to formy podobne do naczyń stalowoszarych (GT V), całkowicie obtaczanych z Ziemi Chełmińskiej[23], podobnie jak naczynia z grupy 10[24], 11[25], 12[26] i 13[27]. Natomiast grupa 14 jest podobna do form naczyń ceglastych całkowicie obtaczanych z Ziemi Chełmińskiej[28].

Pokrywki naczyń (tabl. 2:1–5; 4:26–27; 5:9, 11, 18; 8:1–14, 16; 9:9; 10:20–22)

Pokrywki związane są ściśle z garnkami, których tworzyły uzupełnienie jako przykrycie, zapobiegające zanieczyszczeniu pożywienia znajdującego się w naczyniu. Miały one zróżnicowane grubości, rozmiary i średnice, aby odpowiednio dopasowały się do naczyń, z którymi miały tworzyć całość. Pokrywki odkryte w warstwach grodziska w Durągu, st. 1 były zarówno małe, cienkościenne, o średnicach od ok. 11 do 14 cm, jak i grubsze, masywniejsze, z szerszym wylewem, o średnicach wynoszących od ok. 15 do 20 cm. Rekonstrukcje zachowanych większych części pokrywek wskazują, że są to w większości formy określane w literaturze jako pokrywki stożkowate[29]. Mają one w przeważającej liczbie zaokrąglone od zewnątrz brzegi, ostrą krawędź styczną do wylewu garnka, a stożkowato wznosząca się ścianka pokrywy zakończona była okrągłym, płasko ściętym od góry uchwytem o średnicy ok. 3,5 cm (tabl. 2:4), umieszczonym na okrągłej podstawie o wysokości ok. 1–1,5 cm (tabl. 5:9; 8:1).

Oprócz typowych pokryw, charakteryzujących się zaokrąglonym brzegiem z ostrą krawędzią, występujących w różnych wersjach wielkościowych, zidentyfikowano także formy o płaskim (tabl. 4:26–27) oraz zaokrąglonym, owalnym zakończeniu brzegu (tabl. 8:2–3), o średnicach wynoszących od ok. 13 do 18 cm. Wszystkie zachowane fragmenty pokryw pochodziły z ceramiki ciemnoszarej, „siwej", matowej.

Pokrywy odkryte w nawarstwieniach grodziska w Durągu, st. 1 są bardzo podobne w swym kształcie do pokryw, które znane są na dużym obszarze występowania garnków „siwych" w okresie 2. połowy XIV i początków XV wieku. Analogiczne formy pokryw znaleziono np. w Siedlątkowie, gm. Pęczniew, pow. poddębicki (z 2. połowy XIV w.), Słoszewach, gm. Bobrowo, pow. brodnicki (z początku XV w.), w Warszawie-Wilanowie (z XIV w.)[30], czy w Napolu, st. 1, gm. Kowalewo Pomorskie, pow. golubsko-dobrzyński (z 4. ćwierci XIII i 1. połowy XIV w.)[31]. Pokrywy obejmujące, zaopatrzone w mniej lub bardziej pazurowaty występ od strony zewnętrznej, występują najczęściej w materiałach z grodów, gródków i zamków; znane

[12] Rębkowski 1995: ryc. 11:1A, 1B.
[13] Poliński 1996: ryc. 4b:5a–k; ryc. 57:n, p–s, u, y; 59:b–c.
[14] Poliński 2013: ryc. 36:b, d.
[15] Michalski 1998a: ryc. 16:7; 17:12, 21.
[16] Kobylińska 1999: tabl. 1:1A, 1B, 9.
[17] Sikorska-Ulfik 1994: ryc. 1, 3–6.
[18] Gazda *et al.* 2013: ryc. 29:m.
[19] Poliński 1996: ryc. 12:1C, 1D.
[20] Poliński 1996: ryc. 4a:9a–d.
[21] Poliński 1996: ryc. 4b:6a.
[22] Por. opracowanie wyników badań tego grodziska, w niniejszej publikacji.
[23] Poliński 1996: ryc. 4b:9.
[24] Poliński 1996: ryc. 4b:5m.
[25] Poliński 1996: ryc. 4b:3a.
[26] Poliński 1996: ryc. 4a:1b.
[27] Poliński 1996: ryc. 4a:5g.
[28] Poliński 1996: ryc. 4a:1c.
[29] Rębkowski 1995: 35, tabl. 36:4, 12.
[30] Kruppé 1981: karta 66, 69.
[31] Poliński 1996: ryc. 57:j, m.

są też z nawarstwień osadniczych we wczesnych założeniach miejskich Warmii[32]. Pokrywy o owalnym brzegu mają analogie w materiale ze stanowiska 1 w Pniu, gm. Dąbrowa Chełmińska, pow. bydgoski[33].

Ucha

Wszystkie zachowane w materiale zabytkowym z grodziska w Durągu, st. 1 ucha ceramiki stalowoszarej należą do form pionowych, taśmowatych, szerokich (ok. 3 do 3, 5 cm), masywnych, z przegłębieniem w środkowej części (tabl. 5:7; 7:26; 9:7–8; 10:18–19). Są one przyklejane szeroką powierzchnią do ścianki naczynia, z zaznaczającymi się nierównymi odstającymi zgrubieniami nawarstwień masy ceramicznej.

Dna naczyń (tabl. 2:6–18; 5:13–17, 19; 7:32; 8:15, 17–27; 9:15; 10:30–32)

Dna naczyń z Durąga, st. 1 były głównie płaskie (50 fr.) rzadko lekko wklęsłe (15 fr.), a jedynie 5 fr. było wklęsłych. Przede wszystkim były to dna z podsypką zacieraną; nieliczne były płaskie odcinane. Jeden fragment ma ślad odcisku osi podkładki (tabl. 1:19). Średnice den płaskich należące do naczyń szarych, silnie obtaczanych, mają zróżnicowane wielkości, od małych do dużych, to jest do 6 cm do 14 cm; najwięcej było den o wielkości 8 cm do 11 cm. Są to głównie dna o prostych ściankach części przydennej, z rzadka jedynie z wydzielającą się stopką (tabl. 2:7, 16; 5:15; 8:22; 10:32). Powierzchnia zewnętrzna den jest równa i była prawie zawsze zacierana. W dwóch przypadkach dna o średnicy 6 cm i 10 cm, pochodzące od naczyń o charakterze pucharka ze stopką, mają widoczne nikłe ślady delikatnego odcinania. Jedno z naczyń płaskich ma ślady podważania i uszkodzeń ścianki zewnętrznej (tabl. 2:14). Dna lekko wklęsłe, zarówno „siwe", jak i szaro-brązowe, mają średnice od 7 do 15 cm, najczęściej 9 do 10 cm, z przeważnie słabo zaznaczającym się płaskim wałkiem dookolnym w przypadku dużych den, pochodzących od masywnych naczyń (tabl. 2:17; 8:24, 26). Natomiast nieliczne dna wklęsłe, przeważnie małej średnicy (od 5 do 10 cm), zawsze miały dobrze widoczne, mocno uwydatnione wałki dookolne i pochodziły zawsze z ceramiki ceglastej i brązowo-szarej (tabl. 3:9; 8:27).

Ornamentyka

Ozdabianie naczyń z Durąga, st. 1 było dość jednorodne w postaci żłobień, plastycznych wałków i odcisków stemplem. Od wygięcia szyjki i przejścia w baniasty brzusiec naczynia były ozdobione poziomymi żłobkami dookolnymi oraz dodatkowo niektóre miały poniżej ornament w postaci płaskich wałków z szerszymi przegłębieniami powierzchni (tabl. 1:2–5; 3:5–10; 4:4–19, 24; 5:4, 8, 10, 12; 6:15, 17, 20, 23; 7:21, 24–25, 27, 29–30; 9:2, 4–6). Żłobienia rylcem wykonane są starannie na dużych obszarach brzuśca lub pasmami po kilka w większych odstępach (tabl. 4:5). Były to rylce cienkie (tabl. 3:6) i zaostrzone, pozostawiające wąskie głębokie ryty z najgłębszym przegłębieniem w środkowej części żłobka (tabl. 4:5–6) lub szersze (0,2–0,3 cm) rylce o płaskich końcówkach (tabl. 4:11, 15–16), pozostawiające szerokie i niezbyt głębokie rowki o płaskim wnętrzu. Głęboko ryty ornament żłobień został wykonany po zakończeniu prac nad naczyniem, bez wykonania zagładzania powierzchni, a brzegi żłobień pozostają wysokie i ostro zakończone. Występują też przykłady głębokich rowków i wysokich wałeczków pomiędzy nimi, o powierzchni wykazującej cechy zagładzania i wyrównywania (tabl. 3:7, 10). Zauważyć można zasadę, iż w dolnych partiach naczynia żłobienia są szersze i płytsze, niż w wyższych partiach naczynia lub też mają przegłębienia bliżej dna przedzielone coraz niższymi wałeczkami (tabl. 3:7). Niekiedy na fragmentach dzbanów o cylindrycznych górnych partiach występują głębokie rowki z wysokimi obłymi przestrzeniami pomiędzy nimi (tabl. 7:26) lub ornament geometrycznych odcisków. Najczęściej brzuśce oraz powierzchnie szyjek pod wylewem nosiły ornament geometrycznych odcisków. Są to kombinacje małych trójkątów, prostokątnych i kwadratowych wgłębień i prostych odcinków (tabl. 1:6–8; 7:17, 25; 10:4). Tworzą one wzory ułożone pasmami (tabl. 3:3; 4:1–3), ukośne rowki tworzące „małe listki" (tabl. 7:19; 10:3) oraz ukośne i proste pasy krótkich odcinków (tabl. 3:8; 7:18)[34]. Odciski bywają głębokie i bardzo starannie wykonane, wyraźne (tabl. 6:23), ale też często niewyraźne i zatarte. Ornament taki występuje często w dwóch lub w kilku rzędach, jeden pod drugim. Sporadycznie wystąpiły jako ornamenty pojedyncze ryte linie faliste, starannie wykonane, o łagodnych łukach na brzuścach i na profilowanym wylewie (tabl. 1:1; 7:16, 36; 10:1–2). Analogiczną ornamentykę w postaci odcisków stempelkowych znajdujemy na ceramice wypalanej w atmosferze redukcyjnej na wielu stanowiskach z regionu Warmii i Mazur[35].

Podsumowanie

Ceramika całkowicie obtaczana, szara, z Durąga, st. 1 ma swe analogie w formach garnków z XIV – 1. poł. XV w. z wielu stanowisk na terenie całej Polski, np. z Siedlątkowa, gm. Pęczniew, pow. poddębicki (z 2. połowy XIV w.), Chrostowej, gm. Łapanów, pow.

[32] Kobylińska 1999: tabl. 10: 1–3.

[33] Poliński 2013: ryc. 37:c.

[34] Hoffmann i Mackiewicz 2004: ryc. 31:5–6.

[35] Sikorska-Ulfik 1994: ryc. 2; Michalski 1998a: ryc. 16:28, 34–35; 1998b: ryc. 59:2; Kobylińska 1999: tabl. 3:5.

bocheński (z XIV w.), Mymonia, gm. Besko, pow. sanocki (z XIV i 1. poł. XV w.), Ryczenia, gm. Góra, pow. górowski (z XIV–XV w.), czy Słoszewów, gm. Bobrowo, pow. brodnicki (z początku XV w.)[36] Nieliczne dzbany z Durąga są nieco podobne do form dzbanów Siedlątkowa z 2 poł. XIV w., Chrostowej z XIV w., czy Słoszewów z początku XV w.[37] Wiele elementów wspólnych z ceramiką z Durąga znajdujemy na wielu stanowiskach z Ziemi Chełmińskiej i Warmii i Mazur z tego okresu[38].

Charakterystyczne dla zespołu ceramiki z Durąga, st. 1 jest ubóstwo form – są to głównie garnki i pokrywki do nich, rzadziej występują dzbany, a zupełnie sporadycznie misy, czy kubeczki. Zdecydowana jest przewaga w zestawie ceramiki naczyniowej egzemplarzy ciemnoszarych, czyli tzw. „siwych", matowych, a niska frekwencja egzemplarzy „siwych" wyświeconych i szkliwionych. Jednocześnie pamiętając o współwystępowaniu na terenie grodziska garnków „tradycyjnych" barwy brązowo-brunatnej i sporadycznej obecności ceramiki „stołowej" należy umieścić mieszkańców grodu w Durągu, st. 1 w sytuacji niewielkiego skupiska osadniczego, gdzie część wyrobów glinianych wykonywana była przez miejscową ludność z osad, w których dostarczano produkty spożywcze do grodu. Fakt, że w skład asortymentu naczyń wchodziły głównie garnki z pokrywami i niewielka stosunkowo liczba dzbanów, przy marginalnej liczbie egzemplarzy ceramiki" siwej" wyświeconej, wskazuje zasadniczo na podstawowy zestaw naczyń kuchennych. Jednocześnie, ze względu na dość bogaty zestaw przedmiotów z żelaza i ich urozmaicony charakter wydaje się, że mieszkała tu i pełniła straż niewielka grupa rycerzy w drugiej połowie XIV i pierwszej połowie XV w. Niewielka liczba fragmentów ceramiki silnie obtaczanej ceglastej i polewanej sugeruje przetrwanie grodu do drugiej połowy XV w.

Zabytki wydzielone

Zabytek wykonany z kości (tabl. 11:1)

W 29 jednostce stratygraficznej odkryto fragment okładziny z kości. Jest to podłużna listewka o grubości 0,2 cm, długości ok. 6,5 cm i szerokości 1,2 cm, która pomiędzy głębokimi żłobieniami wzdłuż krawędzi ma wyrzeźbione na powierzchni zewnętrznej motywy roślinne. W środkowej części okładziny widoczny jest wywiercony otwór o średnicy ok. 0,3 cm.

Zabytki wykonane z żelaza

Grot bełtu do kuszy (tabl. 11:2)

W jednostce stratygraficznej 17 znaleziono dobrze wykonany i w całości zachowany grot bełtu do kuszy, o wadze 39,71 g, o długości całkowitej 9,2 cm, z zachowanym trzpieniem. Grot bełtu jest masywny, o niemal czworokątnym przekroju, z wyraźnie zaznaczającymi się wzdłużnymi krawędziami. Kolec grotu o długości ok. 3,6 cm jest smukły w kształcie, a największa jego szerokość przypada w 2/3 długości całkowitej i wynosi 1,1 cm x 1,5 cm.

O istnieniu wielu rodzajów grotów bełtów świadczą różne wzmianki pisane i ikonograficzne[39]. Z wielu informacji pisanych wiadomo, że w licznych arsenałach Zakonu przechowywano wiele kusz. W niewielkich komturiach chełmińskich liczba bełtów sięgała kilku tysięcy, a jedynie w Toruniu w 1394 r. znajdowało się ich 48 tysięcy, natomiast w zamku w Lipienku spis bełtów obejmował 200 egzemplarzy[40]. Bełty kuszy znajdowano także w wielu mniejszych strażnicach i warowniach w regionie warmińsko-mazurskim, najczęściej o charakterze drewniano-ziemnych gródków stożkowatych, między innymi w Narzymiu, gm. Iłowo-Osada, pow. działdowski, w Starym Dzierzgoniu, st. 1, pow. sztumski, Szurpiłach, st. 3, gm. Jeleniewo, pow. suwalski, czy w Iławie, st. 33 – Wielka Żuława[41].

Noże (tabl.11:3, 5)

W jednostce stratygraficznej 58 znaleziono duży nóż (tabl. 11:3), zachowany prawie w całości, o nieco skorodowanym ostrzu szerokości u nasady 2,3 cm i długości całkowitej ok. 23 cm, w tym ostrze długości 17 cm, z trzpieniem długości ok. 6 cm. Z drugiego noża z jednostki 29 zachowała się jedynie część skorodowanego ostrza na długości 6,5 cm (tabl. 11:5).

Klucze (tabl. 12:1–2)

W jednostce stratygraficznej 29 znaleziono zachowany w całości klucz do kłódki cylindrycznej (tabl. 12:1), a w jednostce stratygraficznej 17 znaleziono prawdopodobnie podobny klucz, ale bez zachowanej końcówki otwierającej zamek (tabl. 12:2). Klucz zachowany w całości ma 9,5 cm długości i wykonany jest z płaskiej blaszki o grubości ok. 0,3 cm, zwężającej się z jednej strony, szerokości 0,65 cm. Z jednej strony jest zakończony pętlą o średnicy ok. 0,6 cm, wykonaną poprzez zawinięcie węższego końca blaszki na stronę przeciwną. Końcówka służąca do otwierania ma szerokość 1 cm. Jest ona przedzielona na dwie części i nieco rozgięta

[36] Kruppé 1981: karta 30: 4, 6, 8, 10, 14–16, 18, 20; karta 31:5, 10–11, 14, 16.

[37] Kruppé 1981: karta 48:1–3, 8–9.

[38] Michalski 1998a: ryc. 16–19, 23; Poliński 2013: ryc. 36:b–d; 37:b–c, e; M. Żurek 2013: ryc. 36.

[39] Nadolski i Lewandowski 1990: 150.

[40] Poliński 2013: 128–129.

[41] Wysocki 2012: ryc. 9; Wysocki i Klęczar 2013: ryc. 12; Gazda *et al.* 2013: ryc. 15, 30; Engel *et al.* 2013: ryc. 7:1.

na boki, a powstałe końcówki są zagięte w przeciwną stronę niż pętla do zawieszania na drugim końcu.

Drugi klucz, zachowany na długości 8,2 cm, jest nieco szerszy i masywniejszy. Szerokość blaszki wynosi 1,1 cm, a grubość – 0,5 cm. Trzon blaszki był ozdobiony, czego śladem są wzdłużne rowki. Pętla na końcu jest wykonana poprzez wykucie i zagięcie boczne węższej końcówki blaszki o szerokości 0,7 cm i tworzy kółko o średnicy 1 cm. Końcówka do otwierania jest odłamana.

Analogiczny klucz znaleziono np. wśród produktów wytwarzanych w warsztatach rzemieślników w Elblągu[42], gdzie datowany jest na XIII/XIV w.

Hak (tabl. 12:3)

W jednostce stratygraficznej 29 znaleziono częściowo zachowany na długości 7 cm hak, prawdopodobnie służący do zamykania drzwi. Wykonany jest on z masywnej sztabki o grubości ok. 0,5 cm, ma lekkie przegłębienie w części środkowej i wydzielające się pasma wzdłuż krawędzi.

Gwoździe żelazne (tabl. 12:4–10)

W jednostce stratygraficznej 29 znaleziono zachowany w dwóch fragmentach masywny gwóźdź (tabl. 12:4–5) z przełamanym grubym trzpieniem, o długości ok. 9 cm, o przekroju prostokątnym i wymiarach 0,4 x 0,5 cm, z podłużną, płaską główką o wymiarach 0,5 x 1,5 cm.

W jednostce stratygraficznej 5 znaleziono całkowicie zachowany gwóźdź (tabl. 12:7) długości 8 cm, z wąskim trzpieniem o przekroju prostokątnym, o wymiarach 0,3 x 0,4 cm i z okrągłą, płaską główką o średnicy 1,2 cm.

W jednostce stratygraficznej 31 znaleziono całkowicie zachowany, lekko wygięty, mały gwoździk (tabl. 12:8) o długości ok. 1,5 cm, z nieregularną, małą, prostokątną główką o wymiarach 0,3 x 0,5 cm. Podobny, mały gwóźdź o długości ok. 3 cm z zagiętą końcówką i odcinaną główką znaleziono w jednostce stratygraficznej 53 (tabl. 12:9). W materiale zabytkowym z Durąga wystąpiły także fragmenty gwoździ w formie klina w przekroju prostokąta i kwadratu (tabl. 12:6, 10), bez wyodrębnionej główki, podobne do typu A1a wydzielonego przez B. Gierlacha[43].

Punce (tabl. 13:1–2)

W jednostce stratygraficznej 21 znaleziono przedmiot wykonany z żelaza o długości 15 cm, w przekroju kwadratowy (o wymiarach 1,1 x 1,1 cm w najszerszym miejscu), o zwężonym, szpiczastym końcu. Jest to najprawdopodobniej punca (tabl. 13:1). Drugi podobny przedmiot, identycznie wykonany (tabl. 13:2), zachowany częściowo, zarówno bez ostrego końca jak i bez szerszej części górnej, został odkryty w jednostce stratygraficznej 2. Zachowana część środkowa ma długość 7,7 cm i przekrój kwadratowy o wymiarach 0,9 x 1 cm.

Podkowy (tabl. 14:1–2)

W jednostkach stratygraficznych 19 i 58 znaleziono połowicznie zachowane części dwóch podków z zaczepami na zachowanych końcach. Każda z podków ma po trzy owalne otwory na gwoździe – podkowiaki, utrzymujące podkowę na kopycie konia. Jeden z otworów w środkowej części półokrągłego ramienia każdej z podków jest zachowany połowicznie. Są to dwie małych rozmiarów podkowy nieznacznie różniące się wielkością pomiędzy sobą. Jedna z nich ma wysokość ok. 10 cm, i szerokość ramienia ok. 2,5 cm (tabl. 14:1), druga ma 9 cm wysokości i 2 cm szerokości ramienia. Mniejsza z podków ma większe otwory po gwoździach o średnicy ok. 0,8 cm. Jest ona mocno przetarta w części środkowej. Fragmenty obu podków nie mają charakterystycznego rowka, w który umieszczano otwory na gwoździe. Wykonywanie podków i kucie koni w czasach średniowiecza jest znane między z przedstawień ikonograficznych[44]. Podobne w formie podkowy bez rowka na nity znaleziono między innymi na terenie grodziska w Plemiętach, st. 1, gm. Gruta, pow. grudziądzki[45], czy w Elblągu[46]; są one datowane na XIV w.

Oścień na ryby (tabl. 14:3)

W jednostce stratygraficznej 58 znaleziono częściowo zachowany oścień na ryby, długości całkowitej ok. 24 cm, mający formę rozwidlonych prętów, w przekroju kwadratowych (ok. 0,6 x 0,7 cm), zakończonych strzałkowatymi ostrzami. Zachowały się dwa spośród trzech prętów. Całość zaopatrzona była w trzpień o długości ok. 5,5 cm, do którego mocowano trzonek.

Okucia łopat (tabl. 14:4–5)

W jednostkach stratygraficznych 5 i 58 znaleziono częściowo zachowane okucia łopat wykonane z żelaza. Półokrągłe okucie z jednostki 58 wykonane jest z blachy o grubości ok. 0,3 cm. Pracująca krawędź dookolna ma szerokość od 1,5 cm do 2,5 cm. Część okucia łopaty z jednostki 5 (tabl. 14:5) jest szersza i większa, lepiej zachowana, wykonana z blachy o grubości ok. 0,4 cm. Jest to część pracująca przedmiotu o szerokości ok.

[42] Fonferek, Marcinkowski i Sieńkowska 2012: ryc. 109; ogólnie na temat średniowiecznych kluczy do kłódek zob. Łukomiak 2016: 89–97.

[43] Gierlach 1972: 54, tabl. 17a.

[44] Gierlach 1972: 76, 107, tabl. 71.

[45] A. Nowakowski 1985: tabl. 17:6.

[46] Fonferek, Marcinkowski i Sieńkowska 2012: ryc. 119.

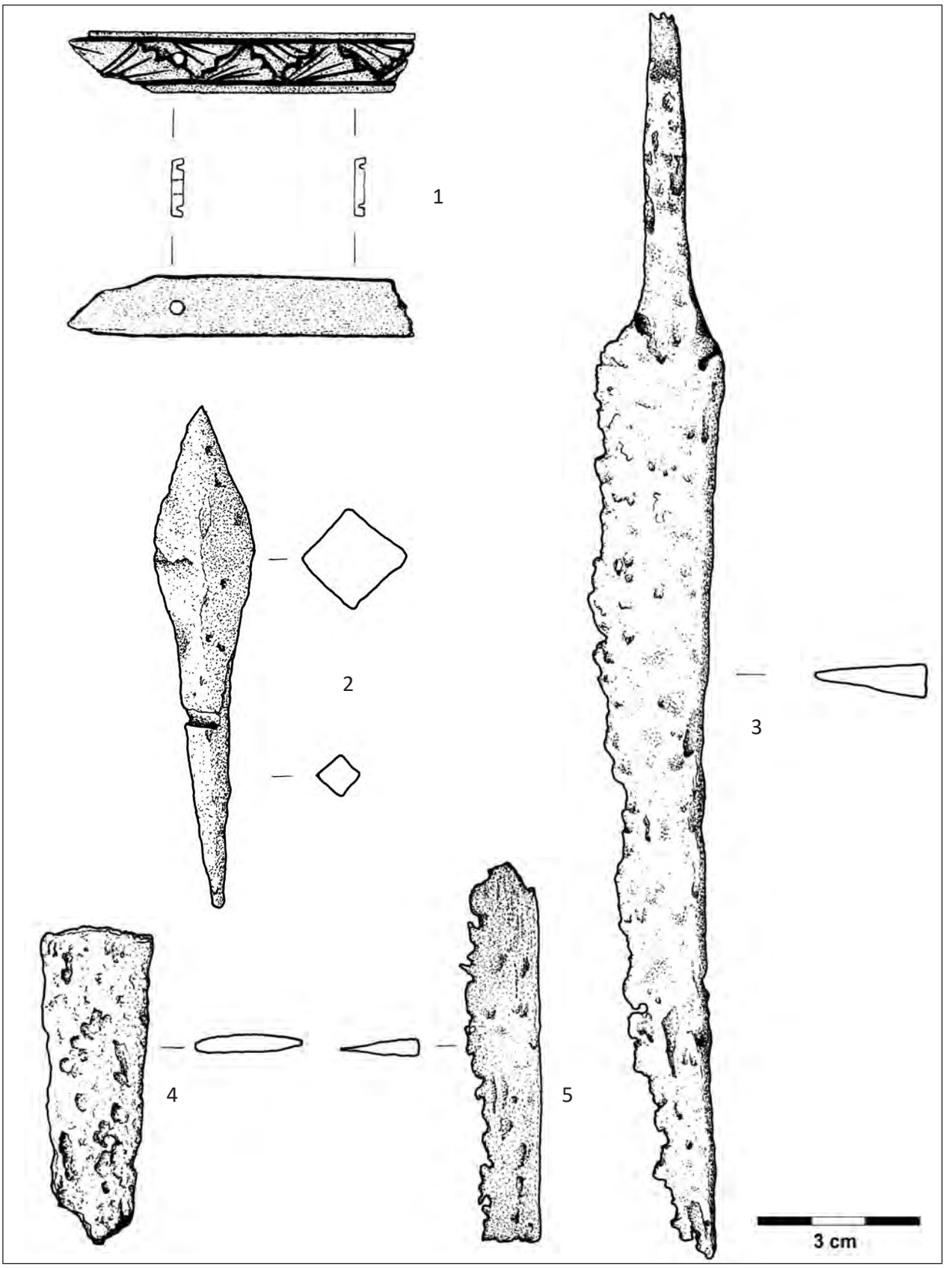

Tablica 11. Durąg, st. 1. Zabytki wydzielone (rys. P. Potocka i D. Wach)

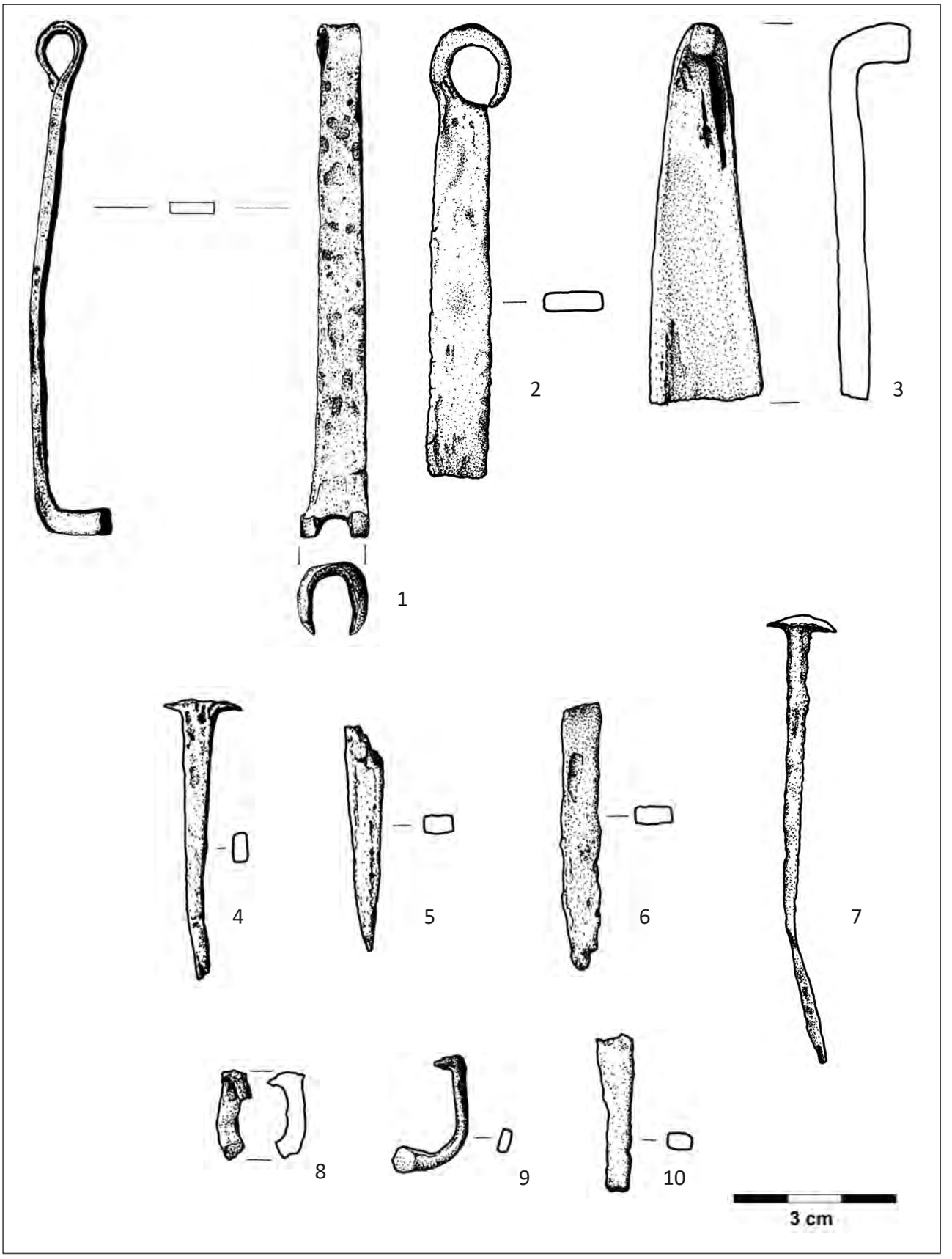

Tablica 12. Durąg, st. 1. Zabytki wydzielone (rys. P. Potocka i D. Wach)

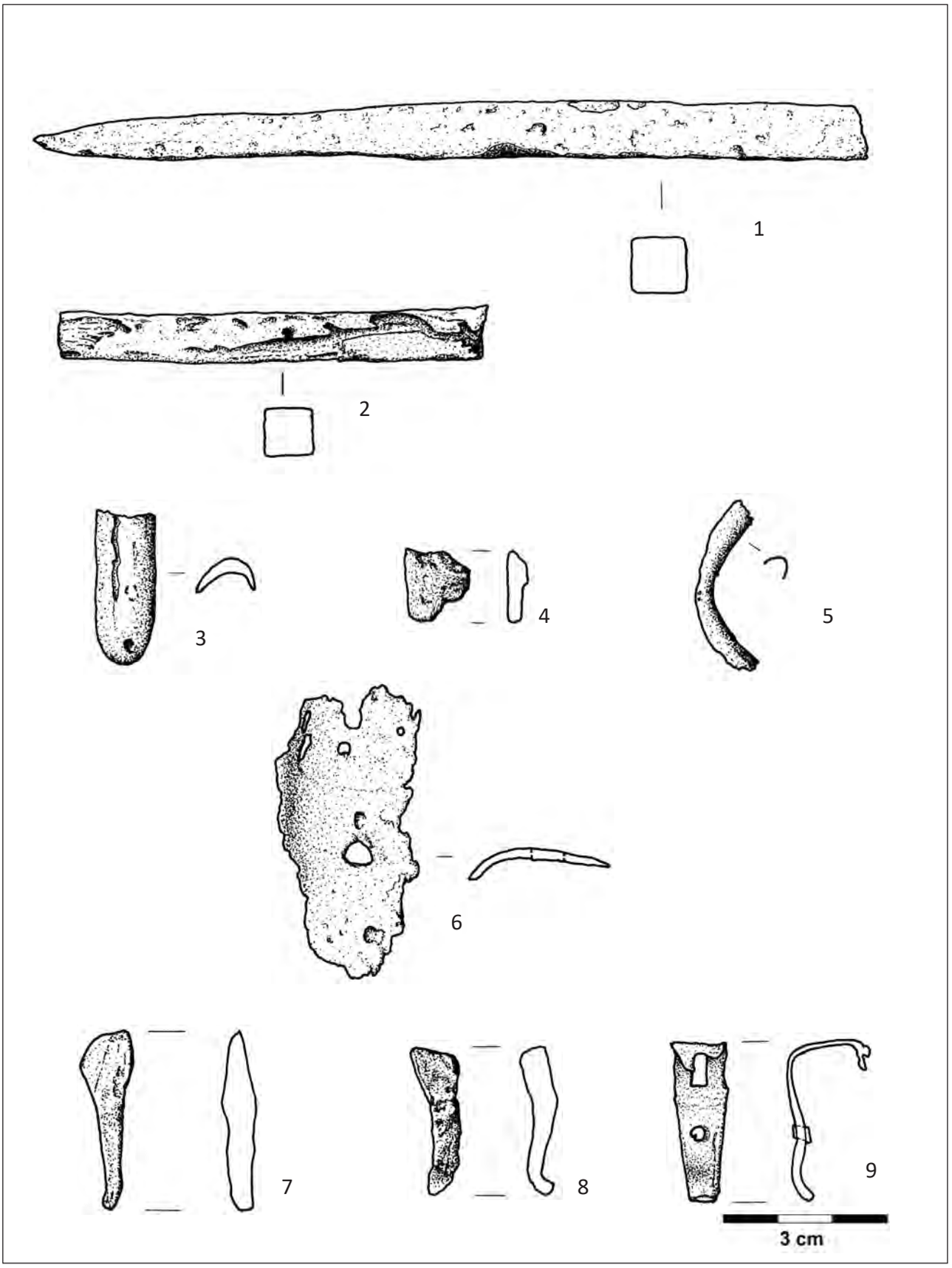

Tablica 13. Durąg, st. 1. Zabytki wydzielone (rys. P. Potocka)

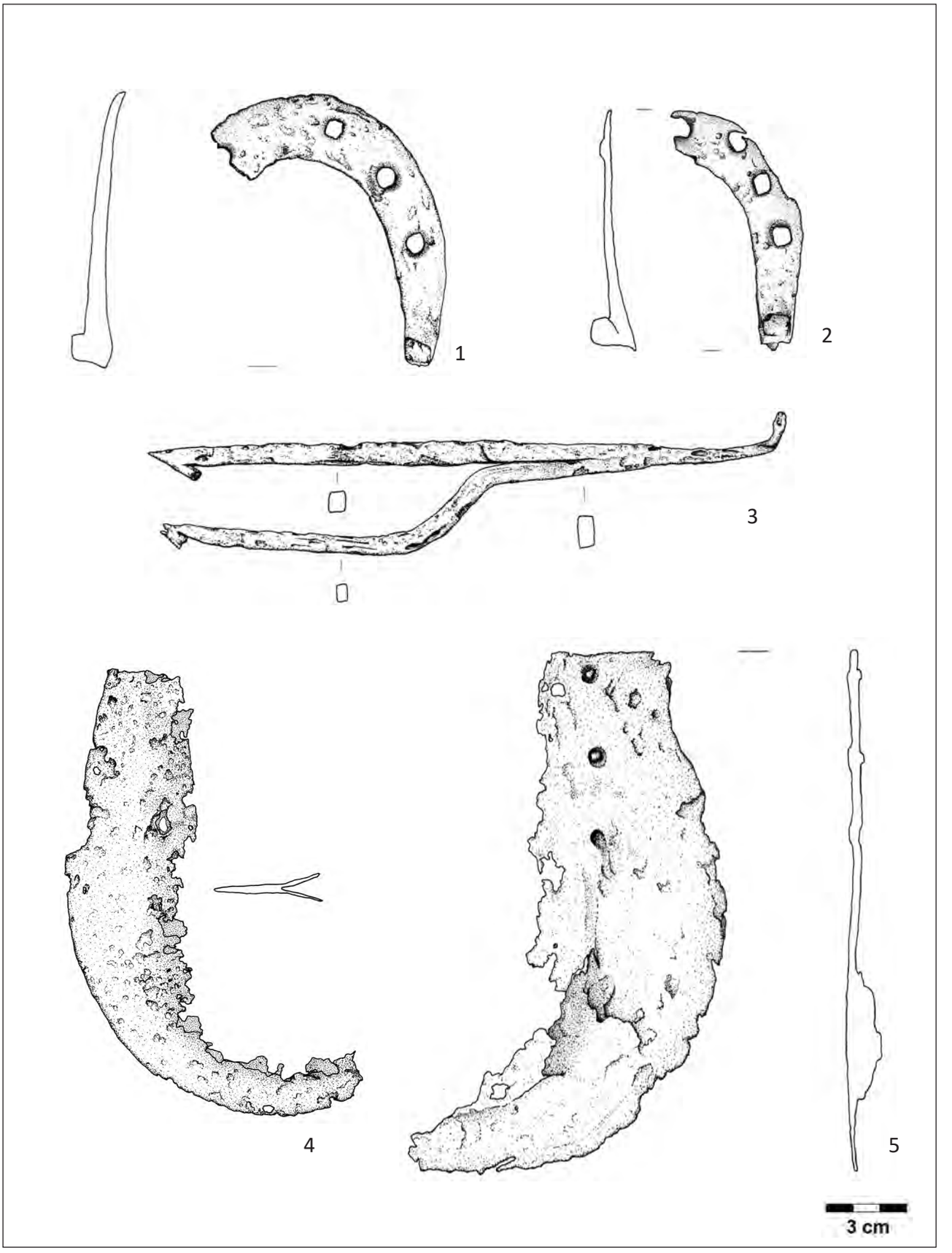

Tablica 14. Durąg, st. 1. Zabytki wydzielone (rys. P. Potocka)

4 cm. Ma ona również zachowane trzy małe okrągłe nity oraz dwa otwory po mocowaniu nitami. Okucia łopat znaleziono między innymi na terenie grodzisk w Plemiętach, st. 1, gm. Gruta, pow. grudziądzki[47] i w Barczewku, st. 2, gm. Barczewo, pow. olsztyński[48].

Inne przedmioty z żelaza

W jednostkach stratygraficznych 17, 19, 21, 29, 31, 40 i 58 znaleziono bliżej nieokreślone, częściowo zachowane fragmenty przedmiotów wykonanych z żelaza. Są to: blaszka z otworami po nitach o wymiarach 2,5 x 5 cm (tabl. 13:6), być może części okuć (tabl. 13:3–5), prawdopodobnie kolce od sprzączek (tabl. 13:7–8) oraz fragment mocno skorodowanej blaszki zachowany na długości ok. 5,5 cm (tabl. 11:5).

Przedmiot z mosiądzu (tabl. 13:9)

W jednostce stratygraficznej 40 znaleziono przedmiot wykonany z mosiądzu. Jest to w przybliżeniu prostokątna blaszka, grubości 0,15 cm z prostokątnym otworem oraz z zachowanym małym okrągłym nitem. Na jednym końcu jest widoczny ślad po połowicznie zachowanym okrągłym otworze. Zachowana zniekształcona część blaszki ma długość ok. 4 cm.

CHRONOLOGIA STANOWISKA

DANIEL SKOCZYLAS, RAFAŁ SOLECKI I JACEK WYSOCKI

Chronologię stanowiska można w miarę precyzyjnie określić na podstawie tekstów źródłowych i materiału zabytkowego. Po raz pierwszy nazwa wsi Durąg (*Döhringen*) pojawia się w źródłach pod rokiem 1328, jako jedna z włości nadanych rycerzowi Konradowi Durągowi (*During*) przez pełniącego ówcześnie funkcję komtura Luthera z Brunszwiku. Świadkiem dokumentu z 1351 r. był ksiądz Henryk z Durąga, co sugeruje, że już wtedy istniał w Durągu kościół. W 1485 r. nastąpił podział dziedziczny ziem należących do rodziny Durąg pomiędzy synów: Jorge otrzymał Durąg wraz z pięcioma włókami[49] w osadzie Pancerzyn (*Panzerei*), zaś Karol osadę Rapaty (*Marienhain*). W 1577 r. Durąg obejmował siedemdziesiąt włók z dwoma majątkami ziemskimi. Do 1598 r. parafia w osadzie była samodzielna, w czasie późniejszym do roku 1682 była połączona z kościołem w Kraplewie (*Kraplau*). W końcu XVIII w. dobra liczyły 39 domów i dwa majątki. W 1910 r. obszar gminy wiejskiej zajmował 237 ha i zamieszkiwało go 141 osób. W 1939 r. populacja wsi Durąg liczyła 579 osób[50].

Można zatem założyć, że gród powstał w pierwszej połowie XIV w. wraz z lokacją wsi, co nie oznacza, że jakiejś formy osadnictwa nie było tu już wcześniej. Mogą o tym świadczyć pojedyncze fragmenty ceramiki wczesnośredniowiecznej odnajdywane na wtórnym złożu podczas badań grodziska.

Zdecydowaną większość zabytkowego materiału ceramicznego tworzą fragmenty naczyń „siwych”[51], które generalnie można datować od połowy XIII do początków XVI w. W XVI w. na tych obszarach ceramika „siwa” jest już wypierana przez ceramikę ceglastą. W analizowanym zbiorze ceramika ceglasta tworzy niewielką grupę. Pojawienie się ceramiki ceglastej i jej upowszechnianie się można datować na tym obszarze na drugą połowę XV w.[52] Na ten też okres można datować koniec osadnictwa na obszarze grodziska. Takie datowanie pokrywa się z wydarzeniami wojny trzynastoletniej, a biorąc pod uwagę fakt, że Piotr i Mikołaj z Durąga byli jednymi z sygnatariuszy na dokumencie erekcyjnym Związku Pruskiego[53], można założyć że ich siedziba rodowa została zniszczona przez Krzyżaków w ramach reperkusji.

DZIEJE GRODZISKA W DURĄGU, ST. 1

Gród w Durągu powstał najpewniej w trzeciej lub czwartej dekadzie XIV w. wraz z lokowaniem wsi, które na podstawie zachowanego dokumentu można datować na 1328 r. Był to gród rycerski rodu Durąg, po którym do czasów obecnych zachował się wyniesiony majdan i wał, który go otaczał od strony północnej, wschodniej i południowej. W trakcie wykopalisk nie przecięto wykopem badawczym ani krawędzi majdanu, ani wału, toteż nie można określić w jakiej technice były one wzniesione i oryginalnie umocnione. Można jedynie założyć, że obie te linie miały formę palisady, co sugerują informacje zawarte w kartach stanowiska, w archiwach WUOZ w Elblągu i Olsztynie.

Wykopy badawcze wytyczono w południowej i w centralnej części majdanu. Potwierdziły one istnienie dwóch budynków, których niewielkie fragmenty odsłonięto. W części południowej znajdował się budynek niepodpiwniczony, w konstrukcji zapewne słupowej, po którym zachowały się dwa doły umocnione kamieniami oraz płaskodenny wkop rozbiórkowy szerokości około 7 m. Nie natrafiono w jego pobliżu na wyraźne ślady pożaru, co może sugerować, że został on rozebrany w celu przeniesienia lub pozyskania surowca. Natrafiono tam natomiast na bardzo dużą liczbę fragmentów ceramiki, większą niż w reliktach budynku z wykopu 2, a ponadto zabytki metalowe, w tym nóż, podkowę, okucia łopat, narzędzie do po-

[47] Kochanowski 1985a: tabl. 22:1–4.

[48] Biermann, Herrmann i Koperkiewicz 2016: ryc. 19.

[49] Włóka chełmińska = 30 mórg = 17,955 ha.

[50] Lietz 1976: 174.

[51] Por. wyżej analiza ceramiki.

[52] Marcinkowski 2013: 245, 247; Starski 2009: 205–207.

[53] Górski (red.) 1949: 611; Martuszewski i Oracki 1976: 82.

łowu ryb i gwoździe. Budynek ten mógł zatem pełnić funkcje gospodarcze.

Budynek w części centralnej był podpiwniczony. Wzniesiono go w konstrukcji szkieletowej. Na podstawie zachowanych reliktów ściany południowej można stwierdzić, że przestrzenie szkieletu, przynajmniej w części piwnicznej, wypełnione były za pomocą mieszanki kamieni i gałęzi połączonych gliną i obmazane wapnem. Najniższa kondygnacja była użytkowa (mieszkalna) o czym świadczą pozostałości drewnianej podłogi zidentyfikowane na dużej powierzchni. Nad nią odkryto najliczniejsze znaleziska ruchome w postaci fragmentów naczyń kuchennych, kości zwierzęcych i przedmiotów metalowych. Może to sugerować, że na najniższym poziomie znajdowała się kuchnia. Występujące wyżej warstwy gliny oraz przepalonych drewnianych belek wskazują na, że na skutek pożaru konstrukcja budynku zapadła się do środka. Występowanie w warstwach zawaliska fragmentów ceramiki oraz przedmiotów metalowych świadczy o istnieniu wyższych kondygnacji użytkowych. W wyższych warstwach odkryto liczne przedmioty metalowe, w tym żelazne gwoździe, grot bełtu kuszy, podkowę oraz mosiężne okucie, a także rzeźbioną okładzinę kościaną.

Zastanawiająca jest nierówna powierzchnia dna wkopu budowlanego pod piwniczkę. Różnice pomiędzy najwyższym, a najniższym punktem dochodzą do 0,55 m. Nie ma możliwości ułożenia płaskiej podłogi bezpośrednio na takim podłożu, a brak jest ewidentnych warstw niwelacyjnych równających poziom. Należałoby więc rozważyć hipotezę, czy podłoga w piwnicy nie została ułożona na drewnianych wspornikach, które by ją poziomowały ponad dnem wkopu budowlanego. Taka forma konstrukcji podłogi w momencie budowy budynku wydaje się być niepotrzebna, gdyż dodatkowo komplikuje proces budowy. Być może więc kubatura poniżej podłogi piwnicy została wykopana już po wybudowaniu budynku i miała spełniać funkcję np. skrytki. To by tłumaczyło, dlaczego bezpośrednio na dnie wkopu budowlanego znajduje się ziemia z materiałem ceramicznym, który można datować na XV w., a stratygraficznie dopiero ponad nią znajdują się przepalone belki podłogi. To by także mogło tłumaczyć funkcję dużych rozmiarów wkopu w kształcie leja z Fazy III, a który swą głębokością sięgał dna wspomnianej kubatury pod podłogą piwniczki. Być może był to wkop rabunkowy wykopany jeszcze w średniowieczu, ale już po opuszczeniu grodziska, w celu odzyskania złożonego pod podłogą depozytu. Hipotezy te jednak nie mają ewidentnego potwierdzenia i konieczne są dalsze badania wykopaliskowe w celu ich zweryfikowania.

Na podstawie zachowanych reliktów można szacować, że długość budynku wynosiła około 11 m po osi północ–południe. Biorąc pod uwagę możliwości techniczne rozpiętości belek stropowych, prawdopodobnie szerokość budowli wynosiła nie więcej niż około 8 metrów (2 pręty chełmińskie). Należy w tym przypadku brać pod uwagę konfigurację terenu, z której wynika, że szersza budowla nie zmieściłaby się na stożku, oraz brak w wykopie ewidentnych śladów słupów wspierających strop najniższej kondygnacji. Analiza wielkości warstw gliny i przepalonych konstrukcji drewnianych sugeruje, że budowla miała około 7–8 m wysokości i była konstrukcją trzykondygnacyjną, z dwoma kondygnacjami nadziemnymi.

Odkryte relikty spalonego domostwa można interpretować jako siedzibę rycerską, prawdopodobnie typu wieżowego. Obiekt przestał istnieć w wyniku gwałtownego zdarzenia związanego z pożarem. Trudno wyrokować, czy nastąpił on w wyniku najazdu i walki (niewielka liczba znalezisk militarnych), czy też w wyniku nieszczęśliwego wypadku. W każdym razie miało to miejsce w 2. połowie XV w., co pokrywa się z wydarzeniami wojny trzynastoletniej. Po pożarze obiektu nie odbudowano. Prawdopodobnie wówczas przeniesiono ośrodek dóbr na bardziej dogodny dla działalności urbanistycznej i gospodarczej teren, gdzie współcześnie znajduje się zespół dworsko-parkowy oraz wieś Durąg.

Grabin, st. 1

Gmina Ostróda
Powiat ostródzki
AZP 26–57/1
Współrzędne geograficzne:
N 53° 39’ 20,75’’
E 20° 1’ 22,69’’

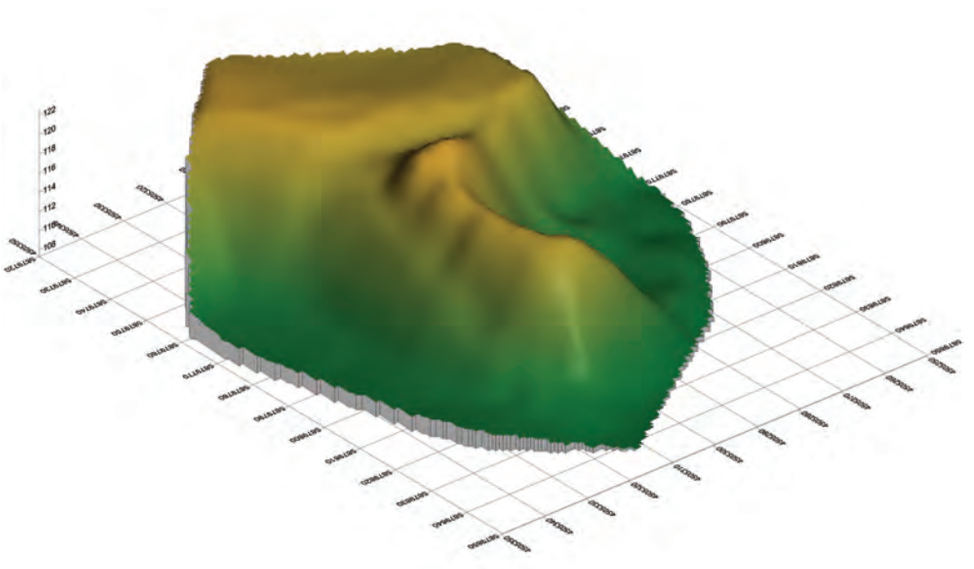

Ryc. 1. Grodzisko w Grabinie, st. 1 na mapie w skali 1:25 000 (na podstawie materiałów CODGiK, oprac. R. Solecki)

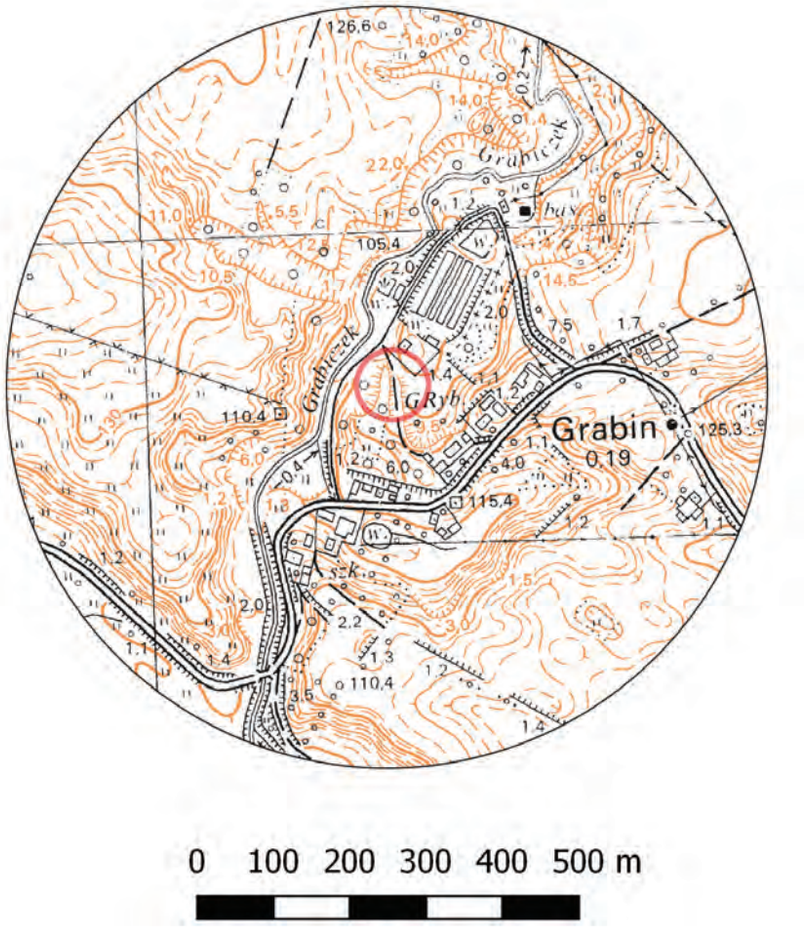

Ryc. 2. Grodzisko w Grabinie, st. 1 na mapie w skali 1:10 000 (na podstawie materiałów CODGiK, oprac. R. Solecki)

POŁOŻENIE GRODZISKA I JEGO FORMA

RAFAŁ SOLECKI

Stanowisko znajduje się na silnie wyeksponowanym cyplu gęsto porośniętym drzewami i krzewami, który od zachodu i północy opływa rzeczka Grabiczek (ryc. 1–2). Ma ona swój początek w Jeziorze Lichtajny znajdującym się około 500 m na południowy zachód, a na wysokości grodziska płynie ona w kierunku północnym. Grodzisko ma nazwę miejscową „Polski Szaniec".

Gród zajmował wysoki cypel, położony po południowo-wschodniej stronie niewielkiej rzeczki Grabiczek. Jego pierwotny rozmiar to około 40 x 55 m, a po zniszczeniu zachodniej części przez odkrywkę, gdzie pozyskiwano piasek i żwir, jego szerokość spadła do około 20 m w najszerszym miejscu, w części południowej. W części północnej średnia szerokość szczytu cypla wynosi 5 m. Część wschodniego stoku grodziska zniszczyła współczesna droga gruntowa prowadzącą na szczyt wyniesienia i wchodzącą w linię fosy znajdującej się w południowej części grodziska. W fosie znajduje się współczesne śmietnisko. Obecnie zachowany jest jedynie niewielki fragment wału od strony wschodniej i południowej wraz z przyległym majdanem (ryc. 3). Przybliżona zachowana powierzchnia majdanu wynosi 2,6 ara, a przybliżona zachowana powierzchnia grodziska wraz z fragmentem fosy wynosi 6 arów. Najwyższy zanotowany punkt wału znajduje się w części południowej grodziska i osiąga 122,94 m n.p.m., poziom w części północnej wynosi około 120,1 m n.p.m., obecny poziom dna fosy wynosi 119,1 m n.p.m., a obszar na południe od fosy utrzymuje średni poziom około 121,1 m n.p.m. Różnica poziomów pomiędzy majdanem, a poziomem wody w potoku Grabiczka wynosi około 13,5 m (ryc. 4–5).

ŚRODOWISKO FIZYCZNO-GEOGRAFICZNE

JERZY NITYCHORUK I FABIAN WELC

Stanowisko znajduje się na silnie wyeksponowanym cyplu wysoczyzny, który od zachodu i północy opływa niewielki potok Grabiczek. Potok ma swój początek w Jeziorze Lichtajny znajdującym się około 500 m na południowy zachód, a na wysokości grodziska płynie on w kierunku północnym. Sam cypel tworzą gliny zwałowe i piaski o frakcji od drobno- do gruboziarnistej (ryc. 6). Najwyższy punkt na obiekcie wynosi 122,94 m n.p.m., a poziom doliny Grabiczka to poniżej 107 m n.p.m., co daje ponad 13 m deniwelacji. Wysoczyznę polodowcową w okolicach stanowiska budują gliny zwałowe, na których rozwinęły się gleby płowe. Głębokie rozcięcie erozyjne związane z doliną rzeki Grabiczek wypełniają piaski występujące na nazbyt

Ryc. 3. Grabin, st. 1. Widok z najdalej na północ wysuniętej części grodziska w kierunku południowym. W centralnej części widoczny wąski fragment zachowanego majdanu, po lewej stronie stok wysoczyzny, po stronie prawej stare wyrobisko (fot. R. Solecki)

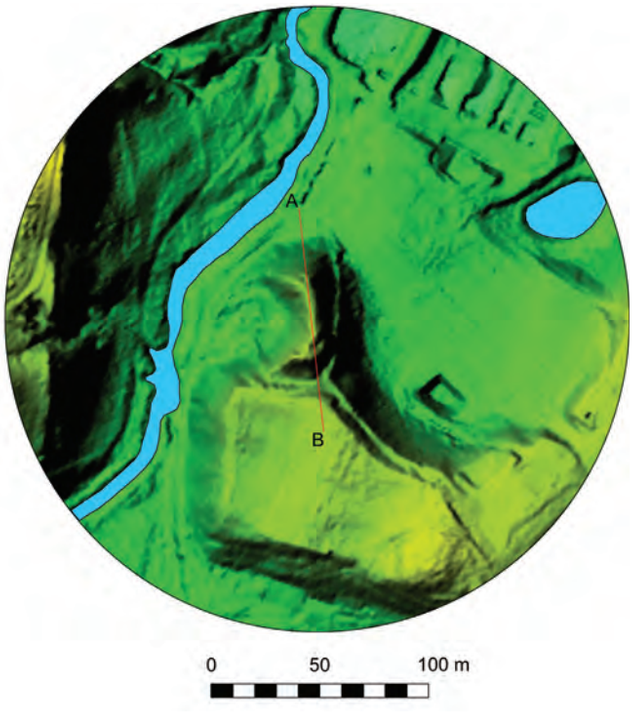

Ryc. 4. Grodzisko w Grabinie, st. 1 na zobrazowaniu ALS (na podstawie materiałów CODGiK, oprac. R. Solecki)

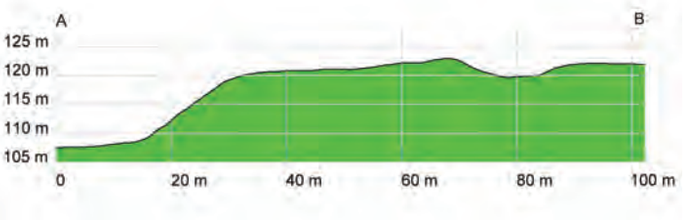

Ryc. 5. Przekrój grodziska w Grabinie, st. 1 po linii N-S uzyskany z danych ALS (na podstawie materiałów CODGiK, oprac. R. Solecki)

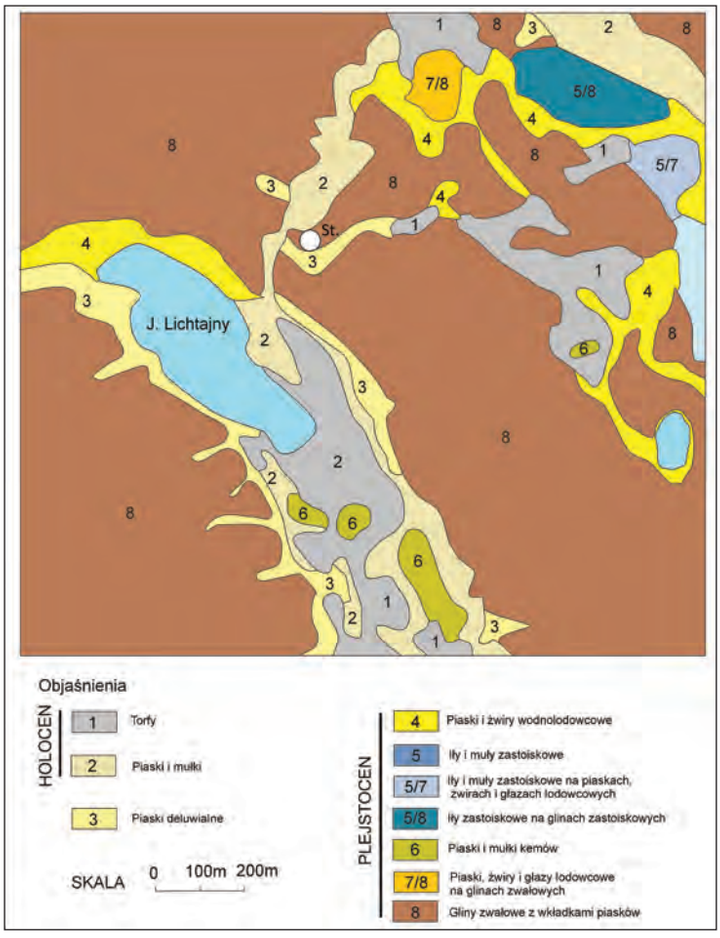

Ryc. 6. Mapa geologiczna okolic grodziska w Grabinie, st. 1 (oprac. J. Nitychoruk i F. Welc)

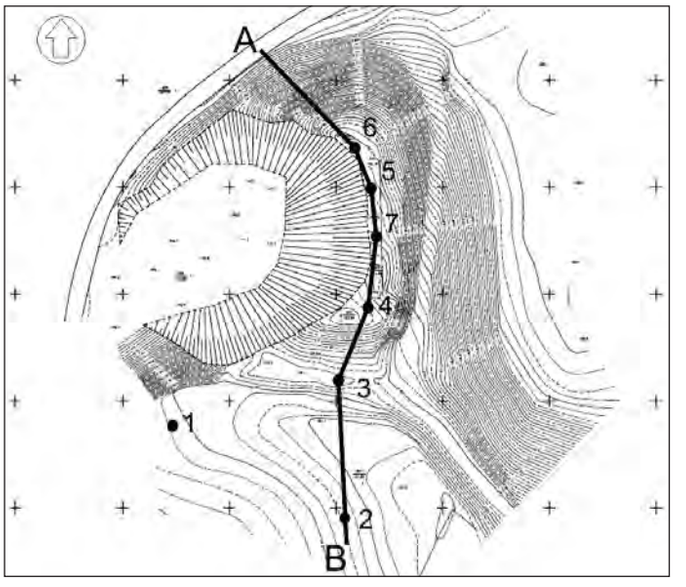

Ryc. 7. Plan warstwicowy grodziska w Grabinie, st. 1 (wyk. J. Błaszczyk) z zaznaczonymi miejscami wierceń geologicznych (oprac. J. Nitychoruk i F. Welc)

małej przestrzeni, aby mógł ten teren być uprawiany. Na południu, w okolicach jeziora Lichtajny, na torfach występują gleby bagienne.

W grodzisku wykonano siedem wierceń (ryc. 7), a w położonej na SSE od niego części wysoczyzny dodatkowo cztery wiercenia, które potwierdziły istnienie tam współczesnej nekropolii. Usytuowanie przekroju geologicznego A–B, ze względu na zachowanie tylko fragmentaryczne stanowiska musiało przebiegać wzdłuż linii o orientacji N–S (ryc. 8). W strefie przypowierzchniowej w części S przekroju stwierdzono glinę zwałową w wierceniach G – 1, G – 2, G – 3, która była na tyle słabo rozdzielona, że obecności fosy (wiercenie G – 2) i wału (wiercenie G – 4) można jedynie domniemywać. Inaczej ma się sytuacja w obrębie resztkowo zachowanego majdanu, gdzie nawiercona warstwa kulturowa ma do 1 m miąższości i zawiera fragmenty węgli drzewnych i żłobkowanej ceramiki (wiercenie G – 5).

BADANIA ARCHEOLOGICZNE

RAFAŁ SOLECKI

Przebieg badań terenowych

Grodzisko znajduje się w pobliżu wsi Grabinek (administracyjnie funkcjonującej jako część wsi Grabin), która po raz pierwszy pojawia się w źródłach w roku 1325, a następnie jeszcze kilkukrotnie w wieku XV i XVI[1]. Grodzisko było znane od 1870 roku, kiedy to rozpoznał je Max Pollux Toeppen[2]. Wymienia je także Hans Crome, jako *Al. Gröben – Polonische Schanze*[3]. Następnie, po II wojnie światowej, w 1949 roku, było ono wizytowane przez

[1] Lietz 1976: 165, 180.

[2] Informacja z karty stanowiska z archiwum Konserwatora Zabytków Archeologicznych w Olsztynie.

[3] Crome 1937: 121.

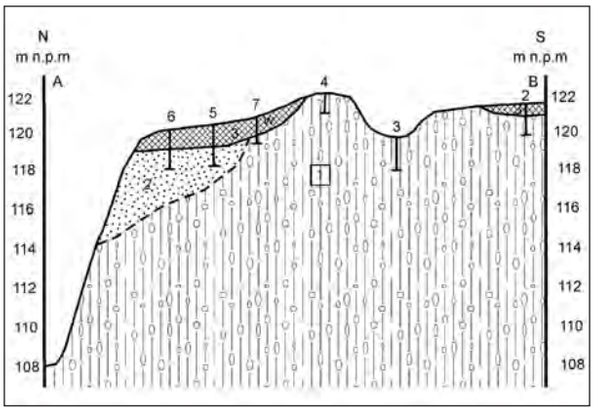

Ryc. 8. Przekrój geologiczny przez grodzisko w Grabinie, st. 1 po linii N–S: 1 – glina zwałowa, 2 – piasek drobnoziarnisty, 3 – warstwy antropogeniczne (oprac. J. Nitychoruk i F. Welc)

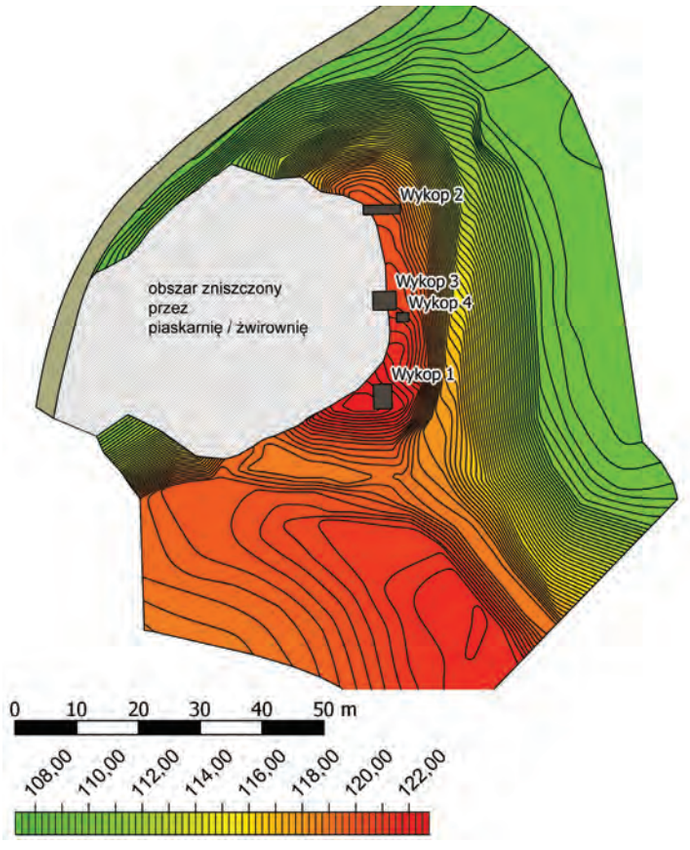

Ryc. 9. Plan warstwicowy grodziska w Grabinie, st. 1 z zaznaczonymi wykopami badawczymi z 2015 r. (na podstawie pomiarów J. Błaszczyka, oprac. R. Solecki)

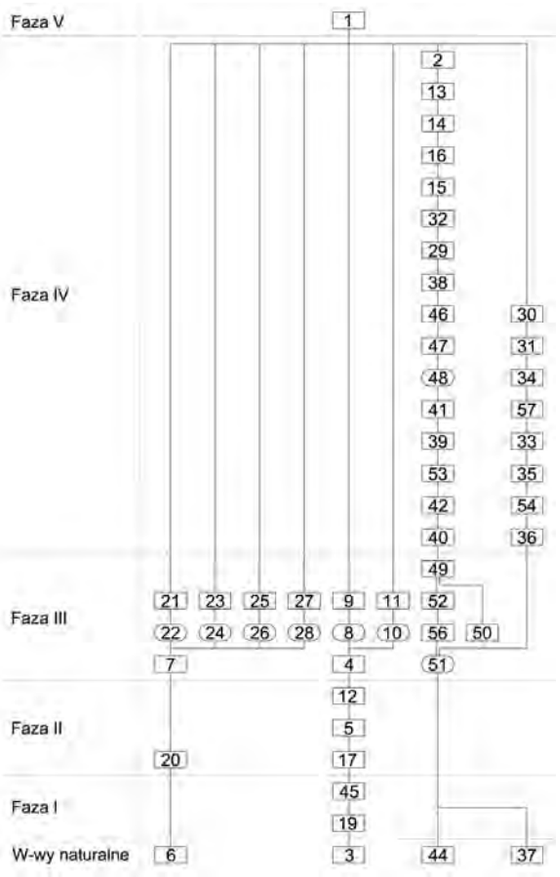

Ryc. 10. Grabin, st. 1. Diagram relacji stratygraficznych (oprac. R. Solecki)

Tabela 1. Grabin, st. 1. Badania w roku 2015. Katalog warstw i obiektów oraz ich zależności stratygraficznych (oprac. R. Solecki)

Numer jednostki	Numer obiektu	Numer wykopu	Położenie w obrębie stanowiska	Współrzędne siatki pomiarowej stanowiska	Opis jednostki stratygraficznej	Barwa (Munsell)	Pozycja stratygraficzna	
							Znajduje się pod	Znajduje się nad
1	-	1, 2, 3, 4	Całe stanowisko		Lekko piaszczysta ziemia z domieszką żwiru i kamieni o śr. do 10 cm; miąższość do 30 cm; humus leśny	10YR 3/1	-	7
2	-	3	Część E majdanu	X=13–15; Y=26–29	Lekko ziemisty piasek; miąższośc do 35 cm; intencjonalne zasypisko piwnicy z wkopu 51	10YR 3/2	1	13
3	-	2	Część NE majdanu	X=10–16; Y=41,50–43	Piasek z pojedynczymi drobnymi i średnimi kamykami; calec	7,5YR 6/6	12, 19	-
4	-	2	Część NE majdanu	X=11,10–15,60; Y=41,50–43	Lekko piaszczysta ziemia z pojedynczymi kamieniami o śr. ok. 10 cm; miąższość do 20 cm; poziom użytkowy	7,5YR 3/3	1, 8, 10	5, 12
5	-	2	Część NE majdanu	X=13,60–16; Y=41,50–43	Lekko piaszczysta ziemia z pojedynczymi kamieniami o śr. ok. 10 cm; miąższość do 50 cm; niwelacja formująca majdan grodziska	7,5YR 3/4	4, 12	17
6	-	1	Część SE majdanu	X=11–14; Y=10–14	Średnio zbity piasek z domieszką żwiru i pojedynczymi kamieniami o śr. ok. 8 cm; calec	2,5Y 6/3	1, 7, 20	-
7	-	1	Część SE majdanu	X=11–14; Y=11–14	Lekko piaszczysta ziemia z domieszką kamieni średnicy 3–15 cm i z pojedynczymi drobinami węgli drzewnych; miąższość do 25 cm; poziom użytkowy	7,5YR 4/3	1, 28	6, 20
8	8	2	Część NE majdanu	X=13,50–14,10; Y=41,50–41,70	Dół posłupowy, owalny w planie, U-kształtny w przekroju; śr. ok. 40 cm, gł. ok. 25 cm		1	9
9	8	2	Część NE majdanu	X=13,50–14,10; Y=41,50–41,70	Piaszczysta, luźna ziemia; wypełnisko dołu posłupowego 8	10YR 3/2	8	4
10	10	2	Część NE majdanu	X=13,30–13,90; Y=42,80–43	Dół posłupowy, owalny w planie, U-kształtny w przekroju; śr. ok. 40 cm, gł. ok. 30 cm		1	11

Tabela 1. Ciąg dalszy

Numer jednostki	Numer obiektu	Numer wykopu	Położenie w obrębie stanowiska	Współrzędne siatki pomiarowej stanowiska	Opis jednostki stratygraficznej	Barwa (Munsell)	Pozycja stratygraficzna	
							Znajduje się pod	Znajduje się nad
11	10	2	Część NE majdanu	X=13,30–13,90; Y=42,80–43	Piaszczysta, luźna ziemia; wypełnisko dołu posłupowego 10	10YR 3/2	10	4
12	-	2	Część NE majdanu	X=10–14,50; Y=41,50–43	Piaszczysta ziemia z dużą domieszką żwiru; miąższość do 20 cm; niwelacja formująca majdan grodziska	10YR 3/4	1, 4	3, 5, 17, 19
13	-	3	Część E majdanu	X=13,20–15; Y=26–29	Piaszczysta ziemia z drobinami polepy; miąższość do 40 cm; intencjonalne zasypisko piwnicy z wkopu 51	10YR 3/3	2	14, 15, 16
14	-	3	Część E majdanu	X=14–15; Y=26–27,50	Lekko ziemisty piasek z łatami sypkiego piasku, drobinami polepy i spalenizny; miąższość do 10 cm; intencjonalne zasypisko piwnicy z wkopu 51	10YR 3/4	13	16
15	-	3	Część E majdanu	X=12,90–15; Y=26–28,50	Duży pokład dobrze wypalonej polepy; miąższość do 40 cm; intencjonalne zasypisko piwnicy z wkopu 51	5YR 7/8	13, 16, 18	32
16	-	3	Część E majdanu	X=12,70–15; Y=26–29	Zbity, ziemisty piasek z pojedynczymi grudami polepy; miąższość do 40 cm; intencjonalne zasypisko piwnicy z wkopu 51	10YR 4/2	13, 14	15, 29, 32
17	-	2	Część NE majdanu	X=10,70–16; Y=41,50–43	Zwarty, ziemisty piasek; miąższość do 45 cm; niwelacja formująca majdan grodziska	7,5YR 4/3	5, 12	19, 45
19	-	2	Część NE majdanu	X=10,40–16; Y=41,50–43	Sypki, lekko ziemisty piasek; miąższość do 25 cm; poziom użytkowy	10YR 6/4	12, 17, 45	3
20	-	1	Część SE majdanu	X=11–14; Y=11,70–14	Ziemisty piasek z domieszką drobnego żwiru; miąższość do 20 cm; niwelacja formująca majdan grodziska	7,5YR 5/4	7	6
21	22	1	Część SE majdanu	X=11–11,40; Y=12,30–12,80	Lekko piaszczysta ziemia; wypełnisko dołu posłupowego 22	10YR 4/4	1	22
22	22	1	Część SE majdanu	X=11–11,40; Y=12,30–12,80	Dół posłupowy, owalny w planie, U-kształtny w przekroju; śr. ok. 30 cm, gł. ok. 20 cm		21	7
23	24	1	Część SE majdanu	X=11,80–12,30; Y=12,40–12,80	Lekko piaszczysta ziemia; wypełnisko dołu posłupowego 24	10YR 4/4	1	24
24	24	1	Część SE majdanu	X=11,80–12,30; Y=12,40–12,80	Dół posłupowy, owalny w planie, U-kształtny w przekroju; śr. ok. 35 cm, gł. ok. 20 cm		23	7
25	26	1	Część SE majdanu	X=12,90–13,20; Y=12,40–12,70	Lekko piaszczysta ziemia; wypełnisko dołu posłupowego 26	10YR 4/4	1	26
26	26	1	Część SE majdanu	X=12,90–13,20; Y=12,40–12,70	Dół posłupowy, owalny w planie, U-kształtny w przekroju; śr. ok. 25 cm, gł. ok. 20 cm		25	7
27	28	1	Część SE majdanu	X=13,80–14; Y=12,30–12,70	Lekko piaszczysta ziemia; wypełnisko dołu posłupowego 28	10YR 4/4	1	28
28	28	1	Część SE majdanu	X=13,80–14; Y=12,30–12,70	Dół posłupowy, owalny w planie, U-kształtny w przekroju; śr. ok. 35 cm, gł. ok. 25 cm		27	7
29	-	3	Część E majdanu	X=12,70–15; Y=27,20–29	Ziemisty piasek; miąższość do 35 cm; intencjonalne zasypisko piwnicy z wkopu 51	10YR 4/2	16, 18, 32	38, 41, 47
30	-	4	Część E majdanu	X=15–17; Y=24–25,50	Piaszczysta ziemia; miąższość do 15 cm; intencjonalne zasypisko piwnicy z wkopu 51	10YR 4/3	1	31
31	-	4	Część E majdanu	X=15–17; Y=24–25,50	Ziemisty piasek; miąższość do 20 cm; intencjonalne zasypisko piwnicy z wkopu 51	10YR 3/2	31	34
32	-	3	Część E majdanu	X=12,30–15; Y=26–29	Ziemisty piasek z drobinami polepy i spalenizny; miąższość do 60 cm; intencjonalne zasypisko piwnicy z wkopu 51	10YR 2/1	15, 16, 18	29, 38, 46
33	-	4	Część E majdanu	X=15–15,50; Y=25–25,40	Polepa; miąższość do 20 cm; intencjonalne zasypisko piwnicy z wkopu 51	5YR 7/8	34	35
34	-	4	Część E majdanu	X=15–17; Y=24–25,50	Ziemia z soczewkami sypkiego piasku; miąższość do 25 cm; intencjonalne zasypisko piwnicy z wkopu 51	10YR 3/3	31	33, 35, 36, 37
35	-	4	Część E majdanu	X=15–17; Y=24,40–25,50	Lekko piaszczysta ziemia z drobinami polepy i spalenizny; miąższość do 35 cm; intencjonalne zasypisko piwnicy z wkopu 51	7,5YR 5/1	33, 34	36
36	-	4	Część E majdanu	X=15–17; Y=24–25,50	Lekko przemieszany piasek i ziemia z domieszką drobin polepy; miąższość do 15 cm; naturalny zasyp piwniczki z wkopu 51	10YR 4/4	35	37, 51
37	-	4	Część E majdanu	X=15–17; Y=24–25,50	Zwarty piasek z drobnym żwirem; calec	2,5Y 5/4	36	51

Tabela 1. Ciąg dalszy

Numer jednostki	Numer obiektu	Numer wykopu	Położenie w obrębie stanowiska	Współrzędne siatki pomiarowej stanowiska	Opis jednostki stratygraficznej	Barwa (Munsell)	Pozycja stratygraficzna	
							Znajduje się pod	Znajduje się nad
38	-	3	Część E majdanu	X=12,30–15; Y=26–29	Przemieszany piasek i ziemia z domieszką grud polepy i kawałkami węgli drzewnych; miąższość do 25 cm; intencjonalne zasypisko piwnicy z wkopu 51	10YR 5/2	29, 32, 46	41
39	-	3	Część E majdanu	X=12,70–15; Y=26–29	Lekko ziemisty piasek z drobinami polepy i spalenizny; miąższość do 15 cm; naturalny zasyp piwniczki z wkopu 51	10YR 5/4	41	42, 43, 49, 52, 53
40	-	3	Część E majdanu	X=13,20–15; Y=26–29	Sypki piasek z dużą ilością węgli drzewnych, spalenizny i grudami polepy; miąższość do 20 cm; pozostałość pożaru piwniczki z wkopu 51	10R 4/3	39, 42, 53	49, 50
41	-	3	Część E majdanu	X=11,70–15; Y=26–29	Sypki, lekko ziemisty piasek z pojedynczymi grudami polepy i pojedynczymi kamieniami; miąższość do 80 cm; naturalny zasyp piwniczki z wkopu 51	7,5YR 6/6	29, 38, 48	39, 51, 52, 53
42	-	3	Część E majdanu	X=13,60–15; Y=26–29	Sypki, lekko ziemisty piasek; miąższość do 10 cm; naturalny zasyp piwniczki z wkopu 51	10YR 7/4	39, 53	40, 43, 49
44	-	3	Część E majdanu	X=11,30–15; Y=26–29	Sypki piasek; calec	10YR 7/2	51	-
45	-	2	Część NE majdanu	X=11,40–15,70; Y=41,40–43	Bruk kamienny układający się na osi NS; kamienie o śr. 5–40 cm		17	19
46	-	3	Część E majdanu	X=12–15; Y=26–28,50	Pryzma kamieni; kamienie o śr. ok. 4–30 cm; intencjonalne zasypisko piwnicy z wkopu 51		29, 32	38
47	48	3	Część E majdanu	X=14,50–15; Y=27,30–27,90	Przemieszany piasek i ziemia z grudami polepy i drobinami spalenizny; wypełnisko obiektu 48	10YR 5/3	29, 46	48
48	48	3	Część E majdanu	X=14,50–15; Y=27,30–27,90	Obiekt, nieregularnie owalny w planie, nieregularny w przekroju; śr. ok. 50 cm, gł. do 40 cm; prawdopodobnie negatyw po usuniętym słupie		47	41
49	51	3	Część E majdanu	X=12,90–15; Y=26–29	Naprzemianległe soczewki piasku i ziemi z domieszką pojedynczych kamyczków; miąższość do 20 cm; relikt poziomu użytkowego piwniczki z wkopu 51	10YR 6/3	39, 40, 42, 43, 50, 53	51, 52
50	51	3	Część E majdanu	X=13,50–15; Y=26–29	Niewielkie rowki szer. do 45 cm i gł. do 25 cm widoczne na stropie warstwy 49; być może relikt drewnianej podłogi w obrębie piwniczki z wkopu 51		40, 43	49
51	51	3, 4	Część E majdanu	X=12–17; Y=24–29	Zbadany fragmentarycznie wkop budowlany pod piwniczkę; wymiary ok. 300 x 500 cm, gł. do 170 cm		49, 52	44
52	51	3	Część E majdanu	X=12,50–13,10; Y=26–29	Próchniczy piasek; miąższość do 50 cm; relikt drewnianej ściany W piwniczki z wkopu 51 znajdujący się in situ	10YR 5/3	49, 53, 41	51
53	-	3	Część E majdanu	X=13–14,20; Y=26–29	Lekko próchniczy piasek; miąższość do 20 cm; relikt przewróconej, drewnianej ściany W piwniczki z wkopu 51	10YR 5/2	39, 41	40, 42, 43, 49, 51, 52
54	-	4	Część E majdanu	X=15–17; Y=24–25,50	Pryzma kamieni; kamienie o śr. ok. 5–20 cm; intencjonalne zasypisko piwnicy z wkopu 51		35	36
56	51	3	Część E majdanu	X=12–12,60; Y=26,80–27,60	Negatyw słupa umieszczonego w połowie długości ściany W 52 piwniczki z wkopu 51		52	51
57	-	4	Część E majdanu	X=15–16,70; Y=24–25,50	Lekko przemieszany piasek i ziemia; miąższość do 20 cm; intencjonalne zasypisko piwnicy z wkopu 51	10YR 5/4	34	33, 35

Tabela 2. Zestawienie dołów posłupowych z Fazy III (oprac. R. Solecki)

Numer cięcia dołu posłupowego	Numer wypełniska	Kształt w planie	Kształt w przekroju	Średnica	Głębokość
8	9	owalny	U-kształtny	40 cm	25 cm
10	11	owalny	U-kształtny	40 cm	30 cm
22	21	owalny	U-kształtny	30 cm	20 cm
24	23	owalny	U-kształtny	35 cm	20 cm
26	25	owalny	U-kształtny	25 cm	20 cm
28	27	owalny	U-kształtny	35 cm	20 cm

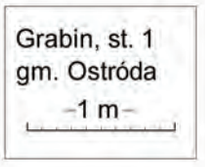

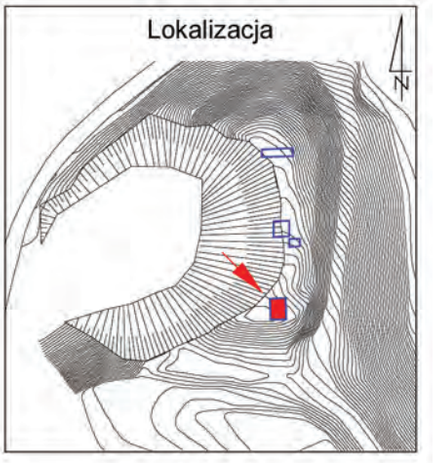

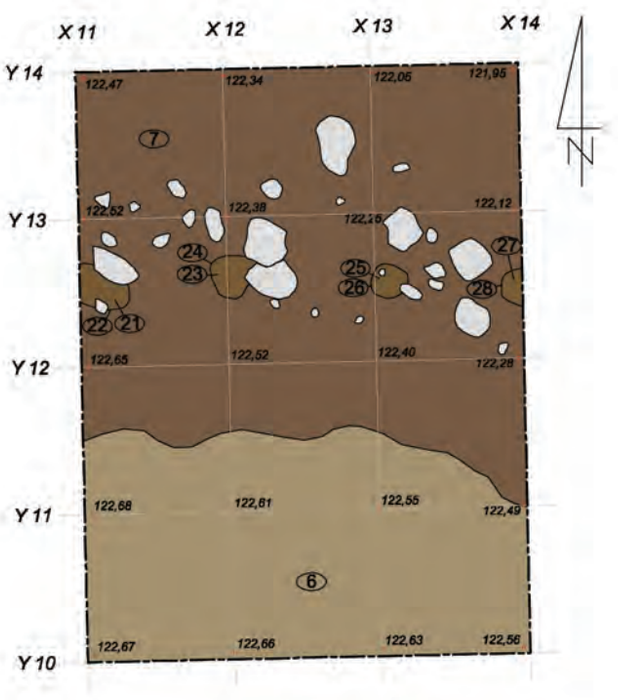

Ryc. 11a. Grabin, st. 1. Plan wykopu 1 na poziomie bruku z Fazy I (oprac. R. Solecki)

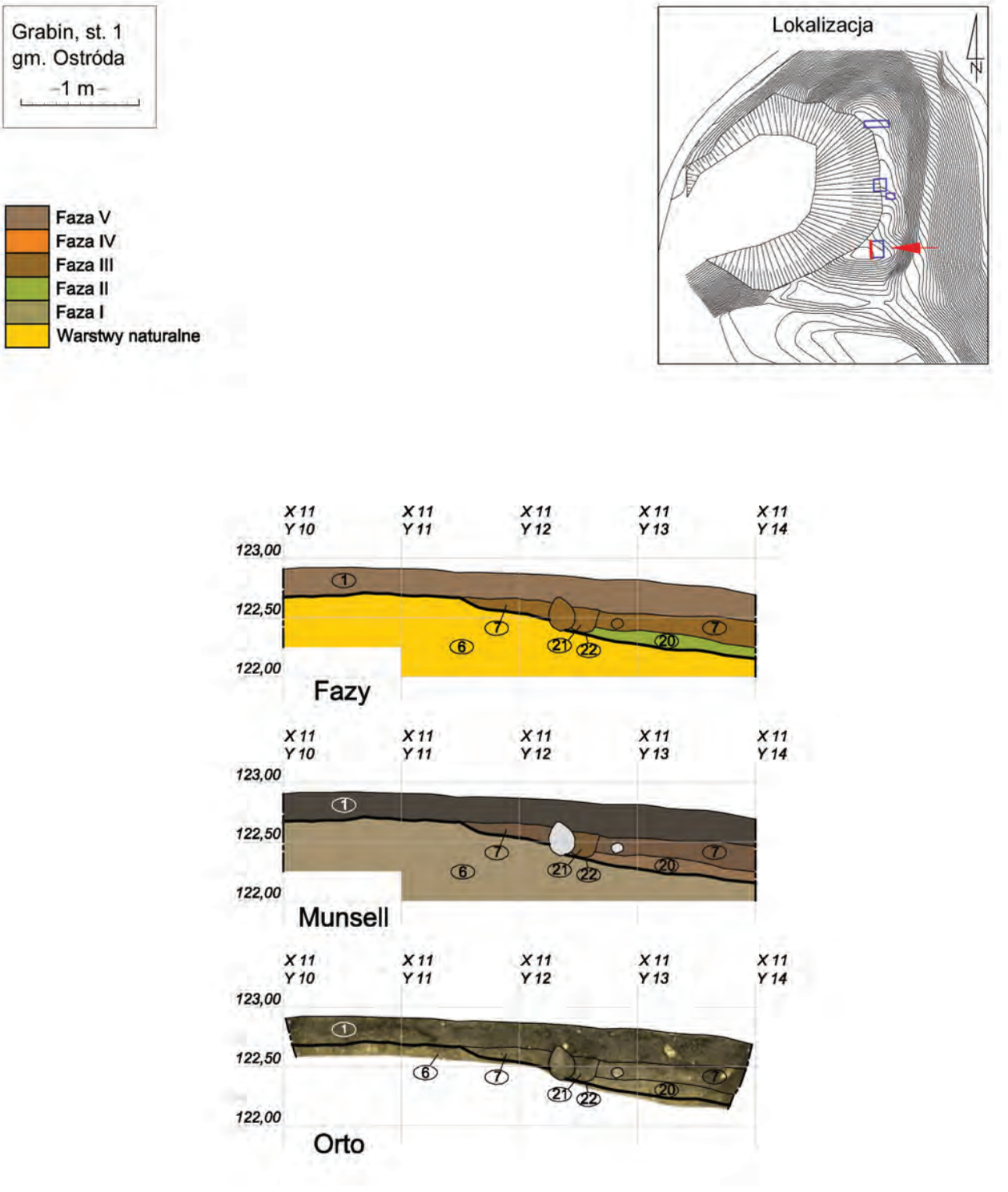

Ryc. 11b. Grabin, st. 1. Przekrój przez nawarstwienia ściany zachodniej wykopu 1 (oprac. R. Solecki)

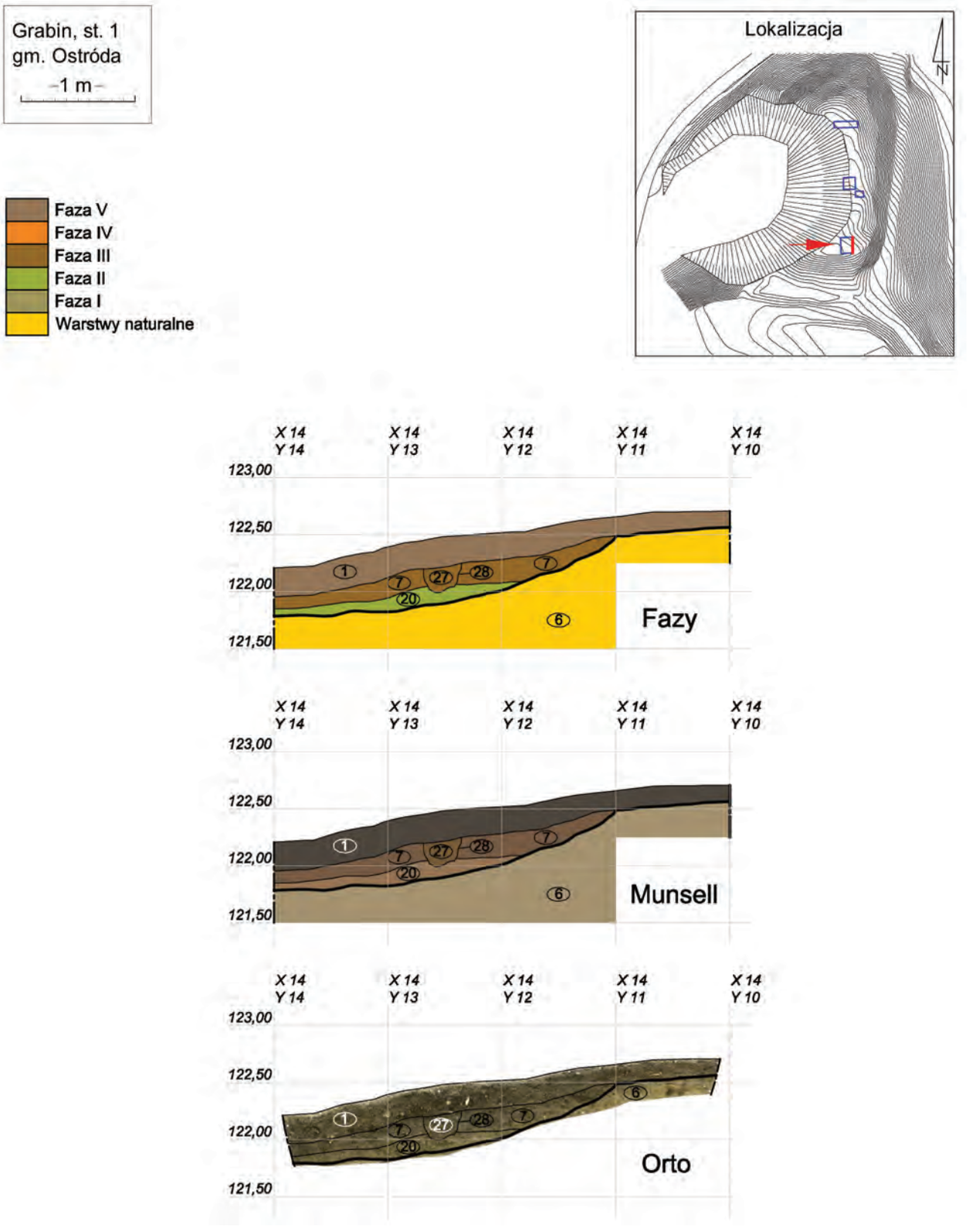

Ryc. 11c. Grabin, st. 1. Przekrój przez nawarstwienia ściany wschodniej wykopu 1 (oprac. R. Solecki)

Jerzego Antoniewicza. Na jego wniosek stanowisko to zostało wpisane do rejestru zabytków archeologicznych. Wizja lokalna pozwoliła także na ustalenie chronologii stanowiska na około XIII–XIV wiek[4], zaś znaleziony materiał zabytkowy trafił do zbiorów Państwowego Muzeum Archeologicznego w Warszawie. Stanowisko było wizytowane w 1969 roku przez Mieczysława Haftkę, który natrafił na kilka fragmentów ceramiki – typ „siwy" ze śladami obtaczania[5].

Badania przeprowadzone w roku 2015 w ramach realizacji projektu *Katalog grodzisk Warmii i Mazur* były pierwszymi badaniami wykopaliskowymi tego grodziska. W trakcie badań otworzono cztery wykopy o łącznej powierzchni 35,25 m^2 (ryc. 9). Wykop 1 (pow. 12 m^2) wytyczono w najwyższej, południowej części majdanu, w sąsiedztwie fosy, a wykop 2 (pow. 9 m^2) w najniższej części majdanu, ponad doliną Grabiczka. Wykop 3 (pow. 11,25 m^2) objął obszar, gdzie na powierzchni zaobserwowano duże skupisko fragmentów ceramiki. W toku badań okazało się, że w miejscu tym znajdują się relikty piwniczki. Wykop 4 (pow. 3 m^2) miał dostarczyć informacji na temat ściany południowej piwniczki odkrytej w wykopie 3.

Stratygrafia stanowiska

W trakcie badań archeologicznych wydzielono łącznie 57 jednostek stratygraficznych, które podzielono na cztery główne fazy związane z użytkowaniem tego obszaru (tab. 1 i ryc. 10–15).

Warstwy naturalne

W trakcie badań, jako warstwy naturalne zadokumentowano jednostki 3 (W2), 6 (W1), 37 (W4) i 44 (W3). W części północnej były to sypkie piaski, drobno- i średnioziarniste z pojedynczymi drobinami żwiru i małymi kamykami. W części zachodniej W2 warstwa 3 (W2) wystąpiła bardzo płytko, tuż poniżej warstwy humusu. Na wysokości W3 warstwę 44 (W3) zanotowano głęboko, co najmniej 1,5 m poniżej współczesnego poziomu gruntu. Ponad nim zalegał zwarty piasek drobno- i średnioziarnisty z lekką frakcją ilastą i dużą domieszką żwiru 37 (W4). Tego typu frakcja tworzy trzon zachowanego wypiętrzenia w południowej części majdanu, gdzie otrzymała ona oznaczenie 6 (W1).

Faza I

Najstarszy horyzont osadniczy nie ma pewnej chronologii, gdyż dwie należące do niego jednostki stratygraficzne zbadano jedynie fragmentarycznie i są one zakłócone przez młodsze niwelacje. Niemniej na podstawie znajdywanych na stanowisku fragmentów ceramiki można go wiązać z osadnictwem bezpośrednio poprzedzającym zajęcie tego obszaru przez krzyżaków, a więc datowanym na pierwszą połowę XIII w. Nawarstwienia tej fazy zidentyfikowano w części północnej, na stoku grodziska, który opada w kierunku doliny Grabiczki. Był to sypki, lekko ziemisty piasek 19 (W2) będący zapewne pierwotnym poziomem użytkowym z tego okresu; ponad nim odsłonięto dość gęsty bruk 45 (W2) z kamieni dochodzących do 40 cm średnicy. Bruk miał formę nieregularnego pasa, układającego się względnie prostopadle do kierunku upadu zbocza.

Faza II

Druga faza dziejów grodziska to okres przygotowywania cypla na potrzeby wzniesienia w tym miejscu grodu. Jednostki stratygraficzne należące do tej fazy mają najczęściej charakter niwelacji. Prace te zainicjowane zostały najpewniej około połowy XIV w., na co wskazuje materiał zabytkowy. W W1 horyzont ten reprezentuje ziemisty piasek z domieszką drobnego żwiru 20, a w W2 sekwencja trzech jednostek – w kolejności stratygraficznej: zwartego, ziemistego piasku 17, lekko piaszczystej ziemi 5 z pojedynczymi kamieniami średnicy ok. 10 cm oraz piaszczystej ziemi z dużą domieszką żwiru 12.

Faza III

Faza ta to bezpośrednia kontynuacja Fazy II, gdyż związana jest ze wznoszeniem drewnianych umocnień i budynków w obrębie uformowanego wcześniej *plateau*. Poziom użytkowy tej fazy wyznacza lekko piaszczysta ziemia 4 z pojedynczymi kamieniami średnicy ok. 10 cm (W2) i lekko piaszczysta ziemia z domieszką kamieni średnicy 3–15 cm i z pojedynczymi drobinami węgli drzewnych 7 (W1). Naturalny strop tych warstw nie zachował się – został naruszony przez młodsze niwelacje. Najwyższy punkt warstwy 4 (W2) osiąga poziom około 120,20 m n.p.m., a warstwy 7 (W1) – około 122,65 m n.p.m. Na stropie tych warstw zarejestrowano sześć dołów posłupowych (tab. 2). Doły posłupowe 22, 24, 26 i 28, odkryto w W1, w południowej części majdanu. Ułożone są na jednej linii, równoległej do osi wschód–zachód i do linii fosy. Odległość pomiędzy środkami kolejnych

[4] Antoniewicz 1950: 69; informacje ta znajdują się także w liście J. Antoniewicza do Konserwatora Zabytków przy Urzędzie Wojewódzkim Olsztyńskim, w którym informuje on o odkryciu stanowiska, jego stanie i wnioskuje o ochronę. List w Archiwum Konserwatora Zabytków Archeologicznych w Olsztynie.

[5] Informacja z notatki sporządzonej po wizytacji. Notatka w Archiwum Konserwatora Zabytków Archeologicznych w Olsztynie.

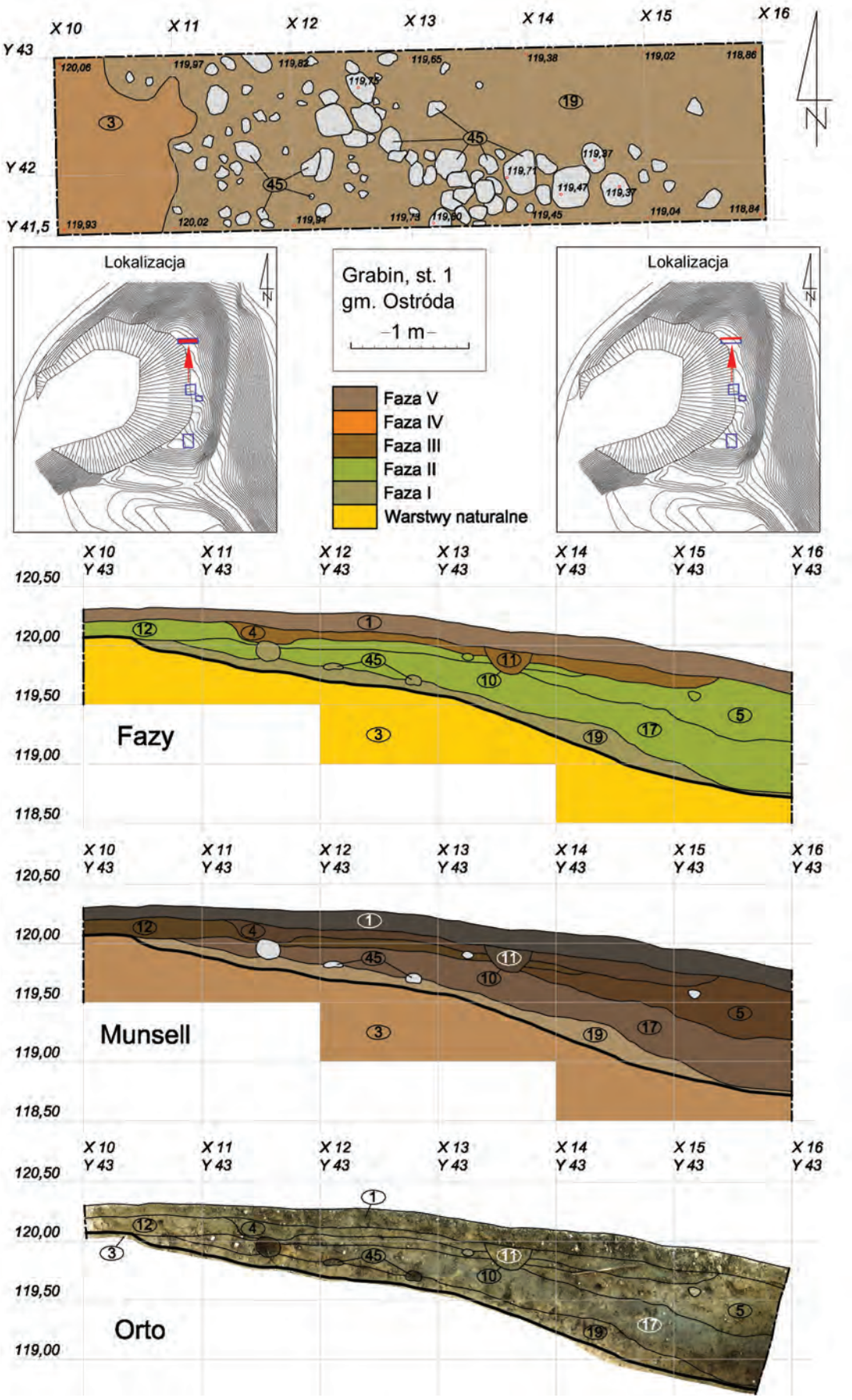

Ryc. 12. Grabin, st. 1. Plan wykopu 2 na poziomie bruku z Fazy I oraz ściana północna wykopu 2 (oprac. R. Solecki)

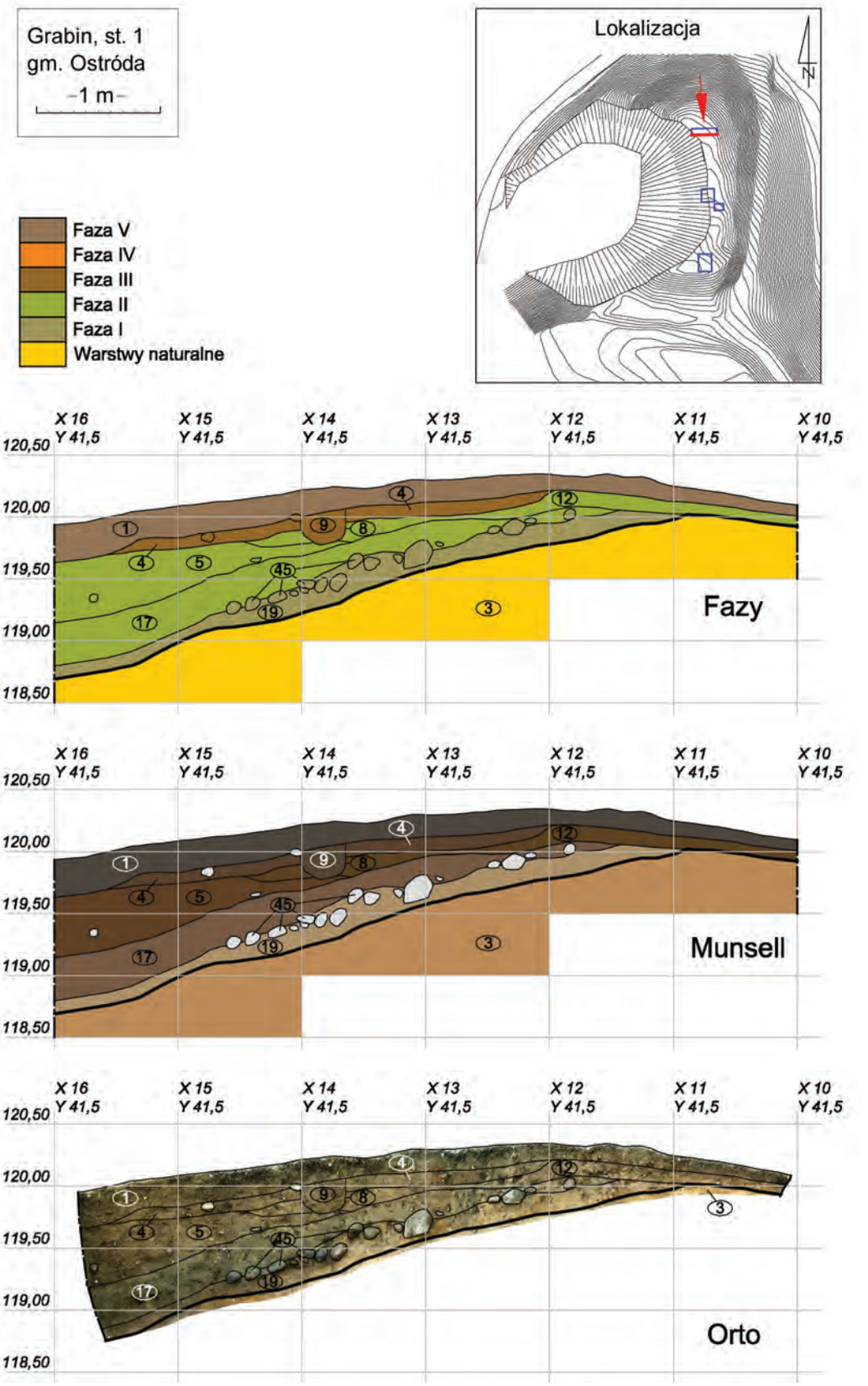

Ryc. 13. Grabin, st. 1. Ściana południowa wykopu 2 (oprac. R. Solecki)

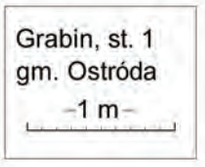

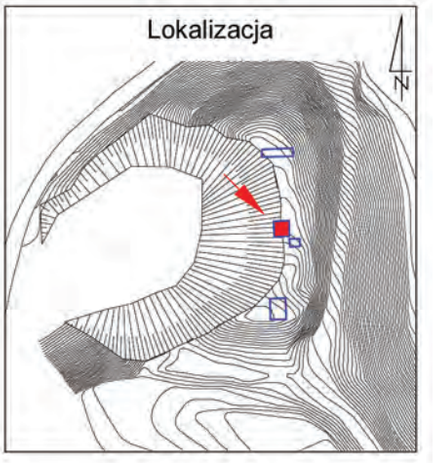

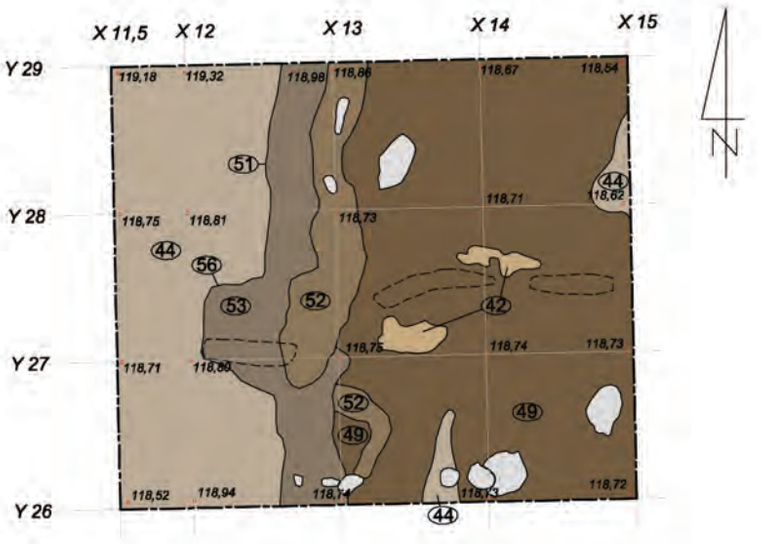

Ryc. 14a. Grabin, st. 1. Plan wykopu 3 na poziomie reliktów piwniczki z Fazy III (oprac. R. Solecki)

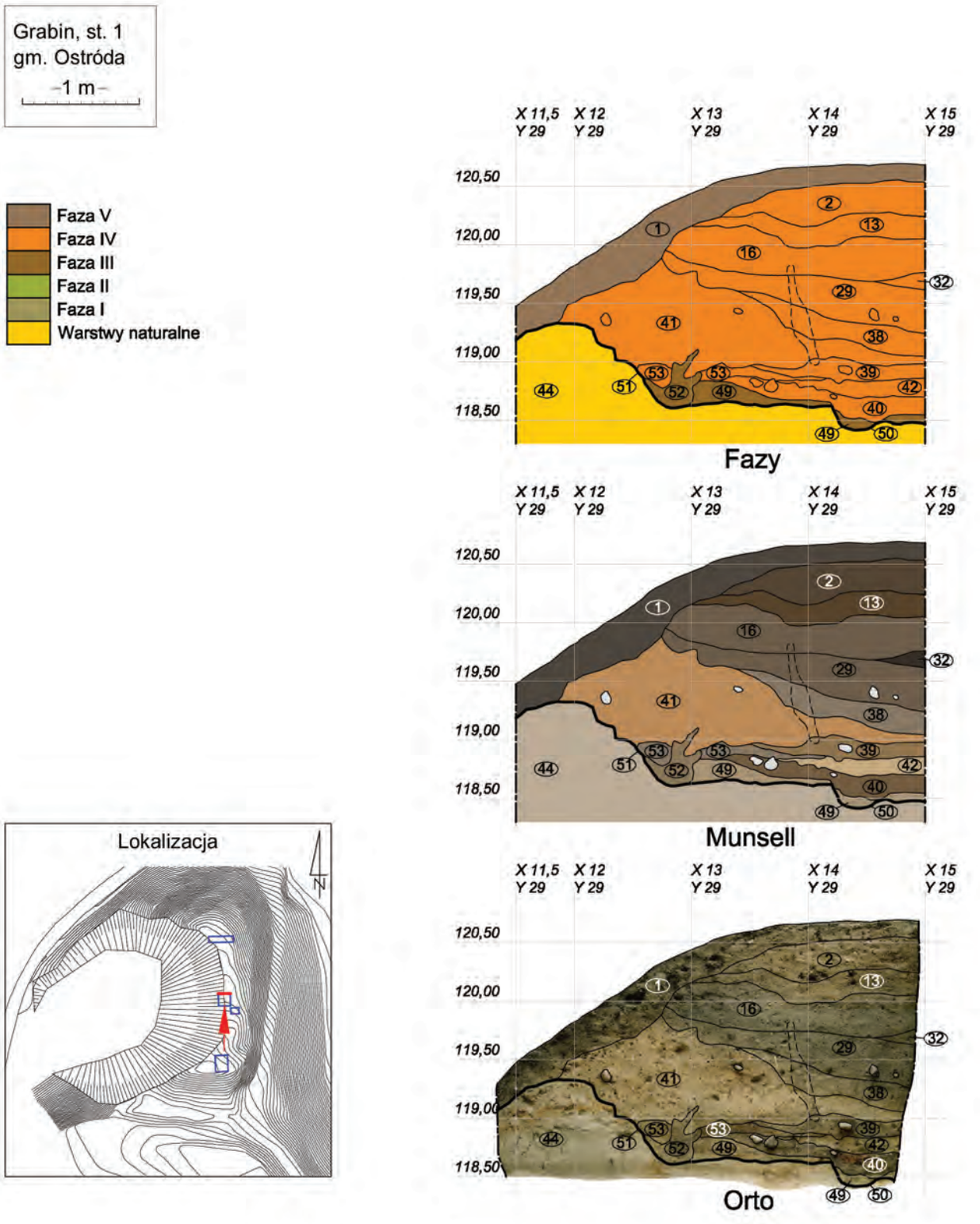

Ryc. 14b. Grabin, st. 1. Przekrój przez nawarstwienia widoczne w ścianie północnej wykopu 3 (oprac. R. Solecki)

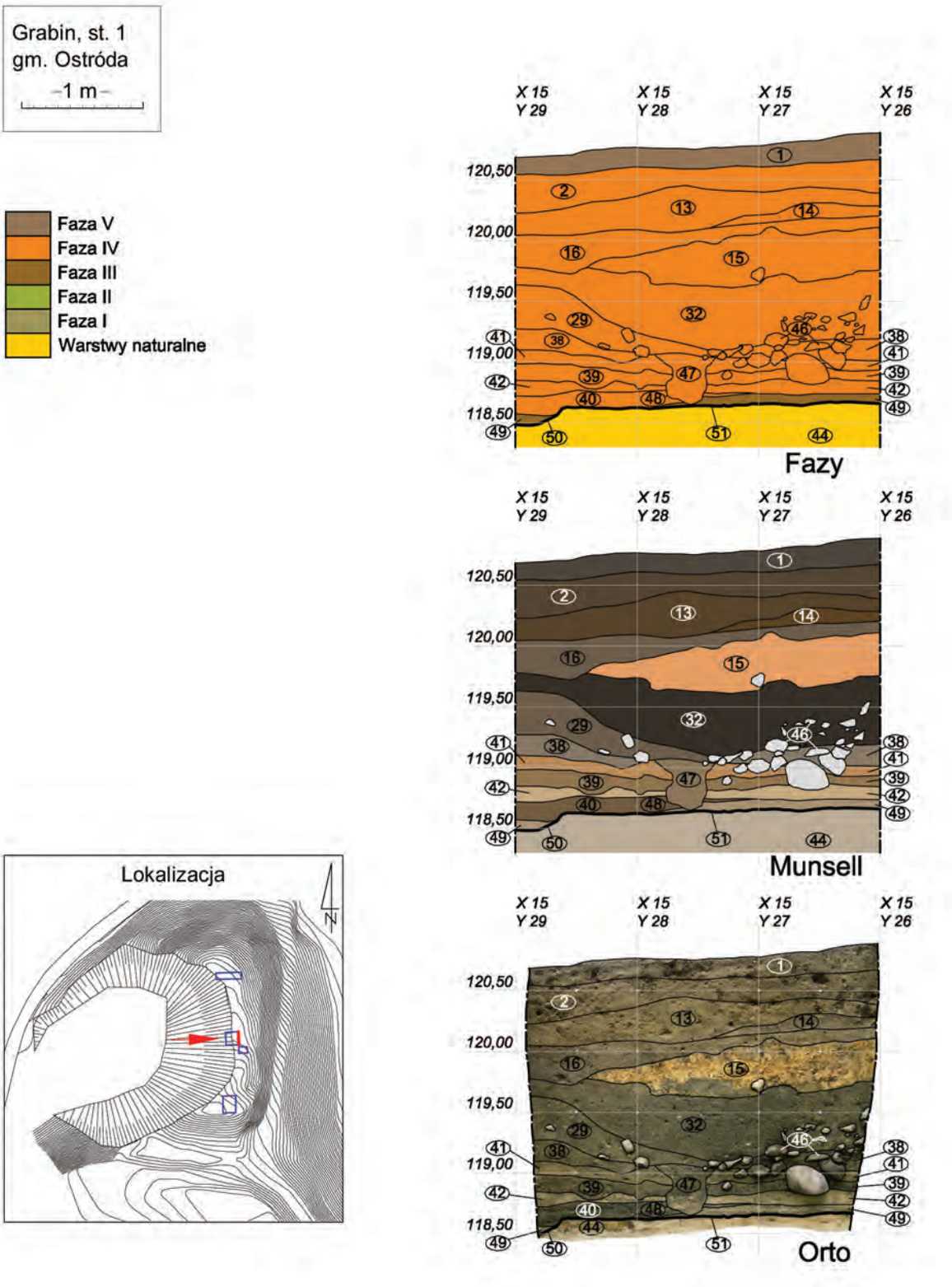

Ryc. 14c. Grabin, st. 1. Przekrój przez nawarstwienia widoczne w ścianie wschodniej wykopu 3 (oprac. R. Solecki)

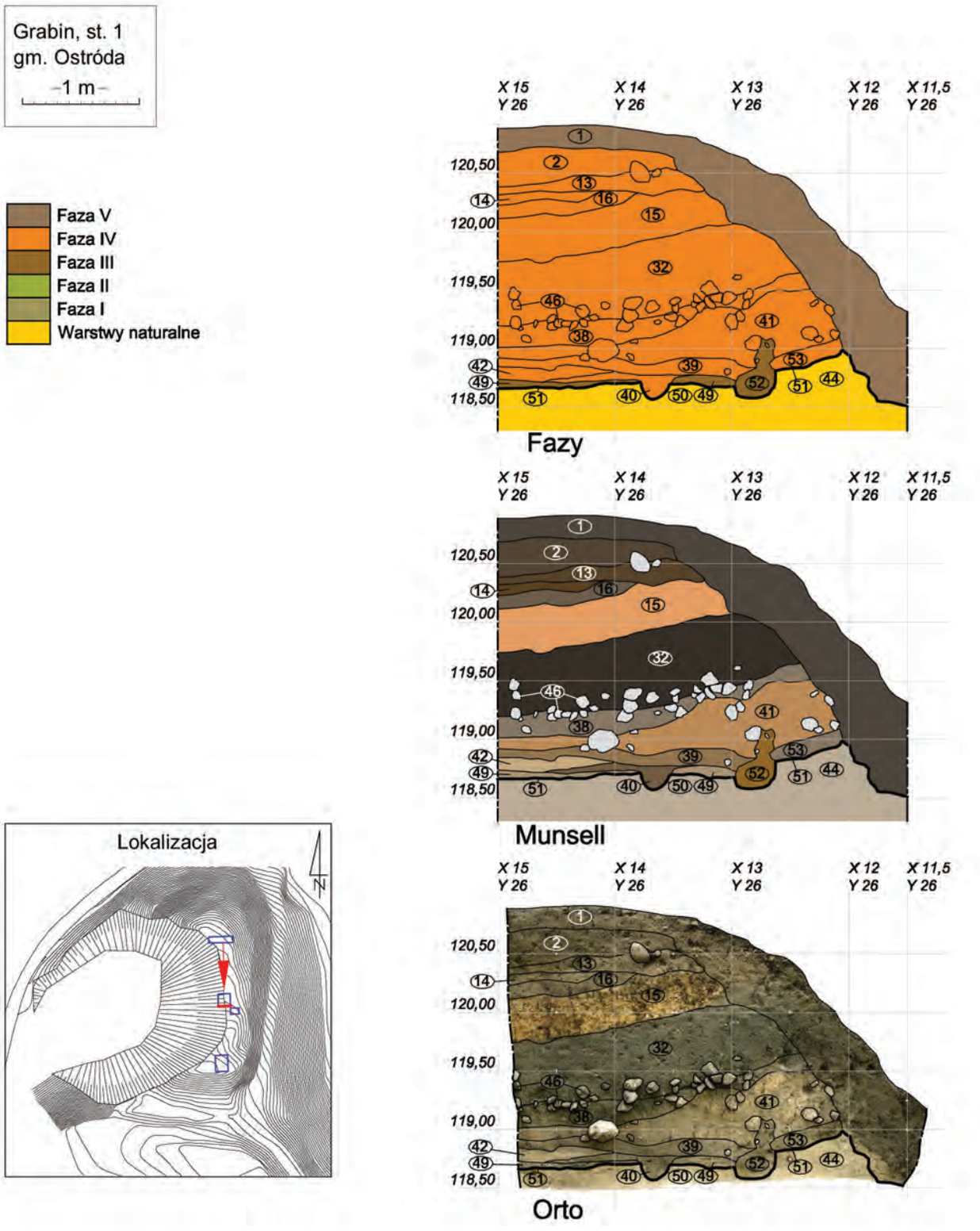

Ryc. 14d. Grabin, st. 1. Przekrój przez nawarstwienia widoczne w ścianie południowej wykopu 3 (oprac. R. Solecki)

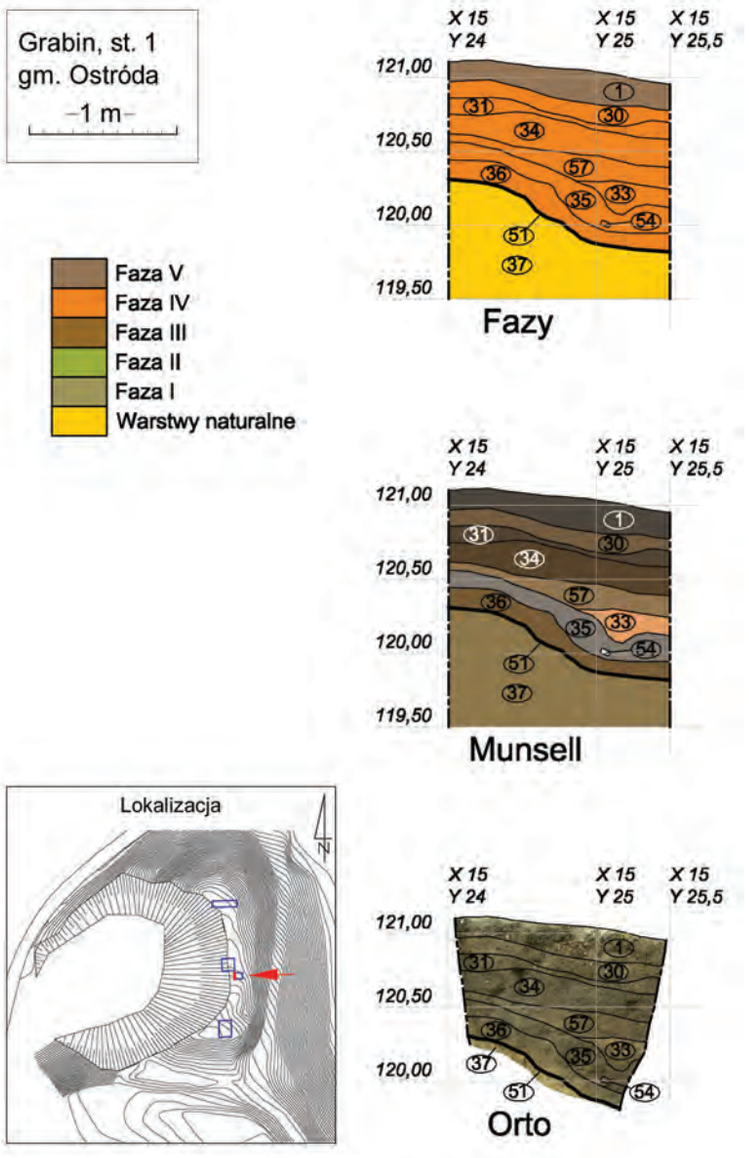

Ryc. 15. Grabin, st. 1. Przekrój przez nawarstwienia widoczne w ścianie zachodniej wykopu 4 (oprac. R. Solecki)

dołów wynosi około 90–100 cm. Doły posłupowe 8 i 10, odkryto w W2 i leżą na osi zbliżonej do północ–południe. Odległość pomiędzy ich środkami wynosi około 140 cm. Położenie dołów przy krawędzi majdanu sugeruje, że są one pozostałością drewnianej palisady. Przemawia za tym także fakt, że w W1 na linii tych dołów natrafiono na dwa groty bełtów. Same pionowe słupy, rozmieszczone co najmniej 90 cm od siebie, nie mogły być pełną formą tej palisady. Była ona zapewne wzmacniana poziomymi elementami – deskami – które nie pozostawiły po sobie bezpośredniego śladu. Za pośredni ślad można przyjąć występowanie w pobliżu tych obiektów gwoździ, które mogły służyć do mocowania desek. W W1 natrafiono co prawda tylko na jeden gwóźdź, ale w W2 było to już 10 gwoździ lub ich fragmentów.

Na ten okres można także datować budowę piwniczki, której relikty odsłonięto we wschodniej części majdanu, w linii palisady. Z powodu zbadania jej tylko fragmentarycznie, nie jest możliwe odtworzenie jej pełnej formy. Wzniesiono ją w szerokopłaszczyznowym wkopie budowlanym 51 (W3, W4), którego zachowana głębokość dochodzi do 170 cm, a dno znajduje się na poziomie około 118,6 m n.p.m. Na dnie posadowiono drewnianą konstrukcję ścian. Podczas badań odkryto pozostałości ściany zachodniej 52 wzmocnionej słupem 56 umieszczonym prawdopodobnie w połowie jej długości. Ściana ta zachowała

się w postaci próchniczych plam 52, o średnicy do 45 cm i wysokości do 50 cm. Zidentyfikowano także negatyw po belce 50 o średnicy około 30 cm, ułożonej płasko na poziomie podłogi, która mógła spełniać dwie funkcje: rozporową, jako zabezpieczenie ścian przed zsunięciem się pod naciskiem ziemi, lub jako baza dla drewnianych elementów podłogi.

Poziomem użytkowym z okresu funkcjonowania piwniczki są naprzemianległe soczewki piasku i ziemi z domieszką pojedynczych kamyczków 49. Ich strop znajduje się na poziomie około 118,7–118,8 m n.p.m. Jest to jedyna odkryta warstwa, którą można wiązać z okresem funkcjonowania grodu po jego zbudowaniu.

Faza IV

Faza ta związana jest ze zniszczeniem grodziska. Nie jest znana dokładna data tego zdarzenia, lecz na podstawie materiału zabytkowego można wnosić, że mogło to nastąpić około połowy XV w. Wynikiem zdobycia grodu było jego całkowite zniszczenie, włącznie z rozbiórką umocnień i rozgarnięciem jego powierzchni. Śladami tych czynności jest sekwencja warstw odkryta w W3 i W4. Najstarszą jednostkę wiązać należy prawdopodobnie z pożarem budynku, którego piwniczka była częścią. Jest to sypki piasek z dużą ilością węgli drzewnych, spalenizny i grudami polepy 40. W wyniku pożaru doszło do zawalenia się ścian piwniczki 53 i częściowego jej zasypania przez napierające nań masy ziemi: sypki, lekko ziemisty piasek 42, lekko ziemisty piasek z drobinami polepy i spalenizny 39, sypki, lekko ziemisty piasek z pojedynczymi grudami polepy i pojedynczymi kamieniami 41 i lekko przemieszany piasek i ziemia z domieszką drobin polepy 36.

Po pożarze prawdopodobnie pobrano elementy konstrukcyjne, które mogły jeszcze spełnić jakąś funkcję – śladem takiej czynności jest negatyw po słupie 48, którego wypełniskiem jest przemieszany piasek i ziemia z grudami polepy i drobinami spalenizny 47. Następnie do niecki po zawalonej piwnicy zsypano pogorzelisko z sąsiadującego obszaru. Na zasypisko to składają się w kolejności stratygraficznej: w wykopie 3 kamienie 46, o średnicy do 30 cm, przemieszany piasek i ziemia 38 z domieszką grud polepy i kawałkami węgli drzewnych, ziemisty piasek 29, ziemisty piasek 32 z drobinami polepy i spalenizny, duży pokład dobrze wypalonej polepy 15, zbity, ziemisty piasek 16 z pojedynczymi grudami polepy, lekko ziemisty piasek 14 z łatami sypkiego piasku, drobinami polepy i spalenizny, piaszczysta ziemia 13 z drobinami polepy i lekko ziemisty piasek 2; w wykopie 4 ziemisty piasek 35 z drobinami polepy i spalenizny, grudy dobrze wypalonej polepy 33, zbity, ziemisty piasek 57 z pojedynczymi grudami polepy, lekko ziemisty piasek 34 z łatami sypkiego piasku, drobinami polepy i spalenizny, piaszczysta ziemia 31 z drobinami polepy i lekko ziemisty piasek 30. Na zasypiskowy charakter wymienionych warstw wskazuje chaotyczny rozkład zabytków w całej objętości warstw. W przypadku większości z tych warstw brak jest także śladów ewentualnej erozji i spływu, co może wskazywać, że narosły one w niedużym odstępie czasu.

W trakcie wykopalisk nie zarejestrowano śladów osadnictwa datowanych na okres po zniszczeniu grodziska.

Faza V

Najmłodszą fazę reprezentuje lekko piaszczysta ziemia 1 z domieszką żwiru i kamieni średnicy do 10 cm, będąca współczesnym humusem leśnym, pokrywającym całą powierzchnię majdanu.

ZNALEZISKA

Ceramika

Grupy technologiczno-surowcowe

Materiał ceramiczny w liczbie 2303 fragmenty ceramiki podzielono na cztery grupy technologiczno-surowcowe:

GTS-1. Ceramika tradycyjna. Ceramika wykonana ze źle wyrobionej masy ceramicznej z dość dużą ilością drobnej domieszki schudzającej – piasku, drobin startego granitu i szamotu. Grubość ścianki wynosi około 5–7 mm (średnio około 6 mm), a grubość dna do 10 mm. Wypał jest utleniający. Kolor ścian jest jasnopomarańczowy, pomarańczowy lub brązowy. Przełam zazwyczaj jest trójkolorowy. Powierzchnia zewnętrza i wewnętrzna jest lekko szorstka z widocznymi śladami obtaczania i zagładzania.

Grupa tej ceramiki jest drugą najliczniejszą w zbiorze z grodziska w Grabinie. Znaleziono jej łącznie 565 fragmentów, co stanowi około 24,5% całego zbioru. Pod względem surowcowym tego typu materiał ceramiczny można datować na wczesne średniowiecze, zapewne XI–XIII w. Jednakże znaczna część form naczyń, a także motywy zdobnicze wykonywane za pomocą stempelka nawiązują do tych występujących na naczyniach „siwych", których początki na tych obszarach można datować na koniec pierwszej połowy XIII w.[6] Dlatego też analizowany zbiór należy traktować jako pochodzący z XIII w.

GTS-2. Ceramika „siwa" kuchenna. Ceramika wykonana z dobrze wyrobionej masy ceramicznej z małą ilością drobnej domieszki schudzającej – startego piasku. Grubość ścianki wynosi około 4–9 mm (średnio około 5–6 mm). Wypał jest redukcyjny. Kolor ścian jest jasnoszary, szary i ciemnoszary. Przełam jest najczęściej jednokolorowy. Powierzchnia zewnętrza i wewnętrzna jest gładka, z widocznymi na niej śladami toczenia i zagładzania. Na wielu fragmentach ceramiki tej grupy zanotowano ślady niedosiwienia

[6] Jasiński 1981: 14–16 (590–592).

w postaci rudawych plam na powierzchni naczynia lub rudawych przełamów, będących wynikiem nieprawidłowo przeprowadzonego procesu redukcji. Może to świadczyć o nieopanowanej technice wypału redukcyjnego.

Grupa tej ceramiki jest najliczniejszą w zbiorze z grodziska w Grabinie. Znaleziono jej łącznie 1566 fragmentów, co stanowi około 68% całego zbioru. Tego typu materiał ceramiczny, tzw. ceramikę „siwą", można datować na pełne średniowiecze. Chronologicznie najczęściej ten rodzaj ceramiki występuje od połowy XIII do końca XV w.

GTS-3. Ceramika „siwa" stołowa. Ceramika wykonana z dobrze wyrobionej masy ceramicznej z małą ilością drobnej domieszki schudzającej – startego piasku. Grubość ścianki wynosi około 3–6 mm (średnio około 4 mm). Wypał jest mieszany – początkowo zapewne przeprowadzany w atmosferze utleniającej, a kończy się krótką fazą w atmosferze redukcyjnej. W ten sposób kolor ścian jest ciemnoszary i grafitowy, a przełam, pomimo względnie cienkich ścian naczyń, jest najczęściej trójkolorowy, rzadziej jednokolorowy.

Grupa tej ceramiki tworzy trzecią najliczniejszą w zbiorze z grodziska w Grabinie. Znaleziono jej łącznie 147 fragmentów, co stanowi około 6,4% całego zbioru. Tego rodzaju materiał ceramiczny można datować na pełne średniowiecze, od połowy XIII do końca XV w.

GTS-4. Ceramika ceglasta. Ceramika wykonana z dobrze wyrobionej masy ceramicznej z małą ilością drobnej domieszki schudzającej – startego piasku. Grubość ścianki wynosi około 3–5 mm. Wypał jest utleniający. Kolor ścian jest pomarańczowy, a przełam jednokolorowy. Powierzchnia zewnętrza jest gładka, wewnętrzna jest gładka z widocznymi na niej śladami toczenia i zagładzania. Nie zaobserwowano śladów polewy.

Grupa tej ceramiki jest najmniej liczna w zbiorze z grodziska w Grabinie. Znaleziono jej łącznie 24 fragmenty, co stanowi około 1% całego zbioru. Tego rodzaju materiał ceramiczny można datować na późne średniowiecze. Pojawia się on około połowy XV w. i szybko zdobywa popularność, tak że do początku XVI w. dominuje na tych obszarach nad ceramiką „siwą"[7].

W trakcie badań znaleziono także jeden fragment ceramiki o barwie żółto-ceglastej i wybłyszczonej powierzchni, którą można datować na wczesną epokę żelaza lub okres wpływów rzymskich. Znajdował się on na wtórnym złożu, w zasypisku piwniczki, które powstało prawdopodobnie w drugiej połowie XV w. Obecność takiej ceramiki może oznaczać, że na obszarze grodziska miała miejsce w przeszłości jakaś forma starszego osadnictwa.

Pomimo, że w badanym zbiorze ceramiki duża część jest silnie rozdrobniona (61,7% fragmentów ma poniżej 4 cm średnicy; tab. 4), udało się wytypować 880 fragmentów (38,2% całego zbioru), które posiadają jakikolwiek element diagnostyczny. Elementy diagnostyczne sklasyfikowano według typologii przedstawionej poniżej. Na zbiór ten składają się 254 fragmenty wylewów naczyń (48 fragmentów z GTS-1, co stanowi 8,5% tej grupy; 183 fragmenty z GTS-2, co stanowi 11,7% tej grupy; 14 fragmentów z GTS-3, co stanowi 9,5% tej grupy; 9 fragmentów z GTS-4, co stanowi 37,5% tej grupy), 31 fragmentów pokrywek (10 fragmentów z GTS-1, co stanowi 1,7% tej grupy; 20 fragmentów z GTS-2, co stanowi 1,3% tej grupy; 1 fragment z GTS-3, co stanowi 0,7% tej grupy), 66 fragmentów den (18 fragmentów z GTS-1, co stanowi 3,2% tej grupy; 43 fragmenty z GTS-2, co stanowi 2,7% tej grupy; 4 fragmentów z GTS-3, co stanowi 2,7% tej grupy; 1 fragment z GTS-4, co stanowi 4,1% tej grupy) i 529 fragmentów zdobionych brzuśców (96 fragmentów z GTS-1, co stanowi 17% tej grupy; 373 fragmenty z GTS-2, co stanowi 23,8% tej grupy; 53 fragmenty z GTS-3, co stanowi 36% tej grupy; 7 fragmentów z GTS-4, co stanowi 29,1% tej grupy).

Typologia naczyń

Typ 1 – naczynia z wylewem wychylonym na zewnątrz i zaopatrzonym w okap, zazwyczaj wiązane z ceramiką kuchenną (garnkami, rzadziej dzbankami), charakterystyczne dla późnego średniowiecza (4. ćwierć XIII – XIV/XV w.), ale pojawiające się już w wieku XII[8]:

- odmiana A: krawędź wylewu lekko pogrubiana, wyoblona, nie utrzymująca stałego kształtu profilu na całym jego obwodzie, po stronie zewnętrznej słabo wykształcony okap, po stronie wewnętrznej wrąb na pokrywkę (tabl. 1:1, 4; 5:3);
- odmiana B: krawędź wylewu pogrubiana, wyprofilowana w kształt zbliżony do litery „T", po stronie zewnętrznej okap, strona wewnętrzna zasadniczo nieprzystosowana do pokrywki, tylko sporadycznie występuje wrąb (tabl. 3:1, 3; 14:1, 5);
- odmiana C: krawędź wylewu nie pogrubiana, silnie wyoblona, po stronie zewnętrznej okap, po stronie wewnętrznej brak wrębu na pokrywkę (tabl. 1:15; 3:7; 6:10);
- odmiana D: krawędź wylewu nie pogrubiana, ścięta na zewnątrz, po stronie zewnętrznej okap, po stronie wewnętrznej brak wrębu na pokrywkę (tabl. 2:2; 3:5; 5:8; 6:11);
- odmiana E: krawędź wylewu pogrubiana, ścięta na płasko, po stronie zewnętrznej okap, po stronie wewnętrznej dość często występuje wrąb na pokrywkę (tabl. 2:3; 3:8; 4:4; 5:1, 5);
- odmiana F: krawędź wylewu lekko pogrubiana, po stronie zewnętrznej podwójny okap, strona wewnętrzna zasadniczo nieprzystosowana do pokrywki (tabl. 5:7; 6:3, 12, 14);

[7] Marcinkowski 2013: 245–247.

[8] Faza V wg Polińskiego 1996: 45, 118, 167–181.

Tabela 3. Zestawienie ilościowe fragmentów ceramiki z grodziska w Grabinie, st. 1 (oprac. R. Solecki)

Faza	Jednostka stratygraficzna	Liczba fragmentów łącznie	Liczba różnych naczyń	Wylewy			Szyjki	Brzuśce							Ucha	Części przydenne	Dna							Fragmenty przepalone	Fragmenty o wypłukanej powierzchni	Chronologia			Uwagi	Grupy technologiczno-surowcowe					Typologia			
				Liczba fragmentów	SEN (procent obwodu)	Ornamentowane		Liczba fr. ogółem	Rodzaj powierzchni					Przepalone	Ornamentowane			Liczba fragmentów	SEN (procent obwodu)	Rodzaj			Wałek dookolny	Podsypka			Wczesna epoka żelaza	Wczesne średniowiecze	Późne średniowiecze		Tradycyjna	„Siwa", typ A	„Siwa", typ B	Ceglasta	Inne	Wylew	Pokrywka	Dno	Ornament
									Chropowacone	Gładkie	Wyświecane	Szorstkie	Nieokreślone							Wklęsłe	Lekko wklęsłe	Płaskie																		
I	19	18	5	4	19			15		9		6		3	5										3	3		6	12		6	12				WIA (śr. 32 cm), WIC (śr. 16 cm), WIIB (śr. 12 cm)	PIIA (śr. 12 cm)	-	OIA (1), OIB (3), OIIIC (1)
II	5	11	4	2	15			8		8	2							1	5			1		1				1	4	6			WIA (1)	PIIIA (śr. 18 cm)	DIA (śr. 12 cm)	OIIA (2)
II	12	56	11	7	28			44		22	1	22		11	13	2	2	1	5		1			1	13	12		20	36	Fr. naczyń niedosiwionych	20	29	5	2		WIA (2), WIB (śr. 28 cm), WIE (1), WIIA (1), WIIB (śr. 14 cm), WIIIA (śr. 17 cm)	-	DIIIC (1)	OIA (5), OIB (3), OIC (1), OIIA (1), OIIIC (2), OIV (2)
II	17	41	10	5	27			32	8	14	2	18		1	8		2	2	25			2		1	1	15		8	33		8	31	2			WIA (śr. 13 cm), WIIA (śr. 10 cm), WIIIB (śr. 32 cm)	PIB (1), PIIIA (śr. 16 cm)	DIA (śr. 10 cm)	OIA (1), OIB (2), OIC (3), OIIA (2), OIIIA (1), OIV (1)
II	20	13	5	1	5			11		8		3		4	4		1								4	3		3	10		3	10				WIA (śr. 24 cm)	-	-	OIA (2), OIB (1), OIIIA (1)
III	4	96	17	18	52	1	1	71		49	1	22		9	31	1	1	5	8		3	1		5	9	16		27	69		27	66	3			WIA (1), WIB (1), WIB (śr. 23 cm), WIC (śr. 15, 18 cm), WID (1), WID (śr. 16 cm), WIE (1), WIE (śr. 18 cm), WIIB (2), WIIB (śr. 15 cm), WIIC (śr. 10 cm), WIIIC (1)	PIA (1), PIIB (śr. 14 cm)	DIA (2)	OIA (2), OIB (17), OIC (4), OIIA (1), OIIIA (2), OIIC (1), OIV (5)
III	7	45	11	5	12			36		36				2	21			4	45		3	1		4	1	12		3	42			44	1			WIA (śr. 20 cm), WID (śr. 10 cm), WIE (śr. 18 cm), WIIID (śr. 12 cm)	PIA (1)	DIIIA (śr. 12, 15 cm), DIIIC (śr. 13 cm)	OIA (5), OIB (3), OIC (6), OID (3), OIE (1), OIIIA (3), OIIIB (1), OIIIJ (1), OIV (1)
III	9	1	1					1				1																1			1					-	-	-	-
III	11	1	1					1		1					1														1			1				-	-	-	OIC (1)
IV	2	226	28	29	48	1		181		132	7	49		21	37	1	2	14	35		3	2		13	25	8		68	158	Fr. naczyń niedosiwionych	68	135	20	3		WIA (2), WIB (3), WIC (2), WID (3), WIE (3), WIE (śr. 16 cm), WIIB (śr. 13 cm), WIID (śr. 11cm), WIIE (3), WIIIA (1), WIIIC (1), WIIID (2)	PIIIA (1)	DIA (1), DIA (śr. 9 cm), DIC (1), DIIIA (śr. 10 cm), DIIIC (1)	OIA (4), OIB (18), OIC (2), OIE (2), OIIA (3), OIIA (3), OIIC (1), OIIIA (1), OIIIG (2), OIIIH (1), OIV (9)
IV	13	57	9	10	25	1		42		25	3	17		16	9		2	3			1			3	26	1		23	34	Fr. naczyń niedosiwionych	23	29	5			WIB (2), WIB (śr. 24 cm), WIC (1), WIE (1), WIG (1), WIID (1), WIIIA (2)	-	DIIIA (1)	OIA (2), OIB (4), OID (2), OIIA (3), OIIIB (1), OIIID (3)
IV	14	91	16	17	71	2		68		37	4	30	1	19	17	1	1	3	35		2	1		4	28	10		36	55	Fr. naczyń niedosiwionych	36	42	12	1		WIA (1), WIB (śr. 15 cm, śr. 20 cm), WIC (1), WID (2), WIE (1),WIF (1), WIH (śr. 22 cm), WIIA (śr. 17 cm), WIIB (2), WIIB (śr. 13 cm), WIIE (1), WIVC (1)	-	DIIIC (śr. 8 cm)	OIA (5), OIB (12), OIC (3), OID (1), OIIA (2), OIIIC (1), OIIID (2), OIV (1)
IV	15	22	6	4	18			16		6		10		4	5	1		1	12			1		1	5	5		6	16		6	10	6			WIA (1), WIA (śr. 14 cm), WIE (1)	PIIIA (1)	DIB (śr. 10 cm)	OIB (1), OID (1), OIIIA (3)
IV	16	143	22	14	44	1	1	120		74	5	48		21	34			8	5	1	1		1	8	27	14		56	87	Fr. naczyń niedosiwionych	56	75	12			WIA (1), WIA (śr. 28 cm), WIB (2), WIC (1), WIC (śr. 16 cm), WIE (1), WIE (śr. 19 cm), WIG (1), WIIIC (1)	PIIIA (1)	DIIA (śr. 16 cm), DIIIA (1)	OIA (5), OIB (14), OIC (6), OID (1), OIIA (4), OIIIC (1), OIIID (1), OIV (4), OV (2)
IV	29	262	22	44	55		3	196		151	1	45		24	51	3	6	10	5		2	3		10	32			61	201	Fr. naczyń niedosiwionych	56	196	8	2		WIA (3), WIB (5), WIC (2), WID (6), WIE (8), WIE (śr. 16 cm), WIE (1), WIIB (4), WIIB (śr. 11 cm), WIIIA (4)	PIIIA (4)	DIA (2), DIC (1)	OIA (8), OIB (23), OIC (4), OID (1), OIIA (1), OIIIA (4), OIIIC (1), OIIID (2), OIIIG (1), OIV (7)
IV	30	44	10	7	22			33		20		13		6	7		1	3	15					3	6	3		14	30	Fr. naczyń niedosiwionych	14	24	6			WIA (śr. 13 cm), WIB (1), WIC (2), WIIC (1), WIIE (1), WIVB (1)	-	DIA (1), DIC (2)	OIA (1), OIB (2), OIC (1), OIIIH (1), OIV (2)
IV	31	55	7	4	12			50		36	1	14		6	17			1	20		1			1	7			15	40		15	31	9			WIIB (2), WIIIC (1)	PIIA (1)	DIIIB (śr. 12 cm)	OIB (8), OIIA (1), OIIID (1), OIIIF (1), OIV (3), OV (1)

Tabela 3. Ciąg dalszy

Faza	Jednostka stratygraficzna	Liczba fragmentów łącznie	Liczba różnych naczyń	Wylewy			Szyjki	Brzuśce							Ucha	Części przydenne	Dna						Fragmenty przepalone	Fragmenty o wypłukanej powierzchni	Chronologia			Uwagi	Grupy technologiczno-surowcowe					Typologia			
				Liczba fragmentów	SEN (procent obwodu)	Ornamentowane		Liczba fr. ogółem	Rodzaj powierzchni					Przepalone	Ornamentowane			Liczba fragmentów	SEN (procent obwodu)	Rodzaj			Wałek dookolny	Podsypka			Wczesna epoka żelaza	Wczesne średniowiecze	Późne średniowiecze		Tradycyjna	„Siwa”, typ A	„Siwa”, typ B	Ceglasta	Inne	Wylew	Pokrywka	Dno	Ornament
									Chropowacone	Gładkie	Wyświecane	Szorstkie	Nieokreślone							Wklęsłe	Lekko wklęsłe	Płaskie																
IV	32	451	47	71	170		1	330		260	10	70		4	69	3	14	32	87		10	3		27	4			82	369	Fr. naczynia niedosiwionego	82	352	11	6		WIA (4), WIB (8), WIB (śr. 18 cm), WIC (3), WIC (śr. 12 cm), WID (3), WID (śr. 11 cm), WIE (4), WIE (śr. 12 cm), WIE (1), WIF (1), WIIB (6), WIIB (śr. 13 cm), WIIE (1), WIIE (śr. 10, 22 cm), WIIF (1), WIIG (1), WIIH (śr. 14 i 16 cm), WIIIA (6), WIIIA (śr. 13 cm)	PIC (1), PIIIA (3), PGI (1)	DIA (3), DIC (śr. 9 cm), DIIIA (5), DIIIA (śr. 7, 13, 15, 25 cm), DIIIC (śr. 14 cm)	OIA (14), OIB (26), OIC (3), OIE (2), OIIA (12), OIIIA (3), OIIIB (1), OIIIC (1), OIIID (2), OIIIE (1), OIIIF (2), OIV (5)
IV	34	6	2					6		6					1										5			6			6					-	-	-	OIV (1)
IV	36	15	5	3	13			7		1		6		1	1		2	3	25		3			3	1	6		2	13	Fr. naczynia niedosiwionego	2	12	1			WIC (1), WIH (1), WIIIA (1)	-	-	OIIIC (1)
IV	38	159	20	19	70	1	1	112		105	2	8		16	38	1	2	24	116		5	8		19	15			10	149	Fr. naczynia niedosiwionego	10	144		5		WIA (3), WIB (śr. 12, 22, 22 cm), WIC (1), WID (śr. 15 cm), WIE (3), WIG (śr. 24 cm), WIH (śr. 12 cm), WIID (1), WIIF (1)	PIIIA (3), PGI (śr. 4 cm)	DIA (1), DIA (śr. 5, 15 cm), DIC (2), DIIA (1), DIIIA (1), DIIIB (śr. 9 cm)	OIA (9), OIB (14), OIC (2), OID (2), OIIA (5), OIIIA (3), OIIIB (2), OIIIC (1), OIIID (2), OIIIF (1), OIV (6)
IV	39	87	10	9	41			62		60	1	2		4	10		6	9	35		3	1		9	6			3	84		3	82	2			WIB (śr. 19 cm), WIB (2), WIIIA (1), WIIIA (śr. 13 cm)	PIIIA (1)	DIA (śr. 13 cm), DIC (1), DIIIA (śr. 19 cm), DIIIC (1)	OIA (1), OIB (4), OIC (2), OIIA (1), OIIIA (1), OIIIG (1)
IV	40	48	6	6	58		1	33		29		4		3	12	1	3	4	50		1	3		4	3			4	44		4	44				WIA (2), WIC (śr. 15 cm), WIE (śr. 13 cm), WIIB (1)	PIIIA (1)	DIC (śr. 6 cm)	OIA (2), OIB (5), OID (1), OIIB (1), OIIIC (2), OV (1)
IV	41	27	6	5	65	1		20		20				3	3			2	13			2		2	4	5			27			22	5			WIC (śr. 13 cm), WIE (śr. 13 cm)	PIIA (śr. 13 cm)	DIA (śr. 20 cm)	OIB (3), OID (1), OIIIA (1), OIIID (1)
IV	42	19	5					14		13		1		2	1		2	3	8		1	1		3	2			3	16		3	11	4	1		-	-	DIA (1)	-
V	1	309	31	47	113	1	1	231		136	8	95	9	50	74	2	10	18	105		6	3		18	65	27	1	121	187	Fr. naczyń niedosiwionych	121	154	29	4	1	WIA (2), WIB (5), WIC (4), WIC (śr. 18 cm), WID (3), WID (śr. 17 cm), WIE (3), WIF (2), WIH (1), WIH (2), WIIA (1), WIIB (1), WIIB (śr. 13 cm, 13 cm), WIIC (1), WIID (śr. 13 cm), WIIIA (1), WIIIC (1), WIIIC (śr. 12 cm), WIIID (2), WIVA (1)	PIIA (1), PIIIA (4)	DIA (3), DIA (śr. 9 cm, 12 cm), DIB (1), DIIIA (5), DIIIA (śr. 11 cm)	OIA (21), OIB (30), OIC (3), OID (3), OIE (1), OIIA (8), OIIIC (2), OIIID (2), OIIIH (1), OIV (9), OV (1)
SUMA		**2303**	**317**	**331**	**983**	**9**	**9**	**1740**	**8**	**1258**	**48**	**484**	**10**	**230**	**469**	**16**	**57**	**151**	**654**	**1**	**46**	**33**	**1**	**140**	**287**	**145**	**1**	**573**	**1729**		**565**	**1566**	**147**	**24**	**1**				

Tabela 4. Fragmentacja i erozja fragmentów ceramiki z grodziska w Grabinie, st. 1 (oprac. R. Solecki)

Faza	Jedn. strat.	Kategorie wielkościowe [cm]													Stopień erozji				Suma
		1	2	3	4	5	6	7	8	9	10	11	12	13	0	I	II	III	
I	19		2	10	1	4		1								7	11		**18**
II	5			3	1											4			**4**
II	12		15	9	10	2									2	9	24	1	**36**
II	17		10	12	14		3	1	1							16	23	2	**41**
II	20		3	5	2	1	1	1							2	7	4		**13**
III	4	5	30	25	14	9	10	2	1						4	42	43	7	**96**
III	7		11	11	16	4	1	1	1						1	27	17		**45**
III	9		1													1			**1**
III	28		7	7	4	2										12	7	1	**20**
IV	2	10	92	65	42	8	8		1						10	38	173	5	**226**
IV	13	1	19	26	7	2		1	1							11	44	2	**57**
IV	14	1	20	30	24	6	7	2		2					1	22	68	1	**92**
IV	15		12	5	3	1	1								1	8	13		**22**
IV	16	5	58	53	17	6		1	2	1						31	109	3	**143**
IV	29	6	54	105	58	23	11	4	1						6	44	212		**262**
IV	30		12	14	7	5	3	1	2						1	14	29		**44**
IV	31	5	28	16	4	1	1									17	38		**55**
IV	32	8	89	144	104	60	23	14	5	2	1	1			14	129	303	5	**451**
IV	34		4	2												2	4		**6**
IV	36		2	4	5	2	1	1								2	13		**15**
IV	38	1	25	29	33	30	21	11	3	2	3	1			25	42	92		**159**
IV	39	1	16	27	16	14	7		2		2	1		1		27	60		**87**
IV	40		2	9	17	8	4	4		2	1	1			8	19	21		**48**
IV	41		3	16	5		2			1					7	9	11		**27**
IV	42			7	4	3	2		1	1			1		5	9	5		**19**
V	1	12	108	109	64	19	1	1	2						12	65	236	3	**316**
Suma		**55**	**623**	**743**	**472**	**210**	**107**	**46**	**23**	**11**	**7**	**4**	**1**	**1**	**99**	**614**	**1560**	**30**	**2303**

- odmiana G: krawędź wylewu pogrubiana, silnie wychylona na zewnątrz, po stronie zewnętrznej słabo wykształcony okap, po stronie wewnętrznej brak wrębu na pokrywkę (tabl. 4:3);
- odmiana H: krawędź wylewu pogrubiana, lekko wyoblona, po stronie zewnętrznej słabo wykształcony okap / załom przechodzący w szyjkę, strona wewnętrzna zasadniczo nieprzystosowana do pokrywki (tabl. 4:2; 6:1).

Typ 2 – naczynia o wylewie nawiązującym do tradycyjnych form esowatych, bez okapu, występujące w wielu formach naczyń, głównie garnków, charakterystyczne zarówno dla wczesnego, jak i dla późnego średniowiecza:

- odmiana A: krawędź wylewu lekko pogrubiana, wyoblona, po stronie wewnętrznej wrąb na pokrywkę, szyjka relatywnie długa (tabl. 1:6; 6:15);
- odmiana B: krawędź wylewu lekko pogrubiana, wyoblona, po stronie wewnętrznej wrąb na pokrywkę, szyjka krótka (tabl. 1:5; 3:4; 5:2);
- odmiana C: krawędź wylewu lekko pogrubiana, wychylona na zewnątrz i ścięta pionowo, strona wewnętrzna zasadniczo nieprzystosowana do pokrywki (tabl. 3:2);
- odmiana D: krawędź wylewu lekko pogrubiana, w formie krótkiego cylindra ściętego u góry na płasko, powierzchnia zewnętrzna wylewu często pokryta ornamentem linii falistej, strona wewnętrzna zasadniczo nieprzystosowana do pokrywki (tabl. 6:2, 6, 17);
- odmiana E: krawędź wylewu pogrubiana, w przekroju zbliżona do kwadratu, strona wewnętrzna zasadniczo nieprzystosowana do pokrywki (tabl. 5:4, 9; 6:4, 5);
- odmiana F: krawędź wylewu pogrubiana, od góry ścięta na płasko, w przekroju zbliżona do wałka ściętego u góry na płasko, strona wewnętrzna zasadniczo nieprzystosowana do pokrywki (tabl. 5:10; 6:16);
- odmiana G: krawędź wylewu pogrubiana, od góry ścięta na płasko, w przekroju zbliżona do wałka, strona wewnętrzna zasadniczo nieprzystosowana do pokrywki (tabl. 5:11; 6:18);
- odmiana H: krawędź wylewu nie pogrubiana, od góry ścięta na płasko, strona wewnętrzna zasadniczo nieprzystosowana do pokrywki, szyjka krótka (tabl. 5:6).

Typ 3 – naczynia o wylewach wychylonych na zewnątrz, bez wyodrębnionej szyjki i brzuśca – tzw. formy jednoelementowe (zbliżone do grupy AVI wg Buko)[9] – interpretowane jako misy, miski lub kubki:

[9] Buko 1990b: 279–281.

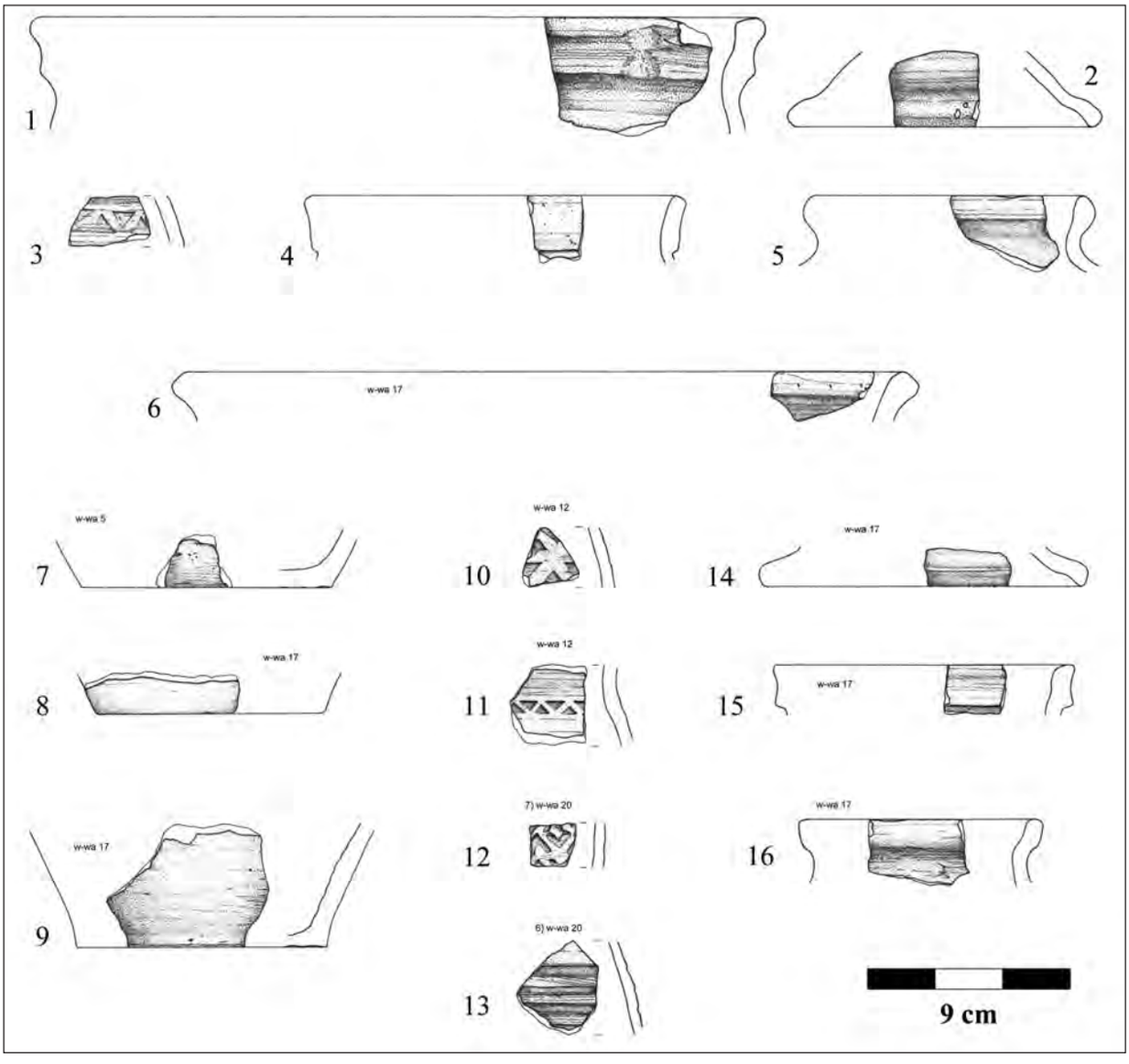

Tablica 1. Grabin, st. 1. Ceramika z nawarstwień Fazy I (1–5 – z warstwy 19) i Fazy II (6–16 z warstw 5, 12, 17 i 20) (rys. B. Karch i D. Wach)

- odmiana A: krawędź wylewu nie pogrubiana, wyoblona (tabl. 2:7–8; 3:6; 5:12–13);
- odmiana B: krawędź wylewu lekko pogrubiana, ścięta na zewnątrz (tabl. 1:6);
- odmiana C: krawędź wylewu lekko pogrubiana, ścięta na płasko (tabl. 5:14; 6:13);
- odmiana D: krawędź wylewu lekko pogrubiana, wyoblona i lekko wywinięta na zewnątrz (tabl. 2:1; 5:15; 6:19).

Typ 4 – naczynia bez wyodrębnionego wylewu – prawdopodobnie tzw. formy dwuelementowe (zbliżone do grupy AVI wg Buko)[10]:

- odmiana A: górna krawędź pogrubiana, ścięta na płasko (tabl. 6:20);
- odmiana B: górna krawędź lekko pogrubiana, lekko wywinięta na zewnątrz ścięta pionowo;
- odmiana C: górna krawędź lekko pogrubiana, wyoblona.

Ornamentyka naczyń

Typ 1: ornament ryty cienkim rylcem, grzebykiem lub patyczkiem:

- odmiana A: dookolne rowki; wąskie (1–2 mm), płytkie, jeden przy drugim o krawędzi lekko zaznaczonej (tabl. 2:4–6);

[10] Buko 1990b: 276–277.

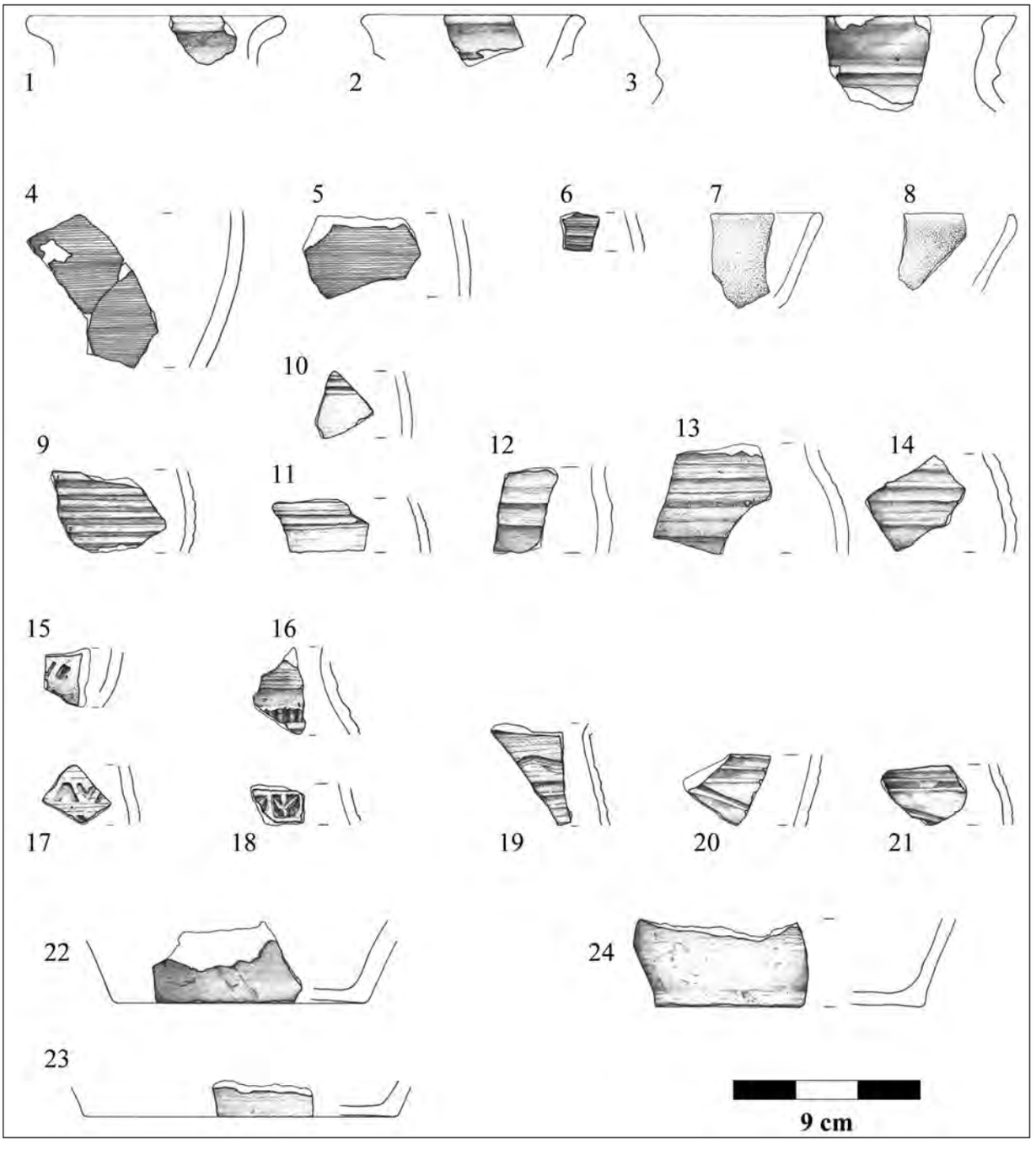

Tablica 2. Grabin, st. 1. Ceramika z nawarstwień Fazy III (z warstwy 7) (rys. B. Karch i D. Wach)

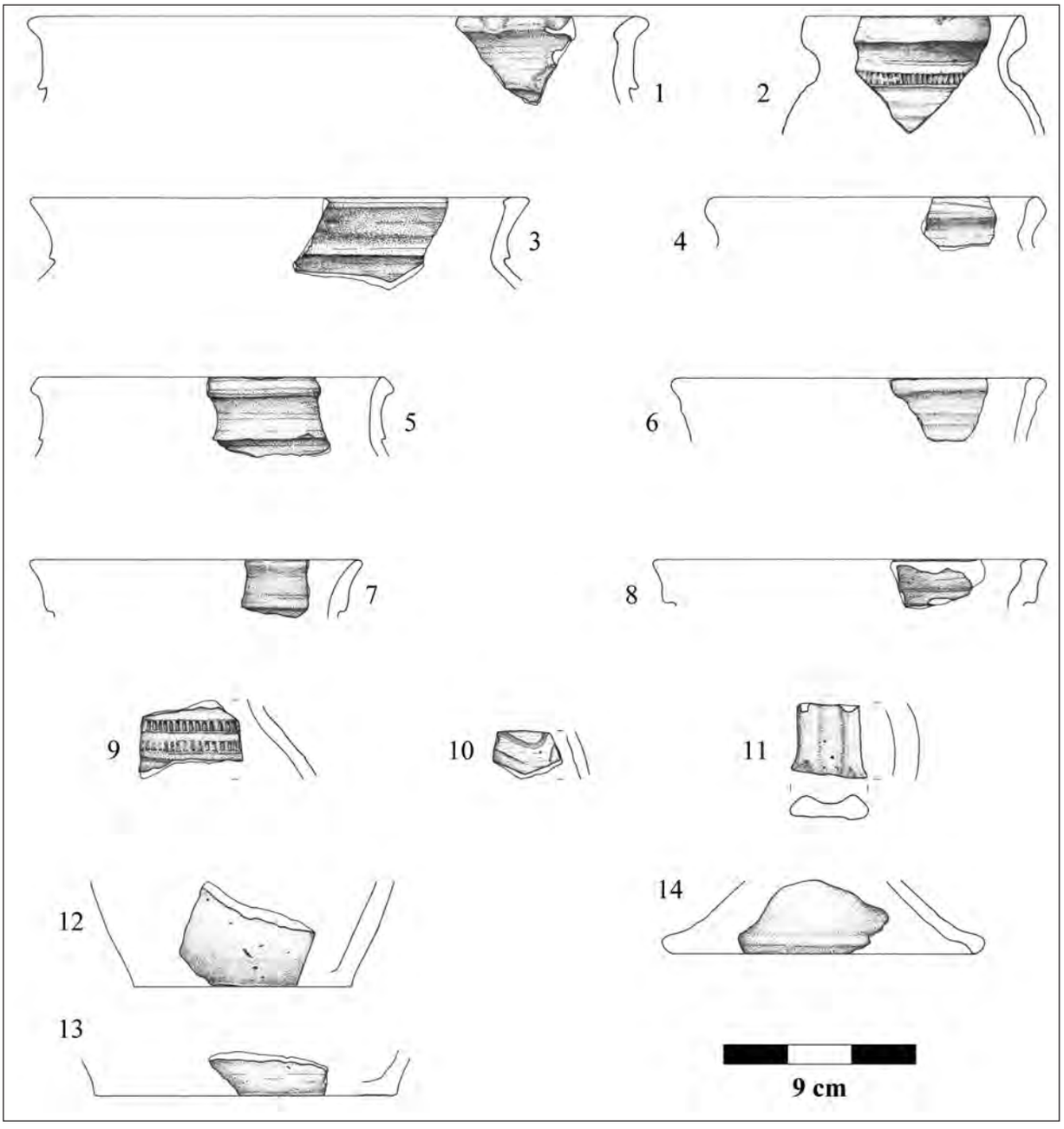

Tablica 3. Grabin, st. 1. Ceramika z nawarstwień Fazy III (z warstwy 4 i 28) (rys. B. Karch i D. Wach)

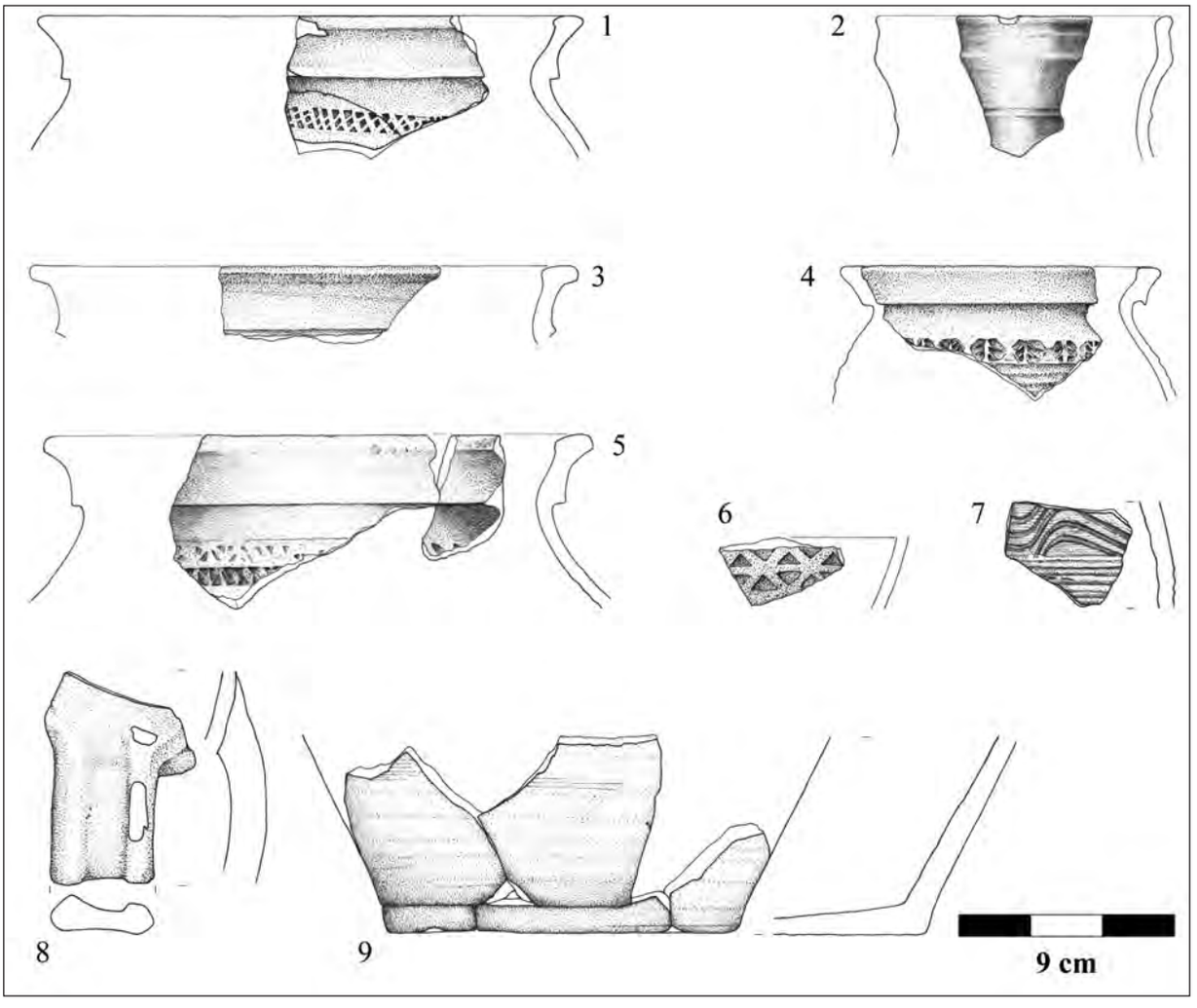

Tablica 4. Grabin, st. 1. Ceramika z nawarstwień Fazy IV (z warstwy 38) (rys. B. Karch i D. Wach)

- odmiana B: dookolne rowki; wąskie (2–3 mm), płytkie, jeden przy drugim o krawędzi wyoblonej, w przekroju kształt sinusoidy (tabl. 1:13; 2:9–10; 6:24);
- odmiana C: dookolne rowki; wąskie (2–3 mm), płytkie, o wyraźnej krawędzi, występujące w wyraźnych odstępach od siebie (5–15 mm) (tabl. 2:11–14);
- odmiana D: dookolna linia falista; wąska (2–3 mm), płytka linia o wyraźnej krawędzi, wysokość sinusoidy powyżej 1 cm (tabl. 2:19–21; 3:10; 4:7; 6:23);
- odmiana E: dookolny pas wąskich na około 1 mm linii skośnych, długości około 1 cm, o jednym końcu wyraźnym, głębokim, a drugim wypłycającym się i zanikającym (tabl. 2:15; 5:18).

Typ 2: wyświecanie:
- odmiana A: wyświecanie pokrywa całą powierzchnię;
- odmiana B: nieregularne wyświecane linie na powierzchni zewnętrznej;
- odmiana C: regularne wzory geometryczne stworzone z wyświecanych linii.

Typ 3: stempelkowy:
- odmiana A: stempelek w kształcie litery „V" odbijany tuż obok siebie i obracany o 180°, tworzący dookolne, 2–3 rzędowe pasy (tabl. 1:12; 2:17);
- odmiana B: stempelek w kształcie stylizowanego drzewa iglastego, odbijany w polach o średnicy około 1 cm tuż obok siebie i tworzący dookolny pas (tabl. 4:4; 5:19);
- odmiana C: stempelek w kształcie trójkąta równoramiennego (podstawa około 6–8 mm, ramiona około 4–5 mm), odbijany obok siebie i tworzący dookolne, 1–3 rzędowe pasy (tabl. 1:3, 10–11; 4:6);
- odmiana D: stempelek w kształcie małych trójkątów i rombów (bok długości około 5–8 mm), odbijanych obok siebie i tworzących zwarty, dookolny pas (tabl. 4:1; 5:20);

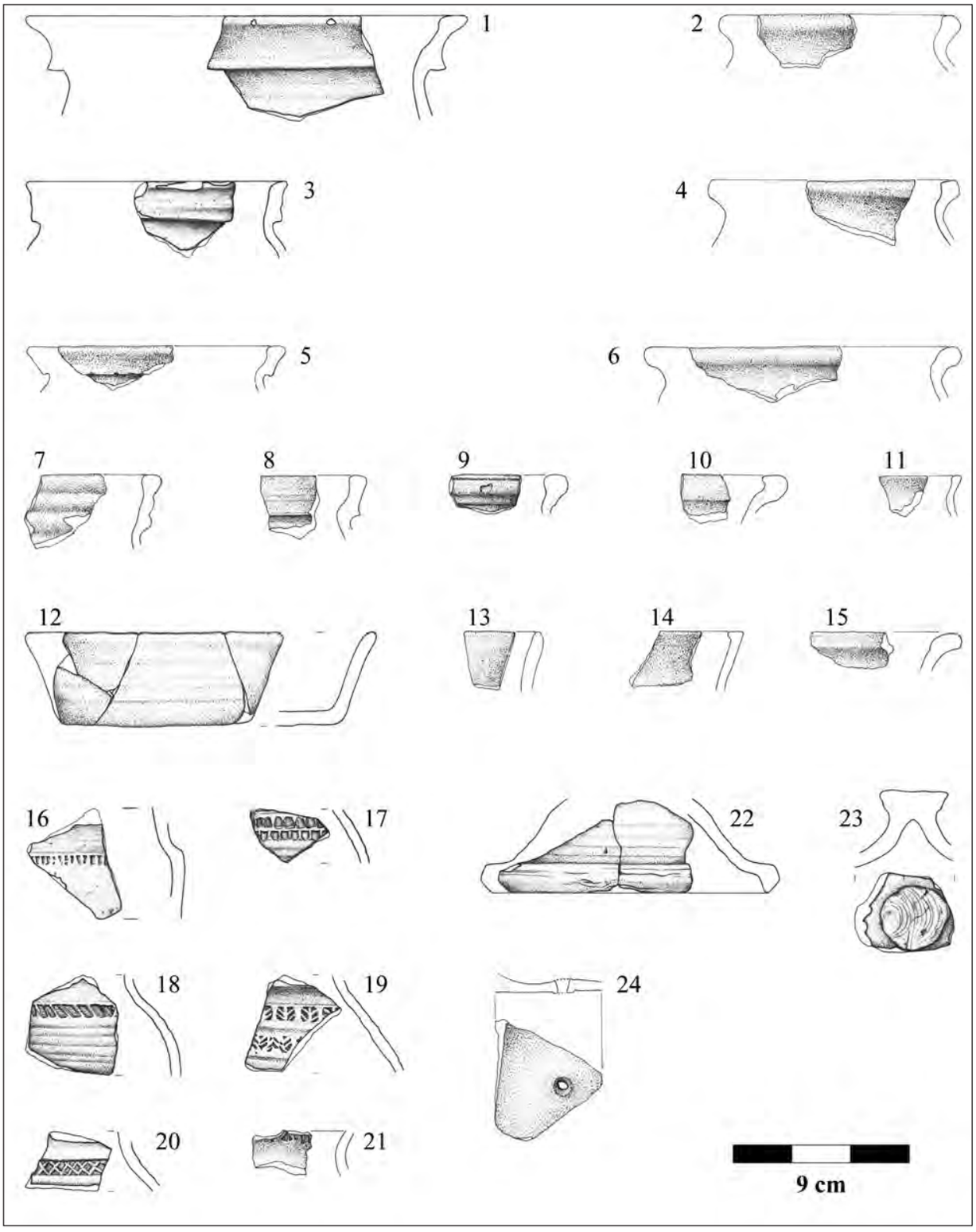

Tablica 5. Grabin, st. 1. Ceramika z nawarstwień Fazy IV (z warstw 29, 30 i 32) (rys. B. Karch i D. Wach)

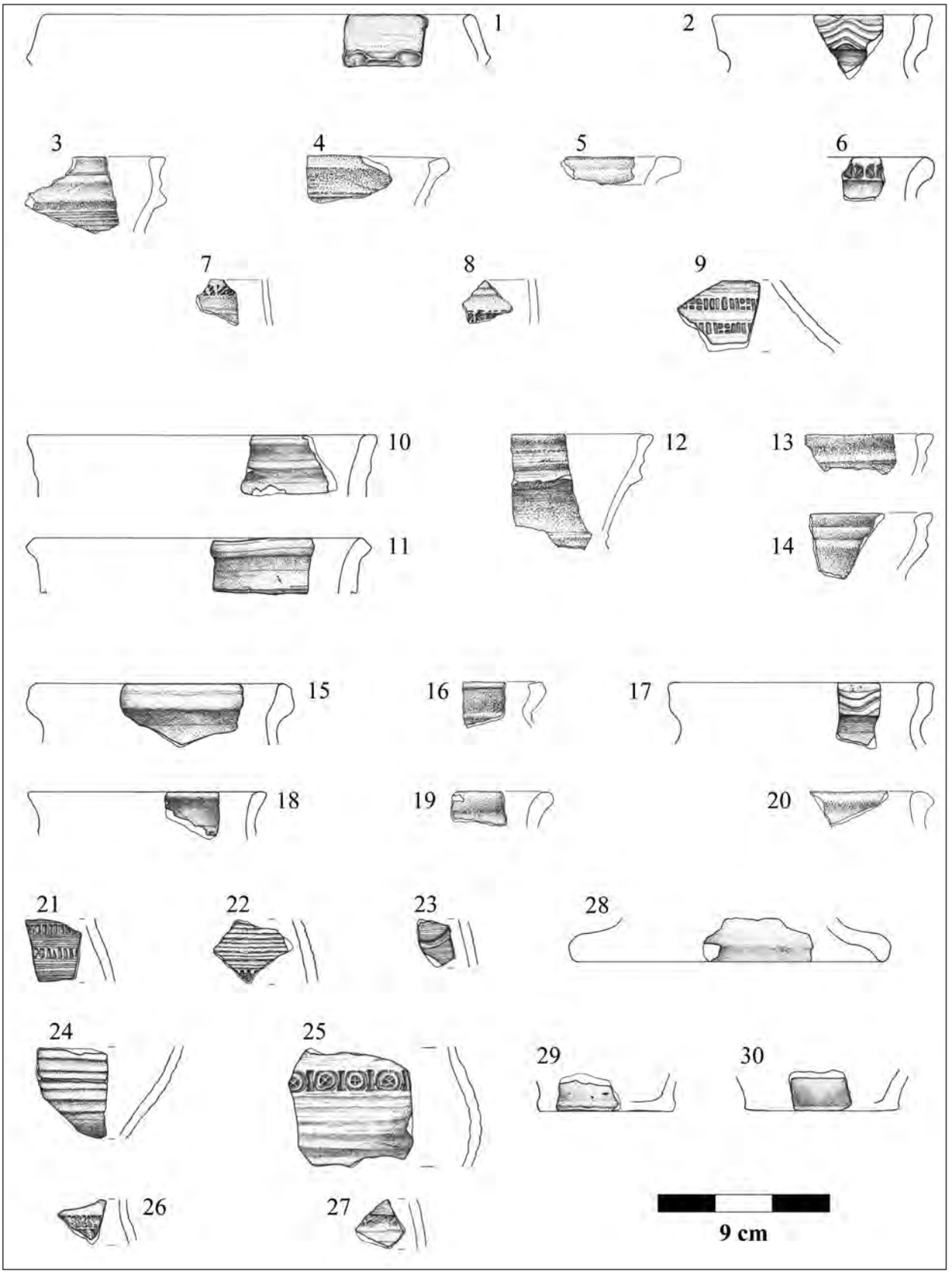

Tablica 6. Grabin, st. 1. Ceramika z nawarstwień Fazy IV (1–9 – z warstw 2, 13, 14 i 16) i V (10–30 – z warstwy 1) (rys. B. Karch i D. Wach)

- odmiana E: stempelek w kształcie małej, kolistej rozetki (śr. ok. 1 cm) wykonanej z małych trójkącików (tabl. 5:21);
- odmiana F: ornament w formie mikrotrójkącików o boku 1,5 mm ustawionych w linii w odstępach 1,5 mm od siebie, w linii dookolnej;
- odmiana G: stempelek w kształcie kwadratu lub prostokąta przeciętego po skosie jedną lub dwoma kreskami (tabl. 4:5; 6:7–8, 27);
- odmiana H: stempelek wykonany za pomocą monety – brakteata (tabl. 6:25);
- odmiana I: stempelek w kształcie kwadratu z wpisanym „złamanym krzyżem" (tabl. 2:18).

Typ 4: stempelkowy lub radełkowy – w formie pionowych rowków lub prostokątów ustawionych obok siebie i tworzących dookolny pas, pojedynczy lub podwójny (tabl. 2:16; 3:2, 9; 5:16–17; 6:9, 21–22, 26).
Typ 5: plastyczny – w formie dookolnego grzbietu na powierzchni brzuśca uformowanego z tej samej gliny co brzusiec (nie doklejany), szerokości około 5–7 mm i wysokości około 1–2 mm.

Zestawienie liczby fragmentów naczyń przypisanych do poszczególnych wydzielonych typów przedstawiają poniższe tabele (tab. 5–6).

Ponad 94% odnalezionych fragmentów pochodziło ze złoża wtórnego – około 86% z zasypiska piwniczki zbudowanej we wkopie 51 / 55 i około 8% z niwelacji tworzących *plateau* majdanu. Materiał ceramiczny odnaleziony w nienaruszonych jednostkach stratygraficznych stanowi więc tylko około 6% całego zbioru. Oznacza to, że znakomitą większość zbioru stanowi przemieszany materiał reprezentujący typy, które występują zarówno w całym okresie funkcjonowania grodu, jak i w okresie poprzedzającym jego powstanie, który to okres obejmuje około 250 lat.

Wśród diagnostycznych wylewów, których zbiór liczy 254 fragmenty, zdecydowaną większość tworzą wylewy zaopatrzone w okap (Typ 1), których jest 168 fragmentów (około 66,1% określonego zbioru wylewów). Co więcej, typ ten dominuje w obrębie każdej wydzielonej grupy technologiczno-surowcowej. Dla ceramiki „tradycyjnej" jest to około 68,7% zbioru wylewów diagnostycznych tej grupy, dla ceramiki „siwej" kuchennej jest to około 64%, dla ceramiki „siwej" stołowej jest to około 78,6%, a dla ceramiki ceglastej jest to około 77,8%. To, w połączeniu z faktem, że w obrębie diagnostycznych wylewów ceramiki „tradycyjnej" występuje relatywnie mało naczyń esowatych (około 18,7 % zbioru), mniej niż w zbiorze ceramiki „siwej" kuchennej (około 21,3% zbioru), może oznaczać, że analizowana grupa ceramiki „tradycyjnej" jest względnie późna i można ją datować zapewne na XIII w. Pokrywa się to ze spostrzeżeniem o dość licznie występujących fragmentach niedosiwionych. Zapewne więc początki powstawania zbioru ceramiki z Grabina należy łączyć z pojawieniem się nowych trendów, zarówno jeśli chodzi o technologię wyrobu ceramiki, jak i jej formowania i ozdabiania. To z kolei należy łączyć z pojawieniem się na tych ziemiach Zakonu Krzyżackiego około 3. dekady XIII w.

Analiza częstości poszczególnych grup technologiczno-surowcowych może także wskazywać, kiedy skończyło się użytkowanie grodu. W szczególności istotna jest tu liczebność zbioru ceramiki ceglastej, która stanowi około 1% całego zbioru ceramiki. Proces zmian w technologii wyrobu ceramiki naczyniowej, a konkretnie pojawienie się ceramiki wypalanej w zaawansowanej atmosferze utleniającej, rozpoczął się w połowie XV w. Od tego momentu notuje się stopniowe wypieranie przez nią naczyń wypalanych w atmosferze redukcyjnej. Wyraźna zmiana przypada na przełom wieku XV i XVI[11]. Bardzo mały procent ceramiki ceglastej w całym zbiorze ceramiki sugeruje, że rozwój tego zbioru został przerwany niedługo po pojawieniu się ceramiki ceglastej na tych ziemiach, a więc zapewne około połowy XV w.

W zbiorze ceramiki z Grabina można także zaobserwować wyraźny procent naczyń o formie otwartej (Typ 3), które odpowiadają naczyniom typu misy. Stanowią one około 12,6% całego zbioru wylewów diagnostycznych i około 13,6% zbioru wylewów diagnostycznych w obrębie ceramiki „siwej" kuchennej. Stosunek ten jest wyraźnie wyższy niż w grodziskach w Bachotku, gm. Brodnica, pow. brodnicki (2%) lub w Napolu, gm. Kowalewo Pomorskie, pow. golubsko-dobrzyński (3,3%)[12].

Części denne naczyń reprezentowane są przez 66 fragmentów diagnostycznych. W obrębie tego zbioru możliwe było określenie, czy dno jest płaskie, czy ma jakiś stopień wklęśnięcia. W obrębie ceramiki „tradycyjnej" stosunek den płaskich do generalnie wklęsłych wynosi około 2,6 (dla 18 fragmentów), w obrębie ceramiki „siwej" kuchennej stosunek ten wynosi około 0,8 (dla 43 fragmentów), a dla ceramiki „siwej" stołowej stosunek ten wynosi około 0,3 (dla 4 fragmentów). Ceramika ceglasta jest reprezentowana przez tylko jeden fragment z dnem płaskim.

Zabytki wydzielone

Zabytki metalowe

Liczny zbiór w stosunku do przebadanej powierzchni stanowiska, tworzy 69 zabytków metalowych. W obrębie tego zbioru 10 elementów (14,5%) pochodzi z Fazy II, 2 elementy (2,9%) z Fazy III, 36 elementów (52,2%) z Fazy IV i 21 elementów (30,4%) z Fazy V. Przedmioty skatalogowano z podziałem na grupy: militaria, narzędzia i przedmioty codziennego użytku, ozdoby i części stroju, numizmaty, inne i nieokreślone.

Do grupy militariów należy pięć żelaznych grotów bełtów do kuszy. Cztery z nich zaopatrzone są w tuleję

[11] Marcinkowski 2013: 245; Starski 2009: 205–207.
[12] Poliński 1996: 94, 110.

(tabl. 10:1–4) i reprezentują typ I wg Nadolskiego[13]. Piąty (tabl. 10:5) zaopatrzony jest w trzpień i należy do typu II wg Nadolskiego[14]. Żaden z tych grotów nie pochodzi z warstw użytkowych z okresu funkcjonowania grodu – dwa (tabl. 10:1–2) znaleziono w warstwach niwelacyjnych Fazy II związanych z budową grodu (prawdopodobnie wbite w tę warstwę), a trzy w warstwach niwelacyjnych Fazy IV, związanych z jego zniszczeniem. Jest to dość często występujący typ zabytku, znany m.in. z pobliskich założeń obronnych w Kurzętniku, pow. nowomiejski[15], w Słoszewach, gm. Bobrowo, pow. brodnicki[16], czy w Plemiętach, gm. Gruta, pow. grudziądzki[17].

W grupie narzędzi i przedmiotów codziennego użytku najliczniejszy zbiór tworzą 23 gwoździe. Do ich opisania wykorzystano klasyfikację, która jest modyfikacją typologii zaproponowanej przez B. Gierlacha[18]. Podzielono zbiór na trzy typy, z czego jeden w dwóch odmianach. Typ 1B, czyli gwóźdź o owalnej główce, która ma w przekroju kształt półkolisty (tabl. 7:1), reprezentowany jest przez jeden egzemplarz. Według Gierlacha są to gwoździe, które w pierwszej kolejności miały spełniać funkcje ozdobne (np. okucie drzwi), a dopiero potem konstrukcyjne. Typ 2A i 2B, czyli gwóźdź bez wyodrębnionej główki, którego koniec przeciwny ostrzu ma lekko rozbitą powierzchnię – o wielkości generalnie równej przekrojowi gwoździa w odmianie A (tabl. 7:2–19), lub o nieco większej niż przekrój gwoździa w odmianie B (tabl. 7:20–22), jest reprezentowany przez odpowiednio 18 i 3 egzemplarze. Typ 7, czyli gwóźdź o ostrzu płynnie rozszerzającym się do główki, w rzucie bocznym w kształt litery V (tabl. 7:23), reprezentowany jest przez jeden egzemplarz. Typ 2 i 7 to gwoździe uniwersalne, szybkie w produkcji, które zapewne najczęściej stosowano w pracach pionierskich. Właśnie gwoździe typu 2A i 2B znaleziono w warstwach Fazy II związanych z formowaniem majdanu grodu.

Znaleziono także dwa kolce o nieustalonej funkcji. Pierwszy z nich (tabl. 11:2) ma około 11 cm, przekrój o wymiarach w najszerszym miejscu około 7 x 8 mm i zwęża się ku obu końcom. Drugi (tabl. 7: 24) ma prawie 21 cm długości, przekrój o wymiarach w najszerszym miejscu około 10 x 14 mm. Zwęża się ku jednemu końcowi, drugi jest ułamany.

Dość licznie występują także różnego typu klamry i okucia, których znaleziono łącznie osiem egzemplarzy. Zbiór ten można podzielić na mniejsze podtypy. Pierwszy z nich tworzą dwie klamry, które można uznać za szkutnicze i przypisać do typu A wg Vliermа-

[13] Nadolski 1954: 60–66.

[14] Nadolski 1954: 60–66.

[15] Grążawski 2015: 367–372.

[16] Kola 1979: 253.

[17] Boguwolski 1976.

[18] Gierlach 1966: 141–148.

Tabela 5. Grabin, st. 1. Częstość występowania wydzielonych typów wylewów w kolejnych grupach technologiczno-surowcowych (oprac. R. Solecki)

Typ	GTS-1	GTS-2	GTS-3	GTS-4
WIA	5	19	2	3
WIB	9	28	1	2
WIC	7	17	2	
WID	3	19	1	
WIE	5	29	1	2
WIF	2	2		
WIG	1	2	1	
WIH	1	1	3	
WIIA	1	2		
WIIB	5	21	1	
WIIC		3		
WIID		4		
WIIE	3	5		
WIIF		1		2
WIIG		1		
WIIH		2		
WIIIA	2	16	2	
WIIIB		1		
WIIIC	1	5		
WIIID	2	3		
WIVA		1		
WIVB	1			
WIVC		1		

Tabela 6. Grabin, st. 1. Częstość występowania wydzielonych typów ornamentów w kolejnych grupach technologiczno-surowcowych (oprac. R. Solecki)

Typ	GTS-1	GTS-2	GTS-3	GTS-4
OIA	21	58	5	
OIB	52	124	16	5
OIC	9	30		1
OID	7	4	5	
OIE	3	3		
OIIA		36	13	
OIIB		1		
OIIC		2		
OIIIA		20	3	
OIIIB		5	-	
OIIIC		11	2	
OIIID	2	12	2	
OIIIE			1	
OIIIF	1	3		
OIIIG		4		
OIIIH		2		1
OIIIJ		1		
OIV	1	55	3	
OV		2	3	

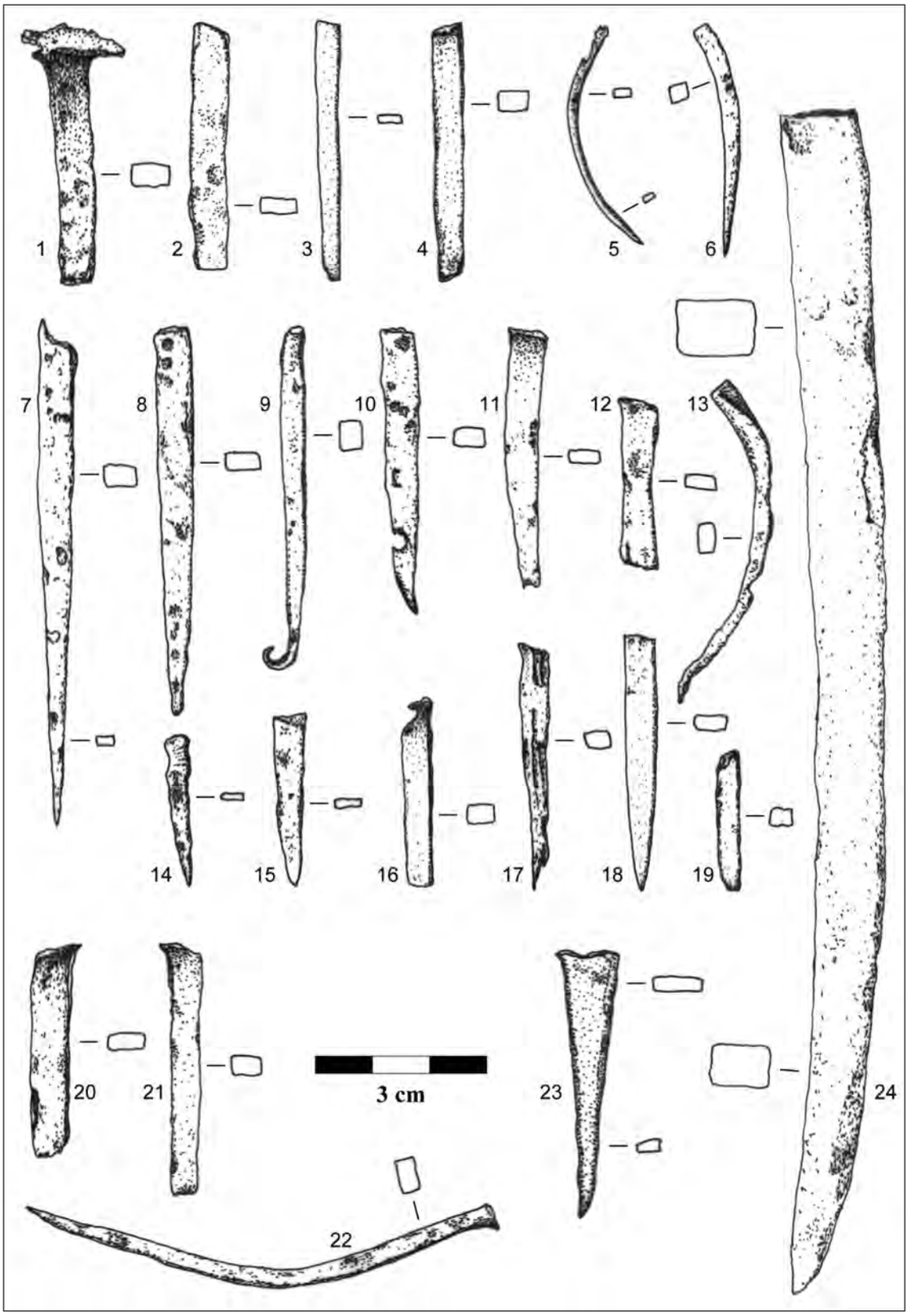

Tablica 7. Grabin, st. 1. Zabytki wydzielone z grodziska (rys. P. Potocka)

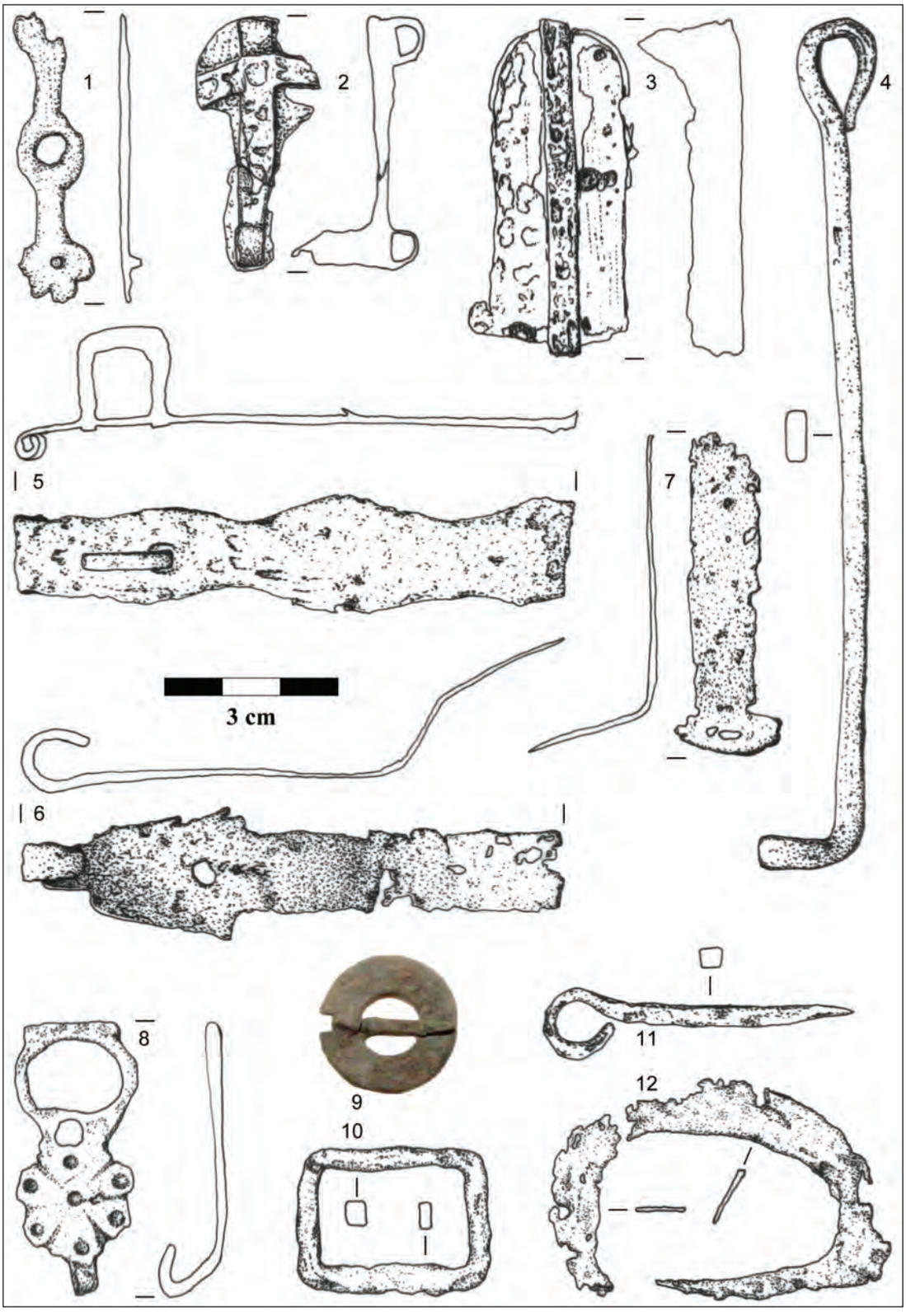

Tablica 8. Grabin, st. 1. Zabytki wydzielone z grodziska (rys. P. Potocka)

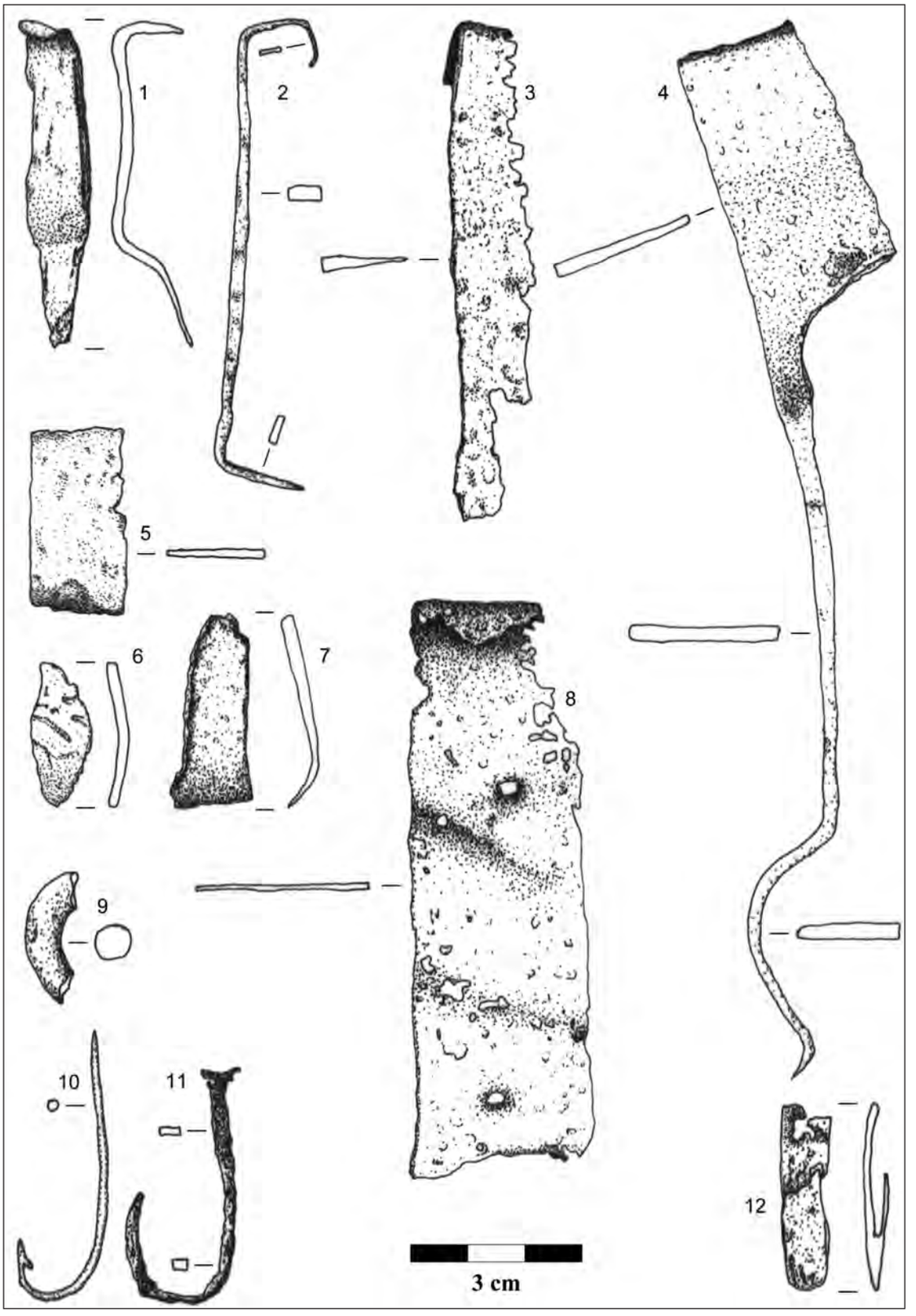

Tablica 9. Grabin, st. 1. Zabytki wydzielone z grodziska (rys. P. Potocka)

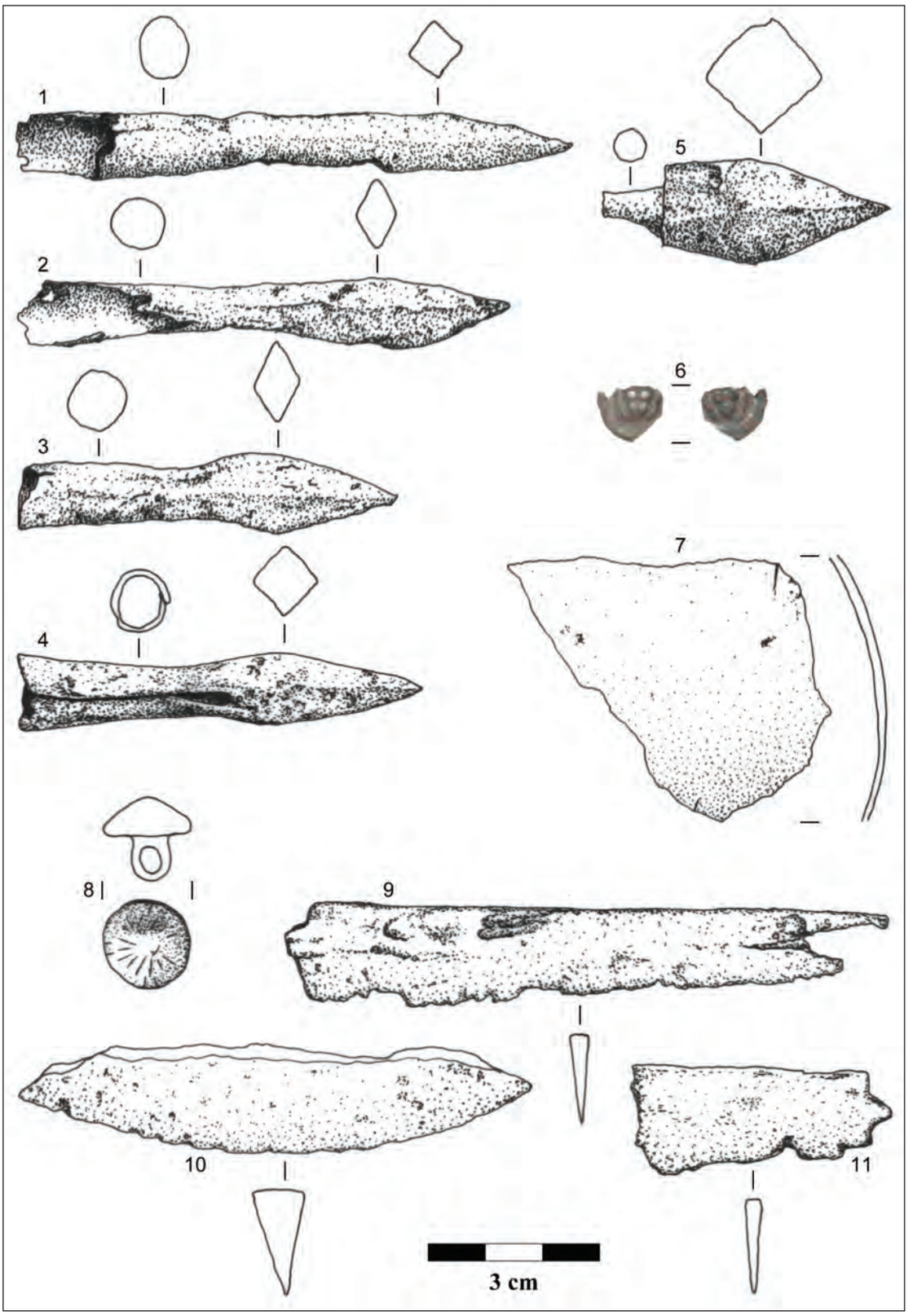

Tablica 10. Grabin, st. 1. Zabytki wydzielone z grodziska (rys. P. Potocka)

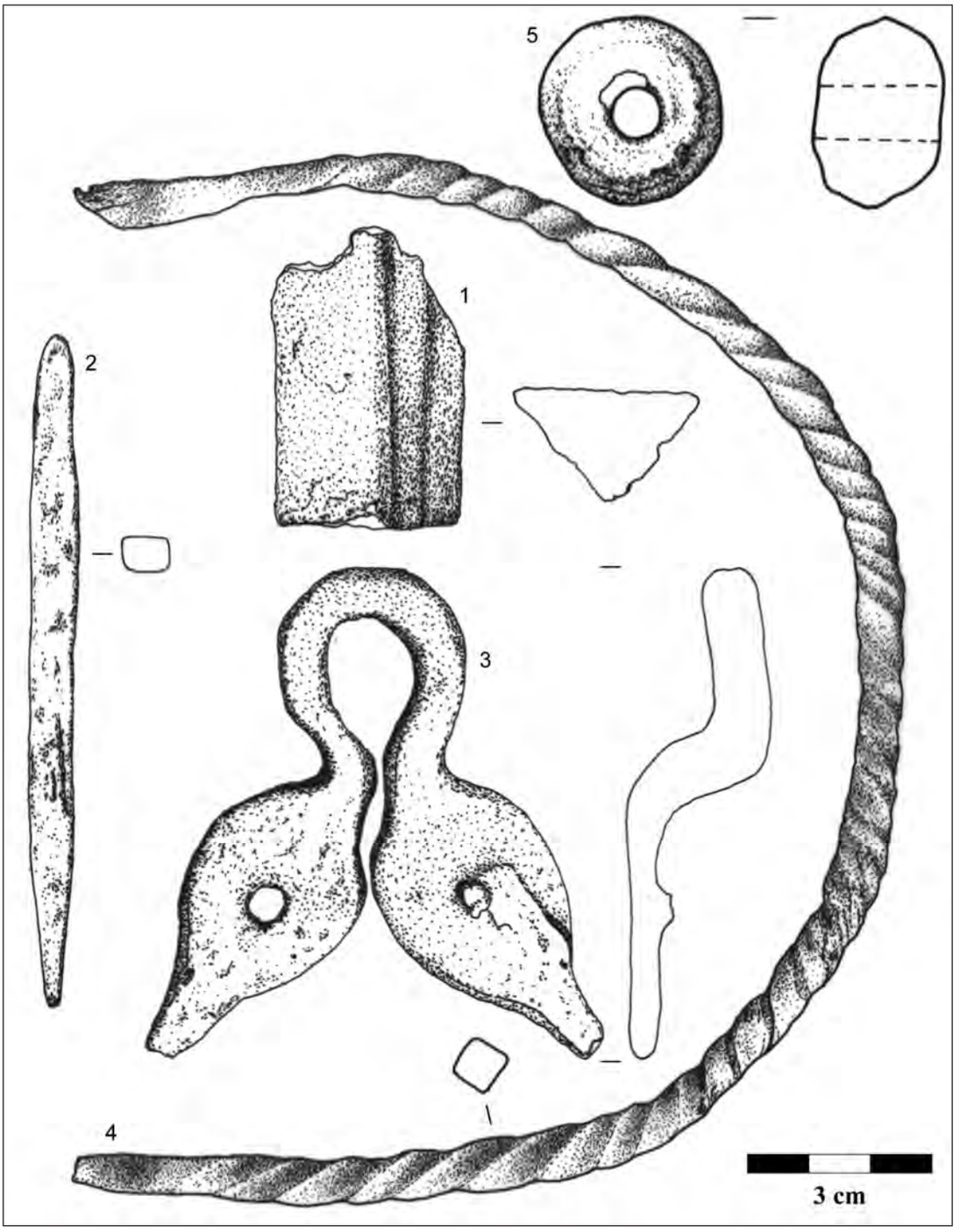

Tablica 11. Grabin, st. 1. Zabytki wydzielone z grodziska (rys. P. Potocka)

na (tabl. 9:1–2)[19]. W takiej formie znane są Gdańska z warstw datowanych na pierwszą połowę XII w.[20] Zostały one znalezione na wtórnym złożu, więc nie można wykluczyć, że związane są z pierwszą falą osadnictwa krzyżackiego na tym obszarze. Z drugiej strony mogą to być tylko klamry przypominające formę klamry szkutniczej i wykorzystane w innym celu, za czym przemawia wydłużony kształt jednej z nich, który nie jest stosowany w szkutnictwie. Drugi podtyp to różnego rodzaju okucia i zawiasy (tabl. 8:1, 5–8). Mniejsze i bardziej ozdobne mogły służyć jako wykończenia ksiąg, zaś większe jako elementy okien lub drzwi[21].

Ze zbiorem tym wiąże się pośrednio także interesujący zespół, na który składają się dwa elementy kłódki cylindrycznej (tabl. 8:2–3), ułamana sprężyna kłódki (tabl. 9:12) oraz klucz (tabl. 8:4). Elementy te można datować szeroko na XIII–XIV w.[22]

Ciekawym narzędziem jest ośnik, którego dwa okazy znaleziono w Grabinie, st. 1. Pierwszy fragment (tabl. 9:4) należy do okazu o znacznych rozmiarach – zachowana część ostrza ma długość 4 cm i szerokość 2 cm, a na końcu ramienia, długości około 13 cm, znajduje się półkoliste wyprofilowanie o średnicy około 3 cm, w którym zapewne osadzona była drewniana rączka. Narzędzie tej wielkości służyło prawdopodobnie do korowania pni drzew. Analogie znane są m.in. z Gdańska i gródka w Bachotku[23]. Drugi fragment (tabl. 9:3) jest zdecydowanie mniejszy i ma formę zbliżoną do typowego noża, tyle że ostrze długości około 9 cm i szerokości 9–12 mm nie zwęża się, a na jego obu końcach znajdują się otwory do osadzenia rękojeści. Oba fragmenty znaleziono w warstwach niwelacyjnych Fazy II, związanej z formowaniem majdanu grodu. Oprócz ośników natrafiono na jeszcze trzy ostrza. Dwa z nich (tabl. 10:9, 11) to fragmenty noży, a trzecie (tabl. 10:10) ma półkolistą krawędź tnącą i zdecydowanie szerszy tylec niż w przypadku noży. Jest więc częścią innego narzędzia o nieokreślonej funkcji.

Kolejnym typem narzędzi są haczyki do połowu ryb. W Grabinie, st. 1 natrafiono na dwa egzemplarze, z czego pierwszy (tabl. 9:10) wykonany był intencjonalnie w tym celu, a drugi (tabl. 9:11) to gwóźdź, który poprzez rozklepanie główki i charakterystyczne zagięcie ostrza przystosowano do połowu ryb.

Jako przedmioty codziennego użytku sklasyfikowano także naczynia nieceramiczne. Pierwsze to wiaderko, z którego zachowało się żelazne ucho (tabl. 11:3) i kabłąk wykonany ze skręconego drutu (tabl. 11:4) o rozpiętości około 17 cm. Drugie naczynie (tabl. 10:7) wykonano z mosiądzu, lecz jego kształt nie jest możliwy do odtworzenia, gdyż zachował się jedynie fragment ścianki.

Do ozdób i części stroju zaliczono sprzączki pasa i guzik. Sprzączki pasa wystąpiły w trzech kształtach: okrągłym (tabl. 8:9), półokrągłym (tabl. 8:12) i prostokątnym (tabl. 8:10). Natrafiono także na żelazny języczek (tabl. 8:11), który pierwotnie mógł być częścią sprzączki. Guzik (tabl. 10:8) wykonano ze srebra i ma formę kolistego, stożkowatego, pustego w środku guza, do którego płaskiej części przylutowano niewielką blaszkę z otworkiem. W takiej formie guziki pojawiają się w Polsce w XIII w., a upowszechniają się w wieku XIV[24].

Jedyny znaleziony numizmat to fragment srebrnego brakteata z tarczką trójkątną lub ostrołukową i z krzyżem (tabl. 10:6). Należy on do typu określonego, jako „tarczka z krzyżem I" i można go datować na pierwszą ćwierć XIV w.[25]

W ostatniej grupie znalazły się głównie fragmenty żelaznych blaszek (tabl. 9:5–7) i kawałek żelaznego wygiętego drutu (tabl. 9:9). Tu także zaliczono fragment prostopadłościennej sztabki (tabl. 11:1) wysokości około 5 cm o podstawie trójkąta prostokątnego, równoramiennego o długości ramienia około 2 cm, którą wykonano ze stopu z dużą domieszką miedzi.

Zabytki niemetalowe

Do zabytków niemetalowych należy ceramiczny przęślik (tabl. 11:5) znaleziony w warstwie niwelacyjnej, formującej *plateau* majdanu. Reprezentuje on typ dwustożkowy o zaokrąglonych załomach stożków i o płaskich biegunach. Zaokrąglenie załomów stożków może być wynikiem użytkowania przedmiotu. Średnica przęślika wynosi około 3 cm, średnica otworu jest stała na całej jego długości i wynosi około 0,8 cm. Analogiczny egzemplarz pochodzi ze stanowiska w Węgrach, gm. Sztum, pow. sztumski[26].

Drugą grupę tworzą dwa małe kawałki szkła okiennego znalezione w zasypisku piwniczki. Z jednej strony obecność szkła okiennego nie powinna być zaskoczeniem, gdyż jego wykorzystywanie w takiej formie zostało potwierdzone dla stanowisk datowanych na XII i XIII w., a na wiek XIV datowane są pracowanie szklarskie w Toruniu[27]. Niemniej znalezienie szkła okiennego na stanowisku niemiejskim, świeckim i o relatywnie wczesnej metryce należy uznać za rzadkość.

[19] Vlierman 1996: 8–54.

[20] W. Ossowski 2010: 45–51.

[21] Łukomiak 2016.

[22] Łukomiak 2016.

[23] Barnycz-Gupieniec 1959: 51; Grążawski 1988: 332–333.

[24] J. Sawicki 2012: 105–106.

[25] Określenia typu dokonał G. Śnieżko z Muzeum Zamku Królewskiego w Warszawie; por. Paszkiewicz 2009: 117.

[26] Haftka i Wadyl 2015: 141, 142, 214.

[27] Wyrobisz 1968: 107–111.

Tabela 7. Liczba kości zwierzęcych poszczególnych gatunków w kolejnych fazach użytkowych grodziska w Grabinie, st. 1 (na podstawie wyników analiz A. Grężak, oprac. R. Solecki)

	Kura domowa	Gęś	Bydło	Owca / koza	Świnia	Koń	Pies	Jeleń	Zając
Faza I	-	-	1	-	-	11	-	-	-
Faza II	-	-	1	1	2	9	-	-	-
Faza III	4	-	10	13	14	2	1	-	1
Faza IV	1	1	48	22	67	6	1	1	-
Faza V	-	-	1	3	4	1	2	-	-

Tabela 8. Spalone i niespalone szczątki roślinne ze stanowiska w Grabinie, st. 1, gm. Ostróda. Objaśnienia: typ szczątka: z – ziarniak, o – owoc, n – nasiono, d – drewno, ko – kora, sc – sklerocja, ? – nieokreślony (oprac. M. Lityńska-Zając i M. Moskal-del Hoyo)

Nazwa taksonu	Chronologia	Faza I	Faza II	Faza IV	Suma
	numer jednostki stratygraficznej	19	17	39	
	typ szczątka	szczątki spalone			
Carpinus betulus	d	6	5	15	26
Fagus sylvatica	d	1	2	5	8
Pinus sylvestris	d		2		2
Alnus sp.	d			1	1
Quercus sp.	d	3	5	13	21
Tilia sp.	d			5	5
Betulaceae	d	1			1
liściaste	d	1		1	2
Suma		**12**	**14**	**40**	**66**
Cenococcum geophilinum	sc	100	100	112	312
		szczątki niespalone			
Chenopodium album	n			1	1
Galium spurium	o			1	1
Sambucus nigra	n			43	43
Suma				**45**	**45**

KOŚCI ZWIERZĘCE

ANNA GRĘZAK

Kości zwierzęce tworzą zbiór składający się z 236 elementów, z których 228 (96,6%) udało się oznaczyć pod względem gatunkowym. Częstość występowania kości danych gatunków w kolejnych fazach użytkowych stanowiska przedstawia poniższa tabela (tab. 7).

Kości zwierzęce z Grabina, st. 1 mają w większości charakter pokonsumpcyjny, na co wskazują odnalezione na nich ślady będące wynikiem rąbania, filetowania lub skórowania. Zaobserwowano je kościach bydła, owcy/kozy, świni i konia. Na kości konia odnalezionej w warstwach Fazy I natrafiono także na ogryzanie jej przez psa.

SZCZĄTKI ROŚLINNE

MARIA LITYŃSKA-ZAJĄC I MAGDALENA MOSKAL-DEL HOYO

Z grodziska w Grabinie, st. 1 pobrano sześć prób archeobotanicznych, w tym cztery z zachowanym materiałem roślinnym. Jedna z nich datowana jest na Fazę I, jedna na Fazę II i dwie na Fazę IV grodziska. Wśród zwęglonych szczątków roślinnych wystąpiły jedynie węgle drzewne[28]. Znaleziono także sklerocja grzyba czarniaka właściwego *Cenococcum geophilinum* oraz diaspory niespalone, które najprawdopodobniej są wynikiem współczesnego zanieczyszczenia (tab. 8). Udokumentowano osiem taksonów, w tym sześć określonych jako minimalna liczba taksonów. Oznaczono trzy taksony do poziomu gatunku (grab zwyczajny *Carpinus betulus*, buk zwyczajny *Fagus sylvatica* i sosna zwyczajna *Pinus sylvestris*) oraz trzy do poziomu rodzaju (olsza *Alnus* sp., dąb *Quercus* sp. i lipa *Tilia* sp.). Najliczniejsze były fragmenty graba i dębu, które wystąpiły w trzech próbach.

CHRONOLOGIA STANOWISKA

RAFAŁ SOLECKI

Grodzisko w Grabinie, st. 1 znajduje się w pobliżu wsi Grabinek, która po raz pierwszy pojawia się w źródłach w roku 1325, jako część większego nadania,

[28] Opis metody badań: Lityńska-Zając i Moskal-del Hoyo 2016.

które Luther z Brunszwiku przekazał między innymi rycerzowi Janowi Otaschowi (*Ritter Hans von Otatz*). Także w 1325 r. rycerz Jan Otasch daje sołtysowi Albertowi ziemię na założenie wsi, co można wiązać z jej lokacją[29]. Etymologia słowa *Otatz* wywodzi się prawdopodobnie od hydronimu Otacz/Otoczna, będącego nazwą nieistniejącego starorzecza Wkry na wysokości Zielunia, miejscowości położonej około 70 km od Grabina[30]. Tak więc Grabin byłby wsią lokowaną przez miejscowego rycerza w 3. dekadzie XIV w. i zapewne zarządzaną przez jego rodzinę w wieku XIV i XV. W 1540 r. wieś należała już do Jana von Epingena, prawdopodobnie osadnika niemieckiego[31].

Analiza materiału ceramicznego i datowanie fragmentu monety wskazują, że gród mógł powstać w początkach XIV w. Jednakże w południowej części przebadanego terenu wyróżniono na podstawie szczątkowo zachowanych warstw użytkowych horyzont związany z użytkowaniem tego miejsca już wcześniej. Osadnictwo to nie mogło być jednak też dużo starsze, gdyż brak jest w materiale ceramicznym fragmentów, które byłyby wcześniejsze niż przełom XIII i XIV w. Zapewne więc warstwy użytkowe związane są z osadnikami, którzy przybyli w to miejsce w momencie lokowania wsi, a więc w 3. dekadzie XIV w. Długość wolnizny wynosząca 14 lat sugeruje, że wieś była lokowana na surowym korzeniu[32], toteż w pierwszej kolejności zapewne zatroszczono się o infrastrukturę samej wsi, a dopiero wzniesiono gród. Należy zatem założyć, że gród powstał około połowy XIV w. (Fazy II i III), a starszy horyzont (Faza I) związany jest z pojawieniem się osadników na tym obszarze około 3. dekady XIV w.

Moment zniszczenia grodu może być określony na podstawie analizy materiału ceramicznego i najpewniej należy go wiązać z wydarzeniami wojny trzynastoletniej.

Można podejrzewać, że na obszarze stanowiska znajdowały się także relikty starszego osadnictwa, które można wiązać z wczesną epoką żelaza. Podejrzenie to bierze się z odnalezienia jednego fragmentu ceramiki datowanego w ten sposób, która znajdowała się w obrębie zasypiska średniowiecznej piwniczki. Dostała się tam zapewne w trakcie niwelowania obszaru grodu, po tym jak zostało ono zniszczone.

DZIEJE GRODZISKA W GRABINIE, ST. 1

Wyniki badań archeologicznych grodziska w Grabinie, st. 1 przyniosły zaskakująco bogate wyniki. Okazało się, że pomimo ogromnych zniszczeń wyrządzonych przez piaskarnię lub żwirownię, która zniszczyła większą część majdanu, w każdym z wytyczonych wykopów natrafiono na ślady osadnictwa. Na podstawie zarejestrowanych obiektów można dokonać próby rekonstrukcji pierwotnej formy grodu (ryc. 16). Zachowany fragment fosy i wschodniej części majdanu sugeruje, że skala niwelacji tworzących *plateau* majdanu nie były znaczne. Polegały one zapewne na rozgarnięciu centralnej, najwyższej części cypla i zdeponowaniu uzyskanej w ten sposób masy ziemi wzdłuż krawędzi. Pozwoliło to na zwiększenie powierzchni majdanu, ale nie na usypanie wałów. Gród w takiej postaci był chroniony od wschodu, zachodu i północy przez wysokie stoki cypla i opływającą go rzekę Grabiczek, a od południa przez relatywnie głęboką fosę – różnica wysokości pomiędzy dnem fosy, a obecnym poziomem majdanu w jego południowej części wynosi około 3,5 m. Dodatkowo krawędź majdanu została umocniona za pomocą palisady. Tworzyły ją słupy o średnicy do około 40 cm wkopane w ziemię w odległości około 90–140 cm od siebie. Słupy te stanowiły zapewne bazę do mocowania poziomych elementów drewnianych, desek lub belek, które nie pozostawiły po sobie bezpośredniego śladu. Za pośredni ślad można przyjąć występowanie w pobliżu dołów posłupowych gwoździ, które mogły służyć do mocowania desek. Dodatkowo, w wykopie 1, na linii tych dołów natrafiono na dwa groty bełtów.

Z wewnętrzną infrastrukturą grodu można wiązać jedynie relikt odkrytej piwniczki, która opierała się o krawędź majdanu w jego wschodniej części. Zidentyfikowane wymiary piwniczki to długość około 3,6 m liczona po osi północ–południe, szerokość około 2 m i głębokość do 1,7 m. Szacowana na podstawie odwiertów geologicznych maksymalna wielkość piwniczki to około 4 x 6 m. Ściany piwniczki oraz znajdujący się ponad nią co najmniej parterowy budynek, wznie-

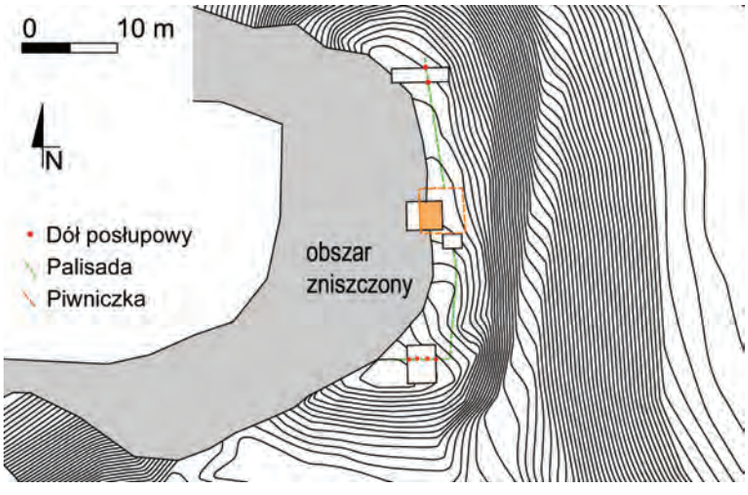

Ryc. 16. Plan grodziska w Grabinie, st. 1 z rekonstrukcją jego zabudowy w Fazie III (oprac. R. Solecki)

[29] Lietz 1976: 165, 180, 184, 200.
[30] Kowalczyk 1997: 386; Supruniuk 2002: 152.
[31] Lietz 1976: 180.
[32] Lietz 1976: 180.

sione były w konstrukcji szkieletowej. Na poziomie piwniczki przestrzenie szkieletu były wypełnione za pomocą kamieni, gałęzi i gliny, a na poziomie parteru za pomocą gliny. Właśnie w takiej kolejności stratygraficznej występują wyraźne pokłady tych surowców z ewidentnymi śladami pożaru – kamienie się kruszą, glina jest wyżarzona, a elementy drewniane spalone.

Pomimo przebadania bardzo ograniczonego obszaru, natrafiono na bardzo liczny zbiór zabytków. Część ze znalezionych przedmiotów posiadała zapewne ówcześnie znaczną wartość. Nasuwa się więc wniosek, że pożar który strawił budynek był nagły i gwałtowny.

Odkryte relikty można interpretować jako siedzibę rycerską, należącą prawdopodobnie do potomków rodu Otatz. Przestała ona istnieć w wyniku gwałtownego pożaru, po którym nie została odbudowana, a jej obszar został rozgarnięty. Prawdopodobnie pożar był wynikiem najazdu i walki, za czym przemawiają znalezione groty bełtów, częściowo pochodzące z linii palisady. Biorąc pod uwagę wnioski płynące z analizy ceramiki, a dotyczące chronologii stanowiska, można wiązać ten pożar z wydarzeniami wojny trzynastoletniej z połowy XV w.

Lipowiec, st. 1

Gmina Ostróda

Powiat ostródzki

AZP 26–57/2

Współrzędne geograficzne:

N 53° 39’ 31,31’’

E 20° 1’ 31,63’’

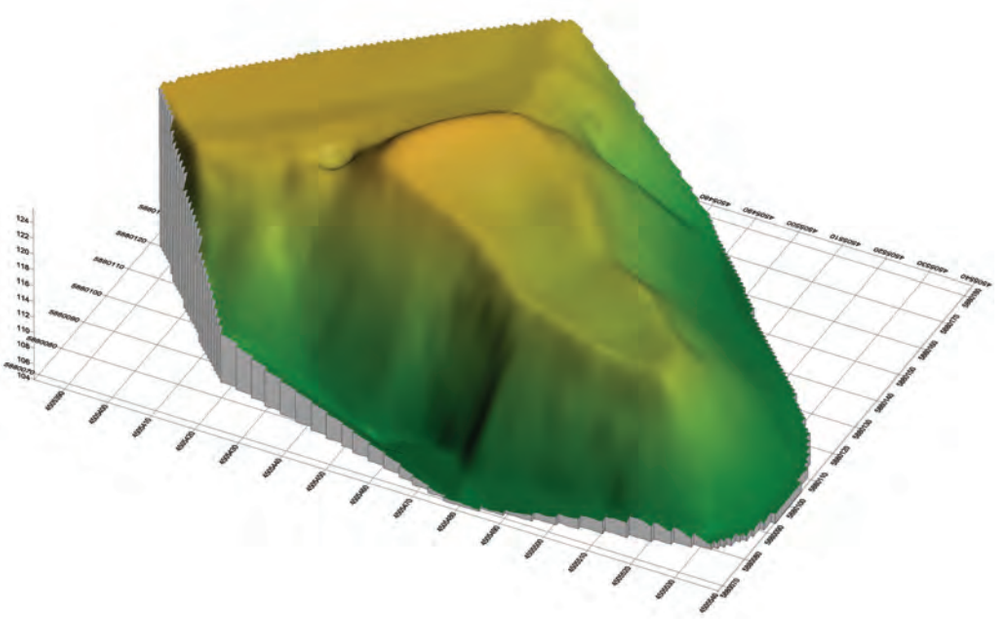

Ryc. 1. Grodzisko w Lipowcu, st. 1 na mapie w skali 1:25 000 (na podstawie materiałów CODGiK, oprac. R. Solecki)

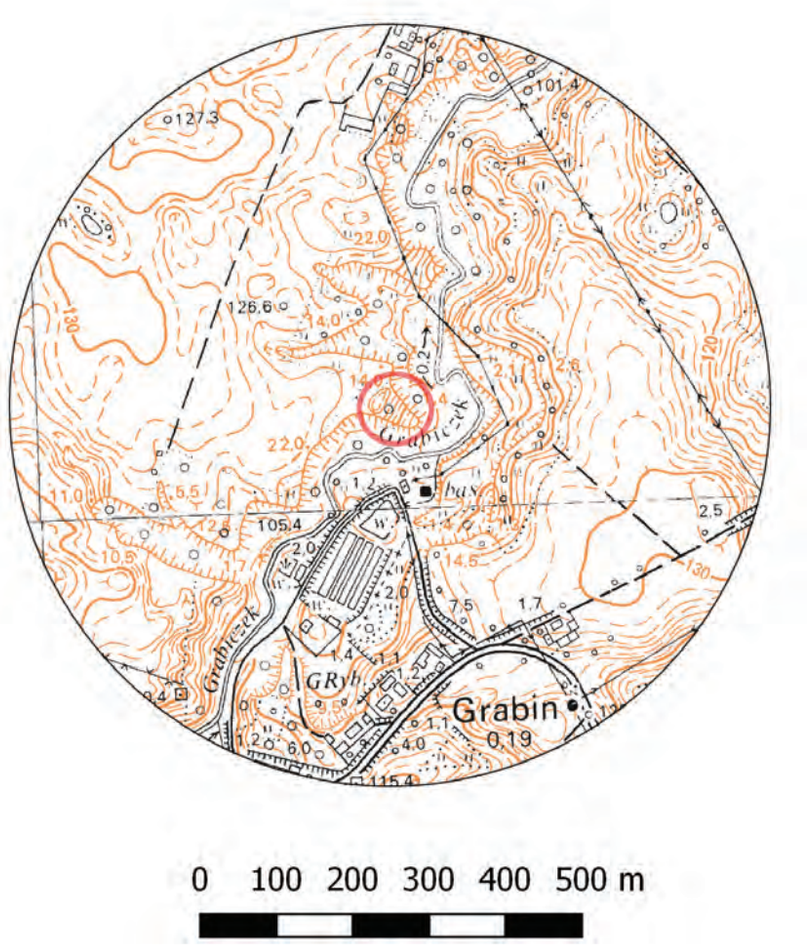

Ryc. 2. Grodzisko w Lipowcu, st. 1 na mapie w skali 1:10 000 (na podstawie materiałów CODGiK, oprac. R. Solecki)

POŁOŻENIE GRODZISKA I JEGO FORMA

KAMIL RABIEGA

Grodzisko znajduje się około 960 m na północny wschód od północnego brzegu jeziora Lichtajny. Zajmuje ono całą powierzchnię cypla wchodzącego od zachodu w głęboki parów, którego dnem płynie rzeka Grabiczek (ryc. 1–2). Obiekt ma kształt zbliżony do trójkąta równoramiennego o długości 80 m i szerokości 20–40 m. Od strony północnej, wschodniej i południowej otoczony jest stromymi zboczami, które nadają wyjątkowy naturalny walor obronny stanowiska. Forma ostańca erozyjnego została doskonale wykorzystana do pełnienia funkcji obronnych, przy niewielkim nakładzie pracy. Obszar obiektu został wyrównany, a krawędzie cypla nieznacznie podwyższone. Majdan jest płaski i zajmuje powierzchnie około 10 arów. Jedynym miejscem umożliwiającym dostęp na teren grodziska była nasada, łącząca cypel z płaskim otwartym obszarem wysoczyzny. To właśnie tam, w północno-zachodniej części stanowiska wzniesiono potężny wał zaporowy, zamykający majdan i odcinający jego obszar od nasady cypla. Potężny wał, który wniesiono w tej części stanowiska ma 10 m szerokości u podstawy, długość 33 m i wysokość około 3 m (ryc. 3–6). Ewentualnego przejścia bramnego można domyślać się na północnym skraju wału[1].

ŚRODOWISKO FIZYCZNO-GEOGRAFICZNE

JERZY NITYCHORUK I FABIAN WELC

Grodzisko w Lipowcu, st. 1 położone jest na wystającym ostańcu erozyjnym wysoczyzny. Naturalne czynniki erozyjne utworzyły tu cypel, który od doliny Grabiczka oddzielają bardzo strome stoki, natomiast połączenie z wysoczyzną ma miejsce tylko od NW, na niewielkiej przestrzeni. Poziom wody w Grabiczku jest na około 100 m n.p.m., a najwyższy punkt w obrębie badanego stanowiska znajduje się na wale od NW i wznosi się ponad 126,0 m n.p.m. co daje

[1] Hoffmann i Mackiewicz 2004: 22.

Ryc. 3. Lipowiec, st. 1. Wał grodziska; widok od strony południowej (fot. J. Wysocki, oprac. K. Rabiega)

Ryc. 4. Lipowiec, st. 1. Majdan grodziska i wewnętrzny stok wału; widok od północnego wschodu (fot. J. Wysocki, oprac. K. Rabiega)

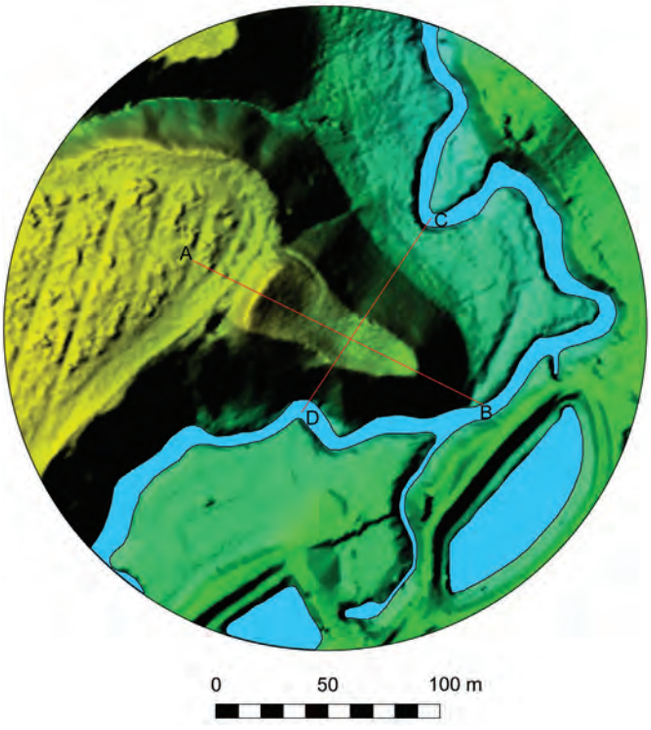

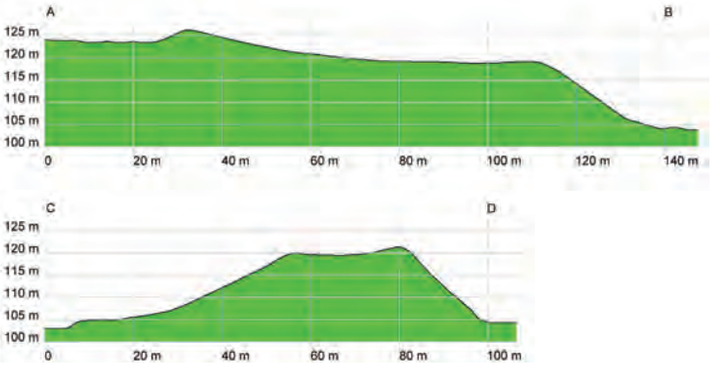

Ryc. 6. Przekroje grodziska w Lipowcu, st. 1 uzyskane z danych ALS (na podstawie materiałów CODGiK, oprac. R. Solecki)

Ryc. 5. Grodzisko w Lipowcu, st. 1 na zobrazowaniu ALS (na podstawie materiałów CODGiK, oprac. R. Solecki)

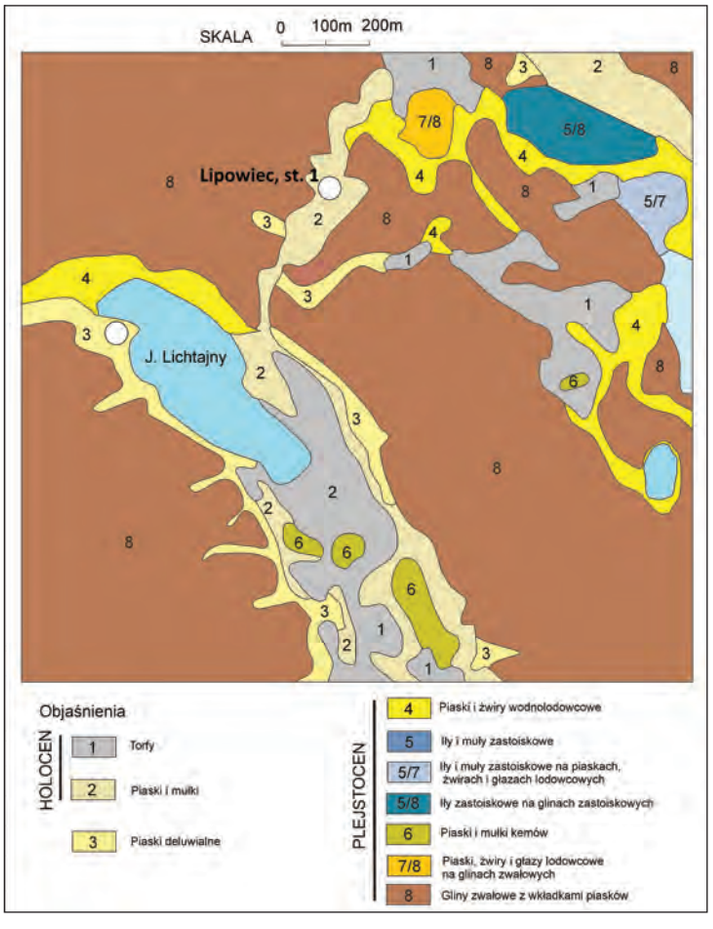

26 m deniwelacje na bardzo niewielkim obszarze. Te różnice wysokości przy bardzo stromych stokach były niezwykłym atutem przy zamieszkaniu tego obszaru. Teren ostańca opada lekko od strefy wału na NW – 126,0 m n.p.m. do skraju cypla na SE – 118,5 m n.p.m.

Wysoczyznę polodowcową w okolicach stanowiska budują gliny zwałowe, które są miejscem rozwoju gleb płowych IV klasy. Głębokie rozcięcie erozyjne związane z doliną rzeki Grabiczek wypełniają piaski występujące na nazbyt małej przestrzeni aby mógł ten teren być uprawiany. Na południu, w okolicach jeziora Lichtajny, na torfach występują w ograniczony sposób gleby bagienne (ryc. 7).

Według przekroju geologicznego A–B ostaniec erozyjny zbudowany jest z gliny zwałowej, co sprawia, że jego stoki są tak bardzo strome. Dostępu do tej naturalnej enklawy broniła fosa, w której wypełnieniu spotyka się węgle drzewne i przepaloną glinę, o głębokości około 2 m (wiercenie L–2). Nasyp wału osiągał podobną miąższość, a warstwa kulturowa osiąga 1 m miąższości. Z tych danych wynika, że przy niewielkim nakładzie sił istniało tu dobrze chronione miejsce. W strefie pozostałych krawędzi majdanu nie stwierdzono wyraźnych dowodów obecności wałów (ryc. 8–9).

Ryc. 7. Mapa geologiczna okolic grodziska w Lipowcu, st. 1 (oprac. J. Nitychoruk i F. Welc)

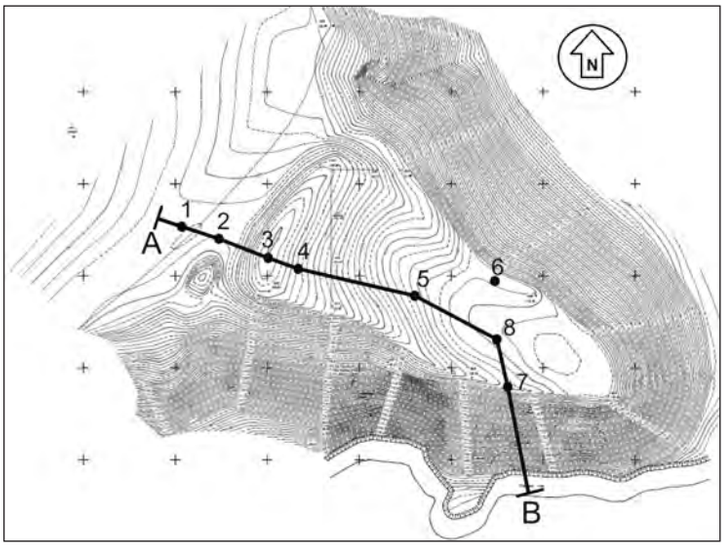

Ryc. 8. Plan warstwicowy grodziska w Lipowcu, st. 1 (wyk. J. Błaszczyk) z zaznaczonymi miejscami wierceń geologicznych (oprac. J. Nitychoruk i F. Welc)

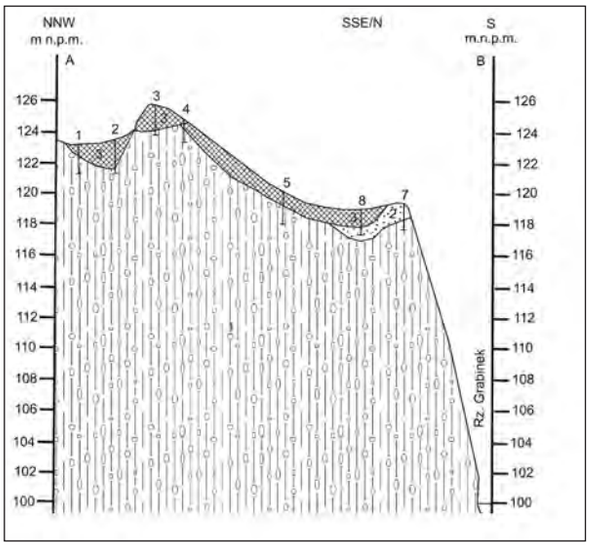

Ryc. 9. Lipowiec, st. 1. Przekrój geologiczny: 1 – glina zwałowa, 2 – piaski średnio i gruboziarniste, 3 – warstwa kulturowa (archeologiczna) (oprac. J. Nitychoruk i F. Welc)

BADANIA ARCHEOLOGICZNE

KAMIL RABIEGA I JOANNA WAWRZENIUK

Przebieg badań terenowych

Grodzisko w Lipowcu, określane przed II wojną światową nazwą lokalną *Schwedenschanze*, było znane już w XIX w. W 1827 r. Johann Michael Guise przeprowadził tu prace dokumentacyjno-inwentaryzacyjne[2]. Max Töppen wspomniał o grodzisku w 1870 r.[3], a Abraham Lissauer w roku 1887[4]. Stanowisko zostało także włączone do katalogu Emila Hollacka w 1908 r. i opisane jako drugie z grodzisk w miejscowości Grabinek[5]. W 1928 r. pojawiło się również w artykule Emila Schnippela[6], a następnie zostało opisane przez Hansa Cromego i zlokalizowane w miejscowości *Mörlen* (Morliny) lub *Thyrau* (Tyrowo)[7].

W 1949 r. stanowisko zostało wpisane do rejestru zabytków archeologicznych jako grodzisko wyżynne półwyspowe znajdujące się w obszarze dziś już nie istniejącego majątku Świetlin[8]. W tym czasie weryfikację powierzchniową stanowiska przeprowadził Jerzy Antoniewicz[9]. W 2002 r. kolejną weryfikację przeprowadzili Mirosław Hoffmann i Adam Mackie-

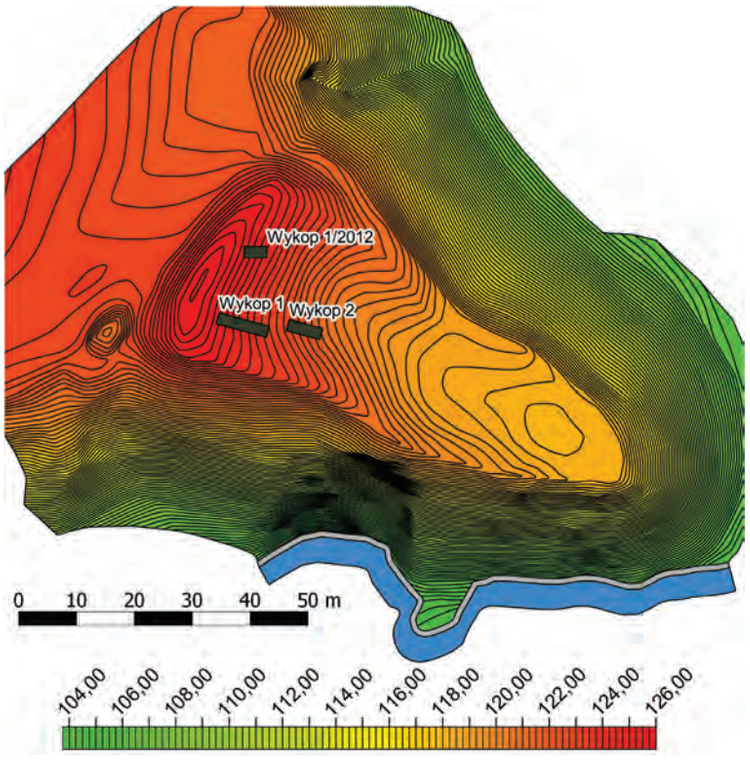

Ryc. 10. Plan sytuacyjno-wysokościowy grodziska w Lipowcu, st. 1 z rozmieszczeniem wykopów z roku 2012 i 2015 (na podstawie pomiarów J. Błaszczyka, oprac. R. Solecki)

[2] Hoffmann i Mackiewicz 2004: 22.
[3] Töppen 1870: 39–41.
[4] Lissauer 1887: 190.
[5] Hollack 1908: 70.
[6] Schnippel 1928: 15.
[7] Crome 1937: 121, 1940: 86.
[8] Pod tą nazwą stanowisko funkcjonuje także w katalogu Łapo 2009b: 276.
[9] Antoniewicz 1949, 1950: 71–72.

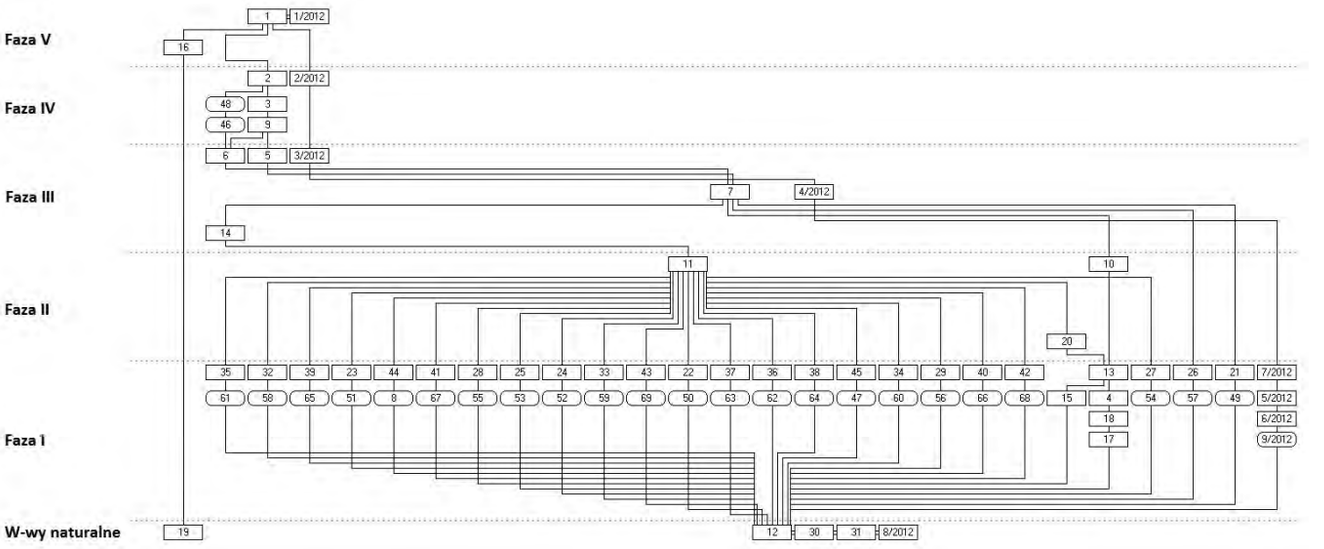

Ryc. 11. Lipowiec, st. 1. Diagram relacji stratygraficznych (oprac. K. Rabiega)

wicz[10]. Odkryto wówczas pojedyncze fragmenty ceramiki wczesnośredniowiecznej zarówno na majdanie, jak i na koronie wału w części północnej grodziska. Co więcej, na zachód od wału, na powierzchni pola zebrano liczne fragmenty ceramiki, datowanej na okres wpływów rzymskich i wczesne średniowiecze. Miejsce to zinterpretowano jako rozległą osadę przygrodową[11].

Pierwsze prace wykopaliskowe na tym stanowisku przeprowadzone zostały w 2012 r. przez Sławomira Wadyla. Ich głównym celem była weryfikacja wczesnośredniowiecznej chronologii grodziska[12]. W zachodniej części stanowiska, na wewnętrznym stoku wału wytyczono wykop o wymiarach 2 x 4 m (ryc. 10). Zarejestrowano nawarstwienia sięgające od 0,7 m we wschodniej części wykopu, do 1,3 m w partii przy koronie wału[13]. W wykopie odsłonięto nawarstwienia destrukcyjno-rumowiskowe zawierające znaczne ilości węgli drzewnych, spalenizny oraz bryłek polepy. Według interpretacji badacza nawarstwienia średniowieczne zniszczyły jamę osadniczą z wczesnej epoki żelaza. Ze względu na miejsce usytuowania wykopu nie zarejestrowano warstwy akumulacyjnej.

W ramach projektu badawczego *Katalog grodzisk Warmii i Mazur* w 2015 r. przeprowadzono na stanowisku badania wykopaliskowe. Na grodzisku założono dwa wykopy: na wewnętrznym stoku wału, a także na majdanie grodziska (ryc. 10). Ponadto wykonano szereg odwiertów, w tym także na obszarze przylegającym do wykopu sondażowego z roku 2012.

Wykop 1 o wymiarach 2 x 9 m wytyczono na wewnętrznym stoku wału w jego południowo-wschodniej części. Wykop 2, którego wymiary wynosiły 2 x 6 m założono na majdanie grodziska we wschodniej części cypla, 3 m na wschód od wykopu 1.

Odwierty (w liczbie 22) rozmieszczono w otoczeniu wykopu 1 i 2, a także wzdłuż dłuższej linii wykopu założonego na wale w 2012 roku. W wyniku tych prac, na zewnętrznym stoku walu grodziska (przy fosie) zadokumentowano węgle drzewne oraz intensywnie zabarwioną, ciemnoszarą warstwę kulturową. Dodatkowo z jednego z odwiertów od strony majdanu pozyskano jeden fragment ceramiki pochodzący z wczesnej epoki żelaza.

Stratygrafia stanowiska

Podczas badań archeologicznych związanych z projektem *Katalog grodzisk Warmii i Mazur*, przeprowadzonych w 2015 r. wydzielono 69 jednostek stratygraficznych, natomiast w czasie badań sondażowych przeprowadzonych w 2012 r. – 9 (tab. 1 i ryc. 11). Łącznie w wyniku badań archeologicznych wydzielono 78 jednostek, które podzielono na pięć głównych faz związanych z użytkowaniem tego obiektu.

Warstwy naturalne

Wał grodziska (W1, W1/2012) został usypany na naturalnych pokładach brunatnej gliny i jasnopomarańczowego piasku 12=30=31=8/2012. Na majdanie grodziska (W2) warstwą naturalną była zbita pomarańczowo-brunatna glina 19.

[10] Hoffmann i Mackiewicz 2004: 22–23.

[11] Hoffmann i Mackiewicz 2004: 22.

[12] Wadyl 2013b: 113.

[13] Wadyl 2012c.

Tabela 1. Lipowiec, st. 1. Katalog warstw i obiektów zbadanych w latach 2012 i 2015 oraz ich zależności stratygraficznych (oprac. K. Rabiega)

Numer jednostki	Numer obiektu	Numer wykopu	Położenie w obrębie stanowiska	Współrzędne siatki pomiarowej stanowiska	Opis jednostki stratygraficznej	Barwa (Munsell)	Pozycja stratygraficzna	
							Znajduje się pod	Znajduje się nad
1=1/2012	-	1/2012, 1, 2	Cały obszar stanowiska	–	Piaszczysta ziemia; humus leśny; miąższość do 20 cm	10YR 3/2	-	2, 3, 16, 19, 2/2012, 4/2012
2	-	1	Wewnętrzny stok wału	X=121–123; Y=445–453,50	Przemieszana piaszczysta ziemia ze śladami spalenizny; warstwa erozyjna; miąższość do 25 cm	10YR 4/3	1	3, 4, 6, 9, 46, 48
3	-	1	Wewnętrzny stok wału	X=121–123; Y=445,90–454	Piaszszysta ziemia ze śladami spalenizny; warstwa erozyjna; miąższość do 50 cm	10YR 4/4	1, 2	5, 6, 9
4	-	1	Nasyp wału	X=121–123; Y=445–447,30	Zbita piaszczysta ziemia z wtrętami gliny; nasyp wału; miąższość do 85 cm	10YR 4/6	2, 9, 10, 13, 14, 20, 46	12, 17, 18
5	-	1	Podnóże wewnętrznego stoku wału	X=121–123; Y=451–454	Zbita piaszczysta ziemia; warstwa użytkowa; zawierała fragmenty polepy i kamienie; miąższość do 20 cm	10YR 3/2	3, 9	7, 11, 12
6	46	1	Wewnętrzny stok wału	X= 121–122,25; Y= 445,45–448,50	Zbita piaszczysta ziemia z wtrąceniami węgli drzewnych; warstwa destrukcyjna, zawierająca ślady konstrukcji; miąższość do 35 cm	10YR 3/3	2, 3, 9, 46	7, 10
7	-	1	Wewnętrzny stok wału	X= 121–123; Y= 447,20–454	Zbita piaszczyta ziemia z wtrętami węgli drzewnych; występują kamienie; warstwa użytkowa/destrukcyjna umocnień wału; miąższość do 44 cm	10YR 2/2	5, 6, 9	10, 11, 12, 13, 14, 15, 20, 21, 26, 49, 57
8	8	1	Podnóże wewnętrznego stoku wału	X=122,86–122,95; Y=451,31–451,41	Obiekt (dołek posłupowy D22) z wypełniskiem 44; śr. ok. 8 cm; gł. 5 cm	-	11, 44	12
9	-	1	Wewnętrzny stok wału	X=121–123; Y=445,40–453	Piaszczysta ziemia; warstwa erozyjna z wału; miąższość do 30 cm	10YR 3/2	2, 3	4, 5, 6, 7, 14
10	-	1	Wewnętrzny stok wału	X=121–122; Y=445,15–447,90	Przepalona piaszczysta ziemia; warstwa erozyjna na wale; miąższość do 35	2,5Y 3/3	6, 7, 46	4, 13
11	-	1	Podnóże wewnętrznego stoku wału	X=121–123; Y=448,90–454	Gliniasta ziemia; bielicowa warstwa erozyjna; miąższość do 15 cm	10YR 7/2	5, 7, 14	8, 12, 20, 22, 23, 24, 25, 27, 28, 29, 32, 33, 34, 35, 36, 37, 38, 39, 40, 41, 42, 43, 44, 45, 47, 50, 51, 52, 53, 54, 55, 56, 58, 59, 60, 61, 62, 63, 64, 65, 66, 67, 68, 69
12=30=31=8/2012	-	1/2012, 1	Wewnętrzny stok wału	X=121–123; Y=445–454	Zbita, piaszczysta ziemia z wtrętami gliny i jasna glina; calec	7,5YR 4/4	4, 5, 7, 8, 11, 13, 15, 17, 20, 47, 49, 50, 51, 52, 53, 54, 55, 56, 57, 58, 59, 60, 61, 62, 63, 64, 65, 66, 67, 68, 69, 4/2012, 5/2012, 9/2012	-
13	-	1	Wewnętrzny stok wału	X=121–122,20; Y=445,50–448,70	Luźna piaszczysta ziemia zawierająca duże ilości fragmentów węgli drzewnych, a także spalone deski i belki; duże kamienie dł. do 30 cm; pozostałość kamienno-drewnianej konstrukcji umocnienia wału; miąższość do 55 cm	10YR 2/1	7, 10, 20	4, 12, 15, 17
14	-	1	Wewnętrzny stok wału	X=122–123; Y=446,50–449,15	Luźna piaszczysta ziemia zawierająca węgle drzewne; pozostałość umocnień wału; miąższość do 55 cm	10YR 5/3	7, 9	4, 11, 20
15	-	1	Wewnętrzny stok wału	X=121–122; Y=447,80–449,80	Piaszczysta ziemia z wytrąceniami gliny; poziom przygotowania do budowy wału; miąższość do 20 cm	7,5YR 3/1	7, 13, 20	12
16	-	2	Majdan grodziska	X=123–125; Y=460–463	Sypka, piaszczysta warstwa; miąższość do 25 cm	10YR 4/3	1	19
17	-	1	Nasyp wału	X=121–123; Y=445–446,10	Zbita piaszczysta ziemia; najniższa warstwa nasypu wału; miąższość do 35 cm	10YR 4/3	4, 13, 18	12
18	-	1	Nasyp wału	X=121,50–123; Y=445–445,55	Cienka piaszczysta warstwa; element nasypu wału; miąższość do 8 cm	10YR 6/2	4	17
19	-	2	Majdan grodziska	X=123–125; Y=457–463	Warstwa zbitej gliny; calec	7,5YR 4/6	1, 16	-
20	-	1	Wewnętrzny stok wału	X=121–123; Y=447,20–449,80	Gliniasta ziemia z polepą i przepalonymi wtrętami; warstwa erozyjna po opuszczeniu grodu z I fazy; miąższość do 25 cm	7,5YR 4/6	7, 11, 14	4, 12, 13, 15

Tabela 1. Ciąg dalszy

Numer jednostki	Numer obiektu	Numer wykopu	Położenie w obrębie stanowiska	Współrzędne siatki pomiarowej stanowiska	Opis jednostki stratygraficznej	Barwa (Munsell)	Pozycja stratygraficzna	
							Znajduje się pod	Znajduje się nad
21	49	1	Podnóże wewnętrznego stoku wału	X=121–121,40; Y=452,58–452,98	Zbita piaszczysta ziemia z drobinami węgla drzewnego i kamieniami; wypełnisko dołka posłupowego D01; miąższość do 45 cm	10YR 2/1	7	49
22	50	1	Podnóże wewnętrznego stoku wału	X=121,08–121–14; Y=451,95–452,01	Zbita piaszczysta ziemia; wypełnisko dołka posłupowego D02; miąższość do 9 cm	10YR 2/1	11	50
23	51	1	Podnóże wewnętrznego stoku wału	X=122–122,08; Y=452,07–452,13	Zbita piaszczysta ziemia z drobinami węgli drzewnych; wypełnisko dołka posłupowego D03; miąższość do 6 cm	10YR 2/1	11	51
24	52	1	Podnóże wewnętrznego stoku wału	X=122,24–122,30; Y=451,63–451,69	Zbita piaszczysta ziemia z drobinami węgla drzewnego; wypełnisko dołka posłupowego D04; miąższość do 6 cm	10YR 2/1	11	52
25	53	1	Podnóże wewnętrznego stoku wału	X=121,90–121,91; Y=451,25–451	Zbita piaszczysta ziemia z drobinami węgla drzewnego; wypełnisko dołka posłupowego D05; miąższość do 6 cm	10YR 2/1	11	53
26	57	1	Podnóże wewnętrznego stoku wału	X=121,94–122,10; Y=453,85–454	Zbita piaszczysta ziemia z drobinami węgla drzewnego i kamieniami; wypełnisko dołka posłupowego D09; miąższość do 20 cm	10YR 2/1	7	57
27	54	1	Podnóże wewnętrznego stoku wału	X=122,59–122,63; Y=450,91–451,01	Piaszczysta ziemia z drobinami węgla drzewnego; wypełnisko dołka posłupowego D06; miąższość do 4 cm	10YR 2/1	11	54
28	55	1	Podnóże wewnętrznego stoku wału	X=122,82–122,90; Y=451,09–451,17	Piaszczysta ziemia; wypełnisko dołka posłupowego D07; miąższość do 6 cm	10YR 2/1	11	55
29	56	1	Podnóże wewnętrznego stoku wału	X=122,80–122,85; Y=451,69–451,77	Piaszczysta ziemia; wypełnisko dołka posłupowego D08; miąższość do 4 cm	10YR 2/1	11	56
32	58	1	Podnóże wewnętrznego stoku wału	X=121,91–121,96; Y=449,06–449,12	Piaszczysto-gliniasta ziemia; wypełnisko dołka posłupowego D10; miąższość do 4 cm	10YR 3/1	11	58
33	59	1	Podnóże wewnętrznego stoku wału	X=122,23–122,29; Y=450,16–450,22	Piaszczysto-gliniasta ziemia; wypełnisko dołka posłupowego D11; miąższość do 6 cm	10YR 3/1	11	59
34	60	1	Podnóże wewnętrznego stoku wału	X=122,45–122,50; Y=450,20–450,24	Piaszczysto-gliniasta ziemia; wypełnisko dołka posłupowego D12; miąższość do 5 cm	10YR 3/1	11	60
35	61	1	Podnóże wewnętrznego stoku wału	X=122,52–122,57; Y=450,30–450,35	Piaszczysta ziemia; wypełnisko dołka posłupowego D13; miąższość do 5 cm	10YR 2/1	11	61
36	62	1	Podnóże wewnętrznego stoku wału	X=122,53–122,59; Y=450,70–450,76	Piaszczysta ziemia; wypełnisko dołka posłupowego D14; miąższość do 8 cm	10YR 2/1	11	62
37	63	1	Podnóże wewnętrznego stoku wału	X=122,05–122,11; Y=450,65–450,72	Piaszczysta ziemia z rdzawymi wytrąceniami oraz z węglami drzewnymi; wystąpił kamień; wypełnisko dołka posłupowego D15; miąższość do 8 cm	10YR 3/1	11	63
38	64	1	Podnóże wewnętrznego stoku wału	X=121,57–122,63; Y=450,50–450,56	Piaszczysta ziemia; wypełnisko dołka posłupowego D16; miąższość do 6 cm	10YR 3/1	11	64
39	65	1	Podnóże wewnętrznego stoku wału	X=121,50–121,55; Y=450,35–450,40	Piaszczysta ziemia; wypełnisko dołka posłupowego D17; miąższość do 7 cm	10YR 3/1	11	65
40	66	1	Podnóże wewnętrznego stoku wału	X=121,05–121,21; Y=450,92–451,24	Piaszczysta ziemia z kamieniami i drobnymi fragmentami węgli drzewnych; wypełnisko dołka posłupowego D18; miąższość do 24 cm	10YR 3/1	11	66
41	67	1	Podnóże wewnętrznego stoku wału	X=121,61–121,71; Y=451,36–451,46	Gliniasta ziemia; wypełnisko dołka posłupowego D19; miąższość do 10 cm	10YR 3/1	11	67
42	68	1	Podnóże wewnętrznego stoku wału	X=121,87–121,95; Y=451,31–451,37	Piaszczysta ziemia; wypełnisko dołka posłupowego D20; miąższość do 5 cm	10YR 3/1	11	68
43	69	1	Podnóże wewnętrznego stoku wału	X=122,05–122,12; Y=451,66–451,74	Piaszczysta ziemia; wypełnisko dołka posłupowego D21; miąższość do 7 cm	10YR 3/1	11	69

Tabela 1. Ciąg dalszy

Numer jednostki	Numer obiektu	Numer wykopu	Położenie w obrębie stanowiska	Współrzędne siatki pomiarowej stanowiska	Opis jednostki stratygraficznej	Barwa (Munsell)	Pozycja stratygraficzna	
							Znajduje się pod	Znajduje się nad
44	8	1	Podnóże wewnętrznego stoku wału	X=122,86–122,95; Y=451,31–451,41	Piaszczysta ziemia; wypełnisko dołka posłupowego D22; miąższość do 5 cm	10YR 3/1	11	8
45	47	1	Podnóże wewnętrznego stoku wału	X=121,36–121,46; Y=452,30–452,40	Piaszczysta ziemia; wypełnisko dołka posłupowego D23; miąższość do 9 cm	10YR 3/1	11	47
46	46	1	Szczyt wału	X=121–121,50; Y=445–445,45	Duży obiekt z wypełniskiem 48 na szczycie wału; nieregularny kształt; nora zwierzęca/wykrot; gł. 60 cm	-	2, 48	4, 6, 10
47	47	1	Podnóże wewnętrznego stoku wału	X=121,36–121,46; Y=452,30–452,40	Obiekt (dołek posłupowy D23) z wypełniskiem 45; śr. 10 cm; gł. 9 cm	-	11, 45	12
48	46	1	Szczyt wału	X=121–121,50; Y=445–445,45	Zbity piaszczysta ziemia z wtrąceniami węgla drzewnego; zawierała fragmenty polepy i kamienie; wypełnisko obiektu 46; miąższość do 60 cm	10YR 3/3	2	46
49	49	1	Podnóże wewnętrznego stoku wału	X=121–121,40; Y=452,58–452,98	Obiekt (dołek posłupowy D01) z wypełniskiem 21; w oprawie kamiennej; śr. ok. 40 cm; gł. 45 cm	-	7, 21	12
50	50	1	Podnóże wewnętrznego stoku wału	X=121,08–121,14; Y=451,95–452,01	Obiekt (dołek posłupowy D02) z wypełniskiem 22; śr. ok. 6 cm; gł. 9 cm	-	11, 22	12
51	51	1	Podnóże wewnętrznego stoku wału	X=122–122,08; Y=452,07–452,13	Obiekt (dołek posłupowy D03) z wypełniskiem 23; śr. ok. 6 cm; gł. 6 cm	-	11, 23	12
52	52	1	Podnóże wewnętrznego stoku wału	X=122,24–122,30; Y=451,63–451,69	Obiekt (dołek posłupowy D04) z wypełniskiem 24; śr. 6 cm; gł. 6 cm	-	11, 24	12
53	53	1	Podnóże wewnętrznego stoku wału	X=121,90–121,91; Y=451,25–451	Obiekt (dołek posłupowy D05) z wypełniskiem 25; śr. 6 cm; gł. 6 cm	-	11, 25	12
54	54	1	Podnóże wewnętrznego stoku wału	X=122,59–122,63; Y=450,91–451,01	Obiekt (dołek posłupowy D06) z wypełniskiem 27; wym. 4 x 10 cm; gł. 4 cm	-	11, 27	12
55	55	1	Podnóże wewnętrznego stoku wału	X=122,82–122,90; Y=451,09–451,17	Obiekt (dołek posłupowy D07) z wypełniskiem 28; śr. 8 cm; gł. 6 cm	-	11, 28	12
56	56	1	Podnóże wewnętrznego stoku wału	X=122,80–122,85; Y=451,69–451,77	Obiekt (dołek posłupowy D08) z wypełniskiem 29; wym. 5 x 8 cm; gł. 4 cm	-	11, 29	12
57	57	1	Podnóże wewnętrznego stoku wału	X=121,94–122,10; Y=453,85–454	Obiekt (dołek posłupowy D09) z wypełniskiem 26; wym. 10 x 16 cm; gł. 20 cm	-	7, 26	12
58	58	1	Podnóże wewnętrznego stoku wału	X=121,91–121,96; Y=449,06–449,12	Obiekt (dołek posłupowy D10) z wypełniskiem 32; śr. 5 cm; gł. 4 cm	-	11, 32	12
59	59	1	Podnóże wewnętrznego stoku wału	X=122,23–122,29; Y=450,16–450,22	Obiekt (dołek posłupowy D11) z wypełniskiem 33; śr. ok. 6 cm; gł. 6 cm	-	11, 33	12
60	60	1	Podnóże wewnętrznego stoku wału	X=122,45–122,50; Y=450,20–450,24	Obiekt (dołek posłupowy D12) z wypełniskiem 34; śr. 4 cm; gł. 5 cm	-	11, 34	12
61	61	1	Podnóże wewnętrznego stoku wału	X=122,52–122,57; Y=450,30–450,35	Obiekt (dołek posłupowy D13) z wypełniskiem 35; śr. 5 cm; gł. 5 cm	-	11, 35	12
62	62	1	Podnóże wewnętrznego stoku wału	X=122,53–122,59; Y=450,70–450,76	Obiekt (dołek posłupowy D14) z wypełniskiem 36; śr. 6 cm; gł. 8 cm	-	11, 36	12
63	63	1	Podnóże wewnętrznego stoku wału	X=122,05–122,11; Y=450,65–450,72	Obiekt (dołek posłupowy D15) z wypełniskiem 37; śr. 6 cm; gł. 8 cm	-	11, 37	12
64	64	1	Podnóże wewnętrznego stoku wału	X=121,57–122,63; Y=450,50–450,56	Obiekt (dołek posłupowy D16) z wypełniskiem 38; wym. 4 x 7 cm; gł. 6 cm	-	11, 38	12

Tabela 1. Ciąg dalszy

Numer jednostki	Numer obiektu	Numer wykopu	Położenie w obrębie stanowiska	Współrzędne siatki pomiarowej stanowiska	Opis jednostki stratygraficznej	Barwa (Munsell)	Pozycja stratygraficzna	
							Znajduje się pod	Znajduje się nad
65	65	1	Podnóże wewnętrznego stoku wału	X=121,50–121,55; Y=450,35–450,40	Obiekt (dołek posłupowy D17) z wypełniskiem 39; śr. 5 cm; gł. 7 cm	-	11, 39	12
66	66	1	Podnóże wewnętrznego stoku wału	X=121,05–121,21; Y=450,92–451,24	Obiekt (dołek posłupowy D18) z wypełniskiem 40; wym. 16 x 32 cm; gł. 24 cm	-	11, 40	12
67	67	1	Podnóże wewnętrznego stoku wału	X=121,61–121,71; Y=451,36–451,46	Obiekt (dołek posłupowy D19) z wypełniskiem 41; śr. 10 cm; gł. 10 cm	-	11, 41	12
68	68	1	Podnóże wewnętrznego stoku wału	X=121,87–121,95; Y=451,31–451,37	Obiekt (dołek posłupowy D20) z wypełniskiem 42; śr. ok. 8 cm; gł. 5 cm	-	11, 42	12
69	69	1	Podnóże wewnętrznego stoku wału	X=122,05–122,12; Y=451,66–451,74	Obiekt (dołek posłupowy D21) z wypełniskiem 43; śr. ok. 7 cm; gł. 5 cm	-	11, 43	12
2/2012	-	1/2012	Wewnętrzny stok wału		Piaszczysta ziemia przemieszana z jasnopomarańczową gliną; zawierająca węgle drzewne	10YR 4/1	1	3/2012, 4/2012
3/2012	-	1/2012	Wewnętrzny stok wału		Piaszczysta ziemia; zawierająca dużą ilość węgli drzewnych i spalenizny	10YR 6/2	2/2012	4/2012
4/2012	-	1/2012	Wewnętrzny stok wału		Piaszczysta ziemia; przemieszana w układzie warstewkowym z jasnopomarańczową gliną	10YR 7/6	1, 2/2012, 3/2012	12, 5/2012, 7/2012
5/2012	-	1/2012	Wewnętrzny stok wału		Jasnoszary piasek	10YR 7/2	4/2012, 7/2012	12, 6/2012, 9/2012
6/2012	9/2012	1/2012	Wewnętrzny stok wału		Piaszczysta ziemia; wypełnisko obiektu 9/2012	10YR 4/3	5/2012	9/2012
7/2012	-	1/2012	Wewnętrzny stok wału		Piaszczysta ziemia; warstwa spalenizny	10YR 4/1	4/2012	5/2012
9/2012	9/2012	1/2012	Wewnętrzny stok wału		Obiekt z wypełniskiem 6/2012	-	5/2012, 6/2012	12

Tabela 2. Zestawienie dołów posłupowych z grodziska w Lipowcu, st. 1 (oprac. K. Rabiega i J. Wawrzeniuk)

L.p.	Nr obiektu	Nr wypełniska	Wymiary	Głębokość	Kształt w planie	Kształt w przekroju	Zawartość
D01	49	21	40 cm	45 cm	owalny	lejowaty	kamienie, fragmenty polepy, węgle drzewne
D02	50	22	6 cm	9 cm	owalny	nieregularny	-
D03	51	23	6 cm	6 cm	owalny	U-kształtny	węgle drzewne
D04	52	24	6 cm	6 cm	okrągły	U-kształtny	węgle drzewne
D05	53	25	6 cm	6 cm	okrągły	U-kształtny	węgle drzewne
D06	54	27	4 x 10 cm	4 cm	owalny	nieregularny	węgle drzewne
D07	55	28	8 cm	6 cm	okrągły	U-kształtny	-
D08	56	29	5 x 8 cm	4 cm	owalny	U-kształtny	-
D09	57	26	10 x 16 cm	20 cm	owalny	lejowaty	kamienie, węgle drzewne
D10	58	32	5 cm	4 cm	okrągły	U-kształtny	-
D11	59	33	6 cm	6 cm	owalny	U-kształtny	-
D12	60	34	4 cm	5 cm	okrągły	nieokreślony	-
D13	61	35	5 cm	5 cm	okrągły	U-kształtny	-
D14	62	36	6 cm	8 cm	okrągły	nieregularny, zbliżony do V-kształtnego	-
D15	63	37	6 cm	8 cm	okrągły	nieregularny, zbliżony do V-kształtnego	kamień; węgle drzewne
D16	64	38	4 x 5 cm	6 cm	owalny	U-kształtny	-
D17	65	39	5 cm	7 cm	okrągły	U-kształtny	-
D18	66	40	16 x 32 cm	24 cm	owalny	lejowaty	kamienie, węgle drzewne
D19	67	41	10 cm	10 cm	okrągły	U-kształtny	-
D20	68	42	8 cm	5 cm	owalny	nieregularny	-
D21	69	43	7 cm	7 cm	owalny	U-kształtny	-
D22	8	44	8 cm	5 cm	owalny	nieokreślony	-
D23	47	45	10 cm	9 cm	okrągły	nieregularny	-

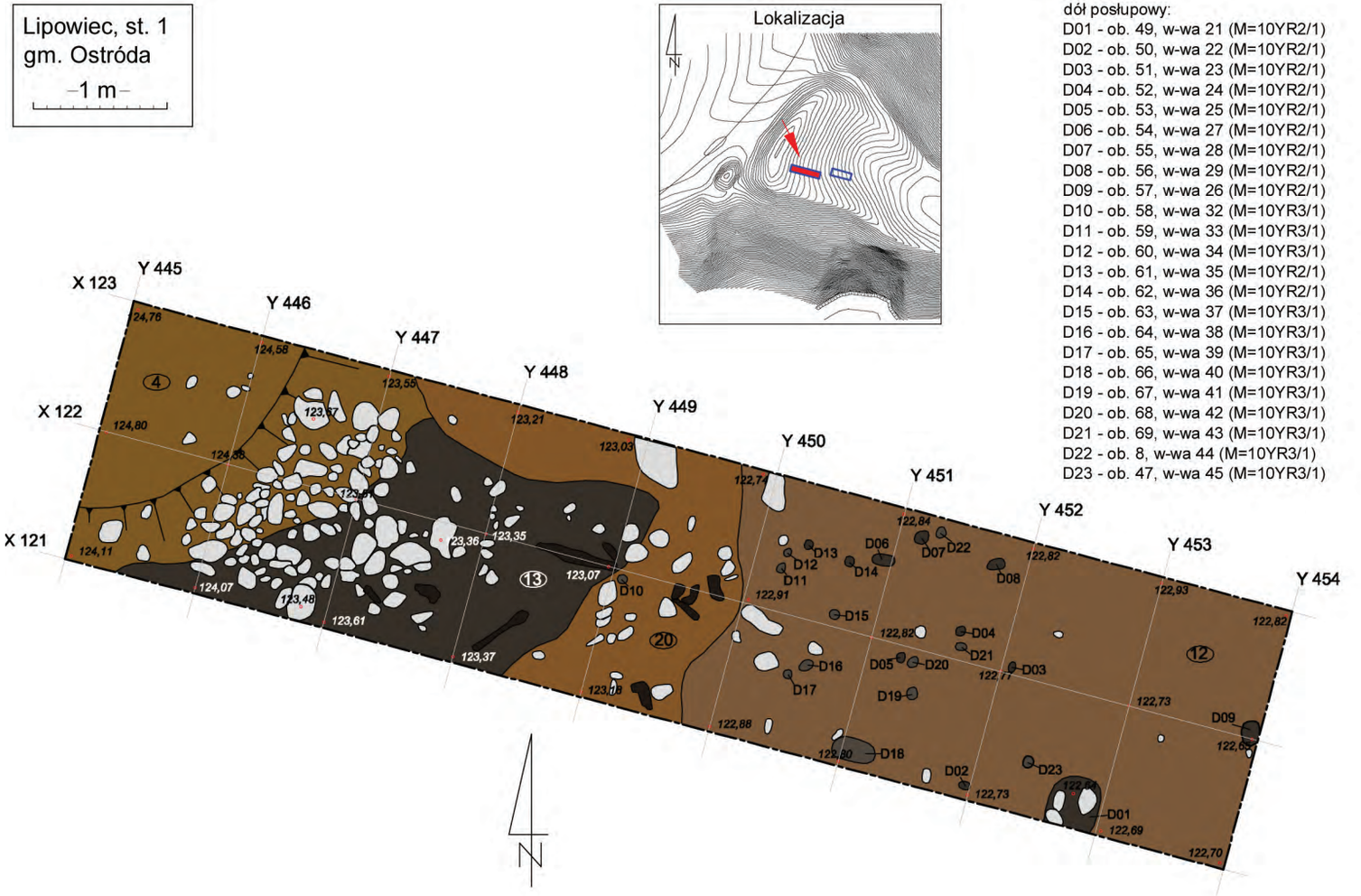

Ryc. 12. Lipowiec, st. 1. Plan obiektów i nawarstwień z Fazy I w wykopie 1 (oprac. K. Rabiega, R. Solecki i J. Wawrzeniuk)

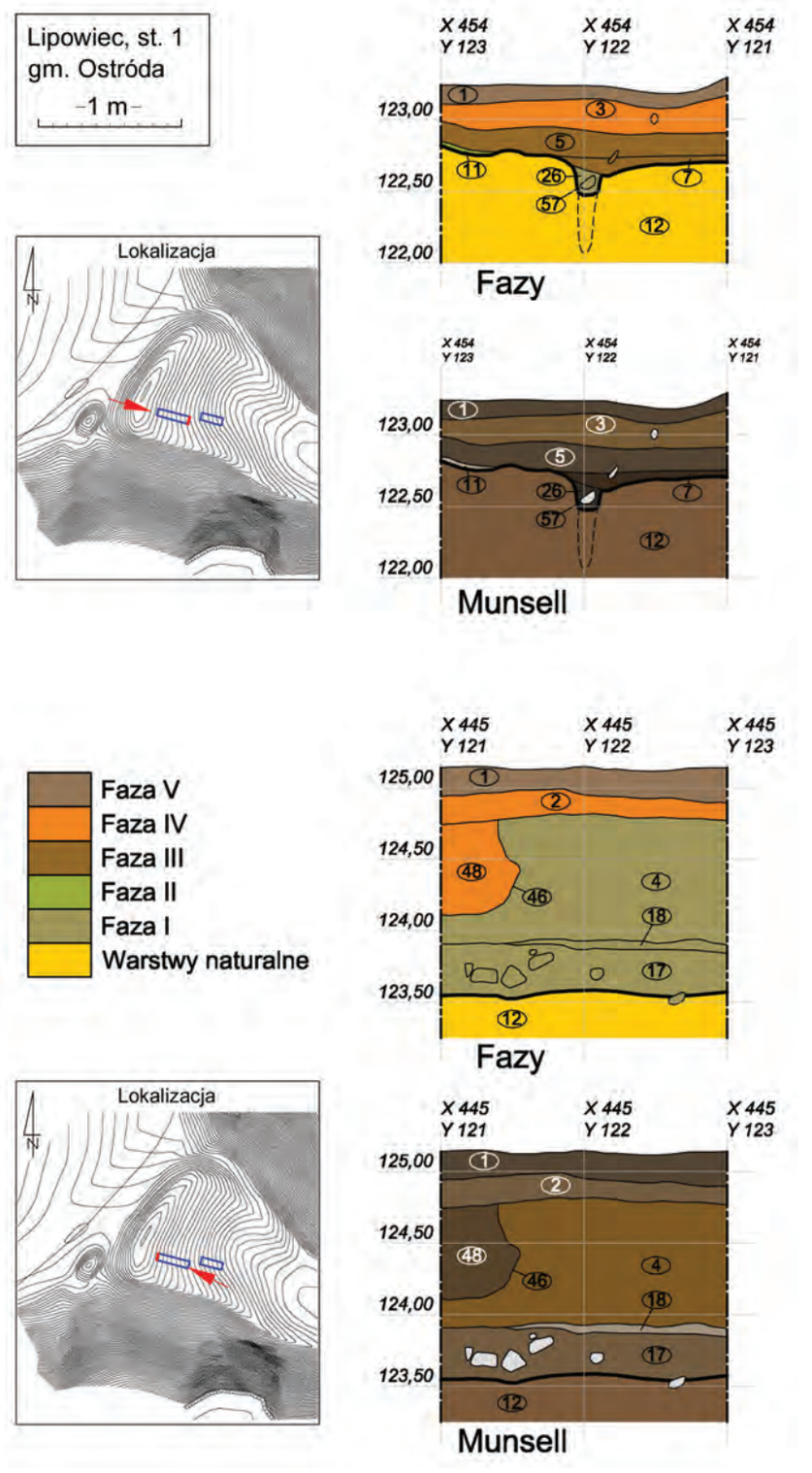

Ryc. 13. Lipowiec, st. 1. Stratygrafia grodziska widoczna w ścianie wschodniej i zachodniej wykopu 1 (oprac. K. Rabiega, R. Solecki i J. Wawrzeniuk)

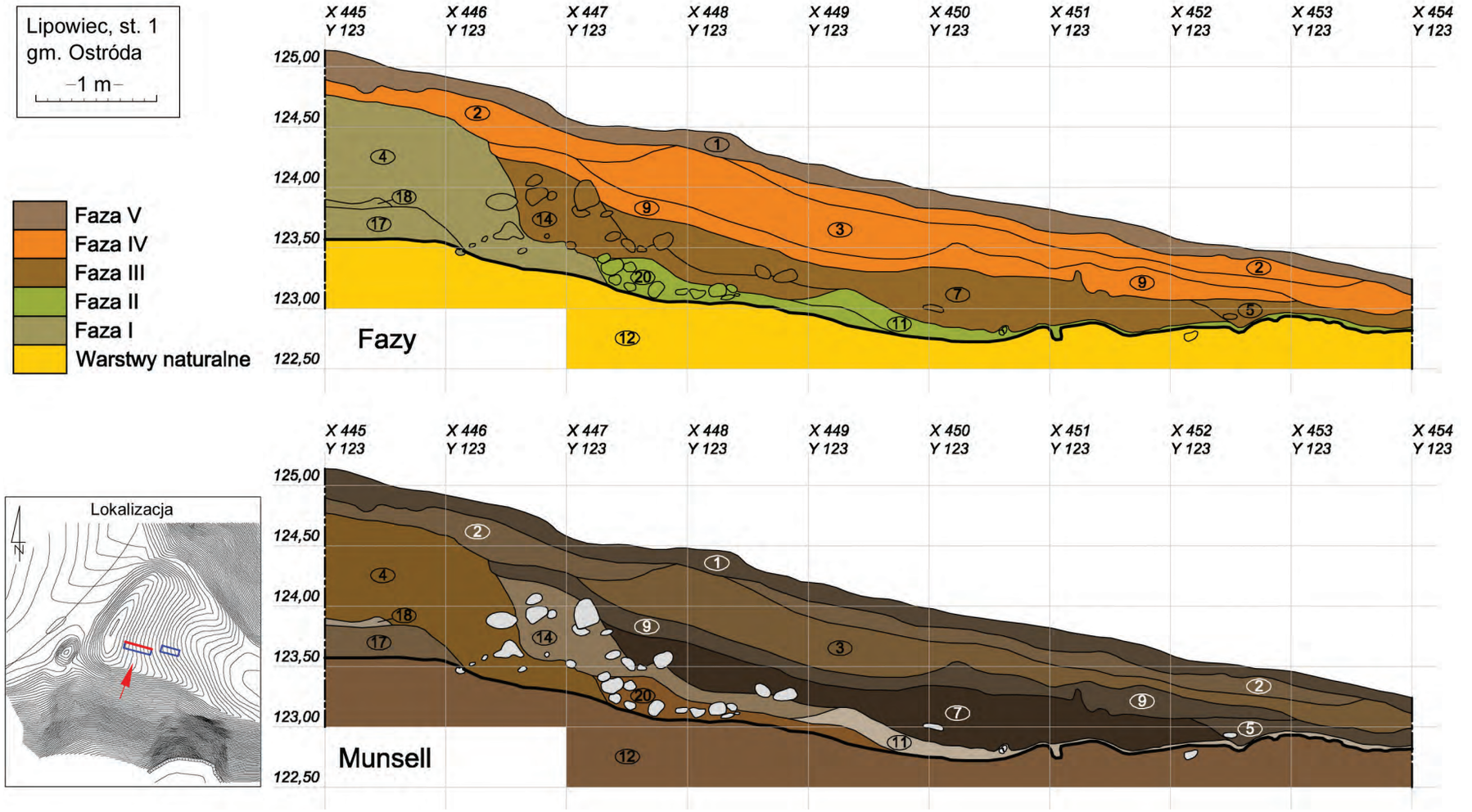

Ryc. 14. Lipowiec, st. 1. Stratygrafia grodziska widoczna w ścianie północnej wykopu 1 (oprac. K. Rabiega, R. Solecki i J. Wawrzeniuk)

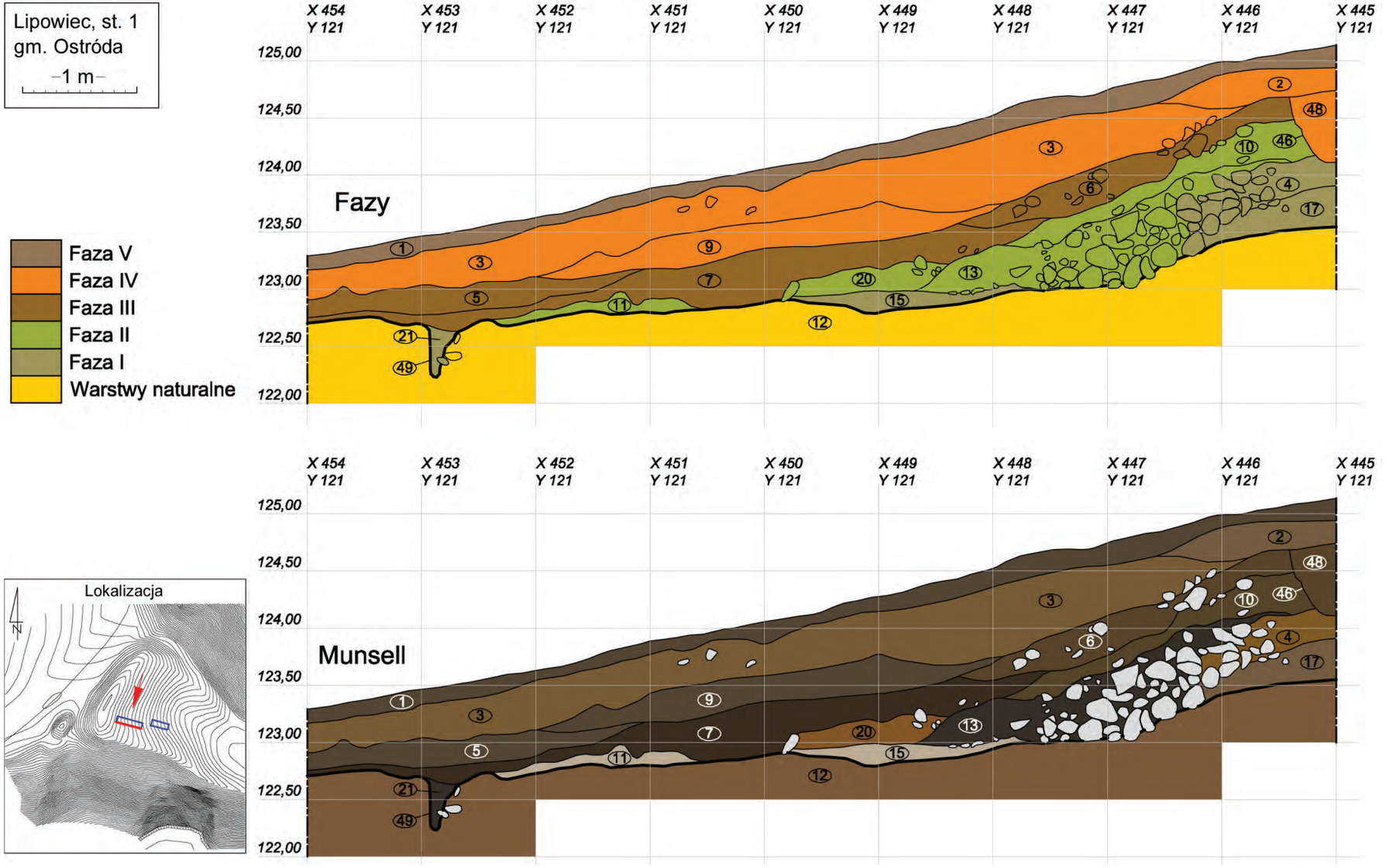

Ryc. 15. Lipowiec, st. 1. Stratygrafia grodziska widoczna w ścianie południowej wykopu 1 (oprac. K. Rabiega, R. Solecki i J. Wawrzeniuk)

Faza I – wczesna epoka żelaza (ryc. 12–15)

Pierwsza faza osadnicza grodziska związana jest z budową i funkcjonowaniem grodziska we wczesnej epoce żelaza. Wniesiono wówczas wał, który ograniczał majdan od strony północno-zachodniej, a jego pozostałości w formie nawarstwień zachowały się do wysokości ponad 1 m. Poziom przygotowania do budowy wału zachował się w postaci warstwy ciemnoszarego piasku z jasnoszarą gliną 15. W obszarze wykopu W1/2012 natrafiono na zniwelowany obiekt 9/2012 z wypełniskiem ciemnoszaro-jasnobrunatnego piasku 6/2012. Jama została zniwelowana podczas nadsypania niewielkiego wału, który stanowiła warstwa jasnoszarego piasku 5/2012. Powyżej zdeponowano kolejne warstwy nasypu wału: zbitą piaszczystą warstwę 17, cienki pokład brązowo-szarego piasku 18, a także warstwę zbitego ciemnożółto-brunatnego piasku z wytrąceniami pomarańczowej gliny 4 (ryc. 16). Wał został zbudowany w konstrukcji kamienno-drewnianej, a jej pozostałości zachowały się w postaci dużych i średnich kamieni (w większości o wymiarach ok. 20 x 30 cm), zalegających w jednostkach 17, 4, oraz w warstwie spalenizny 13, zawierającej pokłady zwęglonych bierwion o grubości od 6 do 18 cm (ryc. 17). Na kamieniach ułożono konstrukcję drewnianą w formie przekładkowej, wypełnioną ziemią i prawdopodobnie również kamieniami. Wał został spalony, o czym świadczą przepalone bierwiona, węgle drzewne, przepalone fragmenty gliny czy ceramiki. Konstrukcja pod wpływem pożaru i procesów podepozycyjnych uległa zawaleniu, pozostawiając zwęglone dranice i bierwiona (ryc. 18). Także na obszarze wykopu 1/2012 zaobserwowano pozostałości konstrukcji drewnianej, w postaci warstwy spalenizny z niewielką ilością szarego piasku 7/2012. Pierwotne posadowienie konstrukcji drewnianej na konstrukcji kamiennej widoczne jest szczególnie w południowej ścianie wykopu 1 (ryc. 19).

Od strony majdanu grodziska wzniesiono kolejną konstrukcję, którą wzmacniały rzędy palików, sporadycznie wzmacniane kamieniami. Pozostałością po niej są zaobserwowane w planie nieregularne ciągi słabo czytelnych, niewielkich dołków posłupowych. Wypełniska tych obiektów stanowił zbity ciemnoszary piasek z drobinami węgla drzewnego. Dołki posłupowe charakteryzowały się średnicą od 4 do 40 cm i zróżnicowaną głębokością (tab. 2). Z procesem przygotowania pod budowę związany był także obiekt 49 (wypełnisko 21), który widoczny był również w południowym profilu wykopu (ryc. 20). Wszystkie te obiekty zostały wkopane w warstwę naturalną. Niektóre fragmenty drewna zachowały się w postaci regularnych smug o owalnych kształtach. Pozostałości dołków posłupowych nie sugerują konkretnego układu, a w wyniku zniwelowania na-

Ryc. 16. Lipowiec, st. 1. Zachodnia ściana wykopu 1 z widocznymi warstwami nasypu wału; na bliższym planie kamienna konstrukcja umocnień; widok od strony wschodniej (fot. J. Wawrzeniuk)

Ryc. 17. Lipowiec, st. 1. Kamienne umocnienia wału z Fazy I; widok od strony zachodniej (fot. J. Wawrzeniuk)

Ryc. 18. Lipowiec, st. 1. Warstwa destrukcyjna konstrukcji umocnień w wykopie 1; w warstwie zalegające zwęglone dranice i bierwiona; widok z góry od strony południowej (fot. J. Wawrzeniuk)

Ryc. 19. Lipowiec, st. 1. Południowa ściana wykopu 1 z widocznym układem konstrukcji kamienno-drewnianej; widok od strony północnej (fot. J. Wawrzeniuk)

Ryc. 20. Lipowiec, st. 1. Obiekt 49 (dół posłupowy D01) w wykopie 1 (fot. J. Wawrzeniuk)

warstwień w późniejszej fazie użytkowej grodziska trudno jest ustalić przebieg tej konstrukcji. Można jedynie zaobserwować, że przebieg obiektów jest zgodny z kulminacją wału.

Faza II – opuszczenie grodziska

Faza opuszczenia grodziska znajduje odzwierciedlenie w erozji warstw, które zsunęły się ze stoku w kierunku wschodnim, a także powstania warstw bielicowych. Warstwa spalenizny 13 została przykryta ciemnoszaro-czarnym przepalonym piaskiem 10, warstwą pomarańczowej gliny z polepą i przepalonymi wtrętami 20 oraz jasnoszarą gliną 11.

Faza III – wczesne średniowiecze

We wczesnym średniowieczu poprawiono kształt wału, częściowo niwelując starsze warstwy zalegające na stoku (ryc. 21). Ślady ponownego osadnictwa stanowi warstwa luźnego brunatnego piasku z domieszką węgla drzewnego 14, która zawiera kamienie, będące prawdopodobnie umocnieniem wału. W trakcie osadnictwa, na stoku odłożyła się warstwa ciemnoszarego zbitego piasku z domieszką węgla 7, a także warstwa zbitego piasku o ciemnobrunatnym kolorze 5. Tworzenie się obu warstw w obrębie jednej fazy podkreśla obecność kamieni, które mogły stanowić umocnienie wału, a które pojawiły się także w warstwie użytkowej. Wtedy także podsypano wał, a na nim powstała kolejna konstrukcja kamienna, która mogła stanowić jego umocnienie. Zachowały się także ślady konstrukcji drewnianej, która w wyniku pożaru i destrukcji widoczna jest w postaci zwęglonych bierwion. Pozostałości konstrukcji kamiennej i drewnianej odkryto w ciemnobrunatnej warstwie zbitego piasku 6 (ryc. 22).

W obrębie wykopu W1/2012 zaobserwowano warstwę jasnożółtego piasku przemieszanego w układzie warstewkowym z jasnopomarańczową gliną 4/2012. Stanowiła ona nasyp, na którym powstała konstrukcja drewniana, zachowana w postaci jasnobrunatno-szarego piasku z dużą ilością węgli drzewnych i spalenizny 3/2012.

Faza IV – opuszczenie grodziska i jego wykorzystanie w późnym średniowieczu

Po opuszczeniu grodziska we wczesnym średniowieczu procesy erozyjne zaczęły powodować sukcesywną destrukcję wału i osuwanie się warstw w kierunku majdanu. W dolnej partii stoku powstała erozyjna warstwa szaro-brunatno-beżowego piasku 9. W wyniku erozji powstała także warstwa ciemnoszarego piasku przemieszanego z jasnopomarańczową gliną z węglami drzewnymi 2/2012, zaobserwowana w wykopie W1/2012. Prawdopodobnie stanowiła ona ślad po glinianym umocnieniu korony wału. Na szczycie zadokumentowano obiekt 46 z wypełniskiem zbitego ciemnobrunatnego piasku

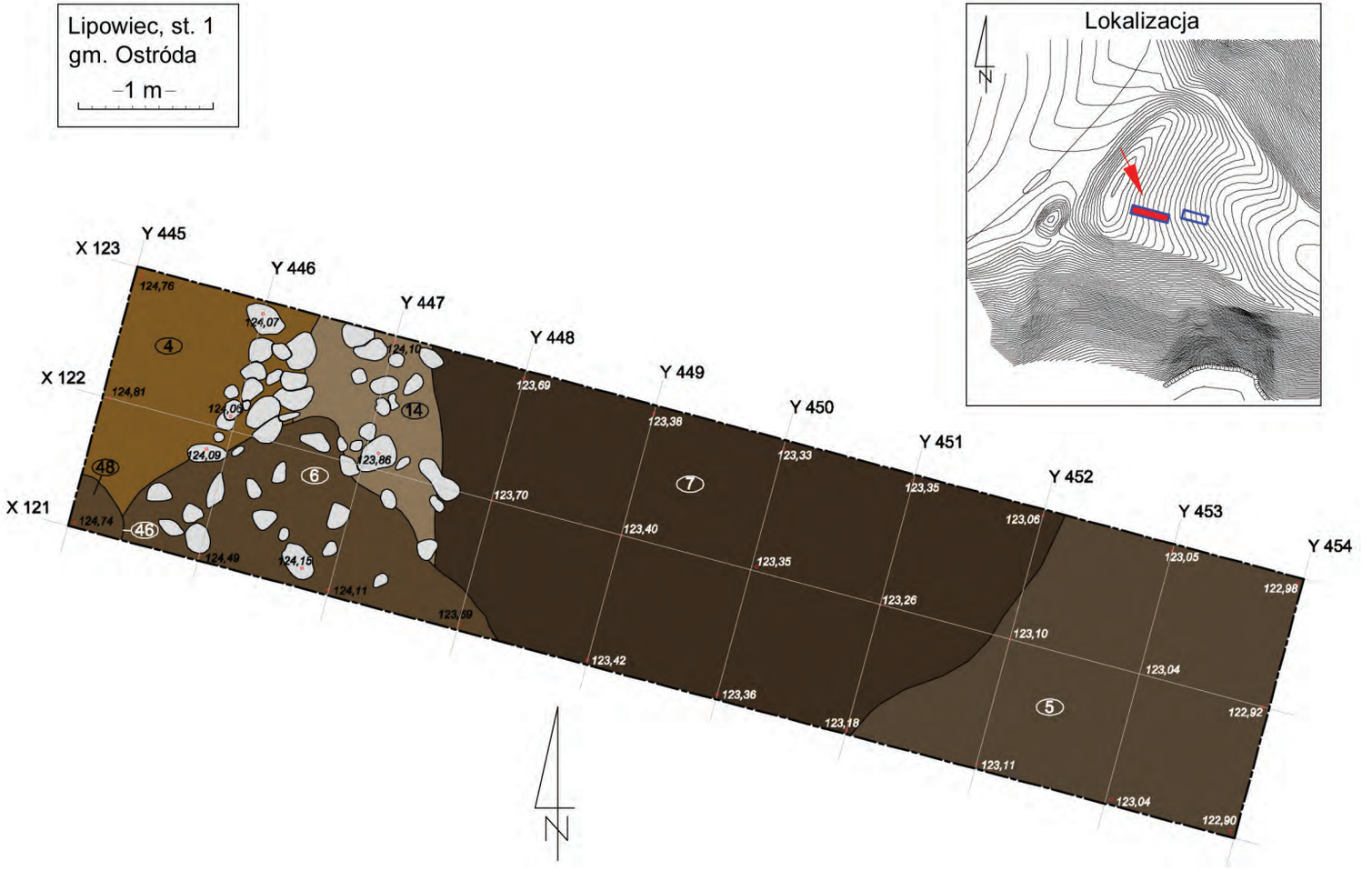

Ryc. 21. Lipowiec, st. 1. Plan obiektów i nawarstwień z Fazy III w wykopie 1 (oprac. K. Rabiega, R. Solecki i J. Wawrzeniuk)

Ryc. 22. Lipowiec, st. 1. Nawarstwienia Fazy III w wykopie 1; widok od strony wschodniej (fot. J. Wawrzeniuk)

z wtrąceniami węgla drzewnego 48. Jest to prawdopodobnie pozostałość po norze zwierzęcej lub wykrocie, jednak w wypełnisku znajdowały się fragmenty ceramiki.

Jednostki stratygraficzne, które przykryły starsze warstwy kulturowe wskazują także na pewną aktywność osadniczą w późnym średniowieczu, jednak bardzo znikomą. Śladem tego jest erozyjna warstwa ciemnożółto-brązowego piasku 3, a także ciemnoszaro-brązowy piasek 2, których barwa oraz sedyment wskazują na działanie ognia.

Faza V – nowożytność i współczesność

Do tej fazy należy żółto-pomarańczowa piaszczysta warstwa 16 na majdanie grodu, w której natrafiono jedynie na dwa fragmenty ceramiki datowanej na okres nowożytny. W wykopie założonym w tej części majdanu nie zaobserwowano jakichkolwiek nawarstwień kulturowych z wczesnej epoki żelaza, czy średniowiecza (ryc. 23).

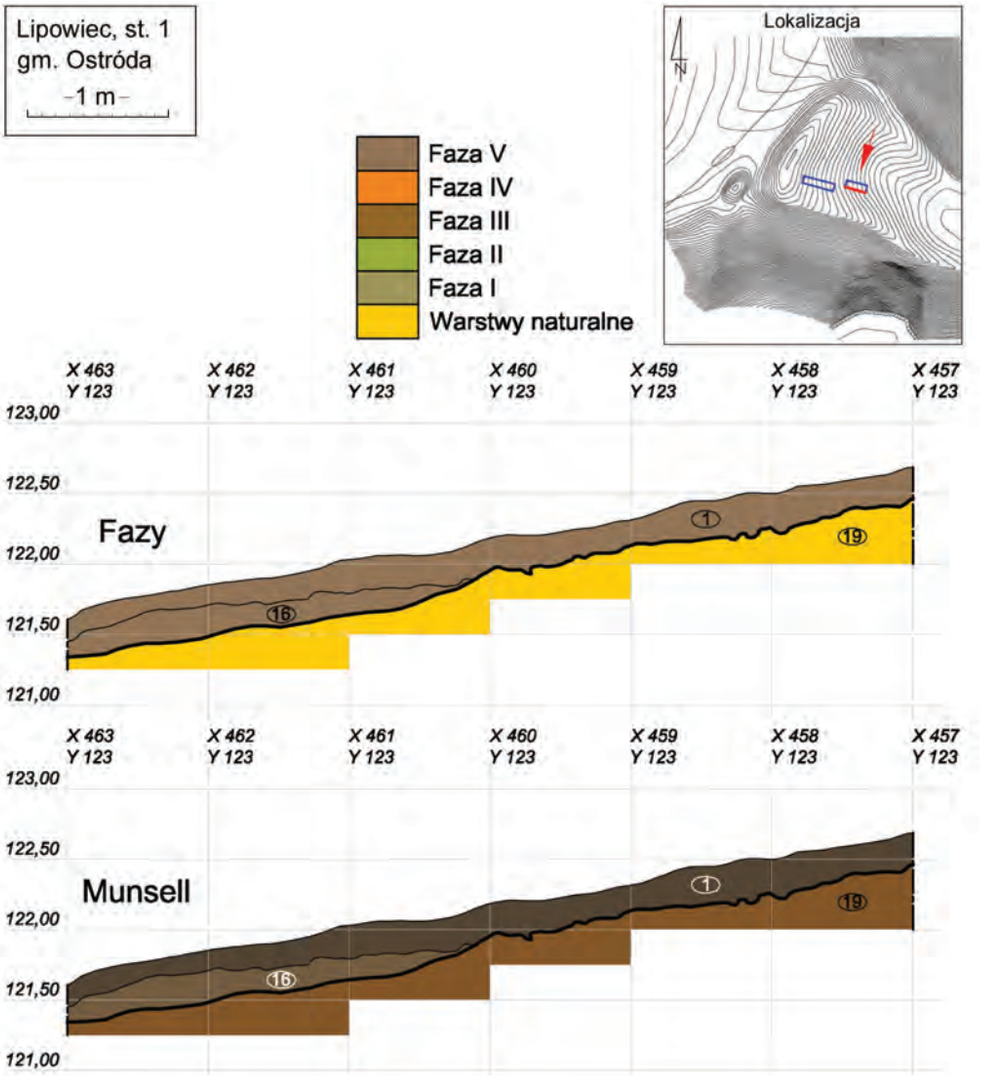

Ryc. 23. Lipowiec, st. 1. Stratygrafia grodziska widoczna w ścianie południowej wykopu 2 (oprac. K. Rabiega, R. Solecki i J. Wawrzeniuk)

Współczesne nawarstwienia, zarówno na wale (W1, W1/2012), jak i na majdanie grodziska (W2) stanowił bardzo ciemny szaro-brązowy piasek 1=1/2012 o miąższości do 20 cm, w którym natrafiono na materiał datowany na okres nowożytny.

ZNALEZISKA

URSZULA KOBYLIŃSKA

Ceramika

Ogólna charakterystyka zbioru

Na terenie grodziska w Lipowcu, st. 1 w czasie badań z roku 2012[14] i 2015 odkryto łącznie 225 fragmentów ceramiki (tab. 3), w tym 19 fragmentów z zachowanym wylewem, co stanowi 79% SEN i składa się na ok. 16 naczyń, z których osiem brzegów jest ornamentowanych owalnymi wgłębieniami palcowymi. W materiale zabytkowym wystąpiły 172 fragmenty brzuśców, na co składa się 65 fragmentów o powierzchni chropowaconej, 42 o powierzchni gładkiej i 19 szorstkich. Materiał ceramiczny jest mocno rozdrobniony i zniszczony (tab. 4), ma wypłukane i zatarte brzegi, a niekiedy także powierzchnie. Nieokreślonych brzuśców, bez możliwości opisania rodzaju powierzchni wydzielono 46 fragmentów. Z całego materiału wyróżniono siedem przepalonych ułamków, natomiast sporo, bo 58 fragmentów ze śladami wypłukania. Spośród dolnych części naczyń wydzielono 23 fragmenty przydenne, a jedynie trzy z fragmentarycznie zachowanym dnem bez możliwości określenia średnicy.

Pod względem wielkościowym są to głównie ułamki o wielkości 3–5 cm, stanowiące prawie trzy czwarte znalezionych fragmentów. Doliczając najmniejsze ułamki o wielkości 1 i 2 cm jest ich aż 178 fragmentów, czyli 79% całego zespołu. Zniszczonych fragmentów z zatartymi brzegami II i III kategorii zniszczenia[15] jest zdecydowana większość, bo aż 178, a nie zniszczonych jedynie 45. Większość materiału ceramicznego nie niesie więc ze sobą szerszych informacji. Możemy jedynie domyślać się form naczyń reprezentowanych przez odkryte fragmenty, sądząc po charakterze powierzchni ścianek brzuśców. Całych naczyń nie znaleziono, lecz w kilku jednostkach stratygraficznych zalegały większe skupiska fragmentów ceramiki, które udało się zidentyfikować jako pochodzące z jednego naczynia i częściowo wykleić.

Pod względem chronologicznym większość zespołu tworzyły fragmenty naczyń pochodzące z wczesnej epoki żelaza, a jedynie nieliczne z okresu wczesnego i późnego średniowiecza.

[14] Dziękuję dr. Sławomirowi Wadylowi za udostępnienie do analizy ceramiki z jego badań.

[15] Według klasyfikacji Buko 1990a.

Tabela 3. Zestawienie ilościowe fragmentów ceramiki z grodziska w Lipowcu, st. 1 i osady przygrodowej (oprac. U. Kobylińska)

Faza	Jednostka stratygraficzna	Liczba fragmentów łącznie	Liczba różnych naczyń	Wylewy			Szyjki	Brzuśce						Ucha	Części przydenne	Dna		Fragmenty przepalone	Fragmenty o wypłukanej powierzchni	Ornament		Chronologia		
									Rodzaj powierzchni															
				Liczba fragmentów	SEN (procent obwodu)	Ornamentowane		Liczba fr. ogółem	Chropowacone	Gładkie	Szorstkie	Nieokreślone	Ornamentowane			Liczba fragmentów	SEN (procent obwodu)			Żłobki dookolne	Odciski	Wczesna epoka żelaza	Wczesne średniowiecze	Późne średniowiecze
I	4	2	2	2	7													1				2		
I	13	21	1	1	4			15	8	4	1	2			5				5			21		
I	15	8					1	6		3	1	2			1				3			8		
I	6/2012	44	7	10	38	6		27	12	9	2	4	1	2	5				9		1	41		
II	20	6						5	1	1		3				1			1			6		
III	5	2						2	1			1						1	1			2		
III	6	7						6	2	3		1				1			4			7		
III	7	12	1	1	6		1	7	5	1		1			3				5			12		
III	14	9					1	7	2	1	3	1	1		1					1		8	1	
III	3/2012	8						5	2		1	2			3				4			7	1	
IV	2	10	1	1	6	1		7	1	1	2	3			2				3			10		
IV	3	15	2	2	8	1		13	6		3	4							5			14		1
IV	9	3						2	2						1				1			3		
IV	2/2012	34					1	30	8	9	2	11		1	2			1	7	2		32	2	
V	1	30						30	11	8	2	9						1	7			30		
V	16	2	1	1	10			1																2
Osada		12	1	1				10	4	2	2	2				1		3	3	1		7	2	
SUMA		**225**	**16**	**19**	**79**	**8**	**4**	**173**	**65**	**42**	**19**	**46**	**2**	**3**	**23**	**3**	**?**	**7**	**58**	**4**	**1**	**210**	**6**	**3**

Tabela 4. Fragmentacja i erozja fragmentów ceramiki z grodziska w Lipowcu, st. 1 i osady przygrodowej (oprac. U. Kobylińska)

Jedn.	Kategorie wielkościowe [cm]										Stopień erozji				Suma
strat.	1	2	3	4	5	6	7	8	9	10	0	I	II	III	
1		7	9	9	3	2						10	11	9	**30**
2		1	2	5		1		1				2	6	2	**10**
3			4	7	2	2					1		10	4	**15**
4			1			1							1	1	**2**
5					1			1					1	1	**2**
6			2		3	1	1					3	4		**7**
7		1	3	4	2	2						1	6	5	**12**
9				1	1				1			2	1		**3**
15			1										1		**1**
13		1	5	5	3	3	3					4	12	4	**20**
14			3	4	3							2	7	1	**10**
15			2	1	4							1	3	3	**7**
16			2								1	1			**2**
20			3	1	1	1							3	3	**6**
2/2012			6	7	10	4	6	1				6	19	9	**34**
3/2012			3		1		1	1	1				3	4	**7**
6/2012	1	9	10	4	9	2	5	2	2	1		11	30	4	**45**
Osada		5	3	1	2	1						2	6	4	**12**
Suma	**1**	**24**	**59**	**49**	**45**	**20**	**16**	**6**	**4**	**1**	**2**	**45**	**124**	**54**	**225**

Ceramika z wczesnej epoki żelaza (tabl. 1–4)

Wśród analizowanych fragmentów górnych części z zachowanym wylewem wyróżnić można głównie naczynia z ozdobnym brzegiem, na które składają się: garnki esowate z lekko wychylonym brzegiem (tabl. 1:1–3) oraz jajowate z pogrubionym i wydzielającym się brzegiem (tabl. 1:4; 2:1). Zarówno formy esowate, jak i jajowate, charakteryzują się powierzchnią zewnętrzną pokrytą drobnymi zmarszczkami glinki tworzącej schropowacenie, barwy czerwonawo-żółtej (5YR 6/6). Są to masywne naczynia duże i średniej wielkości, o średnicy wylewu wynoszącej 17–18 cm, ale też i 24 cm czy 28–29 cm. Wykonane zostały z masy ceramicznej z liczną domieszką o różnej granulacji oraz ziarnami miki. W przełamie naczyń widoczne są szpary i złączenia masy ceramicznej, co świadczy o słabym wyrobieniu materiału. Wnętrza garnków (o zewnętrznej powierzchni schropowaconej) są równe, gładkie, matowe lub silnie wygładzone prawie wypolerowane, barwy brązowej (7,5YR 5/4) lub bardzo ciemnej, prawie czarnej (7,5YR 4/1). Mają one przeważnie poziome ślady smug pozostawione wskutek pracy wąskim narzędziem wygładzającym wnętrze. Liczne smugi rys na powierzchni zewnętrznej świadczą o zacieraniu i wyrównywaniu gliny. Wnętrze garnków jest najczęściej lekko wygładzane lub pokrywane tłustą glinką dla zwiększenia hermetyczności. Jednak większość powierzchni ścianek jest mocno zdarta. Są to masywne garnki do gotowania o sporej pojemności. Wylewy naczyń są poszerzone poprzez formowanie wgnieceń palcowych i tworzą falistą krawędź dookolną od strony zewnętrznej. Naczynia te charakteryzują się chropowaceniem na całej powierzchni od poziomu wywiniętego i pogrubionego wylewu. Mniejsza część odkrytych części naczyń chropowaconych charakteryzuje się wydzieloną gładką szyjką (tabl. 2:2).

Na naczynia o powierzchni gładkiej i wypolerowanej składają się formy różnego rodzaju, duże i małe czarki, kubeczki, a także pojedyncze egzemplarze małych i miniaturowych naczyń, fragment rozłożystej misy oraz czerpak (tabl. 2: 3–8; 3:1; 4:1–2).

Najliczniej w analizowanym zespole wystąpiły formy esowate o średnicach wylewów między 13 a 17 cm, matowej, gładkiej, lub lekko szorstkiej powierzchni z licznymi śladami zniszczenia, barwy jasnobrązowej (7,5YR 6/4), niekiedy z niewielkimi plamami okopcenia na wydzielającym się owalnym wylewie. Wystąpiły też małe formy z płasko ściętym wylewem, o prostych ściankach, o średnicy wylewu wynoszącej ok. 10 cm; być może były to kubeczki (tabl. 2:3, 5). Są to naczynia o równych, delikatnych ściankach, o matowej, gładkiej powierzchni z obu stron. Formy większe, o średnicy wylewu wynoszącej ok. 18 cm, o wyraźnie wygładzonych lub wyświeconych wnętrzach, zachowały się w niewielkich ułamkach. Na małej części baniastego brzuśca z resztką czarnej powłoki widoczny jest fragment ornamentu (tabl. 2:7). Fragmenty znalezione w obiekcie 1 w warstwie 6 składają się na masywny czerpak z dużym uchem (tabl. 3:1). Jest to forma o esowatym profilu, lekko wychylonym płaskim brzegu i nie wydzielającym się lekko spłaszczonym dnie. Powierzchnia ścianek, obecnie mocno spłukana, nosi ślady silnego wygładzenia i ma barwę w kilku odcieniach brązu (5YR 5/2, 5/3, 5/4). Kilka zachowanych szerokich, płaskich uch oraz kilka śladów po oderwanych od ścianek uch, w tak niewielkim zestawie zebranego materiału ce-

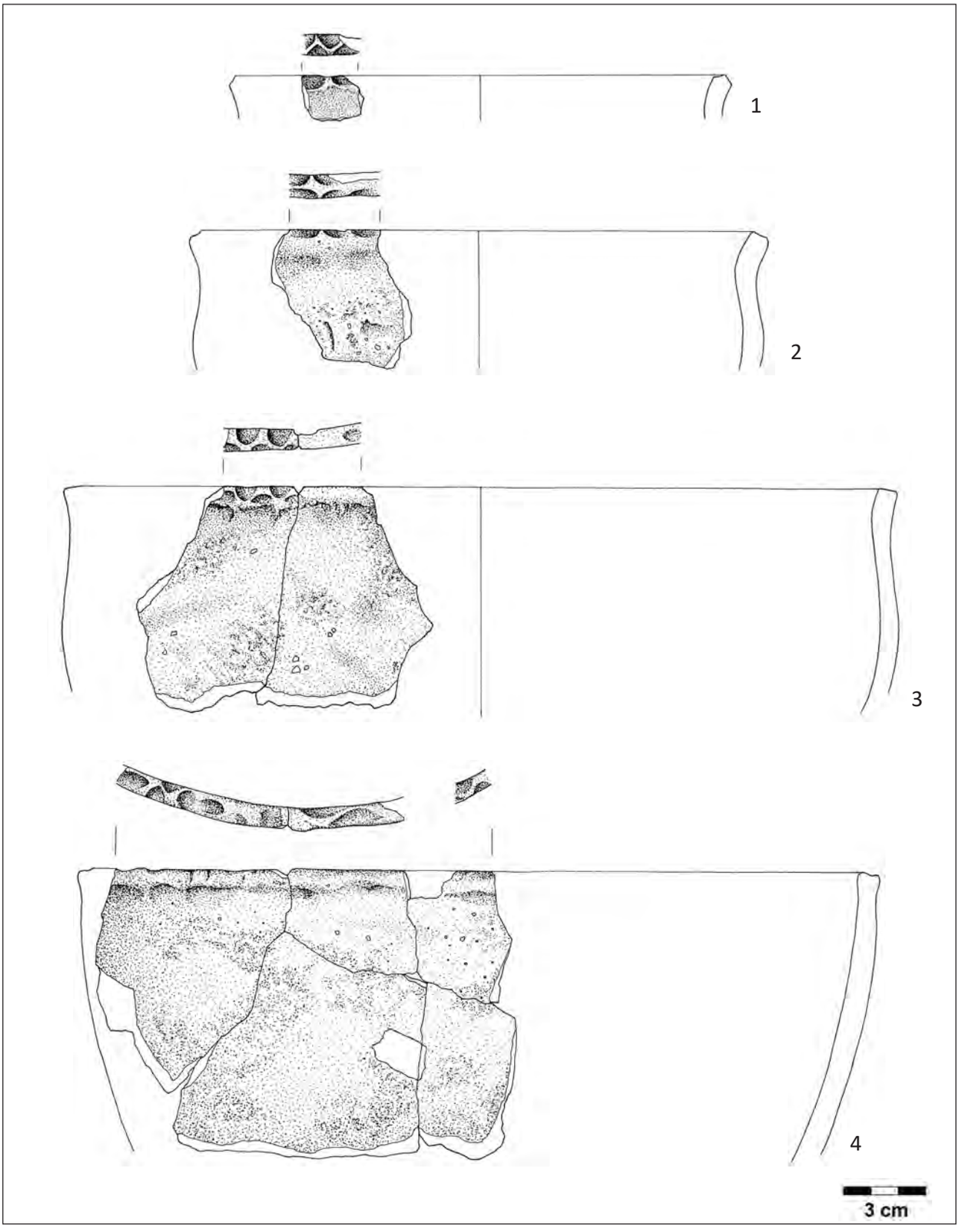

Tablica 1. Lipowiec, st. 1. Naczynia chropowacone z wczesnej epoki żelaza (rys. A. Kucharska-Wach)

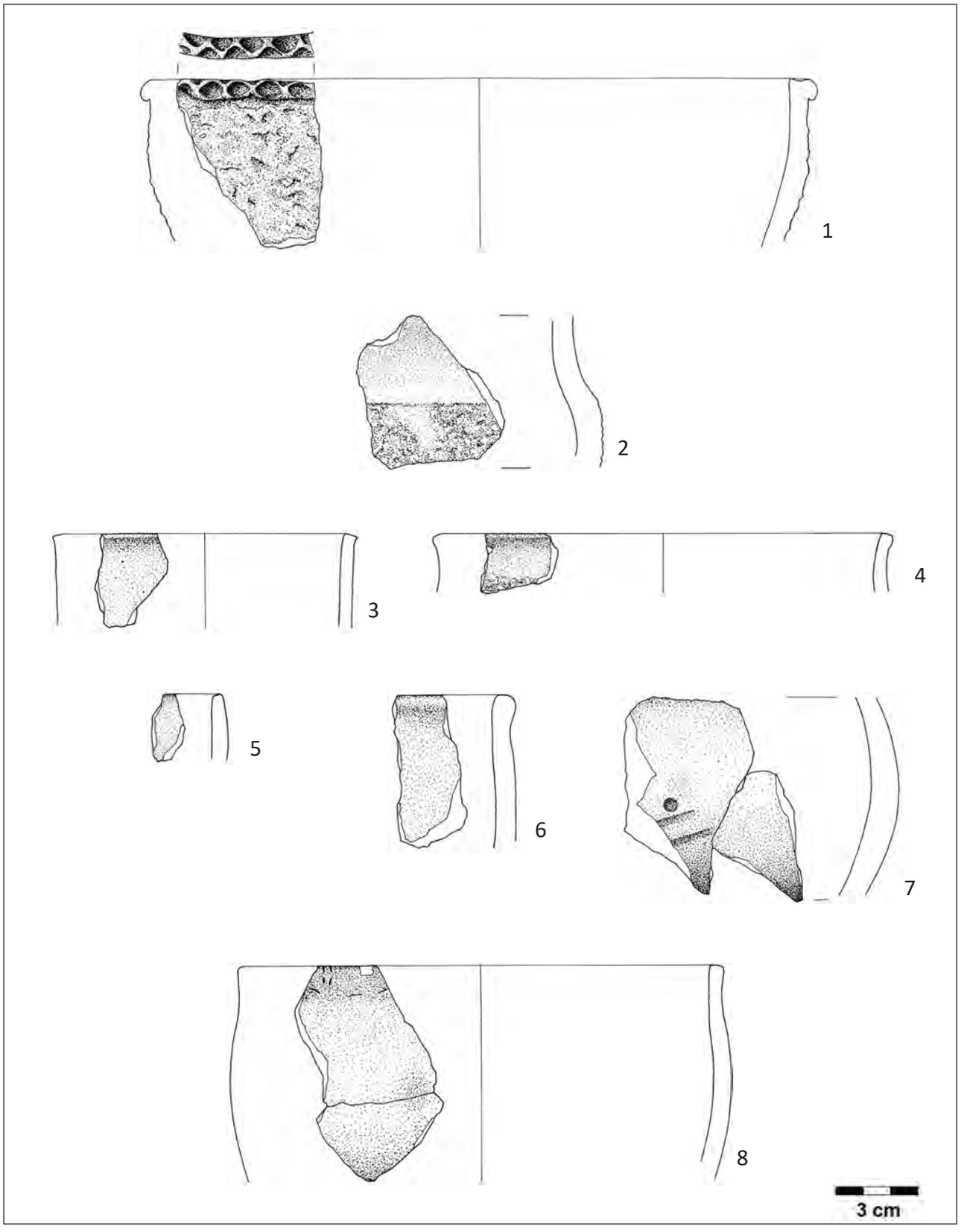

Tablica 2. Lipowiec, st. 1. Naczynia chropowacone i gładkie z wczesnej epoki żelaza (rys. A. Kucharska-Wach)

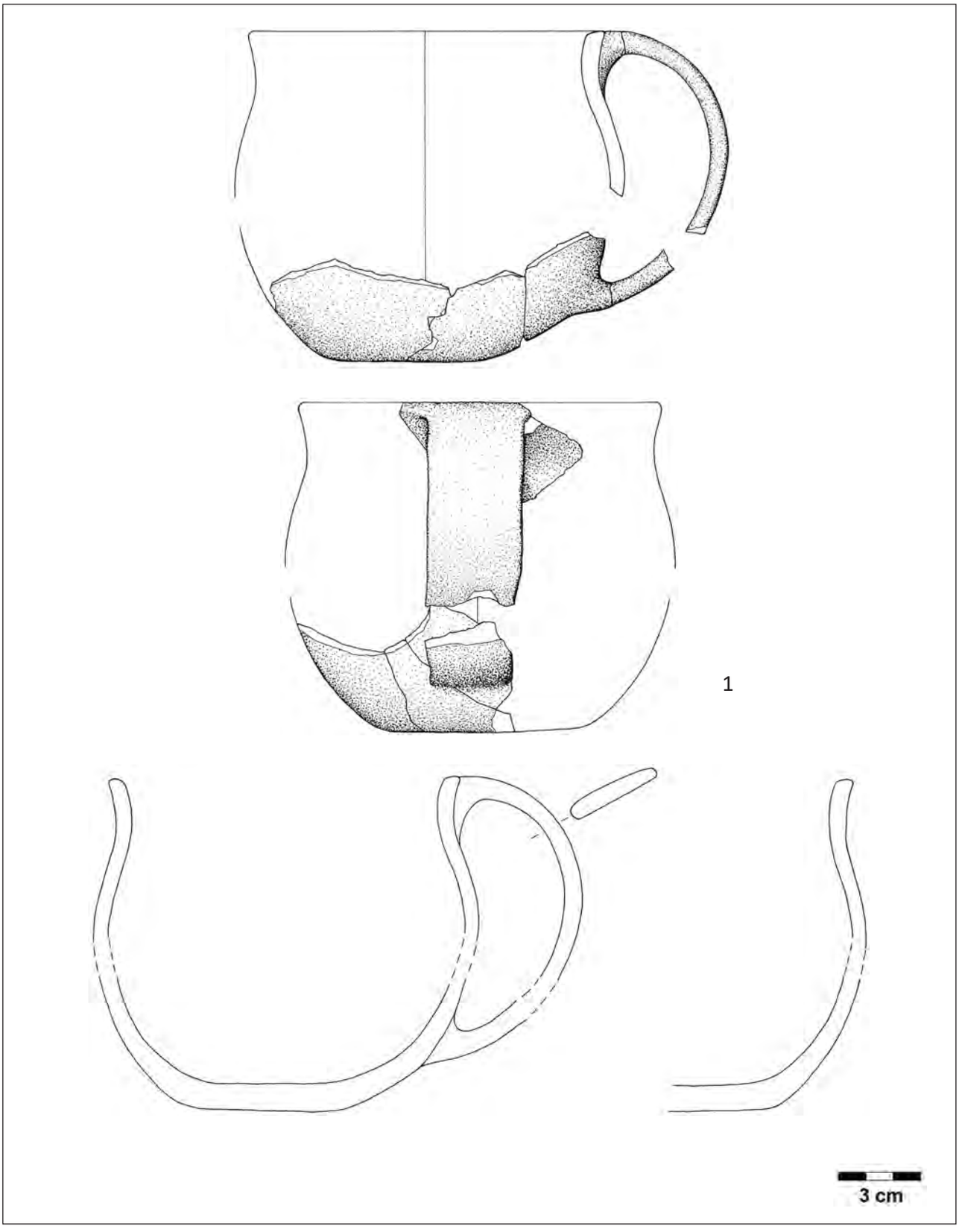

Tablica 3. Lipowiec, st. 1. Czerpak z wczesnej epoki żelaza o powierzchni gładkiej (rys. A. Kucharska-Wach)

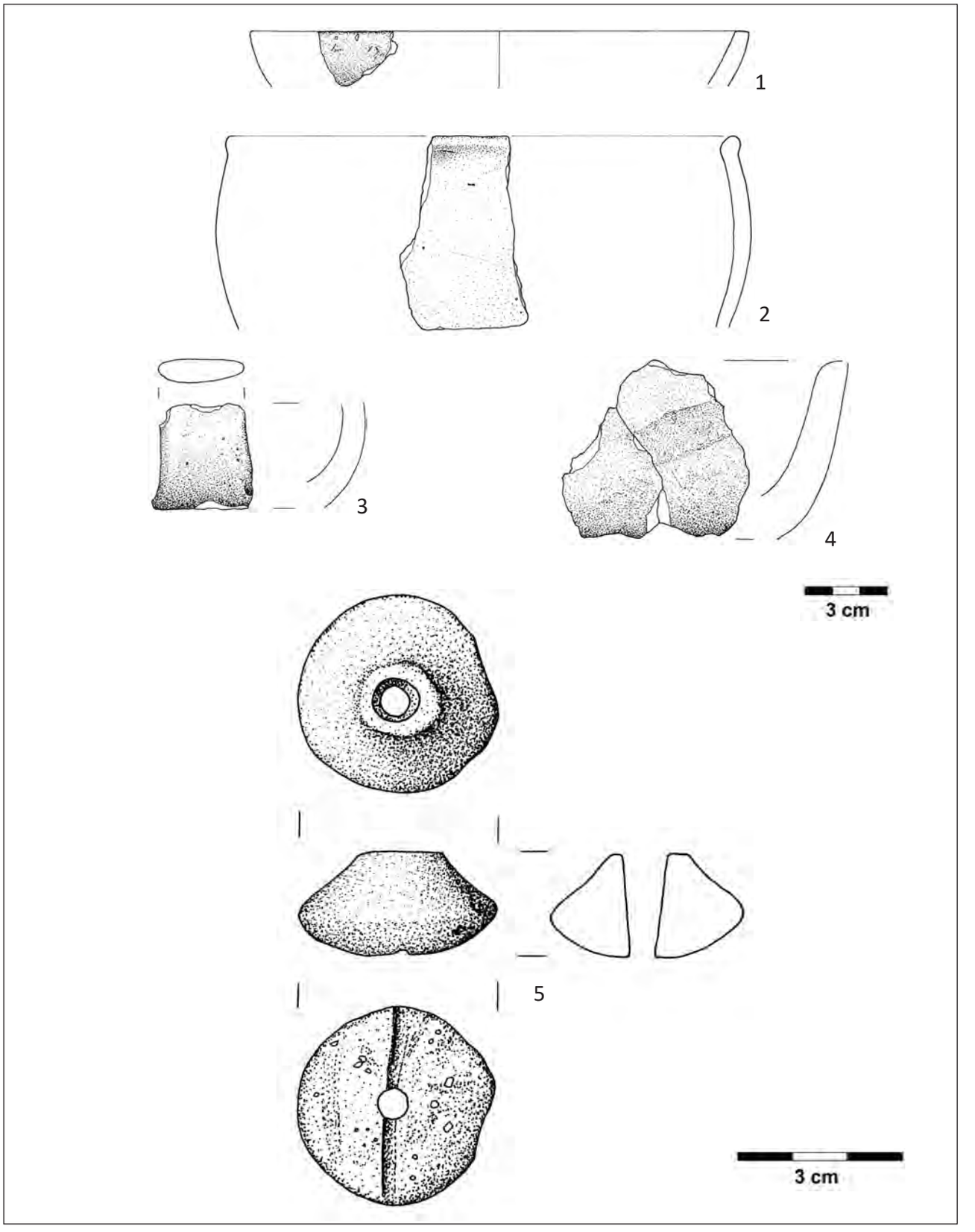

Tablica 4. Lipowiec, st. 1. Ceramika naczyniowa i przęślik z wczesnej epoki żelaza (rys. A. Kucharska-Wach)

ramicznego wskazuje na obecność zapewne kilku czerpaków z dobrze opracowanymi i zagładzanymi ściankami. Znalezione ucha to szerokie (od 3 do 3,5 cm), taśmowate, płaskie, duże i masywne formy przyklejane bezpośrednio do powierzchni ścianki i brzegu naczynia (tabl. 4:3). Powierzchnia gładka uch jest matowa, barwy jasnobrązowej, analogicznej do naczyń określnych jako tzw. wygładzane, bez szarych plam okopcenia (7,5YR 6/4). Odkryto także masywną część przydenną grubościennego naczynia, o nierównej i silnie okopconej powierzchni zewnętrznej, barwy czerwonawo-brązowej (5YR 5/4), ze śladami po otworach w ściankach. Jest to grubościenna forma, być może z rodzaju naczyń sitowatych (tabl. 4:4), które można określić mianem cedzaka.

Niewielki zestaw form naczyń z terenu grodziska w Lipowcu o powierzchni gładkiej oraz pokrytej chropowaceniem oraz rodzaj chropowacenia jest analogiczny do ceramiki z grodziska w Tątławkach, st. 2, gm. Morąg oraz Wieprz, st. 20, gm. Zalewo[16]. Jako analogie przytoczyć można także znaleziska ze Starego Dzierzgonia, st. 1, pow. sztumski i Sząbruka, st. 1, gm. Gietrzwałd, pow. olsztyński[17]. Zaznaczyć należy przy tym, że naczynia z Lipowca, st. 1 charakteryzują się niewielkimi zmarszczeniami glinki powlekającej, mniejszymi ziarnami na powierzchni, czyli tzw. drobniejszym schropowaceniem, podobnie jak ma to miejsce w materiale ceramicznym z grodziska w Kamionce, st. 9, gm. Iława[18].

Na podstawie analogii z innych stanowisk można określić zespół ceramiki z wczesnej epoki żelaza z grodziska w Lipowcu, st. 1 jako reprezentujący II fazę kultury kurhanów zachodniobałtyjskich.

Ceramika wczesnośredniowieczna (tabl. 5:1–3)

Ceramika wczesnośredniowieczna reprezentowana jest jedynie przez trzy fragmenty naczyń z partii brzuśców, barwy szarawo-brązowej (10YR 5/2), o powierzchni zagładzanej po wykonaniu ornamentu w postaci szerokich (0,4 cm) i niezbyt głębokich żłobień, wykonanych płaskim rylcem. Brzuśce te nie wykazują śladów obtaczania, czyli pochodzą z naczyń jedynie górą obtaczanych. Były to prawdopodobnie dość duże naczynia o niezbyt uwypuklonych brzuścach, nieco podobne do naczyń z grodziska w Zajączkach, st. 1[19]. Na obszarze osady przygrodowej odkryto górną część naczynia z żółtawo-czerwonej (5YR 5/6) masy ceramicznej, bez wylewu, z ornamentem głębokich, wąskich żłobień dookolnych. Fragment ten ma ślady przepalenia i wydaje się, iż pochodził z masywnego, średniej wielkości naczynia słabo górą obtaczanego. Określenie chronologii ceramiki wczesnośredniowiecznej z analizowanego zespołu jest trudne ze względu na ich niewielką liczebność i fragmentaryczność zachowania. Można jedynie orientacyjnie określić je jako pochodzące z XI–XII w.

Ceramika późnośredniowieczna (tabl. 5:4)

W materiale ceramicznym z grodziska w Lipowcu wystąpiły także fragmenty ceramiki późnośredniowiecznej. Są to: wylew naczynia o średnicy 20 cm, z ceglastej masy ceramicznej pokryty od wewnątrz polewą zieloną oraz część wylewu małego naczynka toczonego z białej masy ceramicznej (tabl. 5:4) i część kamionki z polewą brązową. Znaleziska te należy datować na okres nie wcześniej niż schyłek XV w.

Zabytki wydzielone

Przęślik (tabl. 4:5)

W obiekcie 1 znaleziono gliniany przęślik w przekroju stożkowaty z zaokrągloną częścią dolną, o wadze 19,52 g. Wygładzona, ciemnobrązowa powierzchnia (7,5YR 2,5/2) jest pokryta czarnym okopceniem, a dolna część przęślika jest dość mocno spłukana od strony spłaszczonej. Średnica przęślika wynosi 3,4 cm, wysokość 1,87 cm, otwór ma owalny kształt i wynosi 0,74 x 0,84 cm, a od drugiej strony jest on mniejszy i jego średnica wynosi 0,6 cm. Przęślik wykonany jest z masy ceramicznej o dużej zawartości ziaren o zróżnicowanej grubości (do 0,4 cm), głównie granitu różowej barwy oraz miki. Przęślik należy wiązać z fazą użytkowania grodziska we wczesnej epoce żelaza. Podobny w kształcie przęślik znaleziono np. w Janowie Pomorskim, st. 1, gm. Elbląg, pow. elbląski[20] oraz w osadzie rusztowej w Rybnie, gm. Sorkwity, pow. mrągowski na jeziorze Piłakno, datowanej metodą radiowęglową na okres środkowolateński[21].

Fajka (tabl. 5:5)

Na terenie grodziska w Lipowcu, st. 1 znaleziono fragment białej fajki porcelanowej, tzw. trzyczęściowej. W całości zachował się krótki cybuch, długości 3 cm, zakończony żłobieniami dookoła ustnika wraz z charakterystycznym sęczkiem, oraz dolna część napychu. Średnica zewnętrzna ustnika wynosi 0,89 cm, a otworu 0,46 cm. Fajki porcelanowe tego typu upowszechniły się na terenie Niemiec i Austrii w pierwszej połowie XIX w., sporadycznie używano

[16] Por. opracowanie wyników badań tych grodzisk w niniejszej publikacji.

[17] Hoffmann 1999a: tabl. 120 i 146.

[18] Por. opracowanie wyników badań tego grodziska w niniejszej publikacji.

[19] Por. opracowanie wyników badań tego grodziska w niniejszej publikacji.

[20] Ignaczak i Affelski 2012: ryc. 11:1.

[21] J. Okulicz 1973: ryc. 117:j.

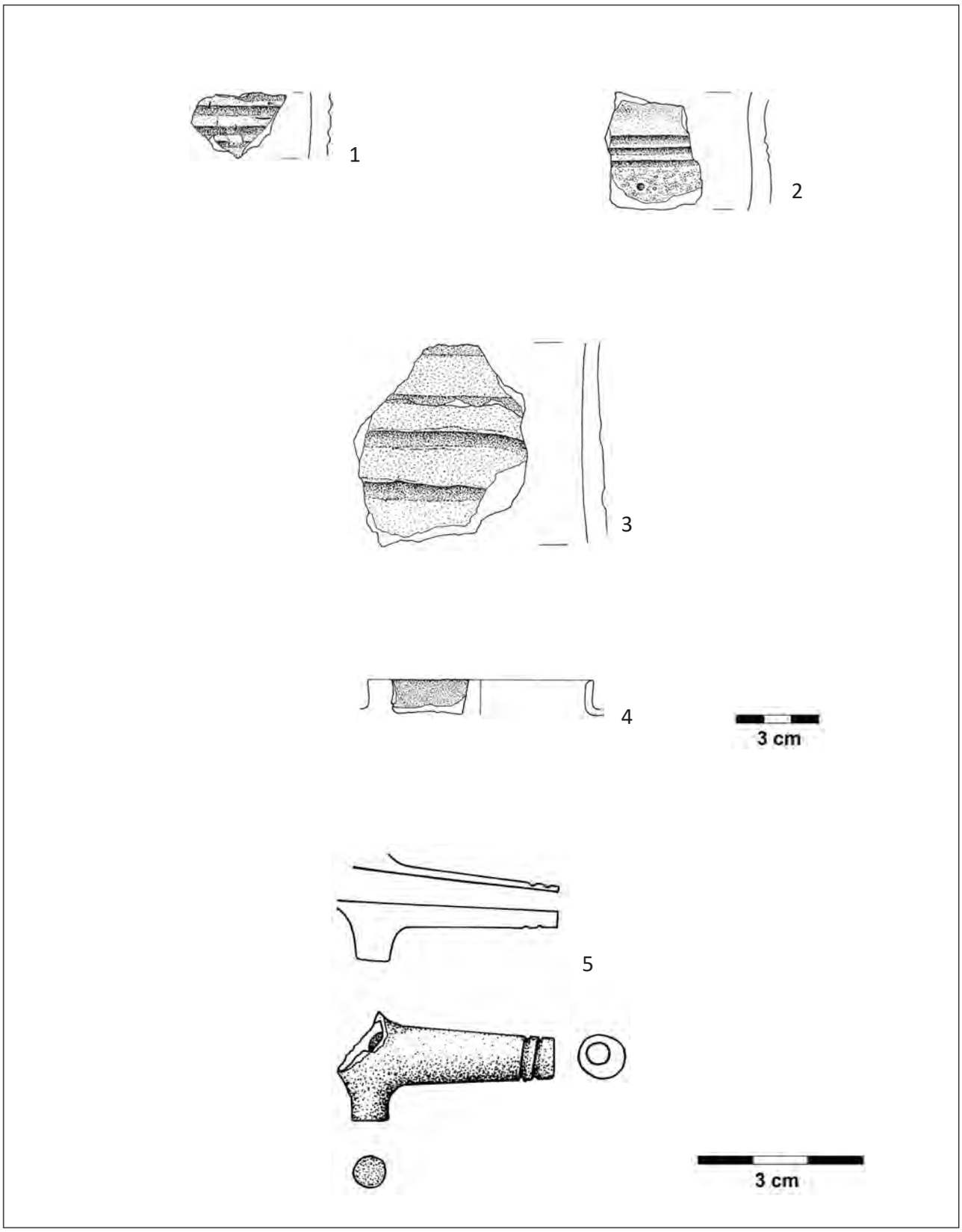

Tablica 5. Lipowiec, st. 1. Ceramika wczesnośredniowieczna (1–3), późnośredniowieczna (4) i fajka porcelanowa (5) (rys. A. Kucharska-Wach)

ich jeszcze w pierwszej połowie XX w. W miastach Pomorza i Prus znaleziska takich fajek występują najczęściej w kontekstach pozwalających datować je na pierwszą połowę XIX w.[22] Analogiczną jak w Lipowcu fajkę porcelanową znaleziono w Janowie Pomorskim, st. 1, gm. Elbląg[23].

CHRONOLOGIA STANOWISKA

URSZULA KOBYLIŃSKA

Analiza materiału ceramicznego pozyskanego w trakcie badań pozwoliła wydzielić trzy horyzonty chronologiczne: wczesną epokę żelaza (II faza kultury kurhanów zachodniobałtyjskich), okres wczesnego średniowiecza (XI–XII w.) i okres późnego średniowiecza i wczesnej nowożytności (XV–XVI w.). Sporadyczna działalność miała miejsce również na tym stanowisku w XIX w., o czym świadczy znalezisko fajki porcelanowej.

Natomiast wyniki datowań absolutnych metodą radiowęglową i termoluminescencyjnych wskazują, że faza wczesnośredniowieczna użytkowania grodziska w Lipowcu, st. 1 rozpoczęła się znacznie wcześniej, niż to sugerowałyby nieliczne zresztą i trudne do dokładnego datowania fragmenty ceramiki wczesnośredniowiecznej. Datowanie metodą termoluminescencyjną bryły polepy odnalezionej w obrębie bruku warstwy 6 dało wynik 791–939 r. n.e., a datowanie radiowęglowe zwęglonych bierwion ze spalonej konstrukcji zalegającej w tej samej warstwie 6 dało wynik 1270 ± 30 BP, co w datach kalibrowanych z prawdopodobieństwem 92,3% wskazuje przedział 663–778 r. (792–804 r. z prawdopodobieństwem 1,3%, a 842–859 r. z prawdopodobieństwem 1,6%)[24]. Te dwie metody dały zatem odmienne od siebie rezultaty datowania: 663–778 i 791–939 n.e., bez części wspólnej przedziału chronologicznego, na który wskazują. Jeżeli obie metody mielibyśmy potraktować jako w równym stopniu wiarygodne, to należałoby przyjąć, że warstwa 6 została zdeponowana pod sam koniec VIII w. n.e., bo tylko na taki okres zdają się wskazywać obie metody datowania. Niestety jednak nie znaleziono na terenie grodziska ceramiki, którą moglibyśmy datować na tak wczesną fazę wczesnego średniowiecza, a w warstwie 6, z której pobrano próbki, znaleziono jedynie pokrytą chropowaceniem ceramikę starożytną z wczesnej epoki żelaza, co oczywiście nie musi dziwić, ponieważ w czasie prac ziemnych związanych z przebudową wału we wczesnym średniowieczu zabytki z wczesnej epoki żelaza mogły dostać się do warstw deponowanych w tym okresie. W tej sytuacji należy przyjąć wyniki datowania absolutnego za wiarygodne i stwierdzić, że gród w Lipowcu, st. 1, po fazie opuszczenia, powtórnie przystosowano do celów obronnych już pod koniec VIII w. n.e., jednak nie był on wówczas zamieszany na stałe, w związku z czym nie znaleziono żadnych zabytków reprezentujących ten okres. Konstrukcje obronne tego grodu zostały spalone wkrótce po ich wzniesieniu i ponowne użytkowanie tego miejsca, również najprawdopodobniej nie mające charakteru stałego zamieszkania, miało miejsce w XI–XII w.

DZIEJE GRODZISKA W LIPOWCU, ST. 1

KAMIL RABIEGA I JOANNA WAWRZENIUK

Badania archeologiczne stanowiska 1 w Lipowcu dostarczyły cennych informacji na temat stratygrafii umocnień obronnych grodziska, a także pozwoliły uzyskać datowania bezwzględne konstrukcji wzniesionych w III fazie jego funkcjonowania. Gród, ze względu na naturalną formę ostańca erozyjnego, posiadał jeden potężny wał, który chronił dostępu na obszar majdanu od strony zachodniej. Został on wzniesiony już we wczesnej epoce żelaza, na co wskazuje materiał ceramiczny odnaleziony w nawarstwieniach I fazy. Jednym z elementów wału jego na wewnętrznym stoku była konstrukcja kamienno-drewniana, która pod wpływem zniszczenia grodziska w II fazie zawaliła się tworząc nawarstwienia rumowiskowe kamieni oraz spalenizn w postaci zwęglony bierwion i dranic. Układ pozostałości konstrukcji pozwala domniemywać, iż była to konstrukcja przekładkowa. Dodatkowo, od strony majdanu wzniesiono konstrukcję, której pozostałości zachowały się w postaci nieregularnych ciągów dołków posłupowych.

Po opuszczeniu grodziska we wczesnej epoce żelaza, jego obszar zaczęto ponownie użytkować we wczesnym średniowieczu. Wykorzystano wówczas wcześniejsze umocnienia wału, zniwelowano nawarstwienia erozyjne i wzniesiono na jego szczycie nową konstrukcję kamienno-drewnianą. Wczesnośredniowieczny horyzont umocnień na podstawie datowania absolutnego należy wiązać ze starszymi fazami wczesnego średniowiecza.

Stanowisko było wykorzystywane także sporadycznie w XI–XII w., w późnym średniowieczu oraz w czasach nowożytnych, jednak znaleziony nieliczny materiał zabytkowy wskazuje na incydentalny charakter osadnictwa w tych okresach.

Bezpośrednio na zachód od cypla zlokalizowano osadę, na powierzchni której znaleziono fragmenty ceramiki pochodzące z wczesnej epoki żelaza, a także z wczesnego średniowiecza, co pozwala funkcjonalnie wiązać stanowisko z grodziskiem[25].

[22] Mikłaszewicz 1995: 348–350, ryc. 13; Auch, Bogucki i Trzeciecki 2012: 271.

[23] Auch, Bogucki i Trzeciecki 2012: tabl. 12:14.

[24] Kobyliński 2016: 107.

[25] Wadyl 2013b: 114.

Lipowiec, st. 2 – Lichtajny

Gmina Ostróda

Powiat ostródzki

AZP 26–57/3

Współrzędne geograficzne:

N 53° 39’ 8,06”

E 20° 0’ 31,94’’

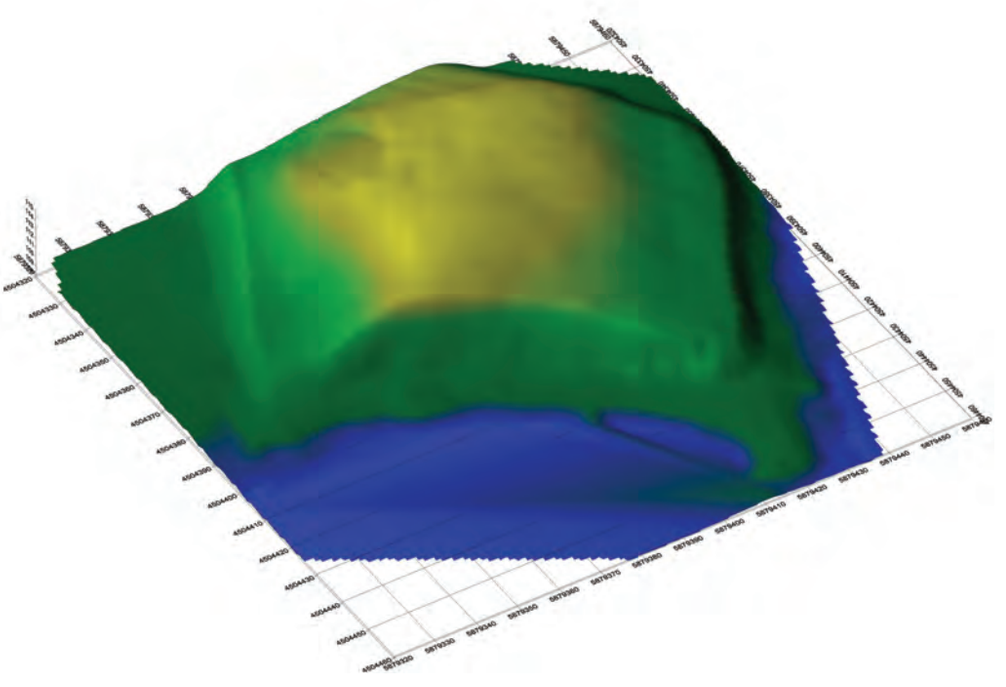

Ryc. 1. Grodzisko w Lipowcu, st. 2 (Lichtajnach) na mapie w skali 1:25 000 (na podstawie materiałów CODGiK, oprac. R. Solecki)

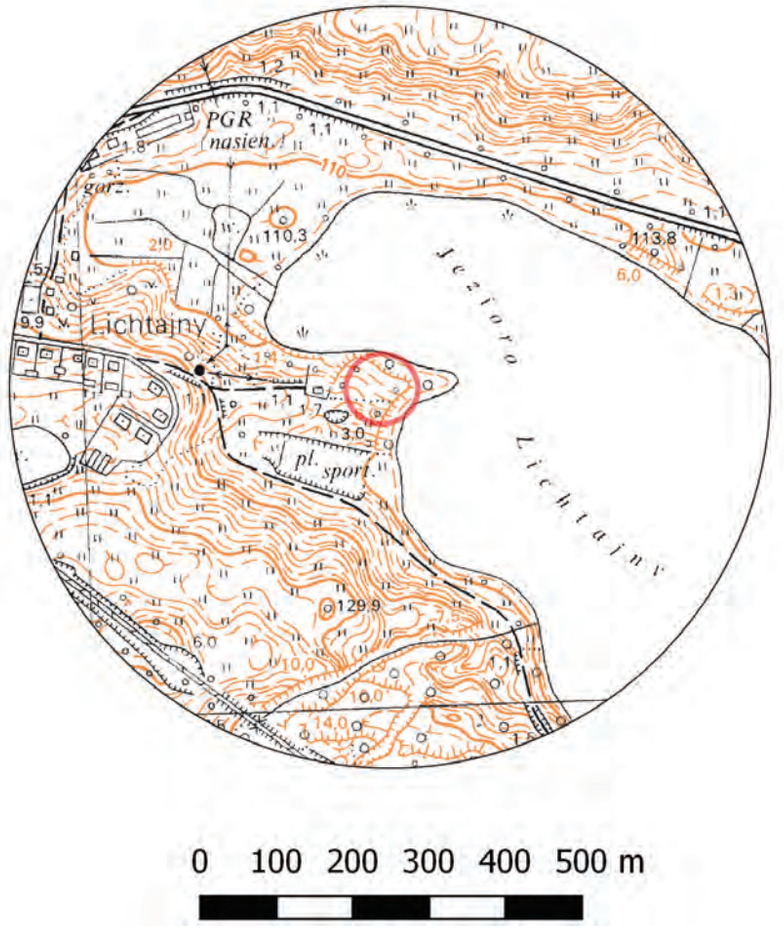

Ryc. 2. Grodzisko w Lipowcu, st. 2 (Lichtajnach) na mapie w skali 1:10 000 (na podstawie materiałów CODGiK, oprac. R. Solecki)

POŁOŻENIE GRODZISKA I JEGO FORMA

MAGDALENA ŻUREK

Stanowisko położone jest na pagórku, na niewielkim cyplu w północno-zachodniej części Jeziora Lichtajny (ryc. 1–5). Teren został znacznie przekształcony w 3. ćwierci XX w. – szczyt pagórka zniwelowano, a ziemię rozepchnięto tworząc *plateau* na planie prostokąta, o wymiarach ok. 60 x 100 m. Łagodne zbocze opadające w kierunku jeziora, ku północy, również jest efektem współczesnych działań niwelacyjnych. W południowo-zachodniej części pagórka znajduje się głębokie wyrobisko o niewielkiej średnicy, skąd pozyskiwano piasek.

ŚRODOWISKO FIZYCZNO-GEOGRAFICZNE

JERZY NITYCHORUK I FABIAN WELC

Wysoczyznę polodowcową w okolicach stanowiska budują gliny zwałowe, które są miejscem rozwoju gleb płowych IV klasy. W okolicach jeziora Lichtajny, na torfach występują w ograniczony sposób gleby bagienne (ryc. 6).

Zwierciadło wody w jeziorze leży na wysokości 108,4 m n.p.m., a cypel, na którym znajduje się grodzisko, w części brzegowej posiada taras nieznacznie wznoszący się ponad poziom wody. Dopiero w odległości od kilku do kilkudziesięciu metrów taras oddzielony jest krawędzią od centralnej części cypla, która leży na wysokości od około 111,0 do około 115,5 m n.p.m. Wyższa część cypla nosi ślady przekształcania poprzez wyrównywanie powierzchni i uprawę rolną. Dodatkowo, w zachodniej części pagórek został przekształcony przez budowę, która zniszczyła naturalną strukturę, a w południowo-zachodniej części istnieje rów po eksploatacji piasku.

Na terenie grodziska wykonano 11 wierceń, które posłużyły do poprowadzenia dwóch przekrojów geologicznych: A–B o kierunku WSW–ENE i C–D o kierunku SSW–NNE (ryc. 7–8). Przekrój A–B dokumentuje najstarsze osady, na które składają się piaski drobnoziarniste, na których leży glina zwałowa o miąższości nie przekraczającej 3 m, średnio tworząca około 1 m warstwę. Na glinie udokumentowano warstwę kulturową, która jest zachowana fragmentarycznie z poważną ingerencją współczesnych procesów rolnych.

Na przekroju C–D glina jest stwierdzona jedynie w wierceniu Li – 11 w postaci cienkiej 0,4 m miąższości warstwy. Na tym przekroju warstwa kulturowa jest najbardziej miąższa – osiąga ponad 1 m w wierceniu Li – 9, które zlokalizowane jest w strefie kontaktu niżej leżącego tarasu z wyniesionym fragmentem cypla, co sugeruje, że została zepchnięta z wyższej partii cypla. O problematycznym zachowaniu warstwy kulturowej świadczy profil wiercenia Li – 11,

Ryc. 3. Lipowiec, st. 2 (Lichtajny) – widok grodziska od południa (fot. J. Wysocki)

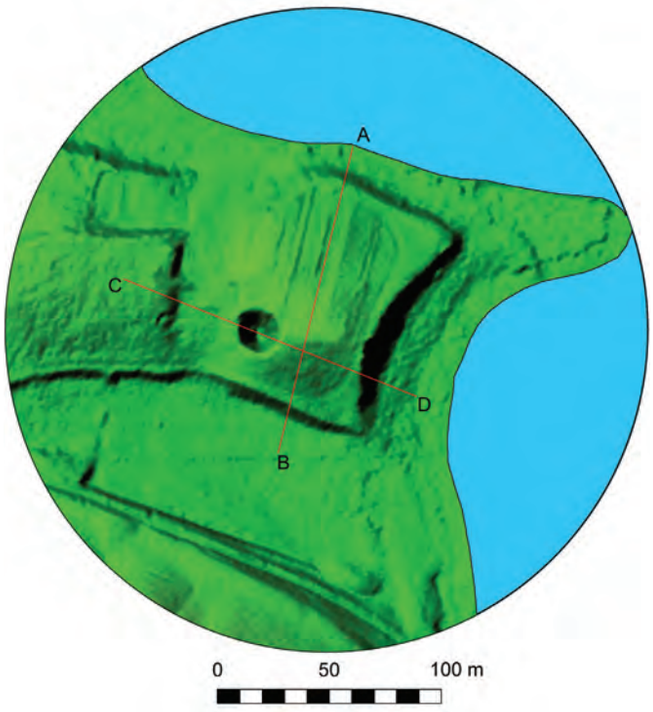

Ryc. 4. Grodzisko w Lipowcu, st. 2 (Lichtajnach) na zobrazowaniu ALS (na podstawie materiałów CODGiK, oprac. R. Solecki)

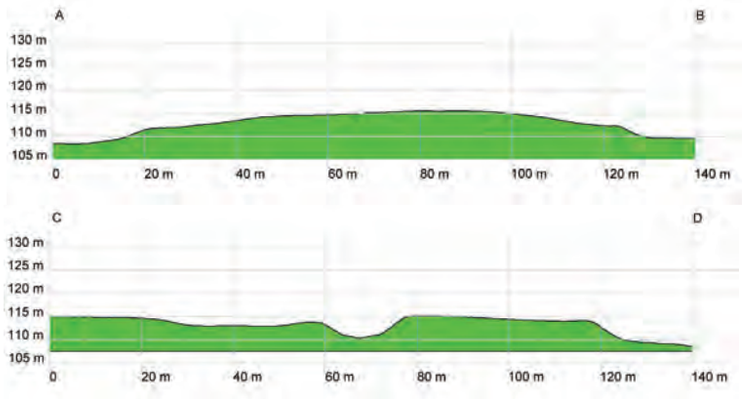

Ryc. 5. Przekroje grodziska w Lipowcu, st. 2 (Lichtajnach) uzyskane z danych ALS (na podstawie materiałów CODGiK, oprac. R. Solecki)

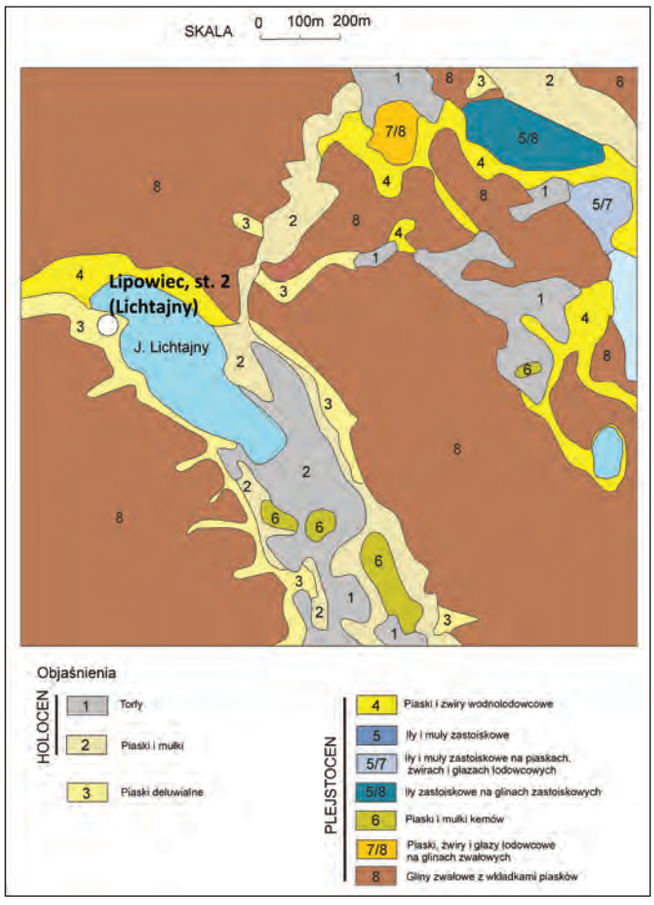

Ryc. 6. Mapa geologiczna okolic grodziska w Lipowcu, st. 2 (Lichtajnach) (oprac. J. Nitychoruk i F. Welc)

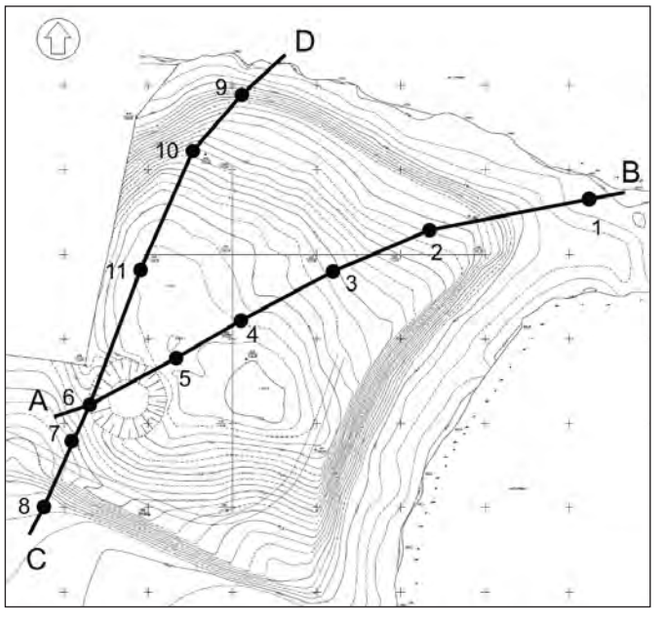

Ryc. 7. Lipowiec, st. 2 (Lichtajny). Plan warstwicowy grodziska (wyk. J. Błaszczyk) z zaznaczonymi miejscami wierceń geologicznych (oprac. J. Nitychoruk i F. Welc)

w którym stwierdzono węgle drzewne, fragmenty cegieł i współczesne odpadki razem.

W strefie najbliższej jeziora, na tarasie, stwierdzono również okruchy cegieł i węgle drzewne. Znacznie więcej tych pozostałości występuje w części tarasu zbliżonej do płotu posesji graniczącej z obiektem. Możliwe jest, że tu gdzie jest obecnie posesja był kiedyś obiekt, lub, że te pozostałości zostały przemieszczone wskutek orki. Znamienny jest fakt, że na wypłaszczeniu centralnym brak jest fragmentów cegieł i węgli, lub występują śladowo, przemieszane ze współczesnymi odpadkami.

BADANIA ARCHEOLOGICZNE

MAGDALENA ŻUREK

Przebieg badań terenowych

Badania wykopaliskowe grodziska w Lichtajnach przeprowadzone zostały w latach 2015–2016 r. w ramach projektu NPRH *Katalog grodzisk Warmii i Mazur*. Przed przystąpieniem do wykopalisk przeprowadzono dwukrotnie badania geofizyczne metodą magnetyczną (Tomasz Herbich – 2015 i Fabian Welc – 2016). Na tej podstawie wytyczono wykopy, przede wszystkim w miejscach wystąpienia anomalii geofizycznych.

Badaniami wykopaliskowymi objęto szczyt pagórka i jego północny stok, zakładając pięć wykopów badawczych. Wykopy zostały usytuowane w następujący sposób (ryc. 9):

- Wykop 1: na północnym stoku, na osi N–S, 3 x 44,60 m;
- Wykop 2: prostopadły do wykopu 1, 25 m od jego początku, po zachodniej stronie, na osi W–E, 2,5 x 21,00 m. W toku prac wykop 2 rozszerzono na obu krańcach: na zachodnim krańcu,

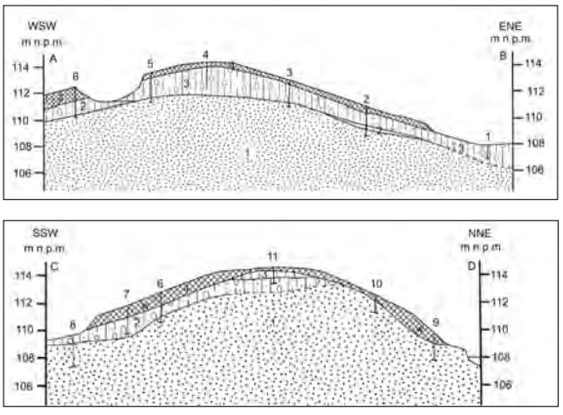

Ryc. 8. Przekroje geologiczne grodziska w Lipowcu, st. 2 (Lichtajnach): 1 – piaski drobnoziarniste, 2 – piasek gliniasty/glina piaszczysta, 3 – glina zwałowa, 4 – warstwa kulturowa (archeologiczna), w – węgle drzewne
(oprac. J. Nitychoruk i F. Welc)

po południowej stronie 3,0 x 3,0 m, i na krańcu wschodnim, po północnej stronie 2,0 x 8,0 m;
- Wykop 3: równoległy do wykopu 2, przylegający doń od południa, na osi W–E, 3,00 x 21,00 m;
- Wykop 4: prostopadły do wykopu 3, na południe od jego zachodniej części, na osi N–S, 3,50 x 7,50 m;
- Wykop 5: na szczycie pagórka, 8,00 x 8,00 m.

Na całej długości wykopu 1 zdjęto darń. Okazało się, że na dużej przestrzeni bezpośrednio pod cienką warstwą humusu zalega glina. Wykonane odwierty, po 2 co 5,00 m, pozwoliły stwierdzić, że jest to glina calcowa. W południowej części wykopu wykonano sondaż o wymiarach 3,00 x 5,00 m. W sondażu stwierdzono obecność gliny z fragmentami współczesnego szkła i plastiku, zalegającymi do znacznej głębokości, stanowiącymi zasyp wkopów pod dreny. Poza tym nie stwierdzono obecności warstw archeologicznych. Wykonano również wąski sondaż (o szerokości 0,35 m) na całej długości wykopu, przy wschodniej jego ścianie do głębokości 1,00 m, pokazujący strop pokładu gliny calcowej. Jego lekko falujący charakter świadczy, że powstał wskutek niwelacji terenu, a warstwy archeologiczne zalegające wyżej zostały zepchnięte w kierunku jeziora. Okazało się, że pagórek był piaszczystym kemem przykrytym czapą glinianą.

Obserwacja rdzeni odwiertów wykazała obecność warstw archeologicznych w odległości 25,00–27,50 m od początku wykopu 1 (Y = 125,00–127,50), zalegających do znacznej głębokości.

We wschodniej i zachodniej części wykopów 2 i 3 oraz wzdłuż wszystkich boków wykopu 5 calec zalega bezpośrednio pod warstwą humusu – jest to efekt niwelacji pagórka.

Stratygrafia stanowiska

We wszystkich wykopach wyróżniono łącznie 115 jednostek stratygraficznych (ryc. 10–12).

Niwelacja pagórka pod koniec lat 60. XX w. nie pozwala na rozpoznanie pełnego zasięgu osadnictwa wczesnośredniowiecznego. Usunięcie warstw archeologicznych aż do calca na znacznej powierzchni stanowiska spowodowało, że nie tylko zasięg osadnictwa i rozplanowanie, ale też jego datowanie nastręcza wielu trudności. Nie zachowały się warstwy kulturowe wokół zagłębionych konstrukcji mieszkalnych – jedynie w dwóch przypadkach mamy do czynienia ze śladami warstw archeologicznych na zewnątrz tych konstrukcji.

Wydaje się, że budowa osady nastąpić mogła w XI w.[1] Wówczas wzniesiono konstrukcje wziemne. Udało się odsłonić cztery takie konstrukcje – dwie w całości, dwie fragmentarycznie. Odsłonięte półziemianki wykopane były w glinie calcowej, na planie owalnym, o długości ok. 6,0–6,6 m na osi W-E i szerokości ok. 4,0–4,7 m ma osi N–S (ryc. 13). W wąskiej przestrzeni między półziemiankami 14 i 39 znaleziono czaszkę dzika lub świni ułożoną na płaszczyźnie zbudowanej z płaskiego, dużego kamienia i kilku mniejszych (ryc. 14). Wyraźnie intencjonalny charakter obiektu świadczy, że mamy tu do czynienia z obiektem magicznym. Usunięcie mechaniczne warstw wokół półziemianek w czasach nowożytnych nie pozwoliło stwierdzić, jak długo stanowisko było zamieszkiwane. Prawdopodobnie funkcjonować mogło w XI–XII w.[2]

Stopień zniszczenia stanowiska nie pozwala na rekonstrukcje jego topografii. Wydaje się, że grodzisko

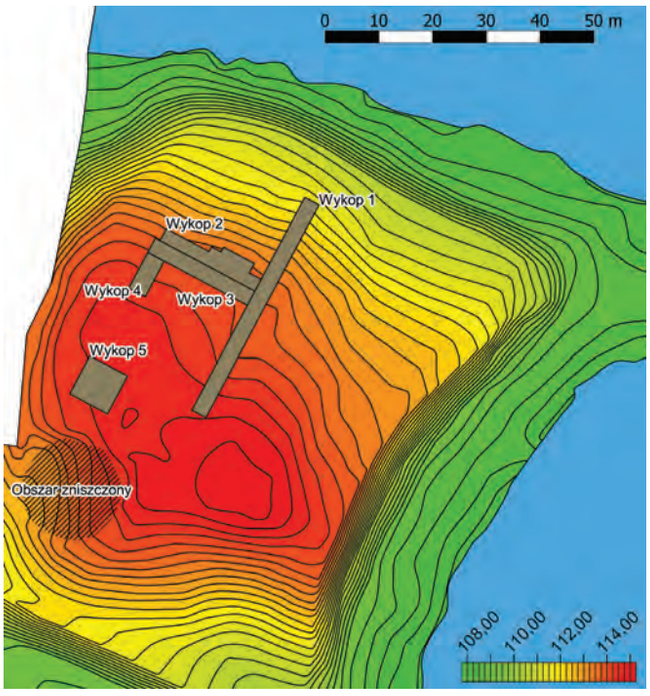

Ryc. 9. Plan sytuacyjno-wysokościowy grodziska w Lipowcu, st. 2 (Lichtajnach) z rozmieszczeniem wykopów z roku 2015 i 2016 (na podstawie pomiarów J. Błaszczyka, oprac. R. Solecki)

[1] Pobrano próbkę drewna z konstrukcji mieszkalnych do datowania radiowęglowego i uzyskano datę 880 AD (Kobyliński 2016: 107, tab. 5). Datowanie radiowęglowe wydaje się być zbyt wczesne w stosunku do datowania na podstawie nielicznych fragmentów ceramiki (XI–XIII w. – tabl. 1). Jedynie jedna forma ma wcześniejszą metrykę, bliską datowaniu radiowęglowemu.

[2] Wobec zniszczenia stanowiska i niewielkiej ilości materiału datującego określenie chronologii nie jest sprawą prostą. Wydaje się, że mogło funkcjonować dość długo, o czym z jednej strony świadczy data radiowęglowa 880 AD (patrz przyp. 1) i fragmenty wczesnej misy (tabl. 1:c). Pozostałe, nieliczne fragmenty ceramiki wczesnośredniowiecznej pochodzą z końca XI – XII w. (tabl. 1:b). Stan zachowania grodziska nie pozwala stwierdzić, czy było ono więcej niż jednofazowe.

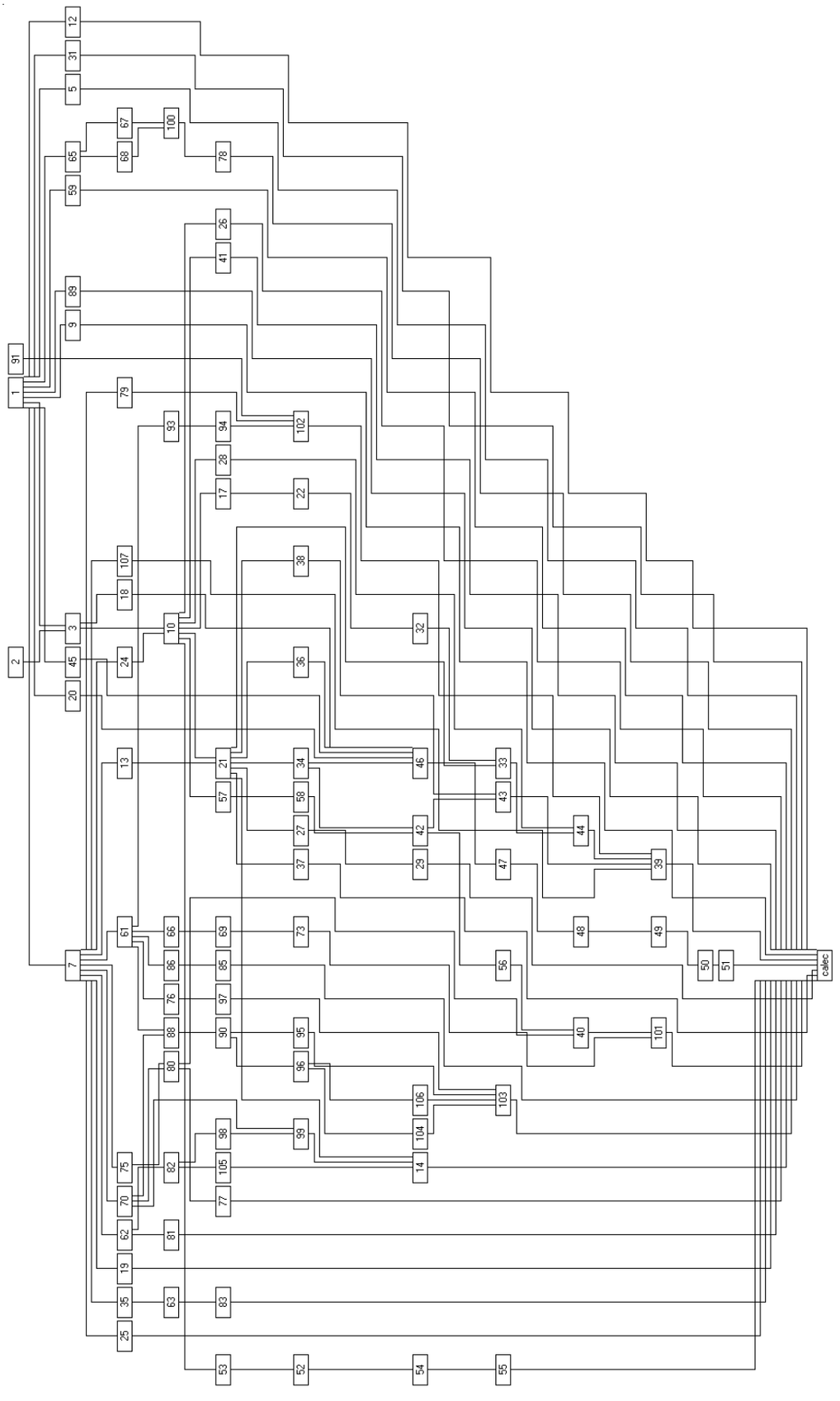

Ryc. 10. Lipowiec, st. 2 (Lichtajny). Diagram relacji stratygraficznych (oprac. M. Żurek)

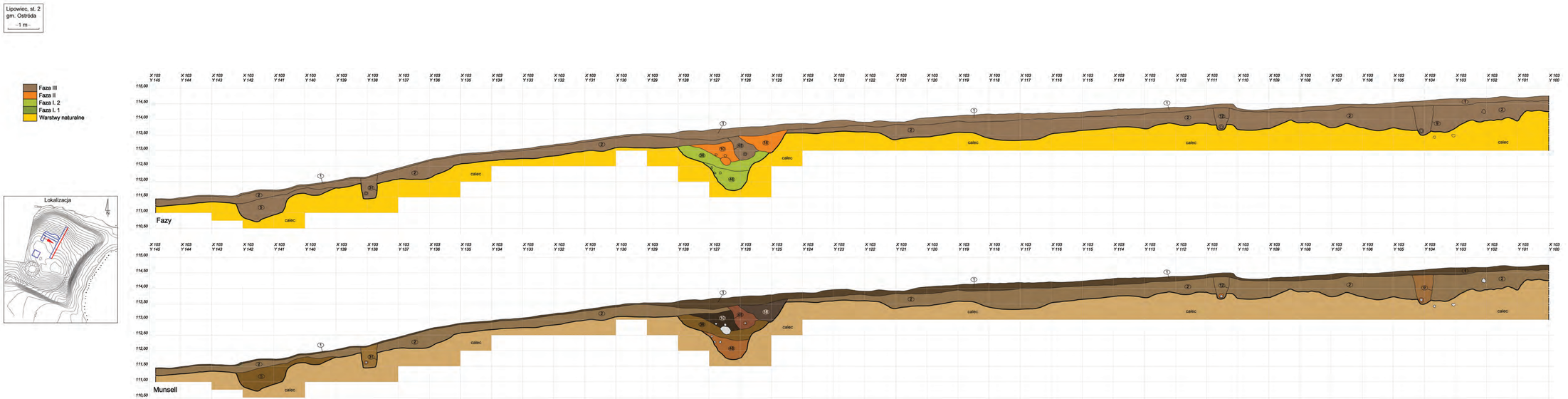

Ryc. 11. Lipowiec, st. 2 (Lichtajny). Stratygrafia stanowiska widoczna w ścianie wschodniej wykopu 1 (oprac. M. Żurek i R. Solecki)

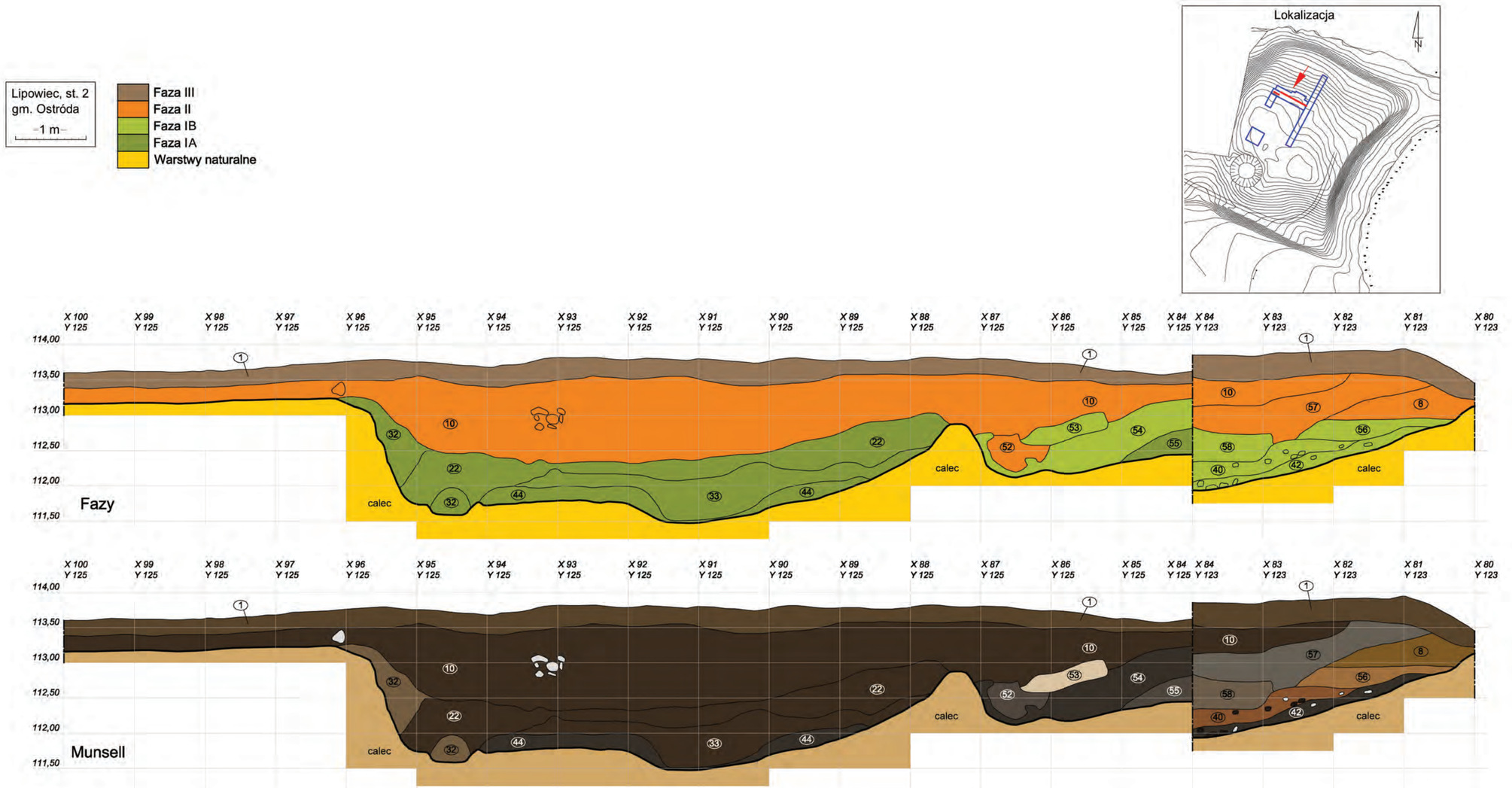

Ryc. 12. Lipowiec, st. 2 (Lichtajny). Stratygrafia stanowiska widoczna w ścianie południowej wykopu 2 (oprac. M. Żurek i R. Solecki)

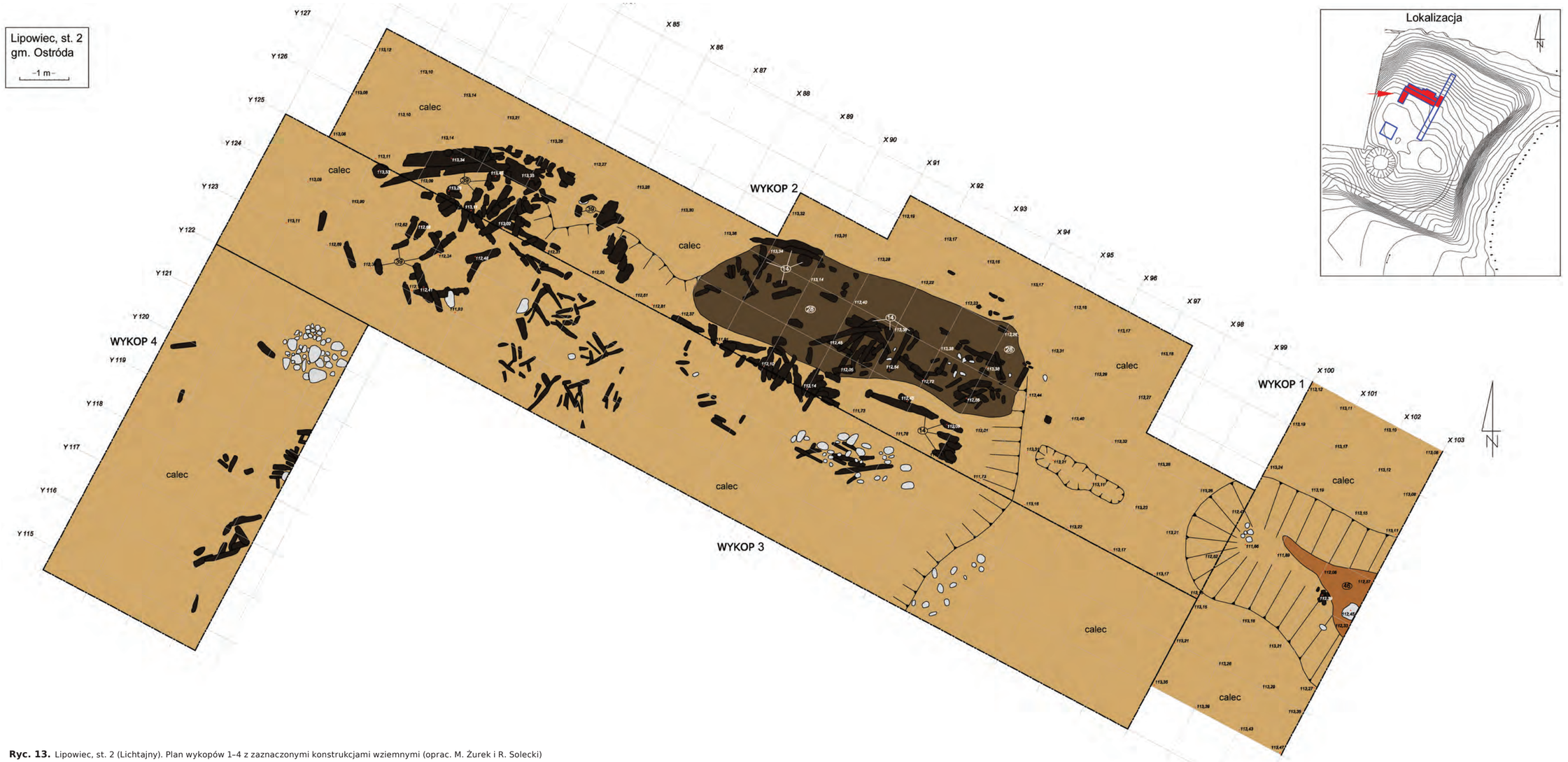

Ryc. 13. Lipowiec, st. 2 (Lichtajny). Plan wykopów 1–4 z zaznaczonymi konstrukcjami wziemnymi (oprac. M. Żurek i R. Solecki)

miało zwartą zabudowę. Dotąd udało się odsłonić cztery konstrukcje wziemne – dwie w całości, dwie fragmentarycznie. Odsłonięte półziemianki wkopane są w glinę calcową (trzy – obiekty 14, 39 i 78) oraz w piasek calcowy (jedna – obiekt 103). Wydaje się, że mogły być wzniesione na planie owalnym, o długości ok. 6,0–6,6 m na osi W–E i szerokości ok. 4,0–4,7 m na osi N–S. Rozmieszczenie pionowych belek osadzonych w glinie calcowej pozwala stwierdzić, że ściany części nadziemnej wzniesiono w konstrukcji palisadowej, wzmocnionej gliną. Podobnej konstrukcji były naziemne chaty w Kruszwicy i Wrocławiu, również wykonane z drewna liściastego[3].

Konstrukcja nr 1 (obiekt 14) wyeksplorowana została całkowicie (ryc. 15). Posadowiona była w owalnym wkopie o wymiarach 4,0 x 6,0 m na osi N–S i głębokości ok. 100,00–110,00 cm. Ściany części naziemnej tej półziemianki wzniesiono w konstrukcji palisadowej, uszczelnionej gliną. Znaleziona wewnątrz chaty ceramika wyraźnie wskazuje na jej użytkowanie we wczesnym średniowieczu (XI–XII w.).

Konstrukcja nr 2 (obiekt 39) jest półziemianką położoną na zachód od Konstrukcji nr 1. Chata miała analogiczną konstrukcję i orientację, ale jest nieco większa – ok. 4,7 x 6,5 m (ryc. 16). Między obiema chatami, w odległości ok. 1,00 m od Konstrukcji nr 1, znaleziona została czaszka dzika/świni(?) ułożona na dużym, płaskim kamieniu (obiekt 41). Prawdopodobnie obiekt miał znaczenie magiczne.

Konstrukcja nr 3 (obiekt 103) jest półziemianką wykopaną w piaszczystym calcu na południe od Konstrukcji nr 1 (ryc. 17–18). Odsłonięta została jedynie jej zachodnia część. Chata ma analogiczną konstrukcję i prawdopodobnie taką samą orientację – znamy jedynie wymiar na osi N–S (ok. 4,0 m). Po jej północnej stronie, między nią a Konstrukcją nr 2, odsłonięto pełną konstrukcję kamienną o średnicy 115 cm (obiekt 101).

Konstrukcja nr 4 (obiekt 78) znajduje się w południowej części stanowiska. Niwelacje pagórka zdjęły warstwy nowożytne i średniowieczne zalegające wokół i wewnątrz konstrukcji. Konstrukcja jest półziemianką na planie owalu, wykopaną w glinianym calcu. Zachowały się nieliczne fragmenty belek.

Na stanowisku nie odkryto śladów umocnień. Zwarty charakter zabudowy sugeruje jednak, że mamy do czynienia z grodziskiem, a system umocnień nie zachował się wskutek późniejszych przekształceń morfologii wzgórza. Jego pozostałością mogą być fragmenty belek i gliny odsłonięte w wąskim wkopie w calcu przecinającym wykop 1.

Ryc. 14. Lipowiec, st. 2 (Lichtajny). Zarysy półziemianek 14 i 39 z obiektem kultowym (czaszka na kamieniach), widok od wschodu (fot. M. Żurek)

Ryc. 15. Lipowiec, st. 2 (Lichtajny). Przewrócona konstrukcja drewniana półziemianki 14, widok od wschodu (fot. M. Żurek)

[3] Analizę gatunków drewna wykorzystanego w konstrukcji wykonał T. Stępnik, zob. niżej; por. też Stępnik 2016: 236–237.

Ryc. 16. Lipowiec, st. 2 (Lichtajny). Przewrócona konstrukcja drewniana na dnie półziemianki 39, widok od północy (fot. M. Żurek)

Ryc. 17. Lipowiec, st. 2 (Lichtajny). Przewrócona konstrukcja drewniana półziemianki 103, widok od zachodu (fot. M. Żurek)

Ryc. 18. Lipowiec, st. 2 (Lichtajny). Wyeksplorowana półziemianka w wykopie 4 (obiekt 103), widok od południa (fot. M. Żurek)

Grodzisko zostało opuszczone prawdopodobnie u schyłku XII w. i wydaje się, że cypel długo pozostał niezamieszkany. Z okresu późnego średniowiecza znaleziono jedynie pojedyncze fragmenty ceramiki. Nie zachowały się jakiekolwiek konstrukcje, które można by wiązać z tym okresem.

W epoce nowożytnej w części stanowiska, bezpośrednio na glinianym calcu, na wschód od półziemianki 14, postawiono niewielką konstrukcję drewnianą ze ścianami z desek. Towarzyszyła jej konstrukcja kamienna o średnicy ok. 0,95 m i jama. Użytkownicy utwardzali gliniaste podłoże za pomocą luźnych bruków o prawdopodobnie ograniczonej powierzchni. Większe kamienie też luźno wypełniały zagłębienie po półziemiance 14. Charakter znalezionej ceramiki (naczynia kuchenne, brak ceramiki stołowej i budowlanej) odpowiada typowi osadnictwa – jest śladem osadnictwa wiejskiego.

Koncentracja konstrukcji drewnianych i ceramiki nowożytnej w ograniczonej przestrzeni świadczy, że na cyplu stał wówczas pojedynczy dom. Ten okres użytkowania stanowiska możemy datować na koniec XVI–XVII w.

Wydaje się, że w XVIII i XIX w. stanowisko nie było zasiedlone. Ślady działalności ludzkiej istnieją ponownie dopiero ze schyłku lat 60. XX w., kiedy to na pagórku ułożono dreny, a jego szczyt zniwelowano.

ZNALEZISKA

Ogólna charakterystyka zespołu znalezisk

Szczyt pagórka, na którym znajduje się stanowisko, został zniwelowany w XX w. Wówczas usunięto część warstw archeologicznych położonych wokół półziemianki odkrytej w wykopie 5 oraz obok półziemianek w wykopach 2–3, miejscami do calca. W związku z tym analiza zawartości większości warstw, z których pochodzi materiał zabytkowy nie wykazała jednoznacznej sekwencji chronologicznej – zwłaszcza w jednostkach stratygraficznych w wykopie 3 materiał pradziejowy występuje obok dominującego nowożytnego.

Zniszczenie stanowiska powoduje, że materiał zabytkowy jest bardzo ograniczony. Poza ceramiką, głównie nowożytną, znaleziono też kilka gwoździ i ostrze nowożytnej siekiery. Brak również szczątków zwierzęcych, poza intencjonalnie pozostawioną czaszką dzika/świni.

Ilość znalezionej ceramiki nie rozkłada się proporcjonalnie na poszczególne wykopy: w wykopie 1 znaleziono 68 fragmentów, w wykopie 2 – 30 fragmentów, w przylegającym doń na niemal całej długości i podobnej powierzchni wykopie 3 – 324 fragmenty, w wykopie 4 – 17 fragmentów, a w wykopie 5 – 1 fragment (tab. 2).

Tabela 1. Katalog warstw z opisem poszczególnych jednostek stratygraficznych grodziska w Lipowcu, st. 2 (Lichtajnach) (oprac. M. Żurek)

Numer jednostki	Numer obiektu	Numer wykopu	Położenie w obrębie stanowiska	Współrzędne siatki pomiarowej stanowiska	Opis jednostki stratygraficznej	Barwa (Munsell)	Pozycja stratygraficzna	
							Znajduje się pod	Znajduje się nad
1	-	1–5	Całe stanowisko		Ciemnoszara ziemia	10YR 3/3	-	2, 3, 7, 8, 10, 11, 18, 39, 57
2	-	1	Część E stanowiska	Y=100,0–122,80; X=100,0–103,0	Szaro-brązowa, zbita ziemia z dużą liczbą małych kamieni, warstwa niwelacyjna	10YR 5/4	1	calec
3	-	1	Część NE stanowiska	Y=100,00–122,80; X=100,00–103,00	Warstwa szaro-brązowego, zglinionego piasku z wtrętami węgielków oraz fragmentów polepy, cegieł i drobnych kamieni	10YR 4/4	1, 2	10, 18
5	-	1	Część NE stanowiska	Y=122,80–144,80; X=100,00–103,00	Lekko zgliniony piasek z wtrętami węgli	10YR 5/4	1	calec
7	-	1, 3, 4	Część E, środkowa i W stanowiska	Y=92,50–127,50; X=79,0–103,00	Szaro-brązowy, zbity piasek z wtrętami węgielków oraz fragmentów polepy i cegieł	7,5YR 5/6	1	13, 24, 25, 35, 38, 57, 61, 62, 70, 75, 79, 91
9	9	1	Część SE stanowiska	Y=103,70–104,40; X=103,0	Wypełnisko wkopu pod dren	10YR 3/2	1	calec
10	-	1, 2	Część E stanowiska	Y=125,0–128,0; X=79,0–103,0	Ciemoszaro-brunatna ziemia z wtrętami węgielków oraz fragmentów polepy	10YR 2/2, 10YR 4/1	1, 3	27, 32, 36, 39, 53, 57
12	12	1	Część SE stanowiska	Y=110,30–110,80; X=103,0	Wypełnisko wkopu pod dren	10YR 5/4	1	calec
13	13	2	Część E stanowiska	Y=125,50–126,6; X=94,30–95,70	Koliste skupisko kamieni	-	7	23
14	14	2–3	Część E stanowiska	Y=126,0–127,50; X=86,0–95,0	Wkop półziemianki, skupisko spalonych belek	-	23	calec
17	-	2	Część środkowa stanowiska	Y=126,0–127,5; X=88,0–90,50	Sypka, brązowo-szara ziemia	10YR 4/3	10	22
18	-	1	Część E stanowiska	Y=126,60–127,5; X=100,0–103,0	Sypka, brązowo-szara ziemia z nielicznymi węgielkami	7,5YR 3/2	1, 3	46, calec
19	-	2	Część E stanowiska	Y=125,0–125,50; X=96,0–97,5	Luźny bruk	-	7	16
20	-	1	Część E stanowiska	Y=125,0–126,0; X=100,0–102,0	Skupisko kamieni	-	1	calec
21	-	1, 2	Część E i środkowa stanowiska	Y=126,0–127,80; X=94,0–103,00	Ciemnoszaro-czarna, tłusta ziemia z niewielką ilością polepy	10YR 3/3	10	33
22	14	2	Część E stanowiska	Y=125,0–126,50; X=85,0–95,0	Ciemna, dość sypka ziemia z dużą liczbą węgielków i dużych kawałków polepy	10YR 2/2	11	33
24	-	2	Część E stanowiska	Y=125,0–125,50; X=93,0–94,0	Małe skupisko kamieni	-	7	10
25	-	2	Część E stanowiska	Y=127,0–127,50; X=86,20–97,0	Małe skupisko kamieni	-	7	calec
26	26	2	Część E stanowiska	Y=125,50–127,5; X=95,740–98,10	Obiekt – rowki wypełnione ciemną, sypką ziemią z fragmentami drewienek	10YR 4/2	11	calec
27	-	1	Część E stanowiska	Y=126,5–127,5; X=100,0–103,0	Zbita, brunatno-czarna ziemia z dużymi fragmentami polepy, węgli, spalonych belek oraz drobnych kamieni	10YR 3/2	23	29
28	14	2	Część środkowa stanowiska	Y=125,0–127,5; X=86,0–90,0	Zgliniona ziemia z dużą ilością polepy	10YR 3/3	11	calec
29	-	1	Część E stanowiska	Y=126,90–128,0; X=100,0–101,10	Zgliniona ziemia z dużą ilością polepy	10YR 4/3	23, 27	calec
31	31	1	Część NE stanowiska	Y=137,86–138,49; X=103,0	Wypełnisko wkopu pod dren	10YR 5/6	1	calec
32	-	2	Część E stanowiska	Y=125,0–125,90; X=92,0–96,5	Jasnobrązowa, lekko zgliniona ziemi, niewielka liczbą węgielków i drobnych otoczaków	10YR 4/3	22	33, 44
33	-	2	Część środkowa stanowiska	Y=125,0–126,0; X=82,20–93,6	Czarna, lekko zgliniona ziemia, z licznymi wtrętami polepy	10YR 2/2	22	44
34	-	1	Część E stanowiska	Y=127,60–128,0; X=100,0,0–103,0	Czarna ziemia, ze śladami spalenizny	10YR 2/2	23	42, 46
35	35	2	Część E stanowiska	Y=125,0–126,0; X=94,0–95,5	Wypełnisko wkopu widocznego w profilu	10YR 3/2	7	63

Tabela 1. Ciąg dalszy

Numer jednostki	Numer obiektu	Numer wykopu	Położenie w obrębie stanowiska	Współrzędne siatki pomiarowej stanowiska	Opis jednostki stratygraficznej	Barwa (Munsell)	Pozycja stratygraficzna	
							Znajduje się pod	Znajduje się nad
36	-	1	Część E stanowiska	Y=126,0–127,80; X=100,0–103,0	Rdzawa ziemia, z fragmentami polepy	10YR 4/6	23	46, calec
37	-	1	Część E stanowiska	Y=126,0–127,0; X=100,0–100,5	Sypki, jasny piasek	10YR 7/4	23	calec
38	-	1	Część E stanowiska	Y=123,0–125,0; X=101,0–103,0	Zlasowany szachulec	5YR 4/6	21	43
39	39	2–3	Część NW stanowiska	Y=123,0–126,50; X=80,5–86,0	Wkop półziemianki, skupisko spalonych belek	-	7, 21, 38	calec
40	39	2	Część środkowa stanowiska	Y=123,0–124,80; X=80,6–84,0	Zlasowany szachulec	5YR 4/6	42	42, 101
41	41	2	Część środkowa stanowiska	Y=125,70–125,90; X=84,5,0–84,70	Obiekt – czaszka dzika/świni ułożona na kamieniach	-	11	calec
42	-	2	Część środkowa stanowiska	Y=125,40–127,0; X=81,4,0–84,0	Czarna ziemia ze spalenizną	10YR 2/1	36, 40, 56	43, calec
43	39	2	Część środkowa stanowiska	Y=125,40–127,0; X=80,20–82,0	Sypki, miodowo-brązowy piasek	10YR 6/8	42	calec
44	39	2	Część E stanowiska	Y=125,5–126,5; X=88,60–94,10	Ciemna ziemia, ze śladami spalenizny	10YR 2/1	28, 32, 33	calec
45	45	1	Część E stanowiska	Y=126,10–126,89; X=103,0	Wypełnisko wkopu pod dren	2,5YR 4/6	1	46
46	-	1	Część E stanowiska	Y=126,40–126,70; X=102,10–103,0	Zlasowany szachulec	5YR 5/8	20, 36	47
47	-	1	Część E stanowiska	Y=125,60–126,38; X=101,0,0–102,40	Skupisko spalonych belek	-	34	48
48	-	1	Część E stanowiska	Y=126,0–126,30; X=101,0,0–102,0	Spalenizna	2,5YR 2,5/1	47	46, 50
49	-	1	Część E stanowiska	Y=126,22–126,50; X=101,36,0–101,60	Zlasowany szachulec	5YR 3/4	48	50
50	-	1	Część E stanowiska	Y=126,0–126,50; X=101,0–103,0	Zgliniony piasek	5YR 3/1	49	51
51	-	1	Część E stanowiska	Y=126,0–127,0; X=100,0–103,0	Spalenizna	10YR 5/2	50	calec
52	-	2	Część E majdanu	Y=125,50–126,90; X=83,10,0–84,0	Szary piasek	7,5YR 3/1	53	54
53	-	2	Część środkowa stanowiska	Y=125,50–126,70; X=84,20,0–85,0	Piaszczysta ziemia z licznymi wtrętami węgielków i polepy	10YR 8/3	11	52, 59
54	-	2	Część środkowa stanowiska	Y=125,50–126,0; X=84,20,0–87,0	Ciemnoszary piasek z licznymi węgielkami	10YR 2/1	53	55
55	39	2	Część środkowa stanowiska	Y=125,50–126,34; X=84,20,0–86,0	Zgliniony, rdzawobrązowy piasek z wtrętami węgielków i polepy, warstwa użytkowa obiektu 39	10YR 3/1	52, 54	calec
56	39	2	Część W stanowiska	Y=123,0–125,34; X=79,8–82,50	Miodowa, sypka ziemia	7,5YR 5/6	42, 57	40, 42
57	39	2	Część W stanowiska	Y=123,0–124,0; X=80,6–84,0	Szary, sypki piasek z drobnymi fragmentami polepy	10YR 4/1	10	40, 42
58	39	2	Część W stanowiska	Y=123,0–124,80; X=82,8–84,0	Zlasowany szachulec	10YR 4/2	57	40, 42
59	-	1	Część E stanowiska	Y=126,0–126,50; X=100,0	Klin lodowy?	5YR 3/1	1	calec
61	-	4	Część W stanowiska	Y=93,00–100,00; X=79,00–82,50	Ciemnoszara ziemia	10YR 2/1	7	66, 93, 94
62	-	3	Część środkowa stanowiska	Y=101,20–103,0; X=88,5–93,80	Szaro-czarny, gliniasty piasek	7,5YR 5/6	60	81, 82
63	-	3	Część środkowa stanowiska	Y=100,0–100,70; X=81,5–85,0	Ciemnopomarańczowy, gliniasty piasek	10YR 7/6	60	83

Tabela 1. Ciąg dalszy

Numer jednostki	Numer obiektu	Numer wykopu	Położenie w obrębie stanowiska	Współrzędne siatki pomiarowej stanowiska	Opis jednostki stratygraficznej	Barwa (Munsell)	Pozycja stratygraficzna	
							Znajduje się pod	Znajduje się nad
65	78	5	Część SW stanowiska	Y=70,50–74,0; X=79,50–82,50	Szaro-czarna ziemia z wtrętami polepy i węgli	7,5YR 2/1	1	67, 68
66	-	3	Część środkowa stanowiska	Y=100,0–102,60; X=88,5–89,60	Szaro-czarna ziemia z wtrętami polepy i węgli	7,5YR 2/1	61	69
67	78	5	Część SW stanowiska	Y=72,50–74,0; X=81,50–81,70	Ciemnoszara ziemia z niewielką ilością wtrętów polepy	10YR 3/3	65	100
68	78	5	Część SW stanowiska	Y=70,0–74,0; X=79,50–82,50	Brunatna ziemia z wtrętami polepy i węgli	10YR 3/2	65	100
69	-	4	Część W stanowiska	Y=99,70–100,0; X=80,25–82,50	Soczewka czarnej ziemi ze spalenizną	2,5Y 2/0	61	73
70		3	Część środkowa stanowiska	Y=100,0–102,90; X=84,5–87,50	Spalenizna z dużą ilością polepy i węgli	10YR 3/1	7	80, 88
73		3	Część środkowa stanowiska	Y=100,0–100,30; X=80,30–82,50	Glina z polepą	10YR 6/6	72	101
75		3	Część środkowa stanowiska	Y=100,0–102,0; X=88,10–84,50	Ciemnoszara, zbita ziemia z wtrętami węgielków	10YR 3/2	7	80
76	-	4	Część W stanowiska	Y=98,00–100,0; X=79,0–80,0	Piasek ze spalenizną	2,5Y 4/2	61	calec
77		3	Część środkowa stanowiska	Y=102,0–1025,0; X=84,50–87,40	Piaszczysta glina ze spalenizną i bryłkami gliny i polepy	7,5YR 3/4	70, 80	calec
78	78	5	Część SW stanowiska	Y=70,50–74,0; X=79,50–82,50	Wkop półziemianki, skupisko spalonych belek	-	1	calec
79	39	3	Część środkowa stanowiska	Y=102,0–102,50; X=84,50–87,40	Ciemnobrunatny, gliniasty piasek	10YR 3/1	7	102
80	39	3	Część środkowa stanowiska	Y=102,0–102,0; X=84,50–88,10	Ciemnobrunatny, gliniasty piasek z dużą ilością węgli i polepy	10YR 3/1	75	40
81	14	3	Część środkowa stanowiska	Y=102,70–101,40; X=88,50–90,50	Ciemnobrunatny, gliniasty piasek z dużą ilością węgli, belek i polepy	10YR 2/1	62	calec
82	14	3	Część środkowa stanowiska	Y=102,25–103,0; X=88,50–94,0	Czarna, sypka ziemia z dużymi kamieniami	10YR 2/2	62	98
83	14	3	Część środkowa stanowiska	Y=102,0–101,0; X=89,0–95,0	Żółtawo-szary, zgliniony piasek	10YR 6/6	63	calec
85	-	4	Część W stanowiska	Y=97,0–98,24; X=79,32–97,1	Żóły, sypki piasek ze spalenizną i polepą	10YR 6/4	86	calec
86	-	4	Część W stanowiska	Y=93,20–93,50; X=80,4–80,8	Ciemnobrunatna ziemia z dużą ilością polepy	10YR 3/2	61	85, calec
88	103	4	Część W stanowiska	Y=94,90–99,70; X=80,90–82,30	Brunatna, sypka ziemia	10YR 2/2	61	90, 96
89	89	4	Część W stanowiska	Y=96,70–97,70; X=79,0–80,0	Wypełnisko wkopu pod dren	10YR 2/2	1	calec
90	103	4	Część W stanowiska	Y=97,50–98,50; X=81,0–82,5	Brunatna, sypka ziemi	10YR 2/2	88	96
91	-	4	Część W stanowiska	Y=98,00–99,00; X=86,0–97,50	Szaro-brązowa, glinista ziemia	10YR 3/2	7	102
93	-	3	Część środkowa stanowiska	Y=98,00–100,00; X=82,50–93,50	Ciemna, sypka ziemia z bryłkami gliny	10YR 6/8	61	94
94	39	3	Część środkowa stanowiska	Y=98,00–100,00; X=83,50–86,0	Ciemnoszara, sypka ziemia	10YR 3/2	93	calec
95	103	4	Część W stanowiska	Y=96,50–98,00; X=80,00–81,00	Pomarańczowy, zgliniony piasek	10YR 5/8	90	calec
96	103	4	Część W stanowiska	Y=95,0–99,50; X=81,0–82,50	Rdzawy, zgliniony piasek	10YR 5/6	88	calec

Tabela 1. Ciąg dalszy

Numer jednostki	Numer obiektu	Numer wykopu	Położenie w obrębie stanowiska	Współrzędne siatki pomiarowej stanowiska	Opis jednostki stratygraficznej	Barwa (Munsell)	Pozycja stratygraficzna	
							Znajduje się pod	Znajduje się nad
97	103	4	Część W stanowiska	Y=97,00–98,00; X=79,50–80,30	Warstwa spalenizny układająca się łukiem na stoku wkopu półziemianki	10YR 3/1	76	calec
98	14	3	Część środkowa stanowiska	Y=101,80–102,50; X=88,50–92,50	Gliniasty, brunatny piasek z dużą liczbą fragmentów belek	10YR 3/3	82	99
99	14	3	Część środkowa stanowiska	Y=102,0–102,50; X=87,0–88,0	Wyprażony piasek ze spalenizną i fragmentami polepy	10YR 5/3	70	calec
100	78	5	Część SW stanowiska	Y=72,2–74,0; X=81,70–82,50	Gliniasty piasek ze spalenizną	10YR 3/6	67, 68	calec
101	101	4	Część W stanowiska	Y=98,00–99,30; X=81,0–82,30	Jama o średnicy ok. 120 cm, wypełniona średnimi i dużymi kamieniami	-	73	calec
102	39	3	Część środkowa stanowiska	Y=98,0–100,0; X=84,50–86,00	Miodowo-brązowy, gliniasty piasek, w nim fragmenty belek	10YR 3/2	91, 94	calec
103	103	4	Część W stanowiska	Y=95,0–99,50; X=81,0–82,50	Wkop półziemianki	-	61	calec
104	103	4	Część W stanowiska	Y=81,50–82,50; X=96,0–97,50	Fragmenty belek w obiekcie 103	-	96	calec
105	14	3	Część środkowa stanowiska	Y=101,80–102,50; X=88,50–92,50	Przepalone belki	-	82	calec
106	103	4	Część W stanowiska	Y=97,00–98,00; X=82,20–82,50	Bryłki wyżarzonej gliny w wyżarzonym piasku	2,5YR 8/2	96	calec
107	39	4	Część W stanowiska	Y=85,50–87,50; X=99,0–102,0	Brunatny, gliniasty piasek z wtrętami polepy i węgli	10YR 3/3	108	calec

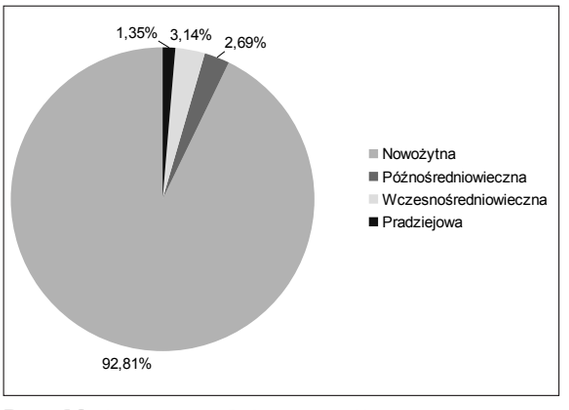

Ryc. 19. Lipowiec, st. 2 (Lichtajny). Udział procentowy ceramiki z poszczególnych epok (oprac. M. Żurek)

Materiał ceramiczny jest silnie rozdrobniony, zachowany głównie w postaci małych i średnich fragmentów (tab. 3). Ogromną większość zespołu stanowią brzuśce naczyń – 78,59%. Ogółem zespół liczy 445 fragmentów: 413 nowożytnych (92,81%), 12 późnośredniowiecznych (2,69%), 14 wczesnośredniowiecznych (3,14%) i 6 pradziejowych (1,35%), w tym 4 należące do jednej misy z wczesnej epoki żelaza.

W analizowanym materiale najliczniej reprezentowana jest ceramika nowożytna (413 fragmentów, co stanowi 92,81% zespołu), przeważnie cienkościenna kuchenna. Materiał z tego okresu dominuje na stanowisku, ale wyraźnie koncentruje się na niewielkim obszarze ok. 10 m^2 (90 fragmentów, co stanowi 22,17% wszystkich znalezisk ceramicznych).

Spośród 413 fragmentów ceramiki nowożytnej większość stanowią naczynia o cechach ceramiki z XVII-XVIII w. Wśród możliwych do odtworzenia form dominują formy zamknięte i wazy. Jedynie 3% fragmentów stanowi ceramika polewana lub z plamami polewy, przeważnie miodowo-brązowej; znaleziono również jeden fragment imadła malowanego dzbana (XVIII w.?) i jedyny drobny fragment kamionkowego kufla z polewą białą i kobaltowo-niebieską (koniec XIX w.).

Zwraca uwagę niewielka ilość ceramiki późnośredniowiecznej (zaledwie 2,69% zespołu). Materiał z tego okresu jest również niemal nieobecny na krawędziach niwelowanego obszaru, co pozwala założyć, że pagórek w tym okresie nie był zasiedlony.

Niemal całkowity brak ceramiki budowlanej – jedynie trzy fragmenty późnonowożytnych płytek oraz dwa XX-wiecznego kafla z białą polewą – świadczy o nieobecności na stanowisku architektury murowanej. Współczesne dreny nie były uwzględniane w opracowaniu.

Zauważyć można również brak naczyń kompletnych lub fragmentów zachowanych w ponad 50% – wyjątkiem jest nowożytne naczynie kuchenne. Kłopoty z wyklejaniem ceramiki potwierdzają fakt, że materiał został dość znacznie przemieszany.

W zależności od okresu, z którego pochodzi ceramika, różnie prezentuje się rozkład zachowanych elementów naczyń. Najbardziej typowy jest rozkład elementów naczyń nowożytnych, gdzie w zachowanym materiale wyraźnie przeważa liczba fragmentów brzuśców (84,52%), wobec wylewów stanowiących jedynie 7,86% wszystkich fragmentów nowożytnych, czy den – 6,42%. Uwagę zwraca stosunkowo duża liczba wylewów ceramiki wczesnośredniowiecznej – siedem fragmentów, co stanowi 36,84% wszystkich fragmentów naczyń wczesnośredniowiecznych.

Technologia wytwarzania naczyń

Wśród ceramiki znalezionej na stanowisku znajduje się sześć fragmentów pradziejowych, w tym cztery fragmenty misy z wczesnej epoki żelaza (tabl. 1:c) – lepionej ręcznie, z prostym, gładkim wylewem, niżej grubość ścianek ulega zwiększeniu, powierzchnia przydennej części naczynia jest chropowacona. Na wewnętrznej powierzchni widać pozostałości wałeczków, z których budowano formę. Znaleziona została w warstwie nowożytnej. Pozostałe fragmenty są

Tabela 2. Zestawienie ilościowe fragmentów ceramiki z grodziska w Lipowcu, st. 2 (Lichtajnach) (oprac. M. Żurek)

Faza	Jednostka stratygraficzna	Liczba fragmentów łącznie	Liczba różnych naczyń	Wylewy		Szyjki	Brzuśce						Ucha	Części przydenne	Dna							Ceramika „siwa"	Ceramika z polewą	Fragmenty przepalone	Fragmenty o wypłukanej powierzchni	Chronologia			
											Ornament						Rodzaj		Cechy den											
				Liczba fragmentów	SEN (procent obwodu)		Liczba fr. ogółem	Gładkie	Szorstkie	Nieokreślone	Żłobki dookolne	Ornament plastyczny			Liczba fragmentów	SEN (procent obwodu)	Lekko wklęsłe	Płaskie	Na podsypce	Wałek dookolny	Odcinanie					Pradzieje	Wczesne średniowiecze	Późne średniowiecze	Nowożytność
IA	14	1	1				1			1																1			
IA	18	1	1				1		1																		1		
IA	44	5	3	3	12		2		2																		3		
IA	85	2	2				1		1						1	20		1			1						1	1	
IA	100	1	1	1	8																						1		
IA	107	1	1												1	100		1									1		
IB	28	1	1				1		1																		1		
IB	34	1	1				1		1																		1		
IB	36	3	3				3		2		1															1	2		
IB	80	1	1				1	1																				1	
II	13	4	4				4	4																					4
II	35	3	3	1	13		2	2																					3
II	61	11	11			1	9	1	8						1	40			1			1						1	10
II	62	168	37	12	230	7	136	118	8	2			2	1	12				12					9					168
II	63	56	39	7	100	2	38	20	18					4	4	80			4					1		4			52
II	75	3	3				2	2							1	20			1					1					3
II	82	5	5				3	1	2						2	35			2			1					1		4
II	83	3	3	1	15		2	2															1					1	2
II	91	43	1	7	65	2	26	2	24				1	2	3	48			3										41
II	94	20	20	1	10		16	8	8				2		1	15			1					1				8	12
III	1	29	27	4	35		23	11	11			1			2	110	1		1	1							1		28
III	2	2	2				2			2																			2
III	10	51	35	3	8	3	40	2	37	2			1	2	2	25			2			2			1		1		47
III	22	5					5	4		1															1				5
III	27	11	11			1	9								1	20			1			1							11
III	81	5	5				4	1	3					1															5
III	89	4	4				4		4																				4
Suma		**440**	**225**	**40**	**496**	**16**	**336**	**179**	**131**	**8**	**1**	**1**	**6**	**10**	**31**	**513**	**1**	**2**	**28**	**1**	**1**	**5**	**1**	**12**	**2**	**6**	**14**	**12**	**401**

Tabela 3. Fragmentacja i erozja fragmentów ceramiki z grodziska w Lipowcu, st. 2 (Lichtajnach) (oprac. M. Żurek)

Jedn.	Kategorie wielkościowe [cm]															Stopień erozji				Suma
strat.	1	2	3	4	5	6	7	8	9	10	11	12	13	14	15	0	I	II	III	
1				3		3		7	2	5	3	5			1	4	25			**29**
2				1											1	1	1			**2**
10		1	1	8	1	3	2	9	3	11	3	5	2	1	1	4	41	6		**51**
13				1		1		2								1	3			**4**
14							1												1	**1**
18								1										1		**1**
22				1		1	1	2									3	1	1	**5**
27				2			3	1	3		1	1					5	6		**11**
28								1										1		**1**
34											1							1		**1**
35									1	2							1	2		**3**
36										1		2						3		**3**
44										1		2	1	1				5		**5**
61				1		3			1			4		1	1	1	10			**11**
62		12	1	8	10	15	4	9	8	32	12	18	6	15	18	44	124			**168**
63		2	1	6	4	2	1	8	2	5	5	8	5	4	3	15	39	2		**56**
75											1		1	1		3				**3**
80														1		1				**1**
81								1	1		2			1			5			**5**
82								1			1			3		1	3		1	**5**
83												2			1	3				**3**
85														1	1	2				**2**
89							1				2		1			1	3			**4**
91				3		5		6	2	6	3	7	2	5	4	19	24			**43**
94				1	1	1	2	4	2	2		2		4	1	9	11			**20**
100														1			1			**1**
107															1		1			**1**
Suma	**0**	**15**	**3**	**35**	**16**	**34**	**15**	**52**	**25**	**65**	**34**	**56**	**18**	**39**	**33**	**109**	**300**	**28**	**3**	**440**

w większości grubościenne. Wydaje się, że znalazły się na wtórnym złożu, np. przyniesione z gliną użytą do uszczelniania ścian.

Ceramika wczesnośredniowieczna z Lipowca, st. 2 (Lichtajn) wypalona jest na kolor kremowo-szary i zawiera grubą, kwarcową domieszkę. Stanowią ją formy zamknięte (tabl. 1:b), wypalone na kolor kremowo-szary i kremowo-różowy. Charakteryzuje je wypał w słabej atmosferze utleniającej oraz glina schudzona grubą domieszką. Naczynia wykonano w technice taśmowo-ślizgowej i prawdopodobnie w całości obtoczono. Okres ten reprezentują najliczniej formy zamknięte (garnki), o silnie rozchylonym wylewie, czasem z wrębem na przykrywkę. Naczynia te mogą pochodzić z XI–XII w.

Ceramika późnośredniowieczna jest obecna dzięki fragmentom wylewu, den i imadła. Imadło wypalone jest na kolor ciemnoszary. Należy do grupy B (ceramika wypalona w atmosferze redukcyjnej, glina z drobną domieszką). Fragmenty den wypalone są w niższej temperaturze, o czym świadczy brunatny przełom.

Ceramika nowożytna wypalona jest na różne odcienie barwy ceglastej, od pomarańczowo-ceglastego, przez różowo-ceglasty do brunatno-ceglastego. Naczynia w tej grupie są zarówno cienko- jak i grubościenne. Niewielki procent (3%) stanowi ceramika polewana, o odcieniach polewy od miodowo-brązowej po brąz. Polewa nakładana jest na jedną lub obie powierzchnie naczynia (dwustronna polewa z zbiorze występuje bardzo rzadko); w jednym przypadku na zewnętrznej powierzchni naczynia znajdowały się jedynie nacieki i kleksy ze słabej polewy.

Główne formy naczyń

Podstawowym kryterium określenia funkcji naczyń jest kształt wylewu. Spośród wylewów, niezależnie od okresu powstania, najwięcej jest pochodzących z form zamkniętych, o silnie skróconej szyjce i raczej wydętym brzuścu. Rozdrobnienie i przemieszanie materiału pozwala jedynie na zrekonstruowanie jednej formy, zachowanej w ok. 50%.

Ogromna większość fragmentów pochodzi z ceramiki kuchennej, jedynie pojedyncze fragmenty należą do ceramiki luksusowej.

Zwraca uwagę, że dla większości okresów naczynia do gotowania są najliczniej reprezentowane. Wyraźnie dominują w najliczniejszym materiale nowożytnym (69,23% zidentyfikowanych form), również w znacznie mniej licznym wczesnośredniowiecznym (50%). Na uwagę

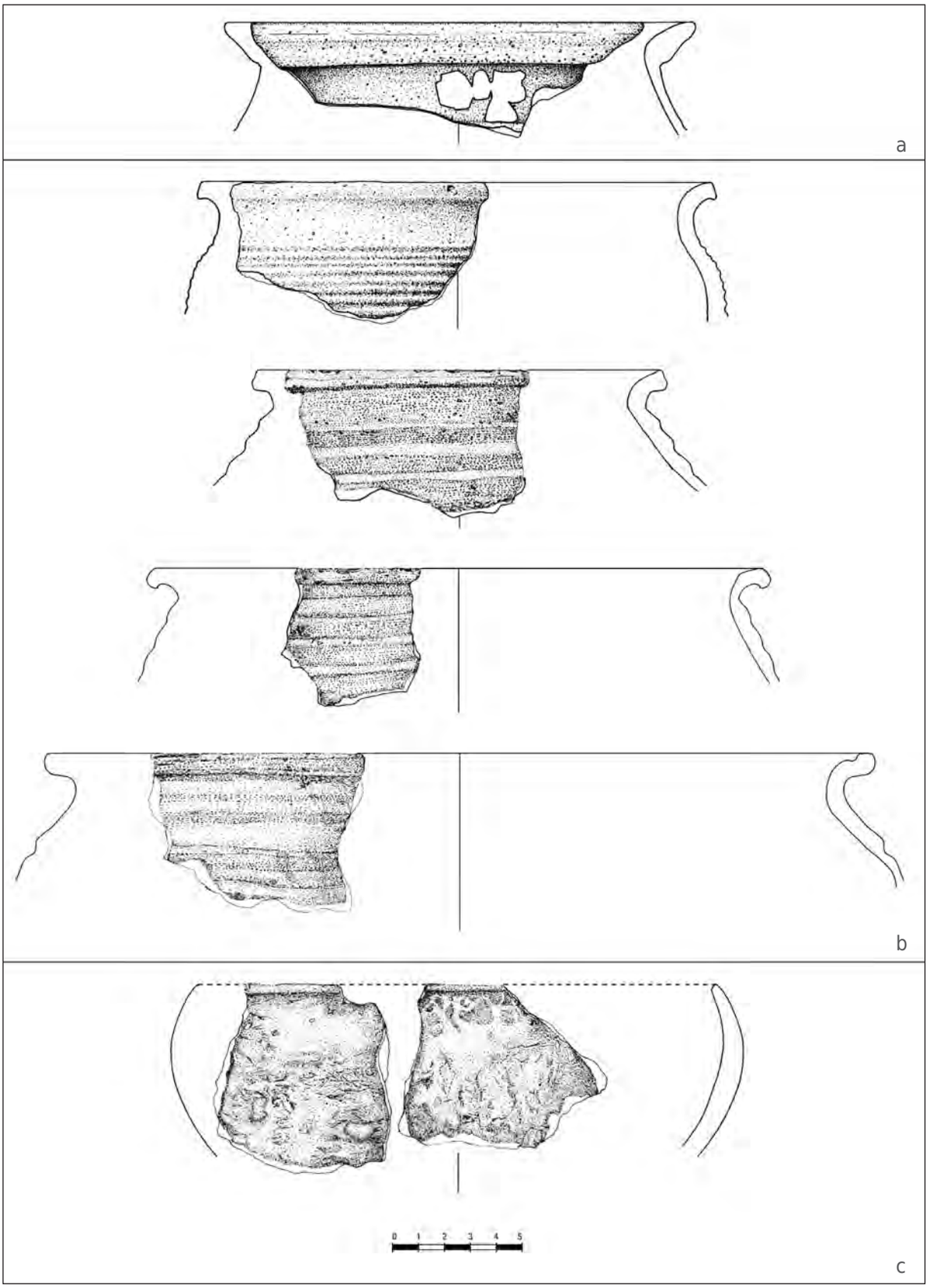

Tablica 1. Wybrane fragmenty ceramiki pozyskanej z nawarstwień grodziska w Lipowcu, st. 2 (Lichtajnach): Od góry: a) nowożytne naczynie kuchenne; b) ceramika wczesnośredniowieczna z XI–XII w.; c) ceramika z wczesnej epoki żelaza (rys. P. Potocka i K. Zdeb; oprac. R. Rybarczyk)

Tabela 4. Zbiorcze zestawienie ilościowe fragmentów ceramiki z grodziska w Lipowcu, st. 2 (Lichtajnach) (oprac. M. Żurek)

Chronologia	Ogółem	Wylewy	Brzuśce	Dna	Imadła
Nowożytna	411	35	343	28	5
Późnośredniowieczna	12	1	1	9	1
Wczesnośredniowieczna	14	4	7	3	-
Pradziejowa	6	2	4	-	-

Tabela 5. Funkcje naczyń (na podstawie ukształtowania wylewu) z grodziska w Lipowcu, st. 2 (Lichtajnach) (oprac. M. Żurek)

Formy naczyń	Garnki	Dzbany	Misy	Talerze	Kubki
Nowożytne	9	1	2	-	1
Późnośredniowieczne	-	-	1	-	-
Wczesnośredniowieczne	4	3	1	-	-
Pradziejowe	-	-	1	-	-

zasługuje również fakt, że nie zachował się żaden element charakterystyczny ceramiki późnośredniowiecznej.

W materiale nowożytnym możemy stwierdzić obecność przynajmniej dziewięciu garnków o cechach charakterystycznych dla ceramiki XVII–XVIII-wiecznej, jednego dzbana z dekoracją malowaną podszkliwnie, pochodzącego prawdopodobnie z XVIII w. oraz dwóch mis i jednego kufla. Repertuar form odpowiada funkcji stanowiska w okresie nowożytnym – jest śladem osadnictwa o charakterze wiejskim.

Materiał wczesnośredniowieczny jest mało zróżnicowany, aż 70% znalezionych fragmentów pochodzi z nienaruszonych warstw. W ogromnej większości są to niewielkie, pojedyncze fragmenty pochodzące z różnych form zamkniętych. Ich stan zachowania pozwala sądzić, że stanowisko zostało opuszczone przed zawaleniem się chat. Wyjątkiem jest tu wczesna misa, z której pochodzą trzy fragmenty.

SZCZĄTKI ROŚLINNE

MARIA LITYŃSKA-ZAJĄC I MAGDALENA MOSKAL-DEL HOYO

Ze stanowiska 2 w Lipowcu (Lichtajnach) w trzech analizowanych próbach zachowały się tylko węgle drzewne oraz sklerocja grzyba czarniaka właściwego *Cenococcum geophilinum* (tab. 6). Na podstawie spalonego drewna oznaczono sześć taksonów, w tym trzy do poziomu gatunku (grab zwyczajny *Carpinus betulus*, buk zwyczajny *Fagus sylvatica* i jesion wyniosły *Fraxinus excelsior*) oraz trzy do poziomu rodzaju (klon *Acer* sp., dąb *Quercus* sp. i lipa *Tilia* sp.). Najwięcej było resztek dębu, które zachowały się we wszystkich badanych próbach. Nieoznaczone pozostały ułamki kory oraz jeden okaz nieokreślonego typu. Znaleziono również dwa fragmenty łyka lipowego[4].

[4] Opis metody: Lityńska-Zając i Moskal-del Hoyo 2016.

Tabela 6. Spalone szczątki roślinne z grodziska w Lipowcu, st. 2 (Lichtajnach). Objaśnienia: typ szczątka: d – drewno, ko – kora, ły – łyko, sc – sklerocja, ? – nieokreślony (oprac. M. Lityńska-Zając i M. Moskal-del Hoyo)

Nazwa taksonu	Numer jednostki stratygraficznej/ typ szczątka	61	73	80	Suma
Szczątki spalone					
Carpinus betulus	d	9		15	**24**
Fagus sylvatica	d	4			**4**
Fraxinus excelsior	d	7		15	**22**
Acer sp.	d	14			**14**
Quercus sp.	d	13	23	20	**56**
Tilia sp.	d	8	7		**15**
Tilia sp.	ły		2		**2**
liściaste	d	2			**2**
nieoznaczony	ko		2		**2**
nieoznaczony	?		1		**1**
Suma		**57**	**35**	**50**	**142**
Cenococcum geophilum	sc		4		**4**

DENDROLOGIA

TOMASZ STĘPNIK

W trakcie badań archeologicznych w Lipowcu, st. 2 (Lichtajnach) pobrano 34 próbki spalonego drewna do analiz dendrologicznych (tab. 7). Pochodziły one wyłącznie z dużych elementów konstrukcyjnych – belek. Wyróżniono kilka obiektów archeologicznych: chata 1 (ob. 14 i ob. 30), chata 2 (ob. 15 i ob. 39), chata 3 (ob. 103) oraz obiekty o nieokreślonej funkcji (3, 47, jednostka stratygraficzna 20 i 34). W analizowanym materiale zwraca uwagę całkowity brak elementów konstrukcyjnych wykonanych z drewna iglastego. Zidentyfikowano wyłącznie elementy z drewna liściastego, o zróżnicowanych właściwościach fizycznych i mechanicznych. Odnotowano zarówno gatunki o dużej trwałości w środowisku o zmiennej wilgotności, takie jak dąb i wiąz, ale również o niskiej, takie jak jesion, klon, brzoza czy olcha. W przeważającej większości próbki pobrano z pionowych elementów konstrukcyjnych. Tylko jedną belkę nr 33 z chaty 1 interpretuje się jako poziomy element konstrukcyjny (dąb), jedną – nr 29 łączy się z konstrukcją dachu (brzoza), a jedną nr 67 z elementem wyposażenia chaty (lipa). W przypadku chaty 1: 4 elementy pionowe wykonano z dębu, 4 z jesionu, 3 z brzozy i 1 z wiązu. Półziemianka ta cechuje się zróżnicowanym doborem surowcowym. W przypadku chaty 2 wyróżniono 3 taksony: dąb – 5 próbek, jesion – 6 próbek, klon – 1 próbka. Zwraca tutaj jednak uwagę, że jesion odnotowano jedynie w ob. 39, natomiast dąb występował

Tabela 7. Lipowiec, st. 2 (Lichtajny). Wyniki analizy dendrologicznej (oprac. T. Stępnik)

Lp.	Lokalizacja	Wyniki	Uwagi
1	ob. 14, wykop 2, belka pionowa 10	jesion *Fraxinus* sp.	Chata nr 1, półziemianka, owalny wkop, ściany o konstrukcji palisadowej, wyprawione gliną, belki pionowe? Chronologia: XI–XIII w.
2	ob. 14, wykop 2, belka pionowa 26	dąb *Quercus* sp.	
3	ob. 30, wykop 2, belka pionowa 3	wiąz *Ulmus* sp.	
4	ob. 14, wykop 2, belka pionowa nr 20	jesion *Fraxinus* sp.	
5	ob. 14, wykop 2, belka pionowa nr 88	brzoza *Betula* sp.	
6	ob. 14, wykop 2, belka pionowa nr 89	dąb *Quercus* sp.	
7	ob. 15, wykop 2, belka pionowa nr 87	dąb *Quercus* sp.	
8	ob. 14, wykop 2, belka pozioma nr 33	dąb *Quercus* sp.	
9	ob. 14, wykop 2, belka nr 29 fragment konstrukcji dachu?	brzoza *Betula* sp.	
10	ob. 14, wykop 2, belka pionowa nr 52	jesion *Fraxinus* sp.	
11	ob. 14, wykop 2, belka nr 67 fragment wyposażenia?	lipa *Tilia* sp.	
12	ob. 14, wykop 2, belka pionowa nr 90	brzoza *Betula* sp.	
13	ob. 14, wykop 2, belka pionowa nr 116	dąb *Quercus* sp.	
14	ob. 14, wykop 2, belka pionowa nr 134	brzoza *Betula* sp.	
15	ob. 14, wykop 2, belka nr 41	jesion *Fraxinus* sp.	
16	ob. 30, wykop 2, belka pionowa 4	dąb *Quercus* sp.	Chata nr 2, półziemianka, owalny wkop, ściany o konstrukcji palisadowej, wyprawione gliną, belki pionowe? Chronologia: XI–XIII w.
16	ob. 15, wykop 2, belka pionowa nr 11	dąb *Quercus* sp.	
18	jedn. strat. 39, wykop 3, belka pionowa nr 1	dąb *Quercus* sp	
19	ob. 15, wykop 2, belka pionowa nr 1	dąb *Quercus* sp.	
20	ob. 15, wykop 2, belka pionowa nr 1	dąb *Quercus* sp.	
21	ob. 39, wykop 3, belka pionowa nr 29	jesion *Fraxinus* sp.	
22	ob. 39, wykop 3, belka pionowa nr 30	jesion *Fraxinus* sp.	
23	ob. 39, wykop 3, belka pionowa nr 20	jesion *Fraxinus* sp.	
24	ob. 39, wykop 3, belka pionowa nr 31	jesion *Fraxinus* sp.	
25	ob. 39, wykop 3, belka pionowa nr 31	jesion *Fraxinus* sp.	
26	ob. 39, wykop 3, belka pionowa nr 23	klon *Acer* sp.	
27	ob. 39, wykop 3, belka pionowa nr 30	jesion *Fraxinus* sp.	
28	wykop 4, warstwa 106 (fragment spalonej belki)	dąb *Quercus* sp.	Chata nr 3, półziemianka, owalny wkop. Chronologia: XI–XIII w.
29	wykop 4, warstwa 106 (fragment spalonej belki)	dąb *Quercus* sp.	
30	ob. 3, jedn. strat. 13, wykop 1, fragment spalonej belki bez numeru	dąb *Quercus* sp. (15 ułamków węgli)	Fragment niezindentyfikowany
31	jedn. strat. 20, wykop 1, fragment spalonej belki bez numeru	dąb *Quercus* sp. (4 ułamki węgli)	
32	ob. 47 wykop 1, belka	olcha *Alnus* sp.	Fragment niezidentyfikowanej konstrukcji obok chaty nr 1
33	jedn. strat. 34 , wykop 1, belka nr 1	jesion *Fraxinus* sp.	
34	ob. 47, wykop 1, belka nr 3	brzoza *Betula* sp.	

wyłącznie w chacie nr 1 (ob. 14 i 30) i nr 2 (ob. 15 i 39). W chacie 3 zarejestrowano jedynie dwie spalone belki dębowe.

Drewno najlepiej zachowuje się w środowisku o stałej podwyższonej wilgotności. Budownictwo wziemne natomiast, co jest w pełni zrozumiałe, unikało właśnie takich terenów. Głównie z tej przyczyny posiadamy niewiele informacji o składzie gatunkowym surowca wykorzystywanego w budownictwie ziemiankowym i półziemiankowym. W naszej strefie klimatycznej drewno na terenach suchych ulega stosunkowo szybkiemu rozkładowi, dlatego też stanowisko w Lichtajnach wydaje się pod tym względem wyjątkowe. Także zastosowana technika szalowania ścian półziemianek nie należy do typowych. Budynki wznoszone w konstrukcji palisadowej należą do mało popularnych. Ich budowa była stosunkowo skomplikowana, a nie wnosiła dodatkowych wygód w porównaniu z bardziej popularnymi konstrukcjami plecionkowo-słupowymi. Ściany w budynkach palisadowych składały się zazwyczaj z grubych słupów, rzadziej ich połowizn, rozmieszczonych w odstępach 1–2 m, a przestrzenie międzysłupowe wypełniano pionowo ustawionymi, zachodzącymi na siebie dranicami (elementy przypominające deski). Szerokość dranic mogła dochodzić do 40 cm, a średnica słupów do 35 cm. Przyjmuje się, że długość słupów mieściła się w przedziale 3,5–5 m. Wbijano je na głębokość 1,5 m w ziemię, co miało za zadanie ustabilizowanie całej konstrukcji.

Uważa się, że technikę palisadową zapożyczono ze Skandynawii i następnie rozprzestrzeniła się ona przez Pomorze na resztę kraju na drodze kontaktów handlowych ze Skandynawią, z zakonem krzyżackim oraz jeńcami z tych terenów[5]. Ten typ konstrukcji można uznać za marginalny ale ze względu na jego pochodzenie niezwykle interesujący. Połączenie zaś techniki palisadowej z budownictwem wziemnym wydaje się tym bardziej wyjątkowe.

Specyfika doboru surowca przy tego typu konstrukcjach jest słabo rozpoznana. Budynek wzniesiony w technice palisadowej, tyle że naziemny, datowany na XI w. odkryto na podgrodziu w Kruszwicy, jego ściany zbudowano z pionowych, sosnowych dranic[6]. Natomiast we Wrocławiu elementy konstrukcyjne wykonywano z gatunków liściastych: dębu i brzozy, a wystąpiły one w poziomach datowanych na XI i XIII w.[7] Pod względem użytego surowca, konstrukcje z Lichtajn zbliżone są do materiałów śląskich. W obu przypadkach zastosowano wyłącznie drewno liściaste.

[5] Kaźmierczyk 1969: 194–195.

[6] Dzieduszycki 1976: 42.

[7] Kaźmierczyk 1969: 194.

CHRONOLOGIA STANOWISKA

MAGDALENA ŻUREK

Datowanie poszczególnych faz użytkowania grodziska opiera się na analizie ceramiki. Niestety bowiem, pomimo odkrycia licznych zwęglonych belek, z których próbki przekazane zostały do datowania dendrochronologicznego, nie udało się uzyskać takiego datowania. Natomiast z pobranej próbki drewna z konstrukcji mieszkalnych do datowania radiowęglowego uzyskano z prawdopodobieństwem 95,4% datę 686–880 AD[8], która wydaje się być zbyt wczesna w stosunku do znalezionego na stanowisku materiału zabytkowego.

DZIEJE GRODZISKA W LIPOWCU, ST. 2 (LICHTAJNACH)

Wydaje się, że grodzisko w Lichtajnach założone zostało nie później niż w XI w., a opuszczone prawdopodobnie u schyłku XII w., najpóźniej w 3. ćwierci XIII w., w związku z II powstaniem pruskim. Wydaje się, że cypel długo pozostał niezamieszkany. Pierwsze wzmianki o Lichtajnach pojawiają się w dokumentach w 1329 r. Wówczas jest to własność rycerska, znajdująca się w gestii komturów ostródzkich. Wydaje się jednak, że rezydencji rycerskiej szukać należy na terenie parku pałacowego – do dziś we wsi znajduje się dwór pseudoklasycystyczny z 2. połowy XIX w., zabudowania folwarczne z końca XIX w oraz pozostałości parku. Nowożytny ślad osadniczy odnotowany na cyplu kryjącym dawne grodzisko związany był prawdopodobnie z dworem, znajdującym się najprawdopodobniej na zachodnim brzegu Jeziora Lichtajny.

Podsumowując, wyróżnić można trzy główne fazy użytkowania stanowiska:

Faza I (wczesne średniowiecze):

- podokres A (XI–XII w.): wzniesienie i użytkowanie konstrukcji nr 1 (obiekt 14), nr 2 (obiekt 39), nr 3 (obiekt 103) i nr 4 (obiekt 78), półziemianek ze ścianami o konstrukcji drewnianej wyprawionej gliną.
- podokres B (koniec XII w.): zniszczenie opuszczonych konstrukcji drewnianych.

Faza II (okres nowożytny, koniec XVI–XVII w.): niewielka konstrukcja z desek (obiekt 26) i związana z nim konstrukcja na fundamencie punktowym z kamieni (obiekt 13), bruk 19, i jama 35.

Faza III (okres współczesny, 3. ćw. XX w.): niwelacja pagórka i jego melioracja.

Jedynie w Fazie I teren był intensywnie zagospodarowany, później uchwytny jest jedynie punkt osadniczy w XVII w.

[8] Kobyliński 2016: 107, tab. 5.

Morliny, st. 1

Gmina Ostróda

Powiat ostródzki

AZP 26–56/11

Współrzędne geograficzne:

N 53° 40’ 35”

E 19° 56’ 1’’

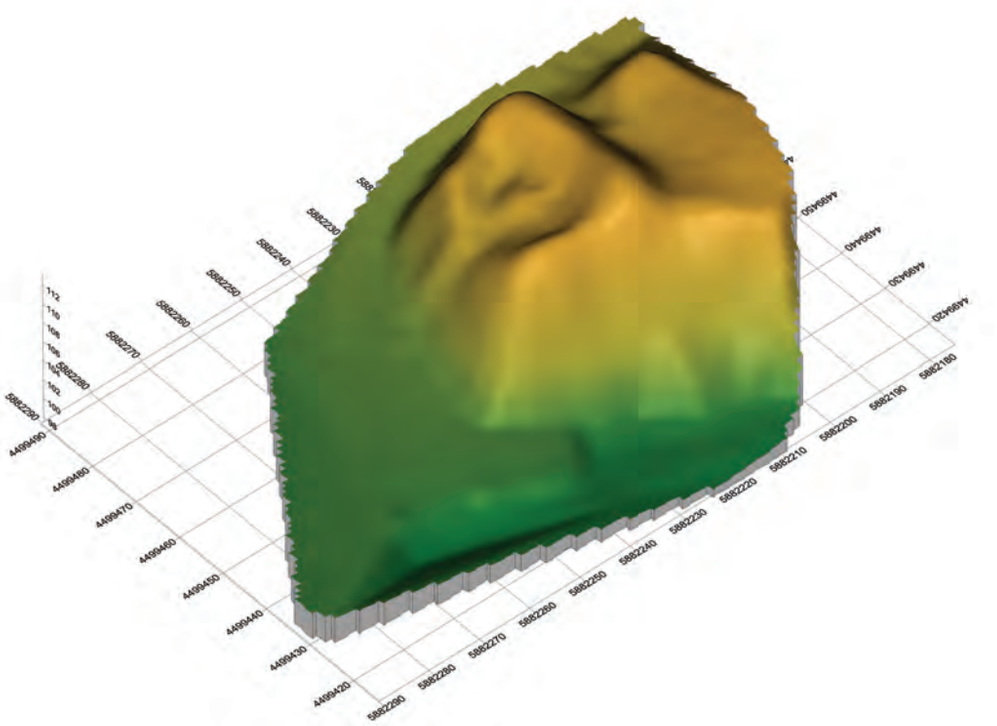

Ryc. 1. Grodzisko w Morlinach, st. 1 na mapie w skali 1:25 000 (na podstawie materiałów CODGiK, oprac. R. Solecki)

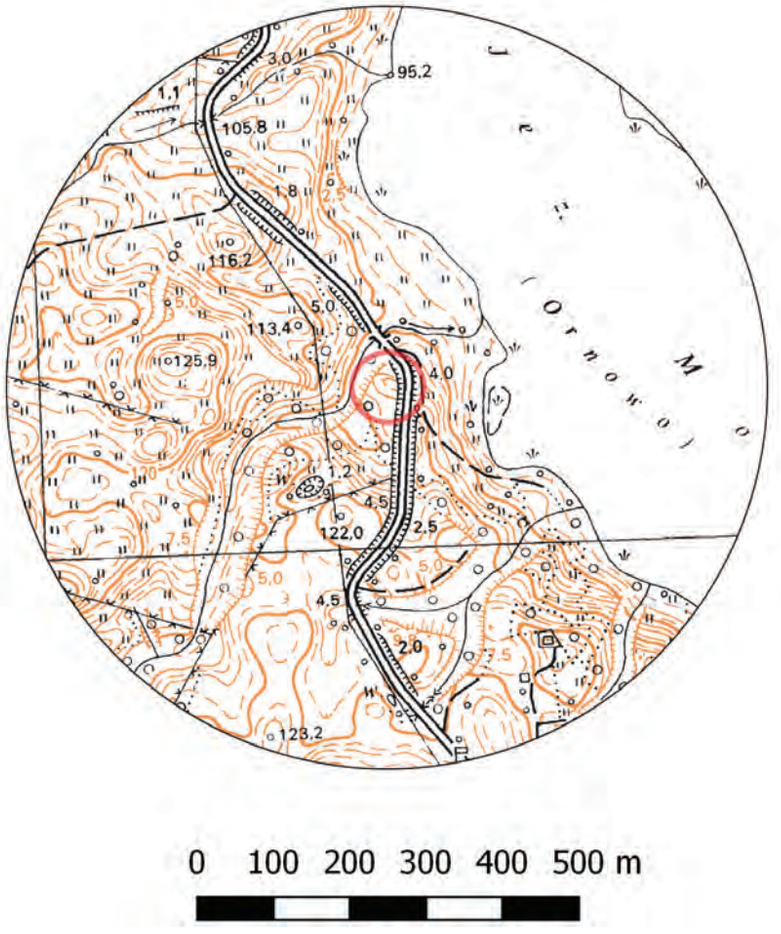

Ryc. 2. Grodzisko w Morlinach, st. 1 na mapie w skali 1:10 000 (na podstawie materiałów CODGiK, oprac. R. Solecki)

POŁOŻENIE GRODZISKA I JEGO FORMA

MAGDALENA RUTYNA

Grodzisko położone jest na cyplu pomiędzy brzegiem jeziora Morliny a strumieniem Czerwona Woda (ryc. 1–2). Nieregularny majdan, o wymiarach około 12 x 15 m, otacza od wschodu, zachodu i południa wał (o wysokości maksymalnie 6 m). Od strony południowej grodzisko odcięte jest suchą fosą (o szerokości około 4 m) (ryc. 3–8).

ŚRODOWISKO FIZYCZNO-GEOGRAFICZNE

JERZY NITYCHORUK I FABIAN WELC

Na *Szczegółowej mapie geologicznej Polski w skali 1:50 000, arkusz Ostróda*[1] grodzisko w Morlinach, st. 1 znajduje się na piaskach i żwirach rynien subglacjalnych, natomiast jego otoczenie stanowią gliny zwałowe stadiału górnego zlodowacenia Wisły. Od północnego-zachodu obiekt sąsiaduje z głębokim rozcięciem erozyjnym wypełnionym przez piaski i żwiry rzeczne den dolinnych. Rozcięcie kończy się w jeziorze Morliny dużym stożkiem napływowym (ryc. 9).

Przez grodzisko wykonano przekrój geologiczny A–B oparty na ośmiu wierceniach (ryc. 10–11). W wierceniu Mo – 1 wykonanym u podnóża grodu stwierdzono osady piaszczyste z organiką i mułek stanowiące typowe osady wypełnienia rozcięcia erozyjnego. W obrębie majdanu nawiercono piaski drobnoziarniste przewarstwione mułkiem, których górna przypowierzchniowa część została przekształcona przez człowieka do głębokości maksymalnie 1,0 m (Mo – 3). Wiercenie Mo – 4 wykonane na wale południowym udokumentowało 1,3 m miąższości nasyp wału, a wiercenie Mo – 9 wykonane na najwyższym punkcie wału 1,7 m nasyp. Wiercenie Mo – 7 wykazało istnienie fosy o wypełnieniu 1,3 m miąższości. Poza fosą na S nie stwierdzono śladów działań człowieka.

BADANIA ARCHEOLOGICZNE

MAGDALENA RUTYNA

Przebieg badań terenowych

Grodzisko w Morlinach, st. 1 znane było już w XIX w. W 1827 r. J.M. Guise przeprowadził na tym stanowisku prace inwentaryzacyjne. Po II wojnie światowej grodzisko dwukrotnie było obiektem badań powierzchniowych (1949 – J. Antoniewicz[2]; 2002 –

[1] Pikies 2015.

[2] Grodzisko zidentyfikowane w terenie zostało przez J. Antoniewicza, który uznał je za znajdujące się w miejscowości Ornowo, gm. Ostróda. Archiwum Muzeum w Olsztynie. Teczka: Ornowo.

Ryc. 3. Morliny, st. 1. Widok grodziska od wschodu (fot. J. Wysocki)

Ryc. 4. Morliny, st. 1. Widok grodziska od północy (fot. J. Wysocki)

Ryc. 5. Morliny, st. 1. Widok od południa na wał i majdan (fot. J. Wysocki)

Ryc. 6. Morliny, st. 1. Widok od zachodu na wał i majdan (fot. J. Wysocki)

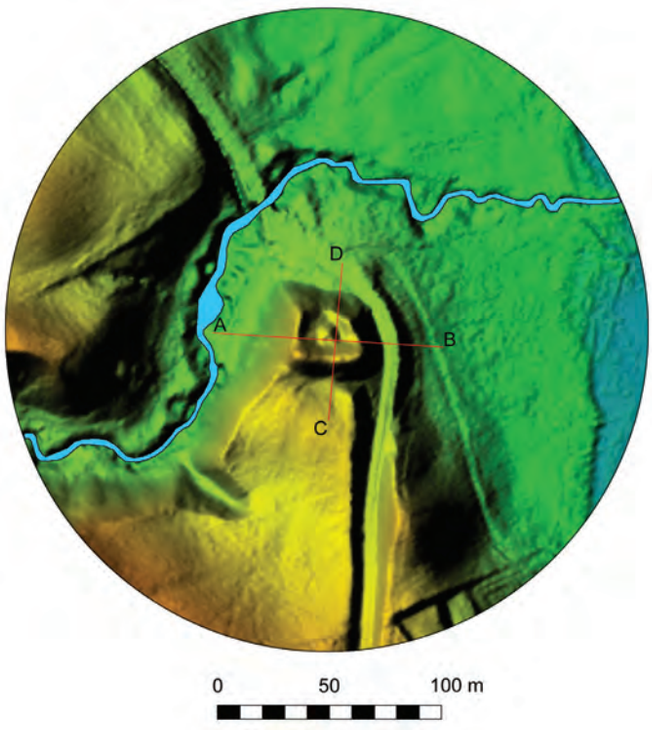

Ryc. 7. Grodzisko w Morlinach, st. 1 na zobrazowaniu ALS (na podstawie materiałów CODGiK, oprac. R. Solecki)

M. Hoffmann i A. Mackiewicz[3]). Pierwsze badania wykopaliskowe miały miejsce w 2012 r. (S. Wadyl). W południowej części grodziska, na stoku wału, założono wówczas wykop sondażowy (2 x 5 m). W trakcie eksploracji, na głębokości 60 cm od stropu wykopu, zarejestrowano „układ kamieni przypominający łukowato biegnący murek, składający się z kamieni o średnicach od kilku do około 30 cm"[4]. W czasie tych badań znaleziono tylko pięć fragmentów ceramiki datowanej na XI–XII w. Według S. Wadyla brak konstrukcji kamiennych bądź spalonych konstrukcji drewnianych świadczy o tym, że albo gród pełnił funkcje refugialne, albo nie został nigdy ukończony[5].

Kolejne badania wykopaliskowe przeprowadzono w ramach realizacji programu *Katalog grodzisk Warmii i Mazur* w 2015 r. Otwarto wówczas dwa wykopy (oznaczone cyframi 1 i 2) o łącznej powierzchni 90 m² (ryc. 12). Celem badań było ustalenie chronologii i funkcji grodziska. Wykop 1 (27,5 m długości i 3 m szerokości) dłuższą osią zorientowany był po linii wschód-zachód. W obrębie tego wykopu przebadano wewnętrzną część i szczyt wału wschodniego, zagłębienie przywałowe od strony wschodniej, majdan, zagłębienie przywałowe od strony zachodniej oraz wewnętrzną część i szczyt wału zachodniego. Zamiarem badawczym było rozpoznanie nawarstwień i śladów ewentualnych konstrukcji wałów wraz z częścią wewnętrznego obszaru do wałów przylegającego.

Wykop 2 (2 m szerokości i 4 m długości) założono 17 m na południe od wykopu 1. Dłuższą osią

[3] Klęczar i Rutyna 2013: 20.

[4] Wadyl 2013b: 114. W trakcie badań w 2015 roku nie odkryto kontynuacji tej struktury.

[5] Wadyl 2013b: 114.

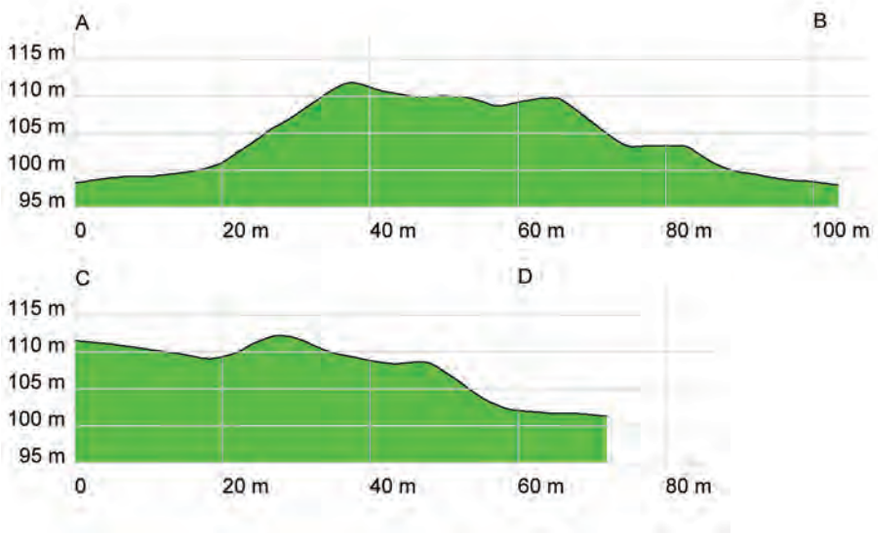

Ryc. 8. Przekroje grodziska w Morlinach, st. 1 uzyskane z danych ALS (na podstawie materiałów CODGiK, oprac. R. Solecki)

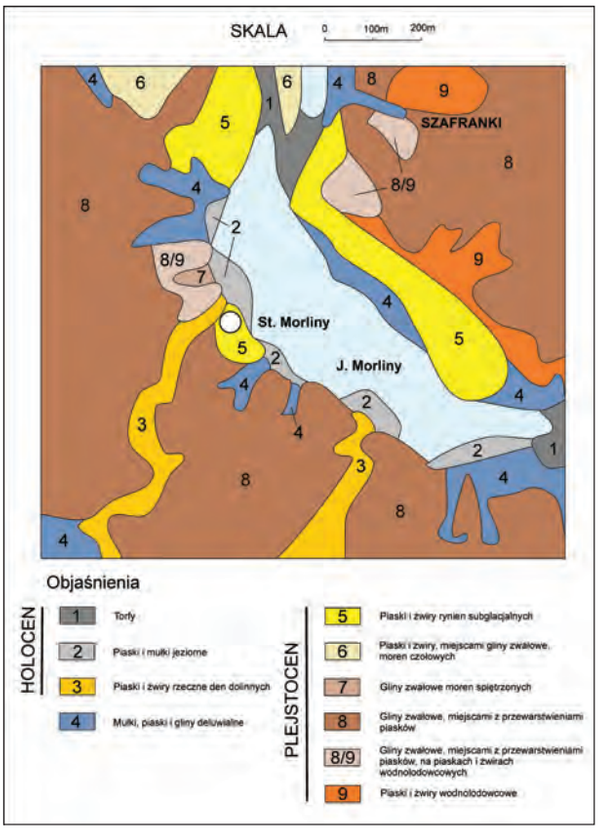

Ryc. 9. Mapa geologiczna okolic grodziska w Morlinach, st. 1 (oprac. J. Nitychoruk i F. Welc)

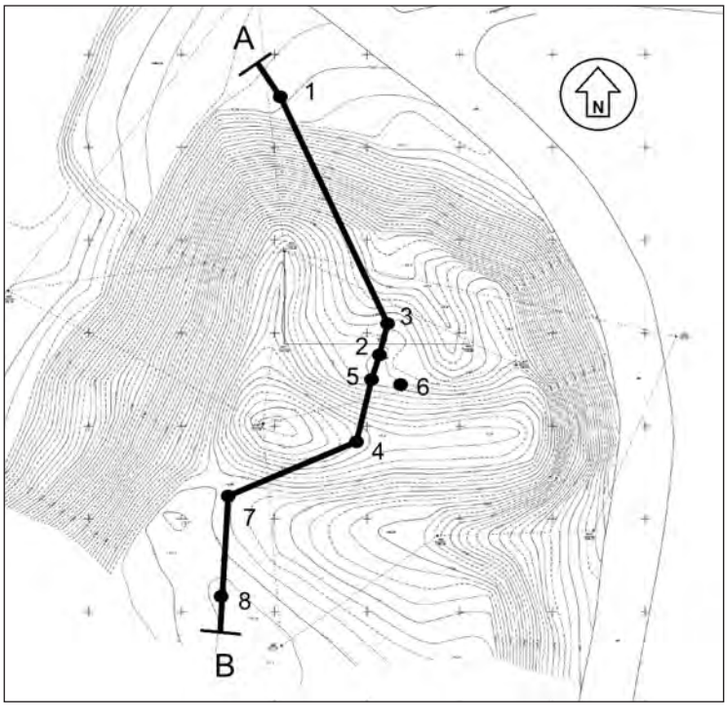

Ryc. 10. Plan warstwicowy grodziska w Morlinach, st. 1 (wyk. J. Błaszczyk) z zaznaczonymi miejscami wierceń geologicznych (oprac. J. Nitychoruk i F. Welc)

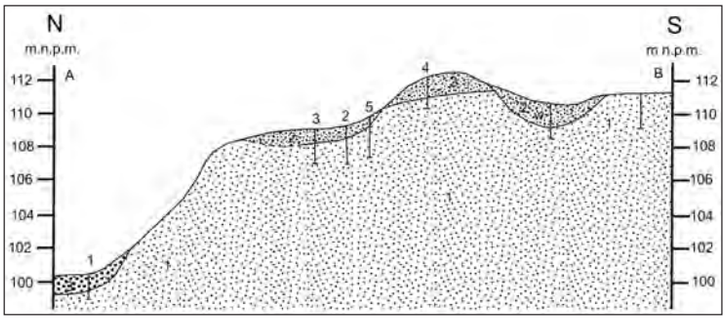

Ryc. 11. Przekrój geologiczny grodziska w Morlinach, st. 1: 1 – piasek drobnoziarnisty, 2 – piasek średnioziarnisty z węglami drzewnymi (warstwa kulturowa), 3 – piasek różnoziarnisty z organiką (oprac. J. Nitychoruk i F. Welc)

zorientowany był na linii S–N. Celem badawczym było stwierdzenie bądź wykluczenie istnienia suchej fosy.

Stratygrafia stanowiska

W trakcie badań wykopaliskowych prowadzonych w roku 2015 wydzielono 38 jednostek stratygraficznych, które podzielono na dwie fazy związane z funkcjonowaniem tego stanowiska (tab. 1 i ryc. 13).

Warstwy naturalne

Zadokumentowano następujące warstwy naturalne: 44 (W1) i 41 (W2). Nawarstwienia kulturowe w wykopie 1 spoczywały na bardzo sypkim, drobnoziarnistym, jednorodnym piasku. Natomiast w wykopie 2 zalegały na drobnoziarnistym piasku z wytrąceniami żelazistymi.

Faza I

Najstarszy horyzont osadniczy związany jest z budową umocnień, wałów oraz fosy. Zachowana miąższość nawarstwień wału zachodniego dochodzi do 0,4 m. Najwyższy jego punkt osiąga poziom 111,60 m n.p.m. Nasyp wału składał się z zalegających w kolejności stratygraficznej warstw: sypkiego, drobnoziarnistego, jednorodnego piasku 12, sypkiego, drobnoziarnistego, niejednorodnego piasku 24 oraz sypkiego, jednorodnego piasku 7, w którym spoczywało skupisko kamieni 6 (około 20 kamieni o średnicy do 25 cm) (ryc. 14–15). Z horyzontem tym należy wiązać powstanie zagłębienia przywałowego W. Na jego dnie, przy północnym ścianie wykopu[6], zadokumentowano poziom użytkowy reprezentowany przez niejednorodny gliniasty piasek 39, luźno rozrzucone kamienie 45 (25 kamieni, o średnicy do 25 cm), niejednorodny gliniasty piasek 19, w którym zalegało 10 luźno rozrzuconych kamieni (o średnicy do

[6] Przy południowej ścianie wykopu odkryto narożnik wykopu sondażowego z 2012 roku.

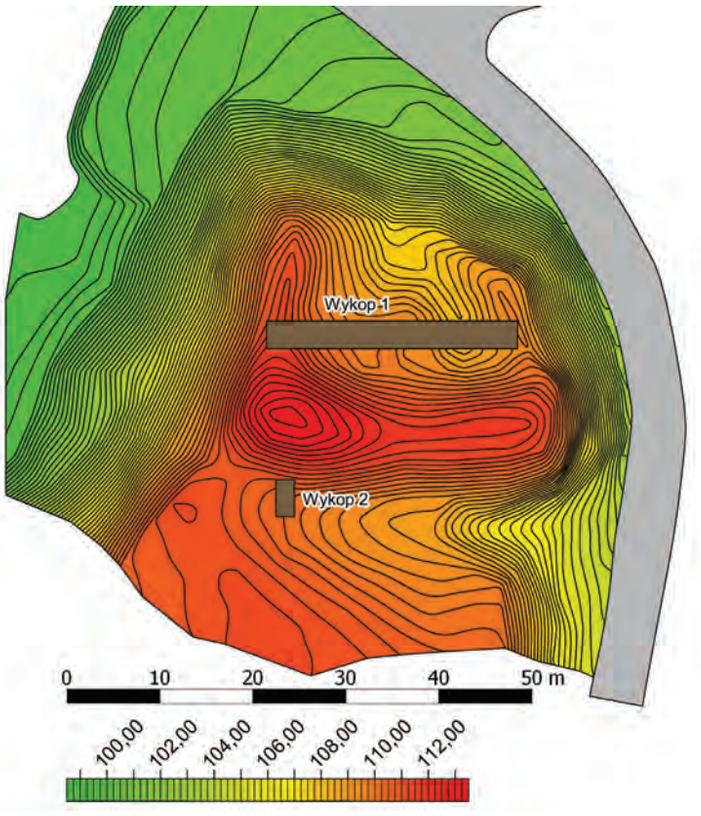

Ryc. 12. Plan warstwicowy grodziska w Morlinach, st. 1 z zaznaczonymi wykopami badawczymi z roku 2015 (na podstawie pomiarów J. Błaszczyka, oprac. R. Solecki)

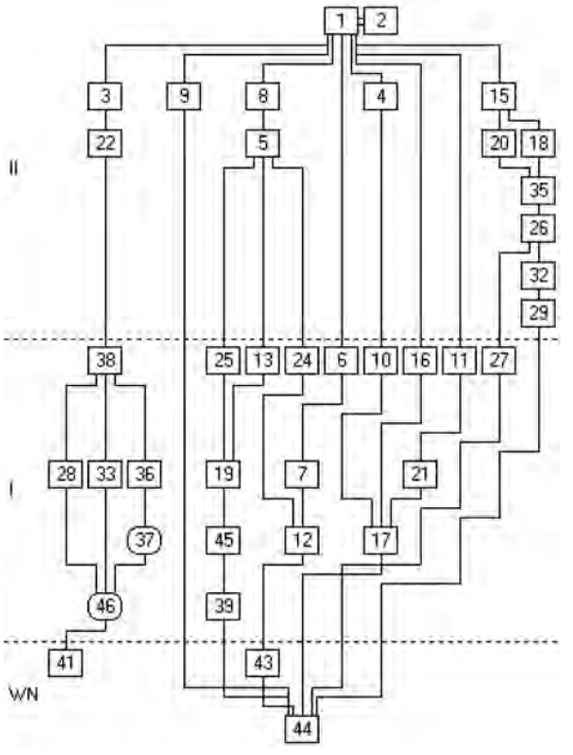

Ryc. 13. Morliny, st. 1. Diagram relacji stratygraficznych (oprac. M. Rutyna)

15 cm) oraz sypki, niejednorodny piasek 16 oraz sypki, jednorodny piasek 13. Ani w zagłębieniu przywałowym E, ani na stoku wału E nie zaobserwowano kontynuacji „murku" odkrytego w trakcie badań w 2012 roku. Na majdanie (W1) grodziska powstał wówczas poziom użytkowy. Tworzył go prosty, kilkuwarstwowy układ stratygraficzny składający się z sypkiego, jednorodnego piasku 17, sypkiego, jednorodnego piasku 21, jednorodnego piasku 11 oraz sypkiego, jednorodnego 10.

W fazie tej zostało wyprofilowane dno fosy 46 (ryc. 16). Jej szerokość (u góry) wynosi około 4 m, a najniższy punkt znajduje się na poziomie 109,20 m n.p.m. Różnica wysokości pomiędzy dnem fosy, a szczytem wału po osi profilu S–N wynosi około 4 m. Poziom użytkowy w fosie wyznaczają następujące warstwy: drobnoziarnisty piasek z niewielką ilością bardzo drobnych węgli drzewnych 28, w którym zalegały kamienie 33 (10 luźno rozrzuconych kamieni o średnicy do 15 cm) oraz drobnoziarnisty, z dużą ilością węgli drzewnych piasek 38. Na dnie fosy odkryto prawdopodobnie relikt dołu posłupowego 37. Obiekt, o średnicy ok. 0,25 m i głębokości ok. 0,1 m, w planie miał kształt okrągły, zaś w przekroju był nieckowaty. Jego wypełnisko tworzył sypki, jednorodny piasek 36.

Faza II

Po opuszczeniu grodziska, zapewne w XIII w., wał uległ daleko idącej erozji i spłynął w kierunku majdanu oraz fosy. W wykopie 1 faza ta reprezentowana jest przez lekko ziemisty piasek 5, w którym zalegały luźno rozrzucone kamienie 8 (około 10 kamieni o średnicy do 20 cm). W wykopie 2 z horyzontem tym możemy wiązać twardy, jednorodny piasek 22 i sypki, jednorodny piasek 3.

Z kolei wał E oraz zagłębienie przywałowe E zostały zniszczone prawdopodobnie w trakcie budowy drogi. Zadokumentowano następujące nawarstwienia: twarda, niejednorodna glina 35, luźne kamienie 32, sypki, niejednorodny piasek z węgielkami drzewnymi 29, niejednorodna glina 27, niejednorodny piasek 26, twarda, niejednorodna glina 18, jednorodna glina 15 oraz niejednorodny piasek 20. Miąższość nawarstwień na wale W dochodziła do 60 cm, natomiast w zagłębieniu W do 80 cm.

Poziom współczesny wyznacza sypki, ziemisty piasek 1=2 (W1, W2).

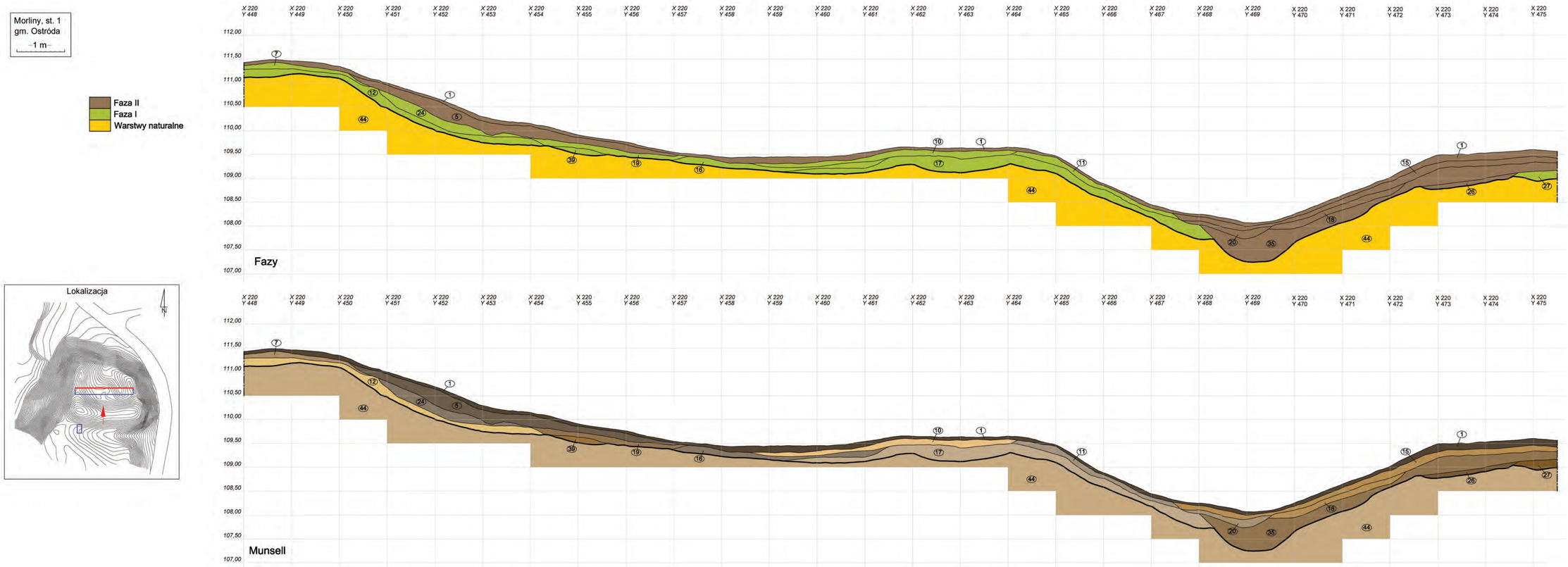

Ryc. 14. Morliny, st. 1. Stratygrafia grodziska widoczna w ścianie północnej wykopu 1 (oprac. M. Rutyna i R. Solecki)

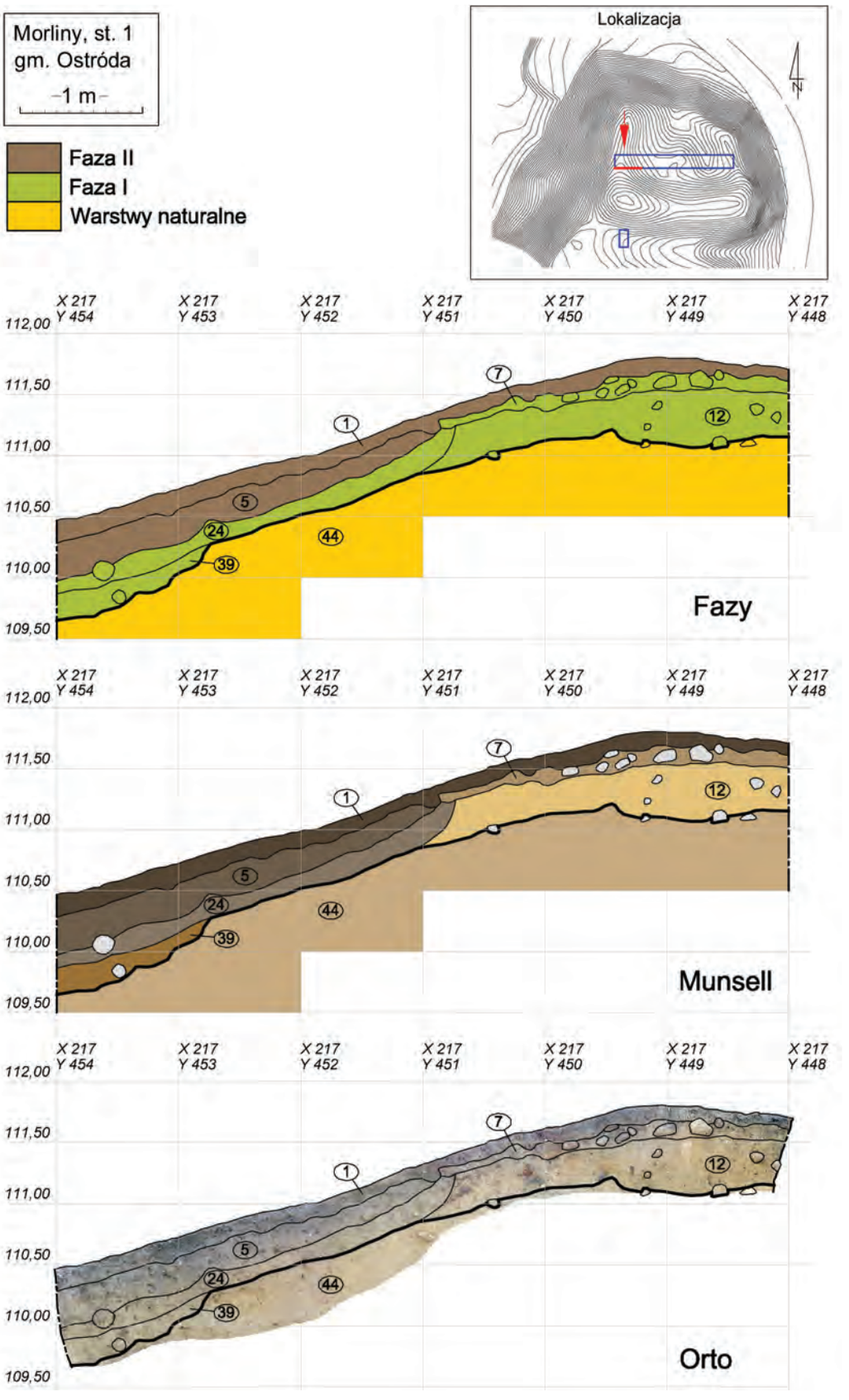

Ryc. 15. Morliny, st. 1. Stratygrafia wału widoczna w ścianie południowej wykopu 1 (oprac. M. Rutyna i R. Solecki)

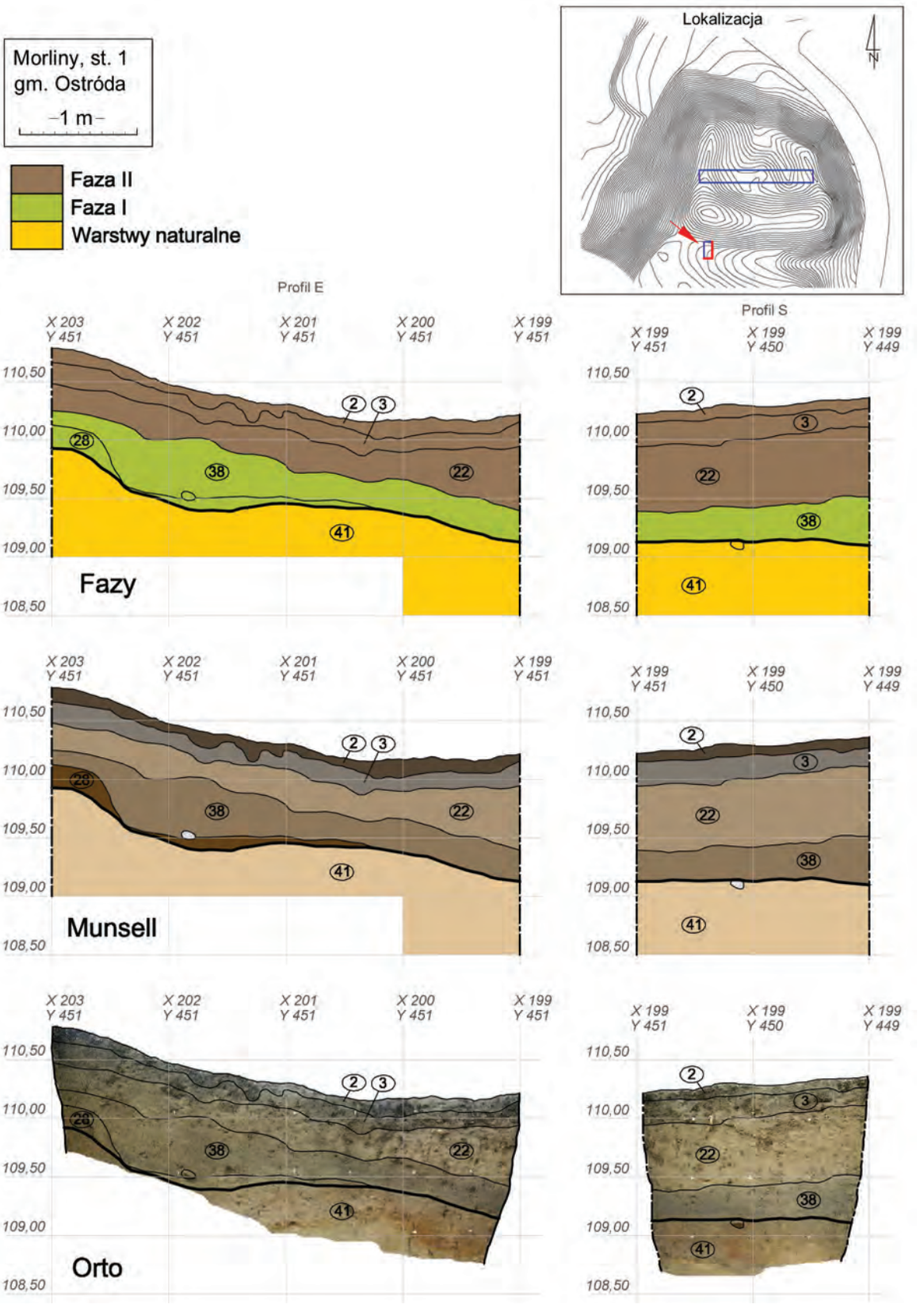

Ryc. 16. Morliny, st. 1. Stratygrafia nawarstwień fosy (oprac. M. Rutyna i R. Solecki)

Tabela 1. Katalog warstw z opisem poszczególnych jednostek stratygraficznych grodziska w Morlinach, st. 1 (oprac. M. Rutyna)

Numer jednostki	Numer obiektu	Numer wykopu	Położenie w obrębie stanowiska	Współrzędne siatki pomiarowej stanowiska	Opis jednostki stratygraficzne	Barwa (Munsell)	Pozycja stratygraficzna	
							Znajduje się pod	Znajduje się nad
1=2		1, 2	Cała powierzchnia stanowiska		Sypki, ziemisty piasek; miąższość do 10 cm; humus	10YR 3/2		3, 4, 8, 9, 15
3		2	Fosa	X=203–199; Y=451–449	Sypki, jednorodny piasek na powierzchni całego wykopu; miąższość do 25 cm; warstwa powstała w wyniku naturalnego narastania gleby	10YR 5/2	2	22
4		1	Majdan	X=218–217; Y=460–462	Bardzo sypki, jednorodny piasek; miąższość do 15 cm; warstwa powstała w wyniku naturalnego narastania gleby	10YR 7/8	1	10
5		1	Na E stoku wału W	X=220–217; Y=450–458	Sypki, niejednorodny piasek; miąższość do 10 cm; warstwa powstała w wyniku naturalnego narastania gleby	10YR 4/2	1	24, 13, 19
6		1	Wał W	X=220–217; Y=449–450	Skupisko 20 kamieni na koronie wału W przy S profilu (śr. do 25 cm)		1	7
7		1	Wał W	X=220–217; Y=448–451	Sypki, jednorodny piasek; miąższość do 15 cm; warstwa tworząca nasyp wału	10YR 6/4	1, 6	12
8		1	Na E stoku wału W	X=220–217; Y=453–456	Kilkanaście luźnych kamieni na stoku E wału W, przy ścianie wykopu (śr. do 15cm); być może są to kamienie z wykopu sondażowego z 2012 r.		1	5
9=14		1	Zagłębienie przywałowe W	X=219–217; Y=455–458	Fragment wykopu sondażowego z 2012 r.; tuż przy ścianie S wykopu 1 w zagłębieniu przywałowym, częściowo na stoku wału W	10YR 7/4; 10YR 5/3	1	44
10		1	Majdan	X=220–217; Y=462–470	Sypki, jednorodny piasek; miąższość do 10 cm; warstwa użytkowa	10YR 8/6	1	17
11		1	Majdan, stok zagłębienia przywałowego E	X=220–217; Y=458–464	Sypki, jednorodny piasek; miąższość do 10 cm; warstwa użytkowa	10YR 6/2	1	17
12		1	Wał W	X=220–217; Y=448–453	Sypki, jednorodny piasek; miąższość do 25 cm; warstwa w nasypie wału	2,5Y 8/6; 10YR 5/4	7	44
13		1	Stok E wału W	X==220–217; Y=450=454	Pylasty, sypki, jednorodny piasek; miąższość do 10 cm; poziom użytkowy	10YR 4/2	5	19
15		1	Stok wału E	X=220–217; Y=467,40–475	Jednorodna, plastyczna glina; miąższość do 15 cm; warstwa powstała w wyniku zniszczenia wału	10YR 6/6	1	18
16		1	Zagłębienie przywałowe W	X=220–217; Y=457–462	Sypki, niejednorodny piasek; miąższość do 15 cm; poziom użytkowy	10YR 5/2	1	17
17		1	Majdan	X=220–217; Y=459–468	Bardzo sypki, jednorodny piasek; miąższość do 35 cm; poziom użytkowy	10YR 7/3	11, 16	44
18		1	Stok zagłębienia przywałowego E i w zagłębieniu przywałowym	X=220–217; Y=469–472,50	Bardzo twardy, jednorodny piasek; miąższość do 25 cm; warstwa powstała w wyniku zniszczenia wału	10YR 6/6	15	35
19		1	Stok E wału W	X=220–217; Y=452–457	Niejednorodny gliniasty piasek; miąższość do 20 cm; poziom użytkowy	10YR 5/4	5	39
20		1	Zagłębienie przywałowe E	X=220–217; Y=467–470	Niejednorodny piasek; miąższość do 25 cm; warstwa powstała w wyniku zniszczenia wału	10YR 6/3	15	35
21		1	Majdan	X=218–219; Y=462–464	Sypki, jednorodny piasek; miąższość do 10 cm; poziom użytkowy	10YR 7/2	11	17
22		2	Fosa	X=203–199; Y=451–449	Sypki, jednorodny piasek; miąższość do 60 cm; warstwa powstała w wyniku naturalnego narastania gleby	10YR 6/3	3	38
24		1	Stok wału W	X=220–218; Y=450–454	Sypki, jednorodny piasek; miąższość do 25 cm; poziom użytkowy	10YR 5/2	5	12
25		1	Zagłębienie przywałowe W	X= 200–218; Y=455–456	10 luźno rozrzuconych kamieni, o śr. do 15 cm, zalegających w warstwie 19		5	19
26		1	Wał E	X=220–217; Y=472,80–474,5	Sypki, jednorodny piasek; miąższość do 15 cm; warstwa powstała w wyniku naturalnego narastania gleby	10YR 4/4	35	27, 44
27		1	Wał E	X=220–217; Y=474,5–475,5	Niejednorodna glina; miąższość do 30 cm; warstwa powstała w wyniku naturalnego narastania gleby	10YR 4/6	26, 35	44
28	46	2	Fosa	X=203–202,5; Y=451–449	Sypki, niejednorodny piasek z węgielkami drzewnymi; miąższość do 25 cm; poziom użytkowy	10YR 3/6	38	46
29		1	Wał E	X=219–219,40; Y=473,2–474,5	Sypki, niejednorodny piasek z węgielkami drzewnymi; miąższość do 10 cm; warstwa powstała w wyniku naturalnego narastania gleby	10YR 6/3	26	44

Tabela 1. Ciąg dalszy

Numer jednostki	Numer obiektu	Numer wykopu	Położenie w obrębie stanowiska	Współrzędne siatki pomiarowej stanowiska	Opis jednostki stratygraficzne	Barwa (Munsell)	Pozycja stratygraficzna	
							Znajduje się pod	Znajduje się nad
32		1	Wał E	X=219–219,40; Y=473,2–474,5	5 luźno rozrzuconych kamieni o śr. do 20 cm		26	29
33		2	Fosa	X=202–201; Y=451–450	10 luźno rozrzuconych kamieni o śr. do 15 cm		38	46
35		1	Zagłębienie przywałowe E	X=220–218; Y=458–472,5	Twarda, niejednorodna glina; miąższość do 70 cm; warstwa powstała w wyniku zniszczenia wału	10YR 5/4	18, 15	26, 44
36	37	2	Fosa	X=201,2–200,45; Y=451,25–450,5	Sypki, jednorodny piasek; wypełnisko obiektu 37	10YR 3/2	38	37
37	37	2	Fosa	X=201,2–200,45; Y=451,25–450,5	Dół posłupowy, o śr. ok. 0,25 m i gł. ok. 0,1 m, kształt w planie okrągłym, w przekroju nieckowaty		36	46
38	46	2	Fosa	X=200,5–199; Y=451–449	Sypki, jednorodny piasek; miąższość do 35 cm; poziom użytkowy	10YR 5/3	22	28, 46
39		1	Stok wału W	X=220–217; Y=454,5–456	Sypki, niejednorodny gliniasty piasek; miąższość do 15 cm; poziom użytkowy	10YR 5/6	19	44
41		2	Fosa	X=203–199; Y=451–449	Sypki, jednorodny piasek; calec	10YR 8/4	38	
43		1	Wał i E stok wału W		10 luźno rozrzuconych kamieni, o śr. od 10 do 60 cm, na wale i na E stoku wału W		12	44
44		1	Wał, zagłębienia przywałowe, majdan	X=220–217; Y=448–475,5	Gliniasty piasek; calec	10YR 7/4	12, 39	
45		1	Na stoku wału W i w zagłębieniu przywałowym W	X=220–217; Y=452–457	25 luźno rozrzuconych kamieni, o śr. do 20 cm; poziom użytkowy		19	39
46	46	2	Fosa	X=203–199; Y=451–449	Fosa; jej szerokość (u góry) wynosi ok. 4 m, a najniższy punkt znajduje się na poziomie 109,20 m n.p.m; różnica wysokości pomiędzy dnem fosy, a szczytem wału po osi ściany S-N wynosi ok. 4 m		38, 28	41

ZNALEZISKA

Jedyną kategorię zabytków znalezionych podczas badań grodziska w Morlinach, st. 1 stanowiła ceramika, której znaleziono 305 fragmentów.

Ceramika wczesnośredniowieczna

Formy naczyń

Materiał ceramiczny pozyskany w trakcie badań wykopaliskowych w 2015 r. jest silnie rozdrobniony (254 fragmenty mają wielkość poniżej 5 cm; zob. tab. 3). Tylko dziewięć fragmentów wylewów (tab. 2) pozwala na przynajmniej częściowe zrekonstruowanie formy naczynia. Typologię naczyń opracowano na podstawie analizy fragmentów większych górnych części[7]. Uwzględniono następujące kryteria: kształt krawędzi wylewu, średnica wylewu, funkcję, którą naczynie prawdopodobnie pełniło. Na tej podstawie wydzielono jeden typ morfologiczny – typ I – garnki.

Podtyp IAa – odmiana reprezentowana przez jedno duże naczynie szerokootworowe, o powierzchni zagładzanej (tabl. 1:1).

Podtyp IAb – odmiana reprezentowana przez jedno średniej wielkości naczynie szerokootworowe, o powierzchni gładkiej (tabl. 1:4).

Podtyp IB – odmiana reprezentowana przez jeden średniej wielkości garnek baniasty, o powierzchni zagładzanej (tabl. 1:2).

Podtyp IC – odmiana reprezentowana przez jeden duży garnek, o krawędzi mocno wychylonej na zewnątrz i powierzchni szorstkiej (tabl. 1:3).

Motywy ornamentacyjne

W omawianym materiale 140 fragmentów brzuśców oraz 11 fragmentów wylewów (łącznie 151 fragmentów, 49,8% zbioru) zdobionych było ornamentem. Dominował ornament żłobków dookolnych (143 fragmenty, 94,7% zbioru). Tylko kilka fragmentów ozdobiono linią falistą (8 fragmentów, 5,3% zbioru).

[7] W opracowaniu uwzględniono fragmenty brzegowe o wielkości powyżej 5% zachowanego wylewu.

Tabela 2. Zestawienie ilościowe fragmentów ceramiki z grodziska w Morlinach, st. 1 (oprac. M. Rutyna)

Jednostka stratygraficzna	Liczba fragmentów łącznie	Liczba różnych naczyń	Wylewy			Brzuśce					Części przydenne	Fragmenty o wypłukanej powierzchni	Wczesne średniowiecze	Późne średniowiecze/ Nowożytność	Typologia
			Liczba fragmentów	SEN (procent obwodu)	Ornamentowane	Liczba fr. ogółem	Gładkie	Szorstkie	Nieokreślone	Ornamentowane					
1	15	1	1	4		14	7		6	5		6	14	1	
5	14					14	7	3	4	9		5	14		
7	1					1	1						1		
9	10					9	6	1	2	5	1	2	10		
10	3					1	1				2		3		
11	24	2	3	9	1	21	17	2	2	13		3	24		
12	6	1	1	2		4	4			1	1	1	6		
13	23					22	15	3	4	14	1	4	23		
15	5					5	1	3	1	3		2	5		
16	23					22	8	4	10	9	1	10	23		
17	36	4	5	36	2	30	25	3	2	7	1	2	36		IAb
18	8					7	4	1	2	3	1	4	8		
19	17	2	2	7		15	6	3	8	9		8	17		
21	5					5	3	1	1	1		1	5		
22	3					3	2		1			1	3		
24	64	5	7	33	3	57	38	16	3	47		9	64		IC
26	4	1	2	6	2	2	2			2			4		IB
27	36	2	5	13	3	30	7	6	16	11	1	16	35	1	IAa
38	7					7		2	5	1		6	7		
39	1					1			1			1	1		
Suma	**305**	**18**	**26**	**110**	**11**	**270**	**154**	**48**	**68**	**140**	**9**	**81**	**303**	**2**	

Tabela 3. Fragmentacja i erozja fragmentów ceramiki z grodziska w Morlinach, st. 1 (oprac. M. Rutyna)

Jedn. strat.	Kategorie wielkościowe [cm]										Stopień erozji			Suma
	1	2	3	4	5	6	7	8	9	10	I	II	III	
1		6	7	2							4	4	7	**15**
5	2	7	3		2						2	8	4	**14**
7			1									1		**1**
9		6		1		1	2					5	5	**10**
10		1	1		1							2	1	**3**
11		6	9	7	2						18	4	2	**24**
12	1	4		1							3	2	1	**6**
13	1	8	6	6	1	1					9	11	3	**23**
15			3	1	1						1	3	1	**5**
16	3	9	6	2	2	1					2	15	6	**23**
17		7	9	8	6	3		2		1	1	30	5	**36**
18		2	2	2	1	1					1	4	3	**8**
19	3	5	4	4	1						1	9	7	**17**
21		5									3	2		**5**
22			2			1						3		**3**
24	2	12	18	17	9	2	4				41	18	5	**64**
26				2	1	1					4			**4**
27		9	13	10	3	1					4	16	16	**36**
38	1	3	3								1	1	5	**7**
39			1									1		**1**
Suma	**13**	**90**	**88**	**63**	**30**	**12**	**6**	**2**	**0**	**1**	**95**	**139**	**71**	**305**

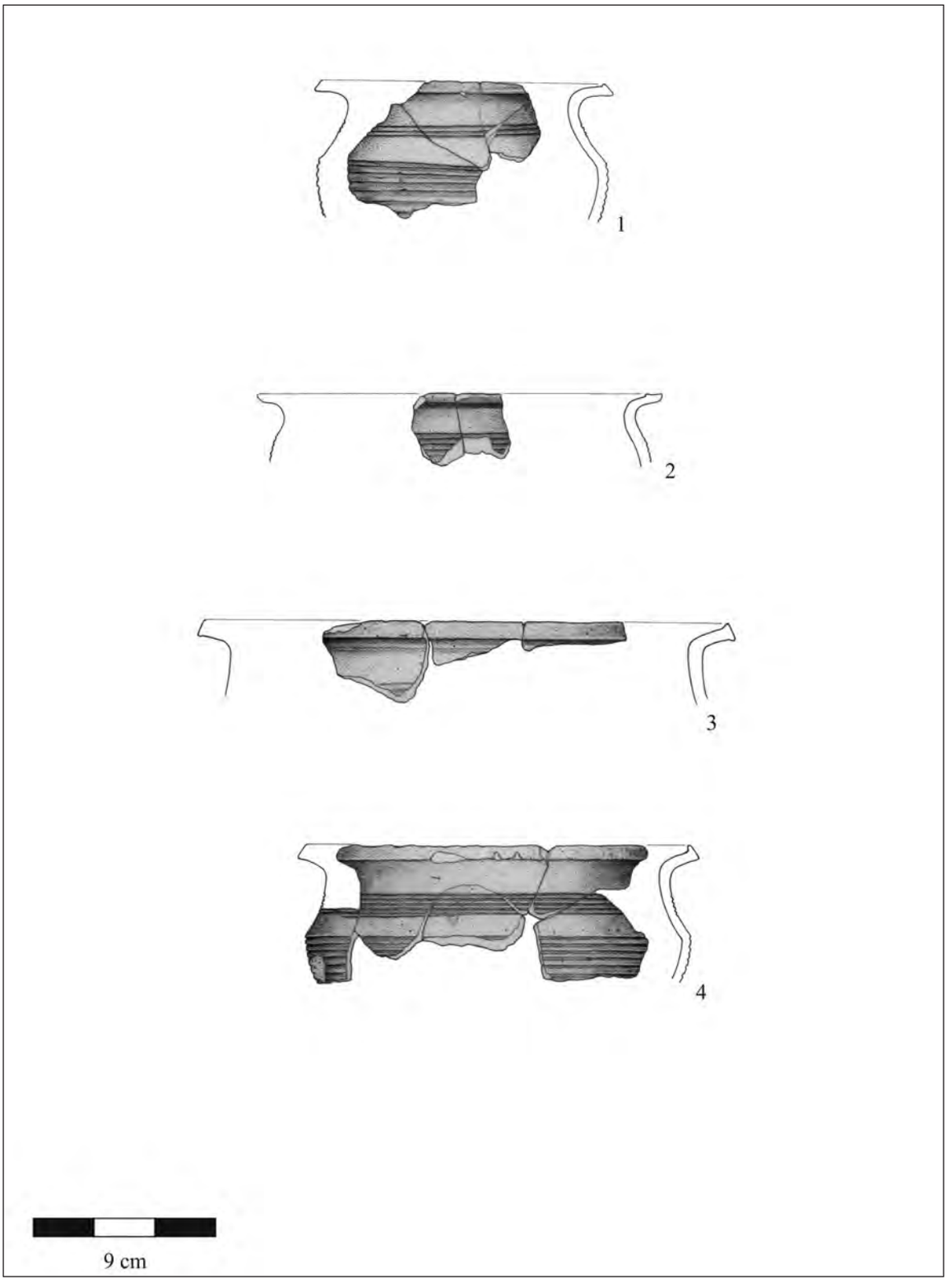

Tablica 1. Morliny, st. 1. Ceramika z grodziska (rys. A. Chojnacka-Banaszkiewicz)

Grupy technologiczno-surowcowe

GTS 1 – Masa ceramiczna zawierała znaczną ilość domieszki schudzającej – głównie szamotu oraz tłucznia. Naczynia wypalano w atmosferze utleniającej. Ścianki mają barwę jasnopomarańczową, pomarańczową, brązową i szarą. Przełam zwykle dwubarwny, rzadziej trójbarwny. Grubość ścianki wynosi około 3–10 mm. Powierzchnia zewnętrzna zwykle była gładka (154 fragmenty, 50,8% zbioru), rzadziej szorstka (48 fragmentów, 15,8% zbioru).

Ceramika późnośredniowieczna

W czasie badań grodziska w Morlinach, st. 1 znaleziono tylko dwa mocno zniszczone fragmenty brzuśców (wielkości poniżej 3 cm) datowane na czasy nowożytne. Naczynia te wykonano z dobrze wyrobionej masy ceramicznej z małą ilością drobnej domieszki schudzającej piasku. Powierzchnia zewnętrzna i wewnętrzna jest gładka. Grubość ścian wynosi 3–6 mm. Barwa ścian jest szara i ciemnoszara. Przełam jest jednobarwny.

SZCZĄTKI ROŚLINNE

MARIA LITYŃSKA-ZAJĄC
I MAGDALENA MOSKAL-DEL HOYO

Ze stanowiska 1 w Morlinach przebadano 10 prób archeobotanicznych, z których cztery zebrano w nawarstwieniach wczesnośredniowiecznych a jedna pochodzi z późnego średniowiecza (tab. 4). Pięć pozostałych prób nie zawierało żadnych pozostałości roślinnych. Wśród szczątków zwęglonych oznaczono 179 okazów[8]. Natrafiono także na sklerocja grzyba czarniaka właściwego *Cenococcum geophilinum* oraz nieliczne materiały niespalone, stanowiące prawdopodobnie zanieczyszczenie dzisiejsze.

Z okresu wczesnego średniowiecza szczątki roślinne reprezentowane są jedynie przez węgle drzewne, wśród których wystąpiło 10 taksonów (osiem okre-

[8] Opis metody: Lityńska-Zając i Moskal-del Hoyo 2016.

Tabela 4. Spalone i niespalone szczątki roślinne z grodziska w Morlinach, st. 1. Objaśnienia: typ szczątka: o – owoc, n – nasiono, d – drewno, sc – sklerocja (oprac. M. Lityńska-Zając i M. Moskal-del Hoyo).

Nazwa taksonu	Chronologia	Faza I				Faza II	Suma
	Numer jednostki stratygraficznej	24	27	38		22	
	Typ szczątka						
Szczątki spalone							
Chenopodium album	n					11	**11**
Carpinus betulus	d	11	16	7	2	7	**43**
Corylus avellana	d		1	1		4	**6**
Pinus sylvestris	d		3	15			**18**
Populus sp. vel *Salix* sp.	d		3			1	**4**
Betula sp.	d		2			1	**3**
Quercus sp.	d	9	23	2	23	2	**59**
Tilia sp.	d	4			5		**9**
Betulaceae indet.	d			3		1	**4**
Maloideae indet.	d			11			**11**
liściaste	d	1	2	3		1	**7**
nieoznaczony	d	1		2		1	**4**
Suma		**26**	**50**	**44**	**30**	**29**	**179**
Cenococcum geophilinum	sc	50	10	50	100	50	**260**
Szczątki niespalone							
Ajuga reptans	o	9		22			**31**
Chenopodium album	n				1		**1**
Rumex crispus	o	1		1			**2**
Rumex obtusifolius	o			3			**3**
Veronica arvensis	n		2	2			**4**
Viola arvensis	o	1			2		**3**
Trifolium sp.	n			1			**1**
Apiaceae indet.	o				1		**1**
Carpinus betulus	o	1	2		2		**5**
Rubus sp.	n		1	2			**3**
Tilia sp.	o		1				**1**
Suma		**12**	**6**	**31**	**6**		**55**

ślonych jako minimalna liczba taksonów). Trzy z nich oznaczono do poziomu gatunków (grab zwyczajny *Carpinus betulus*, leszczyna pospolita *Corylus avellana* i sosna zwyczajna *Pinus sylvestris*), i dalsze trzy do poziomu rodzaju (brzoza *Betula* sp., dąb *Quercus* sp. i lipa *Tilia* sp.). Nieliczne fragmenty spalonego drewna opisano jako wierzba *Salix* sp. lub topola *Populus* sp., Maloideae oraz drzewa i/lub krzewy liściaste. Fragmenty dębu i graba były najliczniejsze oraz napotkano na nie we wszystkich próbach z tego okresu.

W próbie datowanej na okres późnego średniowiecza znaleziono nasiona komosy białej *Chenopodium album* oraz węgle drzewne, wśród których wystąpiło pięć taksonów określonych jako minimalna liczba taksonów: grab zwyczajny *Carpinus betulus*, *Corylus avellana*, brzoza *Betula* sp., dąb *Quercus* sp. oraz wierzba *Salix* sp. lub topola *Populus* sp.

CHRONOLOGIA STANOWISKA

MAGDALENA RUTYNA

Na podstawie analizy materiału ceramicznego chronologię stanowiska można ustalić na XII–XIII w. Niestety nie przyniosło bardziej precyzyjnego ustalenia chronologii datowanie radiowęglowe. Do analizy wybrano fragment węgla drzewnego z warstwy użytkowej 40 w fosie (W2). Datowanie po kalibracji dało przedział lat 1671–1779 (40,8%), 1798–1892 (39,6%), 1907–1943 (15,0%) z prawdopodobieństwem 95,4%. Prawdopodobnie próbka została zanieczyszczona w trakcie pobierania[9].

DZIEJE GRODZISKA W MORLINACH, ST. 1

We wczesnym średniowieczu, najprawdopodobniej w XII w. (Faza I) wzniesiono ziemny wał (W1) oraz wyprofilowano dno fosy (W2) grodu. Z horyzontem tym można wiązać odkryty na majdanie i w fosie poziom użytkowy, który powstał prawdopodobnie w momencie budowy umocnień. Niewielka ilość ceramiki (303 fragmenty) datowanej na ten okres oraz brak konstrukcji kamiennych lub konstrukcji drewnianych może świadczyć o tym, że miejsce to pełniło funkcję refugium. W XIX w. w trakcie budowy drogi została zniszczona wschodnia część grodziska – wał i zagłębienie przywałowe.

[9] Kobyliński 2016.

Zajączki, st. 1

Gmina Ostróda

Powiat ostródzki

AZP 29–55/113

Współrzędne geograficzne:

N 53° 32’ 58,76”

E 19° 53’ 8,94’’

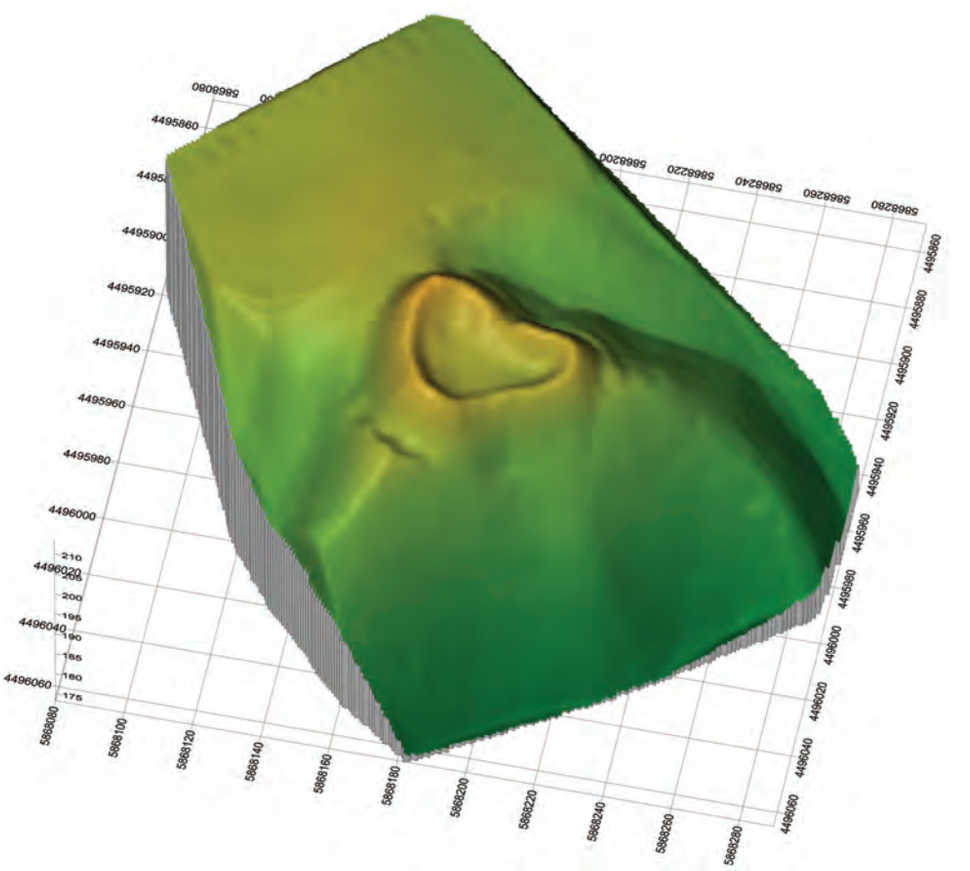

Ryc. 1. Grodzisko w Zajączkach, st. 1 na mapie w skali 1:25 000 (na podstawie materiałów CODGiK, oprac. R. Solecki)

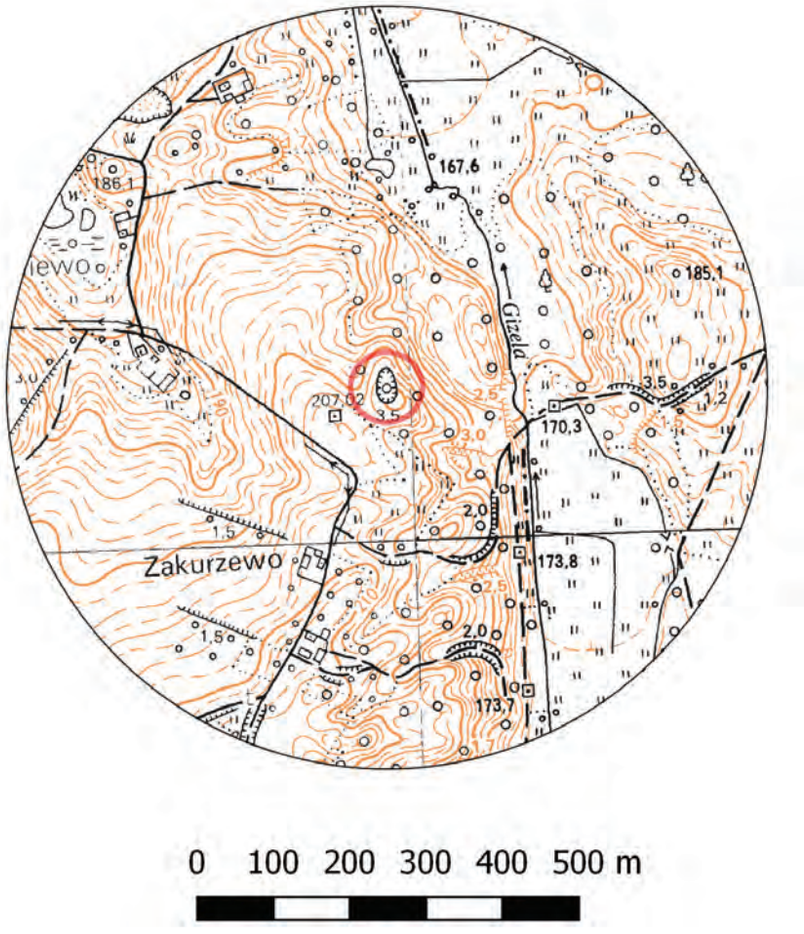

Ryc. 2. Grodzisko w Zajączkach, st. 1 na mapie w skali 1:10 000 (na podstawie materiałów CODGiK, oprac. R. Solecki)

POŁOŻENIE GRODZISKA I JEGO FORMA

DARIUSZ WACH

Grodzisko w Zajączkach, st. 1 usytuowane jest w obrębie Parku Krajobrazowego Wzgórz Dylewskich, nad rzeką Gizelą (ryc. 1–2). Grodzisko zajmuje naturalne wyniesienie morenowe, tworzące rodzaj lekko wysuniętego na wschód, porośniętego lasem cypla górującego nad obszarem doliny wspomnianej rzeczki Gizeli (ryc. 3–4). Od strony wschodniej i północno wschodniej zbocza wału i samego wzgórza są bardzo strome i osiągają przewyższenie do 45 m w stosunku do obszaru poniżej. Od zachodu grodzisko przylega do położonego płaskowyżu, gdzie przewyższenie wałów w stosunku do niego wynosi średnio 10–15 m. Od północnego zachodu i od południowego wschodu grodzisko otaczają parowy, przy czym parów od strony północno wschodniej przechodzi w płaski, podmokły teren doliny wspomnianej rzeczki Gizeli, co w połączeniu z niezwykle stromą i wysoką od tej strony ścianą wzgórza, powoduje, iż można mówić o wybitnych walorach obronnych założenia grodowego. Od południowego wschodu i częściowo od południa dostęp na grodzisko jest utrudniony przez dobrze zachowaną, suchą fosę. Od północy do wałów grodziska dochodzi, lekko łukowaty w kształcie, stopniowo obniżający się aż do poziomu doliny rzecznej cypel wzgórza. Od tej też strony, tam gdzie grodzisko przechodzi w schodzącą w dół wąską grań, można dostrzec u podnóża wału, poprzeczne do tejże grani a równoległe do wału grodziska i do siebie nawzajem, co najmniej dwa, łukowatego kształtu, płytkie zagłębienia, w których z dużą dozą prawdopodobieństwa można domyślać się śladów kolejnych suchych fos utrudniających ewentualnym napastnikom dostęp do grodu.

Wały grodziska, w obecnym stanie ich zachowania, najwyższe są od strony południowo-zachodniej oraz północnej, czyli w punktach najłatwiejszego dostępu do obiektu. W stosunku do dna majdanu ich przewyższenie sięga maksymalnie 7 m (od SW). Od strony zachodniej w wale widoczne jest wyraźne obniżenie, w miejscu w którym znajdowała się brama do grodu. Grodzisko ma w przybliżeniu kształt trójkąta o zaokrąglonych wierzchołkach i nieco wygiętych do wewnątrz, dłuższych bokach. Jego podstawa ma około 36 m, boki zaś 46 m (wymiary mierzone po koronie wałów). Wierzchołek tego trójkąta skierowany jest w przybliżeniu na północ (ryc. 5–6).

ŚRODOWISKO FIZYCZNO-GEOGRAFICZNE

JERZY NITYCHORUK I FABIAN WELC

Grodzisko w Zajączkach, st. 1 leży na zachodnim skłonie wysoczyzny przylegającym do południkowego

Ryc. 3. Grodzisko w Zajączkach, st. 1 – widok od południowego zachodu (fot. J. Wysocki)

Ryc. 4. Grodzisko w Zajączkach, st. 1 – widok od południowego zachodu (fot. J. Wysocki)

obniżenia, którym obecnie płynie rzeka Gizela. Usytuowane jest ono na izolowanym pagórku o wydłużonym kształcie, który od wysoczyzny oddzielony jest rozcięciami erozyjnymi, zarówno od zachodu, jak i od południa. Na szkicu osnowy geodezyjnej najwyższy punkt wznosi się do 213,58 m n.p.m. i jest zlokalizowany na wale grodziska, w jego SW części. Majdan grodu występuje na wysokości około 207 m n.p.m., co daje ponad 6 m różnicy. W stosunku do obniżenia wykorzystywanego przez rzekę Gizelę różnica wysokości sięga 43 m, co dobrze uzasadnia duże wcięcie form erozyjnych towarzyszących grodzisku, czyniących je niedostępnym.

Według *Szczegółowej mapy geologicznej Polski w skali 1:50 000 ark. Lubawa*[1] grodzisko w Zajączkach, st. 1

[1] Gałązka 2012b.

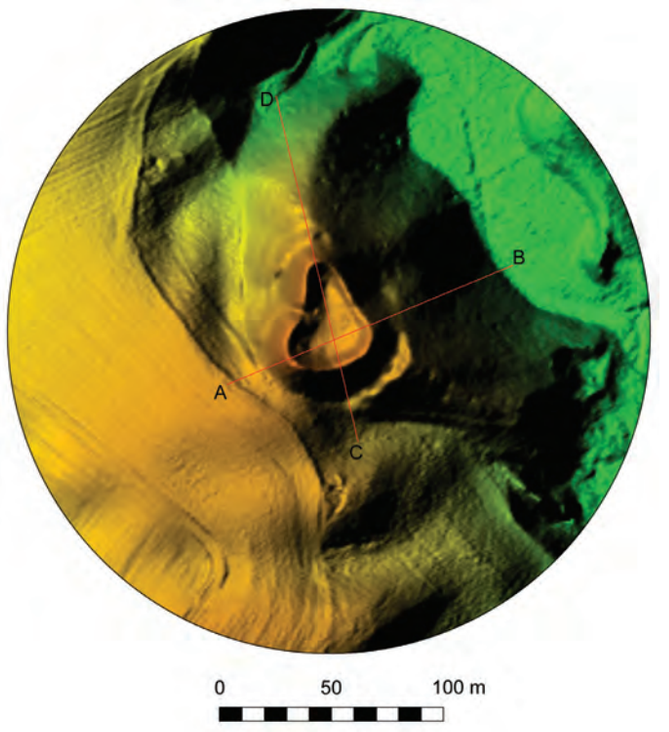

Ryc. 5. Grodzisko w Zajączkach, st. 1 na zobrazowaniu ALS (na podstawie materiałów CODGiK, oprac. R. Solecki)

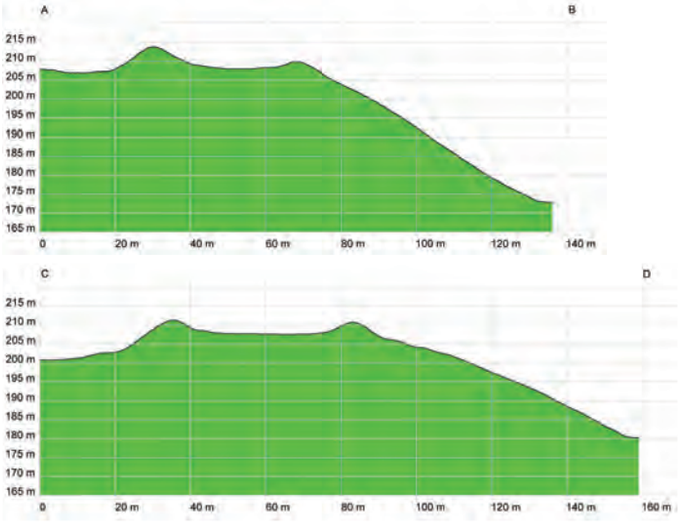

Ryc. 6. Przekroje grodziska w Zajączkach, st. 1 uzyskane z danych ALS (na podstawie materiałów CODGiK, oprac. R. Solecki)

leży na piaskach, mułkach i żwirach kemowych ze stadiału górnego zlodowacenia Wisły. Otoczenie obiektu stanowią gliny zwałowe budujące wysoczyzny, na których występują gleby płowe, średniej żyzności III i IV klasy. W dolinie rzeki Gizeli występują piaski i mułki rzeczne (ryc. 7).

Na terenie grodziska przeprowadzono wiercenia wzdłuż linii N–S i W–E. Na podstawie dziewięciu wierceń sporządzono dwa przekroje A–B i C–D, które dobrze ilustrują budowę geologiczną i obszary przekształcone przez człowieka (ryc. 8–9). Nasypy wałów osiągają 1,6 m w wierceniu Z–1 i Z–4 oraz 1 m w wierceniu Z–5, i największą – 1,7 m – w wierceniu Z–6, gdzie pod nasypem nawiercono też kompleks glebowy miąższości 0,4 m. Warstwa kulturowa na majdanie osiąga 1 m miąższości w wierceniu Z-3. Wypełnisko fos w części N nie przekracza 1 m. W profilach wałów występuje duża ilość spalenizny i węgli drzewnych oraz fragmentów drewna. Pod osadami zmienionymi ręką ludzką występują piaski różnoziarniste miejscami ze żwirem, a pod nimi piasek drobnoziarnisty, prawdopodobnie kemowy.

BADANIA ARCHEOLOGICZNE

DARIUSZ WACH

Przebieg badań terenowych

Grodzisko w Zajączkach, st. 1 znane było już w okresie przedwojennym. W archiwum dawnego Prussia Museum z Królewca zachowana jest korespondencja z 1906–1907 r. między archeologiem Adalbertem Bezzenbergerem a ówczesnym zachodniopruskim konserwatorem zabytków Schmidtem w sprawie ochrony tego grodziska, utożsamianego już wówczas z grodem stołecznym plemienia Sasinów – *Sassenpile*[2]. Wspomina o tym grodzisku także ks. Władysław Łęga, w swojej *Kulturze Pomorza we wczesnym średniowieczu na podstawie wykopalisk* w 1930 r.[3]

Po wojnie już w 1949 r. przeprowadził tu badania powierzchniowe Jerzy Antoniewicz. Grodzisko wpisane zostało do rejestru zabytków w 1996 r. W roku 1998 na terenie grodziska przeprowadzone zostały badania wykopaliskowe przez dr hab. Annę Marciniak-Kajzer z Instytutu Archeologii Uniwersytetu Łódzkiego. Badania miały charakter ratowniczy i przeprowadzone zostały na obszarze majdanu, w miejscach zniszczeń spowodowanych przez dwa wkopy rabunkowe. Otworzony wówczas wykop 1 (2 x 3 m) znajdował się pośrodku majdanu zaś wykop 2 (4 x 4 m) na skraju przejścia majdanu w wał od strony północnej. Znalezione zabytki (głównie fragmenty ceramiki) sugerowały okres zasiedlenia grodziska jako wiek XII do początków XIII. Odkryte w wykopie 2 warstwy spalenizny i kamienie zinterpretowane zostały jako pozostałości ewentualnego bruku kamiennego, jak również narożnika domostwa[4].

[2] Hoffmann 2013: 70.

[3] Łęga 1930: 539.

[4] Marciniak-Kajzer 1998.

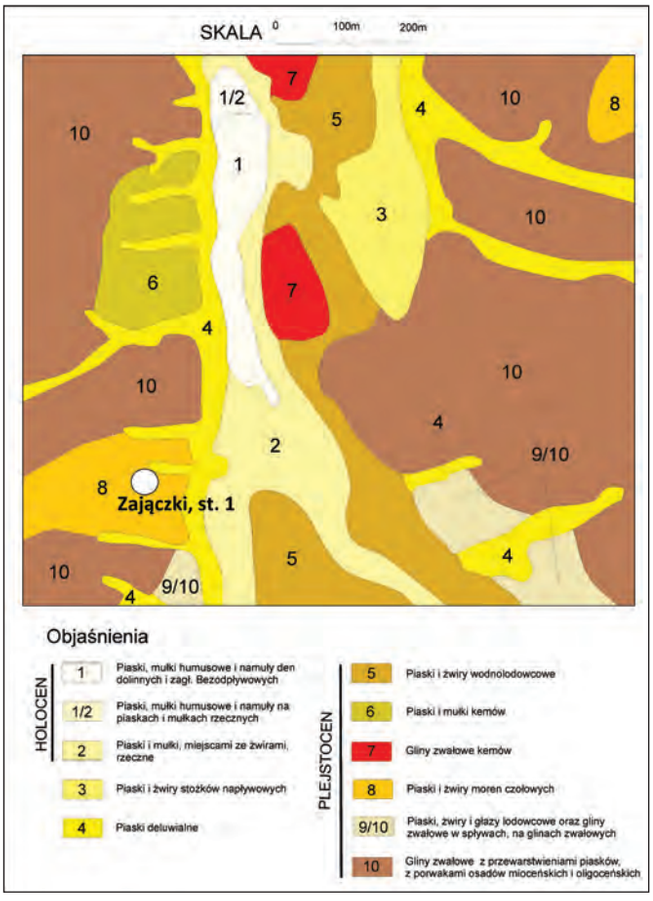

Ryc. 7. Mapa geologiczna okolic grodziska w Zajączkach, st. 1 (oprac. J. Nitychoruk i F. Welc)

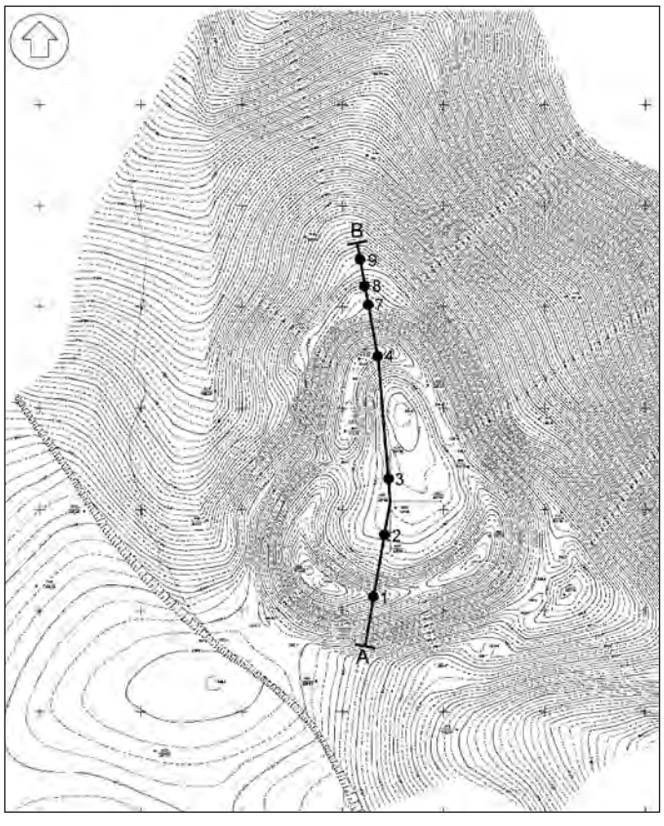

Ryc. 8. Zajączki, st. 1. Plan warstwicowy grodziska (wyk. J. Błaszczyk) z zaznaczonymi miejscami wierceń geologicznych (oprac. J. Nitychoruk i F. Welc)

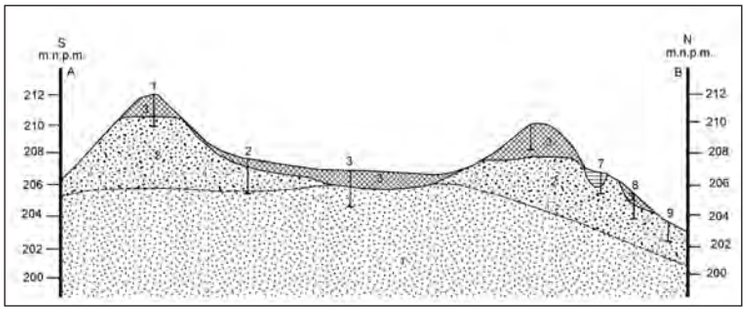

Ryc. 9. Przekrój geologiczny grodziska w Zajączkach, st. 1: 1 – piaski drobnoziarniste, kemowe, 2 – piaski różnoziarniste, 3 – warstwa kulturowa (archeologiczna) (oprac. J. Nitychoruk i F. Welc)

Badania w ramach realizacji programu *Katalog grodzisk Warmii i Mazur* przeprowadzone zostały w roku 2015. Celem prac było rozpoznanie (na większą niż uprzednio skalę i w innym miejscu grodziska) charakteru tego stanowiska, określenie jego potencjalnych funkcji oraz pozyskanie materiału zabytkowego, który umożliwiłby jego datowanie. Ponieważ obszar wnętrza grodziska był już wstępnie badany w przeszłości, postanowiono rozpoznać wykopaliskowo rejon potencjalnej bramy grodziska. W tym celu w obrębie obniżenia w wale założono wykop 1, o wymiarach 4 x 22 m (od wschodu zwężony na odcinku 6 m do szerokości 2 m). Wykop ten obejmował (od zachodu) początek górnej krawędzi zewnętrznego stoku wzgórza grodziskowego w rejonie bramy, przechodził przez cały majdan po osi W-E i obejmował swym wschodnim końcem początek dolnej partii wewnętrznego stoku części wału wschodniego. Dodatkowo, w celu weryfikacji odkryć dokonanych w wykopie 1 (zasięg płaszcza kamiennego 3), poprzecznie do jego dłuższego boku otworzono mniejszy (długi na 9 m i szeroki na 1 m) wykop 2, o dłuższym boku wzdłuż osi N-S, usytuowany we wnętrzu majdanu. Łącznie przebadany obszar obu wykopów wynosił 84,5 m kw. (ryc. 10).

Przebadana stratyfikacja jednoznacznie wskazuje (przede wszystkim w obszarze wykopu 1), że grodzisko w Zajączkach, st. 1 – wbrew ustaleniom z wcześniejszych badań – było kilkufazowe (ryc. 11).

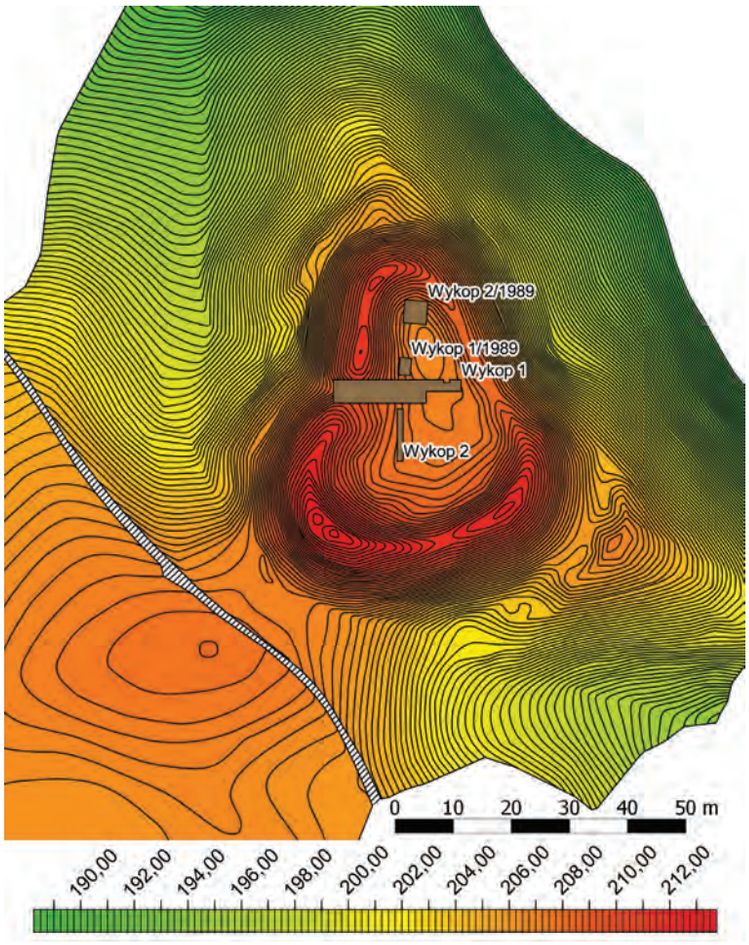

Ryc. 10. Plan sytuacyjno-wysokościowy grodziska w Zajączkach, st. 1 z rozmieszczeniem wykopów z roku 1989 i 2015 (na podstawie pomiarów J. Błaszczyka, oprac. R. Solecki)

Ryc. 11. Zajączki, st. 1. Ogólny widok poziomu calca w wykopie 1 wraz z przekrojem wału starożytnego i wałów wczesnośredniowiecznych – ukazuje wielofazowość nawarstwień grodziska (fot. D. Wach)

Stratygrafia stanowiska (ryc. 12–17)

Warstwy naturalne

Podłożem naturalnym grodziska w Zajączkach, st. 1 jest – w zależności od miejsca – czysty, jasny piasek drobnoziarnisty (na większości powierzchni), miejscowo z płatami gliny oraz żwirów i piasków. W zależności od rodzaju i miejsca występowania wyróżniono siedem jednostek stratygraficznych (38, 82, 99,109, 133, 153 i 163), które uznano za warstwy naturalne.

Wczesna epoka żelaza

Faza IA

We wschodniej części wzgórza, na krawędzi którego nie było zapewne jeszcze żadnej konstrukcji wałowej (przez analogię do sytuacji z W części grodziska), wykopano pięć dużych, nieckowatych, w niektórych przypadkach na siebie zachodzących jam: 97 (z wypełniskami 96, 94 i 95), 103 (z wypełniskami 102, 104 i 48), 131 (z wypełniskiem 130), 111 (z wypełniskami 108 i 112) oraz 128 (z wypełniskiem 127). Wszystkie one miały niejednorodne, przemieszane kolorystycznie i materiałowo (piaszczysto-gliniaste, gliniasto-żwirowe, piaszczysto-żwirowe) wypełniska. Fakt wkopywania jednych obiektów w wypełniska drugich sugeruje, że ta aktywność mogła trwać dość długo.

Prawdopodobnie z tego samego czasu pochodzą zidentyfikowane po zachodniej stronie wzgórza, w obszarze jego krawędzi i częściowo stoku, ślady dość intensywnego użytkowania tego obszaru (obserwowalne w W części wykopu 1). W odległości kilku metrów od krawędzi grodziska w żwirowy calec 153 wkopana została nieckowata w przekroju płytka jama 142 (z wypełniskiem 139). Natomiast w obszarze krawędzi i stoku zalegały warstwy starożytne – stopniowo zwiększające swoją miąższość ku stokom zewnętrznym grodziska, a zanikające w kierunku jego krawędzi. Najstarszą warstwą w tym miejscu była spoczywająca na rudawym calcu piaszczystym 163, stromo opadająca w dół początku stoku, piaszczysta warstwa 187. W jej E krawędź (od strony wnętrza grodziska) wkopana była duża jama cylindryczna 189 wypełniona (od dołu) warstwą piasku z węgielkami drzewnymi 194**,** warstwą bruku 193 oraz leżącą na nim warstwą zbitego popiołu 192 oraz piaszczystym stropem 188. Ponieważ częściowo jama ta wkopana była także w calec 163**,** można ją uznać za jeden z najstarszych znalezionych obiektów na terenie grodziska. W strop warstwy 187 wkopany był także (czytelny w N ścianie wykopu 1) dół posłupowy 197 (z wypełniskiem 196). W kierunku W, z kolei, leżała na niej (oraz częściowo na stropie wypełniska wspomnianego dołu 197), cienka (do 5 cm miąższości), ciemniejsza, warstwa 186, stanowiąca jeden z kilku poziomów użytkowych tego miejsca. W narożniku

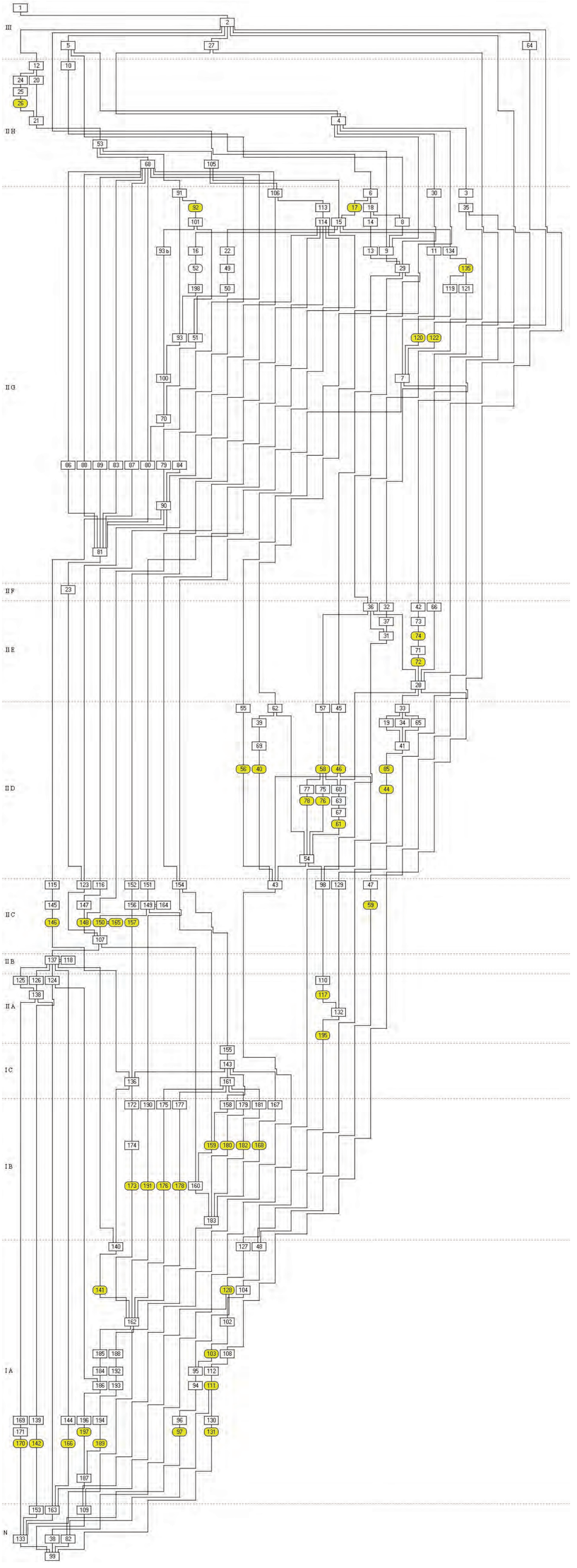

Ryc. 12. Zajączki, st. 1.Diagram relacji stratygraficznych wału i majdanu grodziska (oprac. D. Wach)

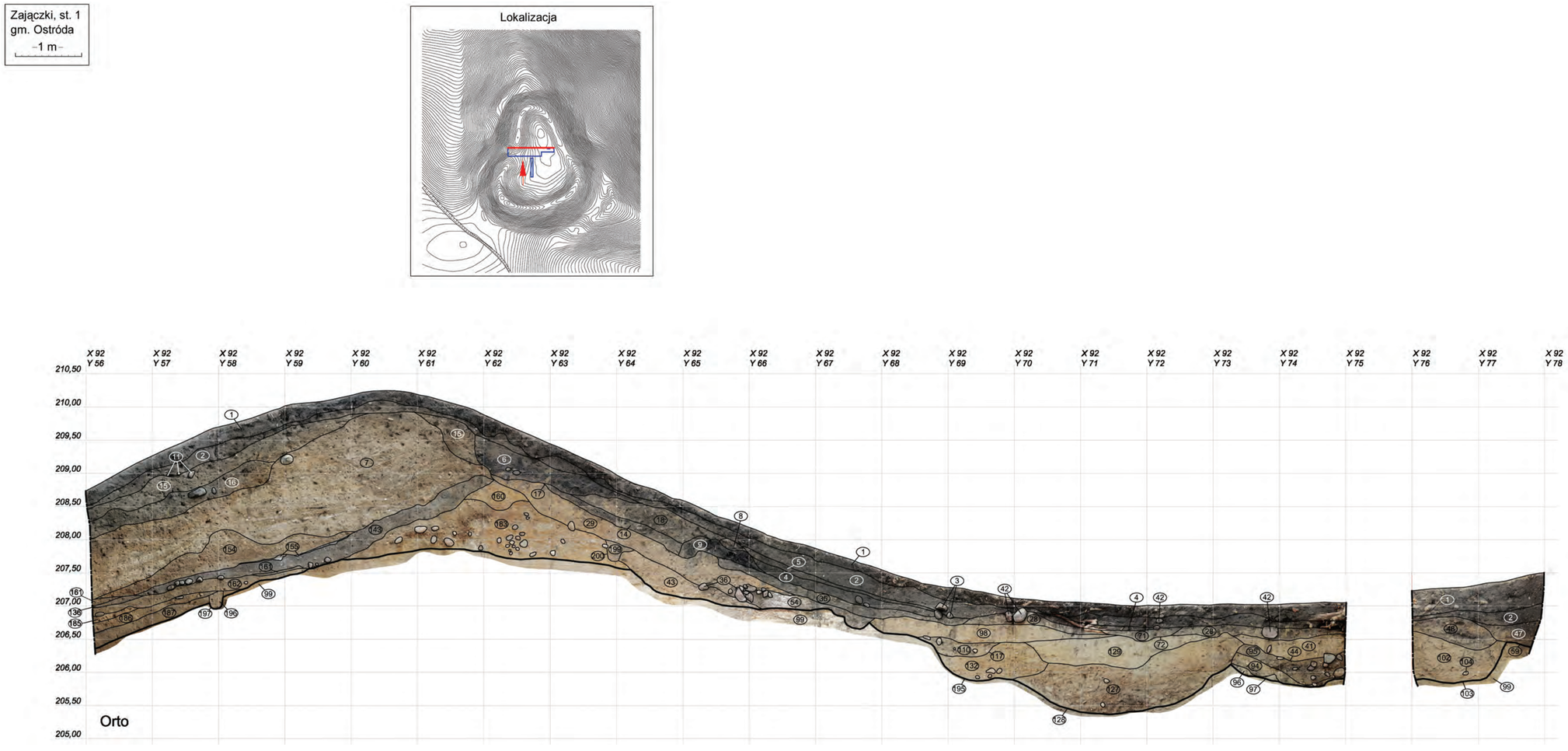

Ryc. 13. Zajączki, st. 1. Stratygrafia nawarstwień grodziska widoczna w północnej ścianie wykopu 1 (oprac. D. Wach i R. Solecki)

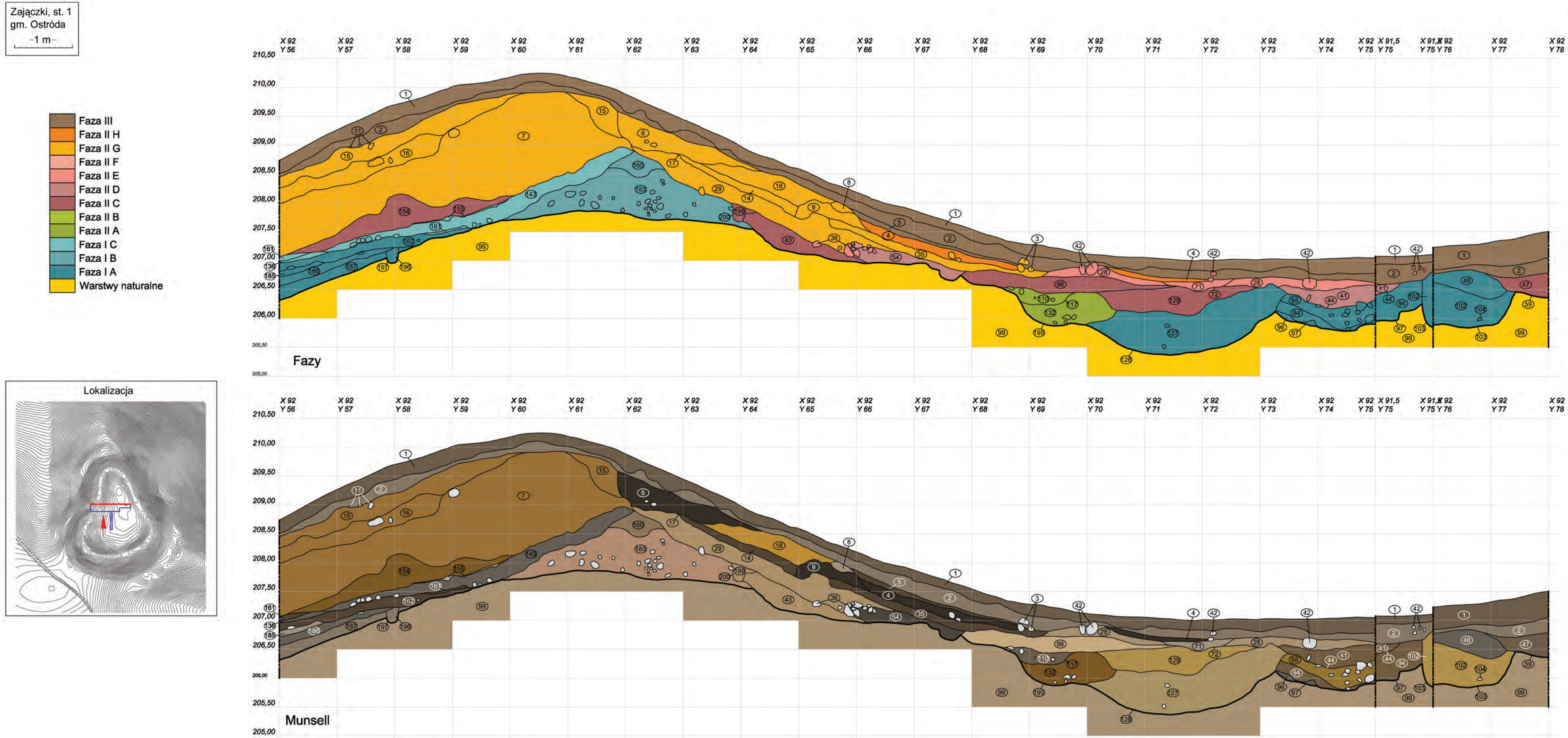

Ryc. 14. Zajączki, st. 1. Stratygrafia nawarstwień grodziska widoczna w północnej ścianie wykopu 1 (oprac. D. Wach i R. Solecki)

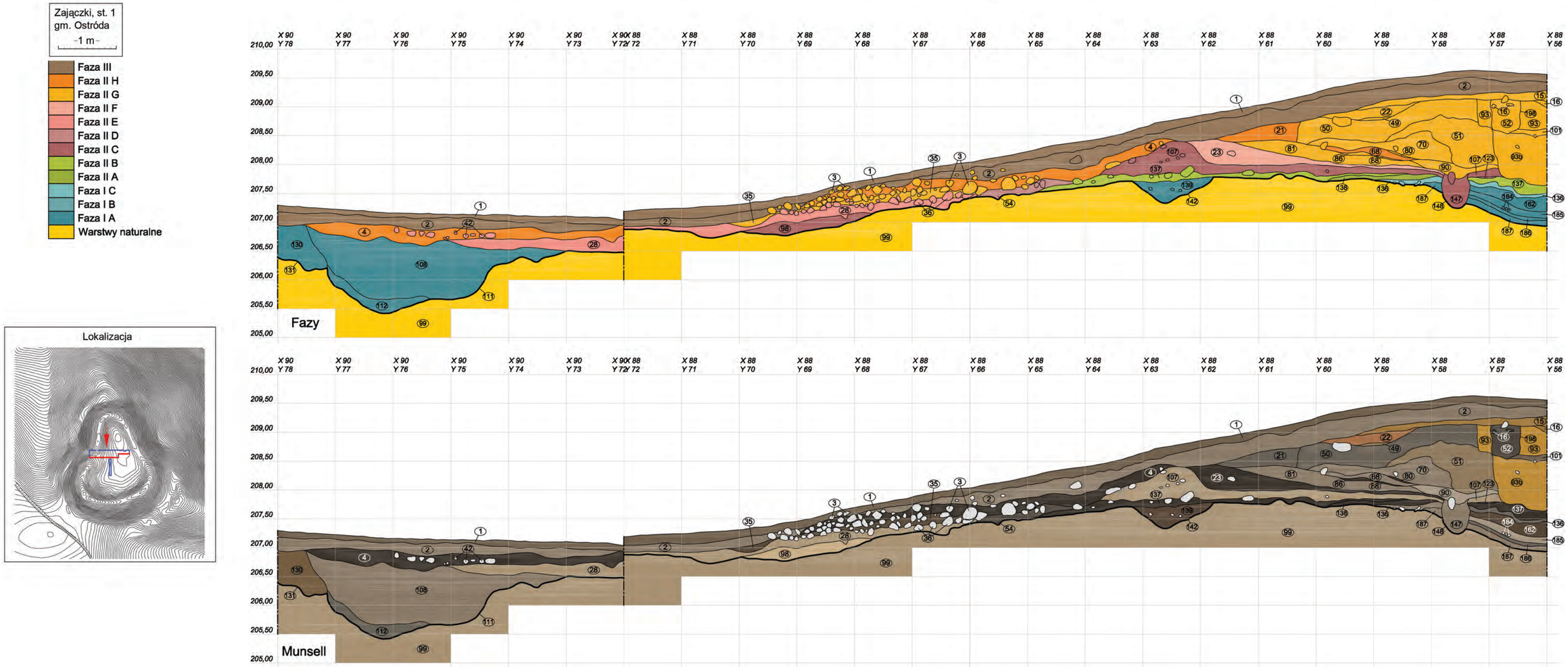

Ryc. 15. Zajączki, st. 1. Stratygrafia nawarstwień grodziska widoczna w południowej ścianie wykopu 1 (oprac. D. Wach i R. Solecki)

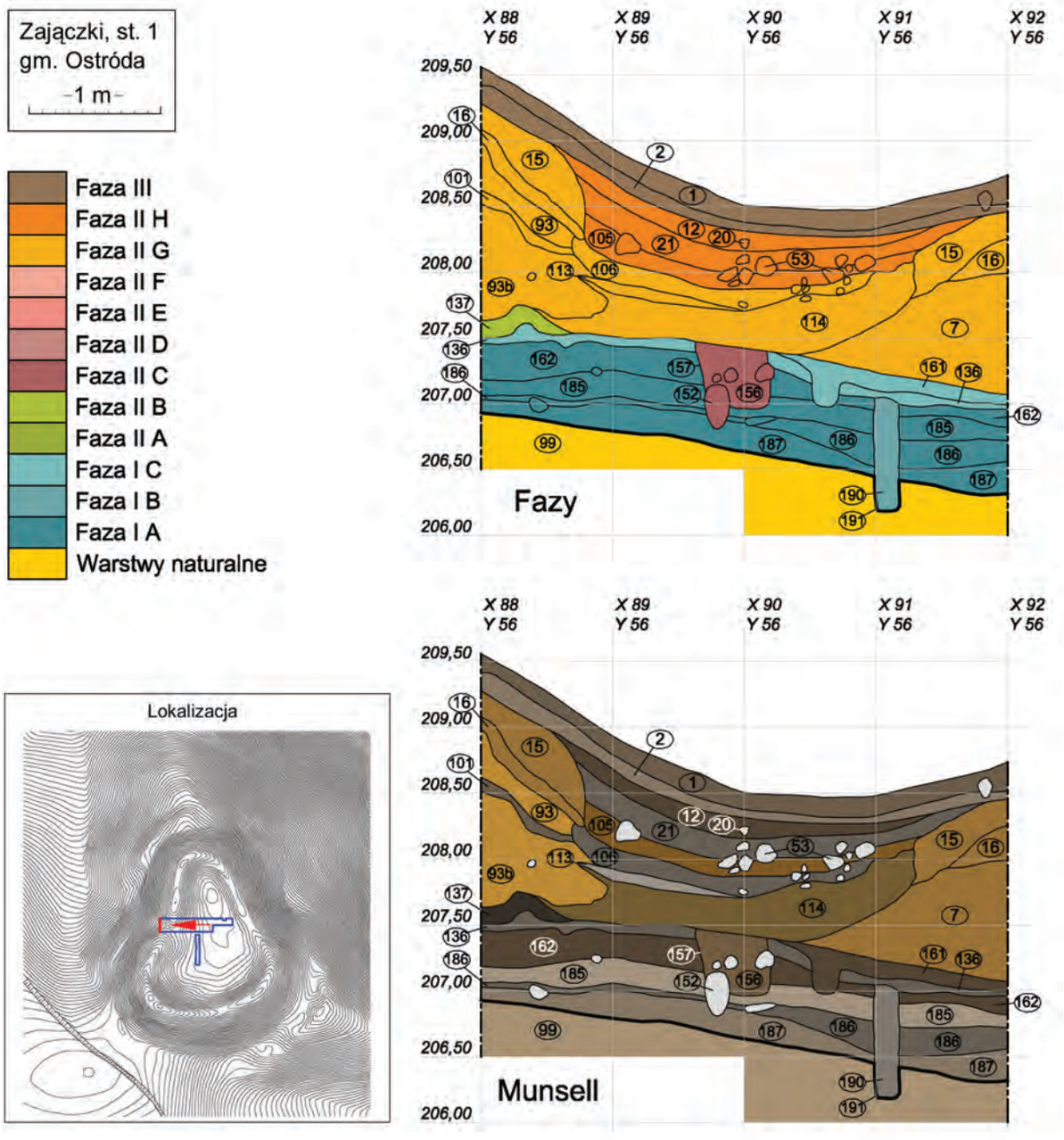

Ryc. 16. Zajączki, st. 1. Stratygrafia nawarstwień grodziska widoczna w zachodniej ścianie wykopu 1 (oprac. D. Wach i R. Solecki)

NW wykopu warstwa ta zwiększała swoją miąższość i można było wydzielić dwa jej poziomy, rozdzielone jaśniejszym piaszczystym zsuwem, bądź warstewką niwelacyjną. Na stropie warstwy 186 spoczywał wąski pas niedużych kamieni 184 (o co najmniej 1,5 m długości – kontynuował się poza S granicę wykopu), sprawiający wrażenie dolnej części wąskiego muru oporowego. Zarówno mur ten, jak i warstwa 186, przykryte były kolejną jasną warstwą krawędziowo-stokową – niejednorodną, piaszczysto kamienistą warstwą 185. Na niej z kolei leżała grubsza (do 0,25 m miąższości) piaszczysta warstwa 162, która częściowo niwelowała stromiznę stoku na krawędzi grodziska.

Warstwa 162 była poziomem użytkowym, w który – w czasie kiedy zapewne nie było jeszcze usypanego wału starożytnego – wkopanych zostało kilka obiektów. Były to: na krawędzi stoku – podłużna jama wannowata 141 (z wypełniskiem 140) o regularnym kształcie i płaskim dnie (długości co najmniej 1 m i głębokości do 0,3 m); mniejsza, podłużnie nieckowata i płytsza jama 166 (z wypełniskiem 144) i podobna, ale nieco większa, płytka jama 170 (z kamieniami

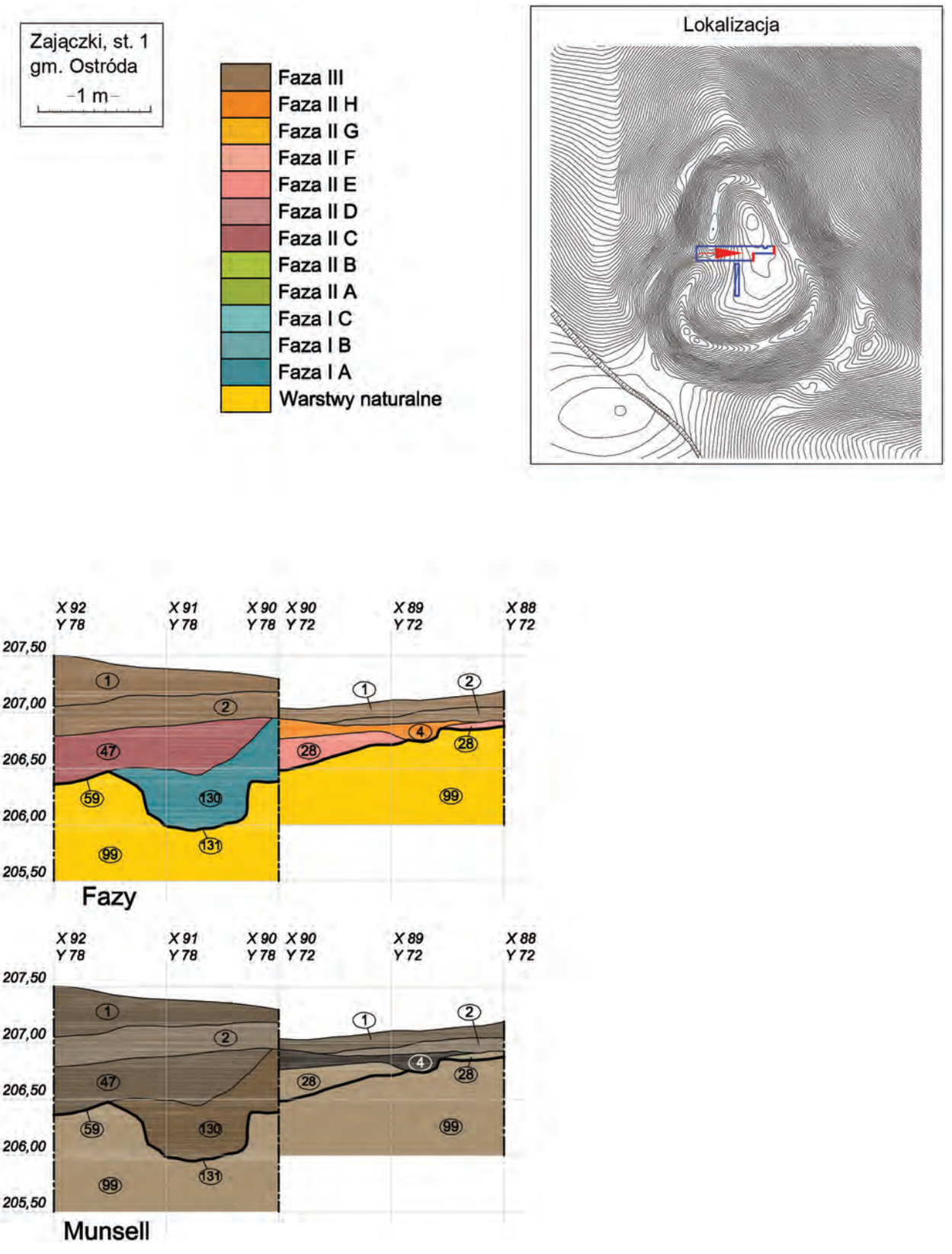

Ryc. 17. Zajączki, st. 1. Stratygrafia nawarstwień grodziska widoczna we wschodniej ścianie wykopu 1 (oprac. D. Wach i R. Solecki)

171 na dnie i wypełniskiem górnym 169). Wszystkie te obiekty wskazują, że w zachodniej strefie krawędziowej grodziska trwała przez zauważalnie długi czas intensywna ludzka aktywność. Prawdopodobnie profil zbocza od tej strony grodziska mógł mieć pierwotnie nieco inny kształt, niż nadany mu później (we wczesnym średniowieczu). Obiekty te sugerują też, że w czasie ich funkcjonowania wejście na teren grodu musiało znajdować się w innym miejscu.

Faza IB – usypanie wału starożytnego

Najstarszym reliktem pierwszego, starożytnego umocnienia grodziska były nawarstwienia 183, usytuowane po N stronie późniejszego korytarza bramnego grodziska. W górnej partii była to ziemia piaszczysta i piaszczysto-żwirowa, w dolnej partii przechodząca w żwirowo-piaszczystą z licznymi, różnej wielkości kamieniami. Warstwa ta stanowiła zasadnicze jądro ówczesnego wału.

Na zachodnim stoku i na bliskim przedpolu jądra wału znajdowała się grupa kilku skupionych blisko siebie, niedużych (średnicy od kilkunastu do 20 cm), ale głębokich (nawet do 1 m głębokości) dołów posłupowych, częściowo wypełnionych popiołem (powstałym podczas pożaru grodu). Obiekty te miały pionowe ściany i płaskie dna: obiekt 168 (z wypełniskiem 167), obiekt 180 (z wypełniskiem 179) i obiekt 182 (z wypełniskiem 181).

Wydaje się, że słupy stojące w tych dołach stanowiły element wzmocnienia konstrukcji wału lub też były głęboko posadowionymi elementami konstrukcji drewnianej stojącej na wale.

U stóp zachodniego stoku tych nawarstwień wału znajdował się większy (średnicy do 0,65 m), ale płytszy (głębokość do 0,4 m), owalny dół posłupowy 176 (z wypełniskiem 175) oraz usytuowany tuż obok mniejszy, płytki (głębokości do 0,2 m) dół 178 (z wypełniskiem 177).

W odległości około 2 m na zachód od tej pary dołów posłupowych, już w obszarze lekkiego zachylenia powierzchni grodziska w zbocze, znajdowała się kolejna para dołów posłupowych tworzących z poprzednią ewentualną linię o przybliżonym przebiegu W–E. Parę tę tworzyły doły o średnicy około 0,3 m, lecz o różnej głębokości, wynikającej zapewne z różnicy położenia względem stoku. Dół 173 (z wypełniskiem piaszczysto-popiołowym 172 i 174) miał średnicę 0,3 m i głębokość do 0,4 m, zaś niżej (już częściowo na stoku) położony dół 191 (z wypełniskiem 190), przy podobnej średnicy, równie pionowych ścianach oraz płaskim dnie, miał aż 0,9 m głębokości.

Razem z opisanymi wcześniej dołami ze stoku wału, powyższe cztery doły usytuowane poza nim mogły tworzyć elementy jakiejś konstrukcji (ściany?) schodzącej z wału w kierunku zbocza grodziska.

Prawdopodobnie równocześnie z ustawianiem słupów na stoku wału, na jego szczycie usypano pylastą jednorodną warstwę ziemi 160, tworzącą niemal płaską półkę. Tym samym wał przybrał swój ostateczny kształt (nie biorąc pod uwagę ewentualnych przekształceń zbocza wewnętrznego w fazie wczesnośredniowiecznej nadbudowy), uzyskując u podstawy szerokość 4 m oraz wysokość warstw ziemnych wynoszącą 1 m. W przekroju jego zewnętrzne zbocze miało łagodny (około 35–40°) kąt nachylenia; co do zbocza wewnętrznego, można domniemywać, że wyglądało podobnie.

Od strony późniejszego przekopu bramnego (od S) w szczyt wału wkopana była wannowata w przekroju jama 159 (z piaszczysto-popiołowym wypełniskiem 158), niszczona od S przez wspomniany przekop.

Faza IC – ślady użytkowania i pożaru konstrukcji wału i przestrzeni na jego przedpolu

Ponieważ podczas pożaru konstrukcji wału, jego zbocza i przedpole zostały pokryte dość jednolitymi warstwami popiołów i warstw przesyconych popiołem. W praktyce trudno rozgraniczyć ewentualną warstwę użytkową (z natury raczej ciemnego koloru wskutek zawartości organicznych substancji) od identycznych lub podobnych kolorystycznie warstw stanowiących wynik pożaru. Można chyba jednak przyjąć, że lokalna warstwa i płaty ziemi 136 oraz podobna warstwa 161 (obie zalegające na przedpolu wału i ograniczone w obszarze późniejszej bramy zniszczeniami związanymi z jej budową) odpowiadają poziomowi użytkowania grodu w czasie istnienia wału starożytnego, jak też – przesycone popiołami po pożarze – miejscami stanowią świadectwo destrukcji grodu. Wspomniane warstwy przechodziły płynnie od strony północnej w grubą (maksymalnie do 0,3 m miąższości) warstwę

Ryc. 18. Zajączki, st. 1. Ogólny widok wału starożytnego (Faza IB) ze zboczem pokrytym warstwą popiołu 143 oraz przekopem korytarza bramnego (fot. D. Wach)

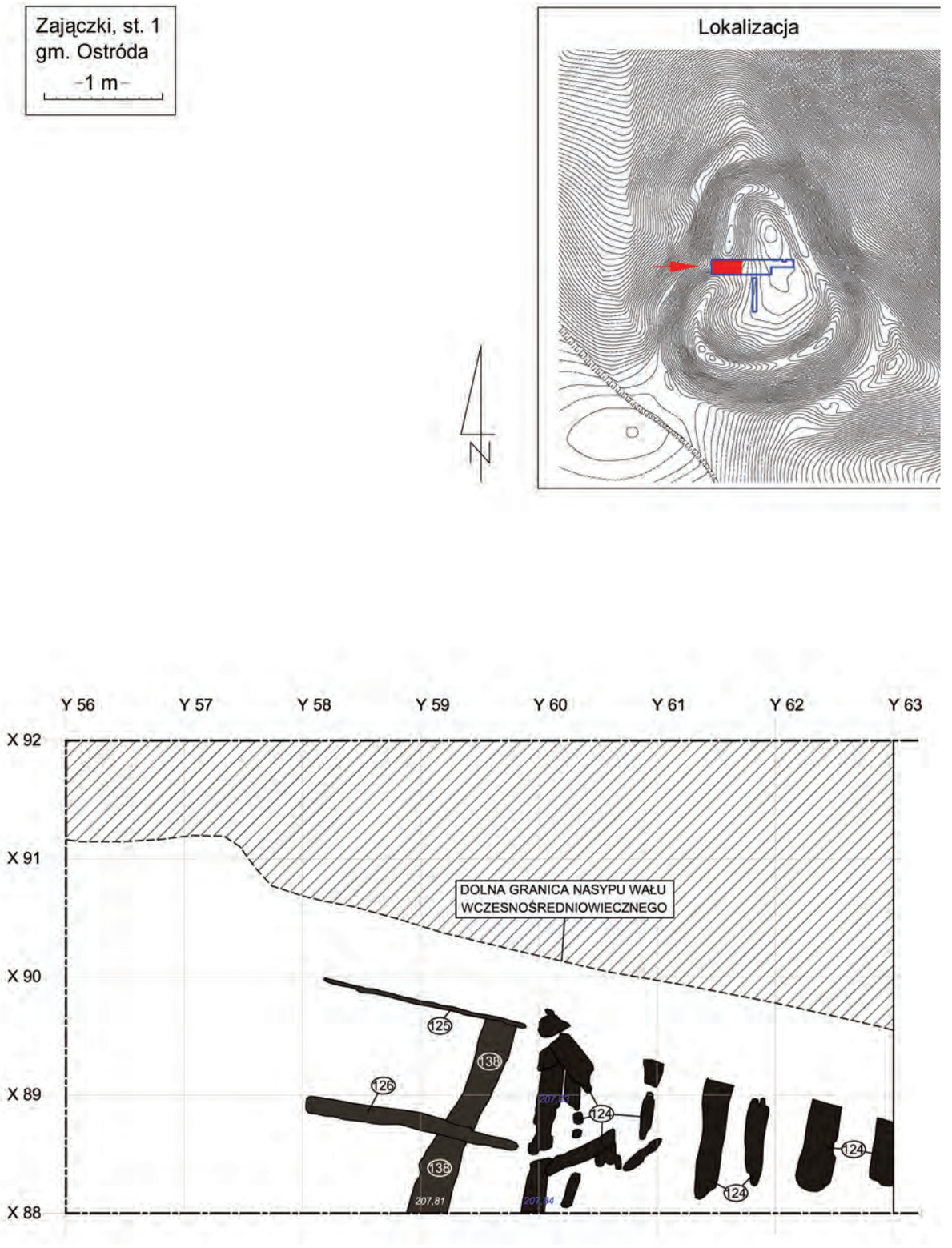

Ryc. 19. Zajączki, st. 1. Plan spalonych elementów drewnianych z Fazy IIA (oprac. D. Wach i R. Solecki)

szarych popiołów 143 z drobnymi bryłkami popiołów jasnoszarych (niemal białych) w całej swej objętości, a na stropie w podobnie jasną, nieregularną i nieciągłą cienką, twardą warstwę popiołów 155 (ryc. 18). Biorąc pod uwagę grubość tych nawarstwień popiołu można założyć, że musiał on powstać na skutek spalenia bardzo dużej ilości drewna. Sugeruje to, iż na stosunkowo niskim (1 m wysokości) wale ziemnym istnieć musiały jakieś solidne, rozbudowane konstrukcje drewniane i dopiero one stanowiłyby najistotniejszy element obronny grodu w opisywanej fazie jego istnienia. Oprócz warstwy popiołu śladami tych konstrukcji byłyby opisane wcześniej doły posłupowe.

Wczesne średniowiecze

Faza IIA – konstrukcja pomostu drewnianego w korytarzu bramnym

Wydaje się, że w zachodniej, przykrawędziowej partii grodziska pierwszym obserwowalnym przejawem ponownej (po hiatusie osadniczym trwającym od epoki wczesnego żelaza) działalności we wczesnym średniowieczu było przekopanie lub obcięcie części wału starożytnego tak, że powstało w nim szerokie na co najmniej 2,5 m przejście. Z zachowanych nawarstwień wynika, że dno tego przejścia tworzyła konstrukcja drewniana (pomost), na którą składały się poprzeczne belki lub dranice 124 (zachowane w formie zarówno spalonych fragmentów drewna, jak i pasów spalenizny) i 138 (zachowane w formie brązowych pasów ziemi – zapewne powstałych z rozłożonych, niespalonych elementów drewnianych) (ryc. 19). Na nich, równolegle do osi pomostu i do siebie, leżały dłuższe i większe, spalone, częściowo spalone, częściowo rozłożone, jak również zachowane w postaci odcisków w warstwach niższych, relikty spalonych elementów drewnianych 125 i 126 (ryc. 20). Widoczne były one na odcinku około 3,4 m i kończyły od strony zachodniej w miejscu, gdzie w tym czasie rozpoczynała się krawędź stoku grodziska (2 m przed W ścianą wykopu 1). W przekroju poprzecznym ich zachowane spągi miały do 0,3 m szerokości.

Prawdopodobnie w tym też czasie w obrębie majdanu grodziska powstały dwie (wchodzące w N ścianę wykopu) jamy: większa (co najmniej 1,5 m długości i 1,2 szerokości oraz do 0,45 m głębokości), starsza jama 195 (z wypełniskiem 132) oraz wkopana w jej wypełnisko mniejsza jama 117 z piaszczysto-żwirowym przepalonym wypełniskiem 110.

Faza IIB – pożar drewnianego pomostu w korytarzu bramnym

Opisana wcześniej konstrukcja drewnianego pomostu w przejściu bramnym w pewnym momencie uległa spaleniu, czego śladem jest warstwa przepalonej ziemi i spalenizny 137.

Ryc. 20. Zajączki, st. 1. Ogólny widok spalonych konstrukcji pomostu z dna przejścia bramnego z fazy wczesnośredniowiecznej IIA oraz północnej ściany nasypu wału wczesnośredniowiecznego z Fazy IIG – widok od południowego zachodu (fot. D. Wach)

Ryc. 21. Zajączki, st. 1. Doły posłupowe z fazy wczesnośredniowiecznej widoczne na tle poziomów zniszczeniowych fazy starożytnej – widok od zachodu (fot. D. Wach)

Faza IIC – niwelacja zniszczonego przejścia bramnego i usypanie pierwszego wału wczesnośredniowiecznego oraz konstrukcje pomostu i ścian w korytarzu bramnym, a w rejonie majdanu niwelacje terenu

Zapewne niezbyt długo po opisanym zniszczeniu pierwszego pomostu drewnianego, jego pozostałości zostały częściowo zniwelowane i jednocześnie usypano pierwszy niski wał wczesnośredniowieczny, którego pozostałościami w przestrzeni (powstałego już wówczas na pewno) przejścia bramnego (szczególnie widocznymi w ścianie S wykopu), była głównie piaszczysta, jasna, bladobrązowa warstwa 107. Warstwa ta tworzyła jednocześnie nasyp wału. Jego rozmiary nie były imponujące – zachowane nawarstwienia widoczne są na odcinku 2 m i mają wysokość do 0,6 m. Po północnej stronie przejścia bramnego pozostałościami wału były nawarstwienia 154, na które składał się kompleks niejednorodnie żółtawo-brązowych, miejscami przebarwionych na szaro, warstw piaszczysto-żwirowych i żwirowo-kamienistych. Warstwy te były (jako relikt wału) przesunięte na zachód w stosunku do pozostałości ze ściany południowej przejścia. Miały podobną wysokość (niespełna 60 cm) lecz zachowane były na odcinku 4 m. Przesunięcie to może wskazywać na nieco inny przebieg pierwszego nasypu wałowego w stosunku do późniejszego, o wiele większego, masywnego nasypu wału z następnej fazy. Tezę tę potwierdzałoby, na pierwszy rzut oka niezrozumiałe, rozmieszczenie kilku dużych dołów posłupowych, widocznych w NW części korytarza bramnego, których linia przebiega ukośnie przez ten obszar (ryc. 21). Wyjaśnieniem tego faktu jest (jak się wydaje uprawomocnione) założenie, że przejście przez ówczesny nasyp wału miało nieco inaczej skierowaną główną oś. W stosunku do późniejszego korytarza bramnego skręcałoby o około 30 stopni na S. Wymienione wyżej doły posłupowe to: obiekt 146 (z piaszczystym wypełniskiem 145 oraz obstawą słupa kamieniami 115); odległy od niego o około 0,2 m obiekt 150 (z piaszczystym wypełniskiem 149 oraz obstawą słupa kamieniami 151), oraz, odsunięty od tego ostatniego o około 0,6 m, obiekt 157 (z piaszczystym wypełniskiem 156 oraz obstawą słupa kamieniami 152).

Ryc. 22. Zajączki, st. 1. Zbliżenie widoku spalonych konstrukcji 124 pomostu z dna przejścia bramnego z fazy wczesnośredniowiecznej IIA i IIB oraz spalonych podłużnych elementów 123 z Fazy IIC – widok od zachodu (fot. D. Wach)

Odpowiednikiem ewentualnej ściany od strony północnej, tworzonej przez linię wspomnianych dołów posłupowych, byłby po stronie południowej ówczesnego przejścia bramnego dół posłupowy 148 (z piaszczystym wypełniskiem 147 oraz obstawą słupa kamieniami 116).

Na przedłużeniu tak ukształtowanego przejścia przez wał ułożono kolejną konstrukcję drewnianą (zapewne rodzaj pomostu), którego pozostałościami były ślady co najmniej trzech, długich (ponad 4,5 m) i szerokich (0,3 m) spalonych kłód lub belek 123, widocznych wzdłuż N ściany i w obrębie korytarza bramnego na poziomie warstwy 107 (ryc. 22). Pozostałości te zachowały się w formie pasów spalenizny oraz pasów częściowo rozłożonego drewna (brązowawe odcienie ziemi) biegnących (przy N ścianie wykopu) od dołu posłupowego 146 (czyli początku opisanej linii ewentualnej ściany prowadzącej na zewnątrz grodziska) aż do miejsca, gdzie kończył się wewnętrzny stok wału, czyli ówczesnej granicy obszaru majdanu. Późniejsze przebudowy nie pozwalają stwierdzić czy była to rzeczywista granica wspomnianej konstrukcji.

W obszarze majdanu, zapewne podczas prac związanych z wznoszeniem wału i budową pomostu w przejściu bramnym, w zagłębieniach i przekształceniach powierzchni pozostałych po obiektach z Fazy IIA, usypano warstwy niwelacyjne: 129 (jednorodna, jasna, piaszczysto-pylasta, ścisła, średnio twarda ziemia, o miąższości do 0,4 m) oraz leżącą wyżej warstwę jednorodnego piasku 98, z obszaru u podnóża wewnętrznego stoku wału grodziska i jego przejścia w majdan. Tworzyła ona równoległy do osi wału pas o szerokości od 2,3 do ponad 4 m i miąższości warstwy wynoszącej 0,2–0,25 m.

Podobną pasową (w planie stropu) strukturę miała warstwa 43, która zdaje się być kontynuacją wewnętrznego stoku pierwszego wału wczesnośredniowiecznego lub osuwiskami powstałymi podczas jego użytkowania. Warstwę tę tworzyła jasna ziemia piaszczysto-żwirowa, a w spągu żwirowa (o miąższości do 0,4 m), która na odcinku około 2,2 m wypełniała przestrzeń między wałem, a opisanym wcześniej pasem warstwy niwelacyjnej 89. Jej strop został zapewne

częściowo przynajmniej zniszczony przez obiekty i przekonstruowanie wału w następnych fazach. W pobliżu podnóża wału w strop tej warstwy wkopany został także (widoczny jedynie w ścianie N wykopu) nieduży (średnicy do 0,35 m i głębokości do 0,3 m) dół posłupowy 200 z jasnym, piaszczysto-żwirowym wypełniskiem 199.

Po drugiej stronie majdanu (E koniec wykopu 1), na obszarze jego przejścia w wewnętrzny stok wału grodziska, powstało zagłębienie przywałowe 59 z ciemnym piaszczystym wypełniskiem 103. Było ono obserwowalne na całej, 2-metrowej szerokości wykopu i miało miąższość co najmniej 0,5 m. Zagłębienie to wkopane było w wypełniska 48 jamy 103 pochodzącej z wczesnej epoki żelaza.

Faza IID

Faza ta obejmuje nawarstwienia i obiekty związane z użytkowaniem grodziska i rozbudowywaniem jego konstrukcji w obrębie przejścia przez wał i majdanu. W rejonie wschodniej części majdanu wykopana została duża (głęboka do 0,4 m i mająca średnicę co najmniej 2 m – wykraczała poza granice wykopu), dość płytka jama nieckowata 44, ze znajdującym się pośrodku i pogłębiającym ją do 0,7 m cylindrycznym obiektem 85 (o średnicy do 0,9 m). Wypełniona była ona ziemią pylastą z drobinami pyłu polepowego 41 i brązową ziemią 33, w obrębie których to wypełnisk i na ich stropie leżały liczne fragmenty ceramiki wczesnośredniowiecznej (skupiska 19, 34 i 65).

W rejonie zachodnim majdanu u podnóża stoku wewnętrznego wału zakumulowała się warstwa ciemnej, szarej piaszczystej ziemi 54. Miała ona postać nieregularnie podłużnego płata ziemi (wykraczała poza granice wykopu) o przebiegu w przybliżeniu równoległym do linii przebiegu wału. Jej szerokość dochodziła do 2 m, a miąższość – do 0,3 m. Tworzyła ona poziom użytkowy, w który wkopane były doły posłupowe 76, 78 i 61 oraz jama 58. Nieduży (średnicy do 0,35 m i 0,5 m głębokości), okrągły w planie stropu dół posłupowy 76 wypełniony był piaszczystym i piaszczysto-żwirowym wypełniskiem 75, z kilkoma kamieniami (do 0,1 m) w swej objętości. Około 0,75 m ku SW, jakby tworząc parę z dołem 76, znajdował się podobny dół posłupowy 78, z piaszczysto-żwirowo-kamienistym wypełniskiem 77. Był on okrągły w planie stropu, cylindryczny w przekroju, miał średnicę do 0,28 m i głębokość do 0,15 m. Większym obiektem był położony w pobliżu dołu 78 obiekt 61 (bardzo duży dół posłupowy lub mała jama) z piaszczystym wypełniskiem 60 i kamienistym 63 oraz piaszczystym spągowym 67. Ten nieckowaty obiekt miał 0,8 m średnicy i do 0,6 m głębokości. Stropy wspomnianych obiektów niszczyła wkopana w nie duża (1,25–2 m średnicy), płytka (do 0,3 m głębokości), nieckowata w przekroju, a owalna z planie jama 58 z piaszczystym, częściowo przepalonym, ziemno-popiołowym wypełniskiem 57.

Na S krawędzi warstwy 43, przy N ścianie wykopu, wykopany został duży, owalny (o średnicy do 0,54 m i głębokości do 0,3 m), cylindryczny dół posłupowy 46 (z czarnym przepalonym i wysyconym drobinami węgli drzewnych piaszczystym wypełniskiem 45). W stropie częściowo wypełniony był kamieniami (być może pochodzącymi z późniejszego płaszcza kamiennego 36).

Największym obiektem wykopanym w tej fazie użytkowania majdanu grodziska była duża (1,5–2 m średnicy i 1,3 m głębokości), owalna w planie, a cylindryczna w przekroju jama 40. Leżała ona tuż na zewnątrz krawędzi progu u wyjścia w przestrzeń bramy grodziska, na obszarze stoku wału przechodzącego w majdan. Wypełniona była przesyconą węglami drzewnymi ciemną warstwą piaszczystą 39, z kamieniami 62 w całej objętości i częściowo wyżej (te mogły pochodzić z późniejszego płaszcza kamiennego 36). Dno obiektu pokrywała warstwa ziemi częściowo popiołowej 69. Od NW i N na jamę tę częściowo zachodził jasny zsuw piaszczysty 29 z kolejnej fazy późniejszego nasypu wału wczesnośredniowiecznego. Jama 40 wkopana była w stok skarpy, utworzony od N przez piaszczysto-żwirową warstwę 43. Tuż przy NE krawędzi tej jamy wykopany został duży (o średnicy ok. 0,45 m i głębokości do 0,6 m), cylindryczny dół posłupowy 56 z bardzo ciemnym szaro-brązowym piaszczystym, przepalonym, częściowo popiołowym wypełniskiem 55, z licznymi kamieniami (do 0,15 m średnicy) w swej miąższości. Wypełnisko to w stropie było częściowo przykryte kamieniami 36 z późniejszego płaszcza kamiennego oraz warstwą zsuwową 29.

Faza IIE

Faza ta obejmuje zapewne okres użytkowania poprzednio zbudowanych konstrukcji i obiektów związanych z pierwszym wałem wczesnośredniowiecznym oraz pokrycie jego stoku (i być może części majdanu) płaszczem kamiennym.

W E części wykopu 1 zakumulowała się jasna, niejednorodna kolorystycznie, piaszczysta warstwa 28. Rozpościerała się ona pasem o szerokości 9 m. Miała miąższość do 0,25 m. W jej stropie znaleziono skupisko fragmentów ceramiki 66. W powierzchnię warstwy 28 wkopana została, przekraczająca N ścianę wykopu 1 i wypłycająca się w stronę S, podłużna jama 72. Miała ona co najmniej 1,4 m długości, 1,1 m szerokości i około 0,2 m głębokości**.** Jej wypełnisko stanowiła piaszczysta ziemia 71 z drobnymi kamieniami. Strop tego wypełniska był częściowo zniszczony przez wkopany weń nieduży (średnicy 0,32–0,4 m i głębokości do 0,3 m) dół posłupowy 74. Miał on owalny kształt w planie stropu i cylindryczny prze-

Ryc. 23. Zajączki, st. 1. Ogólny widok płaszcza kamiennego 36 i skupisk kamieni 42 z podnóża stoku wału wczesnośredniowiecznego i z majdanu (z Fazy IIE) oraz przejścia bramnego i pozostałości spalonych drewnianych konstrukcji wału wczesnośredniowiecznego z Fazy IIG – widok od wschodu (fot. D. Wach)

krój. Jego wypełniskiem była warstwa ciemnej, zbitej ziemi 73 z małymi kamieniami.

Na obszarze wykopu 2 odpowiednikiem warstwy 28 była brązowa, piaszczysta ziemia 31 z ciemniejszymi przebarwieniami (pochodzącymi z zalegającej wyżej warstwy spalenizny). Znajdowała się ona w N końcu wykopu 2, w dolnej partii wewnętrznego E stoku wału grodziska. W jej obrębie znajdowały się kamienie (odpowiadające kamieniom 36 z wykopu 1).

W S części wykopu 2, w obszarze wnętrza grodziska, leżała piaszczysta, niejednorodna ciemna ziemia 32. Od N graniczyła z późniejszym nawarstwieniem 27, który ją przykrywał i rozdzielał od późniejszej warstwy 4. Poniżej warstwy 32 leżała warstwa jasnej, miejscami przepalonej, niejednorodnej ziemi piaszczystej, o miąższości 5–7 cm.

W Fazie IIE w obrębie wykopu 1 ułożono na wewnętrznym stoku zachodniej części wału grodziska płaszcz kamienny 36. Tworzyły go kamienie o różnej wielkości (z reguły od 0,1 do 0,3 m), które zajmowały niemal całą szerokość wykopu na odcinku co najmniej 5 m, z tym, że w obszarze bliskim ścianie N było ich zdecydowanie mniej, co może się wiązać z późniejszymi przekonstruowaniami stoku wału w tym miejscu (por. opis warstwy stokowej 29). Kamienie te tworzyły na tym obszarze (dolna część stoku wału i przestrzeni przed korytarzem bramnym) zwarty depozyt (ryc. 23). Leżały bezpośrednio pod warstwą ziemi 35 (która wypełniała też przestrzeń między nimi), a od W częściowo bezpośrednio pod kamieniami późniejszego płaszcza kamiennego 3 i pod warstwą spalenizny 4. Wydaje się, że w strefie majdanu odpowiednikiem kamieni 36 były luźne skupiska kamieni 42 (częściowo przepalonych i o różnej wielkości – od 5 cm do 0,2 m, a wyjątkowo do 0,35 m). Od E leżały one na przedłużeniu zwartego depozytu kamieni 36 (z którymi są pewnie tożsame lub pełniły podobną funkcję), ale oddzielone były od nich wąskim (ok. 0,4–0,5 m) pasem ziemi ich pozbawionym. W SE partii wykopu 1 było ich zdecydowanie mniej. W obrębie majdanu leżały nad warstwą 28, a pod 35, a w swej części E pod warstwą 2. Skupiska te świadczyć mogą o ewentualnym istnieniu luźnego bruku w E części majdanu, bądź o istnieniu pozostałości rozsypanego, analogicznego do kamieni 36, płaszcza kamiennego z wewnętrznego stoku wału we wschodniej części grodziska.

Faza IIF

Faza ta obejmuje nawarstwienia będące pozostałościami destrukcji (pożaru) konstrukcji pierwszego, niskiego wału wczesnośredniowiecznego. Świadectwem zniszczeń pożarowych była widoczna w N ścianie wykopu 1 oraz w przestrzeni przejścia bramnego warstwa 23. Była to ciemna ziemia piaszczysta, wysycona na czarno drobinami węgli drzewnych, zajmująca całą szerokość przejścia bramnego na odcinku niemal 4,5 m. Pokrywała ona (osiągając miąższość do 0,4 m) zachodni, zewnętrzny stok wału i stopniowo cieniejąc i zanikając aż do linii ówczesnej krawędzi grodziska. Leżała ona pod spalonymi belkami 86, 88, 89 i warstwą częściowo popiołową 81, należącymi do późniejszej fazy przebudowy i nadbudowy większego wału.

Faza IIG

Faza ta to nawarstwienia stanowiące świadectwo przekonstruowania i podwyższenia nasypu wału wczesnośredniowiecznego oraz wzniesienie konstrukcji bramy i korytarza bramnego, przy zmianie orientacji jego osi. Po stronie północnej korytarza bramnego w zachodnim wale grodziska usypano kompleks warstw 7 stanowiących podstawę i jądro nowego wału. Był to zespół warstw piaszczystych i pylasto-piaszczystych (jaśniejszych i ciemniejszych, żółtawo-brązowych). W ścianie N wykopu widoczne były one na odcinku 6 m i osiągały miąższość do 1,8 m (ryc. 24). W zewnętrznym stoku tego wału wykopany został – jak się wydaje – rowek 135, który razem z dołami posłupowymi 120 i 122 stanowił fragment

konstrukcji ściany (obronnej lub tylko wzmacniającej konstrukcję wału – prawdopodobnie faszynowej) opartej na słupach. Ściana ta była usytuowana mniej więcej w połowie stoku zewnętrznego wału, przy czym znamienne jest, że znajdowała się bezpośrednio ponad kulminacją nawarstwień starszego wału wczesnośredniowiecznego, świadcząc o jego przebudowie w tej fazie.

Rowek 135 zachowany był jedynie częściowo i w słabo czytelnej formie. Widoczny na odcinku 1,3 m, biegł od N ściany nowopowstałego korytarza bramnego i miał zachowaną szerokość (dolnej części) wynoszącą 0,1–0,15 m, przy zachowanej głębokości wynoszącej 0,4–0,5 m. Jego wypełniskiem była ziemia 134 (ciemnoszaro-brązowa ze śladami podłużnych przepaleń – śladów faszyny? oraz drobinami węgla). W rowek ten wkopana była para dołów posłupowych: okrągły w planie stropu dół posłupowy 120 o średnicy do 0,45 m i głębokości około 0,5–0,6 m (z szaro-brązowym wypełniskiem 119), oraz odległy od niego o kilkanaście cm ku N dół posłupowy 122, o podobnej średnicy i głębokości oraz identycznym wypełniskiem 121.

W nasypie wału po S stronie korytarza bramnego podstawę nowego nasypu wału stanowiła warstwa 70 (szaro-brązowa piaszczysta ziemia) o miąższości do 0,5 m. Ponieważ fizycznie częściowo pokrywała spalone belki ściany korytarza bramnego, warstwa ta mogła być częściowo na nie zsunięta (co wyjaśnia pozorną niezgodność zależności stratygraficznej). Wyższą partię nasypu wału stanowiły jasne, jednorodne, piaszczyste warstwy 51, o zasadniczej miąższości do 0,4 m, których dolne partie (widoczne w ścianie S zagłębienie), mogły być wypełniskiem ewentualnego, bardzo dużego dołu posłupowego). W połowie wewnętrznego stoku nasypu wału na wspomnianej warstwie 51 spoczywał mały (cienki na około 0,1–0,15 m), lokalny płat (zsuw?) jasnej piaszczystej ziemi 49. Ponad nim, na odcinku ok. 2 m, zalegał depozyt rozdrobnionej (małe luźne grudki) polepy 22, barwy żółto-czerwonej, o miąższości wynoszącej około 0,2 m. Depozyt ten mógł być pozostałością warstwy gliny wylepiającej tę część ściany wału.

Narożnik SW nasypu wału uformowany został przez skomplikowany, kilkustopniowy układ bardzo dużych dołów posłupowych (198 i 92), przesuniętych w pionie i poziomie względem siebie i rozdzielanych poziomą cienką warstwą 101, która zapewne jest reliktem spalonego poziomu faszyn lub innych poziomych konstrukcji drewnianych. W dolnej części tego narożnika wału usypana była gruba na 0,9 m warstwa brązowo-żółtego piasku 93b. W tę warstwę wkopany został dół posłupowy 92 oraz tkwiły w niej, poprzecznie do osi korytarza bramnego, resztki spalonych belek 100. Dół posłupowy 92 wypełniony był czarno-szarą i czarną ziemią 91. W przekroju miał płaskie dno i pionowe ściany. Kwadratowy (o boku co najmniej 0,3 m) był także jego przekrój poziomy

Ryc. 24. Zajączki, st. 1. Ogólny widok wału starożytnego (Faza IB) z poziomem jego usypania oraz przekopem korytarza bramnego (widok od południowego wschodu) oraz przekrój przez wał wczesnośredniowieczny z Fazy IIG i ślady pożaru z Fazy IIH (fot. D. Wach)

(widoczny jako ślad po spalonym słupie). Od S i od W do dołu tego przylegały pozostałości jednej lub kilku pionowo (z pewnym przesunięciem w poziomie) na sobie leżących, krótkich (do 0,3 m długości i około 0,1 m szerokości) fragmentów spalonych belek lub bierwion 100, które mogły być niższym elementami wyżej leżącego ciemnego pasa ziemi i belki 52.

Na stropie opisanej wyżej warstwy 93b znajdowała się (zalegająca poziomo w ścianie S, a nachylona w ścianie W wykopu 1) ciemna szaro-brązowa warstwa spalonej bądź rozłożonej roślinności, faszyn (?) 101**,** o miąższości do 0,15 m. Być może jest to relikt jakiegoś rodzaju wzmocnienia nasypu narożnika wału. Powyżej tej warstwy spoczywał kompleks brązowo-żółtych piaszczystych, jasnych warstw 93 (prawdopodobnie stanowiących wypełnisko dużego wkopu pod potężny dół posłupowy 198). Warstwa ta miała do 0,5 m miąższości. W kompleks warstw 93 wkopany był bardzo duży słup 198 (z ciemnoszarym, piaszczystym, wysyconym drobinami węgli drzewnych wypełniskiem 52). W przekroju pionowym obiekt ten miał kształt cylindryczno-workowaty, co najmniej 0,5 m średnicy, 0,45 m głębokości, pionowe ściany i nieregularnie płaskie dno. Leżał poniżej ciemnej ziemi i reliktów spalonych belek 16.

Pozostałością drewnianych konstrukcji umacniających stropowe partie narożnika SW (wału i bramy) była warstwa spalenizny i ślady czterech spalonych belek 16. Zalegały one w jednej, horyzontalnej płaszczyźnie, odległe od siebie o 0,2–0,25 m. Miały średnicę w przybliżeniu 0,15 m. Belki te leżały poprzecznie do osi dłuższej korytarza bramnego, na stropie wypełnisk dołu narożnego 198 i – podobnie jak inne warstwy

tego narożnika – były nachylone ku wnętrzu korytarza bramy. Widoczna na poziomie spalonych belek i utożsamiona z nimi stratygraficznie szara warstwa stokowa, widoczna po obu stronach bramy, wyznaczała zapewne poziom tworzenia tej konstrukcji.

Strop wału tworzyła jasna, piaszczysta warstwa 15, o miąższości od kilkunastu cm do 0,3–0,4 m. W swej objętości zawierała ona różnej wielkości kamienie 11. Rozpoznano ją po obu stronach korytarza bramnego, przy czym po jego N stronie w ścianie N wykopu widać, że pokrywała zarówno zewnętrzny jak i wewnętrzny stok wału.

W rejonie wewnętrznego stoku wału (po N stronie korytarza bramnego), w jego środkowej i dolnej partii (na odcinku niemal 5 m) zalegała gruba na 0,3–0,4 m warstwa piaszczysto-żwirowej ziemi 29 z pojedynczymi (także dużymi) kamieniami. Prawdopodobnie powstała ona jako zsuw części stoku wału lub celowe nadsypanie stoku wału w tym miejscu. Na warstwę 29 od strony majdanu i częściowo na stoku wewnętrznym wału nachodziła warstwa bardzo ciemnej szaro-brązowej i miejscami brązowej, piaszczystej ziemi 35 (sprawiającej wrażenie, że jest pozostałością rozłożonego drewna), która bardziej ku S i E leżała bezpośrednio nad i między kamieniami starszego płaszcza kamiennego 36. Miała ona do 0,2 m miąższości i widoczna była w pasie około 4 m, w całej szerokości wykopu 1. Znaleziono w niej liczne fragmenty ceramiki wczesnośredniowiecznej, co sugeruje, iż mogła zakumulować się jako poziom użytkowy.

Kolejną przebudową, reperacją lub ulepszeniem konstrukcji stoku wewnętrznego wału w zachodniej części grodziska było ułożenie (mniej więcej w tym samym miejscu, co wcześniejszy płaszcz kamienny 36) warstwy kolejnego płaszcza kamiennego (3). Stanowił on zwarty depozyt ściśle lecz nieregularnie ułożonych kamieni różnej wielkości (średnicy 5–30 cm), częściowo (wskutek późniejszego pożaru) przepalonych. Rozciągał się on w dół stoku od krawędzi wyjścia korytarza bramnego aż po majdan, na odcinku około 5 m. Przylegał i sięgał do drewnianych konstrukcji (wcięcie 17 pod konstrukcje 6), ulokowanych na tymże stoku (na N od korytarza bramnego). Między kamieniami 3 i na nich tkwiły relikty spalonych później drewnianych elementów (konstrukcji pomostów dookolnych ?) – belek 9 i 30.

Zapewne w ramach tej samej akcji ostatecznego formowania stoku wewnętrznego wspomnianego wału w jego górnej partii wykonano wcięcie widoczne w N ścianie wykopu 1 na odcinku 2,4 m. W planie stropu obiekt miał częściowo trójkątny (wychodził poza N ścianę wykopu) kształt dna; miał poziome dno i pionową ścianę W. Wkopany został w warstwę wału 7 i 15, a wypełniony spalenizną i fragmentami spalonego drewna 6. Wypełnisko to stanowi – jak się wydaje – pozostałość po drewnianych konstrukcjach ewentualnego pomostu dookolnego (co sugeruje płaskie dno wkopu 17) lub skrzyni. Tworzyło mały obszar przepalonej na czarno, jednolitej ziemi pylasto-piaszczystej z fragmentami spalonego drewna. Miało miąższość do 0,45 m.

Nieco niżej, w środkowej części wewnętrznego stoku wału, zachowały się liczne fragmenty spalonych (w późniejszej fazie) belek 9 i 30. Część z nich leżała równolegle do siebie i (najczęściej) w przybliżeniu równolegle do osi wału. Belki 9 mogły pochodzić z pionowej (przewróconej ku E) ściany drewnianej, usytuowanej w połowie stoku. Belki 30, pojedynczo i w grupach leżały w całej szerokości wykopu, także na przedłużeniu korytarza bramnego. Między reliktami spalonych konstrukcji drewnianych 6 a reliktami spalonej ściany 9 znajdował się depozyt przepalonej ziemi szaro-brązowej 14 o miąższości 0,1 m. W tym samym obszarze, ponad tym depozytem, leżała piaszczysta lokalna warstwa 18 – płat szaro-brązowej i brązowo-żółtej piaszczystej ziemi o miąższości do 0,35 m – wypełnisko między dwiema strukturami drewnianych konstrukcji na stoku wału: pomostu 6 i pionowej ściany 9. Zapewne jego częścią był też lokalny depozyt sypkiej, piaszczystej ziemi 8.

Jednocześnie – jak się wydaje – z sypaniem nowego, większego wału w zachodniej części grodziska, wznoszeniem różnorakich konstrukcji na jego stokach wewnętrznych (pomosty i ściany drewniane) oraz licowaniem tych stoków płaszczami kamiennymi, w strefie przejścia przez wał konstruowano korytarz bramny z być może flankującymi go pionowymi ścianami i opisanymi wcześniej konstrukcjami narożników bramy i wału zarazem. Pierwszą warstwą w tej fazie w korytarzu bramnym było usypanie na podłożu warstwy pożarowiskowej 23, niwelacyjnej warstwy 81 o miąższości około 0,2 m, która widoczna była w pasie korytarza na odcinku 3,4 m. Ich przedłużeniem – w obszarze krawędzi zewnętrznej korytarza bramnego i jego przejścia w zewnętrzny stok grodziska – był kompleks piaszczystych warstw 114 – cienkich warstw niwelacyjnych lub zsuwów z obu stron wału w czasie użytkowania przejścia bramnego. Łącznie miały one miąższość do 0,45 m.

W tym samym obszarze przejścia korytarza bramy w krawędź stoku grodziska, powyżej warstw 114, znajdował się także cienki (do 0,1 m miąższości), piaszczysty płat przepalonej ziemi jasnoszarej pylasto-gliniastej 113.

Ostatnią warstwą niwelacyjną w korytarzu bramnym była lokalna warstwa piaszczysta 90, z przestrzeni między dwoma głównymi spalonymi belkami ściany północnej i południowej bramy. Warstwa ta (miąższości do 0,2 m) leżała w płytkim zagłębieniu między nimi i tworzyła nieregularny pas o szerokości do 1,5 m. Częściowo przykrywała warstwę 81, a od W zachodziła na nią warstwa 106. Wspomniane spalone belki północnej ściany

bramy to: długi fragment belki 79 (o zachowanej długości 1,8 m i szerokości około 0,12 m) oraz krótsze, mniej więcej równoległe do belki 79 fragmenty spalonych belek 84 i 87. Wszystkie one były – jak się wydaje – zachowanymi po pożarze częściami poziomo leżących na sobie elementów konstrukcyjnych tworzących ścianę bramy. Podobnie, po stronie południowej korytarza bramnego ścianę bramy tworzyły belki 80, 88 i 89.

Reliktami konstrukcji podłogi drewnianej lub (co bardziej prawdopodobne) ściany z pionowych elementów w S ścianie korytarza bramy, było kilka nachodzących częściowo na siebie, spalonych belek (nr 83 i 86) – poprzecznych do osi przejścia bramnego grodziska i do równoległych do tej osi belek 80 i 88. Miały one długość co najmniej 0,4 m, szerokość około 0,1–0,12 m i grubość kilku cm. Prawdopodobnie stanowiły fragment drewnianej ściany i przewróciły się do wnętrza bramy po jej spaleniu.

Z zachowanych nawarstwień i spalonych elementów drewnianych konstrukcji ścian wynika, że korytarz bramny wczesnośredniowiecznego grodu w Zajączkach, st. 1 miał 2,2 m szerokości i 8 m długości. Narożniki wału i bramy wzmocnione były potężnymi słupami i poziomami i ścianami faszynowymi.

Ostatnim poziomem użytkowym w przestrzeni bramy grodziska była lokalna warstwa 106 – odpowiada ona zapewne czasowo funkcjonowaniu głównych belek 79 i 80 ze ścian bramy grodu. Częściowo popiołowa, ciemnoszara, piaszczysta ziemia – tworzyła płat (miąższości do kilkunastu cm) o wydłużonym kształcie, wykraczający poza zachodnią granicę wykopu.

Faza IIH – nawarstwienia związane z pożarem i zniszczeniem konstrukcji grodu

Śladem gwałtownego pożaru – spalenia drewnianej konstrukcji bramy – była lokalna warstwa przepalonej na różne kolory ziemi piaszczystej 68, o miąższości do kilkunastu cm, zachowana w środkowej części korytarza bramnego; zalegała ona nad i między spalonymi belkami 83, 86, 88 i 89 (ryc. 25).

W obszarze przejścia korytarza bramnego w krawędź stoku zewnętrznego wału leżał jasny, lokalny depozyt ciemnożółtawo-brązowej, piaszczystej ziemi 105 (o miąższości do 0,2 m) – prawdopodobnie podestrukcyjna warstwa zsuwowa ze ściany wału. Na jej stropie i częściowo w jej objętości znajdowały się kamienie 53 (o średnicy 0,2–0,35 m), tworzące nieregularne skupiska. Nieregularnie rozrzucone w korytarzu bramnym grodziska, pochodziły prawdopodobnie (przed zsunięciem) z ewentualnych stropowych umocnień skraju wału i bramy w ich narożnikowych partiach.

Bardzo czytelną warstwą podestrukcyjną w obrębie całego korytarza bramnego była wyrazista, gruba na co najmniej 0,2 m, warstwa ciemnoszarej, przepalonej ziemi 21 – pozostałość po spalonych i rozłożonych elementach drewnianych jego konstrukcji. Płynnie przechodziła ona w spaleniskową warstwę 4 z wewnętrznego stoku wału. Na stropie warstwy 21, w jego płytkim, lokalnym zagłębieniu 26, leżały zsuwowe depozyty ziemi piaszczystej 24 i 25. Na stropie warstwy 21 zalegały w nieregularnym skupisku kamienie 20, które zapewne zsunęły się ze skraju wału w narożnikowych partiach bramy (z warstwy 15 – zawierającej takie kamienie). Skupisko to tworzył rząd średniej wielkości kamieni o średnicy do 0,15 m, układający się w pas o długości ok. 1,60 m i szerokości do 0,70 m. Kamienie 20 oraz leżącą niżej warstwę 21 przykrywała w obszarze dawnego korytarza bramnego warstwa 12 – zakumulowany konglomerat spalonych i rozłożonych elementów konstrukcji bramy grodziska i kolejnych zsuwów ziemi z wału. Tworzyła ona pas ciemnej ziemi, który od E łączył się z ciemną, przepaloną ziemią 4 z wewnętrznego stoku wału.

W obszarze zboczy wewnętrznych grodziska śladem pożaru i destrukcji drewnianych umocnień i konstrukcji była gruba (miąższości około 0,2 m), bardzo wyrazista, przepalona i wysycona drobinami węgli drzewnych oraz ich fragmentami warstwa spalenizny 4 i 10, tworząca obszar ciemnej ziemi leżący nad i między kamieniami 3 na wewnętrznym E stoku wału grodziska na wykopie 1 i częściowo na N skraju obszaru wykopu 2. Śladami pożaru w tej części grodziska były oczywiście także opisane wcześniej spalone elementy drewniane stanowiące jednak stratygraficznie elementy konstrukcji z Fazy IIG (ryc. 26).

Faza III – nawarstwienia związane z ewentualną aktywnością ludzką po zniszczeniu grodu

W obrębie dolnej partii stoku wewnętrznego wału z części zachodniej grodziska leżał lokalny depozyt sypkiej, próchnicznej ziemi 5, wypełniającej nieregularne zagłębienie w spaleniznach 4, a pod podhumusową warstwą 2. Warstwa podhumusowa pokrywająca całą przestrzeń grodziska zawierała świadectwa epizodycznego przebywania i ewentualnej aktywności ludzkiej na grodzisku. Warstwa podhumusowa 27 tworzyła pas niejednorodnej, luźnej, szarej ziemi pylastej, układający się poprzecznie w stosunku do osi dłuższej wykopu 2. Przykrywała (od N) skraj ciemnej warstwy 4 (pożarowiskowej) z wykopu 1.

Ostatnim wydarzeniem na terenie grodziska było utworzenie się warstwy współczesnego humusu 1, który pokrywa całą powierzchnię grodziska.

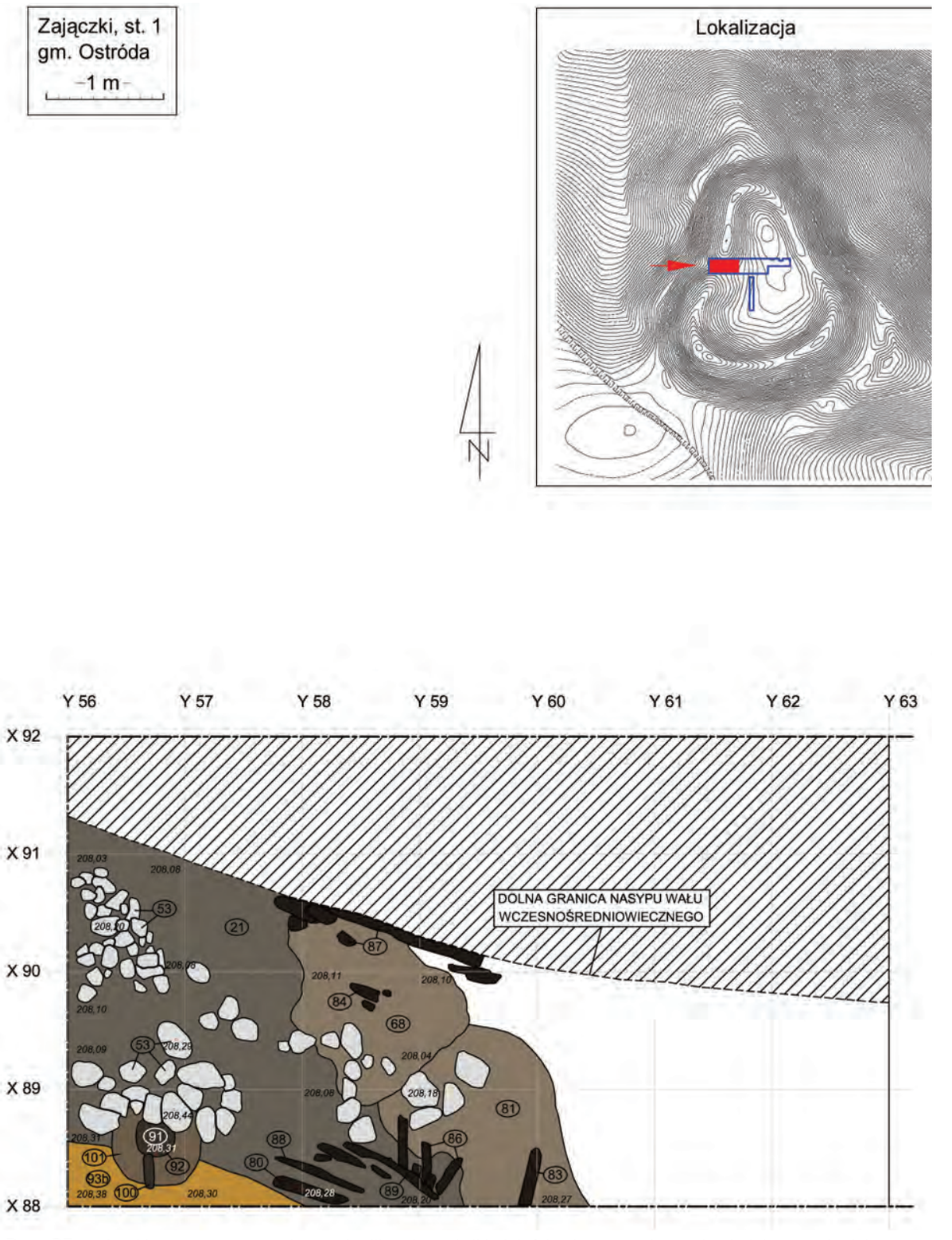

Ryc. 25. Zajączki, st. 1. Warstwy pożarowe i relikty destrukcji belek ścian korytarza bramy i południowo-zachodniego narożnika wału wczesnośredniowiecznego (oprac. D. Wach i R. Solecki)

Zajączki, st. 1
gm. Ostróda
1 m

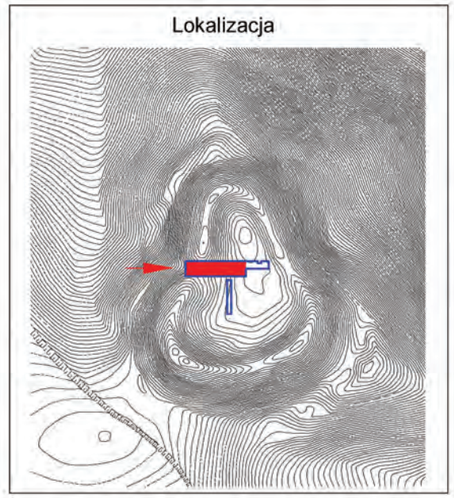

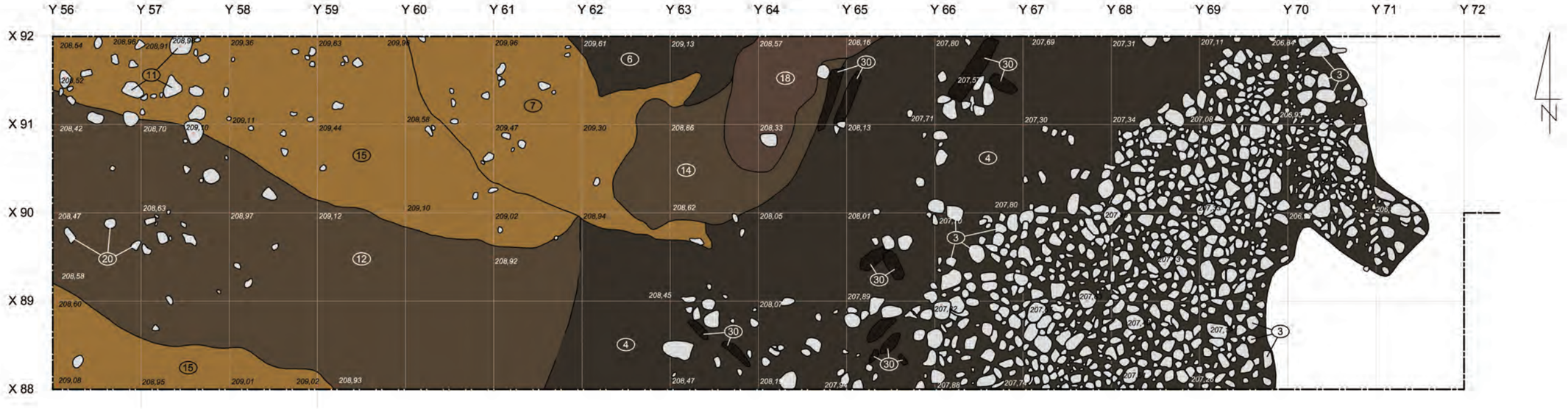

Ryc. 26. Zajączki, st.1. Warstwy podestrukcyjne w korytarzu bramnym oraz na stoku wału - spalone konstrukcje drewniane (z Fazy IIG) przykrywające częściowo płaszcz kamienny 3 (oprac. D. Wach i R. Solecki)

Tabela 1. Katalog warstw z opisem poszczególnych jednostek stratygraficznych grodziska w Zajączkach, st. 1 (oprac. D. Wach)

Numer jednostki	Numer obiektu	Numer wykopu	Współrzędne siatki pomiarowej stanowiska	Opis jednostki stratygraficznej	Barwa w skali Munsella	Pozycja stratygraficzna	
						Znajduje się pod	Znajduje się nad
1		1	Całe stanowisko	Faza III. Humus – leśny, bardzo próchniczny	10YR4/2		2, 12, 27
2		1	X=88–92; Y=69–72	Faza III. Warstwa podhumusowa; miąższość do 0,2 m; na całej powierzchni wału i części majdanu; sypki piasek	10YR 5/2	1	4, 3, 12, 15
3		1	X=88–92; Y=63–72	Faza IIG. Warstwa kamieni oblicowująca i wzmacniająca powierzchnię wału od strony majdanu; pokład ściśle lecz nieregularnie ułożonych kamieni różnej wielkości (śr. 5–30 cm), częściowo przepalonych, leżąca na wewnętrznym stoku zachodniego wału grodziska; rozciągała się od linii przejścia korytarza bramnego w majdan; przylegała i sięgała do drewnianych konstrukcji (wcięcie 17 pod konstrukcje 6), ulokowanych na tymże stoku; w niej ulokowane były relikty spalonych drewnianych elementów (konstrukcji pomostów dookolnych?) – spalone belki 9 i 30		4	35
4		1, 2	X=89,20–91,40; Y=56–67,20	Faza IIH. Warstwa spalenizny z destrukcji drewnianych konstrukcji z obszaru wału młodszej (wczesnośredniowiecznej) fazy funkcjonowania grodu; obszar ciemnej ziemi leżący nad i między kamieniami 3, na wewnętrznym stoku zachodniego wału grodziska i częściowo na N skraju obszaru Wykopu 2; miąższość co najmniej 0,2 m; przepalona ziemia wysycona drobinami węgli drzewnych i pyłem węglowym; w jej objętości i pod nią leżały fragmenty spalonych belek 30	10Y 2/1	1, 5, 27	3, 30, 31
5		1	X=90,9 –92; Y=66,2– 69,5	Faza III. Warstwa sypkiej, próchnicznej ziemi wypełniająca nieregularne zagłębienie w spaleniznach 4; miąższość 0,25–0,45 m; sypka ziemia w dolnej partii wewnętrznego stoku wału	10YR 3/2	1,2	4, 8, 3
6		1	X=91,32–92; Y=61,84–64,2	Faza IIG. Spalone belki i spalenizna – pozostałości drewnianych konstrukcji (pomostu dookolnego lub skrzyni) z obiektu 17, w górnej części stoku wewnętrznego wału grodziska; tworzyły mały obszar przepalonej, jednolitej ziemi pylasto-piaszczystej z fragmentami spalonego drewna; miąższość do 0,45 m	10YR 2/1	2, 1	7
7		1	X=89,64–92; Y=56–62,1	Faza IIG. Kompleks warstw piaszczystych i pylasto-piaszczystych, tworzących główny nasyp wału na N od korytarza bramnego; widoczne na odcinku 6 m; miąższość do 1,8 m	10YR 5/6	15, 17, 6	21, 154, 143
8		1	X=90,55–92; Y=65,6–67,2	Faza IIG. Prawdopodobnie część piaszczystej warstwy 18 ze środkowej partii wewnętrznego stoku zachodniego wału grodziska; jasny obszar sypkiej, piaszczystej ziemi przy N ścianie wykopu; od E przecięty zagłębieniem z młodszą warstwą 5	10YR 6/2	18, 5, 2	30, 9
9		1	X=91,12–91,32; Y=65,10–65,30	Faza IIG. Liczne fragmenty spalonych belek z obszaru wewnętrznego stoku zachodniego wału grodziska, zaczynające się od krawędzi wyjścia korytarza bramnego w przestrzeń stoku wału; część leżała równolegle do siebie i (najczęściej) w przybliżeniu równolegle do osi wału; część z nich mogła pochodzić z pionowej (przewróconej ku E) ściany, usytuowanej w połowie stoku (belki 9 widoczne w ścianie N Wykopu 1); miały zazwyczaj orientację S–N i S–SW / N–NE	10YR 2/1	18, 10, 4	29
10		1	X=90,60–91,72; Y=64,78–66,02	Faza IIH. Lokalny, wypukły depozyt bardzo ciemnej szarej, przepalonej częściowo ziemi – pozostałość po spalonych i przemieszanych elementach konstrukcji drewnianej, ewentualnej, pionowej ściany 9 (spalone belki 9 i 30/3, 4, 5), ze środkowej części stoku wewnętrznego wału W grodziska	5YR 3/1	5, 2	9
11		1	X=90,75–92; Y=56,7–57,85	Faza IIG. Duże kamienie widoczne w górnej części stoku zewnętrznego wału grodziska (od W); w przybliżeniu układały się na osi N–S na zewnątrz od prawdopodobnego wzmocnienia słupowo-faszynowego zbocza wału (patrz opisy jednostek 134 i 135)		15, 1	2, 7
12		1	X=88–91,4; Y=56–62	Faza IIH. Warstwa powstała w wyniku zniszczenia spalonych i rozłożonych elementów konstrukcji bramy grodziska i ziemi zsuniętej z wału w obszarze korytarza bramnego; pas ziemi piaszczystej szer. 1,75 m, od E łączył się z ciemną, przepaloną ziemią 4 z wewnętrznego stoku wału	10YR 3/2	2	7, 15
13		1	X=89,86–90,98; Y=62,5–63,5	Faza IIG. Skupisko kamieni na wewnętrznym stoku zachodniego wału grodziska; znajdowało się nieco na S od ciemnego płatu przepalonej ziemi 14, którym było częściowo przykryte		14	29
14		1	X=89,86–91,28; Y=62,57–65,1	Faza IIG. Płat przepalonej ziemi z wewnętrznego stoku wału w zachodniej części grodziska, pomiędzy reliktami „pomostu" 6 a spaloną ścianą belek 9	10YR 3/2	18, 6	13, 29
15		1	X=88–92; Y=56–60,75	Faza IIG. Górne warstwy nasypu wału wczesnośredniowiecznego; warstwy piaszczyste (z różnej wielkości kamieniami 11 w swej objętości); przykrywały częściowo niższe warstwy jądra wału (warstwy 7)	10YR 5/6	1, 2, 12	11, 7, 15

Tabela 1. Ciąg dalszy

Numer jednostki	Numer obiektu	Numer wykopu	Współrzędne siatki pomiarowej stanowiska	Opis jednostki stratygraficznej	Barwa w skali Munsella	Pozycja stratygraficzna	
						Znajduje się pod	Znajduje się nad
16	17	1	X=88–88,8; Y=56–57,1	Faza IIG. Spalenizna i belki poprzeczne do osi dłuższej korytarza bramnego – konstrukcja z górnej części narożnika SW bramy – ślady czterech spalonych belek widocznych w S ścianie wykopu; widoczne były w jednej, horyzontalnej płaszczyźnie, odległe od siebie o 0,2–0,25 m; miały średnicę ok. 0,15 m; widoczna na ich poziomie stokowa warstwa (po obu stronach bramy) wyznacza zapewne poziom tworzenia tej konstrukcji	10YR 5/6	15, 2	52, 51, 93
17		1	X=91,32–92; Y=61,84–64,2	Faza IIG. Prawdopodobnie wkop pod konstrukcje drewnianego pomostu dookolnego w zachodniej partii wału (po N stronie korytarza bramnego); tworzyło go wcięcie w górnej części stoku wewnętrznego wału; w planie stropu trójkątny (wychodził poza N ścianę wykopu); dno poziome, ściana W pionowa; wkopany w warstwę wału 7 i 15; wypełniony spalenizną i fragmentami spalonego drewna 6		6	15, 7
18		1	X=91,2–92; Y=63,15–65,65	Faza IIG. Piaszczysta warstwa ze środkowej partii stoku wewnętrznego wału w zachodniej części grodziska; depozyt jasnej, piaszczystej ziemi o miąższości do 0,35 m – zapewne perwotnie wypełnisko przestrzeni między dwoma strukturami drewnianych konstrukcji stoku wału: „pomostu" 6 i pionowej ściany 9	10YR 5/2; 10YR 6/8; 10YR 3/2	6, 2	14, 8, 30
19	44	1	X=90,6–91,3; Y=73,3–74,1	Faza IID. Skupisko dużych fragmentów ceramiki; górne wypełnisko jamy 44	7,5YR 5/6	28, 3	41
20		1	X=89,40–90,04; Y=56–57,9	Faza IIH. Nieregularne skupisko kamieni w korytarzu bramnym grodziska; pochodziły zapewne ze stropowej warstwy 15 (zawierającej takie kamienie); zsunęły się zapewne ze skraju wału w narożnikowych partiach bramy; tworzyły rząd średniej wielkości kamieni (o śr. do 0,15 m), układający się w pas o dł. ok. 1,9 m i szer. do 0,70 m		12	21
21		1	X=88–92; Y=56–63	Faza IIH. Podestrukcyjna warstwa przepalonej ziemi z obszaru korytarza bramnego grodziska; pozostałość po spalonych i rozłożonych elementach drewnianych jego konstrukcji; płynnie przechodziła w spaleniskową warstwę 4 z wewnętrznego stoku wału	10YR 4/1	12, 20	53, 15, 50
22		1	X=88–89; Y=56,9–59,9	Faza IIG. Pas rozdrobnionej (małe, luźne grudki w objętości szarej, jednorodnej ziemi) polepy; widoczny na stoku wału, w S ścianie przejścia bramnego, na odcinku ok 2 m; prawdopodobnie pozostałość wylepienia ściany korytarza bramy	5YR 5/6; 7,5YR 5/1	2	49, 50, 51
23		1	X=88–90; Y=56–63,7	Faza IID. Warstwa z wnętrza korytarza bramnego grodziska; piaszczysta ziemia wysycona drobinami węgli drzewnych; leżała pod popiołami i spalonymi belkami ścian bramy	10YR 2/1	86, 88, 89, 81, 21, 90	107
24	26	1	X=89,80; Y=59,20	Faza IIH. Zsuwy podestrukcyjne w korytarzu bramnym; płat leżący w płytkim zagłębieniu terenu; kolisty kształt o śr. 0,15–0,18 m	10YR 3/3	12	25, 26
25	26	1	X=99,80; Y=53,20	Faza IIH. Zsuwy podestrukcyjne na stropie warstwy 21 w korytarzu bramnym; nieregularne koło o śr. ok. 0,5 m	10YR 3/2	12	26
26		1	X=89,84–90,06; Y=58,06–58,30	Faza IIH. Płytkie zagłębienie w warstwie 21 widoczne w obszarze przejścia bramnego	10YR 3/3	24, 25	21
27		2	X=81–84,20; Y=67–68	Faza III. Pas ziemi pylastej, luźnej, układający się poprzecznie w stosunku do osi dłuższej wykopu w jego połowie; przykrywał od N skraj warstwy 4 (pożarowiskowej), a od S podobną warstwę 32; w swej objętości zawierał pojedyncze kamienie	10YR 4/1; 10YR 3/1	1	1, 4, 31, 32
28		1	X=88–92; Y=67,6–75	Faza IIE. Piaszczysta ziemia z E części wykopu (obszar końca stoku i wnętrze grodziska); częściowo przepalona i zmieszana z późniejszymi nawarstwieniami; rozpościerała się w pasie o szer. 9 m; miała miąższość do 0,25 m	10YR 6/3; 10YR 4/1	36, 42, 3, 4, 2	33, 19, 34,
29		1	X=89,25–92; Y=62–67	Faza IIG. Gruba warstwa piaszczysto-żwirowej ziemi z pojedynczymi (także dużymi) kamieniami, tworząca fragment stoku wewnętrznego wału grodziska; prawdopodobny zsuw części stoku wału lub celowe nadsypanie stoku wału w tym miejscu; leżała pod spalonymi belkami 30 oraz warstwą spalenizny 4; przykrywała obiekty z Fazy IID; częściowo na stoku tej warstwy widoczne była warstwa 35 (rozłożone drewno faszyn? i ślady późniejszych konstrukcji wału (wkop 17 pod drewniane konstrukcje 6)	10YR 6/4	30, 4, 14	54
30		1	X=88–92; Y=63,2–66,95	Faza IIG. Liczne fragmenty spalonych belek z obszaru stoku wewnętrznego wału, leżące w obszarze krawędzi wyjścia korytarza bramnego w przestrzeń stoku wału i na tym stoku; część leżała równolegle do siebie i (najczęściej) w przybliżeniu równolegle do osi wału; część z nich mogła pochodzić z pionowej (przewróconej ku E) ściany usytuowanej w połowie stoku (belki 9 widoczne w ścianie N wykopu 1)	10YR 2/1	4	3

Tabela 1. Ciąg dalszy

Numer jednostki	Numer obiektu	Numer wykopu	Współrzędne siatki pomiarowej stanowiska	Opis jednostki stratygraficznej	Barwa w skali Munsella	Pozycja stratygraficzna	
						Znajduje się pod	Znajduje się nad
31		2	X=84–87; Y=67–68	Faza IIE. Piaszczysta ziemia z ciemniejszymi przebarwieniami (z wyższej w-wy spalenizny); znajdowała się w N końcu wykopu, w dolnej partii wewnętrznego stoku wału; w jej obrębie znajdowały się kamienie (odpowiadające kamieniom 36 z wykopu 1); odpowiada prawdopodobnie warstwie 28 z wykopu 1	10YR 4/3; 2,5Y 4/1	36, 37, 4, 27	38 calec
32		2	X=78–80,3; Y=67–68	Faza IIE. Piaszczysta, niejednorodna ziemia; widoczna w S części wykopu, w obszarze wnętrza grodziska; od N graniczyła z pasem ziemi 27, który ją przykrywał i rozdzielał od późniejszej warstwy 4	10YR 4/1; 10YR 3/1; 10YR 7/3	27, 1	37
33		1	X=90–92; Y=70–73,85	Faza IID. Górne wypełnisko jamy 44 z E końca wykopu (obszar E partii wnętrza grodziska); próchniczna, sypka ziemia; leżała częściowo pod przemieszaną jasną ziemią 28, a częściowo pod spągiem warstwy 4 i kamieniami 42; zawierała liczne fragmenty ceramiki wczesnośredniowiecznej (skupiska 19, 34 i 65)	10YR 3/4	28, 42, 4	19, 34, 65, 41, 44
34		1	X=90–92; Y=74,94	Faza IID. Skupisko fragmentów ceramiki ze stropu wypełniska jamy 44, z E końca wykopu; leżało w objętości warstwy 33; odpowiada mu także skupisko ceramiki 65 i 19		33, 42	41
35		1	X=88–91,8; Y=65,56–72	Faza IIG. Pozostałość akumulacji materii organicznej nad płaszczem kamiennym 36 i zsuwem piaszczystym 29 z wału lub relikt rozłożonych konstrukcji drewnianych (faszyn?) z ewentualnego płaszcza drewniano-ziemnego pokrywającego wcześniejszy płaszcz kamienny 36 i kamienie 42; znaleziono w tej warstwie liczne fragmenty ceramiki wczesnośredniowiecznej; warstwa piaszczystej ziemi; miała do 0,2 m miąższości i widoczna była w pasie ok. 4 m, w całej szerokości wykopu	10YR 3/2	3	36
36		1	X=88–91,9; Y=65,7–69,9	Faza IIE. Niższa warstwa płaszcza kamiennego leżąca na wewnętrznym stoku wału grodziska w jego W części; leżała pod warstwą ziemi 35 (która wypełniała też przestrzeń między kamieniami), a od W także bezpośrednio pod kamieniami późniejszego płaszcza kamiennego 3		35, 3, 4, 29	28
37		2	X=78,5–84,2; Y=67–68	Faza IIE. Warstwa przepalonej, niejednorodnej ziemi piaszczystej leżącej w obrębie obszaru majdanu grodziska; miała od 5 do 7 cm miąższości	10YR 5/8; 10YR 5/1; 10YR 4/2	32, 27	31, 38 calec
38 calec		2	X=78–87; Y=67–68	Calec; jasna, jednorodna, piaszczysta ziemia; widoczny w obrębie majdanu grodziska na całej długości Wykopu 2	10YR 6/4	31, 27	99 calec
39		1	X=89–90,45; Y=63,8–65,4	Faza IID. Wypełnisko górne jamy 40; przepalona ziemia piaszczysta, w stropie wysycona drobinami węgli drzewnych; częściowo w jej W partii i w centrum w objętości warstwy leżały kamienie 62	10YR 2/1; 10YR 4/1	62, 29	69, 40
40		1	X=88,7–90,6; Y=63,4–64,9	Faza IID. Duża jama leżąca tuż na zewnątrz krawędzi „progu" wyjścia w przestrzeń majdanu grodziska; na obszarze podnóża stoku wału; owalny (1,5–2 m śr. i 1,3 m gł.) obiekt o pionowych ścianach i płaskim dnie Wypełniony warstwą piaszczystą 39 z kamieniami 62 w całej objętości i częściowo wyżej (te mogły pochodzić z późniejszego plaszcza kamiennego 36). Od NW i N na jamę częściowo zachodził jasny zsuw piaszczysty 29 z wału wczesnośredniowiecznego. Wkopana była w stok skarpy utworzonej od N przez piaszczysto-żwirową warstwę 43.		69, 39, 62, 29	43
41	44, 85	1	X=90–92; Y=73,8–76	Faza IID. Wypełnisko zagłębienia 44 i 85 w E części wykopu 1; piaszczysto-pylasta ziemia z dodatkiem drobin pyłu polepowego; w warstwie tej oraz w przykrywającej ją warstwie 33 znajdowały się liczne fragmenty ceramiki (skupiska 19, 34 i 65)	10YR 4/3	34, 65, 19, 33	44, 85
42		1	X=89,85–92; Y=71,2–76	Faza IIE. Luźne skupiska częściowo przepalonych kamieni (wielkości od 5 cm do 0,35 m), znajdujące się w obrębie majdanu grodziska od strony stoku wewnętrznego wału; od E leżały na przedłużeniu zwartego depozytu kamieni niższych 36 (z którymi są pewnie tożsame lub pełniły podobną funkcję)		35, 2	28, 33
43		1	X=90–92; Y=63,3–67	Faza IIC. Warstwa bardzo jasnego piasku i żwiru; przy N ścianie wykopu, u podnóża wewnętrznego stoku wału grodziska; tworzyła poziom, w który wkopane były jamy 40 i dół posłupowy 56	10YR 6/4	54, 62, 29	183, 99 calec
44		1	X=90–92; Y=73,8–76	Faza IID. Jama nieckowata z dodatkowym obiektem cylindrycznym 85 w centrum dna; znajdowała się w E części wykopu (blisko wschodniego wału grodziska); wypełniona była warstwami ziemi 41 i 33, w obrębie których i na których stropie leżały liczne fragmenty ceramiki wczesnośredniowiecznej (skupiska 19, 34 i 65); miała 2 m dł. (częściowo wychodziła poza N ścianę wykopu) i 0,4 m gł.		28, 2	129, 95, 94
45	46	1	X=91,15–91,7; Y=67,7–68,25	Faza IID. Wypełnisko dołu posłupowego 46; ziemia piaszczysta, wysycona drobinami węgli drzewnych i pyłem węglowym	10YR 2/1	4	46

Tabela 1. Ciąg dalszy

Numer jednostki	Numer obiektu	Numer wykopu	Współrzędne siatki pomiarowej stanowiska	Opis jednostki stratygraficznej	Barwa w skali Munsella	Pozycja stratygraficzna	
						Znajduje się pod	Znajduje się nad
46		1	X=91,15–91,7; Y=67,7–68,25	Faza IID. Duży cylindryczny dół posłupowy (wypełnisko 45), przy N ścianie Wykopu 1, na skraju podnóża wewnętrznego stoku wału grodziska; wypełniony przepaloną ziemią 45; owalny o śr. do 0,54 m i gł. do 0,3 m; ściany pionowe, dno płaskie; wkopany w warstwę 98		45, 4	98, 43
47	59	1	X=90–92; Y=77,25–78	Faza IIC. Wypełnisko zagłębienia przywałowego 59; ziemia piaszczysto-próchniczna	10YR 4/2	2	59, 48
48	103	1	X=90,94–92; Y=75,7–77,4	Faza IA. Kompleks warstw piaszczystych i żwirowych z kamieniami, tworzący wypełnisko jamy 103 z wczesnej epoki żelaza; górne wypełnisko stanowiła jednorodna ziemia piaszczysta z nielicznymi kamykami	10YR 4/1	59, 47	103
49		1	X=88–88,64; Y=58,4–59,6	Faza IIG. Mały (do około 1 m średnicy), lokalny płat (zsuw?) piaszczystej ziemi, na południowej ścianie wału w przejściu bramnym; miąższość ok. 0,1–0,15 m	2,5Y 5/4; 10YR 5/3	22, 15	50
50		1	X=88–89,3; Y=56–60,3	Faza IIG. Pas ziemi w S ścianie skarpy przejścia bramnego grodziska; relikt słabo zachowanej pionowej ściany (obecność drobin węgli drzewnych), ograniczającej piaszczyste jądro wału; wcinał się w piaszczystą ścianę skarpy wału	10YR 4/1	49	51, 70
51		1	X=88–88,65; Y=56,7–58,75	Faza IIG. Jasna, dość jednorodna, piaszczysta ziemia ze skarpy S części bramnej grodziska; stanowiła część jądra wału; dolne partie (widoczne w profilu S zagłębienie osiągające dodatkowe przegłębienie do 0,5 m) mogły być wypełniskiem ewentualnego bardzo dużego dołu posłupowego; od N wcinał się w nią i przykrywał pas ziemi 50, który stanowił zapewne relikt spalonej części rozłożonej ściany bramy; miąższość do 0,4 m; widoczna na odcinku około 3 m; jej partię W częściowo przykrywał zsuw piaszczysty 49	104R 5/3	50, 22, 49	70
52		1	X=88–88,7; Y=56,4–56,9	Faza IIG. Wypełnisko dużego dołu posłupowego 198 z górnej części narożnika SW wału grodziska; piaszczysta ziemia, wysycona drobinami węgli drzewnych; pas o dł. ok. 0,7 m; w spągu zachowało się jako fragmenty spalonej belki	10YR 3/1; 10YR 2/1	16	198, 93
53		1	X=88,64–91,24; Y=56–59,6	Faza IIH. Nieregularne skupiska różnej wielkości (głównie dużych – średnicy 0,2–0,35 m) kamieni w korytarzu bramnym grodziska; pochodziły zapewne (były zsunięte) z ewentualnych stropowych umocnień skraju wału w narożnikowych partiach bramy; mogły też być rozsypanymi elementami kamiennych wzmocnień obu narożników		21, 22	105
54		1	X=90,7–92; Y=65,8–67,9	Faza IID. Warstwa piaszczystej ziemi, tworzącej poziom u podnóża stoku wewnętrznego wału; w warstwę tę wkopane były doły posłupowe 76, 78 i 61; nieregularnie podłużny płat ziemi (wchodziła w N ścianę wykopu 1) o przebiegu w przybliżeniu równoległym do linii przebiegu wału; szer. do 2 m, miąższość do 0,3 m	10YR 3/1; 10YR 4/1	29, 58, 76, 78	98, 43
55	56	1	X=90,15–90,97; Y=64,7–65,5	Faza IID. Wypełnisko dołu posłupowego 56; ziemia piaszczysta, przepalona, częściowo popiołowa, z licznymi kamieniami (do 0,15 m średnicy) w swej objętości	10YR 3/1	29	56
56	–	1	X=90,15–90,97; Y=64,7–65,5	Faza IID. Duży, cylindryczny dół posłupowy (z wypełniskiem 55) z obszaru dolnej partii stoku wewnętrznego E wału grodziska – na przedłużeniu przejścia bramnego; śr. ok. 0,45 m, gł. do 0,6 m, niemal płaskie dno		55	43
57	58	1	X=88,9–90,65; Y=65,25–67,35	Faza IID. Wypełnisko jamy 58; piaszczysta, przepalona i częściowo popiołowa ziemia z kamieniami różnej wielkości (0,05–0,15 m śr.)	10YR3/1	36	58
58		1	X=88,9–90,65; Y=65,25–67,35	Faza IID. Duża (1,25–2 m), płytka (do 0,3 m) jama (z wypełniskiem 57); owalny w planie stropu obiekt z dolnej części stoku wewnętrznego E wału grodziska, na przedłużeniu przejścia bramnego; od W stykał się z podobnym obiektem 40		57	77, 60, 54
59		1	X=90–92; Y=77–78	Faza IIC. Zagłębienie przywałowe przy wewnętrznym stoku E wału grodziska (E koniec wykopu 1); wypełniskiem była warstwa 47; obserwowalne na całej szerokości wykopu; miąższość co najmniej 0,5 m; wkopane w wypełniska 48 starożytnej jamy 103		47, 2	48
60	61	1	X=89,55–90,4; Y=67–67,84	Faza IID. Wypełnisko jamy lub dużego dołu posłupowego 61; piaszczysta ziemia z kamieniami 63 w objętości i spągu	10YR 3/2	58, 28	63, 67, 61
61		1	X=89,55–90,4; Y=67–67,84	Faza IID. Mała jama lub duży dół posłupowy z obszaru przejścia stoku wewnętrznego zachodniego wału grodziska w majdan; wypełniona była od dołu: ziemią 67, kamieniami 63 i ziemnym wypełniskiem stropowym 60; miała 0,8 m śr. i do 0,6 m gł.; ściany średnio strome zbiegały się w małe, niemal płaskie dno		67, 63, 60	54, 98

Tabela 1. Ciąg dalszy

Numer jednostki	Numer obiektu	Numer wykopu	Współrzędne siatki pomiarowej stanowiska	Opis jednostki stratygraficznej	Barwa w skali Munsella	Pozycja stratygraficzna	
						Znajduje się pod	Znajduje się nad
62	40	1	X=88,7–90,6; Y=63,4–64,9	Faza IID. Wypełnisko jamy 40; kamienie wypełniające strop i wnętrze niższego wypełniska 39; mogą odpowiadać kamieniom niższego płaszcza kamiennego 36		29	39, 69, 40
63	61	1	X=89,55–90,4; Y=67–67,84	Faza IID. Kamienie leżące w wypełnisku 60 obiektu 61; śr. od 0,05 do 0,20 m		60, 58	67, 61
64		1	X=91–91,2; Y=72,8–73	Faza III. Małe skupisko fragmentów ceramiki w objętości warstwy 2	7,5YR 5/6	2	28
65		1	X=90,5; Y=74,8	Faza IID. Skupisko fragmentów ceramiki z wypełniska obiektu 44	7,5YR 5/6	33	41
66		1	X=90,15; Y=73,5	Faza IIE. Skupisko fragmentów ceramiki leżących na stropie warstwy 28	7,5YR 5/6	2	28
67	61	1	X=89,55–90,4; Y=67–67,84	Faza IID. Wypełnisko niższe jamy lub dołu posłupowego 61; jednorodna, piaszczysto-żwirowa ziemia z małymi kamyczkami; leżała pod kamieniami 63 oraz warstwą 60; w jej objętości znaleziono kilka popękanych (przepalonych) kamieni; prawdopodobnie obsypka dołu posłupowego	10YR 5/4	63, 60	61
68		1	X=88,8–90,15; Y=59–60	Faza IIH. Lokalna warstwa przepalonej ziemi w korytarzu bramnym – ślad spalenia drewnianej konstrukcji bramy; cienka warstwa ziemi piaszczystej, widoczna w obszarze przejścia bramnego grodziska; leżała nad i między spalonymi belkami: 83, 86, 88 i 89	10YR 5/2; 7,5YR 5/8; 2,5Y 7/1; 7,5YR 2,5/1	21, 70	Belki: 83, 86, 88, 89 w. 81, 106
69	40	1	X=88,7–90,3; Y=63,55–64,8	Faza IID. Przydenne wypełnisko jamy 40; lekko popiołowa, shumusowana, ziemia piaszczysta, leżąca głównie przy ścianie NW jamy, pod kamieniami 62 i górnym wypełniskiem 39	10YR 3/1; 10YR 2/1; 10YR 3/3	39, 62	40
70		1	X=88–89; Y=57,4–60	Faza IIG. Warstwa ze ściany S przejścia bramnego grodziska; ziemia z nielicznymi drobinami węgla, tworząca płaską (obszar w przybliżeniu trójkątnego kształtu) „półkę" przylegającą do S ściany wykopu w pobliżu SW narożnika wykopu; miąższość do 0,5 m	10YR 5/2	51, 21	80
71	72	1	X=90,60–92; Y=71,20–72,30	Faza IIE. Wypełnisko jamy 72; ziemia piaszczystą z drobnymi kamieniami; strop warstwy był częściowo zniszczony przez dół posłupowy 74	10YR 6/2	74, 73	72
72		1	X=90,60–92; Y=71,20–72,30	Faza IIE. Podłużna jama przylegająca do N ściany wykopu i wypływająca się ku S; od strony W ograniczona kilkunastoma kamieniami; wypełniskiem była piaszczysta ziemia 71 z drobnymi kamieniami; miała co najmniej 1,4 m dł. (wykraczała poza N ścianę wykopu 1), 1,1 m szer. i ok. 0,2 m gł.		71	28
73	74	1	X=91,60–92; Y=71,55–71,90	Faza IIE. Wypełnisko dołu posłupowego 74; warstwa ciemnej zbitej, piaszczystej ziemi z małymi kamieniami	7,5YR 3/3	42	74
74		1	X=91,60–92; Y=71,55–71,90	Faza IIE. Nieduży (śr. 0,32–0,4 m i gł. do 0,3 m) dół posłupowy przylegający do ściany N wykopu; owalny kształt w planie stropu i cylindryczny przekrój; wypełniony warstwą ciemnej, zbitej ziemi 73 z małymi kamieniami		73, 4	71
75	76	1	X=89,16–89,45; Y=65,35–65,68	Faza IID. Wypełnisko dołu posłupowego 76; niejednorodna, przemieszana ziemia piaszczysta i piaszczysto-żwirowa z kilkoma kamieniami (do 0,1 m średnicy)	10YR 5/1; 10YR 4/1; 10YR 5/3	58	76
76		1	X=89,16–89,45; Y=65,35–65,68	Faza IID. Dół posłupowy (z wypełniskiem 75); mały, śr. do 0,35 m, okrągły w planie stropu; miał pionowe ściany i 0,5 m gł.; dno U-kształtne; widoczny z poziomu dna jamy 58		75	54
77	78	1	X=89,90–90,22; Y=66,25–66,58	Faza IID. Wypełnisko dołu posłupowego 78; przemieszana, niejednorodna kolorystycznie ziemia piaszczysta i piaszczysto-żwirowa z kamieniami	7,5 YR 5/6; 10YR 5/1; 10YR 5/3	58	78
78		1	X=89,90–90,22; Y=66,25–66,58	Faza IID. Dół posłupowy (z wypełniskiem 77); okrągły, o śr. do 0,28 m i gł. do 0,15 m; ściany pionowe, płaskie dno; widoczny z poziomu dna jamy 58		77	54
79		1	X=89,9–90,6; Y=57,8–59,65	Faza IIG. Spalona belka (o zachowanej dł. 1,8 m i szer. 0,12 m), leżąca w linii N ściany przejścia bramnego grodziska; relikty konstrukcji ściany w korytarzu bramy; leżała u podnóża i wzdłuż (równolegle do) pionowej ściany przejścia w wale	10YR 2/1	68, 21	90
80		1	X=88–88,3; Y=57–58,5	Faza IIG. Relikty konstrukcji ściany w korytarzu bramy wyznaczających linię jej S ściany); pozostałości spalonej belki tworzącej układ z podobnymi belkami 88 i 89 (usytuowana była lekko skośnie i wyżej w stosunku do nich i – tak jak one – wykraczała poza S ścianę wykopu); leżała równolegle do (oddalonej o 2,25 m ku N/NE) głównej belki 79, 87 ze ściany N bramy	10YR 2/1	70, 68	81
81		1	X=88–89,6; Y=58,1–61,4	Faza IIG. Warstwa niwelacyjna po pożarze z Fazy IID w korytarzu bramy	10YR 5/1; 10YR 5/2	90, 68, 70, belki: 83, 86, 88, 89	23

Tabela 1. Ciąg dalszy

Numer jednostki	Numer obiektu	Numer wykopu	Współrzędne siatki pomiarowej stanowiska	Opis jednostki stratygraficznej	Barwa w skali Munsella	Pozycja stratygraficzna	
						Znajduje się pod	Znajduje się nad
82		1	X=88,7–92; Y=70,5–73,4	Calec; lokalny płat ścisłej, gliniastej, jednorodnej ziemi z E końca wykopu	5YR 4/4	111, 128, 98	99 calec
83		1	X=88–88,5; Y=59,85–60,05	Faza IIG. Fragment spalonej belki (patrz też 86) z konstrukcji podłogi drewnianej lub (bardziej prawdopodobne) ściany pionowej w korytarzu bramy grodziska; sterczał poprzecznie z S ściany wykopu; usytuowany był poprzecznie do osi dłuższej bramy i belek głównych (79 i 80) wyznaczających jej ściany; miał przebieg po linii S–N; miał co najmniej 0,4 m dł., do 0,1 m szer. i do 5 cm grubości	10YR 2/1	70, 68	81
84		1	X=89,7–89,9; Y=58,45–59	Faza IIG. Relikty konstrukcji ściany N w korytarzu bramy (krótki fragment jednej ze spalonych, głównych belek wyznaczających jej linię); leżał ok. 0,5 m na S od długiej belki 79 (równolegle do niego); miał około 0,3 m dł. i 0,15 m szer.; odpowiada czasowo belce 79 ze ściany N bramy	10YR 2/1	68, 21	90
85	44	1	X=90,4–91,3; Y=74,4–75,3	Faza IID. Kolisto-owalny w planie stropu, cylindryczny dół widoczny w dnie jamy 44 (prawdopodobnie część tej jamy); śr. 0,75–0,9 m, gł. do 0,3 m, pionowe ściany i płaskie dno; wypełniskiem w jego stropie była warstwa 41 (z dużą liczbą fragmentów ceramiki w całej swej objętości)		41	44
86		1	X=88–88,75; Y=58,85–59,35	Faza IIG. Relikty konstrukcji podłogi drewnianej lub (bardziej prawdopodobne) ściany pionowej w korytarzu bramy; ślady kilku nachodzących częściowo na siebie spalonych belek (patrz też także: 83) – poprzecznych do osi przejścia bramnego grodziska i do równoległych do tej osi śladów spalonej belki 80 i sąsiedniej 88; miały dł. co najmniej 0,4 m, szer. ok. 0,1–0,12 m i grubość kilku cm; prawdopodobnie stanowiły fragment drewnianej ściany i przewróciły się do wnętrza bramy po spaleniu	10YR 2/1	68, 70, 80	81
87		1	X=90,2–90,55; Y=57,8–58,35	Faza IIG. Relikty konstrukcji ściany N w korytarzu bramy (krótki fragment jednej z głównych, spalonych belek wyznaczających linię jej N ściany); zorientowany był (w przybliżeniu) równolegle do leżącej 0,15 cm ku NE od niego spalonej belki 79, której był częścią lub której odpowiada czasowo; miał 0,15 m dł. i 0,19 m szer., przy kilku cm grubości	10YR 2/1	68, 21	90, 7
88		1	X=88–88,55; Y=57,8–59,2	Faza IIG. Relikty konstrukcji ściany S w korytarzu bramy (główne belki ściany pionowej, wyznaczającej jej linię); krótki fragment spalonego bierwiona lub belki; zorientowany był w osi SE–NW; tworzył układ z nieco wyżej leżącą, podobną belką 80 (główną, wyznaczającą linię ściany) i – tak jak ona – wykraczał poza S ścianę wykopu; miał 0,6 m długości, do 0,8 m szer. oraz kilka cm grubości	10YR 2/1	68	81
89		1	X=88–88,35; Y=58,8–59,2	Faza IIG. Relikty konstrukcji ściany S w korytarzu bramy (krótki fragment jednej z głównych, spalonych belek wyznaczających linię jej linię); leżał (w przybliżeniu) w osi SE–NW; tworzył układ z podobnymi belkami 80 i 88 (usytuowany był lekko skośnie w stosunku do nich) i – tak jak one – wykraczał poza S ścianę wykopu; miał do 0,4 m dł., 8 cm szer. i do kilku cm grubości	10YR 2/1	68	81
90		1	X=88,4–90,3; Y=57,6–59,2	Faza IIG. Płat warstwy (niwelacyjnej ?) w korytarzu bramnym; lokalna warstwa gruboziarnistego piasku w przestrzeni między dwoma głównymi spalonymi belkami ściany N (belka 79) i S (belka 80); warstwa ta leżała w płytkim zagłębieniu między nimi i tworzyła nieregularny pas o szerokości do 1,5 m (od N)	10YR 6/2	68, 106	81, 23
91	92	1	X=88,32–88,58; Y=56,6–56,85	Faza IIG. Wypełnisko dołu posłupowego 92 (zachowane tylko częściowo); ziemia piaszczysta z fragmentami spalonego drewna w stropie (wyżej stanowiły one ciemny pas 52, niżej zaś zachowany ślad po spalonym słupie o dł. boku co najmniej 0,3 m	10YR 2/1	53, 21	92, 101
92		1	X=88,32–88,58; Y=56,6–56,85	Faza IIG. Jeden z dołów posłupowych (dolny) wyznaczających na różnych wysokościach SW narożnik bramy grodziska; słabo czytelny – rozpoznany jedynie w przekroju części jego spągu; wypełniony był ziemią 91; w przekroju miał płaskie dno i pionowe ściany; kwadratowy był także jego przekrój poziomy (widoczny jako ślad po spalonym słupie o dł. boku co najmniej 0,3 m)		91	101, 93
93		1	X=88–89; Y=56–57	Faza IIG. Kompleks warstw z narożnika SW bramy grodziska (narożna część nasypu wału); w nie był wkopane były na różnych wysokościach doły posłupowe 92 i 198 oraz tkwiły w nich, poprzeczne do osi korytarza belki (spalone) 100 i 16; warstwy te w ścianie N wykopu wyglądały na wypełniska szeregu wkopów pod duże doły posłupowe w warstwach narożnika nasypu wału	10YR 6/8	16, 52, 91, 92	101
93b		1	X=88–89; Y=56–57	Faza IIG. Niższa część kompleksu warstw z narożnika SW bramy grodziska, z wnętrza nasypu wału w części przybramnnej	10YR 6/8	101	70, 90

Tabela 1. Ciąg dalszy

Numer jednostki	Numer obiektu	Numer wykopu	Współrzędne siatki pomiarowej stanowiska	Opis jednostki stratygraficznej	Barwa w skali Munsella	Pozycja stratygraficzna	
						Znajduje się pod	Znajduje się nad
94	97	1	X=90–91; Y=73–78	Faza IA. Wypełnisko dużej jamy 97; piaszczysto-żwirowa i żwirowa ziemia z pojedynczymi kamieniami; leżała pod wypełniskiem 95 a nad 96; od E przecięta była przez starożytną jamę 103	10YR 4/3; 10YR 4/2	95, 103	96, 97
95	97	1	X=91–92; Y=74–75,20	Faza IA. Wypełnisko dużej jamy 97; piaszczysto-żwirowa i żwirowa ziemia; strop zniszczony był od E przez jamę 103, od W przez jamę 128, a w centrum przez jamę 44; leżała nad wypełniskami niższymi 94 i 96	2,5Y 5/6; 2,5Y 3/2	103, 128 44	94, 96
96	97	1	X=91,80–92; Y=73,30–74	Faza IA. Denne wypełnisko jamy 97; cienka warstewka widoczna przy dnie obiektu, przechodząca na stoku E jamy w grubszą, przemieszaną ziemię	10YR 4/1; 10YR 2,5/1; 10YR 4/2	94, 96	97
97		1	X=91–92; Y=73,3–75,8	Faza IA. Duża jama starożytna z E części wykopu 1 – z obszaru, gdzie znajdował się zespół kilku blisko położonych i częściowo się przecinających jam z wczesnej epoki żelaza (97, 103, 111, 128 i 131); widoczna przy N ścianie wykopu; jej wypełniska (od dołu patrząc: 96, 94, 95) stanowiły kompleks żwirowych i żwirowo-piaszczystych warstw (miejscowo z kamieniami, a przy dnie ze spalenizną)		96, 94, 95	82, 99
98		1	X=88–92; Y=67,7–71,55	Faza IIC. Niwelacyjna warstwa jednorodnego piasku, z obszaru u podnóża wewnętrznego (E) stoku wału grodziska i jego przejścia w majdan; wypełniała zagłębienia po obiektach z fazy poprzedniej i pokrywała leżącą niżej, podobną warstwę ziemi 129; miąższość 0,2–0,25 m; tworzyła pas równoległy do osi wału; widoczna na odcinku ponad 4 m w ścianie N wykopu 1 i na odcinku 2,3 m w ścianie S	10YR 7/4	28, 72,	129, 54 109, 82
99		1	X=88–92; Y= 63–78	Calec; jednorodny piasek w obszarze przejścia obszaru bramy grodziska w majdan i w całej przestrzeni majdanu	10YR 6/3	128, 109 calec, 82 calec	
100		1	X=88,2–88,6; Y=56,5–56,85	Faza IIG. Pozostałości jednej lub kilku pionowo (z pewnym przesunięciem w poziomie) na sobie leżących, krótkich (do 0,3 m dł. i ok. 0,1 m szer.) spalonych belek lub bierwion z narożnika SW wykopu 1 (obszar granicy S bramy grodziska w pobliżu jej końca); mogły być niższym elementami wyższego, ciemnego pasa ziemi i belki 52	10YR 2/1	101, 93 B	70
101		1	X=88,25–88,40; Y=56,20–57	Faza IIG. Warstwa rozłożonej lub spalonej substancji organicznej (?) z SW narożnika korytarza bramnego – pod dużym dołem narożnym 198 – pozostałość poziomu wzmocnienia nasypu i stoku wału faszyną (?); pas ziemi piaszczystej opadający łagodnie w dół ku bramie grodziska; ograniczał od S wypełnisko 91 dołu 92; przecięty był lub stykał się z leżącym prostopadle do niego spalonym elementem drewnianym 100; miał co najmniej 0,4 m dł., kilkanaście cm szer. oraz ok. 0,15 m miąższości	10YR 4/2	92	93 B
102	103	1	X=90,94–92; Y=75,7–77,4	Faza IA. Dolne wypełnisko jamy 103. Jednorodna ziemia oliwkowo żółta i jasno oliwkowo brązowa, pylasta z nielicznymi maleńkimi drobinami węgielków drzewnych. Miała miąższość do 0,3 m.	2,5Y 6/6; 2,5Y 5/4	104, 48	103
103		1	X=90,94–92; Y=75,7–77,4	Faza IA . Duża jama wypełniona wieloma depozytami w złożonych wzajemnych układach; górne wypełnisko stanowiła ziemia piaszczysta 48, dolne kamienie 104 i ziemia 102; znajdowała się w E końcu wykopu 1, w obszarze przejścia powierzchni majdanu grodziska w podnóże wewnętrznego stoku wschodniego wału; miała co najmniej 1,7 m dł. (wykraczała poza N ścianę wykopu) i 1 m gł.; ściany strome, dno nieregularne; wkopana od W w jamę 97		102, 104, 48	97, 99 calec
104	103	1	X=91–92; Y=76–78	Faza IA. Jedno z dolnych wypełnisk jamy 103; liczne małe (śr. od kilku do 10 cm) kamienie leżące w żwirowo-kamienistej ziemi oraz nad i w objętości wypełniska 102		48	102
105		1	X=89,90–91,30; Y=56,20–57,75	Faza IIH. Jasny, lokalny depozyt piaszczystej ziemi (z NW partii obszaru przejścia korytarza bramnego w krawędź stoku zewnętrznego zachodniego wału grodziska); zapewne zsuw ze ściany wału	10YR 4/6	53, 21	106
106		1	X=89–90,56; Y=56,30–57,90	Faza IIG. Lokalna warstwa (użytkowa ?) w obszarze przejścia korytarza bramnego w jego W części i w krawędzi stoku zewnętrznego zachodniego wału grodziska – odpowiada zapewne czasowo funkcjonowaniu głównych belek 79 i 80 ścian bramy grodu; częściowo popiołowa, piaszczysta ziemia – tworzyła płat o wydłużonym kształcie, wykraczający poza W granice wykopu	10YR 4/1	105, 53, 68	113, 90
107		1	X=88–90,5; Y=56–63,7	Faza IIC. Warstwa nasypu starszego wału wczesnośredniowiecznego i jednocześnie warstwa niwelacji powierzchni nad wczesniejszymi spalonymi konstrukcjami drewnianymi, w korytarzu przejścia bramnego grodziska; od N przylegała do starszego (starożytnego) wału piaszczystego 160; niejednorodna ziemia piaszczysta; w stropie liczne kawałki spalonego drewna oraz pasy i plamy spalenizny 123 – pozostałości spalonych elementów drewnianych	10YR 6/3	123, 23, 114	125, 126, 124

Tabela 1. Ciąg dalszy

Numer jednostki	Numer obiektu	Numer wykopu	Współrzędne siatki pomiarowej stanowiska	Opis jednostki stratygraficznej	Barwa w skali Munsella	Pozycja stratygraficzna	
						Znajduje się pod	Znajduje się nad
108	111	1	X=73–77,45; Y=90–91	Faza IA. Wypełniska górne jamy 111; w górnej partii piaszczysta ziemia z drobinami węgli drzewnych; niżej przechodziła w warstwy żwirowo-piaszczyste i żwirowo-gliniaste	10YR 2/1; 10YR 5/2	28, 42	112, 111
109		1	X=66,2–71; Y=88–92	Calec żwirowy w części środkowej wykopu 1, u podnóża wewnętrznego stoku wału grodziska, w obszarze jego przejścia w majdan	5YR 4/6	110, 128, 43	99
110		1	X=69,2–69,7; Y=91,1–92	Faza IIA. Wypełnisko obiektu 117; mały płat ciemnej piaszczystej i piaszczysto-żwirowej ziemi z węgielkami	10YR 2/1; 10YR 4/2; 10YR 3/1	98	117, 132, 109
111		1	X=73–77,45; Y=90–91	Faza IA. Duża jama (z wypełniskami 108 i 112) z podnóża wewnętrznego stoku wschodniego wału grodziska, z obszaru, gdzie znajdował się zespół kilku blisko siebie położonych i częściowo się przecinających się jam starożytnych; wypełniona w górnej partii piaszczystą ziemią z drobinami węgli drzewnych, która niżej przechodziła w warstwy żwirowo-piaszczyste i żwirowo-gliniaste, a jeszcze niżej w ciemną warstwę 112; miała co najmniej 4,5 m dł. (wykraczała poza S granicę wykopu) i do 1,3 m gł.; ściany średnio strome, dno nieregularnie zagłębione; od E przecinała wypełnisko 130 jamy 131		112, 108, 28	130, 82, 99
112	111	1	X=90–90,7; Y=75,4–77,1	Faza IA. Jedno z dolnych wypełnisk jamy 111; cienka (do 0,15 m) warstwa spalenizn i ciemnej ziemi, układająca się w kształt łagodnej niecki	2,5Y 4/1; 2,5Y 3/2	108	111
113		1	X=88,6–90,2; Y=56–57,3	Faza IIG. Piaszczysty depozyt z W części korytarza bramy; płat przepalonej pylasto-gliniastej ziemi	10YR 6/1; 10YR 7/1	106	114
114		1	X=88–90; Y=57,2–58,3	Faza IIG. Pas ziemi tworzącej kompleks piaszczystych warstw z obszaru przejścia bramnego grodziska w jego zewnętrzny stok – niwelacyjnych lub zsuwów z wału; łącznie miały miąższość do 0,45 m	2,5Y 4/4	113, 148	107, 123,
115	146	1	X=90–90,62; Y=57,8 –58,56	Faza IIC. Wypełnisko dołu posłupowego 146; skupisko kamieni; miało postać dwóch równoległych rzędów kamieni leżących po E i W stronie wypełniska ziemnego 145 słupa 146		90, 87	145, 146,
116		1	X=88–88,65; Y=57,4–57,85	Faza IIC. Wypełnisko dołu 148; skupisko (rząd) kilku dużych (0,2–0,25 m średnicy) kamieni, częściowo otaczających plamę ciemniejszej niż otoczenie ziemi 147	10YR 5/2	90	147, 148, 140
117		1	X=91–92; Y=69–70	Faza IIA. Nieduży, podłużny obiekt (z wypełniskiem 110) z obszaru przejścia stoku wewnętrznego wału zachodniego w majdan; wypełniony piaszczystą i piaszczysto-żwirową ziemią zmieszaną z drobinami węgli drzewnych oraz pojedynczymi kamieniami; miał co najmniej 1 m dł. (wchodził w ścianę N wykopu 1), szer. 80 cm i gł. 0,23 m		110	132, 109
118 =137		1	X=88–89,7; Y=59,5 –64	Faza IIB. Obszar przepalonej ziemi (spalonej konstrukcji ?), widoczny w E części korytarza bramy grodziska; tworzył czarny prostokąt oddzielony od ściany bramy jaśniejszą ziemią; był częścią spalenizn 137 (patrz opis 137=118)	10YR 2/1		
119	120	1	X=90,8–91,28; Y=57,5–57,96	Faza IIG. Wypełnisko dołu posłupowego 120; piaszczysta ziemia	10YR 5/2	135	120, 7
120		1	X=90,8–91,28; Y=57,5–57,96	Faza IIG. Dół posłupowy (z wypełniskiem 119) tworzący parę z dołem 122; obydwa stanowiły zapewne element pionowej ściany faszynowej lub drewnianej ustawionej w stropie warstwy 7 (jądro i stok wału po N stronie przejścia bramnego); linię tej ściany tworzyło wypełnisko 134 w rowku 135; obiekt miał śr. do 0,45 m i gł. ok. 0,5–0,6 m		119	7
121	122	1	X=91,38–91,77; Y=57,64–58,06	Faza IIG. Wypełnisko dołu posłupowego 122; piaszczysta ziemia	10YR 5/2	135	122, 7
122		1	X=91,38–91,77; Y=57,64–58,06	Faza IIG. Dół posłupowy (z wypełniskiem 121) tworzący parę z dołem 120; obydwa stanowiły zapewne element pionowej ściany faszynowej lub drewnianej ustawionej w stropie warstwy 7 (jądro i stok wału po N stronie przejścia bramnego); linię tej ściany tworzyło wypełnisko 134 w rowku 135; obiekt miał śr. do 0,45 m i gł. ok. 0,5–0,6 m		121, 12	7
123		1	X=88,8–90,4; Y=58,9–63	Faza IIC. Relikty spalonego pomostu w przejściu bramnym grodziska; ślady długich (ponad 4,5 m) i szerokich (0,3 m) spalonych kłód lub belek widocznych wzdłuż N ściany i w obrębie korytarza na poziomie warstwy 107; przykryte spaleniznami pożarowymi 23	10YR 2/1; 10YR 3/1	23	107, 125, 126, 124, 153

Tabela 1. Ciąg dalszy

Numer jednostki	Numer obiektu	Numer wykopu	Współrzędne siatki pomiarowej stanowiska	Opis jednostki stratygraficznej	Barwa w skali Munsella	Pozycja stratygraficzna	
						Znajduje się pod	Znajduje się nad
124		1	X=88–89,8; Y=59,9–63	Faza IIA. Poziom spalonych konstrukcji drewnianych pod nasypem starszego wału wczesnośredniowiecznego 107; pozostałości co najmniej 8 spalonych belek lub dranic leżących w strefie korytarza bramy grodziska; składały się z równolegle do siebie leżących depozytów spalonego drewna lub ich śladów, usytuowanych w osi poprzecznej do osi dłuższej bramy (orientacja S–N); produktem ich destrukcji była także przykrywająca je warstwa spalenizny 137	10YR 2/1	137, 126, 125, 107, 123	139, 186, 133
125		1	X=89,6–89,9; Y=58–60	Faza IIA. Ślady spalonej i częściowo spopielonej belki z obszaru N części korytarza bramy grodziska; miały przebieg równoległy do osi dłuższej korytarza bramnego; odpowiadały podobnemu, równoległemu śladowi spalonej belki 126; leżały nad warstwą spalenizny 137 i poprzecznymi do nich spalonymi belkami (dranicami ?) 124	10YR 2/1	107, 123	137, 124
126		1	X=88.45–88; Y=58–60	Faza IIA. Ślady spalonej i częściowo spopielonej belki z obszaru S części korytarza bramy grodziska; miały przebieg równoległy do osi dłuższej korytarza bramnego i leżały nad warstwą spalenizny 137 i poprzecznymi do nich, spalonymi belkami (dranicami ?) 124	10YR 2/1	107, 123	137, 124
127	128	1	X=90,8–92; Y=69,9–73,45	Faza IA. Wypełnisko jamy 128 – kompleks warstw piaszczystych i żwirowo-piaszczystych – jasnych, przedzielonych cienkimi (do 0,1 m miąższości) warstwami ciemnymi (przepalenia?); od W przecięte przez jamę 195	2,5Y 6/4 – 60%; 2,5Y 5/4 – 40%	195, 132, 129	128
128		1	X=90,8–92; Y=69,9–73,45	Faza IA. Bardzo duża jama z E części wykopu – z obszaru, gdzie znajdował się zespół kilku blisko położonych i częściowo się przecinających jam starożytnych (97, 103, 111, 128 i 131); wypełniska stanowił (od dołu patrząc) kompleks warstw 127 – piaszczystych i żwirowo-piaszczystych warstw jasnych przedzielonych cienkimi (do 0,1 m miąższości) warstwami ciemnymi (przepalenia?); obiekt miał co najmniej 4,5 m dł. (przekraczał granicę N wykopu) i 1,1 m gł.; dno niemal płaskie, ściany średnio strome		127	82, 99
129	128	1	X=91–92; Y=71–72,3	Faza IIC. Wypełnisko zagłębienia terenu lub wartwa niwelacyjna z E części wykopu; jednorodna piaszczysto-pylasta, ścisła, średnio twarda ziemia, gruba na 0,4 m; od W niszczona przez obiekt 117; przykryta bardzo podobną grubą warstwą jasnego czystego, pseudocalcowego piasku 98	2,5Y 6/6	117, 110 98	127, 132,
130	131	1	X=90,3–91,6; Y=77,25–78	Faza IA. Wypełnisko jamy 131 (piaszczysta i piaszczysto-żwirowa ziemia z ciemniejszymi przebarwieniami) z podnóża wewnętrznego stoku wschodniego wału grodziska; od E przecięte przez wczesnośredniowieczne zagłębienie przywałowe 59, od E i S zaś przecięta przez skraj jamy starożytnej 111	10YR 4/3; 10YR 4/2	111	131
131		1	X=90,3–91,6; Y=77,25–78	Faza IA. Nieduża, cylindryczno-workowata w przekroju jama (wypełnisko 130) z podnóża wewnętrznego stoku wschodniego wału grodziska, z obszaru gdzie zmajdował się zespół kilku blisko położonych i częściowo się przecinających jam starożytnych (97, 103, 111, 128 i 131); miała co najmniej 1,6 m śr. (wykraczała poza ściany E i S wykopu), w górnej części rozchylone ściany a w dolnej niemal pionowe oraz lekko zagłębione dno; wypełniona była piaszczystą i piaszczysto-żwirową ziemią z kamykami i głazikami	10YR 5/3	130	99
132	128	1	X=89,9–92; Y=68,8–71,5	Faza IIA. Wypełnisko dużej jamy 195 z obszaru majdanu; gruboziarnista, piaszczysto-żwirowa ziemia z kamieniami w spągu; jej strop przecinała jama 117	10YR 4/6	117, 98	195, 127, 128
133		1	X=88–90; Y=59–61,5	Calec; piaszczysta ziemia w obszarze korytarza bramy grodziska	10YR 4/6; 10YR 6/6	124, 163	
134	135	1	X=90,6–91,95; Y=57,65–58,05	Faza IIG. Wypełnisko rowka 135 – ślad po ewentualnej ścianie faszynowej w zewnętrznym stoku wału zachodniego, po N stronie korytarza bramnego; ściana ta oparta była o dwa słupy (120 i 122) wkopane w jej linii; ziemia ze śladami podłużnych przepaleń oraz drobinami węgla i wtrętami żwirowymi	10YR 4/2	15	135, 119, 121, 7
135		1	X=90,6–91,95; Y=57,65–58,05	Faza IIG. Rowek (wypełnisko 134) – prawdopodobny ślad ściany faszynowej; wkopany w zewnętrzny stok wału po N stronie korytarza bramnego grodziska; zachowany jedynie częściowo i w słabo czytelnej formie na odcinku 1,3 m; miał zachowaną szer. 0,1–0,15 m, przy gł. do 0,4–0,5 m; w jego linii tkwiły dwa słupy (120 i 122)		134	7
136		1	X=88–91; Y=56–59,5	Faza IC. Warstwa związana z użytkowaniem i z destrukcją wału starożytnego oraz obszaru jego przedpola, zmieszana częściowo z popiołami z wału; jej odpowiednikiem w obszarze wału (jego W stoku) jest jednorodna warstwa popiołów 143 (po N stronie korytarza bramnego); w W części korytarza bramnego na ostatnich jego 2 metrach warstwa stromo opadała w dół	2,5Y 4/1; 2,5Y 4/2; 2,5Y 3/2	143, 114, 81	162

Tabela 1. Ciąg dalszy

Numer jednostki	Numer obiektu	Numer wykopu	Współrzędne siatki pomiarowej stanowiska	Opis jednostki stratygraficznej	Barwa w skali Munsella	Pozycja stratygraficzna	
						Znajduje się pod	Znajduje się nad
137=118		1	X=88–89,1; Y=76,3–78	Faza IIB. Obszar piaszczystej ziemi, usytuowany w środkowej i E części korytarza bramnego; w swej NW części miał nieco ponad 1 m dł. i 1,6 m szer.; od E sięgał progu wyjścia w obszar majdanu, gdzie stykał się z bardzo podobną lecz starszą warstwą 136 (spalenizny i popioły – destrukty znad starszego wału); powstała zapewne jako rezultat wypełniania spalonym materiałem przestrzeni między i pod lepiej zachowanymi, mniej spalonymi elementami konstrukcji pomostu; leżała między i częściowo pod spalonymi belkami 124 (lecz chronologicznie była od nich młodsza), a także pod belkami 125, 126 oraz wyżej leżącą warstwą 107	10YR 2/1	125, 126, 107	124, 186, 133
138		1	X=88–90; Y=73,9–75	Faza IIA. Część konstrukcji korytarza bramy grodziska – nieregularny, podłużny pas jednorodnej ziemi piaszczystej – ślad rozłożonej belki z przestrzeni korytarza bramy grodziska, przechodzący w spągu w częściowo zachowane, spalone drewno; biegł poprzecznie do osi wzdłużnej bramy (w osi SSW–NNE) oraz poprzecznie do leżących nad nimi smug spalonego drewna 125 i 126; miał średnio 0,3 m szer. i co najmniej 2 m dł.	10YR 2/1	125, 126	169, 163, 133
139	142	1	X=88–88,8; Y=61,9–62,9	Faza IA. Wypełnisko jamy 142; zespół piaszczystych warstewek przykrytych poziomem spalonych belek 124 i spalenizną 137	7,5YR 3/2; 10YR 5/2	124, 137	142, 153
140	141	1	X=88,4–89,5; Y=57,4–58,1	Faza IA. Wypełnisko obiektu 141; pas jednorodnej piaszczystej ziemi zwężający się ku N; przy S ścianie wykopu przecięty był przez dół posłupowy 148	10YR 4/3	148	141
141		1	X=88,4–89,5; Y=57,4–58,1	Faza IA. Jama (z wypełniskiem 140) z S części przejścia bramnego grodziska; wannowaty w przekroju obiekt o przebiegu SW–NE, stromych ścianach bocznych i regularnym, niemal płaskim dnie; miał co najmniej 1,1 m dł., 0,55 m szer. i do 0,3 m gł.		140	162
142		1	X=88–88,8; Y=61,7–63,15	Faza IA. Jama 142 (z wypełniskiem 139) – obiekt z dna przejścia bramnego grodziska w części jego wyjścia na majdan; nieckowata w przekroju, ze średnio stromymi ścianami, płynnie przechodzącymi w słabo wyodrębnione dno; miał co najmniej 1,45 m śr. (wykraczał poza S ścianę wykopu) i do 0,4 m gł.		139	153
143		1	X=90,3–92; Y=56–62,7	Faza IC. Destrukty konstrukcji drewnianych wału starożytnego; gruba warstwa popiołu na szczycie i na zachodnim, zewnętrznym zboczu starszego wału, zachowanego po N stronie przejścia bramnego Ciemnoszara, częściowo przepalona warstwa piaszczysta z drobinami jasnoszarego popiołu. Opadała dość gwałtownie ku W (wyjście z bramy poza grodzisko). W obrębie przedpola wału i korytarza bramy jej przedłużeniem jest (zapewne starsza jako poziom użytkowy) warstwa 136.	10YR 4/1	114	136, 161, 160, 183
144	166	1	X=88,41–89,30; Y=58,14–58,77	Faza IA. Wypełnisko jamy 166; podłużny owalny depozyt piaszczysto-żwirowej ziemi; strop naruszony był przez spaloną belkę 126	10YR 4/2	126, 137	166
145	146	1	X=90,05–90,6; Y=57,9–58,55	Faza IIC. Wypełnisko dołu posłupowego 146; piaszczysta ziemia	10YR 6/3 ; 10YR 5/2	115, 90	146
146		1	X=90,05–90,6; Y=57,9–58,55	Faza IIC. Dół posłupowy (z wypełniskami 145 i 115) z N ściany (granicy) korytarza przejścia bramnego grodziska; miał owalny w planie stropu kształt, cylindryczny przekrój boczny i niemal płaskie dno; jego śr. wynosiła 0,5–0,6 m, a gł. dochodziła do 0,4 m; posiadał częściowo dookolną obstawę z różnej wielkości kamieni (115); leżał ok. 0,3 m na ENE od podobnego dołu posłupowego 150 oraz kolejnego dołu 157; wszystkie trzy leżały w jednej linii		145, 115	136
147	148	1	X=88–88,55; Y=57,2–57,84	Faza IIC. Wypełnisko dołu posłupowego 148 w obstawie kamiennej 116; w planie miało postać okrągłej plamy piaszczystej ziemi, ograniczonej od E i NE kamieniami 116	10YR 5/2	116	148
148		1	X=88–88,55; Y=57,2–57,84	Faza IIC. Dół posłupowy (z wypełniskiem piaszczystym 147 i obstawą słupa kamieniami 116 – po jego wschodniej stronie); na granicy korytarza bramnego grodziska; miał cylindryczno-workowaty w przekroju kształt, prawdopodobnie okrągły lub owalny kształt stropu i U-kształtne dno; jego śr. wynosiła do 0,65 m, a gł. do 0,5 m; wkopany z poziomu warstwy 137		147, 116	140, 137
149=164	150	1	X=89,95–90,5; Y=57,34–57,9	Faza IIC. Wypełnisko dołu posłupowego 150=165; piaszczysta ziemia; ograniczone od S i W kamieniami obstawy 151	10YR 5/2	151	150

Tabela 1. Ciąg dalszy

Numer jednostki	Numer obiektu	Numer wykopu	Współrzędne siatki pomiarowej stanowiska	Opis jednostki stratygraficznej	Barwa w skali Munsella	Pozycja stratygraficzna	
						Znajduje się pod	Znajduje się nad
150=165		1	X=89,95–90,5; Y=57,34–57,9	Faza IIC. Dół posłupowy (z wypełniskiem 149=164 i obstawą kamienną 151) z N części przestrzeni korytarza bramnego grodziska; leżał ok. 0,2 m na WSW od podobnego dołu posłupowego 146 i w jednej linii z kolejnym podobnym dołem posłupowym (157) leżącym ok. 0,6 m ku WSW; miał szerszą część górną (śr. do 0,6 m) i węższą dolną (śr. do 0,3 m); jego gł. wynosiła do 0,75 m; kamienie 151 usytuowane były w górnej części dołu i częściowo na jego obrzeżach		149, 151	136
151	150	1	X=89,94–90,5; Y=57,18–57,8	Faza IIC. Wypełnisko dołu posłupowego 150; skupisko kilku dużych kamieni o śr. do 0,25 m i mniejszych o śr. do 0,1m, obramowujących od S i od W stropowe wypełnisko 149		114	149, 150
152	157	1	X=89,69–90,5; Y=56,3–56,7	Faza IIC. Wypełnisko dołu posłupowego 157; skupisko kamieni (obstawa wokół śladu po słupie)		114	156, 157
153		1	X=88–90; Y=61,3–63,5	Calec; warstwa piaszczystej i piaszczysto-żwirowej niejednorodnej ziemi z E przestrzeni korytarza bramnego grodziska	5YR 4/4; 10YR 5/6	142, 124, 125, 137	133 calec
154		1	X=90,4–92; Y=56,5–58	Faza IIC. Kompleks piaszczysto-żwirowych i żwirowo-kamienistych warstw z NW krawędzi korytarza bramnego grodziska i podstawy W stoku młodszego wału; ciągnęły się na dł. ok. 1,5 m w osi S–N i 2 m w osi W–E; warstwy te (z nasypu wału) leżały na styku z warstwami wypełniającymi przestrzeń wspomnianego korytarza	10YR 4/6; 10YR 6/4; 10YR 5/1	114, 7	143
155		1	X=91,1–92; Y=58,95–59,95	Faza IC. Cienka warstwa tworzona przez twarde płaty popiołów (stwardniałych prawdopodobnie po deszczu, po pożarze grodziska); usytuowana na W (zewnętrznym) stoku wału starożytnego; miała miąższość do kilku cm	10YR 7/1	154, 7	143
156	157	1	X=89,69–90,45; Y=56,3–56,75	Faza IIC. Wypełnisko dołu posłupowego 157; strop wypełniska był przykryty kamieniami 152, które znajdowały się w jego objętości; jednorodna piaszczysta ziemia	10YR 4/3	152, 114	157
157		1	X=89,69–90,45; Y=56,3–56,75	Faza IIC. Dół posłupowy (z wypełniskiem piaszczystym 156 i kamieniami obstawy 152) z W części przestrzeni bramy grodziska; leżał w jednej linii z podobnymi dołami 150 i 146, które łącznie tworzyły linię o orientacji W–E, z lekkim odchyleniem ku N i S; częściowo wychodził poza W ścianę wykopu 1; miał prawdopodobnie owalny w planie stropu kształt i cylindryczny przekrój boczny, z płaskim dnem; śr. dołu wynosiła około 0,6 m, gł. zaś do 0,6 m		156, 152	136
158	159	1	X=90,1–91,35; Y=60,95–61,7	Faza IB. Wypełnisko podłużnego, nieckowatego obiektu 159; ziemia piaszczysta z popiołami i kamykami	10YR 5/2	143	159
159		1	X=90,1–91,35; Y=60,95–61,7	Faza IB. Podłużny obiekt (z wypełniskiem 158) z W, zewnętrznego stoku starszego wału, leżący poprzecznie do osi dłużej korytarza bramnego z młodszej fazy, który go przecinał; miał 1,3 m dł., do 0,8 m szer. i do 0,45 m gł.; wkopany był w warstwę 160 i 183		158	160, 183
160		1	X=90–92; Y=60–62,8	Faza IB. Warstwa szczytowa starszego, starożytnego wału widoczna po N stronie przejścia bramnego oraz w S ścianie wykopu; pylasto-piaszczysta ziemia; leżała pod warstwą spalenizn i popiołów (pożarowiskową) 143, a na niższej, bardziej żwirowej warstwie wału 183	10YR 5/3	159, 143	183
161		1	X=88,2–92; Y=56–59	Faza IC. Warstwa z W stoku starszego wału i częściowo z wnętrza korytarza bramnego w jego narożnej, NW partii; ziemia piaszczysta o miąższości do kilkunastu cm; opadała ku NW; leżała pod popiołową, pożarowiskową warstwą 143	10YR 3/2	143	162, 136
162		1	X=88–92; Y=56–59	Faza IA. Warstwa starożytna z W krawędzi grodziska; sytuowała się na stoku W za „progiem" (linia Y=58–59), za którym zaczynał się stok zewnętrzny grodziska (na przedłużeniu korytarza bramnego); stromo opadała w dół tego stoku; cienka od strony progu, zwiększała miąższość do 0,25 m od strony zachodniej; jednorodna, piaszczysta ziemia; na jej stropie leżały różnej wielkości kamienie; leżała pod warstwami popiołów 143, 161 i 136, a nad – również stokową – warstwą 185	10YR 3/2; 7,5Y 5/4	136, 143,	185
163		1	X=88–92; Y=56–59,5	Calec; jednorodny piasek występujący w W części korytarza bramnego, tuż przed i na stoku zewnętrznym grodziska	7,5YR 5/4	187, 186	133
166		1	X=88,58–89,5; Y=58,25–58,82	Faza IA. Jama (z wypełniskiem 144); podłużna, owalna jama z dna przejścia bramnego grodziska – z fazy przed usypaniem pierwszego wału 160; miała niemal 1 m dł., do 0,6 m szer. i do 0,17 m gł.; kształt owalny, dno płynnie przechodziło w łagodne ściany; wkopana bezpośrednio w calec		144	163
167	168	1	X=91,45–91,65; Y=60,15–60,66	Faza IB. Wypełnisko małego dołu posłupowego 168; piaszczysta ziemia z drobinami popiołu, w spągu przechodząca w popiół czysty	10YR 5/1; 10YR 4/2	143	168, 183

Tabela 1. Ciąg dalszy

Numer jednostki	Numer obiektu	Numer wykopu	Współrzędne siatki pomiarowej stanowiska	Opis jednostki stratygraficznej	Barwa w skali Munsella	Pozycja stratygraficzna	
						Znajduje się pod	Znajduje się nad
168		1	X=91,45–91,65; Y=60,15–60,66	Faza IB. Mały lecz głęboki (do 1 m) dół posłupowy wkopany w W (zewnętrzny) stok wału starożytnego; miał śr. do 0,18 m, pionowe ściany i niemal płaskie dno		167, 143	183
169	170	1	X=68,75–90; Y=59–59,7	Faza IA. Wypełnisko obiektu 170; przemieszana, niejednorodna ziemia piaszczysta i piaszczysto-żwirowa, ciemniejąca w spągu; przykryta spaleniznami 137	10YR 6/6	138, 137, 125	171, 170
170		1	X=68,75–90; Y=59–59,7	Faza IA. Mała, owalna jama (z wypełniskami 169 i 171) z dna przestrzeni bramnej grodziska; miała do 1,4 m dł., 0,7 m szer. i do kilkunastu cm gł.; wypełniskiem była piaszczysta i piaszczysto-żwirowa ziemia 169, która w centrum i przy E ścianie obiektu leżała nad kilkoma kamieniami 171 tworzącymi nieregularną linię zgodną z jego osią dłuższą; niszczona w stropie przez wgłębienia po belce 138 i belkach 125 i 126; wkopana była bezpośrednio w calec		171, 169	133
171	170	1	X=89–89,7; Y=59,3–59,55	Faza IA. Dolne wypełnisko jamy 170; kilka kamieni leżących w centrum i przy E ścianie obiektu (kilka o 0,1 m śr. i jeden dł. do 0,35 m) tworzących nieregularną linię zgodną z jego osią dłuższą		169	170
172	173	1	X=91,08–91,33; Y=56,55–56,86	Faza IB. Wypełnisko górne dołu posłupowego 173; piaszczysta ziemia	10YR 5/1	136	174, 173
173		1	X=91,08–91,33; Y=56,55–56,86	Faza IB. Dół posłupowy (z wypełniskami 172 i 174) z W krawędzi przestrzeni bramnej grodziska i jego W stoku – z etapu usypania wału starożytnego; miał okrągły kształt stropu, śr. do 0,3 m i gł. do 0,4 m; ściany pionowe, dno płaskie; wkopany w warstwę stokową 162		174, 172	162
174	173		X=91,08–91,33; Y=56,55–56,86	Faza IB. Wypełnisko denne dołu posłupowego 173; piaszczysto-popiołowa ziemia	10YR 3/1	172	173, 162
175	176	1	X=91,2–91,7; Y=58,7–59,3	Faza IB. Wypełnisko dołu posłupowego 176; piaszczysta ziemia	10YR 6/6	161, 143	176
176		1	X=91,2–91,7; Y=58,7–59,3	Faza IB. Dół posłupowy (z wypełniskiem 175) z krawędzi stoku W grodziska, w N części dna korytarza bramnego – na przedpolu wału starożytnego; wkopany w warstwę stokową 162; miał owalny kształt stropu o śr. 0,4–0,65m – zmiejszał się ku dnu do śr. 0,35 m; jego gł. wynosiła do 0,4 m		175	162
177	178	1	X=91,12–91,37; Y=59,2–59,46	Faza IB. Wypełnisko dołu posłupowego 178; piaszczysta ziemia	10YR 5/2	161, 143	178
178		1	X=91,12–91,37; Y=59,2–59,46	Faza IB. Dół posłupowy (z wypełniskiem 177) z krawędzi stoku W grodziska w N części dna korytarza bramnego – na przedpolu wału starożytnego; wkopany w warstwę stokową 162; miał okrągły kształt stropu o śr. do 0,26 m i gł. do 0,2 m; ściany strome, dno nieregularnie płaskie		177	162
179	180	1	X=91,5–91,7; Y=59,9–60,1	Faza IB. Wypełnisko małego dołu posłupowego 180; pylasta ziemia; leżała bezpośrednio pod pożarowiskową warstwą popiołów 143 i 161	10YR 5/2	161, 143	180
180		1	X=91,5–91,7; Y=59,9–60,1	Faza IB. Mały dół posłupowy wkopany w skraj zewnętrznego (zachodniego) stoku wału starożytnego; miał śr. do 0,18 m, strome ściany i niemal płaskie dno		179 143	183
181	182	1	X=91,24–91,46; Y=59,96–60,2	Faza IB. Wypełnisko małego dołu posłupowego 182; piaszczysta i piaszczysto-żwirowa ziemia; leżała bezpośrednio pod pożarowiskową warstwą popiołów 143 i 161	10YR 5/2	161, 143	182
182		1	X=91,24–91,46; Y=59,96–60,2	Faza IB. Mały dół posłupowy wkopany w skraj zewnętrznego (zachodniego) stoku wału starożytnego; miał śr. 0,18–0,25 m, gł. do kilkunastu cm, strome ściany i U-kształtne dno		181 143	183
183		1	X=90–92; Y=60,7–64	Faza IB. Niższe warstwy nasypu wału starożytnego; usytuowane po N stronie korytarza bramnego grodziska; w górnej partii ziemia piaszczysta i piaszczysto-żwirowa, w dolnej partii przechodząca w żwirowo-piaszczystą z licznymi, różnej wielkości kamieniami	5YR 6/4; 2,5YR 4/6	160, 161, 143	133
184		1	X=88–89,6; Y=56,5–58,8	Faza IA. Pas małych kamieni tworzący murek (dł. 1,2 m i szer. 0,15–0,2 m), biegnący od S ściany wykopu ku N (po osi S–N); sytuował się na stropie ciemnej warstwy 186 z zachodniego, zewnętrznego stoku grodziska, w obszarze wyjścia z korytarza bramnego; kamienie wielkości 0,1– 0,15 m		185	186
185		1	X=88–92; Y=56–57,2	Faza IA. Warstwa z zachodniego, zewnętrznego stoku grodziska, w obszarze wyjścia z korytarza bramnego; niejednorodna, piaszczysta ziemia z kamykami, opadająca stromo ku W; miała miąższość do 0,2 m; przykrywała pas kamieni 184 oraz podobną, stokową warstwę 186	10YR 6/2	162	184, 186

Tabela 1. Ciąg dalszy

Numer jednostki	Numer obiektu	Numer wykopu	Współrzędne siatki pomiarowej stanowiska	Opis jednostki stratygraficznej	Barwa w skali Munsella	Pozycja stratygraficzna	
						Znajduje się pod	Znajduje się nad
186		1	X= 88–92; Y=56–57,45	Faza IA. Warstwa użytkowa – powstała przed usypaniem wału starożytnego; cienka (grubości około 5 cm) warstwa z krawędzi i z zachodniego, zewnętrznego stoku grodziska, w obszarze wyjścia z korytarza bramnego; niejednorodna, piaszczysta, lekko pylasta ziemia, opadająca stromo ku W pasem o szer. do 2 m; na jej stropie leżał pas kamieni 184 oraz warstwa stokowa 185; sama przykrywała najniższą warstwę stokową 187	10YR 4/1	184, 185	187, 163
187		1	X= 88–92; Y=56–58,25	Faza IA. Najniższa, nadcalcowa warstwa z krawędzi i z zachodniego, zewnętrznego stoku grodziska, w obszarze wyjścia z korytarza bramnego; grubości ok. 0,2 m; niejednorodna, piaszczysta, lekko pylasta ziemia, opadająca stromo ku W pasem o szer. do 2,2 m	10YR 5/2	186	163
188	189	1	X= 90,4–91,56; Y=57,6–58,9	Faza IA. Wypełnisko górne jamy 189; przemieszana pylasto-piaszczysta ziemia	10YR 5/4; 10YR 6/2	162	192, 193, 194
189		1	X= 90,4–91,56; Y=57,6–58,9	Faza IA. Duża okrągła jama (z wypełniskami 188, 192, 193 i 194) z obszaru przejścia części płaskiej przestrzeni korytarza bramnego w zewnętrzny, zachodni stok grodziska; miała do 1,3 m śr., pionowe ściany, płaskie dno i do ok. 0,7 m gł.; wypełniona była od dołu: warstwą drobnoziarnistego piasku 194 z drobinami węgli drzewnych i głazikami, wyższą warstwą wyścielającego obiekt bruku 193, wyżej leżącą warstwą twardego popiołu 192 oraz piaszczystą, stropową warstwą 188; wkopana była w warstwę 187		194, 193, 192, 188	187
190	191	1	X=89,92–91,24; Y=56,35–56,7	Faza IB. Wypełnisko dołu posłupowego 191; sypka, drobnoziarnista piaszczysta i pylasta ziemia z głazikami i drobinami węgli drzewnych oraz popiołami	10YR5/1	154	191
191		1	X=89,92–91,24; Y=56,35–56,7	Faza IB. Głęboki dół posłupowy (z wypełniskiem 190) w W części krawędzi przestrzeni bramy grodziska; wkopany z poziomu warstwy 162; miał do 0,32 m śr. w stropie, 0,2 m w niższej partii, pionowe ściany boczne, płaskie dno i gł. 0,9 m		190	162
192	189	1	X= 90,4–91,56; Y=57,6–58,9	Faza IA. Niższe wypełnisko okrągłej jamy 189; warstwa zbitego popiołu z nielicznymi kamieniami w swej objętości	10YR 4/2; 10YR 7/1	188	193, 194, 189
193	189	1	X= 90,5–91,4; Y=57,8–58,65	Faza IA. Wypełnisko (drugie od dołu) jamy 189; bruk złożony z otoczakowych kamieni o średnicy 0,1–0,2 m, wyścielający płasko obiekt pod warstwą zbitego popiołu 192, a nad piaszczystym wypełniskiem dennym 194		192, 188	194, 189
194	189	1	X= 90,4–91,45; Y=57,7–58,75	Faza IA. Wypełnisko denne okrągłej jamy 189; piaszczysto-popiołowa ziemia, wyścielająca płasko dno obiektu pod warstwą kamieni 193	2,5Y 6/2	193, 192, 188	189
195		1	X=89,9–92; Y=68,8–71,5	Faza IIA. Duża, prawdopodobnie owalna jama (z wypełniskiem 132) z obszaru majdanu; wypełniona piaszczysto-żwirową ziemią, z kamieniami w spągu; miała co najmniej 1,5 m dł. (wychodziła poza N ścianę wykopu) i do 1,2 m szer. oraz do 0,45 m gł.; ściany średnio strome, łagodnie przechodzące w płaskie dno; wkopana była w wypełniska 127 jamy 128		132, 117	127
196	197	1	X=91,66–91,8; y=57,8–58,08	Faza IA. Wypełnisko dołu posłupowego 197; niejednorodna piaszczysta, lekko pylasta ziemia	10YR 5/2	186	197
197		1	X=91,66–91,8; Y=57,8–58,08	Faza IA. Dół posłupowy (z wypełniskiem 196) z krawędzi zachodniego zbocza grodziska; miał śr. co najmniej 0,3 m (wychodził poza N ścianę wykopu) i gł. 0,38 m; ściany pionowe, dno lekko wklęsłe; wkopany był w stokową warstwę 187		196	187
198		1	X=88–88,7; Y=56,4–56,9	Faza IIG. Jeden z dołów posłupowych (górny) wyznaczających na różnych wysokościach SW narożnik bramy grodziska; duży dół posłupowy (z wypełniskiem 52), cylindryczno-workowaty w przekroju pionowym, z górnej części narożnika SW wału grodziska, na S od korytarza bramnego; miał co najmniej 0,5 m śr. (wychodził poza S ścianę wykopu), 0,45 m gł., pionowe ściany i nieregularnie płaskie dno; wypełniskiem była ciemna ziemia, wysycona drobinami węgli drzewnych		52, 16	93
199	200	1	X=91,8–92; Y=63,8–64,15	Faza IIC. Wypełnisko dołu posłupowego 200; piaszczysto-żwirowa ziemia	10YR 6/4	29	200
200		1	X=91,8–92; Y=63,8–64,15	Faza IIC. Nieduży dół posłupowy (z wypełniskiem 199) w dolnej części stoku wewnętrznego zachodniego wału grodziska; wypełniskiem była piaszczysto-żwirowa ziemia; miał śr. co najmniej 0,35 m (wychodził poza N ścianę wykopu) w patriach górnych i ok. 0,2 m w partiach niższych; ściany rozchylone łagodnie w stropie, niżej strome; w przekroju U-kształtny; gł. obiektu wynosiła do 0,3 m		199	43

ZNALEZISKA

URSZULA KOBYLIŃSKA

Ceramika

Ogólna charakterystyka zbioru

Na przebadanym w roku 2015 obszarze grodziska znaleziono 2355 fragmentów ceramiki zabytkowej. Wśród nich zidentyfikowano 313 górnych części z wylewem, pochodzących z 226 różnych naczyń i stanowiących odpowiednik 1993% SEN[5], a ponadto 1635 brzuśców, z których 964 są ornamentowane, 176 części przydennych, 111 fragmentów z zachowanym dnem, stanowiących odpowiednik 1801% SEN (w tym 36 fragmentów den wklęsłych, 34 – lekko wklęsłych oraz 11 fragmentów den płaskich (tab. 2).

Ponadto do analizy udostępniono zespołowi realizującemu projekt *Katalog grodzisk Warmii i Mazur* część zespołów ceramicznych pozyskanych w czasie badań w roku 1998[6], w liczbie 340 fragmentów ceramiki, wśród których znajdują się 43 górne części naczyń z wylewem, 247 brzuśców, 27 części przydenne i 5 den wklęsłych i lekko wklęsłych.

Pod względem chronologicznym analizowany materiał reprezentuje trzy epoki: wczesną epokę żelaza, wczesne średniowiecze i późne średniowiecze. Znaczna liczba fragmentów ceramiki pochodzi z najstarszej fazy użytkowania tego stanowiska: 568 fragmentów z badań 2015 r. i 16 fragmentów z badań w 1998 r. Większość analizowanych fragmentów ceramiki pochodzi z okresu wczesnośredniowiecznego: 1700 fragmentów z badań w 2015 r. i 322 z badań w 1998 r. Okres późnego średniowiecza jest reprezentowany zaledwie marginalnie kilkoma fragmentami.

Ceramika z wczesnej epoki żelaza

Ceramikę z wczesnej epoki żelaza znaleziono w wielu jednostkach stratygraficznych grodziska w Zajączkach, st. 1 jedynie jako domieszkę w postaci pojedynczych fragmentów, natomiast w jednostce 136 i 143 z Fazy IC, odpowiadającej destrukcji starszego grodu z wczesnej epoki żelaza, stanowiły one wyraźny i dość liczny element składowy. Ogółem znaleziono 65 części naczyń z zachowanym wylewem o różnym stopniu zniszczenia i wielkości, niekiedy bez możliwości pomiaru średnicy. Mierzalne fragmenty z wylewem stanowią łącznie odpowiednik ok. 482% SEN.

Naczynia o powierzchni gładkiej i wyświeconej

Najliczniejszą grupę ceramiki z wczesnej epoki żelaza z grodziska w Zajączkach, st. 1 stanowią fragmenty naczyń o powierzchni gładkiej i wyświeconej (tabl. 1:1, 3–5, 7–10; 2:1–7, 9–25; 3:1, 5–11; 4:1, 3–7; 5:3–4; 18:11; 19:1–2, 13; 23:1). Wśród fragmentów należących do tej grupy technologicznej zidentyfikowano 40 fragmentów naczyń z zachowanymi częściami brzegowymi. Są to przede wszystkim (ryc. 27:I):

- duże garnki o średnicy wylewu wynoszącej 22–30 cm, z pogrubionymi, zaokrąglonymi wylewami, o jajowatej lub baniastej formie;
- nieliczne, różnej wielkości esowate formy ze ściętym brzegiem;
- małe naczynka, czarki lub dzbanuszki o średnicy wylewu wynoszącej 10–16 cm, przeważnie o czarnej (5YR 2,5/1), rzadziej brązowej (5YR 4/3), wyświeconej powierzchni;
- misy zachylone i esowate o wypolerowanej i wyświeconej brązowej i czarnej powierzchni, o średnicy od 15 do 28 cm.

Rozłożyste, płytkie, półkuliste misy w analizowanym materiale reprezentowane są jedynie przez kilka egzemplarzy (tabl. 1:3; 2:15, 24; 19:13), częściej występują natomiast duże misy esowate z wydzielonym brzegiem o wypolerowanej powierzchni ścianek z obu stron (tabl. 1:8; 2:16, 21. Nieliczne zachowane ucha i cienkościenne fragmenty z wylewem wskazują na obecność w zestawie naczyń także czerpaków (tabl. 1:4, 7; 2:3, 5, 11, 13; 4:3), czy małych, delikatnych dzbanuszków (tabl. 2:1, 6, 9). Interesującą formą jest zachowana w całości mała czarka (tabl. 3:7) o powierzchni wypolerowanej, analogiczna do form określanych przez M. Hoffmanna jako typ V grupa III i wiązanych z II fazą kultury kurhanów zachodniobałtyjskich[7].

Duże garnki z pogrubionym brzegiem od wewnątrz były wyłożone grubą warstwą czarnej glinki, a ich powierzchnie zostały wyświecone (tabl. 1:5). W materiale zabytkowym odkryto także dużą liczbę fragmentów naczyń cienkościennych, delikatnych, tzw. stołowych jak wspomniane wyżej dzbanuszki oraz małych rozmiarów naczynka o powierzchni wypolerowanej (tabl. 2:14, 18, 20; 3:7).

Na ornamentykę naczyń o powierzchni gładkiej składają się karbowane brzegi w przypadkach dużych zasobowych naczyń (tabl. 1:5) lub drobne, wąskie, słabo widoczne rysy – żłobienia na powierzchniach wygładzonych szyjek i brzuśców (tabl. 2:1–2); niekiedy na brzuścach zaznaczają się płytkie owalne odciski palcowe (tabl. 2:4; 13:10).

W zespole ceramiki z Zajączków, st. 1 z Fazy IID znaleziono fragment naczynia o średnicy wylewu wynoszącej ok. 18 cm z łukowato wychylonym, ściętym, wąskim brzegiem z małym okapem. Wychylenie

[5] W sprawie miary SEN zob. Kobylińska 2003: 7.

[6] Realizatorzy projektu dziękują dr hab. Annie Marciniak-Kajzer z Instytutu Archeologii Uniwersytetu Łódzkiego.

[7] Hoffmann 2000: ryc. 39.

Tabela 2. Zestawienie ilościowe fragmentów ceramiki z grodziska w Zajączkach, st. 1 (oprac. U. Kobylińska)

FAZA	Jednostka stratygraficzna	Liczba fragmentów łącznie	Liczba różnych naczyń	Wylewy			Szyjki	Brzuśce							Ucha	Części przydenne	Dna									Fragmenty przepalone	Fragmenty o wypłukanej powierzchni	Ornament					Chronologia		
				Liczba fragmentów	SEN (procent obwodu)	Ornamentowane		Liczba fr. ogółem	Rodzaj powierzchni					Ornamentowane			Liczba fragmentów	SEN (procent obwodu)	Rodzaj			Wałek dookolny	Podsypka	Odcisk osi	Odcinanie			Żłobki dookolne	Linia falista	Ornament plastyczny	Odciski	Typu Menkendorf	Wczesna epoka żelaza	Wczesne średniowiecze	Późne średniowiecze
									Chropowacone	Gładkie	Wyświecane	Szorstkie	Nieokreślone						Wklęsłe	Lekko wklęsłe	Płaskie														
IA	48	3						3	3					1																		3		
IA	95	3	1	1	6		1	1			1																			1		3		
IA	139	4						3	3						1																	4		
IA	140	8	1	1	6		1	3	2	1						1	2															8		
IA	144	5	1	1	5			4		4																						5		
IA	162	10						6	2	2	2					4																10		
IA	187	1						1					1													1						1		
IA	188	2						1				1				1																2		
IA	192	10	2	4	10			4	1	1	1		2		1																	10		
IA	194	1														1																1		
IB	158	3	1	1	5	1		2	1				1																			3		
IB	190	1	1	1	5																											1		
IC	136	259	31	46	256	4	4	191	73	52	10		56	8	2	13	3	110	1		1	1	1			10	12				12		259		
IC	143	143	8	15	69	3		115	63	16	10		26	4	1	13										1	28						143		
IC	161	3	2	2	10	1		1	1																							3		
IIA	132	6						4				3	1	2		1	1	10			1		1				1	2			1		1	4	
IIB	137	3						3				2	1	2														2					2	
IIC	43	47	3	7	55		2	35				35		21		3												31					47	
IIC	107	1						1		1																						1		
IIC	145	1						1	1																							1		
IIC	154	3					1	1		1						1																3		
IID	19	11	1	1	10			4				4		4		5	1		1				1					8					11	
IID	33	167	13	20	138		5	123				122	1	94		10	9	97	5	2		4	5					106	7	8	10		1	166	
IID	34	495	24	58	429		26	353	1			348	4	273		35	23	497	1	8	2	7	9	2				272	37	37	24		1	494	
IID	39	11					1	7				7		6		3												6	3			1		11	
IID	41	73	6	11	51	1	5	51						48		2	4	48		2	2					4		55	2	5	6		3	70	
IID	54	13	1	1	7		1	8				8		6		1	2	25	1	1		1		1				8	2			1		13	
IID	55	3	1	1	10			1		1						1												1					2	1	
IID	57	31	8	8	81			13				13		8		5	5	142	2	1	2	3	4					12	2	3	2	1			
IID	65	31	1	3	25		3	16				16		15		7	2	35	1			1						10	2	2	2			31	
IIE	28	76	12	14	55		4	54		1		47	6	43		1	3	17	1			1	1			8	2	50	11	5	4		1	74	
IIE	32	23	2	4	40		1	15				15		13			3	46	3			3	3					13	5	1	2			23	
IIE	66	30	6	7	50		2	12		1		11		10		4	5	101	2	1		2	2					14	3	1	1		1	29	
IIF	23	13	2	2	19			10		1		6	3	6		1												6	1	1	1		1	9	
IIG	3	53	5	6	43	1	1	31	1	2		26	2	25		9	6	65	1	1			1			16		27	3		1		4	47	
IIG	6	3	1	1	5			2		1			1	1																	1		1	1	

Tabela 2. Ciąg dalszy

FAZA	Jednostka stratygraficzna	Liczba fragmentów łącznie	Liczba różnych naczyń	Wylewy			Szyjki	Brzuśce							Ucha	Części przydenne	Dna									Fragmenty przepalone	Fragmenty o wypłukanej powierzchni	Ornament					Chronologia		
									Rodzaj powierzchni										Rodzaj																
				Liczba fragmentów	SEN (procent obwodu)	Ornamentowane		Liczba fr. ogółem	Chropowacone	Gładkie	Wyświecane	Szorstkie	Nieokreślone	Ornamentowane			Liczba fragmentów	SEN (procent obwodu)	Wklęsłe	Lekko wklęsłe	Płaskie	Wałek dookolny	Podsypka	Odcisk osi	Odcinanie				Żłobki dookolne	Linia falista	Ornament plastyczny	Odciski	Typu Menkendorf	Wczesna epoka żelaza	Wczesne średniowiecze	Późne średniowiecze
IIG	7	29	5	5	4	2		20	10	7		3		3		2	2	50		1					1			2		1			24	3	2
IIG	8	2	1	1	15			1				1		1																	1		2	
IIG	29	17	4	4	49		2	7		2		5		5		2	1	40		1				1				7	2	1			3	14	
IIG	35	115	12	17	115		4	74		3		71		57		11	9	150	4	5		5	6					61	16	11	7		3	112	
IIG	70	2	1	1	10											1												2		1	1			2	
IIG	81	1	1	1	4																												1		
IIG	93	2	2	2	24																												1	1	
IIG	106	1						1			1																						1		
IIG	113	3						3					3													3							3		
IIG	114	2					1			1																							2		
IIH	4	80	12	14	112		2	50	2	5		42	1	39		9	5	62	1	3		4	3					51	2		3		9	70	
IIH	10	1						1					1																						
IIH	12	1						1				1		1														1						1	
IIH	21	3						3		1		2		2																			1	2	
IIH	68	1						1			1																						1		
IIH	105	8						8	1	6			1	1																			8		
III	1	235	24	24	116	1	12	162	13	3		139	13	101		15	12	175	6	6		7	12			6	9	128	7	6	4	1	26	194	2
III	2	177	10	10	83		8	134	3	2		103	26	98		11	11	86	4	2	3	6	7		1	26		105	14	6	11		6	143	2
III	5	47	6	6	34	1	3	37	1			36		25		1												27			4		2	45	
III	27	65	9	11	37		6	44				44		36		2	2	45	2			2	2					48	3	1	8			65	
III	64	9	5	1				4				4		2												9		2	2					9	
Suma		**2351**	**172**	**261**	**1723**	**13**	**67**	**1250**	**165**	**110**	**26**	**789**	**111**	**699**	**5**	**147**	**86**	**1495**	**24**	**26**	**8**	**32**	**37**	**4**	**1**	**43**	**43**	**747**	**98**	**77**	**80**	**4**	**534**	**1240**	**2**
Ceramika z badań A. Marciniak-Kajzer z roku 1998																																			
	humus	29	2	2			3	23				23		19		1											2	20	1	1	2			27	2
	1	21					1	18				18		15		2												18	1		2			21	
	2	190	20	25	158		9	141	2	3		136		125		12	3	35	2	1		2	3	1				144	17	20	16		5	185	
	3	25	1	1	20		1	22		1		21		22		1												18	6	2	2		1	24	
	4	21	2	3	18		2	14	1	1		12		12		2												13	1	2	2		5	16	
	6A	10	2	4	46		2	3				3		2			1	?										6					1	9	
	9	44	4	8	57			26		3		23		21		9	1	100		1		1	1					30	3	1			4	40	
Suma		**340**	**31**	**43**	**299**		**18**	**247**	**3**	**8**		**236**		**216**		**27**	**5**	**135**	**2**	**2**		**3**	**4**	**1**			**2**	**249**	**29**	**26**	**24**		**16**	**322**	**2**

Tabela 3. Fragmentacja i erozja fragmentów ceramiki z grodziska w Zajączkach, st. 1 (oprac. U. Kobylińska)

Faza	Jedn.	Kategorie wielkościowe [cm]																Stopień erozji				Suma
	strat.	1	2	3	4	5	6	7	8	9	10	11	12	13	14	15	16	0	I	II	III	
IA	48						1	2											1	1	1	**3**
IA	95				2		1												3			**3**
IA	139			3	1															3	1	**4**
IA	140				4	2	1		1										7	1		**8**
IA	144			2		2		1											5			**5**
IA	162			1	5		3	1											9	1		**10**
IA	187							1													1	**1**
IA	188			1	1														1	1		**2**
IA	192		1	2	4	1	1			1									8		2	**10**
IA	194									1									1			**1**
IB	158			1			2													2	1	**3**
IB	190					1													1			**1**
IC	136		1	59	59	64	25	28	11	11	1								98	122	39	**259**
IC	143			23	29	32	24	17	13	4	1								71	43	29	**143**
IC	161					1			1	1									2	1		**3**
IIA	132			1	1		3	1											3	2	1	**6**
IIB	137			2	1														2		1	**3**
IIC	43				6	12	11	1	3	2	5	6					1	7	35	2	3	**47**
IIC	107				1															1		**1**
IIC	145					1														1		**1**
IIC	154				1	1	1												1	2		**3**
IID	19				2	1	2	5		1									7	4		**11**
IID	33		1	22	43	40	24	17	8	5	4	1			1		1		122	40	5	**167**
IID	34		2	25	105	122	80	52	44	33	13	15	3	1					393	71	31	**495**
IID	39				7	2	2												10	1		**11**
IID	41			12	20	14	15	6	3	2	1							6	58	5	4	**73**
IID	54			3	3	3	4												12	1		**13**
IID	55			1	1				1									1		2		**3**
IID	57				2	10	5	5	4	2	3								28	3		**31**
IID	65			3	7	9	4	1	3	2	2								18	10	3	**31**
IIE	28		3	19	18	15	6	11	4										35	30	11	**76**
IIE	32		2	3	3	9	4	1	1										19	1	3	**23**
IIE	66			1	7	6	2	3	3	3	3	1	1					2	7	19	2	**30**
IIF	23			1	3	3	1	2	1	2									8	1	4	**13**
IIG	3			13	14	11	6	4	4	1									28	7	18	**53**
IIG	6			1	1	1													1	1	1	**3**
IIG	7			8	3	6	6	4	2									2	12	9	6	**29**
IIG	8				1					1								1	1			**2**
IIG	29			5	1	3	2		1	2	1				1	1		1	11	5		**17**
IIG	35			15	39	24	19	5	9	3	1							2	68	40	5	**115**
IIG	70					1				1									2			**2**
IIG	81				1															1		**1**
IIG	93				1					1								1	1			**2**
IIG	106				1														1			**1**
IIG	113						2	1													3	**3**
IIG	114			1			1												1	1		**2**
IIH	4		3	16	15	19	13	8	2	3	1							4	49	23	4	**80**
IIH	10				1																1	**1**
IIH	12					1													1			**1**
IIH	21				2			1											3			**3**
IIH	68					1														1		**1**
IIH	105			3	2	2	1													7	1	**8**
III	1		8	94	48	44	27	7	4	2	1							1	108	99	27	**235**
III	2			38	44	42	26	11	13	3									68	80	29	**177**
III	5		5	17	12	7	4	1	1										35	10	2	**47**

Tabela 3. Ciąg dalszy

Faza	Jedn. strat.	Kategorie wielkościowe [cm]																Stopień erozji				Suma
		1	2	3	4	5	6	7	8	9	10	11	12	13	14	15	16	0	I	II	III	
III	27		3	14	27	13	6	2											52	12	1	**65**
III	64			2		2	2	2	1												9	**9**
	Suma	**0**	**29**	**412**	**549**	**528**	**337**	**201**	**138**	**87**	**37**	**23**	**4**	**1**	**2**	**1**	**2**	**28**	**1407**	**667**	**249**	**2351**
Badania A. Marciniak-Kajzer w 1998 r.																						
	humus			10	7	4	5	1											11	14	2	**27**
	1		2	11	2	3	4	1											14	8	1	**23**
	2		5	27	62	49	21	16	4	3	2	1							116	71	3	**190**
	3			3	10	7	2	1	1				1					1	20	3	1	**25**
	4			6	2	6	5	1	1										12	9		**21**
	6A			3	1	3	2			1									8	2		**10**
	9		3	8	7	7	5	4	4	3		1	1				1		37	7		**44**
	Suma	**0**	**10**	**68**	**91**	**79**	**44**	**24**	**10**	**7**	**2**	**2**	**2**	**0**	**0**	**0**	**1**	**1**	**218**	**114**	**7**	**340**

brzegu jest nieregularne i nierówne. Jest to naczynie średniej wielkości, niestarannie opracowane, z licznymi zmarszczeniami gliny od wewnątrz, nierównościami i śladami po złączeniach wałków. Było to naczynie o powierzchni pierwotnie gładkiej, obecnie zniszczonej, zdartej, barwy brązowej, z mocnymi plamami okopcenia z zewnątrz. Masa ceramiczna tego naczynia zawiera domieszkę o zróżnicowanej granulacji, włącznie z bardzo grubymi ziarnami oraz mikę. Fragment z jednej strony ścianki ma półokrągłe wycięcie. Jest to ślad po osadzeniu ucha na czop lub otwór dla reperacji (tabl. 18:11). Analogiczne formy małych i dużych rozmiarów odkryto w czasie badań grodziska w Łodygowie, st. 2, gm. Kisielice, pow. iławski[8].

Naczynia o powierzchni chropowaconej

Rzadziej, choć dość licznie, wystąpiły także naczynia o powierzchni pokrytej chropowaceniem.

Warstewka glinki z ziarnami pokrywająca ściankę zewnętrzną ma zwykle odcienie barwy jasnobrązowej, czerwonawo-brązowej, do czerwonawo-żółtej (5YR 7/6, 5YR 6/6, 5YR 5/4, 5YR 5/6). Chropowacenie w postaci wyraźnie wydzielających się zgrubień i smug pokrywa całą powierzchnię od miejsca wydzielającego się wylewu. Rzadziej występuje krótka, wygładzona szyjka, poniżej której rozpoczyna się tzw. drobne chropowacenie powierzchni z niewielkimi zgrubieniami glinki i drobnymi ziarnami na powierzchni (tabl. 1:6). Wnętrza tego rodzaju naczyń zawsze są gładkie, a czasem nawet wyświecone (tabl. 3:2–3; 4:2, 8; 5:1–2; 18:9; 20:1).

Naczynia reprezentujące tę grupę technologiczną w materiale zabytkowym z Zajączków, st. 1 to głównie naczynia średnicy wylewu wynoszącej od 16 do 30 cm, często (w przypadku 13 fragmentów) z wylewem ozdobionym zaszczypywaniami. Garnki o ozdobnym brzegu mają formę lekko esowatą (tabl. 3:2–3; 4:2) lub zachyloną (tabl. 4:8; 5:1). Garnki o formie esowatej i powierzchni chropowaconej z wylewem zaokrąglonym lub szerokim wydzielającym się, są głównie baniaste, o wyraźnie uwydatnionym brzuścu (tabl. 4:2; 5:2; 16:3; 18:9; 20:1).

Do grupy dużych naczyń z ozdobnymi wylewami zaliczono nielicznie występujące naczynia o powierzchni słabo górą wygładzonej, częściej szorstkiej, matowej z wgłębieniami paznokciowymi na całej powierzchni (tabl. 1:9; 3:8–11; 5:3; 18:10; 19:1–2). Naczynia te charakteryzowała spora ilość domieszki różnej granulacji i miki, barwa jasnobrązowo-ceglasto-żółta (7,5YR 6/4), przeważnie z obu stron. Zawsze ścianka wewnętrzna była mocno wypolerowana, niekiedy pokryta czarną glinką. Powierzchnia zewnętrzna była nierówna, ze śladami wgłębień po palcach, zagładzana przed wykonaniem paznokciowych wgłębień, głównie pod wylewem. Części przydenne cechowały wyrwy po ziarnach i większy stopień szorstkości. Jasne ścianki naczyń noszą ślady okopceń.

Poza ozdabianiem wgłębieniami paznokciowymi i zaszczypywaniem brzegów wylewów, naczynia chropowacone są niezwykle rzadko pokrywane ornamentem. Naklejanych listew nie odnotowano. Wystąpiły owalne wgłębienia na części wygładzonej tuż powyżej chropowacenia (tabl. 1:2).

Analogie i chronologia

Analogiczne do znalezionych w czasie badań w Zajączkach, st. 1 formy naczyń z wczesnej epoki żelaza z ozdobnym brzegiem, o powierzchni pokrytej odciskami paznokciowymi odkryte zostały m.in. w kurhanach w Gródkach, st. 7 – „Brzezinka", gm. Płośnica, pow. działdowski, w Starym Łączynie, gm. Dzierzgowo, pow. mławski, w Krośnie, gm. Pasłęk, pow. elbląski, w Zawiszyn, gm. Elbląg, pow. elbląski,

[8] Por. opracowanie wyników badań tego grodziska, w niniejszej publikacji.

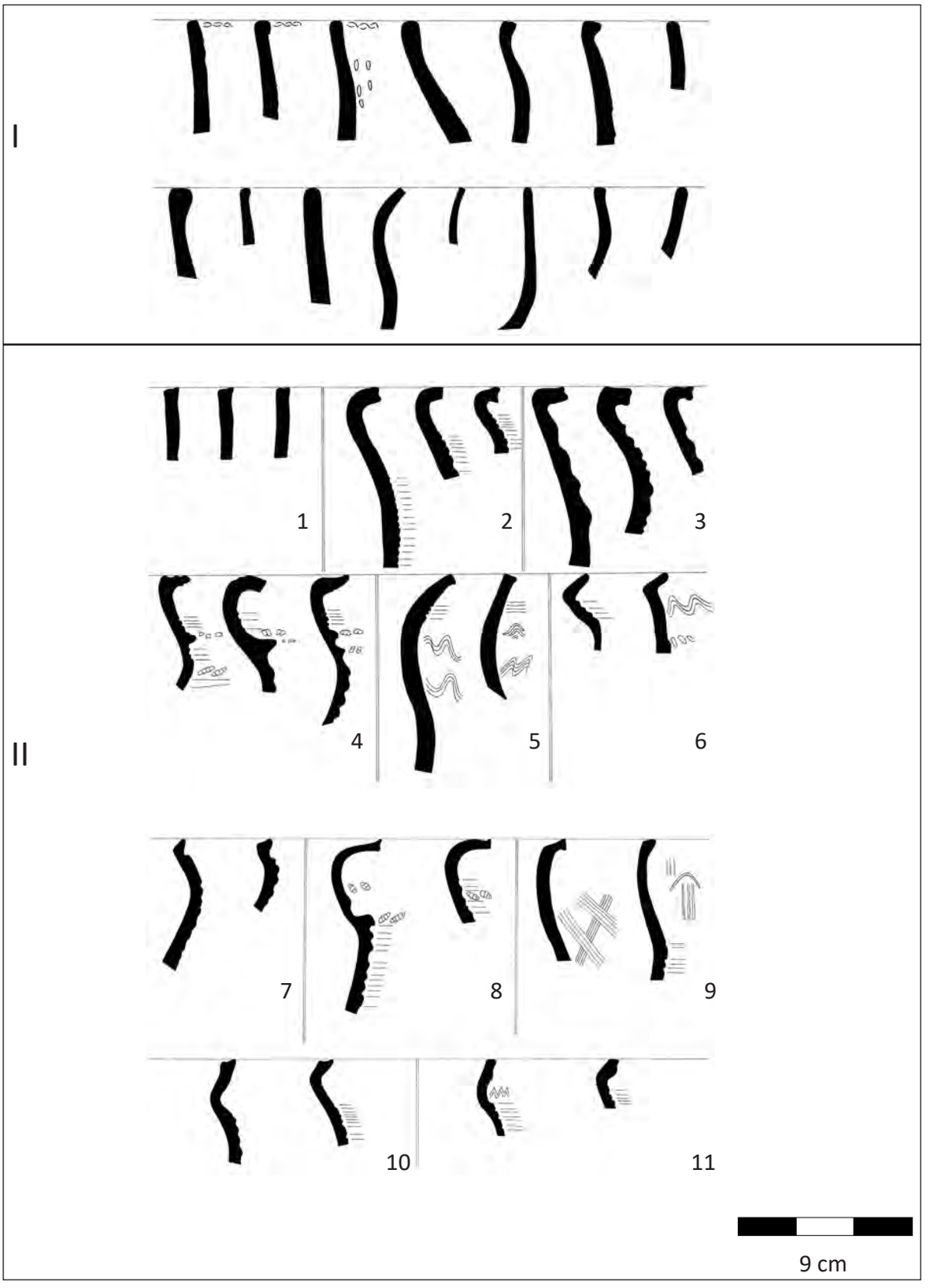

Ryc. 27. Zajączki, st. 1. Formy naczyń z wczesnej epoki żelaza (I) i z wczesnego średniowiecza (II) (oprac. U. Kobylińska, rys. D. Wach)

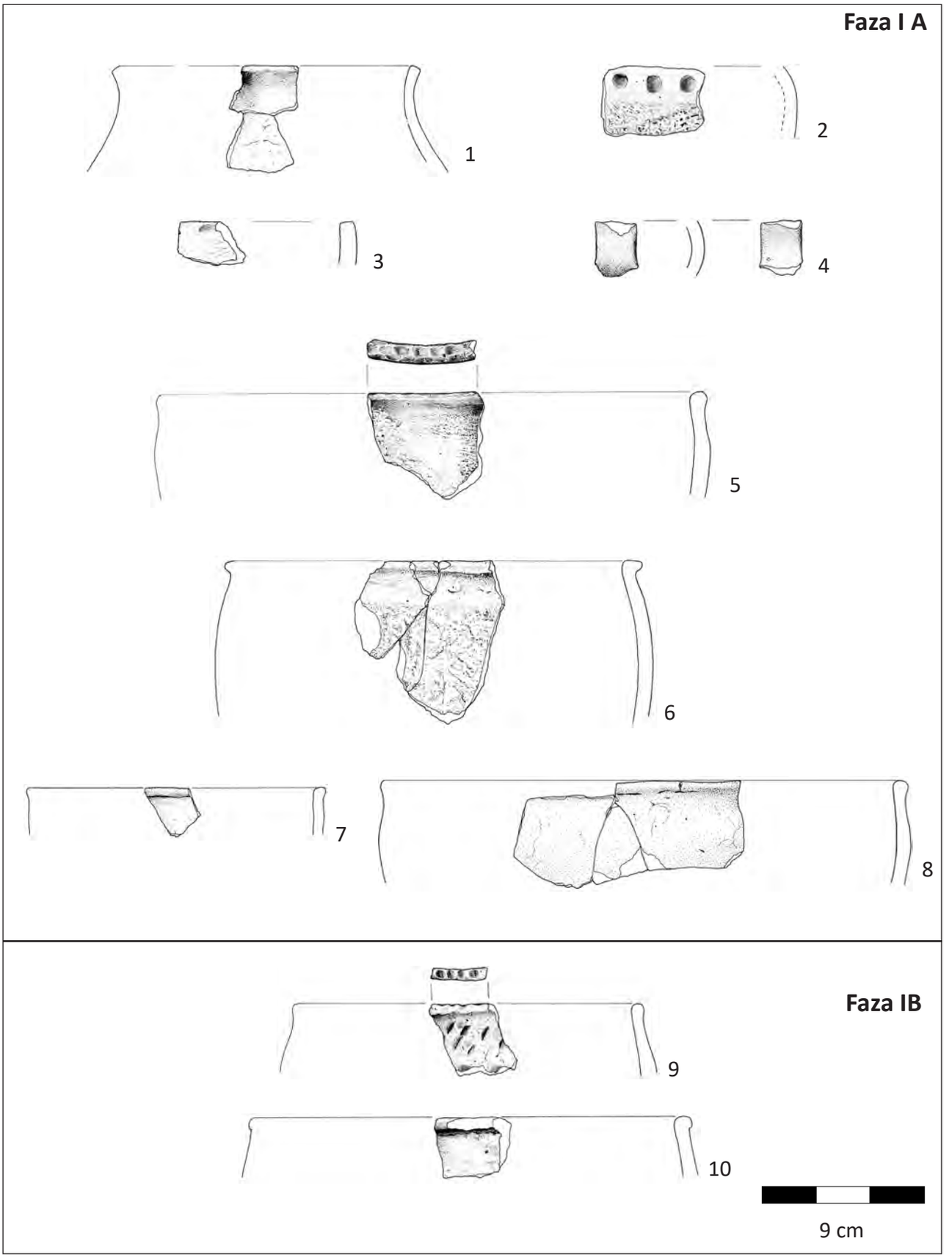

Tablica 1. Zajączki, st. 1. Fragmenty ceramiki z nawarstwień Fazy IA i IB (rys. D. Wach)

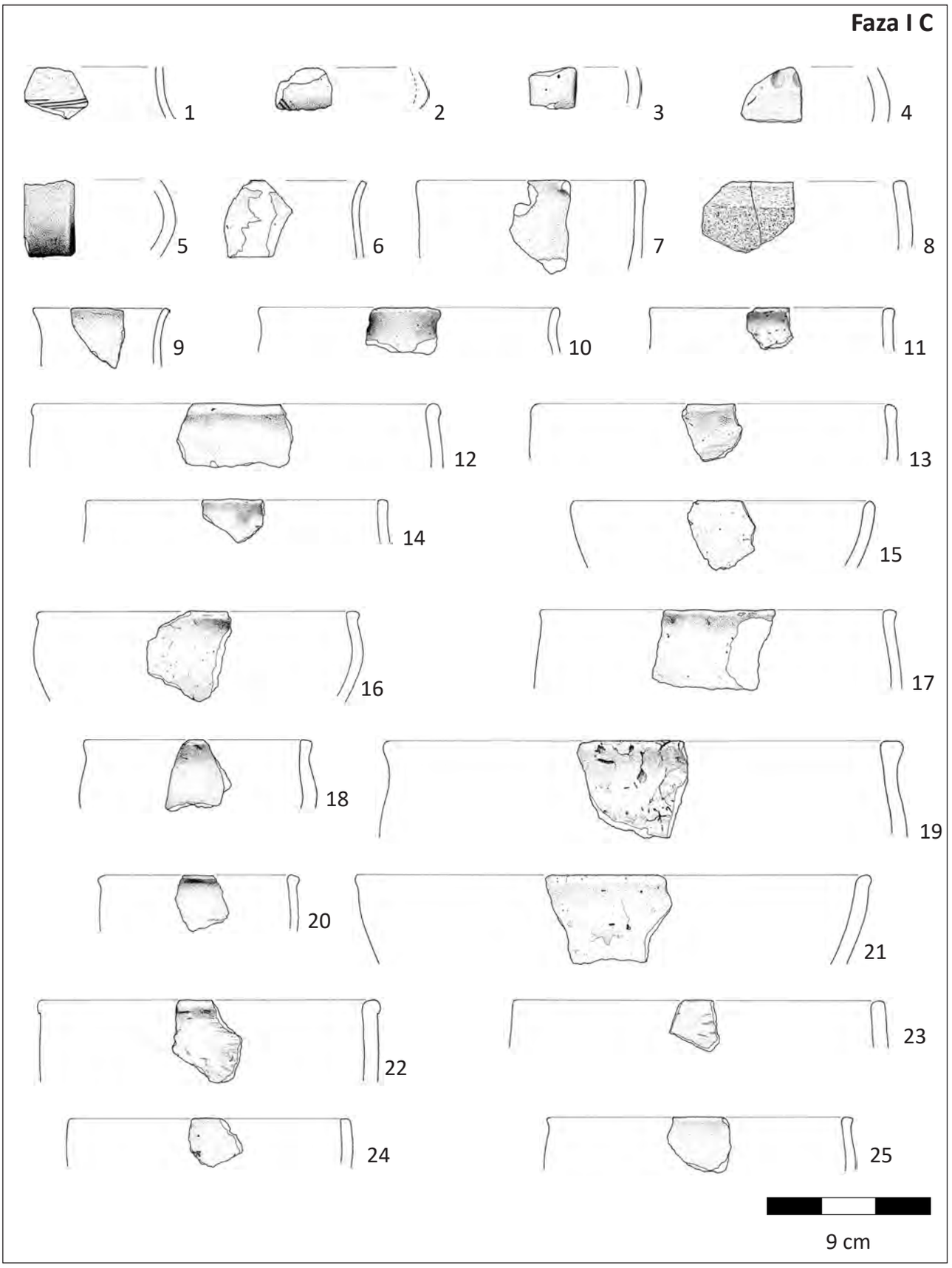

Tablica 2. Zajączki, st. 1. Fragmenty ceramiki z nawarstwień Fazy IC (rys. D. Wach)

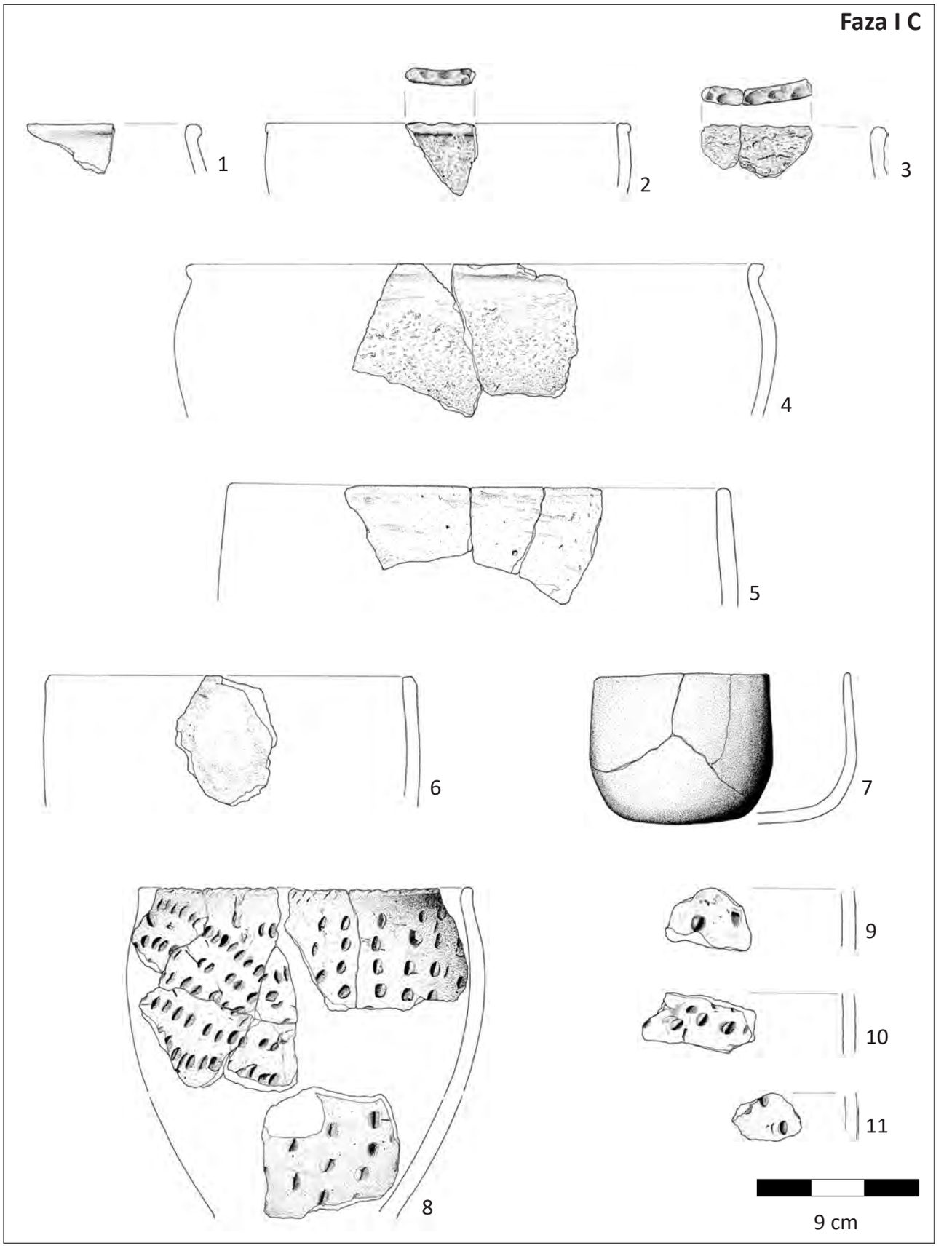

Tablica 3. Zajączki, st. 1. Fragmenty ceramiki z nawarstwień Fazy IC (rys. D. Wach)

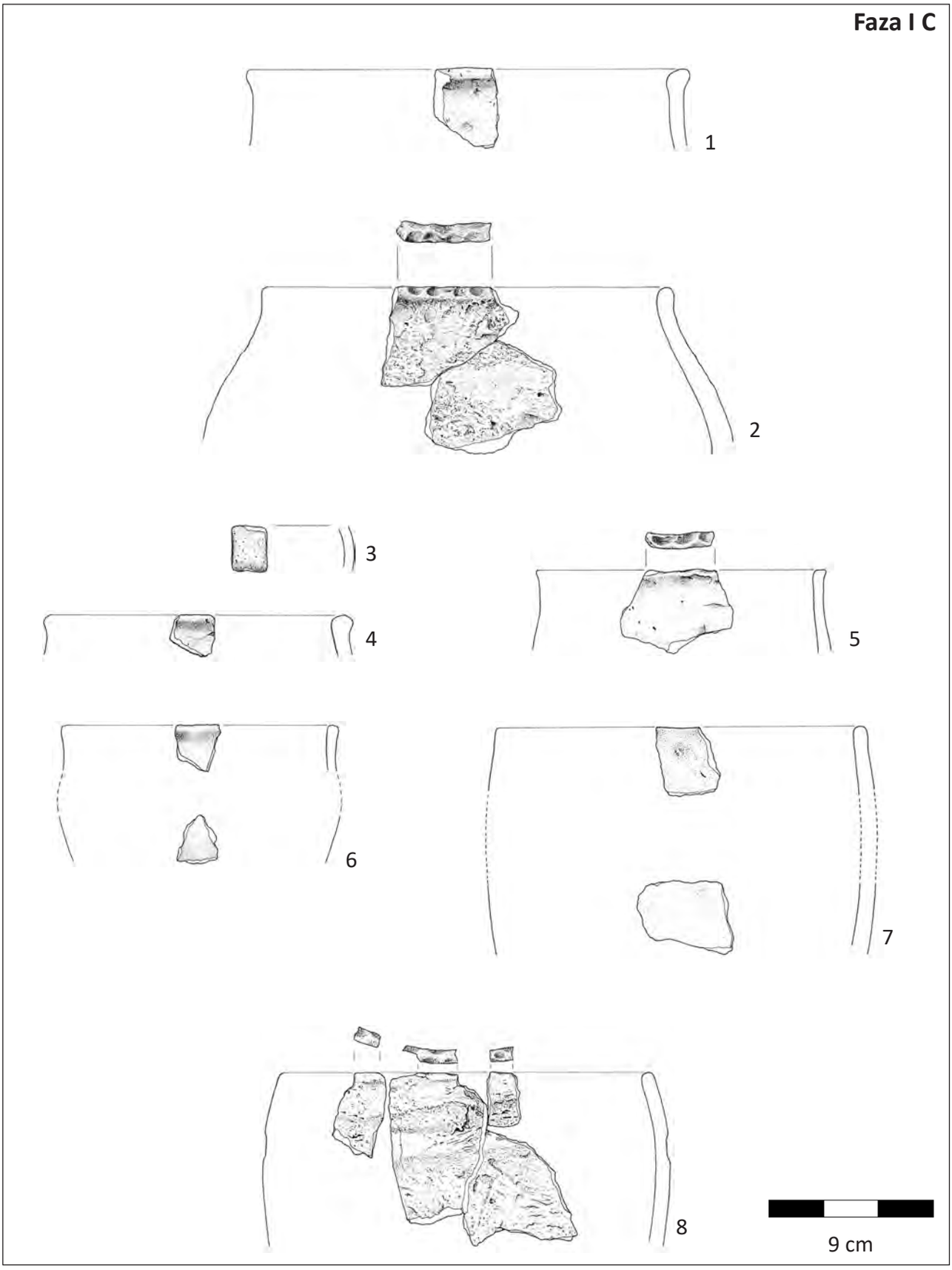

Tablica 4. Zajączki, st. 1. Fragmenty ceramiki z nawarstwień Fazy IC (rys. D. Wach)

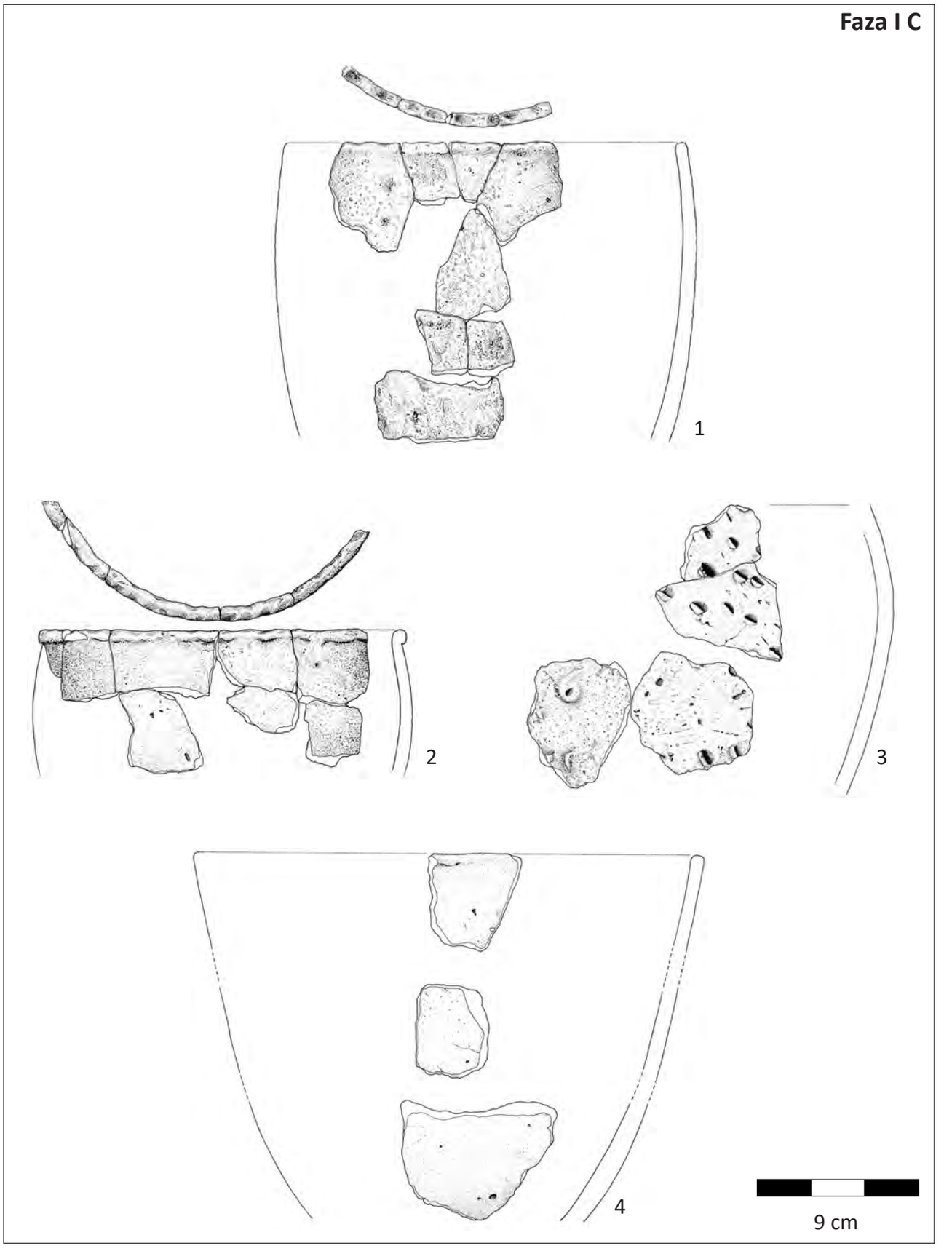

Tablica 5. Zajączki, st. 1. Fragmenty ceramiki z nawarstwień Fazy IC (rys. D. Wach)

czy w Romejkach, gm. Ełk, pow. ełcki[9]. W Krainie Wielkich Jezior naczynia takie pochodzą z Giżycka, st. 8[10]. Naczynia z odciskami paznokciowymi na powierzchni wystąpiły także w dużym kompleksie osadniczym w Janowie Pomorskim, st. 1, gm. Elbląg, pow. elbląski[11]. Obszar ich występowania jest zatem rozległy, występują bowiem zarówno w wydzielonej przez Ł. Okulicz[12] grupie zachodniomazurskiej, jak i wschodniomazurskiej kultury kurhanów zachodniobałtyjskich.

Duże, grubościenne garnki, z pogrubionym, wydzielającym się brzegiem, o powierzchni chropowaconej, znajdują analogie także w materiale ceramicznym ze Starego Łączyna, gm. Dzierzgowo, pow. mławski, Starego Dzierzgonia, pow. sztumski, Starzykowa Małego, gm. Iława, pow. iławski, czy Kretowin, gm. Morąg, pow. ostródzki[13]. Duże naczynie chropowacone z mocno wystającym spłaszczonym brzegiem z grodziska w Zajączkach, st. 1 z jednostki stratygraficznej 161 ma dokładną analogię, zarówno pod względem formy, jak i wielkości, w naczyniach z Kretowin, gm. Morąg, pow. ostródzki i Jeziorka, gm. Ryn, pow. giżycki[14].

Naczynia duże o zachylonych brzegach, jajowate o powierzchni chropowaconej, często spotykane na stanowiskach kultury kurhanów zachodniobałtyjskich, nie są zwykle ozdabiane zaszczypywaniem na brzegu, jak ma to miejsce w materiale z Zajączków, st. 1. Tego rodzaju duże analogiczne naczynia jajowate z lekko i mocno wydzielonym brzegiem o powierzchni chropowaconej określone są przez M. Hoffmanna[15] jako typ IV i datowane są na okres VIEB – HaD.

Formy naczyń o powierzchni gładkiej z Zajączków, st. 1 wykazują największe podobieństwo do materiału zabytkowego z Kitek, st. 1 – „Żal" i st. 2 – „Zielona Góra", gm. Dzierzgowo, pow. mławski, Gródków, st. 7 – „Brzezinka", gm. Płośnica, pow. działdowski, Starego Łączyna, gm. Dzierzgowo, pow. mławski, Kęsochy, st. 1, gm. Dzierzgowo, pow. mławski, czy Piastowa, gm. Krzynowłoga Mała, pow. mławski[16]. Na tych stanowiskach znaleziono także wiele podobnych form mis, zarówno zachylonych czarek, jak i lekko esowatych, płytkich mis z wydzielonym brzegiem[17]. Zachowane w dużej części gładkie naczynko o prostych ściankach i półkulistym dnie z jednostki stratygraficznej 136 w Zajączkach, st. 1 znajduje analogię wśród ceramiki z kurhanów w Kęsosze, st. 1, gm. Dzierzgowo, pow. mławski, czy w Piastowie, gm. Krzynowłoga Mała, pow. mławski, jak również w materiale z Kretowin, gm. Morąg, pow. ostródzki, czy naczyń z kurhanów na Wysoczyźnie Elbląskiej[18].

Podsumowując należy stwierdzić, że ceramika starożytna z Zajączków, st. 1 wykazuje cechy charakterystyczne ceramiki kultury kurhanów zachodniobałtyjskich z drugiej fazy jej rozwoju.

Ceramika wczesnośredniowieczna

Ogólna charakterystyka zbioru

W nawarstwieniach kulturowych grodziska w Zajączkach, st. 1 odkryto w 1998 roku 322 fragmenty ceramiki wczesnośredniowiecznej, które częściowo zostały opublikowane[19], a w trakcie badań przeprowadzonych w 2015 r. – 1699 fragmentów ceramiki wczesnośredniowiecznej. Znaleziono 161 górnych części naczyń z zachowanym wylewem, co stanowi odpowiednik ok. 1500% SEN. Wczesnośredniowieczne fragmenty z wylewem zachowane są w rozmaitej wielkości i w zróżnicowanym stopniu zniszczenia. Duża część materiału zachowana jest w dużych fragmentach, jednocześnie przy niewielkim zniszczeniu podepozycyjnym. Dotyczy to głównie znalezisk z warstw powstałych w Fazie IIC i IID (tabl. 6–12). W nawarstwieniach pozostałych faz: IIE, IIF, IIG i IIH (tabl. 13–19) materiał ceramiczny zachował się w nieco mniejszych fragmentach i wyklejenia są rzadsze, natomiast zespoły ceramiczne z warstw Fazy III charakteryzują się najbardziej rozdrobnionym materiałem (tabl. 20–23).

Cechami charakterystycznymi naczyń wczesnośredniowiecznych z Zajączków, st. 1 jest brązowa barwa powierzchni (5YR 6/6; 7,5YR 5/3), przeważnie z obu stron, szorstkość powierzchni, trójwarstwowe przełamy i domieszka drobna i średnia z dużą zawartością miki. Ślady kręgów pozostałych po obtaczaniu naczyń pozwalają ocenić stopień obtaczania jako średnio silny. Przełamy ścianek ujawniają złączenia wałków, w miejscach w których występują przewężenia ścianek lub/i następowały pęknięcia naczyń.

Formy naczyń

Analiza górnych części naczyń wczesnośredniowiecznych pozwala na wyodrębnienie w materiale zabytkowym z Zajączków, st. 1 grup typowych ze względu na ukształtowanie profilu i rodzaju brzegu (ryc. 27:II):

[9] Ł. Okulicz 1970: tabl. 2:6, 23; 3:16, 28; 9:5; 10:21; 20:5, 7, 10.

[10] Hoffmann 1999a: tabl. 76:13.

[11] Ignaczak i Affelski 2012: tabl. 11:1; 12:1.

[12] Ł. Okulicz 1970.

[13] Ł. Okuliczowa 1970: tabl. 3:5, 6, 25, 26; 25:2, 14; 26:2, 6, 23–26.

[14] Ł. Okulicz 1970: tabl. 26:25; 28:1; J. Okulicz 1973: ryc. 113:a; Hoffmann 1999a: tabl. 73:13.

[15] Hoffmann 2000: ryc. 38.

[16] Ł. Okulicz 1970: tabl. 1:2; 2; 3:10, 13, 14, 23; 5; 7:10, 11.

[17] Ł. Okulicz 1970: tabl. 5:9–10, 13, 15, 19–20, 24; J. Okulicz 1973: ryc. 118:j; 119:3.

[18] Ł. Okulicz 1970: tabl. 5:4, 23; 10:17–19; J. Okulicz 1973: ryc. 119:f; 124:c.

[19] Marciniak-Kajzer 1998; Hoffmann i Mackiewicz 2004: ryc. 32–33.

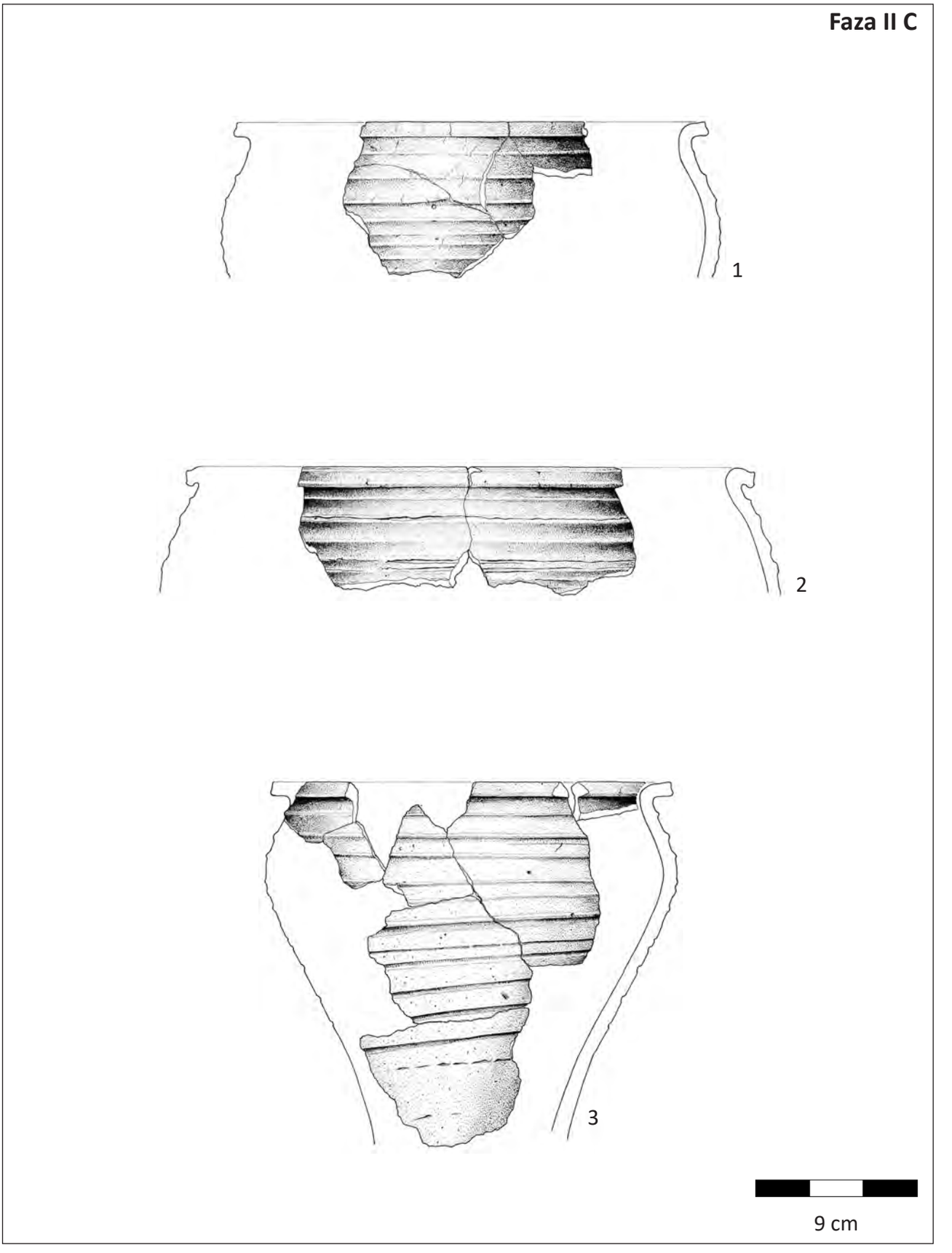

Tablica 6. Zajączki, st. 1. Fragmenty ceramiki z nawarstwień Fazy IIC (rys. D. Wach)

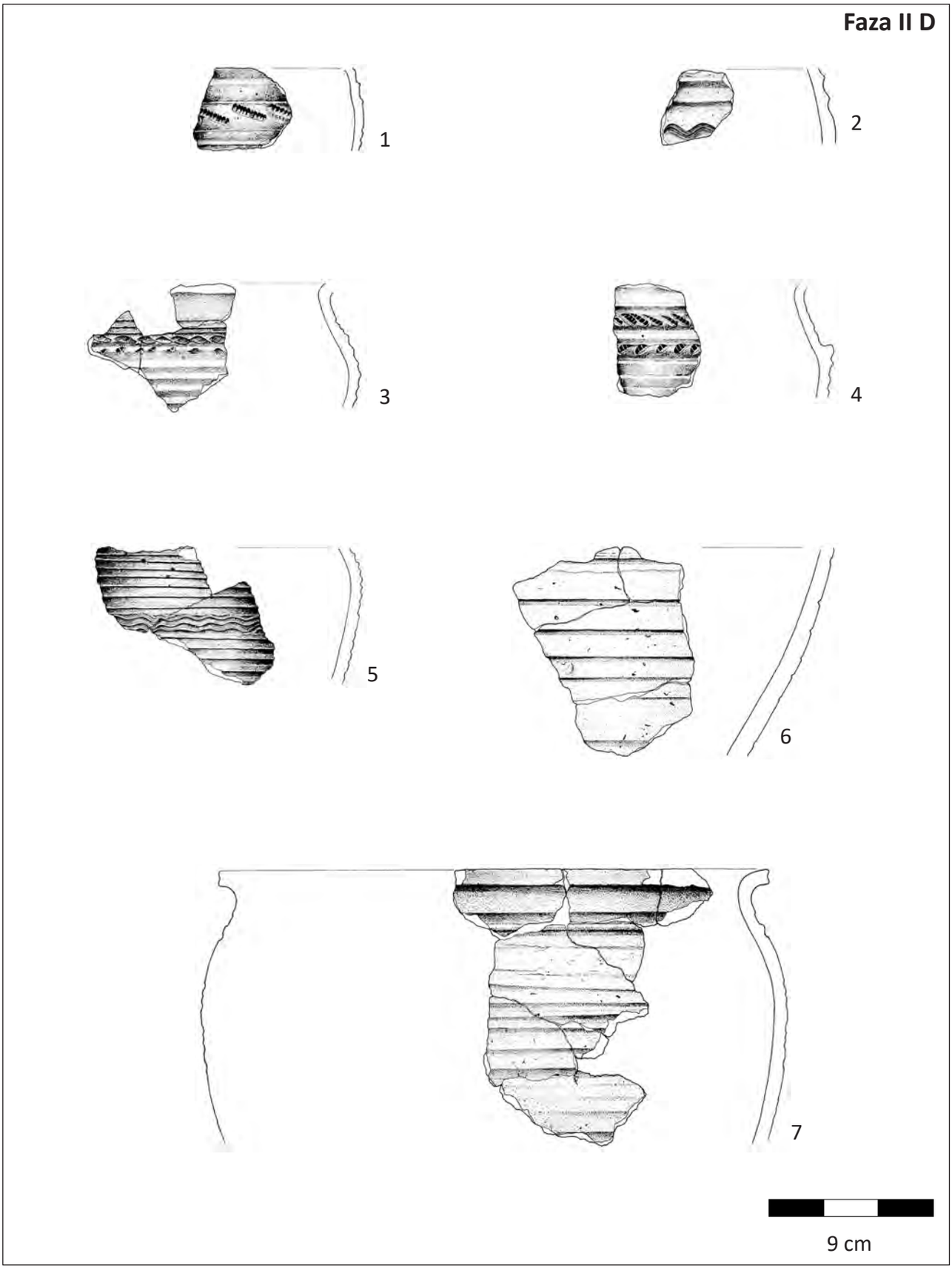

Tablica 7. Zajączki, st. 1. Fragmenty ceramiki z nawarstwień Fazy IID (rys. D. Wach)

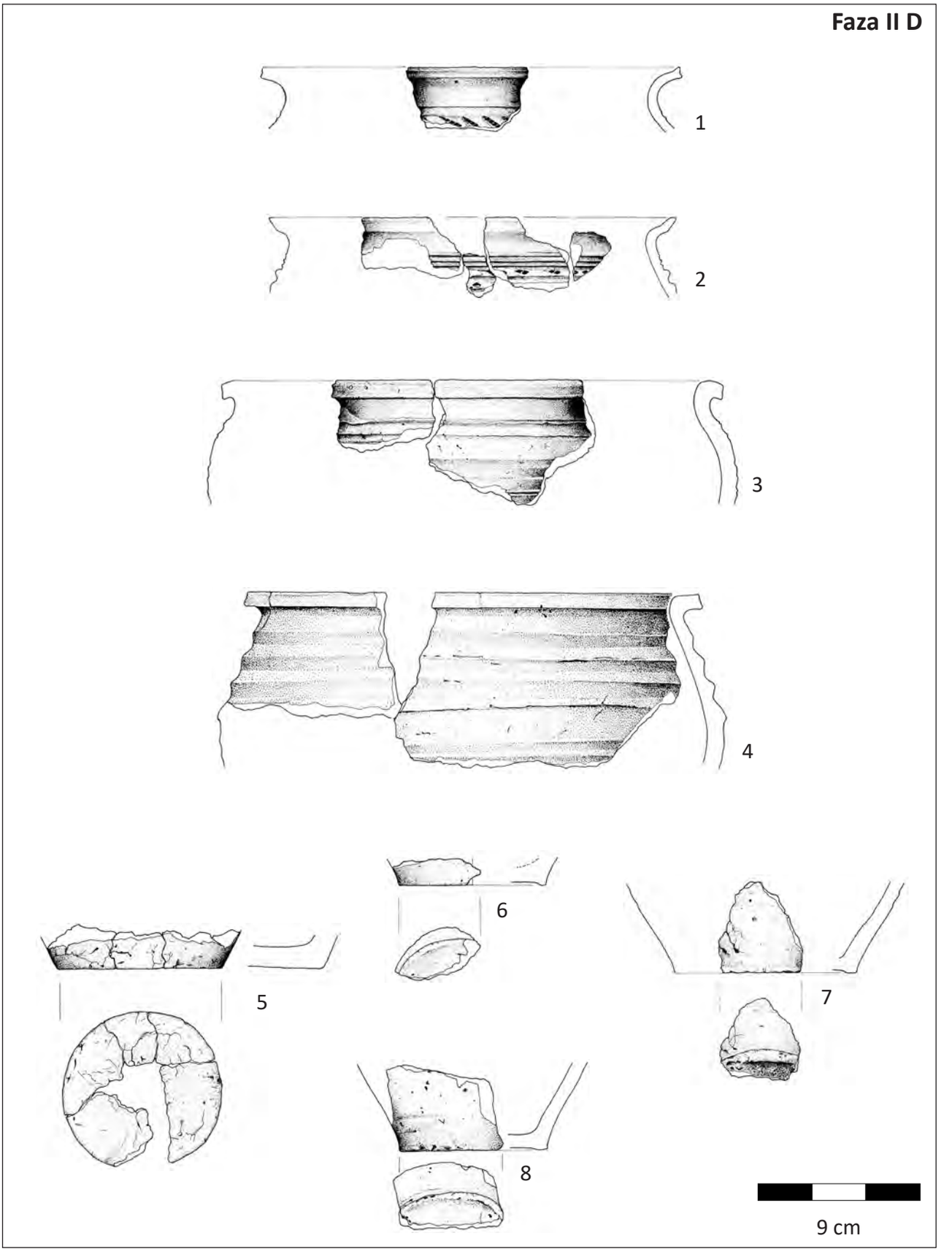

Tablica 8. Zajączki, st. 1. Fragmenty ceramiki z nawarstwień Fazy IID (rys. D. Wach)

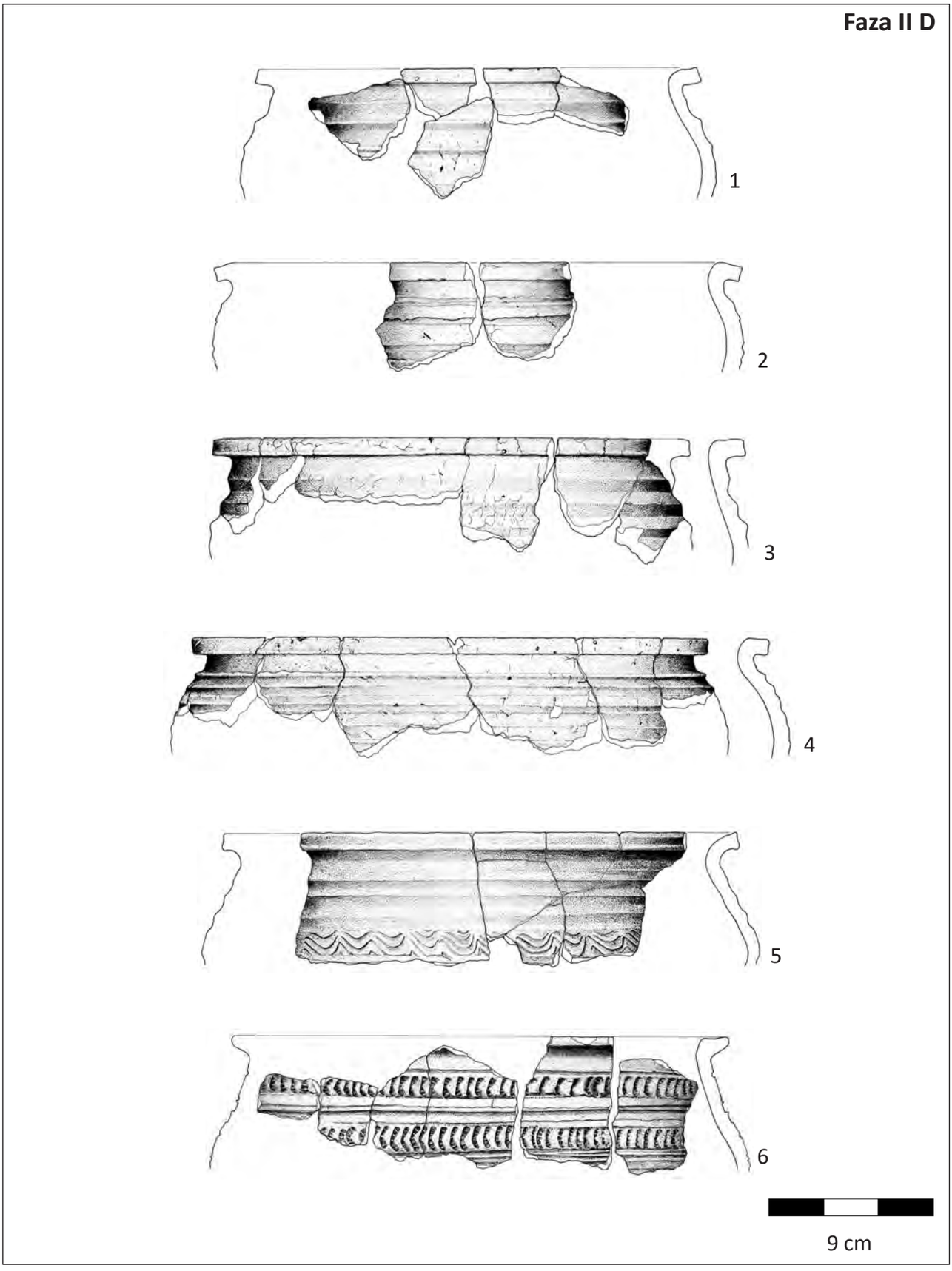

Tablica 9. Zajączki, st. 1. Fragmenty ceramiki z nawarstwień Fazy IID (rys. D. Wach)

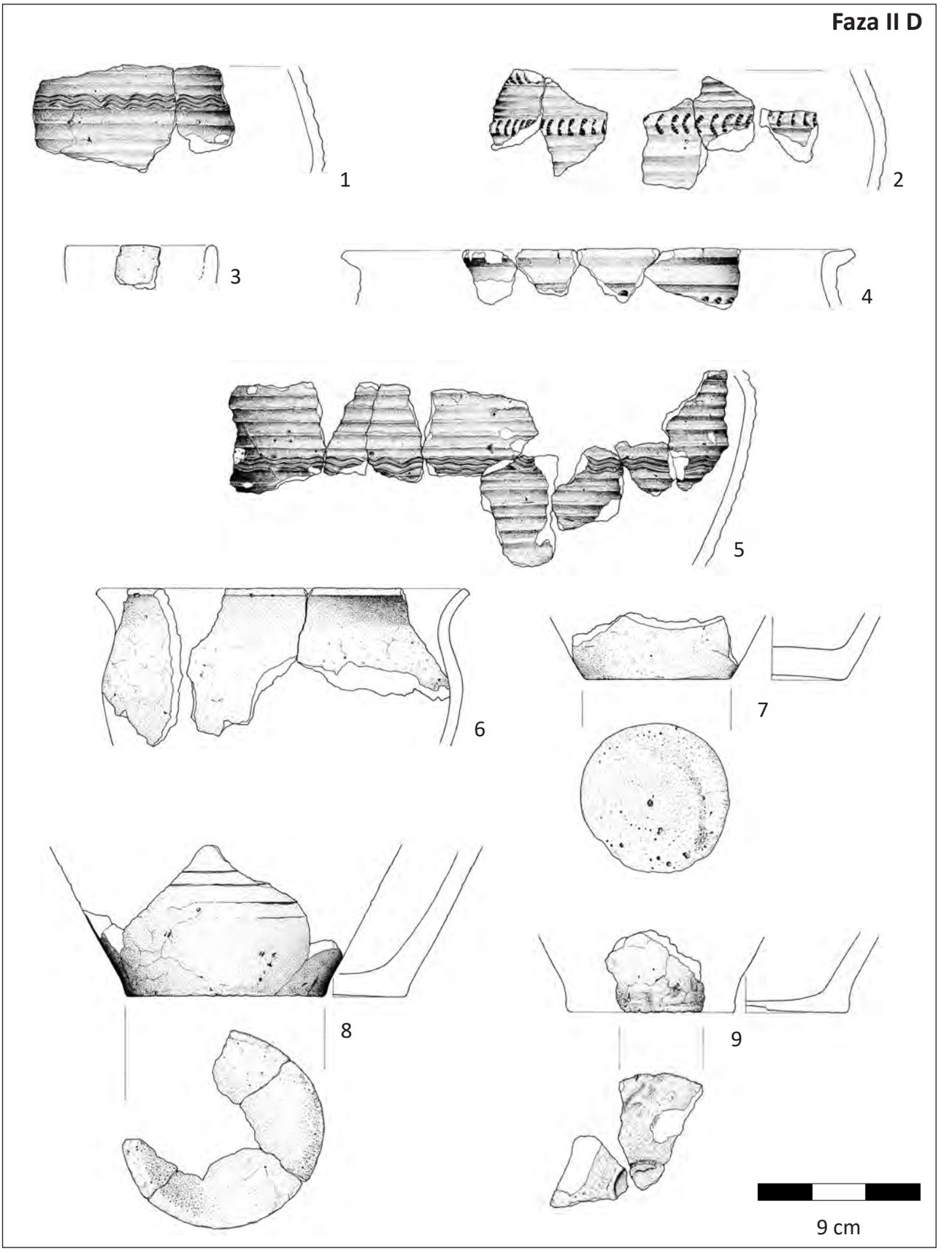

Tablica 10. Zajączki, st. 1. Fragmenty ceramiki z nawarstwień Fazy IID (rys. D. Wach)

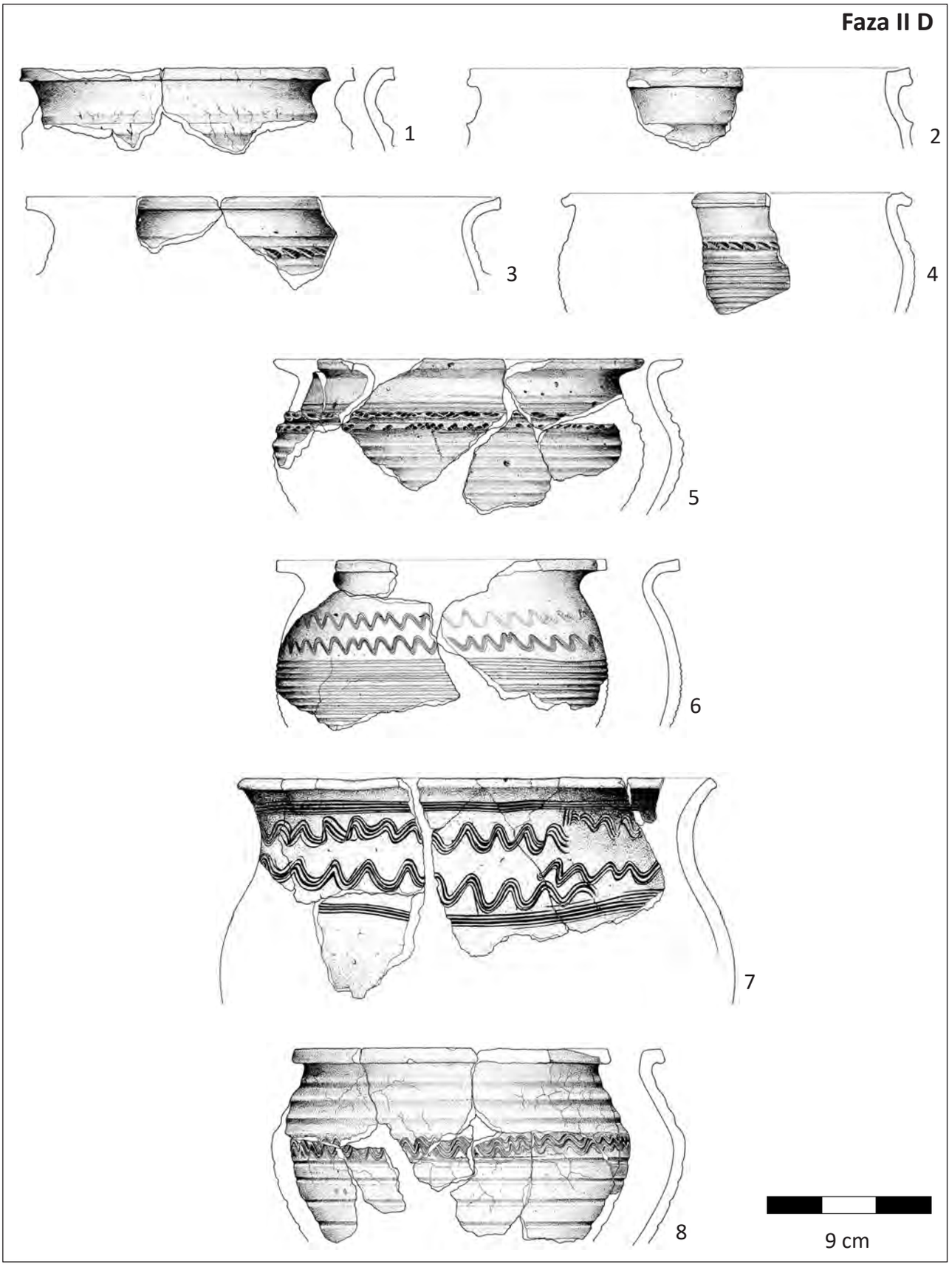

Tablica 11. Zajączki, st. 1. Fragmenty ceramiki z nawarstwień Fazy IID (rys. D. Wach)

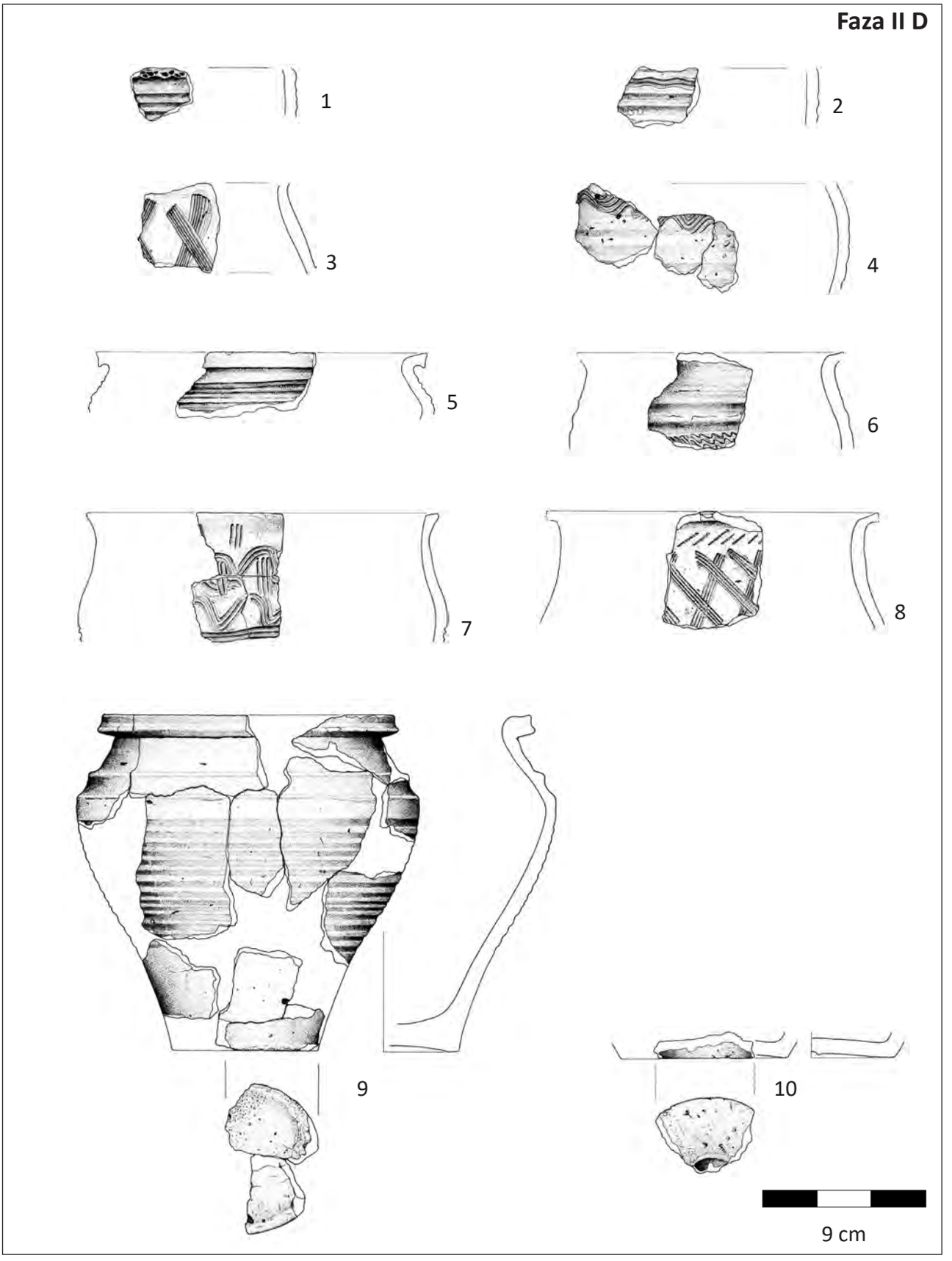

Tablica 12. Zajączki, st. 1. Fragmenty ceramiki z nawarstwień Fazy IID (rys. D. Wach)

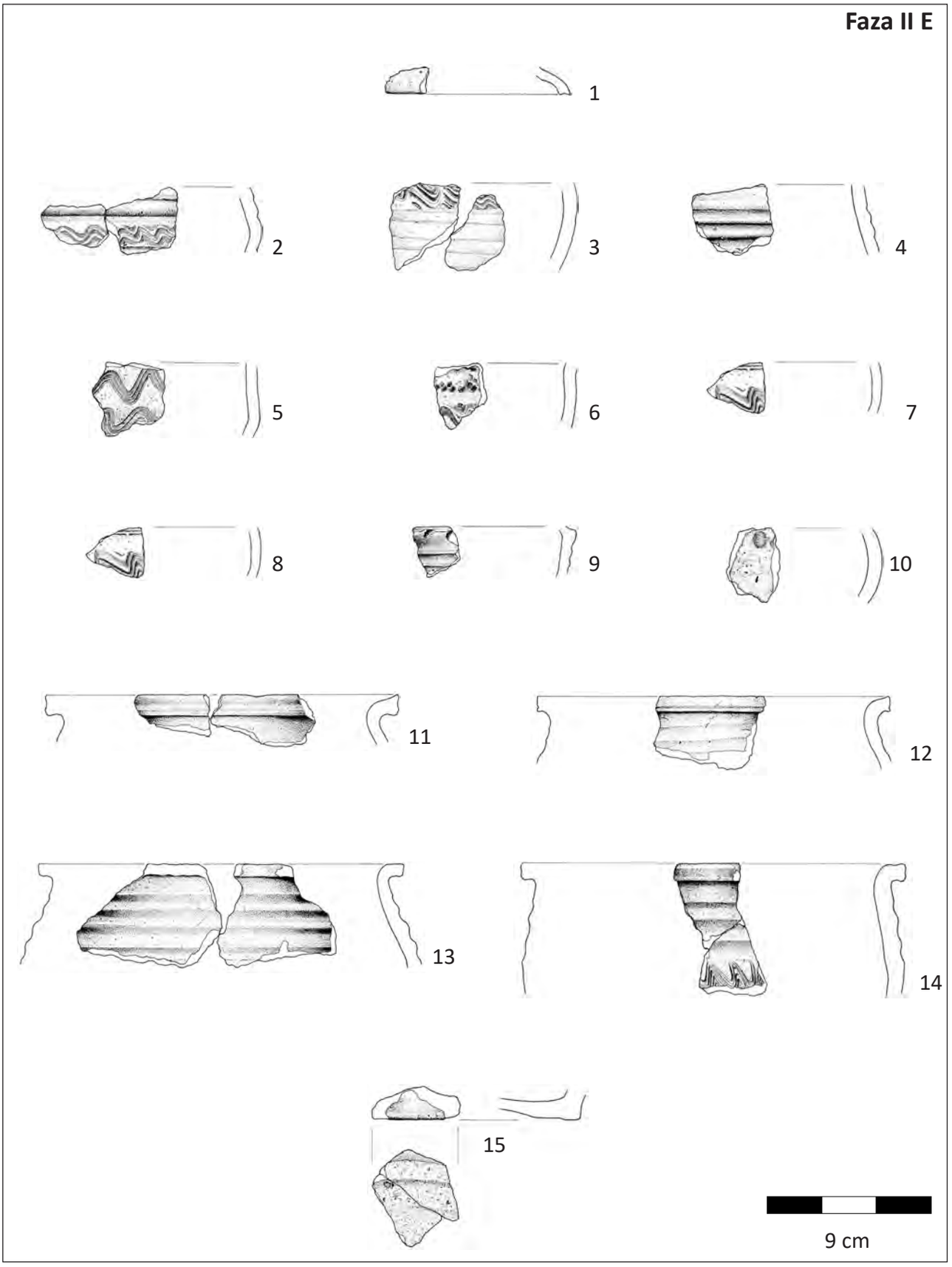

Tablica 13. Zajączki, st. 1. Fragmenty ceramiki z nawarstwień Fazy IIE (rys. D. Wach)

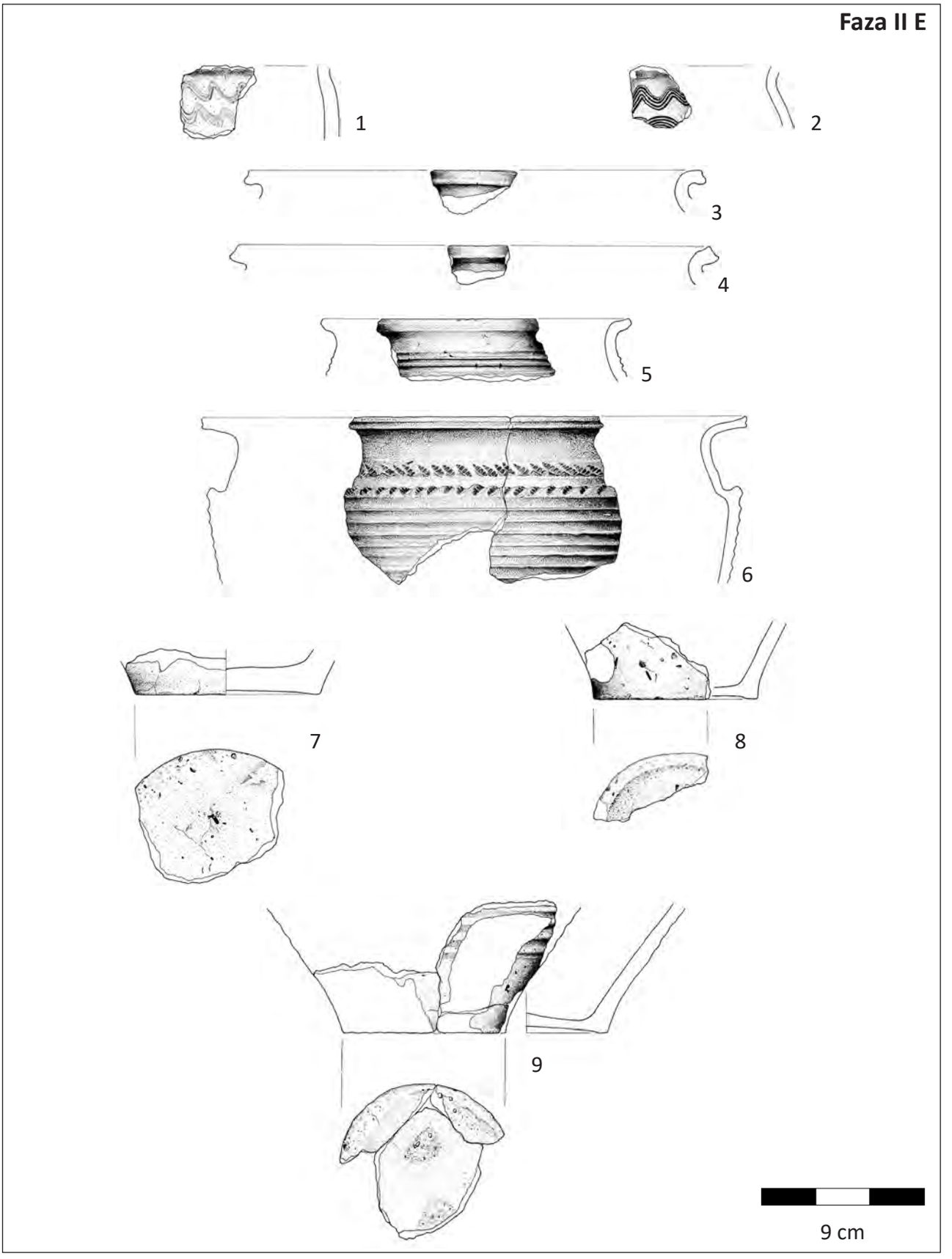

Tablica 14. Zajączki, st. 1. Fragmenty ceramiki z nawarstwień Fazy IIE (rys. D. Wach)

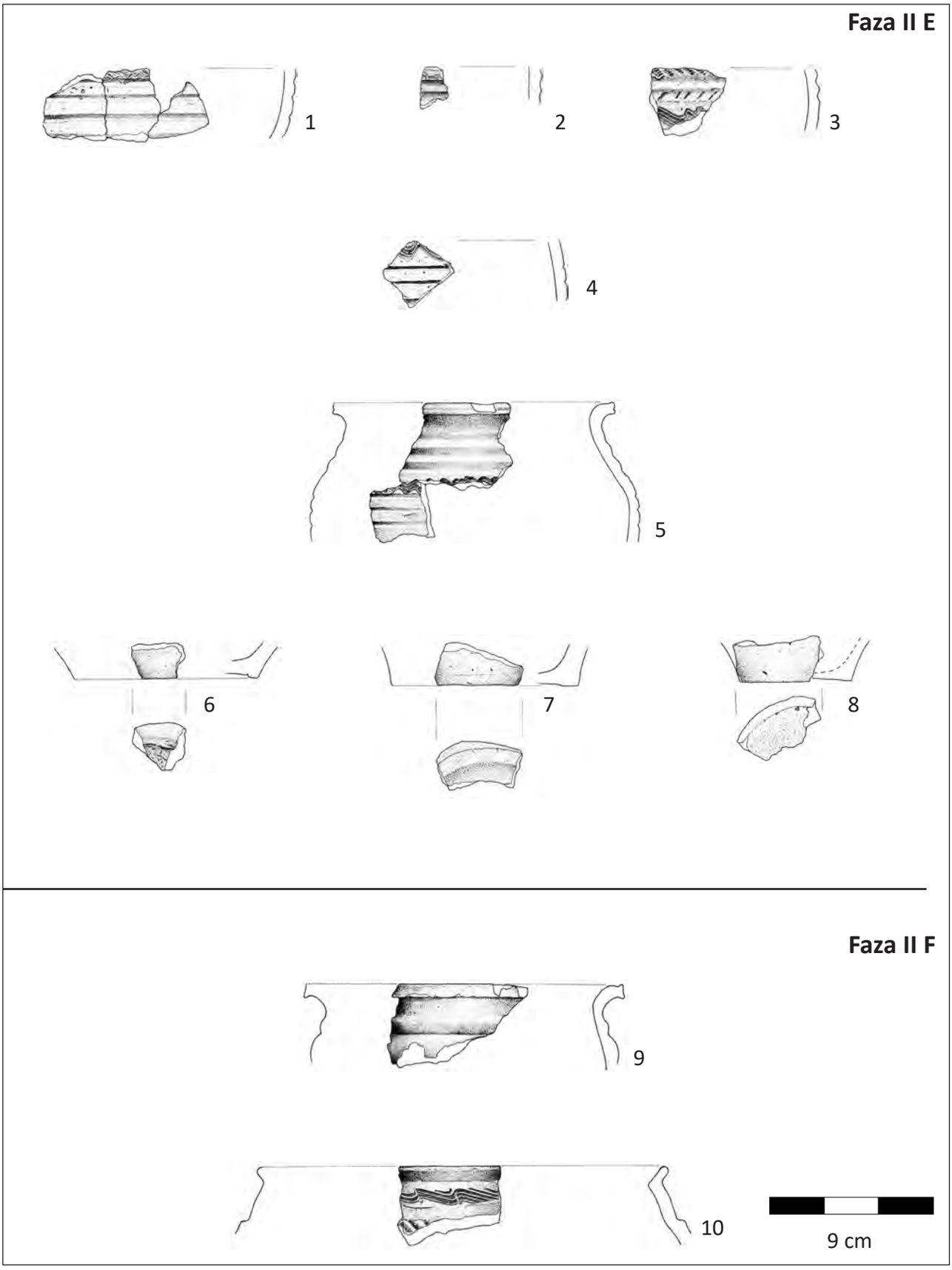

Tablica 15. Zajączki, st. 1. Fragmenty ceramiki z nawarstwień Fazy IIE i IIF (rys. D. Wach)

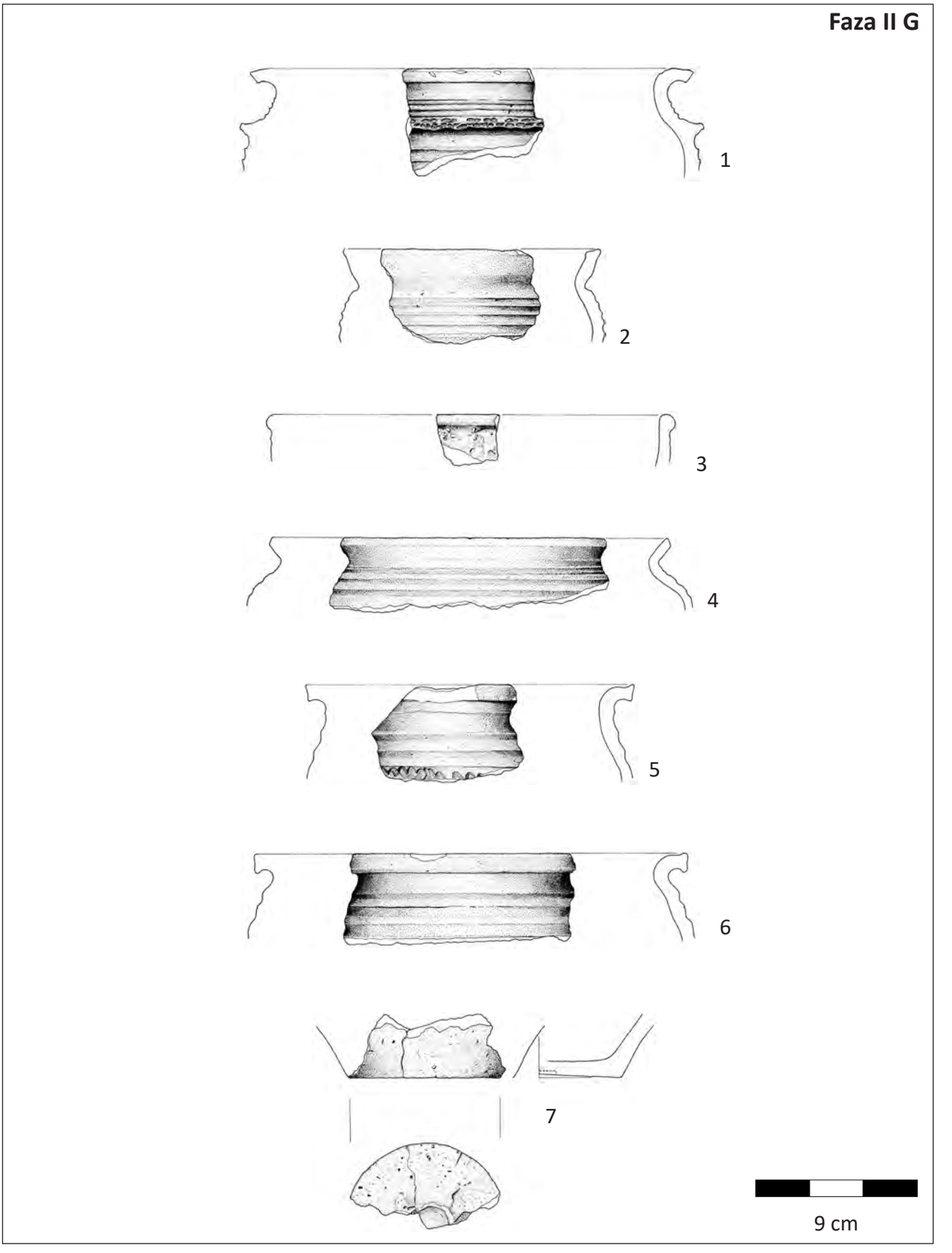

Tablica 16. Zajączki, st. 1. Fragmenty ceramiki z nawarstwień Fazy IIG (rys. D. Wach)

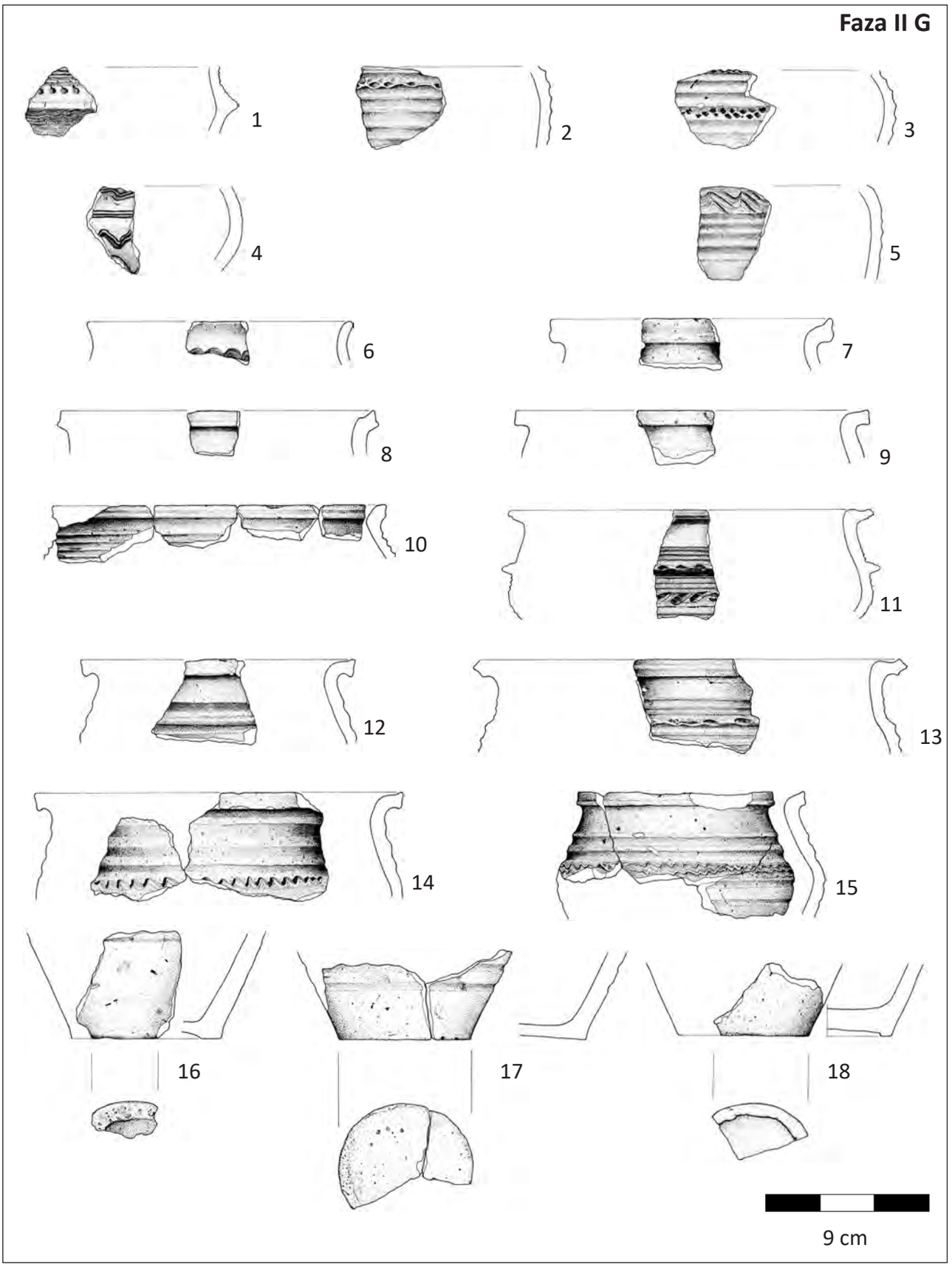

Tablica 17. Zajączki, st. 1. Fragmenty ceramiki z nawarstwień Fazy IIG (rys. D. Wach)

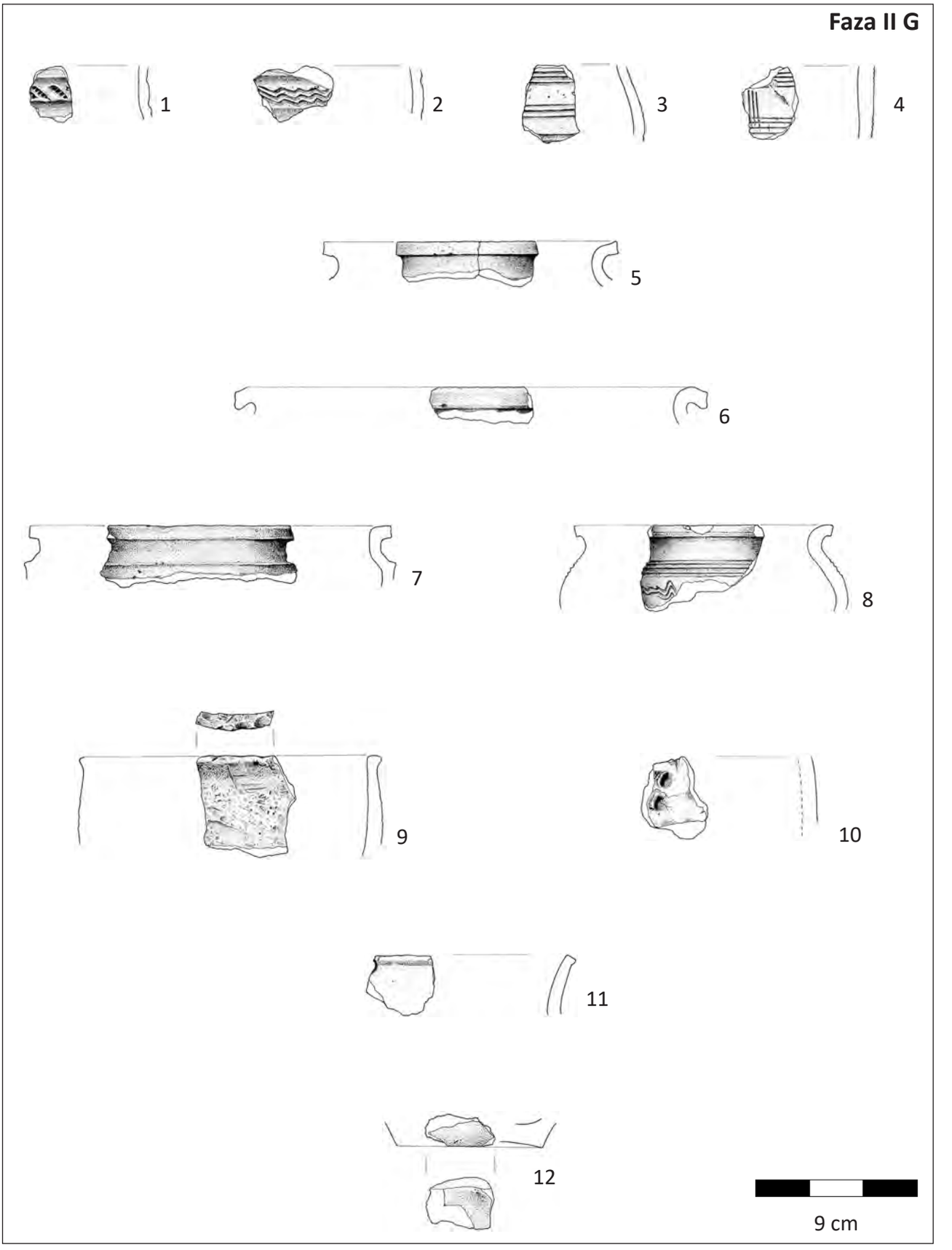

Tablica 18. Zajączki, st. 1. Fragmenty ceramiki z nawarstwień Fazy IIG (rys. D. Wach)

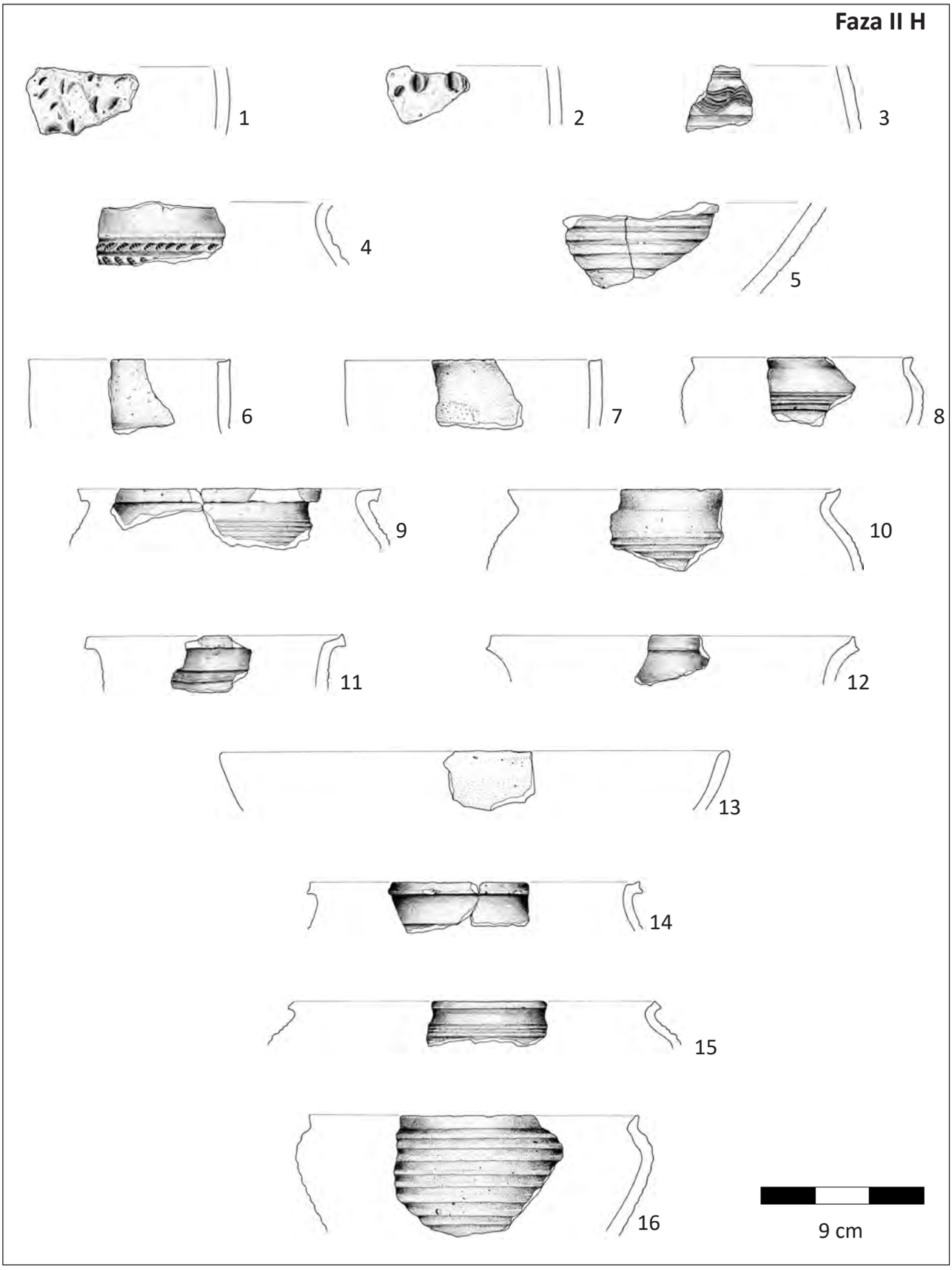

Tablica 19. Zajączki, st. 1. Fragmenty ceramiki z nawarstwień Fazy IIH (rys. D. Wach)

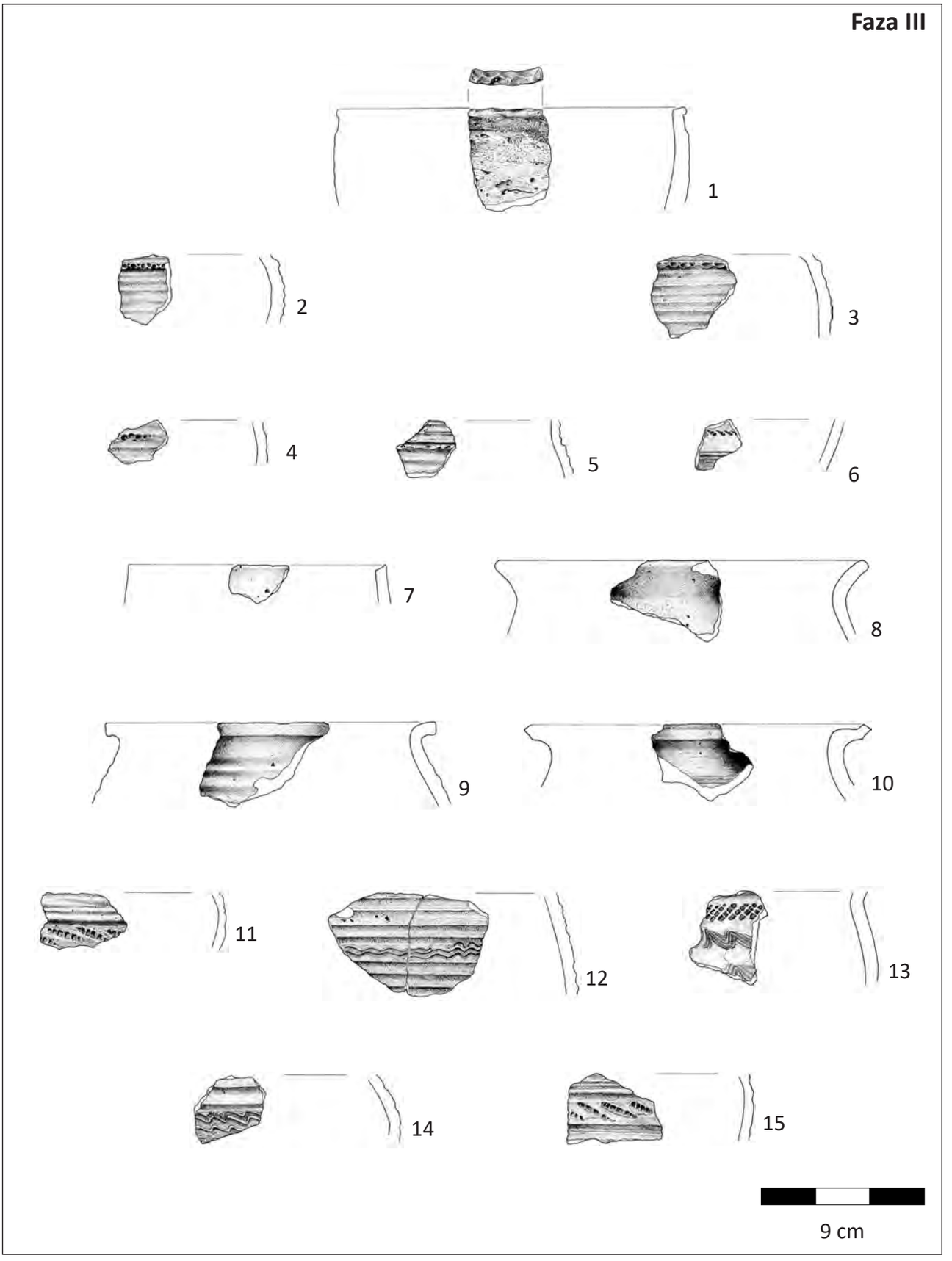

Tablica 20. Zajączki, st. 1. Fragmenty ceramiki z nawarstwień Fazy III (rys. D. Wach)

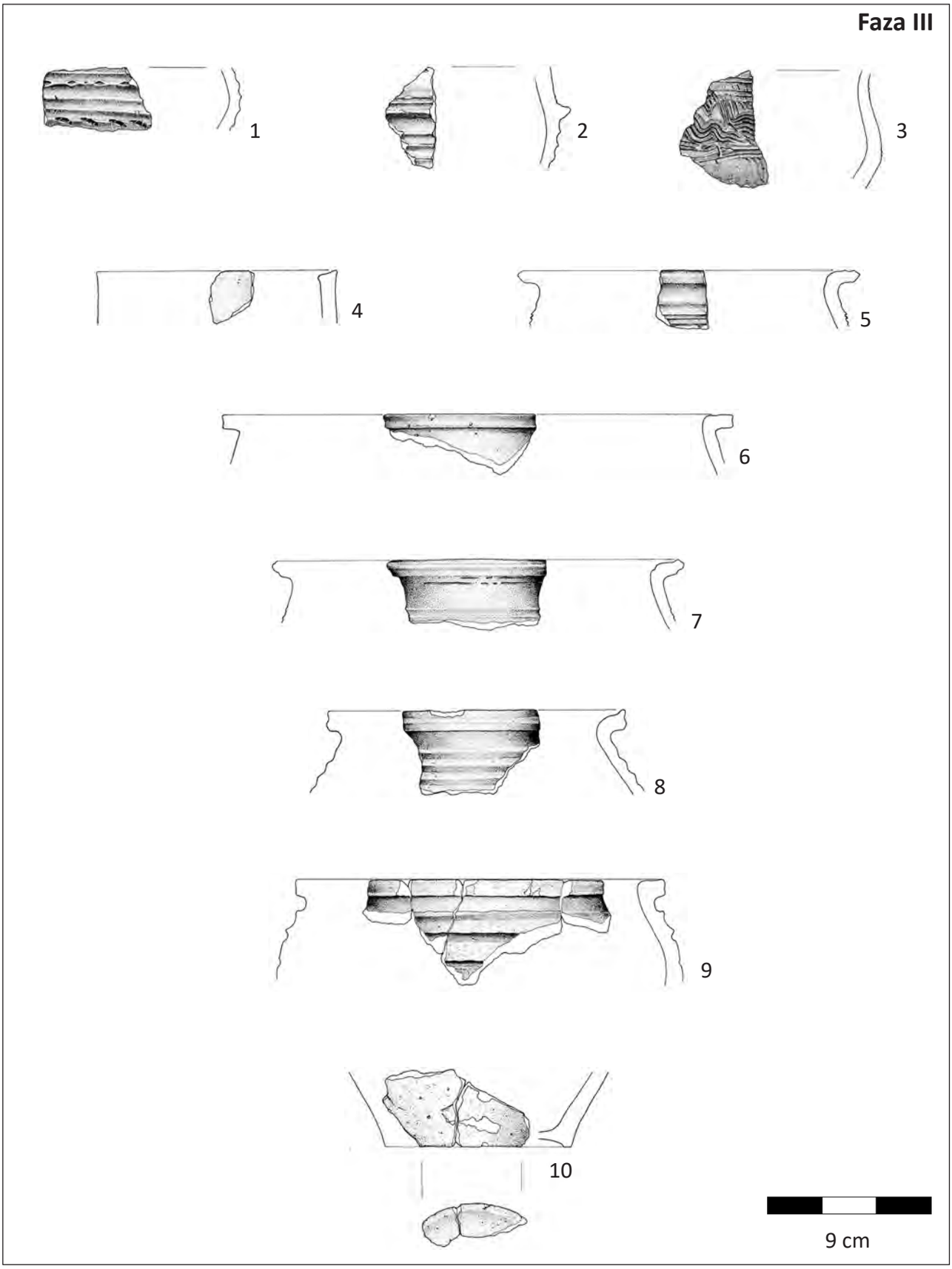

Tablica 21. Zajączki, st. 1. Fragmenty ceramiki z nawarstwień Fazy III (rys. D. Wach)

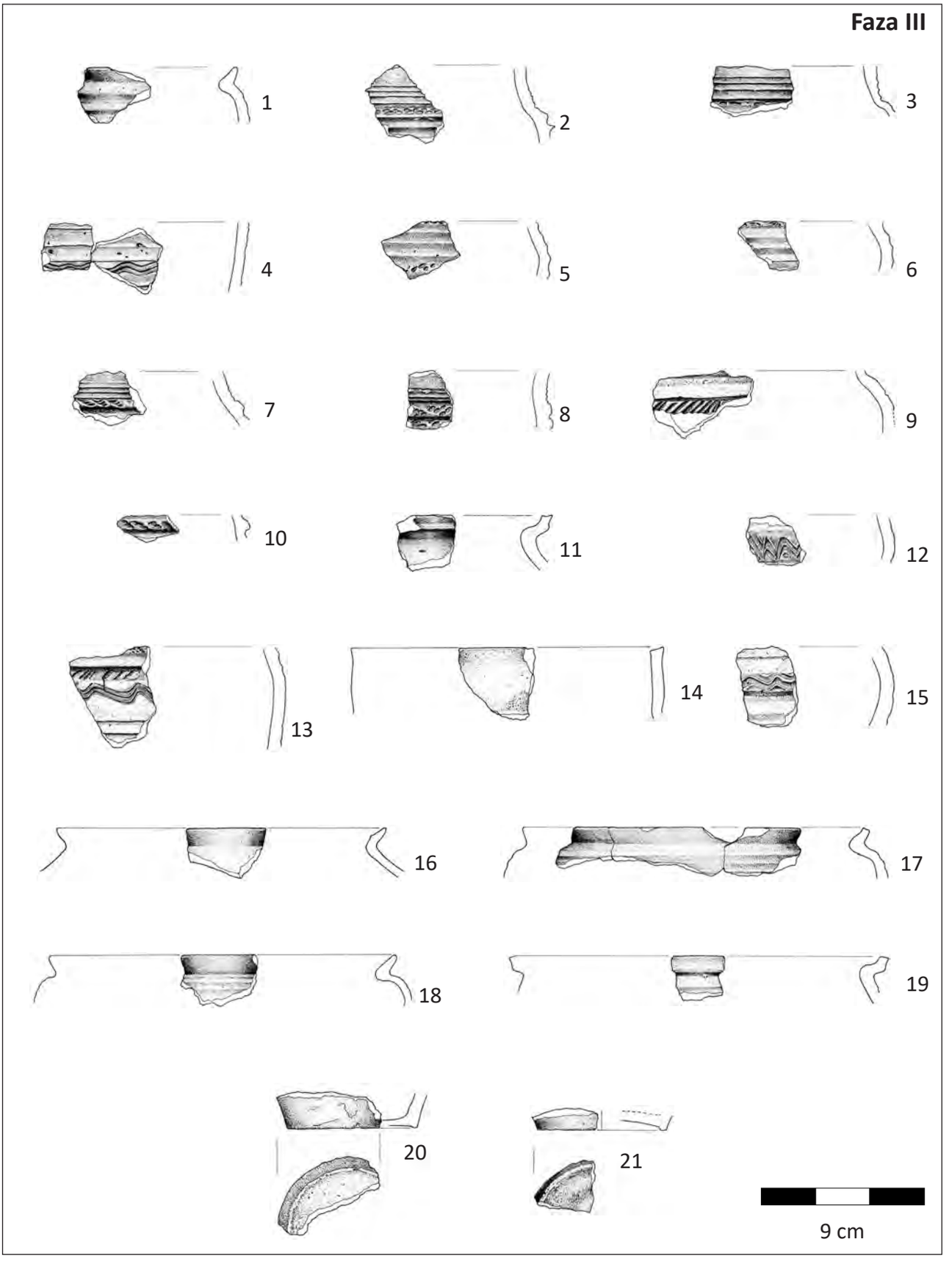

Tablica 22. Zajączki, st. 1. Fragmenty ceramiki z nawarstwień Fazy III (rys. D. Wach)

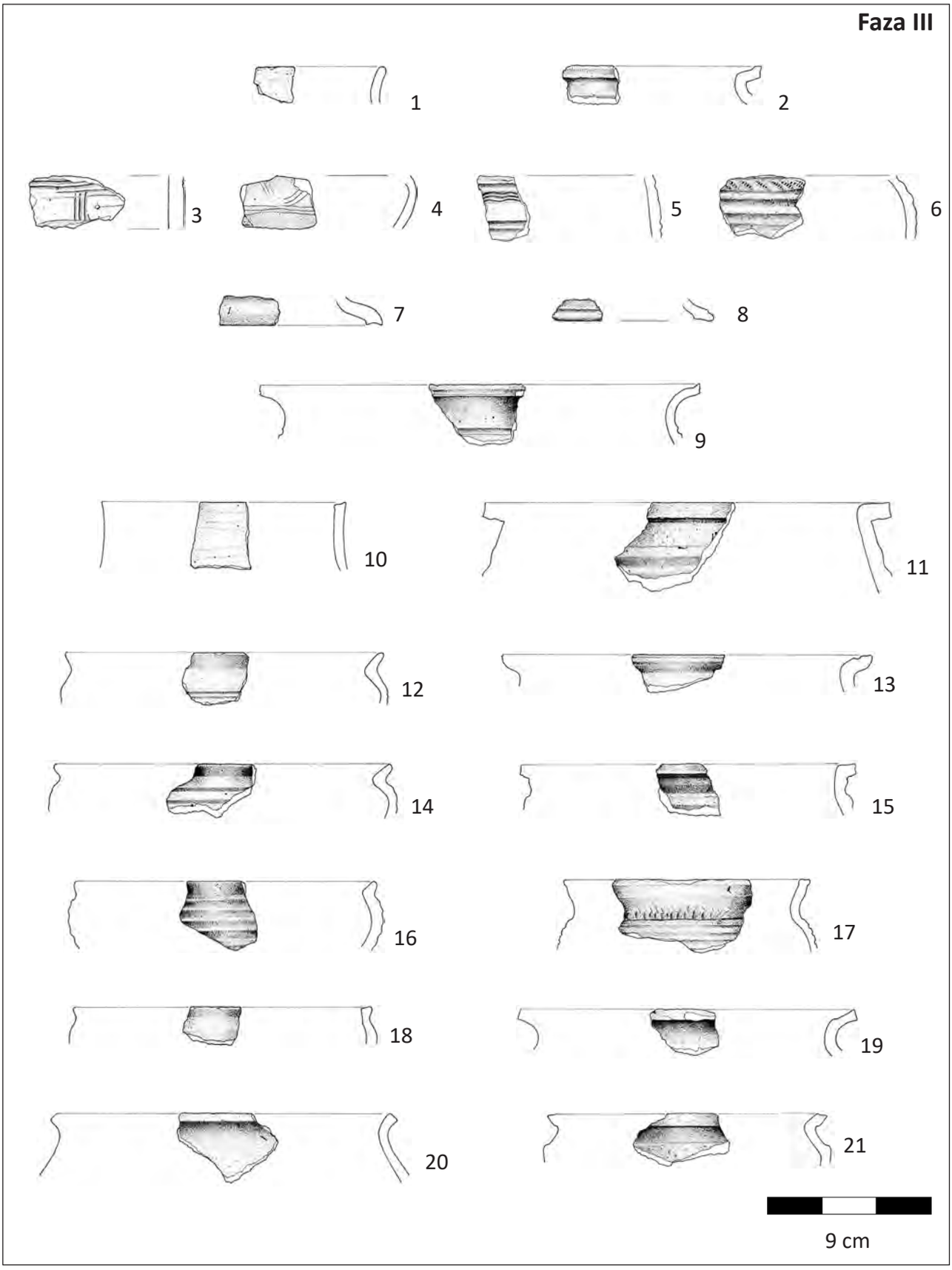

Tablica 23. Zajączki, st. 1. Fragmenty ceramiki z nawarstwień Fazy III (rys. D. Wach)

1. Naczynia o prostej, cylindrycznej, zagładzanej szyjce. Są to formy niewielkich rozmiarów, o średnicy wylewu wynoszącej 11–16 cm, o obtaczanej górnej części w pasie do 2 cm od profilowanego brzegu (tabl. 19:6–7; 20:7; 21:4; 22:14; 23:10). Analogiczne naczynia znane są np. z Lisewa, st. 1, gm. Golub-Dobrzyń, pow. golubsko-dobrzyński, z obiektu datowanego od połowy 1. do połowy 2. ćwierci XI w., czy z Jedwabna, st. 1, gm. Lubicz, pow. toruński, z pierwszej fazy osadniczej grodu, datowanej na 2. połowę X–X/XI w.[20]

2. Naczynia esowate, z łukowato wygiętym wylewem ze ściętą, prostą krawędzią zewnętrzną lub lekko profilowaną, niekiedy z łagodnym wgłębieniem na pokrywę. Obtaczanie następowało w ich przypadku do załomu wylewu lub do wysokości lekko uwydatnionego brzuśca. Powierzchnia brzuśców ornamentowana była wielokrotnymi liniami falistymi, żłobieniami wąskimi i szerokimi oraz płytkimi bruzdami (tabl. 7:7; 8:3; 9:5; 11:6; 12:5; 13:11–12; 14:3–4; 16:5–6; 17:12, 14; 18:5, 8; 19:9; 20:9; 21:8). Analogiczne naczynia znajdują się w materiale z grodziska w Jedwabnie, st. 1, gm. Lubicz, pow. toruński z 1. fazy osadniczej, datowanej na 2. połowę X–X/XI w.[21]

3. Naczynia dużych rozmiarów, z mocno, haczykowato wygiętym, masywnym wylewem, o profilowanej krawędzi zewnętrznej. Są one obtaczane na całej powierzchni. Cechą charakterystyczną tych głównie grubościennych form jest ornament szerokich i głębokich bruzd (tabl. 6:1–3; 8:4; 9:1–4; 11:1–2, 8; 12:9; 13:13–14; 15:5, 9; 17:15; 18:7; 19:14; 21:6, 9; 23:11, 15). Analogiczne naczynia znajdujemy w grodach w Jedwabnie, st. 1, gm. Lubicz, pow. toruński, w 1. fazie osadniczej, datowanej na 2. połowę X–X/XI w., czy w Gronowie, gm. Lubicz, pow. toruński w drugiej fazie osadniczej, datowanej na czwartą ćwierć XI–XI/XII w.[22] Analogiczne formy odkryto na stanowisku 1 w Staświnach – Święta Góra, gm. Miłki, pow. giżycki w wypełnisku obiektu 40, datowanego na drugą połowę IX lub X wiek[23]. Podobne baniaste naczynia z masywnym, profilowanym wylewem znane są z zespołu osadniczego w Węgrach, st. 1, gm. Sztum, pow. sztumski, na pograniczu pomorsko-pruskim w XI–XII w.[24]

4. Naczynia duże i średnich rozmiarów, dość cienkościenne, baniaste, o profilu z wyraźnymi załomami i mocno wychylonym, szerokim, silnie profilowanym wylewie. Forma ta jest bogato zdobiona różnymi wątkami ornamentacyjnymi, zarówno plastycznymi, jak i rytymi. Obtaczanie zauważalne jest na całej zachowanej wysokości naczynia i sięga do dolnych partii brzuśca (tabl. 8;2; 9:6; 10:4; 11:4–5; 12:6; 14:5; 16:1; 17:11, 13; 20:10; 21:5, 7; 22:11, 19). Analogiczne naczynia znaleziono np. w Jedwabnie, st. 1, gm. Lubicz, pow. toruński, z drugiej fazy osadniczej grodu, datowanej od połowy 2. do połowy 3. ćwierci XI w.[25]

5. Naczynia z długą, wygiętą szyjką, esowate, z prostym, ukośnie ściętym brzegiem z okapem, przeważnie dużych rozmiarów średnicy wylewu i z baniastym brzuścem. Obtaczanie widoczne jest w ich przypadku do miejsca wychylenia wylewu (tabl. 11:7). Podobną formę znaleziono w warstwie II osady w Rostku, st. 2, gm. Gołdap, pow. gołdapski[26], czy w obiekcie z zespołu osadniczego w Rejsytach, gm. Rychliki, pow. elbląski[27].

6. Naczynia niskie, bardzo silnie baniaste, cienkościenne, z mocno wychyloną szeroką kryzą brzegową i wąską, owalnie zakończoną krawędzią zewnętrzną. Naczynia te są obtaczane zawsze do podstawy wydzielonego wylewu. Powierzchnie brzuśców ornamentowane są wąskimi żłobieniami i wielokrotną linią falistą (tabl. 22:1, 17–18; 23:12, 14). Nieco podobne naczynie znaleziono w Lisewie, st. 1, gm. Golub-Dobrzyń, pow. golubsko-dobrzyński, datowanym na okres od 1. połowy do połowy 2. ćwierci XI w.[28] Podobne, mocno baniaste formy znane są z zespołu osadniczego w Węgrach, st. 1, gm. Sztum, pow. sztumski, na pograniczu pomorsko-pruskim w XI–XII w.[29]

7. Naczynia małe i średniej wielkości, z silnie wydzielającym się, krótkim wylewem, ściętym od wewnątrz, silnie baniaste w górnej części. Obtaczane w ich przypadku są zawsze tylko wylewy. Brzuśce ornamentowane są drobnymi żłobkami na dużych powierzchniach (tabl. 19:16; 22:17–18). Podobne formy znane są z zespołu osadniczego w Węgrach, st. 1, gm. Sztum, pow. sztumski, na pograniczu pomorsko-pruskim w XI–XII w.[30]

8. Naczynia duże, z bardzo silnie łukowato wychyloną, obtaczaną częścią górną wraz z profilowanym wylewem, cienkościenne, baniaste, z bogatym ornamentem rytym, plastycznym i odciskami (tabl. 8:1; 11:3; 14:6; 19:12; 23:9, 19). Obtaczanie widoczne jest w ich przypadku na całej zachowanej powierzchni. Analogiczne formy znaleziono na terenie grodziska w Jedwabnie, st. 1, gm. Lubicz, pow. toruński, z drugiej fazy osadniczej, datowanej od połowy 2. do połowy 3. ćwierci XI w.[31].

9. Naczynia typu Menkendorf-Szczecin[32] z wydzieloną krótszą lub dłuższą szyjką oraz płasko ściętym brzegiem wylewu, z wyraźnym załomem brzuśca i charakterystycznym ornamentem odcinków pasm krzyżujących się i łukowatych. Obtaczanie zauważalne

[20] Chudziak 1991: ryc. 29:c; 31:c.

[21] Chudziak 1991: ryc. 25:j, l.

[22] Chudziak 1991: ryc. 25:c; 40:b.

[23] Karczewski, Karczewska i Pluskowski 2015:190; tabl. 11:1–4.

[24] Haftka i Wadyl 2015: tabl. 11:a.

[25] Chudziak 1991: ryc. 37:f, j, k, l, ł; 43:i.

[26] Brzeziński 1991: ryc. 4:1.

[27] Wadyl 2013a: ryc. 8:a.

[28] Chudziak 1991: ryc. 29:d.

[29] Haftka i Wadyl 2015: tabl. 17:f.

[30] Haftka i Wadyl 2015: tabl. 19:e.

[31] Chudziak 1991: ryc. 43:i.

[32] Kobylińska 2004: 111–123.

jest na zachowanej górnej części naczynia. Ścianki naczyń są regularnej grubości (tabl. 12:7–8).

10. Naczynia małe i duże, baniaste, z poszerzonym, wydzielającym się, wychylonym wylewem z mocnym wgłębieniem na pokrywę oraz profilowanym brzegiem (tabl. 16:2; 19:8, 10; 22:16). Naczynia te są obtaczane na całej zachowanej powierzchni. Podobne formy znane są np. z Gronowa, st. 2, gm. Lubicz, pow. toruński, z obiektu datowanego na 4. ćwierć XI–XI/XII w.[33]

11. Naczynia o małej średnicy wylewu, z szerokim i wychylonym kołnierzem profilowanego wylewu, całkowicie obtaczane, cienkościenne. Jest to forma małego dzbana z bogatym ornamentem na brzuścu (tabl. 23:17).

Niewielkich rozmiarów fragmenty ceramiki, niecharakterystyczne, zachowane jedynie jako małe ułamki brzegowe, bądź występujące w pojedynczych egzemplarzach, nie zostały objęte powyższym podziałem na grupy form.

Na szczególną uwagę zasługuje wystąpienie we wczesnośredniowiecznym materiale ceramicznym z grodziska w Zajączkach, st. 1 naczyń, określonych w przedstawionej wyżej typologii jako grupa 9, czyli naczyń typu Menkendorf-Szczecin. Fragmenty naczyń tego typu znaleziono w jednostkach stratygraficznych Fazy IID i IIG. Były to zarówno fragmenty pochodzące z górnych partii brzuśców naczyń, jak i fragmenty z wylewami, z ornamentem charakterystycznym dla ceramiki tego typu. Naczynie z ornamentem łuków i pasm pionowych (tabl. 12:7) z jednostki stratygraficznej 54 z Fazy IID ma łagodnie wydzielającą się szyjkę i silnie uwydatniony, choć nie dwustożkowaty brzusiec. Jest to naczynie nawiązujące do form ceramiki typu Menkendorf-Szczecin, ale nie reprezentujące jego kanonicznej formy, nie występuje tu bowiem typowy ostry załom brzuśca, jaki zwykle charakteryzuje naczynia dwustożkowate typu Menkendorf-Szczecin. Natomiast klasycznym przedstawicielem typu Menkendorf-Szczecin jest fragment naczynia z obiektu 58, o charakterystycznej dłuższej szyjce i dwustożkowatym profilu (tabl. 12:8). Drugą cechą charakterystyczną dla naczyń typu Menkendorf-Szczecin jest ich specyficzna ornamentyka. Na brzuścach naczyń odkrytych w grodzisku w Zajączkach, st. 1 jest to ornament w postaci pasm linii krzyżujących się pod kątem prostym, tworzący kratkę, jak również wzór szerokich pasm krzyżujących się pod kątem i tworzący motyw ukośnych krzyży (tabl. 12:3; 18:4; 23:3–4). Na jednym z fragmentów z wylewem są to pasma pionowe zakończone łukowatą linią, na drugim – ukośne pasma krzyżujące się i tworzące ukośną dużą kratkę. Forma zachowanych fragmentów naczyń: dwustożkowata z typowym wychyleniem wylewu i umieszczeniem ornamentyki pomiędzy wylewem, a załomem brzuśca, wyraźnie wskazuje na związek części materiału zabytkowego z grodziska w Zajączkach, st. 1 z obszarem występowania naczyń typu Menkendorf-Szczecin.

Naczynia tego typu rozprzestrzenione były we wczesnym średniowieczu na rozległym obszarze: od nasady Półwyspu Jutlandzkiego i Pustaci Luneburskiej na północnym zachodzie, po północne przedgórze gór Harzu na południowym zachodzie, na południe po Górne Łużyce w Niemczech i dolinę Odry i Równinę Wrocławską na terenie Polski i dalej z wyraźną linią graniczną na północny wschód przez Równinę Oleśnicką, Kotlinę Milicką i Wysoczyznę Kaliską, a następnie zachodni skraj Pojezierza Kujawskiego po Dolinę Drwęcy na wschodzie, i dalej na północ ponownie bardziej ku zachodowi, nie przekraczając zasadniczo linii dolnej Wisły. Od tak opisanej granicy na wschód wysunięte były dotąd jedynie znaleziska naczyń typu Menkendorf-Szczecin w Janowie Pomorskim, gm. Elbląg (czyli historycznym Truso). Łącznie obszar występowania naczyń typu Menkendorf-Szczecin rozciąga się na ok. 600 km po linii wschód–zachód i na ponad 400 km po linii północ–południe.

Analiza rozprzestrzenienia ceramiki typu Menkendorf-Szczecin wykazuje obecność pewnych skupisk miejsc jej intensywniejszego występowania w obrębie zakreślonego wyżej pełnego zasięgu geograficznego. Wyraźne zagęszczenie występuje na terytorium Polski pomiędzy rzekami Drwęcą i Osą na Ziemi Chełmińskiej, u ujścia Wisły, w około sześciu mniejszych skupiskach na Pomorzu Środkowym i Zachodnim oraz na rozległym obszarze od Ziemi Lubuskiej do Wielkopolski i Kujaw. Z kolei na terenie Niemiec wyraźne regiony koncentracji stanowisk archeologicznych z ceramiką typu Menkendorf-Szczecin występują na terenie krain geograficznych takich, jak: Pomorze Przednie (*Vorpommern*), Pojezierze Meklemburskie (*Mecklenburgische Seenplatte*) w Meklemburgii-Pomorzu Przednim, Stara Marchia (*Altmark*) i *Magdeburger Börde* w Saksonii-Anhalt, czy Marchia Wkrzańska (*Uckermark*) i *Havelland* w Brandenburgii[34].

Zespoły ceramiki typu Menkendorf-Szczecin z obszaru Polski i Niemiec datowane są na okres od 2. połowy VIII wieku do połowy lub niekiedy schyłku XI wieku, z dominacją tych form naczyń od 2. połowy IX wieku po 1. połowę X w.[35]

Interesujące jest, że w Zajączkach, st. 1 ceramika typów 2, 3, 4, 5 współwystępująca z fragmentami naczyń typu Menkendorf-Szczecin w zespołach z tych samych jednostek stratygraficznych może być datowana na okres od połowy XI do przełomu XI/XII w., co sugerowałoby dłuższe niż na innych terenach przetrwanie w tej peryferyjnej strefie tradycji wytwarzania naczyń typu Menkendorf-Szczecin.

Fragmenty naczyń typu Menkendorf-Szczecin wystąpiły także w matriale zabytkowym pozyskanym w czasie badań innego grodziska badanego w ramach

[33] Chudziak 1991: ryc. 41:a.

[34] Kobylińska 2014b.

[35] Kobylińska i Kobyliński 2016.

projektu *Katalog grodzisk Warmii i Mazur*, a mianowicie w Łodygowie, st. 2, gm. Kisielice, pow. iławski[36].

Sporadyczne znaleziska naczyń nawiązujących do typu Menkendorf-Szczecin pochodzą (chociaż nie były dotąd interpretowane w ten sposób) z innych stanowisk położonych równie daleko na wschód, co stanowiska w Łodygowie, st. 2 i Zajączkach, st. 1, a nawet wysuniętych jeszcze dalej na wschód. Ornament szerokich, krzyżujących się pasm tworzących dużą kratkę, wykonany narzędziem grzebykowym, wystąpił np. na naczyniu z osady podgrodowej w Tarczynach, gm. Lidzbark, datowanej na I fazę garncarstwa wczesnośredniowiecznego na Ziemi Lubawskiej[37]. Ceramika z charakterystycznym ornamentem ukośnych krzyży typu Menkendorf-Szczecin wystąpiła w materiale zabytkowym fazy I osady obronnej w Szurpiłach, st. 3, gm. Jeleniewo, pow. suwalski, datowanej na IX–X w. Jest to naczynie z ornamentem krzyżujących się pasm w dwóch rzędach wykonanych narzędziem grzebykowym[38]. Analogicznie zdobione naczynia pochodzą z datowanych zwykle na IX–X/XI w. grodzisk i osad znajdujących się nad środkową i dolną Drwęcą, z grodzisk z terenu Ziemi Chełmińskiej, czy dolnego Powiśla[39]. Jakkolwiek ornamentyka tych naczyń jest charakterystyczna dla okazów zaliczanych do typu Menkendorf-Szczecin, to jednak forma ceramiki z tych stanowisk jest wyraźnie esowata z jedynie mocno uwypuklonym brzuścem i należy traktować je raczej jako chęć odwzorowania zdobnictwa form typu Menkendorf-Szczecin. Niemniej, również te znaleziska świadczą o jakiejś formie kontaktów międzygrupowych, chociaż innego rodzaju, niż można zakładać w przypadku znalezisk „klasycznych" form typu Menkendorf-Szczecin.

Naczynia zaliczone do grupy 5 z grodziska w Zajączkach, st. 1, prawdopodobnie ze względu na swe duże rozmiary i zniszczenia postdepozycyjne, nie mają jednakowego przebiegu profilu na swym obwodzie i – choć zachowane są w większej części – nie tworzą spójnej pod względem kształtu grupy. Jednak, co należy podkreślić, nie mają też tak jednoznacznie prostej szyjki, jak ma to miejsce w przypadku naczynia z wychylonym wylewem z okapem z Rejsyt, gm. Rychliki, pow. elbląski, opisanego jako „naczynie z cylindryczną szyjką"[40], co jednak nie wydaje się do końca adekwatne do przedstawionego rysunku w publikacji, który daje asumpt do określenia naczynia z Rejsyt jako analogii do formy występującej na terenie grodziska w Zajączkach, st. 1.

Masywne, grubościenne naczynia średniowieczne z wychylonym brzegiem (grupa 2 i 3), mają swe analogie w formach naczyń z grodziska w Domkowie, st. 1, gm. Grunwald, pow. ostródzki[41], z Ornowa-Lesiaka, st. 3, gm. Ostróda, pow. ostródzki[42], a także z grodziska w Lembargu, st. 6, gm. Jabłonowo Pomorskie, pow. brodnicki[43].

Naczynia z grodziska w Zajączkach, st. 1 były ze średnią siłą lub dość mocno obtaczane na kole garncarskim. Przeważnie, obserwowalne ślady po obtaczaniu w górnych partiach naczyń wskazują, że miało ono miejsce na przestrzeni od 1 do 3 cm od brzegu wylewu. Czasem regularne obtaczanie widoczne było do 5 cm od brzegu i sięgało do największej wydętości brzuśca, co można było zaobserwować na naczyniach grup 2, 4 i 6. Najliczniejsza grupa 3 naczyń zachowanych do części przydennych i den świadczy o obtaczaniu całości tej formy garnków. Powierzchnie naczyń noszą ślady starannego opracowania, zagładzania i najczęściej były bogato ozdabiane ornamentem rytym, plastycznym lub różnymi odciskami i nakłuciami. Ścianki są lekko szorstkie, a ziarna domieszki nie są wyczuwalne na powierzchni. Na całej zachowanej wysokości naczynia z grup 3, 4, 7, 8, 10 i 11 miały równe grubości ścianek, a zlepienia były prawie niewidoczne.

Przytoczone powyżej analogie do form naczyń, profilowania wylewu czy ornamentyki (szczególnie odnośnie ceramiki z Węgrów, gm. Sztum, pow. sztumski) nie dotyczą stopnia obtoczenia. Naczynia z Węgrów, Rejsyt i innych stanowisk, są bowiem opisane jako całkowicie obtaczane lub opracowania znalezisk takich szczegółowych informacji nie zawierają.

Ornamentyka naczyń

Ceramika z grodziska w Zajączkach, st. 1 charakteryzuje się zdobieniem na dużych powierzchniach każdego z naczyń. Należy też podkreślić , że znaczna większość odkrytych naczyń została ozdobiona. Głównym wątkiem są szerokie żłobienia pokrywające naczynia od wylewu po część przydenną (tabl. 6; 7:7; 8:3; 9:1–5; 12:9). Są to głównie żłobki dookolne regularne, wąskie, dość głębokie, lub też głębokie i szerokie (0,5–0,7 cm) bruzdy, z przeważnie owalnymi przestrzeniami pomiędzy przegłębieniami . Szczególną cechą charakterystyczną na tym stanowisku są szerokie bruzdy na powierzchniach garnków, głównie należących do grupy 3. Wzbogaceniem ozdabiania szyjek i brzuśców było dodanie to tych motywów niskiej linii falistej, plastycznych wałków, czy też różnych odcisków stemplem (tabl. 7–8; 14:6; 17:1–3; 19:4). Linie faliste były prawie zawsze niskie,

[36] Por. opracowanie wyników tych badań, w niniejszej publikacji.

[37] Grążawski 2009: ryc. 23; 2013: ryc. 32.

[38] Engel, Okulicz-Kozaryn i Sobczak 2009: 529, tabl. 7:2.

[39] Chudziak 1991: 75–83; Grążawski 2002: 47–48; Chudziakowa (red.) 1994: ryc. 101, 166, 196; Haftka 1988: 188.

[40] Wadyl 2013a: ryc. 8:a.

[41] Wadyl 2013b: ryc. 6:b.

[42] Wadyl 2013b: ryc. 18:d.

[43] Grążawski 1993: ryc. 8:9.

wielokrotne, o łagodnych, niskich wierzchołkach (tabl. 7:2, 11:6–8; 12:4; 13:2–3, 5–8; 14:1–2; 18:2; 19:3). Współwystępowały one z wąskimi żłobkami (tabl. 7:5; 11:6; 15:1, 4) lub też z szerokimi i głębokimi bruzdami (tabl. 7:2; 10:5; 11:8; 12:6; 13:14; 16:5; 17:14–15; 20:12). Szeroko ryta, schematyczna, niska linia falista występowała rzadko (tabl. 9:5). Wystające wałeczki były wąskie, szerokości do ok. 0,5 cm i formowane z gliny ścianki, a nie naklejane dodatkowo (tabl. 7:4; 14:6; 21:2). Stosowane odciski wykonane stemplem miały różne kształty nawet na jednym naczyniu i umiejscawiane były często na uwypukleniach wałków. Są to podłużne, ukośne lub małe kwadratowe, bądź owalne wgłębienia z dodatkowymi przegłębieniami wewnątrz (tabl. 7:1, 3–4; 8:1–2; 9;6; 10:2, 4; 11:5; 12:1; 13:6; 14:6; 15:3; 17:1–3, 11, 13; 20:11, 15; 22:2, 5, 7–10). Spotykane są one na naczyniach cienkościennych, delikatnych, z bogatym profilowaniem wylewu. Często spotykany jest też ornament łączący poziome linie żłobione, linię falistą i odciski stemplem (tabl. 13:6; 15:3, 10; 17:3; 20:13; 22:13). Jest więc to ornamentyka dość bogata, a jednocześnie jednorodna. Wyjątek stanowią fragmenty wyżej omówionej ceramiki z wzorami rytymi grzebykiem w postaci pasm krzyżujących się, zdefiniowanej jako typ Menkendorf-Szczecin. Chronologicznie najmłodsze w zespole ceramicznym z Zajączków, st. 1 dzbany z szerokim wylewem typu 11 miały – oprócz drobnych żłobień – schematyczny wzór niskiej linii zygzakowatej (tabl. 23:17).

Częściowo analogiczne do motywów występujących na ceramice z Zajączków, st. 1 są motywy ornamentacyjne znane z zespołu osadniczego z Węgrów, st. 1, gm. Sztum, pow. sztumski oraz Rejsyt, st. 1, gm. Rychliki, pow. elbląski. Głównie są to niskie, wielokrotne linie faliste i drobne odciski stemplem, ukośne nacięcia[44].

Dna

Na 111 znalezionych den, 70 den było wklęsłych lub lekko wklęsłych. Na połowie z nich zaobserwowano zastosowanie podsypek, przeważnie z drobnych i bardzo drobnych ziaren, a także obecność pierścienia dookolnego (tabl. 8:6–8; 9:12; 13:15; 14:8–9; 15:6–8; 17:16, 18; 18:12; 21:10; 22:20–21). Miał on niekiedy nieregularną szerokość, był zawsze spłaszczony, wąski, szerokości ok. 0,5 do 1 cm. Nieliczne masywne dna, bardzo lekko wklęsłe, prawie płaskie, których środkowe części nie zachowały się, nie miały wałka (tabl. 8:5; 10:8; 14:7; 17:17). Było gładkie, równe, o powierzchni ze śladami zatartego popiołu na powierzchni zewnętrznej. Drobne zadrapania na brzegach mogą świadczyć o podważaniu przy zdejmowaniu z podkładki (tabl. 8:5). Jedynie na czterech dnach lekko wklęsłych widoczny jest odcisk osi w postaci nakłucia i okrągłego płytkiego wgłębienia o średnicy ok. 1,5 do 2 cm lub plastycznych wypukłych niewielkich pierścieni w środkowej części dna (tabl. 10:7, 9; 12:10; 16:7).

Chronologia ceramiki

Charakter naczyń znalezionych w nawarstwieniach grodziska, biorąc pod uwagę wystąpienie fragmentów ceramiki typu Menkendorf-Szczecin nakazuje datować zespół ceramiki wczesnośredniowiecznej na XI i XII wiek.

Zabytki wydzielone

Przedmioty z gliny

Przęślik dwustożkowaty zachowany w połowie (tabl. 24:1) odkryto w jednostce stratygraficznej 27, w wykopie 2, wśród ceramiki o silnie profilowanych wylewach i brzuścach bogato zdobionych odciskami stempli, nacięciami i linią falistą, w kompozycji ze żłobieniami dookolnymi i wałkami. Jest to warstwa wczesnośredniowieczna, będąca poziomem niwelacyjnym, powstałym w trakcie przebudowywania tego obszaru w czasie jego zamieszkiwania. Średnica przęślika wynosi 3 cm, a średnica otworu 1 cm; wysokość wynosi 2 cm. Waga zachowanej połowy przęślika wynosi 8,38 g. Powierzchnia przedmiotu jest gładka, równa, starannie wygładzona, krawędzie wąskie i regularne. Jest to dwustożkowaty przęślik, ostro profilowany z niewielkimi zaklęśnięciami wokół otworu. Przęślik został wykonany z gliny z bardzo drobną i bardzo małą ilością ziaren domieszki. Mocno wygładzona powierzchnia ma barwę czerwonawo-czarną (2,5YR 2,5/1). Na ściance otworu wewnętrznego widoczne są ślady odcisków w postaci delikatnych i drobnych rys pionowych i poziomych po włożonej do wewnątrz zapewne kościanej rurce przed wypałem dla zachowania pustej przestrzeni wewnątrz przęślika.

Analogiczne formy przęślików licznie znajdywane są we wczesnośredniowiecznych punktach osadniczych, między innymi na północno-wschodnim Mazowszu we wczesnośredniowiecznym zespole osadniczym w Święcku[45]. Formę dwustożkowatą i analogiczne cechy metryczne mają także przęśliki ze stanowiska Szwajcarii, gm. Suwałki, pow. suwalski[46]. Analogiczne przęśliki znane są także z Ziemi Chełmińskiej, np. z Napola, st. 6, gm. Kowalewo Pomorskie, pow. golubsko-dobrzyński[47], z Pomorza Gdańskiego, np. z grodziska w Sopocie[48], czy z Wielkopolski, np. z Bruszczewa, gm. Śmigiel, pow. kościański[49], czy Markowic, st. 26, gm. Kleszczewo,

[44] Haftka i Wadyl 2015: ryc. 84; Wadyl 2013a: ryc. 8.

[45] D. Jaskanis 2008: tabl. 6:11, 12:14.

[46] J. Jaskanis 2013: 215.

[47] Bojarski 2012b: ryc. 90:t, 94:l, 104:e, n, 122.

[48] Szymańska-Bukowska 2010: ryc. 23.

[49] Kobusiewicz (red.) 2008: 235.

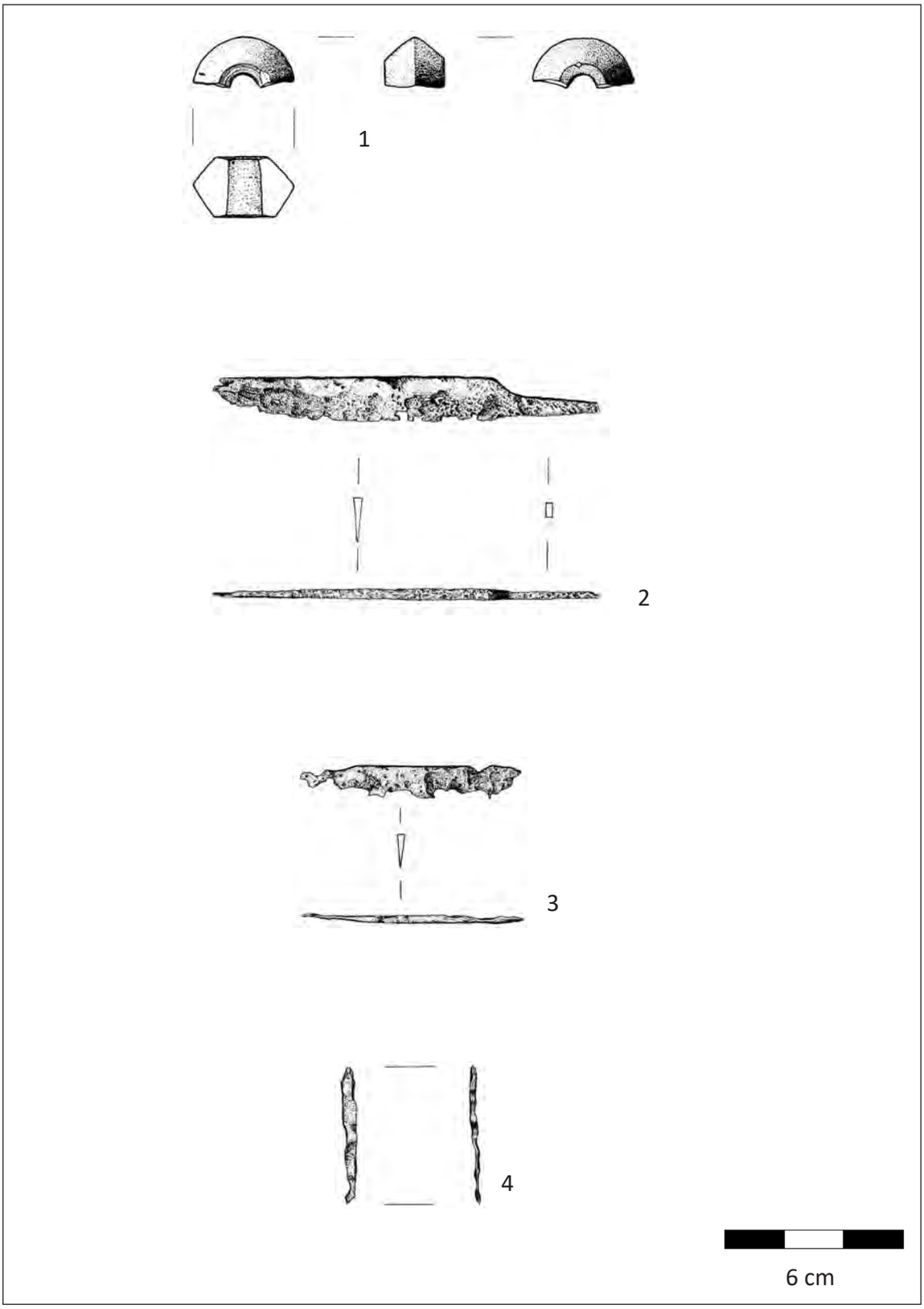

Tablica 24. Zajączki, st. 1. Zabytki wydzielone (rys. D. Wach)

pow. poznański[50]. Przęślik gliniany dwustożkowaty z zaklęśnięciami wokół otworu wewnętrznego jest częstym znaleziskiem na stanowiskach osadniczych wczesnego średniowiecza[51].

Przedmioty z kamienia

W czasie badań wykopaliskowych w 1998 r. znaleziono całkowicie zachowany, owalnego kształtu gładzik kamienny, wypłaszczony z jednej strony, o obłych brzegach i powierzchni gładkiej matowej. Wymiary gładzika wynoszą 5,5 x 7 x 3 cm. Znaleziono także fragment przedmiotu z kamienia ze śladami obróbki, z zachowaną jedną płaszczyzną wypolerowaną. Wymiary przedmiotu wynoszą 3 x 5 x 2,5 cm. Na terenie osady przygrodowej znaleziono fragment (długości ok. 8 cm) kamiennej siekierki z zachowaną częściowo jedną gładką ścianką boczną oraz wyciętym u nasady narzędzia okrągłym otworem o średnicy ok. 1,7 cm.

Przedmioty z żelaza

Noże

W jednostce stratygraficznej 3 znaleziono fragment mocno skorodowanego małego nożyka wykonanego z żelaza (tabl. 24:3). Przedmiot, w przekroju trójkątny, o grubości grzbietu wynoszącej 0,2 cm, jest zachowany na długości 7,4 cm i ma ok. 1 cm szerokości. Zniszczony i mocno skorodowany przedmiot ma uszkodzoną część ostrza oraz brak wyraźnych zakończeń. Kształt nie jest wyraźny. W jednostce stratygraficznej 4 odkryto dość dobrze zachowany, choć także częściowo skorodowany, średniej wielkości nożyk (tabl. 24:2) z zachowanym wąskim trzpieniem o długości 3 cm, o przekroju prostokątnym. Ostrze noża, bez czubka, zachowane jest na długości ok. 9,7 cm, a grubość grzbietu wynosi 0,3 cm. Trzonek oddzielony jest od głowni nożyka łagodnym, ukośnym przejściem, a nie wyraźnym uskokiem. Jest to dość typowa forma noża z okresu wczesnośredniowiecznego, jakich wiele na stanowiskach osadniczych, szeroko użytkowana i datowana na okres między XI a XIII wiekiem[52]. Noże były ważnym narzędziem w gospodarstwie, pomocnym w wielu działaniach. Trzpień noża oprawiany był w rękojeść z różnego surowca. Najczęściej znane są oprawki rogowe, kościane lub drewniane wielkościami odpowiednie dla dłoni użytkownika.

Inne przedmioty

W jednostce stratygraficznej 162 znaleziono skorodowany, bliżej nieokreślony fragment przedmiotu z żelaza (tabl. 24:4) długości 4,5 cm, o przekroju prostokątnym i o wymiarach 0,2–0,4 cm. Zachowany trzonek, bez wyraźnych zakończeń, jest dość nierówny i spłaszczony.

KOŚCI ZWIERZĘCE

ANNA GRĘZAK

Podczas badań przeprowadzonych w trakcie dwóch kampanii wykopaliskowych (1998 i 2015 r.) pozyskano łącznie 989 fragmentów kostnych z nawarstwień akumulowanych we wczesnej epoce żelaza (12 fragmentów) i we wczesnym średniowieczu (977 fragmentów) (tab. 4). Pod względem gatunkowym i anatomicznym zidentyfikowano 948 fragmentów, co stanowiło 95,85% całego zbioru. Wśród oznaczonych szczątków zwierzęcych dominowały pozostałości ssaków, nieliczne (1,05%), należały do ptaków, wyłącznie kury domowej. W grupie szczątków ssaków znalazła się jedna kość ludzka, pozostałe zaś reprezentowały głównie gatunki zwierząt udomowionych (93,93%), w mniejszym stopniu zwierzęta dzikie (0,91%). Tak liczebność, jak i reprezentacja zwierząt łownych była bardzo skromna, znaleziono kości dwóch gatunków: jelenia i sarny. Opisywany zbiór stanowiły w większości resztki po spożytym mięsie, na co wskazuje stan zachowania materiałów oraz ślady występujące na powierzchniach kości związane z obróbką tuszy i przygotowaniem mięsa do konsumpcji. Odmienny charakter miała kość ludzka (przypadkowa domieszka wśród pozostałości pokonsumpcyjnych) oraz dwa

Tabela 4. Szczątki kostne z grodziska w Zajączkach, st. 1 (oprac. A. Grężak)

Identyfikacja zoologiczna	Wczesna epoka żelaza	Wczesne średniowiecze
Człowiek *Homo sapiens*	-	1
Kura domowa *Gallus gallus* f. domestica	-	10
Bydło *Bos primigenius* f. taurus	7	401
Owca/koza *Ovis ammon* f. aries/ *Capra aegagrus* f. hircus	1	128
Świnia *Sus scrofa* f. domestica	3	369
Koń *Equus ferus* f. caballus	-	19
Ssaki udomowione	11	917
Jeleń *Cervus elaphus*	-	7
Sarna *Capreolus capreolus*	-	2
Ssaki dzikie	-	9
Nie rozpoznane	1	40
Suma	**12**	**977**

[50] Pawlak i Pawlak 2008: fot. 29:a, c.

[51] Pawlata 1993: tabl. 4:4.

[52] Kobylińska 1999: tabl. 11:22; Dębowska 2001: tabl. 4:2; D. Jaskanis 2008: tabl. 150:244; 153:13; 160:10; 164:7; Fonferek, Marcinkowski i Sieńkowska 2012: fot. 103.

fragmenty rzutka poroża sarny, stanowiące zapewne potencjalny, aczkolwiek niewykorzystany, surowiec produkcyjny.

Ze względu na niewielką liczebność zbioru szczątków kostnych z fazy użytkowania grodu we wczesnej epoce żelaza, możliwe jest wnioskowanie jedynie na temat konsumpcji i hodowli w fazie wczesnośredniowiecznej. Wśród resztek kostnych zwierząt udomowionych odnotowano dla tego okresu obecność jedynie czterech najpopularniejszych gatunków konsumpcyjnych: bydła, świni oraz owcy i kozy. Szczątki bydła i świni wystąpiły w podobnych odsetkach (odpowiednio 43,73% i 40,24), znacznie mniej było pozostałości kostnych małych przeżuwaczy (13,96%).

Odsetek kości bydła należących do osobników zabitych w młodym wieku wynosił 6,8%. W przypadku kilku fragmentów kości wiadomo, że pochodziły one od osobników zabitych w wieku między 1 a 3 rokiem życia. Wyższy odsetek kości zwierząt młodych, równy 19,23%, odnotowano dla owcy i kozy, a nad wyraz wysoki wyższy dla świni; co najmniej 77,00% szczątków pochodziło od zwierząt, które nie przekroczyły 42 miesiąca życia. W kilku przypadkach możliwe było bardziej precyzyjne oznaczenie wieku uboju tych zwierząt. Jeden osobnik został zabity przed ukończeniem 6 miesięcy, dwa w wieku około 8–12 miesięcy, jeden samiec około 12–16 miesiąca, a jedna samica około 17–22 miesięcy życia.

Dane dotyczące płci zwierząt są nieliczne, ale odnoszą się do kości czterech gatunków ssaków. Na podstawie kilku kości szczękowych z kłami i fragmentów żuchw świni wiadomo, że należały one do pięciu samców i ośmiu samic. Jeden fragment możdżenia kozy należał do samicy. Płeć określono także w przypadku jelenia i sarny, należały do samców.

Zmierzono kilkadziesiąt różnych elementów anatomicznych bydła, świni oraz małych przeżuwaczy, ale tylko trzy pomiary dały możliwość ustalenia wysokości zwierząt w kłębie. Na podstawie długości bocznej kości skokowej ustalono wysokość bydła. Osobnik, do którego należała ta kość mierzył około 97 cm, czyli był zwierzęciem bardzo niskim, o drobnej budowie ciała. Szacunkowa wysokość w kłębie świni obliczona na bazie długości kości śródręcza IV wynosiła około 77 cm, co plasuje osobnika w klasie zwierząt wysokich. Ten sam parametr w przypadku kozy ustalony z wykorzystaniem długości kości śródstopia wynosił nieco około 60 cm, a zatem był typowy dla zwierząt niskich.

Na powierzchniach kości znalezionych w obrębie grodziska zaobserwowano różnorodne ślady związane głównie z obróbką konsumpcyjną i rzemieślniczą.

W badanym zbiorze najwięcej odnotowano kości ze śladami obróbki rzeźnej i kulinarnej. Były to głównie ślady porcjowania tuszy i rąbania kości obłożonych mięsem na mniejsze fragmenty. Kości długie rąbano głównie w poprzek trzonów, najczęściej w standardowych rejonach kości, w połowie trzonu, pod nasadą bliższą i nad nasadą dalszą. Rąbanie dotyczyło także żeber, łopatek, miednic, kręgów, a sporadycznie również żuchw. Obróbkę tego typu odnotowano wyłącznie na kościach zwierząt hodowlanych. Zwraca uwagę, że wśród opisywanych szczątków odnotowano bardzo małą liczbę śladów wskazujących na obróbkę termiczną, która mogła być związana z pieczeniem mięsa z kością. Kilka szczątków nosiło ślady intensywnego przepalenia (na biało), o nieznanej genezie.

Rzadziej występowały ślady obróbki rzemieślniczej, do których można zaliczyć ślady cięcia i strugania poroży jelenia. Surowiec ten był cięty na mniejsze fragmenty, stanowiące najprawdopodobniej półprodukty do wyrobu różnych przedmiotów. Znaleziono jedynie odpady poprodukcyjne lub fragmenty niewykorzystanego surowca.

Ludność zamieszkująca grodzisko w Zajączkach w zakresie zajęć związanych z gospodarowaniem zwierzętami zajmowała się przede wszystkim hodowlą zwierząt udomowionych. Uzupełnieniem korzyści wynikających z hodowli było sporadyczne odławianie zwierząt z rodziny *Cervidae*.

Analiza składu gatunkowego wskazuje, na przewagę w badanym zbiorze szczątków bydła i świni, co wskazuję na wołowinę i wieprzowinę jako dominujące składniki dań mięsnych. Wysoki odsetek kości świni jest zgodny z generalnych tendencji jakimi charakteryzowała się dieta mięsna mieszkańców wielu grodzisk z terenu ziem polskich w okresie wczesnego średniowiecza.

SZCZĄTKI ROŚLINNE

MARIA LITYŃSKA-ZAJĄC I MAGDALENA MOSKAL-DEL HOYO

Z przeszlamowanych 34 prób przeznaczonych do analiz archeobotanicznych pobranych ze stanowiska 1 w Zajączkach, w 25 zachowały się szczątki roślinne[53]. Oznaczono ponadto liczne sklerocja grzyba czarniaka właściwego *Cenococcum geophilinum*. W badanym materiale zachowały się niespalone diaspory, będące zapewne zanieczyszczeniem dzisiejszym (tab. 5).

W nawarstwieniach datowanych na wczesną epokę żelaza wśród zbóż dominowały resztki jęczmienia zwyczajnego *Hordeum vulgare*. Znaczący był także udział ziarniaków pszenicy zwyczajnej *Triticum aestivum* i ziarniaków oraz części oplewienia pszenicy orkisz *T. spelta*. Do poziomu gatunku oznaczono jeszcze proso zwyczajne *Panicum miliaceum*, żyto zwyczajne *Secale cereale* i pszenice oplewione samopszę *T. monococcum* oraz płaskurkę *T. dicoccon*. Spory procent przypadał na okazy nieoznaczone opisane jako *Cerealia* indet. Na podstawie owoców i nasion roślin zielnych spontanicznie rozwijających się w otoczeniu siedzib ludzkich oznaczono dziewięć

[53] Opis metody: Lityńska-Zając i Moskal-del Hoyo 2016.

Tabela 5. Spalone i niespalone szczątki roślinne ze stanowiska z wczesnej epoki żelaza i wczesnego średniowiecza w Zajączkach, st. 1. Objaśnienia: typ szczątka: z – ziarniak, p – plewa, wkł – widełki kłoska, o – owoc, n – nasiono, d – drewno, ko – kora, ły – łyko, sc – sklerocja, ? – nieokreślony (oprac. M. Lityńska-Zając i M. Moskal-del Hoyo)

Nazwa taksonu	Chronologia	Wczesna epoka żelaza					Wczesne średniowiecze												Suma
	Numer jednostki stratygraficznej	136	139	143	167	190	123	138	149	156 (157)	23	35	39	4	54	68	69	81	
	Typ szczątka																		
Szczątki spalone																			
Hordeum vulgare	z	1668		5	13	3	11	3	99	6	3	25					1		**1837**
Panicum miliaceum	z					2												1	**3**
Secale cereale	z		1	4			17					9	14				1		**46**
Triticum aestivum	z	800					6					85	122						**1013**
Triticum dicoccon	p								1										**1**
Triticum dicoccon	wkł											2							**2**
Triticum dicoccon	z	1		1		3			1			3		4					**13**
Triticum dicoccon vel *T. spelta*	p												2						**2**
Triticum monococcum	z				5														**5**
Triticum spelta	p	29		1	3				1								3		**37**
Triticum spelta	wkł	8			7				3										**18**
Triticum spelta	z	200		6	10		55		2								7		**280**
Cerealia indet.	z	2,5 cm^3	14	31 cm^3	461	42	2468, 24 cm^3		13 cm^3	159		1000	600	28	4	1	81	4	**4862, 70,5 cm^3**
Chelidonium majus	n												1						**1**
Chenopodium album	n	2																	**2**
Echinochloa crus-galli	z	1							1										**2**
Fallopia convolvulus	o	1							1										**2**
Melandrium album	n																1		**1**
Polygonum mite	o	14		1															**15**
Rumex acetosa	o								1										**1**
Setaria pumila	z	1																	**1**
Bromus sp.	z	1																	**1**
Polygonum sp.	o		1																**1**
Trifolium sp.	n												1						**1**
Fabaceae indet.	n				1		1												**2**
Poaceae indet.	z	1																	**1**
Carpinus betulus	d			4		2			1				1		6				**14**
Carpinus betulus	o					1	1											1	**3**
Corylus avellana	d	1		3		2													**6**
Fraxinus excelsior	d			2											3				**5**

Tabela 5. Ciąg dalszy

Nazwa taksonu	Chronologia	Wczesna epoka żelaza					Wczesne średniowiecze												Suma
	Numer jednostki stratygraficznej	136	139	143	167	190	123	138	149	156 (157)	23	35	39	4	54	68	69	81	
	Typ szczątka																		
Pinus sylvestris	d		18	2	4					2									**26**
Rubus idaeus	n													1					**1**
Acer sp.	d		1	1							7	3	4		1	2		7	**26**
Alnus sp.	d				1										2			2	**5**
Betula sp.	d	6	2	13	8			27	4	1	6	2	4	22		7		8	**110**
Betula sp.	ko								1										**1**
Populus sp. vel *Salix* sp.	d	11														2			**13**
Prunus sp.	d								1										**1**
Quercus sp.	d	22	7	10	21	35	40	3	7	9	50	33	31	8	27	22		22	**347**
Tilia sp.	d			1					3			1				5			**10**
Tilia sp.	ły	3							6							2			**11**
liściaste	d			4	1	1			2	2		1			1	1		1	**14**
nieoznaczony	?				30		99	2						1					**132**
nieoznaczony	d	1	2	4		1			2							1			**11**
nieoznaczony	ko							2						2				3	**7**
Suma		**2771, 2,5 cm³**	**46**	**62, 31 cm³**	**565**	**92**	**2698, 24 cm³**	**37**	**137, 13 cm³**	**179**	**66**	**1164**	**780**	**66**	**44**	**43**	**94**	**49**	**8893, 70,5 cm³**
Cenococcum geophilinum	sc		20	50		50		1	4	8			40			30	320	4	**527**
Szczątki niespalone																			
Chelidonium majus	n					9										10			**19**
Chenopodium album	n					1													**1**
Chenopodium sp.	n													1					**1**
Papaver sp.	n																	1	**1**
Rubus sp.	n					1													**1**
Fabaceae indet.	n		1																**1**
Betula pendula	o	1										1							**2**
Carpinus betulus	o									3									**3**
Tilia cordata	o													1					**1**
Suma		**1**	**1**			**11**				**3**		**1**		**2**		**10**		**1**	**30**

taksonów, w tym pięć do poziomu gatunku (komosa biała *Chenopodium album*, chwastnica jednostronna *Echinochloa crus-galli*, rdestówka powojowata *Fallopia convolvulus*, rdest łagodny *Polygonum mite* i włośnica sina *Setaria pumila*), dwa do poziomu rodzaju (stokłosa *Bromus* sp. i rdest *Polygonum* sp.) oraz dwa do poziomu rodziny (bobowate Fabaceae indet. i wiechlinowate Poaceae indet.). Resztki drzew i krzewów zachowały się w postaci węgla drzewnego, kory (brzoza), łyka (lipa) i owoców (grab zwyczajny). Na podstawie spalonego drewna oznaczono 11 taksonów drzew lub krzewów, w tym cztery do poziomu gatunku (grab zwyczajny *Carpinus betulus*, leszczyna pospolita *Corylus avellana*, jesion wyniosły *Fraxinus excelsior* i sosna zwyczajna *Pinus sylvestris*), pięć do poziomu rodzaju (klon *Acer* sp., olsza *Alnus* sp., brzoza *Betula* sp., dąb *Quercus* sp. i lipa *Tilia* sp.). Kilka fragmentów należało do drzew lub krzewów liściastych, inne pozostały nieoznaczone.

Sporo pozostałości roślinnych odnotowano także w nawarstwieniach z okresu wczesnego średniowiecza. Wśród zbóż wyróżniono sześć gatunków, jęczmień zwyczajny *Hordeum vulgare*, proso zwyczajne *Panicum miliaceum*, żyto zwyczajne *Secale cereale*, pszenice: zwyczajną, orkisz i płaskurkę (*T. aestivum, T. spelta T. dicoccon*). Dwie plewy opisano jako reprezentujące jeden z dwóch (lub oba) gatunki pszenic oplewionych płaskurkę lub orkisz *Triticum dicoccon* vel *T. spelta*. Na podstawie spalonych diaspor oznaczono siedem taksonów roślin zielnych dzikich, w tym pięć do poziomu gatunku (glistnik jaskółcze ziele *Chelidonium majus*, chwastnica jednostronna, rdestówka powojowata, bniec biały *Melandrium album* i rdest zwyczajny *Rumex acetosa*) oraz po jednym do poziomu rodzaju (koniczyna *Trifolium* sp.) i rodziny (bobowate). Węgle drzewne reprezentowały dziewięć taksonów, w tym trzy oznaczone do poziomu gatunku (grab zwyczajny *Carpinus betulus*, jesion wyniosły *Fraxinus excelsior* i sosna zwyczajna *Pinus sylvestris*) oraz sześć do poziomu rodzaju (klon *Acer* sp., olsza *Alnus* sp., brzoza *Betula* sp., śliwa *Prunus* sp., dąb *Quercus* sp. i lipa *Tilia* sp.). Pojedyncze nasiono należało do maliny właściwej *Rubus idaeus*. Dwa owoce to pozostałości graba zwyczajnego.

DENDROLOGIA

TOMASZ STĘPNIK

Wyniki badań dendrologicznych próbek spalonych konstrukcji z grodziska w Zajączkach, st. 1. Wykazały, że we wszystkich fazach wczesnośredniowiecznych do budowy wału obronnego grodu wykorzystywano wyłącznie drewno dębowe[54].

[54] Szczegółowe wyniki badań: Stępnik 2016.

CHRONOLOGIA STANOWISKA

URSZULA KOBYLIŃSKA

Badania wykopaliskowe grodziska w Zajączkach, st. 1 wykazały jednoznacznie obecność śladów dwóch głównych faz osadniczych. Faza starożytna, wiążąca się z osadnictwem kultury kurhanów zachodniobałtyjskich, na podstawie analogii do ceramicznych znalezisk z terenu grodziska, może być wiązana z II fazą rozwojową tej kultury, datowana na okres lateński A–B, czyli w datach kalendarzowych na V–IV w. p.n.e. Wyniki datowania absolutnego metodą radiowęglową potwierdzają takie datowanie. Dla zwęglonych bierwion wału z wczesnej epoki żelaza uzyskano mianowicie datowanie radiowęglowe 2245±30 BP, co po kalibracji wskazuje z prawdopodobieństwem 95,4% na przedział lat 393–206 BC[55]. Najbardziej prawdopodobne w świetle zarówno datowania na podstawie analogii ceramicznych, jak i wyników datowania absolutnego, wydaje się być istnienie grodu starożytnego w Zajączkach, st. 1 w IV w. p.n.e.

Nie jest łatwo ustalić ramy chronologiczne funkcjonowania grodu w fazie wczesnośredniowiecznej. Tradycja utożsamiania grodziska w Zajączkach, st. 1 ze znanym ze źródeł pisanych grodem *Sassenpile* sięga XIX w. Informacja na temat tego grodu pochodzi z roku 1303 z dokumentu przekazania ziem biskupstwu chełmińskiemu przez Zakon. Granica tych ziem przebiega na pewnym odcinku wzdłuż rzeki Gryźli (Gizeli) *ad vallum quod Sassenpile dicitur in vulgari*[56]. Na temat utożsamienia tej nazwy z grodziskiem w Zajączkach, st. 1 wypowiadali się m.in. Johannes Voigt w 1832 r., Gustav Liek w 1893, czy Alfons Mańkowski w 1923 r., sugerując, że był to główny gród plemienia Sasinów[57]. W tym samym duchu wypowiadali się również współcześni historycy, np. Jan Powierski, czy Wiesław Długokęcki[58]. W świetle badań wykopaliskowych przeprowadzonych na terenie grodziska w Zajączkach, st. 1 nie można wykluczyć, że rzeczywiście w cytowanym dokumencie z 1303 r. ukrywa się ono pod nazwą *Sassenpile*. Wyniki badań dowodzą także, że gród ten był kilkakrotnie palony i odbudowywany, co sugeruje jego istotne znaczenie militarne. Równocześnie jednak ani rozmiary grodziska, ani wielkość jego wałów, ani też skromny zestaw zabytków metalowych i innych przedmiotów znalezionych podczas wykopalisk, nie pozwalają potwierdzić tezy, jakoby był to gród stołeczny, czy też główny gród plemienia Sasinów.

Jeśli chodzi o ustalenie chronologii wczesnośredniowiecznej fazy grodu w Zajączkach, st. 1, to z jednej

[55] Kobyliński 2016: 107

[56] Kujot 1913: 176–177.

[57] Voigt 1832: 477–478; Liek 1893: 10; Mańkowski 1923.

[58] Powierski 2004: 155; Długokęcki 2006: 16.

strony może być ona oparta na analizie porównawczej licznego pozyskanego materiału ceramicznego, który wykazuje nawiązania do ceramiki wytwarzanej na Ziemi Chełmińskiej, gdzie periodyzacja rozwoju garncarstwa wczesnośredniowiecznego została dobrze opracowana, z drugiej zaś powinna opierać się na wynikach datowania absolutnego, a mianowicie datowaniu radiowęglowym próbki zwęglonych bierwion z najstarszej fazy wczesnośredniowiecznego wału grodziska. Datowanie to dało wynik 1265 ±30 BP, co po kalibracji wskazuje z prawdopodobieństwem 95,3% na przedział lat 666–863. Największe prawdopodobieństwo, bo aż 89,1% ma przy tym najwcześniejsza część tego przedziału, do roku 779. Problem, który pojawia się w związku z tym datowaniem polega na tym, że nie potrafimy w materiale zabytkowym z grodziska w Zajączkach, st. 1 wskazać tak wczesnej ceramiki, która mogłaby być datowana na VIII czy nawet IX wiek, za wyjątkiem ewentualnie pojedynczych fragmentów prostych esowatych naczyń przykrawędnie obtaczanych, o powierzchni kostropatej (np. tabl. 10:6). Być może zatem należy przyjąć, że początki wczesnośredniowiecznej aktywności na terenie grodziska pochodzą już z tak wczesnej fazy wczesnego średniowiecza. Główny okres aktywności wczesnośredniowiecznej datować należy jednak na okres późniejszy. Obecność naczyń typu Menkendorf-Szczecin, których popularność na innych terenach kończy się już najpóźniej w XI w., przy równoczesnym współwystępowaniu z nimi form naczyń wiązanych z okresem XII w., wskazuje, że główną fazę wczesnośredniowiecznego grodu w Zajączkach, st. 1 należy datować na XI–XII w.

DZIEJE GRODZISKA W ZAJĄCZKACH, ST. 1

DARIUSZ WACH

Wyniki badań wykopaliskowych w Zajączkach, st. 1 dowodzą, że znajdujący się tu gród funkcjonował z niemal równą intensywnością zarówno w okresie starożytnym, jak i wczesnośredniowiecznym. Zachowane nawarstwienia świadczą o tym, iż już we wczesnej epoce żelaza, zarówno w zachodniej partii, i w obszarze krawędzi wzgórza, jak też w obszarze jego wschodniej partii, było ono intensywnie użytkowane. Reliktami tej aktywności są duże, zachodzące częściowo na siebie jamy nieckowate w partii wschodniej i różnorodne obiekty i warstwy (jamy z brukiem kamiennym, doły posłupowe, czy też wąskie, niskie murki kamienne) w strefie przykrawędziowej. Zachodzące na siebie w tym obszarze kolejne poziomy warstw i obiektów, świadczą o stosunkowo długim użytkowaniu tego terenu. Wejście do grodu w tej fazie musiało znajdować się w innym miejscu. Nawarstwienia te powstały jeszcze przed uformowaniem się pierwszych warstw związanych z nasypem niskiego wału starożytnego, który (w kolejnej fazie) zmienił użytkowane intensywnie, ale – jak się wydaje – nie bronione wcześniej żadnymi umocnieniami wzgórze w gród z przestrzenią wewnętrzną ograniczoną wałem. Wał ten (o zachowanej wysokości 1 m i szerokości podstawy 4 m), sądząc po zachowanych śladach dość wąskich ale bardzo głębokich (niemal do 1 m głębokości) dołów posłupowych, umieszczonych na jego łagodnym zewnętrznym stoku, oprócz samego piaszczystego i piaszczysto-żwirowego nasypu posiadał zapewne także ścianę palisadową, która podnosiła obronność całej konstrukcji, a być może schodziła częściowo w dół stoku wzgórza.

Założenie to w pewnym momencie uległo całkowitemu zniszczeniu na skutek gwałtownego pożaru, którego śladem jest gruba warstwa popiołów, pokrywająca zarówno zbocza wału, jak również czytelna w wypełniskach dołów posłupowych. Grubość tego nawarstwienia popiołów wskazuje, że spalone konstrukcje drewniane wału musiały być masywne i zapewne również wysokie.

Po wspomnianym, dramatycznym epizodzie pożarowego zniszczenia grodu, jak się wydaje na długi czas przestał on funkcjonować.

Zalety obronności tego miejsca (podniesionej zachowanym częściowo nasypem wału starożytnego) wykorzystano ponownie dopiero w okresie wczesnego średniowiecza, kiedy to (wcześniej zapewne wycinając i przekopując korytarz w reliktach wału starożytnego) skonstruowano drewniany pomost (o szerokości co najmniej 2,5 m) prowadzący do wnętrza grodu.

Konstrukcja ta dość szybko uległa spaleniu, po czym teren nad nią został częściowo zniwelowany, co połączone zostało z konstrukcją kolejnego poziomu pomostu w przejściu bramnym, jak również usypaniem pierwszego, niskiego wału wczesnośredniowiecznego. Korytarz bramny w tym czasie (jak wskazuje położenie linii dużych dołów posłupowych z obstawami kamiennymi, a także wzajemne położenie warstw nasypu wału po obu stronach tego korytarza) musiał mieć nieco inny przebieg, niż przejście bramne w fazach późniejszych (jego oś odchylała się od osi W–E o około 30 stopni ku S). Korytarz ten był prawdopodobnie flankowany z obu stron solidną ścianą (wspomniana linia dołów posłupowych). Równocześnie z usypaniem wału, w obrębie majdanu usypywane były warstwy niwelacyjne, jak też powstawały obiekty użytkowe (jamy). We wschodniej części grodu powstało też wówczas na przedpolu wału wschodniego, płytkie zagłębienie przywałowe. Różnorakie obiekty (duże cylindryczne jamy i doły posłupowe u podnóża wału i w obrębie majdanu) oraz warstwy (użytkowe poziomy przepaleń i niwelacji) związane z funkcjonowaniem grodu w tej fazie, świadczą o tym, iż był on nieprzerwanie użytkowany.

W kolejnym etapie tego użytkowania duża część powierzchni końca wewnętrznego stoku i majdanu pokryta została płaszczem (brukiem) kamiennym, który z czasem został częściowo przykryty ziemią.

Kolejnym zwrotnym momentem w funkcjonowaniu grodu był pożar niszczący konstrukcję pierw-

szego wału wczesnośredniowiecznego i przejścia bramnego.

Na destruktach i warstwach niwelacyjnych wzniesiono nowe, wyższe i masywniejsze konstrukcje kolejnego, o wiele większego wału wczesnośredniowiecznego, który osiągnął szerokość 6 m i wysokość (dzisiaj zachowaną) 1,8 m. Zbudowano wówczas również masywne ściany drewniane samej bramy (przebieg osi korytarza bramnego uległ wówczas zmianie – poświadcza to ułożenie spalonych lecz dobrze zachowanych dolnych belek tychże ścian). Zewnętrzny stok wału wzmocniony był w dolnej partii ścianą (zapewne faszynową lub przeplataną), opartą o linię niedużych słupów. Narożniki bramy wzmocnione były, wyznaczającymi je, słupami o wiele większymi.

O naprawach i przebudowach konstrukcji grodu świadczą zsuwy warstw z wału i leżące na nich ślady kolejnych umocnień. Najdobitniejszym tego wyrazem było położenie od strony majdanu kolejnego zwartego płaszcza (bruku) kamiennego oraz osadzenie na wewnętrznym stoku wału solidnych drewnianych, prostokątnych konstrukcji drewnianych (pomostu dookolnego lub skrzyń) ograniczonych od strony majdanu pionową ścianą z poziomo ułożonych belek).

Podobnie jak konstrukcje starożytne i starsze konstrukcje wczesnośredniowieczne, również i te kolejne solidne konstrukcje obronne grodu w Zajączkach strawił gwałtowny pożar, którego świadectwa (w postaci grubej warstwy spalenizny oraz zsuwów warstw i kamieni z wału) wypełniły częściowo korytarz bramny, jak również pokryły obszar stoków wału i wnętrze majdanu.

Późniejsze, nieliczne i epizodyczne ślady obecności ludzkiej w obrębie grodziska świadczą o tym, iż po wspomnianym pożarze zostało one trwale opuszczone.

Plichta, st. 1

Gmina Łukta

Powiat ostródzki

AZP 24–57/1

Współrzędne geograficzne:

N 53° 44’ 29,46’’

E 20° 8’ 34,88’’

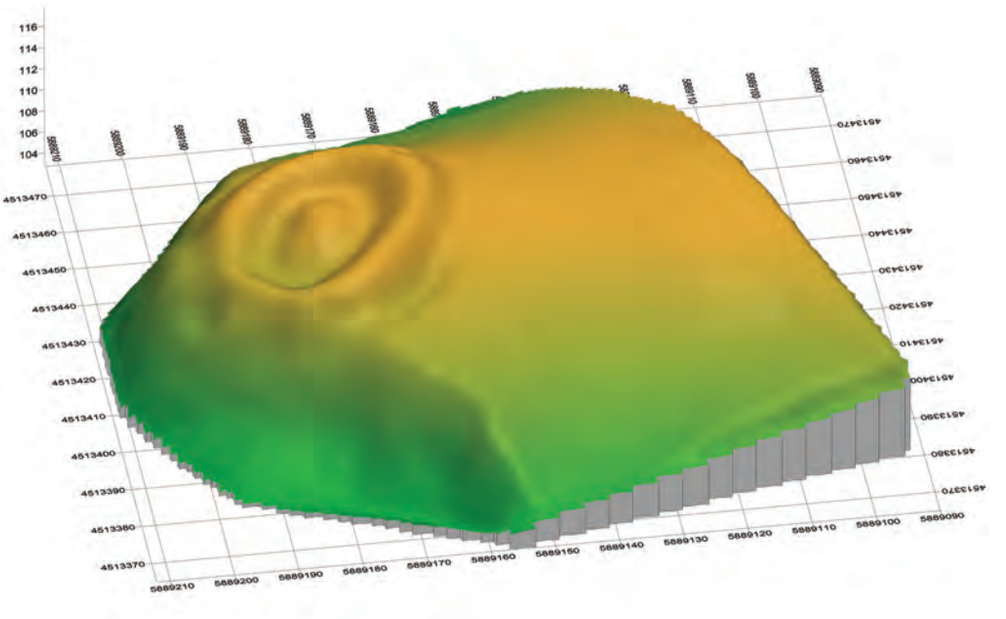

Ryc. 1. Grodzisko w Plichcie, st. 1 na mapie w skali 1:25 000 (na podstawie materiałów CODGiK, oprac. R. Solecki)

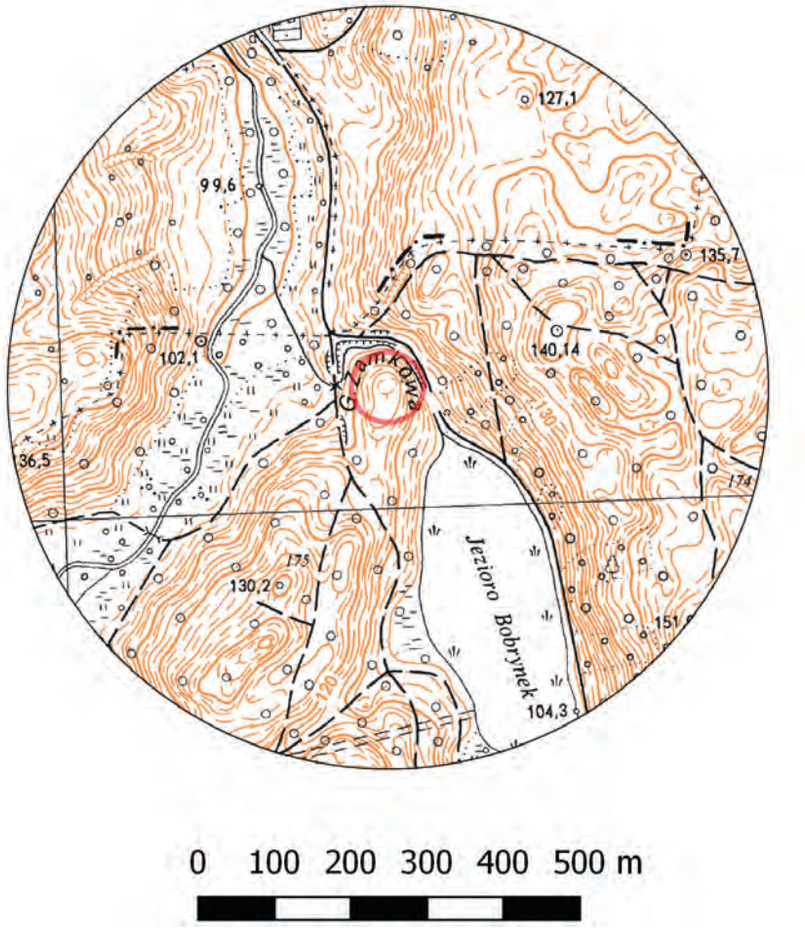

Ryc. 2. Grodzisko w Plichcie, st. 1 na mapie w skali 1:10 000 (na podstawie materiałów CODGiK, oprac. R. Solecki)

POŁOŻENIE GRODZISKA I JEGO FORMA

RAFAŁ SOLECKI I JACEK WYSOCKI

Grodzisko leży na gruntach obecnie należących do wsi Plichta, ale w starszych dokumentach opisywano je w odniesieniu do wsi Grazymy w gminie Gietrzwałd, w powiecie olsztyńskim, która położona jest w linii prostej około 6 km na wschód. Do rejestru zabytków województwa olsztyńskiego zostało natomiast wpisane w 1949 r. jako należące do wsi Grażnice (*Grasnitz*) w gminie Biesal, w powiecie ostródzkim. Opisane jest tam jako „Obwałowane grodzisko wyżynne, owalne, zwane 'Górą Zamkową' [...] położone na północnym krańcu jeziora Bubrinek i otoczone wypływającym z tegoż jeziora strumieniem bez nazwy"[1]. Starszą, niemiecką nazwę lokalną stanowiska podaje Hans Crome w swej pracy z 1937 r. informując, że w odległości 500 m na południowy wschód od wsi Grażnice (*Grasnitz*) znajduje się *Schloßberg*[2].

Obiekt znajduje się na cyplu będącym północnym krańcem wysoczyzny morenowej położonej przy zachodnim brzegu Jeziora Bobrzynek. Z jeziora tego wypływa niewielki, bezimienny strumień, który opływa grodzisko od wschodu, północy i zachodu (ryc. 1–2).

Grodzisko jest obiektem pierścieniowym, lekko wyciągniętym po osi północ–południe z wałem dookolnym, bardzo słabo zarysowaną fosą zewnętrzną, głęboką fosą wewnętrzną i kolistym w planie niewielkim stożkiem wewnętrznym. Średnica grodziska mierzona do zewnętrznej krawędzi wału wynosi około 39–45 m. Szerokość wału u podstawy dochodzi do 11 m, a jego średnia wysokość wynosi około 2,5 m, a największa około 3 m. Powierzchnia majdanu wynosi około 270 m^2, a powierzchnia wyniesienia w jego centrum wynosi około 75 m^2. Majdan lekko opada w kierunku północno-zachodnim z około 115 m, na 112 m n.p.m. Najwyższy punkt wału znajduje się w części południowo-wschodniej, gdzie osiąga poziom około 117,8 m n.p.m., a najniższy w części północno-zachodniej, gdzie osiąga poziom około 113,1 m n.p.m. Różnica wysokości pomiędzy poziomem wody w strumieniu, a szczytem wału od strony wschodniej dochodzi do 12,5 m (ryc. 3–6).

ŚRODOWISKO FIZYCZNO-GEOGRAFICZNE

JERZY NITYCHORUK I FABIAN WELC

Stanowisko położone jest na pagórku przylegającym do północnych brzegów jeziora Bobrzynek (Bobrynek). Od wschodu pagórek opływa struga wypływająca z jeziora. Pagórek osiąga wysokość ponad 116 m n.p.m., natomiast poziom wody w jeziorze wynosi 104,3 m n.p.m.

Na podstawie wykonanych wierceń (ryc. 7–8) można stwierdzić, że w podłożu osadów budujących stanowisko są mułki, które budują kem limnoglacjalny. Osady te przykrywa warstwa piasków i piasków gliniastych i to właśnie w tych osadach wykonano wał i fosy. Wysokość nasypów wałów osiąga około 1,5 m. Wały sypano bezpośrednio na glebę, którą nawiercono, a zatem materiał na wały czerpano z obu fos, zewnętrznej i wewnętrznej.

Ryc. 3. Widok grodziska w Plichcie, st. 1 od strony południowej (fot. J. Wysocki)

Ryc. 4. Widok majdanu grodziska w Plichcie, st. 1 (fot. J. Wysocki)

[1] Informacje z karty stanowiska z Archiwum WUOZ w Elblągu.

[2] Crome 1937: 120.

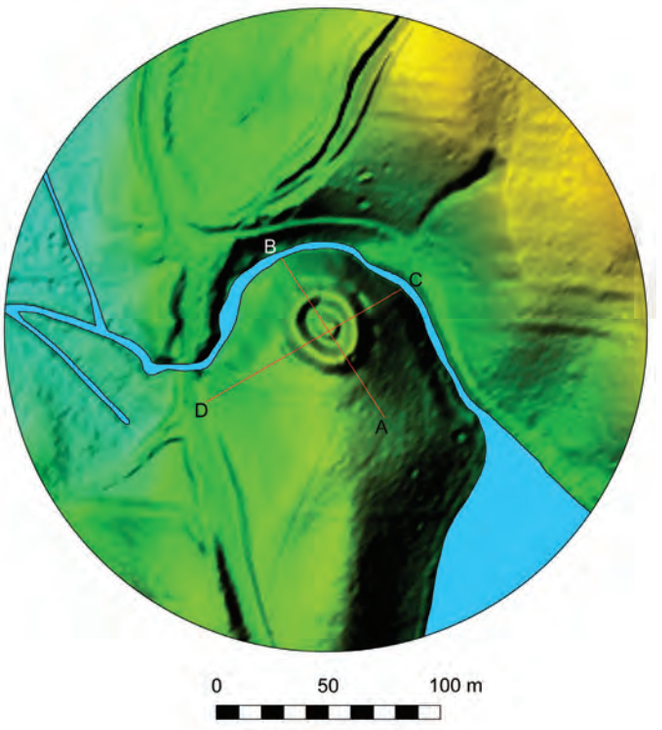

Ryc. 5. Grodzisko w Plichcie, st. 1 na zobrazowaniu ALS (na podstawie materiałów CODGiK, oprac. R. Solecki)

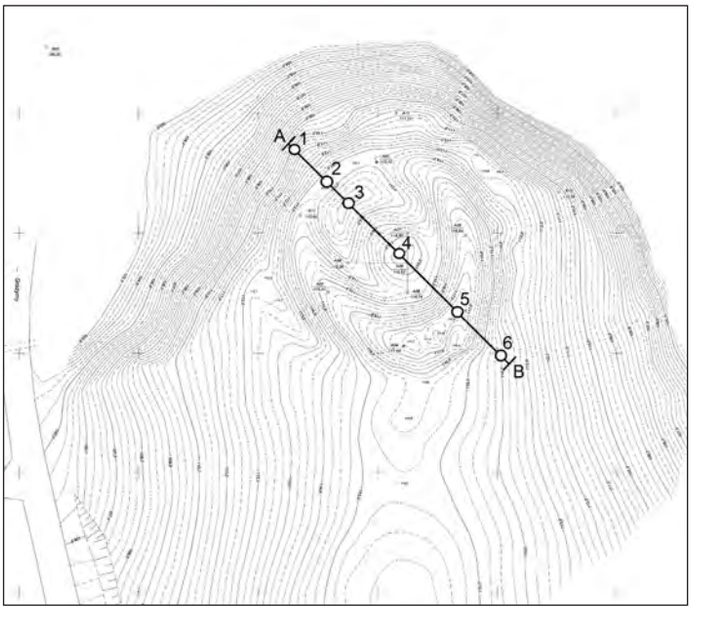

Ryc. 7. Plan warstwicowy grodziska w Plichcie, st. 1 (wyk. J. Błaszczyk) z zaznaczonymi miejscami wierceń geologicznych (oprac. J. Nitychoruk i F. Welc)

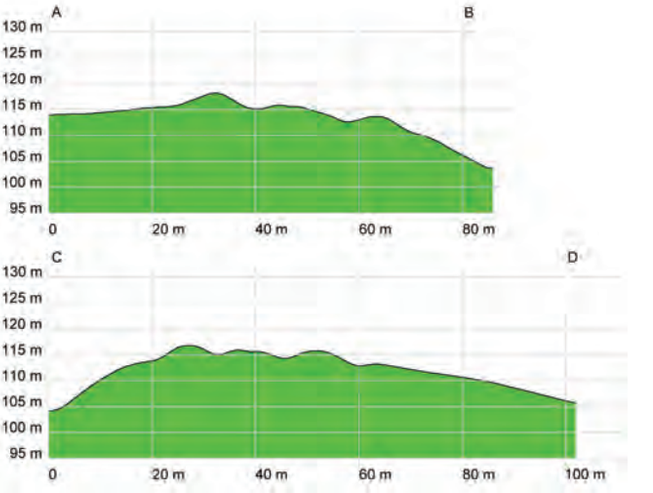

Ryc. 6. Przekrój grodziska w Plichcie, st. 1 po osi zbliżonej do północ–południe (A–B) i osi zbliżonej do wschód–zachód (C–D) uzyskany z danych ALS (na podstawie materiałów CODGiK, oprac. R. Solecki)

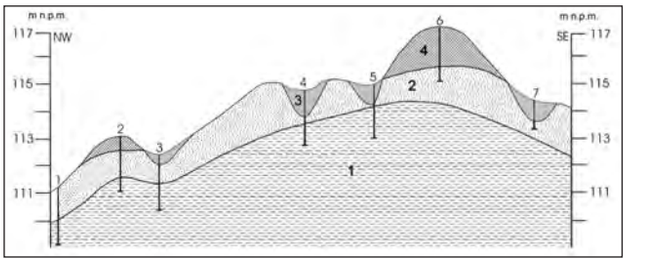

Ryc. 8. Przekrój geologiczny przez grodzisko w Plichcie, st. 1: 1 – mułki; 2 – piaski i piaski z mułkiem; 3 – piaski z organiką – wypełnisko fos; 4 – piaszczyste nasypy wałów (oprac. J. Nitychoruk i F. Welc)

BADANIA ARCHEOLOGICZNE

RAFAŁ SOLECKI I JACEK WYSOCKI

Przebieg badań terenowych

Pomimo, że grodzisko znane było już przed wojną naukowcom niemieckim, a do rejestru zabytków zostało wpisane niedługo po jej zakończeniu, nie doczekało się regularnych badań archeologicznych do czasu realizacji projektu *Katalog grodzisk Warmii i Mazur*.

W trakcie badań przeprowadzonych w 2015 roku otworzono 3 wykopy o łącznej powierzchni 37,5 m^2 (ryc. 9). Wykop 1, o wymiarach 2 x 10 m, wytyczono na osi wschód – zachód, tak że jeden jego koniec nachodził na niewielkie wypiętrzenie w centralnej części majdanu, a drugi dochodził do osi wału od strony wschodniej. Wykop 2, o wymiarach 2 x 5 m, wytyczono na osi północ – południe u zewnętrznego podnóża wału od strony południowej. Wykop 3, o wymiarach 1,5 x 5 m, wytyczono na osi zbliżonej do północny wschód – południowy zachód, u zewnętrznego podnóża wału od strony południowo-zachodniej.

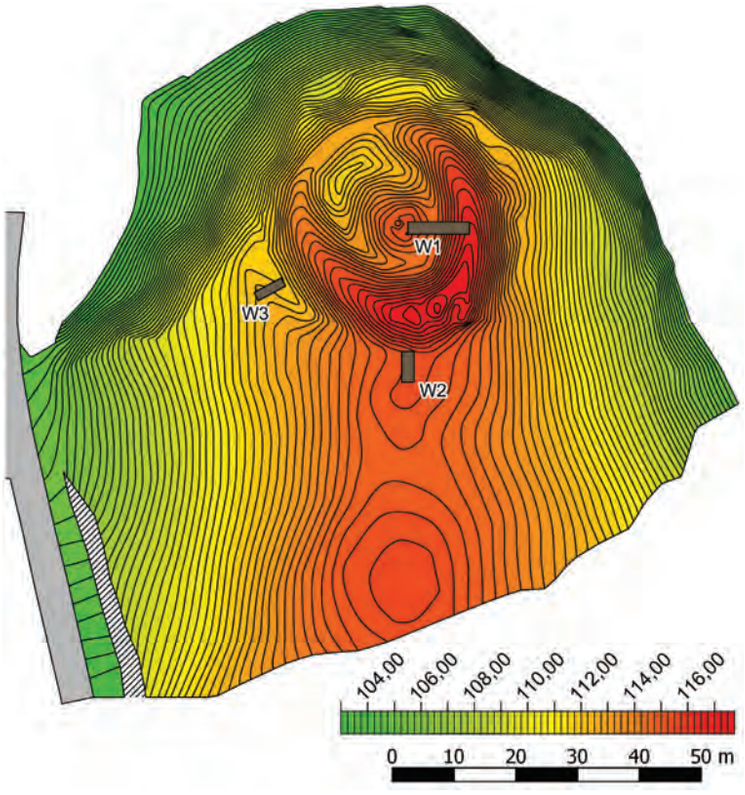

Ryc. 9. Plan warstwicowy grodziska w Plichcie, st. 1 z zaznaczonymi wykopami badawczymi z sezonu 2015 (na podstawie pomiarów J. Błaszczyka, oprac. R. Solecki).

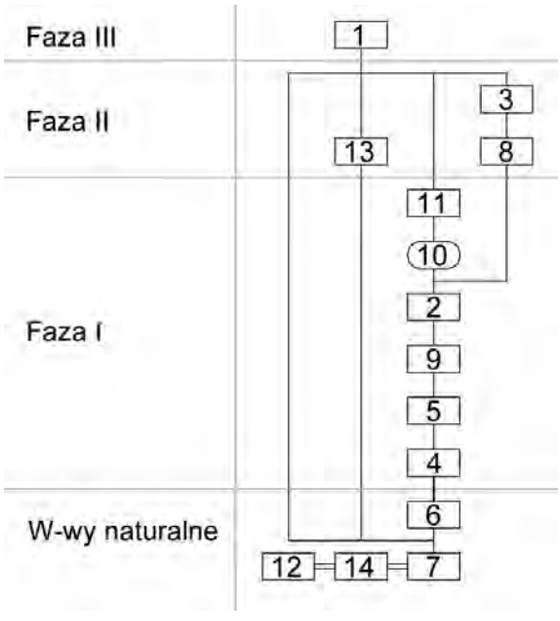

Ryc. 10. Plichta, st. 1. Diagram relacji stratygraficznych (oprac. R. Solecki)

Stratygrafia stanowiska

W trakcie badań archeologicznych wydzielono łącznie 14 jednostek stratygraficznych, które podzielono na trzy główne fazy związane z użytkowaniem tego obszaru (tab. 1 i ryc. 10).

Warstwy naturalne

W trakcie badań, jako warstwy naturalne zidentyfikowano warstwy silnie zglinionego piasku 7 (W1), 12 (W2) i 14 (W3). Ich naturalny strop odkryty poniżej nawarstwień wału osiąga poziom około 120,65 m n.p.m. W miejscu tym zaobserwowano także piaszczystą ziemię 6 (W1), która wytworzyła się na stropie warstw mineralnych i była humusem pierwotnym w momencie gdy rozpoczęto sypanie wału. Najwyższy punkt tej warstwy osiąga poziom około 120,95 m n.p.m.

Faza I

Najstarszą wydzieloną fazę należy wiązać w budową grodu. Warstwy z nią związane odsłonięto w obrębie wykopu 1 (ryc. 11). Tworzą je kolejne nasypy wału. W kolejności stratygraficznej są to lekko gliniasty piasek 4, glina 5 i lekko gliniasty piasek 2. Wał umocniony był za pomocą ciasno ułożonego bruku 9 z kamieni o średnicy do 30 cm, którego pas o szerokości około 1,2 m zaobserwowano na stoku wału od strony wewnętrznej. Bruk ten występuje w obrębie warstwy 2, mógł więc być ułożony na stropie warstwy 5, a następnie nadsypany warstwą 2 lub być regularnie uzupełniany w trakcie sypania tej warstwy. Z tą fazą należy także łączyć kolisty w planie, U-kształtny w przekroju dół posłupowy 10, który zarejestrowano na szczycie wału. Wymiary dołu to średnica około 45 cm i głębokość do 25 cm, a jego wypełniskiem jest lekko gliniasty piasek 11.

Faza II

Faza II wiąże się z erozją umocnień ziemnych grodu po jego opuszczeniu. Warstwy z nią związane zidentyfikowano w wykopach 1 i 3. W wykopie 1 były to kamienie 8, o średnicy do 35 cm, luźno rozrzucone na obszarze majdanu, u podnóża wału grodziska oraz przykrywający je lekko gliniasty piasek 3. W wykopie 3 był to lekko gliniasty piasek 13. W warstwie tej natrafiono na jedyny odnaleziony podczas badań zabytek – fragment ceramiki wczesnonowożytnej, który można datować na około XVI/XVII w.

Tabela 1. Katalog warstw z opisem poszczególnych jednostek stratygraficznych grodziska w Plichcie, st. 1 (oprac. R. Solecki)

Numer jednostki	Numer obiektu	Numer wykopu	Położenie w obrębie stanowiska	Współrzędne siatki pomiarowej stanowiska	Opis jednostki stratygraficznej	Barwa (Munsell)	Pozycja stratygraficzna	
							Znajduje się pod	Znajduje się nad
1	-	1, 2	Całe stanowisko		Luźna ziemia silnie poprzerastana korzeniami; miąższość do 30 cm; humus leśny	10YR 4/2	-	2, 3, 7
2	-	1	Wał grodziska	X=430,9–435; Y=175–177	Lekko gliniasty piasek; miąższość do 35 cm; nasyp wału grodziska	10YR 4/3	1, 3, 8, 10	5, 9
3	-	1	Majdan i wał grodziska	X=425–431,6; Y=175–177	Lekko gliniasty piasek; miąższość do 55 cm; warstwa erozyjna	10YR 6/4	1	2, 8
4	-	1	Wał grodziska	X=432,7–435; Y=175–177	Lekko gliniasty piasek; miąższość do 70 cm; nasyp wału grodziska	10YR 4/3	5	6
5	-	1	Wał grodziska	X=431–435; Y=175–177	Glina; miąższość do 40 cm; nasyp wału grodziska	5R 4/6	2, 9	4
6	-	1	Wał grodziska	X=432,4–435; Y=175–177	Piaszczysta ziemia; miąższość do 25 cm; humus pierwotny	10YR 6/2	4	7
7=12=14	-	1	Wał i podnóże wału		Silnie zgliniony piasek; warstwa naturalna	10YR 8/4	1, 6, 13	-
8	-	1	Majdan grodziska	X=426,8–431,5; Y=175–177	Kamienie o śr. do 35 cm luźno rozrzucone na obszarze majdanu, u podnóża wału grodziska; warstwa erozyjna		3	2
9	-	1	Wał grodziska	X=431,7–432,9; Y=175–177	Ciasno ułożony bruk kamienny z kamieni o śr. do 30 cm ułożony na osi N–S; umocnienie wału grodziska		2	5
10	10	1	Wał grodziska	X=433,4–434; Y=175,5–176	Dół, kolisty w planie, U-kształtny w przekroju; śr. ok. 45 cm, gł. do 25 cm		11	2
11	10	1	Wał grodziska	X=433,4–434; Y=175,5–176	Lekko gliniasty piasek; wypełnisko obiektu 10	10YR 4/2	1	10
13	-	3	Podnóże wału na SW od grodziska	X=403,6–405,2; Y=164,2–167,9	Lekko gliniasty piasek; miąższość do 30 cm; warstwa erozyjna	10YR 6/4	1	14

Faza III

Najmłodszą fazę reprezentuje luźna ziemia 1 pokrywająca całą powierzchnię stanowiska i będąca współczesnym poziomem użytkowym.

CHRONOLOGIA STANOWISKA

Wobec braku znalezisk zabytków i braku substancji organicznej, która mogłaby być datowana metodą radiowęglową, ustalenie chronologii grodziska w Plichcie, st. 1 jest niemożliwe. Fragment ceramiki nowożytnej znaleziony w warstwie erozyjnej narosłej po opuszczeniu grodziska stanowi jedynie *terminus ante quem* dla momentu opuszczenia grodziska.

DZIEJE GRODZISKA W PLICHCIE, ST. 1

Gród w Plichcie jest ewidentnie tworem antropogenicznym, aczkolwiek ustalenie jego chronologii i funkcji jest bardzo trudne. Wynika to z braku jakichkolwiek warstw użytkowych w obrębie przebadanych wykopów, co jest zwłaszcza widoczne w obrębie fosy zewnętrznej, gdzie poza fragmentarycznie występującą w wykopie 3 warstwą erozyjną, bezpośrednio poniżej humusu występuje calec. Na przebadanym obszarze nie natrafiono w zasadzie także na materiał zabytkowy. Jedyny znaleziony fragment ceramiki pochodzi ze stratygraficznie późnej jednostki, interpretowanej jako warstwa erozyjna, która powstała po opuszczeniu grodziska, nie może zatem stanowić przesłanki do datowania grodziska.

Wał zewnętrzny został usypany z materiału wydobytego z obszaru pomiędzy stożkiem w centralnej części majdanu a wałem. Materiał, z którego został zbudowany wał, jest taki sam jak calec, o nieco zmienionej barwie ze względu na domieszkę humusu w piasku nasypowym. Nasyp był usypywany bezpośrednio na humusie pierwotnym, który w postaci nieco ciemniejszej warstwy został zidentyfikowany nad poziomem zglinionego piasku calcowego znajdującego się pod nasypem wału.

Na podstawie formy obiektu można sugerować, że grodzisko powstało na przełomie średniowiecza i nowożytności, lub raczej w początkach okresu nowożytnego. Wieś Grążnice (*Grasnitz*) została założona w 1352 r. w wyniku nadania 11 łanów ziemi przez Wielkiego Mistrza Winricha von Kniprode czterem braciom pochodzenia pruskiego, których imiona brzmiały Grasin, Clauke, Jacop i Peter[3]. W tym samym roku założona została pobliska wieś Dąg (*Dungen*)[4], której częścią była Plichta (*Plichten*) oraz położona około 1,6 km na południe od grodziska wieś Rapaty (*Rapatten*)[5]. Poza Łuktą (*Locken*) powstałą w 1340 r., w najbliższej okolicy brak jest miejscowości założonych wcześniej. Może to oznaczać, że obszar pomiędzy

[3] Hartmann 1967: 4, 109; Lietz 1976: 166.

[4] Lietz 1976: 173.

[5] Lietz 1976: 166.

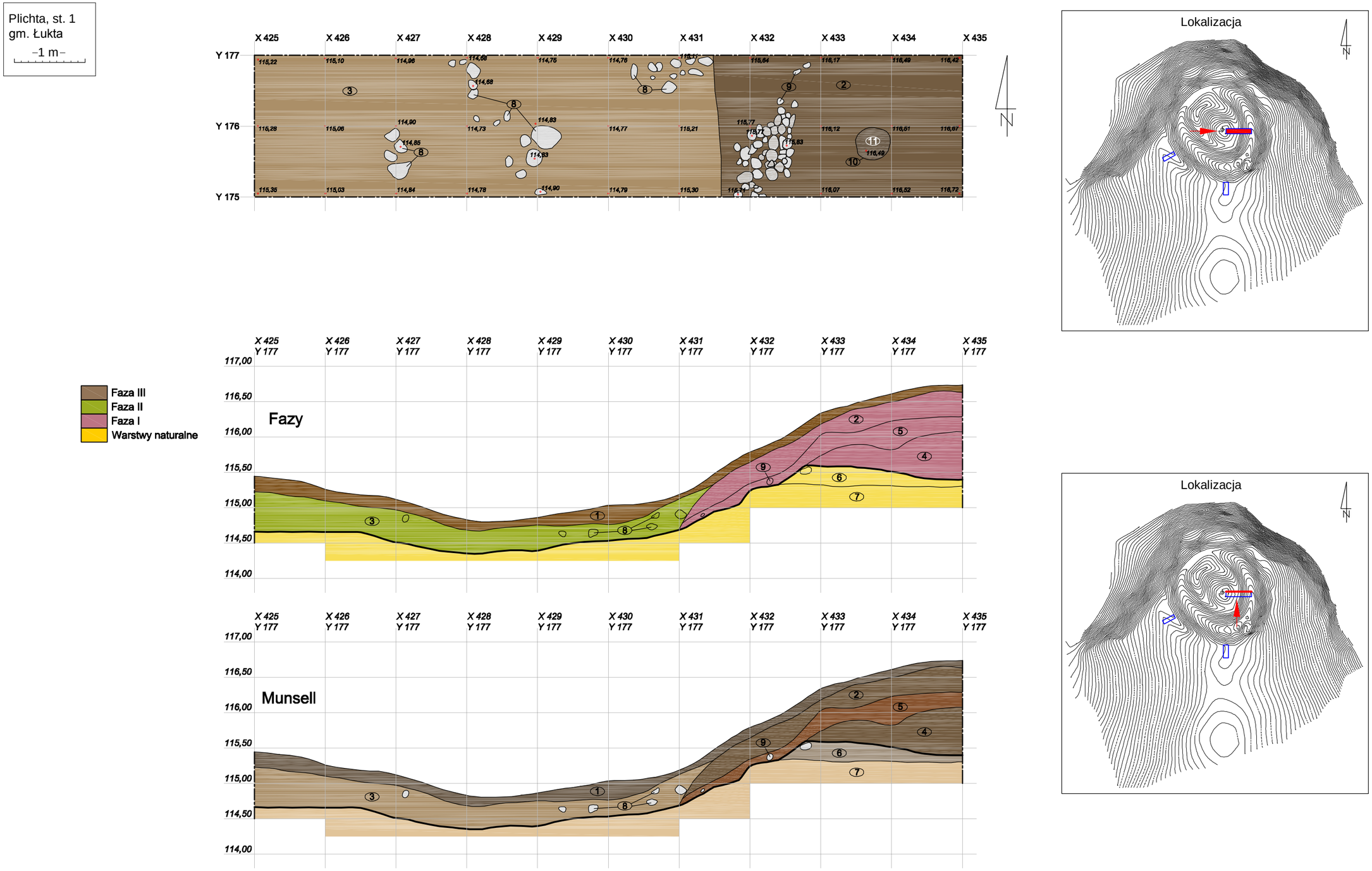

Ryc. 11. Plichta, st. 1. Plan wykopu 1 na poziomie warstw związanych z Fazą I i II oraz ściana północna wykopu 1 (oprac. R. Solecki i J. Wysocki)

Jeziorami Szeląg Wielki i Isąg nie był we wczesnym średniowieczu zasiedlany i mogły tam funkcjonować co najwyżej drobne przysiółki.

Gród w Plichcie, st. 1 mógł być pierwotnie planowany jako siedziba rycerska, czy raczej szlachecka. Należał być może do rodziny wywodzącej się od jednego z braci o imieniu Grasin, po którym nazwana została wieś Grażnice (*Grasnitz*). Na wysoką pozycję tej rodziny wskazuje znaczny rozmiar nadania w wysokości 11 łanów, zwłaszcza w kontekście, że rodzina ta była pochodzenia pruskiego[6]. Pochodzenie rodziny może także tłumaczyć formę grodziska, która jest odmienna od gródków stożkowych i założeń na planie kwadratu charakterystycznych dla inwestycji krzyżackich, a która nawiązuje do starszych form pruskich. W takim przypadku należy przyjąć, że po rozpoczęciu budowy grodu i usypaniu jego wałów projekt zarzucono. Stąd brak jakichkolwiek nawarstwień kulturowych. Inną hipotezą jest interpretacja tego obiektu, jako fortalicji nowożytnej zbudowanej dla krótkotrwałej ochrony jakiegoś oddziału wojskowego, lub też ochrony miejsca ważnego strategicznie w czasie kampanii wojennej. Po krótkotrwałym wykorzystaniu obiekt został opuszczony. Ta interpretacja może mieć związek z działaniami wojennymi z drugiej poł. XVII w.

Nie można jednak także wykluczyć znacznie starszej metryki grodziska i jego pochodzenia z wczesnej epoki żelaza lub z okresu wczesnego średniowiecza przedkrzyżackiego.

[6] Hartmann 1967: 4, 109.

WYKAZ CYTOWANEJ LITERATURY

Abramek B.

1995. Grodzisko średniowieczne w Widoradzu pod Rudą koło Wielunia, st. 1. Wstępne podsumowanie wyników. *Sieradzki Rocznik Muzealny* 10: 103–119.

2007. Militaria z grodziska średniowiecznego w Widoradzu pod Rudą koło Wielunia. *Archaeologia Historica Polona* 17: *Studia z dziejów wojskowości, budownictwa, kultury*, 95–111. Toruń: Uniwersytet Mikołaja Kopernika.

Achremczyk, S.

2006. Susz polityczne dzieje miasta, [w:] J. Cygański (red.), *Susz. Z dziejów miasta i okolic*, 33–40. Olsztyn: Muzeum Warmii i Mazur.

Acsádi, G. i J. Nemeskéri

1970. *History of human life span and mortality*. Budapest: Akadémiai Kiadó.

Andel, K.

1959. Pekáče a pece z doby hradištnej v Zemplíne. *Študijné Zvesti AÚSAV* 3: 115–129.

Affelski, J. i Z. Dłubakowski

2011. Badania archeologiczne na wielokulturowej osadzie w Legardzie, stanowisko 1 (AZP 52–52/1), gm. Gostynin, woj. mazowieckie, w latach 2005–206, [w:] *Raport 2005–2006*, 487–495.

Andrzejewska, A.

1997. Jeszcze o tzw. ceramice husyckiej z terenu Kujaw na przykładzie znalezisk ze Zgłowiączki, woj. włocławskie. *Archaeologia Historica Polona* 5: 175–185.

Ansorge, J.

2000. Mittelalterliche Kalkbrennerei in Vorpommern, [w:] U. Müller (red.), *Handwerk, Stadt, Hanse. Ergebnisse der Archäologie zum mittelalterlichen Handwerk im südlichen Ostseeraum*, 131–144. Frankfurt: Peter Lang.

Antoniewicz J.

1949. *Rezerwat: grodzisko w Świetlinie*. Maszynopis w Archiwum Muzeum Warmii i Mazur w Olsztynie.

1950. Z zagadnień ochrony zabytków wczesnośredniowiecznego budownictwa obronnego na Warmii i Mazurach. *Sprawozdania Państwowego Muzeum Archeologicznego* 3: 51–77.

1954. Zagadnienie wczesnożelaznych osiedli obronnych na wschód od dolnej Wisły i w dorzeczu rzeki Pręgoły. *Wiadomości Archeologiczne* 20: 327–368.

1964. Osiedla obronne okresu wczesnożelaznego w Prusach. *Światowit* 25: 5–211.

Antoniewicz, W. i Z. Wartołowska

1964. *Mapa grodzisk w Polsce*. Wrocław: Ossolineum.

Auch, M., M. Bogucki i M. Trzeciecki

2012. Osadnictwo średniowieczne i nowożytne na stanowisku Janów Pomorski 1, [w:] M. Bogucki i B. Jurkiewicz (red.), *Janów Pomorski, stan. 1. Wyniki ratowniczych badań archeologicznych w latach 2007–2008*, 1:2, 233–295. Studia nad Truso 1. Elbląg: Muzeum Archeologiczno-Historyczne w Elblągu.

Barnycz-Gupieniec, R.

1959. *Naczynia drewniane z Gdańska w XXIII wieku*. Acta Archaeologica Universitatis Lodziensis 8. Łódź: Ossolineum.

Baron, J. i P. Rzeźnik

1999. Wczesnośredniowieczny budynek z tzw. korytarzykiem wejściowym z osady w Obiszowie na Wzgórzach Dalkowskich. *Śląskie Sprawozdania Archeologiczne* 41: 269–280.

Bass, W.M.

1995. *Human osteology: a laboratory and field manual*. Springfield: Missouri Archeological Society.

Behla, A.

1888. *Die vorgeschichtlichen Rundwälle im* östlichen *Deutschland*. Berlin: A. Asher.

Beranová, M.

1979. Diskuse o tzv. pražnicích. *Archeologické rozhledy* 31 (1): 101–104.

Bezzenberger, A.

1900. Hügelgrab bei Gr. Hanswalde, Kr. Mohrungen. *Sitzungsberichte der Altertumsgesellschaft Prussia* 21: 88–90.

Bieńkowska, K.

2005. Cmentarzysko wczesnośredniowieczne w Surażu, woj. podlaskie. *Podlaskie Zeszyty Archeologiczne* 1: 121–166.

Bieńkowska, K. i N. Pachobut

2006. *Dziedzictwo archeologiczne Podlasia i Grodzieńszczyzny*. Białystok: Muzeum Podlaskie w Białymstoku.

Biermann, F. (red.)

2001. *Peningsberg. Untersuchungen zu der slawischen Burg bei Mittenwalde und zum Siedlungswesen des 7./8. Jahrhunderts am Teltow und im Berliner Raum*. Beiträge zur Ur- und Frühgeschichte Mitteleuropas 26. Weissbach: Beier and Beran.

Biermann, F., C. Herrmann i A. Koperkiewicz

2016. Alt Wartenburg / Barczewko na Warmii. Początki miasta średniowiecznego i jego fortyfikacje, [w:] Z. Kobyliński (red.), *Grodziska Warmii i Mazur 2. Nowe badania i interpretacje*, 49–70. Archaeologica Hereditas 7. Warszawa: Instytut Archeologii UKSW i Fundacja Res Publica Multiethnica.

Błędowski, P., W. Chudziak i M. Weinkauf

2007. Wczesnośredniowieczna osada podgrodowa i cmentarzysko szkieletowe w Kałdusie, gm. Chełmno, stanowisko 2 (badania w latach 2004–2005), [w:] *XV Sesja Pomorzoznawcza*, 249–261. Elbląg: Muzeum Archeologiczno-Historyczne.

Błoński, M.

2000. Średniowieczne ostrogi z grodziska na Zawodziu w Kaliszu. *Archeologia Polski* 45: 53–91.

Boetticher, A.
1898. *Die Bau- und Kunstdenkmäler der Provinz Ostpreußen*. T. 3: *Die Bau- und Kunstdenkmäler des Oberlandes*. Königsberg: Kommissionsverlag von Bërnh. Teichert.

Boguwolski, R.
1976. Plemięta, gm. Gruta. *Informator Archeologiczny 1975*: 256–257.

Bojanowski, M.J., U. Czarniecka, A. Gąsiński, P. Jokubauskas, U. Kobylińska, Z. Kobyliński i Ł. Kruszewski
2016. Petrografia ceramiki pradziejowej i średniowiecznej z grodzisk zachodniej części ziem pruskich, [w:] Z. Kobyliński (red.), *Grodziska Warmii i Mazur 2. Nowe badania i interpretacje*, 113–171. Archaeologica Hereditas. Prace Instytutu Archeologii Uniwersytetu Kardynała Stefana Wyszyńskiego w Warszawie 7. Warszawa: Instytut Archeologii UKSW i Fundacja Res Publica Multiethnica.

Bojanowski, M.J., U. Kobylińska i Z. Kobyliński
2013. Wyniki badań petrograficznych ceramiki z grodzisk w Kamionce, Mozgowie i Borecznie w powiecie iławskim, [w:] Z. Kobyliński (red.), *Grodziska Warmii i Mazur 1. Stan wiedzy i perspektywy badawcze*, 423–456. Archaeologica Hereditas. Prace Instytutu Archeologii Uniwersytetu Kardynała Stefana Wyszyńskiego w Warszawie 2. Warszawa – Zielona Góra: Instytut Archeologii UKSW i Fundacja Archeologiczna.

Bojarski, J.
1997. Wczesnośredniowieczne grodzisko w Szynwałdzie, woj. toruńskie (badania w 1995 roku), [w:] W. Chudziak (red.) *Wczesnośredniowieczny szlak lądowy z Kujaw do Prus (XI wiek): studia i materiały*, 163–186. *Adalbertus – tło kulturowo-geograficzne wyprawy misyjnej św. Wojciecha na pogranicze polsko-pruskie* 2. Toruń: Uniwersytet Mikołaja Kopernika, Instytut Archeologii i Etnologii.
1998. Weryfikacja grodzisk wczesnośredniowiecznych na Pojezierzu Iławskim w latach 1995–1997, [w:] M. Dworaczyk *et al.* (red.), *XII Sesja Pomorzoznawcza, Szczecin 23.-24. października 1997 r.: materiały*, 199–210. Acta Archaeologica Pomoranica 1.
2007. Wczesnośredniowieczne pucharki ceramiczne z Napola, jako podstawa rekonstrukcji kontaktów kulturowych w strefie chełmińsko-dobrzyńskiej. *Archaeologia Historica Polona* 17: 397–421.
2012a. Badania nad morfologią i stylistyką wczesnośredniowiecznych naczyń ceramicznych z Napola na ziemi chełmińskiej. *Acta Universitatis Nicolai Copernici, Archeologia* 32: 291–364.
2012b. *Wczesnośredniowieczny mikroregion osadniczy w Napolu na ziemi chełmińskiej. Wytwórczość garncarska jako źródło poznania lokalnych procesów osadniczych*. Toruń: Wydawnictwo Naukowe Uniwersytetu Mikołaja Kopernika.

Bokiniec, A.Z.
2006. Przyczynek do znajomości materiałów z przełomu epok kamienia i brązu w obwodzie kaliningradzkim na podstawie badań W.I. Timofiejewa, [w:] A.Z. Bokiniec i J. Sobieraj (red.), *Pruthenia Antiqua: studia do pradziejów i wczesnej historii ziem pruskich*, t. 2: 185–195. Olsztyn: Stowarzyszenie Naukowe Archeologów Polskich.

Born, E.
1984. *Die Kunst zu Drechseln*. München: Callwey.

Brachmann, H.
1964. Slawische Pokale aus dem Gebiet der Deutschen Demokratischen Republik. *Bodendenkmalpflege in Mecklenburg* 1964: 265–272.

Brzeziński, W.
1991. Badania osady i grodziska w Rostku gm. Gołdap, pow. suwalski w latach 1984–1986. *Rocznik Białostocki* 17: 372–377.

Brzeziński, W. (red.)
2007. *Skarby wieków średnich. Katalog wystawy*. Warszawa: Państwowe Muzeum Archeologiczne.

Brzostowicz, M.
1993. Wczesnośredniowieczne grodzisko w Spławiu, gm. Kołaczkowo, woj. poznańskie. Wstępne podsumowanie wyników archeologicznych badań ratowniczych z lat 1991–1992. *Wielkopolskie Sprawozdania Archeologiczne* 2: 115–132.
2002. *Bruszczewski zespół osadniczy we wczesnym średniowieczu*. Poznań: Wydawnictwo Poznańskiego Towarzystwa Przyjaciół Nauk.

Buikstra, J.E. i D.H. Ubelaker (red.)
1994. *Standards for data collection from human skeletal remains*. Fayetteville: Arkansas Archeological Survey, Research Series 44.

Buko, A.
1990a Wykorzystanie zjawisk erozji ceramiki w analizach procesów formowania się stanowisk osadniczych. *Sprawozdania Archeologiczne* 42: 349–359.
1990b *Ceramika wczesnopolska. Wprowadzenie do badań*. Wrocław: Ossolineum.

Cappers, R.T.J., R.M. Bekker i J.E.A. Jans
2006. *Digitale zadenatlas van Nederland*. Groningen: Barhuis Publishing & Groningen University Library.

Chilmon, K.
1981. Katalog zabytków z cmentarzyska wczesnośredniowiecznego w Czarnej Wielkiej, gm. Grodzisk, woj. białostockie (z badań Akademii Medycznej w Białymstoku). *Rocznik Białostocki* 15: 211–244.

Chlebowski, B. i W. Walewski (red.)
1890. *Słownik geograficzny Królestwa Polskiego i innych krajów słowiańskich,* t. 11. Warszawa: Kasa im. Józefa Mianowskiego.

Chłodnicki, M. i L. Krzyżaniak (red.)
1998. *Gazociąg pełen skarbów archeologicznych*. Poznań: Poznańskie Towarzystwo Prehistoryczne.

Chmielowska, A.
1971. *Grzebienie starożytne i średniowieczne z ziem polskich*. Acta Archaeologica Lodziensia 20. Łódź: Łódzkie Towarzystwo Naukowe.

Chudziak, W.
1991. *Periodyzacja rozwoju wczesnośredniowiecznej ceramiki z dorzecza dolnej Drwęcy (VII-XI/XII w.)*. Toruń: Towarzystwo Krzewienia Świadomości Historycznej Civitas i Instytut Archeologii i Etnografii UMK.
1997. *Sprawozdanie z badań weryfikacyjnych na grodzisku nad Jeziorem Silm*. Maszynopis w Archiwum WUOZ w Olsztynie, delegatura w Elblągu, teczka: Silm.

Chudziak, W. i J. Bojarski
1996. *Sprawozdanie z badań na stanowisku 1 w Suszu, gm. loco w 1996 r.* Toruń: Instytut Archeologii i Etnologii UMK w Toruniu (maszynopis).
1997a. *Opracowanie wyników badań grodziska wczesnośredniowiecznego w* Łaniochu, *gm. Iława, woj. olsztyńskie (stanowisko 9)*. Maszynopis w archiwum Instytutu Archeologii Uniwersytetu Mikołaja Kopernika w Toruniu.
1997b. *Opracowanie wyników badań na stanowisku 1 w Wieprzu, gm. Iława, woj. olsztyńskie*. Maszynopis w archiwum Instytutu Archeologii Uniwersytetu Mikołaja Kopernika w Toruniu.

Chudziak, W., R. Kaźmierczak i J. Niegowski
2011. *Podwodne dziedzictwo archeologiczne Polski. Katalog stanowisk (badania 2006–2009)*. Toruń: Instytut Archeologii Uniwersytetu Mikołaja Kopernika i Fundacja Amicus Universitatis Nicolai Copernici.

Chudziakowa, J.
1974. *Kultura łużycka na terenie międzyrzecza Wisły, Drwęcy i Osy*. Towarzystwo Naukowe w Toruniu. Prace Archeologiczne 5. Poznań: PWN.

Chudziakowa, J. (red.)
1994. *Wczesnośredniowieczne grodziska ziemi chełmińskiej. Katalog źródeł*. Toruń: Uniwersytet Mikołaja Kopernika w Toruniu, Instytut Archeologii i Etnologii.

Cnotliwy, E.
1973. *Rzemiosło rogownicze na Pomorzu wczesnośredniowiecznym*. Wrocław: Ossolineum.
1999. Wczesnośredniowieczne przedmioty z poroża i kości z Kruszwicy na Kujawach. *Studia Archeologiczne* 31: 153–241.
2013. *Przedmioty z poroża i kości z Janowa Pomorskiego*, [w:] M. Bogucki i M.F. Jagodziński (red.), Studia nad Truso 2, 13–181. Elbląg: Muzeum Archeologiczno-Historyczne. Instytut Archeologii i Etnologii Polskiej Akademii Nauk.

Cnotliwy, E., L. Leciejewicz i W. Łosiński (red.)
1983. *Szczecin we wczesnym średniowieczu. Wzgórze Zamkowe*. Wrocław: Ossolineum.

Conwentz, H.
1892. Pfahlbau und Burgwall von Kl.-Ludwigsdorf, Kr. Rosenberg in Westpreussen. *Nachrichten* über *deutsche Alterthumsfunde* 3: 81–82.
1905. *Das Westpreussische Provinzial-Museum 1880–1905. Nebst bildlichen Darstellungen aus Westpreußens. Natur und vorgeschichtlicher Kunst*. Danzig: Provinzial-Museum.

Corpus
1973. *Corpus archäologischer Quellen zur Frühgeschichte auf dem Gebiet der Deutschen Demokratischen Republik (7. bis 12. Jahrhundert). 1. Bezirke Rostock (Westteil), Schwerin und Magdeburg.* Berlin: Akademie Verlag.
1979. *Corpus archäologischer Quellen zur Frühgeschichte auf dem Gebiet der Deutschen Demokratischen Republik (7. bis 12. Jahrhundert)*. 2. *Bezirke Rostock (Ostteil), Neubrandenburg.* Berlin: Akademie Verlag.

Cramer, H.
1885. Urkundenbuch zur Geschichte des vormaligen Bisthums Pomesanien 1. *Zeitschrift des historischen Vereins für den Regierungsbezirk Marienwerder* 15.
1886. Urkundenbuch zur Geschichte des vormaligen Bisthums Pomesanien 2. *Zeitschrift des historischen Vereins für den Regierungsbezirk Marienwerder* 16.

Crome H.
1937. Karte und Verzeichnis der vor und frühgeschichtlichen Wehranlagen in Ostpreussen. *Altpreußen. Vierteljahrsschrift für Vor und Frühgeschichte* 2: 97–125.
1938. Verzeichnis der Wehranlagen Ostpreußens. T. 1. Nebst alphabetischem Verzeichnis der Wehranlagen mit Angabe des Schrifttums. *Prussia* 32: 173–209, 297–324.
1940. Verzeichnis der Wehranlagen Ostpreußens (Schluß). *Prussia. Zeitschrift für Heimatkunde* 34: 83–154.

Czebreszuk, J.
1996. *Społeczności Kujaw w początkach epoki brązu*. Materiały do syntezy pradziejów Kujaw 7. Poznań: Uniwersytet Adama Mickiewicza w Poznaniu i Poznańskie Towarzystwo Prehistoryczne.
2000. Osadnictwo społeczności kultury ceramiki sznurowej, [w:] A. Kośko (red.), *Osadnictwo kultur późnoneolitycznych oraz interstadium epok neolitu i brązu: 3900–1400/1300 przed Chr.*, 423–454. Archeologiczne badania ratownicze wzdłuż trasy gazociągu tranzytowego. T. 3, Część 4. Poznań: Wydawnictwo Poznańskie.

Dąbrowska, M.
1987. *Kafle i piece kaflowe w Polsce do końca XVIII wieku*. Wrocław: Instytut Historii Kultury Materialnej PAN.

Dąbrowski, J.
1999. Wczesnośredniowieczne pucharki ceramiczne z terenu Polski, [w:] *Studia nad osadnictwem średniowiecznym ziemi chełmińskiej* 3: 227–254. Toruń: Uniwersytet Mikołaja Kopernika.

Dembińska, M.
1963. *Konsumpcja żywnościowa w Polsce średniowiecznej*. Warszawa: Instytut Historii Kultury Materialnej PAN.

Dębowska, B.
2001. Wczesnośredniowieczne cmentarzysko w Cerkiewniku. *Warmińsko-Mazurski Biuletyn Konserwatorski* 3: 7–39.

Długokęcki, W.
2006. Uwagi o genezie i rozwoju wczesnośredniowiecznych Prus do początków XIII wieku. *Pruthenia* 2: 9–54.

Driesch, von den A.
1976 *A guide to the measurement of animal bones from archaeological sites*. Harvard: Peabody Museum of Archaeology and Ethnology, Harvard University.

Dudak, W. i P. Owczarek
2014. Osada wielokulturowa w Orenicach koło Piątku w woj. łódzkim. Materiał ruchomy. Autostrada A1, [w:] J. Maik (red.), *Archeologiczne zeszyty autostradowe Instytutu Archeologii i Etnologii PAN* 16: 26–28. Łódź: Instytut Archeologii i Etnologii PAN.

Dzieduszycki, W.
1976. Wykorzystanie surowca drzewnego we wczesnośredniowiecznej Kruszwicy. *Kwartalnik Historii Kultury Materialnej* 24 (1): 35–54.
1982. *Wczesnomiejska ceramika kruszwicka w okresie od 2. połowy X wieku po połowę XIV w.* Wrocław: Ossolineum.

Dzierżykray-Rogalski, T.
1960. Szczątki kostne z grobów ciałopalnych jako przedmiot badań antropologicznych. *Człowiek w czasie i przestrzeni* 3 (1): 49–51.
1968. Uwagi metodologiczne o badaniu szczątków kostnych z grobów ciałopalnych, [w:] K. Jażdżewski, (red.), *Liber Iosepho Kostrzewski octogenario a veneratoribus dicatus*, 627–635. Wrocław: Ossolineum

Dziubek, E.
1988. Ceramika naczyniowa z zamku rycerskiego w Sadłowie, gm. Rypin, woj. Włocławskie. Informacje wstępne. *Acta Universitatis Lodziensis. Folia Archaeologica* 22: 121–146.
2004. Architektoniczne elementy obiektu oraz wystrój i wyposażenie izb zamkowych, [w:] L. Kajzer (red.), *Zamek w Sadłowie na ziemi dobrzyńskiej*, 177–186. Rypin: Muzeum Ziemi Dobrzyńskiej.

Engel, M.
2002. Piec wapienniczy z osady w Konikowie (Rostku). Wyniki badań wykopaliskowych w sezonach 1999–2000, [w:] M. Karczewska i M. Karczewski (red.), *Badania archeologiczne w Polsce północno-wschodniej i na zachodniej Białorusi w latach 2000–2001*, 321–331. Białystok: Instytut Historii Uniwersytetu w Białymstoku.

Engel, M., P. Iwanicki, G. Iwanowska i C. Sobczak
2013. Grodziska Jaćwieży w perspektywie badań Działu Archeologii Bałtów Państwowego Muzeum Archeologicznego w Warszawie, [w:] Z. Kobyliński (red.), *Grodziska Warmii i Mazur. Stan wiedzy i perspektywy badawcze*, 45–63, Archaeologica Hereditas. Prace Instytutu Archeologii Uniwersytetu Kardynała Stefana Wyszyńskiego w Warszawie 2. Warszawa – Zielona Góra: Instytut Archeologii UKSW i Fundacja Archeologiczna.

Engel, M., J. Okulicz-Kozaryn, C. Sobczak
2009. Warowna siedziba jaćwieskiego nobila Шюрпы? Architektura obronna kompleksu osadniczego w Szurpiłach, [w:] A. Bitner-Wróblewska i W. Brzeziński (red.), *Bałtowie i ich sąsiedzi. Marian Kaczyński in memoriam*, 517–544. Warszawa: Państwowe Muzeum Archeologiczne.

Engel, M. i C. Sobczak
2016. Grodziska jaćwieskie w świetle najnowszych badań interdyscyplinarnych, [w:] Z. Kobyliński (red.) Grodziska Warmii i Mazur 2. Nowe badania i interpretacje, 7–26. Archaeologica Hereditas. Prace Instytutu Archeologii Uniwersytetu Kardynała Stefana Wyszyńskiego w Warszawie 7. Warszawa: Instytut Archeologii UKSW i Fundacja Res Publica Multiethnica.

Fedorczyk, M.
1998. Materiał ceramiczny z osady na „Ptasiej Wyspie", st. II, gm. Mrągowo, woj. olsztyńskie, [w:] M. Karczewski (red.), *Ceramika zachodniobałtyjska od wczesnej epoki żelaza do początku ery nowożytnej*, 139–148. Białystok: Instytut Historii Uniwersytetu w Białymstoku.

Filipowiak, W.
1962. *Wolinianie. Studium osadnicze, cz. I.* Szczecin: Szczecińskie Towarzystwo Naukowe.

Fonferek, J., M. Marcinkowski i U. Sieńkowska
2012. *Elbląg – życie codzienne w porcie hanzeatyckim*. Elbląg: Muzeum Archeologiczno-Historyczne w Elblągu.

Fuglewicz, B.
2013. Obraz społeczności radomskiej wczesnego średniowiecza przez pryzmat tzw. zabytków wydzielonych, [w:] A. Buko, D. Główka i M. Trzeciecki (red.), *Ziemia niczyja – ziemia nieznana. Schyłek starożytności i średniowiecze na ziemiach między Wisłą a Pilicą*, 77–105. Radom – korzenie miasta i regionu 4. Warszawa: Instytut Archeologii i Etnologii PAN.

Gajewska, M. i J. Kruppé
1965. Badania terenowe w Solcu nad Wisłą, pow. Lipsko w 1963 roku. *Kwartalnik Historii Kultury Materialnej* 13: 161–184.
1973. Rzut oka na dotychczasowe wyniki badań archeologicznych we Fromborku. *Kwartalnik Historii Kultury Materialnej* 21: 617–631.

Gałązka, D.
2012a. *Szczegółowa mapa geologiczna Polski w skali 1 : 50 000 arkusz Iława*. Warszawa: Państwowy Instytut Geologiczny.
2012b. *Szczegółowa mapa geologiczna Polski w skali 1 : 50 000 arkusz Lubawa*. Warszawa: Państwowy Instytut Geologiczny.

Gazda, D., J. Jezierska, J. Konik i P. Szlązak
2013. Badania archeologicznej Misji Pomezańsko-Bałtyjskiej obiektów warownych w Starym Dzierzgoniu i Bogdanach w latach 2009–2012.[w:] Z. Kobyliński (red.), *Grodziska Warmii i Mazur 1. Stan wiedzy i perspektywy badawcze*, 135–180. Archaeologica Hereditas. Prace Instytutu Archeologii Uniwersytetu Kardynała Stefana Wyszyńskiego w Warszawie 2. Warszawa – Zielona Góra: Instytut Archeologii UKSW i Fundacja Archeologiczna.

Gąssowska E. i Ł. Okulicz
1975. Badania sondażowe osiedla obronnego w miejscowości Maradki, pow. Mrągowo. *Światowit* 34: 319–326.

Gee, H.
1993. The distinction between postcranial bones of Bos primigenius Bojanus, 1827 and Bison priscus Bojanus, 1827 from the British Pleistocene and taxonomic status of Bos and Bison. *Journal of Quaternary Science* 8 (1): 79–92.

Gierlach, B.
1966. Zabytki metalowe. *Warszawskie Materiały Archeologiczne* 1: 141–148.
1972. *Kowalstwo mazowieckie XIII-XVIII w.* Ciechanów: Mazowiecki Ośrodek Badań Naukowych.

Gładykowska-Rzeczycka, J.
1972. Historia, rozwój i wyniki badań materiałów kostnych z cmentarzysk ciałopalnych ze szczególnym uwzględnieniem Polski. *Pomorania Antiqua* 4: 21–67.
1974. O metodach stosowanych w badaniach materiałów kostnych z ciałopalnych cmentarzysk, [w:] H. Giżyńska (red.), *Metody, wyniki i konsekwencje badań kości z grobów ciałopalnych*, 85–92. Poznań: Uniwersytet Adama Mickiewicza.

Głosek, M.
1985. Militaria z grodziska w Plemiętach. Broń sieczna, drzewcowa i obuchowa, [w:] A. Nadolski (red.), *Plemięta. Średniowieczny gródek w ziemi chełmińskiej*, 99–106. Warszawa: PWN.
1996. *Późnośredniowieczna broń obuchowa w zbiorach polskich*. Warszawa: Instytut Archeologii i Etnologii PAN.
2004. Średniowieczne uzbrojenie plebejskie w świetle źródeł ikonograficznych i pisanych na ziemiach polskich. *Acta Universitatis Lodziensis. Folia Archeologica* 24: 237–248.

Górska, I., L. Paderewska, J. Pyrgała i W. Szymański
1976. *Grodziska Mazowsza i Podlasia*. Wrocław: Ossolineum.

Górski K. (red.)
1949. *Związek Pruski i poddanie się Prus Polsce. Zbiór tekstów źródłowych*. Poznań: Instytut Zachodni.

Grążawski, K.
1988. Średniowieczny gródek rycerski w Bachotku na Ziemi Chełmińskiej w świetle badań archeologicznych. *Sprawozdania Archeologiczne* 11: 317–341.
1993. Ze studiów nad pograniczem słowiańsko-pruskim we wczesnym średniowieczu – problem grodów w Dolinie Lutryny. *Pomorania Antiqua* 15: 29–56.
2002. *Przemiany w wytwórczości garncarskiej w rejonie środkowej Drwęcy we wczesnym średniowieczu (2. połowa VII w. – 1. połowa XIII w.)*. Włocławek: Lega.
2003. *Życie codzienne na ziemi chełmińskiej i dobrzyńskiej w średniowieczu*. Włocławek: Wyższa Szkoła Humanistyczno-Ekonomiczna we Włocławku.
2009. *Ziemia lubawska na pograniczu słowiańsko-pruskim w VIII-XIII w. Studium nad rozwojem osadnictwa*. Olsztyn: Uniwersytet Warmińsko-Mazurski w Olsztynie.
2013. Z nowszych badań nad grodziskami pogranicza słowiańsko-pruskiego, [w:] Z. Kobyliński (red.), *Grodziska Warmii i Mazur 1. Stan wiedzy i perspektywy badawcze*, 83–108. Archaeologica Hereditas. Prace Instytutu Archeologii Uniwersytetu Kardynała Stefana Wyszyńskiego w Warszawie. Warszawa – Zielona Góra: Instytut Archeologii UKSW i Fundacja Archeologiczna.
2015. Koncepcja i wstępne wyniki badań w Kurzętniku i Bratianie. *Materiały do Archeologii Warmii i Mazur* 1: 367–372.

Gręzak, A.
2013. Aneks 1: Materiał osteologiczny z grodziska w Kamionce, st. 9 z badań w 2012 roku, [w:] Z. Kobyliński (red.), *Grodziska Warmii i Mazur 1. Stan wiedzy i perspektywy badawcze*, 297–300. Archaeologica Hereditas. Prace Instytutu Archeologii Uniwersytetu Kardynała Stefana Wyszyńskiego w Warszawie 2. Warszawa – Zielona Góra: Instytut Archeologii UKSW i Fundacja Archeologiczna.

Gręzak, A. i B. Kurach
1996. Konsumpcja mięsa w średniowieczu oraz w czasach nowożytnych na terenie obecnych ziem Polski w świetle danych archeologicznych. *Archeologia Polski* 41: 139–167.

Gruszka, B.
2012. Wczesnośredniowieczne zabytki ceramiczne ze stan. 2 w Nowińcu, gm. Lubsko, woj. lubuskie w ujęciu stylistyczno-technologicznym, [w:] B. Gruszka (red.), *Nowiniec, stan. 2 – wczesnośredniowieczny gród na pograniczu śląsko-łużyckim w świetle badań interdyscyplinarnych*, 47–129. Zielona Góra: Wydawnictwo Fundacji Archeologicznej.

Haftka, M.
1974. Wczesnośredniowieczny puchar na pustej nóżce z Elbląga na tle ważniejszych znalezisk z terenu Polski. *Pomorania Antiqua* 5: 329–342.
1988. Grodzisko w Waćmierku, gm. Tczew. *Pomerania*

Antiqua 13: 171–198.

Haftka, M. i S. Wadyl
2015. *Węgry. Zespół osadniczy na pograniczu pomorsko-pruskim w XI-XII w.* Malbork: Muzeum Zamkowe w Malborku.

Halstead, P. i P. Collins
2002. Sorting the sheep from the goats: morphological distinctions between the mandibles and mandibular teeth of adult ovis and capra. *Journal of Archaeological Science* 29: 545–553.

Hartmann, E.
1967. *Das Kirchspiel Locken Kr. Osterode i. Ostpr.* Wissenschaftliche Beiträge zur Geschichte und Landeskunde Ostmitteleuropas 78. Marburg: J.G. Herder-Institut.

Hensel, W.
1950–1959. *Studia i materiały do osadnictwa Wielkopolski wczesnohistorycznej*, t. 1–3. Poznań: Polskie Towarzystwo Prehistoryczne.

1987. *Słowiańszczyzna wczesnośredniowieczna. Zarys kultury materialnej*. Warszawa: PWN.

Hensel, W. i Z. Hilczer-Kurnatowska
1972–1987. *Studia i materiały do osadnictwa Wielkopolski wczesnohistorycznej*, t. 4–6. Wrocław: Ossolineum.

Hensel, W., Z. Hilczer-Kurnatowska i A. Łosińska
1995. *Studia i materiały do osadnictwa Wielkopolski wczesnohistorycznej*, t. 7. Wrocław: Ossolineum.

Herbich, T.
2013. Wyniki badań metodą magnetyczną wybranych stanowisk archeologicznych w rejonie Iławy w 2012 roku, [w:] Z. Kobyliński (red.), *Grodziska Warmii i Mazur 1. Stan wiedzy i perspektywy badawcze*, 351–359. Archaeologica Hereditas. Prace Instytutu Archeologii Uniwersytetu Kardynała Stefana Wyszyńskiego w Warszawie 2. Warszawa – Zielona Góra: Instytut Archeologii UKSW i Fundacja Archeologiczna.

Herrmann, J.
1998. *Ralswiek auf Rügen. Die slawisch-wikingischen Siedlungen und deren Hinterland. Teil II – Kultplatz, Boot 4, Hof, Propstei, Mühlenberg und Rugard*. Beiträge zur Ur- und Frühgeschichte Mecklenburg-Vorpommerns 33. Lübsdorf: Landesamt für Kultur und Denkmalpflege Mecklenburg-Vorpommern.

Heym, W.
1933. Siedlungsgrabungen im Kreise Rosenberg. *Heimatkalender des Kreis Rosenberg 1933*: 51–60. Marienwerder.

Hilczerówna, Z.
1956. *Ostrogi polskie z X–XIII wieku*. Poznań: PWN.
1961. *Rogownictwo gdańskie w X–XIV wieku*. Gdańsk wczesnośredniowieczny 4. Gdańsk: Gdańskie Towarzystwo Naukowe.

Hoffmann, M.J.
1992. Nieznane materiały kultury kurhanów zachodniobałtyjskich, [w:] J. Okulicz-Kozaryn i W. Nowakowski (red.), *Studia z archeologii ludów barbarzyńskich z wybrzeży Bałtyku i dorzecza Wisły*, 20–38. Barbaricum 2. Warszawa: Tokawi.
1996. Wielokulturowy obiekt grobowy w Pomielinie na Pojezierzu Iławskim, [w:] W. Nowakowski (red.), *Concordia. Studia ofiarowane Jerzemu Okuliczowi-Kozarynowi w sześćdziesiątą piątą rocznicę urodzin*, 81–92. Warszawa: Instytut Archeologii Uniwersytetu Warszawskiego.
1999a. *Źródła do kultury i osadnictwa południowo-wschodniej strefy nadbałtyckiej w I tysiącleciu p.n.e.* Olsztyn: Ośrodek Badań Naukowych im. Wojciecha Kętrzyńskiego w Olsztynie.
1999b. Najdawniejsze dzieje Iławy i okolic, [w:] *Iława*, 9–21. Olsztyn: Ośrodek Badań Naukowych im. Wojciecha Kętrzyńskiego.
2000. *Kultura i osadnictwo strefy nadbałtyckiej w I tysiącleciu p.n.e.* Olsztyn: Towarzystwo Naukowe i Ośrodek Badań Naukowych im. Wojciecha Kętrzyńskiego.
2006. Susz i okolice w starożytności i wczesnym średniowieczu, [w:] J. Cygański (red.), *Susz. Z dziejów miasta i okolic*, 1032. Olsztyn: Muzeum Warmii i Mazur.
2013. *Dzieje archeologii Prus Wschodnich od początku XVIII wieku do 1920 roku*. Olsztyn: Pracownia Wydawnictw Naukowych.

Hoffmann, M.J. i A. Mackiewicz
2004. *Średniowieczne założenia obronne powiatu ostródzkiego.* Ostróda: Muzeum w Ostródzie.

Hollack E.
1908. *Erläuterungen zur vorgeschichtlichen Übersichtskarte von Ostpreußen. Im Auftrage des ostpreußischen Provinzial Verbandes bearbeitet und herausgegeben*. Głogów – Berlin: KommissionsVerlag von Carl Flemming.

Holub, P., D. Merta i A. Zůbek
2006. Cihlářská a vápenická pec na ulici Božetěchova v Brně–Králově Poli, [w:] J. Merta i O. Merta (red.), *Archeologia technica 17. Zkoumání výrobních objektů a technologií archeologickými metodami*, 45–51. Brno: Technické muzeum v Brně.

Hołubiec, J.
1971. Historia lamp naftowych. *Kwartalnik Historii Nauki i Techniki* 16 (4): 739–766.

Horbacz, T.J., A. Mikołajczyk i L. Wojda
1980. Ceramika husycka z Włocławka. *Zapiski Kujawsko-Dobrzyńskie*, seria C: Oświata i kultura, 9–25. Włocławek: Włocławskie Towarzystwo Naukowe.

Ignaczak, M.
2002. *Ze studiów nad genezą kultury łużyckiej w strefie Kujaw.* Materiały do syntezy pradziejów Kujaw

10. Poznań: Uniwersytet im. Adama Mickiewicza w Poznaniu.

Ignaczak, M. i J. Affelski
2012. Osadnictwo z wczesnego okresu epoki żelaza na stanowisku Janów Pomorski, [w:] M. Bogucki i M.F. Jagodziński (red.), *Janów Pomorski stan. 1. Wyniki ratowniczych badań archeologicznych w latach 2007–2008. Tom 1. Od paleolitu do wczesnego okresu wędrówek ludów*, 51–157. Studia nad Truso 1:1. Elbląg: Muzeum Archeologiczno-Historyczne.

Iwanowska, G.
2015. Grodzisko w Jeglińcu w świetle nowych badań, [w:] S. Wadyl, M. Karczewski i M. Hoffmann (red.), *Materiały do archeologii Warmii i Mazur* 1, 29–32. Warszawa – Białystok: Instytut Archeologii Uniwersytetu Warszawskiego i Instytut Historii i Nauk Politycznych Uniwersytetu w Białymstoku.

Jagodziński, M.
1997. *Archeologiczne ślady osadnictwa między Wisłą a Pasłęką we wczesnym średniowieczu: katalog stanowisk*. Warszawa: Naukowa Oficyna Wydawnicza „Scientia". Adalbertus: tło kulturowo-geograficzne wyprawy misyjnej św. Wojciecha na pogranicze polsko-pruskie 3.
2013. Wyniki badań archeologicznych grodzisk w Myślęcinie, Kwietniewie i Weklicach, [w:] Z. Kobyliński (red.), *Grodziska Warmii i Mazur 1. Stan wiedzy i perspektywy badawcze*, 180–203. Archaeologica Hereditas. Prace Instytutu Archeologii Uniwersytetu Kardynała Stefana Wyszyńskiego w Warszawie 2. Warszawa – Zielona Góra: Instytut Archeologii UKSW i Fundacja Archeologiczna.

Jasiński T.
1981. Początki Torunia na tle osadnictwa średniowiecznego. *Zapiski Historyczne* 46 (4): 5–33 (581–609).

Jaskanis, D.
2008. *Święck. Wczesnośredniowieczny zespół osadniczy na północno-wschodnim Mazowszu*. Warszawa: Stowarzyszenie Naukowe Archeologów Polskich i Muzeum Podlaskie w Białymstoku.

Jaskanis, J.
2013. *Szwajcaria. Cmentarzysko bałtyjskie kultury sudowskiej w północno-wschodniej Polsce*. Warszawa: Stowarzyszenie Naukowe Archeologów Polskich, Państwowe Muzeum Archeologiczne w Warszawie i Muzeum Okręgowe w Suwałkach.

Jaskulska, E.
2013. Aneks 2: Kości ludzkie z grodziska w Kamionce, st. 9 z badań w 2012 roku, [w:] Z. Kobyliński (red.), *Grodziska Warmii i Mazur 1. Stan wiedzy i perspektywy badawcze*, 301–303. Archaeologica Hereditas. Prace Instytutu Archeologii Uniwersytetu Kardynała Stefana Wyszyńskiego w Warszawie 2. Warszawa – Zielona Góra: Instytut Archeologii UKSW i Fundacja Archeologiczna.

Jaworski, K.
1990. *Wyroby z kości i poroża w kulturze wczesnośredniowiecznego Ostrowa Tumskiego we Wrocławiu*. Wrocław: Oficyna Wydawnicza Volumen.

Jóźwiak, B.
2003. *Społeczności subneolitu wschodnioeuropejskiego na Niżu Polskim w międzyrzeczu Odry i Wisły*. Materiały do syntezy pradziejów Kujaw 11. Poznań: Uniwersytet Adama Mickiewicza.

Jurys, L. i T. Woźniak
2009. *Szczegółowa mapa geologiczna Polski w skali 1:50 000 arkusz Łukta*. Warszawa: Państwowy Instytut Geologiczny.

Kabulski, P.
2003. *Szczegółowa mapa geologiczna Polski w skali 1:50 000, arkusz Susz*. Warszawa: Państwowy Instytut Geologiczny.

Kajzer, L.
1986. Opracowanie zbioru ceramiki naczyniowej z „wieży Karnkowskiego" zamku w Raciążku. *Kwartalnik Historii Kultury Materialnej* 34 (2): 199–225.
1988. Przyczynek do znajomości tzw. ceramiki husyckiej z Kujaw. *Kwartalnik Historii Kultury Materialnej* 36 (4): 651–663.

Kaletyn, M., T. Kaletyn i J. Lodowski
1968. *Grodziska wczesnośredniowieczne województwa wrocławskiego*. Wrocław: Ossolineum.

Kalinowski, P.
2009. *Śląskie monety Habsburgów. Katalog. Część II. Lata 1657–1705*. Kalety: Wydawnictwo Piotr Kalinowski.

Kałagate, S.
1994. Ceramika z wieży rycerskiej w Witkowie, gm. Szprotawa, woj. zielonogórskie, stanowisko 6, [w:] A. Gruszczyńska (red.), *Garncarstwo i kaflarstwo na ziemiach polskich od późnego średniowiecza do czasów współczesnych*, 161–184. Rzeszów: Muzeum Okręgowe.

Kałużna-Czaplińska, J., P. Gątarek, A. Rosiak, U. Kobylińska i Z. Kobyliński
2016. Zawartość kwasów tłuszczowych w ceramice pochodzącej z pradziejowych i średniowiecznych grodzisk z zachodniej części ziem pruskich, [w:] Z. Kobyliński (red.), *Grodziska Warmii i Mazur 2. Nowe badania i interpretacje*, 173–209. Archaeologica Hereditas. Prace Instytutu Archeologii Uniwersytetu Kardynała Stefana Wyszyńskiego w Warszawie 7. Warszawa: Instytut Archeologii UKSW i Fundacja Res Publica Multiethnica.

Kałużna-Czaplińska, J., U. Kobylińska i Z. Kobyliński
2013. Zawartość kwasów tłuszczowych w ceramice z grodzisk w Kamionce, Mozgowie i Borecznie w powiecie iławskim, [w:] Z. Kobyliński (red.), *Grodziska Warmii i Mazur 1. Stan wiedzy i perspektywy badawcze*, 457–466. Archaeologica Heredi-

tas. Prace Instytutu Archeologii Uniwersytetu Kardynała Stefana Wyszyńskiego w Warszawie 2. Warszawa – Zielona Góra: Instytut Archeologii UKSW i Fundacja Archeologiczna.

Kamińska, J.
1953. *Grody wczesnośredniowieczne ziem Polski środkowej na tle osadnictwa*. Łódź: Łódzkie Towarzystwo Naukowe.
1968. Siedlątków, obronna siedziba rycerska z XIV wieku. *Prace i Materiały Muzeum Archeologicznego i Etnograficznego w Łodzi. Seria Archeologiczna* 15: 15–85.

Kapusta, E.
1987. Ceramika naczyniowa z zamku w Brześciu Kujawskim na tle specyfiki poźnośredniowiecznej i nowożytnej ceramiki kujawskiej. *Acta Universitatis Lodziensis. Folia Archaeologica* 21: 131–166.

Karczewski, M.
1998. Ceramika kultury kurhanów zachodniobałtyjskich z osady w Paprotkach Kolonii, stan. 41 w Krainie Wielkich Jezior Mazurskich, [w:] M. Karczewski (red.), *Ceramika zachodniobałtyjska od wczesnej epoki żelaza do początku ery nowożytnej*, 95–116. Białystok: Instytut Historii Uniwersytetu w Białymstoku.
2001. *Źródła archeologiczne do badań nad* środowiskiem *krainy wielkich jezior mazurskich w okresie wpływów rzymskich*. Olsztyn: Ośrodek badań Naukowych im. Wojciecha Kętrzyńskiego.

Karczewski, M., M. Karczewska i A. Pluskowski
2015. Grodzisko Święta Góra w Staświnach w Krainie Wielkich Jezior Mazurskich. Dzieje zasiedlenia przed i po podboju krzyżackim, [w:] S. Wadyl, M. Karczewski i M. Hoffmann (red.), *Materiały do archeologii Warmii i Mazur* 1, 175–193. Warszawa – Białystok: Instytut Archeologii Uniwersytetu Warszawskiego i Instytut Historii i Nauk Politycznych Uniwersytetu w Białymstoku.

Kaźmierczyk, J.
1969. Budownictwo mieszkalne z drewna w VI-XIII w. na obszarze Śląska. *Archeologia Polski* 14 (2): 167–214.

Kazimierczak, R., W. Chudziak, B. Kowalewska i J. Niegowski
2013. *Sprawozdanie i opracowanie wyników z podwodnych badań archeologicznych o charakterze penetracyjnym w jeziorze Łodygowo (Staw Łodygowo), gm. Kisielice, pow. iławski, woj. warmińsko-mazurskie (Łodygowo stan. 1)*. Sprawozdanie dla Wojewódzkiego Konserwatora Zabytków. Toruń: UMK.

Kaźmierczyk, J., K. Macewicz i S. Wuszkan
1977. *Studia i materiały do osadnictwa Opolszczyzny wczesnośredniowiecznej*. Opole: Instytut Śląski.

Kennecke, H.
2008. *Die slawische Siedlung von Dyrotz, Lkr. Havelland*. Materialien zur Archäologie in Brandenburg 1. Rahden: Marie Leidorf Verlag.

Kilian, L.
1955. *Haffküstenkultur und Ursprung der Balten*. Bonn: Habelt.

Kirpičnikov, A.N.
1974. O vremeni pojavlenia špory co zvezdočkoi na territorii drevnej Rusi. *Kwartalnik Historii Kultury Materialnej* 2 (2): 299–304.

Klęczar, B. i M. Rutyna
2013. Stan badań grodzisk województwa warmińsko-mazurskiego, [w:] Z. Kobyliński (red.), *Grodziska Warmii i Mazur 1. Stan wiedzy i perspektywy bad*awcze, 7–29. Archaeologica Hereditas. Prace Instytutu Archeologii Uniwersytetu Kardynała Stefana Wyszyńskiego w Warszawie 2. Warszawa – Zielona Góra: Instytut Archeologii UKSW i Fundacja Archeologiczna.

Kobryń, H.
1984. *Zmiany niektórych cech morfologicznych konia w świetle badań kostnych materiałów wykopaliskowych z obszaru Polski*. Warszawa: Wydawnictwo SGGW-AR.

Kobusiewicz, M. (red.)
2008. *Pradzieje Wielkopolski. Od epoki kamienia do średniowiecza*. Poznań: Instytut Archeologii i Etnologii PAN.

Kobylińska, U.
1999. Średniowieczna ceramika i inne zabytki archeologiczne z wykopalisk w Iławie w 1999 roku. *Warmińsko-Mazurski Biuletyn Konserwatorski* 1: 19–46.
2000. Wczesnośredniowieczne cmentarzysko pruskie w Dobrzykach, st. XXVIII, gmina Zalewo, województwo warmińsko-mazurskie. *Warmińsko-Mazurski Biuletyn Konserwatorski* 2: 12–76.
2003. *Z archeologicznych studiów nad pradziejami i wczesnymi dziejami północnego Podlasia (badania wykopaliskowe w Dołkach, Gnieciukach i Potoce w woj. podlaskim)*. Warszawa: Fundacja „Res Publica Multiethnica" i Instytut Archeologii i Etnologii PAN.
2004. Wczesnośredniowieczne naczynia gliniane typu Menkendorf-Szczecin ze Starosiedla na Ziemi Lubuskiej, [w:] Z. Kobyliński (red.), *Hereditatem cognoscere. Studia i szkice dedykowane Profesor Marii Miśkiewicz*, 111–123. Warszawa: Uniwersytet Kardynała Stefana Wyszyńskiego w Warszawie, Państwowe Muzeum Archeologiczne i Instytut Archeologii Uniwersytetu Warszawskiego.
2014a. Prehistoric pottery form excavations at Starosiedle, site 3 in the years 2001–2004 / Pradziejowa ceramika zabytkowa z badań w Starosiedlu, st. 3 w latach 2001–2004, [w:] Z. Kobyliński (red.), *Starosiedle in the Lubusz Land: Prehistoric and Early Medieval settlement / Starosiedle w Ziemi*

Lubuskiej: osadnictwo starożytne i wczesnośredniowieczne, 265–446. Warszawa: Fundacja Res Publica Multiethnica, Instytut Archeologii i Etnologii PAN i Instytut Archeologii Uniwersytetu Kardynała Stefana Wyszyńskiego w Warszawie.

2014b. Early Medieval pottery from Starosiedle, site 3 / Ceramika wczesnosredniowieczna ze st. 3 w Starosiedlu, [w:] Z. Kobyliński (red.), *Starosiedle in the Lubusz Land: Prehistoric and Early Medieval settlement / Starosiedle w Ziemi Lubuskiej: osadnictwo starożytne i wczesnośredniowieczne*, 521–568. Warszawa: Fundacja Res Publica Multiethnica, Instytut Archeologii i Etnologii PAN i Instytut Archeologii Uniwersytetu Kardynała Stefana Wyszyńskiego w Warszawie.

2014c. Small finds from site 3 at Starosiedle / Zabytki wydzielone ze stanowiska 3 w Starosiedlu, [w:] Z. Kobyliński (red.), *Starosiedle in the Lubusz Land: Prehistoric and Early Medieval settlement / Starosiedle w Ziemi Lubuskiej: osadnictwo starożytne i wczesnośredniowieczne*, 605–635. Warszawa: Fundacja Res Publica Multiethnica, Instytut Archeologii i Etnologii PAN i Uniwersytet Kardynała Stefana Wyszyńskiego w Warszawie.

Kobylińska, U. i Z. Kobyliński

1993. Struktura wielkościowa zespołów ceramiki na stanowiskach wielowarstwowych: metody analizy i możliwości poznawcze. *Archeologia Polski* 38 (2): 229–262.

2016. Wschodnia granica zasięgu występowania wczesnośredniowiecznej ceramiki typu Menkendorf-Szczecin, [w:] B. Chudzińska, M. Wojenka i M. Wołoszyn (red.), *Od Bachórza do Światowida ze Zbrucza. Tworzenie się słowiańskiej Europy w ujęciu źródłoznawczym. Księga jubileuszowa Profesora Michała Parczewskiego*, 233–242. Kraków – Rzeszów: Uniwersytet Jagielloński i Uniwersytet Rzeszowski.

Kobylińska, U., Z. Kobyliński i D. Wach

2003. Wyniki badań wykopaliskowych grodziska w Klukowiczach na Podlasiu. *Wiadomości Archeologiczne* 46: 189–227.

Kobyliński, Z.

2012. Early Medieval Slavic settlement complex on the Elbe at Rosenhof, Gem. Altenzaun, Lkr. Stendal: preliminary results of the ongoing German-Polish excavation project, [w:] H. Meller (red.), *Zusammengegraben – Kooperationsprojekte in Sachsen-Anhalt*, 117–123. Archäologie in Sachsen-Anhalt. Sonderband 16.

2016. Projekt Narodowego Programu Rozwoju Humanistyki „Katalog grodzisk Warmii i Mazur. Część I: Pomezania, Pogezania i Warmia": realizacja w latach 2012–2016, [w:] Z. Kobyliński (red.), *Grodziska Warmii i Mazur 2. Nowe badania i interpretacje*, 93–112. Archaeologica Hereditas. Prace Instytutu Archeologii Uniwersytetu Kardynała Stefana Wyszyńskiego w Warszawie 7. Warszawa: Instytut Archeologii UKSW i Fundacja Res Publica Multiethnica.

Kobyliński, Z. (red.)

2013. *Grodziska Warmii i Mazur 1. Stan wiedzy i perspektywy badawcze*. Archaeologica Hereditas. Prace Instytutu Archeologii Uniwersytetu Kardynała Stefana Wyszyńskiego w Warszawie 2. Warszawa – Zielona Góra: Instytut Archeologii UKSW i Fundacja Archeologiczna.

2016. *Grodziska Warmii i Mazur 2. Nowe badania i interpretacje*. Archaeologica Hereditas. Prace Instytutu Archeologii Uniwersytetu Kardynała Stefana Wyszyńskiego w Warszawie 7. Warszawa: Instytut Archeologii UKSW i Fundacja Res Publica Multiethnica.

Kobyliński, Z., D. Wach i M. Rutyna

2013. Grodzisko z wczesnej epoki żelaza i wczesnego średniowiecza w Kamionce, st. 9, gm. Iława: wstępne wyniku badań z 2012 roku (z aneksami Anny Gręzak i Elżbiety Jaskulskiej), [w:] Z. Kobyliński (red.), *Grodziska Warmii i Mazur 1. Stan wiedzy i perspektywy badawcze*, 281–302. Archaeologica Hereditas. Prace Instytutu Archeologii Uniwersytetu Kardynała Stefana Wyszyńskiego w Warszawie 2. Warszawa – Zielona Góra: Instytut Archeologii UKSW i Fundacja Archeologiczna.

Kobyliński, Z., D. Wach, M. Rutyna, J. Wysocki i B. Klęczar

2013. Grodziska z czasów plemiennych(?) w Gulbiu, na wyspie Bukowiec na jeziorze Jeziorak, w Urowie i Dubie w powiecie iławskim; wstępne wyniki badań), [w:] Z. Kobyliński (red.), *Grodziska Warmii i Mazur 1. Stan wiedzy i perspektywy badawcze*, 305–325. Archaeologica Hereditas. Prace Instytutu Archeologii Uniwersytetu Kardynała Stefana Wyszyńskiego w Warszawie 2. Warszawa – Zielona Góra: Instytut Archeologii UKSW i Fundacja Archeologiczna.

Kobyliński, Z., J. Nitychoruk, K. Rabiega, M. Rutyna, D. Wach, F. Welc, J. Wysocki, K. Zeman-Wiśniewska i M. Żurek

2016. Falsyfikacja domniemanych pradziejowych i średniowiecznych grodzisk w powiecie iławskim i ostródzkim, [w:] Z. Kobyliński (red.), *Grodziska Warmii i Mazur 2. Nowe badania i interpretacje*, 247–293. Archaeologica Hereditas. Prace Instytutu Archeologii Uniwersytetu Kardynała Stefana Wyszyńskiego 7. Warszawa: Instytut Archeologii UKSW i Fundacja Res Publica Multiethnica.

Kochanowski, M.

1985a. Narzędzia rolnicze i gospodarskie z grodziska w Plemiętach, [w:] A. Nadolski (red.), *Plemięta. Średniowieczny gródek w ziemi chełmińskiej*, 159–164. Warszawa: PWN.

1985b. Elementy odzieży i sprzęt gospodarstwa domowego z grodziska w Plemiętach, [w:] A. Nadolski (red.), *Plemięta. Średniowieczny gródek w ziemi chełmińskiej*, 165–183. Warszawa: PWN.

Kola, A.
1979. Słoszewy, gm. Bobrowo. *Informator Archeologiczny 1978*: 253.
1985. Żelazny osprzęt średniowiecznej wieży mieszkalnej w Plemiętach i jej wyposażenia, [w:] A. Nadolski (red.), *Plemięta. Średniowieczny gródek w ziemi chełmińskiej*, 62–83. Warszawa: PWN.

Kola, A. i G. Wilke
1985. Militaria z grodziska w Plemiętach. Broń strzelcza, [w:] A. Nadolski (red.), *Plemięta. Średniowieczny gródek w ziemi chełmińskiej*, 107–128. Warszawa: PWN.

Kolda, J.
1936. *Srovnávaci anatomie zvířat domacich se zřetelem k anatomii* člověka. Brno: J. Kolda.

Kołodziejski, S.
1985. Les esperons a molette du territoire de la Petite Pologne au Moyen Age, [w:] A. Kokowski (red.), *Mémoires archéologiques*, 161–179. Lublin: Uniwersytet Marii Curie-Skłodowskiej.

Koperkiewicz, A. i D. Krasnodębski
2006. Wczesnośredniowieczne cmentarzysko w Daniłowie Małym, gm. Łapy, [w:] W. Chudziak i S. Moździoch (red.), *Stan i potrzeby badań nad wczesnym średniowieczem – 15 lat później,* 465–485. Toruń: Uniwersytet Mikołaja Kopernika w Toruniu.

Kostrzewska, M.
1953. Wyroby kamienne kultury łużyckiej w Wielkopolsce w epoce brązowej i we wczesnym okresie żelaznym. *Przegląd Archeologiczny* 9: 214–258.

Kostrzewski, J.
1955. *Wielkopolska w pradziejach*. Warszawa: Ossolineum.
1958. *Kultura łużycka na Pomorzu.* Poznań: PWN
1962. O pochodzeniu ozdób srebrnych z polskich skarbów wczesnośredniowiecznych. *Slavia Antiqua* 9: 139–211.
1966. *Pradzieje Pomorza*. Wrocław: Ossolineum.

Kowalczyk, E.
1997. Z badań nad pograniczem mazowiecko-pruskim i krzyżackim. *Kwartalnik Historii Kultury Materialnej* 45: 384–395.
2001. Weryfikacja i odkrycie nowych grodzisk nad środkową Pasłęką. *Wiadomości Archeologiczne* 54 (1995–1998): 192–195.

Kowalenko, W.
1938. *Grody i osadnictwo grodowe Wielkopolski wczesnohistorycznej (od VII do XII wieku)*. Poznań: Polskie Towarzystwo Prahistoryczne.

Koziełło-Poklewski, B. i E. Martuszewski
1972. Dzieje wsi, [w:] A. Wakar (red.), *Iława. Z dziejów miasta i powiatu*, 205–271. Olsztyn: Pojezierze.

Kóčka-Krenz, H.
1993. *Biżuteria północno-zachodnio-słowiańska we wczesnym średniowieczu*. Poznań: Uniwersytet Adama Mickiewicza.
2007. Wczesnośredniowieczna biżuteria metalowa ze zbiorów Państwowego Muzeum Archeologicznego, [w:] W. Brzeziński (red.), *Skarby wieków średnich*, 20–51. Warszawa: Państwowe Muzeum Archeologiczne.

Kóčka-Krenz, H. i A. Sikorski
1992. Góra, gm. Pobiedziska, woj. poznańskie, stan. 1. Wstępne wyniki badań z lat 1985–1991. *Wielkopolskie Sprawozdania Archeologiczne* 1: 135–148.

Kruppé, J.
1967. *Garncarstwo warszawskie w wieku XIV i XV*. Wrocław: Ossolineum.
1981. *Garncarstwo późnośredniowieczne w Polsce*. Wrocław: Ossolineum.

Kudrnač, J.
1981. Několik upozornění k tzv. pražnicím. *Archeologické rozhledy* 33 (2): 209–212.

Kujot, S.
1913. *Dzieje Prus Królewskich. Część I. Do roku 1309*. Toruń. Towarzystwo Naukowe.

Kurasiński, T. i K. Skóra
2012. *Wczesnośredniowieczne cmentarzysko szkieletowe w Lubieniu, pow. piotrkowski*. Łódź: Instytut Archeologii i Etnologii PAN.

Kurzyk, K.
2013. Pozostałości osadnictwa z późnego neolitu i wczesnej epoki brązu na stanowisku 4 w Sztynwągu, gm. Grudziądz, woj. kujawsko-pomorskie. *Acta Universitatis Nicolai Copernici. Archeologia* 33: 21–51.

Kurzyk, K. i S. Wadyl
2015. Obiekt obrzędowy kultury amfor kulistych z Ornowa-Lesiaka, stan. 3, gm. Ostróda, [w:] S. Wadyl, M. Karczewski i M.J. Hoffmann (red.), *Materiały do archeologii Warmii i Mazur* 1, 85–93. Warszawa – Białystok: Instytut Archeologii Uniwersytetu Warszawskiego i Instytut Historii i Nauk Politycznych Uniwersytetu w Białymstoku.

Kurzyk, K. i D. Werra
2011. Neolit i wczesna epoka brązu na ziemi dobrzyńskiej w świetle aktualnych badań archeologicznych, [w:] M. Fudziński i H. Paner (red.), *XVII Sesja Pomorzoznawcza, t. 1, Od epoki kamienia do wczesnego średniowiecza*, 89–106. Gdańsk: Muzeum Archeologiczne

Kuszewska, E.
1961. Gorzędziej wczesnośredniowieczny w świetle wstępnych prac archeologicznych, [w:] J. Kamińska (red.), *Gdańsk wczesnośredniowieczny* 4, 145–200. Gdańsk: Gdańskie Towarzystwo Naukowe.

Kuśnierz, J.
2006. Z badań nad militarnym znaczeniem gródka nad Bugiem (Wołynia) we wczesnym średniowieczu. *Acta Militaria Mediaevalia* 2: 79–102. Kraków – Sanok.

La Baume, W.
1938. Die Pfahlbrücken des Burgwalles bei Kl. Ludwigsdorf, Kr. Rosenberg (Westpr.). *Elbinger Jahrbuch*

15: 147–155.

Lasek, P. i J. Przypkowski
2013. Najstarszy widok Iławy i zamku na Wielkiej Żuławie z 1620 roku w zbiorach Instytutu Sztuki PAN, [w:] Z. Kobyliński (red.), *Grodziska Warmii i Mazur 1. Stan wiedzy i perspektywy badawcze*, 381–383. Archaeologica Hereditas 2. Warszawa – Zielona Góra: Instytut Archeologii UKSW i Fundacja Archeologiczna.

Lasek, P. i S. Szczepański
2016. Z dziejów pewnego zastawu, czyli „zamek" Deutsch-Eylau alias „dwór" Gross-Werder. *Biuletyn Historii Sztuki* 78 (3): 431–458.

Lasota-Moskalewska, A.
1984. Ocena archeozoologiczna materiału kostnego z wczesnośredniowiecznego grodziska w Tykocinie. *Archeologia Polski* 29 (2): 246–265.
2008. *Archeozoologia. Ssaki*. Warszawa: Wydawnictwa Uniwersytetu Warszawskiego.

Leciejewicz, L.
1961. *Ujście we wczesnym średniowieczu*. Wrocław: Ossolineum.

Lenarczyk, L.
1991. Badania sondażowe na grodzisku w Gorczycach, woj. suwalskie. *Rocznik Białostocki* 16: 483–485.

Lepówna, B.
1968. *Garncarstwo gdańskie w X-XII wieku*. Gdańsk wczesnośredniowieczny 7. Gdańsk: Gdańskie Towarzystwo Naukowe.

Leyding, G.
1972. Nazwy fizjograficzne, [w:] A. Wakar i in. (red.), *Iława. Z dziejów miasta i powiatu*, 39–48. Olsztyn: Pojezierze.
1973. Z dziejów powiatu, [w:] A. Wakar i in. (red.), *Morąg. Z dziejów miasta i powiatu*, 41–95. Olsztyn: Pojezierze.

Liek, G.
1893. *Die Stadt Löbau in Westpreussen*. Marienwerder: Historischer Verein für den Regierungsbezirk Marienwerder.

Lietz, Z.
1976. Z dziejów wsi, [w:] E. Kulig (red.) *Ostróda. Z dziejów miasta i okolic* 161–204. Olsztyn: Pojezierze.

Lissauer, A.
1876. Drei Burgwälle bei Dt. Eylau. *Schriften der Naturforschenden Gesselschaft in Danzig* 4(1): 1–6.
1887. *Die Prähistorischen Denkmäler der Provinz Westpreussen und der angrenzenden Gebiete*. Leipzig: Commissions-Verl. von Wilhelm Engelmann.

Lityńska-Zając, M. i M. Moskal-del Hoyo
2016. Wyniki badań archeobotanicznych grodzisk z zachodniej części województwa warmińsko-mazurskiego, [w:] Z. Kobyliński (red.), *Grodziska Warmii i Mazur 2. Nowe badania i interpretacje*, 211–230. Archaeologica Hereditas. Prace Instytutu Archeologii Uniwersytetu Kardynała Stefana Wyszyńskiego w Warszawie 7. Warszawa: Instytut Archeologii UKSW i Fundacja Archeologiczna.

Lodowski, J.
1972. *Sądowel we wczesnym średniowieczu*. Wrocław: Ossolineum.

Lutnicki, W.
1972. *Uzębienie zwierząt domowych*. Warszawa: Państwowe Wydawnictwo Naukowe.

Lyman, R.L.
1994. *Vertebrate taphonomy*. Cambridge: Cambridge University Press.

Łapo, J.M.
2009a. Wyprawa nad Tyrkło, [w:] A. Bitner-Wróblewska i G. Iwanowska (red.), *Bałtowie i ich sąsiedzi. Marian Kaczyński in memoriam*, 559–567. Warszawa: Państwowe Muzeum Archeologiczne w Warszawie.
2009b. Wokół szwedzkiego szańca. Echa wojen szwedzkich w ludowych podaniach historycznych i mikrotoponimii na obszarze dawnych ziem pruskich. *Pruthenia* 4: 241–286.

Łasiński, Ł.
2010. *Grodziska wschodniej części Pojezierza Iławskiego. Analiza historyczno-przestrzenna, problemy ochrony i prezentacji*. Maszynopis pracy magisterskiej, Uniwersytet Kardynała Stefana Wyszyńskiego w Warszawie.

Łęga, W.
1930. *Kultura Pomorza we wczesnem średniowieczu na podstawie wykopalisk*. Toruń: Towarzystwo Naukowe w Toruniu.

Łosiński, W.
1963. Badania stacji archeologicznej Kołobrzeg IHKM w 1961 roku. *Sprawozdania Archeologiczne* 15: 177–184.
1972. *Początki wczesnośredniowiecznego osadnictwa grodowego w dorzecze Dolnej Parsęty: VII-X/XI w.* Wrocław: Ossolineum.

Łukomiak, K.
2016. *Sposoby zamykania pomieszczeń i skrzyń w późnym średniowieczu w świetle źródeł archeologicznych z terenu Polski*. Łódź: ArchaeGraph.

Machnik, J.
1979. Krąg kulturowy ceramiki sznurowej, [w:] W. Hensel i T. Wiślański (red.), *Prahistoria ziem polskich*. T. 2. *Neolit*, 337–411. Wrocław: Ossolineum.

Makowiecki, D.
2013. Wyroby z poroża i kości w ujęciu zoologicznym, [w:] M. Bogucki i M.F. Jagodziński (red.), *Studia nad Truso* 2: 183–220. Muzeum Archeologiczno-Historyczne w Elblągu i Instytut Archeologii i Etnologii PAN.

Malinowska-Łazarczyk, H.
1982. *Cmentarzysko średniowieczne w Cedyni*. Warszawa: Instytut Historii Kultury Materialnej PAN.

Malinowski, A.
1974. Historia i perspektywy antropologicznych badań grobów ciałopalnych, [w:] H. Giżyńska (red.), *Metody, wyniki i konsekwencje badań kości z grobów ciałopalnych*, 7–15. Poznań: Uniwersytet Adama Mickiewicza.

Malinowski, T.
1953. Z problematyki polskich prażnic wczesnośredniowiecznych. *Z otchłani wieków* 22: 50–53.
1955. Wczesnośredniowieczne naczynia słowiańskie do prażenia zboża. *Dawna Kultura* 2 (1): 30–32.
1959 (1957–1958). Wczesnośredniowieczne prażnice w Wielkopolsce. *Przegląd Archeologiczny* 11 (32–33): 68–80.

Manasterski, D.
2009. *Pojezierze Mazurskie u schyłku neolitu i na początku epoki brązu w świetle zespołów typu Ząbie-Szestno*. Warszawa: Instytut Archeologii Uniwersytetu Warszawskiego.

Mańkowski, A.
1923. *Nazwy miejscowe powiatu lubawskiego*. Wąbrzeźno: B. Szczuka.

Marciniak-Kajzer, A.
1998. Wczesnośredniowieczny zespół osadniczy w miejscowości Zajączki, gm. Ostróda w świetle badań ratowniczych przeprowadzonych w 1998 roku. *Łódzkie Sprawozdania Archeologiczne* 4: 171–188.
2006. Wczesnośredniowieczne osadnictwo na pograniczu prusko-mazowieckim w świetle badań grodziska w Leszczu w woj, warmińsko-mazurskim. *Archeologia Polski* 51: 121–144.

Marcinkowski, M.
2013. Cechy obce i lokalne w średniowiecznej i nowożytnej ceramice elbląskiej. Zarys problematyki na podstawie wybranych przykładów. *Archaeologia Historica Polona* 21: 239–255.

Margalha, M.G., J. Appleton, F. Carvalho, R. Veiga, A. Santos Silva i J. de Brito
2008. *Traditional lime kilns – industry or archaeology?*. Historical Mortars Conference, Lisbona. Internet: https://www.researchgate.net/publication/283324537_Traditional_Lime_kilns_-_Industry_or_Archeology (wgląd: 25.01.2017).

Martuszewski, E.
1972. Dzieje powiatu, [w:] A. Wakar i in. (red.), *Iława. Z dziejów miasta i powiatu,* 51–105. Olsztyn: Pojezierze.

Martuszewski, E. i T. Oracki
1976. Dzieje Ostródy, [w:] E. Kulig i in. (red.), *Ostróda. Z dziejów miasta i okolic,* 72–106. Olsztyn: Pojezierze.

Mařík, J.
1997. Pánve klučovského typu. *Zprávy české archeologické společnosti. Supplément* 32. Praha.

Meyza, K.
1999. Fajki gliniane z drugiej połowy XVIII i pierwszej połowy XIX w. z badań archeologicznych Zamku Królewskiego i miasta Warszawy. *Almanach Muzealny* 2: 521.

Michalski, J.
1984. *Sprawozdanie z badań wykopaliskowych przeprowadzonych w 1984 r. na stan. 1 w* Łodygowie*, gm. Kisielice, woj. Elbląskie*. Wojewódzki Urząd Konserwatora Zabytków w Olsztynie, Delegatura w Elblągu.
1985a. Łodygowo, gm. Kisielice, woj. elbląskie, stanowisko 1. *Informator Archeologiczny* 1984: 136.
1985b. *Sprawozdanie z prac wykopaliskowych przeprowadzonych na stan. 2 w* Łodygowie*, gm. Kisielice, woj. elbląskie w okresie od 25.06. do 25.07.1985*. Archiwum WUOZ w Olszynie, delegatura w Elblągu.
1989. Osadnictwo pogranicza kultur łużyckiej, pomorskiej i kurhanów zachodniobałtyjskich w Łodygowie, woj. elbląskie, [w:] T. Malinowski (red.), *Problemy kultury łużyckiej na Pomorzu*, 133–145. Słupsk: Wyższa Szkoła Pedagogiczna w Słupsku.
1998a. Wyniki badań starego miasta w Ostródzie i ich wpływ na proces rewaloryzacji, [w:] J. Wysocki (red.), *Badania archeologiczne starych miast Warmii i Mazur a problemy ich rewaloryzacji*, 45–51. Nidzica: Nidzicka Fundacja Rozwoju Nida.
1998b. Badania archeologiczne starego miasta w Olsztynie, [w:] J. Wysocki (red.), *Badania archeologiczne starych miast Warmii i Mazur a problemy ich rewaloryzacji,* 133–140. Nidzica: Nidzicka Fundacja Rozwoju Nida.

Michalski, J. i J. Budziszewski
1993. Siedemdziesiąt lat badań wykopaliskowych Instytutu Archeologii Uniwersytetu Warszawskiego, [w:] S. K. Kozłowski i J. Kolendo (red.), *Dzieje archeologii na Uniwersytecie Warszawskim*, 211–252. Warszawa: Wydawnictwa Uniwersytetu Warszawskiego.

Mikłaszewicz, D.
1995. Fajki z badań archeologicznych w Toruniu. *Pomorania Antiqua* 16: 341–356.

Mirek, Z., H. Piękoś-Mirkowa, A. Zając i M. Zając
2002. *Flowering plants and pteridophytes of Poland. A checklist*. Kraków: Instytut Botaniki im. W. Szafera, PAN.

Mirkowska, I.
1998. Ceramika z wczesnej epoki żelaza z osiedla obronnego w Sząbruku, woj. olsztyńskie, [w:] M. Karczewski (red.), *Ceramika zachodniobałtyjska od wczesnej epoki żelaza do początku ery nowożytnej*, 149–166. Białystok: Instytut Historii Uniwersytetu w Białymstoku.
2004. Ceramika wczesnośredniowieczna z grodziska w Kajkowie (przysiółek Lesiak), d. pow. Ostróda, woj. warmińsko-mazurskie, [w:] M. Karczewska i M. Karczewski (red.), *Ceramika zachodniobałtyjska. Nowe źródła i interpretacje,* 281–291. Bia-

łystok: Uniwersytet w Białymstoku, Instytut Historii.

Misiewicz, K. i W. Małkowski
2013. Badania nieinwazyjne na stanowisku 4 w Boreczni, woj. warmińsko-mazurskie w 2012 r., [w:] Z. Kobyliński (red.), *Grodziska Warmii i Mazur 1. Stan wiedzy i perspektywy badawcze*, 413–421. Archaeologica Hereditas. Prace Instytutu Archeologii Uniwersytetu Kardynała Stefana Wyszyńskiego w Warszawie 7. Warszawa: Instytut Archeologii UKSW i Fundacja Archeologiczna.

Miśkiewicz, M.
2010. *Życie codzienne mieszkańców ziem polskich we wczesnym średniowieczu*. Warszawa: TRIO.

Mogielnicka-Urban, M.
1984. *Warsztat ceramiczny w kulturze łużyckiej*. Wrocław: Ossolineum.

Mogielnicka–Urban, M. i J. Urban
2013. „Naczynia sitowate" w kulturze łużyckiej – jednorodność nazewnictwa a zróżnicowanie formy, [w:] J. Kolenda, A. Mierzwiński, S. Moździoch i L. Żygadło (red.), *Z badań nad kulturą społeczeństw pradziejowych i wczesnośredniowiecznych. Księga Jubileuszowa dedykowana Profesorowi Bogusławowi Gedidze, w osiemdziesiątą rocznicę urodzin przez przyjaciół, kolegów i uczniów*, 501–525. Wrocław: Instytut Archeologii i Etnologii PAN.

Moszyński, K.
1929. *Kultura ludowa Słowian. Tom 1. Kultura materialna*. Kraków: Polska Akademia Umiejętności.
1967. *Kultura ludowa Słowian. Tom 1. Kultura materialna*. Warszawa: Książka i Wiedza.

Musianowicz, K.
1939–1945. Cmentarzysko wczesnośredniowieczne w Łowiczu. *Światowit* 18: 213–237.
1969. Drohiczyn we wczesnym średniowieczu. *Materiały Wczesnośredniowieczne* 6: 7–235.

Nadolski, A.
1954. *Studia nad uzbrojeniem polskim w X, XI i XII wieku*. Acta Archaeologica Universitatis Lodziensis 3. Łódź: Ossolineum.
1978. *Broń średniowieczna na ziemiach polskich*. Łódź: Muzeum Archeologiczne w Warszawie.
1979. *Broń i strój rycerstwa polskiego w średniowieczu*. Wrocław: Ossolineum.

Nadolski, A. i M. Lewandowski
1990. Broń strzelcza, [w:] A. Nadolski (red.), *Uzbrojenie w Polsce średniowiecznej: 1350–1450*, 143–153. Łódź: Instytut Historii Kultury Materialnej PAN.

Nawrolska, G.
2012. *Początki Elbląga w świetle źródeł archeologicznych*. Elbląg: Stowarzyszenie Miłośników Truso.

Nawrolski, T.
1973. Klasztor cysterek w Cedyni, pow. Chojna, w świetle badań archeologicznych, cz. II. *Materiały Zachodniopomorskie* 19: 271–404.

Niegowski, J.
1997. Sprawozdanie z badań podwodnych przeprowadzonych w ramach programu Adalbertus, [w:] W. Chudziak (red.), *Wczesnośredniowieczny szlak lądowy z Kujaw do Prus (XI wiek). Studia i materiały*, 219–229. *Adalbertus – tło kulturowo-geograficzne wyprawy misyjnej św. Wojciecha na pogranicze polsko-pruskie* 2. Toruń: Uniwersytet Mikołaja Kopernika, Instytut Archeologii i Etnologii.

Niesiobędzki, W.
2008. *Powiat iławski. Dzieje, zabytki, pejzaż i kultura. Szkice historyczne*. Iława: Algaf.

Nosek, S.
1939–1945. Nowe materiały do poznania kultury weneckiej. Świa*towit* 18: 111–164.
1967. *Kultura amfor kulistych w Polsce*. Wrocław: Ossolineum.

Nowak, Z.
1963. Rozwój przestrzenny miasta Susza. *Komunikaty Mazursko-Warmińskie* 1 (79): 60–75.

Nowakowski, A.
1976. W sprawie datowania ostróg z gwiaździstym bodźcem. *Acta Universitatis Lodziensis. Zeszyty Naukowe Uniwersytetu Łódzkiego, seria I,* 11: 75–82.
1985. Militaria z grodziska w Plemiętach. Elementy rzędu końskiego i oporządzenia jeździeckiego, [w:] A. Nadolski (red.), *Plemięta. Średniowieczny gródek w ziemi chełmińskiej*, 129–138. Warszawa: PWN.

Nowakowski, A. (red.)
1998. *Uzbrojenie w Polsce średniowiecznej: 1450–1500*. Toruń: Uniwersytet Mikołaja Kopernika.

Nowakowski, W.
1989. Studia nad ceramiką z okresu wędrówek ludów. Problem tzw. pucharków na pustych nóżkach. *Barbaricum* 1: 101–147.

Okulicz, J.
1973. *Pradzieje ziem pruskich od późnego paleolitu do VII w. n.e.* Wrocław: Ossolineum.

Okulicz, Ł.
1970. *Kultura kurhanów zachodniobałtyjskich we wczesnej epoce żelaza*. Wrocław: Ossolineum.
1979. Kultura kurhanów zachodniobałtyjskich, [w:] J. Dąbrowski i Z. Rajewski (red.), *Prahistoria ziem polskich*. T. 4. *Od środkowej epoki brązu do środkowego okresu lateńskiego*, 179–189. Wrocław: Ossolineum.

Olczak, J. i K. Siuchniński
1966–1971. *Źródła archeologiczne do studiów nad wczesnośredniowiecznym osadnictwem grodowym na terenie województwa koszalińskiego*, t. 1–4. Poznań: Uniwersytet Adama Mickiewicza.
1985–1989. *Źródła archeologiczne do studiów nad wczesnośredniowiecznym osadnictwem grodowym na terenie województwa słupskiego*, t. 1–2. Poznań: Uniwersytet Adama Mickiewicza.

Osiecka, E.
2006. *Wapno w budownictwie – tradycja i nowoczesność*. Kraków: Stowarzyszenie Przemysłu Wapienniczego.

Ossowski, G.
1881. *Mapa archeologiczna Prus Zachodnich (dawniej Królewskich) z przyległemi częściami W. Ks. Poznańskiego*. Kraków: W.L. Anczyc i Spółka.

Ossowski, W.
2009. Najstarsze klamry szkutnicze nad dolną Wisłą. *Pomorania Antiqua* 22: 77–102.
2010. *Przemiany w szkutnictwie rzecznym w Polsce. Studium archeologiczne*. Gdańsk: Centralne Muzeum Morskie.

Paszkiewicz, B.
2009. *Brakteaty – pieniądz średniowiecznych Prus*. Wrocław: Uniwersytet Wrocławski.

Paternoga, M.
2003. Stanowisko nr 1 w Wszemirowie, pow. Trzebnica w świetle dawniejszych i najnowszych badań. *Śląskie Sprawozdania Archeologiczne* 45: 157–174.

Paternoga, M. i P. Rzeźnik
2007. Problem funkcji i sposobu użytkowania wczesnośredniowiecznych tzw. prażnic w świetle wybranych znalezisk z Dolnego Śląska. *Dolnośląskie Wiadomości Prahistoryczne* 6: 81–106.

Pawlak, E. i P. Pawlak
2008. *Osiedla wczesnośredniowieczne w Markowicach pod Poznaniem wraz z pozostałościami osadnictwa pradziejowego*. Poznań: Poznańskie Towarzystwo Przyjaciół Nauk.

Pawlata, L.
1993. Katalog zabytków archeologicznych z kolekcji Feliksa Kochańskiego ze zbiorów Muzeum Regionalnego w Drohiczynie. *Rocznik Białostocki* 18: 191–218.

Pawłowski, A.J.
1990. Stan i potrzeby badań nad wczesnym średniowieczem Pomezanii, Pogezanii i Warmii, [w:] Z. Kurnatowska (red.), *Stan i potrzeby badań nad wczesnym średniowieczem w Polsce*, 55–69. Poznań: Poznańskie Towarzystwo Przyjaciół Nauk.

Petelski, K. i A. Gondek
2004. *Szczegółowa mapa geomorfologiczna Polski w skali 1:50 000 arkusz Dobry*. Warszawa: Państwowy Instytut Geologiczny.

Piaskowski, J.
1960. *Technika gdańskiego hutnictwa i kowalstwa żelaznego X-XIV w. na podstawie badań metaloznawczych*. Gdańsk wczesnośredniowieczny 2. Gdańsk: Gdańskie Towarzystwo Naukowe.

Piekalski, J. i K. Wachowski (red.)
2010. *Ulice średniowiecznego Wrocławia*. Wratislavia Antiqua 11. Wrocław: Uniwerystet Wrocławski.

Pikies, R.
2015. *Szczegółowa mapa geologiczna Polski w skali 1:50 000 arkusz Ostróda*. Warszawa: Państwowy Instytut Geologiczny.

Piontek, J.
1996. *Biologia populacji pradziejowych. Zarys metodyczny*. Poznań: Uniwersytet Adama Mickiewicza.

Piotrowska, M.
2013. *Epoka żelaza w dorzeczu środkowej Słupi*. Łódź: Nauka i Innowacje.

Pochylski, M. i A. Kowalczyk
2011. Tak zwana ceramika husycka z Nowej Wsi, stan. 6, gm. Włocławek, woj. kujawsko-pomorskie. *Folia Archaeologica* 28: 227–243.

Pokora, H. i P. Rzeźnik
1998. Wznowienie badań wykopaliskowych na wczesnośredniowiecznej osadzie w Obiszowie, gm. Grębocice. *Śląskie Sprawozdania Archeologiczne* 40: 321–333.

Poliński, D.
1996. *Przemiany w wytwórczości garncarskiej na ziemi chełmińskiej u schyłku wczesnego i na początku późnego średniowiecza*. Archaeologia Historica Polona 4. Toruń: Uniwersytet Mikołaja Kopernika
2013. *Pień. Siedziba krzyżackich prokuratorów w ziemi chełmińskiej*. Toruń: Uniwersytet Mikołaja Kopernika.

Popek, M., A. Pydyn, R. Solecki i P. Stencel
2013. Przeprawa mostowa na wyspę Wielka Żuława na jeziorze Jeziorak, [w:] Z. Kobyliński (red.), *Grodziska Warmii i Mazur 1. Stan wiedzy i perspektywy badawcze*, 373–380. Archaeologica Hereditas. Prace Instytutu Archeologii Uniwersytetu Kardynała Stefana Wyszyńskiego w Warszawie 2. Warszawa – Zielona Góra: Instytut Archeologii UKSW i Fundacja Archeologiczna.

Pospieszna, B.
1994. Zarys historii rzemiosła zduńsko-garncarskiego w Malborku od XV do początku XIX w., [w:] A. Gruszczyńska (red.), *Garncarstwo i kaflarstwo na ziemiach polskich od późnego średniowiecza do czasów współczesnych*, 277–290. Rzeszów: Muzeum Okręgowe.

Powierski, J.
2004. *Prussica: artykuły wybrane z lat 1965–1995*. Tom 1. Malbork: Muzeum Zamkowe.

Pydyn, A.
2013. Wyniki archeologicznych prospekcji podwodnych w wybranych jeziorach Pojezierza Iławskiego, [w:] Z. Kobyliński (red.), *Grodziska Warmii i Mazur 1. Stan wiedzy i perspektywy badawcze*, 361–372. Archaeologica Hereditas. Prace Instytutu Archeologii Uniwersytetu Kardynała Stefana Wyszyńskiego w Warszawie 2. Warszawa – Zielona Góra: Instytut Archeologii UKSW i Fundacja Archeologiczna.
2016. Wyniki archeologicznych prospekcji podwodnych w jeziorach Pojezierza Iławskiego w latach 2013–2014, [w:] Z. Kobyliński (red.), *Grodziska Warmii i Mazur 2. Nowe badania i interpretacje*, 79–92. Ar-

chaeologica Hereditas. Prace Instytutu Archeologii Uniwersytetu Kardynała Stefana Wyszyńskiego w Warszawie 7. Warszawa: Instytut Archeologii UKSW i Fundacja Res Publica Multiethnica.

Pyżuk, M.
2004. Antropologiczna interpretacja szczątków kostnych populacji kultur przeworskiej i wielbarskiej z Kołozębia, pow. Płońsk. *Archeologia Polski* 49: 33–48.

Rabek, W. i M. Narwojsz
2008. *Szczegółowa mapa geologiczna Polski w skali 1 : 50 000 arkusz Dobrzyki*. Warszawa: Państwowy Instytut Geologiczny.
2014. *Objaśnienia do szczegółowej mapy geologicznej Polski, 1 : 50 000 arkusz Orneta*. Warszawa: Państwowy Instytut Geologiczny.
2015. *Szczegółowa mapa geologiczna Polski w skali 1:50000 arkusz Orneta*. Warszawa: Państwowy Instytut Geologiczny.

Radzicki, B.
b.d. *Grodzisko „Miggenwald" ponownie odkryte!* Internet: http://www.pruthenia.strefa.pl/c22.html (wgląd: 19.04.2017)

Rauhut, L.
1955. Wczesnośredniowieczny skarb ze wsi Borucin, pow. Aleksandrów Kujawski. *Wiadomości Archeologiczne* 22 (1): 55–64.

Rębkowski, M.
1995. *Średniowieczna ceramika miasta lokacyjnego w Kołobrzegu*. Kołobrzeg: Feniks.

Rębkowski, M. (red.)
1996. *Archeologia średniowiecznego Kołobrzegu. Tom. 1. Badania przy ul. Ratuszowej 9–13*. Kołobrzeg: Instytut Archeologii i Etnologii PAN.

Sawicki, J.
2012. Elementy stroju i pasa oraz opraw ksiąg z ul. Katedralnej 4 we Wrocławiu. *Wrastislava Antiqua* 17: 97–109.

Sawicki, T.
2008. Wczesnośredniowieczne cmentarzysko szkieletowe w Daniszewie pod Kołem, woj. wielkopolskie. *Slavia Antiqua* 49: 149–209.

Schmid, E.
1972. *Atlas of animal bones for prehistorians, archaeologists and quaternary geologists*. Amsterdam: Elsevier Publishing Company.

Schnippel, E.
1928. Siedlungsgeographie des Osterodischen Gebiets. *Altpreussische Forschungen* 5: 5–44.

Schramm, Z.
1967. Różnice morfologiczne niektórych kości kozy i owcy. *Roczniki Wyższej Szkoły Rolniczej w Poznaniu* 36: 107–133.

Schuldt, E.
1981. *Gross Raden. Die Keramik einer slawischen Siedlung des 9./10. Jahrhunderts*. Berlin: Akademie Verlag.

Sikorska-Ulfik, I.
1994. Zespół ceramiki z Reszla z 2 połowy XIV wieku, [w:] A. Gruszczyńska (red.), *Garncarstwo i kaflarstwo na ziemiach polskich od późnego średniowiecza do czasów współczesnych*, 233–243. Rzeszów: Muzeum Okręgowe.

Sikorski, J.
2006. *Lokacja i rozwój przestrzenny miasta*, [w:] J. Cygański (red.), *Susz. Z dziejów miasta i okolic*, 49–64. Olsztyn: Muzeum Warmii i Mazur.

Skóra, K.
2010. Intruz w kurhanie? O pochówkach wtórnych w obrzędowości pogrzebowej kultur wielbarskiej i przeworskiej, [w:] K. Skóra i T. Kurasiński (red.), *Wymiary inności. Nietypowe zjawiska w obrzędowości pogrzebowej od pradziejów po czasy nowożytne*, 27–43. Acta Archaeologica Lodziensia 56. Łódź*: Łódzkie Towarzystwo Naukowe*.

Skružný, L.
1964. Pekáče – jejch výskyt, funkce a datování. *Památky Archeologické* 55 (2): 370–391.

Słodownik, L.
2006. *Zimnochy*. Internet: http://www.glospasleka.pl/artykul/index.php?id=news&idd=16439 (wgląd: 25.01.2017).

Smith, N.
2011. *Pre-industrial lime kilns*. English Heritage. Internet: https://historicengland.org.uk/images-books/publications/iha-preindustrial-lime-kilns/ (wgląd: 25.01.2017).

Solecki, R.
2014. Wstępne wyniki badań archeologicznych grodziska w Suszu w 2013 roku. *Skarbiec Suski* 10: 38.

Sosnowska, A.
1992. Charakterystyka kulturowo-chronologiczna zespołów ceramicznych, pochodzących z badań stanowiska 1 w Mołtajnach, gm. Barciany, jako przyczynek do naświetlania problemu powiązań kulturowych wschodniej części grupy zachodniomazurskiej kultury kurhanów zachodniobałtyjskich z terenami ościennymi we wczesnej epoce żelaza, [w:] S. Czopek (red.), *Ziemie polskie we wczesnej epoce żelaza i ich powiązania z innymi terenami*, 335–352. Rzeszów: Muzeum Okręgowe.

Stampfli, H.R.
1963. Bison bonasus (Linne) 1758, Ur, Bos primigenius Bojanus, 1827, und Rind, Bos taurus (Linne), 1758. *Acta Bernensia* 2: 117–159.

Stanaszek, Ł.M.
2005. Analiza antropologiczna materiału kostnego z Dąbka, pow. mławski, stan. 29. *Wiadomości Archeologiczne* 57: 235–239.

Stankiewicz, U.
2005. Kafle tykocińskie. *Podlaskie Zeszyty Archeologiczne* 1: 178–192.

Starski, M.
2009. Późnośredniowieczne naczynia gliniane z zamku w Pucku. *Studia i Materiały Archeologiczne* 14: 195–284.

Stasiełowicz, G.
2009. Ceramika z badań na osadzie w Gronowie Górnym, st. 3, gm. Elbląg, [w:] M. Karczewska i M. Karczewski (red.), *Ceramika bałtyjska. Tradycje i wpływy*, 177–187. Białystok: Uniwersytet w Białymstoku.

Stępnik, T.
2016. Analiza dendrologiczna prób drewna i węgli drzewnych z grodzisk zachodniej części województwa warmińsko-mazurskiego, [w:] Z. Kobyliński (red.), *Grodziska Warmii i Mazur 2. Nowe badania i interpretacje*, 231–246. Archaeologica Hereditas. Prace Instytutu Archeologii Uniwersytetu Kardynała Stefana Wyszyńskiego w Warszawie 7. Warszawa: Instytut Archeologii UKSW i Fundacja Res Publica Multiethnica.

Strzałko, J. i M. Henneberg
1975. Określanie płci na podstawie morfologii szkieletu. *Przegląd Antropologiczny* 41 (1): 105–126.

Strzałko, J., J. Piontek i A. Malinowski
1972. Problem rekonstrukcji wzrostu na podstawie kości zachowanych we fragmentach lub spalonych. *Przegląd Antropologiczny* 38 (2): 277–287.
1973. Teoretyczno-metodyczne podstawy badań kości z grobów ciałopalnych. *Materiały i Prace Antropologiczne* 85: 179–201.
1974. Możliwości identyfikacji szczątków ludzkich z grobów ciałopalnych w świetle wyników badań eksperymentalnych, [w:] H. Giżyńska (red.), *Metody, wyniki i konsekwencje badań kości z grobów ciałopalnych*, 31–42. Poznań: UAM.

Supruniuk, A.
2002. Uzupełnienia i uwagi do „Nowego kodeksu dyplomatycznego Mazowsza, część III: dokumenty z lat 1356–1381". *Studia Źródłoznawcze* 40: 107–165.

Szafrański, W.
1961. Wyniki badań archeologicznych w Biskupinie, pow. Żnin, na stanowisku 6, [w:] W. i Z. Szafrańscy, *Z badań nad wczesnośredniowiecznym osadnictwem wiejskim w Biskupinie*, 7–144. Wrocław: Ossolineum.

Szczepański, S.
2009. Hans Schleif (19021945) i jego badania nad germańską przeszłością Prus Wschodnich. *Szkice Humanistyczne* 9/1(18): 51–62.
2010. Czy nazwa Susz jest staropruska? *Skarbiec Suski* 3: 21–26.
2012. Grodzisko w suskim Parku Miejskim *Unser Schloss Rosenberg*? *Skarbiec Suski* 6: 38.
2013. „Wykopaliska" w archiwach – archeologia archiwalna na przykładzie wybranych stanowisk Pojezierza Iławskiego, [w:] Z. Kobyliński (red.), *Grodziska Warmii i Mazur 1. Stan wiedzy i perspektywy badawcze*, 233–252. Archaeologica Hereditas. Prace Instytutu Archeologii Uniwersytetu Kardynała Stefana Wyszyńskiego w Warszawie 2. Warszawa – Zielona Góra: Instytut Archeologii UKSW i Fundacja Archeologiczna.

Szmyt, M.
1996. *Społeczności kultury amfor kulistych na Kujawach*. Materiały do syntezy pradziejów Kujaw 6. Poznań: Uniwersytet Adama Mickiewicza.
1999. *Between West and East. People of the Globular Amphora Culture in Eastern Europe*. Baltic-Pontic Studies 8. Poznań: Uniwersytet Adama Mickiewicza.

Szydłowski, J.
1974. Z badań kremacji w pradziejach, [w:] H. Giżyńska (red.), *Metody, wyniki i konsekwencje badań kości z grobów ciałopalnych*, 71–76. Poznań: Uniwersytet Adama Mickiewicza.

Szymańska-Bukowska, A.
2010. *Sopot w zamierzchłej przeszłości. Grodzisko wczesnośredniowieczne*. Gdańsk: Muzeum Archeologiczne.

Szymański, P.
1998. Żubronajcie – przyczynek do badań nad wczesnożelazną ceramiką Suwalszczyzny, [w:] M. Karczewski (red.), *Ceramika zachodniobałtyjska od wczesnej epoki żelaza do początku ery nowożytnej*, 119–137. Białystok: Instytut Historii Uniwersytetu w Białymstoku.

Škojec, J.
2003. Lehmwannenfunde aus Mikulčice, [w:] L. Poláček (red.), *Studien zum Burgwall von Mikulčice*. T. 5: 421–496. Brno: Archäologisches Institut der Akademie der Wissenschaften der Tschechischen Republik.

Świętosławski, W.
2011a. Sprawozdanie z archeologicznych badań ratowniczych stanowiska Pomorzanki 4, gm. Gostynin, woj. mazowieckie, w latach 2004–2005, [w:] *Raport 2005–2006*, 91–100. Warszawa: Narodowy Instytut Dziedzictwa.
2011b. Sprawozdanie z archeologicznych badań ratowniczych stanowisk Pomorzany 1 i 2, gm. Łanięta, woj. łódzkie, w latach 2003–2005, [w:] *Raport 2005–2006*, 101–111. Warszawa: Narodowy Instytut Dziedzictwa.

Töppen, M.
1870. Altertümer bei Hohenstein in Ostpreußen. *Altpreussische Monatsschrift, Der Neuen Preussischen Provinzial-Blätter* 7: 13–42.
1876. Ueber einige Alterthümer aus der Zeit des Heidenthums in der Nachbarschaft zu Marienwerder. *Altpreussische Monatschrift* 13: 549–550.

Trotter, M. i G.C. Gleser
1952. Estimation of stature from long bones of American Whites and Negroes. *American Journal of*

Physical Anthropology 10: 463–514.

Trzmiel, B.
2007. *Szczegółowa mapa geologiczna Polski w skali 1 : 50 000 arkusz Boguchwały*. Warszawa: Państwowy Instytut Geologiczny.

Ubelaker, D.H.
1978. *Human skeletal remains. Excavation, analysis, interpretation.* Chicago: Aldine.

Uniejewska, M.
2003. *Szczegółowa mapa geologiczna Polski w skali 1 : 50 000 arkusz Kisielice*. Warszawa: Państwowy Instytut Geologiczny.

Vlierman, K.
1996. *„...Van Zintelen, van Zintelroeden ende Mossen...". Een breeuwmethode als hulpmiddel bij het dateren van scheepswrakken uit de Hanzetijd. Scheepsarcheologie* 1. Lelystad: Nederlands Instituut vor Scheeps en on der water Archeologie.

Voigt, J.
1832. *Geschichte Preussens von den* ältesten *Zeiten bis zum Untergange der Herrschaft des Deutschen Ordens*. T. 5. Königsberg: Gebrüder Bornträger.

Wachowski, K.
1987. Bełty na zamku w Legnicy, [w:] A. Kola (red.), *Średniowieczne siedziby rycerskie w ziemi chełmińskiej na tle badań podobnych obiektów na ziemiach polskich*, 147–153. Toruń: Muzeum Regionalne w Brodnicy i Instytut Archeologii i Etnografii UMK w Toruniu.

Wadyl, S.
2012a. Grodzisko w Ornowie-Lesiaku w świetle wyników ostatnich badań archeologicznych. *Pruthenia* 7: 117–135.
2012b. Kilka uwag o ceramice wczesnośredniowiecznej w Prusach, [w:] M. Franz i Z. Pilarczyk (red.), *Barbarzyńcy u bram. Mare integrans. Studia nad dziejami wybrzeży Morza Bałtyckiego*, 260–278. Toruń: Adam Marszałek.
2012c. *Sprawozdanie z badań sondażowo-weryfikacyjnych na grodzisku w Lipowcu, stan. 1, gm. Ostróda (26–57/2)*. Maszynopis w Archiwum Wojewódzkiego Urzędu Ochrony Zabytków w Olsztynie, Delegatura w Elblągu.
2013a. Wczesnośredniowieczny zespół osadniczy w Rejsytach, gm. Rychliki (stan. 1 i 2) w świetle wyników badań archeologicznych. *Pruthenia* 8: 149–164.
2013b. Badania weryfikacyjno-sondażowe grodzisk wczesnośredniowiecznych w dorzeczu górnej Drwęcy (Domkowo, Lipowiec, Ornowo-Lesiak, Morliny), [w:] Z. Kobyliński (red.), *Grodziska Warmii i Mazur 1. Stan wiedzy i perspektywy bad*awcze, 109–124. Archaeologica Hereditas. Prace Instytutu Archeologii Uniwersytetu Kardynała Stefana Wyszyńskiego w Warszawie 2. Warszawa – Zielona Góra: Instytut Archeologii i Fundacja Archeologiczna.
2015. Ze studiów nad wczesnośredniowieczną ceramiką z pogranicza słowiańsko-bałtyjskiego, [w:] S. Wadyl, M. Karczewski i M. Hoffmann (red.), *Materiały do archeologii Warmii i Mazur* 1: 275–294. Warszawa-Białystok: Instytutu Archeologii Uniwersytetu Warszawskiego i Instytut Historii i Nauk Politycznych Uniwersytetu w Białymstoku.

Waluś, A.
2009–2010. Ząbie, st. X, woj. warmińsko-mazurskie. Badania roku 2010. *Światowit* 8 (49) B: 283–284.

Wichrowski, Z.
2000. Średniowieczny topór z Goraja, pow. Biłgoraj, woj. lubelskie. *Archeologia Polski Środkowowschodniej* 5: 212–214.

Wiewióra, M. (red.)
2014. *Zamek biskupów chełmińskich w Wąbrzeźnie w świetle badań archeologiczno-architektonicznych. Studia i materiały*. Toruń: Uniwersytetu Mikołaja Kopernika.

Więckowska, H. i E. Kempisty
1970. Badania archeologiczne we wsi Sośnia, pow. Grajewo. *Wiadomości Archeologiczne* 35 (2): 164–200.

Winckler, von
1866. Die Vesten der Vorzeit im Ermlande. *Zeitschrift für die Geschichte und Altertumskunde Ermlands* 3: 689–693.

Wirska-Parachoniak, M.
1968. Z historii wiążących materiałów budowlanych. *Ochrona Zabytków* 21/4 (83): 17–23.

Wiślański, T.
1966. *Kultura amfor kulistych w Polsce północno-zachodniej*. Wrocław: Ossolineum.

Worm, H. i D. Staude
2007. *Die Hugo Schneider A.-G. Leipzig. Kurzübersicht ihrer Entwicklungsgeschichte und Produkte*. Internet: http://www.patronensammler.de/files/HASAG-Entwicklung.pdf.

Wróblewski, W. i T. Nowakiewicz
2003. Ceramika „pruska" i „słowiańska" we wczesnośredniowiecznej Galindii, [w:] M. Dulinicz (red.), *Słowianie i ich sąsiedzi we wczesnym średniowieczu*, 165–181. Lublin – Warszawa: Uniwersytet Marii Curie-Skłodowskiej.

Wrzesiński, J.
1994. Osada ludności kultury łużyckiej w Chłapowie, gm. Dominowo, stanowisko 3. *Studia Lednickie* 3: 173–202.

Wyczółkowski, M.
2009. „Baba" kamienna z Poganowa. Wczesnośredniowieczne miejsce kultu Prusów [w:] A. Bitner-Wróblewska i G. Iwanowska (red.), *Bałtowie i ich sąsiedzi. Marian Kaczyński in memoriam*, 605–633. Warszawa: Państwowe Muzeum Archeologiczne w Warszawie.

Wyczółkowski, M., M. Szal, M. Kuprianowicz i E. Smolska
2013. Kompleks osadniczy w Poganowie, pow. kętrzyński, stanowisko IV: wstępne wyniki badań interdyscyplinarnych. [w:] Z. Kobyliński (red.), *Grodziska Warmii i Mazur 1. Stan wiedzy i perspektywy badawcze*, 65–82. Archeologia Hereditas. Prace Instytutu Archeologii Uniwersytetu Kardynała Stefana Wyszyńskiego w Warszawie 2. Warszawa – Zielona Góra: Instytut Archeologii UKSW i Fundacja Archeologiczna.

Wyrobisz, A.
1968. *Szkło w Polsce od XIV do XVII wieku*. Wrocław: Ossolineum.
1981. Wapno, [w:] A. Mączak (red.), *Encyklopedia historii gospodarczej Polski do 1945 roku,* T. 2, 452. Warszawa: Wiedza Powszechna.

Wyrost, P.
1994. Dawna fauna Polski w świetle badań kostnych materiałów archeologicznych, rozmieszczenie w czasie i przestrzeni. *Roczniki Akademii Rolniczej w Poznaniu. Archeozoologia* 19: 55–176.

Wysocki, J.
2012. Badania stanowisk archeologicznych z późnego średniowiecza i nowożytności w regionie warmińsko-mazurskim w latach 1989–2009. *Archaeologia Historica Polona* 20: *Regiony, rzemiosła, kategorie – archeologia późnego średniowiecza i czasów nowożytnych w uwarunkowaniach nowego ustroju*, 43–68. Toruń: Uniwersytet Mikołaja Kopernika.

Wysocki, J. i B. Klęczar
2013. Grodziska typu stożkowatego na wyspie Wielka Żuława w Iławie, w Lasecznie Małym i Mozgowie w powiecie iławskim: wstępne wyniki badań z 2012 roku, [w:] Z. Kobyliński (red.), *Grodziska Warmii i Mazur 1. Stan wiedzy i perspektywy badawcze,* 327–349. Archaeologica Hereditas. Prace Instytutu Archeologii Uniwersytetu Kardynała Stefana Wyszyńskiego w Warszawie 2. Warszawa – Zielona Góra: Instytut Archeologii UKSW i Fundacja Archeologiczna.

Zarzycki, K., H. Trzcińska-Tacik, W. Różański, Z. Szeląg, J. Wołek i U. Korzeniak
2002. *Ecological indicator values of vascular plants of Poland*. Kraków: Instytut Botaniki PAN.

Zbierski, A.
1959. Wczesnośredniowieczne materiały archeologiczne z Czermna nad Huczwą. *Archeologia Polski* 4: 105–148.

Zeder, M.A. i H.A. Lapham
2010. Assessing the reliability of criteria used to identify postcranial bones in sheep, Ovis, and goat, Capra. *Journal of Archaeological Science* 3: 2887–2905.

Zielonka, B.
1951. Wczesnośredniowieczne wyroby kościane i rogowe z okolic Gniewa, powiat Tczew. *Z otchłani wieków* 20: 27–30.

Zoll-Adamikowa, Z.
1979. *Wczesnośredniowieczne cmentarzyska ciałopalne Słowian na terenie Polski. T. 2. Analiza. Wnioski*. Wrocław: Ossolineum.

Żak, J.
1960. Część skarbu z Sejkowic pod Gąbinem na Mazowszu. *Fontes Archaeologici Posnanienses* 11: 200–202.

Żurek, J.
1954. Osada z młodszej epoki kamienia w Rzucewie, pow. wejherowski i kultura rzucewska. *Fontes Archaeologici Posnanienses* 4: 1–4.

Żurek, M.
2013. Boreczno, stanowisko 4 (AZP 24–54), gm. Zalewo, woj. warmińsko-mazurskie. Analiza stratygraficzna, [w:] Z. Kobyliński (red.), *Grodziska Warmii i Mazur 1. Stan wiedzy i perspektywy badawcze*, 385–411. Archaeologica Hereditas. Prace Instytutu Archeologii Uniwersytetu Kardynała Stefana Wyszyńskiego w Warszawie 2. Warszawa – Zielona Góra: Instytut Archeologii UKSW i Fundacja Archeologiczna.

Żurowski, J. i R. Jakimowicz
1939. *Atlas grodzisk i zamczysk śląskich*. Kraków: Polska Akademia Umiejętności.